

ANNALEN

der

SCHWEIZERISCHEN METEOROLOGISCHEN

ZENTRAL-ANSTALT

1930

„Der Schweizerischen meteorologischen Beobachtungen“

Siebenundsechzigster Jahrgang



ZÜRICH

Buchdruckerei zur Alten Universität
Kommission von Beer & Cie.

Inhalt.

Einleitung	Pag. III
Verzeichnis der im Jahre 1930 erschienenen oder auf das Jahr 1930 bezüglichen schweizerischen meteorol. Literatur	IV
Bemerkungen über tägliche Beobachtungen	V

Tägliche Beobachtungen

der Stationen: Bern, Neuchâtel, Altdorf, Genf, Zürich, Rigi-Kulm, Bevers, Sitten, Lugano, Basel, Säntis u. St. Gotthard	Pag. 1—79
nebst ergänzenden Witterungsnotizen.	

Monats- und Jahres-Uebersichten der meteorologischen Beobachtungen sämtlicher Stationen. 81-127

	Pag.		Pag.		Pag.		Pag.
Aarau	100 u. 101	Elm	94 u. 95	Lungern	121	Schatzalp (ob Davos)	116 u. 117
Adelboden	104 u. 105	Engelberg	96 u. 97	Luzern	98 u. 99	Schiers	118
Airolo	126	Faido	126	Marsens	104 u. 105	Schuls	114 u. 115
Altdorf	82 u. 83	Frauenfeld	92 u. 93	Meiringen	102 u. 103	Schwäbrig (bei Gais)	119
Altstätten	84 u. 85	Freiburg	104 u. 105	Montana	108 u. 109	Seewis	118
Andermatt	120	Generoso, Monte	110 u. 111	Monte Brè (ob Lugano)	110 u. 111	Siders	125
Arosa	116 u. 117	Genf	86 u. 87	Montreux-Clarens	106 u. 107	Sils-Maria	112 u. 113
Auen (Linthal)	94 u. 95	Gersau	121	Mont Soleil (ob St. Imier)	124	Sitten	88 u. 89
Baden	127	Glarus	94 u. 95	Muri	123	Solothurn	100 u. 101
Basel	84 u. 85	Göschenen	96 u. 97	Neuchâtel	84 u. 85	Splügen (Dorf)	112 u. 113
Bellinzona	110 u. 111	Grächen	125	Oberiberg	96 u. 97	St. Beatenberg	102 u. 103
Bern	86 u. 87	Grono	127	Olten	123	St. Bernhard	86 u. 87
Bernhardin	112 u. 113	Gurtellen	121	Pilatus-Kulm	82 u. 83	St. Gallen	90 u. 91
Bevers	88 u. 89	Guttannen	104 u. 105	Platta (Medels)	114 u. 115	St. Gotthard	88 u. 89
Beznau	98 u. 99	Haidenhaus	92 u. 93	Pontresina	118	Sta. Maria	114 u. 115
Braggio	108 u. 109	Heiden	90 u. 91	Reckingen	108 u. 109	Thun	123
Braunwald (ob Linthal)	120	Heiligenschwendi (Thun)	123	Reichenau	119	Tschierschen	118
Brévine, la	124	Interlaken	102 u. 103	Rheinfelden	122	Unter-Hallau	94 u. 95
Buffalora (Ofenpass)	114 u. 115	Kreuzlingen	90 u. 91	Rigi-Kulm	82 u. 83	Vättis	119
Cernier	124	Langenbruck	100 u. 101	Rochers de Naye	106 u. 107	Vicosoprano	112 u. 113
Château d'Oex	121	Langnau i. E.	102 u. 103	Romont	122	Walchwil	98 u. 99
Chanmont	86 u. 87	Lausanne (Champ de l'air)	106 u. 107	Rorschach (Marienberg)	120	Wald-Hittenberg	127
Chaux-de-Fonds, la	106 u. 107	Leukerbad	125	Saus-Fee	124	Weggis	120
Chur	116 u. 117	Leysin	108 u. 109	Säntis	84 u. 85	Weissenstein	100 u. 101
Comprovasco	126	Liestal	122	Sargans	90 u. 91	Winterthur	92 u. 93
Davos-Platz	116 u. 117	Locarno (Muralto)	110 u. 111	Sarnen	98 u. 99	Zermatt	125
Ebnat	119	Lohn	92 u. 93	Scarl (Untereengadin)	126	Zürich	82 u. 83
Einsiedeln	96 u. 97	Lugano	88 u. 89	Schaffhausen	122		
Fünftägige Temperatur-Mittel von 15 Normal-Stationen							128
Temperaturextreme	7						129—132
Aufzeichnungen der autographischen Apparate für Luftdruck, Temperatur, Richtung und Geschwindigkeit des Windes auf den Stationen: Zürich und Säntis 1930							52 Seiten

Anhang: Ergänzende Beobachtungen und Abhandlungen.

Nr. 1. W. Brückmann. Uebersicht über den Witterungsverlauf in der Schweiz im Jahre 1930	8 Seiten
W. Brückmann und H. Uttinger. Die Häufigkeit grosser Tagesmengen des Niederschlages in der Schweiz	3 „
H. Uttinger. Starke Regenfälle von kurzer Dauer in Zürich 1901—1930	8 „
Nr. 2. Ergebnisse der Niederschlagsmessungen im Jahre 1930	10 „
M. Grütter. Einzelne bemerkenswerte Niederschläge	5 „
O. Lütshg. Die Niederschlagsbilanz des hydrologischen Jahres 1929/30	2 „
Nr. 3. Ch. Golaz. Gewitterbeobachtungen im Jahre 1930	19 „
Nr. 4. Ergebnisse der Registrierungen der Sonnenscheinautographen im Jahre 1930	4 „
Nr. 5. E. Wannor. Jahresbericht des Erdbebendienstes der Schweiz im Jahre 1930	15 „
Nr. 6. R. Billwiler. Temperatur und Niederschlag im schweizerischen Alpengebiet während des letzten Gletschervorstosses und einige Rückschlüsse auf die eiszeitlichen Verhältnisse	7 „
Nr. 7. W. Brückmann. Erdmagnetische Vermessung der Schweiz. I.	24 „

Einleitung.

Die eidgenössische meteorologische Kommission ist auf 1. Juli des Berichtjahres für eine neue dreijährige Amtsdauer mit Herrn Prof. Dr. Raoul Gautier, Genf, als Präsidenten bestätigt worden. Im Personalbestand der Anstalt selbst sind keine Änderungen eingetreten.

Das Beobachtungsnetz der Anstalt zeigt das gleiche Bild, wie im Vorjahr; wir arbeiten zur Zeit mit 122 meteorologischen und 294 Regenmeß-Stationen. Ein neuer Regenmeßposten wurde auf Uto-Kulm, 816 Meter über Meer errichtet; die Bedienung geschieht durch das Bahnpersonal. — Die Hochgebirgs-Niederschlagssammler sind im Berichtsjahr erheblich vermehrt worden; es gelangten auf dem Kranzberg (Jungfraugebiet, 3450 m ü. M.), im Nanztal am Fuß des Magenorns (Simplongebiet, 2470 m ü. M.), auf Rollisboden, Vorderwäggital, im Barberine- und Salanfegebiet, weiter im Pfäfersergebiet solche Apparate zur Aufstellung. Die Gesamtzahl der Totalisatoren beträgt damit auf Ende 1930: 120.

Im Flugwetterdienst steht die Einführung einer Neuerung bevor: durch die von der Internat. Luftverkehrskonferenz geforderte Einstellung von Flugplatzmeteorologen auf den drei Hauptflugplätzen Zürich, Basel und Genf soll inskünftighin ein spezieller fachmännisch geleiteter Wetterdienst zur meteorologischen Sicherung des Flugverkehrs geschaffen werden. Es sind zu diesem Zweck für das Jahr 1931 drei neue Beamte vorgesehen, deren Besoldung der Bund übernimmt, während die Kantone die zur Unterbringung des Wetterdienstes auf den Flugplätzen erforderlichen Räumlichkeiten zu beschaffen haben. Die Anstellung, Ausbildung und Überwachung der erwähnten Flugplatzmeteorologen wird der Anstalt übertragen.

Die magnetische Detailaufnahme unseres Landes ist von Dr. W. Brückmann durch Messungen an über 60 weiteren Stationen, hauptsächlich des Mittellandes und der Südostschweiz, einem ersten Abschluß nahe gebracht worden, so daß, nach Einbeziehung einiger weiterer ergänzender Messungen, an die Veröffentlichung der Ergebnisse der ganzen Kampagne gegangen werden kann.

Die hydrologische Sektion hat neben ihren besonderen Studien im Gebiet der Barberine und des Rhoneflusses eine größere Arbeit „Zur Wasserwirtschaft des Kraftwerkes Wäggital“ herausgegeben.

Der schweizerische Erdbebendienst war ununterbrochen in Tätigkeit; alle Instrumente funktionierten zur vollen Zufriedenheit. Ihr Registriermaterial wird durch die Zweigstationen in Neuchâtel und Chur bestens ergänzt.

Zürich, im Dezember 1931.

Die Direktion der Schweizerischen Meteorologischen Zentralanstalt:

Dr. J. Maurer.

EIDGENÖSSISCHE METEOROLOGISCHE KOMMISSION

1930.

Präsident:	Herr Prof. R. GAUTIER in Genf.
Vizepräsident:	„ „ P. GRUNER in Bern.
Mitglieder:	„ „ A. WOLFER in Zürich.
	„ „ L. COLLET in Genf.
	„ „ P.-L. MERCANTON in Lausanne.
	„ „ A. HEIM in Zürich.
	„ „ Th. NIETHAMMER in Basel.

Verzeichnis der im Jahre 1930 erschienenen oder auf das Jahr 1930 bezüglichen
Schweizerischen meteorologischen Literatur.

- Annalen der Schweizerischen Meteorologischen Zentralanstalt. 67. Jahrgang 1930.
- Täglicher Wetterbericht der Schweizerischen Meteorologischen Zentralanstalt. 50. Jahrgang 1930.
- Ergebnisse der täglichen Niederschlagsmessungen auf den meteorologischen und Regenmess-Stationen in der Schweiz. Jahrgang 1930.
- XVII. Bericht der Gletscherkommission der Phys. Gesellschaft Zürich, von R. Billwiller (Der Firnzuwachs pro 1929/30 in einigen schweizerischen Firngebietten; Vierteljahrschrift der Züsch. Nat. Gesellschaft, 1930, pag. 235).
- Meteorologische Monatsberichte Januar—Dezember 1930, von W. Brückmann, veröffentlicht von der Schweiz. Meteorologischen Zentralanstalt in: „Schweizerische Zeitschrift für Forstwesen“. 1930.
- Les variations périodiques des Glaciers des Alpes Suisses, (1930) par P.-L. Mercanton, extrait de „Les Alpes“ 1931 N° 6.
- Résumé météorologique de l'année 1930 pour Genève et le Grand Saint-Bernard. (Tiré des Archives des sciences physiques et naturelles 1930 et 1931.)
- W. Brückmann: Witterungsverhältnisse des Jahres 1930 für Zürich. (Zürcher Statistische Nachrichten, 4. Heft, 1930).
- W. Brückmann: Magnetische Vermessung der Schweiz (Schweizer. Zeitschrift für Vermessungswesen und Kulturtechnik 1930, S. 164.)
- J. Lugeon: Quelques résultats de la mission radio-météorologique suisse au Sahara en 1929. (Tiré des Archives des sciences physiques et naturelles, 1930, septembre/octobre.)
- O. Lütchg: Zur Wasserwirtschaft des Kraftwerkes Wägital. (Wissenschaftl. Beitrag zum Bericht der Bauleitung: Das Kraftwerk Wägital.)
- M. Bider: Ueber den Einfluss meteorologischer Faktoren auf das luftelektrische Potentialgefälle nach den Davoser Registrierungen an Normaltagen. (Festschrift der S. N. G., 1929.)
- Ergebnisse der Beobachtungen mit dem Davoser Frigorimeter in Basel. (Strahlentherapie, Band 39, 1931.)
- R. Gautier. Mesures des chutes de pluie et neige au Grand St. Bernard. (Tiré des Archives des sciences physiques et naturelles, 1930, mai/juin.)
- F. Lindholm und W. Mörkofer: Das Physikalisch-meteorologische Observatorium Davos. (Festschrift der S. N. G., 1929.)
- P.-L. Mercanton et A. Renaud: Le régime des pluies de Vevey à Avenches (1903—1927). (Bull. de la société vaudoise des sciences naturelles, vol. 57, 1930.)
- W. Mörkofer: Probleme der meteorologischen Strahlungsforschung (Verhandlungen der S. N. G., 1929.)
- Luftelektrische Untersuchungen am Davoser Observatorium. (Verhandlungen der S. N. G., 1929.)
- Die physikalischen Grundlagen der meteorologischen Strahlungsforschung und ihre praktische Bedeutung. (Schweiz. Medizin. Wochenschrift, 60. Jahrgang, Nr. 15, 1930.)
- R. Streiff-Becker: Altes und Neues über den Glarner Föhn. Sep.-Abdr. aus „Mitteilungen 1930“, der Naturforschenden Gesellschaft Glarus.)

Tägliche Beobachtungen

der Stationen:

Bern, Neuchâtel, Altdorf, Genf, Zürich, Rigi-Kulm, Bevers, Sitten,
Lugano, Basel, Säntis und St. Gotthard
im Jahre 1930.

Für die Bezeichnung der Hydrometeore und anderer Phänomene werden nach dem Vorschlag des internationalen Meteorologen-Kongresses (Wien 1873) folgende Symbole angewandt:

● = Regen.	△ = Tau.	⚡ = Gewitter.	☉ = Sonnenhof.
* = Schnee.	⊥ = Reif.	⚡ = Blitz, Wotterleuchten.	☉ = Sonnenring.
△ = Graupeln, Riesel.	∇ = Duft.	☾ = Nordlicht.	☾ = Mondhof.
▲ = Hagel.	∑ = Glatteis.	↻ = starker Wind, ↻ = Sturm.	☾ = Mondring.
← = Eismadeln.	≡ = Nebel.	⚡ = Schneegestöber.	☾ = Regenbogen.

Das Zeichen ☒ bedeutet, dass mehr als die Hälfte der Bodenfläche in der Umgebung der Station an dem betreffenden Tag mit Schnee bedeckt war.

Die Intensität der einzelnen Erscheinungen wird durch eine dem Symbol als Exponent beigefügte ° als schwach und ° als stark bezeichnet.

In der Spalte „Witterung“ bedeuten die Abkürzungen: fl. = Flocken, sch. = Schauer, tr. = Tropfen, T = Donner; fr. = früh, m. U. = mit Unterbrechungen.

Vom Jahrgang 1918 an ist die 24-Stundenzählung durchgeführt; wenn die Zeit nicht näher angegeben werden kann, bedeutet wie bis anhin: m: Vormittags (ante meridiem), p: Nachmittags (post meridiem), n: Nachts.

Alle Zeitangaben mit Ausnahme derjenigen in Anhang Nr. 4 beziehen sich auf **mitteleuropäische Zeit**.

Die römischen Ziffern geben an, dass das betreffende Phänomen um die Zeit des ersten, resp. zweiten, resp. dritten Beobachtungstermins, stattgefunden hat, die arabischen bedeuten die bürgerliche Zeitstunden, das Zeichen * interpolierte Daten.

λ bezeichnet die geographische Länge in Graden von Greenwich, β die geographische Breite, H_b die Höhe des Stationsbarometers über dem Meer in Metern, H die Höhe der Station (des Regenmessers) über der Meeresfläche, G ist die Korrektion, welche an den Luftdruckdaten für deren Reduktion auf die Normalschwere (45° Breite und das Meeresniveau) noch anzubringen ist, h_r die Höhe des oberen Randes des Regenmessers über dem Erdboden. Die Stationen, bei denen die Höhe (des Barometergefässes) bis auf den Dezimeter angegeben ist, sind an das schweizerische Präzisionsnivelement angeschlossen. Alle Höhen sind auf Pierre du Niton 373.6^m bezogen.

Errata zum Jahrgang 1930.

- Seite 27 **Rigi-Kulm**, 23. Mai ☒ weglassen; Mai Niederschlagssumme lies: 374.0 statt 373.0.
 „ 83 „ Mai Niederschlagssumme lies: 374 statt 373 und Jahr 2443 statt 2442
 (desgl. Anhang Nr. 2, Seite 6).
 „ 96 **Göschenen**, Juli Luftdruck Maximum lies: 673.2 statt 670.2.
 „ 116 **Arosa**, Luftdruck Jahresmaximum lies: 619.9 statt 616.9.
 Anhang Nr. 2 Seite 4 **Wildhaus**, Zahl der Tage lies: 149.
 „ „ 2 „ 8 **Saas-Fee**, Mai Niederschlagsmenge lies: 118 statt 115.
 „ „ 4 „ 1 Titel, lies: **Schuls** statt **Buffalora**.
 Nachtrag zu 1929: Seite 90 **Lohn**, Luftdruck Jahresmittel lies: 707.8 statt 705.8.
 „ 92 **Anen**, lies: $G = 0.01$ statt -0.01 .
 „ 98 **Langenbruck**, Luftdruck Jahresmittel lies: 701.7 statt 700.8.
 „ 114 **Chur**, lies: $\beta = 46^\circ 51'$ statt $45^\circ 51'$.
 Nachtrag zu 1928: „ 33 **Rigi-Kulm**, Juni, Niederschlagssumme lies: 229.4 statt 226.6.
 „ 79 „ „ „ „ 229 „ 227
 „ 79 „ „ „ „ 2189 „ 2186
 „ 63 „ „ „ „ 248.9 „ 247.9
 „ 79 „ „ „ „ 249 „ 248
 (Verbesserungen entsprechend in Anhang Nr. 2, Seite 5)
 Anhang Nr. 2 Seite 7 **Visp**, Zahl der Tage lies: 94 statt 74.

$\lambda = 7^{\circ} 26'$, $\beta = 46^{\circ} 57'$,
 $H_b = 572.2^m$, $G = 0.05 \frac{m}{m}$.

Bern.

Januar 1930.
 Tellur. Observatorium.

Tag	Lufttemperatur					Luftdruck			Relative Feuchtigkeit			Windrichtung und Stärke			Bewölkung			Niederschlag	Witterung	
	7 ⁰⁰	13 ⁰⁰	21 ⁰⁰	Mittel	Abweich. von Normalst.	7 ⁰⁰	13 ⁰⁰	21 ⁰⁰	7 ⁰⁰	13 ⁰⁰	21 ⁰⁰	7 ⁰⁰	13 ⁰⁰	21 ⁰⁰	7 ⁰⁰	13 ⁰⁰	21 ⁰⁰			
1	0.0	2.6	0.6	1.1	3.1	717.7	718.1	718.2	98	85	82	S	SSW	SW	10	2	0	0.0	● ^o 6 ¹ / ₂ -6 ³ / ₄ , ≡ n-11, ⊥ fr.	
2	2.2	5.4	5.9	4.5	6.5	715.8	714.0	716.8	72	84	87	SSW	W	WSW	10	10	10	4.4	* fl. 7 ¹ / ₂ -7 ³ / ₄ , ● 11-20 ¹ / ₄ m.U.	
3	3.4	7.2	2.0	4.2	6.2	717.5	716.6	715.2	91	74	91	S	WSW	S	0	9	1	0	⊥ fr.	
4	-0.8	4.8	0.2	1.4	3.4	713.2	711.7	709.8	92	74	93	S	SW	SW	0	0	0	0	⊥ fr.	
5	-1.6	3.6	0.9	1.0	3.0	707.6	705.5	705.0	92	76	91	S	S	WNW	0	10	1	0	⊥ fr.	
6	-0.8	4.8	0.8	1.6	3.6	707.7	711.3	716.8	92	70	92	SE	W	W	0	0	10	3	⊥ fr.	
7	-1.4	4.0	0.4	1.0	3.0	718.7	717.8	717.1	94	73	92	S	NE	W	0	0	1	0	⊥ fr.	
8	-2.1	4.0	0.4	0.8	2.9	715.2	713.6	711.4	91	65	86	S	W	W	1	0	9	3	⊥ fr.	
9	2.0	3.9	1.8	2.6	4.7	712.8	713.3	711.8	92	93	96	W	ISW	N	0	10	10	10	● ^o 6 ³ / ₄ -15 m.U., ≡ 19 ¹ / ₄ -n	
10	1.6	3.8	3.0	2.8	4.9	710.2	709.8	710.2	93	89	86	W	SE	SE	0	10	10	10	≡ 7 ³ / ₄ -11	
11	2.0	3.6	1.8	2.5	4.6	708.5	704.5	700.4	85	73	92	SE	ISE	WSW	10	10	10	8.8	● ^o 19 ¹ / ₂ -n, * ^o 21-n	
12	3.0	3.0	1.4	2.5	4.5	703.2	707.2	706.7	79	69	90	W	ISW	ISW	0	10	8	10	* ^o n, a stw., * ^o 20 ³ / ₄ -22	
13	9.2	10.2	5.2	8.2	10.2	711.2	715.9	716.6	61	68	82	SW	3W	SSW	0	10	2	2	● ^o n-3 ¹ / ₂ , ⊕ 21	
14	2.9	7.8	5.2	5.3	7.3	716.5	715.0	713.4	85	66	88	S	S	W	0	7	1	1	● ^o 23 ³ / ₄ -n	
15	5.4	6.6	6.4	6.1	8.1	713.8	713.6	713.3	84	90	96	SE	S	W	0	10	10	10	16.4	● tr. fr., ● 10-n m.U.
16	5.4	5.6	5.0	5.3	7.3	716.1	717.4	719.0	94	88	84	W	WSW	E	1	10	10	3	2.3	● n-7 ¹ / ₂ , S ³ / ₄ , 10 ³ / ₄ -13 ³ / ₄
17	3.4	4.8	0.6	2.9	4.8	719.0	721.5	724.0	87	73	92	NE	W	S	0	2	10	0	0	● ^o 5 ³ / ₄ -6 ¹ / ₄
18	-0.7	1.5	0.0	0.3	2.2	724.6	723.7	722.5	98	92	100	S	S	NE	0	10	8	10	0	≡ n-n, ⊥ fr.
19	-1.9	0.8	-1.0	-0.7	1.2	720.9	719.1	718.0	96	90	97	W	NE	W	0	10	1	10	0	≡ 6 ¹ / ₄ -12 ¹ / ₂ , 15 ¹ / ₄ -n, ⊥ fr.
20	-2.8	0.4	-0.9	-1.1	0.7	716.7	715.7	715.6	98	89	98	WSW	NW	SE	0	10	0	10	0.0	* fl., ≡ n-11 ¹ / ₂ , 16 ¹ / ₄ -n, ⊥ fr.
21	-2.8	0.8	-0.2	-0.7	1.1	715.7	715.4	716.1	97	92	94	W	W	WSW	0	10	10	10	0	≡ n-13 ³ / ₄ , ⊥ fr.
22	-1.5	0.4	-0.4	-0.5	1.3	716.0	715.9	716.2	98	93	98	SE	W	NE	0	10	10	10	0	≡ n-n, ⊥ fr.
23	-2.6	0.0	-1.3	-1.3	0.4	716.1	715.3	714.7	97	90	96	SW	W	SW	0	10	10	10	0	≡ n-n, ⊥ fr.
24	-2.2	-0.6	-1.4	-1.4	0.3	713.2	711.6	710.2	96	93	98	SE	1W	NE	0	10	10	10	0	≡ n-n, ⊥ fr.
25	-3.1	-0.4	-0.1	-1.2	0.4	707.9	706.4	705.3	98	89	92	NW	N	NW	0	10	8	10	0	≡ n-13, 21 ³ / ₄ -n, ⊥ fr.
26	-1.1	3.0	0.6	0.8	2.3	701.8	699.5	699.4	91	85	92	W	W	W	0	10	1	0	0	≡ 20 ¹ / ₄ -n, ⊥ fr.
27	-1.3	4.1	0.8	1.2	2.7	698.5	700.7	701.1	96	85	96	SE	SW	NNE	0	5	8	10	0	≡ n-10 ¹ / ₂ , ⊥ fr.
28	-0.9	4.0	3.0	2.0	3.4	702.2	702.6	705.8	100	85	89	SW	NE	NW	0	10	1	0	0	≡ n-n
29	1.9	3.4	1.7	2.3	3.7	706.6	705.5	704.8	96	87	91	N	N	NW	0	10	10	10	0	● ^o zeitw.
30	1.7	3.6	2.3	2.5	3.8	703.9	703.6	704.1	94	92	93	SE	SE	SE	0	10	10	10	0.2	≡ 8 ¹ / ₄ -10 ³ / ₄ , 14 ¹ / ₂ -n
31	1.0	3.6	0.0	1.5	2.7	703.3	701.0	701.1	95	73	97	SE	NE	NE	0	10	5	10	0.2	
Mittel	0.6	3.6	1.4	1.8	—	712.0	711.7	711.4	91	82	92					7.8	6.6	6.2	37.2	

$\lambda = 6^{\circ} 57'$, $\beta = 47^{\circ} 0'$,
 $H_b = 487.3^m$, $G = 0.06 \frac{m}{m}$.

Neuchâtel.

Januar 1930.
 Observatorium.

Tag	Lufttemperatur					Luftdruck			Relative Feuchtigkeit			Windrichtung und Stärke			Bewölkung			Niederschlag	Witterung	
	7 ⁰⁰	13 ⁰⁰	21 ⁰⁰	Mittel	Abweich. von Normalst.	7 ⁰⁰	13 ⁰⁰	21 ⁰⁰	7 ⁰⁰	13 ⁰⁰	21 ⁰⁰	7 ⁰⁰	13 ⁰⁰	21 ⁰⁰	7 ⁰⁰	13 ⁰⁰	21 ⁰⁰			
1	-1.3	1.8	1.7	0.7	1.5	725.9	726.4	726.1	94	93	73	NE	S	NE	1	10	9	6	0.5	● n-abds. m.U.
2	2.0	5.2	5.9	4.4	5.3	723.8	721.6	724.9	93	85	87	W	3W	3W	2	10	9	8	5.3	≡ 11 ³ / ₄ -15 ¹ / ₄
3	4.5	4.6	1.0	3.4	4.3	725.2	724.5	723.0	89	97	96	W	1W	1NW	1	9	9	2	0	● ^o n(4/5), ≡ ² n-n
4	-0.2	1.8	0.2	0.6	1.5	721.2	719.3	717.4	100	100	100	N	SW	N	1	10	10	10	0.3	≡ a zeitw., 21 ¹ / ₂ -n
5	-0.4	1.8	0.7	0.7	1.6	714.8	712.6	712.2	100	96	100	N	NE	N	1	6	10	8	0	
6	0.2	3.6	0.6	1.5	2.5	715.6	719.4	724.9	100	90	93	NW	SE	N	0	5	7	0	0	
7	-0.7	3.3	0.4	1.0	2.0	726.6	725.7	725.4	98	88	92	NE	S	N	0	2	4	3	0	≡ ² n-13 zeitw.
8	-0.4	0.0	-0.1	-0.2	0.8	723.3	720.9	719.1	100	100	98	N	E	NE	0	10	10	6	0.8	≡ ² 7-15 ¹ / ₄
9	3.5	3.6	2.4	3.2	4.2	720.8	721.1	719.9	95	97	100	W	1NW	1NW	1	10	10	10	1.0	● n-14 m.U.
10	2.0	3.6	3.0	2.9	3.9	717.7	717.4	717.8	100	95	95	NE	E	NE	1	10	10	10	0	
11	2.6	4.4	2.8	3.3	4.3	715.4	711.0	707.0	86	78	95	N	1SW	1SW	3	10	9	10	17.0	● 18 ¹ / ₄ -n, * seit 17
12	2.0	4.6	1.2	2.6	3.6	711.0	714.9	714.8	82	55	68	W	2W	1W	2	10	3	10	4.5	* 8-10 ¹ / ₂ , 20-n
13	8.9	10.8	6.8	8.8	9.8	719.7	723.6	724.3	70	57	69	W	2W	3NW	1	10	3	4	0	
14	2.7	7.7	4.6	5.0	6.0	724.3	722.8	721.4	98	77	90	NW	SE	W	1	8	3	9	0.2	
15	4.4	5.5	5.6	5.2	6.2	721.7	721.1	721.0	97	100	100	NW	NE	N	0	10	10	10	16.0	● 6 ¹ / ₂ -n, ≡ 9-n
16	4.9	6.2	4.8	5.3	6.3	724.1	725.3	727.1	86	90	91	NW	E	E	1	9	8	10	0.4	● ^o 9-12 m.U.
17	3.7	7.0	0.4	3.7	4.7	727.0	729.0	732.0	82	69	92	NE	2E	NE	1	9	6	2	0	
18	-0.5	1.4	0.2	0.4	1.3	732.8	731.6	730.8	100	100	100	NE	NE	NE	0	10	10	10	0	≡ n-n, √ fr.
19	0.0	0.6	-0.1	0.2	1.1	729.0	726.7	725.9	100	100	100	NE	NE	N	1	10	10	10	0	≡ ² n-n
20	-0.9	0.0	0.6	-0.1	0.8	724.6	723.7	723.6	98	93	98	NE	W	N	1	10	10	10	0	
21	0.0	1.9	1.6	1.2	2.1	723.6	723.2	723.9	100	86	98	NE	E	N	1	10	10	10	0	≡ n-9
22	0.6	1.2	0.6	0.8	1.6	723.9	724.0	724.3	98	100	100	NE	E	NE	1	10	10	10	0	
23	-0.4	1.1	0.4	0.4	1.2	724.1	723.1	722.5	100	94	96	E	1SW	1W	1	10	10	10	0	≡ a
24	0.2	1.1	-0.8	0.2	1.0	720.7	719.2	717.9	95	93	100	NW	E	E	0	10	10	10	0	≡ 8 ¹ / ₂ -12, 16-20
25	-1.4	-0.4	-0.1	-0.6	0.1	715.2	713.8	712.7	100	98	98	NE	E	1NW	0	10	10	10	0	≡ n-20
26	-0.4	5.0	1.0	1.9	2.6	708.5	706.2	705.8	100	79	93	N	1SW	N	1	9	3	2	0	
27	-1.8	2.9	0.8	0.6	1.2	705.3	706.9	707.4	98	95	96	NE	E	N	1	8	10	3	0	≡ ² n-13 zeitw.
28	-0.7	0.8	1.2	0.4	1.0	709.1	710.3	713.5	100	100	100	N	E	N	1	10	10	10	0	≡ ² n-n, √ fr.
29	-0.6	3.7	1.9	1.7	2.2	714.4	713.1	712.1	100	90	95	E	E	E	1	10	10	10	0	≡ n-10 ¹ / ₂
30	1.1	2.8	2.4	2.1	2.6	711.2	710.5	711.5	94	86	96	NW	E	1	0	10	10	10	0.0	● tr. 12-12 ¹ / ₂ , 17
31	-1.0	5.8	-0.2	1.5	1.9	710.5	707.1	701.7	93	75	100	NE	SE	NE	1	8	3	10	2.6	≡ ² 21-22
Mittel	1.0	3.3	1.7	2.0	—	719.7	719.2	719.1	95	89	95					9.1	8.3	7.8	48.6	

Januar 1930.
Beobachter: Frl. H. Nager.

Altdorf.

$\lambda = 8^{\circ} 39'$, $\beta = 46^{\circ} 53'$,
 $H_b = 456.3^m$, $G = 0.05^m/m$.

Tag	Lufttemperatur					Luftdruck			Relative Feuchtigkeit			Windrichtung und Stärke			Bewölkung			Niederschlag	Witterung	
	7 ⁰⁰	13 ³⁰	21 ³⁰	Mittel	Abw. vom Normalst.	7 ⁰⁰	13 ³⁰	21 ³⁰	7 ⁰⁰	13 ³⁰	21 ³⁰	7 ⁰⁰	13 ³⁰	21 ³⁰	7 ⁰⁰	13 ³⁰	21 ³⁰			
1	1.4	3.8	-0.2	1.7	1.6	728.7	728.9	728.8	73	50	62	SE	o S	o NW	o 8	2	5	0.4	* fr.	
2	0.3	4.5	6.1	3.6	3.6	725.8	723.5	725.8	85	94	83	E	o NE	o NW	o 10	10	10	2.1	● p-n zeitw.	
3	3.8	9.4	2.4	5.2	5.2	728.4	726.6	725.0	92	55	79	E	o NW	o NW	o 7	5	0			
4	0.2	6.2	11.8	6.1	6.1	723.9	721.6	719.8	95	71	33	S	o NW	o SE 1-2	3	0	0			
5	13.2	12.8	11.8	12.6	12.6	716.3	715.7	716.1	22	25	29	E	4 S	3-4 SE 3-4	6	3	0			
6	10.8	12.8	3.3	9.0	9.0	718.3	721.0	728.2	26	25	81	S	4 SW 1-2	o NW	o 6	8	10			
7	0.1	4.7	-0.6	1.4	1.4	729.7	728.6	727.2	89	97	97	E	o N	o SE	o 7	0	0			
8	-0.5	11.3	11.7	7.5	7.5	726.0	723.7	721.3	100	27	29	SW	o SE 2-3	SE	2	6	2	7		
9	6.4	5.2	4.7	5.4	5.4	722.6	723.7	722.3	53	85	92	W	o NW	o NW	o 9	10	10	1.1	● p-n zeitw.	
10	3.7	4.8	0.9	3.1	3.1	720.9	720.6	721.2	95	78	95	S	o NW	o SE	o 10	10	7			
11	-1.8	3.8	9.4	3.8	3.8	718.6	712.2	708.6	98	78	28	SE	o NW	o SE	o 0	6	9	2.9	● n (11./12.)	
12	3.4	4.3	3.0	3.6	3.6	713.0	717.2	715.9	79	50	48	NW	o NW	o NW	o 10	10	10	3.5	*° p	
13	6.2	11.9	2.9	7.0	7.0	720.8	725.5	727.6	95	37	89	NW	o NW	o SE	o 10	5	4		● fr.	
14	1.5	7.4	10.5	6.5	6.4	727.1	725.5	722.6	90	69	35	E	o NW	o E	2	8	3	4		
15	5.2	7.9	5.6	6.2	6.1	724.5	723.2	723.6	92	74	88	N	o N	o NW	o 10	10	10	3.9		
16	5.6	5.0	4.7	5.1	5.0	726.4	728.1	730.1	97	94	94	S	o NW	o NW	o 10	10	10	5.3	● n-p	
17	0.2	4.9	0.1	1.7	1.6	730.3	732.6	734.7	100	79	89	E	o E	o E	o 0	0	0			
18	0.7	2.1	-0.7	0.7	0.6	735.8	734.5	734.0	100	95	100	E	o NE	o NE	o 10	10	10		≡ n-n	
19	-0.9	1.3	-0.2	0.1	-0.1	732.1	729.8	728.7	100	98	100	E	o NW	o SE	o 10	10	10		≡ n-n	
20	-1.6	1.0	-1.7	-0.8	-1.0	727.3	726.4	726.6	100	96	100	NW	o W	o NW	o 10	10	10		≡ n-n	
21	-2.7	1.2	-1.4	-1.0	-1.2	726.4	725.7	722.0	100	87	100	E	o S	o SE	o 10	10	10	0.3	≡ n-n	
22	-3.7	0.4	-1.6	-1.6	-1.9	726.7	726.8	727.4	100	97	99	E	o E	o NW	o 9	10	10		≡ n-n	
23	-3.7	0.0	-1.8	-1.8	-2.1	726.9	725.8	725.3	100	95	100	SE	o E	o E	o 10	10	10		≡ n-n	
24	-4.0	0.8	0.6	-0.9	-1.3	723.9	722.3	720.0	100	94	95	E	o NW	o NE	o 10	10	10		≡ n-n	
25	9.5	13.3	12.0	11.6	11.2	717.0	715.2	714.0	31	28	25	S	1 SE 1-2	S	3	0	0		≡ n-10, 12-p	
26	12.3	13.4	12.4	12.7	12.2	710.8	710.1	709.0	30	29	29	SE	1 SE	2 SE 2-3	7	10	0			
27	12.6	10.7	3.8	9.0	8.5	708.4	708.9	710.1	31	35	83	E	2 W	1 NW	o 5	4	6			
28	0.2	5.8	4.0	3.3	2.7	711.6	712.6	716.3	95	93	96	NE	o NW	o NW	o 7	5	10	0.3	●° abds.	
29	2.9	4.3	5.2	4.1	3.5	717.1	715.9	714.8	98	94	95	NE	o N	o SE	o 10	10	10		≡ a	
30	3.2	4.5	2.5	3.4	2.7	713.9	713.2	714.0	74	70	90	SE	o N	o NW	o 10	10	10	3.8		
31	2.5	6.0	3.0	3.8	3.1	713.4	710.0	705.0	97	65	90	NW	o NW	o NW	o 10	4	10			
Mittel	2.8	6.0	4.0	4.3	—	722.3	721.8	721.5	82	70	76				7.7	7.0	6.5	Summe	23.6	

Januar 1930.
Observatorium.

Genf.

$\lambda = 6^{\circ} 9'$, $\beta = 46^{\circ} 12'$,
 $H_b = 405.0^m$, $G = 0.02^m/m$.

Tag	Lufttemperatur					Luftdruck			Relative Feuchtigkeit			Windrichtung und Stärke			Bewölkung			Niederschlag	Witterung	
	7 ⁰⁰	13 ³⁰	21 ³⁰	Mittel	Abw. vom Normalst.	7 ⁰⁰	13 ³⁰	21 ³⁰	7 ⁰⁰	13 ³⁰	21 ³⁰	7 ⁰⁰	13 ³⁰	21 ³⁰	7 ⁰⁰	13 ³⁰	21 ³⁰			
1	1.6	5.2	1.4	2.7	2.6	733.4	733.9	734.3	96	75	78	E	o NE	1 NE	o 3	1	0	0.3	● *° n (1./2.)	
2	1.4	4.2	2.8	2.8	3.0	733.6	732.1	732.7	87	93	94	SW	1 SW	o SW	o 10	10	0	3.1	● a	
3	0.4	7.6	2.3	3.4	3.4	733.1	732.2	732.0	100	80	94	NW	o SW	o SW	o 3	2	10	0.2	●° abds.-n, ≡ n	
4	-0.6	1.0	0.4	0.3	0.6	728.7	726.9	725.5	100	100	100	NW	o NW	o NW	o 10	10	10	0.3	●° ≡ n-n	
5	1.2	5.0	2.0	2.7	2.8	721.9	719.5	719.3	96	94	82	NNE	o NW	o NW	o 10	9	0			
6	0.0	7.0	1.5	2.8	2.8	723.1	726.9	731.7	95	71	83	NW	o SE	o NW	o 9	7	0			
7	-1.5	5.4	0.2	1.4	1.4	734.0	733.2	732.8	98	78	89	SE	o SE	o SE	o 0	0	0			
8	-2.8	2.4	1.0	0.3	0.8	730.7	728.9	726.7	98	86	87	NW	o SE	o SE	o 0	0	9	6.2	● n (8./9.)	
9	4.2	4.0	3.8	4.0	4.3	728.6	728.4	727.4	90	91	93	SW	o NNE	o NNE	o 10	10	10	1.2	● fr.-abds.	
10	3.0	5.4	1.4	3.5	3.1	725.4	725.0	725.4	97	84	93	NNE	o NNE	o SW	1	10	4			
11	0.4	5.4	3.4	3.1	3.5	723.4	719.1	715.7	94	75	88	SE	1 SSW	o SW	1	10	10	16.2	● abds.-n	
12	3.8	6.0	2.0	3.9	3.8	719.9	723.3	724.1	80	66	89	SW	1 SW	1 SW	1	10	3	4.1	● n-n m.U.	
13	11.2	10.7	6.0	9.3	8.8	729.2	732.0	732.0	65	78	91	SW	1 W	1 SW	1	10	0			
14	2.9	7.6	6.0	5.5	5.9	731.8	730.4	729.4	94	83	90	SSW	o SW	o SW	o 9	6	10			
15	6.0	7.2	6.8	6.7	7.0	728.8	728.4	728.7	94	95	98	NNE	o SSW	o SSW	o 10	10	10	28.2	● n-n m.U.	
16	5.6	8.8	5.8	6.7	6.7	731.4	731.9	733.1	97	71	82	SE	o NNE	1 NNE	2	9	1	6		
17	5.2	6.6	2.8	4.9	4.6	734.0	736.6	739.4	81	74	86	NNE	1 NNE	1 NNE	1	10	0	0		
18	0.2	1.0	0.8	0.7	0.9	740.5	739.5	739.6	100	98	100	SE	o SW	o SE	o 10	10	10		≡ n-n	
19	-0.8	0.6	0.0	-0.1	0.1	736.4	734.7	733.7	100	96	100	SE	1 SW	o SE	o 10	10	10		≡ n-n	
20	-2.0	0.2	-0.4	-0.7	-0.5	732.7	731.8	731.2	100	89	100	SE	o SE	o SE	o 10	10	10		≡ n-n	
21	-1.6	-0.4	0.5	-0.5	-0.1	731.4	730.7	731.4	100	98	99	SW	o SSW	o W	o 10	10	10	0.1	●° n (21./22.), ≡ n-n	
22	1.1	1.8	2.2	2.0	2.2	731.5	731.6	731.3	98	89	94	SW	o SW	o SE	o 10	10	10	0.2	●° n (22./23.), ≡ n-n	
23	0.6	2.8	0.8	1.1	1.0	731.5	730.9	730.2	98	94	92	SW	o NE	o SE	o 10	10	10		≡ n-n	
24	-0.3	2.2	1.7	1.2	1.3	728.3	726.6	725.2	98	93	82	SE	o NE	1 E	1	10	10			
25	0.3	1.8	2.1	1.4	1.5	722.5	721.4	719.9	93	85	94	E	1 NE	o NE	o 10	10	10			
26	1.6	6.0	1.4	3.0	2.5	715.5	713.5	712.6	93	75	81	E	1 SW	o SW	o 10	2	0			
27	0.0	11.2	5.2	5.5	5.2	712.9	713.8	714.4	93	88	84	SW	o S	1 NNE	o 3	1	8			
28	0.4	6.8	5.3	4.2	4.2	716.5	718.8	721.0	96	81	81	SE	o S	o SSW	o 10	0	10			
29	3.4	5.0	3.6	4.0	3.6	721.6	720.4	719.7	88	84	82	SW	o SW	o SW	o 10	10	10			
30	3.2	6.2	3.5	4.3	3.8	719.6	718.0	719.0	91	79	83	SW	o SW	1 NNE	o 10	9	0	0.6	●° a	
31	0.0	4.4	4.7	3.0	3.1	717.7	714.2	710.8	93	77	83	SE	o NNE	o SW	o 0	0	0	6.0	● *° n (31./1.)	
Mittel	1.6	4.8	2.6	3.0	—	727.4	726.9	726.8	94	83	89				8.3	6.8	6.4	Summe	61.7	

$\lambda = 80^{\circ} 33'$, $\beta = 47^{\circ} 23'$
 $H_b = 493.2^m$, $G = 0.08^m/m$.

Zürich.

Januar 1890.
Meteorol. Zentralanstalt.

Tag	Lufttemperatur					Luftdruck			Relative Feuchtigkeit			Windrichtung und Stärke			Bewölkung			Witterung	
	7 ³⁰	13 ³⁰	21 ³⁰	Mittel	Abweich. vom Normalst.	7 ³⁰	13 ³⁰	21 ³⁰	7 ³⁰	13 ³⁰	21 ³⁰	7 ³⁰	13 ³⁰	21 ³⁰	7 ³⁰	13 ³⁰	21 ³⁰		Mittelschlag
1	0.8	2.6	1.4	1.6	2.9	725.1	725.7	725.1	100	89	86	SW	1 W	1 SW	1 10	9	9	0.5	● * 6 ^{3/4} -8, ● 8-12, 13 ^{3/4} -18 ^{3/4} m.U.
2	1.9	6.4	6.2	4.8	6.2	721.7	720.0	723.3	85	78	85	SW	1 W	3 NW	2 10*	7	3	5.4	
3	4.5	8.2	2.2	5.0	6.4	724.6	724.1	722.5	94	70	98	SW	1 S	0 S	0 10	8	0		
4	-1.4	4.7	0.6	1.3	2.7	720.3	718.9	716.7	100	74	96	N	0 SE	0 NW	1 10	2	5		≡ n-10 ^{1/2}
5	-0.3	4.0	0.5	1.4	2.8	714.5	712.2	711.8	100	77	97	SE	1 NW	1 NW	0 7	7	6		≡ fr.
6	-1.1	5.0	2.1	2.0	3.4	715.3	718.9	724.1	99	69	95	NE	0 NW	1 NW	0 4	6	9		
7	-0.8	4.8	0.0	1.3	2.7	726.3	725.4	724.2	100	76	100	NW	0 NW	1 NW	0 3	0	5		
8	-1.9	2.0	-0.4	-0.1	1.4	722.5	720.9	718.8	100	80	91	SE	0 NW	1 NE	0 3	4	6		≡ S-10 ^{1/2}
9	0.2	4.2	2.6	2.3	3.8	720.0	720.9	719.4	92	86	98	SE	1 NW	0 NW	0 8	10	10	2.7	● 10-13 ^{1/2} , 16 ^{1/4} -22
10	2.3	3.4	1.5	2.4	3.9	717.4	717.4	717.4	99	86	96	N	0 S	1 S	1 10	10	4		
11	1.0	5.2	4.4	3.5	5.0	715.4	711.1	706.1	97	72	70	S	0 S	1 S	1 7	6	10	5.0	● 2 ^{1/4} -1 ^{1/4}
12	3.3	4.5	2.3	3.4	4.9	709.8	714.5	713.0	75	67	65	SW	1 SW	1 SW	1 7	3	10	1.8	● 2 ^{3/4} -4, 23 ^{1/4} -23 ^{3/4} , * 9 ^{1/2} -10
13	9.4	11.7	5.0	8.7	10.2	717.2	722.9	723.8	70	40	86	SW	3 SW	2 S	0 10	2	2		● 1 ^{1/2} -2, 5 ^{1/4} -5 ^{1/2} , * n [(13/14), ⊙ P
14	3.3	8.4	4.0	5.2	6.7	723.8	722.6	720.3	79	67	92	SE	1 SE	0 NW	0 3	3	9		● 13 ^{3/4} -n
15	6.0	9.0	6.4	7.1	8.6	720.9	720.3	720.4	86	73	100	SE	0 SE	1 NW	0 10	10	10	0.3	● n-15 ^{1/4} , 21-22
16	4.6	4.8	4.0	4.5	5.9	723.4	725.2	727.5	97	97	100	W	1 W	0 S	0 10	10	10	4.5	
17	3.4	5.4	3.2	4.0	5.4	727.4	729.0	731.5	90	80	86	NE	1 E	1 E	0 10	6	9		
18	0.0	1.8	0.4	0.7	2.1	732.0	731.5	730.3	100	97	100	SE	0 SE	0 SE	0 10	10	10		≡ n-n
19	-1.2	0.0	-0.6	-0.6	0.8	728.7	726.8	725.5	100	99	100	SE	0 NW	1 E	0 10	10	10		≡ n-n m.U.
20	-2.0	0.0	-1.0	-1.0	0.4	724.0	723.3	723.0	100	98	100	NW	0 SE	0 SE	0 10	9	10		≡ n-mittl., 16 ^{1/4} -n
21	-2.2	-0.8	-1.2	-1.4	-0.1	723.3	722.7	723.5	100	100	100	NW	0 NW	1 NE	0 10	10	10		≡ n-n m.U.
22	-1.8	-0.4	-1.6	-1.3	0.0	723.6	723.6	723.8	100	100	100	S	0 N	0 E	0 10	10	10		≡ n-p
23	-1.8	-1.1	-1.3	-1.4	-0.1	723.5	722.9	721.9	100	100	100	E	0 SE	0 NW	0 10	10	10		≡ n-p, abds.-n
24	-2.2	-1.0	-2.0	-1.7	-0.5	720.6	719.2	717.6	100	100	100	S	0 SE	0 E	1 10	10	10		≡ n-p
25	-2.8	1.6	-0.4	-0.5	0.7	715.1	713.7	712.4	97	87	100	W	0 N	0 W	0 10	6	10		
26	-1.3	3.5	0.6	0.5	1.6	708.6	706.6	705.8	100	83	100	NW	0 SW	0 E	0 10	10	3		≡ n-9
27	-1.4	7.6	1.0	2.4	3.5	704.9	707.0	707.5	100	60	98	NW	0 N	1 SW	0 3	4	5		
28	-1.4	0.1	0.8	-0.2	1.2	708.9	709.7	713.2	100	100	100	NW	0 N	0 SW	0 10	10	10	0.3	≡ n-p, abds.
29	1.4	1.8	1.2	1.5	2.5	714.5	713.6	712.1	100	100	94	NW	1 NW	1 NW	1 10	10	10	0.2	● n-9
30	0.8	1.4	2.1	1.4	2.3	710.7	710.5	711.2	96	100	100	NW	0 W	0 SW	0 10	10*	10	3.6	● * n-9, ≡ ● n-n
31	1.6	7.2	0.1	3.0	3.9	710.3	707.5	701.8	100	60	100	SW	0 SW	1 NE	0 10	1	0		
Mittel	0.7	3.7	1.4	1.9	-	719.2	719.0	718.6	95	83	95				8.5	7.2	7.6	Summe 33.3	

$\lambda = 80^{\circ} 30'$, $\beta = 47^{\circ} 3'$
 $H_b = 1787.3^m$, $G = -0.11^m/m$.

Rigi-Kulm.

Januar 1890.
Beobachter: J. Wiget.

1	-7.6	-7.0	-8.0	-7.5	-3.0	615.8	616.2	616.6	98	98	95	W	1 W	1 W	0 0	5	5	6.2		
2	-3.0	-1.4	-1.8	-2.1	2.4	613.5	613.2	615.0	100	100	100	W	4 W	4 W	4 10	10	10	12.2	* n-a, p zeitw., ≡ abds.	
3	-2.8	0.8	3.0	0.3	4.8	617.6	617.3	617.2	100	24	16	W	2 W	2 S	1 7	7	5			
4	3.2	4.6	3.8	3.9	8.4	615.1	614.2	612.8	35	29	26	W	1 S	0 S	2 0	0	0			
5	2.4	5.2	1.2	2.3	6.8	610.3	608.7	608.3	30	32	35	S	3 S	3 S	4 0	5	3			
6	-0.6	2.0	1.2	0.9	5.4	609.9	613.3	617.5	45	40	35	S	3 S	1 S	0 3	3	5			
7	0.4	0.7	-0.4	0.2	4.8	619.1	618.7	617.9	48	59	48	E	1 E	0 W	0 0	0	0			
8	-1.4	1.6	0.4	0.2	4.8	616.1	615.1	614.6	45	40	50	W	0 SE	1 S	3 0	3	3			
9	-3.0	-2.6	-4.0	-3.2	1.4	613.0	613.2	612.4	100	100	100	W	3 NW	0 SW	1 7	10	10	4.7	* 9 ^{1/4} -p	
10	-2.2	-0.8	-3.5	-2.2	2.4	611.2	610.4	610.4	70	58	100	S	1 W	0 W	1 0	7	10		≡ 7-n	
11	-4.4	-1.0	-3.0	-2.8	1.8	608.7	605.7	602.0	45	34	74	W	0 S	1 SW	1 0	5	10	10.8	*	
12	-6.8	-6.0	-4.0	-5.6	-1.0	605.1	603.9	606.5	100	100	90	W	3 W	4 W	4 10	10	10	4.8	* 9 ^{1/4} -p	
13	-1.5	-1.0	2.6	0.0	4.6	611.9	616.7	617.9	100	85	45	W	4 W	3 W	2 10	5	0			
14	2.4	5.5	5.4	4.4	10.0	618.1	618.3	617.1	60	30	23	N	0 S	1 S	0 3	3	3			
15	3.6	1.8	1.4	2.3	6.9	616.5	615.6	615.0	40	55	65	W	1 SE	1 SE	0 7	10	10	20.0	● *	
16	-3.8	-3.2	-3.8	-3.6	1.0	615.7	617.1	618.6	100	100	100	E	1 W	0 SE	1 10	10	10	10.4	* n-12, ≡ zeitw.	
17	-3.8	2.6	2.0	0.3	4.9	618.8	620.6	623.4	100	34	18	E	1 S	1 W	2 0	0	0			
18	1.0	5.0	1.6	2.5	7.1	624.0	624.0	623.5	19	14	18	E	0 W	1 W	0 0	0	3	7		
19	2.4	5.0	3.4	3.6	8.2	621.7	620.4	618.6	11	10	10	W	0 S	0 S	1 0	0	0			
20	3.2	4.5	1.4	3.0	7.6	617.6	617.4	616.6	10	11	14	W	1 S	1 S	0 0	0	0			
21	-0.8	4.3	1.4	1.6	6.2	616.0	615.6	615.8	18	15	21	W	0 SW	0 S	0 0	3	7			
22	-2.8	-0.5	0.0	-1.1	3.5	615.8	616.4	616.4	92	69	38	W	0 SE	0 SE	0 0	0	0			
23	0.0	3.0	0.0	1.0	5.6	616.4	616.2	614.8	30	27	31	SE	0 SW	0 SE	1 0	0	0			
24	-4.2	-1.1	-2.0	-2.4	2.2	612.8	612.1	611.2	61	45	38	SW	1 W	1 SE	2 0	0	0			
25	0.0	2.4	0.8	1.1	5.7	608.7	608.5	607.5	40	35	42	S	3 S	2 S	4 3	0	5			
26	0.6	3.5	2.0	2.0	6.5	607.5	604.7	603.1	42	38	36	S	3 S	4 S	3 3	10	3			
27	2.2	1.8	1.2	1.7	6.2	601.5	602.7	603.3	40	41	45	S	3 SE	2 S	3 3	5	3			
28	1.6	2.6	-1.8	0.8	5.3	603.9	605.0	607.5	45	41	100	SE	1 NE	1 NE	1 3	3	10			
29	-1.7	1.4	2.2	0.6	5.1	608.1	606.5	605.3	54	40	54	NE	0 W	0 SE	0 0	0	0			
30	-5.8	-4.6	-6.0	-5.5	-1.0	604.4	604.0	604.3	100	100	100	W	2 W	1 W	1 10	10	10	16.1	* 2 ^{3/4} -n, ≡ p	
31	-7.0	-6.0	-6.2	-6.4	-1.9	603.6	601.4	597.5	100	98	45	NW	0 SE	1 SE	3 10	0	0	0.8	* 1	
Mittel	-1.3	0.7	-0.3	-0.3	-	612.8	612.7	612.5	61	52	52				3.2	4.2	4.5	Summe 86.0		

Januar 1930.
Beobachter: G. Krättli.

Bever.

$\lambda = 9^{\circ} 53'$, $\beta = 46^{\circ} 33'$
 $H_b = \alpha. 1710^m$, $G = -0.12^m$.

Tag	Lufttemperatur					Luftdruck			Relative Feuchtigkeit			Windrichtung und Stärke			Bewölkung			Niederschlag	Witterung			
	7 ⁰⁰	13 ⁰⁰	21 ⁰⁰	Mittel	Abweich. von Normal.	7 ⁰⁰	13 ⁰⁰	21 ⁰⁰	7 ⁰⁰	13 ⁰⁰	21 ⁰⁰	7 ⁰⁰	13 ⁰⁰	21 ⁰⁰	7 ⁰⁰	13 ⁰⁰	21 ⁰⁰					
1	-10.2	-10.0	-18.4	-15.9	-5.8	622.3	622.4	623.5	86	64	77	NW	o	W	o	W	o	1	0	0		
2	-11.9	-0.6	-1.1	-4.5	5.6	621.2	618.7	621.2	77	57	87	W	o	SW	o	S	1	9	6	8	0.2	△ ab 15 1/2 zeitw.
3	-10.8	-4.2	-9.7	-8.2	2.0	623.7	623.5	624.4	80	60	83	NW	o	NE	o	SW	o	2	1	0		
4	-12.7	-2.3	-11.3	-8.8	1.4	623.5	622.1	622.1	89	65	85	N	o	SW	o	NW	o	1	7	1		
5	-10.1	-0.2	-5.7	-5.3	4.9	619.8	618.8	618.5	90	70	86	SW	o	W	2	NE	o	3	2	4		
6	-5.1	-2.8	-10.9	-6.3	4.0	619.7	621.7	624.8	90	70	87	SW	o	S	o	SE	o	6	8	1		
7	-14.2	-4.0	-14.1	-10.8	-0.5	626.4	625.8	626.1	91	70	82	NE	o	W	o	W	o	1	0	0		
8	-16.4	-3.5	-6.1	-8.7	1.6	625.2	623.5	622.9	88	68	86	W	o	W	o	W	o	5	9	9	1.0	△ ab 22
9	-3.3	1.6	-2.6	-1.4	8.9	620.8	619.3	619.1	92	73	95	W	o	S	o	E	o	10	10	9	0.3	△ a, p zeitw.
10	-5.3	0.3	-6.1	-3.7	6.6	617.9	617.1	617.2	93	70	86	W	1	NE	o	W	o	7	9	9	0.4	* 22 1/2, ∇ seit 20
11	-12.6	-0.6	-2.9	-5.4	4.9	615.2	613.6	609.9	90	65	81	SW	o	W	o	SW	o	2	6	10	1.0	△ 21-n zeitw., * n
12	-4.4	-3.6	-12.6	-6.9	3.4	608.4	613.5	615.3	92	56	70	NE	1	W	2	SW	o	10	9	10	0.5	*
13	-7.8	2.7	-6.7	-3.9	6.4	617.8	621.2	625.2	85	42	68	NE	o	S	2	S	o	9	1	4		
14	-7.3	1.6	-6.5	-4.1	6.2	625.8	625.2	625.5	83	62	86	SW	o	NW	o	NW	o	9	5	10		
15	-3.0	1.2	-0.9	-0.9	9.3	623.8	623.0	622.4	84	75	94	W	o	SW	1	SW	o	9	10	10	4.5	△ ab 15, * 15 1/4-n
16	-1.5	0.4	-3.9	-1.7	8.5	621.0	621.4	623.9	94	78	81	W	o	NW	o	NE	o	10	10	6	4.2	* 9-11, p zeitw.
17	-10.1	-2.8	-12.7	-8.5	1.6	628.0	628.3	631.0	86	66	84	SW	o	W	o	W	o	7	0	0		
18	-15.8	-4.1	-12.5	-10.8	-0.8	681.2	630.2	630.3	86	63	78	SW	o	SW	o	W	o	1	3	2		
19	-10.9	0.1	-11.0	-7.3	2.7	628.1	626.6	627.4	82	59	73	W	o	W	o	W	o	9	4	0		
20	-15.2	-2.6	-12.9	-10.2	-0.3	626.1	623.7	624.2	80	58	77	W	o	W	o	W	o	0	0	0		
21	-14.4	-2.0	-11.9	-9.4	0.4	623.3	622.1	622.9	85	61	76	SW	o	W	o	W	o	1	1	0		
22	-15.6	-3.0	-12.9	-10.5	-0.8	622.9	622.7	624.1	80	60	74	W	o	W	o	W	o	1	0	0		
23	-15.5	-3.4	-13.7	-10.9	-1.3	623.5	622.3	622.3	84	62	76	SW	o	W	1	SW	o	0	0	0		
24	-17.5	-2.4	-8.3	-9.4	0.1	621.2	619.6	620.0	82	55	75	SW	o	NE	o	NW	o	0	0	7		
25	-7.4	0.6	-5.3	-3.4	6.1	618.2	617.4	616.8	83	64	91	SE	o	S	o	NE	o	9	9	6	1.8	△ 11-n zeitw.
26	-3.9	1.7	-4.5	-2.2	7.2	614.1	612.4	612.7	93	72	93	SW	o	SW	1	SE	o	10	9	9	1.0	△ n-10, ab 13 ztw., * 22-n
27	-1.8	3.9	-0.7	0.5	9.8	611.3	610.9	610.8	95	66	73	S	o	NE	o	NE	1	10	9	2	0.0	△ 1
28	-1.8	1.8	-0.5	-0.2	9.0	610.2	611.2	613.1	82	74	91	NE	1	S	o	SW	o	6	10	10*	7.0	* 11 3/4-12 1/2, 14 1/2-n ztw.
29	-8.4	-2.9	-11.7	-7.7	1.4	613.8	612.0	611.9	93	70	86	W	o	S	o	W	o	5	0	0		
30	-18.7	-3.1	-7.1	-9.6	-0.6	610.2	608.7	609.9	83	64	80	W	o	W	1	SW	o	2	3	10		
31	-10.2	-3.7	-5.5	-6.5	2.4	609.2	607.8	606.7	82	63	81	N	o	W	1	SW	o	9	1	3	0.3	△
Mittel	-10.0	-1.5	-8.0	-6.5	-	620.1	619.6	620.2	86	65	82						5.3	4.6	4.5	Summe	22.2	

Januar 1930.
Beobachter: Kapuzinerkloster.

Sitten.

$\lambda = 7^{\circ} 21'$, $\beta = 46^{\circ} 14'$
 $H_b = 548.6^m$, $G = 0.00^m$.

Tag	Lufttemperatur					Luftdruck			Relative Feuchtigkeit			Windrichtung und Stärke			Bewölkung			Niederschlag	Witterung				
	7 ⁰⁰	13 ⁰⁰	21 ⁰⁰	Mittel	Abweich. von Normal.	7 ⁰⁰	13 ⁰⁰	21 ⁰⁰	7 ⁰⁰	13 ⁰⁰	21 ⁰⁰	7 ⁰⁰	13 ⁰⁰	21 ⁰⁰	7 ⁰⁰	13 ⁰⁰	21 ⁰⁰						
1	1.2	3.6	0.0	1.6	2.8	720.5	721.0	722.1	62	54	69	NE	o	NE	o	NE	o	9	1	0			
2	-0.7	1.9	2.8	1.3	2.5	721.2	718.8	719.5	70	78	90	NE	o	NE	o	NE	o	10	10	9	0.4	* 8-13	
3	1.3	5.2	1.0	2.5	3.7	721.0	719.3	719.5	100	63	83	NE	o	N	o	NE	o	9	0	0			
4	-1.2	5.9	5.3	3.3	4.5	717.5	715.3	714.2	78	52	42	NE	o	NE	o	NE	o	0	0	0			
5	4.0	9.5	5.2	6.2	7.4	712.1	709.8	709.5	43	35	49	NE	o	1	N	o	E	o	5	3	3		
6	5.1	9.9	5.4	6.8	8.1	712.3	714.6	719.2	53	40	50	E	o	E	o	NE	o	4	10	0			
7	0.0	5.2	3.6	2.9	4.2	721.7	720.5	720.2	80	53	58	NE	o	NE	o	NE	o	0	0	0			
8	1.0	6.3	5.1	4.1	5.4	719.5	717.9	715.7	57	46	48	NE	o	NE	o	NE	o	1	0	5			
9	3.1	4.2	0.8	2.7	3.9	714.7	715.5	714.6	83	95	100	W	o	1	W	o	W	o	10	10	6.2	● 9-20 1/2	
10	1.3	5.0	2.6	3.0	4.2	712.7	711.7	713.2	98	81	89	W	o	W	o	W	o	4	5	10			
11	-0.3	3.4	1.6	1.6	2.8	712.1	708.4	705.4	82	52	96	W	o	W	o	W	o	0	10	10*	24.4	● * 20 1/2-n	
12	1.0	4.0	-0.8	1.4	2.6	705.5	709.4	712.6	99	63	99	W	o	W	o	NW	o	10	4	10*	10.3	* 21-n, ≡ abds.	
13	1.3	9.6	3.4	4.8	6.0	715.6	718.6	719.9	94	49	75	NW	o	NE	o	NE	o	10	7	0			
14	1.7	7.6	7.0	5.4	6.6	719.8	719.1	717.3	81	56	53	NE	o	NE	o	NE	o	1	8	0			
15	6.3	7.0	4.2	5.8	6.9	717.0	716.5	716.7	55	64	93	NE	o	N	o	1	NE	o	10	10	0.9	● 15	
16	4.5	8.1	3.0	5.2	6.3	717.8	718.2	721.1	97	65	83	NE	o	NE	o	W	o	10	10	2	0.6	● n-8 1/2	
17	0.5	5.0	1.3	2.3	3.3	722.7	723.4	727.0	81	61	78	N	o	N	o	N	o	0	0	0			
18	-0.6	5.8	2.4	2.5	3.4	727.5	726.4	725.7	76	45	66	N	o	N	o	NW	o	0	2	2			
19	0.5	5.7	1.5	2.6	3.5	723.7	721.3	721.1	70	45	82	N	o	N	o	NW	o	2	0	0			
20	-1.6	6.2	1.5	2.0	2.8	720.1	718.2	718.2	73	38	69	N	o	N	o	N	o	0	0	0			
21	-4.8	-0.1	0.0	-1.6	-0.9	718.5	717.3	718.5	100	83	81	N	o	N	o	NW	o	0	4	4			
22	-2.4	3.9	0.2	0.6	1.3	718.9	718.1	719.1	85	52	70	N	o	NW	o	W	o	0	0	0			
23	-1.3	4.6	-0.3	1.0	1.6	719.0	717.2	717.3	73	51	87	NE	o	W	o	W	o	0	0	0			
24	-3.4	3.4	3.2	1.1	1.7	715.9	713.4	713.9	90	57	40	W	o	W	o	NW	o	1	0	1			
25	2.0	9.6	5.0	5.5	6.0	711.4	709.0	708.0	44	31	53	NE	o	N	o	NE	o	0	0	0			
26	5.8	12.7	9.2	9.2	9.6	704.2	702.0	702.3	52	33	38	NE	o	E	3-4	NE	1	10	3	0			
27	8.6	12.1	5.0	8.6	8.9	701.5	701.0	702.2	46	41	74	E	o	E	2-3	W	o	10	3	2			
28	1.7	7.4	4.3	4.5	4.8	703.8	705.0	707.9	98	66	87	W	o	W	o	W	o	3	10	10			
29	4.4	8.9	3.5	5.6	5.8	708.7	707.1	706.7	89	65	92	W	o	W	o	SW	o	10	5	10			
30	3.1	4.1	2.3	3.2	3.3	706.0	705.0	706.0	97	93	94	W	o	W	o	W	o	10	10	10	0.0	● 15-17	
31	0.3	5.3	1.8	2.5	2.5	705.8	703.0	699.3	76	46	45	W	o	W	o	NE	o	1	1	10			
Mittel	1.4	6.2	2.9	3.5	-	715.1	714.3	714.6	77	56	72						4.7	4.4	4.1	Summe	43.8		

Januar 1930.
Beobachter: Observatorium.

Säntis.

$\lambda = 9^{\circ} 20'$, $\beta = 47^{\circ} 15'$.
 $H_b = 2500.1^m$, $G = -0.16^{mm}$.

Table with columns: Tag, Lufttemperatur (7h, 18h, 21h, Mittel, Abweich. vom Normal), Luftdruck (7h, 18h, 21h), Relative Feuchtigkeit (7h, 18h, 21h), Windrichtung und Stärke (7h, 18h, 21h), Bewölkung (7h, 18h, 21h), Niederschlag, Witterung. Rows 1-31 and Mittel.

Januar 1930.
Beobachter: Frl. F. Lombardi.

St. Gotthard (Hospiz).

$\lambda = 8^{\circ} 34'$, $\beta = 46^{\circ} 33'$.
 $H_b = 2102.9^m$, $G = -0.14^{mm}$.

Table with columns: Tag, Lufttemperatur (7h, 18h, 21h, Mittel, Abweich. vom Normal), Luftdruck (7h, 18h, 21h), Relative Feuchtigkeit (7h, 18h, 21h), Windrichtung und Stärke (7h, 18h, 21h), Bewölkung (7h, 18h, 21h), Niederschlag, Witterung. Rows 1-31 and Mittel.

$\lambda = 7^{\circ} 26'$, $\beta = 46^{\circ} 57'$,
 $H_b = 572.2^m$, $G = 0.05^m/m$.

Bern.

Februar 1930.
Tellur. Observatorium.

Tag	Lufttemperatur					Luftdruck			Relative Feuchtigkeit			Windrichtung und Stärke			Bewölkung			Niederschlag	Witterung			
	7 ³⁰	13 ³⁰	21 ³⁰	Mittel	Abw. von Normalst.	7 ³⁰	13 ³⁰	21 ³⁰	7 ³⁰	13 ³⁰	21 ³⁰	7 ³⁰	13 ³⁰	21 ³⁰	7 ³⁰	13 ³⁰	21 ³⁰					
1	0.8	2.2	1.2	1.4	2.5	890.1	890.1	691.9	96	89	93	SSW	o	SSW	o	NW	o	10	10	10	3.3	● * n-n zeitw., ≡ n-10
2	0.6	3.6	2.6	2.3	3.3	692.1	693.5	696.1	92	86	93	SE	o	NE	o	W	1	9	10	10	4.8	● * fr., abds. zeitw., *
3	1.3	4.4	2.2	2.6	3.5	699.1	700.7	701.2	95	83	79	SW	1	W	1	W	o	10	6	10	4.2	* n-9 ¹ / ₄ ziw., ● n-12 ziw. *)
4	3.8	5.7	3.2	4.2	5.1	701.2	701.8	703.1	85	70	80	WSW	1	W	2	SW	o	10	8	7	2.8	● n-11 ziw., 17, 17 ¹ / ₄ -18
5	-0.4	5.9	1.9	2.5	3.3	701.6	701.3	702.4	92	60	84	S	o	SW	o	S	o	8	7	1	0.0	● tr. 15-15 ¹ / ₄ , L fr.
6	1.4	6.0	2.3	3.2	3.9	701.8	701.7	703.0	84	69	92	S	o	E	o	S	o	10	8	10	2.2	● * 8-8 ¹ / ₄ , 21-24 zeitw.
7	2.2	2.4	0.7	1.8	2.4	703.5	705.0	708.5	89	85	86	NE	1	NE	2	NE	1	10	10	10		
8	-0.9	1.0	-0.2	0.0	0.5	710.9	713.3	715.0	80	75	78	NE	3	NE	2	NE	2	8	10	10		
9	-3.8	-3.8	-3.9	-3.8	-3.4	716.9	717.2	716.3	78	78	76	NE	2	NE	2	NE	2	10	10	10		
10	-6.0	-3.9	-3.4	-4.4	-4.1	715.9	715.8	716.9	76	68	68	NE	1	NE	1	NE	1	10	0	0		
11	-7.0	-2.2	-3.1	-4.3	-4.1	716.0	715.6	715.5	81	70	68	NE	1	NE	0	N	o	0	0	0		≡ 7-9 ¹ / ₂
12	-6.6	-0.8	-2.4	-3.3	-3.2	715.9	716.1	718.2	91	66	80	N	o	NE	o	NW	o	10	0	0		
13	-6.4	2.2	-0.8	-1.7	-1.8	718.0	716.9	717.3	89	63	80	S	o	W	o	SW	o	1	0	0		
14	-3.7	4.0	1.6	0.6	0.4	716.9	715.7	716.4	88	56	74	S	1	NW	o	W	1	3	5	8		
15	0.3	6.8	4.0	3.7	3.4	715.3	713.3	710.6	87	60	87	S	o	W	1	WSW	2	9	9	10	4.3	● 23 ³ / ₄ -n
16	0.4	1.8	-2.0	0.1	-0.3	710.5	711.0	711.5	92	89	92	W	o	S	o	NE	o	10	10	10	2.8	* 2 ³ / ₄ -8 m.U., p, abds. ziw., ≡ n-8
17	-3.4	-1.2	-1.0	-1.9	-2.4	709.6	708.6	709.2	86	89	91	NE	1	NE	2	NE	1	10	10	10	1.3	* 8-16
18	-0.8	0.2	-0.2	-0.3	-1.0	710.0	709.7	709.7	79	84	91	NE	2	NE	2	NE	1	10	10	10		
19	-0.9	0.2	-1.2	-0.6	-1.4	710.7	711.8	712.5	82	83	87	E	o	NE	1	NE	1	10	10	10		
20	-1.4	-0.7	-2.0	-1.4	-2.3	711.7	711.8	711.1	86	78	80	NE	o	NE	1	NE	1	10	10	10		
21	-6.6	0.0	-2.2	-2.9	-3.9	711.2	710.6	711.1	90	70	77	NE	o	NE	1	N	o	1	0	0		
22	-6.7	0.9	-0.3	-2.0	-3.1	711.1	711.2	712.4	89	68	81	SW	o	NE	1	NE	1	1	0	10		
23	-1.2	1.8	0.2	0.3	-0.9	713.0	713.6	715.4	88	67	79	N	o	S	o	NE	o	10	10	10		
24	-4.0	2.7	-0.1	-0.5	-1.9	716.8	716.9	716.6	94	63	81	E	o	NE	1	NE	o	9	0	0		
25	-3.0	4.6	0.8	0.8	-0.7	716.6	715.7	714.7	79	55	79	S	o	NE	o	W	o	7	1	0		
26	-2.6	6.2	3.0	2.2	0.6	713.6	712.3	711.5	89	52	76	S	o	N	o	S	o	2	2	10		
27	1.4	8.1	3.8	4.4	2.7	712.2	711.8	712.2	85	56	76	W	o	NE	1	SE	o	9	1	0		
28	-0.6	8.4	3.8	3.9	2.0	713.8	714.6	716.0	92	49	70	SE	o	NE	1	SW	o	1	0	0		
Mittel	-1.9	2.4	0.3	0.3	-	709.9	709.9	710.6	87	71	81							7.4	5.6	6.3	Summe 25.5	

*) 2. ≡ 8¹/₄-9¹/₄, 16-n zeitw. 3. 22¹/₄-23³/₄, ≡ n-7¹/₄.

$\lambda = 6^{\circ} 57'$, $\beta = 47^{\circ} 0'$,
 $H_b = 487.3^m$, $G = 0.06^m/m$.

Neuchâtel.

Februar 1930.
Observatorium.

Tag	Lufttemperatur					Luftdruck			Relative Feuchtigkeit			Windrichtung und Stärke			Bewölkung			Niederschlag	Witterung			
	7 ³⁰	13 ³⁰	21 ³⁰	Mittel	Abw. von Normalst.	7 ³⁰	13 ³⁰	21 ³⁰	7 ³⁰	13 ³⁰	21 ³⁰	7 ³⁰	13 ³⁰	21 ³⁰	7 ³⁰	13 ³⁰	21 ³⁰					
1	0.2	0.8	2.0	1.0	1.4	697.8	697.5	699.5	100	100	96	NW	o	W	1	NW	1	10*	10*	10	7.4	* n-14 m.U., ● 11, 15 ¹ / ₂ -n m.U. ☒
2	1.0	3.5	2.5	2.3	2.6	699.7	701.1	703.9	100	93	96	SE	o	E	1	W	1	10	9	10*	10.4	* ● 8-10, ● 16-n m.U. ☒
3	1.8	4.8	2.9	3.2	3.4	706.7	708.2	709.1	96	88	100	W	2	W	1	NW	1	10*	7	10	10.2	* ● n-12 ¹ / ₂ m.U.
4	3.6	7.0	3.1	4.6	4.7	709.0	709.4	710.8	93	58	88	W	2	W	3	W	2	10*	8	8	(1.0)	● n-8, 14 ¹ / ₄ -18 m.U.
5	0.1	5.1	2.4	2.5	2.6	709.2	708.9	709.7	98	74	88	NW	o	SW	1	NW	1	8	9	8		
6	1.9	6.7	3.3	4.0	4.0	709.4	709.1	710.4	93	73	82	NW	o	SE	1	SW	1	10	3	7	3.6	● ▲ 16 ¹ / ₄ -16 ³ / ₄ m.U.
7	1.5	4.5	0.9	2.3	2.2	711.5	712.7	716.1	95	73	83	NW	o	E	1	E	2	9	10	10		
8	-0.3	0.9	-0.4	0.1	-0.1	719.2	721.4	723.2	87	74	81	E	3	E	3	E	3	10	10	10		
9	-2.8	-3.3	-3.8	-3.3	-3.5	725.1	725.3	724.2	81	78	71	E	3	E	3	E	3	10	10	10		
10	-6.9	-1.2	-2.4	-3.5	-3.8	724.2	723.5	725.1	72	66	63	E	2	E	2	E	2	4	3	2		
11	-7.1	1.2	-2.2	-2.7	-3.1	724.4	723.3	723.5	88	57	64	NE	o	E	1	NE	1	1	2	0		
12	-5.2	2.0	-2.5	-1.9	-2.4	723.7	723.9	728.3	86	62	69	E	1	E	2	NE	1	2	3	0		
13	-6.2	2.4	-1.4	-1.7	-2.3	726.0	725.1	725.3	90	53	80	NE	o	E	1	SW	1	2	4	0		
14	-3.6	4.3	2.6	1.1	0.4	724.8	723.4	724.3	91	65	73	NW	o	SW	1	NW	1	5	7	10	0.7	● n (14/15)
15	1.9	6.3	4.0	4.1	3.3	723.0	721.1	718.1	91	74	83	W	1	W	2	W	2	10	9	10	3.8	● sch. 13, ● tr. 16
16	0.2	1.4	-1.2	0.1	-0.8	718.4	718.7	719.3	79	85	70	NW	1	NE	o	NE	1	10	10	4	0.2	* n-7 ¹ / ₂ , 12-12 ¹ / ₂
17	-1.3	0.4	-0.7	-0.5	-1.5	717.3	716.1	717.3	60	58	76	E	2	E	3	E	2	8	10	10	0.5	* 16 ¹ / ₄ -n m.U.
18	-0.3	0.8	0.5	0.3	-0.9	717.7	717.4	717.4	87	76	82	E	3	E	3	E	2	10	10	10		
19	0.6	0.5	-0.6	0.2	-1.1	718.5	719.5	720.6	86	77	78	E	2	E	2	NE	1	10	10	10		
20	-1.0	-0.4	-1.0	-0.8	-2.2	719.5	719.7	719.1	85	78	73	NE	1	E	1	E	1	10	10	10	0.0	* fl. 8 ¹ / ₄ -12
21	-3.8	3.4	-1.3	-0.6	-2.1	719.1	718.0	719.0	82	55	68	NE	1	E	1	NE	1	2	4	3		
22	-5.4	2.4	0.2	-0.9	-2.5	719.2	719.2	720.5	90	56	72	NE	o	SE	1	E	1	2	5	10		
23	-1.0	2.0	0.7	0.6	-1.1	721.0	721.6	723.3	81	65	71	NE	o	E	1	NE	1	10	10	10		
24	-1.6	3.4	1.4	1.1	-0.8	725.0	724.9	724.3	92	67	70	NE	1	SE	1	N	o	10	8	9		
25	-0.7	5.6	1.6	2.2	0.2	724.5	723.5	722.4	91	59	71	NE	o	SE	1	N	o	8	7	3		
26	-0.8	4.0	3.3	2.2	0.1	721.3	720.1	719.2	92	66	79	W	o	SW	1	N	o	7	10	10	0.8	● n-7 m.U.
27	3.2	9.0	3.4	5.2	3.0	719.9	719.6	719.9	83	66	81	NW	o	S	1	NW	o	8	4	0		
28	-0.3	10.8	4.0	4.7	2.3	722.0	722.3	724.3	92	53	68	NE	o	S	1	N	o	4	2	2		
Mittel	-1.2	3.1	0.8	0.9	-	717.8	717.7	718.4	88	69	78							7.5	7.3	7.0	Summe 38.6	

Februar 1930.
Beobachter: Frt. H. Nager.

Aldorf.

$\lambda = 8^{\circ} 39'$, $\beta = 46^{\circ} 53'$.
 $H_b = 456.3^m$, $G = 0.05^m/m$.

Tag	Lufttemperatur					Luftdruck			Relative Feuchtigkeit			Windrichtung und Stärke			Bewölkung			Niederschlag	Witterung
	7 ⁰⁰	13 ⁰⁰	21 ⁰⁰	Mittel	Abweich. von Normal.	7 ⁰⁰	13 ⁰⁰	21 ⁰⁰	7 ⁰⁰	13 ⁰⁰	21 ⁰⁰	7 ⁰⁰	13 ⁰⁰	21 ⁰⁰	7 ⁰⁰	13 ⁰⁰	21 ⁰⁰		
1	4.0	5.0	3.1	4.0	3.2	701.2	700.6	702.9	75	65	95	S	o S	1 NW	o 10	10	10	2.7	● abs.
2	0.8	6.1	1.4	2.8	1.9	703.0	704.0	706.1	98	63	85	NE	o W	o NW	o 3	3	4	0.0	● ° fr.
3	1.3	5.5	0.8	2.5	1.5	709.6	710.5	712.3	79	63	78	S	o NW	o NW	o 10	8	3		
4	2.7	5.2	3.4	3.8	2.8	711.6	711.9	713.8	74	89	95	NW	o NW	o SW	o 10	4	10		
5	-0.6	9.3	2.1	3.8	2.7	711.9	711.0	713.3	93	28	55	NW	o S	1 E	o 7	3	0		
6	-1.1	6.3	2.5	2.6	1.4	712.4	711.7	712.8	75	38	79	NE	o NW	o E	o 8	3	10		
7	2.7	4.2	2.5	3.1	1.9	713.9	714.8	718.8	88	70	63	W	o NW	o NW	o 10	10	10		
8	0.1	3.8	1.5	1.8	0.5	722.2	723.5	725.9	64	53	70	E	o NW	o NW	o 10	4	10		
9	0.0	-1.1	-1.4	-0.8	-2.2	728.4	728.6	727.3	74	74	73	NW	o NW	o E	o 10	10	10		
10	-4.5	-1.4	-4.6	-3.5	-5.0	726.8	726.0	728.5	85	68	84	S	o NW	o W	o 10	2	0		
11	-3.4	-1.7	-3.7	-2.9	-4.5	727.2	726.7	727.0	64	70	80	NE	o NW	o N	o 10	10	5		≡ abs.
12	-3.2	-0.2	-3.9	-2.4	-4.0	726.7	727.1	729.4	84	65	89	SE	o NW	o S	o 10	8	0		
13	-5.8	2.1	-2.7	-2.1	-3.8	728.9	727.2	727.6	95	62	83	S	o N	o S	o 6	0	0		
14	-3.8	5.5	-0.7	0.3	-1.5	728.0	725.8	726.8	90	51	75	W	o NW	o S	o 3	6	1		
15	-0.1	5.5	1.6	2.3	0.4	726.0	723.8	721.1	79	54	74	SE	o NW	o NW	o 10	7	8	11.0	
16	0.2	1.9	-0.2	0.6	-1.4	721.1	721.2	722.8	100	58	80	NE	o N	o NW	o 10	10	10	1.6	* n-a
17	-1.4	1.4	-2.4	-0.8	-2.9	720.2	718.2	719.9	81	55	68	E	o NW	o NW	o 10	9	8		
18	-4.6	1.8	-1.1	-1.3	-3.4	721.4	720.2	720.8	85	54	75	E	o W	1 E	o 8	4	0		
19	-2.4	1.3	0.3	-0.3	-2.3	722.0	722.4	723.2	95	70	85	S	o NW	o NW	o 10	10	10		
20	0.2	0.9	-0.4	0.2	-2.1	722.5	722.0	721.8	77	68	82	N	o NW	o NW	o 10	10	10		
21	-1.1	1.3	0.0	0.1	-2.3	721.7	720.9	722.0	80	65	79	S	o N	o NW	o 10	10	10		
22	-0.2	2.4	0.6	0.9	-1.6	722.0	722.1	723.2	74	63	80	E	o NW	o NW	o 10	8	10		
23	0.3	2.4	-1.4	0.4	-2.2	724.1	724.1	726.7	84	62	89	E	o NW	o E	2 10	10	4		
24	-2.8	2.8	0.3	0.1	-2.6	727.8	727.7	727.5	94	60	87	E	o NW	o N	o 4	0	0		
25	-1.1	9.3	6.5	4.9	2.0	725.6	723.4	723.1	91	33	34	E	o SE	1 E 2-3	o 0	0	0		
26	3.7	9.8	6.1	6.5	3.5	722.9	722.0	721.5	41	24	30	SE 2-3	S 2	SE 1-2	5	6	0		
27	2.1	12.4	9.4	8.0	4.9	721.2	721.5	722.8	47	32	30	NW	o SE 1-2	S 2	10	0	0		
28	2.9	9.3	2.5	4.9	1.7	724.1	724.9	726.9	78	45	62	NE	o NW	o E	o 0	0	0		
Mittel	-0.5	4.0	0.8	1.4	—	720.5	720.1	721.3	80	56	74				8.0	5.9	5.1	Summe	15.3

Februar 1930.
Observatorium.

Genf.

$\lambda = 6^{\circ} 9'$, $\beta = 46^{\circ} 12'$.
 $H_b = 405.0^m$, $G = 0.02^m/m$.

1	0.4	2.0	1.5	1.3	0.9	705.2	705.6	706.6	96	93	94	SW	o SW	o SW	o 10	10	2	11.0	● * 3-a, p
2	3.0	5.8	3.8	4.2	3.6	707.3	708.4	710.9	83	78	80	NE	o SW	o SW	1 10	9	9	4.2	● ° a, p, n
3	3.8	8.0	4.6	5.5	4.7	714.8	716.3	716.8	87	61	74	SW	o SW	1 SW	1 10	3	10	1.2	● n (3/4.)
4	6.0	9.0	3.8	6.3	5.0	717.1	718.0	719.1	75	63	80	SW	2 SW	2 SW	1 2	9	2	4.2	● p, n
5	3.8	7.0	5.2	5.3	4.6	716.7	716.8	716.6	73	71	69	NW	o SW	1 SW	1 9	9	9		● ° a, p
6	2.0	6.3	4.3	4.2	3.4	716.6	716.6	717.0	89	66	70	SW	o NNE	1 NNE	o 9	2	9		
7	3.6	5.3	2.3	3.7	2.5	718.6	719.4	721.1	87	69	77	NNE	1 NNE	1 NNE	2 10	10	10	0.0	● ° 14
8	1.4	2.8	1.8	2.0	1.0	726.0	728.3	729.3	74	69	72	NNE	2 NNE	2 NNE	2 10	10	10		
9	0.0	-0.2	-1.6	-0.6	-1.9	731.8	731.6	730.9	74	78	59	NNE	2 NNE	3 NNE	2 10	10	10		
10	-3.6	-2.7	-1.0	-2.4	-3.2	731.0	730.9	732.0	65	59	61	NNE	2 NNE	1 NNE	1 10	3	2		
11	-3.6	0.2	-1.0	-1.5	-2.6	731.8	731.0	731.0	65	63	61	NNE	1 NNE	1 NNE	1 0	0	0		
12	-4.6	1.4	-1.0	-1.4	-2.6	730.9	731.5	732.2	81	70	61	NW	o W	1 NNE	o 0	0	0		
13	-5.2	2.8	-0.2	-0.9	-2.1	733.4	732.3	732.5	93	72	81	NW	o NNE	o NNE	o 0	0	0		
14	-0.8	5.6	3.8	2.9	1.6	731.9	731.2	731.9	90	66	95	NW	o NW	o SW	o 10	1	10	1.2	● 18, n
15	2.9	8.6	3.5	5.0	3.1	730.9	729.0	727.7	88	61	83	SW	o SW	1 SW	1 10	5	10	4.3	● * n (15./16.)
16	1.2	2.2	1.0	1.5	-0.3	726.9	726.3	725.5	81	72	62	W	o NNE	1 NNE	2 10	9	5		
17	0.0	1.0	0.6	0.5	-1.2	723.3	722.5	724.0	68	68	71	NNE	3 NNE	3 NNE	2 5	10	10		
18	0.6	2.0	1.6	1.4	-0.4	724.3	724.4	724.5	71	71	73	NNE	1 NNE	2 NNE	2 10	10	10		
19	0.7	2.6	1.6	1.6	-0.3	725.8	726.9	727.5	84	72	72	NNE	o NNE	o NNE	1 10	10	10		
20	0.2	1.1	0.6	0.6	-1.4	726.8	726.8	726.4	81	81	80	NNE	o NNE	1 NNE	1 10	10	10		
21	-1.4	2.2	1.2	0.7	-1.3	726.3	725.8	725.8	88	72	78	NNE	1 NNE	1 NNE	1 10	3	0		
22	-3.6	4.4	3.0	1.3	-0.5	726.7	726.6	728.0	93	63	74	SW	o SSW	1 NNE	1 0	0	10		
23	1.6	4.6	1.4	2.5	-0.1	728.6	728.5	730.9	82	63	81	NNE	o SSW	o SSW	o 9	10	10		
24	0.6	3.8	2.4	2.3	-0.1	732.3	732.1	731.8	88	73	72	SE	o NNE	1 NNE	o 10	8	10	0.0	● * sch. a
25	-0.6	5.8	5.8	3.7	1.7	731.9	730.7	729.7	94	62	73	E	o NNE	1 NNE	1 0	4	9		
26	1.4	5.6	5.8	4.3	2.0	728.6	727.7	727.0	85	63	67	SW	o NW	o SE	o 10	10	10	2.3	● seit 1
27	3.4	4.6	4.0	4.0	1.2	727.1	726.9	727.1	93	88	87	SE	o NW	o NW	o 10	10	10	0.6	● a
28	0.0	0.1	5.6	4.9	2.2	729.4	730.0	731.6	93	57	85	SE	o NNE	1 NNE	o 9	1	0		
Mittel	0.5	4.0	2.3	2.2	—	725.1	725.1	725.5	82	69	75				7.6	6.3	7.0	Summe	29.0

λ = 8° 33', β = 47° 23'
Hb = 493.2 m, G = 0.08 mm.

Zürich.

Februar 1930.
Meteorol. Zentralanstalt.

Tag	Lufttemperatur					Luftdruck			Relative Feuchtigkeit			Windrichtung und Stärke			Bewölkung			Niederschlag	Witterung	
	7 ⁰⁰	13 ⁰⁰	21 ⁰⁰	Mittel	Abw. von Normal	7 ⁰⁰	13 ⁰⁰	21 ⁰⁰	7 ⁰⁰	13 ⁰⁰	21 ⁰⁰	7 ⁰⁰	13 ⁰⁰	21 ⁰⁰	7 ⁰⁰	13 ⁰⁰	21 ⁰⁰			
1	0.1	2.4	2.6	1.7	2.5	697.3	697.0	699.7	98	86	96	N	1NW	1S	10	10	10	1.2	●° 21 ¹ / ₄ -24	
2	0.4	5.4	2.4	2.7	3.4	700.1	701.2	703.6	100	81	98	NE	0N	0SW	0	10	3	0.6	≡ n-8, 9 ³ / ₄ -11	
3	2.3	4.0	0.8	2.3	3.7	706.5	708.3	709.2	98	87	98	SE	1SW	1S	0	8	10	5.2	* 6-6 ¹ / ₂ , ● * 7 ³ / ₄ -12 ¹ / ₂	
4	2.7	6.6	4.4	4.6	6.0	708.6	709.0	710.5	95	79	76	SW	1S	2SW	1	10	9	0.7	● n-17 ¹ / ₂ zeitw.	
5	-0.4	6.6	3.0	3.1	4.5	709.4	708.5	709.5	100	54	87	S	0S	0S	0	5	9	9		
6	1.3	7.2	2.6	3.7	5.1	709.1	708.8	710.4	85	58	91	S	1N	1NE	1	9	6	9	0.3	●° 18-19
7	1.4	2.2	0.0	1.2	2.6	711.1	713.1	716.9	98	91	86	NE	1NE	1E	1	10	10	10	0.3	● n-8 ³ / ₄ , 9-11 ¹ / ₂ , *° 8 ³ / ₄ -9
8	-0.5	1.0	-1.2	-0.2	1.3	719.7	721.3	723.6	83	78	81	NE	1NE	1NE	1	10	10	10		
9	-5.2	-3.7	-6.2	-5.0	-3.5	726.0	726.1	725.3	82	77	67	N	1N	1SE	1	10	9	2		
10	-8.4	-1.5	-4.6	-4.8	-4.8	724.5	723.7	725.1	84	59	79	NE	0NE	2NE	0	2	0	0		
11	-8.2	-0.6	-4.0	-4.3	-4.4	724.2	723.4	723.4	87	61	89	NW	1E	1NE	0	0	0	0		
12	-7.4	2.7	-2.1	-2.3	-2.5	723.4	723.8	725.6	90	51	82	SE	0SE	1NE	0	0	2	0		
13	-6.0	3.8	-1.6	-1.3	-1.6	725.6	724.3	724.3	96	55	86	NE	0NW	1W	0	4	0	4		
14	-3.0	6.3	2.9	2.1	1.7	724.2	723.2	723.4	100	52	75	W	0W	1W	0	10	9	9	0.0	●° 19-19 ¹ / ₂ , ≡ n-9
15	3.2	8.9	5.5	5.9	5.4	722.4	720.4	717.3	75	52	58	W	1S	1W	1	6	6	10	4.5	
16	-0.2	1.6	-2.4	-0.3	-0.9	717.6	718.3	719.1	98	86	100	W	1W	0SE	0	10	10	9	2.2	* 0-8 ¹ / ₂ m.U., 13 ³ / ₄ -14 ³ / ₄ , *)
17	-2.9	-0.8	-1.0	-1.6	-2.3	717.7	716.6	717.0	94	90	91	S	1SW	1NE	1	10	10*	10	2.2	*° 9-18
18	-1.0	-0.2	0.3	-0.3	-1.2	717.9	717.7	717.6	100	99	97	E	1NE	1NE	0	10	10	10	0.7	●° 7-12 ¹ / ₄
19	-0.4	-0.2	-1.0	-0.5	-1.5	718.5	719.6	720.1	91	85	85	NE	1N	1NE	0	10	10	10		
20	-2.0	-0.4	-2.0	-1.5	-2.6	719.6	719.6	718.7	86	75	80	NE	1NE	0E	1	10	10	10		
21	-6.2	1.0	-2.8	-2.7	-3.9	719.1	718.5	718.5	100	65	95	NW	0NE	1NE	0	3	4	3		⊕ p
22	-4.2	-0.5	-3.2	-2.6	-4.0	718.8	719.3	720.4	98	73	88	E	0NE	1N	0	9	10	4		
23	-3.6	0.2	-1.0	-1.5	-3.0	720.8	721.4	723.3	94	80	89	N	0SW	1NE	0	10	10	9		
24	-4.3	3.0	-0.3	-0.5	-2.2	724.6	724.7	724.2	100	70	89	NE	0NW	1SW	0	9	2	5		
25	-4.7	6.7	1.4	1.1	-0.7	724.1	723.3	722.0	100	51	77	SE	0W	1E	1	2	3	5		
26	-0.2	7.8	3.5	3.7	-1.8	721.0	719.2	718.6	86	48	80	NW	0NW	1NW	0	6	6	7		
27	3.0	12.8	3.5	6.4	4.4	719.6	719.0	719.9	81	39	68	N	0NE	1E	1	9	3	4		
28	-1.0	10.0	4.2	4.4	2.3	721.6	722.2	723.7	91	46	76	E	0NE	1N	0	1	0	0		
Mittel	-2.0	3.3	0.1	0.5	-	717.6	717.6	718.2	92	69	84								Summe 17.9	

*) 18. * Δ 16¹/₂-17¹/₄

λ = 8° 30', β = 47° 3'.
Hb = 1787.3 m, G = -0.11 mm.

Rigi-Kulm.

Februar 1930.
Beobachter: J. Wiget.

1	-4.0	-2.8	-5.0	-3.9	0.6	593.4	592.8	594.4	45	41	86	S	3S	2W	0	10	10	10	1.1	*
2	-5.2	-3.5	-5.0	-4.6	-0.1	594.9	596.3	597.6	85	65	62	NE	0E	0SE	1	7	5	10	1.0	*
3	-6.0	-5.4	-6.4	-5.9	-1.4	600.3	601.7	602.7	100	100	100	W	1W	2W	2	10	10	3	7.5	* 9-p
4	-4.0	-4.0	-5.4	-4.5	-0.1	602.1	602.7	603.9	100	100	100	W	3W	2W	3	10	5	10	7.3	* 18 ¹ / ₂ -n
5	-5.0	-2.3	-5.4	-4.2	0.2	602.7	602.9	603.9	50	36	59	W	1SE	1SE	1	5	5	3		
6	-5.0	-3.1	-5.4	-4.5	-0.1	603.2	603.2	603.8	100	70	100	W	0SE	0N	2	10	5	10	0.1	≡ a, abds.
7	-6.8	-6.2	-8.5	-7.2	-2.8	603.8	604.9	607.8	100	100	90	NW	0W	1NE	0	10	10	10	5.0	* 8-p, ≡ a
8	-10.0	-6.8	-9.0	-8.6	-4.2	609.8	611.6	612.8	90	92	90	E	0E	0E	1	10	3	10		≡ a, abds.
9	-8.0	-6.5	-6.8	-7.1	-2.7	614.6	614.2	613.8	90	62	41	SE	2SE	3SE	3	0	0	0		
10	-6.8	-3.0	-4.2	-4.7	-0.3	613.2	613.4	614.8	29	19	19	SE	3SE	4SE	3	0	0	0		
11	-2.8	0.0	-4.6	-2.5	1.8	614.7	614.8	613.9	10	12	15	SE	2SE	0SE	0	0	0	0		
12	-5.4	0.8	-2.2	-2.3	2.0	612.9	614.9	615.9	21	9	15	E	3E	1S	0	0	0	0		
13	-3.0	0.0	0.0	-1.0	3.2	616.1	616.5	616.7	10	20	17	SE	0S	1NW	0	0	0	0		
14	-3.8	1.6	-4.2	-2.1	2.1	616.4	616.2	615.8	25	22	55	SE	1S	1SE	1	3	5	5	0.1	
15	-5.4	-3.1	-5.0	-4.5	-0.3	614.6	613.3	611.3	89	60	80	W	1W	0W	2	5	3	10	14.0	
16	-9.0	-8.0	-10.6	-9.2	-5.1	608.8	609.3	609.3	95	92	90	W	1E	1NE	2	10	10	10	5.4	* n-14, 17-n
17	-12.0	-9.0	-11.0	-10.7	-6.6	607.4	606.9	607.1	90	90	90	NE	2N	1S	0	10	10	10	0.8	* ≡ n-n
18	-10.8	-7.3	-6.0	-8.0	-3.9	608.3	608.3	608.9	92	95	56	E	1E	0SE	2	5	3	5		≡ a zeitw.
19	-5.0	-2.0	-10.0	-5.7	-1.7	609.9	610.2	610.3	40	40	31	SE	3E	0E	0	0	0	0		≡ a, abds.
20	-10.0	-6.3	-10.0	-8.8	-4.8	609.7	609.7	609.7	97	95	95	SE	0SE	0SE	0	10	10	10		≡ n-n
21	-6.8	-0.8	-1.4	-3.0	1.0	609.7	609.7	609.9	44	26	33	SE	1SE	1SE	1	3	5	0		
22	-6.4	-3.0	-6.2	-5.2	-1.3	609.7	610.3	611.1	61	55	85	W	1W	0SE	0	0	0	0		
23	-9.0	-7.0	-8.4	-8.1	-4.2	611.4	612.5	613.7	98	100	100	W	0W	1W	0	10	10	10	1.3	* p zeitw., ≡ a
24	-8.0	-3.8	-6.4	-6.1	-2.2	614.8	615.4	615.8	55	47	46	SE	1S	1SE	1	3	0	0		
25	-7.0	-3.2	-4.0	-4.7	-0.9	615.8	615.8	615.2	48	40	31	SE	0SE	1SE	0	0	0	3		
26	-3.0	0.8	-2.8	-1.7	2.1	614.0	613.3	612.8	32	30	36	SE	1SE	1SE	2	3	3	3		
27	-2.6	-0.6	-1.8	-1.7	2.0	612.8	612.8	613.2	60	41	41	SE	1S	2S	3	5	5	0		
28	-1.0	-1.0	-1.2	-1.1	2.6	614.7	615.8	618.9	40	40	43	S	1S	1S	0	0	0	0		
Mittel	-6.1	-3.4	-5.6	-5.1	-	609.3	609.6	610.1	64	57	61								Summe 43.6	

Februar 1930.
Beobachter: G. Krättli.

Bever.

$\lambda = 9^{\circ} 53'$, $\beta = 46^{\circ} 33'$
 $H_0 = a. 1710^m$, $G = -0.12 \frac{m}{m}$.

Tag	Lufttemperatur					Luftdruck			Relative Feuchtigkeit			Windrichtung und Stärke			Bewölkung			Niederschlag	Witterung
	7 ⁰⁰	13 ⁰⁰	21 ⁰⁰	Mittel	Abweich. vom Normal.	7 ⁰⁰	13 ⁰⁰	21 ⁰⁰	7 ⁰⁰	13 ⁰⁰	21 ⁰⁰	7 ⁰⁰	13 ⁰⁰	21 ⁰⁰	7 ⁰⁰	13 ⁰⁰	21 ⁰⁰		
1	-6.3	-2.2	-4.0	-4.2	4.6	603.8	601.1	601.8	88	62	83	N	oN	2NE	2	10	4	5.0	$\Delta 8^{\circ}/s-10^{\circ}/s$, $13^{\circ}/s-n$ ztw. *
2	-7.1	0.0	-14.9	-7.3	1.4	602.0	602.8	605.8	90	61	82	W	oS	oW	0	8	6		
3	-18.0	-2.6	-13.9	-11.5	-2.9	607.5	607.7	610.0	85	57	80	SW	oNE	oW	0	4	3		
4	-14.0	-0.6	-12.7	-9.1	-0.6	610.1	609.3	611.2	81	52	77	S	oS	2W	0	4	3		
5	-18.6	-3.6	-14.3	-12.2	-3.8	610.9	610.5	611.6	85	63	81	SW	oN	oW	0	1	1		
6	-18.2	-5.1	-13.3	-12.3	-4.0	610.2	608.7	609.5	87	59	76	W	oSW	oN	0	1	4		
7	-13.4	-1.8	-8.6	-7.9	-0.3	609.4	610.0	613.6	83	57	76	SW	oSW	oN	1	9	6		
8	-15.8	-5.4	-9.4	-10.2	-2.1	617.1	618.2	620.7	83	64	78	NW	oS	oS	0	6	2		
9	-18.4	-6.5	-17.1	-14.0	-6.0	622.7	622.3	623.1	88	64	74	NW	oW	oW	0	0	1		
10	-21.0	-6.8	-15.6	-14.5	-6.6	623.5	623.0	624.7	84	58	69	NW	oW	oS	0	1	1		
11	-18.9	-4.2	-15.1	-12.7	-4.9	623.3	621.0	620.8	77	55	73	NW	oS	oNE	0	0	0		
12	-19.3	-3.3	-14.3	-12.3	-4.6	621.6	622.4	624.7	79	53	69	SE	oS	oW	0	0	1		
13	-17.1	-0.2	-12.0	-9.8	-2.2	624.5	624.0	625.7	78	45	71	SW	oSW	1NE	0	0	0		
14	-17.4	0.0	-6.7	-3.0	-0.5	624.9	623.9	623.4	83	50	89	SW	oSE	oS	0	0	4	0.0	Δ
15	-14.4	-1.8	-5.7	-7.3	0.1	621.5	619.2	617.4	90	60	88	SW	oS	oW	0	7	4	0.0	Δ
16	-12.0	-4.3	-8.3	-8.2	-0.9	614.5	613.9	614.4	86	65	75	W	oW	oNW	0	7	10	2.0	$\Delta 8^{\circ}/s-14$, $18-n$
17	-9.3	-6.8	-9.6	-8.6	-1.5	612.8	611.9	615.0	76	69	87	N	1NE	1NE	1	10	9	0.2	$\Delta 8-16$
18	-14.8	-3.2	-10.1	-9.4	-2.4	615.3	614.2	616.5	87	65	83	W	oNE	1S	0	10	4		
19	-12.8	-3.4	-11.2	-9.1	-2.2	617.9	616.5	617.0	95	61	82	NW	1E	oW	1	10	1		
20	-17.2	-4.4	-12.9	-11.5	-4.7	616.7	615.9	617.2	86	59	80	NW	oE	oW	1	1	1		
21	-15.8	0.0	-10.5	-8.8	-2.1	616.6	616.2	617.4	86	57	82	N	oNE	2NE	0	2	1		
22	-16.3	-2.6	-13.0	-10.6	-4.0	616.5	616.8	618.2	88	58	78	SW	oE	oSW	0	1	0		
23	-13.2	-5.0	-8.9	-9.0	-2.6	617.8	618.3	621.2	86	78	88	W	oSW	1W	0	1	7	0.3	$\Delta 14^{\circ}/s-n$ zeitw.
24	-9.6	-4.4	-14.6	-9.5	-3.2	622.3	622.1	623.1	85	64	83	W	1SW	1W	1	6	2		
25	-20.1	-4.0	-12.3	-12.1	-5.9	623.3	622.3	623.2	84	63	81	W	oS	oW	1	0	1		
26	-10.8	-5.6	-11.7	-9.4	-3.3	622.6	621.7	622.0	77	72	84	W	1S	1SW	0	9	1	0.0	$\Delta 7^{\circ}/s-9$, 23
27	-14.7	1.0	-5.9	-6.5	-0.5	621.4	620.8	622.8	88	58	93	SW	oSW	oSW	0	6	4		
28	-10.0	-8.6	-4.5	-7.7	-1.8	622.8	623.0	624.4	94	65	85	SW	oS	oW	0	1	2		
Mittel	-14.8	-3.4	-11.1	-9.8	-	616.9	616.4	617.7	85	60	80				4.1	3.2	2.4	Summe: 7.5	

Februar 1930.
Beobachter: Kapuzinerkloster.

Sitten.

$\lambda = 7^{\circ} 21'$, $\beta = 46^{\circ} 14'$
 $H_0 = 548.6^m$, $G = 0.00 \frac{m}{m}$.

1	2.1	5.0	1.8	3.0	2.9	695.7	692.1	695.4	73	76	90	NW	oW	oSW	0	10	8	0.1	* 8-8 ^{3/4} , \bullet° 16, \equiv abds.
2	0.9	7.4	3.3	3.9	3.7	695.9	696.3	699.0	84	49	85	SW	oNE	oW	0	8	8	1.8	\bullet n (2./3.), \sqcup fr.
3	1.6	6.3	3.2	3.7	3.4	702.7	703.5	704.5	100	64	78	N	oW	oS	0-1	10	3	5.8	\bullet° a
4	1.0	6.0	3.3	3.4	3.0	705.3	705.4	706.7	100	74	84	S	oS	oW	0	10	6	3.8	\bullet * n-7, * 8-9, \bullet 21-n \boxtimes
5	-0.8	4.4	1.8	1.8	1.3	706.0	704.9	705.6	87	49	54	W	oW	oNW	0-1	2	2		\sqcup fr.
6	0.3	5.9	1.6	2.6	2.0	704.8	703.6	705.2	67	37	70	N	oN	oNW	0	10	2		
7	0.9	5.8	2.2	3.0	2.3	705.7	706.1	708.6	65	48	76	NW	oNW	oSW	0	8	4		
8	-1.4	4.7	-0.3	1.0	0.2	712.9	714.1	717.1	78	47	79	NE	oSW	oW	0	3	0		
9	-3.0	6.2	-1.6	0.5	-0.4	718.6	717.3	717.7	86	36	92	E	oW	oSW	0	0	0		\sqcup fr.
10	0.4	7.5	-1.4	2.2	1.2	718.2	717.0	719.1	42	28	81	NW	oNW	oE	0	8	1		
11	-1.1	4.1	-1.6	0.5	-0.6	717.8	716.4	717.9	43	53	85	E	oS	0-1W	0	0	0		
12	-4.8	3.6	-1.0	-0.7	-2.0	718.0	717.5	720.7	96	46	80	NE	oW	oW	0	0	0		\sqcup fr.
13	-3.6	4.8	0.3	0.5	-0.9	720.6	718.6	719.9	86	44	69	NE	oW	0-1SW	0	0	0		\sqcup fr.
14	-1.1	10.4	3.6	4.3	2.8	719.7	717.4	718.8	72	27	66	NE	oNW	oSW	0	10	5		\sqcup fr.
15	0.9	8.0	4.8	4.6	3.0	718.3	715.8	713.7	93	42	62	NE	oNW	oNW	0	10	10	1.2	
16	0.6	2.1	-0.6	0.7	-1.0	711.7	712.0	712.0	82	62	72	W	3-4SW	1W	0	10	10		* fr.
17	-2.0	1.5	-0.8	-0.4	-2.3	710.3	709.1	711.1	85	61	98	N	oNE	oNE	0	10	4	0.2	* \bullet° 8-10, \sqcup fr.
18	-2.8	2.8	0.2	0.1	-1.9	711.7	710.6	711.6	95	62	74	NE	oE	0-1W	0	4	10		\sqcup fr.
19	-2.6	4.4	0.2	0.7	-1.4	713.1	712.7	714.2	92	55	78	NW	oSW	0-1W	0	0	0		\sqcup fr.
20	-0.2	4.8	0.1	1.6	-0.7	713.6	712.5	713.4	87	42	74	NE	oSW	oW	0	10	1		
21	-3.4	2.7	0.0	-0.2	-2.6	713.3	712.6	713.3	87	73	77	N	oE	1W	0-1	1	3		\sqcup fr.
22	-2.0	4.2	0.1	0.8	-1.8	713.4	713.3	715.0	96	60	76	NE	oSW	oNW	0	10	5		\sqcup fr.
23	0.0	2.6	0.4	1.0	-1.7	715.5	715.8	717.9	86	66	77	NW	oNW	oW	0	10	10		
24	-2.0	5.9	0.8	1.6	-1.3	720.1	719.3	719.8	74	31	44	NE	oW	oNE	0	5	0		\sqcup fr.
25	-2.3	5.6	1.9	1.7	-1.3	720.9	718.9	718.4	54	32	46	NE	oNE	oNE	0	0	0		
26	-0.7	7.4	5.0	3.9	0.8	718.5	715.8	715.7	47	33	38	NE	oNE	oNE	0	0	1		
27	2.6	10.9	6.3	6.6	3.3	715.7	714.4	715.8	52	33	44	NE	oNE	oNE	0	10	4		
28	2.4	12.0	6.3	6.9	3.5	712.7	717.1	719.3	58	33	47	NE	oNW	oNE	0	0	0		
Mittel	-0.7	5.6	1.4	2.1	-	712.5	711.8	713.1	77	49	71				5.7	3.5	4.3	Summe: 12.7	

λ = 8° 57', β = 46° 0'.
Hb = 276.2 m, G = 0.03 mm.

Lugano.

Februar 1930.
Beobachter: G. Malatesta.

Tag	Lufttemperatur					Luftdruck			Relative Feuchtigkeit			Windrichtung und Stärke				Bewölkung			Niederschlag	Witterung
	7 ⁰⁰	13 ⁰⁰	21 ⁰⁰	Mittel	Abweich. vom Normalst.	7 ⁰⁰	13 ⁰⁰	21 ⁰⁰	7 ⁰⁰	13 ⁰⁰	21 ⁰⁰	7 ⁰⁰	13 ⁰⁰	21 ⁰⁰	7 ⁰⁰	13 ⁰⁰	21 ⁰⁰			
1	1.2	1.6	0.2	0.6	-1.4	722.0	717.8	717.4	95	99	99	N	N	N	10	10*	10*	12.8	● n-23 ¹ /s m.U., * a, p, ztw.	
2	1.0	4.6	1.4	2.3	0.2	719.4	721.0	723.8	99	71	89	W	SW	N	10	10	0			
3	-0.8	7.4	1.0	2.7	0.6	724.8	725.5	727.5	84	43	73	N	SSW	N	0	0	0			
4	0.2	7.0	1.4	2.9	0.7	729.1	729.2	730.8	72	41	75	N	S	N	0	5	0			
5	1.0	5.4	1.8	2.7	0.4	731.1	730.6	730.9	80	47	70	N	S	N	10	10	7			
6	-0.6	6.0	2.0	2.5	0.1	728.4	727.4	727.5	73	41	87	N	S	N	0	0	2			
7	-1.2	5.0	2.6	2.1	-0.4	727.7	728.4	729.7	97	62	69	N	S	N	10	0	0			
8	2.2	8.4	3.6	4.7	2.1	736.0	738.2	741.3	58	33	59	N	S	N	0	7	2	10		
9	3.4	4.0	2.0	3.1	0.4	744.5	746.2	746.8	67	49	62	N	N	N	10	10	10			
10	0.8	4.2	-0.8	1.4	-1.4	747.3	746.8	747.0	45	36	61	N	S	N	10	0	0			
11	-3.4	5.8	0.6	1.0	-1.9	745.6	742.6	741.6	69	35	58	N	S	N	0	0	0			
12	-2.8	6.3	0.8	1.6	-1.4	742.8	743.2	745.9	58	35	57	N	S	N	0	0	0			
13	-2.0	8.0	1.0	2.3	-0.8	746.5	746.3	748.0	64	38	68	N	S	N	0	0	0		└ fr.	
14	-1.2	5.6	2.2	2.2	-1.0	748.1	747.1	745.8	71	47	70	N	SE	N	0	7	10	10		
15	1.6	6.4	1.6	3.2	-0.1	743.3	740.7	739.6	83	56	69	N	ESE	N	10	10	0			
16	-0.2	5.4	5.0	3.4	0.0	735.2	733.6	732.7	86	56	58	N	NNE	NNE	1	7	10	10		
17	2.6	2.3	2.2	2.5	-1.0	731.3	732.4	735.7	64	80	90	NNE	NNE	NW	0	10	10	10		* ^o a, p
18	0.6	6.0	3.0	3.2	-0.4	734.4	733.6	736.9	83	55	79	N	S	N	0	5	9	10		● 20-n
19	1.2	7.0	3.2	3.8	0.1	737.7	738.0	738.1	98	54	63	N	S	N	0	3	10	10		● n-5, 21 ¹ /s-n
20	-1.2	6.0	2.2	3.1	-0.8	738.9	738.1	739.3	65	35	67	N	S	N	10	8	10			● n-1 ¹ /s
21	1.0	5.6	1.6	2.7	-1.3	738.0	738.4	738.4	80	50	73	N	S	N	10	10	0			└ fr.
22	1.0	7.0	3.0	3.7	-0.4	737.9	738.7	739.1	77	39	57	N	S	N	10	0	10	10		
23	1.6	2.6	1.4	1.9	-2.3	741.3	743.0	744.5	50	37	76	W	W	W	10	10	10	10		* ^o n (23./24.)
24	0.4	4.8	2.2	2.1	-2.2	746.9	746.3	746.1	86	40	59	W	S	N	10	10	0			
25	-0.6	4.4	2.4	2.1	-2.4	747.2	746.8	747.4	69	44	56	NNE	SW	N	0	3	6	10		
26	1.6	4.6	2.2	2.8	-1.8	746.7	746.0	744.9	57	39	67	S	SE	N	10	9	10			
27	0.6	5.4	3.2	3.1	-1.6	744.0	743.8	744.2	73	51	87	N	S	N	0	8	10	10		
28	2.4	7.4	4.2	4.7	-0.1	744.8	745.0	745.8	89	60	72	NNW	SSW	N	10	10	10			
Mittel	0.5	5.5	2.0	2.7	—	737.9	737.7	738.5	75	49	70				7.0	6.3	5.6	Summe 16.2		

λ = 7° 35', β = 47° 33'.
Hb = 318 m, G = 0.13 mm.

Basel.

Februar 1930.
Astronom.-Meteorol. Anstalt.

1	1.6	2.5	3.1	2.4	—	711.9	712.2	713.4	85	94	91	ENE	ESE	ESE	1	10	10	10	5.0	● 7 ¹ /s-14, 18 ¹ /s-19 ¹ /s
2	2.0	8.2	4.6	4.9	—	714.2	715.1	718.0	93	63	84	E	WNW	E	0	9	7	10	2.9	● 20 ¹ /s-23
3	2.9	7.4	2.4	4.2	—	721.1	722.5	722.8	93	62	84	E	SW	ESE	1	10	10	10	2.5	● 3-8 m.U., 23 ¹ /s-n
4	6.2	7.1	5.1	6.1	—	722.8	723.4	725.2	69	68	69	WSW	WSW	SSW	1	10	6	10	0.4	● n-6, ● Δ 12 ¹⁰ -12 ²⁰
5	0.9	6.0	3.2	3.4	—	723.4	723.1	724.4	85	69	83	ESE	ESE	ESE	1	10	10	8	0.1	● 13 ¹ /s-14 ¹ /s
6	2.4	7.5	3.0	4.3	—	724.2	724.3	726.3	89	66	93	E	NW	NW	1	10	10	10	1.7	● 7-7 ¹ /s, ● Δ 21 ¹ /s-22 ¹ /s
7	0.6	1.5	0.1	0.7	—	727.8	729.2	733.0	98	96	85	WNW	NW	NNW	1	10	10	10	1.4	● * Δ n-mitt., ● p, * Δ n. [≡ 7 ¹ /s-p]
8	-0.9	0.9	0.4	0.1	—	736.2	737.9	739.9	88	87	61	NW	WNW	E	1	10	10	10		
9	-3.3	0.0	-3.9	-2.4	—	742.3	742.4	741.8	62	51	42	ENE	ESE	ESE	2	8	0	0		
10	-7.7	0.3	-1.7	-3.0	—	741.3	740.3	741.0	73	49	47	WNW	WNW	E	1	2	0	0		└ fr.
11	-7.0	0.2	-3.8	-3.5	—	740.8	740.0	739.7	71	49	78	E	NNW	SE	1	1	1	0		
12	-8.3	2.4	-2.4	-2.8	—	740.1	740.0	741.8	93	57	80	ESE	NW	ESE	0	1	1	0		
13	-6.9	6.1	-1.4	-0.7	—	741.6	740.2	740.3	87	43	81	SE	ESE	ESE	1	0	0	0		
14	-4.5	5.4	2.3	1.1	—	740.3	739.3	739.2	85	59	80	ESE	ESE	E	1	3	10	9	1.0	
15	0.9	7.6	3.0	3.8	—	738.3	736.0	732.4	94	64	87	SE	WNW	ESE	1	8	10	10	2.4	● 0 ¹ /s-1 ¹ /s, 15 ¹ /s-n m.U., ⊕ 12
16	0.6	3.4	-2.1	0.6	—	733.6	734.0	735.2	87	70	92	WSW	WSW	SSW	1	10	10	6	2.2	* 1 ¹ /s-4, 14 ¹ /s-14 ¹ /s, *)
17	-2.9	0.0	-0.5	-1.1	—	734.4	733.1	733.6	96	77	88	SSE	NNW	N	1	10	10*	10	0.3	* 12 ¹ /s, ● 14 ¹ /s-15
18	-1.0	0.0	-0.2	-0.4	—	734.4	734.1	733.8	91	83	88	W	N	W	1	10	10*	10	0.0	● 2 ¹ /s-2 ¹ /s, * fl., ● tr. p
19	-1.4	1.3	0.4	0.1	—	734.8	735.7	736.5	90	68	71	NW	NNE	ESE	0	10	10	10		
20	-0.9	1.5	-2.7	-0.7	—	736.1	735.9	735.3	83	68	79	WNW	SSW	ESE	0	10	10	0	0.0	* fl. 12 ¹ /s
21	-4.3	3.0	-2.2	-1.2	—	735.4	734.3	734.7	80	56	85	E	W	SSW	1	2	0	0		
22	-5.9	3.0	-1.0	-1.3	—	735.2	734.9	736.3	93	62	72	ESE	WNW	ESE	1	0	4	9		└ fr.
23	-3.3	0.4	-0.6	-1.2	—	736.9	737.4	739.4	82	66	84	E	NW	N	0	10	10	10	0.0	* fl. 18 ¹ /s-20
24	-2.4	6.0	2.0	1.9	—	740.8	740.4	739.8	86	50	71	ESE	ESE	ESE	1	10	1	1		└ fr.
25	0.5	6.2	4.4	3.7	—	739.6	738.6	737.6	70	50	63	E	ESE	E	1	10	3	9		
26	2.3	8.2	3.5	4.7	—	736.1	734.9	734.4	59	43	80	ENE	ESE	SW	1	5	10	10		
27	3.3	13.4	3.3	6.7	—	735.0	734.4	735.3	75	44	90	E	N	SW	1	10	1	10		
28	-1.4	10.0	1.6	3.4	—	737.5	738.1	739.9	92	48	89	ENE	WNW	ESE	1	1	0	0		└ fr.
Mittel	-1.4	4.3	0.7	1.2	—	733.4	733.3	734.0	84	63	78				7.1	6.2	6.5	Summe 19.9		*) 16. ● Δ 13 ¹ /s-14 ¹ /s

Februar 1980.
Beobachter: Observatorium.

Santis.

$\lambda = 9^{\circ} 20'$, $\beta = 47^{\circ} 15'$.
 $H_0 = 2500.1^m$, $G = -0.16^m$.

Tag	Lufttemperatur					Luftdruck			Relative Feuchtigkeit			Windrichtung und Stärke			Bewölkung			Wiederschlag	Witterung
	7 ⁰⁰	13 ⁰⁰	21 ⁰⁰	Mittel	Abw. von Normal	7 ⁰⁰	13 ⁰⁰	21 ⁰⁰	7 ⁰⁰	13 ⁰⁰	21 ⁰⁰	7 ⁰⁰	13 ⁰⁰	21 ⁰⁰	7 ⁰⁰	13 ⁰⁰	21 ⁰⁰		
1	-9.1	-7.2	-9.2	-8.5	0.6	543.1	542.0	542.8	100	100	100	SW 2	SSW 4	SSW 2	10	9	6	12.5	* sch. ab 16, * n
2	-10.3	-7.6	-10.0	-9.3	-0.2	543.3	544.7	546.3	100	100	100	SW 1	S 1	S 1	7	6	8	3.0	
3	-10.3	-10.0	-11.8	-10.6	-1.6	548.3	548.8	549.8	100	100	100	WSW 2	WSW 2	WSW 2	10**	10**	3	31.1	* III + n-20
4	-8.5	-8.2	-10.5	-9.1	-0.1	549.4	549.9	550.6	100	100	100	WSW 3	WSW 2	WSW 2	10**	10**	10**	6.5	* III + n-n
5	-12.1	-8.8	-10.6	-10.5	-1.5	550.3	550.5	551.1	100	90	91	WSW 3	SSW 1	SW 2	4	5	7		+ I
6	-10.2	-8.9	-11.5	-10.6	-1.6	550.5	550.4	550.7	100	100	100	WSW 0	NE 1	NE 1	8	4	8	4.1	III zeitw., p-20
7	-11.8	(-11.4)	-13.5	-12.0	-3.2	550.9	551.6	553.8	100	100	100	NE 2	NE 1	NE 1	10**	10**	10**	15.1	* III + n-n
8	-13.6	-10.4	-12.0	-12.0	-3.0	556.1	557.9	559.5	100	81	90	NE 2	SE 1	SSW 2	6	3	1		
9	-11.8	-10.6	-10.6	-11.0	-2.0	561.1	561.6	561.0	90	71	50	NE 1	S 2	SE 2	1	1	0		
10	-11.2	-7.3	-7.5	-8.7	0.3	560.6	561.3	562.7	43	45	40	SE 2	ESE 3	S 2	1	1	0		
11	-7.0	-5.3	-6.0	-6.1	2.8	561.8	561.2	561.0	28	33	18	S 2	SE 2	ENE 2	0	1	0		
12	-5.2	-2.7	-3.5	-3.8	5.1	561.1	562.6	564.2	25	21	28	E 3	E 2	SE 2	1	2	0		
13	-3.2	0.2	-4.3	-2.4	6.5	564.2	563.8	563.9	25	30	41	S 1	S 2	SSW 3	1	1	0		
14	-6.5	-4.8	-9.8	-7.0	1.9	563.0	563.1	562.4	45	58	100	S 2	SSW 2	S 1	2	6	2	0.5	
15	-9.5	-9.5	-11.0	-10.0	-1.1	560.7	559.0	556.8	100	100	100	SSW 1	WSW 3	WSW 3	10**	10	10	14.2	* n-a, III n-20 m.U.
16	-13.5	-14.0	-15.8	-14.4	-5.5	554.3	554.5	554.7	100	100	100	WSW 2	NW 1	NW 1	10**	10**	10	22.1	* III + n-abds.
17	-17.2	-15.4	-11.2	-14.6	-5.7	552.8	552.3	554.6	100	100	85	NNE 2	NE 2	NE 3	10**	10	4	0.8	* n-a, III n-p
18	-9.2	-7.9	-9.0	-8.7	0.1	555.2	555.3	556.3	70	65	70	NE 2	E 3	E 2	9	4	2		
19	-8.2	-7.0	-10.0	-8.4	0.4	557.1	557.0	557.2	45	56	81	ESE 1	E 1	NE 1	3	2	1		
20	-11.6	-9.0	-11.0	-10.5	-1.7	555.8	556.0	555.6	70	30	60	NE 2	NE 2	SE 2	1	0	0		
21	-8.8	-5.4	-4.8	-6.3	2.5	556.8	557.8	557.9	60	55	50	E 3	E 2	SE 1	3	4	1		
22	-8.0	-4.2	-7.0	-6.5	2.2	556.3	557.5	558.4	88	75	80	WSW 2	SSW 2	SE 1	1	1	0		
23	-9.2	-7.0	-12.0	-9.3	-0.6	557.4	557.6	559.2	80	85	100	SSW 1	SSW 2	SSW 2	1	4	4		
24	-11.0	-10.4	-12.6	-11.3	-2.6	560.7	561.4	561.6	75	86	100	S 2	S 1	S 1	9	2	0		
25	-11.6	-8.0	-9.5	-9.7	-1.1	561.5	561.9	561.6	86	76	75	S 1	SW 2	SW 3	1	2	2		
26	-8.3	-6.1	-6.8	-7.1	1.5	560.7	560.3	559.8	95	70	75	WSW 1	S 1	S 2	3	3	10*	0.5	* fl. a, abds. zeitw.
27	-6.8	-4.5	-6.4	-5.9	2.7	559.9	560.2	561.1	100	100	100	S 1	S 3	S 2	9*	7	1	0.0	* fl. a zeitw.
28	-5.6	-3.0	-6.6	-5.1	3.4	562.0	563.0	564.1	73	75	90	S 1	S 2	S 2	1	1	0		
Mittel	-9.6	-7.7	-9.4	-8.9	-	556.2	556.5	557.1	79	75	79				5.0	4.6	3.6	Summe 110.4	

Februar 1980.
Beobachter: Fr. F. Lombardi.

St. Gotthard (Hospiz).

$\lambda = 8^{\circ} 34'$, $\beta = 46^{\circ} 33'$.
 $H_0 = 2102.9^m$, $G = -0.14^m$.

Tag	Lufttemperatur					Luftdruck			Relative Feuchtigkeit			Windrichtung und Stärke			Bewölkung			Wiederschlag	Witterung
	7 ⁰⁰	13 ⁰⁰	21 ⁰⁰	Mittel	Abw. von Normal	7 ⁰⁰	13 ⁰⁰	21 ⁰⁰	7 ⁰⁰	13 ⁰⁰	21 ⁰⁰	7 ⁰⁰	13 ⁰⁰	21 ⁰⁰	7 ⁰⁰	13 ⁰⁰	21 ⁰⁰		
1	-10.0	-6.5	-7.2	-7.9	-0.2	573.0	571.7	571.8	80	78	80	S 3	S 3	S 1	10**	10**	10**	7.0	* 13 ^{1/4} -17, III + n-n
2	-10.0	-5.0	-7.0	-7.3	0.4	572.8	573.1	575.0	75	55	80	N 1	S 0	S 0	1	0	0		III 20-n
3	-10.0	-6.3	-11.0	-9.1	-1.4	576.3	577.9	579.1	60	54	50	N 1	N 1	N 1	1	0	0	1.8	* n (3/4.)
4	-8.0	-4.6	-8.3	-7.0	0.6	579.1	579.9	579.9	85	54	80	S 1	S 1	S 1	10**	10**	0	2.1	* 9 ^{1/4} -10 ^{1/4} , III n-14
5	-9.9	-7.0	-8.7	-8.5	-0.9	579.9	580.7	580.7	90	70	85	S 1	S 2	S 1	3	7	6		+ zeitw.
6	-9.0	-7.0	-10.0	-8.7	-1.1	579.2	579.4	579.4	60	48	90	NE 1	NE 1	NE 1	1	0	0	1.7	III 17-n
7	-9.2	-7.4	-10.0	-8.9	-1.3	599.9	580.3	581.0	85	75	80	N 2	N 2	N 2	10**	10**	10**	4.0	* III + n-n
8	-11.8	-8.5	-8.9	-9.7	-2.2	586.3	586.4	587.0	75	70	75	N 2	N 0	SE 1	7	4	10**	2.0	+ n-mitt., III 18 ^{1/4} -n
9	-10.6	-5.8	-10.2	-8.9	-1.4	591.9	591.7	591.8	85	71	80	E 1	SE 1	SE 1	5	7	10		
10	-13.0	-6.8	-8.2	-9.3	-1.8	591.8	592.9	593.9	76	62	80	SE 0	S 2	E 1	0	0	0		
11	-8.8	-3.8	-5.2	-5.9	1.5	591.1	591.8	590.0	77	45	32	S 1	S 1	S 1	1	0	0		
12	-8.3	-1.3	-7.0	-5.5	1.9	590.0	592.6	593.0	60	44	70	NE 1	E 1	E 0	0	0	0		
13	-6.1	-1.0	-7.5	-4.9	2.5	593.0	594.3	594.3	75	42	50	S 1	S 1	S 1	1	0	0		
14	-8.6	-4.0	-9.0	-7.2	0.2	594.3	594.0	593.1	75	48	70	SE 0	SE 1	SE 1	3	3	5	0.2	+ n (14/15.)
15	-7.5	-3.0	-8.0	-6.2	1.1	590.8	590.6	588.6	90	80	80	S 0	S 0	SE 0	10	10	10**	4.7	* 9 ^{1/4} -9 ^{3/4} , 11 ^{1/4} -11 ^{3/4} , III 20 ^{1/4} -n
16	-11.0	-7.9	-12.8	-10.6	-3.3	584.6	584.3	584.3	85	89	92	N 2	N 3	N 2	10**	10**	10**	20.6	* III + n-n, III 11-17
17	-14.3	-10.0	-13.0	-12.4	-5.2	582.4	581.9	583.3	92	91	85	N 3	N 2	N 1	10**	10**	10**	12.1	III n-n
18	-11.2	-7.4	-9.0	-9.2	-2.0	584.4	584.3	587.1	70	50	75	N 1	N 1	NE 0	10	0	0	1.2	
19	-11.0	-5.0	-10.5	-8.8	-1.7	587.0	588.0	587.0	80	70	80	N 0	N 0	N 0	0	0	0		
20	-10.3	-5.0	-11.0	-8.8	-1.7	587.0	585.8	586.0	80	60	70	E 0	S 1	S 1	10	10	10**	1.0	+ zeitw., III 21-n
21	-9.0	-2.5	-8.4	-6.6	0.5	586.0	587.4	587.6	87	60	63	NE 1	S 1	S 0	10**	4	0	0.0	* n-8, III n-10
22	-7.0	-4.0	-8.0	-6.3	0.7	585.9	586.8	588.8	75	60	85	NE 1	N 1	E 1	1	0	0		
23	-11.3	-8.0	-12.0	-10.4	-3.4	588.7	588.0	590.0	90	75	75	S 1	S 1	S 1	3	10**	10**	1.5	* + (zeitw.), III n-n
24	-12.0	-4.0	-13.0	-9.7	-2.8	590.9	591.7	591.9	75	60	85	SE 1	SE 0	S 0	10**	10	10		III n-9
25	-12.0	-5.2	-11.2	-9.5	-2.6	591.9	592.4	592.4	97	65	80	S 1	S 1	S 1	10	0	10**		III 19-n
26	-12.2	-7.6	-11.2	-10.3	-3.5	591.2	591.4	591.8	87	73	80	S 1	S 1	S 2	10	5	10**	1.5	* III + 17 ^{1/4} -n
27	-9.5	-5.2	-8.0	-7.6	-0.8	591.9	590.6	592.8	80	72	85	SE 2	SE 1	SE 1	6**	10**	10**	4.3	* + (zeitw.), III n-n
28	-6.9	-2.0	-6.0	-5.0	1.7	591.9	593.4	595.7	90	80	85	SE 1	S 1	S 1	6	10	10**		III 14 ^{1/4} -n
Mittel	-10.0	-5.4	-9.3	-8.2	-	586.2	586.6	587.0	80	64	76				5.5	5.4	6.1	Summe 65.6	

$\lambda = 7^{\circ} 26'$, $\beta = 46^{\circ} 57'$,
 $H_b = 572.2^m$, $G = 0.05 \frac{m}{m}$.

Bern.

März 1930.
Tellur. Observatorium.

Tag	Lufttemperatur					Luftdruck			Relative Feuchtigkeit			Windrichtung und Stärke			Bewölkung			Niederschlag	Witterung	
	7 ⁰⁰	13 ⁰⁰	21 ⁰⁰	Mittel	abw. vom Normal.	7 ⁰⁰	13 ⁰⁰	21 ⁰⁰	7 ⁰⁰	13 ⁰⁰	21 ⁰⁰	7 ⁰⁰	13 ⁰⁰	21 ⁰⁰	7 ⁰⁰	13 ⁰⁰	21 ⁰⁰			
1	-1.2	7.4	1.8	2.7	0.7	716.9	715.3	715.5	94	57	82	SW	oNE	1N	2	0	6	0		≡ 6 ⁰⁰ /4-10 ⁰⁰ /4
2	0.0	4.6	3.7	2.8	0.7	716.5	717.0	717.4	96	80	86	NE	oE	oW	o	10	8	5		≡ 6 ⁰⁰ /4-7 ⁰⁰ /4
3	0.1	9.6	5.4	5.0	2.7	717.6	718.3	719.8	98	62	84	NE	oNE	oW	1	8	6	0		
4	1.2	11.2	6.2	6.2	3.8	721.7	721.8	722.2	89	50	73	S	1N	1W	0	0	0	0		
5	1.3	11.5	7.5	6.8	4.3	721.8	721.3	720.1	89	56	72	S	oNE	1N	0	0	10	0		
6	1.2	10.0	6.3	5.8	3.2	719.3	718.3	715.0	92	62	81	NW	oN	1WSW	0	6	8			
7	3.4	7.7	4.7	5.3	2.5	711.9	712.0	712.2	83	63	86	S	oW	2SW	1	9	10	7	1.0	● sch. p, abds., Δ 15 ⁰⁰ /4
8	3.2	8.0	4.4	5.2	2.3	713.0	712.6	711.5	93	46	72	W	oNE	1E	0	10	3	0		● 5 ⁰⁰ /4-6
9	-1.2	8.0	4.6	3.8	0.8	709.7	708.9	707.0	91	51	74	S	oSW	oS	0	0	0	0		└ fr.
10	-0.4	11.0	4.7	5.1	2.0	706.2	703.5	704.5	86	42	90	S	oW	1W	1	0	3	10	6.0	● 18 ⁰⁰ /4-22 ⁰⁰ /4, 22 ⁰⁰ /4-23 ⁰⁰ /4 [23 ⁰⁰ /4
11	2.2	3.8	1.1	2.4	-0.9	704.2	703.2	701.6	85	62	84	W	1W	1W	1	10	10	4	2.1	● n stw., * sch. 7 ⁰⁰ /4, 8 ⁰⁰ /4, 23 ⁰⁰ /4- * 0-1 ⁰⁰ /4
12	0.2	3.9	1.8	2.0	-1.4	700.7	699.8	701.0	82	51	78	SW	1NE	oN	0	9	6	9		* 0-1 ⁰⁰ /4
13	1.8	3.9	3.6	3.1	-0.5	702.0	703.0	703.5	64	56	70	SW	1SW	2SW	1	10	10	10	0.1	* fl. zeitw., ● tr. 21
14	3.4	10.5	8.7	7.5	3.8	700.1	699.4	699.8	89	57	64	S	oW	2W	2	10	10	10	0.5	● 4-4 ⁰⁰ /4
15	4.5	12.0	5.8	7.4	3.6	700.1	698.9	701.6	93	61	75	SE	oSW	oSW	1	1	10	10	7.4	● n stw., 17 ⁰⁰ /4-19 ⁰⁰ /4, 21, 21 ⁰⁰ /4-18
16	1.4	8.4	6.2	5.3	1.4	701.3	700.5	703.8	93	65	63	SW	oW	2SW	2	4	10	9	8.7	● * 14 ⁰⁰ /4-17
17	3.7	7.5	5.8	5.7	1.6	703.1	702.3	700.1	84	82	94	SE	1S	oS	0	10	10	0	0.6	● sch. a, mitt.
18	5.6	8.9	4.6	6.4	2.2	697.8	699.8	701.7	91	66	84	W	1W	1W	1	10	10	10	7.0	● 7 ⁰⁰ /4-11 ⁰⁰ /4, ● sch. fr., p, abds.
19	1.6	5.8	3.4	3.6	-0.8	702.2	701.8	699.7	93	67	77	E	oSE	1W	1	10	10	10	7.6	● 4-6 ⁰⁰ /4, * 10 ⁰⁰ /4, 23 ⁰⁰ /4-0 ⁰⁰ /4
20	0.4	3.1	-0.4	1.0	-3.5	699.7	704.5	710.3	96	65	79	SW	1WSW	2SW	1	10	8	8	3.5	* 3 ⁰⁰ /4-10 m.U., * sch. p
21	-4.4	3.4	2.2	0.4	-4.2	711.9	711.7	711.4	91	50	79	SE	oSW	1SE	0	2	1	0	1.0	└ fr.
22	2.3	7.4	6.9	5.5	0.7	711.9	712.9	713.6	93	83	94	S	oS	oS	1	10	10	10	7.9	● 5 ⁰⁰ /4-12 zeitw., 15 ⁰⁰ /4-n [≡ n-9
23	5.6	9.7	7.3	7.5	2.6	710.7	708.2	706.7	97	82	94	E	oN	oSE	0	10	10	10	5.9	● n-7 ⁰⁰ /4, 15-20 ⁰⁰ /4 stw., 23 ⁰⁰ /4-0 ⁰⁰ /4,
24	6.2	5.4	4.8	5.5	0.5	705.8	707.4	710.1	95	88	97	N	oSW	1W	0	10	10	10	7.8	● 3 ⁰⁰ /4-11 ⁰⁰ /4, 16 ⁰⁰ /4-23 m.U., ≡ n-8 ⁰⁰ /4
25	5.9	7.2	6.2	6.4	1.2	712.2	712.4	713.3	94	88	93	W	1NE	1NE	1	10	10	10	0.0	● 2 ⁰⁰ /4-2 ⁰⁰ /4, 4 ⁰⁰ /4-5 ⁰⁰ /4, ● o a, p stw.
26	6.0	8.5	4.8	6.4	1.1	713.6	714.3	715.2	88	68	88	NE	oNE	1NE	0	10	10	0		└ fr.
27	0.8	10.2	7.7	6.2	0.8	716.3	715.3	714.7	94	55	69	E	oNE	1NE	1	9	0	0		└ fr.
28	2.0	12.6	9.7	8.1	2.5	712.7	710.6	708.7	90	48	75	SE	oNE	oSW	0	2	0	2		● sch. a, abds.
29	5.0	13.2	6.8	8.3	2.6	707.8	708.9	711.7	87	63	87	S	1SE	oWSW	0	10	0	0	0.9	
30	3.4	10.9	6.9	7.1	1.2	712.8	713.2	714.3	94	45	86	W	oE	1NE	0	2	8	0		
31	0.7	12.8	9.6	7.7	1.7	713.1	712.0	711.4	88	43	73	S	oNW	1S	0	0	3	10	0.4	● 22 ⁰⁰ /4-23, └ fr.
Mittel	2.1	8.3	5.2	5.2	—	709.5	709.3	709.7	90	62	80								Summe	68.4

$\lambda = 6^{\circ} 57'$, $\beta = 47^{\circ} 0'$,
 $H_b = 487.3^m$, $G = 0.06 \frac{m}{m}$.

Neuchâtel.

März 1930.
Observatorium.

Tag	Lufttemperatur					Luftdruck			Relative Feuchtigkeit			Windrichtung und Stärke			Bewölkung			Niederschlag	Witterung	
	7 ⁰⁰	13 ⁰⁰	21 ⁰⁰	Mittel	abw. vom Normal.	7 ⁰⁰	13 ⁰⁰	21 ⁰⁰	7 ⁰⁰	13 ⁰⁰	21 ⁰⁰	7 ⁰⁰	13 ⁰⁰	21 ⁰⁰	7 ⁰⁰	13 ⁰⁰	21 ⁰⁰			
1	-1.2	11.1	3.6	4.5	2.0	724.9	723.2	723.5	92	44	77	NW	oE	2E	2	2	6	2		└ fr.
2	0.0	2.6	2.8	1.8	-0.8	724.6	724.9	725.8	93	89	83	E	oNE	1N	0	8	10	2		
3	0.0	6.8	5.3	4.0	1.2	725.6	726.2	727.5	100	76	80	NE	oE	1NE	0	7	9	10		≡ n-9 zeitw.
4	0.8	12.4	7.3	6.8	3.9	729.5	729.4	729.9	96	59	68	NE	oE	1NE	0	4	4	2		≡ 8 ⁰⁰ /4
5	1.6	13.0	7.9	7.5	4.5	729.9	728.9	727.9	96	54	66	NW	1SE	1N	1	3	7	2		
6	1.6	12.6	6.8	7.0	3.8	727.5	726.0	722.7	91	56	77	N	oE	2NW	1	5	7	6		
7	3.4	10.0	5.8	6.4	3.1	719.0	718.7	719.9	93	49	71	N	1NW	3W	1	9	8	9	0.0	● tr. n (7./8.)
8	1.8	8.8	5.6	5.4	2.0	720.7	720.5	719.2	95	58	60	NW	oE	1NE	0	6	8	0		
9	-1.4	9.6	4.4	4.2	0.6	717.2	715.9	714.2	96	52	69	SE	oS	1N	0	2	2	0		└ fr.
10	-0.5	11.8	4.7	5.3	1.6	713.1	709.9	712.2	95	48	84	E	oSW	1W	2	2	7	10	1.5	● 17-n, └ fr.
11	2.0	5.7	0.8	2.8	-1.0	712.0	710.2	708.8	84	48	95	W	1W	2W	2	10*	6	10*	3.6	* 7 ⁰⁰ /4-10 ⁰⁰ /4, 21-n m.U.
12	-0.1	6.6	2.4	3.0	-1.0	707.5	706.2	708.5	90	48	59	NW	oSE	1N	2	9	4	7		└ fr.
13	1.8	3.4	4.2	3.1	-1.0	709.9	711.0	711.2	68	82	73	W	1W	2W	3	10	9	10	2.5	* 9-13 m.U.
14	5.0	8.3	8.2	7.2	2.9	706.7	705.9	706.5	84	72	73	W	3W	3W	2	10	10	10	0.0	● n-9, 13-14 m.U.
15	6.8	12.3	5.9	8.3	3.9	707.0	705.2	708.9	88	58	87	W	1W	1W	2	8	8	10	2.2	● 16 ⁰⁰ /4-18 m.U.
16	4.5	4.3	6.0	4.9	0.4	709.0	708.3	711.4	71	89	71	NW	1W	2W	2	9	10	9	7.3	● 10 ⁰⁰ /4-17 m.U.
17	3.8	5.4	5.4	4.9	0.2	710.8	709.4	706.4	85	97	97	NE	1NE	1NE	0	9	10	9	4.7	● 8 ⁰⁰ /4-14 ⁰⁰ /4 m.U.
18	4.9	7.0	5.2	5.7	0.9	704.4	706.9	708.4	100	81	73	SW	oSW	2SW	1	10	10	10	4.2	● n-15 ⁰⁰ /4 m.U., ≡ n-7 ⁰⁰ /4 stw.
19	2.3	7.4	3.2	4.3	-0.6	709.3	708.3	706.1	93	67	81	N	1SE	1NW	1	10	7	9	7.4	● tr. n, abds.
20	0.7	4.0	0.8	1.8	-3.3	707.0	711.6	718.4	95	56	69	W	2NW	2NW	1	10*	6	7	0.3	* n-8 ⁰⁰ /4, * fl. zeitw.
21	-2.6	5.8	2.4	1.9	-3.3	719.9	719.3	719.2	87	57	83	NE	oSW	1NE	1	8	5	4	2.8	└ fr.
22	2.0	5.0	6.4	4.5	-0.8	719.8	720.9	721.4	96	98	98	NE	oE	1E	0	10	10	10	9.5	● n-n
23	6.1	7.4	7.2	6.9	1.4	718.3	716.1	714.1	98	97	98	NE	oSW	oW	1	10	10	10	7.6	● n-n, ≡ n-p
24	5.5	5.0	4.7	5.1	-0.5	713.5	715.2	717.8	98	89	98	SW	oW	1NW	0	10	10	10	2.2	● n-n m.U.
25	6.2	8.5	7.5	7.4	1.6	719.9	720.3	721.2	91	75	78	NE	oE	1E	1	10	10	10		
26	5.8	9.3	6.8	7.3	1.4	721.5	722.1	723.9	91	74	77	E	oSE	oN	1	9	10	7		
27	4.3	13.4	8.4	8.7	2.7	724.4	722.9	722.3	76	56	64	NE	1E	1E	1	8	4	0		
28	3.2	14.7	8.9	8.9	2.7	720.6	718.1	715.8	92	56	72	NW	oSW	1N	0	3	4	4		
29	5.4	14.5	7.2	9.0	2.7	715.3	716.4	719.6	91	84	79	NE	oSW	1NW	0	3	9	2	0.0	● tr. a
30	4.6	11.6	8.5	8.2	1.8	720.6	721.1	722.0	95	54	54	E	oE	1E	1	4	7	0	0.0	● tr. 15
31	3.0	11.3	10.2	8.2	1.6	721.0	719.8	719.2	83	48	68	NE	1SW	1NW	1	4	8	10		
Mittel	2.6	8.7	5.6	5.6	—	717.1	716.7	717.2	90	65	77								Summe	55.8

März 1890.
Beobachter: Frl. H. Nager.

Aldorf.

$\lambda = 80^{\circ} 39'$, $\beta = 46^{\circ} 53'$,
 $H_b = 456.3^m$, $G = 0.05 \frac{m}{m}$.

Tag	Lufttemperatur					Luftdruck			Relative Feuchtigkeit			Windrichtung und Stärke			Bewölkung			Niederschlag	Witterung				
	7 ⁰⁰	13 ⁰⁰	21 ⁰⁰	Mittel	Abweich. vom Normal.	7 ⁰⁰	13 ⁰⁰	21 ⁰⁰	7 ⁰⁰	13 ⁰⁰	21 ⁰⁰	7 ⁰⁰	13 ⁰⁰	21 ⁰⁰	7 ⁰⁰	13 ⁰⁰	21 ⁰⁰						
1	-0.4	14.8	12.3	8.9	5.6	727.8	725.2	726.7	98	27	30	NE	o	SW 1-2	E	2	3	0					
2	13.9	16.7	13.8	14.8	11.4	726.1	726.6	727.6	29	26	27	S	2	S	2	3	4	0					
3	3.3	11.4	6.8	7.2	3.7	728.5	727.9	730.6	91	45	84	E	o	NW 2	NE	o	5	6	0				
4	0.7	16.5	7.8	8.3	4.6	732.6	732.0	733.1	94	45	57	S	o	NW	o	NW	o	3	0	10			
5	2.1	13.2	7.1	7.5	3.7	732.9	731.1	731.2	88	43	73	SE	o	NW	o	E	o	7	6	2			
6	1.8	10.1	4.2	5.4	1.5	730.5	728.5	725.9	100	55	78	W	o	NW	o	NW	o	4	3	0			
7	3.0	10.1	4.3	5.8	1.8	721.8	721.4	722.7	79	74	100	E	o	NW	1	NW	o	10	10	10			
8	4.7	9.3	3.1	5.7	1.5	723.2	722.9	722.7	83	48	64	E	o-1	S	o	N	o	10	4	0			
9	-0.7	7.8	3.2	3.4	-0.9	719.7	718.3	717.1	83	43	60	S	o	N	o	W	o	0	0	0			
10	-0.1	10.3	8.1	6.1	1.7	715.3	711.8	713.1	69	47	50	E	o	NW	o	W	o	0	0	9			
11	3.2	1.7	0.2	1.7	-2.9	713.4	712.3	711.6	73	87	99	N	o-1	NW 2-3	SW	o	10	10	9	3.1	● n-a, * p		
12	0.3	4.0	0.5	1.6	-3.1	710.1	709.2	711.7	100	34	92	NW	o-1	W	o	NE	o	10	4	8	* n-fr.		
13	1.9	4.9	1.6	2.8	-2.0	712.2	712.8	714.6	69	42	99	E	o	NW	o	SE	o	10	10	10	0.9	* ^o p	
14	3.4	13.8	9.0	8.7	3.7	709.4	707.3	709.1	88	27	32	E	o	S	3	SW	o-1	10	7	10	● fr.		
15	6.1	15.4	6.1	9.2	4.1	709.9	706.9	712.0	73	30	94	SW	o	SW	1	S	o	6	9	10	2.7	● 19 1/2	
16	3.5	10.1	3.8	5.8	0.6	711.8	709.4	714.7	73	42	95	E	o	N	o-1	E	o	3	10	8	3.2	● 18	
17	4.3	10.1	12.7	9.0	3.6	713.8	711.2	709.2	84	48	30	NE	o	NW	o	SE	3	10	8	0			
18	13.8	8.1	5.6	9.2	3.7	706.8	710.0	711.1	30	85	81	E	2-3	NW	o	NW	o	10	10	10	12.5	● p-n	
19	3.6	1.7	0.6	2.0	-3.6	711.0	711.6	709.8	91	96	90	NE	o	NW	o	E	o	10	10	4	9.6	● n-a, * p	
20	0.8	3.8	0.6	1.7	-4.1	709.2	713.7	720.4	79	42	84	E	o	NW	o-1	NW	o	8	10	8	(0.5)	* 9-10 1/2, p zeitw.	
21	-2.1	5.8	7.2	3.6	-2.3	721.8	721.9	721.7	64	43	33	E	o	NW	o-1	SE 1-2	1	3	4				
22	5.4	8.4	6.3	6.7	0.7	722.3	723.8	724.8	70	75	100	NE	o	NW	o	NW	o	10	8	10	1.6	● abds.	
23	5.7	10.4	8.1	8.1	1.9	721.3	718.4	716.8	95	72	90	NW	o	NW	1	NW	o	10	6	10			
24	6.4	9.8	6.4	7.5	1.2	716.5	716.9	721.0	95	83	95	SW	o	NW	o	NW	o	10	10	10	0.4	● p zeitw.	
25	6.0	10.7	7.4	8.0	1.6	723.1	722.2	724.1	98	69	97	E	o	NW	o	NW	o	10	6	10	1.6	● ≡ ³ abds.	
28	7.0	8.3	6.3	7.2	0.6	724.5	724.6	726.9	95	75	70	NW	o	NW	o-1	NW	o	10	10	10	0.4	● n-a	
27	4.9	9.0	5.2	6.4	-0.3	727.7	726.2	726.7	92	60	88	S	o	NW	o-1	NE	o	10	4	5			
28	3.9	12.2	9.3	8.5	1.7	723.4	720.6	719.6	93	48	60	SW	o	NW	o	NW	o	5	0	4			
29	8.1	13.8	8.1	10.0	3.0	717.7	718.7	722.6	64	41	93	SW	o	NW	1	NW	o	0	10	10	4.5	● abds.-n	
30	6.8	13.1	5.4	8.4	1.3	723.3	723.5	725.7	89	48	81	W	o	E	o	E	o	10	7	0	0.6	● n-a	
31	1.9	12.0	7.9	7.3	0.1	723.7	722.7	723.0	78	36	59	W	o	NW	o-1	E	o	0	3	0			
Mittel	4.0	9.9	6.1	6.7	—	719.7	719.0	720.2	81	53	74							6.6	6.2	6.2	Summe	52.2	

März 1930.
Observatorium.

Genf.

$\lambda = 60^{\circ} 9'$, $\beta = 46^{\circ} 12'$,
 $H_b = 405.0^m$, $G = 0.02 \frac{m}{m}$.

1	-0.4	8.6	5.4	4.8	1.8	731.7	730.2	730.7	94	63	64	SSW	2	NNE	1	NNE	o	3	5	10			
2	1.6	5.8	5.0	4.3	1.3	731.7	731.4	732.8	83	75	85	SW	o	NNE	1	NNE	o	10	9	7			
3	1.8	6.6	6.0	5.1	1.9	732.9	734.0	736.2	93	82	84	SW	o	NE	o	NW	o	10	10	9			
4	3.8	9.8	7.8	7.3	4.0	737.2	736.5	736.1	95	70	70	NNW	1	NNE	1	NNE	o	8	1	0			
5	1.2	10.7	8.3	7.1	3.7	737.4	736.4	735.2	93	62	82	N	o	NNE	1	NNE	1	0	0	0			
6	1.4	10.5	7.0	6.5	2.9	734.8	733.0	730.4	93	62	85	SSW	o	NNE	1	NNE	o	0	3	2			
7	8.6	11.6	5.5	7.8	4.1	726.9	727.8	728.1	73	57	84	W	1	SSW	1	SSW	1	10	3	10	2.6	● 15-n	
8	3.5	8.8	4.9	5.5	1.7	728.2	727.6	726.2	93	63	74	NNE	o	NNE	1	NNE	1	0	1	0			
9	-0.6	10.6	5.0	5.0	1.1	724.8	722.7	721.4	92	56	90	N	o	NW	1	NW	1	0	0	0			
10	4.4	15.0	4.6	7.2	3.1	720.4	717.8	720.4	77	47	88	NW	o	SSW	2	SW	o	0	3	10	7.5	● p-n, ⊥ fr.	
11	3.0	5.7	1.2	2.8	-1.4	720.3	718.2	717.0	76	57	78	SW	1	SSW	1	SW	1	9	2	10	1.1	● * fr., n, ● a, p zeitw.	
12	0.6	4.8	3.2	2.9	-1.3	715.1	713.8	714.7	87	47	80	SE	1	NNE	1	NNE	1	10	3	4			
13	2.8	6.7	5.6	5.2	0.8	718.7	719.4	719.5	66	61	70	S	1	SW	1	SW	1	10	10	10	1.1	● * a, ● ^o n	
14	5.8	11.2	7.8	8.2	3.6	715.7	714.6	714.6	88	65	95	NW	1	SW	1	SW	o	10	10	10	10.3	● n-n	
15	7.0	15.4	8.2	9.7	5.1	714.3	712.3	717.5	91	59	72	W	o	SW	1	SW	2	9	9	10	2.3	⊠ 16, ● 16-n	
16	5.4	12.4	7.8	8.3	3.6	716.5	714.6	719.6	78	57	70	NNE	o	SW	2	SW	2	10	10	10	2.1	● * a	
17	7.0	9.5	5.8	7.0	2.1	718.0	716.9	713.6	81	87	95	W	1	NNW	1	SW	1	10	10	10	10.3	● n-n	
18	8.2	8.6	6.4	7.4	2.4	712.6	714.0	714.8	87	78	80	SW	1	SW	1	SE	o	10	10	10	8.1	● n-n m.U.	
19	3.0	8.8	2.8	4.4	-0.8	716.7	715.8	714.2	93	58	84	NNW	1	SSW	1	SSW	1	10	10	10	3.3	● n (19./20.)	
20	1.8	4.0	1.4	2.1	-3.1	716.1	720.3	723.7	74	57	76	W	1	SSW	1	SSW	1	8	7	0	0.2	● ^o a	
21	-2.6	5.4	4.6	3.0	-2.4	727.0	727.0	726.6	87	54	69	SSW	1	NNE	1	NNE	1	8	9	10	3.2		
22	4.5	8.0	6.6	6.4	0.9	727.5	728.7	728.3	93	91	97	NE	o	NNE	o	NNE	1	10	10	10	11.4	● n-n	
23	6.6	8.8	7.8	7.8	2.1	725.8	723.6	721.5	98	94	86	SW	o	SW	1	SW	1	10	10	10	13.4	● n-n	
24	5.4	6.6	5.6	5.8	0.0	721.3	723.0	724.3	84	80	91	SW	1	NNE	1	NNE	1	10	10	10	0.9	● n-abds. m.U.	
25	6.2	8.2	8.0	7.6	1.7	726.4	727.3	728.0	88	92	86	NNE	1	NNE	1	NNE	1	10	9	10			
26	7.4	11.4	7.4	8.4	2.4	728.3	728.5	730.3	85	63	80	NNE	1	NNE	2	NNE	2	10	4	5			
27	4.8	10.8	10.2	9.0	2.8	731.4	730.1	728.6	84	65	72	NNE	o	NNE	1	NNE	2	2	0	2			
28	4.0	12.2	9.4	8.7	2.4	728.0	725.9	723.1	90	60	76	E	o	NNE	1	NNE	1	0	0	0			
29	10.2	16.0	9.6	11.4	4.9	723.3	729.2	726.4	68	47	86	NW	o	W	1	NW	1	2	10	10	0.4	● ^o p, n zeitw.	
30	6.6	12.0	7.5	8.4	1.8	728.2	728.1	728.5	88	63	71	NNE	1	NNE	1	NNE	1	9	0	0			
31	3.5	12.4	14.0	11.0	4.3	728.4	727.0	727.0	85	59	67	NW	o	NNE	1	SW	1	3	7	0			
Mittel	4.1	9.6	6.5	6.7	—	724.7	724.2	724.5	86	65	80							6.8	5.7	6.4	Summe	78.2	

λ = 8° 33', β = 47° 23'.
Hb = 493.2 m, G = 0.08 mm.

Zürich.

März 1930.
Meteorol. Zentralanstalt.

Tag	Lufttemperatur					Luftdruck			Relative Feuchtigkeit			Windrichtung und Stärke			Bewölkung			Niederschlag	Witterung	
	7 ³⁰	13 ³⁰	21 ³⁰	Mittel	Abw. von Normal	7 ³⁰	13 ³⁰	21 ³⁰	7 ³⁰	13 ³⁰	21 ³⁰	7 ³⁰	13 ³⁰	21 ³⁰	7 ³⁰	13 ³⁰	21 ³⁰			
1	-1.1	7.3	1.5	2.6	0.2	724.7	725.7	724.1	100	67	94	N	0	NE	1	1	3	3		
2	0.6	4.5	2.3	2.5	0.0	724.2	724.8	724.7	100	81	97	N	0	NE	1	10	8	2		
3	-1.0	8.8	3.6	3.8	1.2	725.6	725.4	726.7	100	70	93	N	0	NW	1	4	4	4	☐ fr.	
4	0.1	13.5	6.2	6.6	3.9	728.7	729.1	729.5	100	51	75	NW	0	NW	1	0	0	4	☐ 8-9, ☐ fr.	
5	2.6	12.8	7.8	7.7	4.8	729.2	728.6	728.3	94	56	65	N	0	NW	1	3	7	4	☉ p	
6	1.4	14.4	5.4	7.1	4.1	727.2	725.7	722.3	98	48	82	N	0	NW	1	0	3	3		
7	4.8	7.0	3.2	3.0	1.9	718.8	719.1	719.4	79	94	98	S	1	NW	1	9	10	9	● 11 ³⁰ /4-15 ³⁰ /4	
8	3.6	9.2	3.4	5.4	2.1	720.5	720.5	719.1	98	57	82	SW	0	W	1	10	5	2		
9	-1.0	11.3	4.8	5.0	1.6	716.8	715.5	713.8	100	46	75	E	1	SE	1	1	0	0		
10	1.4	14.4	6.5	7.4	3.8	712.5	709.4	710.8	77	40	89	SE	1	SW	1	0	0	10	3.0 ● 21 ³⁰ /4-0 ³⁰ /4 [17 ³⁰ /4 m.U.]	
11	3.0	4.0	1.2	2.7	-1.0	710.8	709.8	708.3	84	77	92	W	2	W	1	10	10	10	2.2 ● 1 ³⁰ /4-5, * 9 ³⁰ /4-11 ³⁰ /4, 16 ³⁰ /4-n	
12	0.6	3.8	1.4	1.9	-1.9	707.5	706.6	708.1	90	65	86	W	1	E	0	10	6	10	1.4 * n-10 ³⁰ /4, 12-13 m.U.	
13	1.0	3.4	3.7	2.7	-1.3	709.0	709.7	710.2	81	85	76	SW	1	SW	1	10	10	10	2.6 * n-14 ³⁰ /4, ● tr. 16-18	
14	3.0	11.8	9.4	8.1	4.0	706.1	704.7	706.0	95	50	67	SW	1	W	2	10	9	10	1.2 ● 6-8	
15	6.4	14.6	6.8	9.3	5.0	707.1	704.9	708.2	87	51	72	SE	1	NW	0	4	10	10	5.8 ● sch. 1 ³⁰ /4-2 ³⁰ /4, K ₁ , ● 18 ³⁰ /4-20	
16	2.3	10.3	6.0	6.2	1.8	708.4	707.1	710.6	98	56	75	SE	1	SW	1	2	1	10	10	4.7 ● 15 ³⁰ /4-17 ³⁰ /4
17	3.2	8.2	5.0	5.5	1.0	710.8	709.3	706.2	97	74	98	SSE	1	S	0	8	10	5	0.9 ● 11 ³⁰ /4-17 ³⁰ /4 zeitw.	
18	9.5	8.3	4.6	7.5	2.8	703.6	706.5	708.4	75	80	94	S	1	W	0	10	10	10	12.7 ● 9 ³⁰ /4-13 ³⁰ /4, 14 ³⁰ /4-n m.U.	
19	1.3	2.8	1.4	1.8	-3.0	709.2	708.6	706.2	100	87	94	S	1	S	1	10	10	10	3.0 ● n-9 ³⁰ /4, * 7-11	
20	0.8	2.7	0.9	1.5	-3.5	706.1	710.6	717.9	96	71	80	NE	0	NW	1	10	10	10	7.4 * 5 ³⁰ /4-11 ³⁰ /4, * Δ 16 ³⁰ /4-16 ³⁰ /4 ☒	
21	-2.0	7.8	3.0	2.9	-2.2	719.2	718.9	718.5	85	44	86	SE	0	SW	1	0	1	7	1.6	
22	3.0	3.6	5.2	4.6	-0.6	719.3	720.5	721.0	100	97	100	S	0	SE	1	10	10	10	10.5 ● 5 ³⁰ /4-20, 21 ³⁰ /4-n (● sch. p	
23	5.8	10.6	7.4	7.9	2.5	718.4	715.6	714.4	100	75	96	S	0	NE	1	10	9	10	5.0 ● n-8, 9 ³⁰ /4-10 ³⁰ /4, 18 ³⁰ /4-23 ³⁰ /4,	
24	6.4	7.3	5.8	6.5	1.0	713.2	714.5	717.8	100	84	96	SE	0	NW	1	0	10	10	1.5 ● tr. 11-11 ³⁰ /4, ● 18-0 ³⁰ /4	
25	6.9	9.3	7.7	8.0	2.4	720.0	720.2	720.9	87	74	81	NE	0	NE	1	0	10	10	0.8	
26	5.8	6.8	5.0	5.9	0.1	721.2	722.0	724.0	100	82	97	NW	1	NE	0	10	10	8	0.4 ● 4-15 ³⁰ /4, ☐ fr.	
27	2.4	10.8	6.0	6.4	0.7	724.5	723.2	722.5	100	50	82	S	0	NE	1	10	3	1	0.1 ☐ n-10 ³⁰ /4	
28	3.4	10.8	9.5	9.9	3.9	720.2	717.7	715.9	90	44	79	NE	0	W	0	7	0	2		
29	7.2	12.2	7.8	9.1	2.9	714.5	716.4	719.1	73	50	85	SE	0	W	1	1	10	7	0.5 ● tr. p, abds.	
30	6.1	12.9	6.2	8.4	2.1	720.3	721.0	722.0	89	36	60	SE	1	SE	1	8	7	0	● 3-3 ³⁰ /4	
31	1.7	15.1	9.8	8.9	2.5	720.5	719.4	718.8	86	80	60	NE	0	W	0	0	1	10	4.0 ● n (31./I.)	
Mittel	2.9	9.3	5.1	5.8	-	716.7	716.4	716.9	92	64	84					6.4	6.7	6.8	Summe 74.1	

λ = 8° 30', β = 47° 3',
Hb = 1787.3 m, G = -0.11 mm.

Rigi-Kulm.

März 1930.
Beobachter: J. Wiget.

1	-2.0	1.5	1.0	0.2	3.8	616.9	616.6	617.0	43	40	45	S	1	S	3	3	0	3	0			
2	2.2	6.0	3.6	3.9	7.5	617.6	618.5	619.4	40	31	31	SE	1	SW	1	SW	3	5	5	0		
3	3.5	8.8	4.0	4.8	8.3	619.4	620.1	621.3	28	26	26	SE	2	S	2	S	0	3	3	3		
4	0.8	2.1	0.4	1.1	4.6	621.8	622.3	622.5	50	55	59	W	1	W	1	W	0	0	0	5		
5	-1.5	2.8	0.0	0.4	3.8	622.3	622.0	621.5	47	66	100	S	0	W	0	W	0	0	5	10	☐ abds.	
6	0.5	4.2	4.4	3.0	6.4	620.3	620.1	617.7	25	16	17	W	0	SE	0	SE	2	0	0	0		
7	4.0	-1.5	-3.8	-0.4	2.9	614.3	612.7	612.5	29	100	100	SW	1	W	1	W	3	7	10	10	15.7 * 12 ³⁰ /4-16 ³⁰ /4, ☐ p	
8	-5.0	-1.7	-4.8	-3.8	-0.6	612.7	613.1	612.5	98	100	100	NW	0	SW	0	SW	0	10	5	0	0	☐ a
9	-1.7	1.8	0.6	0.2	3.4	610.0	609.7	609.5	14	16	25	S	0	W	2	W	2	0	0	0		
10	1.0	4.8	-1.2	1.5	4.6	607.5	606.5	605.5	7	16	100	W	0	S	1	W	2	0	0	10	23.1 * ☐ 19 ³⁰ /4-n	
11	-7.2	-7.0	-8.8	-7.7	-4.7	603.6	602.9	601.6	100	100	100	W	3	E	0	W	1	10	10	10	13.4 * 9-n, ☐ n-p	
12	-9.0	-6.2	-8.2	-7.8	-4.8	600.6	599.6	600.8	100	100	100	NW	0	NW	0	W	0	10	5	10	2.0 * n-14 ³⁰ /4, ☐ abds. zeitw.	
13	-9.0	-7.4	-6.6	-7.7	-4.8	601.7	602.7	603.9	100	100	100	W	2	W	3	W	3	10	10	10	8.1 * p-n zeitw.	
14	-1.8	-0.4	-1.2	-1.1	1.7	600.7	601.2	602.5	100	100	100	W	4	W	3	W	2	10	7	10	11.8 *	
15	-1.8	0.0	-4.2	-2.0	0.8	602.7	602.1	602.5	100	99	100	W	1	SW	1	W	4	5	7	10		
16	-2.0	0.0	-4.2	-2.1	0.6	603.7	604.5	604.7	23	100	100	W	2	W	2	W	3	3	10	5	1.6 *	
17	-2.5	2.2	2.4	0.7	3.3	605.5	604.7	603.6	40	70	48	W	1	SW	1	SW	1	10	10	3		
18	2.0	-1.2	-3.0	-0.7	1.9	600.9	601.7	602.4	45	100	100	S	2	W	4	W	1	10	10	10	21.6 * 9-18, ☐ abds.	
19	-6.8	-6.0	-6.8	-6.5	-4.0	602.5	601.7	601.3	100	100	100	NW	0	NW	0	W	0	10	7	10	5.8 * n-15 ³⁰ /4	
20	-6.8	-8.2	-9.4	-8.1	-5.7	599.5	602.9	606.9	100	92	90	W	0	W	1	W	3	10	10	10	8.9 * ☐ p-n m.U.	
21	-7.4	0.8	-1.8	-2.8	-0.5	610.7	611.7	612.7	50	10	42	S	1	W	1	W	0	0	3	0	0.8	
22	-1.6	1.2	0.0	-0.1	2.2	612.7	613.8	614.7	80	100	100	S	2	W	1	W	2	10	10	10	14.0 * ● n-n zeitw., ☐ p	
23	0.4	4.2	-1.0	1.2	3.4	612.5	611.1	609.8	100	100	100	SE	0	S	0	W	0	10	7	10	9.5 * 19-n	
24	-1.2	0.5	-0.8	-0.5	1.6	607.7	608.5	610.6	97	100	100	NE	1	E	0	SE	0	10	10	10	4.0 * ☐ n-n m.U.	
25	-0.8	0.0	-0.8	-0.5	1.5	612.9	613.4	614.3	100	100	100	NE	1	NE	0	NE	0	10	10	10	☐ n-n	
26	-1.0	2.0	-2.4	-0.5	1.4	614.3	614.6	616.4	100	100	100	NE	0	SW	0	NE	1	10	10	10		
27	-3.0	2.3	-0.7	-0.5	1.3	616.3	616.4	616.8	98	41	40	NE	1	S	1	S	0	5	3	0		
28	1.5	4.5	3.6	3.2	5.0	614.2	613.9	612.6	50	50	74	SE	1	S	0	W	0	5	0	3		
29	4.2	3.0	-0.8	2.1	3.8	610.6	611.5	612.8	37	100	100	W	3	W	3	W	1	0	10	10	4.0 * 12 ³⁰ /4-13 ³⁰ /4, abds. ztw.	
30	-2.2	0.8	-1.8	-1.1	0.5	613.1	614.5	615.7	100	84	50	NE	2	NE	2	NE	1	10	5	0		
31	-2.0	3.5	3.0	1.5	3.0	613.5	614.3	614.3	34	38	39	SE	1	NE	1	W	2	0	0	10	1.1 * ●	
Mittel	-1.8	0.5	-1.6	-1.0	-	610.4	610.6	611.0	66	73	77					5.9	6.1	6.3	Summe 145.4			

März 1930.
Beobachter: G. Krättli.

Bevers.

$\lambda = 9^{\circ} 53'$, $\beta = 46^{\circ} 33'$.
 $H_b = 8.1710^m$, $G = -0.12^m/m$.

Tag	Lufttemperatur					Luftdruck			Relative Feuchtigkeit			Windrichtung und Stärke			Bewölkung			Niederschlag	Witterung	
	7 ^h	13 ^h	21 ^h	Mittel	Abweich. von Normalst.	7 ^h	13 ^h	21 ^h	7 ^h	13 ^h	21 ^h	7 ^h	13 ^h	21 ^h	7 ^h	13 ^h	21 ^h			
1	-13.7	1.4	-3.3	-5.2	0.5	625.6	625.1	627.1	90	54	90	S	SE	SW	0	1	2	4	0.0	$\Delta n (1/2)$
2	-0.5	3.1	-4.3	-0.6	5.0	627.0	627.5	628.6	86	58	83	S	NW	E	0	9	9	3		
3	-10.0	5.0	-5.3	-3.4	2.1	628.6	628.1	629.3	91	54	81	W	SW	W	0	1	1	0		
4	-10.8	4.5	-3.9	-3.4	2.0	628.3	627.2	628.0	87	52	77	W	W	SW	0	0	0	0		
5	-8.9	3.2	-4.5	-3.4	1.8	628.2	627.1	627.0	89	52	78	SW	NE	W	0	2	3	0		
6	-10.4	3.7	-5.9	-4.2	0.9	626.7	625.4	625.3	86	49	68	NW	NE	S	0	1	1	1		
7	-8.1	2.7	-1.9	-2.4	2.6	621.8	618.6	617.9	78	56	91	NE	SE	NE	0	9	10	4	4.5	* $16\frac{1}{2}$ -20 $\frac{1}{4}$
8	-4.4	1.2	-8.7	-4.0	0.9	617.4	617.8	618.0	86	54	77	NW	W	W	0	10	9	0	0.0	$\Delta^{\circ} 7\frac{1}{4}$ -a
9	-13.6	2.3	-7.9	-6.4	-1.6	617.5	615.4	616.2	84	47	79	SE	W	W	0	1	0	0		
10	-12.9	-2.9	-1.5	-3.9	-0.7	615.4	613.4	612.3	81	52	85	W	W	W	0	0	0	0	8.5	
11	-4.0	-2.7	-7.0	-4.6	-0.1	608.7	607.6	606.2	86	58	77	N	NW	SW	0	10*	10	10	2.5	* Δn -18, 20-n
12	-7.9	-4.0	-15.1	-9.0	-4.6	605.5	605.4	607.4	73	47	77	SW	W	SW	0	10	2	1		
13	-12.8	-2.2	-5.3	-6.8	-2.6	607.8	608.0	610.4	75	50	80	NW	W	W	0	7	7	8	0.0	
14	-8.6	0.2	-1.5	-3.3	0.8	609.5	609.1	610.1	80	61	80	NE	W	W	2	10	9	3	1.4	Δn -a
15	-2.8	2.7	-0.6	-0.2	3.8	609.7	609.7	608.3	92	67	95	NE	S	S	1	9	9	10*	5.0	$\Delta 18$, * 20-n
16	-7.8	4.2	-1.7	-1.8	2.0	611.3	610.2	611.8	88	45	94	S	SW	SW	0	10	9	10*	2.8	$\Delta 17\frac{1}{2}$, $\Delta 20$ -n
17	-8.2	3.0	1.0	-1.4	2.3	613.3	612.6	612.1	82	56	86	S	S	SW	0	9	10	10	0.0	
18	0.9	2.3	-0.1	1.0	4.6	609.2	608.6	608.0	89	82	95	SW	NW	SW	0	9	10*	10*	17.0	Δ fr. $8\frac{1}{4}$ -10, * 10-n
19	-1.8	0.9	-4.5	-1.8	1.6	607.7	606.7	607.3	91	75	91	N	S	SW	0	10	10*	10	3.8	* n-9 $\frac{1}{4}$, 11 $\frac{1}{4}$ -15 $\frac{1}{4}$, abds. stw.
20	-10.9	-4.6	-6.9	-7.5	-4.2	606.3	607.3	614.7	83	73	62	NW	NW	SW	0	4	10	4	0.8	* ab 13
21	-10.0	0.8	-10.0	-9.4	-6.3	619.3	619.9	622.0	82	40	71	W	SW	SW	0	1	9	0		
22	-10.8	2.9	-2.0	-3.3	-0.3	621.2	620.7	621.3	77	53	83	W	SW	SW	0	6	9	6		
23	-2.2	1.7	-1.1	-0.5	2.3	619.5	618.1	616.5	85	70	89	W	W	N	0	10	10	10*	2.0	* 12-n zeitw.
24	-1.5	4.5	0.6	1.2	3.9	614.6	614.6	617.7	93	61	84	S	SE	W	0	10*	10	10	0.0	* a zeitw.
25	-5.6	5.6	2.6	0.9	3.5	619.5	618.9	620.5	87	56	84	N	NE	NE	1	2	2	10		
26	1.0	4.1	-0.5	1.5	3.9	619.5	619.5	621.5	79	58	69	NE	W	NE	1	9	9	8		
27	-7.2	4.5	2.0	-0.2	2.1	621.2	620.5	621.0	77	49	66	NE	N	W	1	1	6	8		
28	-4.5	6.7	-0.7	0.5	2.6	620.8	618.8	618.9	82	53	80	N	S	W	1	1	1	4		
29	-5.1	8.4	-2.9	0.1	2.1	617.6	616.5	617.7	86	42	76	N	NW	W	0	1	9	8		
30	0.1	2.0	-3.7	-0.5	1.3	618.4	619.7	621.8	66	45	76	NW	NE	W	0	10	10	0	0.0	Δ ab $7\frac{1}{4}$, * $8\frac{1}{4}$ -9
31	-9.2	3.8	-3.1	-2.8	-1.1	621.6	620.9	621.3	72	53	74	S	SW	W	0	1	0	5		
Mittel	-7.1	2.4	-3.5	-2.7	-	617.4	616.7	617.6	83	56	81				5.6	6.3	5.3	48.3		

März 1930.
Beobachter: Kapuzinerkloster.

Sitten.

$\lambda = 7^{\circ} 21'$, $\beta = 46^{\circ} 14'$.
 $H_b = 548.6^m$, $G = 0.00^m/m$.

1	2.7	11.9	9.4	8.0	4.5	720.7	718.1	719.2	55	34	43	NE	NE	NE	0	1	2	9			
2	6.7	16.2	10.4	11.1	7.4	720.5	720.3	721.7	53	34	43	NE	NE	NE	0	10	6	2			
3	6.3	16.4	7.6	10.1	6.3	721.5	720.6	722.1	55	30	61	NE	NE	NE	0	5	10	3			
4	3.6	13.2	8.2	8.3	4.3	724.3	723.3	724.1	73	43	60	W	SW	NE	0	2	2	2			
5	3.0	12.8	9.8	8.5	4.4	725.1	722.8	722.1	81	40	58	NE	NE	W	0	0	2	10			
6	2.2	14.5	9.4	8.7	4.5	722.4	720.0	718.6	89	37	48	NE	NE	NW	0	0	2	6			
7	4.0	11.3	6.0	7.1	2.7	715.1	713.2	714.6	72	46	84	NE	E	W	0	10	10	10	0.0	● tr. 18, 21	
8	3.8	11.4	5.0	6.7	2.2	714.9	714.2	713.9	96	42	54	SW	E	N	0-1	10	3	0			
9	-0.5	11.9	6.4	5.9	1.2	712.7	709.8	709.7	75	31	49	NE	NE	N	0-1	0	0	0		└ fr.	
10	1.8	14.0	6.0	7.3	2.5	708.7	705.0	706.3	58	25	93	NE	NE	W	2	0	1	10*	4.6	● 20-n	
11	2.0	6.1	2.0	3.4	-1.5	705.6	704.4	703.1	86	51	68	W	2-3	SW	2	W	0-1	10	10	3.2	* n (11/12)
12	0.1	8.2	2.6	3.6	-1.5	702.9	700.5	702.8	77	32	50	W	SW	W	0-1	1	4	7			
13	1.6	6.3	4.0	4.0	-1.2	705.7	706.1	706.8	60	41	61	W	N	W	0	10	10	10			
14	2.1	9.2	8.6	6.6	1.2	705.1	702.4	702.5	97	58	71	E	NE	W	0	10*	10	10	4.0	● $7\frac{1}{2}$ -9 $\frac{1}{2}$, n	
15	5.2	13.6	5.3	8.0	2.5	703.6	701.4	704.8	100	43	81	NE	NE	W	0	10	10	10	3.3	⊠, ● $18\frac{1}{4}$ -19 $\frac{1}{4}$	
16	2.9	6.1	3.0	4.0	-1.7	706.9	705.3	707.6	79	59	100	NE	NE	W	0	8	10*	8	6.5	● * 13-20 m.U.	
17	3.3	8.9	7.6	6.6	0.8	706.7	705.9	704.3	96	67	66	W	W	NW	0	10	10*	7	0.3	● 13-p	
18	5.8	9.3	5.4	6.8	0.8	701.1	702.7	702.9	73	68	91	NE	W	W	0	10	10	10	5.5	● $8\frac{1}{2}$ -13, 18-21 $\frac{1}{4}$	
19	3.4	7.8	4.3	5.2	-0.9	703.0	702.7	701.6	85	52	7	W	SW	W	0	10	10	7	3.6		
20	0.8	4.6	0.6	2.0	-4.3	702.2	705.6	713.1	100	43	69	W	SW	2	SW	0-1	10*	10	2	0.0	* 6-8
21	-1.9	8.1	6.3	4.2	-2.2	716.1	714.3	715.4	56	31	38	NE	NE	NE	0	1	8	6	0.3		
22	3.8	8.3	7.5	6.5	-0.1	716.9	716.7	716.0	86	64	83	NE	NE	NE	0	10*	10	10*	2.2	● 7-12, 21-n	
23	5.9	12.7	7.6	8.7	2.0	713.5	710.2	710.0	99	63	88	NE	N	W	0	10	10	10*	3.5	● 11 $\frac{1}{4}$, abds.-n	
24	5.3	6.6	5.5	5.8	-1.1	708.0	709.1	712.2	96	77	77	NW	W	W	0	10	10*	10	0.0	● 13 -13 $\frac{1}{4}$	
25	2.5	13.5	7.8	7.9	0.9	713.9	712.6	714.3	96	44	80	NE	W	W	0-1	0	0	0			
26	7.3	11.8	7.4	8.8	1.6	715.3	715.2	716.9	86	58	69	W	W	W	0-1	10	10	2			
27	2.8	12.2	8.5	7.8	0.5	718.0	716.3	715.9	92	46	62	NE	SW	1	W	0	2	1	0		└ fr.
28	4.2	16.5	10.9	10.5	3.0	715.6	712.3	711.4	82	36	54	NW	W	W	0-1	0	0	1		Δ fr.	
29	7.2	18.5	9.4	11.7	4.1	710.7	710.2	712.9	65	34	73	NW	SW	SW	1	1	9	10		└ 17-21	
30	7.3	15.8	7.8	10.3	2.5	714.1	713.9	715.9	67	30	50	W	SW	W	0	6	4	0			
31	4.5	16.2	10.1	10.3	2.4	716.7	714.3	714.4	60	29	54	NE	NE	W	0	0	5	10		Δ fr.	
Mittel	3.5	11.4	6.8	7.2	-	712.5	711.3	712.2	79	45	66				5.7	6.4	6.2	37.0			

$\lambda = 80^{\circ} 57'$, $\beta = 46^{\circ} 0'$.
 $H_b = 276.2^m$, $G = 0.03^m$.

Lugano.

März 1930.
Beobachter: G. Malatesta.

Tag	Lufttemperatur					Luftdruck			Relative Feuchtigkeit			Windrichtung und Stärke			Bewölkung			Niederschlag	Witterung	
	7 ^h	13 ^h	21 ^h	Mittel	Abweich. vom Normal.	7 ^h	13 ^h	21 ^h	7 ^h	13 ^h	21 ^h	7 ^h	13 ^h	21 ^h	7 ^h	13 ^h	21 ^h			
1	2.4	7.4	5.8	5.2	0.2	746.7	746.6	748.9	89	78	99	N	oNNW	oSSE	0	9	10	10	2.2	● 17 ^{1/2} -n
2	4.6	7.8	7.8	6.7	1.6	748.8	749.0	749.0	99	76	86	N	oSSW	oS	0	10	8	10		● n-1 ^{1/2}
3	5.0	11.2	6.8	7.7	2.5	749.8	749.5	749.5	92	50	76	S	oS	oN	0	10	1	0		
4	3.2	11.0	5.8	6.7	1.3	748.3	747.4	747.8	86	54	79	N	oSSE	oN	0	0	0	0		
5	2.2	14.4	7.8	8.1	2.6	745.7	744.5	743.7	98	37	47	N	oS	oN	0	0	0	0		△ fr.
6	5.2	14.4	8.6	9.4	3.8	743.7	742.5	741.9	48	32	49	N	oSSE	oN	0	0	0	0		
7	5.4	8.4	6.0	6.6	0.8	741.7	740.6	737.2	62	76	96	N	oS	oN	0	9	10	10	0.6	● 14 ^{1/2} -18 ^{1/2}
8	3.4	13.2	6.4	7.7	1.8	735.0	734.9	736.0	96	25	79	W	oNNE	2N	0	2	1	10		
9	3.8	11.8	6.2	7.3	1.3	736.9	735.1	734.8	83	43	77	N	oSSE	oN	0	1	2	0		
10	1.8	8.2	7.0	5.7	-0.4	734.4	733.2	731.6	87	61	80	N	oSSE	oN	0	0	10	10	19.2	● * 21 ^{1/2} -n, \ fr.
11	0.8	9.0	7.0	5.6	-0.7	726.6	723.7	722.9	99	24	21	NNE	oNNE	1NNE	1	10	0	6	7.0	● * n-7 ^{1/2} , ● 7 ^{1/2} -8 ^{1/2}
12	6.2	11.0	3.2	6.8	0.4	721.7	722.4	723.5	20	18	28	NNE	1NNE	1NNE	0	0	0	0		
13	0.2	11.0	4.0	5.1	-1.5	726.7	726.9	728.1	53	29	59	NNE	oSE	oN	0	2	0	0		
14	2.8	7.0	5.4	5.1	-1.6	729.0	728.9	728.7	61	47	77	N	oS	oN	0	5	10	9	0.1	▽ 22 ^{1/2}
15	4.8	6.8	5.4	5.7	-1.1	728.9	729.5	727.9	88	79	88	N	oNNE	oNNW	0	10	10	10	7.0	● n-8 ^{1/2} , ● 15 ^{1/2} -23 ^{1/2}
16	2.6	15.0	8.2	8.6	1.6	729.2	728.7	728.4	86	41	68	NNW	oSSE	oN	0	1	1	10	5.0	● 18 ^{1/2} -22 ^{1/2}
17	3.6	11.0	7.8	7.5	0.4	730.3	730.3	730.4	77	57	92	N	oWSW	oN	0	6	10	10	7.0	● tr. 16-18 ^{1/2}
18	6.4	7.6	6.4	6.8	-0.4	727.5	726.3	726.0	96	97	99	N	oN	oN	0	10	10	10	44.8	● 3-n
19	6.2	11.0	2.6	6.6	-0.8	725.1	724.3	724.4	99	61	87	N	oSSE	oN	0	10	8	0	13.5	● n-8, 16 ^{1/2} -18 ^{1/2} m.U.
20	0.8	8.6	5.2	4.9	-2.6	724.1	724.0	731.4	84	39	32	N	oNNE	2NNE	1	0	10	0		
21	1.2	12.8	6.2	6.7	-0.9	739.6	741.4	741.9	40	31	52	N	oSSE	oN	0	0	2	0		
22	3.0	12.4	7.0	7.5	-0.3	742.4	741.4	741.2	69	42	79	N	oNNE	oN	0	10	4	10		
23	5.6	7.6	5.0	6.1	-1.8	740.3	739.9	737.7	83	77	96	N	oS	oN	0	10	10	10	12.2	● tr. 12 ^{1/2} -13 ^{1/2} , ● 13 ^{1/2} -n
24	4.4	6.6	6.2	5.7	-2.4	734.6	734.0	734.6	91	86	82	NE	oSSE	oN	0	10	10	10	1.9	● n-4, 9 ^{1/2} -12 ^{1/2} , ● tr. p. abs.
25	5.0	15.2	10.2	10.1	1.9	736.1	736.4	736.0	80	47	68	N	oS	oN	0	0	4	10		
26	7.2	16.2	13.2	13.2	3.9	735.7	734.5	736.8	79	46	32	NNE	oS	oNNE	2	1	0	0		
27	6.2	20.8	12.2	13.0	4.5	736.4	735.4	736.8	53	20	41	SE	oNNE	2NNE	1	0	4	0		
28	7.6	16.6	11.2	11.8	3.2	738.3	736.1	735.9	68	49	65	N	oS	oN	0	3	0	0		
29	10.2	14.0	9.8	11.3	2.6	735.6	734.7	734.6	78	47	80	NNW	oS	oN	0	10	10	0		
30	9.0	16.2	8.0	11.0	2.1	734.3	736.0	741.5	74	26	81	SE	1NNE	1N	0	5	10	0		
31	4.4	15.8	10.0	10.1	1.1	740.9	740.0	739.4	77	40	61	N	oN	oNW	0	0	4	10		
Mittel	4.4	11.6	7.2	7.7	-	736.0	735.4	735.7	77	50	70					4.6	5.4	5.0	120.3	

$\lambda = 70^{\circ} 35'$, $\beta = 47^{\circ} 33'$.
 $H_b = 318^m$, $G = 0.13^m$.

Basel.

März 1930.
Astronom.-Meteorol. Anstalt.

1	-1.8	8.3	4.0	3.5	-	741.0	739.3	739.8	93	56	70	ESE	1NNE	1ESE	2	1	2	0		□ fr.
2	0.6	9.2	1.6	3.8	-	739.9	740.1	740.6	90	57	89	NNE	1NE	1SW	1	9	8	0		□ fr.
3	1.0	9.8	2.9	4.6	-	741.0	741.3	742.8	90	59	93	E	1WNW	1SW	1	2	10	0		□ fr.
4	-0.5	13.7	7.6	7.0	-	744.8	744.9	745.1	96	53	74	ESE	1WNW	1SSW	1	0	1	10		□ fr., ⊕ 14
5	2.2	13.0	5.9	7.0	-	745.2	744.4	744.3	96	57	79	ESE	1NW	1WSW	1	1	10	1		□ fr., ⊕ 12
6	-1.6	12.9	7.2	6.2	-	743.3	741.2	737.2	96	47	69	SSW	1E	1ENE	1	3	10	4		□ fr.
7	4.8	10.5	6.2	7.2	-	733.2	734.0	734.9	78	47	74	ENE	1W	2WSW	1	10	10	10	0.0	● 15 ^{1/2}
8	4.4	11.4	2.8	6.2	-	736.1	736.1	734.5	90	48	80	SW	oSW	1ESE	1	10	7	0		
9	-1.4	13.2	5.7	5.8	-	732.2	729.9	728.3	95	40	66	ESE	1ENE	1E	1	0	0	0		□ fr.
10	-0.5	16.8	5.5	7.3	-	727.3	723.5	726.7	85	38	80	ESE	1WNW	1WSW	2	0	3	10	1.2	● 16 ^{1/2} , 18-18 ^{1/2} , 21 ^{1/2} , □ fr.
11	2.2	4.7	1.4	2.8	-	726.7	725.0	723.7	84	52	76	WSW	1W	2WNW	1	10	9	10	0.4	● 2 ^{1/2} -2 ^{3/4} , * fl. 17 ^{1/2} , ⊕ 12
12	0.9	5.5	2.8	3.1	-	722.7	722.0	723.5	90	61	69	SSE	1W	1WSW	1	10	9	10		* 2-3, 7 ^{1/2} , * fl. a. 12 ^{1/2} -21 ^{1/2}
13	1.8	5.2	3.0	3.3	-	724.3	724.9	725.4	82	66	91	WSW	1WNW	2SSW	1	10	10	10	5.2	* n. ziv., ● 7 ^{1/2} -9 ^{1/2} , 16-16 ^{1/2}
14	3.7	12.6	6.4	7.6	-	719.5	719.1	720.5	95	55	91	NE	1WSW	2NE	1	10	10	10	0.9	● 2 ^{1/2} -11 ^{1/2} m.U., p. ziv.
15	7.4	15.7	8.0	10.4	-	721.3	718.7	722.5	83	46	63	SE	1SW	1SW	1	9	10	10	1.8	K ₂ , ● 17 ^{1/2} -18 ^{1/2} , ▲ 17 ²⁰ -17 ²⁵
16	3.9	5.7	7.3	5.6	-	722.4	723.1	725.3	72	86	61	E	1W	2WSW	1	3	10	8	1.6	● 13-16
17	3.8	9.6	8.6	7.3	-	725.7	723.4	719.6	83	79	77	E	1ESE	1ESE	1	10	10	6	0.5	● 11 ^{1/2} -11 ^{1/2}
18	9.4	10.4	4.8	8.2	-	718.3	720.9	723.9	84	60	74	W	2WSW	2WSW	1	10	10	10	2.5	● 7-9 ^{1/2}
19	2.5	7.8	3.1	4.5	-	724.4	723.1	720.7	91	53	83	ESE	1ESE	oENE	1	10	10	9	2.0	● 23 ^{1/2} -1 ^{1/2}
20	2.0	4.6	1.7	2.8	-	721.5	726.4	733.2	89	65	77	WNW	oSW	2SW	1	10	6	10	3.8	* 8 ^{1/2} -10 ^{1/2} , † a. * fl. p. ziv.
21	-1.4	8.5	4.8	4.0	-	734.8	733.6	733.0	87	37	56	ESE	1E	2E	1	1	1	9	0.1	□ fr., ⊕ 11
22	3.6	5.6	6.7	5.3	-	734.0	735.5	736.4	83	91	96	ESE	1ESE	1E	1	10	10	10	1.2	● 7 ^{1/2} -17 m.U., 21 ^{1/2}
23	7.0	9.2	7.8	8.0	-	733.7	731.0	728.9	92	87	96	NNE	1ENE	1E	1	10	10	10	5.7	● 9 ^{1/2} -11 ^{1/2} , 13 ^{1/2} -20 ^{1/2}
24	6.3	6.7	5.5	6.2	-	728.8	730.7	733.5	96	82	93	SW	1WSW	1SW	0	10	10	10	2.7	● 4 ^{1/2} -4 ^{1/2} , 10 ^{1/2} -21 ^{1/2} m.U.
25	4.8	7.2	6.3	6.1	-	736.4	736.5	736.9	94	89	91	NNW	1NW	1WNW	1	10	10	10		
26	6.0	10.2	6.6	7.6	-	737.4	737.6	739.5	88	67	74	W	1NW	1NNW	1	10	10	4		
27	0.6	11.8	5.1	5.8	-	740.5	739.1	738.0	96	51	82	ESE	1NE	1ESE	1	10	1	0	0.0	● 7 ^{1/2} -7 ^{1/2} , = 0-9
28	2.6	17.8	11.2	10.5	-	735.5	733.0	730.1	87	40	90	E	1NE	1ESE	1	6	0	1		
29	6.8	12.9	5.9	8.5	-	729.5	731.2	734.0	78	56	96	ENE	1NW	1ESE	1	2	10	0	0.1	● 17
30	6.0	12.6	5.6	8.1	-	735.8	736.2	737.5	85	50	79	SE	1NE	1E	1	9	8	0		● 6 ^{1/2} -7 ^{1/2} , ● tr. 7 ^{1/2}
31	1.4	16.0	11.3	9.6	-	736.1	734.0	733.6	85	31	53	SW	oENE	1E	1	1	2	10		□ fr.
Mittel	2.9	10.3	5.6	6.3	-	732.0	731.6	732.1	88	58	78					6.7	7.3	6.2	29.7	

März 1930.
Beobachter: Observatorium.

Säntis.

$\lambda = 9^{\circ} 20'$, $\beta = 47^{\circ} 15'$.
 $H_b = 2500.1^m$, $G = -0.16^m$.

Tag	Lufttemperatur					Luftdruck			Relative Feuchtigkeit			Windrichtung und Stärke			Bewölkung			Niederschlag	Witterung	
	7 ³⁰	13 ³⁰	21 ³⁰	Mittel	Uvack 1000 Normalst.	7 ³⁰	13 ³⁰	21 ³⁰	7 ³⁰	13 ³⁰	21 ³⁰	7 ³⁰	13 ³⁰	21 ³⁰	7 ³⁰	13 ³⁰	21 ³⁰			
1	-6.2	-3.3	-3.9	-4.5	4.0	564.3	564.3	565.3	70	70	80	E	2S	3S	3	2	3	.		
2	-3.2	-0.1	1.0	-0.8	7.7	565.7	566.5	567.2	75	51	41	S	2SW	2WSW	2	7	9	3	.	
3	-0.1	1.6	-1.8	-0.1	8.3	567.8	568.4	569.0	45	50	55	SSE	3S	2S	1	2	3	1	.	
4	-2.0	-0.8	-5.6	-2.8	5.6	568.8	569.1	569.1	45	56	100	NW	1W	1NW	2	1	0	10 ³	.	≡ 20 ^{1/2} -n
5	-6.0	-4.4	-5.2	-5.2	3.1	568.4	568.2	567.7	100	100	100	SSW	1SW	3WSW	2	10 ³	10 ³	10 ³	.	≡ n-n zeitw.
6	-3.2	-0.7	1.0	-1.0	7.3	566.8	567.2	565.4	55	100	15	NW	2NW	1E	1	2	3	.		
7	-2.4	-5.2	-8.5	-5.4	2.8	561.9	559.7	558.9	55	100	100	SSE	2WSW	3WSW	2	9	10 ³	10 ³	23.0	* \ddagger 13-p, ≡ 12-n
8	-9.8	-8.0	-9.8	-9.2	-1.0	558.9	559.5	559.0	100	100	60	NW	1ENE	1NE	2	10 ³	10	0	.	* \ddagger n-a, ≡ a, p zeitw.
9	-3.8	-1.8	-5.0	-3.5	4.6	557.5	557.7	556.8	25	28	40	NE	1WNW	1SW	4	1	1	0	.	abds.
10	-3.4	-0.2	-5.0	-2.9	5.2	555.5	554.3	552.7	22	30	100	SW	3SW	3SW	3	0	1	10 ³	25.3	* Δ 21 ^{1/2} , ≡ 20 ^{1/2} -n
11	-11.6	-12.1	-14.5	-12.7	-4.7	550.0	549.1	548.1	100	100	100	NW	2W	1W	1	10 ³	10 ³	10 ³	19.7	* \ddagger n-n
12	-15.8	-12.2	-14.0	-13.9	-6.0	546.8	546.7	547.7	100	100	100	NW	0NW	1W	1	10	10 ³	10	8.0	* \circ p zeitw., ≡ a zeitw.
13	-14.2	-12.0	-11.1	-12.4	-4.5	547.5	548.6	550.2	100	100	100	WSW	3WSW	3WSW	2	10 ³	10 ³	10 ³	34.8	* \ddagger n-n
14	-6.0	-4.4	-6.2	-5.5	2.3	547.7	548.9	550.3	100	100	100	WSW	4SW	4WSW	2	10 ³	10	10 ³	12.1	* n-a, ≡ n-a, abds., \ddagger n-p
15	-5.5	-2.5	-8.2	-5.4	2.4	550.6	550.5	549.4	100	50	100	SW	2SSW	2WSW	5	10 ³	8	10 ³	8.0	* \ddagger n-a, abds., \ddagger 19 ^{1/2} , \ddagger abds.
16	-10.0	-4.5	-8.5	-7.7	0.0	551.0	551.1	552.1	90	90	100	SW	2SW	2SW	3	2	8	10 ³	8.2	* p zeitw., * \ddagger 17 ^{1/2} -n
17	-9.5	-3.2	-4.2	-5.6	2.0	552.9	552.6	551.9	90	100	100	SW	2SW	2SW	2	10	10 ³	3	7.0	* a zeitw., * \ddagger p
18	-3.4	-5.3	-6.5	-5.1	2.4	549.6	549.7	550.3	100	100	100	S	1WSW	2W	1	10	10 ³	10 ³	21.2	* \ddagger 12 ^{1/2} -n, ≡ a-n
19	-8.5	-8.7	-12.8	-10.0	-2.5	549.8	548.9	548.2	100	100	100	WSW	1NNW	1WSW	1	10 ³	10 ³	10 ³	10.1	* \ddagger n-abds.
20	-11.7	-13.0	-14.5	-13.1	-5.7	547.0	549.0	554.2	100	100	100	WSW	2WSW	3WSW	2	7	10 ³	10 ³	17.0	* \ddagger 9 ^{1/2} -n
21	-8.6	-3.6	-4.8	-5.7	1.6	557.5	559.3	560.2	80	82	45	W	1WSW	3WSW	4	1	6	7	2.0	\ddagger abds.
22	-5.6	-2.4	-4.0	-4.0	3.2	560.1	561.3	562.2	45	100	100	SSW	2WSW	4WSW	2	10 ³	10 ³	10 ³	22.1	* \ddagger n-n
23	-2.3	-0.2	-4.5	-2.3	4.8	560.2	558.5	556.7	100	100	100	WSW	1S	2SW	2	10	6	10	6.0	* u (23/34.), ≡ a
24	-3.8	-2.2	-3.4	-3.1	3.9	555.7	556.5	559.2	100	100	100	SSW	1SE	1NE	2	8	10 ³	10 ³	8.3	* Δ ab 16 zeitw., * abds.-n,
25	-4.4	-3.0	-3.8	-3.7	3.3	560.5	561.2	561.4	100	100	100	NE	1ESE	1ESE	1	10 ³	10 ³	10 ³	.	≡ n-n [≡ 11-n]
26	-4.5	-0.8	-7.0	-4.1	2.8	561.3	561.1	563.0	100	91	100	SSE	0NNW	1WSW	1	8	10 ³	10 ³	1.0	* (zeitw.), ≡ n-n
27	-10.1	-4.7	-6.3	-7.0	-0.2	563.1	563.1	563.3	61	91	100	N	3NNE	3N	2	8	8	10 ³	.	≡ 18 ^{1/2} -n m.U.
28	-2.3	-1.0	-2.0	-1.8	4.9	561.7	561.1	560.0	76	97	100	ENE	2SSE	1SW	3	5	2	5	.	
29	-1.5	-3.0	-6.5	-3.7	2.9	558.5	558.7	560.0	70	100	100	WSW	5WSW	5WSW	2	10 ³	10 ³	10 ³	30.3	* \ddagger 13 ^{1/2} -n m.U., \ddagger n-abds.
30	-7.5	-7.0	-8.6	-7.7	-1.2	560.0	561.3	562.4	100	100	100	N	1NNW	1NE	2	10 ³	10	1	0.0	* \circ \ddagger zeitw.-n
31	-1.2	-3.0	-4.5	-2.9	3.4	560.9	561.7	561.5	13	56	100	E	0SW	3WSW	4	0	2	7	6.0	* n (31./1.)
Mittel	-6.1	-4.2	-6.4	-5.6	-	557.7	557.9	558.2	78	83	88					6.6	7.4	7.5	260.2	Summe

März 1930.
Beobachter: Fr. Lombardi.

St. Gotthard (Hospiz).

$\lambda = 8^{\circ} 34'$, $\beta = 46^{\circ} 33'$.
 $H_b = 2102.9^m$, $G = -0.14^m$.

Tag	Lufttemperatur					Luftdruck			Relative Feuchtigkeit			Windrichtung und Stärke			Bewölkung			Niederschlag	Witterung	
	7 ³⁰	13 ³⁰	21 ³⁰	Mittel	Uvack 1000 Normalst.	7 ³⁰	13 ³⁰	21 ³⁰	7 ³⁰	13 ³⁰	21 ³⁰	7 ³⁰	13 ³⁰	21 ³⁰	7 ³⁰	13 ³⁰	21 ³⁰			
1	-5.9	-2.0	-5.0	-4.3	2.3	593.9	595.4	596.8	90	68	90	S	1SE	1S	1	8	10	10 ³	2.5	* \ddagger abds. zeitw., ≡ 17 ^{1/2} -n
2	-4.2	0.5	-3.2	-2.3	4.3	596.7	597.8	598.6	100	76	85	S	1S	1S	0	8	10	10 ³	.	≡ 20-n
3	-4.6	2.6	-1.0	-3.0	5.5	597.8	598.7	598.6	90	50	51	S	0S	0S	0	0	3	0	.	
4	-1.6	0.2	-4.0	-1.8	4.6	598.1	598.6	598.2	48	30	71	N	0N	1N	1	0	0	0	.	
5	-3.8	-0.8	-2.6	-2.4	4.0	597.5	597.7	597.7	84	60	95	N	2N	2N	2	0	0	0	.	
6	-2.2	1.4	-0.3	-0.4	5.9	596.8	596.5	595.7	40	55	45	N	2N	0N	1	0	0	0	.	
7	-3.0	-1.0	-6.2	-3.4	2.8	591.7	590.5	588.7	45	61	95	S	1SE	1N	2	8	10 ³	10 ³	9.8	* 13 ^{1/2} -16 ^{1/2} , ≡ 18-n, \ddagger zeitw.
8	-8.5	-6.0	-9.2	-7.9	-1.8	587.7	588.8	588.9	80	50	67	N	2N	1N	1	10 ³	3	0	.	≡ n-8 ^{1/2}
9	-5.0	1.0	-6.5	-3.5	-2.6	587.0	586.5	586.6	55	50	65	N	0N	0N	0	0	0	0	.	
10	-5.4	-1.0	-5.1	-3.8	-2.2	585.8	586.7	583.6	75	60	70	E	0N	1SE	2	0	2	10 ³	11.5	* \ddagger n (10./11.), ≡ 21-n
11	-8.0	-5.0	-11.0	-8.0	-2.1	578.8	577.9	577.0	95	80	70	N	3N	3N	4	10 ³	10 ³	10 ³	14.4	≡ n-22, \ddagger n-n
12	-11.6	-10.0	-12.0	-11.2	-5.3	577.0	575.6	577.0	94	70	85	N	3N	2NE	1	10 ³	3	0	3.8	* \ddagger n-14 ^{1/2} , ≡ n-9
13	-11.8	-6.6	-10.0	-9.5	-3.7	579.1	579.8	581.8	90	61	77	N	2NE	2N	0	7 ³	10 ³	5	4.2	* 12 ^{1/2} -13, 15 ^{1/2} -16 ^{1/2} , ≡ n-abds.
14	-8.2	-3.3	-6.3	-5.9	-0.2	580.1	580.1	580.1	83	55	90	SE	2SE	1SE	2	10 ³	10	10 ³	8.0	* n-8 ^{1/2} , ≡ n-10, abds., \ddagger abds.
15	-5.0	-3.5	-4.0	-4.2	1.4	581.8	580.6	580.6	95	90	98	SE	1SE	1SE	2	10 ³	10 ³	10 ³	5.5	* 18 ^{1/2} -21, ≡ \ddagger (zeitw.) n-n
16	-4.0	-1.0	-5.0	-3.3	2.2	580.9	580.8	581.7	85	75	95	NE	0NE	2E	1	0	10	10 ³	7.6	* 17 ^{1/2} -20 ^{1/2} , ≡ 15 ^{1/2} -n
17	-4.0	-0.5	-5.0	-3.2	2.3	583.5	583.2	582.8	80	40	80	SE	1SE	1SE	1	10	10	10 ³	11.1	* \ddagger n-n zeitw., ≡ 20-n
18	-3.0	-1.6	-5.0	-3.2	2.2	579.8	579.4	578.9	87	80	80	SE	1SE	1SE	1	10 ³	10 ³	10 ³	33.8	* 10 ^{1/2} -18 ^{1/2} , 21 ^{1/2} -n, ≡ n-n
19	-7.5	-8.4	-10.2	-8.7	-3.4	578.8	578.0	577.9	80	76	64	N	2N	2N	0	10 ³	10 ³	10 ³	33.0	* 9 ^{1/2} -16 ^{1/2} , ≡ n-19
20	-9.0	-9.8	-13.0	-10.6	-5.4	576.9	578.1	585.1	70	65	90	NE	1N	3N	3	10	10 ³	10 ³	4.9	* \ddagger n-n
21	-9.0	-3.5	-8.7	-7.1	-2.0	588.2	588.9	592.0	57	35	70	S	1S	1S	1	0	3	0	.	
22	-7.0	0.0	-5.0	-4.0	1.0	591.1	591.6	591.6	50	50	70	S	2S	1S	0	5	3	5	.	
23	-4.2	-1.5	-5.0	-3.6	1.3	589.9	588.5	586.8	67	60	75	S	1S	2S	2	10	10	10 ³	2.3	* 21 ^{1/2} -22 ^{1/2}
24	-3.8	1.6	-2.7	-1.6	3.2	583.8	584.9	587.8	80	52	93	SE	1SE	1N	1	10	10	5	3.5	* 14 ^{1/2} -16
25	-1.0	1.0	-3.4	-1.1	3.6	589.7	590.0	590.6	77	51	75	N	1N	0N	0	0	0	0	.	
26	-3.4	-0.3	-4.6	-2.8	1.8	591.2	590.3	590.4	90	66	80	N	1NE	2N	2	10 ³	10 ³	10 ³	.	≡ n-n, \ddagger ab 13 zeitw.
27	-6.0	-3.4	-3.2	-4.2	0.3	591.6	591.7	593.5	78	61	90	E	2NE	1NE	2	10 ³	5	5	.	≡ n-9
28	-3.2	3.2	-1.0	-0.3	4.1	590.7	590.3	590.2	65	48	75	N	0N	0N	0	0	1	5	.	
29	0.0	4.2	-3.8	0.1	4.4	588.4	588.3	590.4	80	40	85	NE	0NE	0N	3	0	8	10		

$\lambda = 7^{\circ} 26', \beta = 46^{\circ} 57'$
 $H_b = 572.2^m, G = 0.05 \frac{mm}{m}$

Bern.

April 1930.
Tellur. Observatorium.

Tag	Lufttemperatur					Luftdruck			Relative Feuchtigkeit			Windrichtung und Stärke			Bewölkung			Niederschlag	Witterung	
	7 ³⁰	13 ³⁰	21 ³⁰	Mittel	Abweich. vom Monatsm.	7 ³⁰	13 ³⁰	21 ³⁰	7 ³⁰	13 ³⁰	21 ³⁰	7 ³⁰	13 ³⁰	21 ³⁰	7 ³⁰	13 ³⁰	21 ³⁰			
1	8.4	14.4	9.6	10.8	4.6	712.6	712.0	710.6	85	59	84	SW	0	NE	0	10	9	0	● tr. 1 ¹ / ₄ , 2 ¹ / ₄ -3 ¹ / ₂	
2	4.8	17.4	12.3	11.5	5.2	710.2	709.3	708.4	89	47	76	S	0	W	2	10	1	7	△ fr.	
3	9.4	13.3	9.4	10.7	4.2	705.4	703.1	702.3	95	74	89	NE	0	W	0	10	10	10	● tr. n. 7 ¹ / ₄ , 15 ³ / ₄ -n m.U.	
4	6.3	5.7	3.3	5.1	-1.5	701.1	700.8	702.9	91	91	93	S	1	S	0	10	10	10	● n-7 ¹ / ₄ m.U., 7 ¹ / ₂ -22 ¹ / ₂	
5	4.0	10.4	7.4	7.3	0.6	703.1	703.2	703.9	92	65	83	SE	1	S	1	10	6	10	● 4-5 ¹ / ₄ , 14 ¹ / ₂ -14 ³ / ₄ , 20-20 ¹ / ₄	
6	4.0	11.8	6.8	7.5	0.6	704.6	704.4	706.0	87	60	74	S	0	NE	0	4	7	2	● tr. 4 ¹ / ₂ -6, K, ● 13 ¹ / ₂ -14, [W abds.	
7	3.2	11.4	9.4	8.0	1.0	707.7	709.4	711.3	88	55	69	SE	0	E	2	0	6	8		
8	5.0	12.0	8.4	8.5	1.4	713.5	713.4	714.2	80	52	70	NE	1	NE	2	0	2	2		
9	2.9	12.0	8.0	7.6	0.3	713.1	710.9	708.6	89	39	66	NE	0	N	1	0	1	0	△ fr.	
10	3.0	14.4	10.4	9.3	1.9	707.2	705.6	705.5	90	32	69	S	0	W	2	0	2	3	△ fr.	
11	5.7	15.3	10.0	10.3	2.7	707.7	707.5	708.2	82	38	66	S	0	NNE	1	0	0	0		
12	7.8	16.2	12.4	12.1	4.4	709.7	708.6	707.0	75	42	59	S	0	W	1	10	8	10	9.9 ● sch. 9 ¹ / ₄ , 22, 22 ¹ / ₂	
13	7.5	7.6	6.4	7.2	-0.7	705.7	704.6	700.4	93	88	88	SW	1	SW	0	10	10	10	12.4 ● 0 ¹ / ₄ -15 ¹ / ₄ , 23-0 ¹ / ₄ m.U.	
14	2.1	6.1	4.2	4.1	-3.9	694.5	694.6	695.4	94	79	92	WSW	1	WSW	1	10	10	10	14.8 ● 5 ¹ / ₂ -8 ¹ / ₄ , * 7-13 m.U., ● * 20-n	
15	2.1	5.3	3.0	3.5	-4.6	698.5	700.2	703.7	94	75	89	SW	0	N	1	0	10	10	3.6 ● * n-10, 15-17 ¹ / ₄ m.U., ● 18-n m.U.	
16	2.5	3.2	2.5	2.7	-5.6	704.6	705.9	706.7	91	86	89	W	1	WSW	1	10	10	10	6.1 ● n-1 ¹ / ₄ , 6 ¹ / ₄ , 15 ¹ / ₂ m.U., 20-22 ¹ / ₂ *)	
17	2.7	5.5	2.4	3.5	-4.9	704.4	704.3	703.9	88	87	89	SW	1	W	2	0	10	0	1.2 ● * 1 ¹ / ₄ -4 ¹ / ₂ m.U., *)	
18	1.9	5.0	3.6	3.5	-5.0	702.6	702.3	702.2	89	71	90	SE	0	NE	0	8	10	10	0.5 ● tr. a, p, ● 20-20 ¹ / ₄	
19	3.5	4.4	1.8	3.2	-5.5	700.4	700.0	700.9	90	87	94	S	0	NE	0	10	10	10	8.5 ● 6 ¹ / ₄ -n m.U.	
20	2.4	8.9	6.2	5.8	-3.0	702.1	703.3	704.6	93	61	82	S	0	NE	1	0	10	8	0	● n-4 m.U.
21	2.6	13.3	7.6	7.8	-1.2	706.3	706.3	709.5	88	43	83	S	0	W	1	0	8	9	0.6 ● tr. 13 ³ / ₄ , ● sch. 15 ¹ / ₄ , 20 ¹ / ₄	
22	5.9	13.9	8.8	9.5	0.4	710.2	709.1	708.6	85	48	84	SE	1	N	1	0	2	9	0.0 ● tr. 18 ³ / ₄	
23	7.4	14.6	10.4	10.8	1.6	706.7	704.9	704.8	80	53	82	NE	0	N	0	1	10	9	3.4 ● 14 ¹ / ₄ -21 ¹ / ₄ ztw.	
24	8.4	15.9	11.5	11.8	2.4	704.4	704.2	704.8	94	66	82	W	1	NE	0	10	10	10	0.3 ● n-7 ¹ / ₂ m.U., ● sch. 9 ¹ / ₂ , 15 ¹ / ₂ -16	
25	9.0	15.6	13.0	13.5	4.0	707.1	707.2	709.0	86	48	86	S	0	N	1	8	7	10	12.3 ● tr. 18 ¹ / ₄ , 20 ¹ / ₄ , K, 20 ¹ / ₄ , *)	
26	11.1	17.2	13.4	13.9	4.3	712.5	712.5	712.9	93	56	80	SW	0	N	1	0	10	8		● 3-5 ¹ / ₂ m.U.
27	9.4	19.1	15.7	14.7	4.9	711.9	709.9	707.8	88	51	70	SE	0	E	2	0	2	0		△ fr.
28	10.2	21.0	15.8	15.7	5.8	703.5	700.4	696.7	82	48	45	SE	0	NE	1	0	2	0		△ fr.
29	12.8	18.7	10.0	13.8	3.8	695.8	695.1	696.8	76	54	95	W	0	NE	0	1	3	6	10	38.4 ● 15 ¹ / ₂ -n ztw., K, ▲ p, abds.
30	9.8	12.2	8.5	10.2	0.0	699.1	701.3	704.3	95	75	74	S	0	W	1	10	10	7	3.6 ● n-9 ¹ / ₂ ztw.	
Mittel	5.9	12.2	8.4	8.8	-	705.5	705.1	705.4	88	61	80					6.4	7.1	6.2	Summe 147.4	

*) 16. * ztw. 17. ● 7¹/₂-10¹/₂ m.U., p ztw. 25. ● 20¹/₄-21¹/₄

$\lambda = 6^{\circ} 57', \beta = 47^{\circ} 0'$
 $H_b = 487.3^m, G = 0.06 \frac{mm}{m}$

Neuchâtel.

April 1930.
Observatorium.

Tag	Lufttemperatur					Luftdruck			Relative Feuchtigkeit			Windrichtung und Stärke			Bewölkung			Niederschlag	Witterung			
	7 ³⁰	13 ³⁰	21 ³⁰	Mittel	Abweich. vom Monatsm.	7 ³⁰	13 ³⁰	21 ³⁰	7 ³⁰	13 ³⁰	21 ³⁰	7 ³⁰	13 ³⁰	21 ³⁰	7 ³⁰	13 ³⁰	21 ³⁰					
1	9.3	14.8	9.2	11.1	4.4	720.1	719.3	718.2	80	54	81	NW	0	E	1	10	10	1				
2	5.5	17.4	13.7	12.2	3.4	718.0	716.9	715.6	98	54	68	R	1	SW	1	2	4	7	0.0	● tr. n (2/3)		
3	10.4	12.1	9.3	10.6	3.6	712.4	709.9	709.2	94	84	89	W	0	W	1	10	10	10	4.1	● 15-n m.U.		
4	6.4	6.5	5.3	6.1	-1.0	708.1	707.9	710.4	97	95	94	W	0	W	1	10	10	10	8.3	● n-abds. m.U.		
5	4.8	11.2	7.0	7.7	0.5	710.9	710.5	711.9	98	67	85	NW	0	SE	1	10	8	8	0.8	● sch. p		
6	4.8	15.6	8.7	9.7	2.3	712.4	712.0	713.5	93	57	65	E	0	SE	1	E	2	4	6	7		
7	6.5	14.6	11.5	10.9	3.4	715.7	717.1	719.0	82	52	54	E	1	E	2	E	2	5	6	10		
8	7.0	15.8	8.9	10.6	2.9	721.3	721.2	722.0	73	47	48	E	1	E	2	N	1	5	6	4		
9	6.2	15.2	9.3	10.2	2.4	720.6	718.0	716.2	69	57	57	NE	1	E	1	NE	1	3	3	2		
10	4.0	15.8	12.8	10.9	3.0	714.7	713.0	712.9	90	51	38	NE	0	W	1	NE	1	3	5	4		
11	6.7	17.4	11.7	11.9	3.8	715.5	715.0	715.8	82	41	60	E	0	SW	1	N	1	7	5	0		
12	8.2	15.6	12.2	12.0	3.8	717.2	716.1	715.1	92	54	70	NE	0	SW	1	W	3	10	8	9	6.9	● tr. fr.-8
13	6.8	8.2	6.9	7.3	-1.0	713.4	711.7	706.8	95	92	90	W	1	W	1	NW	1	10	10	10	4.2	● n-10, 13 ³ / ₄ -17 m.U.
14	3.0	7.0	5.2	5.1	-3.4	700.8	701.1	702.1	95	78	76	NW	1	SW	1	N	1	10	9	10	0.5	● n-10 m.U.
15	4.2	5.0	3.6	4.3	-4.3	704.9	708.1	711.5	93	83	93	NW	0	W	1	NE	0	10	10	10	1.2	● n-abds. m.U., * n. 10 ¹ / ₂
16	3.3	4.7	3.1	3.7	-5.0	712.3	713.6	714.6	74	72	92	NW	1	W	1	W	1	10	10	10	1.3	● tr. a, ● 17-n m.U.
17	3.0	4.7	3.4	3.7	-5.2	712.3	712.2	711.6	90	87	77	W	2	SW	1	SW	1	10	10	8	1.4	● n-15 m.U.
18	3.8	8.0	4.8	5.5	-3.5	710.0	709.9	709.6	90	54	84	NE	1	NE	1	N	0	8	9	10	0.0	● tr. t, abds.
19	4.2	6.1	3.6	4.6	-4.5	706.9	706.7	708.4	92	80	79	SW	1	SE	0	N	0	10	10	10	0.7	● fr.-13 ¹ / ₂ m.U.
20	3.0	10.4	7.6	7.0	-2.3	710.0	711.1	712.2	92	53	65	NE	1	SE	1	NE	1	7	3	2		
21	4.0	13.3	8.0	8.4	-1.0	714.0	714.3	717.0	89	52	76	NE	1	SW	1	NW	1	5	8	3		
22	6.3	15.0	11.0	10.8	1.3	718.0	716.5	716.6	87	55	69	NW	0	SW	1	W	1	4	7	10	0.0	● tr. 21 ¹ / ₂
23	9.1	12.0	9.4	10.2	0.5	714.4	712.6	712.4	77	73	86	E	1	NW	1	NE	0	7	10	9	2.0	● 15-20 m.U.
24	8.8	14.2	10.6	11.2	1.4	711.6	711.9	712.4	98	75	92	N	1	SW	1	SW	1	9	9	10	1.6	● n-7 ¹ / ₂ , 15 ¹ / ₄ -n m.U., ● sch. 9
25	9.7	18.8	15.9	14.8	4.8	714.9	714.9	716.6	95	52	59	NE	0	SW	1	NE	1	8	8	6	2.2	
26	11.0	18.1	13.6	14.2	4.1	720.1	719.9	720.6	93	56	72	NW	1	S	1	SW	1	9	4	1	0.2	● n-7 ¹ / ₄ , ● sch. 10
27	10.8	21.7	16.8	16.4	6.2	719.3	717.1	714.5	88	49	57	N	0	SE	1	N	1	2	3	0		
28	11.2	23.5	15.7	16.8	6.5	710.5	706.6	703.0	90	40	63	NE	1	SE	1	NE	0	2	3	4	0.3	[15. < abds.
29	14.2	19.9	11.3	15.1	4.6	701.8	701.7	703.7	78	46	96	N	1	SW	1	NW	0	6	7	10	21.0	● 6-7, 17 ¹ / ₂ -n m.U., ● sch.
30	10.2	13.6	9.6	11.1	0.5	705.8	708.8	711.9	98	77	73	NE	0	NE	1	E	2	9	9	10	3.6	● n-7 ¹ / ₄
Mittel	6.9	13.2	9.3	9.8	-	712.9	712.5	712.8	89	63	74											

April 1930.
Beobachter: Frl. H. Nager.

Aldorf.

$\lambda = 80^{\circ} 39'$, $\beta = 46^{\circ} 53'$,
 $H_b = 456.3^m$, $G = 0.05^m$.

Tag	Lufttemperatur					Luftdruck			Relative Feuchtigkeit			Windrichtung und Stärke			Bewölkung			Niederschlag	Witterung
	7 ⁰⁰	13 ⁰⁰	21 ⁰⁰	Mittel	Abw. von Mittel	7 ⁰⁰	13 ⁰⁰	21 ⁰⁰	7 ⁰⁰	13 ⁰⁰	21 ⁰⁰	7 ⁰⁰	13 ⁰⁰	21 ⁰⁰	7 ⁰⁰	13 ⁰⁰	21 ⁰⁰		
1	7.4	14.9	8.4	10.2	2.8	723.7	722.5	721.5	85	45	83	W	oNW	oE	o	10	10	o	
2	5.4	16.4	13.7	11.8	4.3	720.7	718.9	719.0	88	43	60	W	oNW	oNE	o	o	o	4	
3	11.0	15.9	11.3	12.7	5.1	714.7	711.7	712.2	92	62	80	NW	oNW	oE	o	10	8	8	0.9
4	8.9	7.1	3.0	6.3	-1.5	709.9	710.1	713.8	84	89	98	NW	oE	oE	o	10	10	10	27.1
5	4.3	13.5	7.8	8.5	0.6	714.0	713.3	714.6	100	57	85	W	oW	oNW	o	10	7	9	1.9
6	7.3	12.0	8.2	9.2	1.2	715.1	714.7	716.8	89	52	84	SE	oN	o-1SE	o	10	10	8	
7	5.3	11.3	7.3	8.0	-0.2	718.7	720.0	722.6	97	57	95	SE	oNW	oNW	o-1	9	7	10	6.3
8	3.0	12.4	7.7	7.7	-0.6	724.6	724.7	725.1	88	51	63	E	oNW	o-1NW	o	8	8	8	
9	6.4	12.4	6.9	8.6	0.2	723.6	721.1	719.3	88	46	89	NE	oNW	o-1E	o	5	8	5	
10	4.9	14.8	9.7	9.8	1.3	717.1	715.3	716.1	89	44	95	SW	oNW	1W	o	5	4	8	
11	8.3	15.6	11.6	11.8	3.1	718.4	717.8	719.0	84	38	46	NE	oNW	oS	o	8	3	7	
12	8.0	15.6	11.0	11.5	2.7	720.1	718.3	717.6	74	44	72	NW	oNW	oNW	o	10	8	10	
13	10.5	10.3	7.2	9.3	0.3	715.2	714.0	709.8	80	70	99	NW	oNW	1NW	o	10	10	10	16.1
14	4.5	5.7	3.8	4.7	-4.4	703.9	703.5	705.0	93	85	95	E	oNW	oNW	o	10	10	10	13.8
15	4.0	6.0	4.0	4.7	-4.5	707.3	709.5	714.0	95	90	90	S	oNW	oNW	o	10	10	10	4.3
16	4.8	5.4	3.8	4.7	-4.7	714.2	714.9	717.0	89	75	93	S	oNW	1NW	o	10	10	10	5.3
17	3.5	6.1	4.4	4.7	-4.8	714.2	714.8	714.6	99	63	83	SE	oNW	oNW	o	10	10	10	3.5
18	3.8	7.8	5.3	5.6	-4.0	713.0	712.3	712.2	85	50	97	W	oNW	1NW	o	8	10	10	0.4
19	7.0	9.7	5.8	7.5	-2.2	709.7	708.9	710.4	78	47	89	W	oN	oNW	o	8	8	10	13.1
20	2.9	8.7	6.1	5.9	-4.0	712.7	713.8	717.2	90	53	78	NW	oNW	o-1NE	o	10	8	4	
21	4.8	15.7	9.5	10.0	0.0	715.5	716.5	719.9	90	29	67	SW	oNW	1NW	o	2	o	2	0.0
22	8.8	14.9	8.7	10.8	0.7	720.7	719.0	719.3	69	40	64	N	oN	1E	o	6	8	o	
23	13.2	17.8	15.1	15.4	5.1	716.7	715.4	715.0	36	29	31	E	2E	1-2SE	1	3	8	7	
24	15.0	17.8	16.9	16.6	6.2	715.1	715.2	715.7	29	29	29	SE	2-3SE	3E	2-3	8	9	10	
25	11.5	21.2	16.8	16.5	6.0	717.6	717.2	719.9	84	28	29	NW	oS	3S	2-3	4	2	o	
26	12.7	17.5	13.5	14.6	4.0	722.6	722.0	724.0	77	48	82	NW	oNW	oNW	o	10	6	8	1.7
27	10.4	23.2	13.2	15.6	4.8	722.2	719.5	718.0	90	48	53	W	oS	oNE	oNE	o	o	2	o
28	18.5	23.0	17.7	19.7	8.8	712.9	710.8	706.6	35	28	33	S	2S	3S	1	o	1	7	0.0
29	14.8	18.9	13.5	15.7	4.7	704.9	708.2	705.6	56	45	99	W	oNW	oNW	o	7	8	10	26.8
30	10.5	12.2	10.0	10.9	-0.2	709.1	711.5	714.9	93	75	85	NW	oNW	1NW	o	10	8	10	2.8
Mittel	8.0	13.5	9.4	10.3	-	715.6	715.0	715.9	81	52	75					7.2	7.0	7.2	Summe 124.0

April 1930.
Observatorium.

Genf.

$\lambda = 60^{\circ} 9'$, $\beta = 46^{\circ} 12'$,
 $H_b = 405.0^m$, $G = 0.02^m$.

Tag	Lufttemperatur					Luftdruck			Relative Feuchtigkeit			Windrichtung und Stärke			Bewölkung			Niederschlag	Witterung
	7 ⁰⁰	13 ⁰⁰	21 ⁰⁰	Mittel	Abw. von Mittel	7 ⁰⁰	13 ⁰⁰	21 ⁰⁰	7 ⁰⁰	13 ⁰⁰	21 ⁰⁰	7 ⁰⁰	13 ⁰⁰	21 ⁰⁰	7 ⁰⁰	13 ⁰⁰	21 ⁰⁰		
1	10.2	12.6	11.0	11.2	4.4	728.2	726.4	725.0	76	72	77	SE	oNNE	1NNE	1	8	7	o	
2	6.6	20.2	15.2	14.3	7.3	725.3	724.5	723.1	88	55	76	SE	oSSW	1SSW	o	1	o	8	
3	10.6	13.4	10.0	11.0	3.9	719.5	717.5	717.3	84	71	95	NW	oSW	1SW	1	10	10	10	19.7
4	6.7	7.3	5.6	6.3	-0.9	715.2	715.9	718.0	88	91	94	NNE	1SW	1SE	1	10	10	10	8.9
5	5.2	10.8	9.8	8.9	1.5	718.3	717.7	718.6	92	68	81	E	1NNE	1NNE	1	10	9	1	
6	4.6	11.2	10.0	8.9	1.4	719.7	719.2	719.9	91	61	78	SE	oNNE	1NNE	1	o	2	o	
7	5.4	12.8	10.3	9.7	2.0	722.8	724.1	726.1	88	64	71	SW	1NNE	1NNE	1	o	1	o	
8	7.3	13.0	11.0	10.6	2.8	728.0	727.7	728.2	81	64	61	NNE	1NNE	2NNE	1	o	3	o	
9	6.6	12.8	9.8	9.8	1.8	727.9	725.7	723.4	82	61	86	NNE	1NNE	1NNE	1	o	o	o	
10	4.4	13.0	11.5	10.1	2.0	722.1	720.2	720.0	83	64	47	SSW	oNNE	1SSW	1	o	o	o	
11	7.2	15.6	13.0	12.2	4.0	722.6	722.6	723.2	85	61	77	NE	1NE	1NE	o	o	1	7	0.0
12	11.2	19.6	12.8	14.1	5.7	724.7	723.1	722.7	77	51	77	N	oSSW	1SSW	1	10	3	9	13.2
13	8.4	8.4	7.5	7.9	-0.5	720.7	718.7	713.8	92	81	85	SE	1SW	oSW	o	10	9	7	8.5
14	5.0	7.6	5.4	5.9	-2.8	708.8	709.1	710.0	81	77	84	SSW	1SSW	2SSW	1	10	10	10	3.1
15	4.0	6.8	4.9	5.1	-3.6	712.4	715.3	718.6	91	71	82	E	1NNE	2NNE	2	10	10	10	2.2
16	5.0	6.4	4.0	4.8	-4.1	720.2	721.9	723.1	74	74	93	NNE	1NNE	1SE	1	10	10	10	0.7
17	4.0	6.9	5.0	5.2	-3.8	721.1	720.6	719.0	87	81	81	S	1SSW	1SSW	1	10	10	1	0.6
18	4.6	7.6	6.6	6.4	-2.8	716.9	716.9	716.5	80	69	76	NNE	1NNE	2NNE	1	3	10	9	
19	5.0	7.6	4.0	5.1	-4.2	714.6	715.3	716.0	84	76	93	S	1SSW	2SSW	1	10	10	10	1.1
20	3.6	9.9	7.0	6.9	-2.6	717.5	718.0	719.6	91	65	79	SW	oNNE	oSW	o	10	5	2	
21	4.0	13.8	9.3	9.1	-0.5	721.6	721.9	724.5	87	57	82	SW	oSW	1NE	o	1	9	6	
22	8.0	12.4	12.0	11.1	1.3	725.1	723.4	722.6	86	72	74	NE	oNNE	1E	o	8	7	9	
23	8.2	11.2	10.3	10.0	0.1	721.4	719.7	719.8	89	80	98	E	oNE	oNNE	1	10	10	10	6.1
24	9.0	14.0	12.1	11.8	1.7	718.7	719.5	719.4	96	78	94	NNE	1NNE	oSE	o	10	10	10	5.9
25	9.4	16.8	15.0	14.0	3.8	722.2	722.0	722.8	96	70	100	NE	oNNE	1S	1	o	1	9	2.3
26	11.5	16.2	14.3	14.1	3.7	727.4	727.2	727.4	91	69	83	SW	oNNW	1NNE	1	10	5	o	
27	11.0	17.5	16.2	15.2	4.7	726.6	723.9	721.1	87	73	81	E	oNNE	oNNE	o	o	2	o	
28	12.8	19.6	16.5	16.3	5.7	717.4	713.6	711.4	81	67	69	NW	oNNE	1SW	1	1	8	10	0.6
29	11.2	15.2	10.2	11.7	0.9	710.1	710.4	710.7	90	76	96	SE	1SW	1SW	1	10	9	10	16.5
30	10.2	15.2	11.2	11.9	1.0	712.8	714.9	718.7	96	75	82	E	oNNE	1NNE	1	9	5	o	
Mittel	7.4	12.5	10.0	10.0	-	720.3	719.9	719.9	86	70	82					6.0	6.2	5.6	Summe 89.4

λ = 8° 35', β = 47° 25'.
Hb = 493.2m, G = 0.08 mm.

Zürich.

April 1930.
Meteorol. Zentralanstalt.

Tag	Lufttemperatur					Luftdruck			Relative Feuchtigkeit			Windrichtung und Stärke			Bewölkung			Niederschlag	Witterung		
	7 ³⁰	13 ³⁰	21 ³⁰	Mittel	Abwech. 10m Normalst.	7 ³⁰	13 ³⁰	21 ³⁰	7 ³⁰	13 ³⁰	21 ³⁰	7 ³⁰	13 ³⁰	21 ³⁰	7 ³⁰	13 ³⁰	21 ³⁰				
1	7.4	14.4	9.8	10.5	3.9	720.2	719.6	718.1	93	51	72	S	o	SW	o	10	9	2	● 1 ³ / ₄ -4 ¹ / ₄		
2	5.4	20.6	12.8	12.9	6.2	717.4	716.2	715.6	93	40	76	SW	o	SW	1	NW	o	3	1	2	0.6
3	10.9	15.4	10.0	12.1	5.2	712.6	709.2	709.2	86	63	83	E	o	E	1	SW	1	10	9	10	9.5
4	7.6	7.5	3.6	6.2	-0.8	707.1	706.7	710.0	95	96	96	NW	o	NW	o	S	1	10	10	10	41.2
5	4.3	13.1	7.6	8.3	1.2	710.6	710.4	711.1	92	55	76	S	1	S	1	SE	o	10	6	9	0.5
6	5.7	13.0	6.0	8.2	0.9	712.0	712.2	713.9	89	48	94	SE	o	E	1	E	o	7	7	7	10.9
7	4.8	14.8	9.2	9.6	2.2	715.7	716.8	719.1	90	42	74	N	o	E	1	SW	o	2	4	10	.
8	4.7	13.6	7.9	8.7	1.2	721.6	721.4	722.1	84	51	66	E	1	N	1	E	1	o	8	7	.
9	4.1	13.4	8.0	8.5	0.8	720.6	718.6	716.0	84	39	76	E	1	NE	o	NE	o	o	2	o	.
10	3.8	15.5	10.4	9.9	2.1	714.4	713.0	712.7	90	38	58	NE	o	NW	1	E	1	o	7	7	.
11	5.9	16.5	10.4	10.9	3.0	715.2	715.1	715.5	88	36	62	E	o	W	1	NW	o	2	4	2	.
12	8.1	18.5	12.7	13.1	5.0	716.7	715.6	714.3	78	43	65	NW	1	SW	1	SW	1	10	7	9	4.3
13	8.4	8.0	6.8	7.7	-0.5	712.6	711.5	706.9	95	76	94	NW	1	SW	1	SW	1	10	10	10	20.0
14	3.7	5.7	3.0	4.1	-4.3	700.3	700.4	701.4	92	82	94	NW	o	W	1	SW	1	10	10	10	22.8
15	2.8	4.6	2.4	3.3	-5.2	704.6	707.0	710.7	96	89	94	NW	o	NW	1	NW	o	10	10	10	15.8
16	3.0	4.3	2.6	3.3	-5.3	711.0	712.0	713.2	90	81	88	W	1	W	2	W	2	10	10	10	14.2
17	3.0	4.0	3.5	3.5	-5.3	710.5	710.7	711.2	82	85	80	SW	3	W	2	W	1	10	10	10	5.5
18	3.0	7.0	4.2	4.7	-4.2	710.1	709.7	709.3	90	57	85	SW	o	SE	1	SW	o	9	10	10	1.3
19	3.6	7.0	4.2	4.9	-4.1	706.7	706.4	707.4	88	70	96	W	1	N	1	NW	1	10	10	10	12.8
20	1.6	8.7	6.1	5.5	-3.7	709.9	711.4	712.2	97	63	78	NW	o	NW	1	SW	o	10	9	8	.
21	3.4	16.8	8.8	9.7	0.4	713.6	713.6	716.7	92	42	79	S	1	SW	o	SW	o	3	2	10	0.9
22	7.2	14.7	8.5	10.1	0.6	717.9	716.7	716.1	93	44	76	S	1	S	1	SE	o	7	9	7	.
23	7.3	19.2	10.7	12.4	2.8	714.5	711.6	712.1	77	43	80	E	o	E	1	N	1	7	10	9	.
24	10.3	20.8	13.1	14.7	5.0	711.3	711.1	712.2	83	39	76	SE	o	NE	o	NE	o	10	10	10	.
25	10.1	22.2	14.8	15.7	5.8	714.5	714.3	715.9	84	38	42	NW	o	W	o	S	1	2	1	6	.
26	12.1	19.3	14.2	15.2	5.2	719.7	719.6	720.7	80	52	76	NW	o	E	1	SE	1	9	9	10	0.3
27	11.3	22.1	14.6	16.0	5.9	719.4	717.2	715.0	96	53	83	SE	o	NE	1	E	1	7	2	o	.
28	11.1	24.4	15.7	17.1	6.8	710.6	707.3	704.0	96	47	53	NE	o	NE	1	E	o	o	1	3	.
29	13.6	21.0	12.2	15.6	5.2	701.9	701.1	702.7	81	59	91	N	1	NW	1	SE	o	4	9	10	7.1
30	10.5	11.2	7.4	9.7	-0.8	705.8	709.3	712.8	89	72	74	E	1	E	1	E	1	10	10	10	0.6
Mittel	6.6	13.9	8.7	9.7	-	712.6	712.2	712.6	89	56	78	6.7	7.2	7.6	168.3

λ = 8° 30', β = 47° 3'.
Hb = 1787.3m, G = -0.11 mm.

Rigi-Kulm.

April 1930.
Beobachter: J. Wiget.

1	0.4	3.7	3.2	2.4	3.8	614.4	614.5	614.3	100	69	59	W	o	W	o	SE	o	10	7	7	0.2	* Δ 7 ¹ / ₄ -7 ¹ / ₄ . ≡ a
2	5.4	7.2	5.0	5.9	7.2	613.3	613.2	613.2	46	34	75	W	1	W	1	W	o	3	o	3	0.5	●
3	6.0	8.6	1.0	5.2	6.4	609.3	607.3	605.8	47	35	100	W	1	NW	o	W	3	10	10	10	20.2	● 17-21, * Δ 21-n
4	-1.6	-1.2	-3.2	-2.0	-0.9	602.7	602.1	603.6	100	100	100	NE	o	NE	o	W	1	10	10	10	38.2	* 8-n, ≡ a
5	-2.8	0.2	-2.0	-1.5	-0.5	604.5	605.3	606.4	100	100	100	W	o	W	o	W	o	10	5	10	2.8	* n-10 ³ / ₄
6	-1.5	0.0	-1.0	-0.8	0.1	606.6	607.1	608.4	72	82	98	NE	o	NE	o	NE	1	7	5	10	.	
7	-1.0	0.2	-0.2	-0.3	0.5	608.8	611.5	612.4	91	92	100	E	1	E	1	NE	2	3	10	10	0.4	* ≡ 10 ¹ / ₂ -n
8	-1.0	3.8	-1.0	0.6	1.3	614.2	615.0	615.7	100	61	72	NE	1	NE	o	NE	o	3	3	3	.	≡ n-p ztw.
9	-1.8	0.2	0.0	-0.5	0.0	613.7	613.3	611.8	64	61	70	NE	o	NE	1	SE	o	3	5	o	.	
10	-0.3	2.3	1.2	1.1	1.5	608.9	608.8	609.2	60	65	58	NW	1	W	1	NW	o	o	3	5	.	
11	1.0	4.5	3.0	2.8	3.1	610.1	611.0	612.2	63	46	51	NW	1	W	o	W	1	3	3	o	.	
12	2.0	5.8	3.2	3.7	3.9	612.2	612.0	610.9	59	55	64	W	1	SW	1	SW	2	10	5	10	21.3	□ ● 19 ¹ / ₂ -21
13	-0.2	-0.6	-1.0	-2.6	-0.5	608.1	605.4	603.1	100	100	100	NW	1	W	3	W	1	10	10	10	19.0	* ≡ n-n
14	-3.6	-3.7	-4.2	-3.8	-3.8	595.8	595.7	596.5	100	100	100	W	1	W	2	W	2	10	10	10	36.6	* n-abds.
15	-4.8	-4.0	-5.8	-4.9	-5.0	598.3	600.9	604.1	100	100	100	SE	1	SE	1	SE	1	10	10	10	37.1	* n-n
16	-5.5	-3.5	-5.6	-4.9	-5.1	604.4	605.2	606.2	100	100	100	W	2	W	3	W	3	10	10	10	36.2	* n-n
17	-5.8	-4.8	-5.6	-5.4	-5.7	604.3	604.1	604.9	100	98	100	W	4	W	3	W	2	10	10	10	12.6	* n-a, 14-n, ≡ p
18	-6.0	-1.0	-4.8	-3.9	-4.3	603.3	603.3	603.5	100	100	100	E	1	E	o	W	o	3	10	10	.	≡ abds.
19	-4.2	-0.4	-4.0	-2.9	-3.4	600.9	601.0	601.5	100	100	98	W	o	E	o	NE	1	10	10	10	11.5	* 13-n, ≡ abds.
20	-4.0	-0.6	-3.2	-2.6	-3.3	603.4	604.6	606.9	95	96	66	W	o	W	o	S	o	7	7	7	.	
21	-2.4	0.2	1.4	-0.3	-1.1	608.0	609.1	610.9	53	53	96	W	o	S	1	W	2	3	3	10	12.7	* 18 ¹ / ₂ -n
22	-1.2	3.8	1.8	1.5	0.6	611.8	611.8	611.9	100	50	55	W	o	SE	o	SW	o	10	10	7	.	
23	2.4	5.8	3.2	3.8	2.7	609.9	609.4	608.7	40	33	45	SE	1	S	1	S	2	5	7	7	.	
24	4.8	7.5	5.0	5.8	4.6	608.5	608.8	609.5	36	30	36	SW	1	S	2	S	2	10	7	5	.	
25	4.8	8.4	6.0	6.4	5.1	610.4	611.9	612.8	46	35	33	S	3	SE	2	SE	2	3	3	3	.	
26	3.4	10.1	5.2	6.2	4.8	615.2	615.4	616.2	100	45	96	NE	1	E	o	E	o	10	10	10	.	≡ n-n
27	4.3	8.9	6.8	6.7	5.2	616.4	614.4	613.1	83	83	83	NE	1	NE	o	SE	2	o	3	o	.	
28	7.0	10.7	8.4	8.7	7.0	608.5	607.1	604.3	31	27	30	SE	3	SE	3	S	4	o	o	5	.	
29	6.6	8.5	4.4	6.5	4.7	601.1	600.4	600.3	34	42	69	SE	1	E	2	E	1	7	10	10	29.1	□ p, ● 15-n ztw.
30	1.4	4.0	0.8	2.1	0.2	601.5	605.0	606.3	100	100	74	W	1	NE	1	NE	1	10	10	5	5.2	● n-a
Mittel	0.1	2.8	0.6	1.2	-	607.6	607.8	608.2	77	70	78	6.7	6.9	7.2	283.6	

April 1930.
Beobachter: G. Krättli.

Bevers.

$\lambda = 9^{\circ} 53'$, $\beta = 46^{\circ} 33'$.
 $H_b = ca. 1710^m$, $G = -0.12^m/m$.

Tag	Lufttemperatur					Luftdruck			Relative Feuchtigkeit			Windrichtung und Stärke			Bewölkung			Witterung	
	7 ^h	13 ^h	21 ^h	Mittel	Abweich. vom Normalw.	7 ^h	13 ^h	21 ^h	7 ^h	13 ^h	21 ^h	7 ^h	13 ^h	21 ^h	7 ^h	13 ^h	21 ^h		Windschlag
1	-3.2	6.4	-3.1	0.0	1.5	620.7	620.2	620.8	75	50	84	SE	W	W	0	9	6	0	
2	-5.6	9.8	-0.1	1.4	2.8	619.8	618.5	619.0	79	47	88	NE	SW	NE	0	1	1	1	
3	0.8	7.2	1.8	3.3	4.5	615.7	613.9	612.0	90	62	90	SW	SW	S	1	7	9	10	4.3
4	0.6	2.3	-1.5	0.5	1.6	608.8	607.6	609.3	94	87	95	NE	SW	W	0	10	10*	10	11.2
5	-0.8	2.2	-1.5	0.0	0.9	610.2	610.8	611.9	79	80	85	N	NE	SW	0	10	8	8	0.5
6	-1.4	3.0	1.2	0.9	1.7	612.2	612.6	614.4	82	57	77	S	W	NE	1	9	5	9	0.0
7	-0.4	6.6	0.9	2.4	3.7	616.3	616.6	618.6	75	46	76	NW	SW	NE	0	9	6	1	
8	-3.1	6.8	0.1	1.3	1.8	620.2	620.1	621.4	83	45	62	E	W	NE	1	1	9	8	0.0
9	-2.6	5.2	-2.5	0.0	0.3	619.7	618.3	616.9	77	49	81	N	SW	W	0	5	1	2	
10	-2.3	5.8	1.9	1.8	2.0	615.2	613.9	614.9	77	43	85	SW	S	SW	1	3	4	5	
11	1.8	7.9	-0.2	3.2	3.2	615.6	616.8	618.1	75	43	75	NE	SW	SW	0	9	7	1	
12	-2.6	7.4	2.7	2.5	2.3	619.2	618.5	618.2	78	57	87	SE	SW	SW	0	7	6	10	3.5
13	1.3	3.2	0.5	1.7	1.3	615.2	613.1	608.3	94	81	96	S	S	SW	0	10*	10*	10*	41.5
14	0.4	-0.2	-2.9	-0.9	-1.4	601.4	601.3	602.2	90	76	91	NE	N	NE	0	10*	10*	10	11.0
15	-2.0	2.7	-2.7	-0.7	-1.4	603.0	604.9	608.8	75	53	76	NE	SW	W	0	10*	10*	10	0.4
16	-2.9	4.0	-1.6	-0.2	-1.0	608.8	609.6	611.3	77	47	69	N	N	W	0	9	10*	7	0.0
17	-2.4	1.6	-2.1	-1.0	-2.0	609.3	609.0	610.2	70	52	67	SW	NW	SE	0	10	10*	10	0.0
18	-7.8	1.4	-2.0	-2.8	-4.0	609.2	608.3	608.5	77	58	77	NE	W	E	0	1	1	3	
19	-3.3	2.6	-0.5	-0.4	-1.8	606.8	606.3	607.9	79	55	90	NE	NE	E	0	9	6	10*	3.0
20	0.0	2.0	-1.5	0.2	-1.3	609.6	611.7	614.5	72	70	87	NE	S	NW	0	10	6	1	0.0
21	-2.8	4.0	-1.4	-0.1	-1.8	615.4	616.1	617.5	74	54	73	S	S	W	0	3	3	0	
22	-2.6	7.8	0.5	1.9	0.1	618.3	617.7	618.7	72	44	74	SW	S	W	1	2	8	5	
23	-0.5	6.1	-1.9	1.2	-0.8	618.3	617.7	618.0	75	58	89	W	SW	NW	1	6	9	9	0.7
24	2.4	5.8	3.7	4.0	1.8	618.1	618.5	618.4	79	63	79	S	SW	NW	1	10	10	6	0.1
25	4.5	8.5	4.5	5.8	3.5	618.8	619.4	621.5	83	61	87	SE	S	SW	0	9	5	10*	0.5
26	4.7	9.3	3.3	5.8	3.3	621.3	622.1	622.5	85	59	84	SW	S	SW	0	9	5	8	
27	2.9	12.4	3.5	6.3	3.7	621.6	620.6	619.8	80	45	80	W	S	W	0	1	4	1	
28	1.1	13.7	4.8	6.5	3.7	617.0	614.5	611.3	85	46	79	NE	SW	SE	0	1	7	2	2.5
29	4.2	8.4	2.6	5.1	2.2	607.2	605.6	605.9	86	70	89	NE	NE	SW	0	9	10	10*	15.0
30	2.0	9.7	3.2	5.0	1.9	606.6	609.0	613.0	90	51	71	S	SW	NE	0	10*	6	1	0.7
Mittel	-0.6	5.8	0.3	1.8	-	614.0	613.8	614.4	80	57	82					7.0	6.9	5.9	Summe 94.9

April 1930.
Beobachter: Kapuzinerkloster.

Sitten.

$\lambda = 7^{\circ} 21'$, $\beta = 46^{\circ} 14'$.
 $H_b = 548.6^m$, $G = 0.00^m/m$.

1	7.6	15.5	10.8	11.3	3.2	715.1	714.0	713.3	73	46	54	NW	NW	N	0-1	10	10	0	
2	7.2	19.1	13.5	13.3	5.1	713.5	710.7	710.9	72	38	53	NE	W	W	0	0	0	0	
3	10.8	18.5	9.5	12.9	4.5	707.7	704.3	704.2	70	41	98	NE	N	SW	0	10	10	10	8.4
4	6.9	6.2	4.4	5.8	2.7	701.7	702.0	704.9	91	84	86	W	W	W	2	W	10*	10	1.8
5	5.3	13.1	9.3	9.2	0.5	705.3	704.8	706.0	89	44	62	NW	W	NW	0	10	10	10	
6	6.1	15.5	9.0	10.2	1.4	707.5	706.1	707.3	77	32	50	NW	NW	NE	0	1	3	4	
7	5.4	15.7	9.4	10.2	1.2	710.1	709.9	712.5	71	38	58	NE	SW	NW	0	0	2	3	
8	7.1	16.7	11.8	11.9	2.8	715.2	713.7	715.2	77	37	31	N	W	W	0-1	3	3	10	
9	5.4	16.1	9.4	10.3	1.1	715.8	712.0	710.5	66	35	54	NE	NE	NW	0	1	0	0	
10	5.4	17.1	11.6	11.4	2.0	709.9	707.0	707.7	76	38	49	NE	SW	NW	0	0	2	9	
11	7.2	17.9	11.2	12.1	2.6	710.3	709.1	710.8	73	34	47	NE	SW	NE	0-1	6	1	0	
12	8.8	19.4	11.4	13.2	3.5	712.5	710.3	710.8	69	35	81	NE	NE	NE	0-1	10	4	10*	11.0
13	8.9	8.4	6.6	8.0	-1.8	708.1	706.0	702.3	97	86	91	W	W	W	0	10*	10*	10*	12.7
14	5.8	8.8	4.7	6.4	-3.6	695.4	695.8	696.6	82	54	78	W	SW	W	0-1	10*	10	10	0.4
15	4.0	7.8	4.8	5.5	-4.6	698.5	701.0	704.9	82	52	73	W	W	W	1-2	W	0-1	10	
16	4.3	9.1	3.8	5.7	-4.5	706.2	706.5	709.0	76	48	73	W	W	W	1-2	W	0-1	10	
17	4.0	8.3	3.7	5.3	-5.1	707.5	706.1	705.9	77	54	79	W	W	W	0-1	10	10	4	
18	4.4	11.8	6.3	7.5	-3.0	704.4	702.6	703.2	81	40	57	W	SW	SW	0-1	3	4	7	
19	5.8	12.7	4.2	7.6	-3.1	702.1	700.3	702.4	67	42	85	W	SW	W	0-1	5	7	10	0.1
20	8.7	13.3	7.4	8.1	-2.7	705.0	705.1	707.1	84	39	61	W	SW	W	0	10	7	1	
21	6.2	17.0	8.9	10.7	-0.2	709.0	708.0	711.7	75	28	72	N	N	NW	0-1	1	5	10	0.1
22	8.3	17.4	12.0	12.6	1.5	713.0	710.5	710.8	85	28	44	W	N	W	0	1	4	1	
23	11.8	16.6	13.2	13.9	2.7	709.6	707.2	708.1	54	34	45	NW	NE	W	0	6	10	9	
24	12.0	16.6	14.4	14.3	2.9	708.1	708.5	707.8	53	34	39	E	E	NE	0-1	7	10	10	
25	12.1	20.1	15.5	15.9	4.4	710.0	709.4	712.0	57	31	39	NE	E	E	0-1	0	2	1	
26	12.1	20.3	14.9	15.8	4.2	714.4	714.2	715.1	76	41	53	NW	W	W	0	5	7	6	
27	11.0	22.0	15.4	16.4	4.6	714.8	712.2	710.5	74	33	50	N	N	W	0	1	4	0	
28	13.6	21.4	14.8	16.6	4.7	707.2	702.9	700.5	54	23	57	N	E	W	0-1	0	5	10	8.5
29	10.4	15.5	10.5	12.1	0.1	698.9	698.4	698.7	86	52	89	NE	NE	W	0	10	10	10*	10.7
30	10.6	16.7	11.0	12.8	0.6	700.9	701.9	704.9	89	55	64	W	SW	W	0	10	9	0	
Mittel	7.7	15.2	9.8	10.9	-	707.9	706.7	707.5	75	43	62					5.6	6.3	6.2	Summe 53.7

$\lambda = 8^{\circ} 57'$, $\beta = 46^{\circ} 0'$.
 $H_b = 276.2^m$, $G = 0.03^m$.

Lugano.

April 1930.
Beobachter: G. Malatesta.

Tag	Lufttemperatur					Luftdruck			Relative Feuchtigkeit			Windrichtung und Stärke			Bewölkung			Niederschlag	Witterung	
	7 ^h	13 ^h	21 ^h	Mittel	Abweich. vom Normalst.	7 ^h	13 ^h	21 ^h	7 ^h	13 ^h	21 ^h	7 ^h	13 ^h	21 ^h	7 ^h	13 ^h	21 ^h			
1	6.0	10.8	9.2	8.7	-0.4	739.5	738.8	738.8	87	53	73	NW	oE	oN	o	9	10	4	.	Δ fr.
2	6.2	17.2	12.0	11.8	2.5	738.4	736.3	736.0	88	51	73	N	oS	oN	o	1	0	10	18.2	● 8-9 ¹ / ₂ , 15-n
3	9.8	9.4	9.2	9.5	0.1	733.9	732.4	729.9	93	96	96	SSW	oS	oS	o	10	10	10	51.4	● n-n m.U.
4	8.2	7.6	6.8	7.5	-2.0	725.4	724.6	726.1	95	88	97	E	oW	oN	o	10	10	10	.	● n-5 ¹ / ₂
5	6.8	9.2	8.2	8.1	-1.6	727.7	727.6	728.5	97	85	79	NE	oSE	oN	o	10	10	0	7.4	K ₂ , Δ , ● 16 ¹ / ₄ -17 ¹ / ₂
6	5.8	15.2	8.8	9.9	0.1	730.0	729.5	731.6	82	63	79	N	oS	oNNW	o	0	0	10	.	
7	7.4	15.8	11.2	11.5	1.6	734.3	734.2	735.7	83	47	76	NNW	oS	oN	o	4	3	0	.	
8	7.2	18.0	13.9	13.0	2.9	737.6	737.0	737.6	84	42	57	N	oSE	oN	o	0	5	10	.	
9	7.4	14.2	10.4	10.7	0.5	730.8	736.7	733.8	79	51	79	N	oSSW	oN	o	0	5	10	.	
10	9.0	14.4	12.4	11.9	1.6	732.8	731.1	732.0	80	56	67	N	oSSE	oN	o	10	6	3	.	
11	8.0	17.4	11.2	12.2	1.7	733.1	733.3	736.8	74	46	77	N	oS	oN	o	0	1	0	12.4	● tr. 7 ¹ / ₄ , ● 20 ¹ / ₂ -n
12	9.0	14.0	12.0	11.7	1.1	737.2	737.1	736.4	87	61	83	SE	oSE	oS	o	10	10	10	62.0	● n-n
13	9.6	9.4	6.4	8.5	-2.2	733.4	730.8	725.6	93	77	90	S	oS	oNW	o	10	10	10	9.2	● n-13 ¹ / ₂
14	5.8	7.2	9.2	7.4	-3.5	716.4	714.7	713.0	92	88	52	NW	oSSE	oE	1	10	5	.	● NE 13 ¹ / ₂ -n	
15	6.4	12.0	11.8	10.1	-0.9	718.4	719.3	723.0	73	50	30	NE	oNE	oNE	4	8	10	10	.	
16	11.2	13.4	10.0	11.9	0.4	724.8	725.1	725.8	30	51	71	NNE	oNNE	oNNE	o	10	7	10	.	
17	9.6	13.6	10.8	11.3	0.0	725.5	725.2	725.0	37	41	43	NNE	oSSW	oNNE	1	10	10	10	2.7	K ₂ , ● 21 ¹ / ₄ -23 ³ / ₄
18	9.4	12.8	12.8	11.7	0.3	725.6	724.9	723.2	63	54	59	SE	oS	oNNE	o	10	3	10	31.1	● 11 ¹ / ₂ -15 ³ / ₂ , 18 ³ / ₄ -n
19	7.6	9.4	9.0	8.7	-2.8	723.4	724.0	725.6	78	76	78	NNE	oSE	oSW	o	10	10	10	1.0	● n-7 ¹ / ₂ , 10 ¹ / ₂ -11 ¹ / ₂ , 12-12 ¹ / ₂
20	6.2	11.0	9.2	8.8	-2.8	728.6	730.4	732.7	82	65	59	NNE	oNNE	oNNE	o	10	10	4	.	
21	6.2	15.6	8.6	10.1	-1.7	734.3	734.6	735.0	78	51	78	NNE	oSSW	oN	o	2	3	0	.	
22	6.0	16.8	13.4	12.0	0.1	736.4	735.5	735.6	83	42	73	N	oS	oN	o	0	2	10	0.9	● 17-17 ¹ / ₂ , Δ fr.
23	9.4	10.4	9.4	9.7	-2.4	736.6	736.3	736.3	90	90	95	N	oN	oN	o	10	10	10	13.7	● fr., 8 ¹ / ₂ -n
24	9.0	11.6	10.8	10.5	-1.7	737.1	737.3	736.7	86	78	75	N	oSE	oN	o	10	10	10	2.4	● n-13 ¹ / ₂
25	10.4	15.6	12.4	12.8	0.5	737.0	737.5	737.9	75	65	73	N	oSE	oNNW	o	10	10	10	2.2	● sch. 10
26	11.6	15.2	12.8	13.2	0.7	738.3	738.6	738.2	88	53	79	NNW	oNNW	oNE	o	10	10	0	0.2	● fr., ● tr. a
27	10.6	20.8	14.2	15.2	2.6	737.3	736.3	734.6	83	45	76	NE	oSSE	oN	o	0	2	2	.	Δ fr.
28	11.8	18.4	14.6	14.9	2.2	733.2	729.2	725.5	83	56	75	N	oS	oS	o	2	3	10	12.2	● 18 ³ / ₄ -19 ¹ / ₄ , n, K ₂ 22 ¹ / ₂ i. S.
29	11.2	13.0	10.4	11.5	-1.4	722.0	721.1	721.3	87	73	92	S	iS	oN	o	10	10	10	10.6	● n-n m.U.
30	10.2	14.4	12.8	12.5	-0.5	721.9	723.3	728.0	93	72	87	NE	oS	oN	o	7	10	10	15.7	● n (30./1.)
Mittel	8.4	13.5	10.8	10.9	-	731.3	730.8	730.9	81	62	74					6.8	7.0	7.3	Summe 253.3	

$\lambda = 7^{\circ} 35'$, $\beta = 47^{\circ} 33'$.
 $H_b = 318^m$, $G = 0.13^m$.

Basel.

April 1930.
Astronom.-Meteorol. Anstalt.

1	7.8	15.8	10.5	11.4	-	735.3	734.5	732.9	86	56	73	E	1 ESE	1 ENE	1	10	8	0	.		
2	7.4	21.2	12.7	13.8	-	732.2	731.3	730.7	80	41	83	ESE	1 W	1 S	1	8	2	10	2.3		
3	11.3	15.6	9.8	12.2	-	727.4	723.5	723.7	96	71	96	ENE	1 ENE	1 E	o	10	10	10	9.7	● 1 ¹ / ₄ -8 ¹ / ₂ , 14-n m.U.	
4	8.0	9.8	6.6	8.1	-	722.2	721.9	724.5	90	86	91	SSW	1 S	1 SSW	1	10	10	10	17.6	● n-9 ¹ / ₂ , 13-n m.U.	
5	6.1	12.7	7.9	8.9	-	725.5	725.0	725.7	93	66	82	ESE	1 SE	1 SE	1	10	10	4	0.1	● n-6 ¹ / ₄ m.U., 15 ³ / ₄ -16 ¹ / ₄ , [● tr. 13 ¹ / ₂	
6	7.3	14.2	8.2	9.9	-	727.0	727.2	728.9	82	52	75	SE	1 NNW	1 E	o	7	6	0	.	⊕ a ztw.	
7	4.5	13.8	10.3	9.5	-	731.8	732.5	734.6	92	59	69	W	1 WNW	1 W	1	10	3	10	0.0	● tr. 19 ¹ / ₂	
8	3.7	13.7	9.2	8.9	-	737.7	737.1	737.6	92	49	67	SSW	1 NNW	1 WNW	1	1	2	9	.	Δ fr.	
9	4.0	13.6	5.8	7.8	-	736.8	734.2	731.3	84	51	88	SE	1 NE	1 SSW	o	1	1	0	.	Δ fr.	
10	4.0	15.4	9.0	9.5	-	729.7	728.0	728.2	78	45	71	E	1 WSW	1 W	1	1	7	1	.	Δ fr., \sqsubset 6 ¹ / ₂	
11	5.6	17.6	9.6	10.9	-	730.8	730.2	730.4	80	36	74	E	1 WNW	1 S	1	3	1	0	0.0		
12	7.3	16.8	11.0	11.7	-	731.6	730.5	729.1	78	58	81	E	1 ESE	1 SSW	1	10	10	9	4.2	● tr. 6 ¹ / ₂ -7 ¹ / ₂ , ● 7 ³ / ₄ -10	
13	8.8	11.4	7.4	9.2	-	727.4	725.6	721.6	83	73	94	SSW	2 S	o SE	1	10	10	10	2.0	● 1 ³ / ₄ -6 ¹ / ₄ , 12, 16 ¹ / ₂ -16 ³ / ₄ .	
14	5.0	6.8	5.3	5.7	-	715.6	716.9	716.9	92	82	92	SW	1 WNW	1 W	1	10	10	10	18.8	● n-n m.U. [20-20 ¹ / ₂	
15	3.6	4.0	3.5	3.7	-	720.5	723.4	726.3	93	88	92	W	1 WNW	1 SW	1	10	10	10	12.5	● n-n	
16	2.6	5.4	3.9	4.0	-	727.2	727.7	728.6	89	78	88	WSW	1 WSW	1 WSW	2	10	10	10	10.8	● n-9 ³ / ₄ , 14 ³ / ₄ -n m.U.	
17	2.6	4.5	4.3	3.8	-	726.4	726.6	726.4	89	84	85	WSW	2 WSW	1 SSW	1	10	10	10	5.2	● n-16, 18 ¹ / ₄ -18 ³ / ₄	
18	3.8	9.6	4.8	6.1	-	725.8	725.1	724.7	93	53	86	E	o NNW	1 SSW	1	10	6	10	2.8	● 19 ¹ / ₂ -21 ¹ / ₂ , Ψ abds.	
19	2.4	6.3	2.4	3.7	-	722.5	722.5	723.8	93	78	93	NNW	1 NW	1 W	1	10	10	10	12.6	● 2-n m.U., * fl. 8 ¹ / ₂ .	
20	1.0	9.6	4.5	5.0	-	725.5	726.5	727.4	96	66	96	WSW	o WNW	1 SW	o	10	7	3	.	* n-6, ⊕ 19 [* 21 ³ / ₄ -n	
21	2.7	18.0	8.1	9.6	-	728.9	728.4	731.7	87	47	88	E	1 S	1 NE	1	4	9	4	0.0	● tr. 14 ³ / ₄ , 19, ⊕ 10	
22	7.7	16.8	10.3	11.6	-	732.8	731.7	731.4	88	51	72	ESE	1 SE	1 ENE	1	8	10	1	.	Δ fr.	
23	10.8	16.8	10.8	12.8	-	729.2	726.6	727.3	68	55	90	E	1 NE	1 W	o	8	10	10	1.3	● 17-18, 21 ¹ / ₄ -21 ³ / ₄	
24	9.8	16.2	10.4	12.1	-	726.9	726.6	727.6	68	68	98	S	o WNW	1 SW	1	10	10	8	0.7	● n, a, p ztw., 16 ¹ / ₂ -18 ¹ / ₄	
25	10.4	22.4	13.5	15.4	-	729.5	728.9	731.9	93	43	87	ESE	1 ESE	1 SSW	2	10	4	10	5.8	● 19 ³ / ₄ -n m.U., K ₂ abds., [18 ¹ / ₂	
26	10.8	20.0	12.2	14.3	-	734.9	734.9	735.5	95	55	96	E	1 WNW	1 SSW	1	10	3	2	.	Δ fr.	
27	11.6	21.0	12.5	15.0	-	734.7	732.4	729.9	85	57	96	E	1 NE	1 SSW	1	0	2	0	.	≡ 8 ¹ / ₄ -9, Δ fr. [\sqsubset abds.	
28	10.8	21.6	18.4	16.9	-	725.4	721.7	717.5	90	58	95	W	1 NNW	1 ENE	1	0	0	9	.		
29	13.4	19.6	12.0	15.0	-	717.1	716.1	717.1	85	60	95	NW	o WNW	1 ESE	1	0	8	10	5.5	● 14 ¹ / ₂ -17 ¹ / ₂ m.U., K ₂ p.	
30	10.0	13.0	8.6	10.5	-	720.9	723.7	727.7	91	87	73	WNW	1 SSW	1 ESE	1	10	10	3	0.4	● 1 ¹ / ₂ -1 ³ / ₄ , 5 ³ / ₄ -6 ³ / ₄ , 7 ³ / ₄ -8 ¹ / ₄	
31																					
Mittel	6.8	14.1	8.8	9.9	-	728.0	727.3	727.7	88	62	84					7.7	7.3	6.4	Summe 112.3		

April 1930.
Beobachter: Observatorium.

Säntis.

$\lambda = 9^{\circ} 20'$, $\beta = 47^{\circ} 15'$.
 $H_b = 2500.1^m$, $G = -0.16^{mm}$.

Table with columns: Tag, Lufttemperatur (7, 13, 21, Mittel, Abweich. vom Normalst.), Luftdruck (7, 13, 21), Relative Feuchtigk. (7, 13, 21), Windrichtung und Stärke (7, 13, 21), Bewölkung (7, 13, 21), Niederschlag, Witterung. Rows 1-30 and Mittel.

April 1930.
Beobachter: Fr. F. Lombardi.

St. Gotthard (Hospiz).

$\lambda = 8^{\circ} 34'$, $\beta = 46^{\circ} 33'$.
 $H_b = 2102.9^m$, $G = -0.14^{mm}$.

Table with columns: Tag, Lufttemperatur (7, 13, 21, Mittel, Abweich. vom Normalst.), Luftdruck (7, 13, 21), Relative Feuchtigk. (7, 13, 21), Windrichtung und Stärke (7, 13, 21), Bewölkung (7, 13, 21), Niederschlag, Witterung. Rows 1-30 and Mittel.

$\lambda = 7^{\circ} 26', \beta = 46^{\circ} 57'$
 $H_b = 572.2^m, G = 0.05^m$

Bern.

Mai 1930.
Tellur. Observatorium.

Tag	Lufttemperatur					Luftdruck			Relative Feuchtigkeit			Windrichtung und Stärke			Bewölkung			Niederschlag	Witterung
	7 ³⁰	13 ³⁰	21 ³⁰	Mittel	Abweich. Normalst.	7 ³⁰	13 ³⁰	21 ³⁰	7 ³⁰	13 ³⁰	21 ³⁰	7 ³⁰	13 ³⁰	21 ³⁰	7 ³⁰	13 ³⁰	21 ³⁰		
1	5.0	12.0	9.8	8.9	-1.4	707.0	709.0	710.2	87	65	80	N	NE	SE	10	7	0		
2	6.4	13.4	9.4	9.7	-0.8	710.8	710.5	712.3	88	66	95	SE	W	SW	10	10	10	12.5	
3	7.8	10.0	9.4	9.1	-1.5	712.6	713.2	713.6	96	89	90	SW	SW	SE	10	10	8	1.1	
4	9.8	27.2	12.8	13.3	2.6	713.4	712.7	712.0	86	53	76	SE	E	SE	1	5	7	8.5	
5	10.0	15.7	11.6	12.4	1.6	711.3	710.2	710.0	92	58	78	S	SW	S	10	6	0	0.0	
6	10.2	12.5	7.8	10.2	-0.8	708.9	707.6	706.4	75	78	91	SE	N	W	0	8	10	2.3	
7	7.6	10.7	7.8	8.7	-2.4	701.7	702.2	702.4	86	79	91	NE	E	N	0	10	10	27.1	
8	4.0	6.5	5.1	5.2	-6.0	703.6	706.1	709.2	93	94	91	SE	W	W	0	10	10	9.4	
9	4.6	9.0	6.2	6.6	-4.7	710.3	710.3	711.6	85	43	73	W	W	SW	0	4	10		
10	4.9	10.4	8.6	8.0	-3.5	709.7	708.8	710.5	74	53	80	SE	W	W	1	10	10	3.9	
11	8.0	11.5	7.2	8.9	-2.7	707.5	705.9	709.4	89	77	87	SW	SW	W	1	10	10	14.8	
12	6.4	8.6	7.5	7.5	-4.2	708.9	710.3	711.5	94	83	89	NW	W	WSW	10	10	10	15.8	
13	6.5	11.2	11.2	9.6	-2.3	711.8	711.7	712.0	94	72	85	S	W	WSW	10	10	10	7.9	
14	11.8	12.9	11.8	12.2	0.2	711.2	712.5	713.7	90	88	93	SW	SW	WSW	10	10	10	6.8	
15	11.1	16.6	12.8	13.5	1.4	714.6	714.1	715.3	89	46	72	SW	NW	WSW	2	8	8		
16	12.5	19.8	13.3	15.2	3.0	715.8	716.3	717.2	75	41	72	SE	NNE	NE	0	1	7		
17	11.7	20.4	15.6	15.9	3.5	717.0	717.0	715.8	72	84	74	SE	NE	W	0	2	7		
18	13.7	23.2	14.0	17.0	4.5	714.2	711.5	713.3	76	42	63	S	WNW	WSW	7	8	10	0.3	
19	8.4	11.3	8.5	9.4	-3.2	716.7	716.6	716.8	57	40	71	N	N	W	0	1	9		
20	6.4	14.4	9.7	10.2	-2.5	715.8	714.2	714.2	79	41	78	SE	NW	NE	1	8	9	0.0	
21	9.1	14.8	8.4	10.8	-2.1	713.1	711.9	711.7	82	52	89	NE	N	E	1	9	0	2.0	
22	6.2	14.2	10.4	10.3	-2.7	711.2	708.8	708.6	92	68	90	SE	W	SW	1	1	7	2.6	
23	9.5	10.4	9.3	9.7	-3.4	708.0	707.9	708.9	96	93	89	S	WSW	SW	0	10	10	14.1	
24	8.5	12.6	9.4	10.2	-3.0	708.7	709.5	711.4	82	56	86	W	SW	SW	1	6	10	0.3	
25	10.4	16.0	11.0	12.5	-0.8	711.4	710.1	710.0	82	53	91	S	NW	S	0	7	4	1.3	
26	9.8	15.8	10.2	11.9	-1.6	708.8	707.6	706.8	86	52	94	S	S	SW	0	0	10	4.2	
27	9.4	16.1	10.5	12.0	-1.6	706.7	705.9	707.5	89	56	90	S	NE	W	0	0	10	5.2	
28	11.0	15.8	12.2	13.0	-0.7	708.8	711.7	715.4	95	75	94	SE	NW	W	0	10	10	2.9	
29	11.2	16.2	16.0	14.5	0.7	717.3	716.2	713.3	97	84	85	W	NNE	NE	1	0	9	0.7	
30	12.0	19.8	14.8	15.5	1.5	711.7	711.8	712.7	99	68	93	SW	NW	W	0	10	8	1.7	
31	14.4	19.9	15.8	16.7	2.6	715.6	715.6	715.7	91	50	75	NW	NW	NW	0	8	4	1.3	
Mittel	9.0	14.2	10.6	11.3	-	711.1	710.9	711.6	86	63	84							146.7	

$\lambda = 6^{\circ} 57', \beta = 47^{\circ} 0'$
 $H_b = 487.3^m, G = 0.06^m$

Neuchâtel.

Mai 1930.
Observatorium.

Tag	Lufttemperatur					Luftdruck			Relative Feuchtigkeit			Windrichtung und Stärke			Bewölkung			Niederschlag	Witterung
	7 ³⁰	13 ³⁰	21 ³⁰	Mittel	Abweich. Normalst.	7 ³⁰	13 ³⁰	21 ³⁰	7 ³⁰	13 ³⁰	21 ³⁰	7 ³⁰	13 ³⁰	21 ³⁰	7 ³⁰	13 ³⁰	21 ³⁰		
1	6.6	14.9	10.3	10.6	-0.2	715.2	716.5	717.8	80	63	70	NE	NE	NE	1	7	3		
2	8.2	11.6	8.9	9.6	-1.3	718.7	718.4	720.0	88	75	77	E	SW	N	2	6	10	3.3	
3	8.1	12.5	9.9	10.2	-0.8	720.3	720.9	721.3	95	71	94	N	E	NE	1	10	9	1.8	
4	9.8	19.4	12.4	13.9	2.7	721.3	720.3	719.6	95	57	86	E	E	N	1	5	4	2.4	
5	10.5	17.7	10.5	12.9	1.6	719.2	717.7	717.3	96	61	84	E	SW	N	1	10	3		
6	8.9	12.1	7.0	9.3	-2.1	716.3	714.5	714.1	93	75	97	NE	SW	NW	0	10	10	6.3	
7	7.6	10.8	8.0	8.8	-2.8	708.5	709.5	710.1	94	78	93	NE	E	NW	1	10	10	10.0	
8	6.6	7.8	5.6	6.7	-5.0	711.0	714.2	716.9	85	70	75	NW	NW	SW	1	10	9	0.7	
9	5.5	9.6	6.3	7.1	-4.7	718.3	717.8	718.9	59	45	64	NW	W	N	1	2	8		
10	5.0	8.8	8.5	7.4	-4.6	717.3	716.5	718.3	88	66	86	NE	W	W	1	10	10	3.4	
11	8.3	10.2	6.2	8.2	-3.9	714.9	713.2	717.0	90	84	91	W	SW	W	2	10	9	11.9	
12	5.9	10.0	8.8	8.2	-4.1	717.2	717.7	719.3	90	79	71	NW	NW	W	2	10	8	4.9	
13	6.9	9.1	10.2	8.7	-3.7	719.5	719.6	719.8	91	94	95	W	W	W	3	10	10	18.1	
14	11.0	12.2	11.2	11.5	-1.0	719.1	720.2	721.6	97	88	95	W	SW	NW	1	10	9	14.2	
15	10.6	17.6	11.7	13.3	0.6	722.3	721.3	723.2	92	62	86	NW	SW	NW	1	6	2		
16	11.8	21.0	15.0	15.0	3.1	723.7	724.0	724.8	86	54	63	E	SE	N	1	4	8		
17	11.0	22.2	15.1	16.1	3.2	725.6	724.5	722.9	86	42	64	NE	SW	N	0	6	10		
18	14.4	22.8	14.1	17.1	4.1	721.7	718.9	721.0	85	52	59	N	SW	NW	2	7	7	2.0	
19	8.8	13.0	8.7	10.2	-3.0	724.6	724.4	724.4	66	54	63	E	NW	E	1	7	6		
20	6.2	14.7	9.5	10.1	-3.2	723.7	722.0	720.8	84	44	85	NE	SW	N	0	8	10	0.3	
21	10.5	18.4	9.0	12.6	-0.8	722.8	719.1	719.3	84	58	85	E	SE	NE	0	6	2		
22	7.7	17.7	11.5	12.3	-1.3	718.6	716.1	716.4	93	56	92	E	SW	N	0	10	2	2.7	
23	10.8	11.7	8.7	10.4	-3.3	715.1	715.2	716.4	97	90	97	N	W	NW	1	10	9	6.5	
24	8.9	13.8	9.8	10.8	-3.0	716.2	716.9	719.0	81	63	84	W	W	NW	1	4	7	0.3	
25	11.5	15.2	12.6	13.1	-0.9	719.1	717.7	717.5	76	65	64	W	W	W	1	7	9	0.0	
26	10.0	19.0	10.8	13.3	-0.8	716.5	714.4	714.2	84	48	97	E	S	NW	1	2	7	1.1	
27	11.3	17.0	11.2	13.2	-1.0	713.9	713.1	715.1	92	57	100	E	S	NW	0	8	10	11.9	
28	11.5	15.8	11.4	12.9	-1.4	717.1	719.9	723.1	98	83	97	NE	S	NW	0	10	9	5.4	
29	11.7	17.4	16.2	15.1	0.6	724.9	723.4	721.0	100	82	84	NE	E	NW	0	10	8	1.4	
30	14.1	19.8	13.9	15.9	1.3	719.3	719.3	720.3	92	73	87	NE	SW	NW	1	6	6	0.7	
31	14.9	22.7	16.0	17.9	3.2	723.2	723.0	723.1	77	61	70	NE	E	N	1	5	4		
Mittel	9.5	15.0	10.6	11.7	-	718.8	718.4	719.2	88	66	82							111.3	

Mai 1930.

Beobachter: Frl. H. Nager.

Altdorf.

$\lambda = 8^{\circ} 39'$, $\beta = 46^{\circ} 53'$,
 $H_b = 456.3^m$, $G = 0.05^m$.

Tag	Lufttemperatur					Luftdruck			Relative Feuchtigkeit			Windrichtung und Stärke			Bewölkung			Niederschlag	Witterung	
	7 ³⁰	13 ³⁰	21 ³⁰	Mittel	abw. von Normal	7 ³⁰	13 ³⁰	21 ³⁰	7 ³⁰	13 ³⁰	21 ³⁰	7 ³⁰	13 ³⁰	21 ³⁰	7 ³⁰	13 ³⁰	21 ³⁰			
1	8.5	11.3	9.1	9.6	-1.6	717.3	719.4	721.1	78	63	94	N	oN	1N	o	8	9	2	3.5	● seit 15
2	7.6	14.9	10.4	11.0	-0.4	720.8	720.2	722.1	97	59	95	S	oW	o-1NW	o	o	9	10	6.6	● seit 15
3	9.7	11.3	9.6	10.2	-1.3	722.4	723.5	724.2	94	64	90	NE	oNW	oNW	o	10	10	10	2.7	● a
4	8.9	16.8	12.5	12.7	1.1	723.7	723.0	722.5	95	51	79	E	oNW	oNW	o	3	8	8		
5	11.6	18.7	12.1	14.1	2.4	721.7	720.2	720.7	87	43	74	NW	oSW	oNE	o	10	7	8	0.6	● a
6	9.6	19.3	14.5	14.5	2.6	719.1	715.8	716.3	90	29	74	W	oS	1SW	o	4	8	10		
7	9.7	14.0	9.1	10.9	-1.1	710.5	711.6	712.4	80	61	99	NW	oNW	1NW	o	7	7	10	25.7	● 1 1/2-n
8	6.9	7.0	6.0	6.6	-5.5	713.6	716.2	719.0	95	85	84	E	oS	oNE	o	10	10	10	16.7	● n-p
9	5.7	9.7	6.4	7.3	-4.9	720.4	721.3	722.5	65	54	78	N	oE	oE	o	10	10	10	0.3	● fr., p
10	6.3	10.9	7.8	8.3	-4.0	720.2	718.3	720.4	65	42	90	E	oNW	oSE	o	10	10	10	0.4	
11	8.7	11.9	7.5	9.4	-3.1	717.2	715.7	719.3	92	88	95	NW	oN	oSE	o	10	8	10	16.6	● n-p
12	7.5	10.3	7.1	8.3	-4.3	719.4	720.1	721.6	98	89	97	NW	oNW	oNW	o	10	10	10	18.3	● n-n m.U.
13	6.9	10.2	8.1	8.4	-4.3	722.7	722.4	722.5	98	69	95	W	oNW	oNW	o	10	10	10	31.9	● n-a, p-n
14	9.2	11.5	10.2	10.3	-2.5	721.0	722.7	723.4	100	95	100	S	oSE	oS	o	10	10	10	28.3	● n-n m.U.
15	9.8	13.6	9.4	10.9	-2.0	724.8	724.7	720.1	92	60	100	SE	oNW	oNW	o	10	8	6	3.4	● a
16	8.9	18.7	12.0	13.2	0.2	726.7	726.5	728.3	98	35	63	NE	oNW	1NW	o	6	5	4		
17	11.5	19.3	15.7	15.5	2.3	728.3	727.0	726.3	65	44	54	N	oNW	oNE	o	3	3	4		
18	15.2	21.8	15.5	17.5	4.2	724.2	721.3	722.0	75	49	82	NE	oNW	oNW	o	6	7	10	11.7	● 20-n
19	8.7	11.9	7.3	9.3	-4.1	726.6	726.8	727.9	88	40	93	NW	oN	1SE	o	9	10	0	6.4	● ztw.
20	6.8	16.2	10.6	11.2	-2.3	726.6	723.6	725.0	70	33	80	NW	oNW	1NW	o	0	5	10	3.4	● abds.
21	10.7	12.0	9.2	10.6	-3.0	723.6	722.6	723.2	94	70	95	E	oNW	oSE	o	6	10	10	7.3	● fr., p, abds. ztw.
22	8.0	19.8	15.1	14.3	0.6	721.7	718.1	718.0	99	34	33	E	oSW	o-1S	o-1	4	5	9		
23	12.2	14.8	10.5	12.5	-1.3	717.8	716.5	719.3	85	64	97	E	oNW	oE	o	10	9	10	5.9	● a, p ztw.
24	10.3	13.7	10.4	11.5	-2.4	718.9	719.4	721.5	96	54	87	NE	oNW	oE	o	10	10	3		● fr.
25	11.7	16.2	11.8	13.2	-0.8	720.6	720.0	720.9	74	48	77	W	oNW	o-1NE	o	6	7	8		
26	12.0	18.5	13.5	14.7	0.5	718.9	716.4	716.4	74	43	59	NW	oNW	1NW	o	6	6	10	6.7	● abds.
27	11.4	17.8	13.7	14.3	0.0	716.9	715.3	716.7	80	47	67	NW	oNW	oNW	o	8	8	10		
28	13.3	19.4	14.3	15.7	1.3	719.3	721.2	725.3	85	48	78	W	1NW	o-1NE	o	8	7	9		
29	13.0	20.3	23.2	18.8	4.3	727.2	724.3	723.5	93	57	20	NW	oNW	o-1SE	o	2	7	0		
30	23.6	25.8	22.3	23.7	9.1	721.7	721.9	722.4	29	28	27	E	3S	2S	o-1	3	7	5		
31	17.3	21.8	17.7	18.9	4.2	725.6	724.9	725.6	77	46	70	N	oNW	1NW	o	6	4	10	0.6	● n (31./1.)
Mittel	10.4	15.4	11.7	12.5	-	721.3	720.7	721.8	84	55	78				7.2	7.9	7.9	197.0		

Mai 1930.
Observatorium.

Genf.

$\lambda = 6^{\circ} 9'$, $\beta = 46^{\circ} 12'$,
 $H_b = 405.0^m$, $G = 0.02^m$.

1	7.8	13.2	11.0	10.7	-0.3	722.4	723.5	725.2	86	75	83	NW	oN	1N	o	2	5	0		
2	9.0	12.6	9.8	10.3	-0.9	726.0	726.9	728.2	86	78	92	SE	oNE	oE	o	3	10	10	2.5	● 1 2 3/4-n
3	9.6	12.2	11.2	11.1	-0.3	727.7	728.2	728.6	96	73	87	SE	oW	oNE	o	10	10	10		● sch. a, 14, 15
4	10.8	17.0	15.4	14.6	3.2	728.5	727.6	726.9	88	67	81	E	oNNE	1SW	o	3	3	10		● i. W 20
5	12.4	14.6	11.6	12.6	0.9	726.4	725.5	725.1	81	68	90	NW	oN	1NW	o	9	3	10	7.5	● 9 1/4-n m.U., K ₂ 1 1/4, T p
6	12.0	12.2	7.2	9.6	-2.1	723.9	722.1	721.6	80	81	91	SW	oSSE	1N	o	10	10	10	23.1	● 7 1/4-n m.U.
7	7.2	11.6	5.6	7.5	-4.4	717.2	716.5	718.8	97	80	94	S	oN	oE	o	10	10	10	36.0	● a, 15 1/2-n
8	5.3	7.8	7.0	6.8	-5.3	719.3	723.0	725.4	99	77	85	SE	oN	1W	o	10	10	10	2.4	● a m.U., 18 1/4-abds.
9	6.2	11.6	6.7	7.8	-4.4	726.4	726.1	727.2	88	60	81	S	oSW	1W	o	2	9	1		
10	7.2	11.0	9.9	9.5	-2.9	725.4	725.5	726.7	80	68	83	SW	oSW	2NW	o	10	10	10	2.1	● p m.U.
11	10.4	12.8	9.2	10.4	-2.1	723.7	722.5	725.8	80	81	81	SW	1W	1SW	o	10	10	10	4.1	● n-n m.U., 18 1/4
12	9.5	13.2	10.8	11.1	-1.6	725.5	726.2	727.7	78	68	68	SSW	2S	2W	o	9	8	10	3.4	● n-n m.U.
13	8.2	11.8	11.0	10.5	-2.3	727.5	728.3	728.5	94	88	93	S	oE	oE	o	10	10	10	5.1	● n-n
14	13.4	15.4	12.4	13.4	0.5	728.2	729.2	729.6	88	83	93	S	1S	1SE	o	10	10	10	5.9	● a, p-n m.U.
15	12.7	17.8	12.5	13.9	1.5	730.0	729.4	730.1	91	65	86	NNW	1NNE	1SE	o	5	7	2	0.0	● sch. 17
16	12.1	19.0	14.5	15.0	2.5	730.9	730.9	732.0	85	54	79	SE	oNNE	1NNE	o	8	4	3		
17	12.8	18.7	17.6	16.7	4.0	733.2	731.7	730.3	83	64	65	SW	oNNE	1SW	o	0	1	0		
18	15.6	25.8	14.2	17.4	4.7	729.3	726.9	728.9	83	62	72	S	oSSW	1SE	o	3	3	0	0.3	● 16
19	10.8	14.2	15.0	12.8	-0.2	731.5	731.5	731.0	68	55	66	NNE	1NNE	1NNE	o	2	0			
20	8.8	14.0	13.0	12.2	-0.9	731.0	729.5	728.4	78	63	73	SE	oNNE	1NE	o	1	1	1	0.0	● sch. 22
21	11.4	17.2	11.4	12.8	-1.0	728.0	726.7	725.9	84	67	75	E	1E	oNNE	o	9	9	10	0.1	● p
22	10.0	15.2	12.2	12.4	-1.6	725.8	723.3	722.8	89	68	93	NNE	1NNE	1SW	o	9	9	10	9.3	● sch. 8, ● p-n
23	12.0	12.2	9.5	10.8	-3.4	722.6	723.2	724.0	87	86	86	SE	oSW	1SW	o	10	10	10	4.2	● n-n m.U.
24	8.8	14.9	15.3	11.6	-2.7	724.0	725.1	726.9	89	69	85	E	oW	oSW	o	1	3	9		
25	11.2	18.0	13.1	13.9	-0.6	726.6	725.1	724.6	85	67	79	SW	1SW	1SW	o	10	2	2		● 17 1/4
26	10.7	15.2	12.7	12.8	-1.7	723.6	721.8	721.7	84	76	83	W	oNNE	1SW	o	10	9		2.1	● p-n m.U., T i, W 12 1/4
27	11.0	14.4	11.5	12.1	-2.6	721.1	720.9	722.1	87	79	94	NE	oNE	oNE	o	10	10	10	12.2	● 12 1/4-n
28	11.9	13.2	12.8	12.7	-2.2	724.4	727.4	730.8	96	98	98	E	oSW	oSE	o	10	10	10	20.4	● n-n m.U.
29	11.6	16.0	17.0	15.4	0.4	732.3	730.7	728.0	100	84	90	N	1NNE	1NNE	o	10	7	5	0.1	● a, ≡ fr.
30	14.5	20.0	18.2	17.7	2.6	727.1	726.3	728.3	90	78	82	NNE	oNNE	1SSW	o	9	2	2		
31	15.4	23.4	19.2	19.3	4.1	730.5	729.9	730.3	85	77	60	SW	oSW	2W	o	2	3	9		
Mittel	10.6	15.0	12.0	12.4	-	726.5	726.2	726.8	87	73	83				6.3	7.0	6.7	140.8		

λ = 8° 33', β = 47° 25'.
Hb = 493.2 m, G = 0.08 mm.

Zürich.

Mai 1930.
Meteorol. Zentralanstalt.

Table with columns: Tag, Lufttemperatur (7, 13, 21, Mittel, Abwechslung), Luftdruck (7, 13, 21), Relative Feuchtigkeit (7, 13, 21), Windrichtung und Stärke (7, 13, 21), Bewölkung (7, 13, 21), Niederschlag, Witterung. Rows 1-31 and Mittel.

λ = 8° 30', β = 47° 3'.
Hb = 1787.3 m, G = -0.11 mm.

Rigi-Kulm.

Mai 1930.
Beobachter: J. Wiget.

Table with columns: Tag, Lufttemperatur (7, 13, 21, Mittel, Abwechslung), Luftdruck (7, 13, 21), Relative Feuchtigkeit (7, 13, 21), Windrichtung und Stärke (7, 13, 21), Bewölkung (7, 13, 21), Niederschlag, Witterung. Rows 1-31 and Mittel.

Mai 1930.
Beobachter: G. Krättli.

Bever.

$\lambda = 9^{\circ} 53'$, $\beta = 40^{\circ} 33'$
 $H_b = m. 1710^m$, $G = -0.12^m/m$.

Table with columns: Tag, Lufttemperatur (730, 1330, 2130, Mittel, Abweich. vom. Monatsm.), Luftdruck (730, 1330, 2130), Relative Feuchtigkeit (730, 1330, 2130), Windrichtung und Stärke (730, 1330, 2130), Bewölkung (730, 1330, 2130), Niederschlag, Witterung. Rows 1-31 and Mittel.

Mai 1930.
Beobachter: Kapuzinerkloster.

Sitten.

$\lambda = 7^{\circ} 21'$, $\beta = 46^{\circ} 14'$
 $H_b = 548.6^m$, $G = 0.00^m/m$.

Table with columns: Tag, Lufttemperatur (730, 1330, 2130, Mittel, Abweich. vom. Monatsm.), Luftdruck (730, 1330, 2130), Relative Feuchtigkeit (730, 1330, 2130), Windrichtung und Stärke (730, 1330, 2130), Bewölkung (730, 1330, 2130), Niederschlag, Witterung. Rows 1-31 and Mittel.

$\lambda = 8^{\circ} 57', \beta = 46^{\circ} 0'$
 $H_b = 276.2^m, G = 0.03^m/m$

Lugano.

Mai 1930.
Beobachter: G. Malatesta.

Tag	Lufttemperatur					Luftdruck			Relative Feuchtigkeit			Windrichtung und Stärke			Bewölkung			Niederschlag	Witterung	
	7 ^h	13 ^h	21 ^h	Mittel	Abweich. vom Normalst.	7 ^h	13 ^h	21 ^h	7 ^h	13 ^h	21 ^h	7 ^h	13 ^h	21 ^h	7 ^h	13 ^h	21 ^h			
1	10.0	12.0	12.2	11.4	-1.7	733.2	734.8	735.6	95	73	83	NW	oW	oN	o	10	10	10	5.0	● n-1, 20-n m.U.
2	11.2	13.0	10.6	11.6	+1.7	737.2	737.0	737.0	87	82	95	S	oSE	oN	o	10	10	10	25.2	● 8-11 1/2, 17-n
3	10.2	15.8	13.0	13.0	-0.4	737.2	736.7	736.8	98	54	83	W	oS	oNW	o	10	10	3	5.7	● n-9 1/2, 17 1/4-17 1/2, 23-23 1/4
4	12.6	20.6	14.0	15.7	2.2	738.5	738.0	738.5	83	43	84	NW	oS	oN	o	7	4	2	1.5	● 16 1/2-18, T SSE 15 1/4-16
5	13.4	12.2	15.0	13.5	-0.2	737.8	738.7	736.8	69	79	63	N	oNNE	oN	o	10	10	4	11.4	● 9 1/4-11 1/2
6	11.4	13.4	10.2	11.7	-2.1	737.1	736.0	734.6	70	82	94	N	oS	oN	o	4	10	10	35.4	● 12 1/4-13 1/4, 13 3/4-n
7	9.4	9.2	7.8	8.8	-5.1	731.6	730.4	727.5	96	95	98	NNW	oNNW	oN	o	10	10	10	61.0	● n-n
8	7.2	11.2	10.2	9.5	-4.6	725.8	727.6	729.5	98	71	70	N	oS	oN	o	10	10	6		● n-4 1/2
9	12.2	17.4	10.3	13.3	-0.9	732.4	733.5	734.3	25	23	53	NNE	oN	oN	o	10	10	0		
10	8.8	11.4	10.4	10.2	-4.1	730.3	736.1	734.6	75	66	68	N	oS	oN	o	10	10	0	0.2	● 10 1/2-10 3/4
11	9.2	10.6	9.6	9.8	-4.7	734.9	733.2	731.2	76	83	80	WNW	oW	oN	o	10	10	0	0.0	● 9 1/2-10 1/4
12	10.4	20.2	15.0	15.2	0.6	731.2	730.7	732.1	69	23	39	N	oNNW	oNNW	o	1	0	0		
13	15.0	21.6	12.8	16.5	1.8	734.8	733.8	735.3	35	33	67	NNW	oNNW	oN	o	3	3	2		
14	12.2	20.2	13.2	15.2	0.3	735.2	733.9	734.3	73	49	47	E	oS	oN	o	2	5	0		
15	20.0	26.0	16.2	20.4	5.4	735.4	735.7	737.4	36	20	58	NE	oNE	oNE	o	2	0	0		
16	14.2	20.8	16.8	17.3	2.2	740.4	740.0	740.9	72	53	52	E	oS	oNNE	o	2	1	0		
17	13.4	21.2	17.9	17.5	2.2	744.0	742.2	740.9	68	51	64	NNE	oS	oN	o	1	1	10		
18	15.0	23.0	18.4	18.8	3.4	740.0	736.8	734.5	75	48	68	N	oS	oN	o	3	3	5		
19	16.4	19.2	14.2	16.6	1.1	733.0	736.7	739.4	25	20	22	NNE	oNNE	oNNE	o	2	2	0		
20	11.4	17.4	15.2	14.7	-1.0	740.2	739.1	738.7	59	46	56	NNE	oSE	oN	o	0	2	10		
21	14.0	18.0	14.2	15.4	-0.4	739.5	738.7	738.4	68	45	86	NE	oNE	oN	o	9	10	10	1.2	
22	10.6	11.0	10.6	10.7	-5.2	739.3	738.9	736.5	96	89	96	N	oW	oW	o	10	10	10	11.0	● 5-7 1/2, a, p ztw., 17 1/2-n
23	10.0	15.6	13.0	12.9	-3.2	734.8	733.3	733.9	94	55	87	W	oW	oN	o	10	5	10	1.0	● n-8
24	11.0	11.4	12.0	11.5	-4.7	734.3	734.2	737.3	90	90	60	S	oS	oN	o	10	10	0	16.6	● fr.-p
25	10.0	18.6	14.4	14.3	-2.0	738.8	737.6	735.8	72	51	69	N	oS	oS	o	0	1	10		
26	12.2	18.4	12.8	14.5	-2.0	734.6	732.3	731.6	74	50	89	NE	oS	oNW	o	3	10	10	3.2	● 15 1/4-18 m.U., T SW 15
27	12.2	18.4	12.0	14.2	-2.4	731.7	732.7	736.0	86	46	92	NW	oS	oS	o	0	5	10	26.2	● 16-n
28	11.8	14.0	13.8	13.2	-3.5	739.4	742.1	742.4	98	90	96	SW	oS	oS	o	10	10	10	9.0	● n-15 1/4, 19-1 1/4
29	15.6	22.2	18.2	18.7	1.8	744.1	743.5	741.0	75	56	78	N	oW	oN	o	10	2	0		
30	17.0	24.8	18.8	20.2	3.2	741.4	740.4	740.7	70	46	73	N	oS	oS	o	1	4	9		
31	14.6	22.8	17.4	18.3	1.2	741.0	740.3	740.7	78	40	72	N	oS	oN	o	1	0	0		
Mittel	12.3	17.1	13.6	14.3	-	736.6	736.2	736.3	74	56	72				5.4	6.0	5.2	213.6		

$\lambda = 7^{\circ} 35', \beta = 47^{\circ} 33'$
 $H_b = 318^m, G = 0.13^m/m$

Basel.

Mai 1930.
Astronom.-Meteorol. Anstalt.

Tag	Lufttemperatur					Luftdruck			Relative Feuchtigkeit			Windrichtung und Stärke			Bewölkung			Niederschlag	Witterung	
	7 ^h	13 ^h	21 ^h	Mittel	Abweich. vom Normalst.	7 ^h	13 ^h	21 ^h	7 ^h	13 ^h	21 ^h	7 ^h	13 ^h	21 ^h	7 ^h	13 ^h	21 ^h			
1	4.8	13.4	7.9	8.5	-	730.8	731.8	732.9	85	60	88	NW	oE	oSE	o	10	1	8		△ fr.
2	7.9	18.0	10.0	12.0	-	733.8	732.9	734.6	83	49	96	SE	oNW	oSSW	o	10	10	10	19.0	● 16-17 1/2, 18-n, △ fr.
3	10.2	14.6	10.4	11.7	-	735.1	735.1	736.0	91	82	94	SSW	oS	oSSW	o	10	10	10	1.4	● n-3, 8-9, 14-17 1/2 m.U., Tp
4	8.0	19.0	10.9	12.6	-	736.2	735.3	734.7	94	57	89	E	oNNE	oSSW	o	8	4	9	6.3	● 23 3/4-1, < 22
5	10.2	18.8	9.7	12.9	-	734.0	732.4	732.2	96	61	92	SSW	oSE	oENE	o	10	6	4	14.0	● 4-18 3/4 m.U., K p
6	9.4	11.6	7.9	9.6	-	731.1	730.4	729.3	91	85	94	E	oWNW	oSSE	o	10	10	10	6.0	● sch. n, a, ● 14 1/4-24 m.U.
7	7.0	8.0	7.9	7.6	-	724.4	725.2	725.3	96	99	94	N	oW	oWNW	o	10	10	10	15.3	● 2-4, 4 1/2-12, 23-n
8	7.6	7.0	5.7	6.8	-	726.0	728.7	731.6	93	91	79	NW	oNNW	oWSW	o	10	10	10	9.7	● n-15, 16 1/4-17 1/4, ▲ 14 1/4-14 1/2
9	4.6	10.6	5.6	6.9	-	733.6	733.2	734.2	87	51	89	WNW	oWNW	oSE	o	6	9	10	0.0	● 9 1/2-10
10	5.0	10.2	7.8	7.7	-	732.3	731.0	732.3	87	79	93	E	oSW	oSSW	o	10	10	10	4.2	● a ztw., 12-13, 17 1/4-19 3/4
11	9.0	12.9	8.0	10.0	-	729.4	727.1	731.0	92	73	86	SW	oWSW	oSW	o	10	10	9	5.2	● 2 1/4-13 3/4 m.U., 16-20 3/4 ztw., *)
12	7.2	10.9	7.2	8.4	-	731.4	732.0	733.6	86	76	84	SSW	oWNW	oW	o	10	10	10	4.6	● n-1, 11 1/4-n zeitw.
13	7.5	13.6	12.5	11.2	-	734.4	733.9	733.6	89	72	91	SE	oW	oWSW	o	10	10	10	6.3	● 6-9 1/4, 14 1/4-16 3/4, ≡ ● 17-18
14	12.0	15.4	12.7	13.6	-	732.6	733.6	735.6	90	76	87	WSW	oWSW	oW	o	10	10	10	0.8	● 1-8 1/4, 18-19
15	14.2	16.7	10.5	13.8	-	736.7	736.4	737.4	79	55	95	WSW	oNNW	oSSW	o	3	9	8	0.0	● 0 1/2-1 1/4, ● sch. 9 1/4, 9 3/4
16	12.4	21.7	12.8	15.6	-	738.7	739.0	739.7	78	48	89	ESE	oWSW	oSSW	o	1	10	7		
17	11.8	23.9	16.0	17.2	-	740.6	739.4	738.1	83	52	86	ESE	oWNW	oSW	o	10	9	10		
18	14.8	24.9	14.3	18.0	-	736.2	733.1	735.8	80	62	70	ESE	oW	oW	o	10	9	10	0.2	● 19 1/2-20
19	10.1	12.5	7.3	10.0	-	739.6	739.7	739.4	67	62	89	W	oW	oSW	o	1	9	3		
20	8.4	17.8	9.6	11.9	-	739.2	737.4	737.6	73	47	95	SE	oWNW	oSE	o	9	8	10	0.5	● 15 3/4, 19-24 m.U., ⊕ S, 12
21	10.1	17.0	10.0	12.4	-	736.6	734.9	734.4	92	69	91	ESE	oSW	oESE	o	6	10	9	0.0	● 19 3/4
22	7.3	20.6	13.4	13.8	-	734.0	731.0	730.8	96	47	80	SE	oE	oESE	o	10	6	10		≡ n-7 3/4
23	11.8	15.6	10.6	12.7	-	730.2	729.7	731.0	91	78	97	E	oNNW	oSW	o	10	10	10	6.0	● sch. 7 1/2-13 1/4, ● 15 3/4-17 1/4, Tp
24	12.3	15.9	10.0	12.7	-	731.0	731.5	733.4	83	64	91	SE	oSW	oSW	o	4	10	10	2.0	● 20 1/4-20 3/4
25	11.5	17.2	10.1	12.9	-	733.5	732.8	732.8	85	62	91	ESE	oW	oSE	o	1	8	8	2.0	● 10-11 1/4, 15-15 1/4, 16 3/4
26	10.1	19.2	10.8	13.4	-	731.8	729.7	728.8	92	59	94	ENE	oW	oSE	o	1	8	2		≡ 4 1/4-7 1/4, T 15 1/4
27	12.7	19.4	12.2	14.8	-	728.7	727.7	730.0	85	56	97	SE	oESE	oSE	o	10	10	10	8.3	● 16 1/2-24, T, < 15 3/4, ⊕ 8 1/2
28	12.4	17.3	14.0	14.6	-	731.8	734.1	733.4	95	77	99	ESE	oNNW	oSE	o	10	10	10	0.6	● 2 1/4-9, 16 1/2-21 1/4 m.U.
29	12.4	19.6	15.8	15.9	-	739.1	738.5	737.9	97	72	94	E	oENE	oWNW	o	10	10	7	1.2	● 7 1/4-10 3/4 m.U.
30	14.0	23.0	16.1	17.7	-	735.0	734.2	734.6	97	66	94	WSW	oW	oSE	o	10	10	5	4.3	● 17-20 3/4 ztw., ≡ n-7 3/4, *)
31	14.4	22.0	14.1	16.8	-	737.9	737.7	737.9	93	62	91	E	oSE	oENE	o	10	3	5	1.3	● 2 1/2-9 1/2 ztw., 15 3/4-16 1/4, K 2 1/4
Mittel	10.0	16.4	10.7	12.4	-	733.7	733.2	734.0	88	66	90				7.7	8.7	8.5	119.2	[Tp, ⊕ 6 1/4	

Mai 1930.

Beobachter: Observatorium.

Säntis.

$\lambda = 9^{\circ} 20'$, $\beta = 47^{\circ} 15'$.
 $H_b = 2500.1m$, $G = -0.16 \frac{mm}{m}$.

Tag	Lufttemperatur					Luftdruck			Relative Feuchtigkeit			Windrichtung und Stärke			Bewölkung			Niederschlag	Witterung	
	7 ^h	13 ^h	21 ^h	Mittel	Abw. von Normalst.	7 ^h	13 ^h	21 ^h	7 ^h	13 ^h	21 ^h	7 ^h	13 ^h	21 ^h	7 ^h	13 ^h	21 ^h			
1	-2.0	-1.7	-4.0	-2.6	0.3	557.1	559.7	560.9	100	95	95	SW 3S	1 NE	2	4	10 ^h	6	3.6	* ab 10 ^h ztw., 18, ≡ a	
2	-0.2	2.0	-1.5	0.1	2.8	561.3	561.5	561.5	66	100	100	ENE 1	ENE 1	NE 1	3	10 ^h	10 ^h *	19.4	△ sch. p, * abds. *)	
3	-2.7	-1.9	-2.5	-2.4	0.2	561.2	562.2	563.3	100	100	100	E 1	ENE 2	NE 3	10 ^h *	10 ^h *	10 ^h *	3.0	* n-10 ^h , ≡ n-n	
4	-2.0	0.2	-2.0	-1.3	1.2	563.1	563.9	563.5	100	75	98	E 1S	1 WSW 1		10 ^h *	10 ^h *	1	0.0	* sch. 16 ^h , ≡ n-p	
5	2.2	3.2	-2.0	1.1	3.4	561.8	561.4	560.7	66	100	100	SSW 1	WSW 2	W 3	9	10 ^h *	10 ^h *	2.5	* sch., ≡ 9 ^h -n, K i. E 16, 19	
6	-1.0	2.4	-1.0	0.1	2.3	560.0	559.0	557.4	75	80	100	W 2	WSW 2	SSE 3	6	10 ^h	10 ^h			
7	-0.4	2.4	-3.0	-0.3	1.8	553.7	554.1	553.2	70	80	100	SSW 2S	1 ENE 2		9	8	10 ^h *	24.2	* (ztw.), ≡ 16-n, † abds.	
8	-6.0	-6.4	-8.0	-6.8	-4.8	551.5	553.1	555.4	100	100	100	NNW 2	W 1	WSW 1	10 ^h *	10 ^h *	10 ^h *	52.0	* ≡ † n-n	
9	-10.5	-8.6	-9.0	-9.4	-7.6	555.8	556.8	558.3	100	100	100	WNW 2	WSW 3	WSW 2	10 ^h *	10 ^h *	10 ^h *	47.8	* ≡ † n-n m.U.	
10	-8.2	-5.2	-6.2	-6.5	-4.8	556.8	556.8	558.1	100	100	100	WSW 2	WSW 2	WSW 3	10 ^h *	10 ^h *	10 ^h *	23.3	* † p-n, ≡ n-n, † p	
11	-3.8	-3.0	-6.0	-4.3	-2.7	556.2	555.2	555.8	100	100	100	WSW 1	WSW 3	WSW 3	10 ^h *	10 ^h *	10 ^h *	43.2	* ≡ † n-n, K 16, † p	
12	-6.8	-5.0	-7.0	-6.3	-4.9	555.4	557.2	558.0	100	100	100	WSW 2	WSW 2	WSW 2	10 ^h *	10 ^h *	10 ^h *	44.8	* ≡ † n-n	
13	-8.0	-4.0	-2.8	-4.9	-3.6	559.0	559.3	560.2	100	100	100	WSW 1	WSW 1	WSW 2	10 ^h *	10 ^h *	10 ^h *	40.3	* † 10 ^h -n, ≡ n-n	
14	-1.5	0.0	-1.0	-0.8	0.4	559.6	560.7	562.0	100	100	100	WSW 2	WSW 3	WSW 3	10 ^h *	10 ^h *	10 ^h *	24.8	* † n-p, ● ab 19, ≡ n-n	
15	-4.0	-3.0	-3.0	-3.3	-2.2	562.4	563.1	564.5	100	100	100	NW 1	WSW 1	WSW 0	10 ^h *	10 ^h *	10 ^h *	2.3	* n-a, △ a ztw., ≡ n-p	
16	-2.4	-1.0	-1.6	-1.7	-0.8	565.0	566.5	568.0	100	100	100	WSW 1	WSW 1	WSW 1	9	10 ^h *	1			≡ n-abds. zeitw.
17	0.0	4.0	1.0	1.7	2.5	568.3	568.8	568.1	100	80	75	N 1	N 1	WSW 2	5	8	3			≡ p zeitw.
18	2.6	3.6	1.0	2.4	3.1	566.1	565.2	563.0	90	100	100	WSW 3	WSW 4	WSW 3	10 ^h *	10 ^h *	10 ^h *	14.6	K 19 ^h -19 ^h , ▲ ● abds., ≡ n-p	
19	-7.0	-5.6	-7.4	-6.7	-6.1	562.4	563.0	563.7	100	100	100	WSW 1	NE 1	NE 1	10 ^h *	10 ^h *	10 ^h *	1.0	* a, p zeitw., ≡ n-a	
20	-3.8	-2.0	-4.0	-3.3	-2.9	563.0	563.1	562.8	100	100	100	WSW 0	WSW 2	WSW 0	2	10 ^h *	10 ^h *	10 ^h *	0.2	* seit 19 ^h , ≡ p-n ztw.
21	-3.6	-2.0	-3.2	-2.9	-2.6	561.9	561.9	561.3	100	100	100	WSW 1	WSW 1	WSW 1	10 ^h *	10 ^h *	10 ^h *	8.4	* 12-p, ≡ n-21 ^h	
22	0.0	0.2	-1.0	-0.3	-0.2	561.0	560.8	559.8	45	100	90	W 1S	1 SSE 1		1	10 ^h *	10 ^h *	0.8	* sch., ≡ 15 ^h , K i. N 12 ^h	
23	-1.8	0.0	-3.0	-1.6	-1.6	558.5	557.8	557.8	100	100	100	SSE 1E	1 WSW 2		10 ^h *	10 ^h *	10 ^h *	3.8	* ≡ † n-n	
24	-2.0	0.0	-3.2	-1.7	-1.8	558.1	558.9	560.4	100	100	100	W 0	WSW 1	WSW 1	10 ^h *	10 ^h *	10 ^h *	1.9	* (zeitw.), ≡ n-n	
25	-3.0	1.2	-1.8	-1.2	-1.4	560.4	561.1	561.0	100	100	100	W 1	WSW 1	WSW 2	10 ^h *	10 ^h *	10 ^h *	2.0	* n-a, ≡ n-abds. m.U.	
26	1.0	1.2	-1.4	0.3	0.0	559.5	559.0	557.9	65	87	100	WSW 1S	1 NE 1		9	10 ^h *	10 ^h *	10.7	* △ sch. ab 12, ≡ 2-n	
27	-2.0	3.2	0.2	0.5	0.0	557.1	558.4	559.5	100	89	90	WSW 1	SSW 2	WSW 2	10 ^h *	10 ^h *	5	0.0	* n-a, ≡ n-20 ^h	
28	3.0	5.8	2.0	3.6	3.0	561.6	564.5	566.7	75	70	100	SSW 3	WSW 2	WSW 3	10 ^h *	9	10 ^h *	2.0	≡ abds. zeitw.	
29	3.2	5.8	5.6	4.9	4.2	568.0	569.2	569.0	87	75	60	WSW 2	WSW 2	WSW 3	10 ^h *	10 ^h *	1		● fr.	
30	7.6	9.0	5.0	7.2	6.4	567.4	567.1	566.7	50	50	65	SSW 3	SSW 2	WSW 3	2	9	1			
31	6.2	6.6	4.0	5.6	4.7	567.0	567.6	567.7	65	100	100	SSE 1S	1 SSW 1		2	10 ^h *	10 ^h *	5.0	● (?), ≡ a-n m.U.	
Mittel	-1.8	0.1	-2.2	-1.3	—	560.6	561.2	561.5	89	93	96				8.1	9.4	8.0	381.6	*) 2. K, p, abds., ≡ p-n	

Mai 1930.

Beobachter: Fri. F. Lombardi.

St. Gotthard (Hospiz).

$\lambda = 8^{\circ} 34'$, $\beta = 46^{\circ} 35'$.
 $H_b = 2102.9m$, $G = -0.14 \frac{mm}{m}$.

1	-3.0	4.8	-0.8	0.3	0.8	585.6	587.6	589.8	80	70	77	N 0	SE 1	NE 1	5	8	0	3.0	* 14-15 ^h , ≡ a, p zeitw.	
2	1.0	5.0	0.0	2.0	2.3	590.1	589.9	590.2	70	65	82	NE 0	NE 1	NE 2	2	10 ^h *	10 ^h *	16.0	* † 15 ^h -19, 21 ^h -n, ≡ 10-n	
3	-1.0	2.0	-1.0	0.0	0.2	591.1	590.6	592.3	78	60	95	NE 1	NE 1	N 1	10 ^h *	10 ^h *	4		≡ n-18	
4	0.2	9.2	2.0	3.8	3.9	592.3	592.5	593.0	82	60	75	N 1	N 0	NE 0	2	2	5	9.2		
5	1.0	4.8	1.2	2.3	2.3	591.3	590.8	590.2	75	59	67	SE 1	SE 1	SE 0	10 ^h *	10 ^h *	10 ^h *		* fr. † n-n, ≡ 21-n	
6	0.2	5.0	-1.0	1.4	1.3	590.8	589.9	586.2	75	60	85	SE 0	SE 1	SE 2	10 ^h *	10 ^h *	10 ^h *	27.0	* 11-12 ^h , 14 ^h -21, ≡ 10-n	
7	-2.0	1.0	-2.1	-1.0	-1.2	584.1	583.3	581.3	75	70	88	SE 2	SE 2	NE 1	10 ^h *	10 ^h *	10 ^h *	68.5	* † n-abds., ≡ 14-n	
8	-4.2	1.0	-1.5	-1.6	-2.0	581.8	581.4	584.8	75	60	84	N 2	N 1	N 3	10 ^h *	10 ^h *	10 ^h *	15.5	* n-9 ^h , * † ab 19, ≡ n-n	
9	-6.4	3.0	-6.3	-3.2	-3.7	585.6	586.3	588.6	73	60	67	N 1	N 1	N 1	10 ^h *	2	0			≡ n-8 ^h , † n-11
10	-2.0	1.0	-3.0	-1.3	-1.9	587.7	587.4	588.3	73	55	75	E 1S	1 SE 0		10 ^h *	10 ^h *	0	1.0		
11	0.0	2.0	-2.2	-0.4	-1.1	587.3	587.3	586.5	70	64	91	SE 0	SE 1	N 1	10 ^h *	10 ^h *	10 ^h *	18.5	* † n-n, ≡ 17-n	
12	-2.7	2.0	-4.0	-1.6	-2.5	586.6	586.7	589.2	76	50	89	N 1	N 0	N 1	10 ^h *	2	10 ^h *	30.3	* 17 ^h -n, ≡ 16-n	
13	-4.2	2.0	-1.0	-1.1	-2.1	589.4	589.3	590.3	90	45	95	N 2	N 1	N 1	10 ^h *	4	10 ^h *	29.0	* ≡ † n-n, * 18 ^h -n, *)	
14	-0.6	1.3	0.8	0.5	-0.6	590.3	590.9	591.3	92	89	93	N 1	N 2	N 2	10 ^h *	10 ^h *	10 ^h *	25.0	* ≡ † n-n	
15	0.6	2.5	0.0	1.0	-0.2	593.2	593.2	594.9	91	60	97	N 0	N 2	N 2	10 ^h *	10 ^h *	10 ^h *	3.2	* † 19 ^h -n, ≡ n-9, 17-n	
16	0.0	4.8	1.6	2.1	0.8	594.4	594.0	597.2	82	50	87	N 2	N 1	N 1	2	1	0			
17	2.6	4.5	3.3	3.5	2.1	597.2	597.3	597.0	62	39	65	N 1	N 0	N 0	0	2	0			
18	0.3	6.8	3.8	3.6	2.1	595.1	594.8	592.1	65	45	84	N 0	N 0	NE 0	0	2	1	5.8	* 21 ^h -22	
19	-5.0	2.5	-4.2	-2.2	-3.9	590.1	591.0	593.4	60	42	86	N 4	N 3	N 3	10 ^h *	4	10 ^h *	1.5	* ≡ 20-n, † n-n	
20	-4.0	2.0	-3.2	-1.7	-3.5	592.5	591.7	592.2	70	38	80	N 1	N 0	N 0	0	0	2	5.5	* 21-21 ^h	
21	0.0	2.8	-1.0	0.6	-1.3	591.6	590.0	590.2	70	41	88	N 0	N 0	SE 0	0	10	10 ^h *	1.8	* 21 ^h -n, ≡ 21-n	
22	0.8	3.5	1.0	1.8	-3.2	593.2	589.9	590.2	70	50	76	SE 1	SE 2	SE 0	0	10	10 ^h *	5.3	* 20-n, ≡ 11-n	
23	2.0	5.6	0.0	2.5	0.4	587.4	587.8	588.1	72	41	70	SE 0	SE 0	SE 0	0	10	10 ^h *	4.0	* 21-n	
24	0.0	3.1	1.0	1.4	-0.8	587.3	588.0	590.0	72	56	74	SE 1	SE 1	NE 1	10 ^h *	10 ^h *	10 ^h *	4.8	* † zeitw., ≡ n-n	
25	4.8	6.0	3.0	4.6	2.2	591.1	591.3	590.4	60	45	68	N 0	N 0	SE 1	0	10	10 ^h *	4.2	*	
26	6.8	7.0	1.8	5.2	2.7	589.0	586.7	586.8	60	40	61	SE 0	SE 1	SE 0	0	2	2	10		
27	0.0	6.0	0.4	2.1	-0.5	587.4	587.5	588.9	80	53	74	NE 1	NE 1	NE 1	1	10 ^h *	10 ^h *	14.0	● 13 ^h -15 ^h , 19-n	
28	2.7	4.2	3.4	3.4	0.7	591.9	594.0	597.8	73	70	75	SE 1	SE 1	SE 1	10 ^h *	10 ^h *	10 ^h *	22.5	● n-n, 11-14	
29	4.7	6.5	6.2	5.8	3.0	597.9	598.2	596.7	80	50	63	SE 0	SE 1	SE 0	0	10	10 ^h *			≡ n-8
30	8.0	9.0	6.3	7.8	4.9	596.9	596.5	596.5	74	50	73	SE 2	SE 3	SE 1	10	10 ^h *	0	0.8	● 13 ^h -15	
31	8.7	13.0	6.4	9.4																

$\lambda = 7^{\circ} 26'$, $\beta = 46^{\circ} 57'$,
 $H_b = 572.2^m$, $G = 0.05 \frac{m}{m}$.

Bern.

Juni 1980.
Tellur. Observatorium.

Table with columns: Tag, Lufttemperatur (7:30, 13:30, 21:30, Mittel, Abweich. vom Normalst.), Luftdruck (7:30, 13:30, 21:30), Relative Feuchtigkeit (7:30, 13:30, 21:30), Windrichtung und Stärke (7:30, 13:30, 21:30), Bewölkung (7:30, 13:30, 21:30), Niederschlag, Witterung. Includes daily data from June 1 to 30 and a 'Mittel' row.

*) 2. K₁₇, ≡ n(2/3) 3. T 17 1/2, 18

$\lambda = 6^{\circ} 57'$, $\beta = 47^{\circ} 0'$,
 $H_b = 487.3^m$, $G = 0.06 \frac{m}{m}$.

Neuchâtel.

Juni 1980.
Observatorium.

Table with columns: Tag, Lufttemperatur (7:30, 13:30, 21:30, Mittel, Abweich. vom Normalst.), Luftdruck (7:30, 13:30, 21:30), Relative Feuchtigkeit (7:30, 13:30, 21:30), Windrichtung und Stärke (7:30, 13:30, 21:30), Bewölkung (7:30, 13:30, 21:30), Niederschlag, Witterung. Includes daily data from June 1 to 30 and a 'Mittel' row.

Juni 1930.
Beobachter: Frl. H. Nager.

Aldorf.

$\lambda = 80^{\circ} 39'$, $\beta = 46^{\circ} 53'$,
 $H_b = 456.3^m$, $G = 0.05 \%$.

Tag	Lufttemperatur					Luftdruck			Relative Feuchtigkeit			Windrichtung und Stärke			Bewölkung			Niederschlag	Witterung
	7 ⁰⁰	13 ⁰⁰	21 ⁰⁰	Mittel	abweich. vom Normalst.	7 ⁰⁰	13 ⁰⁰	21 ⁰⁰	7 ⁰⁰	13 ⁰⁰	21 ⁰⁰	7 ⁰⁰	13 ⁰⁰	21 ⁰⁰	7 ⁰⁰	13 ⁰⁰	21 ⁰⁰		
1	15.8	21.2	15.5	17.5	2.7	725.5	724.2	722.6	88	48	84	NW	oNW	oE	o	8	4	2	
2	16.8	26.3	20.6	21.2	6.3	720.0	716.8	717.0	65	28	37	NE	oSE	1-2SE	3-4	8	3	4	
3	15.5	22.3	16.4	18.1	3.1	718.7	718.0	721.9	78	46	99	W	oNW	oNW	o	4	6	10	2.1 ● 20 ⁰⁰ /4-n
4	15.3	23.0	18.2	18.8	3.7	722.9	723.3	724.8	94	46	72	NW	oNW	oE	o	7	7	2	
5	16.0	22.3	18.3	18.9	3.7	724.6	722.7	723.3	85	36	86	E	oNW	o-1NW	o	4	2	4	
6	15.7	24.7	22.0	20.8	5.5	723.0	720.7	719.6	84	48	25	NW	oNW	oSE	1	3	2	4	
7	17.8	25.4	18.8	20.7	5.3	720.4	718.5	720.3	66	45	63	S	oSE	oS	o	4	3	7	
8	16.8	24.6	16.7	19.4	3.9	720.5	719.2	721.4	74	47	68	SW	oNW	o-1NW	o-1	6	6	10	
9	16.2	21.0	16.8	18.0	2.4	722.1	721.3	722.2	78	55	86	NW	oNW	oE	o	8	7	5	
10	16.8	24.7	19.1	20.2	4.5	722.6	721.4	722.2	81	44	71	E	oNW	o-1NE	o	5	4	6	
11	17.0	25.3	20.5	20.9	5.1	723.6	721.9	723.0	79	50	49	S	oNW	o-1E	o-1	0	5	9	T 17.
12	18.2	25.8	18.1	20.7	4.8	723.8	722.2	725.3	73	43	79	NE	oNW	o-1NW	o	3	2	10	0.2 ● 20 ⁰⁰ /4, < seit 20 ⁰⁰ /4, TNW
13	18.3	23.4	18.8	20.2	4.2	724.7	724.1	725.3	70	51	75	W	oNW	o-1NW	o	7	8	7	
14	17.7	21.8	16.5	18.7	2.6	725.1	724.0	724.2	83	65	98	W	oNW	oN	o	5	8	3	2.5 ● mlgs.
15	15.8	23.0	18.7	19.2	3.0	723.8	723.2	723.7	90	56	73	N	oNW	oNE	o	2	2	8	2.2 ● seit 17 ⁰⁰ /4
16	16.8	25.7	17.5	20.0	3.7	723.2	722.1	723.5	83	52	92	E	oNW	2NE	o-1	5	5	10	2.8 K, ● abds.
17	17.0	22.0	18.0	19.0	2.6	722.8	720.7	721.6	82	58	60	NW	oNW	1-2NE	o	7	6	2	
18	14.0	24.5	16.7	18.7	2.3	721.5	720.2	721.8	79	42	92	N	oNW	1NE	o	0	2	3	3.1 ● 17 ⁰⁰ /4-20
19	17.9	25.0	15.7	19.5	3.0	722.5	721.0	723.6	72	43	96	NW	oN	1-2SE	o	3	6	3	21.5 K, ● 16
20	16.7	24.2	15.2	18.7	2.1	724.8	723.6	726.8	81	44	96	E	oNW	oNW	o	6	8	10	8.1 ●
21	17.4	22.8	18.0	19.4	2.7	725.9	725.1	724.8	85	51	89	N	oNW	oNE	o	8	8	6	
22	16.8	25.3	17.0	19.7	2.9	723.5	721.8	721.7	74	44	77	NW	oNW	1NW	o	2	4	10	8.3 ● 21-n
23	16.9	25.4	16.5	19.6	2.8	722.0	720.1	723.3	90	52	76	E	oNW	oE	o	4	7	10	6.4 ● abds., T 17
24	16.6	22.7	17.0	18.8	1.9	720.8	718.9	722.6	93	55	92	E	oNW	oN	o	5	10	10	1.5 ● p, abds.
25	16.5	22.7	18.9	19.4	2.4	722.5	719.7	720.4	80	46	67	S	oN	o-1NE	o	4	3	2	
26	20.3	27.0	21.5	23.2	6.2	716.3	716.2	716.7	55	31	56	NW	o-1E	2-3E	1-2	6	4	8	0.0 ● 6, ● 13 ⁰⁰ /4-n zeitw.
27	18.5	17.8	16.8	17.7	0.6	717.5	719.0	721.2	82	92	95	SE	oNW	oNW	o	7	10	10	5.5 ● p-n zeitw.
28	17.3	20.7	15.8	17.9	0.7	722.4	722.8	725.5	89	63	90	N	oNW	oNW	o	8	9	10	6.9 ● p-n zeitw.
29	16.5	23.7	18.5	20.6	2.4	725.4	723.0	723.8	69	48	72	E	oN	oSE	o	6	3	0	
30	16.1	24.8	20.3	20.4	3.1	723.2	720.4	720.2	74	49	45	SE	oNW	o-1SE	o	0	1	0	
Mittel	16.9	23.7	17.9	19.5	—	722.5	721.2	722.5	79	49	75					4.8	5.0	6.2	Summe 71.1

Juni 1930.
Observatorium.

Genf.

$\lambda = 60^{\circ} 9'$, $\beta = 46^{\circ} 12'$,
 $H_b = 405.0^m$, $G = 0.02 \%$.

1	14.7	25.2	19.8	19.9	4.5	730.2	728.1	725.8	84	39	67	NNE	1SW	1NE	o	0	4	10	3.5 K, ● 21
2	14.4	21.2	15.7	16.8	1.3	724.9	720.8	721.9	90	63	86	NNE	1NNE	1W	o	10	9	10	1.0 K, 14 ⁰⁰ /4, ● 15 ⁰⁰ /4
3	14.4	23.0	17.2	17.9	2.4	723.6	723.5	724.0	92	58	85	NNE	1SW	1SW	1	4	5	3	0.1
4	16.2	22.0	20.2	19.7	4.0	727.8	727.5	727.2	85	59	55	NW	oNW	1NNE	1	3	3	0	
5	16.3	20.2	19.4	18.8	3.0	728.0	727.2	727.8	86	72	90	NNE	1NNE	1E	o	10	1	10	0.1
6	17.5	23.6	18.0	19.3	3.3	727.6	725.0	726.2	73	58	90	N	1NNE	1SW	1	3	2	9	5.2 K, ● 16 ⁰⁰ /4, ● abds.-n
7	15.4	23.8	20.4	20.0	3.9	725.3	724.0	723.7	96	53	78	SE	1NNE	1SW	1	8	3	10	3.4 K, ● p
8	18.0	19.6	17.2	18.0	1.8	724.8	724.7	725.4	78	77	76	NNE	1SW	1SW	1	1	10	10	0.2 ● a, p zeitw., n
9	16.2	21.4	18.2	18.5	2.2	726.7	725.6	726.2	84	57	84	NW	oNNE	1S	o	9	2	9	
10	17.4	23.5	20.3	20.4	4.0	727.3	726.7	727.2	86	50	79	SE	oNNE	1NNE	1	10	1	0	
11	17.3	23.7	15.3	17.9	1.4	728.0	727.4	728.3	83	55	88	SW	oNNE	1NNE	o	0	1	9	15.0 K, 18, K ▲ 19 ⁰⁰ /4
12	16.3	24.0	20.4	20.3	3.7	728.8	727.6	728.1	88	59	75	SW	oNNE	1E	1	9	3	9	0.1 K, ● sch. 18 ⁰⁰ /4, K n
13	17.4	21.6	20.4	19.9	3.2	729.3	729.1	729.4	84	75	78	S	oSSW	oE	1	5	9	10	0.2 ● a, p zeitw., n
14	17.0	23.6	17.1	18.7	0.9	729.8	728.1	728.6	88	61	91	SW	1NNE	1SE	o	10	9	9	6.2 K, p, ● n
15	16.8	22.5	21.8	20.7	3.8	728.5	727.4	727.1	94	58	82	E	oE	1NW	o	10	3	2	K ^c n (14./15.?)
16	19.4	25.6	20.2	21.4	4.3	728.0	727.4	727.2	84	62	78	SW	oW	1SW	o	9	3	2	
17	20.2	21.4	18.3	19.5	2.4	726.6	726.2	725.6	81	77	85	SW	1SE	2SE	1	2	9	9	0.6 K, 13 ⁰⁰ /4, ● p
18	17.6	24.3	20.0	20.5	3.3	726.0	725.6	726.7	88	64	81	SE	oSW	1SW	o	9	3	2	7.2 K, ● 1 ⁰⁰ /2
19	18.2	24.2	19.4	20.3	3.0	727.6	726.8	728.3	84	60	83	E	oNW	1SE	1	1	3	2	0.2 K, p
20	18.4	22.0	18.6	19.4	2.0	729.4	729.3	730.4	83	67	84	SE	oNNE	1NNE	1	0	9	0	0.1 ● p, n
21	18.0	24.2	21.0	21.1	3.6	730.7	729.5	728.7	86	60	78	NW	oNNE	1NNE	1	0	1	3	
22	20.2	25.8	22.6	22.8	5.2	728.0	726.2	725.7	81	57	68	SW	oNNE	1SE	o	0	1	0	10.0 K, ● n (22./23.)
23	18.4	26.8	17.6	20.1	2.4	725.6	725.0	726.8	86	58	90	S	oSSW	1SW	2	3	3	2	0.2 K, ● sch. p, ● n
24	16.6	25.5	17.6	19.3	1.6	725.6	723.6	726.4	85	52	84	SE	oSW	2SSW	1	0	8	9	14.4 K, p, ● n
25	16.4	23.8	20.0	20.1	2.2	726.5	725.1	723.6	83	53	85	E	1SW	1NE	o	3	7	1	
26	17.6	20.8	18.4	18.8	0.9	721.7	721.9	722.1	86	72	86	E	oSSW	1SW	1	9	9	9	1.2 ● a, p m.U.
27	17.0	20.6	20.0	19.4	1.4	723.0	723.7	725.6	87	82	78	SW	1SSW	1SW	1	10	3	3	0.4 ● a, p zeitw., n
28	18.4	24.2	18.5	19.9	1.9	727.3	727.5	729.6	80	54	75	SW	1SW	1SW	o	9	5	1	
29	16.7	21.8	20.6	19.9	1.8	730.0	728.5	727.5	76	54	68	SW	oNNE	1NNE	o	0	1	1	
30	18.6	24.2	22.6	22.0	3.8	727.5	725.4	724.6	81	53	67	NNE	oNNE	1NNE	o	0	0	0	
Mittel	17.2	23.1	19.2	19.7	—	727.1	726.2	726.5	85	61	80					4.9	4.3	5.1	Summe 78.9

$\lambda = 8^{\circ} 33'$, $\beta = 47^{\circ} 25'$
 $H_b = 493.2^m$, $G = 0.08^m$

Zürich.

Juni 1930.
Meteorol. Zentralanstalt.

Tag	Lufttemperatur					Luftdruck			Relative Feuchtigkeit			Windrichtung und Stärke			Bewölkung			Niederschlag	Witterung			
	7 ⁰⁰	13 ⁰⁰	21 ⁰⁰	Mittel	Abwech. 100 Normalw.	7 ⁰⁰	13 ⁰⁰	21 ⁰⁰	7 ⁰⁰	13 ⁰⁰	21 ⁰⁰	7 ⁰⁰	13 ⁰⁰	21 ⁰⁰	7 ⁰⁰	13 ⁰⁰	21 ⁰⁰					
1	15.9	24.4	15.6	18.6	3.7	722.6	720.8	719.2	84	42	92	W	0	SE	0	8	6	7	2.4	● n.3, ● ir.a, ● sch.16-17, 22 ^{1/2} , 23 ^{1/2}		
2	15.0	25.7	14.5	18.4	3.4	717.3	714.5	714.7	88	45	90	NE	0	E	1	SE	0	9	7	8	0.4	● 3-4 ^{1/2} , 7 ^{1/2} -7 ^{3/4} , 13 ^{3/4} -20, K ₂ abds.
3	14.1	24.3	15.7	18.0	2.9	716.0	715.6	718.2	86	43	89	N	0	NW	0	NE	0	6	9	9	0.7	● 20-21 ^{1/2} , Δ fr.
4	15.3	25.2	17.8	19.4	4.2	720.2	720.8	722.1	90	40	84	NW	0	N	0	E	1	9	9	3	.	Δ fr
5	14.3	24.3	17.2	18.6	3.3	722.2	720.2	721.4	92	50	59	N	0	NE	2	E	3	10	0	0	.	.
6	13.5	25.8	19.6	19.6	4.1	721.2	718.8	716.9	80	52	65	NE	0	SE	1	E	2	1	1	1	.	.
7	17.8	26.7	18.4	21.0	5.4	717.8	716.6	717.6	78	48	88	SW	0	E	0	SW	0	6	3	10	0.5	● 19 ^{1/2} -21, 22 ^{1/2} -22 ^{3/4} , K ₂ abds.
8	17.1	24.5	17.3	19.6	3.9	718.0	717.1	718.5	83	49	85	SW	0	NE	1	NE	1	9	5	10	10.9	● 17 ^{1/2} -18, ● 22 ^{1/2} -1, K ₂ abds.
9	15.0	22.3	15.9	17.7	1.9	719.4	719.4	719.4	86	63	93	N	1	N	1	S	0	10	9	5	0.1	● tr. 9-9 ^{1/2}
10	15.6	23.8	19.2	19.5	3.6	720.1	719.4	720.6	92	50	76	SE	0	W	0	N	0	10	4	1	.	.
11	16.9	26.9	19.6	21.1	5.1	721.0	720.3	720.3	86	43	64	N	0	NE	0	NE	0	2	1	7	.	.
12	18.6	28.5	17.5	21.5	5.4	721.3	720.2	721.6	73	42	82	N	0	N	1	S	2	5	3	9	0.4	● 22 ^{1/2} -22 ^{3/4} , K ₂ ab 18
13	17.0	19.6	17.0	17.9	1.7	721.6	722.5	722.3	80	77	89	S	0	E	1	SE	0	7	9	6	0.3	● 13 ^{1/2} -15 ^{1/2} , T a
14	18.4	26.9	18.5	21.3	5.0	722.5	720.5	720.9	82	48	85	SW	0	NE	1	SW	0	7	9	9	0.5	● 13 ^{1/2} -16 ^{1/2} zeitw., ● tr. 21 ^{1/2} , K ₂ p
15	17.4	25.1	16.8	19.8	3.4	720.8	719.9	720.3	85	57	100	NE	0	SE	0	S	0	9	7	10	6.8	● 17 ^{1/2} -20 ^{1/2} , K ₂ 17 ^{1/2} , ▲ 18, ≡ fr.
16	16.7	27.1	20.7	21.5	5.0	720.2	719.6	719.7	96	53	68	N	0	SE	0	S	0	9	5	7	.	≡ fr., < abds.
17	17.9	24.2	17.8	20.0	3.4	719.3	718.4	718.2	79	51	53	E	1	NE	1	E	1	9	6	1	.	.
18	15.0	24.6	18.6	19.4	2.7	718.3	718.0	717.9	67	88	73	N	0	NW	0	NW	0	0	1	1	.	.
19	17.2	25.7	20.6	21.2	4.4	719.5	718.9	719.4	82	40	65	S	0	W	0	NE	0	2	6	9	0.0	● 22 ^{3/4} -23, K ₂ 21
20	17.7	21.7	17.0	18.8	1.9	721.5	721.6	722.9	76	71	94	NW	0	N	1	SW	0	6	9	10	0.0	● n (20./21.)
21	16.8	26.6	19.5	21.0	4.0	723.4	722.1	721.7	89	44	70	NW	0	SE	0	N	0	6	5	1	.	.
22	17.2	27.4	19.4	21.3	4.2	720.3	718.8	718.0	80	43	69	N	0	NE	0	N	0	1	1	2	.	.
23	20.7	20.2	16.2	22.0	4.8	719.2	716.9	719.2	72	43	96	NW	0	E	0	SE	1	8	7	9	10.3	● 16 ^{1/2} , 17-21 ^{1/2} , K ₂ p, abds.
24	16.0	26.2	15.9	19.4	2.2	717.9	715.7	718.9	92	50	88	S	0	SW	0	SW	1	8	6	10	18.2	● 16 ^{1/2} -22 ^{1/2} m.U., K ₂ 16 ^{1/2}
25	15.9	24.2	17.8	19.3	2.0	719.4	717.9	717.0	77	47	81	SE	0	W	0	SE	0	8	7	9	0.0	● 0 ^{1/2} -2 ^{1/2}
26	17.7	26.2	19.0	21.0	3.6	714.1	713.8	714.6	74	47	85	SW	0	W	1	W	0	9	7	9	2.7	● 14 ^{3/4} -15 ^{3/4} , Δ fr.
27	17.0	19.3	16.1	17.5	0.0	714.9	715.5	717.5	84	82	100	SW	0	SW	1	SE	0	9	9	7	25.8	● 6-20 ^{1/2} m.U.
28	16.4	21.2	16.6	18.1	0.5	719.5	720.2	722.0	85	66	83	NE	0	NW	1	S	0	9	10	9	0.6	● 21 ^{1/2} -22 ^{1/2}
29	15.7	25.5	17.6	19.6	2.0	722.4	721.3	720.4	85	45	82	S	0	NE	1	E	0	9	3	1	.	.
30	15.6	27.2	19.0	20.6	2.4	720.1	718.4	716.6	90	46	69	S	0	E	0	SE	0	0	1	0	.	Δ fr.
Mittel	16.5	25.0	17.8	19.8	-	719.7	718.8	719.3	83	50	81							6.7	5.5	6.0	Summe 80.6	

$\lambda = 8^{\circ} 30'$, $\beta = 47^{\circ} 3'$
 $H_b = 1787.3^m$, $G = -0.11^m$

Rigi-Kulm.

Juni 1930.
Beobachter: J. Wiget.

1	8.0	12.5	10.8	10.4	4.6	619.2	617.8	616.9	80	65	35	W	0	W	0	W	0	7	7	5	0.4	●
2	9.8	14.0	9.8	11.2	5.3	615.0	614.5	613.0	48	35	51	S	1	S	2	SE	2	5	3	10	.	● 19 ^{1/2} -20 ^{1/2}
3	10.4	14.0	10.8	11.7	5.7	613.2	614.3	614.9	40	50	70	S	1	S	1	W	0	3	5	10	2.4	●
4	10.8	12.4	12.0	11.7	5.6	616.9	618.2	618.7	50	68	80	E	0	E	0	NE	1	3	5	3	.	.
5	11.4	13.5	10.8	11.9	5.6	618.6	617.3	618.6	60	82	95	E	2	S	2	S	0	0	0	0	.	.
6	14.0	16.4	15.8	15.4	9.0	617.6	617.2	615.6	49	55	60	S	0	E	0	E	1	5	3	3	.	.
7	12.8	13.2	10.0	12.0	5.5	615.3	615.5	615.1	46	66	77	W	0	E	0	SE	3	5	5	10	1.4	●
8	10.4	13.5	8.8	10.9	4.3	615.1	614.9	615.4	82	88	100	NW	0	NE	1	W	2	7	5	10	5.5	● 18 ^{1/2} -21 ^{1/2} , ≡ a zeitw.
9	10.0	12.2	10.4	10.9	4.2	615.5	615.6	616.1	72	82	65	E	0	E	0	NE	0	5	5	5	.	≡ p-n zeitw.
10	10.6	11.2	11.1	11.0	4.1	616.6	617.1	617.6	75	68	85	E	0	NE	1	W	1	10	3	7	.	.
11	10.8	14.0	13.2	12.7	5.7	617.9	618.2	618.5	63	74	59	E	1	NE	1	E	1	0	3	7	.	.
12	12.3	15.8	8.4	12.2	5.1	618.4	618.5	619.0	41	45	60	SE	1	SE	0	SE	2	3	3	7	11.5	K ₂ 19-20 ^{1/2}
13	10.7	10.0	11.7	10.8	3.6	619.1	619.5	619.4	76	45	63	W	1	NW	0	SW	0	3	10	5	15.0	● 10 ^{3/4} -14
14	10.7	10.7	10.2	10.5	3.2	619.2	619.1	618.3	77	96	80	NE	0	NE	0	NE	1	7	10	7	3.2	● ≡ p
15	13.0	13.8	12.8	13.2	5.8	618.4	618.3	618.3	40	52	65	E	1	E	1	E	2	0	5	10	1.3	● 18 ^{1/2} -n zeitw.
16	14.2	16.3	11.7	14.1	6.5	618.3	618.5	618.1	45	61	73	W	0	E	0	NE	2	7	3	5	2.5	●
17	12.4	12.2	10.0	11.5	3.8	617.1	616.7	616.6	53	100	52	E	0	NE	1	E	2	5	10	3	.	≡ p
18	10.8	13.0	12.0	11.9	4.1	615.6	616.6	616.6	55	72	56	S	1	SW	1	NE	1	0	3	3	.	.
19	13.0	12.8	10.2	12.0	4.1	617.3	617.7	618.4	60	65	100	NE	0	NE	1	W	0	3	3	5	0.9	●
20	12.7	13.9	10.5	12.4	4.4	618.5	619.4	620.5	50	70	47	W	0	NW	0	NE	0	7	7	10	1.2	● 17 ^{1/2} -n zeitw., ≡ p zeitw.
21	11.7	11.6	12.0	11.8	3.7	620.3	620.3	619.8	88	96	73	NE	0	NE	1	NE	1	10	5	3	.	.
22	12.9	17.0	16.0	15.3	7.1	618.3	617.9	617.6	50	82	41	SE	0	N	1	NW	0	0	3	3	.	.
23	11.5	15.7	8.0	11.7	3.4	617.9	617.2	617.5	85	73	100	W	1	E	1	W	3	5	3	10	44.1	● 16 ^{1/2} -n, K ₂ 16 ^{3/4} -18
24	12.8	14.2	8.0	11.7	3.3	616.2	615.2	615.5	46	52	100	E	0	SE	1	W	3	3	5	10	48.8	● 17-n
25	7.0	13.2	11.8	10.7	2.2	615.7	615.9	615.6	55	61	49	W	0	S	1	W	1	3	7	7	.	.
26	12.4	15.2	10.2	12.6	4.1	613.6	613.5	613.5	44	46	72	S	2	S	3	S	1	5	3	7	.	.
27	12.0	9.6	8.8	10.1	1.5	612.8	612.5	614.6	70	90	100	NE	0	NW	0	W	3	10	10	7	23.5	● 11 ^{3/4} -19, ≡ a zeitw.
28	8.4	12.8	7.4	9.5	0.8	616.6	617.2	618.4	100	45	100	W	0	NW	0	NW	1	10	10	10	14.9	● 10-n zeitw., ≡ n-n m.U.
29	10.8	13.2	10.0	11.3	2.5	618.7	618.9	619.0	62	65	72	W	0	E	0	E	0	5	5	0	.	≡ n-p zeitw.
30	12.7	15.4	17.8	15.3	6.4	618.4	617.9	616.6	35	55	88	NE	1	E	1	NE	0	0	3	0	.	.
Mittel	11.4	13.4	11.0	11.9	-	617.0	617.0	617.1	60	66	70							4.4	4.9	5.9	Summe 176.4	

Juni 1930. Beobachter: G. Krättli.

Bevers.

λ = 9° 53', β = 46° 33', H_b = a. 1710^m, G = -0.12^{mm}.

Table with columns: Tag, Lufttemperatur (7^h, 13^h, 21^h, Mittel), Luftdruck (7^h, 13^h, 21^h), Relative Feuchtigkeit (7^h, 13^h, 21^h), Windrichtung und Stärke (7^h, 13^h, 21^h), Bewölkung (7^h, 13^h, 21^h), Niederschlag, Witterung. Rows 1-30 and Mittel.

Juni 1930. Beobachter: Kapuzinerkloster.

Sitten.

λ = 7° 21', β = 46° 14', H_b = 548.6^m, G = 0.00^{mm}.

Table with columns: Tag, Lufttemperatur (7^h, 13^h, 21^h, Mittel), Luftdruck (7^h, 13^h, 21^h), Relative Feuchtigkeit (7^h, 13^h, 21^h), Windrichtung und Stärke (7^h, 13^h, 21^h), Bewölkung (7^h, 13^h, 21^h), Niederschlag, Witterung. Rows 1-30 and Mittel.

λ = 8° 57', β = 46° 0'.
H_b = 276.2^m, G = 0.03^{mm}.

Lugano.

Juni 1980.
Beobachter: G. Malatesta.

Table with columns: Tag, Lufttemperatur (7³⁰, 13³⁰, 21³⁰, Mittel, Abweich. vom Normalwert), Luftdruck (7³⁰, 13³⁰, 21³⁰), Relative Feuchtigkeit (7³⁰, 13³⁰, 21³⁰), Windrichtung und Stärke (7³⁰, 13³⁰, 21³⁰), Bewölkung (7³⁰, 13³⁰, 21³⁰), Niederschlag, Witterung. Rows 1-30 and Mittel.

λ = 7° 35', β = 47° 33'.
H_b = 318^m, G = 0.13^{mm}.

Basel.

Juni 1980.
Astronom.-Meteorol. Anstalt.

Table with columns: Tag, Lufttemperatur (7³⁰, 13³⁰, 21³⁰, Mittel), Luftdruck (7³⁰, 13³⁰, 21³⁰), Relative Feuchtigkeit (7³⁰, 13³⁰, 21³⁰), Windrichtung und Stärke (7³⁰, 13³⁰, 21³⁰), Bewölkung (7³⁰, 13³⁰, 21³⁰), Niederschlag, Witterung. Rows 1-30 and Mittel.

Juni 1880.

Beobachter: Observatorium.

Säntis.

λ = 9° 20', β = 47° 15'

H_b = 2500.1^m, G = -0.16^{mm}.

Table with columns: Tag, Lufttemperatur (7^h, 13^h, 21^h, Mittel), Luftdruck (7^h, 13^h, 21^h), Relative Feuchtigkeit (7^h, 13^h, 21^h), Windrichtung und Stärke (7^h, 13^h, 21^h), Bewölkung (7^h, 13^h, 21^h), Niederschlag, Witterung. Rows 1-30 and Mittel.

Juni 1880.

Beobachter: Fri. F. Lombardi.

St. Gotthard (Hospiz).

λ = 8° 34', β = 46° 33'

H_b = 2102.9^m, G = -0.14^{mm}.

Table with columns: Tag, Lufttemperatur (7^h, 13^h, 21^h, Mittel), Luftdruck (7^h, 13^h, 21^h), Relative Feuchtigkeit (7^h, 13^h, 21^h), Windrichtung und Stärke (7^h, 13^h, 21^h), Bewölkung (7^h, 13^h, 21^h), Niederschlag, Witterung. Rows 1-30 and Mittel.

$\lambda = 7^{\circ} 26', \beta = 46^{\circ} 57',$
 $H_b = 572.2^m, G = 0.05 \frac{m}{m}.$

Bern.

Juli 1930.
Tellur. Observatorium.

Tag	Lufttemperatur					Luftdruck			Relative Feuchtigkeit			Windrichtung und Stärke			Bewölkung			Niederschlag	Witterung	
	7 ³⁰	13 ³⁰	21 ³⁰	Mittel	abw. von Normalst.	7 ³⁰	13 ³⁰	21 ³⁰	7 ³⁰	13 ³⁰	21 ³⁰	7 ³⁰	13 ³⁰	21 ³⁰	7 ³⁰	13 ³⁰	21 ³⁰			
1	18.1	27.4	16.8	20.8	3.6	709.1	707.7	708.6	82	39	90	SE	oN	oW	o	1	4	10	2.6	K ₁ 15 ^{1/4} , ● 15 ^{3/4} -16 ^{1/4} , 19 ^{1/2} -21 ^{1/4} m.U.
2	16.5	20.6	16.8	18.0	0.7	708.5	709.0	711.1	88	69	94	S	oNW	1SE	o	6	10	10	0.3	● sch. 14 ^{1/4} -14 ^{1/2} , 19 ^{1/2} -19 ^{3/4}
3	17.2	24.1	19.9	20.4	3.1	712.0	712.1	712.8	81	54	82	SE	oNE	1N	o	2	1	0	.	.
4	18.4	26.8	22.0	22.4	5.0	713.0	711.5	712.5	83	56	71	SE	oNE	1SE	o	0	0	0	.	.
5	19.9	28.0	22.0	23.3	5.8	712.7	712.1	710.8	83	50	53	SE	oNE	oSE	2	1	7	0	.	.
6	19.3	25.4	16.1	20.3	2.8	712.0	711.5	715.0	69	51	94	S	oN	1SE	1	2	10	0	43.3	K ₁ 14 ^{3/4} , ● 15-16 ^{3/4} , 18-19 ^{1/2}
7	15.3	22.8	19.2	19.1	1.5	715.7	715.5	716.0	90	59	67	SE	1NW	oN	o	9	8	3	.	.
8	16.2	21.2	18.1	18.5	0.8	715.3	714.8	714.7	82	62	66	NE	1NE	1NE	o	1	1	5	.	.
9	14.3	20.8	17.5	17.5	-0.2	715.4	715.3	716.0	83	58	66	NE	oNE	2E	o	9	0	0	.	.
10	14.6	22.1	13.2	16.6	-1.2	714.7	712.8	713.7	83	52	95	SE	oSW	oSE	1	0	7	10	9.6	● 18 ^{1/4} -20, 21-21 ^{3/4}
11	13.8	14.7	10.4	13.0	-4.8	709.9	709.1	709.3	80	78	90	S	oWSW	1W	o	10	10	10	18.3	K ₁ , ● 9 ^{3/4} -11 ^{1/2} , 14 ^{3/4} -22 ^{3/4} m.U.
12	9.2	14.6	12.5	12.1	-5.8	709.5	709.2	709.4	81	52	64	SW	oSW	1SW	1	10	9	10	2.6	.
13	11.4	14.7	12.1	12.7	-5.2	708.4	711.0	713.5	84	57	73	WSW	2W	2SE	1	10	9	10	0.6	● 2 ^{1/4} -11 ^{1/2} zeitw.
14	9.6	18.4	13.9	14.0	-3.9	712.4	710.4	709.3	81	53	86	S	oNW	1SW	o	2	7	9	9.7	● sch. 17 ^{1/4} -19
15	10.5	12.4	14.4	13.1	-4.8	708.5	709.2	710.0	95	89	73	SW	oW	1W	o	10	10	10	4.7	● 0 ^{1/2} -8, 11 ^{3/4} -15 zeitw.
16	13.0	20.3	17.7	17.0	-1.0	709.2	708.0	706.3	77	52	71	SE	1NW	oS	o	3	4	10	0.0	● tr. 21 ^{1/4}
17	15.2	22.4	18.0	18.5	-0.5	706.4	704.8	703.5	83	57	71	S	oS	1WSW	o	10	8	1	0.0	● tr. 7 ^{1/4} -7 ^{1/2} [20 ^{1/4} -n zeitw.
18	15.1	13.5	12.0	13.5	-4.5	700.0	702.4	704.4	89	70	80	W	oSW	2WSW	1	10	10	10	60.7	● tr. 7 ^{3/4} , K ₁ 8 ^{3/4} , ● 8 ^{1/2} -12 ^{1/2}
19	12.4	14.2	12.4	13.0	-5.0	708.2	710.5	712.3	90	74	81	SW	1WSW	1WSW	o	9	10	9	2.9	● n-6 ^{1/4} , ● sch. 11-16
20	12.2	19.7	15.0	15.6	-2.4	711.9	710.6	711.6	83	43	80	SE	oW	1SW	o	0	8	0	0.0	● tr. 0 ^{3/4} , 17 ^{1/2} -18 ^{1/2}
21	13.0	21.6	15.8	16.8	-1.2	710.2	708.4	709.9	86	59	94	S	oNW	oW	o	8	8	10	15.2	K ₁ , ● 16 ^{1/4} -17, 18 ^{1/2} -22 ^{3/4} m.U.
22	14.6	19.0	15.5	16.4	-1.6	712.2	711.5	710.9	83	52	80	W	oWNW	1W	o	4	6	2	.	● sch. 1 ^{1/4} -1 ^{1/2}
23	12.2	20.4	12.7	15.1	-2.9	709.1	706.6	706.8	88	55	94	S	oNE	1SE	o	8	7	10	23.6	● 17 ^{1/2} -19 ^{3/4} , 20 ^{3/4} -21 ^{3/4} , T 18 ^{1/4}
24	11.0	13.7	11.5	12.1	-5.9	705.6	707.1	709.9	93	73	84	N	1WSW	1SW	1	10	10	10	7.5	● 0 ^{1/4} -10 ^{3/4} m.U., ● sch. p. abds.
25	12.0	15.8	12.2	13.3	-4.7	712.9	714.0	715.2	82	58	88	SW	1SW	1S	o	10	9	8	1.2	● 0 ^{1/2} -8 ^{1/2} zeitw., 14 ^{3/4} , 16 ^{1/4} -16 ^{3/4}
26	11.4	20.4	15.8	15.9	-2.1	715.8	715.1	714.8	87	49	78	S	oSW	oNW	o	0	1	0	0.0	.
27	14.2	23.1	17.8	18.4	0.4	714.8	713.2	712.7	82	55	81	SE	oW	1W	o	10	7	2	7.5	● tr. 24
28	17.2	18.1	18.2	17.8	-0.1	710.7	712.6	712.3	96	89	78	W	2WSW	1WSW	1	10	10	3	13.7	● 2-12 ^{3/4} m.U.
29	17.3	21.2	16.4	18.3	0.4	713.0	713.1	714.6	79	57	62	SE	oNW	1W	o	3	4	10	.	.
30	14.4	18.5	14.4	15.8	-2.1	713.2	712.7	713.1	74	48	67	W	oW	2WSW	1	10	7	8	1.1	.
31	11.7	17.5	14.0	14.4	-3.4	713.3	713.2	714.0	91	48	78	S	oSW	1NE	o	7	10	3	1.9	● 1-6 ^{3/4} zeitw., ● sch. 13 ^{3/4} -14
Mittel	14.3	19.8	15.6	16.6	-	711.1	710.8	711.4	84	59	78	6.0	6.8	5.9	Summe 227.0	.

$\lambda = 6^{\circ} 57', \beta = 47^{\circ} 0',$
 $H_b = 487.3^m, G = 0.06 \frac{m}{m}.$

Neuchâtel.

Juli 1930.
Observatorium.

1	18.4	28.8	17.2	21.5	3.5	716.6	714.8	716.8	83	48	96	SE	1SW	1E	o	2	7	10	9.3	● 14 ^{3/4} -n, m.U., T 12-13
2	17.6	19.6	18.2	18.5	0.4	716.0	717.0	718.8	96	73	83	SW	1NW	1NW	o	8	10	10	0.0	● n-7, ● tr. 13 ^{1/4}
3	18.0	26.6	22.6	22.4	4.2	719.7	719.7	720.3	90	55	65	E	1S	1NW	1	3	3	1	.	.
4	19.6	29.3	21.6	23.5	5.3	720.7	718.7	719.7	87	53	67	E	1S	1N	1	1	1	1	.	T 17 ^{1/2} -18 ^{1/2}
5	20.3	30.8	24.2	25.1	6.8	720.3	719.4	717.7	85	52	60	NE	1SE	1NE	1	3	7	0	.	.
6	22.2	27.7	16.6	22.2	3.8	719.3	718.8	722.5	78	50	98	E	1NW	1N	o	3	9	4	18.3	● 15-19 m.U.
7	16.9	25.2	20.0	20.7	2.3	723.4	723.0	723.1	94	57	61	NE	1SE	1N	3	6	6	7	.	.
8	18.3	23.5	18.3	20.0	1.5	723.0	721.3	722.2	78	53	63	E	1E	2N	2	4	6	1	.	.
9	16.9	24.7	17.0	19.5	1.0	723.1	722.7	723.4	66	49	68	E	1E	2N	1	4	3	3	.	[T 15 ^{1/2} -16
10	16.8	20.9	14.9	17.5	-1.1	722.2	720.4	721.2	81	76	92	N	1S	oNW	1	3	8	10	3.7	● tr. 11, 12 ^{1/2} , ● 16-21,
11	14.2	15.5	9.0	12.9	-5.7	717.1	716.0	716.8	86	67	78	NW	1W	1N	3	10	10	10	5.6	● 8-n m.U.
12	10.2	14.5	13.3	12.7	-5.9	716.8	716.5	717.1	80	65	64	W	1W	1N	1	8	9	10	0.7	.
13	11.0	13.3	12.4	12.2	-6.5	716.0	719.3	721.1	85	64	81	W	1W	1N	o	10	9	9	0.1	● n-8
14	11.2	20.3	15.6	15.7	-3.0	719.9	717.9	716.5	89	61	75	SE	1S	1NW	1	8	7	8	11.6	.
15	13.2	16.4	15.4	15.0	-3.8	715.5	716.8	717.3	98	68	68	W	1SW	2NW	1	10	8	8	0.1	● n-7 ^{3/4} , 12-12 ^{1/2} m.U.
16	13.6	21.8	18.6	18.0	-0.8	716.6	714.5	713.1	83	48	77	E	1SW	1N	1	6	7	9	.	.
17	17.1	24.8	20.2	20.7	1.9	713.0	710.5	710.4	78	58	62	W	1W	2W	2	9	3	6	9.7	● tr. 15 ^{1/2} , 18
18	15.2	13.7	12.4	13.8	-5.0	706.6	709.6	712.0	89	86	94	W	1W	3W	2	10	9	10	38.3	● n-17, 18-n m.U.
19	12.9	14.6	12.6	13.4	-5.4	715.9	718.1	719.7	92	80	79	W	2W	2NW	1	9	9	8	2.9	● n-13 ^{1/2} m.U.
20	13.6	20.7	14.2	16.2	-2.6	719.3	718.2	718.8	87	57	89	E	1SW	1NW	o	3	7	2	0.2	● n-17-18 ^{1/4} m.U.
21	13.5	20.8	15.4	16.6	-2.3	717.7	715.4	717.3	94	70	96	E	1SW	1N	1	6	8	8	7.2	● tr. 12 ^{1/4} , 13 ^{1/2} , ● 15 ^{1/2} -n
22	14.8	21.4	16.8	17.7	-1.2	719.8	718.8	718.1	80	55	57	W	1SW	1N	1	7	6	8	.	[m.U., T 16
23	13.5	20.4	13.1	15.7	-3.2	716.5	713.6	714.1	85	62	99	SE	1SE	1N	o	6	9	10	39.3	● 15-n m.U.
24	11.4	14.5	12.0	12.6	-6.2	713.0	714.3	717.8	96	68	90	N	1SW	2W	1	9	9	10	5.5	● n-7 ^{1/2} , 17 ^{1/2} -n m.U.
25	11.0	14.2	12.7	12.6	-6.2	720.7	721.8	723.0	95	85	90	NW	1W	1NW	1	10	9	10	1.2	● n-14 m.U.
26	12.3	21.8	15.2	16.4	-2.4	723.4	722.7	722.3	92	51	82	E	oSW	1NW	1	6	3	5	0.6	● n (26./27.)
27	15.8	25.1	19.9	20.3	1.5	722.4	720.7	719.8	92	56	67	E	oSW	1NW	o	7	4	9	7.2	.
28	16.5	18.6	18.0	17.7	-1.1	718.4	720.2	720.2	96	90	83	NW	1SW	1W	2	10	9	8	4.8	● n-14 m.U.
29	17.9	22.0	15.8	18.6	-0.2	720.5	720.6	722.0	71	51	59	W	2W	3W	1	6	3	3	.	.
30	15.2	18.3	14.9	16.1	-2.6	720.5	720.0	720.7	62	54	64	W	2W	2SW	2	8	8	7	0.0	● tr. 16, 23
31	13.8	18.8	13.5	15.4	-3.3	720.9	720.7	721.5	86	64	79	NE	1SE	1W	o	8	7	0	3.7	● 8-8 ^{3/4} m.U.
Mittel	15.2	20.9	16.2	17.4	-	718.5	718.1	718.9	86	62	77	6.5	6.9	6.6	Summe 170.0	.

Juli 1930.
Beobachter: Frl. H. Nager.

Aldorf.

$\lambda = 8^{\circ} 39'$, $\beta = 46^{\circ} 53'$,
 $H_b = 456.3^m$, $G = 0.05 \frac{mm}{m}$.

Tag	Lufttemperatur					Luftdruck			Relative Feuchtigkeit			Windrichtung und Stärke			Bewölkung			Niederschlag	Witterung			
	7 ⁰⁰	13 ⁰⁰	21 ⁰⁰	Mittel	Abweikh. von Normalst.	7 ⁰⁰	13 ⁰⁰	21 ⁰⁰	7 ⁰⁰	13 ⁰⁰	21 ⁰⁰	7 ⁰⁰	13 ⁰⁰	21 ⁰⁰	7 ⁰⁰	13 ⁰⁰	21 ⁰⁰					
1	19.0	26.9	16.9	20.9	3.5	717.8	716.5	718.7	64	46	83	NE	o.W	o-1	NW	o	o	1	8			
2	17.8	22.7	17.8	19.4	2.0	718.7	718.6	721.6	73	63	91	S	o.NW	1	NE	o	5	7	8	0.0	●° 17	
3	18.4	24.7	19.8	21.0	3.5	722.2	721.9	723.3	82	50	84	NW	o.NW	o-1	NW	o	3	3	4			
4	18.5	21.0	20.9	20.1	2.6	723.5	721.1	722.8	75	54	92	NE	o.NW	o	SE	o	0	2	10	2.6	●	
5	20.0	29.0	20.8	23.3	5.7	722.7	720.7	724.3	70	46	77	S	o.NW	o	E	1	0	2	10	5.7	● abds.	
6	21.3	27.3	17.8	22.1	4.4	722.5	720.9	726.0	65	51	91	E	o.N	1	NW	o	6	4	10	1.8	●	
7	17.5	23.7	20.1	20.4	2.7	726.0	726.2	726.0	84	48	61	W	o.NW	o	NW	o	9	8	10			
8	19.3	22.3	19.8	20.5	2.7	725.5	724.4	725.3	77	54	54	N	o.NW	o-1	N	o	8	5	7			
9	17.7	22.2	19.7	19.9	2.1	725.8	724.9	726.7	63	45	49	NE	o.NW	o-1	NE	o	10	4	10			
10	15.8	23.4	14.8	18.0	0.1	724.7	722.6	724.0	75	40	95	E	o.NW	o	W	o	2	6	10	12.3	● 19 1/2-n	
11	14.3	17.7	13.7	15.2	-2.7	719.3	719.2	719.3	90	67	91	E	o.NW	1	NW	2-3	9	10	10	9.4	● abds.	
12	10.9	16.8	12.3	13.3	-4.6	718.7	718.6	719.2	92	39	78	E	o.NE	o	NW	o	10	9	10	2.7		
13	11.9	11.5	11.0	11.5	-6.5	718.0	721.0	724.3	95	92	97	NW	o.NW	o	SE	o	10	10	10	9.2	● n-n	
14	9.9	19.2	14.3	14.5	-3.5	722.6	720.2	719.3	95	39	89	W	o.NW	o	E	o	0	7	10	5.8		
15	13.8	17.7	13.3	14.9	-3.1	718.2	718.7	720.9	95	61	95	NW	o.NW	o	SW	o	10	10	10	4.7	● n-p zeitw.	
16	12.7	21.0	16.8	16.8	-1.3	719.1	716.8	716.2	79	45	80	S	o.NW	o-1	NW	o	2	5	8			
17	16.5	25.7	17.7	20.0	1.9	716.3	713.3	713.6	88	84	72	E	o.S	1-2	SE	o-1	10	4	6			
18	22.0	13.5	13.0	16.2	-1.9	707.0	713.1	714.8	84	99	95	E	1-2	S	o	NW	o	5	10	10	44.5	● p-n
19	11.3	18.7	13.9	14.6	-3.5	719.6	719.0	722.6	93	52	91	N	o	NW	1	NW	o	10	7	10	4.7	● n-n m.U.
20	13.5	20.5	16.3	16.8	-1.3	722.1	719.9	721.7	75	40	82	S	o	NW	o	NW	o	2	4	10	0.2	● abds.
21	14.7	23.7	16.8	18.4	0.2	720.3	717.2	719.6	96	43	97	S	o	NW	o	NW	o	3	6	10	5.8	● abds.
22	16.5	19.8	16.8	17.7	-0.5	722.4	721.6	721.5	75	53	86	NW	o	NW	o	NW	o	8	7	10		
23	15.8	22.3	11.3	16.5	-1.7	718.6	715.6	718.0	85	51	94	N	o	W	o-1	NW	1	7	6	10	22.4	● abds.-n
24	13.8	12.4	11.9	12.7	-5.5	715.3	717.9	720.2	93	63	94	E	o	NW	1	NW	o	10	10	10	11.9	● p
25	12.2	17.2	12.9	14.1	-4.1	722.8	723.2	726.3	95	72	93	E	o	S	o	NW	o	10	9	10	0.8	● n-a, abds.
26	11.5	24.4	15.0	17.0	-1.2	726.0	724.6	725.3	92	40	72	NE	o.NW	o-1	E	o	0	4	2			
27	16.7	22.9	17.4	19.0	0.8	725.0	722.9	723.4	72	44	85	E	o	NW	o	NE	o	7	2	2	0.6	
28	17.3	18.7	16.5	17.5	-0.7	721.0	723.0	722.6	96	92	95	E	o	NW	o	NW	o	10	10	7	26.9	● fr., p
29	14.2	19.5	17.8	17.2	-0.9	723.6	723.6	724.5	95	62	78	E	o	S	o	SE	o	0	4	10	1.1	●
30	16.9	17.2	14.4	16.2	-1.9	722.9	722.6	723.5	76	56	94	W	o	NW	o	NW	o	9	10	10	0.6	●
31	14.4	16.9	14.3	15.2	-2.9	723.1	723.0	724.7	76	50	85	NE	o	NW	o-1	NW	o	8	10	8	0.3	● zeitw.
Mittel	15.7	20.7	16.0	17.5	-	721.0	720.4	721.9	81	54	84						5.9	6.3	8.7	Summe 174.0		

Juli 1930.
Observatorium.

Genf.

$\lambda = 6^{\circ} 9'$, $\beta = 46^{\circ} 12'$,
 $H_b = 405.0^m$, $G = 0.02 \frac{mm}{m}$.

1	19.4	25.8	16.4	19.5	1.3	723.5	722.1	722.9	78	61	97	NNE	1	NNE	1	SE	2	2	9	10	48.0	⊠, ● 18 1/2-n
2	16.5	20.8	19.6	19.1	0.8	723.5	724.7	726.0	96	75	83	SW	1	SW	1	NW	o	10	8	1	0.3	● a zeitw.
3	17.6	23.6	22.0	21.3	3.0	727.1	726.8	727.2	90	67	84	NW	o	NNE	1	NNE	o	9	1	1		
4	20.0	25.8	25.0	23.9	5.5	727.8	726.3	727.7	85	62	61	NNE	o	NNE	1	S	o	0	1	0		
5	20.8	28.0	24.2	24.3	5.8	728.1	726.3	725.7	78	56	82	SSW	1	SSW	1	SW	o	0	3	0		
6	22.8	26.2	19.3	21.9	3.4	726.5	726.7	729.5	69	65	74	SW	1	SW	1	SW	1	3	7	3		
7	18.4	23.2	21.3	21.0	2.5	730.8	730.2	730.1	77	59	60	W	o	NNE	1	NNE	1	1	5	3		
8	18.8	23.8	20.2	20.7	2.4	730.1	728.8	728.9	75	62	65	NNE	1	NNE	1	NNE	1	0	1	0		
9	17.4	22.8	19.6	19.8	1.2	729.8	729.2	729.6	69	46	64	NNE	1	NNE	2	NNF	1	0	0	0		
10	18.2	22.6	15.5	17.9	-0.8	729.5	728.0	728.2	77	48	84	E	1	NNE	1	W	1	0	8	0	7.0	⊠, ● 16 1/2
11	13.5	18.2	13.4	14.6	-4.1	725.0	724.2	724.2	91	64	84	SW	1	SSW	1	SE	1	10	10	10	2.2	●° n zeitw.
12	12.0	16.0	14.7	14.3	-4.4	724.5	724.1	725.0	83	62	72	SE	o	NW	1	S	1	0	9	10	0.2	
13	14.4	18.2	15.0	15.6	-3.2	725.3	726.6	727.3	75	66	78	SW	1	SW	1	NW	o	10	3	0		
14	12.8	21.6	18.0	17.6	-1.2	727.9	725.2	724.4	79	47	66	S	o	SW	1	SW	1	9	9	9	8.9	● tr. 19, ● 20 1/2-n
15	14.0	18.6	15.9	16.1	-2.7	723.7	725.2	724.8	86	63	79	SW	1	SW	1	S	1	10	5	5	1.0	● a, p zeitw.
16	14.2	23.8	21.3	20.1	1.3	724.1	722.2	720.6	80	45	66	S	o	SW	1	SW	1	0	1	9	22.0	●° a, p zeitw., ● n
17	17.3	26.0	22.4	22.0	3.2	720.6	718.0	717.6	91	53	74	W	1	SSW	3	SSW	1	9	2	1	12.0	⊠° n
18	15.9	15.8	13.7	14.8	-4.1	715.2	718.8	720.9	92	77	85	SSW	1	SW	2	SW	1	10	10	10	32.2	● n-n
19	14.2	18.5	16.0	16.2	-2.7	724.6	726.1	726.7	82	64	77	SW	1	SW	1	SW	1	9	8	5	5.1	● n, a, p zeitw., ○
20	13.4	21.8	15.0	16.6	-2.3	726.5	725.5	726.2	84	56	82	SE	o	SW	1	NE	o	4	9	0	0.5	● sch. 15 1/2
21	15.6	24.6	17.7	18.9	0.0	724.8	722.5	724.8	79	57	93	E	o	NW	1	SE	1	0	9	10	11.8	⊠ p, ● n
22	15.2	21.6	16.7	17.6	-1.3	727.4	726.2	725.1	79	55	64	SSW	1	SW	1	SW	1	1	1	0		
23	13.9	18.4	14.0	15.1	-3.8	723.6	720.7	720.7	79	63	98	SW	1	NNE	o	NNE	o	10	10	10	43.0	● sch. a, p, ⊠ p, ● n
24	12.4	15.0	13.3	13.5	-5.4	720.7	722.9	726.9	95	75	92	NE	o	SW	1	SW	1	10	10	10	4.1	● n-n m.U.
25	12.8	18.6	15.3	15.5	-3.4	728.1	729.4	730.1	88	63	78	SW	o	SW	o	NNE	1	10	7	0	0.1	●° a
26	12.7	19.6	18.4	17.3	-1.6	730.7	729.9	729.2	84	55	75	NNE	1	NNE	1	NNE	o	1	0	0		
27	17.0	26.0	22.4	22.0	3.1	729.7	727.7	726.8	86	91	68	NNE	o	SW	1	SW	1	1	2	9	1.8	● 22-n
28	18.7	20.6	19.0	19.4	0.6	726.2	727.9	728.2	84	78	90	SW	1	SW	1	SW	1	10	9	3	2.0	●° a, p zeitw.
29	18.3	22.0	17.4	18.8	0.0	728.1	729.0	729.0	84	62	69	SW	1	SW	1	SW	1	0	8	1	0.0	● tr. a, p
30	16.0	20.4	14.2	16.3	-2.6	728.3	727.9	728.2	72	55	77	SW	1	SW	1	SSW	1	4	5	1	1.0	●° n (30./31.)
31	12.4	17.4	15.6	15.2	-3.8	728.4	727.9	728.0	92	69	79	SE	o	NNE	1	NE	1	9	1	2	0.1	●° a
Mittel	16.0	21.5	17.9	18.3	-	726.1	725.7	726.1	83	62	77						4.9	5.5	4.1	Summe 203.3		

λ = 8° 33', β = 47° 23',
H_b = 493.2 m, G = 0.08 m²/m.

Zürich.

Juli 1930,
Meteorol. Zentralanstalt.

Tag	Lufttemperatur					Luftdruck			Relative Feuchtigkeit			Windrichtung und Stärke			Bewölkung			Mittelschlag	Witterung			
	7 ⁰⁰	13 ⁰⁰	21 ⁰⁰	Mittel	Abweich. vom Normalst.	7 ⁰⁰	13 ⁰⁰	21 ⁰⁰	7 ⁰⁰	13 ⁰⁰	21 ⁰⁰	7 ⁰⁰	13 ⁰⁰	21 ⁰⁰	7 ⁰⁰	13 ⁰⁰	21 ⁰⁰					
1	17.3	29.5	15.4	20.7	2.9	716.0	714.4	715.5	88	40	100	N	0	NE	0	E	0	1	1	8	11.8	K ₁ 17, ● 17 ¹ / ₄ -20
2	17.8	24.9	16.8	19.8	1.9	715.5	715.6	718.0	85	56	98	SE	0	NW	1	N	0	8	5	8	5.2	● 16 ³ / ₄ -18 ¹ / ₂ , K ₁ 17
3	17.9	25.0	19.4	20.8	2.9	719.4	719.2	719.9	90	56	84	SW	0	NE	0	NE	0	10	6	1		
4	18.3	29.9	21.3	23.2	5.2	720.2	718.6	718.9	88	50	83	SW	0	SE	0	SW	0	0	1	8		◁ abds.
5	20.0	31.2	25.8	25.7	7.7	719.4	719.0	718.5	85	38	56	S	0	SSW	0	SSW	0	0	3	10		◁ abds.
6	21.6	29.0	16.8	22.5	4.4	719.2	718.3	721.6	70	43	100	SW	0	NW	1	SSW	1	3	9	9	18.4	K ₁ , ● 17 ¹ / ₄ -20 ¹ / ₄
7	18.1	24.1	19.7	20.6	2.5	722.6	722.3	722.9	81	60	72	W	0	W	1	W	0	9	9	9		● 3 ³ / ₄ -5 ³ / ₄
8	17.1	21.9	18.3	19.1	0.9	722.8	722.1	722.1	86	58	60	NE	0	NE	0	N	0	10	8	10		
9	15.0	21.4	17.0	17.8	-0.4	723.0	723.0	723.5	73	46	78	N	0	NE	0	E	0	5	9	8		
10	15.3	23.7	13.9	17.6	-0.6	721.8	719.9	720.6	92	47	100	W	0	WNW	1	S	0	3	7	10	3.4	[22 ¹ / ₄ m.U. K ₁ , ● sch. 14 ³ / ₄ -15 ¹ / ₄ , ● 17-
11	13.5	13.3	9.9	12.2	-6.1	716.2	715.3	716.0	89	83	95	W	1	WSW	1	W	1	10	10	10	28.3	● 6-6 ¹ / ₂ , 7 ³ / ₄ -n
12	7.9	16.5	11.6	12.0	-6.3	716.2	715.7	716.2	95	49	78	N	0	WNW	1	WNW	0	10	8	10	11.1	● n-1, 4-7 ¹ / ₂ , ● sch. 10 ¹ / ₂ , p,
13	11.0	12.4	11.1	11.5	-7.2	714.4	717.7	720.9	88	73	78	WNW	2	WNW	2	SW	0	10	10	4	16.9	● n-11 ¹ / ₄ m.U. [22-0
14	10.0	19.7	17.0	15.6	-2.8	719.3	717.5	716.2	93	50	57	S	0	W	0	W	1	9	10	9	11.3	⊕ a-13
15	12.7	15.4	13.4	13.8	-4.6	715.4	715.8	717.3	100	78	92	SW	0	NW	2	SW	0	10	10	8	8.5	● 0 ¹ / ₄ -3 ³ / ₄ , 13 ¹ / ₄ -13 ³ / ₄ , abds. ztw.
16	12.6	23.2	16.7	17.5	-0.9	716.1	714.5	713.2	90	46	90	S	0	WNW	0	NNW	0	2	8	9	0.0	⊕ 13 ¹ / ₄ -14 ¹ / ₂ , 15-15 ¹ / ₂
17	18.1	24.5	16.7	19.3	-1.4	713.1	711.2	710.8	78	53	93	W	0	NNW	0	S	0	9	6	5	0.2	● fr., p zeitw.
18	14.8	12.6	11.8	13.1	-5.3	705.8	709.3	711.5	95	83	98	NNW	0	WSW	2	W	1	9	10	10	48.2	● 8 ¹ / ₂ -11 ¹ / ₂ , 16 ¹ / ₄ -18 ¹ / ₂ , 19 ¹ / ₄ -n
19	12.4	15.9	13.8	14.0	-4.4	715.1	716.9	718.9	95	78	64	SW	0	W	1	W	1	9	9	7	7.2	● n-6, 9 ¹ / ₂ -17 ¹ / ₄ m.U., ◊ abds.
20	13.1	23.2	16.2	17.5	-0.9	718.9	717.7	718.5	84	43	73	S	0	NNW	0	N	0	2	6	9	0.0	● 18 ¹ / ₂
21	14.1	24.0	16.3	18.1	-0.3	717.0	714.8	717.1	88	47	100	SW	0	W	0	N	1	3	8	10	18.2	K ₁ 17 ¹ / ₄ , ● 17 ¹ / ₄ -17 ³ / ₄ , 19 ¹ / ₄ -
22	14.9	21.9	15.4	17.4	-1.0	719.4	718.4	718.2	80	51	75	WNW	0	W	1	N	0	9	6	9	0.1	[22 ³ / ₄
23	14.1	23.9	12.9	17.0	-1.4	716.0	713.5	714.3	85	49	70	N	0	NE	0	SSW	1	7	3	10	15.9	● 16 ¹ / ₄ -n
24	11.9	12.6	12.9	12.5	-6.1	712.3	713.7	716.7	100	86	100	NNW	0	WSW	0	W	1	10	10	10	12.1	● n-n m.U.
25	11.5	16.0	13.6	13.7	-4.6	719.6	721.0	722.6	91	65	83	W	1	W	1	SW	0	9	9	10	1.4	● n-13 m.U.
26	11.3	22.6	14.4	16.1	-2.2	723.0	722.3	721.7	99	48	89	S	0	N	0	SE	0	0	3	1		
27	14.6	22.6	17.2	18.1	-0.2	721.7	720.3	719.9	85	57	91	SW	0	SW	0	ENE	0	9	8	8	21.1	
28	16.6	16.7	16.6	16.6	-2.3	717.9	720.1	718.9	100	96	100	NNW	1	SW	0	SE	0	10	10	8	12.6	● 1 ¹ / ₄ -1 ¹ / ₂ , 2 ³ / ₄ -n m.U.
29	16.8	21.4	16.2	18.1	-0.1	720.1	720.5	721.6	87	57	69	N	0	NNW	1	N	0	8	6	9	0.1	● n-1 ¹ / ₄
30	15.5	17.3	15.4	16.1	-2.1	720.1	719.7	719.8	69	63	64	N	0	NW	0	NNW	0	9	10	6	0.3	● mtgs.
31	13.5	17.1	12.6	14.4	-3.8	720.2	720.5	721.3	80	63	95	SW	0	SW	0	S	0	9	9	5	3.6	● sch. 4 ¹ / ₄ , 11-11 ¹ / ₂ , 18-19
Mittel	14.8	21.1	15.7	17.2	-	718.0	717.7	718.5	87	58	84							6.8	5.7	8.0	250.9	Summe

λ = 8° 30', β = 47° 3',
H_b = 1787.3 m, G = -0.11 m²/m.

Rigi-Kulm.

Juli 1930,
Beobachter: J. Wiget.

1	15.2	16.8	12.0	14.7	5.7	615.6	615.6	614.4	45	47	45	W	0	NW	0	S	1	0	3	7	17.0	K ₁ 16 ¹ / ₂ -18 ¹ / ₂
2	11.2	12.0	10.0	11.1	2.0	614.2	614.4	615.5	48	62	94	NW	1	W	1	SW	1	5	5	10	3.4	● abds. zeitw., ≡ p zeitw.
3	11.2	15.3	13.0	13.2	4.1	616.9	617.6	619.0	91	52	60	E	1	S	0	W	0	10	5	3		≡ n-a
4	13.0	16.5	16.7	15.4	6.2	618.6	618.7	619.0	84	70	45	E	1	E	1	N	0	0	3	7		
5	16.2	18.8	18.0	17.6	8.3	619.0	619.5	619.2	49	62	50	SE	1	W	0	NW	1	0	3	7		
6	14.1	17.5	9.0	13.5	4.1	618.7	618.8	619.1	74	84	100	NE	0	N	1	W	3	5	7	10	47.9	K ₁ 16 ³ / ₄ -18
7	8.8	13.0	9.7	10.5	1.1	619.8	620.3	620.4	100	60	81	W	2	W	1	W	1	10	5	10	0.4	≡ n-a
8	9.3	12.8	8.5	10.2	0.7	619.8	619.8	619.2	80	56	98	E	0	E	0	NE	1	10	7	10		≡ abds.
9	8.2	10.4	8.2	8.9	-0.7	619.1	619.7	619.9	60	59	95	NE	1	E	0	NE	1	10	7	7		≡ n-n zeitw.
10	9.4	12.8	6.2	9.5	-0.1	618.8	618.3	617.0	63	41	100	E	0	NW	0	W	0	0	7	10	28.4	K ₁ 15, ● n zeitw.
11	5.8	2.2	1.0	3.0	-6.7	613.4	612.2	611.2	70	75	100	W	2	W	3	W	3	10	10	10	33.7	● p, * ab 19
12	0.0	2.6	2.4	1.7	-8.0	610.8	611.7	611.6	100	88	75	W	2	W	1	NW	2	10	10	10	1.2	● ≡ n-p
13	1.8	2.5	2.4	2.2	-7.6	610.9	613.8	615.7	100	100	100	W	3	W	3	W	3	10	10	10	9.0	● p-n zeitw., ≡ n-a
14	5.8	10.0	7.5	7.8	-2.0	615.3	615.0	614.4	38	41	63	SE	0	W	0	NW	2	0	10	10	7.2	
15	4.8	5.9	4.8	5.2	-4.6	612.2	612.5	613.2	98	73	80	NW	2	NW	2	NW	2	10	10	5	5.5	● ≡ n-a
16	4.3	11.3	11.0	8.9	-1.0	613.3	612.9	612.8	55	62	58	NW	0	SW	1	W	1	0	3	7	1.8	
17	9.4	14.2	11.2	11.6	1.7	611.9	611.1	610.4	72	48	82	SW	3	S	2	W	2	10	5	10	27.0	K ₁ ▲ 18-20 ¹ / ₄
18	10.8	3.0	4.0	5.9	-4.0	605.0	606.8	607.8	46	100	85	SE	2	NNW	3	W	3	10	10	10	08.0	● ≡ 8 ¹ / ₂ -14
19	2.2	4.8	4.5	3.8	-6.2	611.1	613.1	614.8	100	98	70	W	3	W	2	W	2	10	10	7	2.0	● p, ≡ n-p
20	5.2	11.0	7.5	7.9	-2.1	615.2	615.5	615.6	74	65	75	W	1	W	0	W	0	5	5	3	0.3	
21	10.0	14.0	10.8	11.5	1.5	615.5	614.6	613.7	38	32	62	W	1	SW	1	SW	1	3	7	10	18.9	●
22	5.4	8.6	7.0	7.0	-3.0	615.6	615.7	615.5	100	84	91	W	1	SW	0	NW	0	10	10	10		≡ n-p
23	9.0	13.4	5.4	9.3	-0.7	613.8	612.2	611.4	48	60	100	S	1	SE	1	NW	2	7	5	10	16.0	≡ 18-n
24	5.3	2.1	3.0	3.5	-6.5	609.2	609.8	611.8	100	100	100	NE	0	NW	2	W	3	10	10	10	22.2	● n-n, ≡ n-p
25	2.3	4.2	4.2	3.6	-6.4	614.9	616.5	617.5	100	95	82	W	3	NW	3	W	2	10	10	10	3.8	● ≡ n-a zeitw.
26	6.1	8.8	9.3	8.1	-2.0	618.3	618.9	618.9	71	70	50	W	0	W	0	W	1	3	3	0		
27	8.4	12.0	10.8	10.4	0.3	618.8	618.7	618.7	80	85	91	W	3	W	2	W	2	7	5	7	3.2	
28	10.0	9.4	10.0	9.8	-0.3	615.8	617.4	617.4	100	100	65	W	2	W	3	W	2	10	10	10	36.5	● fr.-14 ¹ / ₄
29	9.0	11.4	8.2	9.5	-0.5	617.5	617.6	617.7	100	84	100	W	1	W	1	W						

Juli 1930.

Beobachter: G. Krättli.

Bevers.

λ = 9° 53', β = 46° 33',
H_b = m. 1710^m, G = -0.12^{mm}.

Tag	Lufttemperatur					Luftdruck			Relative Feuchtigk.			Windrichtung und Stärke			Bewölkung			Niederschlag	Witterung
	7 ^h	13 ^h	21 ^h	Mittel	Abweich. von Normalst.	7 ^h	13 ^h	21 ^h	7 ^h	13 ^h	21 ^h	7 ^h	13 ^h	21 ^h	7 ^h	13 ^h	21 ^h		
1	15.4	19.8	12.0	15.7	4.6	621.8	620.6	620.9	48	48	76	S	oSW	2W	o	1	2	9	
2	17.7	16.6	10.3	14.9	3.7	620.2	619.5	622.0	46	65	86	S	oS	2N	o	1	9	9	● 9 ^h /4-10 ^h /2, ab 14 ^h /2 zeitw. *)
3	11.3	20.0	12.7	14.7	3.5	623.2	622.9	624.8	68	50	85	NE	oSW	oW	o	9	5	7	[K ₁ 18-18 ^h /4, < 2 ^h n
4	17.6	21.4	12.1	17.0	5.7	624.9	624.1	625.7	50	47	84	S	oSW	1NE	o	2	2	1	● 17 ^h /2-18 ^h /4, n zeitw., ▲ 17 ^h /4,
5	17.0	22.8	13.7	17.8	6.4	625.4	624.2	625.4	51	42	90	W	oW	1W	o	0	1	6	K ₁ ● 18-19
6	17.7	22.6	11.1	17.1	5.6	624.9	623.4	625.0	51	45	89	S	oSW	2W	o	3	2	9	
7	14.2	19.9	11.3	15.1	3.6	625.2	624.6	625.6	59	50	68	SE	oNW	1W	o	6	6	1	
8	15.0	19.4	12.7	15.7	4.1	625.1	623.3	623.7	48	50	72	S	oNW	1SW	o	2	5	2	
9	12.0	19.0	10.3	13.8	2.1	623.7	623.6	625.4	69	46	70	W	1NW	2W	o	9	2	3	
10	13.1	17.9	10.4	13.8	2.1	624.2	622.5	620.9	48	41	70	SE	oW	1NE	o	2	7	10	● 19 ^h /4-20, 23
11	11.6	13.4	5.7	10.2	-1.6	618.4	616.3	615.9	50	51	84	SE	1SW	oNW	o	6	9	8	● sch. 16 ^h /4-17 ^h /4
12	7.6	9.5	5.9	7.7	-4.1	615.7	616.2	617.8	55	47	69	S	oSW	1SW	o	4	6	10	* n. 12
13	8.9	11.4	4.1	8.1	-3.8	616.1	616.8	621.5	66	55	89	SW	oSW	2NE	o	9	8	10	● 10-11 ^h /4, ● sch. 12 ^h /4-n, *)
14	10.0	14.8	9.0	11.3	-0.6	621.4	620.3	620.4	55	45	71	NE	oSW	3SW	1	1	6	10	● 22-n
15	6.4	7.8	5.3	6.5	-5.5	618.0	618.8	619.4	90	85	87	NE	oNW	1W	1	10	10	6	● n-8, 10-13
18	7.5	15.5	9.3	10.8	-1.2	619.4	619.0	619.6	64	48	80	SE	oSW	2W	1	1	1	2	● ab 23, — fr.
17	12.0	14.2	10.8	12.3	0.3	619.0	618.6	617.9	69	66	85	S	oNW	oW	1	9	7	6	
18	14.2	10.2	2.7	9.0	-3.1	613.2	610.5	614.7	50	85	94	SW	2SE	oW	o	6	10	2	● ab 12, K ₁ , ● 13-16 ^h /2
19	4.4	12.9	7.1	8.1	-4.0	616.9	618.7	620.8	91	52	71	SE	oW	oNE	o	10	6	1	● n-7 ^h /4
20	9.1	16.9	9.3	11.8	-0.3	621.7	620.1	621.5	47	41	79	E	oSW	2W	o	0	6	6	< 23
21	9.9	16.2	11.7	12.6	0.5	621.7	620.9	621.2	54	50	76	SW	oSW	2W	o	1	3	10	● 21 ^h /4-n
22	10.3	18.3	11.2	13.3	1.2	620.8	619.9	620.3	85	48	86	SE	oSW	2W	1	10	6	2	● fr. 23
23	10.4	14.6	9.7	11.6	-0.5	619.7	619.2	616.8	83	64	91	NE	oS	oE	o	9	9	10	● n-7, a, p zeitw., 21 ^h /4-n, *)
24	7.3	4.6	4.7	5.5	-6.6	614.9	614.3	618.1	92	90	91	N	oN	1W	o	10	10	10	● n-8, 9-21 ^h /4
25	6.8	12.6	6.5	8.6	-3.5	620.5	621.7	620.0	65	49	78	S	oNW	2SW	o	1	9	6	● sch. 10 ^h /4, 13 ^h /4
26	8.0	15.2	5.3	9.5	-2.6	624.0	623.6	625.4	56	49	81	S	oW	2S	o	3	1	0	
27	8.2	18.1	10.1	12.1	0.1	625.0	624.4	624.5	57	49	85	SW	oSW	1SW	o	3	6	0	
28	13.8	14.8	9.7	12.8	0.8	622.5	622.6	623.8	61	69	90	SW	1S	oNW	o	9	9	4	● tr. a, p, ● 17 ^h /4-18 ^h /2
29	8.8	19.4	9.8	12.7	0.7	623.9	623.2	623.4	77	40	85	SW	oSW	4W	1	5	5	1	● sch. 16 ^h /4
30	9.4	18.8	7.9	12.0	0.1	621.7	620.1	621.2	67	45	89	SE	oW	1SW	o	2	5	10	● sch. ab 17 ^h /4, ● 20 ^h /2-22
31	10.9	14.6	7.8	11.1	-0.8	621.1	621.0	623.4	48	46	68	S	oW	2W	o	5	4	1	
Mittel	11.2	15.9	9.0	12.0	—	621.1	620.5	621.6	62	53	81				4.8	5.7	5.6	125.3	

*) 1. ▲ 10-10^h/4 13. K₁ ▲ 11^h/4 28. T 19^h/4, < n

Juli 1930.

Beobachter: Kapuzinerkloster.

Sitten.

λ = 7° 21', β = 46° 14',
H_b = 548.6^m, G = 0.00^{mm}.

Tag	Lufttemperatur					Luftdruck			Relative Feuchtigk.			Windrichtung und Stärke			Bewölkung			Niederschlag	Witterung
	7 ^h	13 ^h	21 ^h	Mittel	Abweich. von Normalst.	7 ^h	13 ^h	21 ^h	7 ^h	13 ^h	21 ^h	7 ^h	13 ^h	21 ^h	7 ^h	13 ^h	21 ^h		
1	19.7	25.5	17.3	20.8	1.9	711.8	709.5	712.6	59	47	91	N	oSW	1-2W	o	0	9	10	● mtgs.-14, 17, 20-n
2	16.9	20.5	16.4	17.9	-1.1	710.7	711.3	713.7	83	65	92	NE	oW	oW	o	2	10	5	● 13 ^h /4-p
3	16.5	26.3	20.9	21.2	2.2	715.1	713.3	714.5	74	41	62	NW	oSW	o-1W	o	0	1	2	
4	20.5	29.7	23.6	24.6	5.5	715.9	712.8	714.5	63	40	53	NE	oW	oW	o	0	1	2	
5	21.6	30.2	20.6	24.1	5.0	715.6	713.5	715.6	61	45	63	NE	oSW	oE	o	2	2	1	K ₁ 17 ^h /2
6	18.8	27.4	17.3	21.2	2.1	715.1	712.0	717.7	73	46	92	NE	oSW	1-2NE	o	0	10	5	T 13 ^h /2-15, ● 15 ^h /4-16 ^h /4,
7	17.9	26.3	20.6	21.6	2.4	718.4	716.3	716.7	74	38	55	NE	oW	1-2W	2	1	4	1	[18 ^h /2-19 ^h /4, ○ 19
8	17.7	26.1	20.5	21.4	2.2	717.7	714.5	715.0	75	44	55	N	oW	1-2W	o-1	6	2	1	
9	18.6	25.1	19.8	21.2	1.9	716.7	714.9	716.4	68	43	56	NW	oSW	1W	o	1	1	1	
10	17.4	26.5	21.0	21.6	2.3	716.9	713.7	715.3	79	36	85	N	oSW	2-3W	o-1	7	8	10	● 19-n m.U.
11	16.2	15.9	12.0	14.7	-4.7	712.2	710.9	711.0	72	77	89	NE	o-1SW	1SW	o	8	10	10	● 12 ^h /4-14 ^h /2, 21 ^h /4-n
12	12.4	18.0	13.3	14.6	-4.8	711.2	710.7	711.9	67	42	57	SW	o-1SW	1SW	o	2	7	10	0.0
13	12.7	18.2	11.8	14.2	-5.2	711.4	712.7	715.5	70	40	58	SW	oSW	1-2W	o-1	10	9	0	● n, 4 ^h /4, a zeitw.
14	12.2	22.1	15.8	16.7	-2.8	715.2	712.1	712.2	60	39	73	N	oNW	o-1NW	o	1	6	10	● 21-n
15	13.3	18.4	13.4	15.0	-4.5	711.1	711.5	712.3	89	63	71	W	oSW	o-1W	o	10	7	1	● n-13
16	13.2	24.1	19.0	18.8	-0.7	712.6	708.3	708.6	66	35	59	NE	1N	oW	o	1	0	7	● n (16./17.)
17	15.8	26.0	20.2	20.7	1.1	709.3	706.7	706.3	35	37	46	W	oW	oNE	o	10	5	1	
18	17.2	16.9	12.1	15.4	-4.2	701.7	705.0	708.6	72	45	86	NE	oSW	oW	o	10	10	10	● 8 ^h /4-11 ^h /2, 19-n
19	11.4	20.4	14.4	15.4	-4.2	711.8	712.5	714.4	97	47	57	SW	oSW	o-1W	o	10	7	4	● 6-10
20	13.1	21.9	14.3	16.4	-3.2	714.8	712.4	714.5	63	36	74	W	o-1W	1W	1-2	4	9	0	● 17-18 ^h /2 m.U.
21	14.4	20.8	16.0	17.1	-2.6	713.5	710.5	713.0	73	56	97	NW	oNW	1W	o	3	10	10	● 17 ^h /2-n, K ₁ 19
22	16.6	21.9	16.6	18.4	-1.3	714.2	712.5	712.5	79	46	64	W	oSW	1SW	o	5	1	3	● n-2
23	14.9	24.4	14.3	17.9	-1.8	711.3	707.5	719.0	72	44	90	SW	o-1SW	1SW	o	8	7	10	● 18 ^h /4-n m.U., K ₁ 18 ^h /4-19
24	14.3	14.4	12.3	13.7	-6.0	706.8	708.8	712.5	86	52	75	NW	o-1W	1-2W	o	10	10	10	● n-3 ^h /2, 11-11 ^h /4, 21 ^h /4-n
25	12.8	19.4	15.7	16.0	-3.7	716.0	715.4	716.9	70	46	51	W	1SW	2SW	o-1	8	7	10	● sch. fr.
26	15.0	22.3	18.1	17.8	-1.9	718.5	716.3	717.1	78	46	44	N	oW	1-2NW	o	1	1	1	△ fr.
27	16.3	24.9	20.0	20.4	0.8	717.5	714.9	714.6	67	45	61	NW	oSW	o-1NW	o-1	1	1	7	2.7
28	17.1	18.4	16.9	17.5	-2.1	714.4	715.7	715.9	93	90	88	NW	oW	oSW	o	10	10	8	● 3 ^h /4-p, ● sch. p, abds.
29	16.3	24.0	17.9	19.4	-0.2	716.8	714.6	715.7	73	50	59	NW	oW	oW	o	1	7	1	
30	16.5	20.2	15.4	17.4	-2.1	715.3	713.0	714.4	68	49	51	N	oW	1SW	1-2	5	9	1	
31	14.8	22.4	15.4	17.5	-2.0	715.4	713.9	715.1	57	38	59	NW	oSW	o-1SW	o-1	3	5	0	
Mittel	15.8	22.5	16.9	18.4	—	713.7	712.2	713.7	72	47	68				4.5	6.0	4.9	96.5	

λ = 8° 57', β = 46° 0'.
Hb = 276.2m, G = 0.03 mm.

Lugano.

Juli 1930.
Beobachter: G. Malatesta.

Table with columns: Tag, Lufttemperatur (7:00, 13:00, 21:00, Mittel, Abweich. von Normalst.), Luftdruck (7:00, 13:00, 21:00), Relative Feuchtigkeit (7:00, 13:00, 21:00), Windrichtung und Stärke (7:00, 13:00, 21:00), Bewölkung (7:00, 13:00, 21:00), Niederschlag, Witterung. Rows 1-31 and Mittel.

λ = 7° 35', β = 47° 33'.
Hb = 318m, G = 0.13 mm.

Basel.

Juli 1930.
Astronom.-Meteorol. Anstalt.

Table with columns: Tag, Lufttemperatur (7:00, 13:00, 21:00, Mittel, Abweich. von Normalst.), Luftdruck (7:00, 13:00, 21:00), Relative Feuchtigkeit (7:00, 13:00, 21:00), Windrichtung und Stärke (7:00, 13:00, 21:00), Bewölkung (7:00, 13:00, 21:00), Niederschlag, Witterung. Rows 1-31 and Mittel.

Juli 1930.
Beobachter: Observatorium.

Säntis.

$\lambda = 9^{\circ} 20'$, $\beta = 47^{\circ} 15'$.
 $H_b = 2500.1^m$, $G = -0.16^{mm}$.

Table with columns: Tag, Lufttemperatur (7, 13, 21, Mittel, Abweich. vom Normalst.), Luftdruck (7, 13, 21), Relative Feuchtigkeit (7, 13, 21), Windrichtung und Stärke (7, 13, 21), Bewölkung (7, 13, 21), Niederschlag, Witterung. Rows 1-31 and Mittel.

*) 1. < abds. 10. ▲ 16 1/4, * abds.-n, ≡ a, p-n 18. ♀ n-n

Juli 1930.
Beobachter: Frl. F. Lombardi.

St. Gotthard (Hospiz).

$\lambda = 8^{\circ} 34'$, $\beta = 46^{\circ} 33'$.
 $H_b = 2102.9^m$, $G = -0.14^{mm}$.

Table with columns: Tag, Lufttemperatur (7, 13, 21, Mittel, Abweich. vom Normalst.), Luftdruck (7, 13, 21), Relative Feuchtigkeit (7, 13, 21), Windrichtung und Stärke (7, 13, 21), Bewölkung (7, 13, 21), Niederschlag, Witterung. Rows 1-31 and Mittel.

*) 11. ≡ 15-n.

λ = 7° 26', β = 46° 57',
H_b = 572.2^m, G = 0.05 ^m/_m.

Bern.

August 1930.
Tellur. Observatorium.

Tag	Lufttemperatur					Luftdruck			Relative Feuchtigkeit			Windrichtung und Stärke			Bewölkung			Niederschlag	Witterung	
	7 ^h	13 ^h	21 ^h	Mittel	Abweich. vom Normalst.	7 ^h	13 ^h	21 ^h	7 ^h	13 ^h	21 ^h	7 ^h	13 ^h	21 ^h	7 ^h	13 ^h	21 ^h			
1	10.4	20.6	16.9	16.0	-1.8	713.2	712.0	710.4	89	53	78	SE	oN	oN	o	o	o			
2	14.1	24.7	14.4	17.7	-0.1	709.8	708.0	710.2	84	43	90	S	oSW	1S	1	o	4	10	8.0	☉ 16 ^h / ₄ , ☉ 17 ^h / ₄ -23 ^h / ₄
3	13.3	18.0	15.8	15.7	-2.0	708.9	709.4	710.6	93	54	74	S	oW	2W	o	10	4	8	3.9	☉ 6 ^h / ₄ -6 ^h / ₂ , 7-9 ^h / ₄
4	12.3	22.3	15.4	16.7	-1.0	709.5	708.9	709.1	86	50	90	S	oW	2S	o	8	10	10	26.5	☉ 14 ^h / ₄ , 17 ^h / ₄ -21 ^h / ₄ m.U.
5	14.6	19.0	12.4	15.3	-2.3	708.8	707.9	709.6	90	64	89	S	oW	1SE	o	8	10	9	5.1	☉ 1 ^h / ₄ -6 ^h / ₄ , 14-14 ^h / ₄ , 19 ^h / ₄ -20 m.U.
6	14.5	18.2	14.0	15.6	-2.0	710.5	710.4	712.2	73	53	69	WSW	1W	2W	2	1	10	10	5.3	☉ 3-3 ^h / ₄ , 21 ^h / ₂ -22 ^h / ₄
7	11.6	16.4	13.8	13.9	-3.6	712.6	712.8	713.2	91	68	84	SW	oSW	oSW	o	10	7	4	3.8	☉ 3-12 zeitw.
8	11.8	10.2	11.0	11.0	-6.5	713.0	714.4	716.6	89	89	93	SW	oSW	oSW	o	8	10	10	13.0	☉ 6-6 ^h / ₄ , 12 ^h / ₄ -21 ^h / ₂ m.U.
9	11.8	17.4	12.4	13.9	-3.5	716.8	716.7	717.2	90	49	80	SE	oSW	1NW	o	10	2	8		
10	11.0	19.4	15.0	15.1	-2.2	716.8	716.0	715.6	86	39	82	S	oSW	oW	o	8	2	o		
11	15.4	23.8	19.8	19.7	2.4	714.6	713.1	712.3	83	59	79	SE	oNW	1W	o	10	1	o		
12	15.0	19.0	15.4	16.5	-0.7	711.0	710.4	710.3	89	75	91	SE	oWNW	2W	1	10	10	10	24.8	☉ 10 ^h / ₄ -11 ^h / ₄ , 19 ^h / ₄ -n m.U.*
13	12.4	15.3	11.3	13.0	-4.1	709.8	710.1	711.1	95	71	90	SE	oSW	1SW	o	10	10	2	15.5	☉ n-9 ^h / ₄ , 14 ^h / ₄ -n m.U., *
14	11.3	12.6	13.7	12.5	-1.6	709.1	706.8	708.8	87	81	78	W	1W	2SW	2	10	10	o	12.7	☉ n-3 ^h / ₂ , 9 ^h / ₄ -18 ^h / ₄ , 23 ^h / ₄ -23 ^h / ₄ *)
15	11.4	14.4	11.5	12.4	-4.6	711.6	713.0	712.7	85	54	85	W	2W	2SW	2	10	4	10	8.7	☉ 0 ^h / ₄ -9 ^h / ₂ zeitw., 20 ^h / ₄ -23 ^h / ₄ *)
16	12.6	17.0	12.4	14.0	-2.9	713.4	715.5	716.9	70	37	72	SW	1W	2W	o	8	1	o		
17	9.0	18.8	13.6	13.8	-3.0	717.3	715.5	714.9	84	38	77	SE	oNE	oN	o	o	o	o		
18	10.4	23.1	18.7	17.4	o.7	713.9	713.0	712.9	87	48	77	SE	oW	1S	1	o	o	o	0.0	[22 ^h / ₄ , T p
19	15.5	21.8	14.6	17.3	o.7	713.9	713.9	716.0	87	65	91	SE	oNE	oNE	o	10	9	10	0.7	☉ 7 ^h / ₄ -7 ^h / ₂ , 17-17 ^h / ₄ , 21 ^h / ₂ -
20	13.6	17.2	15.0	15.3	-1.2	716.3	715.8	714.5	95	79	85	N	oNE	oNE	o	10	9	4		☉ 3 ^h / ₂ -4 ^h / ₂
21	13.4	22.2	20.1	18.6	2.1	713.0	712.1	713.0	95	66	70	W	oW	oW	o	4	6	3	0.2	[21 m.U.
22	16.4	20.4	16.4	17.7	1.3	715.5	715.8	715.9	93	80	98	N	oN	oSW	o	10	3	10	13.2	☉ 7 ^h / ₄ -7 ^h / ₂ , 11 ^h / ₄ , ☉ 19 ^h / ₄ -
23	16.0	23.4	18.9	19.4	3.1	714.8	715.1	717.2	98	57	95	SSW	oW	3SW	o	9	5	9	1.0	☉ 4 ^h / ₄ -4 ^h / ₂ , 21-21 ^h / ₄
24	17.1	24.6	19.1	20.3	4.1	717.7	717.9	718.9	92	55	82	SE	oWNW	5SW	o	6	3	5		
25	16.0	23.8	19.1	19.6	3.5	719.5	719.1	719.1	98	66	90	N	oN	oNE	o	10	2	o		≡ n-8 ^h / ₂
26	16.0	25.0	20.4	20.5	4.5	719.2	718.4	717.8	99	69	85	NE	oNE	oN	o	10	o	o		≡ n-8 ^h / ₂
27	17.3	26.5	22.0	21.9	6.0	718.6	717.7	717.7	94	64	93	N	oN	oNNW	o	5	o	o		≡ n-7 ^h / ₄
28	17.5	27.2	20.7	21.8	6.0	717.8	716.6	715.9	94	61	82	SE	oNE	oNNE	o	1	o	o		≡ n-7 ^h / ₂
29	16.0	26.6	20.9	21.2	5.5	716.2	715.7	715.8	93	54	84	W	oN	oNE	o	1	o	o		≡ n-7 ^h / ₂
30	16.5	25.6	19.8	20.6	5.1	716.9	716.1	716.1	94	64	83	NE	oNE	oNE	o	2	3	o		≡ n-6 ^h / ₄
31	15.0	26.0	18.8	19.9	4.5	716.4	715.9	716.0	93	45	90	SW	oW	oNE	o	o	o	o		≡ n-6 ^h / ₄
Mittel	13.8	20.7	16.2	16.9	-	714.1	713.7	714.2	90	60	84					6.4	4.4	4.3	141.4	

*) 12. ≡ n-5^h/₄ 13. ≡ n(12./13) 14. m.U., ☉ 18^h/₄

λ = 6° 57', β = 47° 0',
H_b = 487.3^m, G = 0.06 ^m/_m.

Neuchâtel.

August 1930.
Observatorium.

1	11.8	22.6	15.8	16.7	-2.0	720.7	719.3	717.8	95	55	78	E	oSE	1NW	1	3	1	o		
2	14.3	24.3	14.9	17.8	-0.8	717.3	714.8	717.4	92	62	96	E	oS	1NW	1	2	7	10	7.9	☉ 16-n m.U.
3	13.0	20.2	16.4	16.5	-2.1	716.1	716.8	718.2	81	65	67	NW	2W	2W	1	10	7	3	2.9	☉ n-9 m.U., ☉ sch. 15 ^h / ₄
4	15.2	19.9	14.8	16.6	-2.0	717.0	716.3	716.4	78	64	98	W	1W	3N	1	8	10	10	15.5	☉ 13-n m.U.
5	15.4	14.4	14.4	14.7	-3.8	715.9	715.2	717.1	96	77	70	W	1NW	3W	1	9	10	8	2.3	☉ 12-14, 18-19 ^h / ₄ m.U., ☉ 19 ^h / ₂ -20
6	14.8	19.5	13.0	15.8	-2.7	718.3	717.7	719.4	69	58	82	W	1W	2NW	2	8	8	9	9.8	☉ 20-n m.U.
7	12.0	18.5	15.0	15.2	-3.2	720.2	720.2	720.6	98	64	61	NW	1W	1W	1	10	7	6		☉ n-7 ^h / ₂ m.U.
8	12.5	14.0	11.5	12.7	-5.7	720.8	721.9	724.2	81	69	92	W	1NW	1NW	1	6	8	10	1.4	☉ 11 ^h / ₄ -13 ^h / ₄ , 15 ^h / ₂ -n zeitw.
9	12.3	16.5	12.0	13.6	-4.7	724.7	724.6	724.7	90	63	93	NE	1SW	1NW	1	10	9	1		
10	12.0	21.2	15.8	16.3	-1.9	724.5	723.7	722.9	93	40	81	NE	oS	1NW	1	7	3	9	0.5	
11	16.5	25.4	21.2	21.0	2.8	722.2	720.6	719.6	88	62	61	W	1SW	1N	2	10	3	o		☉ n-7 ^h / ₄ m.U.
12	16.4	19.4	15.3	17.0	-1.1	718.2	717.8	717.4	90	80	80	E	1SW	2NW	3	6	9	10	5.7	☉ 17 ^h / ₄ -n m.U., ☉ 21-22
13	13.6	15.7	12.5	13.9	-4.1	717.5	717.6	718.2	97	75	78	NW	1NW	2N	1	10	o	3	0.5	☉ n-9 ^h / ₂ m.U., ☉ sch. 13 ^h / ₂ -19 ^h / ₂
14	11.7	11.2	12.9	11.9	-6.1	716.0	714.3	716.5	87	96	84	W	2SW	3SW	2	10	10	3	5.8	☉ tr. 6-6 ^h / ₄ , ☉ 8 ^h / ₄ -17 ^h / ₄ m.U.
15	11.3	15.5	11.8	12.9	-5.0	719.6	720.6	720.1	76	61	87	W	1W	2W	3	8	7	10	2.8	☉ n-9, 20-n m.U.
16	12.6	17.7	12.1	14.1	-3.7	721.0	723.4	724.5	69	57	69	SW	2S	1N	1	3	7	o		
17	10.0	20.2	16.1	15.4	-2.4	724.9	723.3	722.1	91	55	62	SE	1SE	1N	1	o	o	o		☉ fr.
18	11.2	23.6	17.8	17.5	-0.2	721.5	720.5	720.3	95	55	77	NE	1S	1NE	o	o	3	8		☉ tr. abds., ☉ fr.
19	16.1	21.7	14.0	17.3	-0.3	721.4	721.5	723.2	94	65	93	NE	oN	1NE	o	9	9	10	1.0	☉ sch. 18 ^h / ₂ , ☉ 19 ^h / ₂ -19 ^h / ₄
20	14.6	17.9	15.8	16.1	-1.4	724.0	723.2	722.2	87	76	87	NE	oE	1N	o	9	10	10		
21	13.8	22.9	20.2	19.0	1.6	720.7	719.7	721.3	98	72	73	NW	oSE	1NW	1	10	7	2	2.0	≡ n-8
22	16.5	22.2	16.6	18.4	1.1	723.7	723.2	723.7	97	65	98	E	oSE	1N	o	10	6	10	9.0	☉ n-10 ^h / ₂ m.U., ☉ 18 ^h / ₂ -19 ^h / ₄
23	17.3	21.8	20.6	19.9	2.7	722.3	722.9	724.5	98	67	75	W	oW	2N	1	8	9	6		☉ tr. 17-18, 20
24	19.1	26.0	19.9	21.7	4.6	725.3	725.6	726.4	77	56	75	W	1W	2NW	1	6	4	o		
25	16.8	26.2	19.1	20.7	3.7	727.2	726.6	726.6	94	65	87	NE	oSW	1N	1	9	1	o		
26	16.7	27.0	23.1	22.3	5.3	727.0	725.9	725.4	96	66	62	E	1SE	1SE	1	5	o	o		
27	17.2	26.8	22.4	22.1	5.2	726.3	725.3	725.0	99	58	90	E	1SE	1NE	o	o	o	o		
28	18.0	28.8	21.3	22.7	5.9	725.2	723.9	723.5	97	67	63	NE	1SE	1SW	o	3	o	o		
29	17.4	28.2	23.2	22.9	6.2	723.7	723.0	723.4	94	60	72	NE	1SE	1NW	1	2	2	1		
30	17.3	27.6	21.8	22.2	5.7	724.6	723.7	723.8	94	60	71	NE	oS	1NE	1	3	3	2		
31	17.0	27.0	19.4	2																

August 1930.
Beobachter: Frl. H. Nager.

Altdorf.

$\lambda = 8^{\circ} 39', \beta = 46^{\circ} 53',$
 $H_0 = 456.3^m, G = 0.05^m/m.$

Table with columns: Tag, Lufttemperatur (7, 13, 21, Mittel, Abweich. vom Normalst.), Luftdruck (7, 13, 21), Relative Feuchtigk. (7, 13, 21), Windrichtung und Stärke (7, 13, 21), Bewölkung (7, 13, 21), Niederschlag, and Witterung. Rows 1-31 and Mittel.

August 1930.
Observatorium.

Genf.

$\lambda = 6^{\circ} 9', \beta = 46^{\circ} 12',$
 $H_0 = 405.0^m, G = 0.02^m/m.$

Table with columns: Tag, Lufttemperatur (7, 13, 21, Mittel, Abweich. vom Normalst.), Luftdruck (7, 13, 21), Relative Feuchtigk. (7, 13, 21), Windrichtung und Stärke (7, 13, 21), Bewölkung (7, 13, 21), Niederschlag, and Witterung. Rows 1-31 and Mittel.

$\lambda = 80^{\circ} 33'$, $\beta = 47^{\circ} 43'$.
 $H_b = 493.2^m$, $G = 0.08^m/m$.

Zürich.

August 1930.
Meteorol. Zentralanstalt.

Tag	Lufttemperatur					Luftdruck			Relative Feuchtigk.			Windrichtung und Stärke			Bewölkung			Niederschlag	Witterung
	7 ³⁰	13 ³⁰	21 ³⁰	Mittel	Abw. von Normal	7 ³⁰	13 ³⁰	21 ³⁰	7 ³⁰	13 ³⁰	21 ³⁰	7 ³⁰	13 ³⁰	21 ³⁰	7 ³⁰	13 ³⁰	21 ³⁰		
1	10.0	22.6	15.3	16.0	-2.1	720.8	719.3	717.8	98	48	91	NW	oSE	oNE	o	1	1	0.0	
2	13.4	27.4	14.2	18.3	0.2	716.6	714.3	716.6	90	46	96	NE	oNW	1S	1	0	1	9.4	\mathbb{K}_x , \bullet 18-21 ^{1/2} , Δ fr., \mathbb{P} 17 ^{1/4}
3	15.6	19.3	16.1	17.0	-1.1	715.9	716.5	717.7	81	66	72	S	oSW	1S	1	0	7	2.0	\bullet 7 ^{1/2} -11 ^{3/4}
4	14.0	24.7	16.2	18.3	0.2	716.2	715.8	716.5	79	53	97	SW	1NW	1SE	0	9	8	12.2	\bullet 15 ^{3/4} -0 ^{3/4} m.U.
5	15.8	21.2	14.8	17.3	-0.7	715.8	714.1	716.2	80	57	68	SW	2NW	1SW	3	10	9	1.8	\bullet 3 ^{1/2} -8, 15 ^{1/2} -17 ^{3/4} m.U., *)
6	14.7	21.2	14.7	16.9	-1.1	717.6	717.2	719.0	68	45	79	W	1NW	2NE	0	3	9	5.9	\bullet sch. 2 ^{1/4} -3
7	12.2	13.7	13.7	13.2	-4.8	719.8	720.1	720.5	96	76	94	SW	oSW	oS	0	10	9	8.3	\bullet 3 ^{1/2} -15 ^{3/4} m.U., 22 ^{3/4} -0 ^{1/4}
8	12.2	18.6	11.7	14.2	-3.7	720.2	720.6	723.2	94	49	99	NW	oNW	oS	0	9	10	3.9	\bullet sch. 15 ^{1/4} -19 ^{1/2} , \mathbb{K}_x 15 ^{1/4}
9	12.2	17.3	11.4	13.6	-4.2	723.8	724.0	724.4	83	58	94	NW	oE	oSE	0	10	10	0.3	\bullet sch. 5 ^{1/4} -5 ^{1/2} , 14 ^{3/4} -15 ^{1/4} , [17 ^{3/4} -18 ^{1/4}
10	12.4	20.4	13.8	15.5	-2.3	723.7	723.1	722.5	95	48	87	S	oSW	oS	0	10	7	0.3	
11	14.5	25.0	19.0	19.5	1.8	721.5	720.0	719.2	89	64	82	S	oSW	oN	0	10	6	1.2	\bullet 5 ^{1/4} -7 ^{1/4} , 8-9 ^{1/4}
12	16.7	18.7	16.1	17.2	-0.4	717.7	716.9	717.0	96	87	97	S	oW	oN	1	5	10	12.2	\bullet sch. 13-13 ^{3/4} , 17 ^{1/4} , 18, *)
13	12.4	14.7	12.4	13.2	-4.4	717.1	716.9	717.5	98	77	89	NE	oSW	1SW	0	10	9	11.0	\bullet 0-1 ^{1/2} , 7-12 ^{1/2} , \bullet sch. p, abds.
14	12.8	12.0	13.9	12.9	-4.6	714.7	712.1	714.8	73	85	76	W	2SW	2W	2	8	10	8.1	\bullet 6-5 ^{1/4} , 9 ^{1/2} -17 ^{1/4} m.U., 20 ^{1/4} -20 ^{3/4}
15	11.8	12.2	12.4	12.1	-5.3	717.7	719.4	718.8	71	82	79	NW	2NW	2NW	2	10	10	15.1	\bullet 9-14 ^{3/4} m.U., 18 ^{1/2} , 20 ^{3/4} -n
16	12.4	16.3	10.9	13.2	-4.2	719.8	722.3	723.6	82	48	87	W	1NW	1W	0	7	7	0.1	\bullet n-6 ^{1/4}
17	10.2	22.3	12.2	14.9	-2.4	724.4	722.7	722.3	85	38	85	S	oW	oSE	0	1	0	0	
18	10.1	25.1	18.7	18.0	0.8	721.0	719.8	719.9	92	47	87	NW	oSW	oS	0	1	0	0.0	
19	17.3	23.4	14.7	18.5	1.4	721.3	721.2	723.1	87	60	100	SW	oNW	1NW	0	7	9	24.9	\bullet tr. 14-14 ^{1/4} , \mathbb{K}_x , \bullet 18 ^{1/2} -n, Δ fr.
20	13.7	19.3	14.6	15.9	-1.2	723.7	723.0	721.8	100	72	100	N	oSE	oSE	0	10	10	0.2	\bullet n-7 ^{1/2}
21	13.4	25.4	22.3	20.4	3.4	720.1	719.0	720.8	99	56	65	NE	oN	oW	1	5	9	1.9	\bullet 22 ^{1/2} -23 ^{1/2} , \equiv n-7
22	17.2	17.0	17.4	17.2	0.3	723.7	723.7	723.2	91	92	100	NW	oNW	oSW	1	9	10	9.1	\bullet 0 ^{1/2} -1 ^{3/4} , 9-9 ^{1/2} , 13-13 ^{1/2} , *)
23	16.8	24.1	17.3	19.4	2.6	721.9	722.6	724.9	100	63	100	S	oW	1SE	0	10	9	1.1	\bullet 0 ^{1/2} -1 ^{1/2} , abds. zeitw.
24	17.5	24.8	19.2	20.5	3.7	725.0	725.3	726.9	100	63	88	SE	oNW	1NW	0	10	6	0	
25	17.7	24.5	18.8	20.3	3.6	727.2	726.7	726.9	90	61	92	NW	oNE	oS	0	10	2	0.0	
26	15.5	28.0	19.3	20.9	4.3	727.0	726.3	725.7	98	52	90	SE	1NE	1N	0	0	0	0	Δ fr.
27	14.9	28.7	20.3	21.3	4.8	726.1	725.2	725.1	96	53	95	SW	oN	oSE	0	0	0	0	Δ fr.
28	17.8	28.8	20.0	22.2	5.8	725.1	724.2	723.3	100	58	89	SW	oNW	oE	0	10	1	0	\equiv 7-9, Δ fr.
29	16.6	27.8	20.3	21.6	5.3	723.6	723.3	723.8	96	59	71	NE	oNE	oW	0	1	1	0	Δ fr.
30	15.3	26.9	17.9	20.0	3.8	724.4	723.9	723.3	86	52	98	SW	oE	oNE	0	0	1	0	
31	14.7	28.2	17.8	20.2	4.1	723.8	723.1	723.1	95	87	93	NW	oW	oSE	0	0	1	0	Δ fr.
Mittel	14.2	21.9	16.1	17.4	-	721.2	720.7	721.3	90	60	88				6.3	5.9	5.6	Summe 129.0	

*) 5. 20^{1/2}-21, \mathbb{K}_x 16^{3/4}. 12. \bullet 20^{1/2}-23^{1/2} m.U. 22. 20^{1/2}-21^{1/2}, 22^{1/2}-23^{1/2}

$\lambda = 80^{\circ} 30'$, $\beta = 47^{\circ} 3'$.
 $H_b = 1787.3^m$, $G = -0.11^m/m$.

Rigi-Kulm.

August 1930.
Beobachter: J. Wiget.

1	7.0	12.8	13.2	11.0	1.0	616.9	617.2	616.6	46	35	46	NE	oS	1S	0	0	0	0	
2	12.5	16.5	7.0	12.0	2.0	615.6	614.8	614.5	31	31	100	S	1S	2W	3	0	10	17.0	\mathbb{K}_x seit 17 ^{1/4}
3	6.0	7.8	7.2	7.0	-3.0	613.5	614.2	614.8	100	100	82	W	2W	3W	2	10	10	4.8	\bullet n-12
4	10.2	12.0	9.0	10.4	0.4	614.2	614.7	614.7	18	85	100	SW	1W	2W	2	10	3	11.7	\bullet seit 14 ^{1/4}
5	8.4	9.8	6.2	8.1	-1.8	613.8	613.0	612.7	66	70	100	W	2W	1W	3	10	10	10.0	\bullet seit 3
6	5.0	10.2	6.7	7.3	-2.6	614.0	614.5	615.0	84	62	71	W	1W	1NE	1	5	3	2.0	
7	3.6	6.2	5.0	4.9	-3.0	615.0	615.8	616.5	100	75	90	W	2NE	1W	1	10	10	23.4	\bullet n-a, 13 ^{1/2} -n zeitw., \equiv p
8	3.0	4.0	3.0	3.3	-6.6	613.8	616.5	617.7	100	74	100	W	1W	1W	0	10	10	11.3	\bullet n-n zeitw., \equiv a
9	3.0	5.4	4.5	4.3	-5.5	618.6	619.2	619.8	100	72	100	W	oW	oW	0	10	10	2.1	\bullet , \equiv n-p
10	5.5	8.5	7.0	7.0	-2.8	619.2	619.4	619.3	86	85	70	W	oNW	1W	2	10	5	0.3	\bullet , \equiv a
11	9.0	12.5	12.5	11.3	1.6	618.7	618.7	618.5	100	90	100	W	2W	2W	1	10	5	0.5	
12	10.8	10.5	8.2	9.8	0.1	616.4	615.6	615.5	70	100	100	W	1W	1W	3	5	10	16.5	\bullet \equiv 12 ^{3/4} -n
13	5.5	3.0	3.8	4.1	-5.5	613.9	613.9	614.0	100	100	100	W	oW	2W	3	10	10	23.6	\bullet n-p \equiv n-a
14	2.2	4.4	5.0	3.9	-5.7	611.7	609.8	611.0	80	85	100	W	3W	4W	4	5	10	13.8	\bullet seit 9, \equiv abds.
15	1.2	3.6	4.0	2.9	-6.6	612.7	614.9	614.7	100	63	56	W	4NW	4W	5	10	10	16.4	\bullet zeitw.
16	1.8	3.4	3.8	3.0	-6.5	614.8	617.7	618.6	100	69	82	W	4W	2E	1	10	5	0.5	\bullet , \equiv a
17	2.4	11.0	9.0	7.5	-1.9	619.3	617.8	619.7	90	54	37	W	oW	2W	1	3	0	0	
18	12.8	15.5	15.0	14.4	5.0	618.4	618.6	618.8	20	19	24	W	1NW	1N	2	0	0	5	
19	10.0	11.0	9.0	10.0	0.7	618.9	619.1	619.2	75	99	100	N	1NW	oNE	1	5	10	38.1	\mathbb{K}_x \blacktriangle 18 ^{1/2} -19, \equiv seit 10 ^{3/4}
20	8.0	12.5	11.4	10.6	1.4	619.2	619.7	619.2	100	55	39	S	oE	oE	0	10	10	0.5	\bullet n-7 ^{1/2} , \equiv p
21	12.6	17.0	14.3	14.6	5.4	618.2	618.6	618.7	31	25	29	SE	3S	4S	3	3	5	3.8	
22	11.0	13.0	10.7	11.6	2.5	620.5	620.6	620.6	82	60	85	W	oW	1W	0	10	10	8.0	\bullet 14 ^{1/2} -n zeitw.
23	12.7	12.7	11.8	12.4	3.4	619.8	620.6	621.4	67	86	94	SW	oW	2W	2	10	5	3.4	
24	11.0	12.8	12.0	11.9	3.0	622.0	622.8	623.6	100	100	95	NW	1W	2W	1	10	5	0	\equiv n-p
25	11.3	16.0	14.8	14.0	5.1	623.6	624.4	624.7	96	60	65	W	oSW	oW	0	0	3	0	
26	17.4	21.2	19.2	19.3	10.5	624.6	625.1	624.8	16	20	19	SE	1SE	1SE	1	0	0	0	
27	17.7	20.4	18.0	18.7	10.0	624.4	624.5	624.5	19	26	29	W	1W	1W	0	0	0	0	
28	15.2	19.2	16.7	17.0	8.4	623.7	623.6	622.6	62	39	66	NE	oE	oSE	1	0	0	3	
29	15.6	17.7	15.8	16.4	7.9	621.9	622.3	622.1	26	24	40	W	1NW	1W	0	0	0	0	
30	13.6	15.4	13.4	14.1	5.6	622.1	622.3	622.1	80	52	55	W	1NW	1W	0	3	0	0	
31	12.0	14.5	13.2	13.2	4.8	621.8	621.9	622.2	34	42	35	W	1W	2W	0	0	0	0	
Mittel	9.0	11.6	10.0	10.2	-	618.2	618.4	618.6	70	63	71				5.8	5.3	5.7	Summe 207.7	

August 1930.
Beobachter: G. Krätli.

Bever.

$\lambda = 9^{\circ} 53'$, $\beta = 46^{\circ} 33'$,
 $H_b = ca. 1710^m$, $G = -0.12 \frac{m}{m}$.

Table with columns: Tag, Lufttemperatur (7, 13, 21, Mittel, Abweich. vom Mittel), Luftdruck (7, 13, 21), Relative Feuchtigkeit (7, 13, 21), Windrichtung und Stärke (7, 13, 21), Bewölkung (7, 13, 21), Niederschlag, Witterung. Rows 1-31 and Mittel.

August 1930.
Beobachter: Kapuzinerkloster.

Sitten.

$\lambda = 7^{\circ} 21'$, $\beta = 46^{\circ} 14'$,
 $H_b = 548.6^m$, $G = 0.00 \frac{m}{m}$.

Table with columns: Tag, Lufttemperatur (7, 13, 21, Mittel, Abweich. vom Mittel), Luftdruck (7, 13, 21), Relative Feuchtigkeit (7, 13, 21), Windrichtung und Stärke (7, 13, 21), Bewölkung (7, 13, 21), Niederschlag, Witterung. Rows 1-31 and Mittel.

λ = 8° 57', β = 46° 0'.
H_b = 276.2^m, G = 0.03^{mm}.

Lugano.

August 1930.
Beobachter: G. Malatesta.

Tag	Lufttemperatur					Luftdruck			Relative Feuchtigkeit			Windrichtung und Stärke			Bewölkung			Niederschlag	Witterung
	7 ^h	13 ^h	21 ^h	Mittel	Abw. vom Normalst.	7 ^h	13 ^h	21 ^h	7 ^h	13 ^h	21 ^h	7 ^h	13 ^h	21 ^h	7 ^h	13 ^h	21 ^h		
1	16.8	25.0	18.0	19.9	-1.4	739.8	739.4	738.0	76	43	55	N	oSW	oS	o	10	1	0	
2	19.6	23.6	20.4	21.2	-0.1	738.3	737.0	734.3	60	52	80	N	oS	oSW	o	10	10	0	15.0
3	17.4	20.0	16.8	18.1	-3.1	734.0	732.8	734.6	85	73	74	SW	oESE	1N	o	10	10	0	1.3
4	14.6	25.4	18.8	19.6	-1.6	736.3	735.9	734.7	71	39	84	WNW	oS	oS	o	8	0	10	2.7
5	18.0	21.0	17.2	18.7	-2.4	734.1	732.6	732.5	86	74	83	NE	oSE	1S	o	10	10	3	48.0
6	13.8	24.6	18.2	18.9	-2.2	734.3	734.6	735.2	76	44	76	N	oSE	oSW	o	10	5	3	< abds.
7	16.4	18.0	16.4	16.9	-4.1	735.9	735.6	736.2	78	65	82	WNW	oESE	3S	o	10	6	10	21.0
8	12.8	16.6	16.2	15.2	-5.8	735.7	734.8	735.5	88	71	34	E	oN	oN	o	10	10	5	0.3
9	15.4	24.2	15.4	18.3	-2.6	737.2	738.0	739.2	43	24	43	N	1N	2N	o	0	0	0	
10	13.4	24.8	16.2	18.1	-2.8	739.0	738.4	739.3	62	38	70	N	oSSE	oN	o	0	0	0	
11	13.4	26.2	18.2	19.3	-1.5	739.1	737.8	737.8	76	42	74	N	oSE	oN	o	0	0	0	
12	16.8	18.2	16.0	17.0	-8.8	737.5	736.9	735.4	81	92	88	N	oNE	oSW	o	10	10	7	43.0
13	15.8	20.6	14.2	16.9	-3.8	734.3	732.5	732.4	84	67	58	NNW	oS	oN	o	10	10	0	19.0
14	11.0	21.2	16.4	16.4	-4.2	732.4	736.4	730.9	69	48	41	N	oS	oN	o	2	0	9	0
15	17.0	24.0	16.2	19.1	-1.5	732.9	733.7	734.3	37	25	24	N	3N	2N	o	2	3	0	0
16	16.0	24.2	20.0	20.1	-0.4	733.1	735.2	737.8	61	20	24	N	3N	3N	o	1	0	0	0.0
17	12.4	24.4	16.6	17.8	-2.6	740.0	739.3	739.2	62	36	62	NW	oS	oN	o	0	0	0	
18	12.4	24.8	16.8	18.0	-2.4	740.4	739.6	739.7	78	46	71	N	oS	oN	o	0	0	0	
19	15.6	23.8	18.2	19.2	-1.1	739.6	739.2	739.7	83	49	80	N	oS	oN	o	5	6	0	
20	16.6	23.0	17.4	19.0	-1.2	740.1	740.4	741.2	76	63	83	N	oS	oN	o	5	10	2	
21	17.8	24.2	18.8	20.3	0.2	742.3	741.9	741.9	78	58	86	N	oS	oN	o	10	8	10	
22	18.4	24.2	19.0	20.5	0.5	741.9	741.6	741.4	83	56	78	N	oS	oN	o	9	9	7	
23	17.2	27.6	20.6	21.8	1.8	741.2	740.7	741.0	88	44	71	N	oSSE	oN	o	8	8	3	
24	18.2	28.4	22.4	23.0	3.1	741.6	741.6	742.4	78	53	78	N	oS	oNW	o	0	0	0	
25	18.6	20.2	22.0	23.3	3.5	744.0	743.5	743.3	84	49	84	N	oSSE	oN	o	1	1	0	
26	19.6	29.0	22.2	23.6	3.9	744.9	744.0	744.4	83	53	84	N	oSE	oNW	o	1	1	4	
27	22.2	29.0	23.0	24.7	5.1	745.5	744.2	743.7	78	49	78	N	oS	oN	o	10	0	2	
28	21.8	20.2	23.4	24.8	5.3	742.7	741.8	741.1	79	57	78	N	oSE	oN	o	7	1	0	
29	22.0	28.0	23.8	24.6	5.2	741.5	741.0	741.7	77	53	72	N	oS	oS	o	9	1	10	< abds.
30	21.6	26.4	21.0	23.0	3.7	743.3	742.5	742.7	64	44	73	N	oS	oN	o	6	1	8	
31	18.2	26.0	20.6	21.6	2.4	742.2	741.4	741.6	71	44	70	N	oS	oN	o	1	1	9	
Mittel	16.8	24.4	18.7	20.0	-	738.9	738.8	738.5	74	51	69				5.6	4.1	3.3	150.3	

λ = 7° 35', β = 47° 33'.
H_b = 318^m, G = 0.13^{mm}.

Basel.

August 1930.
Astronom.-Meteorol. Anstalt.

1	12.0	22.8	17.1	17.3	-	735.9	734.2	732.7	88	53	75	ESE	1E	1ENE	1	0	1	0	
2	16.5	27.7	14.6	19.6	-	730.9	729.4	730.8	75	48	92	ENE	1W	1ESE	1	0	2	10	21.8
3	13.9	19.8	16.4	16.7	-	731.1	731.1	732.4	91	55	74	WSW	1W	1SW	1	10	8	7	0.6
4	13.9	18.2	15.9	16.0	-	730.6	730.8	730.4	86	88	92	ESE	1NNE	1E	1	7	10	10	6.4
5	15.6	19.8	12.6	16.0	-	730.2	730.0	731.0	96	65	86	E	1W	1SW	1	10	10	0	0.7
6	14.6	20.0	15.0	15.9	-	732.6	732.3	734.1	75	60	88	WNW	1WSW	1SE	o	10	9	10	3.4
7	12.8	18.9	12.6	14.8	-	734.6	734.8	735.6	96	60	90	SE	oWSW	1SE	1	10	7	10	2.7
8	10.9	15.8	12.4	13.0	-	735.9	736.4	738.4	93	83	90	ENE	1SW	1SW	o	9	10	10	5.0
9	13.0	20.6	13.2	15.6	-	739.3	739.1	739.2	89	54	86	SW	1WSW	1SW	1	10	8	2	
10	12.6	21.4	15.5	16.5	-	738.9	738.5	737.9	88	44	89	E	oWSW	1SW	1	10	5	8	
11	15.1	24.2	16.5	18.6	-	736.6	735.5	734.4	93	66	94	ENE	1NW	1SW	1	10	10	1	
12	16.7	21.7	15.4	17.9	-	733.0	732.0	732.6	93	71	85	ESE	oW	1WSW	1	10	10	10	1.7
13	13.5	14.4	12.8	13.6	-	732.3	732.3	732.7	96	73	82	SE	1WNW	2SW	1	10	10	9	1.2
14	13.5	15.0	15.7	14.7	-	729.7	720.1	730.2	88	73	70	SW	oWSW	2W	1	10	10	9	
15	12.5	15.8	12.6	13.6	-	733.3	734.5	734.0	75	74	89	WSW	2W	1WSW	2	9	10	10	2.0
16	13.4	19.0	12.9	15.1	-	735.4	737.6	738.8	77	44	82	WSW	2W	2SW	1	3	4	6	
17	10.8	22.2	13.4	15.5	-	739.5	738.0	737.4	83	51	85	E	1WSW	1SE	1	0	0	0	
18	12.7	26.8	19.9	19.8	-	735.8	734.4	734.0	85	48	77	SE	1SE	1NE	1	0	1	8	0.1
19	17.2	19.3	14.9	17.1	-	735.9	737.0	738.5	91	78	88	SE	1WSW	1E	o	10	10	10	0.6
20	13.7	19.8	14.8	16.1	-	739.2	738.4	736.7	87	64	92	WSW	1NNW	1SW	1	10	10	1	
21	16.0	26.5	19.0	20.5	-	734.3	733.0	735.3	87	59	91	ENE	1E	1SE	o	5	9	1	1.4
22	15.3	18.3	15.8	16.5	-	738.8	738.6	738.2	92	78	93	SSW	1E	1SE	1	10	9	10	5.0
23	16.6	22.8	17.1	18.8	-	736.6	737.2	738.9	96	68	92	ESE	1WNW	1SE	1	10	10	7	0.4
24	19.2	26.0	18.0	21.1	-	739.6	739.8	741.8	85	60	92	W	1W	1WNW	1	8	4	10	
25	16.4	23.2	17.4	19.0	-	742.2	741.7	742.0	96	71	93	WNW	1WNW	1SW	1	10	2	0	
26	15.7	27.2	19.0	20.6	-	741.7	741.0	740.4	94	60	97	E	1ENE	1E	o	8	0	0	
27	16.3	30.2	20.1	22.2	-	740.6	739.7	739.6	84	53	94	ESE	oSE	1SSW	1	0	0	0	
28	18.4	29.8	19.4	22.5	-	739.7	738.6	738.0	82	51	90	ENE	1NNE	1S	1	0	0	0	
29	16.5	29.2	21.6	22.4	-	738.2	737.6	738.1	74	48	92	E	1SSW	1ENE	1	0	1	0	
30	16.7	28.1	17.6	20.8	-	738.8	738.3	738.3	74	48	92	ENE	1WNW	1SSW	1	0	1	1	
31	16.0	29.0	18.9	21.3	-	738.3	737.8	737.7	82	46	82	ESE	1WSW	1SSW	1	0	1	1	
Mittel	14.8	22.4	16.0	17.7	-	736.1	735.7	736.1	87	61	87				6.4	5.9	5.2	150.8	

August 1890.
Beobachter: Observatorium.

Säntis.

$\lambda = 9^{\circ} 20'$, $\beta = 47^{\circ} 15'$.
 $H_b = 2500.1^m$, $G = -0.16^m$.

Table with columns: Tag, Lufttemperatur (7, 13, 21, Mittel, Abweich. vom Normalst.), Luftdruck (7, 13, 21), Relative Feuchtigkeit (7, 13, 21), Windrichtung und Stärke (7, 13, 21), Bewölkung (7, 13, 21), Niederschlag, Witterung. Includes daily data from 1 to 31 and a Mittel row.

August 1890.
Beobachter: Frl. F. Lombardi.

St. Gotthard (Hospiz).

$\lambda = 8^{\circ} 34'$, $\beta = 46^{\circ} 33'$.
 $H_b = 2102.9^m$, $G = -0.14^m$.

Table with columns: Tag, Lufttemperatur (7, 13, 21, Mittel, Abweich. vom Normalst.), Luftdruck (7, 13, 21), Relative Feuchtigkeit (7, 13, 21), Windrichtung und Stärke (7, 13, 21), Bewölkung (7, 13, 21), Niederschlag, Witterung. Includes daily data from 1 to 31 and a Mittel row.

$\lambda = 7^{\circ} 26', \beta = 46^{\circ} 57'$
 $H_b = 572.2^m, G = 0.05 \text{ mm.}$

Bern.

September 1930.
Tellur. Observatorium.

Tag	Lufttemperatur					Luftdruck			Relative Feuchtigkeit			Windrichtung und Stärke			Bewölkung			Wiederschlag	Witterung				
	7 ³⁰	13 ³⁰	21 ³⁰	Mittel	Abw. vom Normalst.	7 ³⁰	13 ³⁰	21 ³⁰	7 ³⁰	13 ³⁰	21 ³⁰	7 ³⁰	13 ³⁰	21 ³⁰	7 ³⁰	13 ³⁰	21 ³⁰						
1	15.5	25.8	20.8	20.7	5.4	716.3	716.3	716.8	89	47	83	S	0	N	0	0	1	1					
2	16.5	22.0	15.8	18.1	2.9	717.7	718.0	718.0	92	70	89	NE	2	NE	2	NNE	0	10					
3	12.8	18.7	15.4	15.6	0.6	718.5	718.4	717.9	94	73	89	N	0	N	0	N	0	10					
4	10.4	21.2	16.1	15.9	1.0	717.4	716.3	714.9	98	58	87	NNE	0	NE	0	NE	0	10					
5	12.7	22.5	18.0	17.7	2.9	715.1	714.3	713.9	91	60	86	SW	0	NW	0	S	0	3	9	0.0	$\equiv n-7\frac{1}{4}$ $\text{K}_1^{\circ} \bullet 13\frac{1}{2}-14\frac{1}{2}$		
6	15.3	25.4	18.0	19.6	4.9	714.9	714.5	713.7	86	57	93	S	0	N	3	W	0	2	3	5	1.2	\bullet sch. abds., $\text{K}_1^{\circ} 18\frac{1}{4}-19\frac{1}{4}$	
7	17.2	18.4	14.6	16.7	2.2	713.5	713.7	713.3	93	67	91	W	0	W	3	W	0	10	10	10	6.7	\bullet n, p, abds. zeitw., $21\frac{1}{2}-n$	
8	14.7	19.7	15.6	16.7	2.3	712.6	712.3	711.6	92	59	87	W	0	NW	3	N	0	7	6	8	0.4	\bullet n-2, $7\frac{1}{4}-8\frac{1}{4}$	
9	14.6	19.8	16.6	17.0	2.7	711.1	710.8	711.2	89	75	94	SE	0	NW	4	SW	0	8	10	8	9.4	\bullet sch. $13\frac{1}{4}-14\frac{1}{2}$, $15-16\frac{1}{4}$, $22\frac{1}{2}$	
10	15.4	19.4	15.8	16.9	2.8	712.0	711.4	709.9	98	77	87	S	0	SE	0	SE	0	10	10	10	3.5	\bullet sch. fr., $\bullet 13\frac{1}{4}-14\frac{1}{2}$	
11	14.0	19.1	16.4	16.5	2.5	707.8	706.7	706.1	96	72	94	SE	0	NE	0	W	0	10	9	10	18.4	$\bullet 1\frac{1}{4}-3\frac{1}{4}$, $8\frac{1}{2}-9\frac{1}{4}$ m.U., $21\frac{1}{4}-23\frac{1}{4}$	
12	14.4	17.2	14.4	15.3	1.5	704.4	705.8	710.0	98	78	76	W	0	W	4	W	3	10	10	3	2.5	$\bullet 2-8\frac{1}{4}$, $10\frac{1}{4}-11$	
13	13.8	17.5	13.2	14.8	1.1	712.3	712.0	711.5	90	68	94	SW	0	W	0	S	0	10	8	2			
14	14.7	20.0	14.4	16.4	2.9	710.4	710.1	712.1	85	50	79	SW	2	W	5	W	0	10	5	9	0.1	\bullet sch. $20\frac{1}{4}$	
15	12.1	12.8	11.6	12.2	-1.2	713.0	713.3	715.4	90	92	85	SW	0	E	0	NE	0	6	10	9	0.6	\bullet sch. $5\frac{1}{4}-6$, $12\frac{1}{4}-13\frac{1}{4}$, 16	
16	9.7	15.7	9.9	11.8	-1.4	715.4	715.2	715.4	96	55	84	S	0	NE	0	N	0	8	4	0			$\equiv n-7\frac{1}{2}$
17	7.6	14.8	12.2	11.4	-1.6	714.5	713.5	712.7	92	70	93	S	0	W	0	SE	0	8	10	2	0.0	\bullet tr. 14	
18	8.8	21.1	16.4	15.5	2.5	712.3	711.5	711.6	97	63	92	S	0	W	0	W	0	3	2	10			$\equiv n-7\frac{1}{2}$
19	13.9	21.9	17.8	17.9	5.1	710.1	708.8	708.1	89	62	85	S	0	W	0	SW	0	9	4	10	6.3	\bullet tr. $23\frac{1}{2}$ [23 $\frac{1}{2}$ -24	
20	12.7	13.4	11.2	12.4	-0.2	708.5	708.8	709.7	95	82	69	WSW	3	W	0	SW	0	10	10	8	9.5	$\bullet 5-10$, \bullet sch. $16-16\frac{1}{4}$, $18\frac{1}{4}$	
21	8.7	13.0	10.7	10.8	-1.7	711.1	711.7	713.8	85	53	71	SW	3	W	4	SW	3	3	10	10	0.4	$\bullet 0\frac{1}{2}-1\frac{1}{4}$, $1\frac{1}{2}-3\frac{1}{4}$, $5\frac{1}{2}-6\frac{1}{4}$	
22	10.2	15.6	12.0	12.6	0.3	715.7	716.5	716.8	78	48	79	SW	0	SW	3	W	0	10	7	10	1.7	\bullet tr. seit $30\frac{1}{4}$, $\bullet 22\frac{1}{2}-23\frac{1}{4}$	
23	11.1	14.2	14.4	13.2	1.1	716.7	716.8	716.4	97	93	100	S	0	S	0	E	0	10	10	10	3.1	\bullet sch. fr., $\bullet 6\frac{1}{4}-7\frac{1}{2}$	
24	12.9	16.4	12.0	13.8	1.8	714.9	714.4	713.8	92	77	90	NE	0	NE	0	W	0	9	8	0	0.1		
25	11.6	15.5	11.7	12.9	1.1	712.8	712.2	711.5	92	87	77	SE	0	W	0	NW	0	10	10	10	3.2	\bullet sch. n-n	
26	9.4	14.2	9.2	10.9	-0.7	710.7	709.1	708.9	91	47	81	S	0	SW	1	W	0	8	2	10	0.1	\bullet sch. $5\frac{1}{4}-5\frac{1}{4}$, 23	
27	7.4	12.6	8.2	9.4	-2.1	709.0	709.4	710.8	89	65	89	SE	0	NE	0	NE	0	8	7	0			
28	7.6	14.4	10.0	10.7	-0.6	712.6	712.7	713.2	89	71	90	SE	0	NE	1	NE	0	0	8	9	0.7		
29	8.4	12.4	9.6	10.1	-1.0	711.7	711.8	713.2	92	83	93	NW	0	W	1	W	0	10	10	2	3.1	$\bullet 1\frac{1}{2}-2$, $15\frac{1}{4}-17\frac{1}{2}$, $\equiv n-9$	
30	7.2	14.1	9.4	10.2	-0.7	713.7	713.9	714.9	92	63	90	S	0	SW	0	SE	0	8	4	0			$\equiv n (29./30.)$
Mittel	12.0	17.6	13.7	14.4	-	712.9	712.7	712.0	92	67	87							7.7	6.7	5.6	Summe	71.0	

$\lambda = 6^{\circ} 57', \beta = 47^{\circ} 0'$
 $H_b = 487.3^m, G = 0.06 \text{ mm.}$

Neuchâtel.

September 1930.
Observatorium.

Tag	Lufttemperatur					Luftdruck			Relative Feuchtigkeit			Windrichtung und Stärke			Bewölkung			Wiederschlag	Witterung				
	7 ³⁰	13 ³⁰	21 ³⁰	Mittel	Abw. vom Normalst.	7 ³⁰	13 ³⁰	21 ³⁰	7 ³⁰	13 ³⁰	21 ³⁰	7 ³⁰	13 ³⁰	21 ³⁰	7 ³⁰	13 ³⁰	21 ³⁰						
1	16.0	27.8	21.2	21.5	5.2	723.9	723.8	724.1	95	59	76	NE	1	SW	1	N	0	2	3	3			Δ fr.
2	18.2	26.0	17.7	20.6	4.4	725.4	725.4	725.9	84	64	74	E	1	E	1	NE	1	10	6	3			
3	13.8	22.1	17.8	17.9	1.8	726.2	726.2	725.3	89	67	71	NE	1	SE	1	NE	1	7	4	2			
4	12.5	23.8	17.6	18.0	2.0	725.0	723.4	722.9	94	61	64	NE	1	SE	1	W	0	5	3	0			Δ fr.
5	15.2	22.0	17.5	17.6	1.7	722.4	721.9	721.8	90	67	89	NE	1	S	0	N	1	4	8	3	1.8		\bullet tr. $13\frac{1}{2}$, \bullet sch. $13\frac{1}{4}$, Δ fr.
6	15.8	27.3	17.4	20.2	4.4	722.4	721.4	720.7	100	58	98	NE	0	S	1	N	1	10	6	9	13.8		$\bullet 15\frac{1}{4}-19$, $21-n$ m.U., $\equiv n-8$, $^*)$
7	18.3	19.1	15.6	17.7	2.1	721.0	721.3	720.4	73	68	81	W	1	W	2	NW	1	9	9	9	4.9		\bullet tr. a, abds., $\bullet n (7./8.)$
8	14.8	22.2	16.5	17.8	2.3	719.6	719.2	719.3	86	62	82	W	1	W	1	N	1	8	7	9	0.0		\bullet sch. 8
9	14.9	17.8	16.5	16.4	1.0	718.1	718.3	718.7	93	90	97	NE	0	W	2	N	1	6	9	5	4.0		$\bullet 12\frac{1}{4}-15$ m.U., n
10	15.8	20.3	17.4	17.8	2.6	719.4	718.8	716.1	98	81	85	NW	0	SW	1	NW	1	8	9	9	13.0		$\bullet n (10./11.)$
11	14.3	18.8	16.7	16.6	1.5	714.5	713.6	713.0	98	83	98	NE	1	SE	1	SE	0	9	9	10	11.0		$\bullet 20\frac{1}{2}-n$
12	14.6	17.2	14.5	15.4	0.4	711.3	713.6	717.9	94	73	77	W	1	W	2	W	1	10	9	6	14.8		$\bullet n-11$ m.U.
13	14.5	18.5	14.9	16.0	1.1	719.6	719.5	719.1	81	75	88	NW	1	SW	1	NE	1	10	9	7	0.0		
14	14.8	21.2	15.2	17.1	2.4	718.1	717.8	720.0	91	82	67	SW	2	SW	2	NW	1	10	4	8	1.3		\bullet tr. n, $19\frac{1}{2}$, $\bullet n (14./15.)$
15	12.9	15.0	12.6	13.5	-1.1	720.8	721.1	723.2	87	64	71	NW	1	NW	2	N	1	8	7	10			
16	11.4	19.7	11.0	14.0	-0.4	723.2	723.2	723.4	66	54	71	N	1	SE	1	N	1	7	4	0			
17	9.2	15.6	11.8	12.2	-2.1	722.2	721.1	720.1	88	67	94	NW	1	SW	1	N	1	8	9	0			
18	11.7	22.4	18.0	17.4	3.3	719.5	718.5	719.2	99	60	72	NE	0	W	1	SW	0	10	5	10	0.0		$\equiv n-8\frac{1}{4}$
19	14.5	23.4	19.7	19.2	5.2	717.2	715.2	714.7	95	61	65	NE	0	SW	1	SW	1	8	6	10	1.6		\bullet tr. n (18./19.)
20	13.5	13.2	11.0	12.6	-1.2	716.1	716.2	717.8	93	91	83	SW	1	SW	1	SW	1	10	9	10	4.0		$\bullet n-13\frac{1}{4}$, $21-22$ m.U.
21	10.6	12.7	11.2	11.5	-2.2	718.6	719.6	721.7	74	73	76	W	1	W	2	W	1	8	8	10	1.1		$\bullet n-13\frac{1}{2}$ m.U.
22	11.2	15.8	13.8	13.6	0.1	723.7	724.2	725.2	76	62	61	W	1	SW	1	NW	1	9	7	10	1.2		\bullet tr. $21\frac{1}{2}$
23	11.6	15.8	14.5	14.0	0.7	724.8	724.5	724.8	97	87	97	W	1	S	1	NE	0	10	10	10	1.6		$\bullet 6-9\frac{1}{4}$
24	14.1	20.2	12.6	15.6	2.4	722.6	721.9	721.4	91	68	95	SE	1	SE	1	NE	0	10	6	0	0.6		
25	12.8	17.4	13.0	14.4	1.4	720.6	719.6	718.8	100	71	67	E	0	NW	2	W	1	10	6	10	0.5		$\bullet 7-10\frac{1}{2}$ m.U.
26	9.7	15.0	10.2	11.6	-1.3	717.7	715.9	716.1	84	58	74	NW	1	SW	1	NW	1	7	8	10	0.2		
27	8.6	16.6	11.2	12.1	-0.6	716.5	717.1	718.5	89	65	73	N	0	SE	1	E	1</						

September 1930.
Beobachter: Frl. H. Nager.

Aldorf.

$\lambda = 8^\circ 39'$, $\beta = 46^\circ 53'$,
 $H_b = 456.3^m$, $G = 0.05 \frac{m}{m}$.

Tag	Lufttemperatur					Luftdruck			Relative Feuchtigk.			Windrichtung und Stärke			Bewölkung			Witterung			
	7 ^h	13 ^h	21 ^h	Mittel	Abweich. von Normalst.	7 ^h	13 ^h	21 ^h	7 ^h	13 ^h	21 ^h	7 ^h	13 ^h	21 ^h	7 ^h	13 ^h	21 ^h				
1	16.3	28.3	17.3	20.0	4.0	726.5	725.5	727.2	94	43	93	NW	o	NW	o	o	3	10	16.3	K ₁ , ● abds.	
2	18.4	19.3	17.7	18.5	2.6	727.6	728.9	728.1	96	79	95	S	o	NW	o	NW	o	10	10		
3	16.5	20.9	15.7	17.7	1.9	728.7	728.3	728.8	76	68	97	S	o	NW	o	NE	o	8	2	o	
4	11.5	24.0	15.7	17.1	1.5	726.8	726.3	725.7	95	55	91	SW	o	W	o	NE	o	2	2	o	
5	13.2	20.3	15.9	16.5	1.0	725.3	724.6	724.7	95	52	95	SW	o	NW	o	SW	o	4	5	6	
6	15.3	25.7	18.5	19.8	4.4	724.9	724.1	723.5	89	33	75	SW	o	N	o	W	o	o	5	6	
7	16.7	20.4	15.6	17.6	2.3	723.1	723.0	722.9	98	74	96	W	o	N	o	E	o	10	10	10	
8	14.7	20.3	15.1	16.7	1.5	721.9	722.0	722.7	98	67	91	E	o	NW	o	NW	o	10	4	4	
9	15.1	21.7	16.7	17.8	2.8	720.7	719.6	721.9	93	55	95	N	o	E	o	NW	o	10	8	10	
10	15.7	21.0	14.8	17.2	2.3	722.2	720.8	720.8	99	63	95	E	o	NW	o	NE	o	10	9	1	
11	14.5	19.3	16.2	16.7	1.9	717.2	715.6	715.3	94	94	90	N	o	NW	o	SE	o	10	10	9	
12	14.8	21.9	16.2	17.6	2.9	714.7	715.2	719.9	92	35	86	S	o	E	o	NW	o	10	8	8	
13	14.1	19.3	13.8	15.7	1.2	722.8	721.9	722.2	94	53	95	E	o	NW	o	E	o	10	9	o	
14	13.4	19.3	14.8	15.8	1.4	720.3	720.5	722.1	88	45	99	N	o	NW	o	NW	o	10	7	10	
15	13.3	15.2	12.0	13.5	-0.8	723.2	723.7	726.2	99	64	95	NW	o	NW	o	NW	o	10	9	10	
16	11.6	16.4	10.3	12.8	-1.4	726.2	725.1	726.3	95	48	92	NE	o	NW	o	NE	o	10	3	o	
17	11.9	17.3	13.0	14.1	0.1	724.7	723.4	722.9	92	47	97	NW	o	NW	o	NW	o	7	8	7	
18	10.7	23.0	15.3	16.3	2.4	722.1	720.8	722.1	99	49	91	E	o	NW	o	E	o	2	1	o	
19	14.3	23.7	21.3	19.8	6.1	720.3	718.4	718.4	97	31	23	E	o	NW	o	SE	o	2-3	7	7	
20	16.9	15.3	14.2	15.5	1.9	717.6	718.9	720.7	64	85	97	NW	o	N	o	W	o	10	10	10	
21	10.8	15.3	11.7	12.6	-0.8	720.8	721.3	724.1	89	42	75	SE	o	NW	o	SE	o	9	7	10	
22	10.9	15.3	12.1	12.8	-0.5	725.7	726.6	728.3	85	44	86	N	o	NW	o	NW	o	9	9	10	
23	11.3	13.2	14.0	12.8	-0.3	726.8	727.1	727.2	100	95	99	E	o	NW	o	NW	o	10	10	10	
24	13.5	17.7	14.0	15.1	2.1	725.4	724.5	724.2	99	64	95	E	o	NW	o	E	o	3	2	o	
25	12.3	16.7	12.0	13.7	0.9	723.0	721.8	721.4	91	84	92	S	o	SE	o	NW	o	7	10	10	
26	9.7	14.8	11.0	11.8	-0.9	720.8	718.2	718.7	95	46	61	E	o	W	o	NW	o	10	10	10	
27	9.4	12.9	7.8	10.0	-2.5	719.5	719.5	721.5	98	54	94	N	o	N	o	NE	o	10	9	4	
28	8.8	14.3	11.3	11.5	-0.9	723.1	723.1	723.7	99	55	95	W	o	NW	o	NW	o	10	3	7	
29	8.5	14.3	12.0	11.6	-0.7	721.8	721.1	724.5	95	75	88	S	o	NW	o	NW	o	3	10	10	
30	7.9	15.9	10.3	11.4	-0.7	724.3	723.5	725.7	98	51	95	SE	o	N	o	SE	o	4	8	o	
Mittel	13.1	18.7	14.2	15.3	—	722.9	722.4	723.4	93	58	89							7.5	6.9	6.4	
																					Summe 169.8

September 1930.
Observatorium.

Genf.

$\lambda = 6^\circ 9'$, $\beta = 46^\circ 12'$,
 $H_b = 405.0^m$, $G = 0.02 \frac{m}{m}$.

1	16.6	25.4	21.5	21.3	4.7	731.2	730.8	731.7	87	63	79	NNE	o	NNE	o	NNE	o	o	1	o		
2	16.8	23.8	20.6	20.4	4.0	732.6	732.1	732.3	91	71	80	SW	o	NNE	o	NNE	o	o	o	o	8	
3	16.8	26.4	19.5	19.1	2.7	733.3	733.0	732.4	84	81	83	NNE	o	NNE	o	NNE	o	o	o	o	8	
4	14.0	21.2	18.4	18.0	1.8	731.9	730.6	729.6	91	69	78	SE	o	NNE	o	NNE	o	1	1	1	o	
5	15.2	23.8	20.7	20.1	4.0	729.9	728.8	728.7	89	66	86	NNE	o	NNE	o	NNE	o	o	o	3		
6	16.7	29.2	23.8	23.4	7.4	729.8	728.4	728.8	90	40	72	NW	o	SW	o	SW	o	1	o	8	0.0 ●° n (6./7.)	
7	19.3	21.8	16.4	18.5	2.6	729.0	729.9	728.2	72	58	89	SW	o	W	o	W	o	9	9	9	4.4 ● 18-n	
8	16.4	23.3	19.2	19.5	3.7	727.4	726.5	726.1	89	59	74	NE	o	SW	o	SW	o	1	8	9		
9	16.6	22.0	19.4	19.3	3.7	726.0	725.7	726.1	89	74	88	SE	o	W	o	NE	o	3	8	9	1.7 ● 12-p m.U., n	
10	16.2	21.6	17.3	18.1	2.6	726.5	726.2	723.3	92	74	90	NNE	o	E	o	SE	o	8	3	10	16.4 ● a, p zeitw., n, K ₁ abds.	
11	15.2	18.8	17.6	17.3	1.9	722.4	720.5	720.2	98	75	90	SW	o	NNE	o	SW	o	10	9	10	23.7 ● a zeitw., 21 ¹ / ₄ -n	
12	14.6	16.6	15.5	15.6	0.3	719.4	722.3	726.0	98	83	83	SW	o	SW	o	SW	o	10	10	9	6.1 ● a, n	
13	14.3	21.9	15.4	16.7	1.6	727.4	726.9	726.4	92	60	81	SE	o	SW	o	SW	o	1	8	9	0.2 ● n (13./14.)	
14	16.2	21.1	15.4	17.0	2.0	725.9	725.9	727.7	81	57	81	SW	o	SW	o	SW	o	1	3	5	9	0.6 ● n (14./15.)
15	13.2	16.6	13.7	14.3	-0.5	728.3	728.5	730.1	90	67	81	SE	o	NNE	o	NNE	o	1	9	7	3	0.0 ●° a
16	10.4	17.2	12.5	13.2	-1.6	730.5	730.4	730.4	86	61	83	W	o	NNE	o	NNE	o	o	1	o		
17	8.9	20.0	13.5	14.0	-0.6	729.9	728.1	727.5	84	61	88	SE	o	SW	o	SW	o	9	2	o		
18	11.0	24.9	19.2	18.6	4.2	727.1	726.1	726.2	93	49	79	SW	o	SW	o	SW	o	1	6	10		
19	15.4	24.4	20.4	20.1	5.9	724.8	723.0	722.7	86	54	75	E	o	SSW	o	SW	o	1	7	10	12.7 ● 21 ¹ / ₄ -n	
20	13.4	15.2	12.0	13.2	-1.0	724.3	724.2	725.5	95	89	93	SE	o	SW	o	SW	o	10	10	10	24.7 ● n-n m.U., K ₁ 18 ¹ / ₄ , 16 ¹ / ₄	
21	11.4	13.4	10.9	11.6	-1.3	727.2	728.3	730.4	67	86	88	SSW	o	SSE	o	SW	o	1	5	8	4	4.8 ● n-n zeitw., 14
22	10.2	18.0	14.2	14.2	0.3	732.0	732.0	732.8	96	60	84	SE	o	S	o	SSW	o	1	7	1	10	0.0 ●° n (22./23.)
23	13.0	19.6	14.5	15.4	1.7	732.7	731.7	730.8	84	70	89	SW	o	NW	o	NNE	o	1	9	5	1	
24	15.3	18.2	14.6	15.7	2.2	729.8	729.3	729.0	88	70	89	NNE	o	NNE	o	NW	o	9	9	o	o	0.0 ●° n (24./25.)
25	12.7	20.6	14.5	15.6	2.2	728.2	726.8	726.3	94	70	78	W	o	SW	o	SW	o	1	9	5	10	
26	10.6	17.8	10.4	12.3	-0.9	725.2	723.1	723.9	83	49	83	SW	o	W	o	S	o	1	7	3	1	
27	8.9	13.6	11.2	11.2	-1.8	724.1	724.2	725.7	85	58	75	SSW	o	NNE	o	SSW	o	1	2	1	7	
28	9.0	14.8	13.2	12.5	-0.3	727.7	727.4	727.9	86	70	87	SSW	o	NNE	o	W	o	9	3	9	0.7 ● n (28./29.)	
29	12.4	11.6	10.2	11.1	-1.6	726.1	727.1	728.6	94	100	85	SW	o	NNE	o	NW	o	10	10	o	o	39.0 ● a, p m.U., T 12 ¹ / ₄
30	8.2	14.4	11.3	11.3	-1.3	729.0	728.9	730.2	97	76	87	W	o	NNE	o	NW	o	9	8	o		
Mittel	13.6	19.7	15.9	16.3	—	728.0	727.5	727.9	89	67	83							5.5	5.0	5.6	Summe 135.0	

λ = 8° 33', β = 47° 23'.
Hb = 493.2m, G = 0.08 mm.

Zürich.

September 1930.
Meteorol. Zentralanstalt.

Table with columns: Tag, Lufttemperatur (7, 13, 21, Mittel, Abweich. vom Normal), Luftdruck (7, 13, 21), Relative Feuchtigkeit (7, 13, 21), Windrichtung und Stärke (7, 13, 21), Bewölkung (7, 13, 21), Niederschlag, Witterung. Rows 1-30 and Mittel.

λ = 8° 30', β = 47° 3'.
Hb = 1787.3m, G = -0.11 mm.

Rigi-Kulm.

September 1930.
Beobachter: J. Wiget.

Table with columns: Tag, Lufttemperatur (7, 13, 21, Mittel, Abweich. vom Normal), Luftdruck (7, 13, 21), Relative Feuchtigkeit (7, 13, 21), Windrichtung und Stärke (7, 13, 21), Bewölkung (7, 13, 21), Niederschlag, Witterung. Rows 1-30 and Mittel.

September 1930.
Beobachter: G. Krättli.

Bevers.

$\lambda = 9^{\circ} 53'$, $\beta = 46^{\circ} 33'$,
 $H_b = \alpha. 1710^m$, $G = -0.12 \text{ mm}$.

Tag	Lufttemperatur					Luftdruck			Relative Feuchtigkeit			Windrichtung und Stärke			Bewölkung			Niederschlag	Witterung				
	7 ⁰⁰	13 ⁰⁰	21 ⁰⁰	Mittel	Abweich. von Normalst.	7 ⁰⁰	13 ⁰⁰	21 ⁰⁰	7 ⁰⁰	13 ⁰⁰	21 ⁰⁰	7 ⁰⁰	13 ⁰⁰	21 ⁰⁰	7 ⁰⁰	13 ⁰⁰	21 ⁰⁰						
1	3.9	20.0	12.5	12.1	2.9	627.3	626.5	627.5	89	30	73	SW	o	NW	1	W	2	1	1	8*	0.3	< 21, ● 21 ^{1/4} , Δ fr.	
2	8.0	19.2	7.5	11.6	2.5	627.6	627.3	628.3	88	41	81	SW	o	W	1	E	0	3	3	0			
3	1.8	18.8	6.5	9.0	0.0	628.1	627.5	628.4	90	29	71	S	o	W	1	W	0	0	1	0		Δ fr.	
4	1.7	20.3	6.5	9.5	0.6	627.3	625.8	626.9	82	31	71	S	o	NW	1	W	0	4	3	1		Δ fr.	
5	3.7	19.7	10.0	11.1	2.3	626.5	625.4	627.2	84	52	84	SW	o	S	2	SE	0	1	5	7			
6	5.0	20.5	13.1	12.9	4.2	626.7	625.4	626.6	89	44	67	SE	o	S	1	W	1	1	3	7	0.0	< 19 ^{1/4} , T ● 20	
7	11.2	15.2	7.9	11.4	2.9	623.8	622.3	622.2	84	64	93	SW	o	SW	1	SW	0	4	10	5*	5.0	● 9 ^{1/4} , p-n zeitw.	
8	8.0	15.5	4.7	9.4	1.0	620.7	621.1	622.7	90	48	81	S	o	NW	2	W	0	7*	4	1	0.0	● n-7 ^{1/4}	
9	3.0	16.8	11.2	10.3	2.0	622.0	621.6	622.5	86	54	87	SW	o	SW	2	SW	0	9	4	10	3.0	● 19 ^{1/4} -n zeitw.	
10	9.6	14.8	9.7	11.4	3.2	622.3	622.2	622.3	86	69	89	SW	o	NW	1	NW	0	9	9	9	2.3	● 11 ^{1/4} -12 ^{1/4} , seit 15 ^{1/4} zeitw.	
11	9.0	13.4	8.5	10.3	2.2	620.7	619.6	620.0	89	64	89	SW	o	SW	0	W	0	7	10*	10*	16.0	● 7 ^{1/4} , 7 ^{1/4} , 9 ^{1/4} -10, p-n ztw.	
12	8.0	11.3	6.0	8.4	0.5	618.4	618.7	622.0	90	68	90	NW	o	W	0	NW	0	10*	9	7	13.0	● n-a	
13	3.0	14.0	6.5	7.8	0.0	622.7	622.2	623.4	90	54	87	W	o	SW	1	SW	1	4	8	3			
14	6.0	12.3	6.4	8.2	0.5	622.3	621.6	621.8	86	64	89	NE	o	SW	1	W	0	5	8	1	0.8		
15	6.0	9.2	7.1	7.4	-0.2	621.1	621.2	622.2	84	65	71	N	o	W	1	W	1	10	10	9	2.4	● seit 6 ^{1/4} , 8 ^{1/4} -9 ^{1/4} , 19 ^{1/4}	
16	6.4	9.7	1.7	5.9	-1.5	622.3	622.2	624.3	62	53	79	NW	1	W	3	SE	0	9	2	1			
17	-1.0	14.7	7.9	7.2	-0.1	623.4	621.7	623.2	84	44	86	W	o	W	2	NW	0	6	9	10	0.0	● 15 ^{1/4} -20 ^{1/4} zeitw., Δ fr.	
18	4.1	16.4	7.3	9.3	2.1	622.7	622.0	623.7	89	51	91	SE	o	S	2	SW	0	5	1	1			
19	7.6	14.4	11.0	11.0	4.0	623.3	622.8	623.2	89	62	73	W	o	W	1	W	1	6	2	4			
20	10.6	9.0	6.1	8.6	1.7	620.5	619.6	618.3	76	80	91	SW	1	W	0	W	0	9	10*	10*	13.0	● 10 ^{1/4} -23 zeitw.	
21	2.8	7.2	4.3	4.8	-1.9	617.7	619.0	621.3	91	48	76	N	o	SE	1	NE	0	10*	6	10	0.0	● J, Δ 9 ^{1/4}	
22	4.0	8.3	2.7	5.0	-1.6	622.1	623.6	625.4	78	55	81	N	o	NE	0	W	0	9	9	2	6.0		
23	3.1	8.6	6.9	6.2	-0.2	624.3	624.3	625.5	95	93	90	NW	1	NE	1	NW	0	10*	9*	4	6.5	● n-n zeitw.	
24	3.1	13.2	2.5	6.3	0.0	625.3	623.2	623.7	92	48	91	NE	o	NE	1	NW	0	10	0	0			
25	-0.2	12.6	6.8	6.4	0.3	622.7	621.1	620.2	88	56	90	SW	o	NE	0	W	1	9	10	10*	9.3	● 20 ^{1/4} -n	
26	1.0	7.2	0.8	3.0	-3.0	618.3	616.7	616.6	89	64	95	NW	o	NE	1	N	1	10*	7	10*	9.8	* n-8 ^{1/4} , 20-n, ● 10 ^{1/4} -11, 18 ^{1/4} -n	
27	1.8	7.2	-0.5	2.8	-3.0	617.3	618.1	620.8	92	65	90	W	o	SW	1	W	0	5	8	0	0.1	● 15	
28	3.4	7.6	3.3	4.8	-0.8	621.5	622.1	623.3	85	72	93	S	o	S	0	E	0	9	9	9	1.5	● a zeitw.	
29	1.0	10.5	7.3	6.3	0.8	623.4	621.7	621.6	94	70	86	NW	o	W	0	SE	0	9	9	10*	16.0	● tr. a, 14 ^{1/4} , 16 ^{1/4} , ● abds.-n	
30	1.8	11.1	2.2	5.0	-0.3	622.7	621.8	623.7	94	69	84	NE	o	SW	0	NE	0	10	9	6			
Mittel	4.6	13.3	6.5	8.1	-	622.8	622.3	623.3	87	57	84							6.7	6.3	5.5	Summe	105.0	

September 1930.
Beobachter: Kapuzinerkloster.

Sitten.

$\lambda = 7^{\circ} 21'$, $\beta = 46^{\circ} 14'$,
 $H_b = 548.6^m$, $G = 0.00 \text{ mm}$.

Tag	Lufttemperatur					Luftdruck			Relative Feuchtigkeit			Windrichtung und Stärke			Bewölkung			Niederschlag	Witterung				
	7 ⁰⁰	13 ⁰⁰	21 ⁰⁰	Mittel	Abweich. von Normalst.	7 ⁰⁰	13 ⁰⁰	21 ⁰⁰	7 ⁰⁰	13 ⁰⁰	21 ⁰⁰	7 ⁰⁰	13 ⁰⁰	21 ⁰⁰	7 ⁰⁰	13 ⁰⁰	21 ⁰⁰						
1	16.6	26.4	20.2	21.1	4.5	719.0	717.7	718.7	80	48	56	NE	o	W	0-1	W	0	0	0	0			
2	16.7	26.4	19.9	21.0	4.5	720.1	718.4	719.1	72	50	65	NW	o	SW	1-2	SW	0	0	1	0			
3	15.3	23.9	18.8	19.3	2.9	720.8	719.1	719.7	80	55	75	N	o	SW	0-1	W	0	0	0	0			
4	14.2	24.8	17.8	18.9	2.6	719.6	716.9	717.5	77	45	73	N	o	NW	0	W	0	0	0	0			
5	15.7	26.3	20.5	20.8	4.7	718.0	715.9	716.8	72	37	65	N	o	W	1	W	0	3	4	3			
6	16.5	28.9	21.1	21.5	5.5	718.3	715.8	715.6	73	42	57	W	o	W	0-1	W	0	0	2	9	0.0	● n (6/7-)	
7	17.8	23.1	15.3	18.7	2.8	715.7	714.6	715.4	91	47	96	N	o	SW	1-2	SW	0	8	8	10*	5.7	● 19-n	
8	15.2	21.5	17.5	18.1	2.4	714.6	713.0	714.1	90	51	66	W	o	SW	0-1	W	0	10	8	7			
9	15.4	24.0	17.0	18.8	3.2	713.7	711.7	714.2	73	41	90	W	o	W	0-1	W	0	2	9	10*	9.0	● 18-n m.U.	
10	15.4	16.5	15.0	15.6	0.1	715.1	715.1	712.7	95	93	85	W	o	W	0	NW	0	10*	10	9	4.5	● n-15 m.U.	
11	14.5	22.3	15.2	17.3	1.9	710.0	708.3	708.8	87	52	89	W	o	NW	0	NW	0	10	7	10*	12.5	● 17 ^{1/4} -n	
12	14.4	18.5	14.4	15.8	0.6	707.2	709.3	713.1	83	63	70	NE	o	NE	0-1	NE	0	10	10	9	4.0	● 8 ^{1/4} -10 ^{1/4}	
13	13.7	20.3	14.5	16.2	1.1	714.9	714.1	714.8	86	48	75	NE	o	W	0	W	0	10	8	2	0.0		
14	13.4	20.6	15.6	16.5	1.5	713.4	712.3	713.9	89	52	65	W	o	NW	0	W	0	10*	6	9	0.3	● sch. 7 ^{1/4} -7 ^{1/4} , 20	
15	12.9	17.6	13.2	14.6	-0.2	714.9	714.0	716.4	91	47	65	W	o	W	0-1	W	0	10	3	3			
16	10.9	17.6	11.2	13.2	-1.5	717.4	715.9	717.5	78	44	72	NE	o	W	0-1	W	0	0	0	0		Δ fr.	
17	8.7	19.3	13.8	13.9	-0.6	717.6	714.8	715.1	84	44	70	NE	o	NE	0-1	NW	0-1	2	7	3		Δ fr.	
18	10.8	22.0	17.0	16.6	2.2	715.2	713.2	714.1	88	43	68	NE	o	NW	0-1	NW	0	2	1	7		Δ fr.	
19	14.1	25.2	19.3	19.5	5.3	713.6	711.3	711.9	74	34	49	N	o	NE	0	NE	0	0	2	10	0.4		
20	15.2	15.2	11.6	14.0	0.0	710.1	711.1	712.1	90	82	78	W	0-1	W	0	W	0	10*	10	3	8.1	● 7-12, 16 ^{1/4} -19 ^{1/4}	
21	9.4	16.2	12.0	12.5	-1.4	713.5	713.7	716.3	72	33	58	NE	o	SW	1-2	-	0	8	6	10			
22	10.1	17.6	13.6	13.8	0.1	718.4	718.0	719.9	83	40	60	NE	o	SW	0-1	NE	0	9	5	10			
23	12.7	19.2	14.1	15.3	1.7	718.9	717.9	718.2	76	66	95	W	o	N	0	N	0	10	10	1	0.7	● (?)	
24	14.2	21.3	14.0	16.5	3.1	717.2	716.6	716.3	92	44	82	N	o	W	0	N	0	10	1	0			
25	11.3	19.9	14.5	15.2	1.9	716.1	713.4	712.4	98	55	75	E	o	SW	1-2	SW	0	7	7	10	1.9	● 13 ^{1/4} -15	
26	11.8	14.2	10.4	12.1	-1.0	711.7	709.9	710.3	81	47	70	N	o	W	1	W	0	9	8	5		Δ 1 ^{1/4}	
27	8.7	15.2	9.9	11.3	-1.7	711.3	710.7	713.2	86	45	76	NE	o	SW	1	N	0	10	4	1			
28	8.8	16.6	12.1	12.5	-0.3	715.3	713.8	715.9	90	48	74	NE	o	SW	1-2	N	0	5	1	3			
29	9.3	14.9	10.6	11.6	-1.1	714.5	713.3	717.1	76	67	97	N	o	W	0-1	W	0	1	10	10*	9.3	● 15-n, Δ fr.	
30	8.1	15.7	11.4	11.7	-0.8	716.4	716.3	717.2	92	52	82	N	o	NW	0	NW	0	7	9	5			
31																							
Mittel	13.1	20.3	15.0	16.																			

λ = 8° 57', β = 46° 0'.
H_b = 276.2 m, G = 0.03 mm.

Lugano.

September 1930.
Beobachter: G. Malatesta.

Tag	Lufttemperatur					Luftdruck			Relative Feuchtigkeit			Windrichtung und Stärke			Bewölkung			Niederschlag	Witterung			
	7 ³⁰	13 ³⁰	21 ³⁰	Mittel	Abw. d. d. Normal	7 ³⁰	13 ³⁰	21 ³⁰	7 ³⁰	13 ³⁰	21 ³⁰	7 ³⁰	13 ³⁰	21 ³⁰	7 ³⁰	13 ³⁰	21 ³⁰					
1	17.2	27.2	20.4	21.6	2.5	740.4	740.1	740.2	83	48	78	N	o	S	o	N	o	o	o			
2	17.2	27.8	20.6	21.8	2.8	741.5	740.7	740.9	79	49	82	N	o	SSE	o	N	o	o	o			
3	20.4	26.8	20.2	22.5	3.6	742.7	742.0	741.1	74	52	81	N	o	SE	o	N	o	5	1	o		
4	19.4	27.0	20.8	22.4	3.6	741.5	740.3	740.5	74	52	74	NNW	o	S	o	N	o	o	1	o		
5	21.0	26.2	20.0	22.4	3.7	741.0	740.6	741.0	84	55	88	N	o	S	o	N	1	10	3	o	3.1 ● 18 ^{1/4} -19	
6	17.4	27.4	20.2	21.7	3.1	740.6	739.5	739.9	87	47	75	N	o	S	o	S	o	o	o	7	1.5 ● 3-4 m.U., < abds.	
7	18.6	21.0	18.4	19.3	0.8	738.8	737.4	737.4	86	74	84	N	o	W	o	N	o	8	10	1	2.5 K ₁ , ● 3-4 1/2 m.U., 8-11 m.U.	
8	15.4	26.8	17.4	19.9	1.6	733.4	733.5	734.9	78	43	59	N	o	S	o	N	1	1	1	o	0.1 ● tr. 7 ^{3/4}	
9	17.2	22.0	16.6	18.6	0.4	737.1	737.1	735.6	82	63	80	NW	o	W	o	N	o	10	6	8	19.5 ● sch. 7-7 1/4, ● 14 1/2-19	
10	17.4	22.4	16.4	18.7	0.6	736.9	736.4	736.5	88	68	86	N	o	S	o	N	o	10	10	1	07.5 K ₂ , ● n-n	
11	16.6	17.6	16.0	16.7	-1.2	735.4	734.6	732.5	84	85	89	N	o	N	o	NNE	1	10	10	10	4.0 ● 11 1/2-13 1/2, 14-15 zeitw.	
12	15.6	18.0	15.2	16.3	-1.5	731.2	734.5	736.1	87	84	67	N	o	S	o	N	1	10	9	8	14.0 K ₁ , ● n-n (14/15)	
13	12.8	21.2	15.4	16.5	-1.2	737.8	737.9	739.0	83	56	84	N	o	SW	o	N	o	o	7	6		
14	15.4	19.4	15.8	16.9	-0.7	737.6	737.5	736.9	78	68	83	N	o	E	o	N	o	10	10	3		
15	14.2	22.0	18.0	18.0	0.6	735.8	734.9	735.4	75	63	41	N	o	S	o	N	3	8	3	o		
16	18.2	25.0	15.4	19.5	2.2	736.0	735.8	737.2	28	21	29	N	3	N	3	N	3	o	o	o		
17	10.6	21.8	13.0	15.1	-2.0	738.7	737.6	738.5	68	44	86	N	o	S	o	N	o	10	5	o		
18	12.0	21.2	16.6	16.6	-0.4	738.7	738.3	739.3	82	54	78	WNW	1	S	1	N	o	7	1	7		
19	16.2	21.2	17.0	18.2	1.4	739.4	739.4	738.7	81	62	88	N	o	S	o	N	o	10	10	10		
20	16.6	16.2	14.4	15.7	-0.9	736.0	735.8	733.2	81	88	89	N	o	NNE	o	N	o	10	10	10		
21	11.4	23.4	12.8	15.9	-0.6	731.2	732.8	735.7	84	21	46	W	o	NW	1	N	o	1	o	o		
22	12.6	23.4	12.4	16.1	-0.2	738.1	738.4	739.5	44	23	49	N	o	NE	1	N	o	o	1	o		
23	11.2	21.0	14.2	15.5	-0.6	739.9	739.0	739.9	76	43	81	N	o	S	o	N	o	1	6	o		
24	11.4	20.4	14.6	15.5	-0.5	741.1	740.0	739.2	83	48	84	N	o	SW	1	N	o	o	6	10		
25	12.0	21.8	16.4	16.7	0.9	737.8	736.3	734.5	82	48	84	N	o	SSE	1	N	o	6	1	10		
26	12.0	19.8	14.6	15.5	-0.1	733.4	731.6	732.2	86	44	85	NW	1	ESE	1	N	1	10	6	2		
27	9.0	16.0	11.0	12.0	-3.4	733.5	734.8	737.8	87	54	88	WNW	o	E	1	N	o	o	5	10		
28	11.2	13.2	12.2	12.2	-3.0	739.0	739.6	740.3	91	76	88	W	o	W	1	N	o	10	10	10		
29	12.8	14.0	15.2	14.0	-1.0	740.4	739.2	737.3	84	83	88	N	o	N	1	S	3	10	10	10		
30	12.8	19.4	13.4	15.2	0.4	738.8	737.5	737.9	88	57	84	NW	o	ESE	o	N	o	3	4	4		
Mittel	14.9	21.7	16.1	17.6	-	737.8	737.4	737.6	79	56	77							5.5	4.9	4.2	Summe 225.3	

λ = 7° 35', β = 47° 33'.
H_b = 318 m, G = 0.13 mm.

Basel.

September 1930.
Astronom.-Meteorol. Anstalt.

1	16.6	22.3	19.6	19.5	-	737.9	738.2	739.3	34	80	83	ENE	1	NW	1	WNW	1	o	10	9	0.0 ● sch. 13 1/4-13 3/4, 13 3/4-14, [K ₁ 12 1/2, Δ fr.	
2	13.2	20.5	14.4	16.0	-	741.2	741.3	741.3	87	59	88	WNW	1	WSW	1	SW	1	10	8	3		
3	11.7	23.0	13.6	16.1	-	741.5	741.0	740.8	95	57	92	NW	o	W	1	SW	1	10	o	o		
4	10.8	23.1	14.4	16.1	-	740.2	738.6	737.8	96	52	95	ENE	1	NE	1	SW	1	8	2	o		
5	12.6	25.8	17.8	18.7	-	737.0	736.4	736.3	88	52	92	ESE	1	NW	1	SE	1	3	4	o		
6	15.7	18.5	17.8	17.3	-	736.3	736.6	735.4	88	91	96	SE	1	SE	1	SSW	o	3	10	10	25.1 ▲ 12 1/4-13, 14 1/4, K ₁ ● 12 1/2-13 1/2, ● 7 1/4-8	
7	17.4	18.0	15.0	16.8	-	735.5	735.7	735.1	85	71	82	W	1	WSW	1	SSW	1	10	10	10		
8	14.8	21.1	13.6	16.5	-	734.3	734.4	734.2	85	55	90	WSW	1	W	1	E	1	6	8	3		
9	13.8	20.7	15.6	16.7	-	732.7	732.5	732.7	91	69	88	ESE	1	WSW	1	E	1	10	10	1		
10	15.0	21.1	16.9	17.7	-	733.6	732.9	731.9	96	74	94	WSW	1	WNW	1	E	1	10	10	10		
11	15.2	20.5	16.4	17.4	-	729.9	728.6	727.7	96	72	96	ENE	o	N	1	WNW	1	10	10	10		
12	16.0	20.5	13.0	16.5	-	726.0	727.5	731.6	96	69	97	SSW	1	W	1	SE	1	10	9	4		
13	14.7	21.4	14.4	16.8	-	734.1	734.0	733.4	90	62	94	SSW	o	SW	1	SE	1	10	7	2		
14	13.8	20.8	15.6	16.7	-	732.7	732.7	734.3	97	51	74	SE	1	W	2	WSW	1	10	3	10		
15	14.1	15.8	12.3	14.1	-	735.2	736.0	737.9	80	71	85	WSW	1	WSW	1	WSW	1	8	10	9		
16	11.5	18.3	8.6	12.8	-	738.5	738.3	738.4	87	54	88	NW	o	W	1	SSW	1	10	2	o		
17	8.2	13.2	13.1	11.5	-	736.7	735.8	734.8	87	88	97	E	1	ESE	1	E	1	10	10	7		
18	12.1	25.8	16.4	18.1	-	733.5	732.8	733.6	94	56	87	SE	1	SW	1	SSW	1	3	6	10		
19	15.0	28.1	18.4	20.8	-	731.3	728.6	728.8	88	82	80	ESE	1	SSW	1	ENE	1	7	8	10		
20	12.6	16.0	12.4	13.7	-	730.8	730.4	731.6	93	72	71	WNW	1	SSW	1	SW	1	10	10	8		
21	10.6	14.8	12.8	12.7	-	732.9	733.2	735.3	75	71	73	SSW	1	WSW	1	WSW	1	4	8	8		
22	11.0	15.2	12.6	12.9	-	737.9	739.0	740.0	87	69	88	WSW	1	WSW	1	SW	1	10	10	10		
23	11.2	15.0	15.2	13.8	-	739.2	739.3	739.2	97	92	96	ENE	1	ENE	1	E	1	10	10	10		
24	13.6	20.8	13.1	15.8	-	738.2	736.8	736.0	88	62	94	E	1	ENE	1	ESE	1	1	3	o		
25	12.1	15.9	11.2	13.1	-	735.0	734.7	734.2	98	76	84	ENE	1	WSW	2	WSW	1	10	9	10		
26	10.2	12.0	9.2	10.5	-	732.9	731.5	731.6	94	80	88	E	1	WSW	1	SW	1	10	10	10		
27	6.9	14.8	7.8	9.8	-	731.9	732.4	733.9	96	57	94	SSW	o	W	1	SW	1	7	5	7		
28	8.8	15.6	9.4	11.3	-	735.7	735.7	735.9	92	71	99	NNE	1	W	1	ENE	1	10	1	2		
29	9.0	12.0	11.2	10.7	-	734.8	734.4	735.1	96	88	97	NNE	o	WNW	1	ESE	o	10	10	10		
30	8.0	17.0	8.6	11.2	-	736.2	736.1	737.9	96	64	93	ESE	1	W	1	SW	1	10	2	4		
Mittel	12.5	19.0	13.7	15.1	-	735.1	734.9	735.2	91	67	89							8.0	7.2	6.2	Summe 60.6	

September 1930.
Beobachter: Observatorium.

Säntis.

$\lambda = 9^{\circ} 20'$, $\beta = 47^{\circ} 15'$.
 $H_0 = 2500.1^m$, $G = -0.16^m$.

Table with columns: Tag, Lufttemperatur (7h, 13h, 21h, Mittel, physik. Formel), Luftdruck (7h, 13h, 21h), Relative Feuchtigkeit (7h, 13h, 21h), Windrichtung und Stärke (7h, 13h, 21h), Bewölkung (7h, 13h, 21h), Witterung. Rows 1-30 and Mittel.

September 1930.
Beobachter: Frt. F. Lombardi.

St. Gotthard (Hospiz).

$\lambda = 8^{\circ} 34'$, $\beta = 46^{\circ} 33'$.
 $H_0 = 2102.9^m$, $G = -0.14^m$.

Table with columns: Tag, Lufttemperatur (7h, 13h, 21h, Mittel, physik. Formel), Luftdruck (7h, 13h, 21h), Relative Feuchtigkeit (7h, 13h, 21h), Windrichtung und Stärke (7h, 13h, 21h), Bewölkung (7h, 13h, 21h), Witterung. Rows 1-30 and Mittel.

$\lambda = 7^{\circ} 26'$, $\beta = 46^{\circ} 57'$,
 $H_b = 572.2^m$, $G = 0.05^m$.

Bern.

Oktober 1880.
Tellur. Observatorium.

Table with columns: Tag, Lufttemperatur (7, 13, 21, Mittel, Abwech. vom Normal), Luftdruck (7, 13, 21), Relative Feuchtigkeit (7, 13, 21), Windrichtung und Stärke (7, 13, 21), Bewölkung (7, 13, 21), Niederschlag, Witterung. Includes daily data from 1 to 31 and a Mittel row.

$\lambda = 6^{\circ} 57'$, $\beta = 47^{\circ} 0'$,
 $H_b = 487.3^m$, $G = 0.06^m$.

Neuchâtel.

Oktober 1880.
Observatorium.

Table with columns: Tag, Lufttemperatur (7, 13, 21, Mittel, Abwech. vom Normal), Luftdruck (7, 13, 21), Relative Feuchtigkeit (7, 13, 21), Windrichtung und Stärke (7, 13, 21), Bewölkung (7, 13, 21), Niederschlag, Witterung. Includes daily data from 1 to 31 and a Mittel row.

Oktober 1930,
Beobachter: Frl. H. Nager.

Aldorf.

$\lambda = 8^{\circ} 39'$, $\beta = 46^{\circ} 53'$,
 $H_0 = 456.3^m$, $G = 0.05 \%$.

Tag	Lufttemperatur					Luftdruck			Relative Feuchtigkeit			Windrichtung und Stärke			Bewölkung			Niederschlag	Witterung		
	7 ³⁰	13 ³⁰	21 ³⁰	Mittel	Abw. von Mittel	7 ³⁰	13 ³⁰	21 ³⁰	7 ³⁰	13 ³⁰	21 ³⁰	7 ³⁰	13 ³⁰	21 ³⁰	7 ³⁰	13 ³⁰	21 ³⁰				
1	7.7	13.7	8.4	9.9	-2.1	725.9	725.6	727.3	88	71	96	S	oNW	oN	o	1	o	o			
2	8.7	13.3	11.3	11.1	-0.7	729.2	729.6	731.3	95	68	95	S	oNW	oN	o	10	10	10			
3	9.9	14.1	8.2	10.7	-1.0	722.2	731.8	731.1	84	64	99	SE	oNW	oN	o	8	3	8			
4	6.2	15.0	11.7	11.0	-0.5	729.4	726.0	726.5	100	78	99	S	oSE	oSE	o	6	7	10	6.1 ● 16-20		
5	11.3	14.0	10.5	11.9	0.5	722.4	720.4	714.5	100	94	99	W	oSE	oSE	o	10	10	10	23.1		
6	12.9	11.7	8.4	11.0	-0.2	712.7	715.6	717.9	54	44	94	NW	3-4	NW	3	E	o	10	10	10	4.3 ● n-p
7	7.3	10.4	8.4	8.7	-2.3	717.1	718.2	722.1	98	65	79	E	oE	o-1	SE	o	10	10	10	1.1	
8	8.5	14.4	13.7	12.2	1.3	721.5	718.5	719.6	95	70	89	SW	oNW	oSW	o	10	9	10	4.5 ● n-7, 18 ³⁰ /4-n		
9	16.8	15.6	10.4	14.3	3.6	715.4	719.3	723.8	60	79	99	SE	2	NW	1	NW	o	10	10	10	82.8 ● 6 ³⁰ /4-n m.U.
10	8.5	11.3	6.1	8.6	-1.9	724.8	727.5	725.5	99	65	89	NW	oNW	oN	o	10	8	o	4.7 ● n-a		
11	6.0	17.7	17.5	13.7	3.3	722.7	719.5	718.6	89	52	33	W	oSW	1-2	SE	2	6	8	6		
12	18.3	18.8	11.4	16.5	6.3	718.1	716.6	723.5	36	38	69	SE	1-2	S	2	NW	2	10	8	10	2.9 ● abds.
13	8.5	14.7	6.7	10.0	0.0	727.8	727.5	728.0	89	77	94	W	oNW	oNW	o	9	4	o			
14	5.3	—	—	—	—	728.2	—	—	98	—	—	W	o	—	—	—	—	—	—		
15	—	—	—	—	—	—	—	—	—	—	—	—	—	—	—	—	—	—	—		
16	—	—	—	—	—	—	—	—	—	—	—	—	—	—	—	—	—	—	—		
17	—	—	—	—	—	—	—	—	—	—	—	—	—	—	—	—	—	—	—		
18	—	—	—	—	—	—	—	—	—	—	—	—	—	—	—	—	—	—	—		
19	—	—	—	—	—	—	—	—	—	—	—	—	—	—	—	—	—	—	—		
20	13.9	11.4	9.0	11.4	2.5	718.0	718.9	721.4	75	78	99	NW	1	NW	o	NW	o	6	8	10	
21	8.8	12.9	9.9	10.5	1.8	720.9	720.1	720.8	99	76	100	SW	oNW	oNW	o	10	10	10	12.9 ● p-n zeitw.		
22	5.5	9.3	7.0	7.3	-1.3	721.1	719.8	719.3	100	57	94	N	oNW	oNW	o	10	10	10	2.8 ● n-a, abds.		
23	6.3	9.9	7.1	7.8	-0.6	719.4	718.2	717.6	100	57	93	NE	oN	o	NW	o-1	10	8	10	0.7	
24	6.5	10.0	7.2	7.9	-0.3	715.4	712.7	713.0	98	89	84	NE	oN	o	NW	o-1	10	10	10	22.6 ● n-n	
25	4.7	4.9	4.7	4.8	-3.2	709.9	712.9	713.9	100	79	73	SE	oNW	1	SE	o	10	10	10	11.7 ● n-p	
26	5.0	5.3	4.6	5.0	-2.9	714.0	715.1	719.3	70	78	99	NW	1	NW	2-3	NW	3	10	10	10	17.2 ● n-n
27	4.7	4.5	3.9	4.4	-3.3	721.3	723.1	724.0	86	87	83	NW	2-3	NW	o	NW	o	10	10	10	5.9 ● n-a
28	0.5	3.8	2.9	2.4	-5.1	722.6	722.7	724.1	87	81	100	E	oNW	oNW	o	7	10	10	4.6 ● p-n		
29	3.9	10.5	6.9	7.1	-0.3	724.8	724.8	726.0	99	74	100	E	oE	oE	o	10	10	10	2.7 ● p-n zeitw.		
30	7.3	13.5	6.1	9.0	1.8	726.7	725.1	726.9	100	60	97	E	oNW	oNW	o	9	8	6			
31	6.7	14.5	9.0	10.1	3.0	726.5	724.7	724.2	84	69	95	E	oNW	oS	o	5	3	7			
Mittel	*8.0	*12.1	*8.4	*9.5	—	*722.1	*721.7	*722.8	*88	*70	*92					*7.4	*6.9	*6.9	160.6		

Aufzeichnungen fehlen von 14. bis 19. infolge Abwesenheit der Beobachterin.

Oktober 1930.
Observatorium.

Genf.

$\lambda = 6^{\circ} 9'$, $\beta = 46^{\circ} 12'$,
 $H_0 = 405.0^m$, $G = 0.02 \%$.

1	6.8	14.2	10.0	10.2	-2.2	730.8	730.0	731.0	97	76	89	SSW	1	NNE	1	NNE	o	9	2	o	
2	9.0	13.8	12.4	11.9	-0.3	733.2	734.0	735.8	90	73	83	SSW	1	NNE	1	E	o	10	10	10	
3	11.4	15.4	11.0	12.2	0.1	738.8	736.3	736.0	87	72	93	NE	o	NNE	1	SE	o	10	1	o	
4	9.4	18.4	14.0	14.0	2.0	735.0	732.0	732.2	95	75	94	SE	o	SW	1	W	1	10	10	10	2.1 ● p, n, ≡ a
5	14.9	16.4	14.0	14.8	3.1	728.7	726.6	722.8	83	75	86	SW	1	SW	1	SW	2	10	10	10	19.0 ● n-n
6	10.8	13.2	10.8	11.4	-0.2	721.9	722.6	723.8	85	62	70	S	1	SW	1	SW	1	10	8	9	6.7 ● a, p, n, ⊙ a
7	7.8	11.1	10.0	9.7	-1.7	725.0	726.1	728.1	94	70	74	SSW	1	SW	1	NW	o	9	10	9	0.8 ● sch. a-n, ⊙ a
8	10.4	15.9	16.6	14.9	3.7	727.3	726.8	726.0	77	75	75	SW	o	W	1	SW	1	10	10	9	2.1 ● a-n zeitw.
9	16.6	16.6	11.0	13.8	2.8	723.9	725.2	727.7	75	83	91	SW	2	SW	2	NW	1	9	10	10	30.8 ● n-n
10	9.3	14.4	8.2	10.0	-0.9	730.0	731.0	729.9	92	63	93	NNE	1	NNE	1	SW	o	10	2	o	2.8 ● sch. a
11	6.8	12.8	15.8	12.8	2.1	728.1	726.0	723.0	94	81	67	SW	1	NNE	o	NW	o	10	9	10	1.3 ● a, n
12	13.4	16.8	8.9	12.0	1.5	721.8	721.0	729.8	95	75	94	NNE	1	NNE	1	SSW	o	10	9	10	16.4 ● 13 ³⁰ /2-n m.U., K p
13	5.6	13.1	8.0	8.7	-1.7	732.5	731.7	732.4	97	67	83	SSW	1	NNE	1	NE	o	o	o	o	0.1 ● n(?)
14	6.0	11.4	8.3	8.5	-1.7	733.1	732.5	732.6	95	80	95	E	o	NNE	1	NE	o	9	o	o	
15	7.5	10.6	9.1	9.1	-0.9	732.1	730.6	730.3	99	87	97	SE	o	SSW	o	SW	o	10	10	10	
16	6.6	10.2	10.0	9.2	-0.6	731.0	730.8	731.0	100	89	99	E	1	NNE	1	NE	o	10	3	10	0.1 ● n(16./17.)
17	7.2	11.2	9.3	9.3	-0.3	730.7	729.1	728.1	100	86	97	E	1	NW	o	NNE	1	10	3	10	0.1 ● n(17./18.), ≡ n-n
18	7.2	10.8	9.0	9.0	-0.5	729.5	728.4	728.2	100	90	97	E	1	NNE	1	NW	o	10	3	9	0.1 ● a, n, ≡ n-n
19	8.0	11.6	10.7	10.2	1.0	727.6	725.9	724.9	100	86	93	SE	o	NNE	1	E	o	10	10	10	0.1 ● n(19./20.), ≡ n-n
20	10.2	15.5	13.0	12.9	3.8	724.0	723.4	725.3	93	80	77	NE	1	SSW	o	E	1	10	3	9	
21	10.3	16.3	11.4	12.3	3.4	725.8	725.1	725.1	88	63	71	S	1	SW	1	SW	1	2	2	9	1.0 ● abds., n
22	7.4	7.8	6.8	7.2	-1.5	726.9	725.4	725.3	85	86	94	SW	1	SSW	1	S	o	4	10	10	6.8 ● 11-n
23	6.0	10.7	8.4	8.4	-0.2	724.7	723.0	722.5	92	72	83	SSW	o	SW	o	SW	o	8	8	10	2.6 ● 17 ³⁰ /4, n, ⊕ 13 ³⁰ /4
24	7.4	11.6	9.6	9.5	1.2	721.1	719.1	718.3	97	87	74	SW	o	SW	1	SSW	1	10	10	10	7.2 ● n-n m.U.
25	5.6	7.1	4.2	5.3	-2.9	716.8	719.1	719.7	88	84	93	SSW	1	S	1	SSE	o	10	4	10	9.2 ● n-n m.U., ⊙ 12 ³⁰ /4
26	3.2	5.5	5.4	4.9	-3.2	720.7	722.1	724.9	94	84	84	SW	1	SW	o	NNE	o	9	10	10	3.0 ● n-n m.U.
27	5.4	7.8	3.5	5.1	-2.8	727.5	728.8	729.6	81	51	72	NE	1	NNE	1	SW	o	9	6	o	
28	2.0	6.2	6.0	5.1	-2.6	728.3	728.1	728.2	85	70	79	SW	o	SW	o	SW	o	10	10	9	0.0 ● a-n zeitw.
29	5.0	10.0	9.6	8.5	1.1	730.3	730.6	731.4	94	86	89	SW	1	SW	o	SW	o	10	10	10	0.2 ● a, n
30	7.6	16.5	10.0	11.0	3.7	731.7	731.0	731.4	97	68	87	SW	o	SW	1	SW	o	3	8	o	
31	4.8	15.0	10.6	10.3	3.1	731.3	729.3	728.3	98	72	90	SW	1	SW	1	NW	o	1	2	10	0.1 ● ab 21 ³⁰ /4
Mittel	8.1	12.5	9.9	10.1	—	728.0	727.5	727.9	92	76	86							8.4	6.5	7.5	112.5

λ = 8° 33', β = 47° 23',
Hb = 493.2m, G = 0.08 mm.

Zürich.

Oktober 1930.
Meteorol. Zentralanstalt.

Tag	Lufttemperatur					Luftdruck			Relative Feuchtigkeit			Windrichtung und Stärke			Bewölkung			Messrichtung	Witterung
	7 ⁰⁰	13 ⁰⁰	21 ⁰⁰	Mittel	Abweich. vom Normal.	7 ⁰⁰	13 ⁰⁰	21 ⁰⁰	7 ⁰⁰	13 ⁰⁰	21 ⁰⁰	7 ⁰⁰	13 ⁰⁰	21 ⁰⁰	7 ⁰⁰	13 ⁰⁰	21 ⁰⁰		
1	6.6	17.6	9.6	11.3	-0.2	723.1	722.4	723.8	100	53	99	NE	NE	NE	10	10	0	0.0	≡ n-9
2	10.0	13.8	8.3	10.7	-0.6	726.0	726.7	727.9	95	71	100	SE	NE	NW	0	10	0		
3	7.2	11.7	7.3	8.7	-2.4	729.2	729.2	728.7	98	78	100	N	NW	SW	0	10	0		
4	8.6	17.7	14.0	13.4	2.4	726.1	722.6	722.5	100	64	92	SW	SW	NW	1	10	9	11.2	● 15-20 ¹ / ₂ , ≡ n-8
5	14.5	15.1	14.4	14.7	3.9	718.4	717.0	711.3	77	77	63	NW	W	NW	2	10	10	15.0	● 6-14 ¹ / ₂ , 18-2 ¹ / ₂ m.U.
6	9.8	10.8	8.9	9.8	-0.8	710.7	712.1	714.0	78	73	73	NW	W	SW	3	7	10	81.8	● 3 ¹ / ₂ -8 ¹ / ₂ , 12 ¹ / ₂ -16 ¹ / ₂ , 19 ¹ / ₂ -n m.U.
7	7.4	12.0	9.4	9.6	-0.8	713.3	715.2	719.1	90	64	70	W	W	W	2	10	7	3.8	● n-19 m.U.
8	10.6	18.8	17.1	15.5	5.3	717.8	715.5	715.1	67	56	68	SW	SW	SW	2	10	9	0.5	● 3-7, 16 ¹ / ₂ -16 ¹ / ₂
9	16.4	11.0	9.8	12.4	2.4	712.5	716.9	719.9	80	99	100	W	NW	SW	1	10	10	29.4	● 6-7, 9 ¹ / ₂ -11 ¹ / ₂ zeitw., 11 ¹ / ₂ -n
10	7.8	10.2	6.6	8.2	-1.7	721.7	723.4	722.7	96	88	96	SW	SW	SE	0	10	0	2.7	● n-10, 13-14 ¹ / ₂
11	5.4	10.5	11.4	9.1	-0.6	719.9	717.4	716.2	100	82	87	S	S	SW	0	10	9	0.6	● 3-5, 10 ¹ / ₂ -13 m.U.
12	10.6	17.8	8.3	12.2	2.7	715.3	712.4	721.6	100	63	98	NW	NW	NW	1	10	10	11.9	● 3 ¹ / ₂ -9, 11-11 ¹ / ₂ , ● 16 ¹ / ₂ -0 ¹ / ₂
13	6.5	14.8	6.8	9.4	0.1	724.6	724.4	725.0	100	49	96	S	E	S	0	3	2		● 1-5 m.U.
14	5.2	11.8	6.3	7.8	-1.3	725.0	724.5	724.6	100	66	100	S	N	SW	0	10	1	0.2	
15	4.8	14.9	7.6	9.1	0.1	723.8	722.1	721.5	100	57	100	S	N	NE	0	10	6	0.2	● fr., ≡ n-10 ¹ / ₂
16	4.8	16.9	8.5	10.1	1.3	722.5	722.6	722.8	100	58	100	NE	SW	SE	0	10	0	0.2	● fr., ≡ n-10 ¹ / ₂
17	6.0	16.9	9.4	10.8	2.2	722.6	720.7	719.9	100	62	100	SE	NW	S	0	10	0	0.1	● fr., ≡ n-11
18	6.4	17.1	9.4	11.0	2.5	720.7	720.3	720.8	100	61	99	SW	N	S	0	10	5	0.0	● fr., ≡ n-10
19	7.6	13.2	8.2	9.7	1.4	719.7	718.2	717.3	100	74	100	SW	S	SE	0	10	5	0.0	≡ n-11, abds.
20	8.0	12.4	10.4	10.3	2.2	716.2	716.0	717.5	98	76	95	NW	SW	SE	0	10	8	0.0	
21	10.6	12.7	10.2	11.2	3.3	717.9	717.3	717.3	99	73	100	S	N	N	0	10	9	5.5	● reb. 10-11, 18 ¹ / ₂ -21
22	5.8	8.8	6.4	7.0	-0.7	717.8	716.5	716.2	93	67	91	SW	SW	NW	0	10	10	1.3	● 2-6 ¹ / ₂ , 9 ¹ / ₂ , 16 ¹ / ₂ , 19 ¹ / ₂ -20
23	6.0	10.0	6.7	7.6	0.1	716.2	714.9	714.2	89	62	85	N	NW	SW	0	10	10	1.9	
24	6.6	10.3	6.0	7.6	0.3	711.8	708.8	709.8	97	88	94	S	SW	N	0	10	10	13.5	● 1-6, 10 ¹ / ₂ -15, 20-24 m.U.
25	5.0	4.8	3.8	4.5	-2.6	708.6	709.5	710.9	94	95	92	W	W	N	1	10	10	4.8	● 3-13 ¹ / ₂ , 18 ¹ / ₂ -23 ¹ / ₂ m.U.
26	3.8	6.6	4.2	4.9	-2.1	711.4	712.2	715.7	93	78	92	NW	NW	NW	0	10	10	2.9	● 4-11 ¹ / ₂ , 14-1 ¹ / ₂ m.U.
27	3.6	8.2	4.8	5.5	-1.3	719.1	719.6	720.7	95	59	70	NW	N	SW	0	10	5	0.1	● 8-9, 13-13 ¹ / ₂
28	2.8	3.7	5.4	4.0	-2.6	718.9	719.0	720.2	83	90	91	E	SW	NW	0	10	10	2.2	● 11 ¹ / ₂ -2 m.U.
29	7.0	9.9	8.4	8.4	2.0	721.1	721.3	722.4	93	75	100	S	W	SW	0	10	10	2.8	● 3 ¹ / ₂ -9 ¹ / ₂ , 14 ¹ / ₂ -11 ¹ / ₂ , 19 ¹ / ₂ -23 ¹ / ₂
30	10.6	12.7	12.2	11.8	5.6	722.2	722.1	722.7	85	70	77	SW	W	NW	1	10	9		U abds.
31	11.8	14.8	10.4	12.3	6.2	722.3	721.3	720.6	78	65	96	SW	NW	E	0	9	10	0.4	
Mittel	7.7	12.5	8.7	9.6	-	719.2	718.8	719.4	93	71	91							Summe 143.0	

λ = 8° 30', β = 47° 3',
Hb = 1787.3m, G = -0.11 mm.

Rigi-Kulm.

Oktober 1930.
Beobachter: J. Wiget.

1	3.1	8.2	5.1	5.5	0.5	617.7	618.1	618.7	25	25	44	W	SW	W	0	3	0	3	
2	5.3	8.6	7.3	7.1	2.2	620.0	621.1	621.7	36	43	25	W	E	E	0	0	0	0	
3	7.2	9.2	8.0	8.1	3.3	623.0	623.7	624.1	37	22	21	W	W	W	2	0	5	3	
4	10.0	11.0	6.4	9.1	4.5	622.2	620.7	619.3	6	50	100	NE	W	W	3	3	7	10	11.7
5	5.4	6.5	6.0	6.0	1.5	615.6	614.1	612.1	55	55	60	W	W	W	3	10	10	16.1	● 16 ¹ / ₂ -n
6	3.0	-0.6	-1.6	0.3	-4.1	606.4	607.8	609.2	100	100	100	W	W	W	4	10	10	10	12.2
7	-1.7	-1.5	-1.2	-1.5	-5.7	608.1	610.1	613.0	100	100	100	W	W	W	4	10	10	10	4.5
8	3.8	9.5	9.4	7.6	3.6	613.4	613.5	613.8	83	50	50	W	NW	NW	3	10	10	10	6.2
9	10.0	5.2	2.6	5.9	2.0	611.4	613.2	614.3	50	100	100	W	W	W	4	10	10	10	18.6
10	-1.0	0.0	-0.2	-0.4	-4.1	614.8	617.3	617.8	100	100	100	W	W	W	3	10	10	5	3.4
11	4.8	10.2	10.8	8.6	5.0	615.6	614.8	614.3	16	36	35	SW	SW	SW	2	7	7	10	
12	8.0	8.5	1.0	5.8	2.4	613.3	614.2	614.5	50	95	100	SE	SE	W	3	10	10	10	27.2
13	-1.2	1.0	3.0	0.9	-2.4	617.8	618.4	619.3	100	100	70	NW	SE	SE	1	3	0	0	
14	7.8	11.6	8.0	9.1	6.0	619.3	620.1	620.5	0	3	10	S	S	NW	0	0	0	0	
15	9.2	6.0	10.8	8.7	5.7	619.9	619.7	619.0	8	14	16	SW	SE	S	3	0	0	0	
16	9.4	10.0	8.4	9.5	6.5	619.0	619.6	620.0	7	14	22	S	NW	S	0	0	0	0	
17	8.0	11.4	10.0	9.8	7.1	619.0	618.5	617.5	20	18	17	E	S	W	1	0	0	0	
18	7.4	9.6	6.5	7.8	5.3	617.5	617.6	617.5	32	29	57	W	W	S	1	3	3	0	
19	8.0	10.0	8.2	8.7	6.4	616.1	614.8	614.6	72	50	15	S	S	S	3	0	0	0	
20	6.4	7.4	3.4	5.7	3.5	613.0	612.9	614.0	28	49	86	W	S	SE	0	5	5	0	
21	3.0	3.4	1.5	2.6	0.6	613.7	613.7	613.0	100	100	100	W	W	W	2	10	10	10	19.7
22	-2.2	-2.1	-2.0	-2.1	-4.0	611.5	611.1	610.9	100	100	100	W	W	W	2	10	10	10	6.0
23	-2.8	-1.2	-2.2	-2.1	-3.9	610.2	610.0	609.4	100	100	100	W	W	W	1	10	10	10	4.0
24	1.4	2.3	-1.0	0.9	-0.7	607.6	606.0	605.4	100	100	100	W	W	W	3	10	10	10	20.2
25	-3.5	-4.8	-5.6	-4.6	-6.1	601.5	603.1	604.6	100	100	100	W	W	W	3	10	10	10	23.2
26	-5.0	-4.0	-4.8	-4.6	-6.0	604.8	605.3	608.3	100	100	100	W	W	W	1	10	10	10	25.4
27	-5.0	-4.8	-5.8	-5.2	-6.4	611.4	612.3	613.2	100	100	100	E	SE	W	2	10	10	10	6.7
28	-7.0	-2.8	-1.6	-3.8	-4.9	611.6	611.4	612.9	100	100	100	W	W	W	3	10	10	10	20.9
29	-0.4	0.4	2.5	0.8	-0.2	614.9	615.6	616.5	100	100	88	W	W	W	3	10	10	10	14.0
30	3.0	3.7	3.8	3.5	2.7	617.1	617.7	618.0	85	70	92	W	W	W	2	10	10	5	
31	3.0	5.2	3.8	4.0	3.3	617.7	617.3	617.2	100	76	75	W	W	W	0	5	5	7	
Mittel	3.1	4.4	3.2	3.6	-	614.4	614.6	615.0	65	68	70							Summe 249.0	

Oktober 1930.
Beobachter: G. Krättli.

Bever.

$\lambda = 9^{\circ} 53'$, $\beta = 46^{\circ} 33'$
 $H_0 = a. 1710^m$, $G = -0.12^m$.

Tag	Lufttemperatur					Luftdruck			Relative Feuchtigkeit			Windrichtung und Stärke			Bewölkung			Witterung			
	7 ⁰⁰	13 ⁰⁰	21 ⁰⁰	Mittel	Abweich. von Normal	7 ⁰⁰	13 ⁰⁰	21 ⁰⁰	7 ⁰⁰	13 ⁰⁰	21 ⁰⁰	7 ⁰⁰	13 ⁰⁰	21 ⁰⁰	7 ⁰⁰	13 ⁰⁰	21 ⁰⁰				
1	-2.7	11.8	0.2	3.1	-2.0	624.4	623.4	625.4	92	41	83	NW	o	SW	2	W	0	2	1	0	fr.
2	-3.4	12.4	0.3	3.1	-1.8	626.6	626.6	628.9	90	37	81	E	o	SW	2	SW	0	0	0	0	fr.
3	-2.3	13.2	-0.1	3.6	-1.2	629.8	628.9	630.6	91	38	86	S	o	NW	o	W	0	2	1	0	fr.
4	-2.0	15.8	6.1	6.5	1.9	629.5	625.9	625.0	85	38	84	S	o	S	1	W	0	7	4	8	fr.
5	2.0	10.4	8.5	7.0	2.6	621.8	619.4	616.5	92	59	76	SE	o	SW	2	NW	2	4	10	10	4.0
6	6.8	7.0	-2.3	5.4	1.2	610.9	611.9	614.9	80	48	53	SW	1	W	4	W	1	10*	3	4	1.2
7	-2.4	5.7	-0.7	0.9	-3.2	613.8	615.0	619.3	81	50	86	NW	o	W	1	W	0	4	10*	4	0.3
8	0.8	11.8	4.5	5.7	1.8	621.3	620.5	621.8	80	53	64	W	o	S	1	NW	1	8	7	5	
9	4.2	10.0	8.5	7.6	3.9	620.0	619.7	619.6	82	69	84	SW	1	S	4	NW	1	6	9	10	9.2
10	1.2	4.1	-3.0	0.8	-2.7	620.8	622.8	625.3	95	81	89	NE	1	NE	o	W	0	10*	9	10	4.0
11	-4.9	8.6	3.9	2.5	-0.8	625.6	623.4	623.4	89	60	80	SW	o	SW	1	W	0	4	2	0	0.0
12	5.6	7.7	4.7	6.0	2.8	622.0	621.7	621.8	77	80	92	W	o	SW	1	W	0	9	10*	10*	18.4
13	2.3	7.6	-1.2	2.9	-0.1	623.3	624.0	626.3	91	58	88	N	1	NW	1	W	0	9	1	0	
14	-5.4	11.8	-1.2	1.7	-1.1	627.3	626.3	627.8	90	80	82	NW	o	SW	o	W	0	0	0	0	
15	-3.6	13.7	-0.6	3.2	0.6	627.6	626.1	626.9	88	34	80	W	o	SE	1	W	0	0	1	0	
16	-3.0	13.2	0.0	3.4	1.0	626.5	625.7	627.4	85	34	80	W	o	W	o	W	0	0	0	0	
17	-1.4	14.6	0.6	4.6	2.4	625.9	624.2	625.1	87	38	82	SW	o	SW	1	W	0	9	0	0	
18	-3.6	13.5	-1.3	2.9	0.9	624.3	622.8	624.6	92	40	84	W	o	SW	1	SW	0	0	1	0	
19	-4.1	12.5	1.3	3.2	1.3	624.0	622.3	623.0	92	44	90	S	o	S	1	W	0	1	0	0	
20	-2.9	7.5	3.7	2.8	1.1	621.0	620.1	620.7	94	69	90	N	o	SW	1	E	0	8	9	10	0.0
21	-0.5	8.9	3.9	4.1	2.6	620.2	618.7	618.1	96	58	86	W	o	SE	1	W	1	10	9	6	2.8
22	0.6	-0.3	-2.9	-0.9	-2.2	616.3	615.9	616.4	83	82	89	N	1	NW	o	SE	0	10	10*	8	4.2
23	-3.0	2.4	-5.4	-2.0	-3.1	615.8	615.0	615.6	88	54	82	S	o	S	o	E	0	9	2	1	0.4
24	-3.5	7.3	1.2	1.7	0.8	613.9	611.4	611.3	83	64	92	W	o	W	o	N	1	8	9	10	3.5
25	-1.8	-0.2	-3.8	-1.9	-2.6	607.8	607.1	609.4	81	58	62	NE	1	N	1	NE	1	9	10	8	0.3
26	-2.8	-1.4	-4.7	-2.6	-3.1	608.8	609.2	611.6	59	58	83	W	1	N	o	W	0	10*	10*	10*	8.3
27	-4.2	-1.2	-3.5	-3.3	-3.6	614.3	616.6	618.1	85	58	90	N	1	W	o	W	0	10*	10	10*	1.0
28	-8.4	-0.8	1.8	-2.5	-2.6	616.9	616.8	618.3	83	57	65	SW	o	NE	1	W	0	6	10	6	0.0
29	0.0	5.6	1.3	2.3	2.3	620.4	621.2	623.2	89	60	90	NE	o	NW	o	W	0	9	9	10	
30	0.4	8.2	0.3	3.0	3.2	623.3	623.3	624.3	93	58	88	W	o	W	o	SW	0	9	9	2	
31	-3.8	9.5	1.3	2.3	2.7	624.1	622.2	722.8	93	58	86	S	o	W	o	SW	0	3	9	9	
Mittel	-1.5	8.1	0.9	2.5	-	620.9	620.3	621.4	86	54	82							6.0	5.6	4.9	Summe 52.6

Oktober 1930.
Beobachter: Kapuzinerkloster.

Sitten.

$\lambda = 7^{\circ} 21'$, $\beta = 46^{\circ} 14'$
 $H_0 = 548.6^m$, $G = 0.00^m$.

1	7.8	17.2	11.3	12.1	-0.2	718.3	716.7	719.0	89	50	79	N	o	W	o-1	N	o-1	0	2	1	fr.
2	7.0	16.8	9.5	11.1	-1.0	720.9	719.9	723.4	96	51	94	NE	o	SW	1	N	o	1	0	1	fr.
3	8.0	17.2	11.8	12.3	0.3	724.6	722.9	724.4	89	49	75	NE	o	W	o-1	NW	o	1	1	1	fr.
4	7.2	16.9	12.2	12.1	0.3	723.4	719.4	719.5	94	52	100	N	o	NW	o	W	0	9	10	10	4.4
5	11.8	15.2	11.6	12.9	1.2	716.1	714.7	710.2	96	83	97	NE	o	SW	o	W	0	10	10	10	26.2
6	10.6	14.5	8.6	11.2	-0.3	705.9	708.2	710.6	85	86	69	W	o-1	SW	1	W	0	10	9	10	1.6
7	12.6	14.2	8.6	11.8	0.5	710.0	713.0	715.5	79	50	68	E	o-1	SW	1	W	0	10	10*	10	2.5
8	8.1	13.4	10.9	10.8	-0.3	715.9	714.0	714.4	81	55	97	W	o	NE	o	W	0	8	10	10*	13.8
9	11.8	13.9	11.6	12.4	1.5	712.4	713.4	713.7	91	87	86	N	1	NW	o	W	o-1	10*	10	10*	32.9
10	8.6	13.9	7.8	10.1	-0.7	717.2	717.6	718.7	93	51	70	SE	o	SW	o-1	NE	o	10*	3	0	0.9
11	6.1	10.5	9.0	8.5	-2.1	718.0	716.2	715.1	77	75	97	N	o-1	NW	o	W	0	10	10*	10	4.2
12	10.3	13.9	9.0	11.1	0.7	712.5	710.4	715.6	86	54	91	N	o	W	o-1	W	0	10	8	10*	13.7
13	6.2	13.0	8.6	9.3	0.9	719.5	718.7	720.5	82	48	77	N	o	NE	o	NE	0	1	1	0	
14	4.9	15.3	9.7	10.0	0.0	720.8	718.9	720.2	89	39	80	N	o	NE	o	W	0	0	0	0	
15	5.3	17.0	9.8	10.7	0.8	719.8	717.0	717.7	95	43	85	W	o	W	o	W	0	3	1	0	
16	6.4	16.3	9.4	10.7	1.0	718.2	717.4	719.1	76	46	79	N	o	W	o	W	0	0	0	0	
17	5.3	16.2	10.0	10.5	1.0	718.4	715.5	716.3	97	42	78	N	o	SW	o	W	0	0	0	0	
18	5.4	16.0	9.6	10.3	1.0	716.5	715.0	716.5	92	43	79	NE	o	W	o	NE	0	0	0	0	
19	5.4	17.0	10.2	11.1	2.0	715.5	712.5	713.2	90	37	61	N	o	N	o	NE	0	0	0	0	
20	10.8	17.0	11.2	13.0	4.1	711.2	710.6	713.1	54	51	85	N	o-1	SW	o-1	W	0	10	3	7	
21	8.0	15.0	10.2	11.1	2.3	713.5	711.7	711.8	94	57	71	NW	o	SW	1	NE	0	4	4	4	1.0
22	7.3	11.7	6.6	8.5	-0.1	712.9	711.3	711.9	72	46	91	W	o-1	W	o-1	W	0	9	9	10	1.5
23	5.8	12.2	7.6	8.5	0.1	711.2	709.7	710.3	94	41	79	W	o	SW	o-1	W	0	8	5	10	5.4
24	5.2	8.9	7.8	7.3	-0.9	709.1	706.9	705.0	93	72	97	NW	o-1	N	o	W	0	9	10*	10	12.1
25	5.0	4.0	3.8	4.3	-3.7	702.8	705.2	706.4	86	87	86	W	o-1	W	2-3	W	0	10*	10*	10	7.7
26	3.0	3.0	3.1	3.0	-4.9	706.4	707.4	710.4	96	94	95	W	o	W	o-1	W	0	10	10*	10	11.8
27	3.5	8.8	1.6	4.6	-3.1	712.9	714.7	716.5	85	43	78	W	o-1	SW	1	W	1	10	6	0	
28	0.6	2.1	2.8	1.8	-5.7	715.0	715.6	716.1	87	94	99	NW	o	NW	o	W	0	9	10*	10	1.4
29	3.4	8.3	6.6	6.1	-1.2	717.4	718.2	719.3	97	66	91	NE	o	NW	o	NW	0	10	10	10	0.3
30	5.0	10.6	6.5	7.4	0.3	719.3	718.8	719.6	96	64	89	E	o	E	o	N	0	10	10	0	
31	3.2	13.0	8.6	8.3	1.4	719.1	717.0	716.5	95	51	82	NW	o	NW	o	W	0	4	1	10	
Mittel	6.8	13.0	8.6	9.5	-	715.3	714.5	715.5	88	57	84							6.0	5.6	5.6	Summe 141.4

λ = 8° 57', β = 46° 0'.
H₀ = 276.2^m, G = 0.03^{mm}.

Lugano.

Oktober 1890.
Beobachter: G. Malatesta.

Tag	Lufttemperatur					Luftdruck			Relative Feuchtigkeit			Windrichtung und Stärke			Bewölkung			Niederschlag	Witterung	
	7 ^h	13 ^h	21 ^h	Mittel	Abw. von Normalst.	7 ^h	13 ^h	21 ^h	7 ^h	13 ^h	21 ^h	7 ^h	13 ^h	21 ^h	7 ^h	13 ^h	21 ^h			
1	9.0	21.4	11.8	14.1	-0.5	738.3	739.2	741.6	72	38	87	N	oS	oN	o	1	o	o	.	● n (2/3.)
2	10.0	21.0	15.6	15.5	1.1	743.1	743.2	745.5	85	43	81	N	oS	oN	o	o	1	6	0.1	● abds., n
3	14.4	14.0	13.0	13.8	-0.4	748.3	749.3	748.2	75	66	78	WSW	WNW	oS	o	10	10	10	0.2	.
4	11.6	16.2	12.2	13.3	-0.7	747.2	745.3	741.8	79	58	81	N	oS	oN	o	10	10	6	.	.
5	9.6	17.0	14.6	13.7	-0.1	738.8	736.4	734.0	87	62	78	NW	oSE	oSW	o	7	7	10	0.6	.
6	13.2	21.2	9.8	14.7	1.1	726.5	725.4	731.1	84	18	46	NW	oNW	4N	1	10	o	o	0.2	● n, 7 ^h -8
7	6.0	18.6	9.6	11.4	-2.0	730.7	731.0	736.2	74	26	54	N	oN	2N	o	o	5	1	.	.
8	7.6	16.2	9.4	11.1	-2.1	739.0	738.8	739.2	69	46	73	N	oW	oN	o	7	8	1	.	.
9	9.8	16.4	12.4	12.9	-0.1	738.6	736.8	736.4	78	56	88	NW	oSW	oN	o	10	10	8	0.2	.
10	13.0	21.4	13.6	16.0	3.2	735.2	736.2	741.6	84	22	38	WNW	oNE	4N	o	10	o	o	1.0	● n, 7 ^h -8 ^h
11	10.0	16.4	10.6	12.3	-0.3	743.8	742.4	741.5	78	46	78	N	oSW	oN	o	8	7	2	.	.
12	10.0	11.8	10.4	10.7	-1.7	741.4	741.1	739.6	79	88	91	N	oW	oN	o	10	10	10	10.4	● 11-23 m.U.
13	9.6	16.8	11.0	12.5	0.3	738.0	738.3	740.8	86	47	70	NW	oSSE	oN	o	o	1	o	.	.
14	9.2	16.0	10.8	12.0	0.0	745.3	744.3	745.5	78	54	87	N	oS	oN	o	5	o	o	.	.
15	6.4	15.8	9.8	10.7	-1.1	745.0	743.9	744.2	79	53	85	N	oESE	oN	o	1	2	o	.	.
16	6.4	15.0	9.2	10.2	-1.4	743.5	742.4	743.2	84	46	85	N	oS	oN	o	o	o	o	.	.
17	7.0	15.6	10.6	11.1	-0.3	742.5	741.4	742.0	88	53	87	N	oS	oN	o	o	o	o	.	.
18	10.0	16.2	12.0	12.7	1.5	741.6	741.0	741.3	86	61	86	N	oSW	oN	o	7	4	o	.	.
19	7.4	15.2	10.2	10.9	-0.1	741.6	740.1	740.3	84	56	87	N	oE	oN	o	1	o	o	.	.
20	9.8	12.0	11.0	11.0	0.2	737.9	738.0	738.0	84	86	88	N	oW	oW	o	10	10	10	14.6	● 7 ^h -n
21	10.4	16.0	11.0	12.5	1.9	736.5	735.4	734.3	87	57	85	NW	oS	oS	o	10	6	3	19.0	.
22	8.4	10.8	6.2	8.5	-1.9	733.8	732.2	732.2	72	78	53	NW	2SW	oN	2	10	10	o	4.2	⊠, ● 3 ^h -10
23	4.8	15.4	7.4	9.2	-1.0	731.6	730.7	731.8	69	22	41	NW	1N	2N	o	o	1	o	.	.
24	3.6	12.4	7.8	7.9	-2.1	729.9	727.0	724.5	76	41	80	N	oSE	oN	o	o	1	o	.	.
25	6.8	14.6	9.4	10.3	0.4	721.9	721.5	723.5	84	19	21	N	oN	3NNE	4	9	10	o	.	.
26	9.8	14.0	10.0	11.3	1.6	723.2	724.0	727.7	23	21	27	NNE	4NNE	4NNE	4	1	1	o	.	.
27	10.4	12.4	8.8	10.5	1.0	730.2	732.9	734.7	24	22	28	N	3NNE	2NNE	2	10	8	o	.	.
28	3.0	11.6	4.0	6.2	-3.1	734.6	734.1	735.8	52	30	65	WNW	1S	oN	o	1	o	o	.	.
29	3.0	11.8	8.0	7.6	-1.5	738.4	739.3	740.0	78	39	71	N	oS	oN	o	9	3	5	.	Δ fr.
30	5.0	13.6	6.8	8.5	-0.4	741.0	740.4	741.1	85	52	88	N	oS	oN	o	6	9	o	.	Δ fr.
31	4.4	13.8	10.2	9.5	0.7	741.1	740.0	740.1	88	55	81	N	oS	oNNE	o	5	10	9	2.0	Δ fr.
Mittel	8.4	15.2	10.2	11.3	-	737.7	737.2	738.0	76	47	71	5.4	4.6	2.6	52.5	.

λ = 7° 35', β = 47° 33'.
H₀ = 318^m, G = 0.13^{mm}.

Basel.

Oktober 1890.
Astronom.-Meteorol. Anstalt.

1	5.7	15.8	10.0	10.5	-	738.6	738.1	739.4	98	64	95	ENE	1	NNE	1	SW	1	10 ^h	1	7	.	≡ a
2	9.4	12.8	6.1	9.4	-	741.5	742.2	743.6	95	83	99	NE	1	WNW	1	SSW	1	10 ^h	10	o	0.1	≡ a
3	5.8	15.4	9.3	10.2	-	744.7	744.0	743.5	97	66	88	NE	o	ENE	1	ENE	1	7	8	4	.	≡ fr.
4	8.4	15.8	14.0	12.7	-	741.3	738.2	738.2	94	81	93	ESE	1	E	1	SSW	1	10	10	10	6.3	● 13 ^h -17 ^h m.U., ≡ fr.
5	13.8	16.5	15.3	15.2	-	734.3	732.0	726.7	86	67	74	WSW	1	SW	2	WSW	2	10	10	10	11.7	● 7 ^h -11 ^h m.U., 17 ^h m.U., 21 ^h m.U.-21 ^h
6	9.4	12.8	8.7	10.3	-	725.9	727.4	729.4	88	74	88	SW	2	W	2	W	1	10	6	10	11.0	● 3-5 ^h m.U., 10 ^h m.U.-23 ^h m.U.
7	8.0	10.1	9.0	9.0	-	728.9	730.7	733.9	86	73	81	SW	1	W	2	SW	1	10	10	10	6.6	● 0-8, 10 ^h m.U.-20 ^h m.U.
8	8.8	16.3	18.6	14.6	-	732.4	730.8	729.2	89	80	60	E	1	E	1	SW	1	10	10	10	1.5	● 9 ^h -9 ^h , 18 ^h -19
9	15.8	10.9	10.8	12.5	-	727.7	732.8	734.7	87	86	90	WNW	2	WSW	2	S	1	10	10	10	12.9	● 7 ^h -13 ^h , 15 ^h -15 ^h , 23 ^h -n
10	8.7	12.9	7.2	9.6	-	736.5	738.6	738.1	96	74	96	SE	o	WNW	1	E	o	10	9	o	1.5	● n-10, 12 ^h -12 ^h
11	6.3	10.0	11.6	9.3	-	724.8	731.4	730.8	91	83	87	E	1	SW	1	ESE	1	10	10	10	14.4	● 10 ^h -10 ^h , Δ fr.
12	11.6	15.8	7.9	11.8	-	731.1	727.2	737.6	99	89	90	E	1	ESE	1	W	1	10	10	10	11.6	● 2 ^h -23 ^h m.U.
13	5.1	15.2	7.0	9.1	-	740.1	739.9	740.5	97	55	92	ESE	1	E	1	ESE	1	7 ^h	1	o	.	≡ n-8 ^h
14	3.9	15.5	8.0	9.1	-	740.5	739.5	739.7	95	61	88	E	1	SE	1	ESE	1	1	1	o	.	Δ fr.
15	5.8	16.9	9.4	10.7	-	738.7	737.3	736.4	94	63	83	ESE	1	ESE	1	ESE	1	10	4	o	.	Δ fr.
16	6.6	17.3	10.8	11.6	-	737.1	737.2	737.7	94	68	92	E	1	ESE	1	ESE	1	1	o	o	.	Δ fr.
17	7.0	18.0	10.8	11.9	-	737.4	736.1	734.9	98	68	90	ESE	1	SE	1	ESE	1	4	o	o	.	Δ fr.
18	7.2	18.7	11.9	12.6	-	735.8	735.4	736.2	98	60	98	ESE	1	E	1	SW	1	6	1	10	.	Δ fr.
19	8.4	16.4	9.0	11.3	-	735.3	733.3	732.5	97	69	93	ESE	1	NE	1	E	1	10 ^h	o	o	.	≡ a
20	6.5	14.0	11.7	10.7	-	731.7	731.4	732.5	99	81	87	S	1	ESE	1	E	1	6	10	10	.	.
21	10.3	15.2	8.2	11.2	-	733.4	732.8	732.9	97	57	88	E	o	WNW	1	SSW	1	10	5	o	3.5	● 17, 20 ^h -20 ^h , Δ fr.
22	7.2	12.0	7.5	8.9	-	733.5	732.3	732.3	89	58	82	SW	o	WNW	1	SW	1	10	9	9	1.4	● 0 ^h -3 ^h , a stw., 14 ^h -14 ^h
23	6.4	12.4	7.6	8.8	-	732.1	730.5	729.3	91	65	93	S	1	SE	1	ENE	1	10	10	10	1.4	● 5 ^h -6, 18 ^h -18 ^h , 23-23 ^h
24	7.5	12.2	6.7	8.8	-	726.6	723.6	724.8	96	86	91	ENE	1	WSW	2	SSW	1	10	10	10	4.1	● 1 ^h -3 ^h , 8-14 ^h m.U., 18 ^h -20 ^h
25	5.8	6.0	4.8	5.5	-	722.0	725.0	726.0	84	70	87	WSW	2	WSW	2	SW	1	10	8	10	1.3	● 2 ^h -6 ^h m.U., a, p, n zeitw.
26	4.4	7.0	4.9	5.4	-	726.9	728.0	731.6	87	74	87	WSW	1	WNW	2	SW	1	10	10	10	2.2	● 5 ^h -23 zeitw.
27	4.3	8.2	5.0	5.8	-	735.0	735.8	736.5	90	61	84	WSW	1	WNW	1	SSW	1	10	10	10	0.0	● 1-1 ^h , 3 ^h -4 ^h , ● 12 ^h
28	2.6	4.6	4.9	4.0	-	734.6	734.6	735.4	87	90	96	E	o	ESE	1	E	1	10	10	10	9.2	● a stw., 9 ^h -19 ^h m.U., 22 ^h -19 ^h
29	6.8	10.7	9.7	9.1	-	736.0	736.3	737.2	96	93	98	ESE	1	SE	1	E	1	10	10	10	1.1	● 5 ^h -7, 11-13 ^h m.U., 18 ^h -18 ^h
30	11.6	13.6	12.2	12.5	-	737.2	737.5	738.0	91	78	87	W	1	WSW	1	WSW	1	10	10	10	.	.
31	12.5	16.8	10.2	13.2	-	737.4	736.8	736.0	85	69	97	WSW	1	WNW	1	E	1	10	10	10	.	.
Mittel	7.8	13.4	9.3	10.2	-	734.5	734.1	734.7	93	72	89	8.8	7.2	6.8	101.8	.	.

Oktober 1880. Beobachter: Observatorium.

Santis.

λ = 9° 20', β = 47° 15'. Hb = 2500.1m, G = -0.16%

Table with columns: Tag, Lufttemperatur (7m, 13m, 21m, Mittel, Abw. vom Normal), Luftdruck (7m, 13m, 21m), Relative Feuchtigkeit (7m, 13m, 21m), Windrichtung und Stärke (7m, 13m, 21m), Bewölkung (7m, 13m, 21m), Niederschlag, Witterung. Rows 1-31 and Mittel.

Oktober 1880. Beobachter: Frl. F. Lombardi.

St. Gotthard (Hospiz).

λ = 8° 34', β = 46° 33'. Hb = 2102.9m, G = -0.14%

Table with columns: Tag, Lufttemperatur (7m, 13m, 21m, Mittel, Abw. vom Normal), Luftdruck (7m, 13m, 21m), Relative Feuchtigkeit (7m, 13m, 21m), Windrichtung und Stärke (7m, 13m, 21m), Bewölkung (7m, 13m, 21m), Niederschlag, Witterung. Rows 1-31 and Mittel.

λ = 7° 26', β = 46° 57',
Hb = 572.2m, G = 0.05 mm.

Bern.

November 1930.
Tellur. Observatorium.

Tag	Lufttemperatur					Luftdruck			Relative Feuchtigkeit			Windrichtung und Stärke			Bewölkung			Niederschlag	Witterung	
	7 ⁰⁰	13 ⁰⁰	21 ⁰⁰	Mittel	Abweich. vom Normalst.	7 ⁰⁰	13 ⁰⁰	21 ⁰⁰	7 ⁰⁰	13 ⁰⁰	21 ⁰⁰	7 ⁰⁰	13 ⁰⁰	21 ⁰⁰	7 ⁰⁰	13 ⁰⁰	21 ⁰⁰			
1	9.0	14.3	10.4	11.2	6.0	712.1	710.9	709.5	92	72	86	SE	oSW	oSE	1	10	7	9	14.8	● tr. 6
2	8.8	13.4	12.2	11.5	6.4	708.9	707.0	699.5	90	64	56	SE	oSW	2WSW	3	10	1	10	17.8	● 0 ¹ / ₂ -5 ⁰ / ₄ , 21 ¹ / ₄ -23 ¹ / ₄ , 23 ³ / ₄ -24
3	7.0	8.7	6.2	7.3	2.4	695.7	699.1	698.8	80	73	70	SW	3SW	1W	1	6	10	10	10.5	● 0 ¹ / ₄ -2, 8-16 ³ / ₄ zeitw.
4	1.2	2.5	2.5	2.1	-2.6	692.3	700.4	705.1	92	89	92	NNE	oW	oSW	0	10	10	9	15.1	* 1-11 ¹ / ₄ m.U., ● 11 ¹ / ₄ -15, 19 ¹ / ₄ , ☒
5	2.0	4.6	2.2	2.9	1.7	707.3	705.7	705.0	89	47	84	SW	oSW	1SE	0	10	2	10	1.1	[23 ³ / ₄ -1 ¹ / ₄ , ≡ n-10 ¹ / ₂
6	1.6	7.5	4.2	4.4	0.0	705.0	706.1	707.5	92	73	90	S	oSE	oE	0	10	8	8	0.0	● 3 ³ / ₄ -6, ● tr. 11 ³ / ₄ , ≡ n-8
7	2.6	8.0	6.0	5.5	1.3	709.1	712.4	718.8	89	83	85	S	oWSW	3SW	6	3	10	9	7.3	● 10-17 ³ / ₄ m.U.
8	4.6	7.0	5.8	5.8	1.7	719.6	720.5	722.6	90	83	82	SW	oSSW	oSSE	0	10	10	3		☉ abds.
9	1.2	8.7	4.0	4.6	0.7	723.5	722.8	723.7	91	69	89	SE	oSE	oSE	0	1	1	0		☐ fr.
10	0.6	5.2	4.0	3.3	-0.5	722.3	721.1	720.9	98	92	94	SE	oSE	oSW	1	10	10	10		≡ n-20, ☐ fr.
11	4.6	7.4	3.4	5.1	1.5	719.9	720.6	723.2	90	73	76	S	oNNE	1WSW	0	10	10	0		
12	-0.4	6.3	0.7	2.2	-1.2	724.9	725.9	727.3	89	59	80	SW	oNNE	oE	0	8	4	0		☐ fr.
13	-1.9	4.9	0.8	1.3	-2.0	727.4	725.7	724.9	87	60	88	SW	oNE	oSE	0	1	2	0		☐ fr.
14	-1.8	7.4	1.6	2.4	-0.7	722.4	721.2	720.2	89	34	90	S	oE	oWSW	0	0	0	0		☐ fr.
15	-0.2	9.0	3.6	4.1	1.1	718.0	716.4	715.7	92	62	88	S	1SW	oS	1	0	5	0	1.7	☐ fr.
16	7.3	8.2	8.6	8.0	5.2	714.2	713.6	713.7	83	91	82	W	1S	oW	1	10	10	10	13.1	● sch. 3 ¹ / ₂ -15 ¹ / ₄ , ● 16 ¹ / ₄ -1 ¹ / ₂
17	5.6	7.6	3.5	5.6	2.9	715.2	715.8	716.4	88	78	89	N	1NE	oN	0	10	7	9		
18	1.2	3.8	3.9	3.0	0.5	716.5	716.4	715.5	81	78	84	N	1N	oSW	1	10	10	10	4.5	[≡ n-11 ¹ / ₄
19	4.6	9.2	11.9	8.6	6.2	712.1	712.0	712.4	93	89	69	SSE	oSE	oW	1	10	10	3	6.0	● 4 ¹ / ₂ -10 ¹ / ₂ , ● sch. 10 ⁰ / ₄ ,
20	8.2	10.4	9.9	9.5	7.3	712.1	711.6	709.7	83	88	89	S	1SE	oS	1	10	10	10	4.8	● 9-14 ¹ / ₄ zeitw., 21 ³ / ₄ -1
21	13.2	15.8	10.8	13.3	11.2	708.8	709.9	708.0	77	55	75	W	2S	2S	0	10	10	0	5.8	● 6 ¹ / ₄ , 6 ³ / ₄ -9 ⁰ / ₄ , 10 ¹ / ₄ -10 ³ / ₄
22	11.7	12.9	12.4	12.3	10.4	708.1	705.2	706.0	86	81	65	WSW	2S	oSW	2	10	10	0	6.5	● 6 ³ / ₄ -8 ¹ / ₄ , 10, 11-18 ¹ / ₂ , ☐ fr., p
23	5.2	6.4	1.4	4.3	2.5	710.9	716.6	717.5	76	51	81	WSW	2WSW	2SE	0	10	6	0		● sch. 1-6 ¹ / ₂
24	-1.3	2.0	2.8	1.2	-0.5	714.6	712.1	709.8	91	75	88	S	oE	oS	0	4	10	10	2.2	● 19 ³ / ₄ -21 ¹ / ₂ , 22 ¹ / ₄ -22 ³ / ₄ , 23, ☐ fr.
25	8.2	12.4	8.4	9.7	8.2	707.7	707.5	705.5	81	63	82	W	oWSW	2S	0	0	4	4	0.1	● sch. 0 ¹ / ₄ , 4
26	8.4	12.5	8.2	8.7	8.3	704.0	703.7	704.5	81	60	86	SW	oNE	oSE	0	10	2	1		● sch. 5
27	4.4	9.8	6.3	6.8	5.6	705.2	705.0	704.7	89	73	89	E	oENE	oENE	0	3	7	9		☉ abds.
28	5.8	12.6	7.6	8.7	7.6	704.5	706.0	704.3	82	61	83	W	1W	1W	0	3	9	10		● 17 ¹ / ₄ -18 ³ / ₄
29	7.4	12.4	5.8	8.5	7.5	704.4	708.1	714.6	82	68	92	W	1W	oW	0	3	10	0	3.7	● sch. 10, 12, ≡ 9-10 ³ / ₄ zeitw.,
30	3.2	6.8	5.8	5.3	4.5	717.4	718.6	719.1	93	88	91	E	oNNE	oWSW	0	8	10	3	0.1	[21 ³ / ₄ -n, ☉ 21 ³ / ₄
Mittel	4.4	8.6	5.8	6.3	-	712.1	712.6	712.8	87	72	84					7.0	7.2	5.9	Summe	115.1

λ = 6° 57', β = 47° 0',
Hb = 487.3m, G = 0.06 mm.

Neuchâtel.

November 1930.
Observatorium.

Tag	Lufttemperatur					Luftdruck			Relative Feuchtigkeit			Windrichtung und Stärke			Bewölkung			Niederschlag	Witterung	
	7 ⁰⁰	13 ⁰⁰	21 ⁰⁰	Mittel	Abweich. vom Normalst.	7 ⁰⁰	13 ⁰⁰	21 ⁰⁰	7 ⁰⁰	13 ⁰⁰	21 ⁰⁰	7 ⁰⁰	13 ⁰⁰	21 ⁰⁰	7 ⁰⁰	13 ⁰⁰	21 ⁰⁰			
1	9.8	18.0	10.6	12.1	5.6	718.6	718.3	716.7	97	72	93	NE	oSW	1N	0	10	6	10	14.5	● n-9 ¹ / ₂ , 20-n m.U., ☐ abds.
2	8.8	13.2	9.0	10.3	3.9	716.9	713.2	706.8	96	74	86	W	2W	2W	4	10	6	10	5.9	● n-16 m.U.
3	6.7	7.0	6.1	6.6	0.4	705.2	707.2	705.4	90	90	81	W	3SW	3W	2	10	10	10	27.6	* n-8 ¹ / ₄ , ● 8 ¹ / ₄ -n m.U. ☒
4	0.5	3.7	3.3	2.5	-3.5	700.2	707.5	713.1	100	95	95	NW	oNW	1NW	1	10	10	10	5.5	☒
5	2.2	7.0	2.5	3.9	-2.0	714.8	713.7	712.7	69	58	83	N	2S	1N	1	5	3	10	4.0	
6	0.5	6.6	3.1	3.4	-2.3	713.1	713.9	715.5	100	93	98	NE	oE	1NE	1	10	8	2	0.1	* n-7, ● 11-15 m.U. ☒
7	4.0	8.4	5.2	5.9	0.4	716.9	720.8	726.9	100	92	81	E	1W	2W	2	10	10	3	4.7	● 8 ³ / ₄ -16, ≡ a zeitw.
8	4.0	6.6	6.0	5.5	0.1	727.9	728.8	730.5	77	60	85	NW	1NW	1NW	0	7	10	10		☐ fr.
9	1.6	9.4	4.6	5.2	0.0	731.5	731.2	731.9	100	77	97	NW	oSW	1N	0	6	3	0		≡ n-10
10	3.0	6.0	5.5	4.8	-0.2	730.4	729.3	729.0	100	98	100	NE	oSW	1NW	1	10	10	10		● tr. a-9 ¹ / ₂
11	5.9	9.5	5.2	6.9	2.0	728.2	729.2	731.5	100	58	70	NE	oN	2N	1	10	2	10	0.0	* R. 13 ¹ / ₂ , ☐ fr.
12	-0.4	5.9	1.4	2.3	-2.4	733.4	734.3	735.9	89	61	75	NE	1E	1NE	1	6	7	0	0.0	☐ fr.
13	-1.4	7.4	1.1	2.4	-2.2	735.8	734.1	733.1	94	61	72	N	oE	1N	1	3	4	0		☐ fr.
14	-1.8	7.5	1.8	2.5	-1.9	730.8	729.4	728.3	96	65	77	NE	oE	1N	1	0	3	0		☐ fr.
15	-0.4	6.2	7.7	4.5	0.2	726.0	724.4	723.3	96	91	58	N	oSW	1NW	1	2	8	0	0.7	
16	7.3	8.6	8.6	8.2	4.1	722.4	721.5	721.7	91	92	100	W	1W	1N	1	10	10	10	7.7	● n-n m.U.
17	4.3	9.8	3.8	6.0	2.1	723.6	724.0	724.6	89	74	93	N	1E	1N	1	7	2	10		
18	2.6	5.0	3.9	3.8	0.0	725.2	724.8	723.8	80	80	80	E	oE	1N	1	10	9	10	5.7	● n-abds. m.U.
19	6.8	9.4	11.6	9.3	5.7	719.7	719.8	720.6	100	100	83	W	2W	2W	2	10	10	7	2.9	● 7 ³ / ₄ -n m.U.
20	10.6	10.5	10.8	10.6	7.2	719.7	719.1	716.9	93	100	98	W	1SW	2SW	1	10	10	10	6.8	● n-12 m.U.
21	13.6	13.8	13.2	13.5	10.2	716.4	717.7	714.8	95	76	67	SW	3SW	2SW	2	10	10	4	2.0	● n-n zeitw.
22	11.5	12.5	12.4	12.1	9.0	715.5	712.2	713.2	89	78	73	W	1SW	2SW	3	10	10	10	1.8	
23	5.4	8.0	1.6	5.0	2.0	719.2	724.6	725.3	64	58	73	NW	3NW	2NW	1	4	4	2		
24	-1.2	2.6	3.8	1.7	-1.2	722.6	719.9	716.8	89	76	90	NW	1SW	1W	1	8	10	10	2.5	● tr. 14-15, ● 18-22 m.U.,
25	9.4	13.9	9.7	11.0	8.3	714.8	714.5	712.5	80	52	81	W	2SW	2NE	0	4	6	9	3.0	[☐ fr.
26	9.7	3.6	8.5	10.6	8.0	711.8	710.6	712.1	86	71	88	W	1E	1N	0	10	4	10		● n-7 ¹ / ₄ m.U.
27	5.0	9.7	7.0	7.2	4.8	713.1	712.6	712.0	95	78	91	NE	oSW	1N	0	5	9	10		
28	4.7	12.6	8.3	8.5	6.3	712.0	712.9	711.8	98	74	76	N	1SE	1N	1	7	3	10		
29	6.8	9.4	5.0	7.1	5.0	713.1	716.2	722.4	91	86	100	E	1SW	oSW	0	8	10	1	4.0	● 13 ¹ / ₄ -18
30	4.6	6.0	6.0	5.5	3.6	725.6	726.7	727.3	100	98	100	N	oE	oN	0	10	10	10		
Mittel	4.8	8.9	6.2	6.6	-	720.2	720.4	720.6	92	78	85					7.7	7.2	6.9	Summe	99.4

November 1880.
Beobachter: Frh. H. Nager.

Altdorf.

$\lambda = 80^{\circ} 39'$, $\beta = 46^{\circ} 53'$,
 $H_b = 456.3^m$, $G = 0.05 \frac{m}{m}$.

Tag	Lufttemperatur					Luftdruck			Relative Feuchtigkeit			Windrichtung und Stärke			Bewölkung			Witterung				
	7 ⁰⁰	13 ⁰⁰	21 ⁰⁰	Mittel	Abweich. vom Normalst.	7 ⁰⁰	13 ⁰⁰	21 ⁰⁰	7 ⁰⁰	13 ⁰⁰	21 ⁰⁰	7 ⁰⁰	13 ⁰⁰	21 ⁰⁰	7 ⁰⁰	13 ⁰⁰	21 ⁰⁰					
1	7.4	14.3	7.4	9.7	2.8	722.8	721.2	720.0	98	58	94	E	o	NW	o	N	o	10	6	10	2.3	● n (1./2.)
2	9.7	12.7	15.4	12.6	5.8	719.1	716.3	717.3	94	74	35	SE	o	NW	o	SE	3-4	10	2	4	4.4	● n (2./3.)
3	7.2	10.0	5.4	7.5	0.9	717.0	718.6	718.3	98	73	88	E	o	NE	o	SE	o	10	10	6		
4	6.7	5.2	4.3	5.4	-1.1	711.1	710.0	715.0	78	81	85	N	o	N	o	NW	o	10	10	10	11.5	● p-n m.U.
5	2.8	5.4	1.5	3.2	-3.1	718.0	716.6	716.1	84	51	84	N	1-2	NW	o	W	o	10	7	10	0.7	● a
6	2.6	8.7	7.7	6.3	0.1	716.3	716.9	718.5	88	54	30	SW	o	NW	o	S	0-1	9	7	3		
7	8.0	10.4	6.2	8.2	2.2	719.7	722.4	729.5	43	50	98	E	o	NW	1	SE	o	4	10	10	8.5	● p-n m.U.
8	4.3	9.4	5.8	6.5	0.7	730.5	731.5	734.7	100	55	89	E	o	NW	o	NE	o	7	10	10		
9	2.0	9.7	3.1	4.9	-0.8	734.3	734.7	734.7	100	65	99	SE	o	NW	o	E	o	6	2	0		
10	1.8	7.4	2.3	3.8	-1.7	733.5	732.0	732.6	100	84	99	SW	o	NW	o	NE	o	8	0	0	0.3	
11	4.4	7.2	5.5	5.7	0.3	730.8	730.9	733.2	99	73	54	NE	0-1	N	2	NW	2	10	10	10	3.2	● n-n zeitw.
12	4.0	4.8	1.3	3.4	-1.8	735.5	737.2	739.3	54	55	60	NW	1	NW	0-1	NW	o	10	8	0	0.0	* fr. a
13	-0.4	5.8	-0.2	1.7	-3.4	739.1	737.3	736.0	79	50	93	SE	o	NW	o	SE	o	4	0	0		
14	-1.0	7.3	1.0	2.4	-2.5	733.6	732.5	731.0	100	73	100	E	o	W	o	E	o	2	0	0		
15	-0.2	7.7	2.9	3.5	-1.3	728.2	726.2	726.2	99	75	99	E	o	SE	o	NW	o	0	2	2	1.7	
16	5.3	7.8	7.4	6.8	2.1	724.9	723.9	723.7	100	98	99	SE	o	SE	o	NW	1	10	10	10	30.6	● n-n m.U.
17	5.7	6.5	4.8	5.7	1.2	726.3	726.0	727.8	98	84	97	S	o	NW	o	NW	o	10	10	10	1.1	● a, p zeitw.
18	4.5	6.7	2.5	4.6	0.2	727.9	727.0	722.5	92	68	94	N	o	NW	o	NW	o	10	6	6	0.6	
19	4.2	9.3	6.8	6.8	2.6	722.4	721.1	722.5	94	86	89	SE	o	N	o	NW	o	10	9	0	3.1	● n-a
20	4.9	12.5	7.8	8.4	4.3	722.7	721.5	719.0	91	74	95	E	o	NW	o	NW	o	8	10	10	12.1	
21	0.3	14.7	7.2	7.4	3.4	719.5	720.2	717.6	100	79	95	N	o	NE	o	SE	o	10	6	0	1.7	● n-a
22	9.3	12.8	9.7	10.6	6.8	717.7	714.7	715.3	73	62	90	N	o	NW	o	SE	o	10	10	10	1.8	● abds. zeitw.
23	5.9	8.7	2.2	5.6	1.9	718.9	726.4	728.4	70	40	74	NW	4	NW	o	NE	o	10	5	0	1.7	● a
24	-0.7	5.0	6.1	3.4	-0.1	725.6	722.0	718.8	73	62	97	SE	o	W	o	NW	o	4	10	10	1.3	● abds. zeitw.
25	4.4	11.2	7.4	7.7	4.3	717.8	716.7	715.6	99	76	70	NE	o	NW	o	NW	o	10	2	8		
26	6.9	16.2	14.6	12.6	9.3	715.2	713.7	715.6	81	30	31	NE	o	S	2	SE	2-3	10	3	0		
27	15.2	17.7	16.7	16.5	13.4	715.2	715.5	716.4	31	28	20	E	2-3	SE	3	SE	2-3	8	7	4		
28	16.0	15.3	16.5	15.9	12.9	716.4	717.5	715.5	29	37	21	E	3-4	SW	0-1	S	3-4	7	10	7	3.5	
29	11.4	10.8	7.7	10.0	7.3	717.4	719.8	726.1	71	92	81	SE	1-2	S	1	SE	0-1	10	10	8	42.8	● n-n m.U.
30	6.4	13.4	7.7	9.2	6.5	728.1	729.6	729.8	100	74	97	E	o	N	o	E	o	8	6	3		
Mittel	5.3	9.8	6.5	7.2	—	723.5	723.3	723.9	84	65	79							8.2	6.6	5.4	132.9	

November 1880.
Observatorium.

Genf.

$\lambda = 60^{\circ} 9'$, $\beta = 46^{\circ} 12'$,
 $H_b = 405.0^m$, $G = 0.02 \frac{m}{m}$.

Tag	Lufttemperatur					Luftdruck			Relative Feuchtigkeit			Windrichtung und Stärke			Bewölkung			Witterung				
	7 ⁰⁰	13 ⁰⁰	21 ⁰⁰	Mittel	Abweich. vom Normalst.	7 ⁰⁰	13 ⁰⁰	21 ⁰⁰	7 ⁰⁰	13 ⁰⁰	21 ⁰⁰	7 ⁰⁰	13 ⁰⁰	21 ⁰⁰	7 ⁰⁰	13 ⁰⁰	21 ⁰⁰					
1	9.6	16.8	14.5	13.8	6.9	727.3	725.9	724.3	92	66	79	SE	o	SW	1	SW	1	6	8	10	21.0	● 22-n
2	9.6	16.2	12.0	12.4	5.7	725.4	721.7	715.2	89	65	87	NNE	1	SW	2	SW	2	10	2	10	23.2	● 21-n
3	7.6	7.8	7.0	7.4	0.7	714.3	716.2	713.5	89	80	76	SW	1	SW	2	SW	1	10	10	10	9.8	● n-n, K, ▲ 0 ¹ / ₄
4	7.6	5.2	5.0	5.7	-0.7	707.9	715.9	721.5	83	87	90	SW	2	SW	1	SE	o	9	10	10	1.1	● n-n zeitw.
5	1.8	6.2	4.7	4.4	-1.9	722.9	720.6	720.3	75	56	75	E	1	NNE	1	NE	o	1	0	10	1.8	● 22-n
6	3.6	9.8	5.9	6.3	0.2	720.5	721.1	722.9	93	79	86	NE	1	NNE	1	SW	o	10	9	0	0.4	● a-n zeitw.
7	11.0	10.0	7.7	9.1	3.2	724.4	729.6	734.1	63	84	84	SW	1	SW	2	SSW	o	9	10	10	8.2	● n-n m.U.
8	3.8	8.2	6.5	6.2	0.5	736.2	737.1	738.3	93	70	85	SSW	o	SW	1	SW	o	4	10	0		● fr.
9	1.0	8.8	5.0	5.0	-0.6	739.3	738.8	739.0	95	67	91	SW	o	NNE	1	E	o	9	4	0		
10	2.5	6.3	5.6	5.0	-0.4	738.0	736.8	736.9	96	90	91	SE	o	SW	o	SW	o	10	10	10		
11	5.0	9.2	6.0	6.5	1.3	736.0	736.0	738.3	95	84	70	S	o	SW	o	NNE	1	10	0	0		
12	3.5	7.6	4.6	5.1	0.0	740.4	740.8	742.2	64	43	57	NE	1	NNE	3	NNE	2	0	1	0		
13	-0.2	6.0	1.2	2.1	-2.9	742.8	741.5	740.1	89	62	81	NE	1	N	1	S	o	0	5	0		┌ fr.
14	-1.8	8.4	1.8	2.5	-2.2	738.2	736.8	736.0	92	55	85	SE	1	NNE	1	SSW	o	0	0	0		└ fr.
15	-0.8	9.8	3.7	4.1	-0.5	733.5	731.7	731.3	94	62	88	SSW	1	NNE	1	SE	1	1	8	0	1.1	● n (15./16.), ┌ fr.
16	7.0	9.4	9.1	8.7	4.2	731.0	730.1	730.1	90	89	95	E	1	NE	o	NE	o	10	10	10	2.6	● sch. a-n
17	8.6	10.5	5.0	7.3	3.0	730.2	730.7	731.5	97	76	90	SE	o	NNE	1	E	1	9	1	0		
18	5.4	6.9	5.5	5.8	1.7	732.0	731.8	731.5	81	72	84	NNE	1	NNE	1	E	1	10	10	10	4.0	● n (18./19.)
19	6.8	12.2	11.0	10.2	6.3	728.6	727.8	729.7	94	86	83	NE	o	SSW	1	SW	o	10	9	0	6.2	● a, n
20	9.8	13.0	11.0	11.2	7.4	727.9	727.6	726.1	89	81	87	W	o	W	1	SW	1	10	10	10	4.8	● a, p
21	17.2	19.8	13.5	16.0	12.4	725.8	725.6	723.4	53	49	83	SSW	3	SSW	1	W	1	10	5	2	0.0	● a
22	14.0	16.6	14.2	14.7	11.3	722.9	721.0	723.0	71	53	67	W	1	SW	2	SW	3	10	10	10	1.0	● a, p
23	10.6	11.0	3.2	7.0	3.7	729.3	732.2	733.1	63	88	74	WSW	3	S	1	S	1	10	0	0		
24	0.0	3.8	4.2	3.1	-0.2	730.2	727.2	725.5	85	74	74	S	1	SSW	1	W	1	1	10	10	0.4	● 20 ¹ / ₄ -n, ┌ fr.
25	9.3	15.5	13.1	12.7	9.7	723.5	721.7	719.7	82	57	62	W	1	W	1	SW	1	3	6	9	0.3	● abds., n
26	11.0	14.4	11.6	12.2	9.2	718.8	717.5	719.1	76	60	69	W	1	W	1	SSW	1	9	9	2		
27	6.2	10.2	6.8	7.5	4.7	719.8	719.1	719.1	88	74	88	SE	o	S	1	S	o	9	9	10	8.5	● n (27./28.)
28	5.0	10.8	8.5	8.2	5.6	718.7	718.6	718.3	90	70	80	S	1	NNE	1	S	1	7	2	10		
29	10.2	13.1	6.5	9.1	6.6	720.0	723.5	729.4	74	57	92	NNE	1	SW	2	SE	1	9	9	0	3.0	● p, ≡ n (29./30.)
30	3.8	8.0	5.2	5.5	3.2	733.3	733.8	733.8	95	86	94	SE	2	NE	1	SE	o	10	9	0		● 16 ¹ / ₂
Mittel	6.3	10.4	7.3	7.8	—	727.9	727.9	728.2	84	69	82							7.2	6.5	5.1	97.4	

λ = 8° 33', β = 47° 23'.
Hb = 493.2m, G = 0.08 mm.

Zürich.

November 1880.
Meteorol. Zentralanstalt.

Table with columns: Tag, Lufttemperatur (7:30, 13:30, 21:30, Mittel, Abweich. vom Normalst.), Luftdruck (7:00, 13:00, 21:00), Relative Feuchtigkeit (7:00, 13:00, 21:00), Windrichtung und Stärke (7:00, 13:00, 21:00), Bewölkung (7:00, 13:00, 21:00), Niederschlag, Witterung. Rows 1-30 and Mittel.

λ = 8° 30', β = 47° 3'.
Hb = 1787.3m, G = -0.11 mm.

Rigi-Kulm.

November 1880.
Beobachter: J. Wiget.

Table with columns: Tag, Lufttemperatur (7:30, 13:30, 21:30, Mittel, Abweich. vom Normalst.), Luftdruck (7:00, 13:00, 21:00), Relative Feuchtigkeit (7:00, 13:00, 21:00), Windrichtung und Stärke (7:00, 13:00, 21:00), Bewölkung (7:00, 13:00, 21:00), Niederschlag, Witterung. Rows 1-30 and Mittel.

November 1930.
Beobachter: G. Krätli.

Bevers.

$\lambda = 9^{\circ} 53'$, $\beta = 40^{\circ} 33'$,
 $H_b = m. 1710m$, $G = -0.12 \frac{m}{m}$.

Tag	Lufttemperatur					Luftdruck			Relative Feuchtigkeit			Windrichtung und Stärke			Bewölkung			Niederschlag	Witterung
	7 ^h	13 ^h	21 ^h	Mittel	Abweich. vom Normalst.	7 ^h	13 ^h	21 ^h	7 ^h	13 ^h	21 ^h	7 ^h	13 ^h	21 ^h	7 ^h	13 ^h	21 ^h		
1	2.6	7.4	4.5	4.8	5.4	621.8	621.1	621.3	87	75	82	W	1 SW	1 SW	0 10	9	10	3.4	● 8 ^{1/2} -12
2	2.6	7.2	4.5	4.8	5.6	618.7	617.0	612.6	93	73	80	NW	0 W	2 W	1 10	5	9	24.0	● n-8 ^{1/2}
3	0.8	3.2	-3.3	0.2	1.2	606.2	606.7	608.5	94	69	86	NW	1 S	0 NE	0 10*	8	6	1.0	* n-9 ^{1/2} , * seit 13
4	-2.7	2.6	-2.8	-1.0	0.2	603.2	603.7	610.1	87	65	85	W	0 W	0 W	0 6	10*	10*	2.2	* 13 ^{1/2} -14 ^{1/2} , Δ ^o p-n zeitw.
5	-5.5	-0.8	-7.9	-4.7	-3.3	612.3	612.0	614.0	88	58	80	NE	0 W	1 NW	0 6	1	4	0.0	Δ ^o 8 ^{1/2}
6	-6.6	2.1	-1.9	-2.1	0.5	614.4	616.1	617.9	81	57	80	E	0 SW	0 W	0 6	8	6		
7	-7.2	3.6	-0.5	-1.4	0.4	620.3	621.4	624.2	91	63	85	SW	0 W	1 W	0 3	9	4		
8	-6.6	3.7	-1.5	-1.5	0.5	626.0	626.4	628.7	88	42	74	SW	0 W	0 SW	0 1	9	8		
9	-5.9	6.5	-3.5	-1.0	1.2	630.7	630.0	630.5	91	54	81	NW	0 SW	0 W	1 3	6	1		
10	-6.4	7.8	-3.6	-0.7	1.7	629.6	627.6	627.0	87	47	83	SW	0 W	0 W	0 1	0	2		
11	-4.9	4.8	-3.5	-1.2	1.3	625.2	623.4	624.7	83	54	80	SE	0 W	1 SW	0 1	2	10*	0.3	* seit 18 zeitw.
12	-4.7	-2.7	-7.3	-4.9	-2.2	626.7	628.3	630.8	66	51	65	NW	1 NE	1 E	0 6*	5	1	0.0	* fl. l. abds.
13	-9.7	3.8	-5.7	-3.9	-1.0	631.5	630.4	631.5	80	46	81	SW	0 NE	2 W	0 5	1	1		
14	-7.4	5.4	-4.3	-2.1	1.0	630.3	628.7	628.9	90	58	84	W	0 W	1 W	0 0	1	1		
15	-6.8	8.2	-3.7	-0.8	2.5	626.6	623.6	623.4	85	45	80	SW	0 S	0 W	0 4	5	1		
16	-2.6	6.6	3.0	2.3	5.8	621.0	620.0	619.9	81	68	90	SW	0 W	1 E	0 10	7	10	0.4	● 18 ^{1/2} -n
17	2.2	2.8	-5.0	0.0	3.7	619.9	620.9	622.0	64	52	66	W	1 W	3-4 S	0 2	1	0		
18	-7.6	3.3	-4.1	-2.8	1.0	622.4	622.0	622.7	80	40	72	NW	0 W	0 NW	0 1	1	0		
19	-1.9	2.0	-5.1	-1.7	2.3	621.1	620.7	620.8	87	72	96	N	1 SW	1 W	0 10	8	0	0.7	Δ seit 10, 15-15 ^{1/2} , * a-12 ^{1/2}
20	-5.5	5.9	2.9	1.1	5.3	621.0	619.8	619.8	94	63	71	W	0 SE	0 W	2 1	9	0		
21	3.3	8.3	0.5	4.0	8.4	618.6	619.6	620.0	75	62	90	SW	1 W	0 E	0 8	9	2	0.0	
22	2.8	6.0	4.1	4.3	8.9	619.0	617.4	616.2	86	79	91	NW	1 S	1 SW	1 9	8	10	0.0	Δ fr., ● 16 ^{1/2} -22 zeitw.
23	3.0	1.0	-3.3	0.2	4.9	614.1	619.7	622.4	70	45	44	SW	1 S	0 SW	1 4	1	1	0.0	* fl. Δ a-10 ^{1/2}
24	-9.4	2.0	1.2	-2.1	2.8	621.9	619.5	618.5	64	30	74	SW	0 SW	0 NW	0 1	10	10	0.1	Δ seit 22
25	-2.7	5.0	-4.1	-0.6	4.5	616.0	616.0	616.8	93	57	76	NW	0 W	1 W	0 1	0	0	0.0	
26	-0.2	4.8	2.8	2.5	7.8	615.8	616.3	618.3	85	70	87	SW	0 W	0 SW	0 9	9	10	3.0	Δ fr., ● 16 ^{1/2} -n zeitw.
27	1.8	5.5	2.7	3.3	8.7	618.9	619.5	620.6	95	77	85	SW	0 SW	0 NW	1 10	7	4	1.0	● n-10, p zeitw.
28	2.5	4.0	1.2	2.6	8.2	620.0	619.9	620.8	70	85	87	SE	0 W	0 W	0 2	10	9	2.2	● seit 11 ^{1/2} , ● p zeitw.
29	4.1	4.1	2.7	3.6	9.4	621.0	622.0	624.0	75	87	94	NW	0 NE	1 SW	1 10	10	10	11.8	● 8 ^{1/2} -n m.U.
30	2.2	7.0	3.2	4.1	10.1	626.6	625.9	627.8	95	80	92	NW	0 S	0 S	0 10	9	4	0.1	● n-8
Mittel	-2.6	4.4	-1.3	0.2	-	620.7	620.5	621.5	83	61	81				5.3	5.9	4.8	Summe	50.2

November 1930.
Beobachter: Kapuzinerkloster.

Sitten.

$\lambda = 7^{\circ} 21'$, $\beta = 46^{\circ} 14'$,
 $H_b = 548.6m$, $G = 0.00 \frac{m}{m}$.

Tag	Lufttemperatur					Luftdruck			Relative Feuchtigkeit			Windrichtung und Stärke			Bewölkung			Niederschlag	Witterung
	7 ^h	13 ^h	21 ^h	Mittel	Abweich. vom Normalst.	7 ^h	13 ^h	21 ^h	7 ^h	13 ^h	21 ^h	7 ^h	13 ^h	21 ^h	7 ^h	13 ^h	21 ^h		
1	6.2	14.8	10.8	10.6	3.8	715.5	713.4	712.9	93	45	70	N	0 SW	0 E	0 7	1	9	8.7	● n (1./2.), Δ fr.
2	8.4	14.0	9.6	10.7	4.1	713.2	710.2	703.7	93	51	71	NW	0 N	0 W	0 10	1	9	28.8	
3	7.0	6.8	5.2	6.3	-0.1	701.9	702.8	702.4	94	82	82	N	0-1 SW	0-1 NE	0 10	10	10	18.0	● 1-14 ^{1/2}
4	2.0	4.9	4.0	3.6	-2.6	698.5	701.6	707.0	97	74	76	NW	0 SW	1-2 NW	0 10	10	10	8.3	● * n-12 zeitw.
5	1.7	5.8	3.1	3.5	-2.6	709.5	708.4	708.4	92	43	66	W	0 SW	0 E	0 8	2	10		
6	2.6	8.7	4.8	5.4	-0.5	709.6	710.0	712.1	76	43	70	NE	0 E	0 NE	0 4	9	1		
7	3.8	6.2	4.9	5.0	-0.7	714.3	717.9	721.6	75	72	97	NE	0 NE	0 E	0 6	10	10	8.2	● 10 ^{1/2} -20
8	4.3	9.6	6.1	6.7	1.2	723.3	723.5	725.5	79	53	80	NE	1 NE	0-1 E	0 5	8	3	0.1	
9	1.2	10.6	5.3	5.7	0.4	727.2	725.8	726.5	99	44	85	NE	0 SE	0-1 E	0 6	2	0		
10	1.1	10.3	3.4	4.9	-0.2	725.5	723.2	724.1	96	47	98	E	0 NE	0 NE	0 0	0	0		
11	1.0	8.9	6.3	5.4	0.5	723.0	721.7	723.7	100	67	57	N	0 N	0 W	1 10	3	1		
12	1.4	7.2	1.8	3.5	-1.2	727.0	727.2	729.2	64	34	54	NW	0 W	0 NE	0 1	0	0		
13	-1.5	5.6	1.0	1.7	-2.9	730.3	728.1	728.2	76	40	71	NE	0 NE	0 NE	0 1	0	0		
14	0.4	9.8	3.7	4.6	0.2	725.7	723.7	723.4	79	44	76	NE	0 N	0 W	0 0	0	0		
15	2.3	10.8	3.4	5.5	1.3	721.4	719.0	719.0	76	44	81	N	0 W	0 NW	0 1	1	0	1.2	
16	3.1	8.4	6.6	6.0	1.9	718.5	717.2	716.8	97	76	99	NE	0 NW	0 W	0 10	9	10	11.5	● 5-12 ^{1/2} , 14 ^{1/2} -n
17	8.0	11.8	5.4	8.4	4.5	716.8	716.8	719.3	92	53	82	W	0 W	1 W	0 10	2	0		
18	2.5	7.5	5.0	5.0	1.3	719.2	718.7	718.8	92	59	92	NW	0 NW	0 NW	0 10	1	3	0.5	
19	3.4	6.8	5.2	5.1	1.6	716.9	716.9	716.8	92	90	100	NW	0 NW	0 W	0 10	10	7	5.8	● fr.-14 ^{1/2}
20	4.4	9.0	8.0	7.1	3.8	715.9	715.0	713.9	92	74	90	NW	0 NE	0 W	0 4	10	10	14.2	● 12-15, ≡ abds.
21	7.8	13.9	10.5	10.7	7.5	713.9	713.8	712.4	99	75	63	NW	0 NW	0 N	0 10	7	5	0.3	● n-8
22	7.2	11.1	9.2	9.2	6.2	710.9	713.5	710.2	75	72	89	N	0 N	0-1 NW	0 10	10	6	5.8	● 17 ^{1/2} -20 ^{1/2}
23	11.4	9.7	3.6	8.2	5.4	712.7	717.8	720.5	43	43	62	W	2-3 SW	2 NW	0-1 8	0	0		
24	0.8	4.6	4.6	3.3	0.7	718.1	715.0	713.5	74	57	66	N	0 NW	0 NW	0 2	10	10	0.6	● seit 20, ⊥ fr.
25	5.2	11.8	8.2	8.4	5.9	710.2	709.9	708.6	83	56	66	NW	0 NE	0 E	0 7	1	10		
26	6.8	13.4	9.0	9.7	7.4	708.4	707.4	708.9	72	41	52	E	0 NW	0 E	0 10	10	0		
27	8.4	14.0	10.2	12.9	10.8	709.0	708.4	709.1	53	47	33	E	0-1 NE	0 E	4 8	10	10		
28	14.1	9.3	13.6	12.3	10.3	709.1	711.5	709.8	37	91	42	E	2 NE	1 E	3-4 1	10	10	6.2	● seit 15
29	11.4	14.0	7.8	11.1	9.3	709.0	710.5	717.3	60	52	91	N	1 NE	1 NE	0 10	10	7	0.2	● 12-13 ^{1/2} , ⊥ seit 15
30	5.1	12.4	5.4	7.6	6.0	720.8	720.5	722.2	95	61	97	NE	0 NE	0 NE	0 7	6	0		
Mittel	4.7	9.7	6.4	6.9	-	715.8	715.7	716.2	82	58	75				6.5	5.4	5.0	Summe	118.4

λ = 8° 57', β = 46° 0'.
H_b = 276.2 m, G = 0.03 mm.

Lugano.

November 1930.
Beobachter: G. Malatesta.

Tag	Lufttemperatur					Luftdruck			Relative Feuchtigkeit			Windrichtung und Stärke			Bewölkung			Niederschlag	Witterung
	7 ⁰⁰	13 ⁰⁰	21 ⁰⁰	Mittel	Abweich. vom Normal	7 ⁰⁰	13 ⁰⁰	21 ⁰⁰	7 ⁰⁰	13 ⁰⁰	21 ⁰⁰	7 ⁰⁰	13 ⁰⁰	21 ⁰⁰	7 ⁰⁰	13 ⁰⁰	21 ⁰⁰		
1	10.8	11.2	10.6	10.9	2.3	740.4	740.0	739.5	88	84	89	NNE	W	W	10	10	10	14.1	● 7 ¹ / ₂ -16 ¹ / ₂ zeitw.
2	10.4	11.2	11.0	10.9	2.5	736.5	735.8	734.8	86	84	87	E	ON	ON	10	10	10	16.3	● 0 ¹ / ₂ -1.5, 21 ¹ / ₂ -21 ¹ / ₂ , n m.U.
3	8.8	13.2	6.8	9.6	1.3	721.4	720.9	722.8	75	56	56	N	IS	ON	10	1	10	2.0	
4	6.6	9.6	11.0	9.1	1.0	718.4	719.0	722.9	82	60	20	N	WSW	NE	4	10	5	0.2	● 3 ¹ / ₂ -8 ¹ / ₂ , p-p-n
5	9.0	13.2	4.2	8.8	0.9	727.5	728.5	731.3	26	19	52	N	2N	2N	0	0	6		
6	4.6	11.0	7.6	7.7	-0.1	732.9	734.6	736.7	68	41	70	N	ON	OS	0	7	8	0.0	● tr. 20 ¹ / ₂
7	5.0	11.0	5.4	7.1	-0.5	739.3	740.7	743.0	83	54	76	N	OE	ON	0	10	10		┌ fr.
8	2.4	10.4	3.8	5.6	-1.8	744.0	744.2	746.4	83	52	74	N	OE	ON	0	10	0		┌ fr.
9	2.6	11.8	5.2	6.5	-0.8	748.0	748.1	747.1	83	44	76	N	OS	ON	0	3	1		┌ fr.
10	2.8	11.2	4.8	6.3	-0.8	745.7	744.3	745.3	84	54	78	N	OS	ON	0	1	0		┌ fr.
11	2.0	10.2	2.0	4.7	-2.3	739.2	739.0	739.2	75	53	19	S	ON	1N	3	10	0		┌ fr., p abds.-n
12	9.2	11.0	5.2	8.5	1.7	745.1	747.4	749.9	18	17	31	N	4NE	4N	0	0	0		┌ n-p
13	1.0	10.2	2.8	4.7	-2.0	760.4	750.3	749.3	54	32	50	NNE	OS	ON	0	0	0		┌ fr.
14	1.0	10.2	4.8	5.3	-1.2	747.6	746.5	745.3	72	45	68	N	OSW	ON	0	0	0		┌ fr.
15	2.0	11.4	5.2	6.2	-0.2	742.4	740.5	739.6	75	54	72	NE	OSW	ON	0	0	0		┌ fr.
16	3.0	10.0	5.4	6.1	-0.1	738.3	736.6	735.3	83	60	68	NE	OS	ON	0	10	2		┌ fr.
17	2.6	11.0	4.0	5.9	-0.1	736.4	736.5	746.0	88	59	87	N	OS	ON	0	10	0		┌ fr.
18	3.2	7.4	6.2	5.6	-0.3	739.3	741.5	741.7	89	78	72	N	ONE	ON	0	10	10		≡ n-12 ¹ / ₂ , ┌ fr.
19	5.0	9.0	4.8	6.3	0.6	741.4	739.5	737.8	78	55	73	NE	OS	ON	0	10	1		┌ fr.
20	1.2	9.2	3.8	4.7	-0.9	737.7	737.3	736.5	86	53	76	NE	OSE	ON	0	0	10		┌ fr.
21	5.2	12.2	7.0	8.1	2.7	735.6	737.3	736.6	76	58	81	NW	OE	OS	0	10	4		
22	9.2	11.2	9.0	9.8	4.5	736.3	735.0	733.0	87	79	88	S	ONNE	OS	0	10	10		● 0-8 ¹ / ₂ , 14 ¹ / ₂ -3 m.U.
23	9.2	17.8	8.2	11.7	6.6	732.5	733.8	737.3	88	18	18	W	ONNE	2NNE	1	4	0		
24	2.4	8.8	4.6	5.3	0.3	738.6	736.5	735.6	41	41	53	N	ON	ON	0	1	10		┌ fr.
25	2.8	10.2	5.2	6.1	1.2	733.9	733.3	733.9	78	48	76	NW	OSW	ON	0	0	0		┌ fr.
26	6.4	7.8	7.0	7.1	2.3	735.0	735.7	737.4	87	83	86	NW	OSW	ON	0	10	10		● 2-9 ¹ / ₂ m.U., 19-n
27	8.2	9.0	8.4	8.5	3.9	737.9	739.0	739.8	87	84	88	NNE	OW	ON	0	10	10		● n-11 ¹ / ₂ , 17-18 m.U.
28	8.4	10.2	9.0	9.2	4.7	738.7	737.0	738.7	86	81	84	N	OS	ON	0	10	10		● 9-12
29	16.2	14.0	12.8	14.3	10.0	736.2	737.7	740.8	38	66	59	ESE	4S	3S	3	10	10		● 11 ¹ / ₂ -n, p n-n
30	10.2	11.0	10.2	10.5	6.3	745.3	746.1	746.3	86	84	88	WNW	W	OW	0	10	10		● n-11 ¹ / ₂ , 14 ¹ / ₂ -15 ¹ / ₂ , 19 ¹ / ₂ -20 ¹ / ₂
Mittel	5.7	10.8	6.5	7.7	-	738.1	738.1	738.8	74	56	67							Summe	99.7

λ = 7° 35', β = 47° 33'.
H_b = 318 m, G = 0.13 mm.

Basel.

November 1930.
Astronom.-Meteorol. Anstalt.

1	9.4	15.6	10.6	11.9	-	734.7	733.0	730.9	95	68	94	ESE	1SE	1E	10	10	10	6.0	⊕ 16, ⊖ 21 ¹ / ₂
2	10.5	14.2	10.6	11.8	-	730.7	727.7	719.1	85	61	75	SSW	1WNW	1SSW	3	10	1	6.4	● 0-7 m.U., 9 ¹ / ₂ , 20 ¹ / ₂ -1, p abds.
3	9.4	9.8	6.0	8.4	-	717.4	720.4	720.9	61	63	82	SW	2WSW	2S	1	7	10	22.2	● 8 ¹ / ₂
4	0.4	3.9	4.8	3.0	-	715.8	721.7	727.7	96	93	90	N	1SW	1WSW	10*	10	10	11.4	* 1 ¹ / ₂ -8, ● 8-13 ¹ / ₂ , 17 ¹ / ₂ -17 ¹ / ₂ , ☒
5	2.1	5.5	2.4	3.3	-	730.3	729.2	728.3	85	64	82	WSW	1NNE	1E	1	10	6	4.6	⊖ 19 [23 ¹ / ₂ -1 ¹ / ₂]
6	1.4	6.0	4.0	3.8	-	727.4	727.8	729.6	94	82	90	ENE	2ENE	1ENE	1	10	6	1.6	● 3 ¹ / ₂ -8 ¹ / ₂ , 11 ¹ / ₂ -12 ¹ / ₂
7	10.6	9.1	5.0	8.2	-	730.2	734.5	742.4	58	88	78	SSW	2W	2WSW	1	9	10	2.1	● 10 ¹ / ₂ -15 ¹ / ₂ m.U.
8	0.3	5.8	5.6	3.9	-	742.9	743.3	745.2	92	69	85	ESE	1ESE	1SSW	1	8	10		┌ fr.
9	6.6	9.9	9.3	8.6	-	746.0	746.2	746.4	87	75	83	SSE	1WSW	1SW	1	10	10	0.0	● tr. 21 ¹ / ₂ , < 20-21 ¹ / ₂
10	8.6	11.6	10.2	10.1	-	745.0	744.2	743.6	86	80	86	SSW	1SSW	1W	1	10	10	0.0	● 10
11	8.1	8.6	5.6	7.4	-	743.4	744.1	746.0	74	60	65	WNW	2W	2WSW	10	8	10		
12	1.7	5.8	0.2	2.6	-	748.9	749.9	751.8	88	70	92	SSW	1NW	1SE	1	10	6	0.0	* fl. S ¹ / ₂ -9
13	-1.4	8.1	0.6	2.4	-	751.6	749.7	748.6	96	57	89	ESE	1ESE	1ESE	1	8	3		┌ fr.
14	-2.2	9.0	1.6	2.8	-	746.1	744.5	742.9	96	56	87	SE	1E	1SE	1	3	1		┌ fr.
15	-1.5	9.9	3.1	3.8	-	740.8	739.0	738.4	94	50	88	ESE	1NE	1ENE	1	3	9	0.1	┌ fr.
16	6.2	10.0	6.6	7.6	-	736.2	735.5	737.1	93	91	96	ESE	1W	1W	1	10	10	12.2	● sch. fr., 9 ¹ / ₂ -9 ¹ / ₂ , 13 ¹ / ₂ , (14 ¹ / ₂ -23)
17	1.4	6.0	1.8	3.1	-	740.3	740.1	740.5	89	65	85	W	1NNW	1SW	1	8	1		≡ a
18	-0.2	5.9	2.3	2.7	-	741.6	740.0	738.2	96	59	82	NE	1ENE	1ESE	1	10	2	7.2	
19	4.8	13.6	13.7	10.7	-	732.6	732.8	734.3	96	86	67	ENE	1SW	1W	2	10	10	1.6	● 3 ¹ / ₂ -12, 13 ¹ / ₂
20	9.2	10.2	15.5	11.6	-	734.3	732.5	729.4	86	97	66	E	1E	1WSW	2	10	10	9.0	● 9 ¹ / ₂ -14 ¹ / ₂ , 16, 17-19 ¹ / ₂
21	12.8	17.0	12.1	14.0	-	730.8	731.2	728.1	94	63	68	WSW	1WSW	1SW	1	10	1	1.3	● 3 ¹ / ₂ -5 ¹ / ₂ , 6-10
22	15.4	14.3	14.6	14.8	-	727.9	726.2	725.8	69	78	53	SSW	1NW	1WSW	1	10	5	4.5	● 11 ¹ / ₂ -12 ¹ / ₂ , 16-18, p n (22./23.)
23	6.0	7.4	0.9	4.8	-	738.8	739.3	740.6	59	58	82	WSW	3SE	2SE	1	1	7		● 0 ¹ / ₂ -1 ¹ / ₂ , 4, ● 5 ¹ / ₂ -5 ¹ / ₂ , 7.5-8
24	-1.7	2.8	3.3	1.5	-	737.5	734.1	730.7	88	75	88	E	1SE	1E	1	10	10	2.5	● 19-19 ¹ / ₂ , 20 ¹ / ₂ -22 ¹ / ₂ , ┌ fr.
25	8.7	14.2	9.3	10.7	-	729.4	729.3	726.7	88	61	78	NNW	1WNW	1SSE	1	10	9	0.6	● 3 ¹ / ₂ -4, 21 ¹ / ₂ , ☉ 9
26	8.4	13.6	10.9	11.0	-	725.7	724.2	726.2	91	69	77	E	1ESE	2E	1	10	8		● 4-5 ¹ / ₂ , 7 ¹ / ₂
27	7.0	13.0	6.2	8.7	-	727.8	727.4	726.8	91	74	96	E	1NW	1SE	1	5	6		≡ fr.
28	4.2	9.7	7.0	7.0	-	726.3	727.4	727.0	93	80	88	W	1E	1SW	1	10	10		● 16-18 ¹ / ₂ , ┌ fr.
29	5.4	9.9	7.4	7.6	-	727.2	730.6	737.1	82	78	86	NW	1WNW	1E	1	1	6	3.0	● 19
30	4.2	6.5	6.5	5.7	-	740.4	741.8	742.2	93	91	93	ESE	1E	1SE	1	2	10	0.0	
Mittel	5.2	9.6	6.6	7.1	-	734.8	734.9	735.1	86	72	82							Summe	96.3

November 1930.
Beobachter: Observatorium.

Santis.

$\lambda = 9^{\circ} 20'$, $\beta = 47^{\circ} 15'$.
 $H_b = 2500.1^m$, $G = -0.16^m/m$.

Table with columns: Tag, Lufttemperatur (7h, 13h, 21h, Mittel, Abweich. von Normalst.), Luftdruck (7h, 13h, 21h), Relative Feuchtigkeit (7h, 13h, 21h), Windrichtung und Stärke (7h, 13h, 21h), Bewölkung (7h, 13h, 21h), Niederschlag, Witterung. Rows 1-30 and Mittel.

November 1930.
Beobachter: Frl. F. Lombardi.

St. Gotthard (Hospiz).

$\lambda = 8^{\circ} 34'$, $\beta = 46^{\circ} 33'$.
 $H_b = 2102.9^m$, $G = -0.14^m/m$.

Table with columns: Tag, Lufttemperatur (7h, 13h, 21h, Mittel, Abweich. von Normalst.), Luftdruck (7h, 13h, 21h), Relative Feuchtigkeit (7h, 13h, 21h), Windrichtung und Stärke (7h, 13h, 21h), Bewölkung (7h, 13h, 21h), Niederschlag, Witterung. Rows 1-30 and Mittel.

λ = 7° 26', β = 46° 57',
H_b = 572.2^m, G = 0.05 ^{mm}/m.

Bern.

Dezember 1890.
Tellur. Observatorium.

Table with columns: Tag, Lufttemperatur (7^h, 13^h, 21^h, Mittel, Abweich. vom Normalst.), Luftdruck (7^h, 13^h, 21^h), Relative Feuchtigkeit (7^h, 13^h, 21^h), Windrichtung und Stärke (7^h, 13^h, 21^h), Bewölkung (7^h, 13^h, 21^h), Niederschlag, Witterung. Rows 1-31 and Mittel.

*) 20. ● tr. 18^h/4-19^h/4, ≡ a, ∞ ∟ fr. 31. ≡ 7^h/4-9^h/4

λ = 6° 57', β = 47° 0',
H_b = 487.3^m, G = 0.06 ^{mm}/m.

Neuchâtel.

Dezember 1890.
Observatorium.

Table with columns: Tag, Lufttemperatur (7^h, 13^h, 21^h, Mittel, Abweich. vom Normalst.), Luftdruck (7^h, 13^h, 21^h), Relative Feuchtigkeit (7^h, 13^h, 21^h), Windrichtung und Stärke (7^h, 13^h, 21^h), Bewölkung (7^h, 13^h, 21^h), Niederschlag, Witterung. Rows 1-31 and Mittel.

Dezember 1930.
Beobachter: Frl. H. Nager.

Aldorf.

$\lambda = 8^{\circ} 39'$, $\beta = 46^{\circ} 53'$,
 $H_b = 456.3^m$, $G = 0.05^m$.

Tag	Lufttemperatur					Luftdruck			Relative Feuchtigkeit			Windrichtung und Stärke			Bewölkung			Mitternacht	Witterung	
	7 ⁰⁰	13 ⁰⁰	21 ⁰⁰	Mittel	Abweich. von Normal	7 ⁰⁰	13 ⁰⁰	21 ⁰⁰	7 ⁰⁰	13 ⁰⁰	21 ⁰⁰	7 ⁰⁰	13 ⁰⁰	21 ⁰⁰	7 ⁰⁰	13 ⁰⁰	21 ⁰⁰			
1	6.6	6.6	6.2	6.5	3.9	730.6	733.3	729.6	99	99	97	NW	0	NW	0	10	10	10	≡ ² abds.	
2	4.8	5.4	4.3	4.8	2.3	726.5	726.2	727.4	94	88	87	NE	0	W	0	10	10	10	.	
3	3.7	4.5	3.7	4.0	1.7	728.0	728.2	729.5	84	75	83	E	1	W	0	10	10	10	.	
4	2.8	3.8	3.7	3.4	1.2	728.7	727.5	727.1	75	73	74	SW	0	E	0	10	10	10	.	
5	2.2	3.9	2.4	2.8	0.7	726.0	724.8	723.7	64	58	80	E	0	NW	0	10	2	10	1.1 ● abds. zeitw., * ?	
6	0.9	4.3	1.8	2.3	0.3	723.9	721.7	720.8	100	84	100	SE	0	SE	0	10	10	3	0.9 ● p zeitw. ☒	
7	-0.1	5.9	1.0	2.3	0.5	721.5	720.4	720.0	93	53	79	NW	0	E	0	9	3	0	.	
8	3.7	5.8	2.7	4.1	2.4	718.7	720.5	721.0	72	74	100	E	0	SE	0	10	10	6	1.3 ● p zeitw.	
9	2.7	6.0	3.4	4.0	2.4	718.5	717.3	717.2	89	70	81	SE	0	N	0	10	10	10	0.2 ● abds.	
10	3.8	1.8	1.3	2.3	0.8	718.2	720.6	721.3	45	74	64	N	1-2	NW	1	10	10	10	1.0 ● a zeitw., * p	
11	-2.2	1.7	-3.0	-1.2	-2.6	719.9	713.8	711.3	60	52	75	SE	0	NW	0	10	1	0	.	
12	0.4	0.9	2.3	1.2	-0.1	713.4	714.0	715.9	85	92	100	S	0	SE	0	10	10	10	5.6 * a, p, ● p, abds.	
13	2.7	6.9	4.2	4.6	3.4	715.0	711.0	712.9	97	62	100	NW	0	W	0	10	8	3	4.2 ● a zeitw.	
14	1.3	5.4	1.6	2.8	1.7	712.8	712.8	714.6	84	63	98	W	0	NW	0	10	8	10	4.2 ● 16-19	
15	1.2	3.8	1.2	2.1	1.1	714.3	714.1	717.9	99	64	87	NW	0	E	0	10	4	0	.	
16	0.2	2.9	-2.0	0.4	-0.5	718.4	715.5	716.4	54	49	80	E	1	NW	0	1	1	0	.	
17	-2.7	2.3	0.2	-0.1	-0.9	720.5	723.6	728.7	86	65	83	SE	0	NW	0	10	4	6	10	.
18	0.4	1.7	-2.6	-0.2	-0.9	733.4	736.1	737.1	61	58	69	SE	0-1	N	1	10	10	0	.	
19	-4.4	0.6	-3.7	-2.5	-3.1	735.7	734.2	733.7	98	58	84	SE	0	N	0	3	0	0	.	
20	-1.8	-0.2	-1.4	-1.1	-1.7	730.9	729.3	729.1	85	78	84	SE	0	SW	0	10	10	10	.	
21	-1.9	-0.7	-1.2	-1.3	-1.8	727.0	727.7	728.1	88	82	79	E	0	S	0	10	10	10	.	
22	-1.3	-0.9	-1.0	-1.1	-1.5	727.9	728.0	729.3	74	79	83	SE	0	NW	0	10	10	10	.	
23	-1.1	-0.9	-1.0	-1.0	-1.4	725.1	722.7	721.6	70	69	87	E	0	E	0	10	10	10	.	
24	-1.7	-0.8	-1.8	-1.4	-1.7	719.9	719.1	717.0	65	67	60	E	0	SE	0	10	10	10	.	
25	-3.0	-1.1	-4.4	-2.8	-3.1	713.5	712.4	713.8	65	60	80	SE	0	E	0	10	4	0	.	
26	-5.0	1.5	-0.3	-1.3	-1.5	716.4	716.2	715.1	98	94	74	SE	0	NW	0	5	2	9	2.6 * ?	
27	-0.8	5.3	2.5	2.3	2.1	720.1	722.1	722.1	100	78	86	SW	0	N	0	10	8	9	☒	
28	2.4	5.0	1.3	2.9	2.7	723.0	724.5	727.6	84	78	97	SE	0	SE	0	10	7	0	3.4 ● 9 1/2-p (?)	
29	1.2	11.2	3.4	5.3	5.2	719.0	714.7	715.2	95	25	94	N	0-1	SE	2	4	6	10	1.9 ● abds.	
30	1.4	4.9	5.1	3.8	3.7	716.3	715.6	712.2	88	74	65	NE	0	NW	0	10	3	10	.	
31	7.8	10.8	3.6	7.4	7.3	709.3	707.5	711.2	44	29	93	S	2	S	2	10	3	10	3.5 ● seit 18	
Mittel	0.8	3.5	1.1	1.8	-	721.7	721.0	721.6	81	69	84				8.6	7.0	6.8	35.9		

Dezember 1930.
Observatorium.

Genf.

$\lambda = 6^{\circ} 9'$, $\beta = 46^{\circ} 12'$,
 $H_b = 405.0^m$, $G = 0.02^m$.

Tag	Lufttemperatur					Luftdruck			Relative Feuchtigkeit			Windrichtung und Stärke			Bewölkung			Mitternacht	Witterung
	7 ⁰⁰	13 ⁰⁰	21 ⁰⁰	Mittel	Abweich. von Normal	7 ⁰⁰	13 ⁰⁰	21 ⁰⁰	7 ⁰⁰	13 ⁰⁰	21 ⁰⁰	7 ⁰⁰	13 ⁰⁰	21 ⁰⁰	7 ⁰⁰	13 ⁰⁰	21 ⁰⁰		
1	5.2	6.1	5.7	5.7	3.4	735.1	734.1	733.0	100	92	89	SE	1	NNE	1	10	10	10	≡ 1
2	5.7	6.3	5.3	5.6	3.5	731.0	730.5	731.6	89	85	91	NE	0	NNE	1	10	10	10	.
3	4.4	4.8	4.8	4.7	2.7	732.2	733.0	733.4	88	84	84	NNE	1	NNE	1	10	10	10	.
4	3.4	3.0	2.8	3.0	1.1	732.1	732.0	731.6	87	76	83	NNE	2	NNE	1	10	10	10	.
5	3.2	4.2	4.2	4.0	2.2	730.3	729.3	728.7	85	88	90	E	0	NW	1	10	10	9	0.1 ● 10 1/2, p
6	5.7	10.2	7.7	7.8	6.2	727.1	726.1	726.0	80	60	71	SW	1	SW	1	2	1	1	.
7	3.3	8.8	6.5	6.3	4.7	725.9	725.2	724.0	83	62	78	NW	1	SSW	1	6	9	10	10.8 ● 22-n
8	5.3	7.8	3.3	4.9	3.5	724.0	725.3	725.2	98	83	88	SSW	1	S	3	10	9	9	3.1 ● a, p, n
9	2.1	4.9	3.0	3.2	1.9	722.9	722.3	723.5	94	88	93	S	0	SSW	1	10	10	0	1.8 ● p, ● * n
10	1.4	4.0	1.9	2.3	1.1	724.0	725.1	725.9	87	49	65	SW	1	NNE	1	1	1	9	☒
11	-1.8	0.8	-1.0	-0.7	-1.9	723.2	718.3	717.0	79	74	84	E	1	E	1	9	10	10	7.5 * 17 1/2-n
12	-1.2	0.0	3.7	1.5	0.5	718.7	720.0	721.7	92	90	91	SE	0	NNE	1	10	8	10	☒
13	2.8	4.6	6.7	5.2	4.3	720.0	717.2	720.4	93	90	80	SW	1	SW	1	9	10	0	4.3 ● 12 1/2-n
14	4.5	6.4	4.0	4.7	3.9	717.4	718.3	719.9	85	76	87	SW	1	SW	1	9	9	10	1.7 ● a, p, n
15	0.3	3.2	2.3	2.0	1.3	718.0	719.9	721.9	94	86	91	SSE	1	SW	1	1	9	9	☒
16	0.3	3.7	1.0	1.5	0.8	722.9	720.0	720.6	89	71	87	ESE	1	NNE	1	3	9	10	.
17	2.0	3.2	2.7	2.7	2.1	725.1	728.1	731.0	89	89	79	SSW	0	NNE	1	10	10	3	.
18	1.0	1.2	1.0	1.0	0.5	737.5	739.5	740.0	71	68	69	NNE	2	NNE	2	10	10	0	.
19	-0.6	2.8	1.5	1.3	0.9	738.8	737.0	735.9	73	53	74	NNE	2	NNE	2	10	0	0	.
20	-0.6	1.9	-1.4	-0.4	-0.7	734.6	733.3	734.5	80	88	100	NE	1	NNE	1	10	0	0	.
21	-4.2	-0.6	-1.2	-1.8	-2.1	731.9	732.1	732.1	98	80	80	SE	0	E	1	10	10	10	☒
22	-1.8	-1.4	-1.0	-1.3	-1.5	732.3	732.5	732.8	79	88	80	NNE	1	NNE	1	10	10	10	.
23	-0.6	-0.2	-0.2	-0.3	-0.5	729.2	727.2	726.4	92	85	81	NNE	1	NNE	1	10	10	10	.
24	-1.2	-0.6	-1.0	-0.9	-1.1	724.8	723.7	721.9	86	73	75	SE	1	NNE	1	10	10	10	.
25	-2.4	-0.7	-0.7	-1.1	-1.2	717.9	716.5	717.6	79	80	80	SE	1	E	0	10	9	.	☒
26	-2.6	3.0	3.0	1.6	1.6	721.5	721.4	722.0	66	72	60	SE	1	S	1	10	9	10	0.1 ● 22 1/2-n
27	4.6	8.8	7.3	1.0	7.0	725.9	726.6	727.7	87	73	81	NE	0	NW	0	10	4	10	4.0 ● n (27./28.)
28	5.4	8.4	2.5	4.7	4.8	729.7	732.7	730.9	94	89	90	SE	1	SE	1	10	9	4	1.8 ● a, n
29	1.2	1.4	3.4	2.3	2.5	724.1	719.7	720.9	95	93	87	E	1	W	1	10	10	10	19.4 ● a, p, n, K 15 1/2
30	3.0	5.6	4.3	4.3	4.4	722.0	720.7	718.4	89	78	88	SE	0	S	1	9	9	10	15.3 ● n-n m.U.
31	10.0	10.8	6.4	8.3	8.4	714.3	718.1	716.6	70	64	74	SSW	2	SW	3	10	9	3	2.9 ● n-n m.U.
Mittel	1.9	3.9	3.0	2.9	-	726.3	725.8	726.2	86	78	82				8.0	8.2	7.3	72.8	

λ = 8° 33', β = 47° 23'.
Hb = 493.2 m, G = 0.08 mm.

Zürich.

Dezember 1930.
Meteorol. Zentralanstalt.

Table with columns: Tag, Lufttemperatur (7:00, 13:00, 21:00, Mittel, Abw. von Normal), Luftdruck (7:00, 13:00, 21:00), Relative Feuchtigkeit (7:00, 13:00, 21:00), Windrichtung und Stärke (7:00, 13:00, 21:00), Bewölkung (7:00, 13:00, 21:00), Niederschlag, Witterung. Rows 1-31 and Mittel.

λ = 8° 30', β = 47° 3'.
Hb = 1787.3 m, G = -0.11 mm.

Rigi-Kulm.

Dezember 1930.
Beobachter: J. Wiget.

Table with columns: Tag, Lufttemperatur (7:00, 13:00, 21:00, Mittel, Abw. von Normal), Luftdruck (7:00, 13:00, 21:00), Relative Feuchtigkeit (7:00, 13:00, 21:00), Windrichtung und Stärke (7:00, 13:00, 21:00), Bewölkung (7:00, 13:00, 21:00), Niederschlag, Witterung. Rows 1-31 and Mittel.

Dezember 1930.
Beobachter: G. Krättli.

Bever.

$\lambda = 9^{\circ} 53'$, $\beta = 46^{\circ} 33'$
 $H_b = a. 1710^m$, $G = -0.12 \frac{m}{m}$.

Table with columns: Tag, Lufttemperatur (7, 13, 21, Mittel, Abweich. von Normalst.), Luftdruck (7, 13, 21), Relative Feuchtigkeit (7, 13, 21), Windrichtung und Stärke (7, 13, 21), Bewölkung (7, 13, 21), Niederschlag, Witterung. Includes daily data from Dec 1 to 31 and a Mittel row.

Dezember 1930.
Beobachter: Kapuzinerkloster.

Sitten.

$\lambda = 7^{\circ} 21'$, $\beta = 46^{\circ} 14'$
 $H_b = 548.6^m$, $G = 0.00 \frac{m}{m}$.

Table with columns: Tag, Lufttemperatur (7, 13, 21, Mittel, Abweich. von Normalst.), Luftdruck (7, 13, 21), Relative Feuchtigkeit (7, 13, 21), Windrichtung und Stärke (7, 13, 21), Bewölkung (7, 13, 21), Niederschlag, Witterung. Includes daily data from Dec 1 to 31 and a Mittel row.

λ = 80° 57', β = 46° 0'.
H_b = 276.2 m, G = 0.03 mm.

Lugano.

Dezember 1930.
Beobachter: G. Malatesta.

Tag	Lufttemperatur					Luftdruck			Relative Feuchtigkeit			Windrichtung und Stärke			Bewölkung			Mittelschlag	Witterung	
	7 ⁰⁰	13 ⁰⁰	21 ⁰⁰	Mittel	Abweich. vom Normalst.	7 ⁰⁰	13 ⁰⁰	21 ⁰⁰	7 ⁰⁰	13 ⁰⁰	21 ⁰⁰	7 ⁰⁰	13 ⁰⁰	21 ⁰⁰	7 ⁰⁰	13 ⁰⁰	21 ⁰⁰			
1	6.8	10.8	10.2	9.3	5.2	745.0	743.3	744.5	87	69	80	W	0	S	0	10	0	10	0.2	● n (1./2.) ztw., ≡ 7 ¹ / ₂ -8 ¹ / ₂
2	7.0	10.8	8.4	8.7	4.7	743.7	741.5	741.8	73	66	80	N	0	E	0	3	1	10	0.2	
3	7.8	8.4	6.8	7.7	3.9	740.1	745.9	743.9	71	46	63	S	1	W	0	10	10	0.1	● n, a zeitw.	
4	6.2	7.0	3.6	5.6	1.9	745.4	744.2	743.9	71	51	76	WNW	0	S	0	10	10	0		
5	1.2	6.8	2.6	3.5	-0.1	742.9	741.5	741.5	77	46	75	N	0	W	0	1	1	10	2.0	● n (5./6.), L ⁰ fr.
6	2.2	6.4	4.8	4.5	1.0	740.1	739.5	740.5	89	58	78	NW	0	SE	0	10	7	10	0.5	
7	4.2	6.4	4.8	5.1	1.7	739.9	739.5	739.9	79	68	81	N	0	ESE	0	10	10	10	0.5	
8	4.6	3.2	3.0	3.6	0.4	739.1	737.6	737.6	88	86	89	N	0	N	0	10	10	10	12.2	● 5 ¹ / ₂ -19
9	4.0	5.4	5.0	4.8	1.7	736.2	734.8	732.0	87	81	86	N	0	N	0	10	10	10	8.8	● 4 ¹ / ₂ -23 ¹ / ₂ zeitw.
10	7.4	9.0	6.8	7.7	4.7	728.5	730.5	732.5	24	19	21	NNE	3	NNE	3	5	0	0		
11	4.8	7.6	1.8	4.7	1.8	731.2	728.9	727.3	31	28	50	SSW	0	SE	0	10	0	10		
12	-0.4	5.6	0.2	1.8	-1.0	727.8	727.8	728.4	61	38	68	N	0	S	0	1	0	0		
13	2.0	9.8	5.8	5.9	3.2	727.8	727.8	728.7	67	42	59	NNW	0	E	0	0	2	7		L ⁰ fr.
14	0.6	6.4	1.2	2.7	0.1	729.0	728.3	728.9	78	61	81	N	0	ESE	0	5	0	0		L ⁰ fr.
15	-0.4	6.4	3.6	3.2	0.7	729.3	729.6	732.0	76	44	61	N	0	S	0	1	5	10		L ² fr.
16	-0.4	5.8	1.2	2.2	-0.2	733.0	732.0	733.4	68	43	62	N	0	SSE	0	0	0	0		L ⁰ fr.
17	-0.8	5.8	1.2	2.1	-0.2	735.4	737.5	742.5	78	48	71	N	0	S	0	5	10	0		L ² fr.
18	-1.4	4.0	-0.4	0.7	-1.5	747.4	747.9	749.3	82	53	73	N	0	S	0	0	0	0		L ² fr.
19	-2.6	4.2	-1.2	0.1	-2.0	750.8	749.2	749.8	76	48	73	N	0	E	0	0	0	0		L ² fr.
20	-2.6	3.0	-1.0	-0.2	-2.2	748.0	747.8	746.8	68	44	71	N	0	E	0	0	0	2		L ² fr.
21	-2.8	2.8	0.0	0.0	-1.9	744.1	743.1	742.3	75	54	78	N	0	WNW	0	0	10	7		L ² fr.
22	1.6	5.0	0.0	2.2	0.4	742.9	742.5	741.9	73	65	85	N	0	E	0	10	10	0	0.1	● 9 ¹ / ₂ -10
23	-1.2	4.8	3.0	2.2	0.5	738.8	737.9	738.1	91	67	77	NNE	0	NW	0	0	10	10		L ² fr.
24	1.2	5.4	2.2	2.9	1.2	734.8	732.4	731.2	88	65	81	NNW	0	S	0	4	1	10		
25	2.2	5.0	2.4	3.2	1.6	729.9	728.9	730.0	78	59	82	N	0	E	0	10	10	10		
26	2.0	6.2	1.2	3.1	1.5	731.7	732.7	733.9	82	59	82	E	0	WSW	0	10	1	6		
27	-0.2	6.8	1.8	2.8	1.3	734.7	735.9	738.8	74	51	60	N	0	ESE	0	7	0	0		L ⁰ fr.
28	1.2	7.8	0.8	3.3	1.8	741.1	741.0	742.4	68	43	78	NW	0	W	0	10	8	0		L ⁰ fr.
29	-1.4	3.6	0.4	0.9	-0.5	742.6	738.7	732.3	77	66	98	NW	0	W	0	10	10	0	8.4	● 11-19, ● * 19-22 ¹ / ₄ , L ² fr.
30	0.0	6.8	1.4	2.7	1.3	728.1	730.3	732.5	87	58	76	E	1	S	0	9	6	0		
31	0.6	4.0	1.4	2.0	0.7	730.5	729.9	728.5	74	64	88	WNW	0	WSW	0	10	10	10	0.6	● * mts., ● 20-21
Mittel	1.7	6.2	2.6	3.5	-	737.6	738.0	737.3	74	54	74					5.5	4.9	5.8	33.1	

λ = 7° 35', β = 47° 33'.
H_b = 318 m, G = 0.13 mm.

Basel.

Dezember 1930.
Astronom.-Meteorol. Anstall.

1	4.1	9.4	7.1	6.9	-	743.1	741.9	741.2	98	71	78	ENE	1	ESE	1	10	1	10		≡ n-a
2	4.9	5.8	5.3	5.3	-	738.7	738.0	739.5	86	81	78	ENE	1	ESE	2	10	4	10		
3	4.2	4.0	1.8	3.3	-	740.3	740.8	742.3	79	75	82	ENE	1	ESE	1	10	9	10		
4	1.8	4.6	0.6	2.3	-	741.3	740.1	740.3	77	64	75	E	1	SE	1	10	0	10		
5	-2.6	1.4	-0.7	-0.6	-	738.7	737.2	736.7	91	80	96	E	1	WNW	1	6	2	10	0.0	
6	0.1	3.9	3.6	2.5	-	735.5	724.3	733.4	94	87	92	E	1	E	1	10	10	10	0.2	● 3 ¹ / ₂ -5, ≡ n-mts.
7	3.8	10.5	5.1	6.5	-	732.8	731.8	731.8	93	50	80	E	1	SW	1	10	9	9	5.5	
8	3.7	6.4	0.7	3.6	-	730.5	732.6	733.4	95	81	96	E	1	WSW	1	10	1	1	2.5	● 2 ¹ / ₄ -11, 14 ¹ / ₄ -16 ¹ / ₂
9	1.0	4.2	0.8	2.0	-	730.0	729.0	729.2	97	85	96	E	1	E	1	8	10	8	1.3	● 16 ¹ / ₄ , L ⁰ fr.
10	1.1	3.0	0.8	1.6	-	731.3	732.8	734.6	89	66	87	WSW	1	W	2	10	9	10	0.2	* Δ 5 ¹ / ₄ -6, * 10 a
11	-2.8	1.0	0.9	-0.3	-	731.8	725.8	723.2	97	75	67	ENE	1	E	1	10	2	10		L ⁰ fr.
12	-0.1	0.4	4.2	1.5	-	725.2	725.7	728.5	86	92	90	ESE	1	E	1	10	10	10	3.1	● 7 ¹ / ₄ -10 ¹ / ₄ , 13-14, 20 ¹ / ₄ -18 ¹ / ₄ m.U.
13	2.6	6.5	5.9	5.0	-	727.4	722.5	724.8	96	81	75	ESE	1	E	1	10	10	3	5.6	● 15 ¹ / ₄ -18 ¹ / ₂
14	4.4	5.1	3.6	4.4	-	724.2	724.8	726.8	84	86	88	SSW	1	SSW	1	10	10	10	0.5	fr., p, abds. zeitw.
15	1.7	5.5	3.0	3.4	-	726.5	726.6	730.4	94	70	74	E	1	E	1	8	6	9		☉ fr.
16	-1.0	-1.6	-2.5	-1.7	-	731.4	728.7	729.3	98	98	96	SE	0	W	1	10	10	10		≡ n-n, L ⁰ fr.
17	-2.3	-1.5	-2.0	-1.9	-	733.3	736.4	742.1	97	98	98	NW	0	WNW	1	10	10	10		L ⁰ fr.
18	-2.9	0.8	-3.0	-1.7	-	747.2	748.9	749.0	93	75	97	NW	1	SSW	1	10	1	10		≡ 8-8 ¹ / ₂ , 18 ¹ / ₂ -n, L ⁰ fr.
19	-5.0	0.6	-2.6	-2.3	-	749.0	747.2	747.0	94	75	95	NE	1	NW	1	9	0	10		≡ 8-9 ¹ / ₂ , abds., L ⁰ fr.
20	-3.1	-2.2	-4.8	-3.4	-	744.6	743.0	741.9	98	92	95	SW	1	W	1	10	9	2		L ⁰ fr.
21	-8.8	-2.9	-5.8	-5.2	-	741.4	741.0	741.4	93	96	98	SSW	1	WSW	0	10	1	3		L ⁰ fr.
22	-5.6	-1.7	-1.4	-2.9	-	741.9	742.2	742.5	90	78	88	ESE	1	NNW	0	1	3	10		L ⁰ fr.
23	-1.7	0.6	-0.7	-0.6	-	738.3	736.1	734.4	94	76	77	WNW	1	ENE	1	10	10	10		L ⁰ fr.
24	-1.2	-0.8	-1.8	-1.3	-	732.7	731.6	730.1	86	77	76	WNW	0	W	1	10	10	10	0.0	● 10
25	-2.3	0.4	-2.6	-1.5	-	725.6	724.2	725.2	74	60	80	ENE	1	ENE	1	10	8	2		
26	-1.3	3.2	1.0	1.0	-	728.5	728.3	726.2	87	70	81	SSW	1	ESE	1	10	10	10	1.0	● 20 ¹ / ₂ -24
27	4.2	8.7	4.6	5.8	-	731.9	733.8	734.0	80	69	84	WSW	1	ESE	1	10	8	10	4.3	● 21 ¹ / ₄
28	7.8	9.9	2.2	6.6	-	736.3	739.0	739.2	89	67	91	WSW	2	WSW	1	10	9	0	2.5	● 4-10 m.U., p ztw., ☉ 13 ³ / ₄
29	0.5	1.8	4.0	2.1	-	731.1	725.9	726.6	90	85	73	ENE	2	E	2	5	10	10	5.8	● 13-18 m.U.
30	2.8	7.2	5.2	5.1	-	728.5	727.2	723.0	89	68	84	S	1	ESE	1	10	8	10	2.6	● a, p, n zeitw., ☉ 12 ¹ / ₄
31	7.8	12.3	6.0	8.7	-	720.0	717.8	721.7	79	53	59	SSW	1	WSW	2	10	9	3	1.4	● 5 ¹ / ₄ -7, 16-16 ¹ / ₄ , ▲ 16
Mittel	0.6	3.4	1.2	1.7	-	734.2	733.4	733.9	90	77	85					9.3	7.3	8.1	36.5	

Dezember 1930.
Beobachter: Observatorium.

Säntis.

$\lambda = 9^{\circ} 20'$, $\beta = 47^{\circ} 15'$.
 $H_b = 2500.1^m$, $G = -0.16^m$.

Table with columns: Tag, Lufttemperatur (730, 1330, 2130, Mittel), Luftdruck (730, 1330, 2130), Relative Feuchtigkeit (730, 1330, 2130), Windrichtung und Stärke (730, 1330, 2130), Bewölkung (730, 1330, 2130), Niederschlag, Witterung. Rows 1-31 and Mittel.

Dezember 1930.
Beobachter: Fr. Lombardi.

St. Gotthard (Hospiz).

$\lambda = 8^{\circ} 34'$, $\beta = 46^{\circ} 33'$.
 $H_b = 2102.9^m$, $G = -0.14^m$.

Table with columns: Tag, Lufttemperatur (730, 1330, 2130, Mittel), Luftdruck (730, 1330, 2130), Relative Feuchtigkeit (730, 1330, 2130), Windrichtung und Stärke (730, 1330, 2130), Bewölkung (730, 1330, 2130), Niederschlag, Witterung. Rows 1-31 and Mittel.

Ergänzende Witterungsnotizen zu den Tabellen Seite 1—72.

(Sichtverhältnisse auf dem Säntis siehe Seite 77—79)

Januar.

Bern. Alpen schwach sichtbar: 6. Mitt. — Alpen hell: 14. Vm. Mitt. — Alpen klar: 3. Vm. Mitt., 4. Vm., 5. Vm. Mitt., 6. u. 7. Vm., 8. Vm. Mitt., 11. u. 13. Mitt., 17. Vm. — **Neuchâtel.** Alpen sichtbar: 3. Ab., 11. Nm. — Nebel am Chaumont: 1. Vm., 9. Nm., 20. Ab., 21. Nm., 22. Vm. Nm., 23. Nm., 24. fr. Nm., 29. Vm. Nm., 30. d. g. T. — Nebel über dem See: 1. u. 5. Vm., 7. Nm. 20. Ab., 21. Nm., 22. Vm. Nm., 23. Nm., 24. fr. Nm., 27. Nm., 29. Vm. Nm., 30. d. g. T. — **Aldorf.** Föhn: 4. Ab. bis 6. Nm., 8. Nm. Ab. 14. Ab., 25. fr. bis 27. Nm. — Nebel: 28. Vm., 29. Ab. 30. d. g. T. — **Zürich.** Alpen klar: 12. u. 13. Nm. — Alpen hell: 4. 5. (teilw.), 11. 31. je Nm. — Alpen sichtbar: 3. Vm., 6. Nm., 8. fr., 10. (teilw.) u. 13. Nm., 15. Vm., 26. Nm. — Föhnmauer: 5. Nm., — Tal neblig: 4. Nm., 5. 6. 7. 8. 14. je Vm. — Taldunst: 3. Vm. 6. 7. 9. 14. je Nm., 15. Vm., 31. Nm. — Talnebel: 8. fr. — Sicht (Nebel): 4. Vm. 10—15 m., 7. Vm. 200, 8. Vm. 20, 18. bis 11^h 200, dann 300, 20. Vm. 300, Ab. 200, 21. Vm. 70, 23. Vm. 20, später 200, 24. Vm. 200, Nm. 300, 28. Vm. Nm. 400, Mitt. 200. — Hochnebel: 10. Vm., 17. Nm., 19. d. g. T., 20. Vm., 21. Mitt., 22. u. 23. Nm., 24. Ab., 28. Nm. — Purpurlicht: 4. Ab. — Wolkenröte: 3. fr. Ab., 5. Ab., 6. fr. — Schneegrenze: 10. 800 m. — **Rigi-Kulm.** Nebelmeer: 10. 1200 m., 17. 1300, 18. 700, 19. 600, 21. 600, 22. 600, 23. 700, 28. 1200, 29. 1700, — Tal neblig: 8. 11. 20. 24. 25. 26. — Neuschnee: 11. 8 cm, 2. 3, 3. 5, 10. 5, 12. 5, 18. 7, 17. 8, 31. 20. — Schneehöhe: 3. 62 cm, 10. 42, 17. 48, 24. 40, 31. 48. — **Bevers.** Neuschnee: 12. 2 cm, 13. 1, 16. 6, 17. 4, 5, 29. 5. — Schneehöhe: 4. 55 cm, 11. 53, 17. 58, 24. 56, 31. 60. — **Sitten.** Talnebel: 3. u. 9. Vm., 10. u. 21. Nm., 28. Vm. — Bodennebel: 8. 10. 18. 20. je Vm. — Nebel: 2. Nm., 9. Ab., 15. Nm., 21. u. 28. Ab., 29. u. 30. d. g. T. — Dunst: 3. 4. 5. 7. 18. 19. 20. je Nm., 22. d. g. T., 23. Nm. 24. d. g. T., 25. Nm., 27. Ab., 28. u. 29. Nm. — Neuschnee: 12. 9 cm, 13. 8. — **Lugano.** Nordföhn: 12. Mitt. bis Nacht. — Schneehöhe: 25. Ab. 2 cm. — **Basel.** Dunst: 4. 7. 20. 22. 23. 24. 27. je Nm. — Purpurlicht: 7. 17^{1/2}^h (schwach), 13. Ab. (schwach), 14. 8^h, 17. 17^{1/2}^h, 18. 7^{3/4}^h, 19. fr., 20. fr. (schwach), 21. 17^{1/4}^h. — Morgenrot: 3. 5. 21. — Abendrot: 3. 6. — **Säntis.** Dämmerungserscheinungen: 1. 4. 7. 8. 12. 13. 17. 18. 19. 20. 22. 23. 24. 25. 29. — Abendrot: 1. 3. 5. 13. 18. — **Grosses Lichtermeer:** 3. 20. 24. 26. 27. 31. — Neuschnee: 1. 20 cm, 2. 5, 3. 10, 12. 10, 13. 5, 16. 5, 17. 5, 31. 15. — Schneehöhe: 1. 170 cm, 3. 160, 10. 150, 17. 160, 24. 150, 31. 160. — Schneegrenze: 1. 500 m, 3. 900, 10. 900, 17. 800, 24. 900, 31. 600. — **St. Gotthard.** Nebel auf dem Pass: 5. u. 11. Vm. — Nebel im Sellatal: 6. Ab. Nebelmeer im Süden: 2. Vm. Nm., 8. u. 30. Vm. — Nebel: 31. Vm. — Neuschnee: 1. 5 cm, 2. 5, 6. 10, 9. 7, 10. 20, 12. 15, 13. 10, 26. 5, 27. 20, 29. 5, — Schneehöhe: 3. 170 cm, 10. 190, 17. 170, 24. 160, 31. 170.

Februar.

Bern. Alpen schwach sichtbar: 2. Vm. — Alpen sichtbar: 2. Mitt. — Alpen hell: 4. u. 14. Mitt. — Alpen klar: 5. Vm. Mitt., 14. 25. 26. 28. je Mitt. — Schneehöhe: 3. 0,3 cm, 16. 6,4, 17. 7,9, 18. 9,5, 19. 8,4, 20. 7,9, 21. 7,2, 22. 4,5, 23. 1,4, 24. 0,6. — **Neuchâtel.** Nebel am Chaumont: 2. Nm. — Nebel über dem See: 13. Vm., 14. d. g. T., 22. Vm. — Dunst über dem See: 26. Vm. Joran: 18. Nm. — Schneehöhe: 17. Ab. 2,5 cm. — **Aldorf.** Föhn: 5. Nm., 25. Vm. bis 28. Ab., 27. Nm. — Nebel: 9. Ab., 12. Vm. Nm., 23. Nm. — **Genf.** Schneehöhe: 1. 5 cm. — **Zürich.** Alpen klar: 4. Nm. — Alpen hell: 2. u. 4. Nm., 5. Vm. — Alpen sichtbar: 2. 5. 25. je Nm., 26. Vm. Nm., 27. Nm., 28. d. g. T. — Tal neblig: 2. Nm., 5. u. 6. fr., 14. Vm. Nm., 22. 26. 27. Vm. — Taldunst: 1. Vm., 5. Nm., 6. Vm., 11. Nm., 21. u. 22. Vm., 25. Nm., 28. d. g. T. Hochnebel: 8. d. g. T., 9. Vm., 19. d. g. T. — Purpurlicht: 10. Ab., 11. fr. Ab., 12. Ab., 13. fr. — Schneegrenze: 10. 700 m. — Neuschnee: 16. 4 cm, 17. 2, 18. 3. — **Rigi-Kulm.** Nebelmeer: 9. 1400 m, 10. 1200, 11. 1100, 12. 1000, 19. 1200, 22. 1400. — Tal neblig: 13. 24. — Neuschnee: 3. 2 cm, 4. 4, 5. 4, 8. 6, 16. 12, 17. 12. — Schneehöhe: 7. 40 cm, 14. 45, 21. 52, 28. 48. — **Bevers.** Neuschnee: 2. 3,5 cm. — Schneehöhe: 7. 60 cm. —

Sitten. Dunst: 2. d. g. T., 3. 5. 7. 8. 9. 10. 11. je Nm., 12. u. 13. d. g. T., 14. 15. 17. je Nm., 18. bis 25. je d. g. T., 26. Nm., 27. d. g. T. **Lugano.** Nordföhn: 16. Mitt. bis 17. Vm. — Schneehöhe: 1. Ab. 1,6 cm. — **Basel.** Dunst: 6. 9. 10. je Nm., 12. Vm., 13. d. g. T., 14. u. 17. Vm., 21. Nm., 22. Vm. Nm., 23. Vm., 24. u. 28. Nm. — Purpurlicht: 9. 18^h, 11. 17⁵⁷—18^{12h}, 12. 18—18^{1/4}^h. — Schneehöhe: 16. Ab. 1,5 cm. — **Säntis.** Dämmerungserscheinungen: 8. 9. 11. 12. 13. 19. 20. 22. 24. 25. 28. — Morgenrot: 10. 24. — Abendrot: 5. 8. 9. 17. 27. — **Grosses Lichtermeer:** 25. 26. 27. — Neuschnee: 2. 5 cm, 3. 2, 4. 5, 5. 5, 7. 5, 8. 5, 16. 10, 17. 20. Schneehöhe: 2. 165 cm, 7. 160, 14. 150, 17. 170, 21. 150, 28. 150. Schneegrenze: 2. 600 m, 7. 500, 14. 900, 17. Bodensee, 21. 600, 28. 800. — **St. Gotthard.** Nebel auf dem Pass: 18. Ab., — Nebelmeer im Süden: 19. d. g. T. — Nebel: 4. Vm. bis 14^h, 5. u. 9. d. g. T. — Neuschnee: 1. 25 cm, 2. 15, 9. 5, 16. 5, 18. 5, 19. 5, 24. 5. — Schneehöhe: 7. 170 cm, 14. 165, 21. 180, 28. 180.

März.

Bern. Alpen schwach sichtbar: 21. Mitt. — Alpen hell: 18. u. 29. Vm., 31. Nm. — Alpen klar: 1. u. 7. Vm., 9. u. 10. Vm. Mitt., 14. Mitt., 15. u. 16. Vm. Mitt., 29. Mitt., 31. Vm. — Gewitter: 15. 17¹⁶—17^{58h}. — Schneehöhe: 12. 3,2 cm, 20. 9,7, 21. 3,4. — **Neuchâtel.** Alpen sichtbar: 9. 15. 18. (Freiburger A.) je Nm., 29. Vm. (Berner u. Freiburger A.), 30. Nm. — Nebel am Chaumont: 20. Vm. — Nebel über dem See: 4. 7. 20. je Vm. — Joran: 4. Ab., 5. ab 7^{1/2}^h, 7. 10—17^h, 26. Nm. — **Aldorf.** Föhn: 1. Nm., 2. d. g. T., 14. Nm., 17. Ab. bis 18. Vm., 21. Ab. — Nebel: 25. Ab., 27. fr. — **Zürich.** Alpen klar: 15. Nm., 31. Ab. — Alpen hell: 9. d. g. T., 10. u. 15. Vm., 16. fr., 17. Ab., 31. Mitt. — Alpen sichtbar: 2. Nm., 14. 17. (Voralpen), 21. 29. (schwach) je Vm., 30. Nm., 31. Vm. Nm. — Tal neblig: 3. 5. 21. 24. je Vm., 27. Mitt. — Taldunst: 1. Vm., 2. Nm., 6. fr., 7. Vm., 17. Nm., 31. Vm. — Sicht (Nebel): 4. Vm. 400 m, 27. Vm. 70. — Hochnebel: 2. Vm. — Purpurlicht: 1. fr., 9. Ab. — Wolkenröte: 16. Ab. — Schneegrenze: 30. 1300 m. — Gewitter: 15. \searrow WNW-ESE 18—18^{1/2}^h, über Ort 18^{50h}. **Rigi-Kulm.** Tal neblig: 2. — Neuschnee: 8. 10 cm, 11. 15, 12. 25, 13. 3, 14. 4, 15. 7, 17. 3, 19. 28, 20. 5, 21. 5, 22. 2, 23. 5, 24. 7, 25. 3. — Schneehöhe: 7. 38 cm, 14. 58, 21. 72, 28. 45. — **Bevers.** Neuschnee: 8. 6 cm, 10. 10, 15. 2,5, 16. 7, 17. 4,5, 19. 14, 20. 2, 24. 3. — Schneehöhe: 8. 60 cm, 15. 70, 22. 80, 27. 65—70. — **Sitten.** Nebel: 24. Vm. — Dunst: 3. Ab., 4. 5. 6. je d. g. T., 25. Ab., 26. Vm. Ab., 27. u. 28. d. g. T., 29. Vm. Nm., 31. Ab. — Neuschnee: 20. 2 cm. — **Lugano.** Nordföhn: 8. 9^{1/4}—14^{1/2}^h, 11. 12^{1/2}^h bis 13. 18^{1/2}^h, 20. 9^{1/2}^h bis 21. 2^{1/2}^h, 26. 16^h bis 27. 4^{1/2}^h, 27. 10^h bis 28. 1^{1/2}^h, 30. 9^{1/2}—18^{1/2}^h. — Schneehöhe: 11. 0,5 cm. — **Basel.** Gewitter: 15. \searrow SW-NE, 17¹⁷—17^{58h}. — Dunst: 1. Vm., 2. Nm., 4. u. 6. Vm. Nm., 9. u. 21. Vm., 28. d. g. T. — Purpurlicht: 4. 18^{1/2}^h. — Abendrot: 5. 12. 15. — **Säntis.** Dämmerungserscheinungen: 1. 3. 4. 9. 10. 28. — Morgenrot: 1. 7. 20. — Abendrot: 2. 6. 19. 21. — **Grosses Lichtermeer:** 21. — **Grosse Fernsicht:** 15. Vm. gegen Norden. — Neuschnee: 8. 15 cm, 11. 20, 12. 30, 13. 10, 14. 10, 15. 5, 17. 5, 19. 15, 20. 10, 22. 2, 23. 10, 24. 5, 25. 3, 30. 15. — Schneehöhe: 1. 150 cm, 7. 145, 14. 180, 21. 170, 28. 160, 30. 170. Schneegrenze: 1. 800 m, 7. 1000, 12. 600, 14. 1100, 17. 900, 19. 700, 21. 500, 27. 1100, 28. 1200. — Gewitter: 7. Spitzenentladung 16^{1/2}^h, 15. 1 < 19^{1/2}^h. — **St. Gotthard.** Nebel auf dem Pass: 5. Ab. — Nebel im Sellatal: 25. Vm. — Nebelmeer im Süden: 12. u. 25. Ab. — Neuschnee: 8. 12 cm, 14. 10, 15. 10, 18. 10, 17. 20, 18. 12, 19. 40, 20. 25, 24. 3, 25. 2. — Schneehöhe: 7. 160 cm, 14. 170, 21. 250, 28. 220.

April.

Bern. Alpen schwach sichtbar: 12. u. 29. Vm. — Alpen sichtbar: 11. 23. 24. 27. je Mitt. — Alpen hell: 22. Mitt., 23. Vm. — Alpen klar: 2. u. 21. Vm. Mitt., 25. Mitt., 28. Vm. Mitt. — Gewitter: 6. \searrow 13²⁸—13^{50h}, 4 T., 25. a) \searrow 20¹⁸—20^{52h}, 5 Entladungen,

b) 1 Entladung über Station 21^{00h}, 29. a) K 15^{30-16^{23h}}, mit ▲ 15^{30-15^{45h}}, b) Mehrere K 17^{31-22^{05h}}, ▲ 17^{42-17^{45h}}. — **Neuchâtel.** Nebel am Chaumont: 14. Vm. — Joran: 2. u. 8. Ab. — **Altdorf.** Föhn: 11. Ab. (schwach), 21. Nm., 23. fr. bis 25. Ab., 28. d. g. T. — Neblig: 7. Vm. Nm., 8. u. 9. Vm., 18. Nm. — **Zürich.** Alpen klar: 20. Ab. 21. 22. (Vor- u. Südalpen) 23. je Nm. — Alpen hell: 25. Vm. (Voralpen), 28. Nm. (zeitw.) — Alpen sichtbar: 1. Nm. (schwach), 2. Vm., 3. Nm., 22. Vm. Nm. (teilw.), 25. Vm. (teilw.), 29. Vm. (schwach) Nm., 29. Vm. — Föhnmauer: 20. Ab. — Taldunst: 1. Vm., 7. Vm. Nm., 25. Nm., 29. Vm. — Gewitter: 6. a) K SW-NE 16^{10-16^{20h}} mit schwachem ▲ 15^{40-16^{20h}}, b) K WSW-ENE 16^{1/2-17^{1/2h}}, über Ort 17^{10h}, 29. a) K N-S 16-16^{1/2h}, über Ort 16^{10h} mit schwachem ▲ u. Δ, je 1 Minute, b) K NE-SW 17^{1/4-17^{1/2h}}, über Ort 17^{20h}, c) K NE-SW 19^{10-19^{1/2h}}, über Ort 19^{1/2h}. — **Rigi-Kulm.** Neuschnee: 4. 3 cm, 6. 30, 11. 25, 14. 17, 15. 35, 18. 40, 17. 35, 18. 12, 20. 20, 22. 10. Schneehöhe: 4. 30cm, 11. 25, 18. 120, 25. 75. — **Bevers.** Phaenologische Erscheinungen: 5. Murmeltiere wach, 7. Erste Schwalben. — Neuschnee: 4. 2cm, 5. 6,5, 14. 17, 15. 5, 20. 3,5, 30. 1,8. — Schneehöhe: 4. 40-45 cm, 15. 40-50, 22. 30. — **Sitten.** Dunst: 1. u. 2. d. g. T., 3. Nm., 6. u. 7. Vm. Nm., 8. Nm., 9. 10. 11. je d. g. T., 12. Vm. Nm., 19. u. 22. Vm., 28. Nm., 27. Vm., 28. Nm. — **Lugano.** Nordföhn: 8. 16-18^{1/2h}, 15. 11^{1/2-24^h}, 17. 16^{1/2-24^{1/2h}}, 28. 10^{1/2-18^{1/2h}}. — **Basel.** Gewitter: 25. a) K 14^{55-15^{25h}}, im NW vorüber, b) K 19^{1/4-20^{1/4h}}, c) K 21^{1/4-22^h}, 29. a) K im N 14^{55-15^{1/4h}}, b) K im N 16-17^{50h}, c) K Ab. — Dunst: 2. Nm., 8. u. 10. Vm., 28. Vm. Nm. — Purpurlicht: 10. 19^{55h}, 11. 19^{50-19^{45h}}, 27. 19^{50h}. — Abendrot: 17. 29. — **Säntis.** Grosses Lichtermeer: 20 22. 23. 24. 25. 27. — Neuschnee: 1. 5 cm, 3. 5, 4. 5, 5. 35, 8. 5, 13. 5, 14. 25, 15. 45, 18. 30, 17. 20, 19. 2, 20. 5, 22. 5, 30. 5. — Schneehöhe: 1. 175 cm., 4. 170, 11. 200, 15. 250, 18. 240, 25. 220, 29. 200, 30. 205. — Schneegrenze: 1. 1100 m, 4. 1200, 11. 1400, 15. 700, 18. 600, 25. 900, 29. 1500, 30. 1400. — Gewitter: 6. Starke Spitzenentladung 13^{1/2h}, 7. a) Starke Spitzenentladung 16^h, b) Leichtes K 17^{20h}, 2 T., 25. K im N Ab., 28. K im SW Ab., 29. a) K von E 15^{40h}, über Station 16²⁰, 24 T., ▲ 16^{10h}, b) K im E 17^{10h}. — **St. Gotthard.** Nebel auf dem Pass: 18. Nm., 19. Ab. — Nebel im Sellatal: 2. Ab., 22. Vm. — Nebelmeer im Süden: 8. Vm., 9. Ab. — Neblig: 8. Ab. — Neuschnee: 4. 30cm, 5. 25, 8. 4, 13. 10, 14. 60, 20. 70, 25. 10, 29. 7. — Schneehöhe: 4. 180 cm, 11. 150, 18. 230, 25. 270.

Mai.

Bern. Alpen schwach sichtbar: 16. Mitt. — Alpen sichtbar: 17. Vm. Alpen hell: 16. Vm. — Alpen klar: 18. u. 20. Vm. — Gewitter: 5. K 14^{47-15^{05h}}, 26. K 18^{12-18^{47h}}, 5 T., 30. K 18^{12-18^{37h}}. **Neuchâtel.** Alpen sichtbar: 16. Vm., 17. Nm., 29. Ab. — Nebel am Chaumont: 14. Vm., 23. Vm. Nm. — Nebel über dem See: 4. Vm. — Joran: 2. Ab., 7. u. 18. Nm., 22. Ab., 26. u. 30. Nm., 31. Ab. — **Altdorf.** Föhn: 6. Nm., 22. Ab. (schwach), 29. Ab. bis 30. Ab. — Neblig: 7. Vm. — **Zürich.** Alpen klar: 29. Nm. — Alpen hell: 22. Nm. — Alpen sichtbar: 6. (schwach) u. 17. Vm., 30. Vm. Nm. (schwach). — Tal neblig: 22. Vm. — Taldunst: 2. 6. 22. je Vm. — Gewitter: 2. K W-E 18^{40-20^{00h}}, über Ort 18^{1/4-19^{1/4h}}, wenige, aber starke Entladungen, 5. Schwacher T 17^{45h}, 18. K NW-SE 16^{1/2-19^h}, über Ort 18^{25h}. — **Rigi-Kulm.** Tal neblig: 1. 2. 4. 16. 20. 22. — Neuschnee: 3. 3 cm, 8. 22, 9. 38, 11. 3, 12. 24, 18. 28, 19. 6. — Schneehöhe: 9. 60 cm, 16. 25. — **Bevers.** Neuschnee: 19. 4 cm. — **Sitten.** Dunst: 3. Ab., 4. Vm. Nm., 6. d. g. T., 16. Vm., 17. d. g. T., 18. Nm., 20. d. g. T., 21. Vm. Nm., 22. d. g. T., 23. Nm., 25. d. g. T., 28. Nm., 31. d. g. T. — **Lugano.** Nordföhn: 9. 3^{1/2-12^{1/2h}}, 12. 12^h bis 13. 10^h (m.U.), 15. 8^{1/2-22^{1/2h}}, 16. 9-11^{1/2h}, 16^{1/2-18^{1/2h}}, 17. 14^{1/2-15^{1/2h}}, 19. 0^{1/4-24^h}. — **Basel.** Gewitter: 3. T Nm., 5. a) T 12^{00h}, b) K SW-NE 13^{45-14^{25h}}, c) K im S 17^{20-18^{00h}}, 23. T 15^{05-15^{45h}}, 26. T, 2 mal, 15^{1/4h}, 27. K u. T 15^{3/4h}, 30. T im SW 18^{10h}, 31. a) K 2^{1/2-3^h}, b) T 15^{1/2h}. — Dunst: 2. 16. 17. 20. 25. 26. je Vm. — Abendrot: 14. 18. — **Säntis.** Dämmerungserscheinungen: 17. — Grosses Lichtermeer: 4. 17. 22. 27. 30. — Neuschnee: 3. 10cm, 8. 12, 9. 60, 10. 15, 11. 20, 12. 30, 13. 30, 14. 30, 15. 15, 16. 1, 19. 20, 21. 2, 22. 1, 24. 2, 27. 3. — Schneehöhe: 1. 175 cm, 2. 210, 9. 270, 16. 250, 23. 190, 30. 170. — Schneegrenze: 1. 1100 m, 2. 1200, 9. 800, 16. 1500, 19. 1100, 30. 1700. — Gewitter: 2. a) K im NE 16^{1/2h}, b) K über Station 20^{20h}, c) K über Station 21^{1/2h}, Blitzschlag. 5. K im E 15 u. 19^h, 11. K über Station 16^h, 18. K 19^{1/4-19^{1/2h}}, 9 T., ▲ (kurz), 21. Spitzenentladung 11^h, 22. K im N 12^{3/4h}. — **St. Gotthard.** Nebelmeer im Süden: 3. Ab. — Neblig: 4. Ab. — Neuschnee: 2. 3 cm, 3. 5, 6. 5, 7. 20, 8. 35, 9. 15, 11. 2, 12. 15, 13. 20, 14. 20, 16. 3, 19. 2, 21. 3, 22. 2, 23. 2, 24. 2, 26. 3. — Schneehöhe: 2. 210 cm, 9. 250, 16. 250, 23. 200, 30. 170.

Juni.

Bern. Alpen schwach sichtbar: 1. Mitt., 2. Vm., 3. Mitt., 29. Vm. — Alpen sichtbar: 24. u. 26. Vm., 30. Mitt. — Alpen hell: 2. Mitt., 4. u. 7. Vm. — Alpen klar: 3. 25. 30. je Vm. — Gewitter: 2. K 16^{55-17^{47h}}, Ferner T 17^{30h} (1 mal) u. 17^{55h} (2 mal), 7. Fern-K 18^{27-22^h}, 8. K 15^{25-19^{00h}} dann < bis in die Nacht, 11. K 18^{05-20^{35h}}, 14. T 13^{55h} (2 mal) u. 16^{05h} (3 mal), 16. K 18^{55-22^{55h}}, 19. K 16^{27-18^{02h}}, 23. K 16^{35-17^{47h}}. — **Neuchâtel.** Alpen sichtbar: 8. Vm. Nebel am Chaumont: 15. Vm. — Nebel über dem See: 4. fr. Joran: 2. Nm., 10. Ab., 23. u. 24. Nm., 29. u. 30. Ab. — **Altdorf.** Föhn: 2. Nm. Ab., 6. Ab., 26. d. g. T. — **Zürich.** Alpen hell: 29. Ab. — Alpen sichtbar: 7. u. 12. Vm., 18. d. g. T. (schwach), 24. Nm. (teilw.), 26. Vm. (teilw.), 30. Vm. (teilw.) Nm. — Taldunst: 4. 11. 21. je Vm., 29. d. g. T. — Hochnebel: 5. Vm., 9. fr., 10. Vm. Wolkentröte: 22. fr. — Schneegrenze: 1. 1600 m, 22. 1800, 24. 2000. — Gewitter: 1. Fern-K im NW ab 14^{1/4h}, 2. K S-N 18^{3/4-19^{1/4h}}, über Ort 19^h, 7. T im S 19-22^h, < u. T 19^{45h}, 1-2 km entfernt, 8. a) leichtes K 17^{3/4h}, b) K W-E ab 21^h, über Ort 22^{00h}, 12. a) Fern-K S-SE-N ab 18^h, Nähe 18^{1/2h}, b) Fern-K im E u. NW 21^{1/2-22^h}, 13. Fern-K im N ab 10^h bis über Mitt., 14. Fern-K E-S-W 14^{1/2-15^{1/2h}}, 15. a) K NE-WSW ab 17^{1/4h}, über Ort 17⁵⁰ u. 18^{30h}, einzelne ▲-Körner bis 13 mm Durchm. 18^h, b) < im NE Ab., 16. < im S Ab., 19. Fern-K SW-NW-NE 21^h bis nachts, 23. K W-E, dann S-N 16^{1/4-20^h}, über Ort 17^{3/4h}, 24. K WNW-ESE 16^{1/4-17^{1/2h}}, über Ort 16^{1/4h}. — **Rigi-Kulm.** Nebelmeer: 5. 1200 m. — Tal neblig: 9. 15. 17. — **Sitten.** Dunst: 4. bis 8. je d. g. T., 11. Vm. Nm., 12. u. 13. d. g. T., 14. Vm. Nm., 15. bis 18. 22. je d. g. T., 23. Vm. Nm., 30. Vm. Ab. — **Basel.** Gewitter: 1. K 22^{3/4-23^{1/4h}}, 2. K im SW 17^{45-18^{30h}}, ▲ 18^{15-18^{40h}}, 3. a) K 12^{3/4-13^{30h}}, b) T 16^{1/2-18^{1/4h}}, c) K im SW 18^{1/2-20^h}, 7. < ab 21^h, K 22-24^h, 8. a) T 8^h, b) K 16-18^{1/4h}, c) K 18^{55-21^h}, d) K 21^{1/4-24^h}, 9. T Nm., 12. K im E 20^{1/4-22^h}, 13. a) Fern-K SW-S-NE 11^{1/2-12^h}, b) T Nm., 14. K 17-18^h, 16. T 15^{05-16^{05h}} u. ab 17^{40h}, 17. T 14^h, 18. < 22^h, 19. < 23^h, 20. K aus NW, vorüber im W 8-10^{1/2h}, 23. K 15^{51-16^{20h}}, 24. a) K SW-NE 13^{55-14^{25h}}, ▲ 14^{13-14^{15h}}, b) T 15^h, 26. T 13^{55h}, 27. T 10^{55-11^{05h}}. — Dunst: 5. Nm., 6. Vm. Nm., 10. Vm., 11. Vm. Nm., 12. 13. 14. je Vm., 15. u. 16. je Nm., 19. u. 20. je Vm., 21. Vm. Nm., 25. u. 26. Vm., 30. Vm. Nm. — Purpurlicht: 5. 20^{40h}, 6. 18. (schwach) 19. (schwach) 22. (schwach) je Ab., 29. 20^{45-21^h}. — Abendrot: 20. — **Säntis.** Dämmerungserscheinungen: 5. — Grosse Fernsicht: 26. fr. nach NW. — Schneehöhe: 1. 170 cm, 6. 150, 13. 40, 17. Gipfel schneefrei. — Schneegrenze: 1. 1600 m, 6. 1800, 13. 2000, 20. 2500. — Gewitter: 2. < im N u. NE 21^h, 3. a) K im E 16^{1/4h}, 1 T., b) K über Station 16^{1/2-17^{40h}}, 20 T., 7. a) Fern-K im SE 16^{30h}, b) Fern-K im S 17^{10h}, 8. K 15^{1/2-16^{1/4h}}, 10 T., 10. K im E 15^{10h}, 3 T., ▲ 15^{17h}, 11. a) Fern-K im S 21^h, b) K in der Nacht (11./12.), 12. a) Spitzenentladung Mitt., b) K im E 15^h, c) K im E 16^h, ▲ 16^{1/4h}, 13. a) Spitzenentladung fr., b) K mit ▲ ab 6^{55h}, über Station 7^{10h}, 20 T., c) K über Station 8^{45h}, Blitzschlag 8^{55h}, 14. a) Fern-K im SE 12^h, b) < im N Ab., 15. K im N 16^h mit ▲, 16. Fern-K im S 16^{1/2h}, 18. < im S, 20. a) Fern-K im W, b) K mit ▲ 14^{3/4-15^h}, c) K im N 19^{20h}, 23. K 18-20^h, über Station 18^{30h}, ▲ 18^{15h}, 31 T., 29. < im S Ab. — **St. Gotthard.** Nebel im Sellatal: 10. fr. — Nebelmeer im Süden: 4. Ab., 10. fr. — Schneehöhe: 5. 110 cm, 13. 40.

Juli.

Bern. Alpen schwach sichtbar: 1. Vm. Mitt., 2. 5. 14. je Vm., 17. Vm. Mitt., 27. Vm. — Alpen sichtbar: 7. Vm., 21. Mitt. — Alpen hell: 18. Mitt. — Alpen klar: 16. 20. 21. 29. je Vm. — Gewitter: 1. K 15^{12-16^{05h}}, 6. K 14^{52-16^{55h}}, 11. K 9^{50-10^{05h}}, 18. K 8^{42-8^{49h}}, 21. K 16^{20-16^{27h}}, 23. T 13^{20h}. — **Neuchâtel.** Alpen sichtbar: 20. Ab. — Nebel am Chaumont: 14. u. 15. Vm. — Joran: 7. 8. 11. 22. je Ab., 23. Nm. — **Altdorf.** Föhn: 17. Mitt. bis 18. Vm. — Dunst: 5. Nm. — Neblig: 9. Vm. — **Zürich.** Alpen sichtbar: 1. Vm. (schwach), 2. Vm. (stellenw.), 16. fr. — Tal neblig: 28. fr. — Taldunst: 1. u. 2. Vm., 5. d. g. T., 8. 9. 14. 21. 27. je Vm. — Hochnebel: 24. Vm., 28. fr. — Gewitter: 1. K S-N 17^{05h} bis Ab., über Ort 18^{1/2h}, 2. K N-S 17^{05-17^{27h}}, Nähe 17^{1/4h} (ca. 2 km), 4. < Ab. im S u. NW, 5. < Ab., 6. K SW-NE 17^{1/4-18^h}, über Ort ab 17^{1/2h} heftige und häufige Entladungen, 3-4 Blitzschläge. Nach 18^h noch einige schwächere K., 10. K aus NW, 2 T 14^{45h} u. 14^{50h}, 17. Fern-K im E 17^{3/4h}, 21. K W-E 17^{20h}. — **Rigi-Kulm.** Gewitter (besondere Bemerkungen): 1. K mit Blitzschlägen 6. K mit 2 Blitzschlägen — Neuschnee: 12. 3 cm. — **Bevers.** Schneegrenze: 13. 2400 m, 19. 2000, 24. 7^{1/2h} 2400, 13^{1/2h} 2000. **Sitten.** Neblig: 15. Vm. — Dunst: 1. Vm., 8. Ab., 9. d. g. T., 10. Vm. Nm., 23. Vm. — **Lugano.** Nordföhn: 10. 18-21^h, 11. 19^{1/2h} bis 12. 20^{1/4h}, 13. 15-23^{1/2h}, 15. 12^{1/2-14^{1/2h}}, 17. 16^{1/2-19^h}, 19. 23^h

bis 20. 9^{1/2}h, 24. 9-15^h, 31. 0-17^{1/2}h. — **Basel.** Gewitter: 1. K im S u. W 14-15^{1/2}h, 4. Fern-K im N 21-23^h, 5. < im S 20-23^{1/2}h, 6. K im E 16-18^h, 10. a) K im NW 12^{1/4}-13^{1/4}h, b) K 15^{1/4}-17^h, 17. a) K 19-19^{1/2}h, b) < im N 20^{1/2}h, K von 21³⁰h an, 28. K 20¹⁰-22^h. — Dunst: 3. bis 6. je Vm., 9. Vm. Nm., 10. 14. 17. je Vm., 26. Nm. — Purpurlicht: 5. u. 17. Ab. — Abendrot: 28. — **Säntis.** Grosses Lichtermeer: 1. 28. — Neuschnee: 11. 1 cm, 12. 35, 13. 20, 14. 20, 16. 5, 19. 20, 24. 1, 25. 15, 31. 1. — Schneehöhe: 12. 35 cm, 13. 55, 14. 75, 15. 80, 19. 100, 28. 20, 31. 5. — Schneegrenze: 12. 1500 m, 18. 1800, 31. 2200. — Gewitter: 1. a) K 18^{1/4}-19^{1/4}h, 6 T, b) < Ab. im E u. NE, 2. K mit 13^{1/2}h, 4. < Ab. im NW, 5. Starkes Fern-K im S Ab., 6. K aus W 18^h, über Station 18⁴⁰h, 14 T, 10. K aus N 16^h, über Station 16^{1/2}h, 18 T, 16¹⁰h, 12. Starke Spitzenentladung fr., 13. a) K 10²⁰h, 9 T, b) Spitzenentladung Ab. (?), 17. K 19^h, 5 T, 21. K 18^{1/2}h, 3 T. **St. Gotthard.** Nebel auf dem Pass: 3. Ab., 8. Vm., 20. Ab., 22. Vm., 26. u. 29. Ab. — Nebelmeer im Süden: 10. u. 26. Vm. — Nebblig: 30. d. g. T.

August.

Bern. Alpen schwach sichtbar: 10. Mitt., 11. u. 28. Vm. — Alpen sichtbar: 4. u. 5. Mitt., 19. Vm., 27. u. 28. Mitt. Ab. — Alpen hell: 21. 23. bis 26. je Mitt. — Alpen klar: 1. Vm. Mitt., 4. 6. 14. je Vm., 17. Vm. Mitt. — Gewitter: 2. K 16²⁵-19⁰⁰h über Ort 18⁰⁷h, 12. K 10⁵⁰-11⁰⁷, 3 T, 19. Fern-K 16^{1/4}-17^{1/4}h, 22. T 19⁰⁵h. — **Neuchâtel.** Alpen sichtbar: 1. Nm., 4. Vm., 10. Ab., 17. Vm. Nm., 18. Nm., 24. Vm., 25. Ab., 28. Nm. — Nebel am Chaumont: 7. u. 23. fr. — Nebel über dem See: 23. u. 28. fr. — **Joran:** 2. Nm., 11. Ab., 19. 15^{1/2}-20^h, 24. Ab. — **Aldorf.** Föhn: 2. Vm. Nm., 21. d. g. T. — **Zürich.** Alpen klar: 1. Nm., 4. u. 14. Vm., 17. Ab. Alpen hell: 37. Vm. Nm., 18. Nm. — Alpen sichtbar: 16. Nm., 18. Vm. Nm., 21. Vm., Nm. (schwach), 25. u. 26. Nm. — Taldunst: 2. Vm., 30. Vm. Nm., 31. d. g. T. — Sicht (Nebel): 28. Vm. 500 m. Purpurlicht: 29. fr. — Gewitter: 2. K W-E 18^{1/4}-19^h, über Ort 18⁰⁰h, 5. Schwaches K W-E ab 16⁴⁷h, über Ort 17^h, 8. Schwaches K 15³⁰h, 12. T 13¹⁰h u. 17^{1/2}h, 13. Fern-K im S ab 21¹⁷h, 19. K 18³⁰h bis nachts, 22. < im ENE 21^{1/2}h. — **Rigi-Kulm.** Nebelmeer: 26. 800 m, 27. 700. — Tal neblig: 23. 25. 28. 29. 30. 31. — **Bevers.** Schneegrenze: 3. 2700 m, 5. 2300, 7. 2300, 9. 2200, 13. 2000, 15. fr. 1900, Mitt. 2200, 16. 1800. — **Sitten.** Nebblig: 5. Vm. Dunst: 1. 2. 11. 19. je Vm., 21. bis 31. je d. g. T. — **Lugano.** Nordföhn: 8. 15⁴⁴h bis 9. 20^{1/2}h, 13. 19-21^h, 14. 18^{1/2}h bis 16. 21^{1/2}h. — **Basel.** Gewitter: 2. a) T Nm., b) K 16⁵⁰-17¹⁵h, 6. T 12^h, 8. T 12^h. — Dunst: 1. 8. 17. je Vm., 21. Vm. Nm., 23. Vm., 26. Nm., 27. Vm. Nm., 28. Vm., 29. Vm. Nm., 30. u. 31. je Vm. — **Säntis.** Grosses Lichtermeer: 18. 25. 28. 29. — Neuschnee: 8. 5 cm, 9. 10, 10. 1, 14. 10, 15. 5, 16. 10. — Schneehöhe: 8. 5 cm, 16. 20, 22. Gipfel schneefrei. — Schneegrenze: 8. 2000 m, 9. 1800, 16. 1500. — Gewitter: 5. K mit 15³⁰h, 5 T, 19. K von E 19⁴⁰h, über Station 20³⁰h, Blitzschlag, 22. K im S 20^h, 27. < im SW Ab. — **St. Gotthard.** Nebel auf dem Pass: 1. 6. 24. je Ab., 25. Vm., 29. u. 30. Ab. (See). — Nebel im Sellatal: 30. Vm. — Nebelmeer im Süden: 10. u. 28. Ab. — Nebblig: 10. Vm.

September.

Bern. Alpen schwach sichtbar: 5. Vm. Mitt., 6. u. 7. Vm., 22. Mitt. — Alpen sichtbar: 4. Ab., 8. Mitt., 9. Vm., 11. u. 17. Vm. Mitt. — Alpen hell: 19. Mitt., 30. Vm. — Alpen klar: 18. Mitt., 19. Vm., 21. Mitt., 22. Vm. — Gewitter: 5. Schwaches K 13^{1/2}-14^{1/2}h, 6. Schwaches K 18⁴⁰-19⁰⁰h. — **Neuchâtel.** Alpen sichtbar: 10. 18. 24. (Freiburger u. Berner Alpen) je Ab. — Nebel am Chaumont: 23. u. 25. Vm. — Nebel über dem See: 3. 23. 25. je Vm. — **Joran:** 1. u. 3. Ab., 15. 13-19^{1/2}h, 16. 17-19^h, 25. Nm. — **Aldorf.** Föhn: 12. Mitt., 19. Nm. — Dunst: 3. Nm. Nebblig: 2. Nm., 3. u. 28. Vm. — **Zürich.** Alpen sichtbar: 3. u. 4. (schwach) Nm., 17. Vm., 18. Vm. Nm., 19. Vm., Nm. (schwach). Föhnmauer: 18. Vm. Nm., 30. Nm. — Tal neblig: 9. u. 18. Vm., 25. fr. — Taldunst: 4. 5. 17. je Vm., 19. u. 28. Nm. — Sicht (Nebel): 29. Vm. 200 m. — Hochnebel: 2. 3. 11. 16. je Vm., 24. Vm. Nm., 28. u. 29. Vm. — Gewitter: 8. K W-E, < seit 21^{1/2}h, über Ort 23^{1/4}-24^h, T hörbar bis 1^h (7.), 7. Schwaches K W-E 11^{1/4}-11^{1/2}h, 10. Ferner T im SSW 15⁵⁰h. — **Rigi-Kulm.** Nebelmeer: 3. 1100 m, 24. 1200, 29. 1000. — Tal neblig: 5. 28. (Vm.) — **Bevers.** Schneegrenze: 28. 13^{1/2}h 1960 m, 18^h 2100, 27. 1800, 28. u. 29. 2100. — **Sitten.** Dunst: 1. bis 6. je d. g. T., 7. Vm., 8. Nm., 9. u. 11. Vm. Nm., 16. bis 19. je d. g. T., 29. Vm. Nm., 30. Vm. — **Lugano.** Nordföhn: 5. ab 19^{1/2}h, 8. 19-21^{1/2}h, 11. 20^{1/2}-23^{1/2}h, 12. 18^{1/2}h bis 13. 9^h, 15. 19^{1/2}h bis 17. 0^{1/2}h, 17. 6^{1/2}-19^h, 22. 9-18^{1/2}h, 26. 19^{1/2}-23^{1/2}h, 29. 13-13^{1/2}h. — **Basel.** Gewitter:

1. a) T 12^{1/2}-14^h, b) T 18^h, 6. a) T im W von 10^h an, K 12¹⁰-13¹⁰h mit 12⁵⁰-13^h u. 14¹⁰-14¹⁵h, b) K 20-24^h. — Dunst: 1. Vm., 3. Nm. — Purpurlicht: 26. Ab., 27. 19²⁰-19⁴⁰h. — **Säntis.** Grosses Lichtermeer: 4. 5. 11. 12. 18. 19. — Neuschnee: 15. 6 cm, 18. 3, 21. 10, 22. 10, 26. 15, 27. 2, 30. 15. — Schneehöhe: 15. 5 cm, 22. 20, 26. 15, 30. 10. — Schneegrenze: 15. 2200 m, 21. 1500, 26. 1700, 30. 2000. — Gewitter: 1. < im N 21^{1/2}h, 6. a) K 13^h, 5 T, b) < im N, W u. S Ab., 7. K in der Nacht (6./7.) u. fr., 10. < im SW Ab., 29. Spitzenentladung Ab. — **St. Gotthard.** Nebel auf dem Pass: 1. Ab., 8. d. g. T. — Nebelmeer im Süden: 2. 5. 16. je Ab. — Nebblig: 10. u. 21. d. g. T., 27. Vm. Neuschnee: 28. 1 cm.

Oktober.

Bern. Alpen schwach sichtbar: 18. Mitt., 31. Vm. Mitt. — Alpen sichtbar: 16. u. 17. Mitt., 18. Vm. — Alpen hell: 22. u. 30. Mitt. — Alpen klar: 14. u. 15. Mitt., 28. u. 29. Vm. — **Neuchâtel.** Alpen sichtbar: 10. Ab. — Nebel am Chaumont: 14. Vm. Nm., 15. Nm., 20. u. 30. Vm. — Nebel über dem See: 11. Vm., 14. Vm. Nm., 15. Nm., 20. Vm. — **Joran:** 9. 10^{1/2}-16^{1/2}h, 12. Ab. zeitw., 21. Ab., 27. Nm. zeitw., 30. 17-18^h. — **Aldorf.** Föhn: 9. Vm., 11. Ab. bis 12. Nm., 19. ? — Nebblig: 3. u. 23. Vm. **Zürich.** Alpen klar: 28. fr. — Alpen hell: 8. 10. 12. 13. 18. je Nm. — Alpen sichtbar: 1. Nm., 4. u. 8. Vm., 14. u. 20. (teilw.) Nm., 29. (Voralpen) u. 30. (teilw.) Vm. — Föhnmauer: 13. u. 20. Nm. — Tal neblig: 1. 4. 11. je Vm., 18. Vm. Nm., 17. Nm., 18. u. 20. Vm. — Sicht (Nebel): 1. u. 4. Vm. 200 m, 16. Vm. 70-100, 16. Vm. 20-50, 17. Vm. 50, 18. Vm. 50-200, 19. Vm. 150. — Hochnebel: 2. 3. 11. 14. 20. je Vm. — Purpurlicht: 16. 17. 30. je Ab. — Wolkenröte: 15. u. 20. Ab., 28. fr. — Schneegrenze: 8. 1600 m, 10. 1500, 22. 1000, 29. 1000. — **Rigi-Kulm.** Nebelmeer: 1. 900 m, 2. 1100, 3. 1150, 14. 900, 20. 900. — Tal neblig: 4. 15. 16. 17. — Neuschnee: 7. 4 cm, 10. 10, 11. 2, 13. 4, 22. 7, 23. 5, 25. 10, 26. 25, 27. 20, 28. 7. — Schneehöhe: 31. 50 cm. — **Bevers.** Neuschnee: 27. 12 cm, 28. 2. — Schneegrenze: 10. 1850 m, 18. 1900. — **Sitten.** Bodennebel: 19. Vm. — Dunst: 1. u. 2. d. g. T., 3. 4. 14. je Vm., 17. u. 18. d. g. T., 19. u. 20. Nm., 21. Vm. Nm. — Schneegrenze: 7. 1400 m, 22. 1250, 23. 1200, 25. 900, 26. 800. — **Lugano.** Nordföhn: 6. 8^h bis 7. 20^{1/2}h, 10. 8^{1/2}-19^{1/2}h, 22. 21^h bis 23. 19^{1/2}h, 25. 10^{1/2}h bis 27. 24^h. — **Basel.** Dunst: 1. Nm. — **Säntis.** Dämmerungserscheinungen: 1. 2. 13. bis 19. — Grosses Lichtermeer: 10. Neuschnee: 6. 2 cm, 7. 25, 8. 10, 10. 10, 13. 5, 22. 15, 23. 20, 24. 5, 25. 30, 26. 40, 27. 25, 28. 15, 29. 20. — Schneehöhe: 3. 5 cm, 10. 30, 17. Gipfel schneefrei, 24. 40, 31. 120. — Schneegrenze: 3. 2200 m, 10. 1500, 17. 2500, 24. 900, 31. 1400. — Gewitter: 6. K 12³⁰h, 1 Entladung. — **St. Gotthard.** Nebel auf dem Pass: 2. Ab. — Nebblig: 10. d. g. T. — Neuschnee: 7. 10 cm, 13. 5, 23. 5, 25. 10. — Schneehöhe: 30. 10 cm.

November.

Bern. Alpen schwach sichtbar: 20. Mitt., 27. Vm. Mitt., 29. Mitt., 30. Vm. — Alpen sichtbar: 1. Vm. Mitt., 22. u. 28. Vm. Alpen hell: 13. 15. 22. 25. je Mitt. — Alpen klar: 2. Vm. Mitt., 7. Vm., 9. Vm. Mitt., 13. Vm., 14. Vm. Mitt., 15. u. 20. Vm., 21. Mitt., 24. u. 25. Vm., 26. Mitt. — Schneehöhe: 4. 2,9 cm. — **Neuchâtel.** Alpen sichtbar: 2. u. 9. Nm., 14. 15. 21. 23. je Ab., 24. Vm. — Nebel am Chaumont: 10. u. 11. Vm. — Nebel über dem See: 11. Vm. — **Joran:** 11. ab 11^h. — **Aldorf.** Föhn: 2. Ab., 26. Mitt. bis 28. Ab. — **Zürich.** Alpen klar: 6. 9. 21. je Nm. — Alpen hell: 2. Nm. (teilw.), 7. Vm., 9. u. 19. Nm., 24. u. 28. fr., 30. fr. Nm. — Alpen sichtbar: 1. Nm. (teilw.), 2. u. 20. Vm., 23. u. 24. Nm., 25. Vm., 26. u. 28. (teilw.) Nm., 29. Vm. (Voralpen). — Föhnmauer: 2. u. 26. Nm., 27. u. 28. d. g. T., 29. Vm. Tal neblig: 8. u. 9. Vm., 14. Vm. Nm., 15. Nm., 17. Vm., 20. Ab., 27. Vm. Nm. — Taldunst: 24. Vm. — Sicht (Nebel): 13. u. 14. Vm. 200 m, 15. Vm. 60, dann 20. — Hochnebel: 8. Nm., 10. u. 11. Vm. — Purpurlicht: 14. fr. Ab. — Wolkenröte: 13. fr., 14. Ab., 24. 25. 26. 29. je fr. — Gewitter: 22./23. < in der Nacht. — **Rigi-Kulm.** Nebelmeer: 10. 900 m, 18. 1500. — Neuschnee: 4. 3 cm, 5. 37, 6. 2, 8. 5, 12. 4, 17. 8, 23. 3. — Schneehöhe: 7. 34 cm, 14. 18. — **Bevers.** Neuschnee: 3. 2 cm, 12. 0,5. — Schneegrenze: 27. 1800 m, 29. 1900. — **Sitten.** Talnebel: 2. Vm. — Bodennebel: 1. 9. 10. 20. 22. 27. je Vm. — Nebblig: 21. Vm. — Dunst: 1. 2. 8. 9. 10. 13. 14. 15. 18. 21. 22. 24. 30. je Nm. — **Lugano.** Nordföhn: 2. 20^{1/2}h bis 3. 10^{1/2}h, 4. 15^{1/2}h bis 5. 20^{1/2}h, 11. 11^{1/2}h bis 12. 20^{1/2}h, 23. 8^{1/2}-23^{1/2}h. — **Basel.** Gewitter: 9. < 20-21^{1/2}h, 23. T 5-6^h. — Purpurlicht:

11. 17^{01-17²⁰h}, 12. Ab., 17. 17^{10h}, 23. 7^{10h} u. 17^{04-17¹⁰h} — Morgenrot: 8. 20. 24. 27. 28. — Abendrot: 10. 12. 13. 15. 21. — Neuschnee: 4. 1 cm. — Säntis. Dämmerungserscheinungen: 10. 14. 25. — Abendrot: 9. — Grosses Lichtermeer: 9. 13. 14. 25. — Grosse Fernsicht: 14. — Nordlicht: 14. (?) — Neuschnee: 2. 5 cm, 4. 15, 5. 30, 6. 10, 8. 20, 11. 5, 12. 20, 13. 15, 18. 5, 17. 25, 19. 5, 20. ?, 21. ?, 23. 10, 25. 10, 30. 15. Schneedecke: 1. 120 cm, 5. 150, 7. 200, 14. 210, 21. 220, 28. 220, 30. 220. — Schneegrenze: 1. 400 m, 5. 500-600, 7. 700, 14. 1000, 21. 1600, 28. 1700, 30. 1700. — Starke Spitzenentladung: 4. Ab. — St. Gotthard. Neuschnee: 2. 5 cm, 3. 15, 4. 3, 12. 5, 13. 3, 17. 5, 18. 1, 20. 2, 25. 7, 27. 12, 28. 20, 29. 20, 30. 25. — Schneehöhe: 7. 20 cm, 14. 35, 21. 30, 28. 60.

Dezember.

Bern. Alpen sichtbar: 13. Mitt., 15. Vm., 27. Mitt. — Alpen hell: 7. Mitt. — Alpen klar: 9. Vm. Mitt., 11. 13. 19. 20. je Vm. — Schneehöhe: 10. 2,1 cm, 11. 0,8, 12. 2,3, 30. 6,2, 31. 2,3. — Neuchâtel. Alpen sichtbar: 7. Vm., 28. Nm. — Nebel am Chaumont: 2. Vm. Nm., 3. u. 4. Vm., 5. Vm. Nm., 8. Vm., 14. Nm., 26. Vm. — Nebel über dem See: 2. u. 5. Vm. Nm., 8. Vm. • Joran: 8. Ab. — Altdorf. Föhn: 29. Nm., 31. Vm. Nm. — Neblig: 1. Vm. — Genf. Schneehöhe: 12. 10 cm. — Zürich. Alpen sichtbar: 7. Vm., 9. Vm., Nm., (teilw.), 11. Vm. (schwach) Nm.,

13. Nm., 20. Vm., 26. (schwach) 30. 31. je Nm. — Taldunst: 20. Nm. — Sicht (Nebel): 1. fr. 400 m. — Hochnebel: 1. bis 3. je d. g. T., 4. u. 5. Vm. Nm., 8. u. 17. Nm., 18. Vm., 21. bis 24. je d. g. T., 25. Vm. — Purpurlicht: 19. u. 20. Ab. — Wolkenröte: 19. fr. — Rigi-Kulm. Nebelmeer: 1. 600 m, 2. 900, 3. 1100, 4. 1200, 5. 1500, 9. 1200, 18. 1700, 20. 1000, 21. 1100, 22. 1300, 23. 1500, 24. 1600, 25. 1200. — Tal neblig: 17. 19. — Neuschnee: 6. 12 cm, 7. 4, 9. 5, 10. 6, 11. 3, 13. 20, 14. 2, 15. 12, 29. 18, 30. 3. — Schneehöhe: 12. 35 cm, 19. 35. — Bevern. Neuschnee: 6. 5 cm, 8. 1, 9. 13, 10. 4, 13. 4, 30. 10. — Schneehöhe: 11. 9 cm, 20. 12. — Sitten. Bodennebel: 1. 2. 9. je Vm. — Neblig: 14. u. 21. Ab., 22. Vm. Ab., 23. d. g. T. — Dunst: 1. u. 2. Nm., 6. u. 7. d. g. T., 8. Vm., 15. Ab. 16. bis 20. je d. g. T., 21. Vm. Nm., 25. Nm., 26. u. 27. d. g. T., 28. Vm., 30. Nm. — Neuschnee: 12. 13,5 cm, 31. 3,3. — Lugano. Nordföhn: 10. 5-24^h — Schneehöhe: 30. 0,5 cm. — Basel. Dunst: 4. 5. 18. 21. 22. je Nm. — Purpurlicht: 28. 17-17^{10h}. — Morgenrot: 9. 15. — Abendrot: 5. 29. — Säntis. Dämmerungserscheinungen: 1. 3. 4. 7. 15. bis 21. 23. 24. 25. — Morgenrot: 25. — Neuschnee: 1. 5 cm, 6. 10, 7. 10, 9. 10, 10. 10, 11. 10, 12. 5, 13. 25, 14. 10, 15. 10, 27. 10, 29. 10, 30. 10, 31. 5. — Schneehöhe: 1. 220 cm, 5. 200, 12. 210, 19. 200, 26. 190, 31. 195. — Schneegrenze: 1. 1700 m, 5. 1700, 12. 600, 19. 800, 28. 900, 31. 800. — St. Gotthard. Nebel im Sellatal: 4. 6. je Vm. — Nebelmeer im Süden: 30 Vm. — Neblig: 13. Vm., 14. Ab., 28. Nm. — Neuschnee: 6. 2 cm, 14. 10, 15. 3, 27. 10. — Schneehöhe: 5. 12. 19. 26. je 100 cm.



Sichtverhältnisse auf dem Säntis 1930

Tag	September					Oktober					November					Dezember										
	7 ³⁰	10 ³⁰	13 ³⁰	16 ³⁰	21 ³⁰	7 ³⁰	10 ³⁰	13 ³⁰	16 ³⁰	21 ³⁰	7 ³⁰	10 ³⁰	13 ³⁰	16 ³⁰	21 ³⁰	7 ³⁰	10 ³⁰	13 ³⁰	16 ³⁰	21 ³⁰	7 ³⁰	10 ³⁰	13 ³⁰	16 ³⁰	21 ³⁰	
1	h ^t	h ^t	∞ ^t	h h	—	∞	∞	∞	∞	∞	h	h	h	h	h	≡ 800	h ^t	h	∞							
2	h	h	h ^t	h ^t h ^t	h ^t h	∞	∞	∞	∞	∞	h	h	h	h	h	≡ 1400	h ^t	h	∞							
3	h	h	h ^t	h ^t h ^t	h ^t h	∞	∞	∞	∞	∞	h	h	h	h	h	≡ 1400-900	h ^t	h	∞							
4	h	h	h	h ^t h ^t	h ^t h	∞	∞	∞	∞	∞	h	h	h	h	h	≡ 500	h ^t	h	∞							
5	h	h	h	h ^t h ^t	h ^t h	∞	∞	∞	∞	∞	h	h	h	h	h	≡ 500	h ^t	h	∞							
6	h	h	h	h ^t h ^t	h ^t h	∞	∞	∞	∞	∞	h	h	h	h	h	≡ 500	h ^t	h	∞							
7	h ^t	h ^t	—	h	h	∞	∞	∞	∞	∞	—	—	—	—	—	—	—	—	—							
8	h ^t	h ^t	—	h	h	∞	∞	∞	∞	∞	—	—	—	—	—	—	—	—	—							
9	h ^t	—	h ^t	—	—	∞	∞	∞	∞	∞	—	—	—	—	—	—	—	—	—							
10	—	—	—	—	h	∞	∞	∞	∞	∞	h	h	h	h	h	—	—	—	—							
11	∞ ^t	∞	∞	∞	∞	∞	∞	∞	∞	∞	h	h	h ^t	h	h ^t	≡ 700	∞	∞	∞							
12	∞ ^t	∞	∞	∞	∞	∞	∞	∞	∞	∞	h	h	h ^t	h	h ^t	h	h	h	∞							
13	∞ ^t	∞	∞	∞	h ^t	∞	∞	∞	∞	∞	h	h	h ^t	h	h ^t	≡ 2000	h	h	h							
14	h ^t	h ^t	—	—	—	∞	∞	∞	∞	∞	h	h	h	h	h	≡ 800	∞ ^t	h ^t	h							
15	—	—	—	—	—	∞	∞	∞	∞	∞	h	h	h	h	h	≡ 600	∞ ^t	h ^t	h							
16	—	—	—	—	—	∞	∞	∞	∞	∞	h	h	h	h	h	≡ 500	∞ ^t	h ^t	h							
17	h	h ^t	—	—	—	∞	∞	∞	∞	∞	h	h	h	h	h	≡ 500	∞ ^t	h ^t	h							
18	h	h ^t	h ^t	h ^t	—	∞	∞	∞	∞	∞	h	h	h	h	h	≡ 500	∞ ^t	h ^t	h							
19	h	h	h	h	h ^t	∞	∞	∞	∞	∞	h	h	h	h	h	≡ 500	∞ ^t	h ^t	h							
20	—	—	—	—	—	∞	∞	∞	∞	∞	h	h	h	h	h	≡ 700	∞ ^t	h ^t	h							
21	—	—	—	—	—	∞	∞	∞	∞	∞	—	—	—	—	—	—	—	—	—							
22	—	—	—	—	—	∞	∞	∞	∞	∞	—	—	—	—	—	—	—	—	—							
23	—	—	—	—	—	∞	∞	∞	∞	∞	—	—	—	—	—	—	—	—	—							
24	h	h	h	h	h	∞	∞	∞	∞	∞	—	—	—	—	—	—	—	—	—							
25	—	—	—	—	—	∞	∞	∞	∞	∞	—	—	—	—	—	—	—	—	—							
26	—	—	—	—	—	∞	∞	∞	∞	∞	—	—	—	—	—	—	—	—	—							
27	—	—	—	—	—	∞	∞	∞	∞	∞	—	—	—	—	—	—	—	—	—							
28	∞	∞	∞	∞	h ^t	∞	∞	∞	∞	∞	—	—	—	—	—	—	—	—	—							
29	∞	∞	∞	∞	—	∞	∞	∞	∞	∞	—	—	—	—	—	—	—	—	—							
30	∞	∞	∞	∞	—	∞	∞	∞	∞	∞	—	—	—	—	—	—	—	—	—							
31	∞	∞	∞	∞	—	∞	∞	∞	∞	∞	—	—	—	—	—	—	—	—	—							

Monats- und Jahresübersichten sämtlicher schweiz. meteorologischen Stationen.

In die hier folgenden Uebersichten werden die Beobachtungsergebnisse aller schweizerischen Stationen, soweit es die Zuverlässigkeit und Vollständigkeit derselben gestattet, aufgenommen.

Das Schema ist dem vom ersten internationalen Meteorologenkongress aufgestellten möglichst angepasst.

Zu beachten* ist:

1. Die Minima und Maxima bei Luftdruck, Temperatur und die Minima bei der relativen Feuchtigkeit sind stets den üblichen Terminbeobachtungen entnommen (7^{50} 13^{50} 21^{50} , resp. 7^{50} 13^{50} 20^{50}).
 2. Die Monatsmittel der Temperatur werden aus den 3 Terminbeobachtungen in der Weise abgeleitet, dass der Abendbeobachtung (21^{50}) das doppelte Gewicht beigelegt ist [$m = 1/4 (7^{50} + 13^{50} + 2 \cdot 21^{50})$]. Bei den wenigen Stationen, die eine andere Kombination der Beobachtungsstunden haben, wird eine nach den stündlichen Werten von Bern und Säntis berechnete Reduktion angebracht.
 3. Zu den Tagen mit Niederschlag werden alle gezählt, an denen derselbe den Betrag von wenigstens 0.3^{mm} erreicht, sei dies nun Regen oder Schnee, oder beides zugleich.
Eine zweite Rubrik enthält die Zahl der Tage mit Niederschlagsmengen von mindestens 1.0^{mm} .
 4. Tage mit mehreren Gewittern werden nur einfach gezählt.
 5. Als heitere Tage werden solche bezeichnet, deren mittlere Bewölkung < 2 .
» trübe » » » » » » » » > 8 .
 6. Bei der Uebersicht der Windverteilung wird nur die Häufigkeit der verschiedenen Windrichtungen mit Index > 0 berücksichtigt.
 7. λ bezeichnet die geographische Länge in Graden von Greenwich, β die geographische Breite, H_b die Höhe des Stationsbarometers über dem Meer in Metern, H die Höhe der Station (des Regenmessers) über Meer, G ist die Korrektur, welche an den Luftdruckdaten für deren Reduktion auf die Normalschwere (45° Breite und das Meeresniveau) noch anzubringen ist, h_r die Höhe des oberen Randes des Regenmessers über dem Erdboden. Die Stationen, bei denen die Höhe (des Barometergefässes) bis auf den Dezimeter angegeben ist, sind an das schweizerische Präzisionsnivelement angeschlossen. Alle Höhen sind auf Pierre du Niton 373.6^m bezogen.
-

Zürich

$\lambda = 8^{\circ} 33', \beta = 47^{\circ} 23', H_b = 493.2^m, G = 0.08 \frac{m}{m}, h_r = 1.4^m$

1880	Luftdruck					Luft-Temperatur							Relative Feuchtigkeit						
	Mittel	Minimum Tag	Maximum Tag	7 ⁰⁰	13 ⁰⁰	21 ⁰⁰	Mittel	Minimum Tag	Maximum Tag	7 ⁰⁰	13 ⁰⁰	21 ⁰⁰	Mittel	Minimum Tag					
Januar	718.9	701.8	31	732.0	18	0.7	3.7	1.4	1.8	-2.8	25	11.7	13	95	83	95	91	46	13
Februar	717.8	697.0	1	726.1	9	-2.0	3.3	0.1	0.4	-8.4	10	12.8	27	92	69	84	82	39	27
März	716.7	703.6	18	729.5	4	2.9	9.3	5.1	5.6	-2.0	21	16.8	28	92	64	84	80	30	31
April	712.5	700.3	14	722.1	8	6.6	13.9	8.7	9.5	1.6	20	24.4	28	89	56	78	74	33	24
Mai	718.2	708.5	7	725.5	17	9.6	16.0	11.1	12.0	4.8	9	24.6	18	86	58	85	76	34	20
Juni	719.3	713.3	26	723.4	21	16.5	25.0	17.8	19.3	13.5	6	29.2	23	83	50	81	71	38	18
Juli	718.1	705.8	18	723.5	9	14.8	21.1	15.7	16.8	7.9	12	31.2	5	87	58	84	76	38	5
August	721.1	712.1	14	727.2	25	14.2	21.9	16.1	17.1	10.0	1	28.8	28	90	60	88	79	37	31
September	719.9	711.6	12	726.3	3	12.6	18.8	13.8	14.8	8.2	29.30	27.8	6	94	65	90	83	41	16
Oktober	719.1	706.6	25	729.2	3	7.7	12.5	8.7	9.4	2.8	28	18.8	8	93	71	91	85	49	13
November	719.7	699.7	4	735.2	13	5.6	9.9	6.6	7.2	-2.2	14	18.8	29	87	66	84	79	42	26
Dezember	718.3	704.5	31	733.8	18	0.8	2.9	1.3	1.6	-4.4	19	9.2	31	92	80	87	86	57	18
Jahr	718.3	697.0	11	735.2	XI	7.5	13.2	8.9	9.6	-8.4	II	31.2	VII	90	65	86	80	30	111

Rigi-Kulm

$\lambda = 8^{\circ} 30', \beta = 47^{\circ} 3', H_b = 1787.3^m, G = -0.11 \frac{m}{m}, h_r = 1.8^m$

Januar	612.7	597.5	31	624.0	18	-1.3	0.7	-0.3	-0.3	-8.0	1	5.5	14	61	52	52	55	10	19.20
Februar	609.7	592.8	1	616.9	28	-6.1	-3.4	-5.6	-5.2	-12.0	17	1.6	14	64	57	61	61	9	12
März	610.7	599.5	20	622.5	4	-1.8	0.5	-1.6	-1.1	-9.4	20	6.8	3	66	73	77	72	7	10
April	607.9	595.7	14	616.4	27	0.1	2.8	0.6	1.0	-6.0	18	10.7	28	77	70	78	75	27	28
Mai	613.6	604.3	7	621.1	17	2.3	5.1	2.9	3.3	-5.2	9	15.4	30	79	77	83	80	25	30
Juni	617.0	612.5	27	620.5	20	11.4	13.4	11.0	11.7	7.0	25	17.0	22	60	66	70	65	33	30
Juli	615.5	605.0	18	620.4	7	7.8	9.9	8.0	8.4	0.0	12	18.6	5	76	72	79	76	32	21
August	618.4	609.3	14	625.1	26	9.0	11.6	10.0	10.2	1.2	15	21.2	26	70	63	71	68	15	26
September	616.8	609.7	12	622.9	3	7.3	9.3	7.5	7.9	0.0	21.27	17.2	19	72	67	76	72	12	17
Oktober	614.7	601.5	25	624.1	3	3.1	4.4	3.2	3.5	-7.0	28	11.6	14	65	68	70	68	0	14
November	614.2	595.1	4	625.6	13	0.8	2.2	1.1	1.3	-9.0	12	8.8	28	69	63	65	66	0	24
Dezember	611.0	601.5	11	622.2	18	-3.0	-1.7	-2.8	-2.6	-11.8	11	8.4	2	65	65	62	64	8	2
Jahr	613.5	592.8	11	625.6	XI	2.5	4.6	2.8	3.2	-12.0	II	21.2	VIII	69	66	70	68	0	XI

Pilatus-Kulm

Die Abendbeobachtung geschieht um 20⁰⁰. $\lambda = 8^{\circ} 16', \beta = 46^{\circ} 59', H_b = 2068^m, G = -0.14 \frac{m}{m}, h_r = 0.9^m$

Januar	—	—	—	—	—	-3.0	0.1	-2.2	-1.8	-10.8	1	5.0	19	63	55	57	58	10	19
Februar	—	—	—	—	—	-7.5	-3.8	-7.3	-6.4	-13.6	17	3.2	12	70	63	65	66	25	18.13
März	—	—	—	—	—	-3.4	0.3	-3.0	-2.2	-12.0	13	6.2	3	69	70	71	70	12	6
April	—	—	—	—	—	-1.3	2.4	-1.3	-0.4	-7.6	18	12.4	27	75	73	76	75	42	28
Mai	—	—	—	—	—	1.3	4.5	1.6	2.1	-5.4	9	16.8	29	79	78	83	80	35	29
Juni	—	—	—	—	—	8.3	12.0	9.3	9.4	5.0	1.3	18.0	12	73	76	80	76	6	11
Juli	—	—	—	—	—	6.0	8.8	6.3	6.5	-1.4	12	17.0	4	80	80	83	81	48	21
August	—	—	—	—	—	7.5	11.1	8.4	8.6	-0.4	15	21.2	21.28	71	70	78	73	15	18
September	—	—	—	—	—	5.7	8.3	6.0	6.4	-1.6	21.21	16.4	5	69	69	71	70	15	4
Oktober	—	—	—	—	—	2.1	3.8	2.1	2.5	-9.0	28	13.0	15	64	64	66	65	16	14
November	—	—	—	—	—	-0.6	1.2	-0.4	-0.1	-10.2	12	7.0	9.14	73	71	67	70	12	14
Dezember	—	—	—	—	—	-4.1	-1.8	-3.9	-3.4	-13.0	11	8.4	2	41	35	44	40	12	4
Jahr	—	—	—	—	—	0.9	3.9	1.3	1.8	-13.6	11	21.2	VIII	69	67	71	69	6	VI

Altdorf

$\lambda = 8^{\circ} 39', \beta = 46^{\circ} 53', H_b = 456.3^m, G = 0.05 \frac{m}{m}, h_r = 1.5^m$

Januar	721.9	705.0	31	735.6	18	2.8	6.0	4.0	4.2	-4.0	24	13.4	26	82	70	76	76	22	5
Februar	720.6	700.6*	1	729.4	12	-0.5	4.0	0.8	1.3	-5.8	13	12.4	27	80	56	74	70	24	26
März	719.6	705.8	18	733.1	4	4.0	9.9	6.1	6.5	-2.1	21	16.7	2	81	53	74	69	25	2
April	715.5	703.2	29	725.1	8	8.0	13.5	9.4	10.1	2.9	20	23.2	27	81	52	75	69	28	25.28
Mai	721.3	710.5	7	728.3	16.17	10.4	15.4	11.7	12.3	5.7	9	25.3	30	84	55	78	72	28	30
Juni	722.1	716.2	26	726.8	20	16.9	23.7	17.9	19.1	14.9	18	27.9	26	79	49	75	68	25	6
Juli	721.1	707.0	18	726.7	9	15.7	20.7	16.0	17.1	9.9	14	29.0	5	81	54	84	73	34	17.18
August	724.0	715.7	14	730.3	25	15.1	20.9	16.3	17.2	10.5	17	27.7	2	84	60	86	77	25	21
September	722.9	714.7	12	728.9	2	13.1	18.7	14.2	15.0	7.8	27	26.3	1	93	58	89	80	23	19
Oktober	722.2*	709.9	25	732.2	3	8.0*	12.1*	8.4*	9.2*	0.5	28	19.8	12	88*	70*	92*	83*	?	—
November	723.6	710.0	4	739.3	12	5.3	9.8	6.5	7.0	-1.0	14	17.7	27	84	65	79	76	20	27
Dezember	721.4	707.5	31	737.1	18	0.8	3.5	1.1	1.6	-5.0	26	11.2	29	81	69	84	78	25	29
Jahr	721.3	700.6*	11	739.3	XI	8.3	13.2	9.4	10.1	-5.8	II	29.0	VII	83	59	80	74	?	—

Altstätten

$\lambda = 9^{\circ} 33'$, $\beta = 47^{\circ} 23'$, $H_b = 451.9^m$, $G = 0.08 \%$, $h_r = 1.5^m$

1930	Luftdruck					Luft-Temperatur						Relative Feuchtigkeit							
	Mittel	Minimum Tag	Maximum Tag	7 ⁰⁰	13 ⁰⁰	21 ⁰⁰	Mittel	Minimum Tag	Maximum Tag	7 ⁰⁰	13 ⁰⁰	21 ⁰⁰	Mittel	Minimum Tag					
Januar	721.8	705.4	31	735.1	18	0.2	4.4	1.2	1.8	-6.2	21	15.0	27	88	73	85	82	22	5
Februar	720.8	699.0	1	729.6	9	-2.4	3.0	-1.0	-0.3	-10.0	12	11.4	26	84	59	79	74	29	1
März	719.4	706.7	18	732.6	4	2.8	9.4	4.3	5.2	-3.2	4	15.7	31	88	57	75	73	30	29
April	715.3	703.5	14	725.0	8	7.4	13.5	8.3	9.4	1.6	15	23.8	28	85	53	73	70	22	28
Mai	720.8	711.1	7	728.8	17	9.9	16.1	10.9	12.0	3.8	9	27.8	30	86	55	78	73	23	30
Juni	721.7	715.2	26	726.5	20	17.1	24.8	17.4	19.2	13.8	12	28.8	6	77	45	70	64	30	26
Juli	720.7	707.5	18	726.0	9	15.4	20.5	15.0	16.5	9.6	13	29.8	5	82	58	81	74	35	2
August	723.9	714.4	14	730.3	25	14.8	21.4	15.4	16.7	10.8	8.15	27.8	2.29	88	54	83	75	27	21
September	722.8	713.9	12	729.3	2	12.3	18.9	12.9	14.3	7.2	30	25.6	1	93	56	86	78	30	12.19
Oktober	722.3	709.9	25	733.0	3	6.4	11.7	7.6	8.3	2.8	19	16.6	4.12	93	67	92	84	46	14
November	722.9	703.0	4	739.2	12	5.6	10.0	6.3	7.1	-2.2	18.24	20.6	29	82	63	80	75	25	28
Dezember	721.4	707.4	31	737.7	18	-0.8	2.5	-0.1	0.4	-7.8	26	13.4	29	87	72	87	82	17	29
Jahr	721.1	699.0	II	739.2	XI	7.4	13.0	8.2	9.2	-10.0	II	29.8	VII	86	59	81	75	17	XII

Säntis

$\lambda = 9^{\circ} 20'$, $\beta = 47^{\circ} 15'$, $H_b = 2500.1^m$, $G = -0.16 \%$, $h_r = 0.7^m$

Januar	559.9	546.4	31	571.6	18	-5.4	-4.3	-5.1	-5.0	-13.0	12	1.3	18	70	68	71	70	5	18
Februar	556.6	542.0	1	564.2	12.13	-9.6	-7.7	-9.4	-9.0	-17.2	17	0.2	13	79	75	79	78	18	11
März	557.9	546.7	12	569.1	4	-6.1	-4.2	-6.4	-5.8	-15.5	12	1.6	3	78	83	88	83	13	31
April	555.6	543.9	14	564.7	26	-3.9	-2.4	-4.5	-3.8	-10.3	16	4.3	28	91	95	96	94	55	21.23
Mai	561.1	551.5	8	568.8	17	-1.8	0.1	-2.2	-1.5	-10.5	9	9.0	30	89	93	96	93	45	22
Juni	566.2	562.0	27	569.0	20.21	7.0	8.8	5.3	6.6	2.0	1	12.8	30	67	85	91	81	26	5
Juli	563.9	553.8	18	569.2	4.5.7	3.8	5.4	3.0	3.8	-5.0	13	15.8	6	84	91	97	91	36	5
August	566.9	556.1	14	575.5	26	4.9	6.7	4.7	5.2	-3.5	17	16.2	27	73	83	80	79	13	31
September	565.0	558.6	27	571.5	3	2.5	4.9	2.3	3.0	-4.0	21.21	11.5	1	80	80	85	82	5	24
Oktober	562.0	549.0	25	571.7	3	-1.1	0.2	-1.4	-0.9	-11.5	28	9.4	15	70	78	75	74	10	14
November	561.2	544.2	4	572.3	13	-4.4	-3.5	-4.4	-4.2	-12.4	12	1.1	28	84	81	87	84	15	24
Dezember	557.9	548.6	11	568.6	1	-7.0	-6.1	-7.1	-6.8	-15.1	11	3.0	2	69	63	69	67	5	2
Jahr	561.2	542.0	II	575.5	VIII	-1.8	-0.2	-2.1	-1.5	-17.2	II	16.2	VIII	78	81	84	81	5	I/IX XII

Basel (Binningen)

$\lambda = 7^{\circ} 35'$, $\beta = 47^{\circ} 33'$, $H_b = 318.0^m$, $G = 0.13 \%$, $h_r = 1.5^m$

Januar	734.1	716.5	31	746.8	18	1.1	5.6	2.1	2.7	-2.2	21	11.6	14	89	72	88	83	50	12
Februar	733.6	711.9	1	742.4	9	-1.4	4.3	0.7	1.1	-8.3	12	13.4	27	84	63	78	75	43	26
März	731.7	718.3	18	745.2	5	2.9	10.3	5.6	6.1	-1.8	10	17.6	28	88	58	78	75	33	10
April	727.9	715.5	14	737.7	8	6.8	14.1	8.8	9.6	1.0	20	22.4	25	88	62	84	78	35	11
Mai	733.6	724.4	7	740.5	17	10.0	16.4	10.7	12.0	4.3	1	24.9	18	88	66	90	81	46	16
Juni	734.1	728.6	26	738.6	21	17.3	24.3	17.4	19.1	13.0	3	29.8	22	83	62	89	78	41	18
Juli	733.0	721.7	18	738.7	8	15.5	21.0	15.5	16.9	9.4	11	30.5	5	84	63	87	78	44	1
August	736.0	726.1	14	742.2	25	14.8	22.4	16.0	17.3	10.8	17	30.2	27	87	61	87	78	44	16
September	735.1	726.0	12	741.5	3	12.5	19.0	13.7	14.7	6.9	27	29.1	19	91	67	89	82	32	19
Oktober	734.4	722.0	25	744.7	30	7.8	13.4	9.3	10.0	2.6	28	18.7	18	93	72	89	85	55	13
November	734.9	715.6	4	751.8	12	5.2	9.6	6.6	7.0	-2.2	14	17.0	21	86	72	82	80	50	15
Dezember	733.8	717.8	31	749.9	18	0.6	3.3	1.2	1.6	-6.8	21	12.3	31	90	77	85	84	50	7
Jahr	733.5	711.9	II	751.8	XI	7.8	13.6	9.0	9.8	-8.3	II	30.5	VII	88	66	86	80	32	IX

Neuchâtel

$\lambda = 6^{\circ} 57'$, $\beta = 47^{\circ} 0'$, $H_b = 487.3^m$, $G = 0.06 \%$, $h_r = 1.3^m$

Januar	719.3	701.7	31	732.8	18	1.0	3.3	1.7	1.9	-1.8	27	10.8	13	95	89	95	93	55	12
Februar	718.0	697.5	1	726.3	12	-1.2	3.1	0.8	0.9	-7.1	11	10.3	28	88	69	78	78	54	12
März	717.0	704.4	18	729.9	4.5	2.6	8.7	5.6	5.6	-2.6	21	14.7	28	90	65	77	77	38	29
April	712.7	700.8	14	722.0	8	6.9	13.2	9.3	9.7	3.0	14.57	23.5	28	89	63	74	75	34	10
Mai	718.8	708.5	7	725.6	17	9.5	15.0	10.6	11.4	5.0	10	22.8	18	88	66	82	79	32	17
Juni	719.5	714.0	2	723.5	21	16.6	24.0	18.0	19.2	13.2	3	27.0	30	87	60	77	75	49	29
Juli	718.5	706.6	18	723.4	26	15.2	20.9	16.2	17.1	9.0	11	30.8	5	86	62	77	75	48	1.16
August	721.5	714.3	14	727.2	25	14.7	21.4	16.8	17.4	10.0	17	28.8	28	89	64	78	77	49	10
September	720.3	711.3	12	726.2	3	13.0	19.1	14.7	15.4	8.6	27.30	27.3	1.6	89	69	80	79	52	14
Oktober	720.0	708.1	25	729.6	3	7.9	11.2	8.9	9.2	3.2	28	16.1	21	92	82	90	88	57	27
November	720.4	700.2	4	735.9	12	4.8	8.9	6.2	6.5	-1.8	14	16.0	1	92	78	85	85	52	25
Dezember	718.6	704.5	31	733.5	18	1.2	3.4	1.7	2.0	-5.4	21	9.4	31	89	80	85	85	53	20
Jahr	718.7	697.5	II	735.9	XI	7.7	12.7	9.2	9.7	-7.1	II	30.8	VII	90	71	81	81	34	III

Beobachter: B. Heldstab

Altstätten

Bewölkung				Niederschlag		Zahl der Tage										Windverteilung										1880
7 ⁰⁰	13 ⁰⁰	21 ⁰⁰	Mittel	Summe	Maximum Tag	*	≥10	*	▲	⊠	≡	beiter	trübe	N	NE	E	SE	S	SW	W	NW	Calmes				
7.5	7.3	6.3	7.0	25	10	30	5	5	1	—	—	5	1	15	—	—	—	—	8	5	1	1	78			
6.5	5.8	4.8	5.7	12	7	15	5	3	4	—	—	3	5	9	—	1	—	—	2	—	1	1	79			
6.2	6.8	6.1	6.4	63	9	16	18	14	4	—	—	5	4	14	5	1	2	—	2	1	7	7	68			
7.5	7.6	6.8	7.3	133	26	4	15	14	—	—	—	1	1	16	6	3	4	—	10	2	8	2	55			
7.6	8.2	8.1	8.0	239	43	14	17	15	—	—	1	—	—	20	3	2	2	—	2	2	7	1	74			
5.4	4.8	6.4	5.5	104	32	8	10	10	—	—	1	—	3	4	5	—	4	1	2	—	2	—	76			
6.4	6.9	8.5	7.3	281	49	18	20	20	—	—	7	1	—	13	2	—	2	1	—	3	6	—	79			
5.8	5.3	5.8	5.6	145	19	15	16	15	—	—	3	1	8	9	2	3	—	—	2	1	4	1	80			
8.0	6.8	6.5	7.1	191	31	6	18	14	—	—	3	4	—	10	2	1	1	—	2	2	5	—	77			
7.6	6.8	7.0	7.1	214	40	6	19	18	—	—	1	2	5	18	—	—	—	—	3	10	—	—	80			
7.6	6.8	6.1	6.8	146	54	16	18	15	1	1	—	2	1	10	1	—	—	—	9	5	6	1	68			
8.7	7.3	7.2	7.7	59	18	5	13	10	1	—	—	11	1	18	1	—	—	—	1	—	1	1	89			
7.1	6.7	6.6	6.8	1612	54	XI	174	153	11	1	17	35	28	156	27	11	15	2	40	24	58	15	903			

Beobachter: P. Steier

Säntis

4.7	4.7	4.2	4.5	121	30	2	10	10	—	—	8	9	5	4	3	4	10	21	17	17	7	—	Januar	
5.0	4.6	3.6	4.4	110	31	3	11	8	11	—	—	7	9	5	1	13	10	8	26	17	6	2	1	Februar
6.7	7.4	7.5	7.2	260	35	13	19	19	19	—	—	23	1	16	6	5	5	3	11	32	20	8	3	März
8.0	8.3	7.6	8.0	284	40	14	20	18	20	1	2	26	1	18	3	13	—	1	36	22	8	4	3	April
8.1	9.4	8.0	8.5	382	52	8	23	22	21	1	3	28	—	20	3	8	4	3	12	28	30	1	4	Mai
5.4	8.0	6.3	6.6	115	21	13	17	17	—	6	8	21	1	5	7	13	9	4	25	19	10	—	3	Juni
6.7	8.7	9.3	8.2	499	70	11	23	23	13	3	7	29	—	16	2	1	—	1	11	39	36	3	—	Juli
6.4	7.3	6.7	6.8	279	42	15	18	18	9	1	3	24	5	16	1	—	1	3	9	33	33	8	5	August
7.4	8.2	6.9	7.5	291	48	20	18	16	10	—	2	22	2	14	2	1	1	5	14	39	26	1	1	September
6.6	7.1	6.7	6.8	510	82	25	19	18	15	—	1	20	8	18	2	—	2	2	9	38	35	4	1	Oktober
7.5	7.0	7.7	7.4	345	46	16	21	21	21	—	—	20	1	12	3	1	—	—	9	45	26	5	1	November
4.9	4.9	4.9	4.9	252	52	12	15	15	15	—	—	14	8	10	3	17	4	4	6	33	21	4	1	Dezember
6.4	7.1	6.6	6.7	3448	82	X	214	205	164	12	26	242	45	155	37	75	40	44	189	372	268	47	23	Jahr

Beobachter: Astronom.-Meteorolog. Anstalt

Basel (Binningen)

7.5	5.1	5.6	6.1	30	18	15	7	6	—	—	—	9	3	10	1	15	43	13	7	4	8	4	8	Januar	
7.1	6.2	6.5	6.6	20	5	1	10	8	4	—	—	1	6	15	5	4	23	14	2	7	8	14	7	Februar	
6.7	7.3	6.2	6.7	30	6	25	13	10	3	1	1	2	2	14	4	9	21	15	1	14	16	8	5	März	
7.7	7.3	6.4	7.1	112	19	14	16	14	1	—	—	2	1	13	2	6	14	12	10	10	14	12	10	April	
7.7	8.7	8.5	8.3	119	19	2	21	18	—	—	1	3	4	—	20	1	1	17	18	2	17	20	11	6	Mai
6.9	5.3	5.7	6.0	104	25	8	11	10	—	—	2	9	3	5	7	2	4	17	10	—	20	13	12	12	Juni
6.9	7.1	7.0	7.0	198	42	10	21	17	—	—	5	1	3	15	—	5	17	9	—	19	29	4	10	Juli	
6.4	5.9	5.2	5.8	53	22	2	14	10	—	—	2	2	7	12	2	6	14	12	3	24	17	5	10	August	
8.0	7.2	6.2	7.1	61	25	6	15	13	—	—	1	2	1	12	1	5	17	9	1	23	20	5	9	September	
8.8	7.2	6.8	7.6	102	14	11	17	17	—	—	—	6	3	19	1	4	28	11	6	16	18	3	6	Oktober	
8.2	7.8	7.4	7.8	96	22	3	16	15	1	1	1	2	1	18	4	4	24	13	8	13	18	6	—	November	
9.3	7.3	8.1	8.2	37	6	29	12	11	2	1	—	5	—	15	—	8	30	11	6	8	17	3	10	Dezember	
7.6	6.9	6.6	7.0	962	42	VII	173	149	11	7	25	37	33	170	23	61	265	147	46	175	198	87	93	Jahr	

Beobachter: Observatorium

Neuchâtel

9.1	8.3	7.8	8.4	49	17	11	10	6	1	—	—	16	—	20	11	8	13	1	2	5	14	7	32	Januar	
7.5	7.3	7.0	7.3	39	10	2	9	6	6	1	—	—	2	16	—	9	29	4	2	5	10	5	20	Februar	
7.2	7.6	6.5	7.1	56	10	22	13	12	4	—	—	4	1	15	5	6	13	3	1	7	19	8	31	März	
7.2	7.3	6.8	7.1	57	21	29	15	11	1	—	—	—	1	14	8	11	11	5	1	15	13	6	20	April	
7.6	7.6	7.3	7.5	111	18	13	21	17	—	—	1	—	—	14	7	7	12	2	3	12	15	15	20	Mai	
5.3	4.9	5.6	5.3	70	25	16	12	10	—	—	2	1	5	5	4	6	21	11	4	16	3	6	19	Juni	
6.5	6.9	6.6	6.7	170	39	25	17	15	—	—	74	—	1	11	11	4	10	7	3	12	23	12	11	Juli	
6.3	5.5	4.5	5.4	67	16	4	14	12	—	—	1	1	7	8	7	5	5	5	7	5	7	20	16	17	August
8.2	6.6	6.6	7.1	81	15	12	17	14	—	—	—	2	—	14	9	12	3	7	2	14	16	11	16	September	
9.5	8.4	7.2	8.4	97	18	9	18	17	—	—	1	10	—	20	4	3	8	2	1	13	21	18	23	Oktober	
7.7	7.2	6.9	7.3	99	28	3	16	15	3	—	—	2	1	13	12	3	9	1	1	15	17	10	22	November	
8.9	8.0	8.0	8.3	68	17	29	13	12	3	—	—	3	1	20	8	16	20	1	—	6	17	9	16	Dezember	
7.6	7.1	6.7	7.1	964	39	VII	175	147	18	1	79	39	19	170	86	90	154	55	25	127	188	123	247	Jahr	

Chaumont

$\lambda = 60^{\circ} 59'$, $\beta = 47^{\circ} 1'$, $H_b = 1127^m$, $G = -0.02 \frac{mm}{m}$, $h_r = 1.3^m$

1880	Luftdruck					Luft-Temperatur						Relative Feuchtigkeit							
	Mittel	Minimum Tag	Maximum Tag	7 ³⁰	13 ³⁰	21 ³⁰	Mittel	Minimum Tag	Maximum Tag	7 ³⁰	13 ³⁰	21 ³⁰	Mittel	Minimum Tag	Maximum Tag				
Januar	665.2	649.6	31	676.7	18	1.6	4.2	1.5	2.2	-4.2	31	8.9	19	79	60	80	73	30	21
Februar	662.9	643.8	1	670.7	13	-3.9	-0.6	-3.5	-2.9	-13.9	10	7.5	28	86	76	91	84	45	28
März	663.2	651.3	18	675.5	4	1.7	5.0	1.7	2.5	-5.2	20	11.3	31	87	76	88	84	30	9
April	660.1	647.0	14	669.3	1	5.0	8.5	4.4	5.6	-2.4	16	17.5	27	80	69	80	76	35	22
Mai	665.6	656.7	7	672.5	17	7.2	11.8	6.8	8.1	0.0	8.9	20.0	38	79	72	87	79	39	17
Juni	667.8	662.6	2	671.9	21	14.2	19.6	14.1	15.5	10.2	1	21.4	6.12	69	60	74	68	29	30
Juli	666.7	655.7	18	671.4	7	12.8	17.9	12.9	14.1	5.0	11	25.4	6	80	66	80	75	40	8
August	669.1	663.6	5	674.3	26	12.3	18.3	12.7	14.0	6.4	16	28.7	27	81	66	86	78	36	27
September	667.5	659.9	12	673.4	3	11.2	15.2	11.3	12.3	6.1	16	24.8	6	84	70	84	79	48	29
Oktober	666.8	654.9	25	675.1	3	5.9	8.6	5.8	6.5	-2.0	27	16.0	4	86	74	88	83	36	19
November	661.3	647.8	4	679.0	13	3.2	6.7	4.0	4.5	-3.1	5.12	13.4	15	86	67	88	80	27	14
Dezember	664.3	652.4	31	677.8	1	-2.2	0.6	-2.5	-1.7	-8.7	20	10.5	1	87	71	90	83	30	1
Jahr	665.5	643.8	II	679.0	XI	5.8	9.6	5.8	6.7	-13.9	II	28.7	VIII	82	69	85	79	27	XI

Bern

$\lambda = 7^{\circ} 26'$, $\beta = 46^{\circ} 57'$, $H_b = 572.2^m$, $G = 0.05 \frac{mm}{m}$, $h_r = 1.5^m$

Januar	711.7	694.1	31	724.6	18	0.6	3.6	1.4	1.8	-3.1	25	10.2	13	91	82	92	88	56	13
Februar	710.1	690.1	1	718.2	12	-1.9	2.4	0.3	0.3	-7.6	11	8.4	28	87	71	81	80	49	28
März	709.5	697.3	18	722.2	4	2.1	8.3	5.2	5.2	-4.4	21	13.2	29	90	62	80	77	42	10
April	705.3	694.5	14	714.2	8	5.9	12.2	8.4	8.7	1.8	19	21.0	28	88	61	80	76	32	10
Mai	711.2	701.7	7	717.9	17	9.0	14.2	10.6	11.1	4.0	8	23.2	18	86	63	84	78	34	17
Juni	712.0	707.3	26	715.9	21	15.6	22.6	17.4	18.3	12.3	9	25.4	22	85	56	80	74	42	12.28
Juli	711.1	700.0	18	716.0	7.9	14.3	19.8	15.6	16.3	9.2	12	28.0	5	84	59	78	74	39	1
August	714.0	706.8	14	719.5	25	13.8	20.7	16.2	16.7	9.0	17	27.2	28	90	60	84	78	36	17
September	712.8	704.4	12	718.5	3	12.0	17.6	13.7	14.3	7.2	30	25.8	1	92	67	87	82	47	1.26
Oktober	712.3	701.0	25	721.4	3	6.4	11.4	8.3	8.6	1.6	28	15.9	12.18	91	75	89	85	54	22
November	712.5	692.3	4	727.4	13	4.4	8.6	5.8	6.2	-1.9	13	15.8	21	87	72	84	81	47	5
Dezember	710.9	697.7	31	725.1	18	0.1	2.6	1.0	1.2	-5.0	19	9.1	31	88	79	85	84	56	7
Jahr	711.1	690.1	II	727.4	XI	6.9	12.0	8.7	9.1	-7.6	II	28.0	VII	88	67	84	80	32	IV

Genf

$\lambda = 6^{\circ} 9'$, $\beta = 46^{\circ} 12'$, $H_b = 405.0^m$, $G = 0.02 \frac{mm}{m}$, $h_r = 1.7^m$

Januar	727.0	710.8	31	740.5	18	1.6	4.8	2.6	2.9	-2.6	8	11.2	13.27	94	83	89	89	63	27
Februar	725.2	705.2	1	733.4	13	0.5	4.0	2.3	2.3	-5.2	13	9.1	28	82	69	75	75	55	10
März	724.5	712.3	15	737.4	5	4.1	9.6	6.5	6.7	-2.6	21	16.0	29	86	65	80	77	47	10.19
April	720.0	708.8	14	728.2	1.8	7.4	12.5	10.0	10.0	3.6	20	20.2	2	86	70	82	79	47	10
Mai	726.5	716.5	7	733.2	17	10.6	15.0	12.0	12.4	5.3	8	25.8	18	87	73	83	81	54	16
Juni	726.6	720.9	2	730.7	21	17.2	23.1	19.2	19.7	14.4	2.3	26.8	23	85	61	80	75	39	1
Juli	726.0	715.2	18	730.8	7	16.0	21.5	17.9	18.3	12.0	12	28.0	5	83	62	77	74	45	16
August	728.9	721.6	2	734.6	25	16.0	21.9	18.5	18.7	10.2	17	27.6	28	84	62	79	75	48	23
September	727.8	719.4	12	733.3	3	13.6	19.7	15.9	16.3	8.2	30	29.2	6	89	67	83	80	40	6
Oktober	727.8	716.6	25	736.8	3	8.1	12.5	9.9	10.1	2.0	28	18.4	4	92	76	86	85	51	27
November	728.0	707.9	4	742.8	13	6.3	10.4	7.3	7.8	-1.8	14	19.8	21	84	69	82	78	33	23
Dezember	726.1	713.1	31	740.0	18	1.9	3.9	3.0	3.0	-4.2	21	10.3	31	86	78	82	82	49	10
Jahr	726.2	705.2	II	742.8	XI	8.6	13.2	10.4	10.7	-5.2	II	29.2	IX	87	70	81	79	33	XI

St. Bernhard

$\lambda = 7^{\circ} 11'$, $\beta = 45^{\circ} 52'$, $H_b = 2475.8^m$, $G = -0.22 \frac{mm}{m}$, $h_r = 6.0^m$

Januar	562.6	548.6	31	573.9	18	-6.9	-5.7	-6.5	-6.4	-13.9	31	0.5	18	77	76	79	77	20	18
Februar	558.7	543.2	1	567.0	28	-12.0	-9.9	-11.2	-11.1	-17.6	26	-4.2	13	86	83	88	86	22	11
März	560.5	548.0	12	571.6	4	-6.6	-4.7	-6.4	-6.0	-15.9	12	3.0	29	80	78	84	81	25	5
April	557.9	545.1	14	567.2	27	-4.5	-3.0	-4.3	-4.0	-11.2	18	6.9	2	94	89	94	92	34	2
Mai	563.4	553.5	8	572.1	29	-1.9	-0.1	-1.6	-1.3	-9.1	9	7.5	31	91	87	97	92	28	20
Juni	568.2	564.0	27	571.2	20.21	5.6	8.0	5.2	6.0	0.7	1	12.5	30	79	70	89	79	42	16
Juli	566.4	557.0	18	572.0	5	5.1	6.8	4.4	5.2	-4.5	12	15.7	5	80	76	91	82	35	29
August	569.4	562.0	14	577.2	26.27	6.7	8.9	6.3	7.0	-2.2	9	18.4	26	69	67	81	72	18	17
September	567.3	560.0	12	573.9	2	3.7	5.7	3.8	4.2	-5.7	27	13.6	4	83	76	88	82	30	4
Oktober	564.9	550.0	25	574.9	3	-1.5	0.2	-1.1	-0.9	-11.8	28	7.9	4	75	77	80	77	18	16
November	564.8	546.0	4	574.9	9	-3.0	-2.1	-3.2	-2.9	-12.8	12	5.0	14	79	77	79	78	18	24
Dezember	560.5	550.8	11	571.8	1	-7.3	-6.0	-7.1	-6.9	-15.2	10	0.9	3	67	67	73	69	20	28
Jahr	563.7	543.2	II	577.2	VIII	-1.9	-0.2	-1.8	-1.4	-17.6	II	18.4	VIII	80	77	85	81	18	VIII X/XI

Sitten

$\lambda = 7^{\circ} 21', \beta = 46^{\circ} 14', H_b = 548.6^m, G = 0.00 \frac{m}{m}, h_r = 2.4^m$

1930	Luftdruck					Luft-Temperatur							Relative Feuchtigkeit						
	Mittel	Minimum Tag	Maximum Tag	7 ⁰⁰	13 ⁰⁰	21 ⁰⁰	Mittel	Minimum Tag	Maximum Tag	7 ⁰⁰	13 ⁰⁰	21 ⁰⁰	Mittel	Minimum Tag					
Januar	714.7	699.3	31	727.5	18	1.4	6.2	2.9	3.4	-4.8	21	12.7	26	77	56	72	68	31	25
Februar	712.5	692.1	1	720.9	23	-0.7	5.6	1.4	1.9	-4.6	12	12.0	28	77	49	71	66	27	14
März	712.0	700.5	12	725.1	5	3.5	11.4	6.8	7.1	-1.9	21	18.5	29	79	45	66	63	25	10
April	707.4	695.4	14	715.6	9	7.7	15.2	9.8	10.6	3.7	17	22.9	27	75	43	62	60	28	11.2
Mai	713.3	702.6	7	721.0	17	10.8	17.4	11.9	13.0	6.0	10	25.2	30	76	46	70	64	27	19
Juni	713.9	708.2	26	718.5	21	17.8	26.5	19.0	20.6	14.8	2	30.0	5	71	42	66	60	27	1
Juli	713.2	701.7	18	718.5	26	15.8	22.5	16.9	18.0	11.4	19	30.2	5	72	47	68	62	35	16.17
August	716.2	708.9	14	722.3	26	15.5	23.0	17.5	18.4	11.2	17	28.5	27	75	48	70	64	30	15
September	715.0	707.2	12	720.8	3	13.1	20.3	15.0	15.9	8.1	30	26.9	6	83	51	73	69	33	21
Oktober	715.1	702.8	25	724.6	3	6.8	13.0	8.6	9.2	0.5	28	17.6	19	88	57	84	76	35	6
November	715.9	696.5	4	730.3	13	4.7	9.7	6.4	6.8	-1.5	13	16.2	27	82	58	75	72	33	27
Dezember	713.4	702.8	31	725.7	19	-0.1	3.3	0.9	1.2	-6.1	26	11.0	1	82	65	84	77	32	29
Jahr	713.6	692.1	II	730.3	XI	8.0	14.5	9.8	10.5	-6.1	XII	30.2	VII	78	51	72	67	25	III

Lugano

$\lambda = 8^{\circ} 57', \beta = 46^{\circ} 0', H_b = 276.2^m, G = 0.03 \frac{m}{m}, h_r = 1.7^m$

1930	Luftdruck					Luft-Temperatur							Relative Feuchtigkeit						
	Mittel	Minimum Tag	Maximum Tag	7 ⁰⁰	13 ⁰⁰	21 ⁰⁰	Mittel	Minimum Tag	Maximum Tag	7 ⁰⁰	13 ⁰⁰	21 ⁰⁰	Mittel	Minimum Tag					
Januar	739.9	726.5	30	751.9	18	0.4	4.3	1.9	2.1	-2.6	21.22	9.0	12	90	76	88	85	30	12
Februar	738.0	717.4	1	748.1	14	0.5	5.5	2.0	2.5	-3.4	11	8.4	8	75	49	70	65	33	8
März	735.7	721.7	12	749.8	3	4.4	11.6	7.2	7.6	0.2	13	20.6	27	77	50	70	66	18	12
April	731.0	713.9	14	739.8	9	8.4	13.5	10.8	10.9	5.6	6	20.8	27	81	62	74	72	30	15.16
Mai	736.4	725.6	8	744.1	29	12.3	17.1	13.6	14.1	7.2	8	25.0	15	74	56	72	67	20	19
Juni	737.7	735.3	2	741.1	5.13	18.2	24.2	19.5	20.3	15.2	10	28.4	15	72	54	75	67	40	14.18
Juli	735.1	722.9	18	739.9	27	17.6	24.6	18.7	19.9	11.8	24	32.0	7	69	50	66	62	21	12
August	738.7	730.9	14	745.5	27	16.8	24.4	18.7	19.6	11.6	14	29.2	25.28	74	51	69	65	20	16
September	737.6	731.2	12.21	742.7	3	14.9	21.7	16.1	17.2	9.0	27	27.6	2	79	56	77	71	21	16.21
Oktober	737.6	721.5	25	749.3	3	8.4	15.2	10.2	11.0	3.0	28.29	21.4	1	76	47	71	65	18	6
November	738.3	718.4	4	750.4	13	5.7	10.8	6.5	7.4	1.0	13.14	17.6	23	74	56	67	66	13	23
Dezember	737.6	727.3	11	750.3	19	1.7	6.2	2.6	3.3	-2.8	21	10.8	1.2	74	54	74	67	19	10
Jahr	737.0	713.9	IV	751.9	I	9.1	14.9	10.7	11.3	-3.4	II	32.0	VII	76	55	73	68	13	XI

Bevers

$\lambda = 9^{\circ} 53', \beta = 46^{\circ} 33', H_b = ca. 1710^m, G = -0.12 \frac{m}{m}, h_r = 1.6^m$

1930	Luftdruck					Luft-Temperatur							Relative Feuchtigkeit						
	Mittel	Minimum Tag	Maximum Tag	7 ⁰⁰	13 ⁰⁰	21 ⁰⁰	Mittel	Minimum Tag	Maximum Tag	7 ⁰⁰	13 ⁰⁰	21 ⁰⁰	Mittel	Minimum Tag					
Januar	620.0	606.7	31	631.2	18	-10.0	-1.5	-8.0	-6.9	-19.2	1	3.9	27	86	65	82	78	42	13
Februar	617.0	601.1	1	625.7	13	-14.8	-3.4	-11.1	-10.1	-21.0	10	1.0	27	85	60	80	75	45	13
März	617.2	605.4	12	629.3	3	-7.1	2.4	-3.5	-2.9	-19.0	21	8.4	29	83	56	81	73	40	21
April	614.1	601.3	14	622.5	26	-0.6	5.8	0.3	1.4	-7.8	18	13.7	28	80	57	82	73	43	11
Mai	619.7	608.5	8	627.5	29	4.8	9.2	4.2	5.6	-1.1	9	17.8	31	70	56	79	68	39	31
Juni	623.2	619.7	27	626.1	20	11.5	17.3	9.2	11.8	6.2	19	21.0	15	64	52	86	67	41	19
Juli	621.1	610.5	18	625.7	4	11.2	15.9	9.0	11.3	2.7	18	22.8	5	62	53	81	65	40	29
August	624.2	615.9	14	631.7	26	6.8	16.2	8.5	10.0	1.6	16	23.6	26	84	53	84	74	33	26
September	622.8	616.4	12	628.4	3	4.6	13.3	6.5	7.7	-1.0	17	20.5	6	87	57	84	76	29	3
Oktober	620.9	607.1	25	630.6	3	-1.5	8.1	0.9	2.1	-8.4	28	15.3	4	86	54	82	74	30	14
November	620.9	603.2	4	631.5	13	-2.6	4.4	-1.3	-0.2	-9.7	13	8.3	21	83	61	81	75	39	24
Dezember	617.7	608.9	11	629.2	19	-11.1	-3.5	-9.3	-8.3	-20.7	18	9.2	1	84	64	83	77	45	29
Jahr	619.9	601.1	II	631.7	VIII	-0.7	7.0	0.4	1.8	-21.0	II	23.6	VIII	80	57	82	73	29	IX

St. Gotthard

$\lambda = 8^{\circ} 34', \beta = 46^{\circ} 33', H_b = 2102.9^m, G = -0.14 \frac{m}{m}, h_r = 1.8^m$

1930	Luftdruck					Luft-Temperatur							Relative Feuchtigkeit						
	Mittel	Minimum Tag	Maximum Tag	7 ⁰⁰	13 ⁰⁰	21 ⁰⁰	Mittel	Minimum Tag	Maximum Tag	7 ⁰⁰	13 ⁰⁰	21 ⁰⁰	Mittel	Minimum Tag					
Januar	589.6	576.2	31	600.2	18	-5.4	-2.6	-5.0	-4.5	-11.0	30	2.0	19	73	58	72	68	20	18
Februar	586.6	571.7	1	595.7	28	-10.0	-5.4	-9.3	-8.5	-14.3	17	-1.0	13	80	64	76	73	42	13
März	587.7	575.6	12	598.7	3	-5.2	-1.8	-5.5	-4.5	-13.0	20	4.2	29	76	59	78	71	35	21
April	585.1	571.8	14	595.0	26	-2.7	1.3	-2.5	-1.6	-8.5	15	7.8	10	78	62	79	73	44	10.22
Mai	590.6	581.3	7.8	598.2	29	0.3	4.3	0.3	1.3	-6.4	9	13.0	31	74	54	79	69	39	17.24
Juni	594.6	590.6	27	598.4	4	7.9	11.8	8.6	9.2	5.0	2.3	16.1	22	67	51	65	61	28	30
Juli	592.8	583.3	18	598.4	7	5.0	9.0	5.6	6.3	-1.8	12	19.4	5	81	68	87	79	40	20
August	595.3	587.3	14	602.5	26	6.0	10.8	7.0	7.7	-1.0	9	19.3	26	78	60	85	74	25	26.28
September	593.3	587.0	12	601.4	3	4.3	7.5	4.1	5.0	-1.0	29.30	15.2	5	83	69	82	78	25	4
Oktober	591.4	577.9	25	600.0	3	-0.5	2.1	-0.7	0.1	-10.0	27	10.3	4	69	61	68	66	20	16
November	591.3	573.3	4	601.6	13	-2.8	-0.5	-2.7	-2.2	-12.0	12	8.2	14	70	58	71	66	20	15
Dezember	587.8	578.8	11	598.4	1	-6.8	-4.2	-6.8	-6.1	-15.1	11	5.5	2	72	59	70	67	30	2.20
Jahr	590.5	571.7	II	602.5	VIII	-0.8	2.7	-0.6	0.2	-15.1	XII	19.4	VII	75	60	76	70	20	I/X XII

Beobachter: **Kapuzinerkloster**

Sitten

Bewölkung				Niederschlag		Zahl der Tage							Windverteilung									1930		
7 ⁰⁰	13 ⁰⁰	21 ⁰⁰	Mittel	Summe	Maximum Tag	*	* > 1.0	*	▲	◀	≡	heiter	frühe	N	NE	E	SE	S	SW	W	NW		Calmen	
4.7	4.4	4.1	4.4	44	24	11	6	4	3	—	—	2	10	6	1	4	2	—	—	—	1	1	84	
5.7	3.5	4.3	4.5	13	6	3	4	4	3	—	—	1	10	7	—	—	2	—	2	2	3	1	74	
5.7	6.4	6.2	6.1	37	7	16	11	9	2	—	—	1	4	12	2	1	—	—	—	7	8	—	75	
5.6	6.3	6.2	6.0	54	13	13	7	6	—	—	—	1	5	10	2	4	4	—	—	8	14	1	57	
6.7	6.9	6.7	6.8	73	24	14	16	11	—	—	—	—	2	11	1	2	—	—	—	14	9	4	63	
3.8	4.0	7.1	5.0	33	13	11	11	7	—	—	—	2	4	3	—	2	3	—	—	10	11	3	61	
4.5	6.0	4.9	5.1	97	21	21	16	12	—	—	—	3	5	7	—	2	—	—	—	20	13	4	54	
4.5	3.7	4.4	4.2	59	14	14	12	8	—	—	—	2	10	6	5	1	—	—	—	11	9	6	61	
5.8	5.2	5.3	5.4	56	17	11	11	8	—	—	—	1	5	6	—	2	—	—	—	9	10	2	67	
6.0	5.6	5.6	5.7	141	32	9	17	15	2	—	—	—	10	12	4	—	1	—	—	8	12	1	67	
6.5	5.4	5.0	5.6	118	29	2	14	11	1	—	—	—	2	5	3	4	4	1	—	3	3	1	71	
7.0	6.5	7.2	6.9	39	15	30	8	7	3	—	—	—	1	4	7	12	1	—	—	1	3	—	69	
5.5	5.3	5.6	5.4	764	32	X	133	102	14	—	—	10	6	74	104	25	34	17	1	2	93	96	24	803

Beobachter: **G. Malatesta, G. Vicari**

Lugano

5.8	5.4	4.9	5.4	100	35	9	11	10	3	—	—	3	12	13	—	2	—	—	—	—	—	—	91
7.0	6.3	5.6	6.3	16	13	1	4	4	2	—	—	—	7	10	—	3	—	1	2	1	—	—	77
4.6	5.4	5.0	5.0	120	45	18	11	10	1	—	—	—	10	9	—	11	—	3	—	2	—	—	77
6.8	7.0	7.3	7.0	253	62	13	16	15	—	—	—	1	3	14	—	4	4	2	3	—	1	1	75
5.4	6.0	5.2	5.5	214	61	7	14	14	—	—	—	—	4	8	—	6	—	1	—	—	—	2	84
4.4	5.2	3.9	4.5	149	59	26	16	16	—	—	—	10	10	7	—	—	—	—	1	—	1	—	88
2.6	4.0	3.8	3.5	195	46	22	11	10	—	—	—	8	14	5	—	10	—	—	9	—	—	—	72
5.6	4.1	3.3	4.3	150	48	5	8	7	—	—	—	4	8	6	10	—	2	1	—	1	1	—	78
5.5	4.9	4.2	4.9	225	68	11	14	14	—	—	—	5	6	6	12	1	2	—	6	1	1	2	65
5.4	4.6	2.6	4.2	53	19	21	7	6	—	—	—	1	11	5	12	1	—	—	—	—	2	3	75
5.9	4.9	4.8	5.2	100	31	29	11	11	—	—	—	1	9	10	10	2	1	—	2	—	—	—	75
5.5	4.9	5.8	5.4	33	12	8	6	4	2	—	—	—	1	7	3	—	1	—	1	—	—	—	88
5.4	5.2	4.7	5.1	1608	68	IX	129	121	3	1	31	5	101	102	47	40	10	8	24	5	6	10	945

Beobachter: **G. Krättli**

Bever

5.3	4.6	4.5	4.8	22	7	28	11	7	7	—	—	1	8	7	—	3	—	—	2	2	6	—	80
4.1	3.2	2.4	3.2	8	5	1	3	2	1	—	—	—	10	1	3	5	—	—	2	3	6	1	64
5.6	6.3	5.3	5.7	48	17	18	10	9	10	—	—	—	5	8	3	6	—	—	3	3	9	5	64
7.0	6.9	5.9	6.6	95	42	13	13	8	9	—	—	—	2	12	—	8	—	—	9	7	4	4	58
7.4	8.4	6.8	7.5	53	9	7	19	17	9	1	—	—	1	14	3	5	—	1	5	14	15	2	48
5.6	6.5	5.6	5.9	78	17	16	17	16	—	—	—	6	1	—	7	2	—	—	7	10	8	3	60
4.8	5.7	5.6	5.4	125	28	24	15	13	—	—	—	3	4	—	1	—	—	1	1	16	10	5	59
5.4	4.9	4.4	4.9	140	28	7	11	10	2	—	—	2	10	8	2	4	—	—	5	6	10	5	61
6.7	6.3	5.5	6.2	105	16	11.29	15	15	2	1	1	—	1	12	1	3	—	1	3	8	10	6	58
6.0	5.6	4.9	5.5	53	13	12	13	10	8	1	—	—	8	10	5	4	—	2	4	10	5	4	59
5.3	5.9	4.8	5.3	50	24	2	11	8	5	1	—	—	5	6	1	3	—	—	1	7	13	4	61
4.0	4.3	7.0	5.1	32	11	8	10	7	8	—	—	—	11	7	—	1	—	—	1	—	8	2	81
5.6	5.7	5.2	5.5	809	42	IV	148	120	61	7	13	2	64	96	19	44	—	5	43	86	104	41	753

Beobachter: **Frl. F. Lombardi**

St. Gotthard

4.1	4.5	4.7	4.4	134	30	9	15	15	15	—	—	—	14	13	10	22	5	1	15	26	—	—	—	24
5.5	5.4	6.1	5.7	66	21	16	14	14	14	—	—	—	17	6	10	17	6	4	11	30	—	—	—	16
5.7	6.2	5.5	5.8	159	34	18	16	16	16	—	—	—	18	8	13	32	7	2	16	16	—	—	—	20
7.0	7.7	7.3	7.3	361	78	19	20	20	20	—	—	—	20	16	1	30	3	3	25	—	—	—	—	29
7.1	7.1	7.2	7.1	306	59	7	23	22	20	—	—	—	19	3	12	27	9	1	23	1	—	—	—	32
4.5	5.1	5.6	5.1	103	35	26	16	14	—	—	—	3	6	5	6	16	10	—	12	6	—	—	—	46
4.5	6.1	7.2	5.9	247	73	23	17	16	4	—	—	3	19	4	8	35	15	—	21	5	—	—	—	17
4.1	4.4	4.9	4.5	126	28	2	12	12	4	3	2	13	10	8	31	9	1	22	—	—	—	—	—	30
4.7	6.0	6.9	5.9	254	63	11	17	17	3	—	—	1	20	6	12	33	6	—	16	5	—	—	—	30
5.9	6.1	6.1	6.0	178	32	5	17	17	11	—	—	—	16	9	14	32	—	—	9	5	—	—	2	45
6.2	6.3	5.5	6.0	260	38	2	19	18	18	—	—	—	18	7	13	25	6	—	27	3	—	—	—	29
3.8	4.2	3.2	3.7	64	16	12	13	11	13	—	—	—	9	14	5	21	—	—	1	24	2	—	—	45
5.2	5.8	5.9	5.6	2258	78	IV	199	192	138	3	9	189	101	112	321	76	13	221	99	—	—	2	363	

Sargans

$\lambda = 9^{\circ} 26', \beta = 47^{\circ} 3', H_b = 508.0^m, G = 0.06 \text{ } \frac{m}{m}, h_r = 1.5^m$

1980	Luftdruck					Luft-Temperatur							Relative Feuchtigkeit						
	Mittel	Minimum Tag	Maximum Tag	7 ⁰⁰	13 ⁰⁰	21 ⁰⁰	Mittel	Minimum Tag	Maximum Tag	7 ⁰⁰	13 ⁰⁰	21 ⁰⁰	Mittel	Minimum Tag					
Januar	718.1	702.3	31	731.2	18	2.1	6.0	4.1	4.1	-5.2	21	14.2	27	82	70	75	76	36	25
Februar	716.9	694.5	1	724.8	13	-1.3	3.3	0.5	0.7	-8.1	12	11.8	27	84	69	85	79	33	27
März	715.5	702.3	18	728.7	4	4.5	10.4	6.6	7.0	-1.0	21	16.2	3	82	59	78	73	33	3
April	711.4	698.9	14	720.5	8	8.0	13.0	9.0	9.7	2.5	16	21.7	28	87	66	84	79	35	28
Mai	717.1	705.8	7	725.1	17	10.5	14.7	11.3	12.0	4.9	8	25.6	30	89	71	89	85	36	30
Juni	718.1	712.5	26	722.6	21	17.8	23.5	17.8	19.2	15.2	1	26.4	23	86	66	88	80	43	2
Juli	717.0	704.1	18	722.5	26	16.0	20.0	15.7	16.9	9.8	18	29.5	6	89	75	94	86	48	1
August	720.1	713.1	5	726.2	25	15.3	20.0	15.8	16.7	10.2	16	26.0	28	92	80	97	90	43	2.1
September	719.0	710.3	12	725.1	3	13.0	17.7	13.9	14.6	7.4	30	24.6	1	95	79	96	90	44	12
Oktober	718.3	705.7	25	728.4	3	7.8	11.8	8.8	9.3	2.0	28	19.2	12	87	81	93	87	36	19
November	718.8	697.6	4	734.9	12.13	5.9	9.6	6.9	7.3	0.2	13	17.2	28	88	73	85	82	41	28
Dezember	717.5	704.3	31	733.3	18	-0.4	1.9	0.3	0.5	-7.0	26	10.7	29	91	85	93	90	30	29
Jahr	717.3	694.5	II	734.9	XI	8.3	12.7	9.2	9.8	-8.1	II	29.5	VII	88	73	88	83	30	XII

Heiden

$\lambda = 9^{\circ} 32', \beta = 47^{\circ} 27', H_b = ca. 808^m, G = 0.04 \text{ } \frac{m}{m}, h_r = 1.7^m$

Januar	691.9	676.1	31	705.4	18	1.0	6.1	2.9	3.2	-5.8	1	13.2	26	76	65	70	70	19	5
Februar	690.5	669.8	1	699.0	9	-3.8	0.7	-3.2	-2.4	-11.8	12	8.0	15	78	69	75	74	27	26
März	689.8	677.4	14	702.2	5	2.6	7.4	3.6	4.3	-4.0	1	16.2	29	77	65	76	73	27	3
April	685.9	673.8	14	696.1	8	6.1	10.6	6.9	7.6	0.2	16.18	21.0	29	77	62	72	70	14	28
Mai	692.1	682.3	8	699.5	16	9.0	12.9	9.3	10.1	1.6	9	27.0	30	76	62	74	71	20	30
Juni	693.7	687.9	26	697.6	20	15.7	20.9	15.8	17.0	12.0	24	23.5	30	79	54	70	68	36	26
Juli	692.7	677.7	18	697.8	9	14.3	17.6	13.4	14.9	5.4	12	23.1	6	78	65	77	73	40	1
August	695.2	685.8	14	702.1	25	13.7	18.6	14.8	15.3	8.0	16	24.0	21.24	79	65	80	75	27	21
September	694.2	685.2	12	701.7	2	11.4	16.2	12.2	13.0	6.2	27	26.0	19	85	70	80	78	35	12.19
Oktober	693.0	681.6	25	703.0	3	6.1	9.9	7.1	7.6	1.0	27.28	18.6	4	81	73	83	79	41	15
November	693.2	675.3	4	707.7	13	5.1	8.3	6.3	6.5	-3.0	5	18.2	28.29	70	64	66	67	19	28
Dezember	691.2	678.8	31	707.2	18	-1.2	0.6	-0.9	-0.6	-8.0	21	11.0	29	81	79	82	81	35	31
Jahr	692.0	669.8	II	707.7	XI	6.7	10.8	7.3	8.0	-11.8	II	27.0	V	78	66	75	73	14	IV

Heiden. Stationsverlegung am 4. April; Barometerangaben auf neue Höhe reduziert.

St. Gallen

$\lambda = 9^{\circ} 23', \beta = 47^{\circ} 26', H_b = 702.0^m, G = 0.06 \text{ } \frac{m}{m}, h_r = 1.4^m$

Januar	700.2	684.2	31	712.8	18	0.0	3.5	0.8	1.3	-6.0	23	13.0	26	86	81	86	84	27	4
Februar	699.2	678.4	1	707.5	9	-3.3	1.5	-2.1	-1.5	-10.2	10	8.0	26	85	67	79	77	46	26
März	698.3	685.8	18	711.1	4	2.7	7.3	3.4	4.2	-4.9	21	13.6	29	80	66	81	76	37	30
April	694.4	682.6	14	704.1	8	6.3	11.1	6.3	7.5	0.5	15	22.7	28	81	64	81	75	30	28
Mai	700.1	690.6	7	707.5	17	9.7	13.3	9.3	10.4	3.2	8	25.2	30	77	63	83	74	30	30
Juni	701.7	697.2	27	705.7	21	16.9	21.4	15.5	17.3	12.5	9	28.0	26	74	58	81	71	30	26
Juli	700.4	687.6	18	705.7	9	15.2	18.4	14.0	15.4	6.4	12	27.7	5	77	68	85	77	43	21
August	703.5	693.7	14	710.5	25	14.4	19.3	14.3	15.6	9.6	16	24.4	28	82	66	80	78	40	17
September	702.1	693.5	12	708.5	2	12.0	16.7	12.2	13.3	6.1	27	25.0	19	89	71	87	82	38	19
Oktober	701.0	688.7	25	711.2	3	6.3	10.6	7.1	7.8	0.8	25	18.0	4	88	73	87	83	50	15
November	701.2	681.7	4	716.9	12	4.7	9.1	5.9	6.4	-3.0	5	20.4	28	79	65	73	72	21	28
Dezember	699.6	686.7	31	714.7	18	-0.7	1.2	-0.7	-0.2	-7.2	25	9.4	31	88	80	87	85	38	31
Jahr	700.1	678.4	II	716.9	XI	7.0	11.1	7.2	8.1	-10.2	II	28.0	VI	82	69	83	78	21	XI

Kreuzlingen

$\lambda = 9^{\circ} 11', \beta = 47^{\circ} 39', H_b = 424.0^m, G = 0.11 \text{ } \frac{m}{m}, h_r = 1.4^m$

Januar	724.4	707.3	31	737.9	18	0.2	2.9	0.9	1.2	-3.4	5	8.7	13	97	85	96	93	55	13
Februar	723.6	701.8	1	733.3	9	-2.5	2.4	-0.2	-0.1	-8.8	11	9.2	27	89	63	75	76	40	26
März	722.0	708.2	18	735.3	4	2.8	8.1	4.4	4.9	-2.6	1	14.4	29	87	62	80	76	28	31
April	717.7	705.6	14	728.1	8	8.1	12.2	8.5	9.3	2.0	15	20.4	28	75	58	72	68	28	2
Mai	723.4	713.9	7	731.0	17	10.9	15.2	11.3	12.2	3.0	9	26.0	30	79	56	78	71	35	20
Juni	724.5	717.9	26	728.8	21	18.8	22.9	18.1	19.5	14.6	5	26.4	16	71	51	73	65	36	19.22
Juli	723.2	710.0	18	728.9	9	16.5	20.0	15.9	17.1	10.8	11	29.4	5	76	58	80	71	39	9
August	726.3	716.3	14	732.8	25	15.8	20.6	16.3	17.3	11.2	15	25.2	26	79	58	80	72	35	17
September	725.2	715.9	12	731.9	2	12.8	17.7	13.5	14.4	8.0	30	25.4	1	90	62	87	80	44	16
Oktober	724.6	711.6	25	735.4	3	7.5	10.8	7.9	8.5	3.1	28	15.4	31	91	75	91	86	50	13
November	724.9	706.0	4	741.4	12	5.0	8.2	5.8	6.2	-2.0	24	15.6	29	87	74	82	81	42	29
Dezember	723.5	708.8	31	739.3	18	0.6	2.6	0.9	1.3	-5.0	21	7.1	7	87	76	84	82	48	20
Jahr	723.6	701.8	II	741.4	XI	8.0	12.0	8.6	9.3	-8.8	II	29.4	VII	84	65	81	77	28	III/IV

Beobachter: J. Albrecht

Sargans

Bewölkung				Niederschlag		Zahl der Tage								Windverteilung								1930		
7 ⁰	13 ⁰	21 ⁰	Mittel	Summe	Maximum Tag	*	≥10	*	▲	⊞	≡	heiter	trübe	N	NE	E	SE	S	SW	W	NW		Calma	
4.9	4.7	4.2	4.6	21	5	11	7	7	2	—	—	4	10	8	12	11	24	6	—	1	2	—	37	
5.1	4.8	4.6	4.8	17	7	4	5	5	4	—	—	1	8	8	7	2	30	5	1	—	2	1	36	
5.9	6.5	6.2	6.2	60	17	18	12	10	5	—	—	—	5	12	12	4	20	7	—	—	7	6	37	
6.9	7.2	5.8	6.6	110	33	29	14	10	—	—	—	2	—	3	14	11	2	15	6	—	6	7	43	
7.0	8.1	7.7	7.6	178	30	13	16	14	—	—	—	1	—	16	7	3	12	3	1	1	11	6	49	
4.7	4.9	5.3	5.0	36	6	22	16	10	—	—	—	5	—	3	2	11	4	14	3	3	1	6	47	
5.7	6.3	7.8	6.6	197	50	23	19	17	—	—	—	5	—	10	15	2	10	—	1	2	11	8	44	
4.9	5.0	4.6	4.8	189	29	15	16	15	—	—	—	5	—	10	6	11	7	15	—	1	—	10	4	45
7.0	6.3	7.0	6.8	156	34	29	16	13	—	—	—	2	—	10	12	8	17	3	4	2	3	3	38	
6.0	6.3	6.0	6.1	184	19	5	17	15	—	—	—	1	7	12	15	13	11	3	2	—	9	6	34	
6.4	5.1	5.6	5.7	108	31	16	16	14	2	—	—	2	3	5	10	4	25	9	2	—	9	3	28	
6.5	6.2	7.1	6.6	57	17	12	10	10	6	—	—	—	4	13	8	17	15	—	—	—	—	—	53	
5.9	6.0	6.0	6.0	1313	50	VII	164	140	19	—	—	20	8	53	116	131	77	208	45	15	7	71	50	491

Beobachter: G. Landolf

Heiden

3.3	2.7	2.1	2.7	41	11	16	9	8	4	—	—	3	17	3	—	—	—	3	16	1	—	—	73	
5.6	4.4	3.9	4.6	17	8	15	6	5	5	—	—	1	7	3	—	—	—	3	2	—	—	—	79	
4.5	4.3	4.7	4.5	77	12	7	17	17	10	—	—	2	10	9	—	—	—	7	7	4	—	—	75	
5.7	5.1	4.9	5.2	189	45	4	17	16	5	—	—	1	11	10	1	1	—	2	7	11	—	—	68	
5.8	5.7	6.1	5.9	240	42	8	15	15	—	—	—	1	5	9	—	—	2	5	11	2	3	4	66	
3.2	1.6	3.7	2.8	83	35	23	13	9	—	—	—	4	1	11	1	—	—	1	3	2	—	—	84	
4.6	4.5	6.4	5.2	300	40	18	19	19	—	—	—	7	—	5	7	—	—	—	7	20	2	—	64	
4.7	3.8	5.1	4.5	170	54	19	17	17	—	—	—	1	1	11	5	—	—	2	3	4	14	—	70	
6.5	4.6	4.5	5.2	187	30	23	19	18	—	—	—	2	4	5	—	—	—	—	4	9	—	1	76	
6.4	5.6	6.1	6.0	226	43	6	19	17	1	—	—	3	6	11	—	—	—	—	1	17	2	—	73	
5.7	5.4	3.7	4.9	141	39	16	16	15	2	—	—	2	5	6	—	—	—	—	19	14	—	1	56	
7.3	6.0	5.9	6.4	57	10	29	12	11	4	—	—	9	2	14	—	—	—	—	1	7	—	—	85	
5.3	4.5	4.7	4.8	1728	45	IV	179	167	31	—	—	12	26	94	83	1	1	5	23	82	101	7	6	369

Beobachter: J. G. Kessler

St. Gallen

5.5	6.9	5.3	5.9	32	10	16	8	6	4	—	—	13	5	9	1	—	—	4	—	8	3	—	77	
4.1	5.6	5.3	5.0	26	9	15	7	5	7	—	—	1	3	11	11	5	—	—	1	5	—	1	61	
6.1	6.6	6.8	6.5	73	11	11	17	16	7	—	—	7	5	13	8	6	—	—	2	13	1	3	60	
7.1	6.8	6.0	6.6	166	44	4	16	16	7	—	—	1	1	13	11	6	—	—	4	7	2	4	56	
6.9	7.7	8.0	7.5	239	40	7	21	15	1	—	—	3	1	15	10	4	—	—	1	5	18	6	6	43
5.6	7.4	6.2	6.4	61	12	8	9	9	—	—	—	1	2	5	5	22	4	2	1	3	1	2	2	53
6.2	6.3	8.5	7.0	315	44	18	19	19	—	—	—	1	4	—	1	13	10	5	—	9	14	5	6	44
5.9	5.3	5.3	5.5	163	34	19	17	14	—	—	—	1	2	1	8	10	5	—	—	5	13	8	2	60
7.3	7.3	6.3	7.0	166	27	25	19	15	—	—	—	1	5	2	12	6	3	—	1	1	10	5	2	62
7.8	7.1	7.1	7.3	182	36	9	19	16	3	1	—	1	6	4	20	6	3	—	—	8	22	4	—	50
6.9	6.4	6.8	6.7	123	41	16	17	16	3	—	—	1	2	12	2	1	—	6	3	18	5	5	—	50
9.1	7.5	8.2	8.3	51	13	5	13	10	8	—	—	4	—	20	4	7	—	1	4	7	2	—	—	68
6.5	6.7	6.7	6.6	1597	44	IV/VII	182	157	40	3	13	42	41	153	96	44	2	18	41	136	43	31	—	684

Beobachter: J. Brauchli

Kreuzlingen

8.5	7.5	7.5	7.8	33	7	15	10	7	1	—	—	14	—	18	2	—	3	3	1	4	12	5	63	
7.0	5.3	4.9	5.7	20	12	15	5	3	3	—	—	1	7	12	15	10	3	5	7	6	4	4	30	
7.2	6.4	6.7	6.7	55	7	16	19	16	5	—	—	1	4	4	15	2	4	9	3	13	7	3	49	
7.1	5.9	6.5	6.5	147	25	4	13	13	—	—	—	2	—	4	12	3	7	6	3	4	8	12	2	45
8.1	7.3	7.7	7.7	95	27	7	16	11	—	—	—	5	—	13	2	6	4	1	5	14	17	8	—	36
6.0	3.8	5.8	5.2	60	19	7	9	7	—	—	—	6	2	5	8	7	6	1	—	4	14	3	—	47
7.0	6.7	8.2	7.3	210	31	18	18	18	—	—	—	2	6	—	17	3	2	4	2	4	17	16	9	36
6.4	5.5	5.4	5.8	73	10	15	15	12	—	—	—	3	2	7	9	—	3	3	1	7	10	15	8	46
7.7	7.1	5.9	6.9	66	10	20	18	13	—	—	—	2	1	2	10	2	1	2	4	—	9	14	6	52
9.2	7.6	7.0	7.9	121	25	9	18	15	—	—	—	5	2	20	1	2	2	3	2	18	8	5	—	52
8.0	7.7	7.5	7.7	108	20	20	19	18	1	—	—	7	—	15	—	—	3	4	4	16	13	1	—	49
8.8	7.7	6.8	7.8	45	9	28	11	11	1	—	—	1	3	19	2	13	11	4	1	6	3	3	—	50
7.6	6.5	6.7	6.9	1033	31	VII	171	144	11	2	20	42	34	165	40	55	56	34	38	125	135	57	—	555

Frauenfeld

$\lambda = 30^{\circ} 54'$, $\beta = 47^{\circ} 34'$, $H_b = 432.9^m$, $G = 0.11 \text{ } \%$, $h_r = 1.5^m$

1890	Luftdruck					Luft-Temperatur							Relative Feuchtigkeit						
	Mittel	Minimum Tag	Maximum Tag	7 ⁰⁰	13 ⁰⁰	21 ⁰⁰	Mittel	Minimum Tag	Maximum Tag	7 ⁰⁰	13 ⁰⁰	21 ⁰⁰	Mittel	Minimum Tag					
Januar	724.2	707.1	31	737.7	18	-0.4	2.3	0.3	0.6	-5.1	6	9.0	13	96	87	95	93	53	13
Februar	723.3	701.7	1	732.5	9	-3.4	2.6	-0.8	-0.6	-10.4	11	9.8	27	89	61	76	75	37	27
März	721.8	708.3	18	734.7	4	2.0	8.6	4.3	4.8	-3.4	4	15.0	15	92	61	83	79	29	30
April	717.5	705.2	14	727.9	8	6.6	13.1	8.4	9.1	2.0	15	21.7	28	90	55	76	74	35	21
Mai	723.3	713.6	7	731.0	17	10.2	15.8	11.0	12.0	4.8	1	24.3	30	85	54	82	74	29	17
Juni	724.2	717.8	26	728.5	21	17.5	23.5	17.3	18.9	13.4	10	27.2	12	76	48	78	67	36	3.12
Juli	723.0	710.1	18	728.5	9	16.0	20.4	15.5	16.9	9.3	12	30.1	5	80	58	82	73	37	1
August	726.0	716.3	14	732.6	25	14.8	20.7	15.7	16.7	11.4	15.12	26.3	28	86	59	86	77	38	17
September	725.0	715.9	12	731.7	3	11.8	17.8	13.2	14.0	6.2	17	23.9	1.6	94	64	88	82	44	4
Oktober	724.3	711.7	25	734.9	3	6.8	11.2	7.8	8.4	2.6	28	16.6	8.12	93	74	93	87	52	13
November	724.7	704.8	4	741.5	12	4.2	8.6	5.8	6.1	-4.0	14	17.1	29	90	71	86	82	40	29
Dezember	723.6	709.1	31	739.6	18	0.0	2.6	0.5	0.9	-5.6	20	8.2	31	90	76	86	84	51	7
Jahr	723.4	701.7	11	741.5	XI	7.2	12.3	8.2	9.0	-10.4	11	30.1	VII	88	64	84	79	29	III/IV

Winterthur

$\lambda = 80^{\circ} 44'$, $\beta = 47^{\circ} 30'$, $H_b = \text{ca. } 448^m$, $G = 0.10 \text{ } \%$, $h_r = 1.6^m$

Januar	723.0	706.4	31	735.8	18	-0.7	2.3	-0.2	0.3	-5.3	8	7.7	13	95	76	94	88	46	13
Februar	722.0	700.5	1	730.3	15	-3.3	1.8	-1.6	-1.2	-10.4	12	8.0	27	85	59	83	76	31	27
März	720.7	707.7	18	733.6	5	2.1	8.1	3.7	4.4	-4.2	21	13.5	29	86	53	86	75	18	30.31
April	716.5	704.0	14	725.9	8	6.5	12.7	8.0	8.8	2.0	15	19.7	28.29	84	47	81	71	19	21
Mai	722.2	712.2	7	729.8	17	10.1	16.0	10.9	12.0	4.7	1	24.1	18	86	51	90	76	23	16
Juni	723.2	717.0	26	727.5	21	18.0	23.4	16.8	18.7	14.1	4	25.7	15.19	69	34	80	61	18	19
Juli	722.0	709.7	18	727.1	8	15.2	20.8	15.7	16.9	9.1	14	28.5	6	80	49	84	71	23	5
August	725.0	716.2	14	731.4	25	14.0	20.1	15.3	16.2	10.5	1	25.0	28	90	56	91	79	36	2
September	723.8	715.5	12	730.3	2	12.2	17.4	13.1	14.0	7.1	27.30	25.0	1	93	66	92	84	31	5
Oktober	723.2	712.6	24	733.5	3	7.0	11.5	7.9	8.6	1.7	17	19.1	9	98	79	97	91	57	13
November	723.6	703.6	4	739.5	12	3.8	8.6	5.1	5.7	-3.3	15	15.6	1	95	72	94	87	33	29
Dezember	722.3	708.3	31	737.5	18	0.1	2.4	0.2	0.7	-5.4	21	6.7	1	97	84	94	92	54	7
Jahr	722.3	700.5	11	739.5	X	7.1	12.1	7.9	8.8	-10.4	11	28.5	VII	88	60	89	79	18	III/VI

Haidenhaus

$\lambda = 90^{\circ} 0'$, $\beta = 47^{\circ} 39'$, $H = 694.4^m$, $G = 0.07 \text{ } \%$, $h_r = 1.7^m$

Januar	—	—	—	—	—	-0.1	2.7	1.1	1.2	-5.6	21	7.8	15	92	80	88	87	50	4
Februar	—	—	—	—	—	-3.5	0.5	-1.8	-1.7	-10.8	10	7.0	27	88	67	77	77	40	9
März	—	—	—	—	—	2.0	6.8	3.5	4.0	-3.2	20.21	13.2	29	88	67	81	79	40	31
April	—	—	—	—	—	6.0	11.2	7.3	8.0	0.2	16.17	19.6	28	84	63	78	75	40	22
Mai	—	—	—	—	—	9.3	13.7	9.7	10.6	2.0	1.9	23.4	30	79	60	79	73	40	9.16
Juni	—	—	—	—	—	17.6	21.5	16.8	18.2	11.4	5	25.0	12	65	61	73	66	40	11.12
Juli	—	—	—	—	—	15.4	18.4	14.9	15.9	9.4	11	27.6	5	75	66	77	73	50	1.16
August	—	—	—	—	—	14.7	18.8	15.2	16.0	9.8	16	23.8	29	79	64	80	74	50	17
September	—	—	—	—	—	11.8	16.1	12.7	13.3	6.8	27	22.4	1	88	70	84	81	50	4.16
Oktober	—	—	—	—	—	6.0	9.4	7.0	7.3	0.8	28	14.6	16.18	95	78	91	88	55	1.13
November	—	—	—	—	—	4.4	6.9	5.1	5.4	-2.0	13	16.4	28	85	72	83	80	35	28
Dezember	—	—	—	—	—	-1.1	0.8	-0.8	-0.5	-7.2	21	6.0	7.31	91	82	90	88	60	7.16
Jahr	—	—	—	—	—	6.9	10.6	7.6	8.1	-10.8	11	27.6	VII	84	69	82	78	35	XI

Lohn

$\lambda = 80^{\circ} 40'$, $\beta = 47^{\circ} 45'$, $H = \text{ca. } 643^m$, $G = 0.08 \text{ } \%$, $h_r = 1.6^m$

Januar	705.7	692.0	27	718.5	18	0.2	2.7	1.2	1.3	-4.0	25	7.2	14	91	84	88	88	52	8
Februar	705.2	686.7	1	714.1	9	-2.4	1.5	-0.5	-0.5	-9.4	10	9.2	27	84	66	72	74	30	26
März	703.9	690.7	18	716.8	4	2.6	7.3	4.3	4.6	-2.0	3.12.21	13.2	28	87	68	79	78	34	31
April	699.2	686.9	14	708.8	8	6.8	10.8	7.9	8.3	1.2	16.17	19.0	28	84	62	74	73	39	23
Mai	705.1	695.8	7	712.4	17	10.2	14.0	10.3	11.2	4.2	9	23.1	30	82	60	80	74	39	26
Juni	706.6	700.8	26	710.3	20.21	17.5	21.8	17.0	18.3	12.2	5	25.1	16	71	52	70	64	38	30
Juli	705.0	692.9	18	710.3	9	15.1	18.6	14.7	15.8	9.1	11.12	27.5	5	79	59	77	72	40	1
August	707.7	697.2	14	713.9	25	14.6	19.0	15.4	16.1	9.2	15	25.0	26.28	80	62	76	73	40	26
September	706.8	698.2	12	713.4	2	12.3	16.2	13.0	13.6	7.6	27	22.9	1	88	67	82	79	44	4
Oktober	705.7	693.2	25	715.9	3	6.7	9.8	7.8	8.0	1.0	28	13.7	4	94	81	91	89	60	21
November	705.9	687.1	4	721.9	12	4.6	7.2	5.3	5.6	-1.3	18	14.4	29	86	76	80	81	40	29
Dezember	704.7	690.8	31	719.7	18	-0.8	0.9	-0.3	-0.1	-7.4	21	6.9	31	90	84	86	87	43	20
Jahr	705.1	686.7	11	721.9	IX	7.3	10.8	8.0	8.5	-9.4	11	27.5	VII	85	68	80	78	30	II

Lohn. Beobachterwechsel anfangs April. Die Barometerstände Januar-März sind auf neue Höhe reduziert.

Frauenfeld

Beobachter: S. Dannacher

Table for Frauenfeld with columns: Bewölkung, Niederschlag, Zahl der Tage, Windverteilung, 1930. Includes monthly and annual data for 1930.

Beobachter: E. Bachmann

Winterthur

Table for Winterthur with columns: Bewölkung, Niederschlag, Zahl der Tage, Windverteilung, 1930. Includes monthly and annual data for 1930.

Beobachter: A. Weber

Haidenhaus

Table for Haidenhaus with columns: Bewölkung, Niederschlag, Zahl der Tage, Windverteilung, 1930. Includes monthly and annual data for 1930.

Beobachter: A. Goetz, W. Kobe

Lohn

Table for Lohn with columns: Bewölkung, Niederschlag, Zahl der Tage, Windverteilung, 1930. Includes monthly and annual data for 1930.

Unter-Hallau

$\lambda = 8^{\circ} 27', \beta = 47^{\circ} 42', H_b = 449.5^m, G = 0.10 \text{ } \frac{m}{m}, h_r = 1.3^m$

1880	Luftdruck					Luft-Temperatur						Relative Feuchtigkeit							
	Mittel	Minimum Tag	Maximum Tag	7 ³⁰	13 ³⁰	21 ³⁰	Mittel	Minimum Tag	Maximum Tag	7 ³⁰	13 ³⁰	21 ³⁰	Mittel	Minimum Tag					
Januar	722.5	705.9	31	735.9	18	0.2	3.4	1.3	1.6	-3.7	21	8.1	13	95	83	93	90	54	12
Februar	721.7	700.6	1	730.9	9	-2.0	3.4	0.3	0.5	-7.0	11	9.4	27	84	60	74	73	34	12
März	720.3	707.0	18	733.2	4	2.4	8.7	4.9	5.2	-2.3	4	14.5	28	92	64	81	79	33	30
April	716.1	703.8	14	726.3	8	6.8	13.1	9.0	9.5	2.0	21	22.4	28	90	56	79	75	34	23
Mai	721.7	712.3	7	729.2	17	9.8	15.9	11.3	12.1	3.4	9	23.1	30	88	56	84	76	38	20.22
Juni	722.9	716.6	26	726.7	20	16.5	23.8	18.1	19.1	13.6	3	27.6	6	84	48	76	69	36	30
Juli	721.5	709.1	18	727.2	9	14.6	20.3	15.5	16.5	9.4	12	29.5	6	87	55	84	75	39	6.23
August	724.5	715.1	14	730.8	25	14.3	20.6	16.0	16.7	8.4	17	27.3	28	87	59	84	77	40	17
September	723.5	714.8	12	730.1	3	12.3	17.8	13.3	14.2	7.2	17	22.6	5	91	65	87	81	42	8
Oktober	722.8	710.0	25	733.4	3	7.2	11.3	8.2	8.7	2.4	28	15.5	31	93	74	91	86	52	21
November	723.2	703.7	4	739.8	12	4.2	8.5	5.9	6.1	-3.8	15	15.3	28	87	74	82	81	50	11.28
Dezember	722.1	707.6	31	737.7	18	0.4	2.9	1.1	1.4	-6.4	21	8.5	31	87	78	84	83	35	20
Jahr	721.9	700.6	11	739.8	XI	7.2	12.5	8.7	9.3	-7.0	II	29.5	VII	89	64	83	79	33	III

Glarus

$\lambda = 9^{\circ} 4', \beta = 47^{\circ} 3', H_b = 479.6^m, G = 0.06 \text{ } \frac{m}{m}, h_r = 1.6^m$

Januar	719.8	703.0	31	733.0	18	-0.1	4.5	0.8	1.5	-6.6	23	15.0	27	79	61	78	73	19	27
Februar	718.7	696.7	1	727.0	12	-2.9	2.6	-1.6	-0.9	-8.7	12	10.1	27	76	52	73	67	21	1
März	717.6	703.5	18	730.8	4	1.6	9.2	3.9	4.7	-5.5	21	16.7	29	80	47	75	67	20	10
April	713.2	701.1	14	722.4	8	6.3	13.3	8.1	9.0	0.9	21	23.5	28	76	42	66	61	18	28
Mai	719.1	709.0	7	727.0	17	9.0	15.3	10.5	11.3	4.7	10	27.3	30	78	44	75	66	18	30
Juni	720.0	713.9	26	724.3	20	15.6	23.8	16.8	18.2	13.1	18	27.5	26	74	38	71	61	21	26
Juli	719.0	706.7	18	725.0	7	14.3	19.8	15.4	16.2	7.9	14	29.3	5	75	50	74	66	27	1
August	722.0	713.0	14	727.9	25.28	13.1	20.5	15.1	16.0	7.3	17	27.3	21	83	49	81	71	24	2.21
September	720.8	712.1	12	727.0	3	11.9	17.5	13.2	14.0	6.7	30	25.5	1	86	53	82	74	25	19
Oktober	720.3	707.4	25	730.3	3	5.4	11.2	6.9	7.6	0.1	28	17.1	12	86	60	84	77	38	6
November	720.7	704.4	2.3	737.0	12	4.1	8.6	5.4	5.9	-3.3	24	18.5	27.28	78	58	75	70	19	28
Dezember	719.4	706.5	31	735.3	18	-1.9	1.2	-1.1	-0.7	-9.5	21.28	8.3	1	79	63	78	73	39	31
Jahr	719.2	696.7	11	737.0	XI	6.4	12.3	7.8	8.6	-9.5	XII	29.3	VII	79	51	76	69	18	IV/V

Elm

$\lambda = 9^{\circ} 10', \beta = 46^{\circ} 55', H = 959^m, G = - \frac{m}{m}, h_r = 1.6^m$

Januar	—	—	—	—	—	0.1	2.6	1.2	1.3	-7.4	1	9.8	26	72	66	69	69	37	5
Februar	—	—	—	—	—	-4.9	2.1	-3.5	-2.4	-10.6	12	9.3	27	76	60	77	71	34	10
März	—	—	—	—	—	1.1	7.5	2.8	3.6	-8.2	21	14.2	3	75	59	74	69	34	10
April	—	—	—	—	—	5.1	10.0	5.7	6.6	-1.2	15	19.2	27	76	63	75	71	39	21
Mai	—	—	—	—	—	8.1	12.5	8.3	9.3	1.0	8	24.3	30	74	63	78	72	39	6.17.30
Juni	—	—	—	—	—	15.3	20.7	14.3	16.1	12.2	9	25.9	12	74	60	79	71	38	12.30
Juli	—	—	—	—	—	12.9	17.3	13.0	14.0	5.6	13	26.3	5	77	65	80	74	35	21
August	—	—	—	—	—	12.0	18.0	13.2	14.1	6.4	15	24.7	2	79	66	81	75	38	2
September	—	—	—	—	—	10.0	15.5	11.2	12.0	5.0	30	22.6	1	82	67	82	77	40	19
Oktober	—	—	—	—	—	4.4	9.9	5.7	6.4	-3.8	28	17.0	12	79	67	79	75	40	19
November	—	—	—	—	—	3.1	6.9	3.9	4.4	-3.9	5	13.6	27	77	69	74	73	43	28
Dezember	—	—	—	—	—	-3.8	-2.0	-3.6	-3.3	-13.1	25	7.3	29	78	74	80	77	36	29
Jahr	—	—	—	—	—	5.3	10.1	6.0	6.8	-13.1	XII	26.3	VII	77	65	77	73	34	11/III

Auen (Linthal)

$\lambda = 8^{\circ} 59', \beta = 46^{\circ} 54', H_b = 821^m, G = 0.01 \text{ } \frac{m}{m}, h_r = 1.5^m$

Januar	689.6	674.5	31	701.0	18	2.1	4.5	2.7	3.0	-4.4	1	11.4	26	62	53	59	58	28	11.27
Februar	688.4	666.9	1	695.5	9.25	-3.0	2.4	-1.7	-1.0	-7.8	12	9.6	27	70	46	72	63	25	1
März	687.7	674.5	18	699.6	4	2.8	8.3	3.7	4.6	-7.0	21	15.4	3	67	48	73	63	22	10
April	684.0	671.7	14	692.8	8	6.3	10.9	6.9	7.8	0.1	15	19.8	28	67	48	69	61	28	21.28
Mai	689.8	697.0	17	679.9	7	8.2	12.8	8.7	9.6	1.3	9	22.2	30	74	54	79	69	16	4
Juni	691.5	686.6	26	695.4	21	15.2	22.0	15.2	16.9	12.5	3	25.3	23	66	43	78	62	28	2
Juli	690.3	678.3	18	695.4	9	13.8	18.0	13.4	14.7	7.1	13	27.5	1	70	54	83	69	35	1.21
August	693.1	684.6	14	699.2	25	13.2	18.8	14.0	15.0	7.0	15	25.6	28.28	74	54	82	70	26	21
September	692.0	683.6	12	698.0	2.3	10.8	16.1	12.1	12.8	6.1	30	23.3	19	82	56	84	74	24	12
Oktober	690.9	677.9	25	700.8	3	5.6	10.1	6.8	7.3	-1.9	28	18.9	12	76	61	82	73	29	12.16
November	691.1	675.3	3	705.4	12	4.2	7.6	5.1	4.5	-4.0	12	16.8	27	75	59	70	68	20	28
Dezember	688.7	676.7	31	701.8	18	-2.7	0.5	-2.0	-1.6	-9.7	25	9.0	29	77	60	82	73	20	29
Jahr	689.8	666.9	11	705.4	XI	6.4	11.0	7.1	7.9	-9.7	XII	27.5	VII	72	53	76	67	16	V

Beobachter: Hs. Huber-Rupli

Unter-Hallau

Bewölkung				Niederschlag			Zahl der Tage								Windverteilung								1930				
7 ⁰⁰	13 ⁰⁰	21 ⁰⁰	Mittel	Summe	Maximum	Tag	*	☉	☽	☀	☁	☁	☁	☁	☁	☁	☁	☁	N	NE	E	SE		S	SW	W	NW
8.7	7.6	7.2	7.8	48	17	11	7	6	2	—	—	11	—	19	2	2	1	—	—	10	5	—	—	73	Januar		
6.9	6.1	4.8	5.9	25	6	3	8	6	4	—	—	1	7	11	12	23	2	1	1	6	—	—	39	Februar			
6.9	6.3	5.5	6.2	61	13	14	15	13	5	—	1	1	4	12	4	3	—	7	1	21	3	1	53	März			
6.4	7.0	6.1	6.5	108	22	4	14	11	—	—	1	—	3	14	11	6	2	2	1	24	—	2	42	April			
7.4	7.1	7.1	7.2	110	32	23	15	14	—	1	2	2	—	14	6	3	—	1	1	36	10	1	35	Mai			
4.7	4.6	5.3	4.9	81	33	8	12	11	—	—	7	4	6	2	7	10	—	5	3	19	1	1	44	Juni			
6.6	6.5	7.3	6.8	150	23	23	17	16	—	—	5	3	1	13	3	—	—	2	2	38	2	1	45	Juli			
6.2	5.3	4.6	5.4	81	19	14	14	13	—	—	2	3	8	10	3	3	1	6	—	29	2	3	46	August			
7.4	5.9	5.6	6.3	71	20	1	16	13	—	—	2	4	3	9	6	1	—	4	2	25	2	3	47	September			
9.5	6.7	6.9	7.7	117	25	5	16	14	—	—	—	5	1	19	2	1	—	1	1	35	2	—	51	Oktober			
7.7	5.9	7.1	6.9	144	35	20	17	16	5	1	—	7	3	11	3	—	—	2	—	38	2	3	42	November			
8.4	7.4	7.6	7.8	39	9	13	12	11	4	—	—	3	4	22	8	23	—	3	—	21	1	—	37	Dezember			
7.2	6.4	6.2	6.6	1035	35	XI	163	144	20	2	20	44	40	156	67	75	6	34	12	302	30	15	554	Jahr			

Beobachter: J. Gehring

Glarus

4.9	5.2	5.1	5.1	31	7	11	8	7	3	—	—	4	7	9	1	—	—	2	9	—	2	3	76	Januar
5.5	4.9	4.9	5.1	13	7	4	5	4	3	—	—	—	9	9	—	—	—	2	—	4	12	66	Februar	
6.2	7.0	6.4	6.3	70	14	18	17	15	7	—	—	—	5	15	4	—	—	1	—	6	19	63	März	
7.3	7.8	6.7	7.3	125	27	29	17	12	3	—	1	—	3	15	—	—	—	9	—	3	21	37	April	
7.6	9.0	8.3	8.3	257	44	13	21	18	—	—	—	—	—	20	—	—	1	—	1	—	3	21	67	Mai
4.5	5.2	5.0	4.9	45	7	3	14	11	—	—	—	—	4	5	2	—	—	1	2	—	—	25	60	Juni
5.8	6.6	8.4	6.9	245	51	23	22	17	—	—	4	—	—	12	4	—	1	1	3	—	2	24	58	Juli
5.7	5.6	5.4	5.6	213	39	15	16	15	—	—	3	—	9	11	3	—	—	5	—	2	19	64	August	
7.7	7.5	6.0	7.1	196	35	29	22	17	—	—	2	—	1	13	1	—	—	2	—	1	16	70	September	
6.9	6.7	6.9	6.8	205	31	5	18	17	—	—	—	—	6	18	1	—	—	—	—	4	19	69	Oktober	
7.4	6.3	5.4	6.4	136	40	16	17	15	1	—	—	—	4	9	—	—	—	3	6	1	1	15	64	November
7.4	7.0	7.6	7.3	83	26	12	12	12	4	—	—	—	3	17	—	—	—	3	—	3	—	4	83	Dezember
6.4	6.6	6.3	6.4	1619	51	VII	190	160	21	—	10	4	51	153	16	—	2	7	43	1	31	198	797	Jahr

Beobachter: W. Zentner

Elm

3.2	3.2	3.3	3.2	40	10	12	10	7	8	—	—	1	15	5	3	1	—	8	12	—	—	—	69	Januar
3.9	2.8	4.3	3.7	18	6	4	6	4	6	—	—	—	13	5	3	—	—	8	1	—	—	1	71	Februar
5.2	5.9	6.0	5.7	94	36	19	15	12	10	—	—	3	10	12	13	—	—	11	2	1	—	4	62	März
6.5	6.8	6.4	6.6	130	26	4	12	10	7	—	1	—	4	14	14	2	—	6	8	—	1	3	56	April
6.0	7.9	8.3	7.4	225	49	13	17	16	3	—	—	—	1	15	16	—	—	5	8	—	—	2	62	Mai
2.7	4.9	4.7	4.1	94	48	16	13	11	—	—	2	—	7	2	18	—	—	3	4	—	—	5	60	Juni
5.0	5.7	8.4	6.4	206	51	23	20	18	—	—	1	1	1	10	24	—	—	2	3	—	—	—	64	Juli
4.5	4.5	6.0	5.0	222	30	14	16	14	—	—	2	—	10	10	17	—	—	3	5	—	—	2	66	August
6.5	6.3	7.1	6.6	203	43	29	19	17	—	—	—	1	4	13	16	—	—	3	1	—	—	3	67	September
5.7	6.1	6.3	6.0	191	29	26	17	17	7	—	—	—	8	13	13	1	—	2	2	—	—	3	72	Oktober
6.4	5.1	5.0	5.5	136	35	29	17	16	5	—	—	2	6	9	6	—	—	2	11	—	—	1	70	November
3.9	3.3	3.8	3.7	67	21	12	11	10	11	—	—	1	15	5	2	—	—	2	1	—	—	—	88	Dezember
5.0	5.2	5.8	5.3	1626	51	VII	173	152	57	—	6	10	94	113	145	4	—	55	58	1	1	24	807	Jahr

Beobachter: L. Curt

Auen (Linthal)

3.6	4.4	3.5	3.8	41	10	2	8	8	4	—	—	5	15	7	11	—	—	—	15	—	—	—	67	Januar
5.0	4.0	4.6	4.5	19	6	4	5	5	5	—	—	3	9	8	18	—	—	1	—	4	—	—	61	Februar
5.8	5.9	5.7	5.8	86	26	18	14	13	7	—	—	5	9	13	21	—	—	1	6	—	—	—	65	März
7.4	7.6	6.9	7.3	117	27	13	13	11	7	—	—	—	3	15	18	—	—	—	14	—	—	—	58	April
7.4	8.7	8.5	8.2	246	51	14	18	17	1	—	—	1	5	—	18	29	—	—	4	—	—	—	60	Mai
4.4	4.8	5.7	5.0	58	9	11	15	13	—	—	4	—	4	3	15	—	—	1	—	4	—	—	70	Juni
6.0	6.2	8.2	6.8	233	52	23	21	18	—	—	7	2	1	14	24	—	—	1	1	1	—	—	66	Juli
5.7	5.5	5.4	5.5	242	57	14	14	14	—	—	4	1	9	13	12	—	—	2	2	—	—	—	77	August
7.5	7.3	6.6	7.1	216	39	29	22	18	—	—	1	2	2	15	12	—	—	—	3	—	—	—	75	September
6.4	6.6	5.5	6.2	213	27	25	17	17	5	1	—	5	8	15	8	—	—	—	4	—	—	—	81	Oktober
6.8	6.2	5.2	6.1	132	36	16	19	14	5	—	—	6	4	8	10	—	—	—	8	—	—	—	72	November
6.1	6.1	7.1	6.4	89	38	12	11	10	9	—	—	16	7	13	3	—	—	—	2	—	—	—	87	Dezember
6.0	6.1	6.1	6.1	1692	57	VIII	177	158	43	1	18	50	71	142	181	—	3	3	67	1	1	—	839	Jahr

Göschenen

$\lambda = 8^{\circ} 35'$, $\beta = 46^{\circ} 40'$, $H_b = 1107.2^m$, $G = -0.05^m$, $h_r = 2.7^m$

1930	Luftdruck				Luft-Temperatur						Relative Feuchtigkeit								
	Mittel	Minimum Tag	Maximum Tag		7 ⁰⁰	13 ⁰⁰	21 ⁰⁰	Mittel	Minimum Tag	Maximum Tag	7 ⁰⁰	13 ⁰⁰	21 ⁰⁰	Mittel	Minimum Tag				
Januar	667.6	652.9	31	678.6	18	2.3	3.3	2.7	2.8	-5.8	1	8.6	14	60	58	58	59	27	20
Februar	665.4	646.3	1	673.2	13	-2.4	0.5	-1.7	-1.3	-7.4	12	6.2	13	64	58	65	62	21	10
März	665.4	653.8	20	677.0	4	2.8	4.9	2.9	3.4	-5.6	21	10.2	3	61	60	67	63	30	6
April	661.7	648.9	14	670.1	8. 26	5.1	7.7	5.2	5.8	-1.0	15.18	15.2	28	70	63	71	68	38	27
Mai	667.7	658.5	7	674.2	29	7.5	10.4	8.0	8.5	-0.2	9	18.4	18	71	62	74	69	38	17.20
Juni	669.8	665.4	27	673.2	20	15.2	19.7	15.3	16.4	12.6	28	22.6	23	64	56	68	63	39	3
Juli	668.2	656.8	18	670.2	9	12.7	16.1	13.0	13.7	4.6	13	25.2	5	73	64	76	71	38	4
August	671.2	663.5	14	677.0	25	12.9	16.8	13.9	14.4	7.2	9	23.0	28	71	66	76	71	39	18
September	660.9*	—	—	—	—	10.8	13.9	11.6	12.0	5.2	27	21.4	6	76	68	76	73	39	5
Oktober	668.7*	—	—	—	—	6.4	9.0	6.9	7.3	-0.8	28	18.0	15	70	66	72	69	20	15
November	668.7*	—	—	—	—	4.1	5.5	4.4	4.6	-2.6	12	11.2	21	68	66	66	67	39	24
Dezember	666.2*	—	—	—	—	-1.6	0.1	-1.2	-1.0	-10.0	24	7.2	1	69	67	70	69	36	29
Jahr	667.5*	—	—	—	—	6.3	9.0	6.8	7.2	-10.0	XII	25.2	VII	68	63	70	67	20	X

Engelberg

Abendbeobachtung 20⁰⁰.

$\lambda = 8^{\circ} 25'$, $\beta = 46^{\circ} 49'$, $H_b = 1017.8^m$, $G = -0.02^m$, $h_r = 1.6^m$

Januar	673.9	657.1	31	686.0	18	0.0	3.5	0.1	1.1	-6.9	1	10.1	26	80*	65*	78*	74*	—	—
Februar	672.0	653.0	1	679.4	12	-5.4	-0.4	-4.0	-3.5	-11.4	12	5.9	26	87	77	86	83	48	5
März	671.9	659.6	18	684.8	4	0.3	5.9	2.1	2.6	-8.9	21	11.7	28	88	67	89	81	27	31
April	668.4	656.2	14	677.2	8	3.8	9.5	5.4	5.9	-0.9	20	17.6	28	90	57	87	78	29	21
Mai	674.3	664.0	7	681.2	16	6.5	11.7	8.1	8.4	0.8	9	21.7	30	88	63	89	80	29	30
Juni	676.2	671.2	26	679.9	20.21	13.4	19.5	14.7	15.4	11.2	10	22.0	12	85	63	89	79	41	2
Juli	675.0	662.9	18	680.2	7	11.3	16.5	12.9	13.1	5.3	14	24.7	5	90	66	91	82	41	21
August	677.8	669.7	14	683.9	25	11.2	17.6	13.7	13.8	4.7	17	24.2	27	89	64	91	81	32	21
September	676.5	668.6	12	683.1	3	9.8	14.9	11.3	11.7	4.5	27	22.1	19	92	70	93	85	34	21
Oktober	675.3	663.5	25	684.7	3	4.3	9.8	5.8	6.4	-4.8	28	16.9	4	88	69	89	82	33	4
November	675.3	654.7	4	689.4	12	3.2	6.8	4.1	4.5	-4.7	5	15.5	21	80	69	78	76	31	19.27
Dezember	672.8	660.8	31	687.1	18	-3.8	-0.9	-3.2	-2.7	-10.5	11	7.4	1	85	76	89	83	36	29
Jahr	674.1	653.0	11	689.4	XI	4.6	9.5	5.9	6.4	-11.4	11	24.7	VII	87	67	87	80	27	111

Oberberg

$\lambda = 8^{\circ} 47'$, $\beta = 47^{\circ} 2'$, $H_b = 1090.0^m$, $G = -0.03^m$, $h_r = 1.7^m$

Januar	668.0	652.5	31	680.4	18	-1.1	4.6	-0.6	0.6	-8.0	1	10.8	26	80	68	76	75	45	5
Februar	666.1	647.1	1	673.2	14	-6.1	1.6	-4.5	-3.4	-14.0	10	9.4	28	88	70	84	81	51	28
März	666.0	653.8	18	678.4	4	-0.8	7.1	1.1	2.1	-11.0	21	12.8	3	88	68	83	80	46	16
April	662.6	650.0	14	671.4	8	3.1	10.2	4.2	5.4	-4.0	18	17.6	28	89	63	81	78	44	23
Mai	668.5	659.0	7	675.3	17	6.2	11.6	7.6	8.2	0.2	9	20.8	30	88	67	81	79	40	17
Juni	670.6	665.9	26	674.3	21	13.0	20.5	13.5	15.1	10.2	9	24.8	26	88	63	79	77	49	20
Juli	669.3	657.3	18	674.2	9	11.4	17.1	12.3	13.3	4.4	14	25.8	5	90	71	84	82	47	21
August	672.2	663.5	14	679.2	26	11.4	18.6	13.0	14.0	6.6	15	28.0	26	93	69	86	83	45	17
September	670.8	663.4	12	676.7	3	9.2	15.9	10.4	11.5	4.4	31.29	24.5	5	95	72	88	85	48	5
Oktober	669.4	656.3	25	678.7	3	3.6	10.8	5.3	6.2	-1.0	28	18.9	15	88	71	85	81	46	15
November	669.5	649.8	4	683.0	12	2.2	7.4	3.6	4.2	-7.0	5. 12	15.4	28	84	75	82	80	47	28
Dezember	666.8	656.2	31	680.4	18	-4.1	0.0	-3.8	-2.9	-1.0	18	7.0	1. 2	90	79	89	86	40	29
Jahr	668.3	647.1	11	683.0	XI	4.0	10.4	5.2	6.2	-14.0	11	28.0	VIII	88	70	83	81	40	V/XII

Einsiedeln

Abendbeobachtung 20⁰⁰.

$\lambda = 8^{\circ} 45'$, $\beta = 47^{\circ} 8'$, $H_b = 913.9^m$, $G = 0.01^m$, $h_r = 1.5^m$

Januar	682.5	667.0	31	695.9	17	-0.4	4.1	0.9	1.4	-4.2	31	8.8	26	85	71	82	79	40	5
Februar	681.1	661.3	1	688.4	12	-4.6	0.7	-2.4	-2.3	-11.0	12	6.8	28	89	72	85	82	35	27.28
März	680.6	668.2	18	693.7	5	0.3	6.5	2.5	2.9	-9.0	21	10.8	31	89	70	84	81	45	31
April	677.0	664.8	14	686.2	8	3.7	10.2	5.9	6.3	-3.0	18	19.5	28	91	61	81	78	30	28
Mai	682.8	673.0	7	690.2	17	7.4	12.0	9.0	9.1	2.0	8	22.5	30	90	65	85	80	30	30
Juni	684.6	679.1	26	688.4	21	13.8	19.8	15.6	15.9	12.0	4.9.16	23.0	23	89	62	77	76	45	19.22
Juli	683.2	671.9	18	689.0	26	12.3	17.0	13.6	13.8	6.6	14	25.0	5	87	65	82	78	40	21
August	686.2	677.4	14	692.1	34.25	11.9	17.8	14.2	14.2	6.8	17	25.0	21	91	66	86	81	37	21
September	685.2	677.1	12	691.2	2	10.5	14.8	12.0	12.1	5.4	27	22.8	5	89	73	85	82	31	5
Oktober	684.0	671.2	25	693.4	3	5.2	9.9	6.7	7.1	-0.4	28	17.0	4	91	71	88	83	36	16
November	684.1	663.8	4	698.7	12	4.1	7.0	5.0	5.2	-2.1	13	14.8	28	79	71	79	76	31	28
Dezember	682.8	669.5	31	696.1	18	-2.0	-0.1	-1.5	-1.3	-9.0	18.20	5.8	31	83	81	86	83	42	29
Jahr	682.8	661.3	11	698.7	XI	5.2	10.0	6.8	7.0	-11.0	11	25.0	VIII	88	69	83	80	30	I/III IV

Einsiedeln. Beobachterwechsel im August, neues $H_b = 917.5^m$. Barometerstände auf die alte Höhe reduziert.

Beobachter: O. Lendenmann

Göschenen

Bewölkung				Niederschlag		Zahl der Tage								Windverteilung								1930		
7 ³⁰	13 ³⁰	21 ³⁰	Mittel	Summe	Maximum Tag	*	≥*	*	▲	⊖	≡	heiter	irrb	N	NE	E	SE	S	SW	W	NW		Calen	
5.2	5.2	3.8	4.7	25	5	30	9	8	3	—	—	4	10	8	6	—	—	—	54	2	—	—	31	
5.0	4.3	3.6	4.3	12	3	7.16	5	4	5	—	—	1	9	5	9	—	—	—	40	—	1	—	34	
6.2	6.5	5.5	6.1	72	30	19	12	8	8	—	—	2	3	11	17	—	—	—	41	1	1	—	33	
7.8	7.5	5.9	7.1	153	38	13	12	11	7	—	1	—	3	15	15	—	—	—	23	—	—	—	52	
7.4	8.4	7.2	7.7	148	35	12	17	15	4	—	—	—	1	17	19	—	—	—	21	1	—	—	52	
4.5	5.3	5.0	4.9	23	4	26	8	8	—	—	1	2	1	3	13	—	—	—	27	—	—	—	50	
5.5	6.4	7.0	6.3	205	49	23	17	14	—	—	2	1	2	10	15	—	—	—	14	—	—	—	64	
5.5	5.4	5.1	5.3	119	31	19	11	11	—	—	1	2	10	8	17	—	—	—	20	—	—	—	56	
7.1	7.5	7.0	7.2	149	29	29	14	13	—	—	—	10	2	15	23	—	—	—	18	1	—	—	48	
6.5	6.6	5.9	6.3	143	31	5	16	15	5	—	—	2	8	15	15	—	1	—	27	—	—	—	50	
7.1	6.4	4.9	6.1	203	92	29	14	13	3	—	—	2	3	8	10	—	—	—	38	1	—	—	41	
5.0	5.5	5.6	5.4	20	7	12	8	6	8	—	—	6	10	12	5	—	—	—	1	25	—	—	62	
6.1	6.2	5.5	5.9	1272	92	NI	143	126	43	—	—	5	32	62	127	164	—	1	1	348	6	2	—	573
																							Jahr	

Beobachter: P. N. Kaeser

Engelberg

4.6	5.3	3.4	4.4	35	9	16	9	8	7	—	—	2	12	7	—	14	—	7	—	6	—	—	66
6.6	5.5	5.5	5.9	34	13	16	7	6	7	—	—	3	6	12	1	5	1	4	—	23	—	—	50
6.4	6.6	5.7	6.2	85	13	18	16	15	9	—	—	4	4	12	—	7	—	2	—	39	—	—	45
7.6	7.1	7.8	7.5	166	29	13	16	13	9	—	—	1	1	18	—	8	—	12	—	26	—	3	41
7.4	8.3	9.1	8.3	227	33	14	23	19	5	—	—	3	—	18	—	3	—	7	—	26	—	5	52
4.0	5.5	7.0	5.5	113	17	27	16	15	—	2	4	1	2	4	—	5	—	4	—	22	—	6	53
6.0	7.0	9.3	7.4	209	52	18	22	17	—	—	1	3	—	15	—	6	1	4	—	30	2	5	45
5.2	4.9	5.9	5.3	187	28	14	14	13	—	—	1	1	8	10	—	8	—	4	—	27	2	2	50
6.9	6.9	6.2	6.7	162	29	25	21	15	—	—	—	4	3	13	—	3	1	7	—	28	1	2	48
6.9	6.7	6.3	6.6	220	44	9	18	17	6	—	—	1	7	17	—	17	—	11	—	20	—	4	41
8.1	6.8	5.1	6.7	125	37	16	20	18	6	—	—	3	2	13	—	17	—	25	—	18	1	3	26
6.4	5.9	7.0	6.4	57	11	12	11	10	8	—	—	7	6	13	—	19	1	15	—	4	—	1	53
6.3	6.4	6.5	6.4	1620	52	VII	193	166	57	2	6	33	51	152	1	112	4	102	—	269	6	31	570
																							Jahr

Beobachter: X. Holdener

Oberiberg

4.2	5.4	4.3	4.6	54	10	2	8	8	5	—	—	4	9	7	—	—	—	6	12	1	—	74	
5.7	5.3	5.4	5.5	32	9	15	7	7	7	—	—	3	8	10	—	—	1	—	—	—	—	81	
5.8	6.5	5.6	6.0	98	16	18	19	17	10	—	—	2	6	12	—	—	1	—	3	5	6	—	78
6.8	7.6	7.2	7.2	209	44	29	18	18	9	—	1	—	2	13	—	—	1	2	3	4	3	1	76
8.3	8.9	8.9	8.7	332	64	14	21	20	6	—	—	3	—	23	—	1	1	—	2	2	12	4	71
4.6	6.2	7.0	5.9	167	32	13	16	15	—	—	6	1	3	7	1	2	2	—	1	2	1	—	81
6.1	7.2	9.0	7.4	307	52	18	23	19	—	—	5	3	—	16	2	1	2	—	2	8	2	—	76
5.7	5.8	6.4	6.0	244	39	15	17	15	—	—	2	1	8	12	—	—	4	—	3	3	5	—	78
6.9	7.1	7.0	7.0	217	37	25	22	19	—	—	2	6	3	15	—	—	—	—	6	2	1	—	81
6.5	6.6	6.4	6.5	280	46	9	17	17	10	—	—	3	7	14	1	—	—	—	2	6	5	1	78
6.8	6.4	5.9	6.4	212	52	16	18	17	4	—	—	1	5	11	—	—	1	—	7	7	5	—	70
6.3	5.3	5.8	5.8	94	24	12	13	13	10	—	—	6	7	11	—	—	—	—	4	—	—	—	83
6.1	6.5	6.6	6.4	2246	64	V	199	185	61	—	16	33	58	151	4	4	13	2	30	59	43	7	933
																							Jahr

Beobachter: P. M. Egger, P. Th. Schwegler

Einsiedeln

5.8	5.0	5.3	5.4	48	?	—	8	8	5	—	—	5	9	11	1	—	—	—	—	2	5	—	85
6.9	5.8	6.4	6.4	34	15	14	5	5	5	—	—	8	6	13	—	3	1	1	—	3	—	—	76
6.8	6.9	7.0	6.9	88	11	18	18	18	10	—	—	5	3	16	5	2	1	1	—	1	9	3	73
6.5	6.6	7.3	6.8	188	46	29	15	15	7	1	1	2	4	15	5	1	—	—	2	6	3	3	70
7.7	8.5	9.1	8.4	334	51	2.14	20	20	2	—	—	3	—	21	6	2	—	2	1	7	2	2	71
4.7	6.1	5.0	5.3	115	35	23	12	12	—	—	—	1	5	6	16	8	—	—	3	1	1	2	59
6.2	7.0	9.2	7.5	286	55	18	19	19	—	—	—	3	—	15	8	3	—	1	2	5	6	6	62
5.3	5.5	5.6	5.5	174	25	15	16	16	—	—	4	—	9	11	8	—	—	—	2	4	7	9	63
7.2	7.2	6.5	7.0	162	33	25	20	18	—	—	1	5	2	12	17	—	2	1	4	5	11	5	45
7.0	6.9	6.8	6.9	231	56	9	20	17	5	—	—	2	6	17	9	1	—	—	6	9	12	1	55
7.6	6.9	6.0	6.8	183	63	16	19	17	4	—	—	3	3	14	1	—	3	—	9	8	13	2	54
6.6	7.5	7.5	7.2	93	23	12	13	12	9	—	—	8	3	13	2	—	1	—	2	2	7	—	79
6.5	6.7	6.8	6.7	1936	63	XI	185	177	47	1	6	45	50	164	74	20	8	6	32	61	69	33	792
																							Jahr

Sarnen

$\lambda = 80^{\circ} 15'$, $\beta = 46^{\circ} 34'$, $H_b = \text{ca. } 474.5^m$, $G = 0.05 \frac{m}{m}$, $h_r = 1.7^m$

1930	Luftdruck				Luft-Temperatur							Relative Feuchtigkeit							
	Mittel	Minimum Tag	Maximum Tag		7 ³⁰	13 ³⁰	21 ³⁰	Mittel	Minimum Tag	Maximum Tag	7 ³⁰	13 ³⁰	21 ³⁰	Mittel	Minimum Tag				
Januar	720.0	702.4	31	733.7	18	0.2	3.6	1.0	1.4	-4.4	21	13.0	13	97	85	97	93	23	13
Februar	718.9	697.7	1	727.3	12	-1.8	2.9	-0.4	0.1	-7.6	12	9.5	27	93	69	89	84	43	26
März	717.7	704.1	18	730.8	4	2.2	8.7	4.4	4.9	-4.0	21	13.8	29	95	64	91	83	34	10
April	713.4	701.2	14	722.8	8	6.6	13.2	7.8	8.9	1.6	15.20	20.0	27	92	58	88	79	34	23
Mai	719.4	708.9	7	726.5	17	10.2	15.3	10.8	11.8	5.8	10	22.9	18	93	60	93	82	32	20
Juni	720.2	714.1	26	724.8	20	17.5	23.1	17.3	18.8	14.5	1	26.0	12	86	58	91	78	42	19
Juli	719.2	706.8	18	724.6	9	15.4	20.2	15.8	16.8	9.8	12	27.6	6	90	64	93	82	42	5
August	722.1	713.7	14	728.9	25	14.6	21.0	16.0	16.9	10.4	11.18	25.5	28.29	97	66	95	86	43	15
September	720.9	712.3	12	727.0	2.3	12.7	18.2	13.8	14.6	6.9	27	25.5	1	99	71	97	89	37	21
Oktober	720.6	708.5	25	730.4	3	6.7	11.6	7.9	8.5	1.4	28	15.8	18	97	79	97	81	50	4
November	720.9	700.4	4	737.1	12	4.7	9.1	5.6	6.3	-2.4	14	17.4	28	94	75	91	87	23	28
Dezember	719.5	705.2	31	735.4	18	0.6	2.4	1.2	1.3	-4.8	25	7.9	31	93	86	90	90	57	16
Jahr	719.4	697.7	11	737.1	XI	7.5	12.4	8.4	9.2	-7.6	II	27.6	VII	94	70	93	85	23	I/XI

Luzern

$\lambda = 80^{\circ} 19'$, $\beta = 47^{\circ} 3'$, $H_b = 497.8^m$, $G = 0.06 \frac{m}{m}$, $h_r = 1.5^m$

Januar	718.6	701.4	31	731.7	18	0.8	3.4	1.7	1.9	-3.4	21	11.6	13	98	90	97	95	42	13
Februar	717.4	696.6	1	725.8	9.12	-1.8	2.5	0.5	0.4	-7.2	11.22	9.2	28	96	75	88	86	46	26
März	716.4	702.7	18	729.5	4	3.2	8.6	5.6	5.8	-3.1	21	13.8	30	95	69	88	84	41	30
April	712.1	699.9	14	721.4	8	6.5	13.1	9.1	9.4	2.1	19	23.4	26	98	62	85	82	31	28
Mai	718.0	708.0	7	725.3	17	9.2	14.7	11.5	11.7	5.1	8	22.5	18	97	66	88	84	34	20
Juni	718.9	713.1	26	723.2	21	16.4	23.0	18.3	19.0	13.7	3	25.8	12	96	61	87	81	44	4.18
Juli	717.7	705.2	18	722.9	9	14.8	19.9	16.2	16.8	10.0	12	28.3	5	95	63	87	82	40	5
August	720.8	712.0	14	726.6	25	14.3	20.2	16.9	17.1	9.8	1	25.7	29	98	69	92	86	44	16
September	719.6	710.7	12	725.7	2	12.8	17.7	14.4	14.8	8.2	27	26.0	1	99	72	97	89	49	21
Oktober	718.9	706.9	25	729.0	3	7.1	11.4	8.9	9.1	2.4	28	15.8	12	98	80	95	91	51	6
November	719.4	698.9	4	735.6	12	5.5	9.3	6.8	7.1	-2.6	13	17.3	21	92	76	90	86	33	28
Dezember	717.7	703.5	31	733.1	18	0.9	2.8	1.6	1.7	-4.8	19	9.0	31	95	85	92	91	53	7
Jahr	718.0	696.6	11	735.6	XI	7.5	12.2	9.3	9.6	-7.2	II	28.3	VII	96	72	90	86	31	IV

Walchwil

$\lambda = 80^{\circ} 30'$, $\beta = 47^{\circ} 6'$, $H = 452^m$, $G = - \frac{m}{m}$, $h_r = 1.5^m$

Januar	—	—	—	—	—	1.0	3.1	1.8	1.9	-2.0	8.20	11.2	13	88	77	83	83	31	13
Februar	—	—	—	—	—	-1.3	2.7	0.4	0.6	-6.3	11	8.0	27	78	56	67	67	37	26
März	—	—	—	—	—	3.3	8.6	4.9	5.4	-2.1	21	13.5	15	81	53	73	69	32	31
April	—	—	—	—	—	7.0	13.2	8.9	9.5	1.2	15	23.9	28	82	46	66	64	17	28
Mai	—	—	—	—	—	10.4	15.4	11.0	12.0	5.0	8	26.0	18	74	49	72	65	24	20
Juni	—	—	—	—	—	17.8	23.1	18.0	19.2	14.4	2	26.4	8	69	46	64	60	29	8
Juli	—	—	—	—	—	16.0	20.1	16.0	17.0	9.6	11	27.4	4	68	48	71	62	28	5
August	—	—	—	—	—	15.6	21.0	16.6	17.4	11.4	1	26.0	24.28	78	49	76	68	29	18
September	—	—	—	—	—	14.2	18.2	14.4	15.3	8.6	27	26.0	6	78	56	77	70	34	21
Oktober	—	—	—	—	—	8.3	11.7	8.8	9.4	2.5	28	17.7	12	82	62	83	76	44	6.7
November	—	—	—	—	—	6.4	9.2	7.2	7.5	-0.2	24	18.2	28	76	59	69	68	18	28
Dezember	—	—	—	—	—	1.2	3.0	1.6	1.9	-3.8	25	9.2	31	77	66	73	72	42	7
Jahr	—	—	—	—	—	8.3	12.4	9.1	9.7	-6.3	II	27.4	VII	78	56	73	69	17	IV

Beznau

$\lambda = 80^{\circ} 14'$, $\beta = 47^{\circ} 33'$, $H = \text{ca. } 330^m$, $G = - \frac{m}{m}$, $h_r = 1.5^m$

Januar	—	—	—	—	—	—	—	—	—	—	—	—	—	—	—	—	—	—	—	—
Februar	—	—	—	—	—	—	—	—	—	—	—	—	—	—	—	—	—	—	—	—
März	—	—	—	—	—	—	—	—	—	—	—	—	—	—	—	—	—	—	—	—
April	—	—	—	—	—	—	—	—	—	—	—	—	—	—	—	—	—	—	—	—
Mai	—	—	—	—	—	—	—	—	—	—	—	—	—	—	—	—	—	—	—	—
Juni	—	—	—	—	—	—	—	—	—	—	—	—	—	—	—	—	—	—	—	—
Juli	—	—	—	—	—	—	—	—	—	—	—	—	—	—	—	—	—	—	—	—
August	—	—	—	—	—	14.1	21.4	15.6	16.7	8.4	17	28.5	2	89	59	90	79	42	17	
September	—	—	—	—	—	12.4	18.8	13.5	14.6	8.2	17.27	26.0	1	92	60	91	81	41	4	
Oktober	—	—	—	—	—	8.0	12.0	8.6	9.3	2.4	28	17.0	12	91	71	92	85	47	1	
November	—	—	—	—	—	4.7	8.8	6.3	6.5	-2.0	13.14	16.4	2.21	90	72	87	83	34	2	
Dezember	—	—	—	—	—	1.0	3.6	1.6	2.0	-6.4	21	11.0	31	87	70	83	80	35	20	
Jahr	—	—	—	—	—	—	—	—	—	—	—	—	—	—	—	—	—	—	—	—

Beznau. Station im Juli von Bütstein nach Beznau (Nordostschweiz. Kraftwerke) verlegt.

Aarau

$\lambda = 8^{\circ} 2'$, $\beta = 47^{\circ} 23'$, $H_b = 406.1^m$, $G = 0.10 \frac{m}{m}$, $h_r = 1.6^m$

1930	Luftdruck				Luft-Temperatur								Relative Feuchtigkeit						
	Mittel	Minimum Tag	Maximum Tag		7 ³⁰	13 ³⁰	21 ³⁰	Mittel	Minimum Tag	Maximum Tag		7 ³⁰	13 ³⁰	21 ³⁰	Mittel	Minimum Tag			
Januar	726.7	709.0	31	740.3	18	0.5	3.2	0.8	1.3	-2.8	27	10.4	13	92	78	91	87	39	13
Februar	725.7	704.9	1	734.1	12	-2.4	3.0	-0.4	-0.1	-9.0	12	10.0	27	82	58	73	71	37	26
März	724.3	711.4	18	737.4	4	3.0	9.0	4.5	5.0	-3.4	21	14.8	29	91	56	76	74	38	10
April	719.9	707.7	14	730.0	8	6.4	13.6	8.5	9.2	1.0	10	22.6	28	89	52	71	71	36	9.23.28
Mai	725.8	716.2	7	733.4	16	9.4	16.0	10.6	11.7	4.0	10	24.2	30	82	50	77	70	32	20
Juni	726.7	720.8	26	731.0	21	16.2	23.8	17.5	18.8	12.6	3	27.2	23	79	43	73	65	36	29.30
Juli	725.7	713.0	18	730.9	7	14.4	20.3	15.0	16.2	9.0	14	28.8	5	84	51	79	71	33	1
August	728.5	719.5	14	734.7	25	13.8	20.8	15.4	16.4	9.4	18	26.8	28	88	54	82	75	40	17
September	727.5	718.9	12	733.5	2.3	12.2	18.4	13.2	14.2	7.2	17	26.4	1	91	57	85	78	46	16.16
Oktober	726.9	714.2	25	737.1	3	7.7	11.5	8.1	8.8	1.2	28	17.0	12	90	69	87	82	53	27
November	727.5	707.2	4	744.3	12	4.0	8.5	5.3	5.8	-2.6	14.24	14.8	1	89	69	84	81	46	11
Dezember	726.1	711.3	31	741.3	18	0.7	3.1	1.1	1.5	-5.4	21	9.6	31	88	73	83	81	52	18
Jahr	725.9	704.9	II	744.3	XI	7.1	12.6	8.3	9.1	-9.0	II	28.8	VII	87	59	80	75	32	V

Langenbruck

$\lambda = 7^{\circ} 46'$, $\beta = 47^{\circ} 21'$, $H_b = 704.7^m$, $G = 0.06 \frac{m}{m}$, $h_r = 1.6^m$

Januar	700.0	683.7	31	712.5	18	-1.0	3.1	0.0	0.5	-6.2	20	7.0	14.15	88	80	86	85	53	26
Februar	698.8	678.9	1	706.1	12.13	-3.4	1.3	-2.0	-1.5	-11.3	11	8.2	27	84	71	79	78	45	12
März	698.1	685.3	18	711.0	4	0.9	7.0	3.0	3.5	-7.3	21	13.4	28	94	78	88	87	60	4
April	694.3	682.2	14	703.9	8	4.9	11.0	6.3	7.1	-0.2	10	20.6	28	96	84	88	89	65	30
Mai	700.2	690.4	7	707.0	17	8.4	13.3	8.4	9.6	2.6	9	20.6	17.30	90	86	88	88	73	2
Juni	701.6	696.4	26	705.5	21	15.8	21.7	15.2	17.0	11.8	2	26.0	23	87	73	87	82	36	22
Juli	700.3	688.3	18	705.7	9	14.1	18.3	13.5	14.9	8.0	11.12	29.0	5	83	58	84	75	37	1
August	703.2	694.8	14	709.1	25	13.0	19.8	13.8	15.1	5.4	17	27.0	27.28	86	56	83	75	41	17
September	702.0	693.5	12	708.1	2	11.1	16.8	11.7	12.8	6.0	16.30	26.0	1	76	59	70	68	39	4
Oktober	700.8	688.4	25	710.5	3	5.9	10.6	6.5	7.4	0.0	28	16.0	17	92	73	90	85	50	17
November	701.0	681.1	4	716.1	12	3.6	7.7	4.9	5.3	-4.2	24	14.0	22.28	80	68	78	75	43	29
Dezember	699.2	685.8	31	713.3	18	-0.8	1.1	-0.5	-0.2	-7.0	21	7.8	31	89	80	86	85	40	20
Jahr	700.0	678.9	II	716.1	XI	6.0	11.0	6.7	7.6	-11.3	II	29.0	VII	87	72	84	81	36	VI

Weissenstein

$\lambda = 7^{\circ} 30'$, $\beta = 47^{\circ} 15'$, $H_b = 1285^m$, $G = -0.02 \frac{m}{m}$, $h_r = 1.5^m$

Januar	651.3	634.9	31	663.1	18	0.7	2.4	0.9	1.2	-4.6	1	7.0	11.25	77	72	77	75	15	20
Februar	649.0	631.2	1	656.2	13	-4.7	-3.0	-4.2	-4.0	-10.6	9	3.2	28	90	88	90	89	43	28
März	649.4	637.9	18	662.6	4	0.2	2.0	1.0	1.0	-7.2	21	8.4	2	84	78	82	81	37	3
April	646.1	634.2	14	654.8	8	2.7	6.0	4.1	4.2	-3.4	16	17.6	28	87	73	84	81	40	28
Mai	652.1	642.4	7	659.1	18	5.0	7.8	5.8	6.1	-3.2	9	17.4	18	87	79	90	85	50	27
Juni	654.7	649.2	27	658.4	21	12.8	16.5	13.8	14.2	9.8	8	20.6	30	81	71	81	78	41	18
Juli	653.4	642.4	18	658.7	7	10.1	13.3	10.5	11.1	3.2	13	23.6	5	86	76	85	82	40	6
August	656.2	647.2	14	662.4	25	10.8	14.7	12.0	12.4	4.6	16	22.6	28	89	78	83	83	40	28
September	654.7	646.9	12	660.7	2.3	9.2	11.8	9.6	10.0	3.0	27	20.0	5	85	82	90	86	45	5
Oktober	653.0	640.4	25	662.2	3	4.7	7.1	5.4	5.7	-3.0	28	14.8	19	87	85	86	86	33	15
November	651.9	633.0	4	663.5	13	2.7	4.3	3.1	3.3	-4.0	5.12	10.4	28	82	77	81	80	13	24
Dezember	649.8	639.2	31	662.1	18	-1.8	-0.8	-1.8	-1.6	-9.4	25	10.4	2	81	82	86	83	16	4
Jahr	651.8	631.2	II	663.5	XI	4.4	6.8	5.0	5.3	-10.6	II	23.6	VII	85	78	85	83	13	XI

Solothurn

$\lambda = 7^{\circ} 32'$, $\beta = 47^{\circ} 13'$, $H_b = 470^m$, $G = - \frac{m}{m}$, $h_r = 1.5^m$

Januar	--	--	--	--	--	-0.1	2.7	0.5	0.9	-3.4	27	12.4	13	96	87	97	93	41	13
Februar	--	--	--	--	--	-2.2	3.2	-0.1	0.2	-8.2	13	11.5	27	90	64	79	78	40	27
März	--	--	--	--	--	2.0	9.3	4.8	5.2	-3.5	21	15.7	31	96	60	86	81	36	31
April	--	--	--	--	--	6.7	13.9	8.2	9.2	1.8	18	23.2	28	91	58	82	77	37	11
Mai	--	--	--	--	--	9.3	15.0	10.3	11.2	3.5	10	23.7	18	90	63	88	80	39	17.27
Juni	--	--	--	--	--	16.1	24.4	17.2	18.7	12.2	3	28.2	30	87	49	82	73	35	30
Juli	--	--	--	--	--	14.7	20.7	15.0	16.3	9.8	12	30.9	5	89	58	85	77	37	1
August	--	--	--	--	--	14.3	21.8	16.0	17.0	9.7	1	28.8	31	91	59	86	79	30	17
September	--	--	--	--	--	12.4	19.1	13.4	14.6	6.6	30	28.8	1	94	64	91	83	43	16.26
Oktober	--	--	--	--	--	7.3	11.4	8.1	8.7	1.6	28	16.0	12	96	77	94	89	46	25
November	--	--	--	--	--	3.5	8.9	5.1	5.7	-3.5	14	16.4	1	96	73	91	87	45	11
Dezember	--	--	--	--	--	0.4	2.8	0.8	1.2	-6.2	21	10.5	31	92	79	90	87	51	20
Jahr	--	--	--	--	--	7.0	12.8	8.3	9.1	-8.2	II	30.9	VII	92	66	88	82	30	VIII

Beobachter: H. Amsler-Baumann

Aarau

Bewölkung				Niederschlag		Zahl der Tage							Windverteilung								1980			
7 ³⁰	13 ³⁰	21 ³⁰	Mittel	Summe	Maximum Tag	●	◐	◑	★	▲	◄	≡	beiter	trüb	N	NE	E	SE	S	SW		W	NW	Galen
9.3	6.8	7.8	8.0	38	9	11	9	7	3	—	—	23	1	20	2	3	2	1	—	7	9	7	02	Januar
6.6	5.0	4.4	5.3	24	4	15	10	9	6	—	—	2	7	12	1	14	14	1	—	—	9	3	42	Februar
7.0	5.4	5.2	5.9	61	13	15	17	12	4	1	1	7	3	8	2	7	1	1	2	4	13	10	53	März
6.6	5.7	6.9	6.4	147	30	29	19	14	1	—	2	2	3	12	4	6	9	—	—	6	15	9	41	April
7.9	6.1	7.2	7.1	189	40	13	21	15	—	—	—	7	—	11	5	2	5	1	—	7	19	16	38	Mai
5.1	3.9	4.8	4.6	99	35	8	13	12	—	—	8	4	3	—	10	15	5	1	—	2	2	18	37	Juni
6.1	5.0	6.0	5.7	298	61	2	20	18	—	1	5	2	3	5	7	1	2	—	—	5	19	13	46	Juli
7.2	4.1	4.4	5.2	127	23	15	14	13	—	—	1	9	4	4	1	6	1	—	—	10	12	16	47	August
6.8	5.4	5.2	5.8	63	14	20	17	13	—	—	1	6	3	6	4	7	2	—	—	2	14	6	55	September
9.2	5.9	7.4	7.5	155	27	5	21	15	1	—	1	14	—	17	1	6	3	—	—	18	20	9	36	Oktober
8.3	5.6	6.7	6.9	128	18	20	19	16	4	—	—	10	—	10	4	—	1	2	—	12	19	8	44	November
8.9	6.7	7.9	7.8	60	11	12	16	13	7	—	—	4	2	21	—	7	20	3	—	3	19	3	38	Dezember
7.4	5.5	6.2	6.4	1389	61	VII	196	157	26	2	19	90	29	126	41	74	65	10	2	76	170	118	539	Jahr

Beobachter: T. Bider

Langenbruck

6.9	6.3	5.5	6.2	48	12	15	10	8	4	—	—	8	6	14	8	—	—	14	27	—	19	14	11	Januar
6.4	6.7	6.2	6.4	31	7	3	11	9	9	—	—	—	8	16	13	3	19	14	7	3	10	3	12	Februar
6.9	7.7	6.4	7.0	57	8	23	17	14	6	—	1	2	4	17	20	2	7	9	2	6	10	20	17	März
7.0	7.8	7.0	7.3	143	29	14	17	15	6	—	1	—	1	14	14	1	12	6	2	3	16	14	22	April
7.5	8.6	8.3	8.1	217	41	7	23	23	—	—	—	3	—	17	24	3	2	3	1	2	20	22	16	Mai
6.1	5.9	6.4	6.1	119	30	18	13	11	—	—	7	—	2	8	1	—	21	15	8	4	6	2	33	Juni
7.2	7.5	7.6	7.4	215	31	6	21	19	—	—	3	—	1	16	14	—	9	9	1	1	21	21	17	Juli
6.1	6.0	5.6	5.9	130	25	15	16	16	—	—	1	1	8	13	15	—	12	5	3	4	12	12	30	August
7.4	6.8	5.8	6.7	64	16	6	18	14	—	—	—	2	—	11	23	6	4	3	6	3	21	6	18	September
7.9	7.0	6.9	7.3	192	36	9	18	17	3	—	—	6	7	21	12	5	4	10	6	1	29	8	18	Oktober
7.1	7.2	6.3	6.9	164	26	3	19	16	4	—	—	—	1	14	10	3	11	6	1	5	25	13	16	November
8.4	8.5	7.4	8.1	61	10	12.29	14	14	4	—	—	5	3	23	16	4	10	13	4	5	18	7	16	Dezember
7.1	7.2	6.6	7.0	1441	41	V	197	176	36	—	13	27	41	184	170	27	111	107	68	37	207	142	226	Jahr

Beobachter: M. Illi

Weissenstein

4.1	3.9	4.5	4.3	65	18	2	9	7	9	—	—	7	12	8	12	1	3	5	18	16	16	5	17	Januar
6.5	5.4	6.1	6.0	63	22	3	9	8	9	—	—	12	6	12	32	5	8	7	7	10	3	3	9	Februar
5.6	5.7	5.9	5.7	56	14	13	15	13	7	—	—	14	9	14	28	6	7	6	7	10	15	9	5	März
6.6	6.4	7.3	6.8	83	15	14	15	15	9	—	—	9	3	13	35	7	4	9	10	9	11	3	2	April
7.0	7.6	7.1	7.2	129	18	13	21	19	5	—	—	9	1	17	20	—	4	13	10	16	19	8	3	Mai
3.8	3.5	4.3	3.9	75	18	7	11	10	—	—	—	1	10	3	39	4	7	5	3	2	11	10	9	Juni
5.5	6.2	5.9	5.9	213	49	18	21	19	—	—	—	10	6	9	14	1	4	8	6	19	37	2	2	Juli
5.1	4.9	4.5	4.8	128	24	14	15	12	—	—	—	14	12	10	16	—	5	5	11	7	30	9	10	August
6.4	5.9	6.4	6.2	75	11	6	17	14	—	—	1	11	5	11	22	1	3	1	2	13	33	13	2	September
7.2	6.2	6.5	6.6	272	99	5	18	17	8	—	—	14	8	18	10	—	2	2	6	18	43	10	2	Oktober
6.3	6.6	7.2	6.7	281	46	20	19	18	4	—	—	14	4	12	11	2	5	7	8	18	24	15	—	November
5.6	6.6	5.8	6.0	76	14	30	14	12	11	—	—	19	7	11	22	4	11	3	5	13	27	6	2	Dezember
5.8	5.7	6.0	5.8	1516	99	X	184	164	62	—	17	134	83	138	261	31	63	71	93	151	269	93	63	Jahr

Beobachter: B. u. G. Glutz

Solothurn

9.6	8.5	7.4	8.5	66	23	11	10	7	4	—	—	17	—	21	—	2	6	2	—	3	22	3	55	Januar	
7.0	5.6	5.1	5.9	37	?	—	9	6	6	—	—	1	6	9	—	16	14	2	—	1	2	3	46	Februar	
6.3	6.5	5.1	6.0	69	10	13	17	14	4	—	1	1	6	13	—	—	10	4	—	4	12	15	48	März	
7.1	7.0	5.9	6.7	112	18	14	17	15	2	—	1	2	2	14	—	4	12	—	—	4	7	9	54	April	
8.3	8.0	7.2	7.8	171	38	13	22	19	—	—	—	5	—	16	1	5	4	2	1	3	12	14	51	Mai	
5.9	4.3	5.0	5.1	115	38	7	12	11	—	—	—	6	4	3	1	—	10	8	8	1	2	7	5	49	Juni
6.8	6.4	6.3	6.5	284	41*	18	21	18	—	—	—	1	1	10	2	3	6	3	—	7	3	23	46	Juli	
6.3	5.0	4.5	5.3	150	42	15	15	13	—	—	—	2	7	6	—	3	6	3	1	6	8	16	50	August	
8.0	6.0	5.7	6.6	64	11	10	18	14	—	—	—	1	3	11	—	4	5	3	—	4	1	15	58	September	
9.9	7.2	7.2	8.1	224	58	5	19	18	1	—	—	9	—	21	—	3	3	2	—	9	12	21	43	Oktober	
7.9	6.4	6.6	7.0	203	38	3	18	16	3	—	—	5	1	11	—	1	7	—	—	1	26	8	47	November	
8.7	7.1	7.6	7.8	79	11	29	14	13	3	—	—	5	1	19	—	12	17	3	—	4	8	1	48	Dezember	
7.7	6.5	6.1	6.8	1574	58	X	192	164	23	—	10	55	30	152	3	63	98	32	3	48	120	133	595	Jahr	

Langnau i. E.

$\lambda = 7^{\circ}47'$, $\beta = 46^{\circ}56'$, $H = 685^m$, $G = -\frac{m}{m}$, $h_r = 1.6^m$

1930	Luftdruck				Luft-Temperatur						Relative Feuchtigkeit							
	Mittel	Minimum Tag	Maximum Tag		7 ³⁰	13 ³⁰	21 ³⁰	Mittel	Minimum Tag	Maximum Tag	7 ³⁰	13 ³⁰	21 ³⁰	Mittel	Minimum Tag			
Januar	—	—	—	—	-0.1	4.7	0.6	1.4	-5.0	24	9.0	13	93	74	95	87	50	13
Februar	—	—	—	—	-3.2	2.8	-1.6	-0.9	-9.6	11	8.8	28	90	64	87	80	42	28
März	—	—	—	—	1.4	8.5	3.2	4.1	-8.1	21	14.0	28	96	61	92	83	37	31
April	—	—	—	—	5.3	11.8	6.1	7.3	0.8	14	21.4	28	94	60	92	82	36	11
Mai	—	—	—	—	8.7	14.0	9.1	10.2	2.0	8	22.8	30	90	61	95	82	35	17
Juni	—	—	—	—	16.0	22.2	15.2	17.1	11.0	2	25.2	11.23	84	55	94	78	37	18
Juli	—	—	—	—	14.4	19.4	13.8	15.3	8.5	13	27.9	5	86	57	92	78	38	1
August	—	—	—	—	13.9	20.3	14.5	15.8	9.6	16.17	26.8	28	91	58	94	81	40	17
September	—	—	—	—	11.8	17.8	12.1	13.4	6.4	27	25.3	6	96	61	96	84	41	1
Oktober	—	—	—	—	6.0	12.0	7.0	8.0	0.0	28	17.0	16	96	69	96	87	44	18
November	—	—	—	—	3.9	8.6	4.7	5.5	-2.8	13	15.2	21	93	71	91	85	43	13
Dezember	—	—	—	—	-0.9	2.2	-0.3	0.2	-7.2	11	7.3	7	95	79	92	89	45	8
Jahr	—	—	—	—	6.4	12.0	7.0	8.1	-9.6	11	27.9	VII	92	64	93	83	35	V

St. Beatenberg

$\lambda = 7^{\circ}48'$, $\beta = 46^{\circ}41'$, $H_b = 1148^m$, $G = -0.05 \frac{m}{m}$, $h_r = 1.1^m$

Januar	663.4	646.6	31	675.7	18	1.2	4.2	1.2	2.0	-4.0	1	9.0	26	63	59	64	62	32	19
Februar	661.4	642.7	1	669.0	24	-3.1	-0.2	-2.5	-2.1	-8.6	10	6.6	28	73	69	74	72	36	14
März	661.3	648.9	13	674.1	4	1.8	5.5	2.1	2.9	-5.2	21	10.8	28	70	66	73	70	36	6
April	657.9	645.9	14	666.5	8	4.6	8.9	3.9	5.3	-1.4	18	19.6	28	76	60	78	71	31	28
Mai	665.3	654.1	7	673.5	16	6.5	10.3	6.5	7.4	0.2	10	19.2	18	79	72	80	77	45	17
Juni	665.9	661.0	26	669.6	20	13.8	18.9	13.1	14.7	10.6	8	22.2	23	81	65	83	76	43	2
Juli	664.7	653.4	18	669.6	7	11.9	15.7	11.5	12.7	5.0	13	24.4	5	81	69	79	76	50	17.21
August	667.6	660.5	14	673.4	25	12.4	16.8	12.7	13.7	6.9	8	23.3	28	79	68	79	75	43	16
September	665.8	657.8	12	671.6	2	11.0	14.3	10.4	11.5	4.1	27	21.6	6	82	73	82	79	50	7
Oktober	664.4	653.1	25	673.5	3	5.5	8.9	5.5	6.4	-2.8	28	14.4	12.16	77	74	80	77	40	15
November	664.9	646.0	4	677.7	12	4.3	6.6	4.4	4.9	-3.0	12	12.4	26	68	67	66	67	33	24
Dezember	662.0	650.8	31	674.7	18	-1.7	0.4	-1.3	-1.0	-9.3	11	10.4	1	73	74	74	74	28	26
Jahr	663.7	642.7	11	677.7	XI	5.7	9.2	5.6	6.5	-9.3	XII	24.4	VII	75	68	76	73	28	XII

Interlaken (Unterseen)

$\lambda = 7^{\circ}51'$, $\beta = 46^{\circ}42'$, $H_b = 594.7^m$, $G = 0.04 \frac{m}{m}$, $h_r = 1.5^m$

Januar	709.8	692.5	31	723.2	18	0.8	4.8	1.6	2.2	-3.4	22	13.8	13	90	70	81	80	18	13
Februar	708.4	688.1	1	716.5	12	-1.9	3.1	-0.1	0.3	-5.8	19	7.4	27	83	57	72	71	38	25
März	707.8	695.0	18	720.5	4	2.1	8.6	5.0	5.2	-4.8	21	13.0	14	89	53	74	72	30	31
April	703.6	691.7	14	712.5	8	5.9	12.6	7.4	8.3	1.0	4	22.2	28	83	50	74	69	25	28
Mai	709.7	698.9	7	716.6	17	8.5	14.1	9.5	10.4	2.4	8	23.0	30	88	52	81	74	31	19
Juni	710.6	704.8	2	714.6	21	15.9	23.1	16.2	17.9	12.8	3	25.6	2	79	43	79	67	30	2
Juli	709.6	697.2	18	714.5	7	13.6	19.4	14.4	15.4	8.2	11	28.2	5	86	50	79	72	29	1
August	712.5	705.4	14	718.1	25	13.7	20.9	15.6	16.4	9.4	8.17	27.0	28	88	48	82	73	27	15
September	711.2	702.6	12	716.8	3	12.0	18.0	13.1	14.0	6.2	28	25.4	6	93	52	87	77	34	5
Oktober	710.7	699.0	25	720.1	3	5.9	11.3	7.7	8.1	0.4	28	16.8	12	96	60	90	82	41	31
November	710.9	690.2	4	726.0	12	4.4	8.8	5.2	5.9	-1.4	13.21	14.2	25.28	87	62	84	78	32	23
Dezember	709.0	695.8	31	723.6	18	-0.4	2.6	0.3	0.7	-6.4	26	8.6	15	90	71	84	82	46	13
Jahr	709.5	688.1	11	726.0	XI	6.7	12.3	8.0	8.7	-6.4	XII	28.2	VII	88	56	81	75	18	1

Meiringen

$\lambda = 8^{\circ}12'$, $\beta = 46^{\circ}44'$, $H_b = 604.7^m$, $G = 0.03 \frac{m}{m}$, $h_r = 1.6^m$

Januar	709.1	692.3	31	722.4	18	1.1	4.7	1.7	2.3	-6.4	24	12.4	26	82	64	78	75	17	5
Februar	707.4	687.1	1	715.4	12	-2.2	3.2	-0.1	0.2	-6.7	12	10.2	27	81	47	70	66	18	1
März	706.8	693.5	18	719.9	5	2.4	9.1	5.7	5.7	-5.0	21	13.6	2	89	45	65	66	18	31
April	702.7	691.0	14	711.4	8	6.3	12.7	9.0	9.2	1.0	4	20.2	28	81	41	63	62	17	21
Mai	708.7	697.8	7	715.7	17	8.8	14.7	10.9	11.3	3.4	8	24.8	30	90	47	75	71	19	30
Juni	709.5	703.9	26	714.2	1	16.3	22.6	17.2	18.3	12.4	25	25.3	16	79	79	73	77	21	2
Juli	708.7	695.9	18	714.0	7	13.9	18.9	15.3	15.9	9.0	14	26.3	1	89	56	86	77	28	20
August	711.6	704.5	2	717.3	25	13.5	19.7	16.2	16.4	9.6	10	25.7	21.28	91	51	84	75	20	21
September	710.4	702.0	12	716.0	3	11.8	17.5	13.8	14.2	6.7	30	24.3	19	96	57	87	80	18	19
Oktober	709.9	697.7	25	719.4	3	5.4	11.1	7.7	8.0	0.8	28	18.4	12	96	66	92	85	18	12
November	710.3	688.9	4	725.2	12	4.0	8.4	5.7	6.0	-2.7	13	16.5	27	85	61	80	75	18	27.28
Dezember	708.3	694.8	31	722.8	18	-1.8	1.0	-0.9	-0.7	-8.5	26	9.7	29	91	79	90	87	13	29
Jahr	708.6	687.1	11	725.2	XI	6.6	12.0	8.5	8.9	-8.5	XII	26.3	VII	88	58	79	75	13	XII

Beobachter: Frl. R. Zbinden

Langnau i. E.

Bewölkung				Niederschlag		Zahl der Tage							Windverteilung								1930			
7 ³⁰	13 ³⁰	21 ³⁰	Mittel	Summe	Maximum Tag	*	☉	* ☉	☉	☉	☉	☉	☉	☉	☉	☉	☉	☉	☉	☉		☉		
5.8	5.8	4.7	5.4	43	13	15	9	7	5	—	—	6	6	9	—	—	46	—	24	2	19	—	2	Januar
6.9	7.0	6.1	6.7	30	9	15	9	7	9	—	—	—	4	14	21	12	26	—	3	3	12	5	2	Februar
6.5	7.7	5.4	6.5	99	13	18	17	14	7	1	—	—	2	13	5	—	3	—	15	3	38	20	9	März
7.6	8.1	7.0	7.6	213	43	29	15	14	7	1	2	—	2	17	3	3	8	—	4	2	51	3	16	April
7.8	9.1	8.1	8.3	206	27	7	22	22	2	1	3	1	—	17	4	—	6	—	9	9	56	1	8	Mai
6.0	7.3	6.3	6.5	125	32	13	17	14	—	—	8	—	2	9	8	1	11	1	20	6	29	7	7	Juni
6.8	8.1	7.0	7.3	331	82	2	19	17	—	—	4	—	2	18	4	—	2	—	20	8	44	9	6	Juli
5.9	5.8	5.2	5.6	142	26	4	13	13	—	—	3	—	9	12	—	—	13	—	18	1	50	4	7	August
7.7	7.4	6.3	7.1	93	20	20	15	13	—	—	1	1	1	14	—	—	20	—	15	7	43	—	5	September
7.8	7.3	6.8	7.3	163	48	9	19	18	4	—	—	1	5	20	—	—	27	—	9	15	34	—	8	Oktober
7.4	7.6	6.3	7.1	110	22	16	15	13	3	—	—	—	2	14	—	—	21	—	10	18	36	3	2	November
7.7	8.2	7.8	7.9	54	9	29	15	14	8	—	—	—	2	17	—	1	46	2	3	13	22	1	5	Dezember
7.0	7.4	6.4	6.9	1609	82	VII	185	166	45	3	22	11	37	174	45	17	229	3	150	87	434	53	77	Jahr

Beobachter: Fr. Rupp

St. Beatenberg

5.1	5.3	4.3	4.9	42	13	15	8	7	7	—	—	1	7	6	1	1	2	1	1	4	1	32	50	Januar
6.6	6.4	5.3	6.1	33	12	16	9	8	9	—	—	9	5	11	1	—	—	1	—	—	1	15	66	Februar
6.5	7.2	6.5	6.7	92	17	18	16	14	10	—	—	6	1	13	1	—	1	4	1	4	1	15	60	März
7.0	7.2	6.3	6.8	164	30	13	14	14	8	—	2	6	2	12	—	—	2	5	1	1	1	9	71	April
7.0	7.6	7.4	7.3	324	72	13	23	22	2	—	—	7	2	13	1	2	1	3	3	5	3	10	65	Mai
5.7	6.2	6.4	6.1	95	19	23	19	16	—	—	8	2	2	4	—	—	2	11	—	—	—	21	56	Juni
5.9	6.9	7.1	6.6	205	45	18	23	19	—	2	5	2	3	10	—	1	1	4	1	—	1	19	66	Juli
5.2	5.0	4.8	5.0	140	18	12	14	13	—	—	3	4	10	8	—	—	1	8	1	—	1	23	59	August
6.4	6.6	5.3	6.1	135	25	25	18	17	—	—	1	5	4	11	—	—	—	2	—	—	1	7	80	September
6.5	6.2	6.2	6.3	260	40	9	19	19	8	—	—	3	8	17	—	1	—	1	—	2	—	14	75	Oktober
7.6	7.3	5.8	6.9	150	16	16	17	13	4	—	—	5	2	12	—	—	1	4	—	1	7	16	61	November
6.1	7.0	6.8	6.6	68	14	14	13	13	10	—	—	9	3	11	1	—	—	—	—	—	4	18	70	Dezember
6.3	6.6	6.0	6.3	1774	72	V	193	175	58	2	19	59	49	128	5	5	11	44	8	17	21	199	785	Jahr

Beobachter: U. Fuchs

Interlaken (Unterseen)

7.1	5.6	5.1	5.9	30	8	15	8	7	2	—	—	7	4	8	3	4	33	1	1	—	10	9	32	Januar
7.2	6.2	5.6	6.3	20	7	16	9	5	4	—	—	—	2	10	1	1	10	3	—	3	14	12	40	Februar
6.5	6.8	5.8	6.4	70	14	18	16	13	6	—	—	—	3	12	4	3	14	2	1	1	13	23	32	März
6.4	6.3	6.3	6.3	133	25	13	14	13	4	—	—	—	5	13	3	3	13	1	1	2	16	22	29	April
7.5	7.5	6.9	7.3	248	57	14	22	21	—	—	—	—	1	11	8	1	15	2	1	—	15	25	26	Mai
5.2	5.4	7.5	6.0	80	24	23	12	10	—	1	4	1	1	6	4	1	23	—	—	2	14	13	33	Juni
5.8	6.8	7.8	6.8	229	46	18	22	17	—	—	3	—	3	10	13	2	24	—	—	—	11	23	20	Juli
5.4	4.6	5.3	5.1	142	22	2	14	13	—	—	2	—	10	10	5	1	8	1	—	1	10	22	45	August
7.2	6.4	5.9	6.5	118	27	25	15	14	—	—	—	—	2	13	3	2	11	2	—	2	10	28	32	September
6.7	6.1	6.9	6.6	195	51	9	19	18	5	—	—	—	6	17	3	5	27	3	—	—	3	31	21	Oktober
7.2	6.5	6.2	6.6	115	38	16	16	11	1	—	—	—	3	12	7	2	36	5	1	1	3	12	23	November
7.9	7.6	7.4	7.6	51	12	14	12	12	8	—	—	—	2	16	3	1	40	3	—	1	7	6	32	Dezember
6.7	6.3	6.4	6.5	1431	57	V	179	154	30	1	9	8	42	138	57	26	254	23	5	13	126	226	365	Jahr

Beobachter: A. Michel

Meiringen

5.9	5.8	5.5	5.7	36	11	12	8	7	4	—	—	—	5	11	—	—	14	1	—	—	5	2	71	Januar
7.2	5.5	5.6	6.1	17	11	15	5	4	5	—	—	—	5	13	—	—	3	—	—	—	8	4	69	Februar
6.2	6.8	6.5	6.5	72	15	18	13	13	8	—	—	1	1	10	—	—	6	—	—	—	3	16	68	März
7.0	6.7	7.8	7.2	146	32	4	13	13	5	—	1	—	2	16	—	—	10	—	—	—	8	8	64	April
7.3	7.6	7.9	7.6	227	42	18	20	16	2	—	—	—	—	13	1	—	3	3	—	—	4	18	64	Mai
4.2	4.6	6.3	5.0	97	22	28	12	9	—	—	3	—	1	2	—	—	1	2	—	1	2	23	61	Juni
5.5	6.8	8.4	6.9	217	52	18	19	19	—	—	3	—	—	9	—	—	1	2	—	—	2	21	67	Juli
4.9	5.0	5.8	5.2	142	21	19	12	12	—	—	1	—	8	8	—	—	2	1	—	—	3	16	71	August
6.7	6.5	7.0	6.7	162	29	7	14	14	—	—	1	—	2	12	—	—	3	—	—	1	2	19	65	September
6.9	6.6	6.5	6.7	205	47	9	18	16	3	—	—	—	5	17	—	—	1	1	—	1	8	20	62	Oktober
7.3	6.7	6.0	6.7	181	46	16	18	18	1	—	—	2	2	10	—	—	10	1	—	—	4	5	70	November
7.6	6.7	7.8	7.4	62	13	29	14	13	9	—	—	5	—	14	—	—	—	3	—	—	—	2	88	Dezember
6.4	6.3	6.8	6.5	1564	52	VII	166	154	37	—	9	8	31	135	1	—	54	14	—	3	49	154	820	Jahr

Guttannen

$\lambda = 8^{\circ} 17', \beta = 46^{\circ} 39', H_b = \text{ca. } 1035^m, G = -0.04 \frac{m}{m}, h_r = 1.5^m$

1930	Luftdruck				Luft-Temperatur							Relative Feuchtigkeit							
	Mittel	Minimum Tag	Maximum Tag		7 ⁰⁰	13 ⁰⁰	21 ⁰⁰	Mittel	Minimum Tag	Maximum Tag		7 ⁰⁰	13 ⁰⁰	21 ⁰⁰	Mittel	Minimum Tag			
Januar	670.8	655.3	31	682.8	18	1.1	3.5	2.1	2.2	-5.9	1	9.8	14	70	64	68	67	36	15
Februar	668.5	649.5	1	676.0	12	-2.9	1.0	-1.6	-1.3	-7.8	9.12	7.4	28	72	62	70	68	25	10
März	668.7	657.4	20	681.5	4	1.7	6.6	3.3	3.7	-8.0	21	14.5	3	75	59	72	69	33	3
April	665.2	652.7	14	673.7	8	4.2	8.8	5.4	6.0	-0.8	16	17.6	27	80	59	76	72	35	27
Mai	671.1	661.2	7	678.0	17	6.6	11.3	8.2	8.6	0.5	9	19.9	30	81	62	79	74	38	20
Juni	672.9	668.1	27	676.7	21	13.3	20.5	15.0	16.0	10.8	10.15	24.1	12	80	54	76	70	35	12
Juli	671.8	660.1	18	677.0	7	11.4	16.5	13.2	13.6	5.4	14	24.3	4	85	63	81	76	39	21
August	674.6	667.9	14	680.7	25	11.7	17.8	13.9	14.3	5.6	17	25.0	28.27	82	61	79	74	38	17.21
September	673.2	665.4	12	678.8	2.3	10.8	15.1	11.7	12.3	5.4	27	22.1	1.5	82	66	81	76	40	19
Oktober	671.9	659.4	25	681.3	3	4.9	9.0	6.3	6.6	-1.5	28	17.0	19	81	70	80	77	27	19
November	672.2	651.7	4	685.6	12	3.7	5.6	4.4	4.5	-3.5	13	12.8	22	74	70	72	72	30	2
Dezember	669.4	658.1	31	683.2	19	-2.8	-1.1	-2.0	-2.0	-10.8	25	7.0	1	80	78	81	80	28	29
Jahr	670.9	649.5	11	685.6	XI	5.3	9.5	6.6	7.0	-10.8	XII	25.0	VIII	79	64	76	73	25	II

Adelboden

$\lambda = 7^{\circ} 35', \beta = 46^{\circ} 30', H = \text{ca. } 1365^m, G = - \frac{m}{m}, h_r = 1.5^m$

Januar						-0.4	4.0	0.2	1.0	-8.0	1	10.0	4.5	63	53	63	60	28	19
Februar						-4.0	0.5	-3.7	-2.7	-9.0	20	8.4	27	60	57	76	66	33	14
März						1.1	6.7	1.0	2.4	-6.4	12	11.0	30	62	51	73	62	28	10
April						3.5	8.6	2.8	4.4	-2.5	15	20.2	27	71	53	77	67	35	10.11
Mai						6.3	11.0	5.8	7.2	-0.1	9	19.8	31	71	50	78	68	35	5
Juni						14.0	19.3	12.6	14.6	10.2	2.3	22.8	23	62	53	79	65	32	1
Juli						12.1	17.1	10.7	12.7	4.6	13	24.2	5	60	55	77	64	32	29
August						12.5	18.0	12.1	13.7	7.0	16	24.2	28	61	53	71	62	35	21
September						9.8	14.9	9.8	11.1	3.6	27	22.0	1.19	70	61	77	69	27	19
Oktober						5.3	9.3	5.3	6.3	-3.6	28	16.4	4	69	59	77	68	29	4
November						3.6	6.3	4.0	4.5	-4.0	5	14.0	22	63	56	61	60	26	2
Dezember						-3.2	0.6	-2.5	-1.9	-13.0	24	11.8	2	65	57	64	62	22	29
Jahr						5.0	9.7	4.8	6.1	-13.0	XII	24.2	VII VIII	65	55	73	64	22	XII

Adelboden. Beobachterwechsel im Oktober.

Freiburg

$\lambda = 7^{\circ} 9', \beta = 46^{\circ} 47', H_b = 670^m, G = - \frac{m}{m}, h_r = 1.6^m$

Januar						0.1	3.5	1.0	1.4	-5.2	20	9.1	13	88	79	89	85	48	8
Februar						-2.5	1.5	-0.6	-0.6	-9.0	11	7.7	28	89	70	84	81	47	26
März						2.4	7.4	4.6	4.8	-4.7	21	12.9	29	87	64	81	77	37	10
April						5.6	11.0	7.4	7.9	1.0	16	19.4	28	91	64	82	79	38	11
Mai						8.7	13.3	9.7	10.4	3.2	8	22.1	18	88	64	86	79	40	20
Juni						15.1	21.2	16.4	17.3	12.4	2	23.9	22	88	54	81	74	38	18
Juli						13.9	18.7	15.0	15.7	8.4	11.12	26.8	5	85	58	76	73	46	16
August						13.9	19.4	15.8	16.2	9.1	17	25.7	28	91	73	90	85	53	1
September						12.2	17.0	13.5	14.0	7.3	30	24.6	1.6	96	78	92	89	56	1
Oktober						6.4	10.5	8.0	8.2	0.7	28	16.2	4	94	85	95	91	65	27
November						4.3	8.2	5.8	6.0	-2.4	13	14.4	21	93	80	88	87	62	28
Dezember						-0.5	1.7	0.3	0.4	-6.6	11.21	8.2	31	95	87	91	91	64	26
Jahr						6.6	11.1	8.1	8.5	-9.0	11	26.8	VII	90	71	86	83	37	III

Marsens

$\lambda = 7^{\circ} 4', \beta = 46^{\circ} 39', H_b = 727^m, G = - \frac{m}{m}, h_r = 1.5^m$

Januar						-0.8	4.7	0.0	1.0	-6.4	24	9.0	13	86	70	85	80	50	13
Februar						-2.9	1.4	-1.4	-1.1	-8.8	12.22	6.6	27	87	62	84	78	32	14
März						2.2	8.5	3.7	4.5	-7.2	21	14.8	31	81	57	78	72	28	31
April						5.0	11.4	6.4	7.3	-1.0	18	20.0	28	83	56	81	73	24	1
Mai						8.8	13.8	9.1	10.2	3.4	8	20.8	17	79	56	83	73	28	20
Juni						15.1	21.7	15.5	17.0	11.4	3	24.4	30	84	53	83	73	38	121.22
Juli						13.9	19.8	14.7	15.8	8.8	12	27.0	5	80	53	75	69	28	14
August						14.7	21.0	15.2	16.5	10.0	8	27.2	28	87	52	86	75	30	31
September						12.9	18.1	13.1	14.3	7.0	28	24.0	1.5	91	61	90	81	34	2
Oktober						6.2	11.9	7.6	8.3	0.8	28	17.0	16	92	67	92	84	27	16
November						3.6	8.8	4.7	5.4	-4.6	13	12.8	21	89	65	89	81	34	15
Dezember						-1.7	2.1	-0.7	-0.2	-10.2	11	8.6	7	94	83	92	90	46	26
Jahr						6.4	11.9	7.3	8.2	-10.2	XII	27.2	VIII	86	61	85	77	24	IV

Beobachter: Hs. Huber

Guttannen

Bewölkung				Niederschlag		Zahl der Tage								Windverteilung								1930		
7 ^h	13 ^h	21 ^h	Mittel	Summe	Maximum Tag	*	≥1.0	*	▲	⊥	≡	heiter	trüb	N	NE	E	SE	S	SW	W	NW		Calmen	
4.2	5.1	3.1	4.1	38	14	15	5	5	5	—	—	1	12	5	—	—	—	30	—	—	—	2	61	
5.2	5.0	4.9	5.0	34	14	16	7	6	7	—	—	1	10	8	—	—	—	24	—	—	—	3	57	
5.6	6.3	5.3	5.7	81	16	18	13	10	11	—	—	1	7	11	—	—	—	24	—	—	—	8	61	
7.2	7.2	6.8	7.1	204	36	4	14	13	8	—	—	2	3	15	—	—	—	18	—	—	2	3	67	
7.1	8.0	7.7	7.6	251	44	14	19	18	6	—	—	1	1	15	—	—	—	15	—	—	5	11	62	
4.0	5.4	5.3	4.9	51	14	23	11	10	—	—	—	2	2	—	—	—	2	12	—	—	1	19	56	
6.0	7.2	8.7	7.3	218	45	18	17	16	—	—	—	2	1	—	—	—	7	—	—	1	7	12	64	
5.4	5.3	6.0	5.6	167	25	15	13	13	—	—	—	2	10	13	—	—	—	6	—	3	3	19	64	
6.7	6.6	6.5	6.6	189	29	20	15	14	—	—	—	1	5	14	—	—	—	11	—	—	4	14	61	
6.3	6.5	5.9	6.2	217	39	9	17	17	7	—	—	—	8	15	—	—	—	11	—	—	2	16	64	
7.1	6.3	5.3	6.2	255	63	29	15	15	2	—	—	1	5	10	—	—	—	2	21	—	—	6	61	
5.5	5.4	5.7	5.5	63	13	12	9	9	9	—	—	—	7	8	—	—	—	8	—	—	—	1	84	
5.9	6.2	5.9	6.0	1768	63	XI	155	146	55	—	—	3	18	71	135	—	—	4	187	—	4	24	114	762

Beobachter: D. Spori, Fr. Klara Spori

Adelboden

4.6	4.5	4.6	4.6	59	19	12	8	8	7	—	—	4	9	6	1	4	1	—	—	—	17	—	70
4.7	5.0	4.3	4.7	25	13	15	4	3	4	—	—	6	8	7	1	5	4	—	—	1	6	—	67
6.6	6.7	6.5	6.6	67	13	23	13	12	10	—	—	6	3	13	3	14	4	—	—	7	11	—	54
6.2	7.5	7.6	7.1	154	28	29	13	13	10	—	—	1	7	2	15	2	13	—	—	1	6	—	68
6.9	7.7	7.1	7.3	254	57	14	23	22	3	—	—	1	5	—	12	2	7	1	—	4	17	—	62
3.5	5.0	6.7	5.1	180	36	23	22	20	—	—	—	1	3	3	4	14	4	—	—	1	8	—	58
5.4	7.1	6.9	6.5	286	44	18	21	21	—	—	—	1	5	2	9	1	11	2	—	6	34	5	34
4.3	4.3	5.2	4.6	145	39	15	13	13	—	—	—	2	12	8	6	18	4	—	—	—	21	2	42
4.9	5.6	6.6	5.7	102	19	25	15	13	—	—	—	—	6	8	13	10	18	—	—	7	22	15	15
6.1	5.9	5.4	5.8	256	63	9	16	16	4	—	—	1	11	16	—	—	—	—	2	10	9	23	49
6.8	5.6	3.5	5.3	161	?	—	13	13	—	—	—	3	5	8	—	—	—	—	—	5	29	7	49
4.8	5.6	5.2	5.2	58	9	30.31	11	11	8	—	—	—	9	7	10	—	—	—	—	6	8	—	79
5.4	5.9	5.8	5.7	1747	63	X	172	165	46	2	16	48	66	115	33	96	28	—	2	48	188	53	647

Beobachter: Frau P. Gockel

Freiburg

6.6	6.5	5.3	6.1	36	17	15	10	8	3	—	—	6	4	11	1	—	—	—	—	32	1	1	58
7.8	6.2	6.4	6.8	42	9	4	8	7	8	—	—	—	5	14	20	4	3	—	2	16	8	1	30
6.8	7.6	5.4	6.6	88	15	18	14	14	6	—	—	1	2	3	11	12	—	1	38	11	8	19	
6.5	7.5	6.6	6.9	121	22	4	16	14	3	—	—	3	14	13	12	1	—	—	27	8	5	37	
7.5	7.8	7.0	7.4	176	26	7	22	18	—	—	—	1	—	14	8	1	1	—	40	9	5	29	
5.7	5.1	5.3	5.4	77	13	24	17	12	—	—	—	8	—	4	6	18	—	1	—	2	19	11	4
5.4	7.0	6.5	6.3	186	42	18	17	15	—	—	—	6	—	4	11	9	—	—	—	35	13	5	31
5.4	5.0	4.6	5.0	128	38	4	12	11	—	—	—	4	—	11	9	8	1	—	—	1	36	14	5
6.3	6.2	4.9	5.8	78	17	11	13	12	—	—	—	1	2	4	7	2	—	—	—	11	40	11	19
7.5	6.5	6.5	6.8	173	41	9	19	18	2	2	—	3	6	16	1	—	—	—	—	46	10	11	25
7.2	6.9	5.4	6.5	107	17	2	16	15	2	—	—	1	16	15	2	—	—	1	1	39	12	1	34
8.1	7.9	7.6	7.9	58	12	29	15	12	6	1	—	5	2	18	11	1	—	—	—	30	6	2	43
6.7	6.7	6.0	6.5	1270	42	VII	179	156	30	3	22	16	60	143	110	11	7	1	7	369	143	59	388

Beobachter: N. Ruffieux

Marsens

5.2	5.0	5.2	5.1	54	20	15	9	8	4	—	—	6	6	8	—	—	—	—	—	—	—	—	—
7.1	6.0	7.1	6.7	36	13	3	8	4	8	—	—	1	—	4	16	—	—	—	—	—	—	—	—
6.5	6.2	5.8	6.2	119	18	18	14	14	5	—	—	1	2	5	14	—	—	—	—	—	—	—	—
6.9	6.9	6.8	6.9	146	34	29	13	13	6	—	—	1	—	3	12	—	—	—	—	—	—	—	—
7.8	7.9	8.0	7.9	148	21	11	20	19	1	—	—	3	2	—	18	—	—	—	—	—	—	—	—
5.4	6.7	6.0	6.0	105	17	23	13	13	—	—	—	2	9	1	2	5	—	—	—	—	—	—	—
6.1	6.2	6.9	6.4	238	52	18	16	15	—	—	—	6	—	3	11	—	—	—	—	—	—	—	—
5.3	4.5	5.3	5.0	131	24	4	11	11	—	—	—	4	—	9	7	—	—	—	—	—	—	—	—
7.0	6.3	7.1	6.8	98	?	—	15	14	—	—	—	2	5	14	—	—	—	—	—	—	—	—	—
7.5	7.1	7.4	7.3	239	45	9	16	16	1	—	—	1	2	4	19	—	—	—	—	—	—	—	—
7.5	6.7	7.2	7.1	147	27	2	15	15	2	—	—	—	3	4	16	—	—	—	—	—	—	—	—
7.8	6.9	8.1	7.6	78	22	31	11	11	5	—	—	1	9	2	19	—	—	—	—	—	—	—	—
6.7	6.4	6.7	6.6	1539	52	XII	161	153	32	2	27	27	47	159	—	—	—	—	—	—	—	—	—

La Chaux-de-Fonds

$\lambda = 60^{\circ} 50'$, $\beta = 47^{\circ} 7'$, $H_b = 986.5^m$, $G = -0.01 \frac{mm}{m}$, $h_r = 1.3^m$

1930	Luftdruck				Luft-Temperatur								Relative Feuchtigkeit						
	Mittel	Minimum Tag	Maximum Tag		7 ⁰⁰	13 ⁰⁰	21 ⁰⁰	Mittel	Minimum Tag	Maximum Tag		7 ⁰⁰	13 ⁰⁰	21 ⁰⁰	Mittel	Minimum Tag			
Januar	675.4	658.4	31	687.4	18	0.0	4.9	0.9	1.7	-4.0	11.21	9.0	120.26	79	65	75	73	33	20
Februar	673.7	654.4	1	680.7	13	-4.1	0.6	-2.7	-2.2	-11.4	22	7.8	28	82	69	77	76	40	26
März	673.6	661.9	18	686.8	4	0.7	5.9	2.3	2.8	-7.6	21	12.2	3	82	65	79	75	37	2
April	670.3	657.8	14	679.1	8	3.4	9.0	4.7	5.4	-2.0	9.16	18.8	28	87	62	80	76	37	28
Mai	676.1	666.6	7	682.9	16	6.4	10.9	7.0	7.8	0.0	9	20.0	18	84	66	84	78	42	20
Juni	677.9	672.9	2	683.3	21	13.8	19.3	14.0	15.3	10.0	8.9	22.8	30	80	58	82	73	34	30
Juli	676.7	666.0	18	682.2	9	11.9	16.1	12.2	13.1	6.4	12	26.0	5	81	62	83	75	40	5
August	679.6	671.6	14	685.5	24	12.3	17.9	13.4	14.2	7.0	17	26.2	28	82	59	82	74	31	17
September	678.2	670.3	12	683.7	2.3	10.2	15.2	11.2	12.0	4.4	30	23.6	6	86	64	84	78	33	19
Oktober	676.9	664.5	25	685.8	3	4.9	10.7	6.1	6.9	-2.0	28	18.0	16	87	69	87	81	34	15
November	674.9	656.3	4	690.9	12	3.1	6.9	4.2	4.6	-3.4	24	12.4	28	84	69	80	78	34	14.15
Dezember	674.7	662.2	31	687.3	18	-2.1	1.5	-1.2	-0.8	-10.0	21	10.0	1	85	77	86	83	40	20
Jahr	675.8	654.4	II	690.9	XI	5.0	9.9	6.0	6.7	-11.4	II	26.2	VIII	83	65	82	77	31	VIII

Lausanne (Champ de l'Air)

$\lambda = 60^{\circ} 38'$, $\beta = 46^{\circ} 31'$, $H_b = 552.9^m$, $G = 0.01 \frac{mm}{m}$, $h_r = 1.4^m$

Januar	712.8	695.1	31	725.6	18	2.0	4.6	2.5	2.9	-1.2	20	9.4	13	89	78	88	85	58	5
Februar	711.1	690.9	1	719.2	12	-0.4	3.4	1.0	1.2	-6.2	10	9.8	28	77	62	75	71	42	25
März	710.8	698.5	18	723.5	5	3.7	8.6	5.8	6.0	-1.4	21	14.9	29	82	61	73	72	37	31
April	706.6	694.9	14	715.0	8	7.2	12.2	8.6	9.2	1.0	19	22.9	28	81	59	74	71	30	28
Mai	712.8	703.1	7	719.3	17	10.0	14.5	10.8	11.5	4.8	8	24.0	18	82	61	77	73	30	16
Juni	713.4	707.8	2	717.3	20	17.1	23.3	18.0	19.1	14.0	2	25.7	22	81	54	75	70	39	12
Juli	712.7	702.5	18	717.3	7	15.6	20.0	16.1	17.0	10.6	12	27.5	5	79	56	74	70	44	16.20
August	715.5	709.1	2	720.5	25	15.5	20.8	17.0	17.6	11.0	8	27.0	29	86	59	79	75	39	16
September	714.3	705.8	12	719.6	3	13.5	18.2	14.7	15.3	8.0	27	25.2	1	90	64	82	79	45	5
Oktober	713.9	702.5	25	722.8	3	8.0	11.5	8.7	9.2	2.1	28	18.0	12	92	72	90	85	45	27
November	714.2	693.1	4	728.6	13	6.0	9.4	7.2	7.4	0.8	13	15.3	28	84	67	74	75	40	23
Dezember	712.0	699.5	31	725.8	18	1.0	3.0	1.6	1.8	-4.3	22	8.0	7	90	77	84	84	44	10
Jahr	712.5	690.9	II	728.6	XI	8.3	12.5	9.3	9.9	-6.2	II	27.5	VII	84	64	79	76	30	IV/V

Montreux-Clarens

$\lambda = 60^{\circ} 54'$, $\beta = 46^{\circ} 27'$, $H_b = 412^m$, $G = 0.04 \frac{mm}{m}$, $h_r = 1.5^m$

Januar	726.3	707.7	31	739.6	18	2.5	5.6	3.0	3.5	-1.0	23	12.8	13	91	80	91	87	50	13
Februar	724.5	704.3	1	733.1	12	0.4	4.9	2.3	2.5	-4.5	10.11	8.5	4	85	62	74	74	42	25
März	723.9	711.6	18	736.6	4	4.4	8.8	6.7	6.6	-1.1	21	15.1	29	82	64	74	73	35	10
April	719.5	708.1	14	727.3	8.9	7.6	12.2	10.1	10.0	2.5	18	24.0	28	88	63	73	75	27	28
Mai	725.6	716.0	7	732.2	17	10.9	14.8	11.9	12.4	5.4	9	22.0	18	85	63	78	75	32	19
Juni	726.0	720.4	2	730.3	20	17.9	23.0	19.3	19.9	15.4	3	26.1	22	82	58	76	72	41	29
Juli	725.2	713.1	18	730.2	26	15.9	20.9	17.5	18.0	9.2	12	27.8	4	82	57	76	72	42	10.22
August	728.2	721.3	2	733.2	25	16.1	21.7	18.0	18.4	12.1	9	27.5	24.29	90	65	86	80	42	16
September	727.0	718.8	12	732.4	3	14.1	19.2	15.7	16.2	9.2	16	26.4	1	94	68	89	84	45	21.28
Oktober	727.0	714.9	25	736.0	3	8.7	12.6	10.2	10.4	2.4	27	16.2	4	89	70	90	83	50	22
November	727.4	705.2	4	742.2	13	7.1	10.8	8.2	8.6	1.2	13	16.7	26	81	69	76	75	30	28
Dezember	725.4	712.3	31	739.6	18	1.6	4.4	2.6	2.8	-3.0	20	8.8	6.31	89	72	83	81	42	10
Jahr	725.5	704.3	II	742.2	XI	8.9	13.2	10.5	10.8	-4.5	II	27.8	VII	87	66	80	78	27	IV

Rochers de Naye

$\lambda = 60^{\circ} 59'$, $\beta = 46^{\circ} 26'$, $H_b = 1975^m$, $G = - \frac{mm}{m}$, $h_r = 1.5^m$

Januar	-	-	-	-	-	-2.3	0.5	-1.7	-1.3	-10.0	31	6.2	20	63	49	54	55	4	19
Februar	-	-	-	-	-	-6.8	-2.6	-6.6	-5.7	-12.4	17	6.4	12	67	60	67	65	22	11
März	-	-	-	-	-	-2.8	0.5	-2.7	-1.9	-10.8	12	8.2	2	64	59	65	63	16	6
April	-	-	-	-	-	-0.8	3.1	-1.0	0.1	-8.2	17	12.2	28	70	62	74	69	24	28
Mai	-	-	-	-	-	2.1	5.2	2.2	2.9	-5.8	9	14.2	29	69	63	81	71	25	16
Juni	-	-	-	-	-	9.3	12.8	8.6	9.8	5.6	3	18.1	23	61	60	73	65	30	3
Juli	-	-	-	-	-	7.1	9.3	6.3	7.2	1.0	11	21.0	4	66	67	75	69	29	29
August	-	-	-	-	-	8.7	11.2	8.1	9.0	0.2	15	20.0	27	59	57	71	62	8	18
September	-	-	-	-	-	6.4	9.0	6.5	7.1	-1.0	27	17.0	6	69	60	70	66	26	19
Oktober	-	-	-	-	-	2.5	4.7	2.2	2.9	-7.8	28	13.4	15	62	62	66	63	4	14
November	-	-	-	-	-	0.0	2.1	0.4	0.7	-9.2	12	9.7	10	63	59	57	60	8	13
Dezember	-	-	-	-	-	-3.4	-1.2	-3.4	-2.9	-11.5	10	9.6	2	55	49	53	52	6	3
Jahr	-	-	-	-	-	1.7	4.5	1.6	2.3	-12.4	II	21.0	VII	64	59	67	63	4	I/X

Beobachter: G. Pythoud-Jacot

La Chaux-de-Fonds

Bewölkung				Niederschlag		Zahl der Tage										Windverteilung								1880
7 ³⁰	13 ³⁰	21 ³⁰	Mittel	Summe	Maximum Tag	*	≤10	*	▲	⊘	≡	heiter	trüb	N	NE	E	SE	S	SW	W	NW	Gales		
4.7	4.2	4.9	4.6	64	21	15	10	10	8	—	—	2	10	6	1	—	3	—	12	3	6	—	68	
7.1	7.0	6.1	6.7	58	10	4	14	11	14	—	—	—	6	16	5	—	10	—	8	1	3	—	57	
6.5	7.4	6.1	6.7	95	13	23	15	15	12	—	—	2	3	12	3	—	3	1	21	2	7	—	56	
6.2	7.0	5.7	6.3	114	25	29	20	15	8	—	1	—	7	14	7	—	2	—	3	—	6	—	72	
6.5	8.1	7.1	7.2	253	30	14	23	21	4	—	1	—	3	16	4	—	—	—	15	1	7	—	66	
4.7	6.1	3.6	4.8	170	79	8	13	13	—	—	3	—	10	7	4	—	3	—	—	—	4	—	77	
6.1	7.5	4.4	6.0	283	66	18	20	18	—	—	1	—	7	11	3	—	—	—	12	1	10	—	67	
5.9	5.5	5.0	5.5	125	26	2	17	12	—	—	1	—	10	14	2	—	1	—	7	6	14	—	63	
6.6	6.4	6.3	6.4	126	29	12	17	15	—	—	—	—	6	14	—	—	—	—	12	2	9	1	66	
6.5	6.3	6.1	6.3	223	45	5	17	16	4	—	1	—	11	19	1	—	—	—	8	7	11	—	66	
7.6	6.6	6.7	7.0	209	28	2	15	15	3	—	—	2	3	14	1	—	—	—	13	3	12	—	61	
6.0	6.5	5.8	6.1	115	26	29	14	12	8	—	—	—	8	12	—	1	3	—	6	1	4	—	78	
6.2	6.6	5.6	6.1	1835	79	VI	195	173	61	—	8	6	84	155	31	1	25	1	119	27	93	1	797	
																							Jahr	

Beobachter: F. Monnard

Lausanne (Champ de l'Air)

7.8	6.7	6.2	6.9	57	25	15	10	7	2	—	—	7	2	16	1	14	7	3	5	13	7	1	42
6.4	5.4	4.4	5.4	48	17	1	9	8	3	—	—	—	6	9	—	32	5	5	3	11	5	—	23
6.1	5.9	4.6	5.5	108	15	18	16	15	3	—	1	—	6	8	4	15	3	4	5	29	7	1	25
5.6	6.1	5.5	5.7	152	43	25	16	12	2	—	2	—	9	12	2	19	6	3	7	18	4	3	28
6.8	6.3	6.7	6.6	142	49	7	20	16	—	—	—	—	2	13	3	7	7	2	7	26	10	5	26
4.0	3.5	5.6	4.4	90	19	2	13	11	—	1	11	—	3	—	2	14	3	7	3	28	8	3	22
4.7	4.7	4.9	4.8	247	56	6	20	16	—	2	6	—	6	4	2	19	4	7	8	21	15	3	14
4.4	3.6	4.1	4.0	131	32	4	13	13	—	—	3	—	12	6	3	8	6	6	10	22	9	3	26
6.2	5.1	5.1	5.5	192	66	11	17	12	—	1	1	—	4	5	6	14	7	2	5	27	7	—	22
7.9	5.4	6.9	6.7	181	51	9	18	16	—	—	1	4	2	13	2	11	1	5	5	15	17	2	35
7.0	6.1	5.5	6.2	132	23	2	17	15	—	—	1	1	4	10	2	12	11	11	4	14	13	2	21
8.1	7.5	6.5	7.4	92	20	30	13	11	2	—	—	1	3	17	5	25	7	2	3	16	9	5	21
6.3	5.5	5.5	5.8	1572	66	IX	182	152	12	4	26	13	59	113	32	190	67	57	65	240	111	28	305
																							Jahr

Beobachter: M. Thétaz

Montreux-Clarens

6.0	6.3	4.7	5.7	40	18	15	7	6	1	—	—	6	3	7	1	3	1	2	1	3	8	1	73
6.3	5.2	5.1	5.5	22	6	2	8	6	2	—	—	—	4	6	—	3	—	1	—	2	4	1	73
5.5	5.9	5.6	5.7	99	16	18	15	14	2	—	1	1	7	11	2	4	—	3	1	7	3	3	70
4.9	6.1	5.8	5.6	147	29	29	14	12	—	—	—	—	8	13	—	4	—	2	2	1	3	—	78
6.4	7.0	6.2	6.5	142	35	7	21	17	—	—	1	1	2	9	—	2	—	—	1	2	6	2	80
3.6	4.6	6.1	4.8	153	49	17	22	18	—	—	5	—	3	1	—	—	1	1	4	6	—	—	77
4.3	5.6	4.9	4.9	229	33	11	18	17	—	—	—	—	5	4	—	3	2	3	—	2	9	1	73
4.3	3.6	4.2	4.0	146	39	12	14	13	—	—	—	—	11	4	—	9	—	1	2	5	3	—	73
5.6	5.6	5.4	5.5	128	21	11	17	16	—	—	—	—	7	7	1	7	—	—	—	3	8	—	71
6.1	5.5	6.5	6.0	173	45	9	17	16	—	—	—	—	1	5	13	—	10	3	—	3	4	9	64
6.4	5.6	5.4	5.8	116	28	4	14	12	—	—	—	—	1	5	9	—	5	—	5	3	4	7	65
6.7	7.5	6.8	7.0	81	16	29	13	12	2	—	—	1	1	14	—	5	—	—	—	6	1	4	75
5.5	5.7	5.6	5.6	1476	49	VI	180	159	7	—	7	11	61	98	4	55	7	20	14	43	67	13	872
																							Jahr

Beobachter: Ch. Sauthier

Rochers de Naye

4.8	4.5	4.6	4.6	126	37	11	8	8	8	—	—	9	8	6	5	1	5	5	28	9	7	—	33
6.4	5.3	5.1	5.6	138	32	16	11	11	11	—	—	13	8	11	8	2	2	7	28	9	1	1	26
6.6	7.1	6.7	6.8	278	57	11	17	17	17	—	1	19	2	12	1	11	—	2	17	29	7	1	25
6.5	7.8	6.5	6.9	278	45	14	18	14	13	—	—	17	—	15	5	21	2	1	23	14	3	2	19
7.6	8.8	7.7	8.0	319	62	14	21	20	13	1	—	22	—	17	1	11	1	6	15	32	1	3	23
5.0	7.8	6.3	6.4	247	49	6	22	18	—	1	2	21	—	9	2	1	1	6	4	21	—	9	46
6.2	8.6	6.8	7.2	386	76	18	19	18	3	—	1	21	1	11	12	4	2	7	8	34	6	3	17
5.5	5.6	5.5	5.5	293	53	12	13	12	1	—	—	15	10	11	4	5	1	3	19	31	2	1	27
6.5	7.1	5.8	6.5	244	29	20	16	15	4	1	—	18	5	14	2	6	—	6	17	39	—	—	20
6.6	6.8	6.2	6.5	412	70	9	19	18	14	—	—	16	7	16	—	3	—	—	9	43	1	2	35
6.9	6.3	5.8	6.3	232	56	4	14	13	7	—	—	12	2	9	6	4	—	1	14	50	—	—	15
4.7	4.9	4.9	4.8	232	37	29	13	12	12	—	—	14	10	8	11	4	—	3	10	35	2	—	28
6.1	6.7	6.0	6.2	3185	76	VII	191	176	103	3	4	197	53	139	57	73	14	47	192	346	30	22	314
																							Jahr

Leysin

$\lambda = 7^{\circ}0', \beta = 46^{\circ}21', H_b = 1398^m, G = -\frac{1}{10}m, h_r = 1.5^m$

1930	Luftdruck			Luft-Temperatur						Relative Feuchtigkeit							
	Mittel	Minimum Tag	Maximum Tag	7 ⁰⁰	13 ⁰⁰	21 ⁰⁰	Mittel	Minimum Tag	Maximum Tag	7 ⁰⁰	13 ⁰⁰	21 ⁰⁰	Mittel	Minimum Tag			
Januar	—	—	—	1.1	3.9	1.8	2.1	-4.8	1	8.7	14	56	49	56	54	15	19
Februar	—	—	—	-3.1	1.2	-2.6	-1.8	-7.8	17	6.0	28	66	53	63	61	18	11
März	—	—	—	1.2	5.3	1.8	2.5	-5.6	20	10.8	31	64	54	63	60	21	10.21
April	—	—	—	3.9	8.4	3.6	4.9	-2.8	17.11	17.2	28	63	54	65	61	20	28
Mai	—	—	—	6.5	10.2	5.8	7.1	-1.6	9	19.5	18	65	55	69	63	28	19
Juni	—	—	—	14.8	18.7	12.8	14.8	9.7	24	21.8	5.22	59	52	65	59	22	26
Juli	—	—	—	12.7	15.4	10.9	12.5	5.0	11	24.4	5	62	56	63	60	30	16
August	—	—	—	12.5	17.1	12.6	13.7	4.4	8	25.0	27	63	52	66	60	23	27
September	—	—	—	10.5	14.4	10.9	11.7	2.6	26	23.0	6	68	69	62	66	24	18.19
Oktober	—	—	—	6.0	8.9	6.1	6.8	-3.6	27	16.6	15	59	64	64	62	14	4
November	—	—	—	4.3	6.8	4.5	5.0	-4.1	5	11.5	22	54	56	47	52	7	24
Dezember	—	—	—	-0.8	1.7	-0.6	-0.1	-7.8	23.24	12.4	1	66	64	66	65	18	29
Jahr	—	—	—	5.8	9.3	5.6	6.6	-7.8	II/XII	25.0	VIII	62	57	62	60	7	XI

Leysin. Mehrfacher Beobachterwechsel seit September. Seit 11. Dezember neue Höhe 1350^m.

Montana

$\lambda = 7^{\circ}29', \beta = 46^{\circ}19', H_b = 1453.2^m, G = -0.10 \frac{1}{10}m, h_r = 1.5^m$

Januar	639.4	624.6	31	651.0	18	-0.2	4.2	0.6	1.3	-6.2	1	8.8	19	66	54	64	61	31	19.20
Februar	636.5	618.7	1	644.1	13	-4.3	1.3	-2.7	-2.1	-7.9	17	6.7	28	72	52	69	64	28	11
März	637.1	623.5	12	648.7	4	0.5	5.5	1.7	2.3	-8.1	20	12.2	29	73	58	69	67	32	21
April	633.7	621.3	14	641.9	26	3.9	8.5	4.2	5.2	-2.1	14	16.4	27	76	57	69	67	39	21.21
Mai	639.7	630.0	7	646.8	17	6.2	10.6	6.6	7.5	0.4	8	19.0	30	78	59	73	70	41	4
Juni	642.3	637.8	26	645.8	20	13.8	19.9	13.9	15.4	9.6	2	23.1	5	77	53	69	66	40	12
Juli	640.9	632.6	18	645.2	8	11.8	15.9	11.4	12.6	5.5	19	24.8	5	78	60	73	70	37	4
August	643.8	637.4	14	650.1	25	12.6	17.5	13.2	14.1	5.4	8	26.0	27	73	54	69	65	34	26
September	642.4	635.0	12	647.6	2.3	10.4	15.3	10.7	11.8	3.6	27	22.2	6	81	61	74	72	40	1
Oktober	641.0	628.2	25	650.5	3	4.9	9.0	5.4	6.2	-3.4	26	16.5	16	78	66	79	74	33	15
November	640.9	621.7	4	651.7	13	2.6	5.8	3.0	3.6	-5.6	12	11.4	1	74	65	70	70	32	24
Dezember	637.3	627.8	25	649.0	18	-1.8	2.6	-1.1	-0.3	-8.4	11	11.2	1.2	67	56	71	65	31	23
Jahr	639.6	618.7	II	651.7	XI	5.0	9.7	5.6	6.5	-8.4	XII	26.0	VIII	74	58	71	68	28	II

Reckingen

$\lambda = 8^{\circ}14', \beta = 46^{\circ}28', H_b = 1332.4^m, G = -0.08 \frac{1}{10}m, h_r = 1.6^m$

Januar	648.7	635.4	31	659.3	18	-5.0	1.8	-3.3	-2.4	-14.0	18	6.0	15	80	57	76	71	45	18.22
Februar	—	—	—	—	—	—	—	—	—	—	—	—	—	—	—	—	—	—	—
März	—	—	—	—	—	—	—	—	—	—	—	—	—	—	—	—	—	—	—
April	—	—	—	—	—	—	—	—	—	—	—	—	—	—	—	—	—	—	—
Mai	—	—	—	—	—	—	—	—	—	—	—	—	—	—	—	—	—	—	—
Juni	—	—	—	—	—	—	—	—	—	—	—	—	—	—	—	—	—	—	—
Juli	—	—	—	—	—	—	—	—	—	—	—	—	—	—	—	—	—	—	—
August	650.0	643.8	14	657.0	26	10.6	19.8	12.7	13.9	4.1	16	25.8	31	76	54	67	66	28	26
September	647.4	639.4	25	654.1	3	8.6	18.5	10.1	11.8	0.8	22	24.6	6	87	50	73	70	30	14.7
Oktober	647.5	634.3	25	656.8	3	4.4	10.2	4.5	5.9	-5.4	28	17.8	4	90	58	83	77	25	18
November	647.2	632.9	3	657.2	10.13	0.2	6.3	1.8	2.5	-6.4	6	13.2	10	90	61	85	79	35	6
Dezember	645.1	634.2	11	656.6	18	-5.9	0.7	-3.6	-3.1	-15.4	24	7.8	1	83	61	80	75	40	34.20
Jahr	—	—	—	—	—	—	—	—	—	—	—	—	—	—	—	—	—	—	—

Reckingen. Zusammenstellung unvollständig infolge Beobachterwechsel.

Braggio

$\lambda = 9^{\circ}7', \beta = 46^{\circ}18', H_b = 1332^m, G = -\frac{1}{10}m, h_r = 1.5^m$

Januar	—	—	—	—	—	-0.5	5.2	0.3	1.3	-4.3	8	11.3	3	70	58	73	67	25	13
Februar	—	—	—	—	—	-4.3	2.0	-3.1	-2.1	-6.5	10	7.3	6	76	62	79	72	34	12
März	—	—	—	—	—	0.5	6.0	1.2	2.2	-6.5	21	13.5	28	67	57	72	65	28	6
April	—	—	—	—	—	3.6	7.5	4.0	4.8	0.5	14	15.1	27	78	67	78	74	32	8
Mai	—	—	—	—	—	6.5	10.4	7.2	7.8	1.3	7	19.1	18.31	74	67	77	73	30	15
Juni	—	—	—	—	—	12.6	17.6	13.3	14.2	9.9	2	21.1	15.16	81	68	85	78	49	15
Juli	—	—	—	—	—	12.2	17.6	13.3	14.1	7.1	14.24	23.5	6	70	58	71	66	33	13
August	—	—	—	—	—	12.1	18.1	14.0	14.6	6.9	16	23.9	26	76	63	77	72	36	17
September	—	—	—	—	—	10.3	16.0	11.3	12.2	4.3	27	23.5	2.4	79	67	82	76	33	21
Oktober	—	—	—	—	—	5.0	11.6	5.7	7.0	-2.1	28	18.9	16	67	56	72	65	30	6.16
November	—	—	—	—	—	4.0	9.0	4.3	5.4	-1.9	12	18.5	10	68	59	66	64	15	23
Dezember	—	—	—	—	—	-1.8	3.2	-1.2	-0.2	-5.9	11	15.9	1	69	61	72	67	28	11
Jahr	—	—	—	—	—	5.0	10.3	5.9	6.8	-6.5	II/III	23.9	VIII	73	62	75	70	15	XI

Beobachter: R. Matile; Sanatorium Universitaire Nenchâtelois; M. Baud

Leysin

Bewölkung				Niederschlag		Zahl der Tage										Windverteilung							1980
7 ³⁰	13 ³⁰	21 ³⁰	Mittel	Summe	Maximum Tag	*	W	L	*	▲	⊥	≡	heller	trüb	N	NE	E	SE	S	SW	W	NW	
4.5	4.4	2.4	3.8	59	17	11	9	7	9	—	—	4	14	4	—	—	—	1	—	12	11	12	57
5.8	5.0	4.5	5.1	32	8	3	9	8	9	—	—	3	6	7	—	4	—	—	1	11	7	8	
5.9	7.3	5.8	6.3	115	20	18	17	14	15	—	—	1	6	6	14	—	4	—	1	18	12	4	
5.8	6.9	5.5	6.1	157	34	29	16	14	12	—	—	2	7	7	13	1	4	1	—	12	3	3	
6.6	8.0	7.1	7.2	195	41	13	22	17	7	1	—	11	1	13	2	6	3	2	1	14	6	7	
4.6	5.7	5.3	5.2	98	19	10	22	17	—	—	—	6	9	3	4	6	3	4	1	6	21	7	
4.6	6.4	6.2	5.7	220	31	11	18	17	—	—	—	4	9	5	9	3	9	2	—	1	27	9	
5.1	4.5	4.6	4.7	180	30	2	15	14	—	—	—	2	8	10	7	2	4	—	2	4	20	5	
5.3	6.5	5.2	5.7	145	21	19	17	15	—	—	—	1	10	7	9	4	4	1	3	2	16	6	
6.0	6.5	5.8	6.1	295	61	9	18	18	7	—	—	6	9	15	4	5	—	—	6	17	7	8	
6.4	6.3	4.9	5.9	147	35	4	17	13	3	—	—	3	6	8	1	4	1	2	4	12	18	3	
5.3	6.2	5.4	5.6	93	16	30	12	12	12	—	—	9	8	10	1	2	1	1	1	8	9	12	
5.5	6.1	5.2	5.6	1736	61	X	192	166	74	1	16	85	82	113	24	49	14	14	26	188	100	83	
																							597

Beobachter: Sanatorium La Moubra; A. Niederberger

Montana

5.5	5.4	3.4	4.8	50	25	11	8	6	8	—	—	—	9	8	4	9	37	—	—	—	6	2	35
5.8	4.5	4.6	5.0	27	11	3	8	7	8	—	—	1	10	8	1	3	44	1	—	—	9	—	26
6.2	6.9	5.3	6.1	49	11	19	12	11	12	—	—	1	—	3	11	—	3	2	—	3	20	3	
6.3	7.2	6.1	6.5	65	16	29	11	8	7	—	—	—	1	10	4	3	26	1	—	4	16	5	
7.1	7.7	6.4	7.1	105	28	13	17	14	1	1	—	2	1	11	2	4	20	4	—	1	34	7	
4.8	5.0	5.9	5.2	26	11	14	8	5	—	—	—	6	—	1	2	8	20	2	4	7	12	4	
5.8	6.5	5.2	5.8	102	23	18	16	15	—	—	—	1	—	1	5	4	2	11	1	1	3	40	
4.9	4.5	4.6	4.7	57	17	14	11	8	—	—	—	1	—	10	6	2	—	19	—	1	2	36	
6.9	6.5	7.3	6.9	61	13	9	12	9	—	—	—	5	8	2	7	11	—	1	2	3	28	3	
7.1	6.8	6.3	6.7	195	39	9	18	18	9	1	—	5	16	—	4	23	—	—	—	4	23	8	
6.9	6.1	5.3	6.1	154	28	3	13	11	4	—	—	—	4	8	2	7	25	—	—	—	23	4	
5.5	5.6	4.6	5.2	49	21	30	10	8	10	—	—	—	9	10	—	2	20	—	—	—	17	—	
6.1	6.1	5.4	5.8	940	39	X	144	120	59	2	9	3	59	103	23	52	288	12	8	27	264	47	
																							374

Beobachter: A. Briw, Fr. K. Weissen

Reckingen

5.5	4.9	4.7	5.0	—	—	—	—	—	—	—	—	1	8	9	2	—	—	—	—	13	6	7	65
—	—	—	—	—	—	—	—	—	—	—	—	—	—	—	—	—	—	—	—	—	—	—	—
—	—	—	—	—	—	—	—	—	—	—	—	—	—	—	—	—	—	—	—	—	—	—	—
—	—	—	—	—	—	—	—	—	—	—	—	—	—	—	—	—	—	—	—	—	—	—	—
—	—	—	—	—	—	—	—	—	—	—	—	—	—	—	—	—	—	—	—	—	—	—	—
4.9	4.7	5.1	4.9	—	—	—	—	—	—	—	—	2	9	7	4	3	—	—	—	—	2	47	37
5.8	5.8	6.6	6.1	—	—	—	—	—	—	—	—	2	3	10	12	1	—	—	—	4	9	26	38
7.0	6.2	5.9	6.4	—	—	—	—	—	—	—	—	1	8	17	5	2	—	—	—	4	16	21	45
6.3	5.6	5.9	5.9	—	—	—	—	—	—	—	—	—	6	12	1	3	5	—	—	1	23	13	44
5.2	4.1	2.8	4.0	—	—	—	—	—	—	—	—	1	12	6	—	—	—	—	—	3	8	5	77
—	—	—	—	—	—	—	—	—	—	—	—	—	—	—	—	—	—	—	—	—	—	—	—
																							—

Beobachter: C. Berera

Braggio

4.5	5.1	4.5	4.7	63	23	9	8	8	7	—	—	1	12	10	6	2	5	1	2	—	—	—	77
7.2	6.1	5.6	6.3	28	21	1	7	5	7	—	—	5	6	14	5	—	4	1	12	1	—	—	61
4.5	6.4	4.5	5.1	101	37	18	10	9	10	—	—	3	11	10	14	—	6	2	10	1	—	1	59
7.5	8.9	6.4	7.6	170	49	13	13	12	4	—	—	1	5	1	14	4	2	2	—	6	1	—	75
6.7	7.9	6.4	7.0	161	43	7	14	12	3	—	—	3	3	13	7	4	3	5	10	5	1	1	57
5.5	8.0	7.0	6.8	238	48	26	19	18	—	—	—	3	8	4	1	10	4	2	13	2	11	1	57
3.8	6.2	5.3	5.1	229	69	23	12	12	—	—	—	1	6	3	5	6	13	2	11	5	15	7	39
5.0	5.3	4.7	5.0	152	41	7	8	8	—	—	—	1	2	2	9	8	6	6	4	18	4	—	49
5.9	6.5	5.1	5.8	253	64	11	13	13	—	—	—	1	5	4	5	9	11	1	10	4	12	2	49
5.1	5.5	4.8	5.1	62	22	21	7	7	1	—	—	1	3	8	10	11	—	9	—	8	4	1	59
5.7	6.0	5.7	5.8	91	28	29	11	9	1	—	—	1	3	7	13	5	1	6	3	8	2	1	62
4.7	5.3	4.8	4.9	28	10	8	6	6	6	—	—	—	5	10	8	2	—	4	3	4	—	—	80
5.5	6.4	5.4	5.8	1576	69	VII	128	119	39	6	24	41	78	125	88	20	79	30	116	28	5	5	724
																							724

Bellinzona

$\lambda = 9^{\circ} 1'$, $\beta = 46^{\circ} 12'$, $H_b = 236.6^m$, $G = 0.05^m$, $h_r = 1.6^m$

1980	Luftdruck				Luft-Temperatur							Relative Feuchtigkeit							
	Mittel	Minimum Tag	Maximum Tag		7 ³⁰	13 ³⁰	21 ³⁰	Mittel	Minimum Tag	Maximum Tag	7 ³⁰	13 ³⁰	21 ³⁰	Mittel	Minimum Tag				
Januar	742.2	727.9	30	753.1	18	0.1	4.4	1.4	1.8	-3.6	2	11.0	16	—	—	—	—	—	—
Februar	740.1	720.5	1	749.9	13	0.7	6.2	2.2	2.8	-3.4	11.12	9.2	8	—	—	—	—	—	—
März	737.7	723.7	12	751.7	3	4.9	12.7	7.5	8.1	0.9	10	19.8	5	—	—	—	—	—	—
April	732.9	717.9	14	741.9	26	8.8	14.2	10.4	11.0	4.5	14	20.5	27	80	60	76	72	30	16
Mai	738.4	727.3	8	746.3	29	12.2	18.1	13.6	14.4	6.4	7	28.9	19	75	53	73	67	24	12
Juni	739.6	736.5	27	742.8	5	17.9	25.4	18.4	20.0	14.4	19	31.6	15	79	53	85	72	36	15
Juli	736.5	723.7	18	740.8	4.10	17.2	24.3	18.9	19.8	12.2	25	31.8	6	71	52	67	63	28	19.31
August	740.1	733.1	14	747.1	27	16.7	24.4	19.1	19.8	10.8	18	29.9	29	79	50	79	69	25	15.18
September	739.4	733.1	12	744.2	3	14.9	21.8	16.3	17.3	8.3	27	28.0	8	82	57	80	73	25	8.21
Oktober	739.8	723.8	5	750.4	3	8.3	15.7	10.2	11.1	2.9	29	20.6	1	82	46	77	68	24	10
November	740.7	721.1	4	753.8	13	5.7	11.2	6.9	7.7	0.3	13	18.8	11	84	58	77	73	13	23
Dezember	739.5	729.5	11	752.5	19	1.8	6.0	1.6	2.8	-4.1	21	12.5	1	80	57	82	73	22	10
Jahr	738.9	717.9	IV	753.8	XI	9.1	15.4	10.5	11.4	-4.1	XII	31.8	VII	—	—	—	—	—	—

Locarno (Muralto)

$\lambda = 8^{\circ} 48'$, $\beta = 46^{\circ} 10'$, $H_b = 238.7^m$, $G = 0.05^m$, $h_r = 1.2^m$

Januar	743.4	729.2	30	755.0	18	1.5	5.0	2.5	2.9	-0.8	2.8.22	8.8	17	76	69	74	73	44	2
Februar	741.4	721.4	1	751.3	14	1.9	6.2	3.2	3.6	-2.0	11	8.8	8	59	49	54	54	32	8
März	739.0	725.0	12	753.2	3	5.7	12.4	8.4	8.7	1.8	20.31	20.2	27	58	42	50	50	18	13
April	734.4	717.8	14	743.0	26	9.6	14.3	11.2	11.6	6.0	14	20.5	27	67	50	57	58	24	17
Mai	739.8	728.7	8	747.5	29	12.5	17.5	13.5	14.2	7.5	8	24.0	18	65	47	56	56	12	19
Juni	741.1	738.3	27	744.4	5	18.0	23.5	18.7	19.7	15.6	17.27	27.2	16	74	47	67	63	34	8
Juli	738.4	727.9	18	743.4	27	17.6	23.6	18.8	19.7	13.0	24	28.8	7	64	44	56	55	19	31
August	742.0	734.5	14	748.8	27	17.6	23.8	19.2	20.0	13.2	11.16	28.8	28.28	72	44	61	59	19	15.16
September	741.0	734.4	26	746.0	3	15.5	21.2	16.7	17.5	10.8	27	26.8	2.6	75	51	68	65	20	21
Oktober	741.1	724.6	25	752.2	3	9.3	15.4	10.9	11.6	5.0	29	20.0	13	69	46	60	58	16	27
November	742.2	722.6	4	755.7	13	6.6	11.3	7.9	8.4	2.4	14	17.6	23	66	57	60	61	3	23
Dezember	740.7	730.9	12	753.7	19	2.6	6.4	3.5	4.0	-1.8	21	11.8	1	68	59	64	64	26	10
Jahr	740.4	717.8	IV	755.7	XI	9.9	15.0	11.2	11.8	-2.0	11	28.8	VII VIII	68	50	61	60	3	XI

Monte Generoso

$\lambda = 9^{\circ} 1'$, $\beta = 45^{\circ} 56'$, $H_b = 1610.4^m$, $G = -0.13^m$, $h_r = 1.4^m$

Januar	—	—	—	—	—	—	—	—	—	—	—	—	—	—	—	—	—	—	—
Februar	—	—	—	—	—	—	—	—	—	—	—	—	—	—	—	—	—	—	—
März	—	—	—	—	—	—	—	—	—	—	—	—	—	—	—	—	—	—	—
April	621.2	605.9	14	629.7	26	0.7	4.1	0.9	1.7	-3.0	4.5	9.0	28	81	78	86	82	40	17.27
Mai	627.6	615.4	8	635.9	29	4.1	7.5	4.4	5.1	-1.0	7.8.9	14.6	18	71	74	79	75	32	12.19
Juni	631.2	626.2	27	634.5	16	10.3	14.8	10.6	11.6	8.0	2.1.7.9	18.0	15-16 21.28	70	78	83	77	40	19.16 20.29
Juli	628.8	617.5	18	633.8	5	10.5	14.6	10.7	11.6	7.0	2.1.3.5	19.0	9	65	65	71	67	30	13.18
August	632.0	624.3	14	639.3	27	10.5	14.6	11.2	11.9	6.0	8	21.0	28	74	66	65	68	25	14
September	630.1	623.4	26	635.6	2.3	8.8	12.3	9.3	9.9	4.0	20.27	18.0	2	78	74	74	75	22	17
Oktober	627.8	611.3	25	638.0	3	3.5	6.8	3.9	4.5	-2.6	26	11.0	3	66	64	64	65	10	15
November	—	—	—	—	—	—	—	—	—	—	—	—	—	—	—	—	—	—	—
Dezember	—	—	—	—	—	—	—	—	—	—	—	—	—	—	—	—	—	—	—
Jahr	—	—	—	—	—	—	—	—	—	—	—	—	—	—	—	—	—	—	—

Monte Brè (ob Lugano)

$\lambda = 8^{\circ} 59'$, $\beta = 46^{\circ} 1'$, $H = 910^m$, $G = -^m$, $h_r = 1.5^m$

Januar	—	—	—	—	—	1.9	3.0	2.0	2.2	-3.0	24	8.2	3	—	—	—	—	—	—
Februar	—	—	—	—	—	-0.9	0.6	-0.1	-0.1	-3.6	10	4.0	8	—	—	—	—	—	—
März	—	—	—	—	—	3.9	6.6	4.9	5.1	0.0	21	13.4	26	—	—	—	—	—	—
April	—	—	—	—	—	6.7	9.0	7.6	7.7	2.2	15	15.4	27	—	—	—	—	—	—
Mai	—	—	—	—	—	9.8	12.4	10.6	10.9	5.0	7.8	20.0	30	—	—	—	—	—	—
Juni	—	—	—	—	—	16.0	19.2	17.0	17.3	13.0	6	23.0	15	—	—	—	—	—	—
Juli	—	—	—	—	—	16.4	19.3	17.6	17.7	11.8	24	24.4	8	—	—	—	—	—	—
August	—	—	—	—	—	16.4	19.1	17.4	17.6	12.0	8	24.0	28	—	—	—	—	—	—
September	—	—	—	—	—	14.4	17.0	15.7	15.7	8.4	28	23.0	2	—	—	—	—	—	—
Oktober	—	—	—	—	—	8.6	10.9	9.3	9.5	4.2	28	16.0	1	—	—	—	—	—	—
November	—	—	—	—	—	6.5	8.2	6.5	6.9	3.2	12	13.0	15	—	—	—	—	—	—
Dezember	—	—	—	—	—	1.4	2.4	1.2	1.6	-2.6	20	10.4	1	—	—	—	—	—	—
Jahr	—	—	—	—	—	8.4	10.6	9.1	9.3	-3.6	II	24.4	VII	—	—	—	—	—	—

Bernhardin

Die Abendbeobachtung geschieht um 20^h00.

$\lambda = 9^{\circ} 10'$, $\beta = 4^{\circ} 30'$, $H_b = 2073^m$, $G = -0.16 \frac{m}{m}$, $h_r = 7.9^m$

1980	Luftdruck					Luft-Temperatur						Relative Feuchtigkeit							
	Mittel	Minimum Tag	Maximum Tag	7 ^h	13 ^h	21 ^h	Mittel	Minimum Tag	Maximum Tag	7 ^h	13 ^h	21 ^h	Mittel	Minimum Tag	Maximum Tag				
Januar	593.0	583.0	31	603.6	18	-4.7	-2.0	-4.6	-3.9	-10.4	1	5.8	18	68	62	69	66	14	18
Februar	589.8	580.9	1.2	597.4	13	-9.2	-5.7	-8.7	-8.1	-13.0	9.17	-1.4	12	73	63	76	71	24	11
März	590.5	582.2	12.13	601.3	3	-5.2	-0.8	-4.4	-3.7	-14.2	21	6.2	28	68	56	76	67	32	21
April	588.2	581.1	14.16	595.6	26	-1.4	2.0	-1.6	-0.6	-7.4	18	8.6	27	74	59	85	73	30	22
Mai	593.1	584.4	8	601.5	29	2.1	5.0	1.4	2.4	-4.4	8	13.0	31	65	58	83	69	28	9
Juni	597.0	593.8	27	599.9	21	9.2	11.9	8.0	9.2	4.0	2	15.8	16	63	63	79	68	27	19
Juli	595.0	587.0	18	599.5	5	7.3	10.2	6.9	7.6	0.6	12	17.8	5	69	62	83	71	35	9
August	598.0	590.5	14	605.2	26	8.2	10.8	8.7	8.8	0.8	8	20.6	26	68	65	77	70	27	26
September	596.5	590.3	26	603.6	3	5.8	8.5	6.0	6.4	-1.2	27	16.0	6	74	67	82	74	24	3
Oktober	594.0	584.0	26.26	603.4	3	0.2	3.3	0.6	1.2	-9.0	28	9.6	15	66	59	71	65	20	14.16
November	594.0	582.7	4	603.3	13	-1.6	0.7	-1.2	-0.9	-9.6	12	6.0	14.16	75	64	70	70	19	24
Dezember	590.6	583.2	11	600.1	1	-6.2	-3.4	-5.1	-5.2	-13.4	11	5.2	2	64	57	67	63	23	2
Jahr	595.3	580.9	II	605.2	VIII	0.4	3.4	0.5	1.1	-14.2	III	20.6	VIII	69	61	77	69	14	I

Splügen (Dorf)

$\lambda = 9^{\circ} 19'$, $\beta = 46^{\circ} 33'$, $H_b = ca. 1500^m$, $G = -0.10 \frac{m}{m}$, $h_r = 0.8^m$

Januar	635.8	623.1	31	647.5	18	-3.7	0.6	-2.9	-2.2	-13.4	1	7.4	14	64	58	66	62	22	15.14
Februar	632.6	616.2	1	640.7	14	-7.4	-1.2	-6.0	-5.1	-12.5	18	3.5	13.28	83*	65*	75*	74*	?	—
März	632.9	621.3	12.19	644.1	3	-2.8	3.8	-0.7	-0.1	-15.8	21	10.5	29	80	66	76	74	22	29
April	629.9	618.8	15	637.4	26.27	1.8	6.1	2.3	3.1	-2.9	15	14.8	27	83	60	82	75	24	2
Mai	635.3	624.4	8	642.9	17	5.8	9.0	5.2	6.3	0.0	8.9	17.5	31	73	59	83	72	37	4
Juni	638.5	635.3	27	641.3	5.21	12.0	17.3	11.5	13.1	8.5	2	20.9	30	75	52	81	69	35	6
Juli	636.4	626.5	18	640.9	7	10.9	15.2	10.6	11.8	4.3	24	25.0	5	76	54	79	70	32	5
August	639.5	646.9	27	631.3	14	10.2	16.6	11.4	12.4	5.0	8.13	26.0	26	80	51	79	70	25	26
September	637.9	630.5	12	644.4	3	7.3	13.1	8.5	9.3	1.0	26	22.3	6	86	57	87	77	25	3.4
Oktober	636.2	622.7	25	646.8	3	1.5	8.5	2.9	4.0	-6.7	28	16.4	4	80	56	82	73	23	16.16
November	636.6	617.8	4	647.6	13	0.3	4.3	1.0	1.7	-6.9	13	8.5	21	80	62	77	73	35	23
Dezember	633.4	623.4	11	645.3	18	-6.1	-2.1	-5.1	-4.6	-15.5	18	5.9	1	78	61	79	73	32	29
Jahr	635.4	616.2	II	647.6	XI	2.5	7.6	3.2	4.1	-15.8	III	26.0	VIII	78	58	79	72	22	1/III

Vicosoprano

$\lambda = 9^{\circ} 37'$, $\beta = 46^{\circ} 21'$, $H = 1087^m$, $G = - \frac{m}{m}$, $h_r = 1.5^m$

Januar	—	—	—	—	—	-1.1	0.8	-0.3	-0.2	-6.6	24	6.8	3	63	58	67	63	25	3
Februar	—	—	—	—	—	-3.7	-0.7	-3.1	-2.6	-7.4	11	3.4	28	58	54	62	58	28	11
März	—	—	—	—	—	1.0	5.4	2.1	2.6	-5.2	21	11.5	28	55	45	62	54	19	6
April	—	—	—	—	—	5.0	9.4	5.4	6.3	1.0	20	16.7	27	58	48	66	57	24	11
Mai	—	—	—	—	—	8.4	12.0	8.9	9.5	3.8	10	20.5	30	60	53	68	60	27	17
Juni	—	—	—	—	—	14.7	19.3	14.2	15.6	11.5	18	23.5	15	62	50	75	62	30	15
Juli	—	—	—	—	—	14.4	19.0	14.5	15.6	9.8	24	24.5	5	57	45	61	54	23	25
August	—	—	—	—	—	13.1	18.4	14.4	15.1	8.7	16	24.4	26	63	48	66	59	15	17
September	—	—	—	—	—	11.2	15.8	12.4	13.0	5.5	27	21.8	1.5	65	53	68	62	25	17
Oktober	—	—	—	—	—	5.1	9.7	6.0	6.7	1.6	28	14.6	1	63	47	67	59	27	23
November	—	—	—	—	—	4.6	6.3	4.8	5.1	-0.2	7	12.2	9	62	55	60	59	12	24
Dezember	—	—	—	—	—	-1.5	0.1	-1.3	-1.0	-6.8	25	8.5	1	61	52	64	59	21	18
Jahr	—	—	—	—	—	5.9	9.5	6.5	7.1	-7.4	II	24.5	VII	61	51	66	59	15	VIII

Sils-Maria

$\lambda = 9^{\circ} 46'$, $\beta = 46^{\circ} 26'$, $H_b = 1813.6^m$, $G = - \frac{m}{m}$, $h_r = 1.5^m$

Januar	—	—	—	—	—	-8.0*	-2.5*	-6.5*	-5.9*	?	—	?	—	85*	60*	80*	75*	?	—
Februar	—	—	—	—	—	-12.8	-4.2	-10.1	-9.3	-17.2	5	-1.2	28	82	54	78	71	32	12
März	—	—	—	—	—	-6.5	1.4	-4.2	-3.4	-15.6	13	6.4	29	82	51	77	70	27	6
April	—	—	—	—	—	-1.0	4.5	-0.3	0.7	-6.0	21	8.6	27	83	55	84	74	30	8
Mai	—	—	—	—	—	3.4	7.6	3.3	4.4	-2.6	10	14.8	30.31	77	56	80	71	25	13
Juni	—	—	—	—	—	9.6	14.6	9.8	11.0	4.0	1	17.2	16.23	82	57	85	74	32	20
Juli	—	—	—	—	—	9.5	13.8	9.8	10.7	3.8	18	19.4	5	74	55	76	68	30	8.12
August	—	—	—	—	—	8.2	13.9	9.5	10.3	3.0	8	20.4	26	81	57	80	73	20	17
September	—	—	—	—	—	5.9	11.4	7.3	8.0	1.0	27	18.6	1	88	60	81	76	24	3
Oktober	—	—	—	—	—	0.0	6.1	1.5	2.3	-6.4	28	11.0	2	83	50	79	71	25	1
November	—	—	—	—	—	-1.6	3.4	-0.4	0.2	-7.8	12.13	8.0	10	80	51	73	68	25	18
Dezember	—	—	—	—	—	-8.5	-2.6	-7.1	-6.3	-15.0	18	7.4	1	82	57	80	73	30	2
Jahr	—	—	—	—	—	-0.2	5.6	1.1	1.9	-17.2	II	20.4	VIII	82	55	79	72	20	VIII

Beobachter: E. Albertini

Bernhardin

Bewölkung				Niederschlag		Zahl der Tage										Windverteilung								1930	
7 ³⁰	13 ³⁰	21 ³⁰	Mittel	Summe	Maximum Tag	*	≥1.0	*	▲	K	≡	hafter	trüb	N	NE	E	SE	S	SW	W	NW	Calmen			
5.8	5.2	4.7	5.2	149	31	26	12	10	12	—	—	14	7	10	29	—	—	1	48	—	—	—	15	Januar	
5.4	6.4	5.5	5.8	38	18	1	9	7	9	—	—	14	4	10	22	—	—	—	42	—	—	—	20	Februar	
5.3	5.9	5.4	5.5	276	105	18	12	10	12	—	—	9	6	9	44	—	—	—	40	—	—	—	9	März	
6.6	6.9	7.4	7.0	361	97	13	13	12	10	—	—	13	2	11	52	—	—	—	22	—	—	—	16	April	
7.1	7.8	7.8	7.6	305	82	6	16	16	15	—	—	19	—	13	37	—	—	—	36	—	—	—	20	Mai	
5.3	5.7	6.3	5.8	222	81	26	14	14	—	—	3	7	1	7	25	—	—	—	41	—	—	—	24	Juni	
4.8	6.0	6.5	5.8	294	115	23	14	13	2	—	6	10	1	5	46	—	—	—	43	—	—	—	4	Juli	
4.7	5.7	5.3	5.2	215	43	2	12	12	3	—	—	12	8	7	38	—	—	—	48	—	—	—	7	August	
6.7	6.7	6.8	6.7	312	86	11	15	13	5	—	1	16	4	11	44	—	—	—	43	—	—	—	3	September	
5.3	5.5	5.3	5.4	70	24	5	10	9	6	—	—	13	7	7	58	—	—	—	25	—	—	—	10	Oktober	
6.7	6.3	5.4	6.1	363	105	29	13	12	12	—	—	14	5	10	37	—	—	—	38	—	—	—	15	November	
5.5	4.3	4.6	4.8	75	34	9	7	6	5	—	—	8	8	6	41	—	—	—	33	—	—	—	19	Dezember	
5.8	6.0	5.9	5.9	2680	115	VII	147	134	91	—	—	10	149	53	106	473	—	—	1	459	—	—	—	162	Jahr

Beobachter: Frau A. Felix

Splügen (Dorf)

3.0	2.3	2.0	2.4	22	12	11	5	4	5	—	—	—	17	1	2	—	3	—	—	—	22	2	64	Januar	
2.5	1.6	1.0	1.6	24	23	1	2	2	2	—	—	—	19	1	—	—	8	—	—	—	33	2	41	Februar	
3.1	3.4	3.0	3.2	78	28	18	10	9	8	—	—	—	12	2	—	—	17	—	—	—	28	2	46	März	
4.8	4.4	4.0	4.4	125	38	13	11	11	5	—	1	1	8	4	2	3	19	—	1	1	30	1	33	April	
4.4	4.3	4.3	4.3	90	23	7	21	17	1	—	—	—	3	2	3	5	25	—	—	—	30	—	30	Mai	
2.1	2.4	3.1	2.5	132	36	26	14	14	—	—	4	—	13	1	—	—	4	—	—	—	40	—	46	Juni	
2.6	2.6	3.3	2.8	186	78	23	16	16	—	—	2	—	10	3	1	5	24	1	1	2	23	—	36	Juli	
2.5	2.4	2.9	2.6	150	29	2	11	11	—	—	—	—	10	2	—	1	23	—	—	—	20	—	49	August	
3.4	3.4	3.1	3.3	256	59	11	17	17	1	—	1	2	11	3	—	2	17	—	—	—	16	1	54	September	
3.2	2.5	2.1	2.6	100	23	9	10	10	6	—	—	—	14	1	—	2	19	—	—	—	22	3	47	Oktober	
3.7	3.2	1.9	2.9	129	49	29	10	10	2	—	—	—	12	1	—	—	12	—	2	—	25	—	51	November	
2.1	2.0	1.7	1.9	31	11	9	5	4	5	—	—	—	20	1	—	—	4	—	—	1	22	—	66	Dezember	
3.1	3.0	2.7	2.9	1323	78	VII	132	125	35	—	—	8	3	153	22	8	18	175	1	4	4	311	11	563	Jahr

Bewölkung zu klein.

Beobachter: H. Roffler

Vicosoprano

4.0	4.7	4.4	4.4	50	9	11	9	8	5	—	—	—	8	12	—	12	9	—	1	—	—	1	70	Januar	
3.7	5.1	4.9	4.6	12	7	1	3	3	3	—	—	—	10	6	—	10	5	—	—	—	—	—	69	Februar	
4.7	5.7	4.9	5.1	115	32	18	10	8	7	—	—	—	7	9	1	14	5	—	—	—	1	1	71	März	
6.8	7.1	6.0	6.6	135	43	13	13	11	3	—	—	—	3	11	1	11	3	—	—	—	1	—	74	April	
6.6	7.5	7.0	7.0	132	31	6	16	15	—	—	—	1	1	14	2	8	1	—	1	—	—	—	81	Mai	
4.9	6.1	6.7	5.9	108	31	23	16	14	—	—	2	1	1	8	—	5	—	—	1	—	—	—	84	Juni	
3.3	5.4	4.8	4.5	147	47	23	13	13	—	—	4	—	8	3	2	13	3	1	—	1	1	1	71	Juli	
4.6	4.4	4.8	4.6	130	30	7	11	9	—	—	3	—	6	3	1	11	5	—	—	—	—	—	76	August	
5.8	6.4	5.6	5.9	199	50	11	14	13	—	—	3	—	5	11	—	8	3	—	—	—	—	—	79	September	
4.8	5.0	5.4	5.1	68	24	12	7	7	1	—	—	—	1	6	8	1	17	5	—	—	—	—	70	Oktober	
5.8	6.2	5.8	5.9	110	38	29	9	9	—	—	—	2	5	11	—	16	4	—	1	—	—	1	68	November	
4.5	4.8	4.5	4.6	32	14	8	6	5	6	—	—	2	11	10	—	16	3	—	—	—	—	1	73	Dezember	
5.0	5.7	5.4	5.4	1238	50	IX	127	115	25	—	—	12	7	71	106	8	141	46	1	3	2	3	5	886	Jahr

Beobachter: Frau U. Fluor

Sils-Maria

5.5*	5.0*	5.0*	5.2*	19	7	28	10*	6*	10*	—	—	—	—	—	—	—	—	—	—	—	—	—	—	Januar	
4.5	4.3	4.5	4.4	20	6	1	6	6	6	—	—	—	4	10	5	—	1	3	3	15	13	12	37	Februar	
4.9	6.3	5.4	5.5	74	16	19	14	12	14	—	—	—	1	7	9	2	1	7	2	17	16	12	36	März	
6.8	7.5	6.5	6.9	91	24	13	12	10	9	—	—	—	1	2	12	3	1	—	5	4	20	9	12	36	April
7.4	8.3	7.6	7.8	67	10	6	20	17	8	—	—	—	1	15	2	2	—	3	4	21	17	14	30	Mai	
5.4	6.8	6.8	6.3	52	13	23	14	11	—	—	3	2	—	5	2	1	1	1	2	15	21	10	37	Juni	
4.6	6.1	5.3	5.3	119	24	23	13	11	—	—	2	3	2	4	3	1	—	3	2	27	12	15	30	Juli	
5.1	5.2	5.0	5.1	115	27	7	9	9	—	—	—	—	8	7	4	6	—	—	4	22	19	11	31	August	
6.8	6.3	5.8	6.3	92	15	20	15	13	2	—	1	3	2	10	2	—	—	3	8	24	7	10	36	September	
5.5	5.9	5.1	5.5	37	12	9	9	9	5	—	—	2	6	10	2	—	—	—	2	19	10	18	42	Oktober	
6.0	6.2	6.1	6.1	47	22	1	7	7	3	—	—	1	4	12	2	1	—	6	4	28	3	10	36	November	
5.1	4.6	4.2	4.6	31	19	8	6	4	6	—	—	—	4	7	9	—	—	—	3	5	23	5	6	51	Dezember
5.6	6.0	5.6	5.8	764	27	VIII	135	115	63	—	—	6	29	58	105	—	—	—	—	—	—	—	—	—	Jahr

Schuls

$\lambda = 10^{\circ} 18', \beta = 46^{\circ} 48', H_b = 1236.5^m, G = -0.05^m, h_r = 1.5^m$

1930	Luftdruck					Luft-Temperatur								Relative Feuchtigkeit					
	Mittel	Minimum Tag	Maximum Tag	7 ⁰⁰	13 ⁰⁰	21 ⁰⁰	Mittel	Minimum Tag	Maximum Tag	7 ⁰⁰	13 ⁰⁰	21 ⁰⁰	Mittel	Minimum Tag					
Januar	657.3	642.8	31	669.9	18	-6.2	0.7	-4.5	-3.6	-12.4	1	6.5	13	78	50	74	67	24	13
Februar	654.8	636.8	1	663.1	10.13	-9.2	0.4	-6.4	-5.4	-15.2	10	5.9	28	74	42	71	62	32	11.13
März	654.3	642.3	12	666.4	3.4	-1.7	7.5	-0.2	1.4	-10.2	12	14.5	29	74	34	76	61	20	21.29
April	650.4	636.5	14	658.8	25.27	4.1	11.5	3.9	5.9	0.2	15	17.9	28	73	34	75	61	21	22
Mai	656.4	644.6	8	664.7	17	7.6	13.4	7.1	8.8	1.3	9	23.5	30	67	37	74	59	21	31
Juni	658.8	654.4	27	662.3	21	13.8	21.9	13.0	15.4	9.3	1	24.9	22	64	30	76	57	19	18
Juli	656.8	646.1	18	661.6	5.9	13.0	20.1	12.0	14.3	6.5	18	28.9	5	67	34	75	59	17	5
August	660.1	651.6	14	667.8	26	10.7	19.2	10.8	12.9	4.7	16	27.7	27	70	39	84	66	18	17
September	658.9	652.2	12	664.8	3	8.1	16.6	8.9	10.6	2.9	17	24.1	6	85	40	85	70	16	3
Oktober	657.5	643.9	25	667.3	3	1.6	10.1	3.4	4.6	-1.6	23	16.8	4	89	45	88	74	25	1
November	657.9	639.2	4	670.5	13	-0.4	5.8	0.4	1.6	-7.0	24	10.8	2	85	51	81	72	28	6
Dezember	655.3	645.8	31	668.7	18	-7.8	-2.3	-6.7	-5.9	-15.0	16	6.6	1	82	58	85	75	42	3
Jahr	656.5	636.5	IV	670.5	XI	2.8	10.4	3.5	5.0	-15.2	II	28.9	VII	76	41	79	65	16	IX

Buffalora (Ofenpass)

$\lambda = 10^{\circ} 16', \beta = 46^{\circ} 38', H_b = ca. 1977^m, G = -0.05^m, h_r = 1.5^m$

Januar	-	-	-	-	-	-11.5	-1.3	-9.6	-8.0	-21.0	1	5.0	14	100	68	99	89	28	13
Februar	-	-	-	-	-	-15.9	-3.0	-13.5	-11.5	-22.0	10	1.6	13	100	70	99	90	24	11
März	-	-	-	-	-	-9.2	2.6	-6.2	-4.8	-22.0	21	8.2	29	100	61	99	87	27	21
April	-	-	-	-	-	-1.6	5.3	-1.7	0.1	-11.0	18	12.0	27	97	57	95	83	22	22
Mai	-	-	-	-	-	3.3	8.4	2.1	4.0	-4.2	9	18.0	30.31	78	52	94	75	19	31
Juni	-	-	-	-	-	9.4	16.2	8.4	10.6	4.0	19	21.0	23	90	46	96	77	24	19
Juli	-	-	-	-	-	7.7	14.4	7.9	9.5	1.0	18	22.0	5	94	49	94	79	19	29
August	-	-	-	-	-	6.5	15.1	6.9	8.9	-2.0	18	24.0	25.27	98	48	97	81	12	17
September	-	-	-	-	-	4.8	11.9	5.1	6.7	-2.0	17	20.0	1	100	57	96	84	9	3
Oktober	-	-	-	-	-	-1.9	6.5	-1.3	0.5	-10.3	28	15.0	17	99	51	98	83	23	5
November	-	-	-	-	-	-4.9	2.6	-4.0	-2.6	-14.0	5	7.0	10	98	63	92	84	21	24
Dezember	-	-	-	-	-	-12.8	-2.8	-11.1	-9.4	-23.4	18	7.0	1	99	62	98	86	35	29
Jahr	-	-	-	-	-	-2.2	6.3	-1.4	0.3	-23.4	XII	24.0	VIII	96	57	96	83	9	IX

Sta. Maria

$\lambda = 10^{\circ} 25', \beta = 46^{\circ} 36', H_b = 1411^m, G = -0.05^m, h_r = 1.5^m$

Januar	642.6	629.4	31	652.9	18	-3.6	0.1	-2.6	-2.2	-9.0	24	5.2	13	63	49	61	58	22	13
Februar	640.2	623.7	1	649.5	13	-7.4	-0.4	-5.6	-4.8	-12.2	10	2.4	18.28	66	46	60	57	30	6.11.13
März	640.0	627.8	12	652.2	2	-1.3	6.0	-0.2	1.1	-8.0	21	11.6	28	61	37	65	54	20	21
April	636.7	623.8	15	645.5	26	4.8	9.6	3.8	5.5	0.0	15	16.8	28	59	40	67	55	25	8.11
Mai	642.2	630.7	8	649.4	29	7.4	12.3	7.2	8.5	2.2	8	20.6	30.31	56	40	67	54	24	4.20
Juni	645.2	642.1	27	648.4	12	14.6	20.0	13.8	15.6	10.2	17	23.6	15	46	39	65	50	16	19
Juli	643.2	633.9	18	647.8	26	13.4	18.8	13.0	14.6	7.6	18	26.0	5	41	42	64	49	22	12
August	645.9	637.0	14	652.5	26	11.6	17.9	11.8	13.3	6.2	16	26.2	26	58	46	71	58	20	17
September	644.8	639.1	26	650.4	2.4	10.0	14.6	10.5	11.4	3.6	27	23.8	2	67	51	71	63	16	3
Oktober	643.0	628.8	25	651.5	4	3.4	8.9	4.1	5.1	-1.0	28	14.2	1	63	45	66	58	23	1
November	643.3	625.7	4	653.4	13	1.9	5.3	2.0	2.8	-4.0	12	10.0	9.10	61	49	63	58	16	24
Dezember	640.5	631.8	25	652.4	19	-4.5	-1.3	-3.5	-3.2	-10.2	11	11.6	1	62	50	61	58	27	2.17
Jahr	642.3	623.7	II	653.4	IX	4.2	9.3	4.5	5.6	-12.2	II	26.2	VIII	59	44	65	56	16	VI/IX XI

Platta-Medels

$\lambda = 8^{\circ} 51', \beta = 46^{\circ} 39', H_b = 1378^m, G = -0.08^m, h_r = 1.2^m$

Januar	645.8	632.1	31	657.2	18	-0.5	4.5	-0.1	1.0	-8.5	1	10.5	18	54	37	54	48	12	13.20
Februar	643.2	625.4	1	651.2	13	-5.0	1.6	-3.6	-2.7	-9.4	18	6.8	2	63	34	58	52	10	11
März	643.4	631.6	12	655.1	4	-0.5	6.0	0.4	1.6	-13.5	20	14.8	28	62	35	66	54	21	9.21
April	639.8	626.3	14	648.3	26	2.9	8.3	3.1	4.3	-2.0	15.16	19.5	2	73	44	74	64	20	2
Mai	645.7	635.6	8	653.2	17	5.9	10.7	5.7	7.0	0.0	9	19.8	31	70	44	75	63	23	4
Juni	648.4	644.8	27	651.7	21	12.5	19.7	12.3	14.2	10.0	9.30	25.4	15.10	66	34	71	57	19	15
Juli	646.5	636.7	18	652.0	26	10.3	17.5	10.6	12.2	5.0	15.14	26.0	5	76	40	79	65	19	9
August	649.7	641.5	14	656.7	26	10.3	18.7	11.5	13.0	5.2	8	27.6	26	78	39	78	65	20	26
September	648.3	641.9	12	654.1	2	8.5	15.8	9.1	10.6	2.8	26	27.2	6	84	45	85	71	16	1
Oktober	646.7	633.2	25	656.2	3	3.8	9.8	4.5	5.7	-4.6	28	19.4	18	71	42	74	62	10	14.15
November	647.1	627.6	4	659.5	13	1.7	6.5	2.3	3.2	-7.0	23	12.2	9	68	48	66	61	20	10
Dezember	644.0	633.6	11	657.1	18	-3.5	2.4	-3.1	-1.8	-10.5	18	13.5	1	65	41	68	58	12	29
Jahr	645.7	625.4	II	659.5	XI	3.9	10.1	4.4	5.7	-13.5	II	27.6	VIII	69	40	71	60	10	IX

Beobachter: H. Monreal

Schuls

Bewölkung				Niederschlag		Zahl der Tage								Windverteilung								1930			
7 ⁰⁰	13 ³⁰	21 ³⁰	Mittel	Summe	Maximum Tag	☀	☁	☂	☃	☄	★	☆	☇	☈	☉	N	NE	E	SE	S	SW		W	NW	Calmen
4.3	3.7	3.7	3.9	13	4	28	6	5	5	—	—	1	12	8	—	1	—	—	1	19	—	—	—	72	Januar
3.7	3.6	2.7	3.3	2	2	1	2	1	2	—	—	—	12	3	—	2	1	1	—	19	3	—	—	58	Februar
5.1	5.7	4.7	5.2	25	9	18	7	6	7	—	—	—	7	8	1	6	2	2	2	11	1	2	—	66	März
6.6	6.9	6.0	6.5	49	16	29	10	5	3	—	—	—	3	11	—	5	2	4	1	13	1	1	—	63	April
6.6	7.4	6.7	6.9	61	20	13	17	14	3	—	—	—	2	16	2	12	1	5	1	8	3	2	—	59	Mai
4.6	5.3	5.5	5.1	47	17	15	13	9	—	1	1	—	3	3	—	5	5	3	1	10	—	—	—	66	Juni
4.4	5.5	5.8	5.2	97	23	18	15	10	—	—	1	—	3	7	2	4	—	1	—	8	2	1	—	75	Juli
5.5	4.4	4.2	4.7	126	25	15	13	10	—	—	—	—	9	7	—	3	1	—	1	6	3	1	—	78	August
6.9	5.9	5.3	6.0	95	18	29	16	13	—	—	1	1	2	9	—	8	—	5	1	9	1	—	—	66	September
5.3	5.7	5.4	5.5	63	23	9	11	9	6	—	—	1	8	10	1	2	2	1	1	8	1	—	—	77	Oktober
5.6	5.4	4.8	5.3	23	7	2	9	7	3	—	—	—	5	5	—	3	1	—	—	10	1	—	—	75	November
4.2	4.1	4.8	4.4	33	7	29	10	9	10	—	—	—	12	7	—	1	—	—	—	4	—	—	—	88	Dezember
5.2	5.3	5.0	5.2	634	25	VIII	129	98	39	1	3	4	78	94	6	52	15	22	9	125	16	7	843	Jahr	

Beobachter: O. Waldburger

Buffalora (Ofenpass)

4.1	4.5	2.9	3.8	20	6	28	8	6	8	—	—	—	13	4	—	—	36	—	—	3	15	11	—	28	Januar
4.2	4.5	1.8	3.5	15	10	1	4	3	4	—	—	—	1	10	1	—	33	2	—	5	11	—	—	32	Februar
5.3	6.0	3.7	5.0	47	10	19	7	7	7	—	—	—	7	5	—	21	3	3	3	2	25	1	—	38	März
5.9	6.5	4.6	5.7	70	18	13	7	7	6	—	—	—	1	5	—	15	8	1	1	25	1	—	—	39	April
6.2	6.0	6.3	6.2	100	11	7	17	17	7	—	—	—	1	6	—	9	8	3	—	33	—	—	—	40	Mai
3.5	4.7	5.3	4.5	87	11	16.28	12	11	—	—	—	1	3	1	—	21	—	1	—	21	2	—	—	45	Juni
3.6	4.9	5.1	4.5	156	24	24	14	14	1	—	1	1	3	1	—	6	7	4	1	31	2	—	—	42	Juli
4.4	4.5	3.3	4.1	170	30	5	15	14	5	—	—	—	1	10	4	1	12	4	2	3	12	3	—	56	August
6.1	6.0	4.0	5.4	158	29	11	15	14	1	—	—	—	1	1	4	—	8	—	—	3	29	—	—	50	September
4.0	5.3	3.3	4.2	95	23	5	12	12	8	—	—	—	9	3	—	7	—	1	2	33	2	—	—	48	Oktober
4.5	6.0	3.6	4.7	57	17	29	8	7	7	—	—	—	7	3	—	9	4	—	3	22	2	—	—	50	November
2.8	4.7	3.4	3.6	50	10	8.29	10	10	10	—	—	—	1	13	3	—	10	5	—	1	7	—	—	70	Dezember
4.6	5.3	3.9	4.6	1025	30	VIII	129	122	64	—	1	5	69	49	2	—	187	41	15	24	264	24	—	538	Jahr

Beobachter: J. Rothenberger

Sta. Maria

3.7	3.5	3.7	3.6	14	9	28	4	3	4	—	—	—	1	13	4	—	—	—	2	4	9	1	—	77	Januar	
3.7	3.7	2.2	3.2	9	8	1	3	1	3	—	—	—	2	13	5	3	—	—	—	1	9	1	1	—	69	Februar
4.5	5.7	4.3	4.8	54	17	18	7	7	7	—	—	—	2	8	5	1	—	—	4	6	10	1	4	—	67	März
5.7	6.5	5.2	5.8	84	23	14	9	6	2	—	—	—	—	5	11	5	1	—	2	3	4	1	—	—	74	April
7.1	7.4	6.6	7.0	82	26	7	14	11	2	—	—	—	5	—	13	7	3	—	7	1	6	2	4	—	63	Mai
4.7	5.4	5.1	5.1	16	5	16	6	5	—	—	—	1	2	2	4	2	—	—	1	4	3	4	1	—	71	Juni
4.1	5.7	5.4	5.1	101	28	3	10	9	—	—	—	—	1	2	3	9	3	—	—	4	—	1	1	—	75	Juli
4.4	3.7	3.1	3.7	102	23	7	10	9	—	—	—	—	1	2	11	4	2	—	1	—	—	1	—	—	89	August
6.1	6.4	4.6	5.7	98	18	20	13	13	—	—	—	—	9	6	10	—	—	—	—	3	2	8	—	—	77	September
4.6	5.4	4.3	4.8	47	15	12	7	5	—	—	—	—	3	8	6	—	1	—	1	2	3	8	—	—	78	Oktober
4.7	5.8	4.3	4.9	23	9	29	7	4	—	—	—	—	3	7	1	—	—	2	6	3	3	1	—	—	74	November
2.9	3.7	3.0	3.2	36	10	29	6	6	6	—	—	—	—	13	2	—	1	—	—	3	2	1	—	—	86	Dezember
4.7	5.2	4.3	4.7	666	28	VII	96	79	24	—	3	30	88	72	32	11	—	18	30	52	30	22	—	—	900	Jahr

Beobachter: G. Riedi

Platta-Medels

5.8	4.9	5.7	5.5	14	10	9	5	2	5	—	—	—	8	6	8	1	—	—	1	38	—	—	—	—	53	Januar	
4.8	4.5	4.6	4.6	12	7	1	3	3	3	—	—	—	6	7	6	—	—	1	—	30	4	—	1	—	—	48	Februar
6.3	6.5	6.0	6.3	59	24	19	11	9	8	—	—	—	11	4	11	2	—	—	33	3	—	—	—	—	—	55	März
8.0	7.9	7.2	7.7	141	39	13	15	14	7	—	1	—	9	2	7	—	—	—	1	18	—	—	—	—	—	70	April
8.3	9.0	8.2	8.5	110	24	7	19	17	4	—	—	—	12	—	20	2	1	—	2	18	4	—	—	—	—	66	Mai
5.1	6.3	5.8	5.7	111	36	26	14	11	—	—	4	—	7	2	5	3	—	—	1	22	1	—	—	—	—	63	Juni
5.5	6.6	6.2	6.1	147	54	23	12	12	—	—	4	—	13	1	11	5	—	1	—	19	—	—	—	—	—	68	Juli
5.7	5.2	5.4	5.4	124	27	15	14	12	—	—	1	—	13	9	9	—	1	—	—	10	—	—	—	—	—	81	August
7.5	6.8	7.2	7.2	204	54	29	17	16	—	—	3	—	16	2	15	2	3	—	—	15	—	—	—	—	—	70	September
6.3	6.7	6.2	6.4	104	32	26	16	14	9	—	—	—	12	7	14	1	—	—	2	23	—	—	—	—	—	65	Oktober
7.0	6.9	5.6	6.5	165	92	29	15	13	5	—	—	—	7	3	12	1	—	—	1	25	—	—	—	—	—	63	November
4.4	4.8	4.6	4.6	20	9	12	9	7	9	—	—	—	11	12	9	—	—	—	2	16	1	—	—	—	—	74	Dezember
6.2	6.3	6.1	6.2	1211	92	XI	150	130	50	—	13	125	55	127	17	5	2	10	267	13	—	—	—	—	—	776	Jahr

Davos-Platz

$\lambda = 9^{\circ}49'$, $\beta = 46^{\circ}48'$, $H_b = 1560.7^m$, $G = -0.10 \text{ } \frac{m}{m}$, $h_r = 9.5^m$

1930	Luftdruck					Luft-Temperatur							Relative Feuchtigkeit						
	Mittel	Minimum Tag	Maximum Tag	7 ³⁰	13 ³⁰	21 ³⁰	Mittel	Minimum Tag	Maximum Tag	7 ³⁰	13 ³⁰	21 ³⁰	Mittel	Minimum Tag					
Januar	630.9	617.2	31	642.6	18	-6.0	0.5	-4.6	-3.7	-14.1	1	5.4	14.15	88	62	82	77	41	13
Februar	628.0	610.7	1	635.8	13	-10.0	-0.8	-7.1	-6.3	-14.2	10	4.6	28	84	60	80	75	47	10.28
März	628.4	617.1	12	640.1	5	-3.2	4.5	-0.9	-0.1	-11.0	21	9.8	29	89	57	87	78	36	28.31
April	625.2	612.1	14	633.7	26	2.3	7.5	2.1	3.5	-3.1	18	14.7	28	89	64	93	82	39	27
Mai	631.0	620.6	8	638.6	17	5.7	9.8	5.0	6.4	-0.6	9	20.1	30	76	58	86	73	31	7
Juni	634.0	630.2	27	637.5	20	13.2	17.7	10.9	13.2	7.7	19	20.6	6	73	50	91	71	34	6.11
Juli	632.2	622.0	18	637.2	9	10.8	14.7	10.0	11.4	2.8	18	24.3	5	81	61	88	77	35	6.29
August	635.4	626.8	14	642.5	25	10.2	15.6	9.9	11.4	1.8	15	24.5	27	83	59	92	78	26	18
September	633.9	626.6	12	639.8	3	7.0	13.1	8.0	9.0	1.1	17	20.2	6	91	62	93	82	29	3
Oktober	632.0	619.0	25	641.8	3	0.5	8.2	2.2	3.3	-4.4	28	16.0	17	96	60	95	84	27	14
November	632.2	612.9	4	644.1	13	-0.8	4.5	0.0	0.9	-6.7	24	9.5	22	90	66	87	81	31	24
Dezember	628.8	619.5	35.31	640.6	19	-7.4	-1.0	-6.1	-5.2	-15.2	16	9.9	1	91	66	89	82	34	29
Jahr	631.0	610.7	II	644.1	XI	1.9	7.9	2.5	3.7	-15.2	XII	24.5	VIII	86	60	89	78	26	VIII

Schatzalp (ob Davos)

$\lambda = 9^{\circ}49'$, $\beta = 46^{\circ}48'$, $H = 1868.3^m$, $G = - \frac{m}{m}$, $h_r = 1.5^m$

Januar	—	—	—	—	—	-3.0	1.8	-2.5	-1.6	-10.4	11	6.2	14	64	51	61	59	23	18
Februar	—	—	—	—	—	-7.8	-1.3	-7.0	-5.8	-12.6	17	3.8	13	66	52	65	61	27	13
März	—	—	—	—	—	-2.0	3.2	-2.1	-0.8	-10.2	12	7.8	29	72	56	73	67	27	10
April	—	—	—	—	—	1.1	5.7	0.4	1.9	-6.0	16	14.2	25	70	57	81	69	23	25
Mai	—	—	—	—	—	3.9	8.3	2.8	4.4	-3.4	9	19.0	30	67	66	86	73	25	8
Juni	—	—	—	—	—	12.0	18.4	9.7	12.4	6.5	29	23.8	22	61	39	82	61	16	30
Juli	—	—	—	—	—	9.9	15.4	7.9	10.3	1.0	13	26.5	6	68	43	80	64	16	5.6
August	—	—	—	—	—	8.0	15.4	8.4	10.0	-2.0	16	25.8	27	68	48	78	65	12	26
September	—	—	—	—	—	7.4	12.7	6.0	8.0	1.2	22.28	20.6	5	74	59	79	71	12	1
Oktober	—	—	—	—	—	2.9	7.6	1.9	3.6	-6.8	28	17.2	2	63	56	77	65	10	16
November	—	—	—	—	—	-0.2	3.3	-0.1	0.7	-9.6	12	8.8	10	70	62	68	67	23	24
Dezember	—	—	—	—	—	-5.4	-0.6	-4.9	-3.9	-12.6	11	8.3	2	66	56	65	62	24	20
Jahr	—	—	—	—	—	2.2	7.5	1.7	3.3	-12.6	II/XII	26.5	VII	68	54	75	66	10	X

Chur

$\lambda = 9^{\circ}32'$, $\beta = 46^{\circ}51'$, $H_b = 609.9^m$, $G = 0.04 \frac{m}{m}$, $h_r = 1.7^m$

Januar	709.1	694.8	31	721.8	18	1.3	5.9	2.5	3.1	-3.7	22	12.3	15	76	55	70	67	36	8.24
Februar	707.3	686.6	1	715.2	12	-1.5	4.5	-0.2	0.6	-6.9	12	12.5	28	70	49	70	63	25	14
März	706.4	694.8	18	719.4	5	3.2	11.2	5.4	6.3	-3.7	21	17.7	29	74	43	69	62	23	10
April	702.1	689.8	14	711.0	8	7.0	13.5	8.4	9.3	2.5	16	22.0	27	79	48	71	66	26	21
Mai	707.8	697.5	7	716.3	17	9.7	15.6	11.0	11.8	4.6	10	27.3	30	76	49	74	66	29	30
Juni	708.9	704.7	26	712.9	21	15.9	23.9	17.8	18.9	13.7	15	28.3	12	76	45	69	63	27	12
Juli	707.5	696.2	18	713.0	26	14.5	20.7	16.0	16.8	9.5	18	29.9	1.5	78	52	72	67	28	21
August	710.9	702.7	14	717.3	25	13.7	20.7	15.7	16.4	9.0	15	27.1	26	82	54	79	72	31	2
September	709.9	701.5	12	715.8	3	12.1	18.6	13.2	14.3	6.5	26.30	26.1	6	81	54	81	72	31	19
Oktober	709.1	697.4	25	719.2	3	6.3	12.8	8.1	8.8	1.9	28	20.1	19	80	53	80	71	21	19
November	709.8	689.5	4	725.4	13	4.6	9.5	5.6	6.3	-1.3	24	16.1	22	76	55	76	69	32	23
Dezember	708.0	696.7	31	723.7	18	-1.7	1.5	-1.1	-0.0	-8.9	25	9.9	29	80	66	81	76	25	29
Jahr	708.1	686.6	II	725.4	XI	7.1	13.2	8.5	9.3	-8.9	XII	29.9	VII	77	52	74	68	21	X

Arosa

$\lambda = 9^{\circ}41'$, $\beta = 46^{\circ}47'$, $H_b = 1854^m$, $G = -0.12 \frac{m}{m}$, $h_r = 1.6^m$

Januar	603.5	590.0	31	614.7	18	-2.3	1.8	-1.7	-1.0	-10.0	1	7.0	14	58	50	56	55	27	18
Februar	603.9	587.0	1	611.5	13.28	-7.6	-2.1	-6.8	-5.8	-12.5	17	5.0	28	60	50	61	57	24	11
März	604.9	593.5	12	616.4	4	-1.9	3.6	-1.9	-0.5	-10.5	21	7.4	23	63	50	71	61	29	10
April	602.4	589.3	14	610.4	26	0.8	5.3	0.4	1.7	-6.4	18	12.2	28	70	55	76	67	40	21.28
Mai	608.1	595.5	8	615.7	29	3.7	7.9	2.9	4.3	-3.8	9	17.7	31	74	60	81	72	35	30
Juni	611.7	615.0	21	608.5	27	11.2	15.8	9.6	11.6	6.7	2	18.5	23	67	51	75	64	38	11
Juli	609.8	600.7	18	614.8	7.9	9.0	13.7	8.5	9.9	2.2	13	23.4	5	75	58	80	71	38	6
August	612.8	603.6	14	619.7	25	9.1	14.8	9.5	10.7	0.7	15	24.6	26.27	74	58	75	69	28	18.26
September	611.3	604.3	12	616.7	2.3	7.3	12.1	6.9	8.3	0.8	26	20.7	5	74	59	80	71	30	3
Oktober	609.2	595.8	25	618.4	3	2.3	6.9	2.1	3.4	-6.8	28	16.2	15	65	57	72	65	22	16
November	609.0	590.1	4	619.9	13	0.1	3.6	0.6	1.2	-8.4	12	8.2	9	67	57	64	63	24	24
Dezember	605.4	595.7	11	616.6	19	-4.2	-0.9	-3.9	-3.2	-12.0	11	9.2	1	61	51	61	58	24	29
Jahr	607.7	587.0	II	616.9	XI	2.3	6.9	2.2	3.4	-12.5	II	24.6	VIII	67	55	71	64	22	X

Arosa. Stationsverlegung am 1. April. Neue Höhe = 1865^m. Barometerstände auf neue Höhe reduziert.

Beobachter: Kurverein

Davos-Platz

Bewölkung				Niederschlag		Zahl der Tage								Windverteilung								1930	
7 ⁰⁰	13 ⁰⁰	21 ⁰⁰	Mittel	Summe	Maximum Tag	*	☉	☽	▲	⊠	≡	heiter	trüb	N	NE	E	SE	S	SW	W	NW		Calmen
4.0	4.3	4.2	4.2	22	7	2	7	7	7	—	—	—	9	6	1	8	—	—	—	6	—	—	78
3.2	3.6	2.9	3.2	1	0.5	16	2	—	2	—	—	11	2	—	15	—	—	—	3	—	—	66	
5.1	6.1	6.1	5.8	42	12	18	12	9	12	—	—	1	7	11	1	23	4	1	2	6	—	56	
7.1	7.1	6.6	6.9	45	8	29	12	8	9	—	—	—	4	13	—	23	5	4	—	11	—	47	
7.3	8.2	7.7	7.7	103	22	13	16	14	8	—	—	—	1	16	2	20	4	2	3	11	—	49	
4.6	6.6	6.4	5.9	80	13	8	20	15	—	2	3	—	1	6	—	18	3	—	—	10	—	59	
6.0	6.8	7.5	6.8	138	34	18	16	13	1	—	4	—	1	12	1	25	2	4	—	8	—	53	
4.9	5.3	5.5	5.2	175	28	5	15	13	2	—	2	—	10	11	—	26	1	1	3	4	—	58	
6.7	7.1	6.7	6.8	126	27	29	18	13	2	—	—	1	2	11	—	26	3	—	2	7	—	52	
5.5	6.0	5.6	5.7	89	17	26	15	13	12	—	—	1	8	11	—	14	—	2	2	2	—	73	
6.2	6.1	5.3	5.9	42	9	2	14	12	9	—	—	—	4	8	—	10	1	1	1	6	1	70	
4.0	4.1	4.1	4.1	42	7	5	11	10	11	—	—	—	12	4	—	2	—	1	—	2	—	88	
5.4	5.9	5.7	5.7	905	34	VII	158	127	75	2	9	3	70	111	5	210	23	16	13	76	1	2	749

Beobachter: Sanatorium

Schatzalp (ob Davos)

4.0	4.0	4.2	4.1	24	7	2	7	7	7	—	—	1	12	5	7	6	1	—	1	2	4	12	60
3.2	3.6	2.8	3.2	2	2	16	1	1	1	—	—	—	14	4	4	8	6	1	—	1	1	13	51
5.5	6.0	5.0	5.5	49	7	7	10	7	10	—	—	5	7	9	1	8	1	—	5	2	7	5	64
6.5	6.6	4.6	5.9	75	19	29	11	11	11	—	—	4	4	9	—	11	—	5	1	5	3	5	60
6.5	6.4	5.8	6.2	121	22	13	14	14	6	—	—	5	3	10	2	10	7	2	1	4	1	6	60
2.9	3.9	3.1	3.3	69	12	8	13	12	—	—	2	2	10	2	3	13	7	6	1	4	4	7	45
4.6	3.6	3.7	4.0	149	43	18	15	14	4	—	1	3	10	3	5	13	7	2	1	6	2	6	51
3.8	3.0	3.9	3.6	182	34	8	13	13	4	—	—	4	13	5	1	14	6	2	2	3	2	2	61
6.0	6.0	5.4	5.8	121	25	29	15	12	3	—	—	4	4	9	3	14	2	4	1	5	5	4	52
5.1	5.1	4.7	5.0	150	23	9	16	15	12	—	—	3	9	9	6	10	3	—	—	7	2	13	52
5.9	5.0	4.0	5.0	55	12	2.4	9	9	7	—	—	1	6	4	1	13	—	—	—	7	6	16	47
4.0	2.9	3.7	3.5	48	11	8	9	9	9	—	—	2	13	4	8	8	—	—	—	2	3	17	55
4.8	4.7	4.2	4.6	1045	43	VII	133	124	74	—	3	34	105	73	41	128	40	21	14	47	40	106	658

Beobachter: J. Deffa

Chur

4.5	4.6	3.8	4.3	11	4	11	6	4	2	—	—	—	8	7	—	—	—	—	—	—	—	—	—
5.0	3.4	3.1	3.8	4	2	1	2	2	2	—	—	—	11	4	—	—	—	—	—	—	—	—	—
6.1	6.1	5.6	5.9	36	9	18	9	8	3	—	—	2	6	12	—	—	—	—	—	—	—	—	—
7.6	7.5	6.0	7.0	52	15	13	12	8	—	—	—	—	2	14	—	—	—	—	—	—	—	—	—
7.7	8.5	7.8	8.0	91	18	13	15	14	—	—	—	1	1	18	—	—	—	—	—	—	—	—	—
4.7	4.9	5.0	4.9	26	8	12	9	7	—	—	—	1	5	2	—	—	—	—	—	—	—	—	—
6.1	6.6	6.7	6.5	131	41	23	16	13	—	—	—	2	—	10	—	—	—	—	—	—	—	—	—
5.4	4.7	4.9	5.0	134	21	15	15	12	—	—	—	—	9	9	—	—	—	—	—	—	—	—	—
7.2	6.8	6.5	6.8	140	42	29	15	14	—	—	2	—	1	10	—	—	—	—	—	—	—	—	—
6.0	6.2	6.1	6.1	74	17	9	16	13	3	—	—	—	8	14	—	—	—	—	—	—	—	—	—
7.1	6.6	5.2	6.3	67	23	2	13	12	2	—	—	—	3	9	—	—	—	—	—	—	—	—	—
6.8	5.6	6.3	6.2	29	6	29	10	9	5	—	—	—	4	12	—	—	—	—	—	—	—	—	—
6.2	6.0	5.6	5.9	795	42	IX	138	116	17	—	6	2	58	121	—	—	—	—	—	—	—	—	—

Beobachter: Lichtklimatisches Observatorium

Arosa

4.2	4.9	3.8	4.3	29	7	2	8	7	8	—	—	4	11	7	1	2	2	4	—	6	3	6	69
5.4	3.4	2.8	3.2	10	5	16	4	4	4	—	—	—	13	4	1	—	1	1	1	—	2	3	75
5.6	6.7	6.0	6.1	77	21	18	11	11	11	—	—	3	6	14	—	—	5	—	1	7	4	76	
6.9	7.1	6.4	6.8	104	27	29	16	13	11	—	—	4	3	12	—	—	3	3	5	7	5	64	
7.3	8.3	7.8	7.8	132	15	7	18	14	9	2	—	3	1	17	—	4	2	4	5	5	2	4	67
4.8	6.8	6.5	6.0	98	20	16	18	16	—	3	5	4	1	5	—	—	4	10	—	—	5	4	67
5.8	7.0	8.2	7.0	163	54	23	18	14	1	2	4	2	—	11	—	1	6	7	—	3	6	—	70
5.0	5.1	5.5	5.2	180	26	7	13	13	3	—	1	5	10	11	—	3	7	2	1	1	7	4	68
6.8	7.2	6.5	6.8	162	35	29	18	16	4	—	—	7	2	12	—	—	5	7	—	3	1	2	72
6.2	6.3	5.9	6.1	121	24	9	14	12	13	—	—	3	7	14	—	—	—	—	2	5	4	76	
6.8	6.6	6.0	6.5	69	25	2	11	9	10	—	—	1	4	11	—	1	5	5	1	7	6	1	64
4.3	3.8	4.1	4.1	57	14	9	11	9	11	—	—	—	12	6	—	—	3	2	—	3	9	3	73
5.6	6.1	5.8	5.8	1202	54	VII	160	138	85	7	10	36	70	124	2	11	38	56	11	36	60	40	841

$\lambda = 9^{\circ} 54', \beta = 46^{\circ} 30', H = 1805m, h_r = 2.2m.$

Pontresina

Beobachter: L. Schmid

1930	Luft-Temperatur							Relative Feuchtigkeit					Bewölkung				Niederschlag		Zahl der Tage									
	7 ³⁰	13 ³⁰	21 ³⁰	Mittel	Minimum Tag	Maximum Tag		7 ³⁰	13 ³⁰	21 ³⁰	Mittel	Minimum Tag		7 ³⁰	13 ³⁰	21 ³⁰	Mittel	Summe	Maximum Tag	*	≥1.0	*	▲	R	≡	heft	trüb	
Jan.	-7.7	-0.4	-5.8	-4.9	-13.2	1	4.0	14						5.3	5.2	4.5	5.0	16	5	30	9	4	9				12	11
Febr.	-12.6	-2.7	-9.3	-8.5	-17.3	25	1.6	28						4.0	4.6	3.1	3.9	11	5	16	3	3	3				11	3
März	-6.4	2.9	-2.9	-2.3	-16.3	21	9.1	29						5.7	6.9	4.7	5.8	37	8	18	9	8	9				7	10
April	-1.1	5.8	0.6	1.5	-7.7	18	11.6	28						7.0	7.9	7.0	7.3	78	20	29	9	8	6				2	16
Mai	4.0	9.0	4.5	5.5	?	?	?							7.5	8.5	7.0	7.7	50	?	?	*20	*12	*10				*1	*14
Juni	9.6	16.4	10.2	11.6	5.7	20	18.8	4						4.5	7.3	7.0	6.3	60	14	16	13	13				1	8	
Juli	8.8	14.9	10.2	11.0	2.4	25	23.4	6						5.1	6.0	6.7	5.9	94	30	24	14	10				4	8	
Aug.	6.4	15.5	9.7	10.3	1.4	17	21.9	26						5.5	5.1	4.8	5.1	111	*23	5	11	10				10	11	
Sept.	4.9	12.4	7.2	7.9	0.1	17	19.6	1						8.0	7.1	5.7	6.9	79	12	11	12	10	1				2	14
Okt.	-1.0	7.0	1.5	2.4	-8.6	28	14.6	4						6.3	6.4	5.4	6.0	52	17	12	10	9	6				8	11
Nov.	-2.1	4.0	-0.5	0.2	-9.4	13	8.2	21						6.3	6.0	5.3	5.9	43	17	29	8	7	3				6	11
Dez.	-9.2	-2.0	-7.1	-6.3	-15.6	18	9.4	1						4.5	4.7	4.1	4.4	27	10	8	7	7	7				11	8
Jahr	-0.5	7.0	1.5	2.4	-17.3	II	23.4	VII						5.8	6.3	5.4	5.9	658	30	VII	125	101	54			1	75	125

$\lambda = 9^{\circ} 38', \beta = 46^{\circ} 59', H = 953.8m, h_r = 1.5m.$

Seewis

Beobachter: Frl. D. Fopp

Jan.	-0.7	4.9	0.3	1.2	-6.0	1	10.0	27	71	55	68	65	27	2.0	4.2	3.6	4.3	4.0	29	9	2	8	6	5				13	6	
Febr.	-4.1	3.2	-2.9	-1.7	-8.0	9	10.0	28	72	46	74	64	20	14.27	6.8	4.0	3.4	4.7	7	2	6	5	4	5				11	4	
März	1.0	8.4	2.5	3.6	-6.4	21	19.0	29	77	47	74	66	15	10	6.5	7.4	5.0	6.3	62	23	18	14	13	7				6	14	
April	5.0	11.7	5.4	6.9	0.0	16.12	20.0	2.27	77	51	77	68	20	2	7.9	7.6	5.9	7.1	80	20	13	15	12	5			1	4	15	
Mai	8.1	13.7	8.2	9.6	2.0	8	26.0	30	77	52	76	68	20	30	7.4	8.3	7.8	7.8	156	36	13	19	17			2		4	18	
Juni	15.6	22.9	14.8	17.0	12.2	1	28.0	23	69	45	74	63	25	2.23	5.0	4.0	5.3	5.0	39	10	11	14	13			4		7	3	
Juli	14.1	18.8	13.7	15.1	7.0	18	28.3	4	76	55	80	70	25	16.17	6.7	6.8	8.5	7.3	181	48	18.23	18	15			4	1	1	15	
Aug.	12.9	18.8	13.1	14.5	6.0	15	25.0	27	82	60	87	76	30	2.4	5.5	5.5	4.9	5.3	220	37	15	20	14			2		9	10	
Sept.	11.0	16.6	11.7	12.8	5.0	25.30	23.0	1.6	85	59	89	78	32	19	7.0	7.5	6.0	6.8	155	37	25	20	14			1		1	12	
Okt.	4.2	10.4	5.3	6.3	0.0	17.38	18.0	19	84	64	88	79	15	19	6.9	6.5	6.2	6.5	147	21	9	18	18	7				8	18	
Nov.	3.0	7.9	3.8	4.6	-4.0	24	14.0	12	*80	*60	*80	*73	?	—	7.5	6.9	5.6	6.7	89	19	16	16	15	3				2	10	
Dez.	-3.8	1.0	-3.1	-2.2	-12.0	25	10.0	2	83	70	86	80	28	29	5.6	4.5	6.4	5.5	65	13	5	10	9	10				3	10	
Jahr	5.5	11.5	6.1	7.1	-12.0	XII	28.3	VII	78	55	79	71	15	III/X	6.4	6.1	5.8	6.1	1230	48	VII	176	151	42			14	1	70	135

$\lambda = 9^{\circ} 41', \beta = 46^{\circ} 58', H = 670m, h_r = 1.0m.$

Schiers

Beobachter: G. Tarnutzer

Jan.	-3.2	1.2	-1.9	-1.4	-7.3	22	5.0	27	85	75	83	81	60	6	4.4	4.5	4.2	4.4	17	5	15	5	5	3				1	12	9
Febr.	-5.7	2.0	-3.1	-2.5	-11.0	12	9.9	28	85	76	78	82	*50	6	4.7	3.9	3.3	4.0	1	0.5	1.4	2	2	2					12	4
März	-0.4	8.6	2.6	3.3	-7.2	21	14.7	28	87	76	83	82	*60	27	6.4	6.9	6.5	6.6	43	22	18	8	7	6			2	5	15	
April	4.6	11.7	6.3	7.2	0.8	16	18.9	27	78	48	74	67	20	21	7.7	7.6	6.0	7.1	57	20	15	11	7	3			2	3	17	
Mai	7.3	14.4	9.3	10.0	0.7	10	26.1	30	78	44	71	64	22	30	8.3	8.5	8.3	8.4	121	30	13	16	15			1			21	
Juni	13.1	22.3	15.7	16.7	11.0	11	26.2	23	74	40	70	61	23	12	5.0	4.7	5.5	5.1	56	13	14	9	7			5		5	6	
Juli	12.2	19.2	14.3	15.0	7.5	12	28.5	5	77	46	71	64	25	21	7.4	6.5	9.0	7.6	133	44	23	17	12			6			18	
Aug.	11.3	19.6	13.9	14.7	6.9	17	25.7	26	78	49	80	69	19	17	5.3	4.9	5.6	5.5	171	26	15	14	13			2		10	9	
Sept.	9.4	17.1	11.8	12.5	3.1	17	24.3	1	82	49	80	70	29	12	7.3	6.8	7.2	7.1	139	37	25	17	14			2	1	2	16	
Okt.	3.2	10.8	5.5	6.2	0.0	26	19.7	12	85	52	83	73	27	18.19	6.0	6.5	6.0	6.2	101	19	9	17	15	4			1	8	15	
Nov.	1.8	6.7	2.8	3.5	-5.7	24	15.0	29	79	57	80	72	26	23	7.8	6.4	5.4	6.5	62	13	16	13	12	4			2	3	11	
Dez.	-5.2	-1.7	-3.8	-3.6	-12.8	25	7.3	1	81	68	79	76	55	11	6.4	4.7	6.8	6.0	64	17	5	10	9	9				74	5	10
Jahr	4.0	11.0	6.1	6.8	-12.8	XII	28.5	VII	81	57	78	72	19	VIII	6.4	6.0	6.1	6.2	965	44	VII	139	116	31			18	11	65	151

$\lambda = 9^{\circ} 36', \beta = 46^{\circ} 49', H = 1351m, h_r = 1.2m.$

Tschierschen (ob Chur)

Beobachter: Gg. Meister

Jan.	-0.5	2.8	-0.1	0.5	-6.7	1	8.7	14							4.0	3.8	3.3	3.7	13	5	11	4	3	3					13	5
Febr.	-5.1	0.0	-4.1	-3.3	-9.3	18	5.7	28							3.6	3.1	3.0	3.2	6	2	1	3	3	3					13	3
März	-0.7	4.9	0.7	1.4	-8.7	21	11.5	29							5.8	6.0	5.9	5.9	62	22	18	10	10	10				2	6	10
April	2.8	7.9	3.3	4.3	-2.5	16	15.9	27							7.2	7.3	5.6	6.7	74	21	13	15	11	8			4	3	13	
Mai	6.1	10.4	6.3	7.3	-0.3	9	21.5	30							6.8	8.3	7.7	7.6	105	14	13	17	14	2					17	
Juni	13.4	18.9	12.9	14.5	10.1	2	21.5	5							4.5	4.4	5.6	4.8	54	20	8	12	8			1			6	4
Juli	11.7	15.9	11.1	12.4	4.3	13	24.5	5							5.4	5.1	7.0	5.8	172	52	23	16	14					3	9	
Aug.	11.5	16.1	11.8	12.8	4.7	15	23.6	27							4.1	4.5	5.0	4.5	197	34	8	14	13						12	9
Sept.	9.1	13.8	9.6	10.5	2.5	26	20.8	1							6.4	6.1	5.6	6.0	148	46	29	13	11					5	10	
Okt.	4.0	8.7	4.9	5.6	-4.1	28	16.7	11							5.5	6.1	5.8	5.8	118	26	26	14	13	7			1	7	11	
Nov.	2.2	5.6	2.5	3.2	-5.3	13	12.3	27							6.5	5.9	5.9	6.1	58	18	2	12	9	7				6	10	
Dez.	-3.8	-0.9	-3.4	-2.9	-11.7	24	7.7	1.2							3.6	3.5	4.2	3.8	42	7	29	9	9	9			2	13	4	
Jahr	4.2	8.7	4.6	5.5	-11.7	XII	24.5	VII							5.3	5.3	5.4	5.3	1049	52	VII	139	118	49	1		9	89	105	

$\lambda = 8^{\circ} 48'$, $\beta = 46^{\circ} 49'$, $H_b = 604.3^m$, $h_r = 1.9^m$.

Reichenau

Beobachter: Bl. Mark

Table with columns: Luft-Temperatur, Relative Feuchtigkeit, Bewölkung, Niederschlag, Zahl der Tage. Rows for 1930 months and year summary.

$\lambda = 9^{\circ} 26'$, $\beta = 46^{\circ} 55'$, $H_b = 950^m$, $h_r = 1.5^m$.

Vättis

Beobachter: F. W. Sprecher

Table with columns: Luft-Temperatur, Relative Feuchtigkeit, Bewölkung, Niederschlag, Zahl der Tage. Rows for 1930 months and year summary.

$\lambda = 9^{\circ} 29'$, $\beta = 47^{\circ} 23'$, $H = 1152^m$, $h_r = 1.6^m$.

Schwäbrig (bei Gais)

Beobachter: Frau Küng

Table with columns: Luft-Temperatur, Relative Feuchtigkeit, Bewölkung, Niederschlag, Zahl der Tage. Rows for 1930 months and year summary.

$\lambda = 9^{\circ} 8'$, $\beta = 47^{\circ} 16'$, $H = 649^m$, $h_r = 1.9^m$.

Ebnat

Beobachter: Fr. M. Kuratle

Table with columns: Luft-Temperatur, Relative Feuchtigkeit, Bewölkung, Niederschlag, Zahl der Tage. Rows for 1930 months and year summary.

$\lambda = 9^{\circ} 30', \beta = 47^{\circ} 29', H = 455^m, h_r = 1.4^m.$

Rorschach (Mariaberg)

Beobachter: Seminar: R. Streuli

1880	Luft-Temperatur								Relative Feuchtigkeit					Bewölkung				Niederschlag		Zahl der Tage												
	7 ³⁰	13 ³⁰	21 ³⁰	Mittel	Minimum Tag	Maximum Tag	7 ³⁰	13 ³⁰	21 ³⁰	Mittel	Minimum Tag	7 ³⁰	13 ³⁰	21 ³⁰	Mitt.	Summe	Maximum Tag	☁	☁ [*]	☁ ^{**}	☁ ^{***}	☁ ^{****}	☁ ^{*****}	☁ ^{*****}	☁ ^{*****}	☁ ^{*****}	☁ ^{*****}	☁ ^{*****}	☁ ^{*****}	☁ ^{*****}		
Jan.	1.2	2.8	2.0	2.0	-4.1	8	10.9	13	37	80	84	84	38	5	7.8	7.5	7.1	7.5	*32	?	—	*8	*6	*1	—	—	—	—	—	—	2	18
Febr.	-1.3	1.9	0.5	0.4	-6.5	11	6.9	27	80	64	78	74	50	12	8.1	6.0	4.6	6.2	11	6	15	6	4	4	—	—	—	—	—	—	3	10
März	3.1	7.6	5.5	5.4	-1.3	21	13.3	14	84	60	74	73	31	31	7.6	6.2	5.9	6.6	53	7	22	14	11	2	—	—	—	—	1	6	2	13
April	7.0	11.5	8.8	9.0	2.9	15	19.5	28	78	62	74	71	38	9.25	7.9	6.4	6.3	6.9	140	33	4	13	11	—	—	—	—	2	2	4	14	
Mai	10.4	14.4	11.6	12.0	5.1	18	21.1	18	76	57	74	69	29	30	7.7	7.3	8.5	7.8	172	33	8	18	15	—	—	—	—	4	—	2	19	
Juni	17.3	22.1	17.6	18.7	13.3	6	28.1	26	64	52	71	62	32	26	5.8	3.6	5.6	5.0	52	22	8	10	6	—	—	—	—	4	—	4	3	
Juli	16.1	19.0	16.0	16.8	8.1	12	27.7	5	72	56	72	67	38	9	6.6	6.2	8.5	7.1	281	36	28	21	19	—	—	—	—	4	—	3	15	
Aug.	15.2	19.5	16.2	16.8	10.9	16	24.3	28.29	79	60	77	72	39	4	7.3	5.4	5.6	6.1	156	59	19	15	15	—	—	—	—	3	3	5	14	
Sept.	13.0	16.8	14.0	14.4	8.9	28	23.1	6	83	64	78	75	47	4	8.0	6.8	6.4	7.1	156	26	25	19	17	—	—	—	—	2	—	1	13	
Okt.	8.0	10.4	8.6	8.9	3.3	25	16.1	5.31	83	72	82	79	44	28	9.9	7.4	7.0	8.1	157	26	9	16	15	1	—	—	1	1	7	—	21	
Nov.	6.5	8.7	7.7	7.7	0.3	24	20.1	28	77	68	70	72	27	28	8.1	7.4	5.6	7.0	113	36	16	18	16	5	—	—	1	2	—	13		
Dez.	1.1	2.5	1.6	1.7	-5.1	25	8.5	17	79	69	75	74	45	7	9.6	7.6	7.4	8.2	43	10	5	13	13	3	—	—	—	—	5	—	18	
Jahr	8.1	11.4	9.2	9.5	-6.3	11	28.1	VI	79	64	76	73	27	XI	7.9	6.5	6.5	7.0	1366	59	VIII	171	148	16	—	—	19	25	26	171		

$\lambda = 9^{\circ} 0', \beta = 46^{\circ} 56', H_b = 1189.5^m, h_r = 1.5^m.$

Braunwald (ob Linthal)

Beobachter: Sanatorium

Jan.	0.8	4.3	1.5	2.0	-5.2	19	8.0	25	76	73	75	75	36	11	5.4	4.8	5.2	5.1	65	16	2	9	9	8	—	—	—	1	14	13
Febr.	0.4	4.8	1.3	1.9	-9.0	15	10.0	3	85	79	83	82	37	27	5.3	5.0	5.2	5.2	26	7	3	8	7	6	—	—	—	7	9	11
März	2.4	7.3	4.1	4.0	-1.2	18	12.0	28	84	79	87	83	38	3	5.9	5.5	6.3	5.9	104	19	7	15	13	13	—	—	—	4	9	13
April	4.9	9.8	3.8	6.1	-1.0	16.16	17.0	24.25	85	74	87	82	35	28	7.1	7.5	7.8	7.5	115	20	14	14	11	6	—	—	—	6	3	18
Mai	7.3	12.3	6.8	8.3	0.4	9	20.0	30	89	86	92	89	32	30	7.3	7.8	7.0	7.4	319	76	13	19	17	7	—	—	1	5	2	14
Juni	14.8	19.6	13.0	15.1	10.4	7	23.0	18	—	—	—	—	—	—	3.7	3.9	4.1	3.9	97	20	7	16	15	—	—	—	7	2	10	4
Juli	12.7	16.5	12.1	13.3	5.4	12	25.0	5.6	86	81	94	87	32	4	5.8	6.5	8.4	6.9	253	*62	23	21	16	—	—	—	3	2	2	14
Aug.	12.6	16.5	12.7	13.6	5.8	15	22.6	28	87	82	92	87	41	21	5.9	5.7	6.2	5.9	242	65	14	16	16	—	—	—	—	2	6	12
Sept.	10.0	14.1	10.5	11.3	4.6	30	20.2	6.19	93	81	95	90	39	12	7.1	6.6	6.1	6.6	251	49	7	21	19	—	—	—	1	10	2	10
Okt.	5.3	8.6	5.9	6.4	-2.0	26	16.8	12	84	80	89	84	28	19	6.4	5.9	6.2	6.2	311	41	26	19	19	11	—	—	—	4	9	14
Nov.	3.1	6.6	3.5	4.2	-4.8	12	14.0	22	—	—	—	—	—	—	5.9	6.7	4.8	5.8	192	37	16	19	17	6	—	—	—	6	4	7
Dez.	-3.0	0.3	-2.7	-2.0	-10.0	23	8.6	2	—	—	—	—	—	—	5.8	4.9	5.5	5.4	86	31	12	10	10	9	—	—	—	7	10	11
Jahr	5.9	10.0	6.0	7.0	-10.0	XII	25.0	VII	—	—	—	—	—	—	6.0	5.9	6.1	6.0	2061	76	V	187	169	65	—	—	12	56	80	141

$\lambda = 8^{\circ} 35', \beta = 46^{\circ} 38', H = 1442^m, h_r = 1.5^m.$

Andermatt*)

Beobachter: P. R. Vögeli

Jan.	-3.1	0.1	-2.2	-1.8	-14.0	1	6.9	14	—	—	—	—	—	—	4.8	4.7	4.7	4.7	35	9	12	12	8	12	—	—	—	4	10	9
Febr.	-6.7	-0.6	-4.9	-4.3	-13.4	20	3.6	28	—	—	—	—	—	—	4.2	3.3	4.7	4.1	21	7	16	6	5	6	—	—	—	5	10	5
März	-1.3	3.7	0.0	0.6	-10.8	20	9.9	29	—	—	—	—	—	—	6.0	5.8	6.1	6.0	76	25	19	14	12	14	—	—	—	4	5	10
April	1.7	6.2	2.6	3.2	-3.2	16	13.7	27	—	—	—	—	—	—	7.5	7.1	8.0	7.5	156	26	4	17	16	11	—	—	—	5	1	18
Mai	4.3	9.0	5.8	6.0	-2.0	10	17.2	31	—	—	—	—	—	—	7.3	8.6	8.5	8.1	173	32	13	21	18	7	—	—	7	—	16	
Juni	11.4	17.4	12.4	13.2	9.6	10.20	20.2	23.25	—	—	—	—	—	—	3.7	5.0	6.2	5.0	30	9	26	12	9	—	—	—	2	—	3	4
Juli	9.7	14.4	10.4	11.0	3.2	12	24.8	4	—	—	—	—	—	—	5.1	6.2	7.9	6.4	183	54	18	20	19	—	—	—	4	8	1	11
Aug.	9.1	15.2	11.4	11.5	4.8	8	24.2	26	—	—	—	—	—	—	4.7	4.8	5.8	5.1	102	22	14	14	13	—	—	—	1	11	9	9
Sept.	7.3	12.8	8.8	9.3	1.8	17	19.8	5	—	—	—	—	—	—	6.1	6.5	7.2	6.6	156	35	29	17	14	—	—	—	9	3	11	
Okt.	1.7	8.0	3.7	4.3	-4.8	28	16.4	16.17	—	—	—	—	—	—	6.0	5.9	6.2	6.0	163	28	5	17	16	10	—	—	—	5	8	14
Nov.	-0.3	3.8	0.9	1.3	-9.4	13	9.6	1.22	—	—	—	—	—	—	7.0	6.5	6.6	6.7	220	82	29	21	18	12	—	—	—	2	3	12
Dez.	-6.0	-3.1	-4.8	-4.7	-5.6	16	7.0	1	—	—	—	—	—	—	3.9	3.9	5.2	4.3	32	11	12	11	9	11	—	—	—	4	9	6
Jahr	2.3	7.2	3.7	4.1	-15.6	XII	24.8	VII	—	—	—	—	—	—	5.5	5.7	6.4	5.9	1347	82	XI	182	157	83	—	—	7	64	62	125

*) Andermatt. Die Abendbeobachtung geschieht um 20⁰⁰.

$\lambda = 8^{\circ} 26', \beta = 47^{\circ} 2', H_b = 450^m, h_r = 1.9^m.$

Weggis*)

Beobachter: Frau S. Naef, Fam. Zimmermann

Jan.	1.7	3.9	2.1	2.4	1.2	25	12.5	13	86	72	83	80	29	13	8.1	7.4	6.5	8.3	31	9	15	7	6	1	—	—	—	9	1	17	
Febr.	-0.2	2.5	0.5	0.8	5.8	10.11	7.0	27	69	58	70	66	37	26	7.6	6.4	6.4	7.8	21	10	15	6	6	3	—	—	—	1	3	14	
März	4.2	8.1	5.4	5.8	2.5	21	13.2	31	78	54	72	68	30	31	6.3	5.8	4.9	5.7	70	12	18	15	12	3	—	—	—	1	7	11	
April	7.4	12.6	8.2	9.1	2.2	20	22.2	28	77	51	74	67	19	28	6.0	5.9	5.3	5.7	211	41	4	14	13	1	—	—	—	1	7	10	
Mai	10.1	14.9	10.4	11.4	4.8	8	22.0	31	73	51	76	67	28	20	7.4	6.6	6.3	6.8	246	60	7	18	17	—	—	—	—	—	1	10	
Juni	17.9	22.6	11.9	18.6	13.8	2	25.2	12	73	56	79	69	39	12	4.0	3.4	3.0	3.5	152	47	23	13	12	—	—	—	7	—	13	4	
Juli	15.8	19.7	16.0	16.9	9.1	11	28.0	5.6	85	67	81	78	46	9	4.9	4.5	4.8	4.7	256	58	18	21	21	—	—	—	1	3	—	7	7
Aug.	15.3	19.8	16.3	16.9	9.9	17	24.9	24	91	68	89	83	45	16.16	6.5	3.8	3.6	4.6	151	18	13	15	15	—	—	—	1	—	4	6	
Sept.	14.1	18.0	14.2	15.1	8.0	27	24.8	6	90	69	92	84	42	21	7.5	5.1	4.9	5.8	114	30	25	12	15	—	—	—	—	—	3	11	
Okt.	8.4	11.1	8.7	9.2																											

$\lambda = 8^{\circ} 31', \beta = 47^{\circ} 0', H = \text{ca. } 450 \text{ m, } h_r = 1.5 \text{ m}$.

Gersau

Beobachter: R. Nigg

1980	Luft-Temperatur						Relative Feuchtigkeit					Bewölkung				Niederschlag		Zahl der Tage												
	7 ⁰⁰	13 ³⁰	21 ³⁰	Mittel	Minimum Tag	Maximum Tag	7 ⁰⁰	13 ³⁰	21 ³⁰	Mittel	Minimum Tag	7 ⁰⁰	13 ³⁰	21 ³⁰	Mitt.	Summe	Maximum Tag	*	≥0	*	▲	☉	☑	☐	☑	☐	☑	☐		
Jan.	2.4	4.9	3.3	3.5	-1.0	23.24	16.4	26	92	81	85	86	29	5.26	6.9	5.9	4.9	5.9	35	9	11	8	8	3	—	—	—	2	6	8
Febr.	-0.1	2.7	0.7	1.0	-5.6	10	7.8	28	83	71	79	78	49	6.25	5.0	5.3	4.3	5.1	28	12	15	7	7	3	—	—	—	—	6	5
März	3.7	8.0	5.2	5.5	-2.4	21	12.8	31	88	67	83	79	41	31	4.8	5.0	4.7	4.8	*90	26	10	*17	*15	*4	—	—	—	—	8	7
April	7.1	12.8	8.8	9.4	1.6	14	21.8	28	89	61	78	76	28	28	5.9	5.3	6.1	5.8	*210	*35	4.29	15	15	1	—	—	—	—	4	9
Mai	9.7	14.6	11.0	11.6	5.4	9	24.0	18	89	63	83	78	41	17	6.1	6.0	6.0	6.0	287	49	14	20	18	—	—	—	—	3	10	
Juni	16.7	23.4	17.6	18.8	13.8	8	26.4	12	87	58	78	74	39	24	2.5	2.6	3.8	3.0	167	40	23	13	12	—	1	6	—	11	1	
Juli	15.1	20.0	15.8	16.7	9.4	11	28.8	5	90	65	83	79	43	5	4.9	5.0	5.8	5.2	199	30	18	21	18	—	1	4	—	4	5	
Aug.	15.1	20.1	16.5	17.1	9.8	17	26.4	31	91	66	88	82	45	15	5.0	4.0	4.1	4.4	131	17	13	16	15	—	—	3	—	10	5	
Sept.	13.8	17.9	14.6	15.2	8.2	27	27.2	1	93	71	87	84	35	19	5.8	6.4	4.7	5.6	123	27	25	18	18	—	—	—	—	4	7	
Okt.	8.1	11.8	9.1	9.5	2.2	28	20.4	12	93	72	84	85	30	12	7.3	6.3	5.9	6.5	266	57	26	19	19	—	—	—	—	1	6	14
Nov.	6.3	9.3	7.0	7.7	0.6	12	19.0	21	80	70	77	78	30	9.27	6.1	5.5	3.4	5.1	84	20	4	18	15	1	—	—	—	—	5	5
Dez.	1.7	3.3	2.0	2.2	-3.8	25	10.6	31	85	77	83	82	35	31	8.7	7.4	7.5	7.9	58	17	5	15	14	4	—	—	—	—	1	16
Jahr	8.3	12.4	9.3	9.8	-5.6	11	28.8	VII	89	69	83	80	28	IV	5.8	5.4	5.1	5.4	1678	57	X	187	174	16	2	15	4	68	92	

$\lambda = 8^{\circ} 37', \beta = 46^{\circ} 44', H = 742 \text{ m, } h_r = 1.5 \text{ m}$.

Gurtellen

Beobachter: J. Strickler

1980	Luft-Temperatur						Relative Feuchtigkeit					Bewölkung				Niederschlag		Zahl der Tage												
	7 ⁰⁰	13 ³⁰	21 ³⁰	Mittel	Minimum Tag	Maximum Tag	7 ⁰⁰	13 ³⁰	21 ³⁰	Mittel	Minimum Tag	7 ⁰⁰	13 ³⁰	21 ³⁰	Mitt.	Summe	Maximum Tag	*	≥0	*	▲	☉	☑	☐	☑	☐	☑	☐		
Jan.	2.6	5.4	3.9	4.0	-3.0	24	14.0	14	78	70	71	73	28	24	4.5	4.4	3.7	4.2	27	10	16	9	7	5	—	—	2	11	7	
Febr.	-0.8	2.5	0.9	0.9	-6.0	13	12.0	28	74	67	75	72	27	13	5.2	4.9	4.5	4.0	4	3	1	3	1	3	—	—	1	4	4	
März	3.8	8.8	6.1	6.2	-3.0	21	16.3	3	79	58	75	71	28	3.31	5.7	6.2	5.0	5.6	71	20	19	14	10	7	—	—	1	5	8	
April	6.6	10.9	7.4	8.1	0.1	15	20.0	27	84	65	83	77	34	21.27	6.8	7.1	6.8	6.9	122	30	19	11	11	8	—	—	—	—	2	15
Mai	9.5	13.6	10.3	10.9	4.0	9.10	23.0	29	84	66	84	78	35	29	6.6	7.2	7.2	7.0	170	35	13	17	14	2	—	—	—	—	1	12
Juni	16.4	23.3	16.7	18.3	12.8	15	27.0	7.12	78	59	81	73	31	12	3.5	4.7	5.5	4.6	19	3	26	12	8	—	—	—	—	4	1	
Juli	13.6	19.6	15.4	16.0	8.2	11	28.3	5	85	65	83	78	34	21	5.1	5.8	7.3	6.1	124	35	23	14	13	—	—	—	—	2	8	
Aug.	15.8	19.9	15.4	16.1	8.0	15	31.2	11	87	69	88	81	36	2	4.7	4.3	5.2	4.7	139	41	14	11	11	—	—	1	—	11	8	
Sept.	12.8	17.1	13.0	14.0	8.1	27	24.8	1	89	71	87	82	38	19	6.1	6.1	5.5	5.9	109	27	29	14	12	—	—	—	—	6	9	
Okt.	7.2	11.6	8.4	8.9	0.0	28	20.2	19	85	75	88	83	22	19	6.1	6.4	5.9	6.1	121	22	5	17	16	5	—	—	1	8	14	
Nov.	5.6	8.1	6.2	6.5	0.0	13	16.8	22	81	75	82	79	35	1	6.7	5.5	4.5	5.6	162	71	29	17	14	2	—	—	2	6	8	
Dez.	-0.5	1.3	0.0	0.2	-7.0	25	9.0	29	86	82	90	86	22	29	7.1	6.5	7.1	6.9	26	6	9	9	8	5	—	—	7	4	14	
Jahr	7.6	11.8	8.6	9.2	-7.0	XII	31.2	VIII	82	69	82	78	22	X/XI	5.7	5.8	5.7	5.7	1094	71	XI	148	125	37	—	2	14	64	108	

$\lambda = 8^{\circ} 10', \beta = 46^{\circ} 48', H_b = 726 \text{ m, } h_r = 1.5 \text{ m}$.

Lungern

Beobachter: Frl. P. Renggli

1980	Luft-Temperatur						Relative Feuchtigkeit					Bewölkung				Niederschlag		Zahl der Tage											
	7 ⁰⁰	13 ³⁰	21 ³⁰	Mittel	Minimum Tag	Maximum Tag	7 ⁰⁰	13 ³⁰	21 ³⁰	Mittel	Minimum Tag	7 ⁰⁰	13 ³⁰	21 ³⁰	Mitt.	Summe	Maximum Tag	*	≥0	*	▲	☉	☑	☐	☑	☐	☑	☐	
Jan.	1.2	4.6	2.2	2.6	-3.6	18	12.7	26	75	62	70	69	24	13	4.5	5.1	3.9	4.5	43	9	12	8	8	4	—	—	4	9	7
Febr.	-2.6	1.5	-1.3	-0.9	-8.7	12	7.6	26	81	61	77	73	33	14	7.3	7.1	6.5	7.0	24	15	16	6	6	5	—	—	1	4	16
März	2.0	7.9	3.3	4.1	-5.8	21	13.4	14	79	54	74	69	28	10	6.4	6.7	4.7	5.9	82	13	18	16	15	7	—	—	6	5	9
April	6.0	11.8	7.1	8.0	0.8	19	21.2	28	77	50	75	67	27	28	7.3	7.3	5.9	6.8	134	26	4	14	12	6	—	—	4	4	14
Mai	9.2	14.0	9.3	10.4	3.2	8	26.2	30	70	51	79	67	25	30	6.7	7.6	7.2	7.2	238	52	13	21	17	—	—	—	—	9	—
Juni	15.0	21.3	16.1	17.1	9.0	6	24.0	12	60	51	78	63	35	2	5.4	5.9	5.2	5.5	102	49	16	11	11	—	—	3	—	1	2
Juli	13.6	18.7	14.4	15.3	9.2	11.26	26.4	5	67	56	77	67	37	21	6.0	7.2	7.5	6.9	260	64	18	22	19	—	1	2	—	—	11
Aug.	13.3	19.8	15.3	15.9	8.4	1	25.0	25.29	77	56	81	71	35	15	5.3	5.7	5.7	5.6	164	36	15	13	13	—	1	1	1	9	12
Sept.	11.9	16.7	12.4	13.4	5.0	27	23.8	1	86	60	83	76	29	21	7.3	7.4	5.5	6.7	143	28	25	16	15	—	—	2	3	—	12
Okt.	6.6	11.2	7.4	8.1	1.0	28	16.0	4	79	59	84	74	38	16	6.9	6.7	6.2	6.0	212	52	9	18	15	3	—	—	1	5	13
Nov.	5.2	9.3	6.4	6.8	-2.6	13	17.8	30	73	59	70	67	28	27.28	6.9	6.9	5.2	6.3	176	35	16	19	16	2	—	—	4	2	8
Dez.	-1.0	1.5	-0.2	0.0	-7.0	11	9.3	31	86	71	82	80	35	31	7.9	7.9	7.5	7.8	61	8	13	14	12	9	—	—	4	2	20
Jahr	6.7	11.5	7.7	8.4	-8.7	II	26.4	VII	76	57	78	70	24	1	6.5	6.8	5.9	6.4	1699	64	VII	178	159	36	2	S	29	41	133

$\lambda = 7^{\circ} 7', \beta = 46^{\circ} 29', H = 1010 \text{ m, } h_r = 1.5 \text{ m}$.

Château d'Oex

Beobachter: Ch. E. Juvet

1980	Luft-Temperatur						Relative Feuchtigkeit					Bewölkung				Niederschlag		Zahl der Tage												
	7 ⁰⁰	13 ³⁰	21 ³⁰	Mittel	Minimum Tag	Maximum Tag	7 ⁰⁰	13 ³⁰	21 ³⁰	Mittel	Minimum Tag	7 ⁰⁰	13 ³⁰	21 ³⁰	Mitt.	Summe	Maximum Tag	*	≥0	*	▲	☉	☑	☐	☑	☐	☑	☐		
Jan.	-1.6	4.0	-0.3	0.4	-9.6	25	9.4	13	70	50	71	64	29	13	4.6	4.0	3.3	4.0	52	14	11	9	8	7	—	—	2	10	4	
Febr.	-5.1	2.0	-2.7	-2.1	-10.6	10.18	7.6	28	78	45	76	66	27	14	5.8	4.0	3.2	5.0	28	8	15	8	7	8	—	—	3	8	9	
März	0.5	8.0	2.6	3.4	-8.8	21	13.8	28	78	42	76	64	18	31	6.0	6.7	5.2	6.0	86	9	18	14	12	8	—	—	1	2	5	11
April	4.2	11.3	5.1	6.4	0.0	16	19.5	28	76	40	76	64	19	8	5.6	7.3	6.1	6.3	126	29	29	12	10	6	—	—	1	6	15	
Mai	7.6	13.0	8.0	9.1	1.7	8	20.5	30	71	43	75	63	27	17	6.7	7.6	6.9	7.1	160	36	14	20	14	2	—	—	—	—	1	13
Juni	13.9	20.6	13.9	15.6	12.0	8.19	23.8	23	70	40	79	63	22	1	4.5	6.4	6.5	5.8	139	17	23	25	23	—	—	7	—	1	6	
Juli	12.5																													

$\lambda = 6^{\circ} 55', \beta = 46^{\circ} 41', H_b = 764^m, h_r = 1.5^m.$

Romont

Beobachter: Couvent des Capucins

1830	Luft-Temperatur						Relative Feuchtigkeit					Bewölkung				Niederschlag		Zahl der Tage												
	7 ³⁰	13 ³⁰	21 ³⁰	Mittel	Minimum Tag	Maximum Tag	7 ³⁰	13 ³⁰	21 ³⁰	Mittel	Minimum Tag	7 ³⁰	13 ³⁰	21 ³⁰	Mitt.	Summe	Maximum Tag	*	* ≥1,0	*	▲	☉	☾	☼	☽	halb	trüb			
	Jan.	-0.1	3.3	1.0	1.3	-5.0	25	7.7	13	90	74	90	85	51	20	6.3	6.1	4.8	5.7	51	20	15	6	6	2	-	-	6	5	10
Febr.	-2.7	1.0	-1.1	-1.0	-9.0	11	6.0	28	86	70	83	80	46	26	7.8	6.4	6.5	6.9	38	7	-	7	7	7	-	-	2	4	14	
März	1.8	6.7	3.8	4.0	-6.2	21	11.6	31	86	64	81	77	40	10	6.3	6.5	5.9	6.2	105	7	-	13	13	5	-	-	1	2	3	11
April	5.0	10.5	6.8	7.3	0.4	18	18.0	28	88	50	81	76	30	6	5.9	6.7	6.8	6.5	111	23	29	15	13	3	-	1	-	5	13	
Mai	8.1	12.8	9.3	9.9	2.4	9	21.0	18	85	62	83	77	38	20	7.1	7.3	6.8	7.1	155	29	7	20	18	-	-	4	1	-	12	
Juni	14.9	20.7	16.4	17.1	12.0	3	23.0	16	82	66	79	76	46	3.25	4.7	5.2	5.4	76	21	24	12	12	-	-	4	1	5	4		
Juli	13.6	18.7	14.7	15.4	8.5	12	25.2	5	82	56	76	71	39	6	5.3	6.0	6.4	5.9	219	45	18	15	15	-	-	4	1	5	8	
Aug.	13.2	18.8	15.4	15.7	8.4	17	24.0	29	85	62	81	76	44	16	4.9	4.3	4.8	4.7	104	30	4	12	11	-	1	1	-	10	8	
Sept.	11.4	16.4	13.1	13.5	6.0	27	24.2	6	89	63	83	78	46	6	7.2	6.7	5.5	6.5	105	23	11	17	15	-	-	-	5	2	8	
Okt.	6.0	10.3	7.5	7.8	0.8	28	15.7	17	90	73	88	84	55	21	7.4	6.3	6.9	6.9	157	37	9	17	17	1	-	-	4	6	17	
Nov.	4.1	7.7	5.0	5.4	-2.3	13	13.2	21	82	69	80	77	47	15.28	6.2	6.2	6.4	6.3	114	24	2	15	14	3	-	-	4	5	10	
Dez.	-0.9	0.9	-0.5	-0.2	-7.4	21	5.2	7	89	81	86	85	57	7	7.5	6.8	7.2	7.2	71	7	-	15	15	5	-	-	8	2	17	
Jahr	6.2	10.7	7.6	8.0	-9.0	II	25.2	VII	86	67	83	79	30	IV	6.4	6.2	6.1	6.2	1306	45	VII	164	156	26	1	15	36	52	132	

$\lambda = 8^{\circ} 38', \beta = 47^{\circ} 42', H_b = 448^m, h_r = 1.5^m.$

Schaffhausen

Beobachter: G. Meyer

Jan.	0.0	2.9	0.5	1.0	-4.5	5	8.3	13	94	86	93	91	47	12.13	8.5	7.5	6.7	7.6	38	12	11	9	8	1	-	-	13	3	19
Febr.	-2.8	2.8	-0.6	-0.3	-8.5	10.11	9.5	27.28	81	57	72	72	26	9	6.5	5.6	5.1	5.7	28	11	3	8	7	5	-	-	2	7	11
März	2.0	8.8	4.8	5.1	-3.4	21	15.1	28	94	61	81	79	27	30.31	6.8	5.6	5.6	6.0	49	8	23	16	12	4	-	1	3	5	14
April	7.0	13.1	8.8	9.4	2.1	20	22.5	28	89	54	75	73	29	10	5.8	6.1	6.0	6.0	115	21	4	15	13	-	-	1	-	5	12
Mai	9.5	16.0	11.2	12.0	4.5	9	23.5	18	88	59	81	76	21	20	7.3	6.1	7.9	7.1	116	27	23	19	16	-	-	2	1	-	12
Juni	16.8	23.8	18.3	19.3	14.0	5.6	27.6	26	81	55	73	70	34	11	3.6	3.2	4.7	3.8	60	16	24	14	12	-	-	6	1	8	2
Juli	14.4	19.8	15.3	16.2	9.8	12	30.0	5	87	63	83	78	30	9	6.6	5.8	6.3	6.2	218	48	6	21	18	-	-	6	1	2	8
Aug.	14.5	20.4	15.6	16.5	10.2	8.17	26.5	26	87	62	85	78	32	17	5.7	4.7	4.6	5.0	88	21	15	16	13	-	-	1	-	9	7
Sept.	11.5	17.6	12.7	13.6	6.2	17	22.7	19	95	68	90	84	35	4	7.4	5.5	3.9	5.6	61	16	6	17	13	-	-	2	6	5	8
Okt.	6.8	11.0	7.7	8.3	1.5	28	15.2	8	98	78	95	90	45	21	9.7	6.5	6.1	7.4	129	24	6	20	15	-	-	9	1	18	
Nov.	4.0	8.2	5.4	5.8	-3.5	14	16.0	29	93	80	86	86	45	29	7.3	5.6	6.4	6.4	111	30	20	19	17	2	-	-	6	1	9
Dez.	-0.4	2.2	0.3	0.6	-8.3	21	9.0	31	92	83	87	87	40	20	8.9	7.2	8.0	8.0	38	8	30	11	10	3	-	-	3	1	20
Jahr	6.9	12.2	8.3	8.9	-8.5	II	30.0	VII	90	67	83	80	21	V	7.0	5.8	5.9	6.2	1051	48	VII	185	154	15	-	19	44	47	140

$\lambda = 7^{\circ} 47', \beta = 47^{\circ} 33', H_b = 280^m, h_r = 1.6^m.$

Rheinfelden

Beobachter: Frl. A. Hoffmann

Jan.	0.9	5.0	1.7	2.3	-4.1	6	10.6	13	92	74	91	86	48	12	6.3	5.5	4.7	5.5	38	15	15	9	9	-	-	-	6	5	7
Febr.	-0.7	4.5	0.8	1.3	-8.2	12	11.9	27	80	56	76	71	37	26	7.0	5.7	6.0	6.2	27	7	1	9	6	2	-	-	-	6	12
März	3.2	10.3	5.6	6.2	-1.9	1	16.3	15	91	57	81	76	30	10	6.5	6.5	5.4	6.1	45	7	13	13	12	3	-	-	2	4	12
April	7.9	14.5	9.2	10.2	2.6	10	22.6	27	87	54	82	74	34	11	7.0	6.5	5.9	6.5	117	18	4	17	15	-	-	2	1	4	12
Mai	10.8	16.7	11.2	12.5	6.2	9	29.3	31	85	59	88	77	30	20	7.8	7.3	6.9	7.3	188	39	13	24	18	-	-	4	-	12	4
Juni	17.7	23.8	17.9	19.3	14.4	9	26.9	19.28	80	52	83	72	38	18	6.0	3.8	4.6	4.8	96	31	8	12	10	-	-	7	6	6	4
Juli	15.9	21.1	15.6	17.0	7.9	14	29.7	5	83	56	87	75	33	1	7.3	6.1	5.7	6.4	190	29	23	21	19	-	-	7	1	1	11
Aug.	15.4	22.0	15.9	17.3	9.7	17	28.2	28	84	57	89	77	35	17	6.0	5.0	4.5	5.2	77	30	2	17	12	-	-	1	2	6	7
Sept.	13.4	18.9	13.8	15.0	8.6	30	27.1	1	88	59	89	79	38	4	6.8	5.9	4.8	5.8	59	13	6	17	14	-	-	1	4	4	8
Okt.	8.5	13.0	9.3	10.0	4.0	14	16.7	5.8.12	91	67	89	82	43	1	8.0	6.3	5.9	6.7	163	29	6	18	17	-	1	1	4	5	16
Nov.	5.9	9.7	7.2	7.5	-0.4	13	16.9	21	85	67	82	78	48	5.22	8.1	6.8	7.3	7.4	134	22	16	17	17	2	-	-	5	2	16
Dez.	2.0	4.3	2.6	2.9	-4.9	21	12.7	31	84	74	80	79	46	31	9.2	6.4	8.3	8.0	53	9	27	13	12	1	-	-	7	-	12
Jahr	8.4	13.7	9.2	10.1	-8.2	II	29.7	VII	86	61	85	77	30	III/V	7.2	6.0	5.8	6.3	1187	39	V	187	161	8	1	19	42	43	129

Rheinfelden. Ab Juni $H_b = 283^m$.

$\lambda = 7^{\circ} 44', \beta = 47^{\circ} 29', H = 325^m, h_r = 1.5^m.$

Liestal

Beobachter: H. Pfaff

Jan.	0.4	5.5	1.5	2.2	-3.8	21	11.4	14	95	74	95	88	42	11	6.4	5.4	4.5	5.4	45	18	15	9	7	-	-	-	2	4	7
Febr.	-1.4	4.6	0.2	0.9	-8.1	12	12.5	27	86	57	83	75	37	10	6.8	6.1	6.2	6.4	18	5	15	9	7	4	-	-	-	7	14
März	2.3	10.6	4.9	5.7	-3.2	10	18.7	28	95	54	86	78	23	31	6.3	7.0	4.7	6.0	43	7	10	14	11	2	-	1	-	4	12
April	6.6	14.4	8.7	9.6	1.1	20	24.1	27.28	93	55	88	79	29	11	7.2	7.1	6.4	6.9	138	25	14	16	14	1	1	2	-	4	15
Mai	10.1	16.4	11.0	12.1	5.2	9	23.9	17	88	57	92	79	27	20	7.2	7.8	7.1	7.4	180	33	2	21	19	-	-	2	-	1	14
Juni	17.4	24.3	17.5	19.2	13.7	2	29.5	30	79	51	89	73	30	18	5.3	4.7	5.1	5.0	106	27	8	11	11	-	1	8	3	6	4
Juli	15.7	21.4	15.9	17.2	9.9	11	31.9	4	83	55	91	76	35	21	6.3	6.4	6.1	6.3	182	27	23	21	17	-	-	6	-	3	11
Aug.	15.1	22.6	15.5	17.2	9.6	17	30.2	26	90	56	94	80	33	31	5.4	5.5	4.3	5.1	87	31	2	16	13	-	1	1	-	9	7
Sept.	12.2	19.2	13.2	14.4	5.6	30	29.2	19	97	62	94	84	21	19	6.7	6.5	5.4	6.2	57	11	6	15	14	-	1	2	1	5	9
Okt.	7.2	13.8	8.5	9.5	1.5	28	18.5	1	96	67	94	86	42	1.3	7.8	6.4	6.0	6.7	137	22	9	18	17	-	-	-	2	6	16
Nov.	5.0	9.7	6.1	6.7	-3.6	14	16.9	21	92	70	89	84	42	25	7.3	6.6	6.7	6.9	131	24	3	17	17	2	-	-	1	2	12
Dez.	0.2	3.4	0.6	1.2	-8.4	21	12.6	31	94	77	91	87	45	31	8.3	6.9	7.												

Olten

Beobachter: J. Naef

λ = 7° 54', β = 47° 21', H = ca. 400 m, h_r = 1.5 m.

Table with columns for Luft-Temperatur (7:30, 13:00, 21:00, Mittel, Minimum Tag, Maximum Tag), Relative Feuchtigkeit (7:30, 13:30, 21:30, Mittel, Minimum Tag), Bewölkung (7:30, 13:30, 21:30, Mitt.), Niederschlag (Summe, Maximum Tag), and Zahl der Tage (various weather symbols and counts).

λ = 8° 20', β = 47° 16', H_b = 483 m, h_r = 0.9 m.

Muri

Beobachter: A. Müller

Table with columns for Luft-Temperatur (7:30, 13:00, 21:00, Mittel, Minimum Tag, Maximum Tag), Relative Feuchtigkeit (7:30, 13:30, 21:30, Mittel, Minimum Tag), Bewölkung (7:30, 13:30, 21:30, Mitt.), Niederschlag (Summe, Maximum Tag), and Zahl der Tage (various weather symbols and counts).

λ = 7° 37', β = 46° 46', H_b = 515 m, h_r = 1.9 m.

Thun

Beobachter: Eidg. Munitionsfabrik: E. Stucki

Table with columns for Luft-Temperatur (7:30, 13:00, 21:00, Mittel, Minimum Tag, Maximum Tag), Relative Feuchtigkeit (7:30, 13:30, 21:30, Mittel, Minimum Tag), Bewölkung (7:30, 13:30, 21:30, Mitt.), Niederschlag (Summe, Maximum Tag), and Zahl der Tage (various weather symbols and counts).

λ = 7° 41', β = 46° 45', H_b = 1125 m, h_r = 1.4 m.

Heiligenschwendi

Beobachter: Sanatorium

Table with columns for Luft-Temperatur (7:30, 13:00, 21:00, Mittel, Minimum Tag, Maximum Tag), Relative Feuchtigkeit (7:30, 13:30, 21:30, Mittel, Minimum Tag), Bewölkung (7:30, 13:30, 21:30, Mitt.), Niederschlag (Summe, Maximum Tag), and Zahl der Tage (various weather symbols and counts).

Heiligenschwendi. Die Abendbeobachtung geschieht um 20:30.

λ = 6° 38', β = 46° 59', H = ca. 1077m, h_r = 1.5m.

La Brévine

Beobachter: Frau J. Matthey de l'Etang

Table for La Brévine with columns for Luft-Temperatur, Relative Feuchtigkeit, Bewölkung, Niederschlag, and Zahl der Tage, covering months from Jan to Dec and annual summary.

λ = 6° 54', β = 47° 4', H = 800m, h_r = 1.7m.

Cernier

Beobachter: Ecole d'Agriculture

Table for Cernier with columns for Luft-Temperatur, Relative Feuchtigkeit, Bewölkung, Niederschlag, and Zahl der Tage, covering months from Jan to Dec and annual summary.

λ = 7° 0', β = 47° 9', H = ca. 1200m, h_r = 1.5m.

Mont Soleil (ob St. Imier)

Beobachter: A. Mathys

Table for Mont Soleil (ob St. Imier) with columns for Luft-Temperatur, Relative Feuchtigkeit, Bewölkung, Niederschlag, and Zahl der Tage, covering months from Jan to Dec and annual summary.

λ = 7° 56', β = 46° 7', H = ca. 1800m, h_r = 1.5m.

Saas-Fee

Beobachter: Ad. Imseng

Table for Saas-Fee with columns for Luft-Temperatur, Relative Feuchtigkeit, Bewölkung, Niederschlag, and Zahl der Tage, covering months from Jan to Dec and annual summary.

$\lambda = 7^\circ 51', \beta = 46^\circ 12', H = \text{ca. } 1629^m, h_r = 1.5^m.$

Grächen

Beobachter: **St. Venetz**

1930	Luft-Temperatur						Relative Feuchtigkeit					Bewölkung				Niederschlag		Zahl der Tage								
	7 ³⁰	13 ³⁰	21 ³⁰	Mittel	Minimum Tag	Maximum Tag	7 ³⁰	13 ³⁰	21 ³⁰	Mittel	Minimum Tag	7 ³⁰	13 ³⁰	21 ³⁰	Mittel	Summe	Maximum Tag	*	* 10	*	▲	□	≡	helle	fröh.	
Jan.	-2.0	2.6	-1.5	-0.6	-8.6	5	8.4	28																		
Febr.	-5.9	0.0	+4.9	-3.9	-9.8	25	4.4	12.2																		
März	-1.3	4.2	-0.3	0.6	-8.4	21	10.0	3																		
April	1.8	6.5	2.5	3.3	-4.4	18	13.8	27																		
Mai	4.9	8.9	5.3	6.1	-1.0	9	18.8	30																		
Juni	13.7	18.0	12.5	14.2	9.8	14	21.0	11.30																		
Juli	11.9	15.8	11.3	12.6	5.0	18	23.9	5																		
Aug.	11.7	17.0	13.0	13.7	5.4	14	25.4	26.27																		
Sept.	8.8	14.2	9.3	10.4	2.3	27	25.4	4																		
Okt.	3.8	8.1	4.1	5.0	-5.6	28	15.8	17																		
Nov.	0.8	4.9	1.3	2.1	-5.6	12	10.2	27																		
Dez.	-3.1	1.3	-2.7	-1.8	-9.4	11	9.6	1																		
Jahr	3.8	8.5	4.2	5.1	-9.8	11	25.4	VIII IX																		

$\lambda = 7^\circ 45', \beta = 46^\circ 8', H_b = 1610^m, h_r = 0.8^m.$

Zermatt

Beobachter: **G. Brantschen**

Jan.	-4.9	2.6	-3.7	-2.4	-12.2	1	7.2	13	56	39	55	50	18	13	3.9	3.7	3.2	3.6	66	20	9	8	7	8			2	15	6
Febr.	-9.0	0.5	-6.8	-5.5	-14.0	20	5.0	28	58	36	53	49	22	23.25	4.5	3.4	2.4	3.4	35	24	17	5	3	5			1	14	4
März	-3.9	5.1	-1.3	-0.3	-13.0	21	10.0	28	62	35	59	52	18	21	4.1	5.4	4.5	4.7	35	6	18	10	9	10			1	8	7
April	0.4	8.2	2.4	3.3	-6.1	18	14.0	26	64	35	60	53	22	27.9	5.6	6.1	5.6	5.8	152	40	28	10	9	8			2	6	12
Mai	4.5	11.1	5.6	6.7	-3.0	9	19.0	29.31	61	40	62	54	21	31	6.4	6.7	7.4	6.8	115	26	13	16	15	5			3	1	13
Juni	11.9	20.2	11.6	13.8	10.0	28.8.6	25.0	16	57	30	57	48	20	4.16	3.6	4.9	6.8	5.1	38	10	16	9	8			1	1	2	3
Juli	9.6	17.4	9.8	11.7	4.3	13	26.0	5	66	37	67	57	23	16	5.1	5.4	5.4	5.3	67	11	23	14	12			7	3	6	6
Aug.	7.6	18.4	9.9	11.4	2.0	17	26.3	26	70	36	49	52	16	16	4.1	3.3	3.3	3.6	59	22	14	10	9			3	14	4	4
Sept.	6.1	15.9	8.2	9.6	0.3	22	23.0	1.2.17	74	39	71	61	23	21	4.2	4.0	4.2	4.1	66	28	11	10	10			6	10	5	8
Okt.	1.6	9.8	2.9	4.3	-6.3	27	18.0	15	71	39	71	60	20	17	5.3	5.5	4.4	5.1	73	19	5	14	11	7		1	9	8	6
Nov.	-0.5	5.3	0.0	1.2	-7.0	6.12	12.2	22	65	46	63	58	11	23	5.7	4.9	3.5	4.7	80	38	28	11	9	5			2	9	6
Dez.	-4.9	1.8	-3.8	-2.7	-12.5	11	10.2	1	56	34	56	49	11	29	3.7	3.4	3.2	3.4	14	4	31	7	6	7			15	7	7
Jahr	1.5	9.7	2.9	4.2	-14.0	II	26.3	VIII	63	37	60	53	11	XI XII	4.7	4.7	4.5	4.6	500	40	IV	123	108	54		1	29	106	81

$\lambda = 7^\circ 32', \beta = 46^\circ 18', H_b = 572.7^m, h_r = 1.5^m.$

Siders

Beobachter: **Hôpital d'Arrondissement**

Jan.	1.1	6.1	3.0	3.3	-5.2	21	12.2	28	75	58	66	66	35	6	4.7	4.5	3.4	4.2	38	20	11	6	5	3			8	4	6	
Febr.	-1.1	5.1	0.9	1.4	-4.5	13	10.0	14.28	75	51	63	63	31	10	4.9	4.2	3.6	4.2	21	5	3.17	5	5	3			10	6	10	
März	3.2	10.1	4.9	5.8	-2.4	21	16.1	3	77	50	67	63	31	10	5.3	5.5	5.4	5.1	37	8	16	10	10				4	10	10	
April	6.8	14.2	9.0	9.8	2.7	18	19.6	25	75	48	62	62	29	22	6.1	5.7	6.6	6.1	52	15	29	7	7				4	10	10	
Mai	9.5	16.6	11.7	12.4	4.8	10	24.6	30	81	58	70	70	36	23.30	6.7	6.3	6.9	6.6	79	21	14	14	14				1	9	9	
Juni	16.0	25.5	19.9	20.3	13.7	15	28.2	5	77	42	59	59	36	26.50	4.0	3.4	4.7	4.0	29	22	14	3	3		3		7	1	1	
Juli	14.4	22.4	16.4	17.4	9.8	14	29.8	4	80	48	74	67	35	4.14	4.5	4.9	4.0	4.8	79	17	21	13	13		2	24	5	2	2	
Aug.	14.2	22.8	17.4	18.0	10.0	17	29.0	28	78	51	66	65	35	2.9	3.9	3.6	3.7	3.7	35	12	14	9	9		1		12	3	3	
Sept.	12.4	20.2	15.1	15.7	7.7	30	28.0	6	83	53	77	71	35	5.19	4.5	3.9	4.5	4.3	56	21	29	10	8				7	1	1	
Okt.	6.4	12.8	8.6	9.1	1.0	28	17.4	4	85	58	73	72	37	6	6.0	5.1	5.6	5.6	116	30	9	16	15				7	11	11	
Nov.	4.1	9.1	6.0	6.3	-2.0	13	14.0	26	80	73	78	77	39	26	5.7	4.7	4.5	5.0	100	41	16	12	11				6	4	4	
Dez.	-0.4	3.3	1.1	1.3	-5.0	26	11.0	1	76	68	73	72	32	29	5.6	5.0	5.3	5.6	23	16	30	8	5	1				6	8	8
Jahr	7.2	14.0	9.5	10.0	-5.2	I	29.8	VII	79	55	69	68	29	IV	5.2	4.8	4.9	5.0	665	41	XI	115	105	7		6	4	77	69	69

$\lambda = 7^\circ 37', \beta = 46^\circ 23', H_b = 1415^m, h_r = 1.1^m.$

Leukerbad

Beobachter: **Schwester G. Graenicher**

Jan.	-0.8	3.3	0.0	0.6	-7.2	1	7.2	27	65	51	63	60	32	5	3.8	3.4	2.7	3.3	53	21	11	7	7	7			3	15	6	
Febr.	-5.2	1.0	-3.0	-2.6	-8.0	8.17	5.3	28	68	44	67	60	20	10	4.1	4.0	4.1	4.1	19	10	3	7	6	7			3	12	6	
März	-0.5	5.0	1.4	1.8	-8.0	21	10.2	29	69	52	68	63	20	21	5.0	5.3	4.5	4.9	60	11	14	13	13	13			8	9	6	
April	2.8	8.1	4.1	4.8	-3.3	18	15.0	28	73	50	66	63	29	11	5.9	6.9	5.9	6.2	90	25	13	8	7	4			8	4	12	
Mai	6.5	10.2	6.2	7.3	0.0	9	18.2	30	73	52	78	68	32	17	6.3	7.3	6.9	6.8	151	34	14	20	18	4			10	3	12	
Juni	14.5	19.0	13.2	15.0	10.2	2	22.0	30	67	46	69	61	24	1	3.3	3.3	4.1	3.4	37	14	23	7	7		2		3	8	2	
Juli	11.0	15.8	11.9	12.7	6.0	18.18	23.0	5	78	55	74	69	35	1	4.3	5.1	4.3	4.6	179	33	18	16	15		1	5	5	7	5	
Aug.	11.0	16.2	12.9	13.2	4.0	17	25.0	26	79	58	72	70	29	16	4.5	4.5	3.4	4.1	152	32	14	12	11				6	2	6	
Sept.	8.9	14.5	10.5	11.1	4.0	16.27	21.0	5	86	59	80	75	31	16	5.3	4.7	4.9	5.0	76	16	20	9	8		1		9	7	5	
Okt.	4.1	8.2	4.5	5.3	-3.0	28	15.3	15	80	67	86	78	31	11	6.5	5.9	5.4	5.0	224	62	9	15	14	9			1	9	5	
Nov.	2.1	5.5	2.6	3.2	-5.0	12.13	11.0	1	75	62	74	70	32	27	5.8	5.8	3.5	5.0	214	35	2	13	12	4			2	6	5	
Dez.	-2.7	1.3	-2.3	-1.5	-10.3	11	9.3	1	71	56	76	68	32	2.20	4.6	4.6	4.7	4.6	45	?	?	?	?	?			?	?	?	?
Jahr	4.3	9.0	5.2	5.9	-10.3	XII	25.0	VIII	74	54	73	67	20	II/III	4.9	5.1	4.5	4.8	1309	62	X	136	126	57		1	8	58	92	80

$\lambda = 8^{\circ} 36'$, $\beta = 46^{\circ} 31'$, $H_0 = 1143\text{m}$, $h_r = 0.8\text{m}$.

Airolo

Beobachter: Fr. Burkhalter

1930	Luft-Temperatur						Relative Feuchtigkeit					Bewölkung				Niederschlag		Zahl der Tage													
	7 ^{so}	13 ^{so}	21 ^{so}	Mittel	Minimum Tag	Maximum Tag	7 ^{so}	13 ^{so}	21 ^{so}	Mittel	Minimum Tag	7 ^{so}	13 ^{so}	21 ^{so}	Mitt.	Summe	Maximum Tag	●	●*	●**	●***	▲	▲	▲	▲	▲	▲	▲	▲	helle	grübe
Jan.	-3.4	0.3	-2.8	-2.2	-9.5	24	82	70	87	80	34	13	4.1	4.7	4.8	4.5	87	?	?	10	10	9	—	—	—	—	—	—	13	8	
Febr.	-5.2	0.7	-4.0	-3.1	-11.0	11	82	51	83	75	28	11	5.1	4.3	5.2	4.9	22	*8	1	8	8	8	—	—	—	—	—	—	8	8	
März	0.3	5.4	0.4	1.6	-7.0	19	74	53	82	70	24	9	5.1	5.0	4.0	4.7	91	33	18	9	8	8	—	—	—	—	—	—	9	6	
April	3.7	8.7	3.2	4.7	0.0	13.19	78	59	84	74	24	11	7.0	6.9	5.8	6.6	205	49	13	12	12	4	—	—	—	—	—	3	13		
Mai	6.8	11.6	6.5	7.9	1.2	9	76	60	85	74	32	4	7.3	7.8	7.5	7.5	170	*40	7	16	15	—	—	—	—	—	—	2	16		
Juni	13.0	19.5	12.3	14.3	9.0	14	77	54	87	73	30	1	4.0	4.7	5.0	4.6	145	58	26	14	13	—	—	—	3	—	—	5	4		
Juli	12.3	18.0	11.6	13.4	6.3	18	75	53	81	70	36	90.31	3.8	5.4	5.0	4.7	173	50	17	16	11	—	—	—	—	—	—	7	3		
Aug.	12.5	18.9	12.4	14.0	6.5	14	78	51	83	71	24	17	4.1	4.5	4.2	4.3	110	41	2	12	12	—	—	—	—	—	—	12	6		
Sept.	11.2	15.9	10.3	11.9	1.3	27	78	64	87	76	20	1	5.3	5.6	5.2	5.4	147	48	11	12	10	—	—	—	—	—	—	6	10		
Okt.	7.6	10.3	4.7	6.8	0.2	26	62	55	85	67	20	15	5.2	5.0	3.9	4.7	54	10	9	10	10	—	—	—	—	—	—	11	9		
Nov.	2.9	6.4	3.3	4.0	-1.5	12	75	60	82	72	28	10	5.1	5.1	4.8	5.1	297	98	29	12	12	1	—	—	—	—	—	12	10		
Dez.	-3.1	-0.3	-2.8	-2.2	-9.2	24	82	65	82	76	40	13	4.6	4.5	4.0	4.4	35	?	—	6	6	6	—	—	—	—	—	13	9		
Jahr	4.9	9.6	4.6	5.9	-11.0	11	77	59	84	73	20	IX/X	5.1	5.3	5.0	5.1	1536	98	XI	137	129	36	—	—	3	—	—	101	102		

$\lambda = 8^{\circ} 48'$, $\beta = 46^{\circ} 29'$, $H = 759\text{m}$, $h_r = 0.7\text{m}$.

Faido

Beobachter: A. Heizmann

Faido. Seit September neues Hygrometer, Angaben des bisherigen etwas zu klein.																														
Faido. Seit September neues Hygrometer, Angaben des bisherigen etwas zu klein.																														
Jan.	-0.4	2.2	0.6	0.8	-7.0	24	68	67	70	68	40	18	4.1	4.6	4.2	4.3	122	30	11	8	8	7	—	—	—	—	—	—	11	9
Febr.	-1.4	2.7	0.0	0.3	-6.4	11	66	56	63	62	34	16	5.5	5.7	5.8	5.7	12	8	1	3	3	3	—	—	—	—	—	—	7	11
März	2.8	8.0	4.6	5.0	-3.2	21	62	50	57	56	24	31	4.5	4.8	5.0	4.8	166	98	18	9	9	—	—	—	—	—	—	8	10	
April	6.7	11.3	7.6	8.3	1.2	4.14	63	48	59	57	18	11	6.6	7.4	5.5	6.5	166	?	?	12	12	3	—	—	—	—	—	2	12	
Mai	9.9	14.8	11.2	11.8	6.4	11	66	56	65	62	29	18.20	6.4	7.4	7.0	6.9	137	39	7	14	14	—	—	—	—	—	—	1	15	
Juni	15.8	21.9	16.1	17.5	14.0	6.8	70	56	73	66	39	9.1	5.0	6.2	6.1	5.8	190	66	26	16	14	—	—	—	1	—	—	1	5	
Juli	14.7	21.5	16.2	17.1	9.2	18	66	53	60	60	28	7	3.5	5.5	3.5	4.2	228	*96	*23	9	9	—	—	—	2	—	—	6	3	
Aug.	14.9	21.1	16.5	17.2	10.0	15.16	66	—	—	—	—	—	4.3	4.1	2.8	3.7	77	28	2	9	9	—	—	—	—	—	—	10	3	
Sept.	13.8	17.1	14.2	14.8	7.1	27	88	78	89	85	46	8	4.3	5.8	5.0	5.0	265	59	11	16	15	—	—	—	—	—	—	8	8	
Okt.	7.2	11.4	8.2	8.8	2.9	27	78	61	75	71	31	13	4.4	5.8	4.7	5.0	42	9	4	8	7	1	—	—	—	—	—	8	7	
Nov.	5.0	8.5	5.8	6.3	1.7	13	70	63	69	67	15	23	4.8	5.3	5.4	5.2	186	70	20	10	9	—	—	—	—	—	—	9	10	
Dez.	0.3	2.1	0.7	1.0	-3.1	21	68	63	68	66	31	10	3.8	3.9	3.5	3.7	15	4	8	5	5	3	—	—	—	—	—	14	7	
Jahr	7.4	11.9	8.5	9.1	-7.0	1	78	—	—	—	—	—	4.8	5.5	4.9	5.1	1606	98	III	119	114	17	—	—	3	1	—	85	100	

$\lambda = 8^{\circ} 56'$, $\beta = 46^{\circ} 28'$, $H = 544.1\text{m}$, $h_r = 1.6\text{m}$.

Comprovasco

Beobachter: Fr. Pia Gianella

Jan.	0.1	4.8	0.8	1.6	-7.1	24	13.1	13	—	—	—	—	—	3.8	5.4	5.0	4.7	63	27	9	10	10	7	—	—	—	—	4	11	9
Febr.	-1.0	4.9	0.3	1.1	-5.9	11	8.3	7	—	—	—	—	—	6.0	5.1	5.9	5.7	12	11	1	3	1	3	—	—	—	—	—	6	9
März	3.6	10.9	5.5	6.4	-1.5	21	18.7	6	—	—	—	—	—	4.5	5.5	4.4	4.8	71	29	18	9	8	1	—	—	—	1	10	8	
April	7.1	13.4	8.6	9.4	2.5	14.20	20.5	27	—	—	—	—	—	6.4	7.4	6.2	6.7	166	62	13	12	12	—	—	—	—	—	1	12	
Mai	10.5	16.3	11.3	12.3	5.4	7	24.9	18	—	—	—	—	—	6.2	7.8	6.7	6.9	113	36	7	16	12	—	—	—	—	—	—	11	—
Juni	15.5	23.3	16.3	17.9	12.7	10	28.3	15	—	—	—	—	—	5.0	5.9	6.6	5.8	202	74	26	16	14	—	—	—	5	—	—	6	—
Juli	14.3	22.7	16.5	17.5	9.7	24	28.5	6	—	—	—	—	—	3.7	6.0	4.6	4.8	242	104	23	11	9	—	—	—	3	—	1	5	4
Aug.	14.0	22.5	16.5	17.5	8.1	17	27.9	29	—	—	—	—	—	5.0	4.8	4.6	4.8	87	24	2	9	9	—	—	—	—	—	1	7	5
Sept.	12.6	19.5	13.7	14.9	6.9	27	26.0	6	—	—	—	—	—	5.5	6.1	4.7	5.4	279	73	29	14	14	—	—	—	1	2	—	5	7
Okt.	6.5	13.8	8.4	9.3	0.9	28	18.4	1	—	—	—	—	—	4.5	5.6	5.1	5.1	47	12	12	6	6	—	—	—	—	—	1	6	6
Nov.	5.8	10.7	6.6	7.4	1.2	13.20	16.4	11	—	—	—	—	—	5.5	5.7	4.6	5.3	127	63	29	11	9	—	—	—	—	—	2	5	9
Dez.	0.3	4.3	0.8	1.6	-4.1	19	12.4	1	—	—	—	—	—	4.9	4.5	4.3	4.6	20	6	8	6	5	4	—	—	—	—	—	11	8
Jahr	7.5	13.9	8.8	9.7	-7.1	1	28.5	VII	—	—	—	—	—	5.1	5.9	5.2	5.4	1429	104	VII	123	109	15	1	11	11	—	67	94	

$\lambda = 10^{\circ} 20'$, $\beta = 46^{\circ} 43'$, $H = \text{ca. } 1810\text{m}$, $h_r = 1.5\text{m}$.

Scarl (Untereingadin)

Beobachter: Eidg. Grenzschutzposten

Jan.	—	—	—	—	—	—	—	—	—	—	—	—	—	—	—	—	—	—	—	—	—	—	—	—	—	—	—	—	—	—	—
Febr.	—	—	—	—	—	—	—	—	—	—	—	—	—	—	—	—	—	—	—	—	—	—	—	—	—	—	—	—	—	—	—
März	—	—	—	—	—	—	—	—	—	—	—	—	—	—	—	—	—	—	—	—	—	—	—	—	—	—	—	—	—	—	—
April	—	—	—	—	—	—	—	—	—	—	—	—	—	—	—	—	—	—	—	—	—	—	—	—	—	—	—	—	—	—	—
Mai	4.0	8.5	3.8	5.0	-2.2	20	17.0	30	74	50	75	66	24	31	7.2	8.0	6.9	7.4	67	14	13	15	12	10	—	—	—	—	2	18	—
Juni	12.0	16.0	9.7	11.9	6.6	1.19	19.0	31	70	42	75	62	28	11.10	4.2	6.5	6.1	5.6	57	18	2	10	9	—	—	—	2	—	—	2	6
Juli	10.5	15.3	8.6	10.8	1.5	14	24.0	5	68	47	80	65	23	5	4.6	5.9	6.5	5.7	129	27	5	12	11	1	—	—	2	—	—	3	7
Aug.	8.7	15.3	8.4	10.2	2.1	15.17	22.4	26	78	45	75	66	19	17	4.1	4.6	3.2	4.0	115	20	5	10	10	2	—	—	—	—	—	12	5
Sept.	6.5	12.0	7.0	8.1	0.2	17	20.0	5	76	52	79	69	19	1	5.9	6.6	5.7	6.1	114	20	26	12	12	2	—	—	—	—	—	5	12
Okt.	1.0	6.5	1.3	2.5	-5.2	26	14.2	4	72	49	76	66	22	19	4.2	5.3	4.7	4.7	60	14	10	10									

$\lambda = 9^{\circ} 9', \beta = 46^{\circ} 15', H = 335 \text{ m}, h_r = 1.3 \text{ m}.$

Grono

Beobachter: M. Parolini

Table with columns: 1980, Luft-Temperatur (7.00, 13.00, 21.00, Mittel, Minimum Tag, Maximum Tag), Relative Feuchtigkeit (7.00, 13.00, 21.00, Mittel, Minimum Tag), Bewölkung (7.00, 13.00, 21.00, Mittel, Summe, Maximum Tag), Niederschlag (Summe, Maximum Tag), Zahl der Tage (various weather symbols). Rows for months Jan to Dec and annual totals.

$\lambda = 8^{\circ} 19', \beta = 47^{\circ} 22', H = 381 \text{ m}, h_r = 9.6 \text{ m}.$

Baden

Beobachter: Jos. Widmer

Table with columns: 1980, Luft-Temperatur (7.00, 13.00, 21.00, Mittel, Minimum Tag, Maximum Tag), Relative Feuchtigkeit (7.00, 13.00, 21.00, Mittel, Minimum Tag), Bewölkung (7.00, 13.00, 21.00, Mittel, Summe, Maximum Tag), Niederschlag (Summe, Maximum Tag), Zahl der Tage (various weather symbols). Rows for months Jan to Dec and annual totals.

$\lambda = 8^{\circ} 56', \beta = 47^{\circ} 16', H_b = 912.3 \text{ m}, h_r = 6.7 \text{ m}.$

Wald-Hittenberg

Beobachter: Sanatorium

Table with columns: 1980, Luft-Temperatur (7.00, 13.00, 21.00, Mittel, Minimum Tag, Maximum Tag), Relative Feuchtigkeit (7.00, 13.00, 21.00, Mittel, Minimum Tag), Bewölkung (7.00, 13.00, 21.00, Mittel, Summe, Maximum Tag), Niederschlag (Summe, Maximum Tag), Zahl der Tage (various weather symbols). Rows for months Jan to Dec and annual totals.

Wald. Die Abendbeobachtung geschieht um 19⁰⁰.

Fünftägige Temperaturmittel von 15 Normalstationen.

1930	Basel	Neuchâtel	Genf	Bern	Zürich	Altstätten	Altdorf	Lugano	Sitten	Chaumont	Revers	Rigi-Kulm	Pilatus-Kulm	St. Gotthard	Säntis
1.-5. Januar	3.6	2.0	2.4	2.4	2.8	3.5	5.8	1.2	3.0	3.4	-8.5	-0.6	-2.6	-5.2	-6.5
6.-10. »	2.6	1.7	2.4	1.8	1.6	2.6	5.3	1.7	3.9	1.5	-6.2	-0.8	-2.4	-5.3	-5.4
11.-15. »	6.4	5.0	5.7	4.9	5.6	4.2	5.4	4.3	3.8	2.4	-4.2	-0.3	-2.1	-3.9	-5.6
16.-20. »	2.7	1.9	2.3	1.3	1.5	0.2	1.4	2.7	2.9	4.2	-7.7	1.2	0.0	-1.5	-2.7
21.-25. »	0.9	0.4	1.0	-1.0	-1.3	-3.3	1.3	-0.1	1.3	1.5	-8.7	0.0	-0.9	-4.3	-3.5
26.-30. »	1.4	1.3	4.2	1.8	1.1	4.0	6.5	2.9	6.2	2.7	-3.8	-0.1	-1.2	-4.8	-4.7
31.-4. Februar	4.2	2.5	4.1	2.4	2.9	2.6	3.4	2.5	3.3	-1.8	-7.7	-5.1	-6.0	-8.0	-9.8
5.-9. »	1.2	1.1	2.9	0.7	0.6	0.0	2.1	3.0	1.8	-3.1	-11.3	-6.3	-7.8	-8.9	-11.3
10.-14. »	-1.8	-1.7	-0.7	-2.6	-2.1	-3.9	-2.1	1.7	1.4	-4.0	-11.5	-2.5	-3.1	-6.6	-5.6
15.-19. »	0.6	0.8	2.0	0.2	0.6	-0.2	0.1	3.2	1.1	-4.5	-8.5	-7.6	-8.9	-9.4	-11.2
20.-24. »	-0.5	-0.1	1.5	-1.3	-1.8	-2.2	0.3	2.7	1.0	-3.9	-9.9	-6.2	-7.3	-8.4	-8.8
25.-1. März	4.4	3.8	4.3	2.8	3.6	3.7	6.6	3.6	5.4	2.3	-8.2	-1.8	-3.0	-7.3	-2.0
2.-6. »	5.7	5.4	5.8	5.3	5.5	3.6	8.6	7.7	9.3	6.0	-3.0	2.6	2.1	-1.6	-2.0
7.-11. »	5.9	4.8	6.1	4.4	5.1	4.1	4.5	6.6	6.1	1.6	-4.3	-2.0	-3.6	-5.3	-6.7
12.-16. »	6.0	5.3	7.0	5.1	5.6	5.5	5.6	6.3	5.2	0.3	-4.2	-4.1	-5.2	-6.8	-9.0
17.-21. »	5.4	3.7	5.0	3.4	3.8	4.1	5.1	6.5	5.0	0.4	-3.8	-3.5	-3.9	-6.6	-7.9
22.-26. »	6.6	6.2	7.2	6.3	6.6	8.0	7.5	8.3	7.5	2.1	0.0	-0.1	-0.9	-2.6	-3.4
27.-31. »	8.5	8.6	9.5	7.5	8.5	8.7	8.1	11.4	10.1	6.1	-0.6	1.0	-1.1	-2.1	-4.6
1.-5. April	10.9	9.5	10.3	9.1	10.0	10.2	9.9	9.1	10.5	6.9	1.0	2.0	0.7	-0.5	-3.1
6.-10. »	9.1	10.5	9.0	8.2	9.0	8.4	8.7	11.4	10.8	5.5	1.3	0.0	-1.7	-0.8	-5.3
11.-15. »	8.2	8.1	9.1	7.4	7.8	7.5	8.4	10.0	9.0	3.3	1.2	-0.6	-1.1	-2.9	-5.1
16.-20. »	4.5	4.9	5.8	3.7	4.4	5.4	5.7	10.4	6.8	-0.1	-0.8	-3.9	-4.7	-5.5	-7.8
21.-25. »	12.3	11.1	11.0	10.7	12.5	12.7	13.9	11.0	13.5	7.7	2.6	3.4	2.6	-0.5	-1.5
26.-30. »	14.3	14.7	13.9	13.7	14.7	14.2	15.3	13.5	14.7	12.3	5.7	6.0	3.8	2.3	1.1
1.-5. Mai	11.5	11.4	11.9	10.7	11.7	11.7	11.5	13.0	12.6	9.8	5.9	2.9	1.6	1.7	-1.0
6.-10. »	7.7	7.9	8.6	7.7	8.6	8.8	9.5	10.7	9.8	3.8	3.2	-0.2	-0.9	-1.1	-4.6
11.-15. »	11.4	10.0	12.1	10.3	10.3	9.3	9.5	15.4	11.4	5.8	5.0	0.6	0.2	-0.3	-3.9
16.-20. »	14.5	13.9	14.9	13.5	13.7	13.0	13.3	17.0	15.3	11.0	6.6	4.7	3.4	1.1	-1.5
21.-25. »	12.9	11.8	12.5	10.7	12.4	12.9	12.4	13.0	13.3	9.6	4.8	3.1	2.4	2.2	-1.5
26.-30. »	15.3	14.1	14.1	13.4	15.6	16.8	17.4	16.2	16.5	10.7	9.7	8.4	6.4	4.9	3.3
31.-4. Juni	17.0	17.8	18.8	17.0	18.5	19.0	18.9	19.2	20.0	14.6	12.0	10.9	8.8	7.5	5.7
5.-9. »	19.0	19.1	19.0	18.0	19.3	19.9	19.6	19.1	21.8	16.1	13.3	12.2	10.3	9.8	7.7
10.-14. »	20.5	19.7	19.7	19.0	20.3	19.7	20.1	20.2	21.0	16.2	12.3	11.4	10.3	10.3	6.9
15.-19. »	20.9	20.5	20.7	19.2	20.4	20.2	19.3	21.8	21.6	17.3	12.7	12.5	10.4	10.6	7.6
20.-24. »	20.9	20.1	20.9	19.5	20.5	20.2	19.2	22.4	21.2	16.0	12.7	12.6	10.0	9.7	7.2
25.-29. »	18.9	19.2	19.7	17.9	19.1	19.3	19.6	19.9	20.3	15.0	12.8	10.8	9.1	8.6	6.4
30.-4. Juli	21.7	21.6	21.2	20.4	21.0	20.9	20.4	22.6	21.4	17.6	15.1	13.9	12.0	11.1	9.8
5.-9. »	20.8	21.5	21.8	19.7	21.1	21.0	21.2	24.0	21.9	17.7	15.9	12.1	10.6	9.7	8.3
10.-14. »	13.5	14.2	16.3	13.7	13.8	13.4	14.5	19.3	18.4	10.4	10.2	4.8	2.8	2.9	-0.7
15.-19. »	16.1	16.2	17.8	15.0	15.6	15.6	16.5	18.3	17.1	13.9	9.3	7.1	5.3	4.6	2.0
20.-24. »	16.6	15.8	16.7	15.2	16.5	15.8	16.4	18.5	16.7	13.4	11.0	7.8	6.7	5.8	3.7
25.-29. »	16.6	17.1	18.6	16.7	16.5	16.2	17.0	19.5	18.2	14.3	11.1	8.3	6.8	6.9	3.6
30.-3. August	17.1	16.5	17.1	15.9	16.4	16.8	16.6	20.1	17.9	14.3	10.9	8.1	6.5	5.7	3.4
4.-8. »	15.1	15.0	17.4	14.5	16.0	15.3	15.6	17.9	16.8	12.3	8.7	6.8	5.0	5.2	2.1
9.-13. »	16.4	16.4	17.7	15.6	15.8	15.1	15.8	17.9	16.9	12.0	8.6	7.3	5.8	5.2	2.1
14.-18. »	15.7	14.4	15.7	14.0	14.2	13.6	14.6	18.3	15.7	10.8	7.2	6.3	5.1	4.4	0.5
19.-23. »	17.8	18.1	20.1	17.7	18.3	19.1	19.2	20.2	19.6	14.9	12.4	11.8	10.8	9.5	7.6
24.-28. »	21.1	21.9	22.0	20.8	21.0	21.0	20.2	23.9	22.4	19.3	13.6	16.2	15.4	13.7	12.0
29.-2. September	20.0	21.7	21.5	20.1	19.9	19.4	20.1	22.5	21.9	18.8	13.0	13.7	13.1	11.7	9.8
3.-7. »	17.0	18.3	19.8	17.1	17.7	16.1	17.7	21.7	19.8	16.7	10.8	12.5	11.6	9.4	7.2
8.-12. »	17.0	16.8	18.0	16.5	17.1	17.1	17.2	18.0	17.1	13.4	10.0	9.6	8.4	6.7	4.9
13.-17. »	14.4	14.6	15.4	13.3	14.5	13.8	14.4	17.2	14.9	10.8	7.3	5.9	4.7	3.8	1.4
18.-22. »	15.6	14.9	15.6	13.8	15.0	15.0	15.4	16.5	15.3	10.9	7.7	7.1	5.3	3.8	1.9
23.-27. »	12.6	13.5	14.7	12.0	12.0	12.3	12.7	15.0	14.1	11.0	4.9	5.2	4.0	3.2	0.8
28.-2. Oktober	10.6	11.5	11.4	9.9	11.1	11.0	11.1	14.2	11.8	9.5	4.5	5.4	3.7	2.2	0.9
3.-7. »	11.5	11.5	12.6	10.8	11.2	10.1	10.7	13.4	12.1	8.3	4.7	4.4	4.1	2.7	-0.6
8.-12. »	11.6	11.7	12.9	10.5	11.5	11.2	13.1	12.6	10.6	6.7	4.5	5.5	4.6	-0.4	0.6
13.-17. »	10.5	8.3	8.9	8.6	9.4	8.2	—	11.3	10.2	9.6	3.2	7.6	7.6	3.5	4.7
18.-22. »	10.9	9.4	10.4	9.0	9.8	8.2	—	11.1	10.8	8.7	2.4	4.5	3.4	1.5	0.4
23.-27. »	6.9	5.9	6.8	5.2	6.0	4.9	6.0	9.8	5.5	1.0	-2.6	-3.1	-5.2	-4.7	8.0
28.-1. November	10.1	9.2	9.7	8.4	9.7	8.1	7.7	8.5	6.8	5.2	2.0	1.9	0.5	-1.9	-2.8
2.-6. »	6.1	5.3	7.3	5.6	6.1	6.8	7.0	9.2	5.9	1.6	-0.6	-2.0	-3.7	-4.1	-6.7
7.-11. »	7.6	5.7	6.4	4.9	6.7	5.6	5.8	6.0	5.5	2.6	-1.2	0.7	-0.3	-1.5	-4.6
12.-16. »	3.8	4.0	4.6	3.6	4.1	3.2	3.6	6.2	4.3	3.9	-1.9	1.0	-0.2	-2.5	-4.0
17.-21. »	8.4	8.6	10.4	8.0	7.7	6.6	6.6	6.1	7.3	5.6	0.1	1.7	0.9	-2.5	-4.3
22.-26. »	8.6	8.1	10.2	7.4	8.9	8.2	8.0	8.0	7.8	5.3	0.9	2.0	0.2	-1.5	-4.4
27.-1. Dezember	7.2	6.5	7.4	6.7	7.8	12.9	11.6	10.4	10.2	9.0	3.0	5.2	3.4	0.7	-0.5
2.-6. »	2.6	3.6	5.1	3.0	2.5	2.0	3.5	6.0	3.1	1.0	-4.1	1.1	0.3	-2.4	-3.0
7.-11. »	2.7	2.9	3.3	2.4	2.8	1.1	2.3	5.2	1.6	-0.5	-7.2	-5.1	-5.8	-8.6	-9.2
12.-16. »	2.5	3.1	2.8	2.3	2.9	1.4	2.2	3.2	2.1	-1.4	-10.0	-5.2	-6.1	-7.6	-10.0
17.-21. »	-2.9	-1.0	0.6	-2.0	-1.7	-3.5	-1.0	0.5	-1.0	-5.4	-13.7	-3.0	-3.7	-6.7	-6.7
22.-26. »	-1.1	-1.5	-0.6	-2.0	-1.5	-3.3	-1.5	2.7	-2.0	-4.7	-9.3	-2.6	-2.9	-5.6	-5.8
27.-31. »	5.7	5.0	5.5	3.3	4.2	4.2	4.3	2.3	2.9	0.7	-5.4	-1.8	-2.8	-6.4	-6.7

Temperatur-Minima 1930.

Tag	Januar							Februar							März							
	Bern	Neu-châtel	Genf	Basel	Altdorf	Bever	Lugano	Bern	Neu-châtel	Genf	Basel	Altdorf	Bever	Lugano	Bern	Neu-châtel	Genf	Basel	Altdorf	Bever	Lugano	
1	-0.1	-2.0	0.8	-1.6	-0.2	-20.5	-3.2	0.0	-1.0	0.0	1.0	1.7	-7.9	-0.6	-1.2	-2.0	-1.0	-1.9	-0.4	-14.2	1.0	
2	0.9	1.0	0.8	1.7	-0.9	-20.0	-3.6	0.6	0.0	1.5	1.8	0.8	-15.4	-0.2	0.0	-1.0	1.0	0.1	5.2	-4.9	3.8	
3	2.0	0.3	-0.6	1.8	2.0	-12.7	-2.4	1.2	0.9	3.0	1.9	0.7	-19.4	-1.6	0.0	-1.0	1.2	0.1	3.1	-11.9	3.0	
4	-0.8	-0.8	-1.0	-1.2	-0.2	-14.7	-2.0	2.0	1.9	3.6	2.1	0.7	-17.7	-1.4	1.2	0.3	3.0	-0.9	0.7	-11.9	2.2	
5	-1.6	-1.1	-0.4	-1.1	4.8	-15.0	-0.6	-0.4	-0.6	1.2	0.6	-0.6	-20.0	0.4	1.3	1.0	0.9	2.1	2.1	-10.4	1.8	
6	-0.8	-1.0	-0.6	-1.2	3.3	-11.6	0.4	1.4	1.1	1.6	2.2	-1.1	-20.0	-1.8	1.2	0.8	1.0	-1.7	1.7	-12.5	2.4	
7	-1.4	-2.1	-2.2	-1.6	-0.6	-15.4	-1.0	0.7	-0.1	2.0	0.1	2.0	-17.0	-1.6	3.4	2.3	4.0	4.6	2.6	-10.8	3.6	
8	-2.1	-1.9	-3.0	-1.8	-0.5	-18.0	-2.2	-0.9	-1.1	0.9	-1.2	0.1	-17.4	-0.2	3.2	1.0	2.9	1.6	3.1	-10.4	2.8	
9	0.1	-0.8	0.0	1.2	4.3	-6.5	1.6	-3.9	-4.4	-2.0	-4.2	-1.4	-19.0	2.2	-1.2	-2.2	-1.0	-2.9	-0.7	-15.1	2.8	
10	1.6	1.3	1.4	0.6	0.9	-7.4	-0.2	-6.0	-7.5	-4.0	-7.9	-4.6	-21.9	-1.8	-0.4	-1.4	1.6	-0.7	-0.4	-14.6	0.5	
11	1.8	1.9	-0.2	-2.6	-1.8	-13.4	-0.2	-7.6	-7.6	-4.0	-7.0	-5.3	-21.5	-4.4	1.1	0.0	1.0	0.6	0.2	-7.6	0.0	
12	1.4	0.5	2.0	1.8	0.9	-14.9	0.8	-6.6	-6.6	-5.1	-8.5	-5.5	-20.7	-3.7	0.2	-0.6	0.0	0.3	-0.2	-16.4	0.6	
13	1.7	0.9	1.8	4.4	1.7	-12.4	-1.0	-6.4	-6.8	-5.6	-7.7	-5.8	-18.3	-2.6	0.3	0.1	0.8	0.1	0.6	-18.0	-1.8	
14	2.9	2.0	2.3	3.2	1.4	-11.3	0.4	-3.7	-4.3	-2.1	-4.5	-4.0	-18.3	-2.0	3.4	2.5	5.0	2.4	1.2	-14.6	-0.5	
15	5.0	3.4	5.0	5.8	4.8	-7.2	1.6	0.3	0.9	2.7	0.8	-1.8	-16.2	0.5	4.5	5.1	7.8	5.7	5.2	-3.4	4.0	
16	5.0	3.7	5.0	2.5	4.0	-5.2	3.0	-2.0	-2.0	0.0	-2.3	-2.0	-13.1	-0.8	1.3	3.0	4.0	3.5	2.3	-8.8	1.8	
17	0.6	-0.2	2.8	0.4	0.1	-13.1	-1.0	-3.4	-3.0	-0.5	-3.7	-2.4	-10.5	1.4	3.7	2.8	5.7	3.2	2.5	-12.0	1.6	
18	-1.0	-2.0	-1.0	0.4	-0.7	-17.2	-1.0	-1.0	-1.4	-0.2	-1.3	-7.7	-17.6	-0.5	2.9	2.5	5.8	4.8	3.0	-0.1	5.0	
19	-1.9	-1.0	-1.4	-0.5	-0.9	-13.5	-1.0	-1.2	-1.4	0.4	-1.4	-3.5	-14.1	0.6	1.5	1.5	2.3	1.7	0.6	-5.2	5.3	
20	-3.5	-2.2	-3.2	-1.6	-1.7	-16.6	-3.0	-2.0	-2.6	-0.2	-2.7	-0.5	-18.3	0.2	-0.4	-0.1	0.0	0.0	-0.3	-14.5	0.0	
21	-2.8	-1.0	-2.2	-2.3	-3.4	-16.5	-3.4	-6.6	-4.8	-2.2	-4.7	-1.6	-17.6	-0.4	-4.4	-4.1	-3.0	-2.1	-2.1	-20.2	-1.8	
22	-1.5	-0.1	0.5	-0.6	-3.8	-16.8	-3.2	-6.7	-6.0	-4.0	-6.1	-0.4	-17.0	0.0	1.3	0.5	3.7	3.4	4.8	-13.1	0.4	
23	-2.7	-1.2	0.0	-1.8	-3.7	-17.2	-3.0	-1.2	-1.7	1.0	-3.5	-1.4	-16.8	-1.4	5.6	5.4	6.3	6.3	5.0	-5.2	3.0	
24	-2.2	-1.4	-0.7	-1.3	-4.7	-18.5	-3.2	-4.0	-2.0	0.1	-2.4	-2.9	-15.9	-0.5	4.8	4.0	5.0	4.9	4.7	-3.0	3.0	
25	-3.1	-2.6	-0.2	-1.0	-1.6	-9.3	-0.6	-3.0	-1.9	-1.0	0.5	-3.1	-20.6	-1.5	5.1	3.9	5.5	4.5	3.3	-6.5	3.0	
26	-1.1	-1.3	1.0	-0.9	2.8	-5.1	0.0	-2.6	-2.9	1.0	2.1	-3.0	-13.5	0.0	4.8	4.6	7.0	5.7	5.0	-1.1	5.0	
27	-1.5	-2.6	-0.3	-1.8	3.8	-4.9	1.0	1.4	2.0	2.7	2.6	2.1	-16.0	-0.5	0.3	1.0	3.8	-0.1	2.7	-8.0	3.0	
28	-0.9	-1.6	0.0	-2.9	0.2	-4.0	2.5	-0.6	-1.0	-0.6	-1.5	2.5	-11.8	1.4	1.7	1.2	2.5	0.5	2.7	-5.3	5.0	
29	1.3	-1.5	3.0	0.2	2.4	-13.4	0.6	1.3	1.5	2.4	2.2	-19.3	0.0	4.9	3.2	6.3	5.5	4.6	-6.2	8.2		
30	1.5	0.5	2.4	0.6	2.2	-19.3	0.0	1.5	0.5	2.4	2.2	-19.3	0.0	3.4	2.9	5.0	3.1	5.3	-4.1	6.8		
31	0.0	-1.9	-1.0	-0.3	2.5	-11.0	1.5	0.0	-1.9	-1.0	-0.3	2.5	-11.0	0.0	0.0	0.5	1.1	-0.4	1.0	-10.2	3.0	
Mittel	-0.1	-0.5	0.3	-0.1	0.6	-13.0	-0.7	-2.2	-2.3	-0.3	-0.2	-1.7	-16.9	-0.7	1.7	1.2	2.9	1.7	2.2	-9.7	2.5	
	April							Mai							Juni							
1	8.4	7.6	9.0	7.1	5.3	-5.4	4.0	4.8	4.4	6.0	1.4	8.0	-2.9	9.6	11.7	10.0	13.3	9.9	14.2	1.8	11.8	
2	4.6	3.8	5.0	6.5	5.0	-7.2	3.5	4.8	4.8	7.1	2.2	5.5	1.7	10.0	12.1	11.5	13.9	11.8	13.3	1.5	14.0	
3	9.4	8.5	9.7	9.8	9.1	-2.2	8.8	7.8	6.9	8.9	9.1	9.2	1.8	10.0	10.8	10.4	12.9	10.6	14.2	4.2	12.8	
4	3.3	4.6	5.5	6.3	3.0	-3.1	7.0	8.1	6.1	8.9	7.1	6.4	0.4	11.2	12.3	10.9	13.0	11.1	14.9	5.3	14.0	
5	3.4	3.4	4.0	5.5	2.8	-2.5	5.2	10.0	9.0	11.0	9.3	8.0	2.1	9.5	13.8	13.9	16.0	12.1	13.8	2.1	15.6	
6	3.5	2.2	2.9	2.9	5.3	-4.0	2.5	7.8	6.2	6.9	7.8	7.7	-2.3	6.6	12.3	13.1	16.0	10.2	13.7	4.7	15.2	
7	2.3	3.5	3.5	1.6	3.1	-2.7	6.0	7.2	6.0	5.1	6.6	8.5	2.3	8.5	14.8	13.6	15.5	14.0	15.6	4.8	15.2	
8	4.3	4.4	5.8	1.2	3.0	-3.8	5.2	4.0	4.8	4.5	5.7	5.0	0.3	6.5	14.2	13.6	15.0	14.5	14.2	3.7	14.0	
9	2.9	2.4	5.8	0.3	5.1	-3.0	5.2	3.7	2.5	2.8	3.8	4.8	-2.5	7.0	12.3	11.9	13.0	12.8	12.8	3.2	13.0	
10	2.2	1.1	2.6	0.6	2.7	-5.0	7.2	3.3	3.0	4.4	2.7	5.3	-6.4	7.0	14.7	13.6	14.8	14.2	14.3	6.0	12.0	
11	4.7	4.3	5.5	2.8	5.6	-0.8	5.0	7.2	5.6	8.0	8.0	5.7	1.1	6.8	13.7	13.3	13.9	12.9	14.2	2.2	14.4	
12	6.8	6.4	10.0	6.1	5.8	-5.7	7.0	6.1	4.6	8.1	6.4	6.0	-0.8	8.2	13.2	13.4	13.8	15.6	15.3	2.1	12.5	
13	6.4	6.1	7.4	7.4	7.2	0.0	8.0	6.4	5.5	7.7	6.2	6.1	-1.5	8.0	16.3	14.2	16.2	14.2	16.1	5.8	12.6	
14	2.1	2.3	4.0	4.3	3.8	-3.5	5.0	10.5	9.2	10.4	12.2	7.7	0.7	9.0	14.7	13.6	15.0	12.8	15.3	6.3	15.1	
15	1.6	3.0	3.0	3.2	3.3	-5.4	4.0	10.2	7.9	9.2	10.5	8.1	2.7	10.8	13.3	13.3	15.4	13.6	13.4	3.0	13.6	
16	2.5	2.4	3.8	2.4	3.2	-5.6	5.0	9.7	8.5	8.0	7.6	6.6	1.9	10.8	15.0	15.0	17.0	14.2	14.2	4.4	15.8	
17	2.4	2.4	3.2	2.4	2.6	-5.1	7.7	8.2	7.5	9.0	8.2	8.0	-3.6	9.2	14.9	14.4	16.8	14.5	14.8	5.0	15.0	
18	0.2	0.7	1.6	2.1	1.1	-9.8	6.8	12.4	10.5	12.0	11.2	10.8	3.5	13.0	12.0	11.7	15.7	10.3	13.0	4.3	14.0	
19	1.8	3.0	3.9	1.9	3.1	-5.6	5.0	8.1	6.3	9.0	7.1	7.3	-1.7	14.0	14.2	14.6	15.8	14.5	15.0	2.0	14.0	
20	1.2	1.5	1.9	0.8	1.7	-3.0	5.0	3.1	2.5	4.4	2.4	5.2	-3.0	7.0	13.4	14.4	15.0	14.9	14.2	1.2	12.6	
21	1.1	0.8	1.6	0.9	2.2	-5.0	4.8	8.1	8.0	9.2	8.4	8.3	0.3	10.2	15.0	13.4	14.8	15.1	15.0	6.3	16.5	
22	4.0	3.4	5.3	5.9	6.6	-6.6	4.2	4.5	4.4	8.8	5.8	5.5	-0.4	9.8	14.3	13.9	15.0	12.8	13.8	2.7	15.4	
23	6.4	6.8	6.7	8.4	13.2	-4.8	7.2	9.3	8.0	9.4	10.3	10.5	-0.4	8.8	15.6	16.2	15.0	16.3	15.6	7.7	17.5	
24	8.4	7.5	8.0	9.4	10.7	0.9	7.4	6.7	4.8	6.2	7.7	9.2	0.9	10.0	13.0	13.6	14.0	13.8	15.0	6.1	16.0	
25	7.6	7.4	8.0	8.3	10.0	2.1	8.0	8.7	8.0	8.6	8.1	9.0	-1.3	5.2	13.8	11.4	13.6	12.6	15.2	7.0	16.0	
26	10.9	9.4	10.4	9.7	11.7	1.7	10.5	7.6	5.7	6.8	6.3	9.1	2.2	8.8	13.7	13.1	15.3	12.2	14.9	9.1	16.0	
27	8.4	7.5	8.0	6.6	10.4	-2.6	8.2	8.3	8.8	7.0	9.9	9.7	2.8	8.0	15.3	14.7	15.8	15.9	16.3	8.3	15.0	
28	8.5	8.3	8.0	6.4	12.3	-2.0	10.8	10.0	10.0	10.3	10.9	10.1	3.5	10.5	14.9	14.6	16.0	13.5	15.8	8.2	14.6	
29	10.0	10.4	10.0	11.4	11.9	2.0	10.0	11.2	10.1	11.2	11.5	13.0	5.5	11.2	13.8	13.4	12.0	12.8	14.6	7.8	16.0	
30	8.5	9.0	9.0	8.7	10.0	0.2	9.8	11.3	10.9	11.0	12.1	19.2	1.7	12.8	13.3	12.8	14.0	11.8	13.7	5.8	16.2	
31								13.3	12.5	13.0	13.5	13.2	2.3	11.6								
Mittel	4.9	4.8	5.8	5.1	6.0	-3.3	6.5	7.8	6.9	8.2	7.7	8.3	0.4	9.3	13.7	13.3	14.7	13.2	14.5	4.8	14.5	

Anmerkung: Die absoluten Minima und Maxima von Zürich und Säntis finden sich in den Aufzeichnungen der autographischen Apparate auf pag. 8 und 36.

Temperatur-Minima 1930.

Tag	Juli							August							September						
	Bern	Neu-châtel	Genf	Basel	Aldorf	Beyers	Lugano	Bern	Neu-châtel	Genf	Basel	Aldorf	Beyers	Lugano	Bern	Neu-châtel	Genf	Basel	Aldorf	Beyers	Lugano
1	5.0	13.7	15.2	13.9	15.6	6.7	15.5	8.6	8.2	9.5	8.8	9.2	-0.6	12.6	14.7	13.5	14.8	14.2	15.2	2.0	15.4
2	15.3	14.6	15.3	15.9	15.2	7.6	17.0	12.0	11.0	13.3	12.4	14.7	4.2	14.2	15.8	16.9	15.5	12.9	15.8	5.5	15.4
3	14.4	14.1	14.0	14.8	16.0	7.8	12.5	12.7	11.9	13.0	13.7	13.8	5.1	14.4	12.0	11.6	15.1	8.8	14.8	0.7	18.6
4	15.6	15.3	16.0	15.9	15.8	6.8	15.8	10.7	10.8	13.5	11.0	12.5	3.0	14.4	10.0	9.7	12.0	8.9	11.5	-0.5	17.4
5	17.5	16.3	17.2	17.2	16.0	6.2	16.0	12.4	12.6	14.9	12.6	13.8	-5.5	16.8	12.4	11.3	13.0	8.5	11.9	0.7	19.2
6	15.9	16.0	19.3	17.3	17.8	6.7	16.0	11.3	12.0	14.2	11.7	12.6	3.2	11.6	14.6	13.6	15.0	14.3	13.7	2.4	16.2
7	14.3	14.1	18.4	16.1	15.3	8.1	14.4	11.6	10.4	13.0	11.2	12.3	4.5	14.2	14.6	14.9	15.2	15.0	15.6	7.8	17.0
8	14.9	13.3	15.0	14.5	17.7	4.2	14.2	10.5	10.4	11.0	9.9	11.1	3.6	11.8	13.8	13.0	14.9	13.4	14.2	3.9	14.0
9	13.3	12.9	15.5	9.7	17.1	8.2	16.0	10.5	9.9	10.9	10.9	10.6	3.4	14.2	14.2	13.5	15.0	12.5	13.8	0.5	14.2
10	12.3	12.5	14.0	11.7	13.3	2.5	15.6	9.4	8.7	9.0	10.5	10.0	3.7	10.4	15.2	14.5	15.5	14.2	14.8	7.6	15.8
11	10.4	8.4	11.5	9.4	10.2	5.0	12.0	14.3	15.1	16.2	14.0	15.2	1.7	11.2	13.8	12.9	14.9	14.8	13.8	6.2	14.6
12	8.3	7.3	9.0	8.9	9.6	2.9	14.6	14.0	13.8	16.2	13.8	14.2	3.0	14.0	14.4	13.4	14.5	13.0	14.7	5.8	14.2
13	10.9	10.4	12.6	10.8	10.6	3.1	12.0	11.3	11.9	14.0	12.6	12.2	3.1	13.0	13.2	13.4	13.6	12.8	12.2	2.1	11.6
14	7.3	7.2	8.0	8.2	7.1	4.3	10.6	10.3	9.9	12.1	11.1	10.9	2.0	9.8	12.5	13.7	15.0	13.3	11.6	3.6	13.4
15	12.3	12.4	13.0	12.9	12.4	4.8	14.2	10.6	10.0	12.3	11.9	10.6	1.7	13.2	11.6	10.9	12.2	12.3	12.2	4.5	12.4
16	10.7	9.5	9.8	10.2	9.8	-0.1	12.4	12.4	10.7	13.0	11.9	9.8	1.0	10.0	9.5	10.0	8.5	8.6	10.3	1.0	12.8
17	15.1	16.2	15.6	14.7	14.7	6.8	15.6	7.9	6.7	7.4	7.4	8.1	-2.0	9.6	6.8	6.5	7.0	6.8	8.8	-3.8	7.8
18	12.0	11.5	12.8	12.2	12.8	1.6	10.2	8.7	8.3	8.6	8.2	9.0	-1.2	10.0	8.5	9.3	9.3	11.2	10.1	2.3	10.2
19	10.9	10.6	12.8	10.4	10.3	0.7	9.8	14.6	13.5	16.4	14.8	12.8	2.3	13.2	13.5	11.0	14.5	14.0	13.5	5.8	13.8
20	9.9	9.4	10.4	9.3	10.9	-1.1	11.6	13.6	13.2	15.4	12.6	14.6	8.2	14.2	10.5	10.1	11.7	12.4	11.3	5.8	15.2
21	10.9	10.0	11.0	11.1	13.3	2.7	12.0	12.3	12.0	13.0	13.6	12.7	2.7	14.2	7.9	8.3	9.2	9.5	10.3	2.0	9.6
22	13.0	11.9	13.8	12.3	14.6	8.1	14.6	16.4	15.6	17.8	15.2	15.9	5.3	15.6	10.2	10.0	9.0	10.1	10.2	2.4	7.8
23	10.9	10.1	11.0	10.7	11.3	8.5	15.4	15.9	15.6	16.6	15.4	16.1	6.7	15.2	11.1	10.9	12.8	11.2	11.1	1.4	9.4
24	11.1	10.5	12.0	11.5	11.8	3.3	16.2	16.6	16.3	16.8	15.5	16.3	4.6	15.4	12.0	11.9	13.2	12.8	10.8	2.1	9.8
25	11.1	9.9	11.3	11.9	10.9	1.1	8.8	15.8	14.4	14.5	15.4	18.2	4.5	17.2	10.2	10.5	10.8	10.8	10.2	-2.9	10.8
26	10.0	9.4	9.0	9.2	9.1	2.5	11.2	15.8	14.4	15.5	14.1	11.4	3.6	18.0	9.2	7.4	9.3	8.8	9.1	0.1	11.2
27	12.7	12.9	14.0	12.2	12.4	1.5	12.0	16.6	15.0	16.0	13.1	14.1	4.9	20.6	7.2	7.1	7.5	6.2	7.8	-1.4	7.8
28	16.3	15.7	18.0	15.8	15.8	7.2	14.4	16.6	16.0	17.8	16.4	15.2	4.9	19.2	7.4	6.6	7.2	7.8	8.2	-1.6	10.0
29	15.4	14.9	15.0	14.8	14.2	4.7	14.4	15.6	14.5	17.0	14.3	16.2	4.9	18.8	8.3	9.1	10.1	7.8	8.0	-0.5	11.2
30	13.8	13.5	14.0	11.7	14.2	5.5	16.2	15.8	14.9	16.3	14.5	16.6	7.6	19.4	6.9	6.9	6.6	7.3	7.7	1.0	11.2
31	11.6	11.4	11.0	12.4	12.2	5.1	14.2	14.1	13.6	15.9	14.1	15.4	4.7	17.2							
Mittel	12.4	12.1	13.4	12.5	13.2	4.5	13.9	12.9	12.3	13.9	12.7	13.1	3.2	14.3	11.4	11.1	12.1	11.1	11.8	2.2	12.9
Tag	Oktober							November							Dezember						
	Bern	Neu-châtel	Genf	Basel	Aldorf	Beyers	Lugano	Bern	Neu-châtel	Genf	Basel	Aldorf	Beyers	Lugano	Bern	Neu-châtel	Genf	Basel	Aldorf	Beyers	Lugano
1	5.7	5.6	6.0	5.6	7.7	-3.2	7.8	9.0	8.0	8.0	8.7	6.8	0.8	9.1	2.9	2.0	3.5	2.4	5.3	-3.6	5.4
2	5.3	6.1	6.2	6.1	6.2	-4.5	8.6	8.8	8.0	9.5	10.2	6.3	2.1	9.4	3.4	2.6	5.0	4.4	4.0	-7.3	6.0
3	8.8	9.0	11.0	5.2	8.2	-3.8	13.4	6.2	5.2	6.7	6.0	5.4	-4.6	8.0	2.6	2.3	4.0	1.8	3.7	-7.5	7.0
4	6.6	7.5	8.0	7.2	5.6	-4.2	10.6	1.2	-0.3	4.0	0.4	3.4	-5.0	5.4	0.6	0.0	2.5	-1.9	2.8	-9.5	5.2
5	11.8	11.5	13.2	12.8	10.2	0.2	8.2	2.0	1.0	1.5	2.1	1.5	-8.7	5.6	0.5	0.0	2.0	-2.6	2.2	-11.6	0.0
6	8.1	7.4	10.2	8.7	8.3	1.6	10.8	1.6	-0.1	3.0	1.3	1.7	-8.3	1.8	3.5	2.6	3.8	-0.8	0.9	-5.1	1.2
7	6.7	5.9	7.2	6.5	7.0	-4.5	4.4	1.8	1.6	4.0	3.6	4.7	-8.5	4.0	3.7	2.7	2.2	3.3	-0.4	-13.3	3.2
8	8.0	7.8	8.9	8.3	7.7	-3.0	5.0	4.5	1.5	3.6	-0.3	3.8	-7.5	1.2	2.6	1.5	3.3	0.7	2.7	-12.3	3.6
9	9.6	9.3	10.9	10.8	10.4	1.1	6.2	1.2	0.7	0.8	5.3	2.0	-6.9	0.8	2.4	2.3	1.8	-1.7	1.6	-5.1	2.6
10	6.0	7.4	8.2	7.0	6.1	-3.9	11.0	0.4	1.8	0.3	8.4	1.1	-7.4	1.4	0.3	-0.1	0.3	0.4	1.2	-7.9	2.2
11	3.2	4.5	5.0	4.9	3.5	-6.5	7.6	3.4	3.4	4.2	5.1	1.6	-6.5	1.0	-4.0	-3.4	-3.3	-3.4	-3.0	-19.4	2.8
12	7.6	7.2	8.8	7.9	11.0	0.5	8.2	-0.7	-1.0	2.3	-0.3	0.7	-8.1	2.0	-2.1	-2.7	-1.2	-0.3	-2.5	-21.9	-1.6
13	5.5	4.0	4.8	5.1	6.7	-2.0	8.4	-2.0	-2.0	-1.0	-1.8	-0.7	-11.8	-1.0	2.3	2.4	2.3	2.4	1.8	-5.2	-0.8
14	3.0	4.0	4.0	2.1	—	-6.8	6.2	-1.8	-2.4	-2.0	-2.2	-1.0	-8.0	1.0	1.8	2.3	3.0	3.4	0.5	-16.2	-0.4
15	4.3	5.4	6.2	5.4	—	-4.8	5.4	-0.3	-1.2	-1.2	-1.8	-0.3	-7.4	0.0	1.6	0.0	0.0	1.5	0.6	-17.5	-1.8
16	4.1	5.6	5.0	6.2	—	-5.0	5.2	3.5	5.6	2.7	3.1	1.8	-5.8	1.0	-0.4	-1.0	0.0	-2.5	-2.0	-19.9	-1.8
17	4.4	6.1	6.8	6.8	—	-3.8	3.6	3.5	3.0	5.0	1.1	4.6	-6.4	2.4	-1.8	-1.9	0.6	-2.7	-2.7	-18.7	-2.2
18	4.7	5.5	6.8	7.2	—	-4.5	8.6	1.2	1.8	4.8	-0.8	2.5	-8.4	1.0	-2.3	-1.6	0.5	-3.1	-2.6	-22.2	-2.4
19	4.9	6.6	6.9	8.2	—	-5.6	6.4	4.2	3.5	4.2	1.0	2.3	-6.6	0.0	-5.0	-3.5	-1.2	-5.3	-4.5	-21.5	-1.6
20	6.3	7.0	9.3	5.8	7.5	-4.4	7.6	8.2	8.8	8.0	9.1	4.6	-7.1	0.8	-3.6	-3.5	-2.3	-4.8	-3.5	-18.4	-4.0
21	9.0	8.6	10.0	8.2	6.7	-1.4	9.2	10.2	10.0	11.0	11.7	0.3	-0.5	1.2	-5.7	-6.4	-4.3	-7.3	-2.0	-17.4	-4.4
22	5.3	5.0	6.2	6.7	4.6	-4.5	7.6	9.1	10.0	8.3	9.2	6.5	-0.0	8.0	-4.8	-5.0	-3.3	-6.8	-1.5	-11.6	-1.2
23	3.9	4.5	5.0	5.3	5.5	-6.1	3.8	1.4	0.9	3.1	0.9	2.2	-4.4	8.1	-2.5	-3.0	-1.0	-1.5	-1.5	-14.6	-2.4
24	6.4	6.1	7.0	6.7	5.7	-6.6	2.4	-1.3	-2.5	-1.0	-2.5	-0.7	-10.2	1.6	-1.8	-2.4	-1.9	-1.5	-1.8	-17.3	0.2
25	2.6	2.8	3.3	4.5	4.5	-4.2	4.8	3.1	3.4	4.2	3.2	3.2	-5.3	1.4	-2.5	-2.8	-3.0	-3.2	-4.4	-18.5	1.0
26	1.8	2.5	2.6	4.4	4.2	-4.4	8.0	8.2	7.9	10.3	8.1	6.0	-5.0	3.6	-4.2	-2.2	-3.3	-3.0	-5.1	-16.8	0.6
27	3.1	2.5	3.2	4.2	3.9	-5.1	8.0	4.4	3.9	5.8	5.2	4.7	0.9	6.4	0.1	2.0	3.0	0.7	-2.3	-9.5	-1.6
28	0.7	1.3	0.4	1.2	0.3	-9.3	1.6	4.3	3.5	4.5	3.0	12.1	-0.9	7.0	1.8	0.9	2.4	2.2	1.2	-10.4	-0.8
29	4.7	4.5	4.0	4.9	2.9	-0.9	1.0	5.0	4.4	6.0	3.9	7.7	1.2	7.6	-2.0	-0.8	0.8	-1.3	-0.1	-17.2	-2.6
30	8.0	7.5	7.0	9.3	5.2	-0.3	3.0	3.2	3.0	3.3	3.8	6.1	1.2	9.4	1.0	1.2	1.0	1.7	1.4	-10.2	-1.4
31	7.7	8.5	4.5	10.2	4.8	-4.8	3.2								2.2	2.5	4.3	5.2	3.6	-13.4	-

Temperatur-Maxima 1930.

Tag	Juli							August							September						
	Bern	Neu- châtel	Genf	Basel	Altdorf	Bever	Lugano	Bern	Neu- châtel	Genf	Basel	Altdorf	Bever	Lugano	Bern	Neu- châtel	Genf	Basel	Altdorf	Bever	Lugano
1	27.4	28.8	26.9	30.4	28.9	23.5	29.6	23.4	23.1	21.2	24.3	29.0	18.0	27.0	27.2	29.0	25.8	29.6	28.6	23.5	28.6
2	21.2	23.0	23.7	26.5	25.7	22.6	21.0	25.3	26.5	28.6	28.9	31.5	20.9	27.0	22.2	26.1	25.0	23.1	19.7	21.7	29.2
3	25.2	27.4	26.0	29.1	29.8	23.3	29.2	19.8	20.8	21.8	22.8	20.9	11.6	27.0	21.8	23.0	22.0	23.7	27.0	20.5	27.6
4	28.0	30.4	30.0	31.9	32.3	24.8	31.2	22.4	22.7	25.3	24.6	24.0	20.2	27.4	23.0	24.5	23.1	24.9	28.7	22.1	28.6
5	29.2	31.2	29.3	33.1	37.4	26.5	31.6	20.0	19.4	23.2	23.1	21.3	17.7	24.4	23.2	23.5	25.6	24.2	24.0	20.6	28.0
6	26.5	30.8	26.9	29.8	30.4	25.9	31.2	19.0	20.2	22.0	21.4	21.0	17.3	25.4	25.7	29.0	30.1	24.4	27.0	22.0	29.0
7	23.3	26.7	23.5	26.4	31.5	25.1	32.8	18.3	20.0	21.9	20.4	18.1	11.1	23.4	20.0	21.2	24.8	19.2	20.9	17.7	23.8
8	22.0	25.7	25.0	22.9	27.2	22.6	32.6	17.2	18.3	17.9	19.9	16.0	6.3	19.0	21.6	24.5	24.0	22.1	20.5	16.0	28.2
9	21.2	25.4	24.3	24.3	25.8	22.0	28.8	18.3	20.2	19.7	21.2	16.9	8.4	25.8	21.9	22.7	24.8	24.6	21.7	18.3	25.2
10	23.2	24.6	24.2	24.1	23.8	22.2	28.2	20.4	22.4	20.8	24.0	26.2	17.1	26.4	19.7	22.0	23.2	23.0	21.9	17.9	24.8
11	14.7	16.2	18.8	16.8	17.8	16.0	23.8	25.5	27.3	27.9	25.3	30.0	20.1	27.6	19.2	19.0	20.0	21.3	20.2	15.7	18.4
12	14.6	17.2	19.0	17.8	17.3	13.2	26.2	20.7	22.0	22.9	23.8	20.0	20.0	22.2	18.5	18.0	19.0	21.4	21.9	12.1	21.0
13	15.0	17.0	20.4	14.4	13.7	15.4	26.0	15.3	19.2	19.6	18.7	15.8	15.4	23.2	18.5	20.9	22.1	22.5	26.4	17.3	24.8
14	19.7	20.7	22.7	22.1	20.2	18.5	25.8	15.0	14.0	17.0	18.6	16.5	13.9	23.0	20.4	22.3	21.6	22.7	19.3	13.4	26.2
15	17.2	20.2	20.4	20.6	18.8	11.4	25.4	16.2	16.5	19.8	17.3	15.7	11.9	26.0	15.7	17.0	17.4	18.4	16.4	10.3	23.0
16	22.6	23.6	25.3	25.0	27.8	18.6	25.2	18.0	19.8	20.0	20.0	17.5	9.4	25.8	17.0	20.6	17.7	18.8	16.9	12.5	25.6
17	26.0	25.0	27.6	27.6	29.4	17.7	21.8	20.7	21.3	21.2	24.2	28.1	16.2	26.2	15.2	17.2	20.6	14.2	17.9	15.6	23.4
18	15.3	17.3	22.4	18.3	22.7	18.9	21.8	25.0	24.0	24.0	27.6	29.6	21.2	26.4	24.4	23.5	26.0	27.6	23.0	20.0	23.2
19	16.9	18.5	20.4	19.7	18.7	14.2	28.6	21.8	24.3	24.0	24.4	27.0	21.4	27.0	23.4	25.0	25.3	30.0	25.9	16.0	23.4
20	20.7	22.2	22.3	23.5	23.9	20.4	25.6	18.5	20.7	20.6	20.8	27.4	19.7	25.2	16.6	16.2	20.4	18.4	17.0	11.0	23.4
21	24.3	23.7	25.7	26.0	30.4	19.7	26.2	24.1	23.6	27.3	27.5	27.7	20.3	26.6	13.9	15.7	17.6	18.6	15.3	8.2	23.4
22	20.3	22.7	23.0	22.0	19.8	22.2	27.6	21.2	24.7	22.1	23.0	27.8	21.0	27.8	16.1	17.8	19.0	16.2	18.0	9.0	24.2
23	21.2	21.3	20.0	21.6	27.9	17.8	23.0	25.0	24.2	28.2	22.9	25.0	21.4	29.2	15.5	19.0	20.5	18.0	14.0	9.6	22.8
24	13.7	15.2	15.3	17.6	24.6	9.8	18.8	25.6	27.5	28.0	26.1	26.3	24.1	29.8	18.0	21.0	19.4	21.6	20.9	14.2	23.4
25	16.5	16.2	20.7	19.5	19.0	14.4	27.4	25.3	26.6	25.3	25.9	31.7	24.9	30.6	16.0	19.5	21.8	17.0	16.7	13.1	22.6
26	21.5	22.4	26.8	25.7	26.4	15.6	27.0	26.4	28.5	27.5	28.9	31.7	25.7	30.2	15.0	18.0	18.7	17.6	14.8	8.2	23.4
27	24.3	26.2	27.1	24.0	25.3	22.6	27.4	27.8	28.1	27.3	31.9	31.9	25.3	30.0	13.8	15.6	15.0	16.6	13.9	8.2	18.6
28	20.4	20.8	22.4	19.4	23.0	16.2	27.0	27.8	29.0	29.6	30.9	33.4	24.5	30.4	15.1	18.2	16.0	16.9	16.8	8.6	14.0
29	21.2	22.6	22.5	20.3	23.5	22.3	27.6	27.6	28.5	28.2	29.9	32.1	25.0	29.0	12.5	15.4	13.2	12.5	15.8	11.2	15.6
30	18.5	20.4	21.4	20.4	19.5	21.1	27.0	26.8	28.1	27.3	29.4	28.4	23.2	28.8	16.5	17.8	16.3	18.4	15.9	11.9	21.6
31	18.3	19.0	20.0	21.5	25.7	16.4	28.6	26.5	27.7	26.0	30.5	33.8	23.7	27.0							
Mittel	21.0	22.7	23.4	23.3	24.8	19.4	26.9	22.1	23.2	23.8	24.3	25.2	18.6	26.6	18.9	20.8	21.2	21.1	20.2	14.9	24.2
Oktober							November							Dezember							
1	15.5	16.9	15.3	17.0	17.4	11.8	23.0	15.4	16.2	17.3	16.8	14.4	8.1	11.8	4.8	7.0	6.6	9.7	8.4	9.4	11.0
2	12.0	13.7	14.7	13.9	15.0	13.2	27.0	14.1	15.0	16.5	17.2	15.8	8.2	12.2	4.2	6.8	6.5	7.1	5.7	3.0	11.2
3	16.0	16.7	16.2	16.8	16.3	14.3	15.0	9.3	9.5	12.0	11.9	10.7	4.6	15.7	3.6	5.1	5.3	5.8	5.3	2.5	8.6
4	15.5	16.2	19.0	16.4	15.0	15.5	17.0	3.2	4.5	8.0	6.0	6.7	2.6	12.4	2.4	3.0	5.0	4.8	4.2	-0.4	7.4
5	14.3	15.0	16.8	16.6	14.0	11.9	18.2	5.5	8.5	6.8	8.2	5.9	1.3	13.4	3.4	4.3	4.6	1.6	4.7	-0.1	6.8
6	11.7	12.4	15.0	15.9	12.9	10.1	22.2	8.2	6.9	10.7	6.5	9.4	3.9	11.6	7.6	8.4	10.6	4.2	4.3	0.0	6.8
7	9.8	12.7	11.9	13.6	13.7	8.0	19.0	8.5	8.7	11.6	12.0	13.0	4.7	12.0	8.6	8.9	9.7	10.6	5.9	-3.2	6.6
8	17.2	16.0	18.0	19.0	16.4	12.0	17.6	7.8	8.0	9.2	7.7	9.4	3.9	10.2	6.1	6.5	8.0	6.8	5.8	-0.8	4.6
9	18.5	17.2	18.4	19.9	16.8	14.2	17.2	10.0	10.5	10.4	11.4	9.7	6.9	12.2	6.0	7.0	8.0	4.5	6.2	1.1	5.8
10	14.6	16.5	16.0	15.0	13.4	8.9	22.0	6.0	7.1	6.5	12.8	7.4	7.8	11.4	2.0	4.0	4.5	3.6	3.8	-2.5	9.2
11	11.7	14.0	14.6	12.6	17.8	8.7	17.0	8.0	10.5	10.6	10.5	7.8	6.8	19.4	-1.0	-0.8	1.9	1.3	1.7	-6.8	7.6
12	16.0	16.9	18.0	16.5	20.1	11.3	17.0	6.3	8.0	8.0	8.0	5.8	-2.5	15.4	3.0	5.0	5.4	5.0	4.3	-4.7	6.2
13	13.4	15.2	14.0	16.0	—	8.2	20.2	5.9	8.2	6.9	9.5	5.8	3.8	10.2	5.5	7.0	7.6	7.6	7.5	-0.3	10.4
14	14.2	9.2	12.9	16.4	—	11.8	18.0	8.5	8.5	9.0	11.6	8.2	5.9	10.4	4.6	5.7	6.8	7.4	5.4	-2.1	6.0
15	16.8	10.6	11.1	18.1	—	14.6	17.0	10.2	8.0	10.4	11.6	7.8	8.5	14.0	3.6	5.7	4.0	6.2	4.1	-7.5	6.8
16	17.5	11.6	11.0	18.7	—	14.2	17.8	9.6	9.5	9.8	10.1	7.8	7.3	13.6	2.9	4.3	4.4	3.1	2.9	-9.4	6.2
17	16.4	10.9	12.4	19.3	—	15.5	17.8	7.6	10.4	11.1	6.9	6.7	5.0	13.6	0.8	3.2	4.1	-1.3	2.3	-0.6	6.6
18	18.1	16.8	13.0	20.7	—	13.5	17.4	4.6	6.5	7.3	7.5	9.8	3.9	10.4	0.3	0.4	1.4	1.7	2.2	-9.5	4.6
19	11.4	11.0	12.0	17.9	—	12.5	17.4	13.2	11.8	14.0	15.0	9.4	2.7	9.6	0.6	3.5	4.0	2.1	0.6	-7.4	4.6
20	14.0	13.6	16.0	18.8	11.5	7.6	13.2	14.6	11.4	14.0	15.5	12.5	6.0	10.2	0.3	2.5	2.3	-0.9	0.6	-7.5	3.6
21	14.7	16.8	16.6	17.6	15.0	11.9	16.4	16.0	15.8	20.1	17.2	14.7	8.9	8.4	-2.4	-2.0	-1.2	-2.5	-0.3	-4.8	3.0
22	9.4	11.1	11.5	13.2	9.3	3.8	13.0	14.6	14.5	17.0	18.1	13.8	7.2	12.4	-2.1	1.5	-1.0	-1.1	1.9	1.9	5.6
23	9.2	10.5	11.7	13.2	9.9	3.6	16.8	7.1	9.2	14.3	15.0	8.7	4.6	18.2	-1.3	-0.5	0.1	0.7	0.9	-1.5	5.2
24	11.4	10.2	13.0	12.4	10.2	8.3	14.4	8.4	4.3	4.8	3.7	6.1	3.2	9.8	-1.0	1.0	-0.2	-0.4	-0.5	-5.0	5.4
25	6.7	7.1	9.6	9.3	7.7	1.7	14.6	13.0	14.5	16.0	14.8	11.2	5.0	11.0	-0.4	0.0	0.2	1.4	3.3	-4.0	5.4
26	3.6	5.6	7.0	8.0	6.9	-0.8	14.0	13.4	14.0	15.3	14.9	16.3	7.2	8.4	3.7	3.8	3.5	3.7	1.6	-6.9	6.2
27	6.4	8.7	8.4	8.5	5.5	-0.3	13.0	10.0	10.7	11.6	13.9	17.7	5.5	9.4	7.2	7.7	4.7	8.5	5.4	1.8	7.0
28	5.1	5.5	6.8	5.2	4.9	1.8	14.0	14.4	15.5	13.0	12.9	16.5	5.5	11.0	8.0	10.0	10.0	11.2	5.2	4.1	7.8
29	9.0	9.5	11.0	11.7	10.9	7.0	12.6	12.6	11.5	16.2	12.2	13.0	5.0	16.8	2.2	5.5	3.5	5.0	11.2	1.0	4.0
30	13.7	13.8	17.0	14.3	13.5	9.0	14.4	8.0	6.5	8.7	7.4										

**Resultate der Aufzeichnungen der autographischen Apparate
für Luftdruck, Temperatur, Richtung und Geschwindigkeit des Windes
auf den Stationen: Zürich und Säntis**

im Jahre 1930

In den nachstehenden Tabellen folgen die stündlichen Werte einiger meteorologischen Elemente für Zürich und Säntis. — Auf beiden Stationen werden die Temperaturen durch Richard'sche Thermographen, die Aufzeichnungen der Windrichtung und Windgeschwindigkeit durch Anemographen von Beckley, in Zürich die Daten für Luftdruck durch einen Sprung-Fuess'schen, auf dem Säntis durch einen Richard'schen Barographen erhalten. Die Stundenzählung ist auch hier von 0—24 durchgeführt.

Januar 1930

Stündliche Lufttemperaturen

$h_t = 1.8^m$

Zürich

Tag	1 ⁰⁰	2 ⁰⁰	3 ⁰⁰	4 ⁰⁰	5 ⁰⁰	6 ⁰⁰	7 ⁰⁰	8 ⁰⁰	9 ⁰⁰	10 ⁰⁰	11 ⁰⁰	12 ⁰⁰	13 ⁰⁰	14 ⁰⁰	15 ⁰⁰	16 ⁰⁰	17 ⁰⁰	18 ⁰⁰	19 ⁰⁰	20 ⁰⁰	21 ⁰⁰	22 ⁰⁰	23 ⁰⁰	0 ⁰⁰	Tagesmittel
1	1.9	1.9	1.2	0.8	1.0	0.8	0.8	1.1	1.1	1.2	3.6	2.7	2.6	3.4	2.7	1.5	0.7	0.6	0.7	0.9	1.4	1.6	1.2	2.8	1.56
2	2.4	2.4	2.9	2.2	3.0	2.4	1.9	3.1	4.0	4.1	4.2	5.0	6.4	6.8	6.0	5.6	5.9	5.4	6.1	6.1	6.2	5.6	5.3	5.9	4.51
3	4.7	4.5	4.6	3.8	4.1	4.4	4.5	3.9	4.2	5.0	6.9	8.1	8.2	8.4	7.9	6.8	5.8	4.8	3.1	2.9	2.2	2.4	2.1	1.7	4.75
4	1.3	0.4	0.0	-0.8	-1.1	-1.4	-1.4	-1.5	-0.9	0.7	4.6	4.7	7.1	4.8	3.4	2.8	1.7	0.5	0.4	0.6	-0.5	-0.6	-0.4	0.96	
5	-0.6	-1.0	-0.9	-0.8	-0.7	-0.6	-0.8	-1.7	-1.4	0.4	1.9	3.4	4.0	4.4	3.8	3.1	2.0	1.5	1.0	0.9	0.5	-0.1	0.1	0.4	0.88
6	0.0	-0.2	-0.8	-0.8	-1.1	-1.4	-1.1	-1.9	-1.6	0.5	0.9	2.9	5.0	4.6	4.7	4.8	3.4	3.1	2.6	2.0	2.1	1.8	1.8	1.4	1.85
7	1.4	0.8	0.7	-0.1	-0.8	-0.6	-0.8	-1.4	-0.7	0.9	1.8	4.7	4.8	5.7	5.7	5.0	2.8	2.0	1.0	0.8	0.0	-0.2	-0.8	-0.8	1.39
8	-0.8	-0.6	-0.9	-1.5	-1.8	-1.8	-1.9	-1.7	-1.5	-1.3	0.8	1.8	2.0	2.7	1.8	2.8	1.4	0.8	0.4	-0.2	-0.4	-0.5	-0.6	-1.3	-0.07
9	-1.5	-0.7	0.0	0.1	0.0	0.0	0.2	2.9	3.1	3.4	3.8	4.4	4.2	4.9	4.4	4.0	3.8	3.1	2.9	2.7	2.6	2.2	1.9	2.1	2.25
10	2.1	2.1	2.2	2.2	2.2	2.2	2.8	2.2	2.2	2.9	3.1	3.1	3.4	4.0	4.2	4.0	3.5	3.0	2.7	2.4	1.5	0.8	0.7	0.6	2.49
11	0.7	0.8	0.8	0.6	0.8	1.2	1.0	0.9	1.7	2.4	4.6	5.5	5.2	5.8	4.4	3.1	2.9	2.8	3.9	4.7	4.4	3.0	2.2	2.2	2.79
12	3.0	3.7	3.0	3.0	2.7	3.2	3.8	3.8	2.8	2.8	1.7	3.5	4.5	4.4	3.7	3.1	2.4	1.7	1.8	1.9	2.8	2.8	2.8	1.7	2.84
13	5.1	7.2	8.7	8.0	7.7	8.7	9.4	9.1	9.1	9.7	11.1	11.6	11.7	11.7	11.0	9.8	9.1	7.9	7.5	6.1	5.0	3.7	3.7	4.0	8.29
14	3.7	3.7	3.6	3.7	4.2	3.6	3.8	3.0	3.4	4.8	4.8	6.1	8.4	9.4	9.4	8.0	5.9	4.8	4.2	4.2	4.0	5.2	4.6	4.6	5.00
15	4.9	4.8	5.8	5.8	5.9	5.5	6.0	6.2	6.1	6.2	7.9	8.0	8.0	8.0	8.9	7.9	7.5	6.8	6.5	6.7	6.4	6.5	6.8	6.5	6.68
16	5.9	5.8	6.2	6.2	5.4	5.0	4.8	4.7	4.7	4.7	4.5	4.6	4.6	4.5	4.0	3.8	3.7	3.8	3.8	4.0	4.0	4.2	4.1	4.0	4.62
17	3.9	4.1	4.1	3.8	3.5	3.5	3.4	3.1	3.6	4.9	5.5	5.9	5.4	5.4	5.4	5.0	4.7	4.8	4.1	3.2	3.2	4.8	1.1	0.6	4.00
18	0.8	0.1	-0.9	-0.4	0.4	0.0	0.0	0.3	0.8	0.9	0.5	0.9	1.8	1.6	1.5	1.2	1.0	0.7	0.6	0.5	0.4	0.2	0.1	0.0	0.51
19	0.0	-0.1	-0.5	-0.6	-0.7	-1.2	-1.2	-1.5	-0.9	-0.9	-0.8	-0.4	0.0	0.8	0.8	0.8	-0.1	-0.3	-0.2	-0.5	-0.6	-0.6	-1.3	-1.4	-0.59
20	-1.6	-1.5	-1.4	-1.6	-1.7	-1.9	-2.0	-1.7	-1.8	-1.7	-1.5	-1.9	0.0	1.4	1.1	0.2	-0.8	-0.5	-0.6	-0.9	-1.0	-1.4	-1.6	-1.9	-1.05
21	-1.7	-2.0	-2.0	-2.1	-2.1	-2.1	-2.2	-2.6	-2.5	-2.9	-2.9	-1.6	-0.8	-0.7	-0.6	-0.6	-0.6	-0.6	-0.6	-0.7	-1.2	-1.2	-1.0	-1.1	-1.51
22	-1.1	-1.0	-1.2	-1.4	-1.4	-1.2	-1.8	-2.2	-2.0	-1.8	-2.0	-1.8	-0.4	-0.3	0.2	-0.2	-0.4	-0.6	-0.9	-0.9	-1.6	-1.4	-1.6	-1.6	-1.17
23	-1.6	-1.5	-2.0	-1.9	-1.9	-1.9	-1.8	-2.0	-2.0	-1.8	-1.7	-1.9	-1.1	*-1.0	*-1.0	*-1.1	*-1.1	-1.1	-1.1	-1.1	-1.3	-1.8	-2.0	-1.9	-1.54
24	-1.8	-1.8	*-1.9	*-2.0	*-2.1	*-2.1	-2.2	-1.5	-1.7	-1.4	-1.4	-1.0	-1.0	-0.7	-0.7	-0.6	-1.1	-1.7	-1.8	-1.9	-2.0	-2.1	-2.1	-2.0	-1.64
25	-2.4	-2.9	-2.5	-2.2	-2.4	-2.6	-2.8	-2.5	-2.0	-0.8	1.0	1.1	1.6	2.8	2.7	1.4	1.1	1.0	0.0	-0.5	-0.4	-1.1	-1.3	-1.3	-0.65
26	-1.8	-1.2	-1.1	-1.6	-1.1	-1.9	-1.3	-0.8	0.3	0.9	1.6	2.7	3.5	4.7	5.6	4.7	2.8	2.1	1.8	1.1	0.6	0.2	-0.2	-0.5	0.94
27	-0.8	-0.9	-1.0	-1.0	-1.1	-1.2	-1.4	-1.0	0.5	3.0	4.1	6.8	7.6	10.0	7.9	6.2	4.1	3.1	2.2	1.6	1.0	0.4	-0.1	0.8	2.18
28	-0.1	-0.9	-1.8	-1.2	-1.1	-1.2	-1.4	-1.0	-1.8	-1.0	-0.9	-0.1	0.1	0.8	1.0	1.1	0.8	1.0	1.1	1.0	0.8	0.2	1.9	1.8	-0.62
29	1.7	1.7	1.9	1.7	1.7	1.6	1.4	1.3	1.2	1.9	1.8	2.0	1.8	2.0	2.0	2.0	1.8	1.6	1.5	1.4	1.2	1.2	1.1	1.1	1.57
30	1.0	1.0	1.0	1.0	1.0	1.0	0.8	1.1	1.2	1.3	1.4	1.3	1.4	1.6	1.9	1.8	1.8	1.9	1.9	1.9	2.1	2.0	2.1	2.1	1.48
31	2.1	1.8	1.7	1.8	2.0	1.9	1.6	1.5	1.9	2.1	5.4	6.8	7.2	7.1	6.0	5.1	3.8	2.8	1.8	0.7	0.1	-0.1	0.1	0.0	2.65
M.	0.98	0.98	0.88	0.88	0.82	0.78	0.67	0.72	0.99	1.64	2.84	3.28	3.74	4.20	3.87	3.38	2.56	2.14	1.86	1.66	1.42	1.20	0.95	0.91	1.78

Februar 1930

Zürich

Tag	1 ⁰⁰	2 ⁰⁰	3 ⁰⁰	4 ⁰⁰	5 ⁰⁰	6 ⁰⁰	7 ⁰⁰	8 ⁰⁰	9 ⁰⁰	10 ⁰⁰	11 ⁰⁰	12 ⁰⁰	13 ⁰⁰	14 ⁰⁰	15 ⁰⁰	16 ⁰⁰	17 ⁰⁰	18 ⁰⁰	19 ⁰⁰	20 ⁰⁰	21 ⁰⁰	22 ⁰⁰	23 ⁰⁰	0 ⁰⁰	Tagesmittel
1	-0.1	-0.1	-0.0	-0.1	0.0	0.0	0.1	0.0	0.5	1.6	2.0	2.8	2.4	2.9	2.9	3.1	3.1	2.9	2.7	2.8	2.6	2.1	2.1	1.9	1.57
2	1.9	1.9	1.9	1.7	1.6	1.0	0.4	1.1	1.9	1.8	3.8	6.6	5.8	6.1	6.7	5.7	4.2	3.2	2.9	2.4	2.4	2.8	2.1	2.7	2.98
3	2.9	2.7	2.0	1.8	1.5	2.3	2.3	1.8	1.0	1.8	1.0	1.6	4.0	5.0	5.1	5.0	4.8	3.8	2.8	1.8	-0.8	1.8	1.2	1.5	2.96
4	1.2	1.8	1.7	1.8	1.8	2.9	2.7	4.4	4.9	4.7	6.2	7.7	6.8	4.8	6.8	6.5	4.9	5.1	5.0	4.8	4.4	4.8	4.8	4.9	4.96
5	3.6	3.4	1.8	1.2	0.7	0.5	-0.4	-0.8	0.8	4.0	8.7	7.2	6.6	6.5	6.3	6.5	6.0	5.6	4.9	4.0	3.0	3.2	3.2	3.0	3.68
6	2.7	2.6	2.1	2.2	2.0	1.8	1.8	1.7	3.1	5.0	6.9	7.1	7.2	7.1	7.5	6.8	6.1	5.5	3.6	3.1	2.6	2.6	2.4	2.8	3.96
7	2.2	2.5	1.1	0.6	1.6	1.7	1.4	1.5	1.5	1.9	2.0	2.2	2.2	2.0	1.7	1.9	1.0	0.6	0.7	0.5	0.0	0.0	-0.2	-0.6	1.19
8	-0.7	-0.8	-0.7	-0.9	-0.7	-0.5	-0.5	-0.3	-0.0	0.1	0.4	0.7	1.0	1.0	0.8	0.4	-0.1	-0.2	-0.4	-0.7	-1.2	-1.2	-1.8	-2.1	-0.84
9	-2.1	-2.6	-3.3	-3.8	-4.1	-4.2	-5.2	-5.3	-5.7	-5.5	-4.7	-3.7	-3.7	-3.0	-1.1	-1.7	-3.8	-3.8	-4.8	-5.8	-6.2	-6.0	-6.1	-6.8	-4.83
10	-6.5	-6.8	-6.8	-7.0	-7.5	-7.8	-8.4	-7.7	-6.7	-5.7	-3.2	-2.0	-1.5	-0.6	-0.4	-0.9	-1.7	-2.8	-3.8	-4.1	-4.6	-4.6	-5.4	-6.0	-4.67
11	-6.8	-6.5	-7.0	-7.8	-7.1	-7.5	-8.2	-8.0	-7.0	-5.6	-4.6	-2.2	-2.6	0.9	0.9	0.7	0.0	-1.5	-2.5	-3.2	-4.0	-4.6	-5.0	-5.4	-4.24
12	-5.8	-5.7	-6.8	-6.8	-6.5	-7.0	-7.4	-5.8	-4.1	-1.9	-0.7	1.0	2.7	3.2	3.1	2.6	1.4	-0.7	-0.8	-1.8	-2.1	-2.7	-3.8	-3.7	-2.44
13	-4.2	-4.8	-4.6	-4.9	-5.4	-5.8	-6.0	-5.7	-4.0	-1.7	0.6	2.0	3.8	4.8	4.8	4.4	2.9	0.7	-0.1	-1.1	-1.6	-1.9	-2.8	-2.6	-1.87
14	-2.8	-3.3	-3.4	-3.7	-3.9	-3.8	-3.0	-3.0	-1.9	1.0	3.7	4.2	6.8	6.8	6.8	6.0	4.9	4.2	3.8	3.1	2.9	2.4	2.2	1.5	1.25
15	0.4	0.6	1.0	1.2	1.1	1.0	3.2	3.6	3.2	4.0	6.4	8.0	8.9	7.8	7.5	7.0	6.4	5.6	5.4	5.5	5.5	5.3	5.1	3.2	4.45
16	2.9	3.0	2.7	0.8	0.1	-0.9	-0.2	0.0	1.0	1.2	2.0	1.9	1.8	0.0	0.4	-0.2	-0.5	-0.8	-1.2	-1.6	-2.4	-3.0	-3.0	-3.7	0.72
17	-3.5	-3.0	-3.4	-2.8	-2.9	-2.8	-2.9	-2.5	-2.2	-1.7	-1.5	-1.2	-0.8	-1.1	-1.0	-1.2	-1.3	-1.1	-0.9	-0.9	-1.0	-0.8	-0.8	-0.8	-1.75
18	-0.7	-0.8	-0.7	-0.7	-0.7	-1.3	-1.0	-1.5	1.9	1.4	-0.3	-0.2	-0.2	-0.4	-0.1	0.0	0.1	0.0	0.2	0.1	0.8	0.3	0.4	0.5	-0.17
19	0.6	0.4	0.5	0.1	0.1	-0.2	-0.4	-0.5	-0.4	-0.1	-0.2	0.0	-0.2	-0.2	-0.7	-0.8	-1.0	-1.1	-1.0	-1.0	-1.0	1.1	-0.9	-0.9	-0.88
20	-1.0	-1.0	-1.2	-1.5	-1.7	-1.8	-2.0	-1.8	-1.8	-1.6	-1.1	-0.4	-0.2	-0.2	-0.2	-0.3	-0.4	-1.6	-1.6	-2.0	-2.0	-2.5	-2.8	-3.6	-1.50
21	-4.9	-4.8	-5.0	-5.1	-5.8	-6.0	-6.2	-4.7	-3.6	-2.7	0.0	1.0	1.0	0.5	1.2	1.3	0.8	-1.0	-1.7						

März 1930

Stündliche Lufttemperaturen

h_t = 1.8^m

Zürich

Tage	1 ³⁰	2 ³⁰	3 ³⁰	4 ³⁰	5 ³⁰	6 ³⁰	7 ³⁰	8 ³⁰	9 ³⁰	10 ³⁰	11 ³⁰	12 ³⁰	13 ³⁰	14 ³⁰	15 ³⁰	16 ³⁰	17 ³⁰	18 ³⁰	19 ³⁰	20 ³⁰	21 ³⁰	22 ³⁰	23 ³⁰	24 ³⁰	Tage- mittel
1	1.2	0.9	0.3	0.1	-0.5	-0.8	-1.1	-0.1	2.6	4.1	5.2	5.2	7.8	7.5	7.7	6.5	4.9	3.7	2.7	1.9	1.5	1.2	1.1	1.1	2.63
2	1.0	0.7	0.7	0.7	-0.6	0.6	0.6	1.7	1.2	2.0	3.8	5.6	4.5	6.7	0.0	8.4	7.2	5.0	4.3	3.5	2.9	1.7	1.8	1.3	3.04
3	-0.7	0.5	0.1	-0.2	-0.4	-0.6	-1.0	-1.8	-0.1	2.6	4.3	7.8	8.8	8.8	10.0	10.0	8.7	6.3	5.3	4.7	3.6	2.8	2.3	1.9	3.55
4	1.6	1.0	0.6	0.2	0.1	0.1	0.1	0.8	2.3	5.4	8.5	11.3	13.5	14.2	14.4	13.8	13.1	12.8	8.9	8.0	6.2	6.3	5.0	5.1	6.26
5	4.8	3.7	3.0	2.8	3.0	3.1	2.6	2.9	5.6	8.2	11.3	12.2	12.8	13.4	14.0	12.6	11.4	10.1	9.3	9.1	7.3	7.4	6.9	5.8	7.63
6	4.3	3.4	2.8	2.3	2.2	1.6	1.4	2.8	4.8	7.9	10.6	12.4	14.4	14.7	13.8	13.0	12.0	10.0	8.6	7.1	5.4	5.0	4.3	4.2	7.04
7	4.1	4.1	3.9	4.1	3.2	3.9	4.8	5.4	8.7	10.2	8.9	7.9	7.0	6.6	6.5	6.4	6.8	5.2	4.6	3.8	3.3	3.5	4.1	4.2	5.46
8	4.2	4.1	3.5	3.6	3.8	3.9	3.6	4.3	5.4	6.1	7.6	7.3	9.2	10.3	11.1	10.3	8.4	6.8	4.9	4.2	3.4	2.9	2.0	1.4	5.46
9	0.9	0.5	0.5	-0.1	-0.7	-1.1	-1.0	0.8	2.7	0.2	8.5	10.1	11.8	12.3	12.3	13.0	11.2	8.4	6.4	6.0	4.8	4.6	4.0	3.5	5.19
10	3.0	2.4	1.9	1.8	1.5	1.4	1.4	3.5	7.0	10.0	12.1	13.3	14.4	15.0	13.7	13.5	12.9	12.1	8.0	7.2	6.5	5.4	4.7	4.4	7.38
11	4.4	4.9	4.2	4.2	2.5	2.7	3.0	2.6	1.8	0.7	2.3	3.0	4.0	4.3	4.1	3.1	2.9	2.1	1.9	1.8	1.2	0.8	1.0	0.7	2.92
12	0.2	0.2	0.1	0.8	0.8	0.8	0.6	0.5	0.5	1.2	4.8	2.9	3.8	4.6	3.9	3.9	3.5	2.8	2.0	1.8	1.4	1.5	1.6	1.6	1.53
13	1.8	1.8	1.0	1.1	1.6	1.7	1.0	0.5	0.6	1.1	1.7	2.5	3.4	3.4	4.1	3.6	3.2	3.2	3.8	3.6	3.7	3.9	3.8	3.7	2.45
14	3.7	2.9	2.8	2.7	2.4	2.9	3.0	3.6	4.2	5.1	10.1	11.8	11.8	11.8	11.0	11.0	10.6	9.8	9.8	9.7	9.4	8.6	8.8	9.0	7.30
15	8.5	7.8	7.3	7.5	7.3	6.7	6.4	7.0	8.8	12.2	12.8	14.8	14.6	14.1	15.2	15.2	13.8	7.5	5.4	6.1	6.8	7.2	6.5	5.7	9.55
16	5.5	5.2	6.1	5.7	3.7	2.5	2.8	3.8	5.7	8.3	9.2	10.5	10.8	9.7	5.5	4.7	4.9	4.4	5.0	5.3	6.0	6.9	7.1	6.4	6.05
17	5.8	5.4	5.7	5.8	3.4	2.9	3.2	4.4	5.5	8.0	8.5	8.8	8.2	8.4	7.9	7.5	7.5	7.5	6.4	5.6	5.0	4.9	4.4	5.7	6.04
18	5.1	4.8	4.0	6.7	7.2	9.5	9.5	9.0	8.2	7.5	6.7	6.8	8.3	9.6	9.0	8.1	6.3	6.0	5.8	5.6	4.6	3.9	3.6	3.4	6.63
19	2.4	2.0	1.7	1.4	1.4	1.5	1.5	1.8	1.3	1.6	2.4	2.5	2.8	2.5	3.0	2.9	2.8	1.6	1.5	1.8	1.4	1.8	1.8	0.7	1.81
20	1.2	2.7	2.6	2.8	2.0	0.6	0.8	0.7	0.5	0.5	3.4	5.5	2.7	4.3	4.9	2.5	2.8	1.9	1.0	1.0	0.9	0.9	1.0	-0.2	1.96
21	-1.0	-1.0	-1.4	-1.6	-2.5	-2.3	-2.0	1.0	3.7	4.8	6.0	6.5	7.8	8.8	8.5	8.8	8.4	6.0	4.0	4.0	3.0	2.4	2.1	2.1	3.13
22	1.8	1.7	2.1	3.0	3.5	2.9	3.0	4.2	4.0	4.4	5.2	6.2	5.6	6.0	6.2	6.3	5.8	5.4	5.2	5.0	5.2	5.8	5.4	5.5	4.54
23	5.6	5.5	5.5	5.4	5.4	5.5	5.8	6.3	6.8	6.8	8.3	8.9	10.6	10.2	10.4	10.4	9.7	9.0	7.8	7.6	7.4	7.0	6.4	6.3	7.48
24	6.5	6.2	6.1	6.0	5.7	5.8	6.4	7.5	7.7	9.6	7.1	7.4	7.8	7.5	7.1	6.4	6.4	6.1	5.8	5.8	5.8	5.7	5.7	5.7	6.55
25	5.6	5.8	6.5	6.6	6.6	6.4	6.9	6.9	7.4	8.0	7.9	8.4	9.8	9.5	8.9	8.5	8.1	7.8	7.7	7.7	7.7	7.4	7.0	6.8	7.47
26	6.7	6.2	5.8	5.6	5.6	5.6	5.8	5.8	5.8	6.0	6.8	6.7	6.8	6.6	7.0	7.0	7.0	6.7	5.6	5.4	5.0	4.1	3.5	3.3	5.68
27	2.5	2.4	2.1	2.0	1.8	1.9	2.4	2.4	2.7	3.9	8.8	11.4	10.8	12.0	12.8	12.5	12.2	10.8	8.4	7.1	6.0	5.4	5.1	4.2	6.27
28	3.8	3.3	3.1	2.8	2.5	2.5	3.4	5.8	6.8	10.1	12.8	15.4	16.8	17.8	17.7	17.8	16.7	14.2	11.5	10.5	9.5	9.5	8.7	8.8	9.60
29	7.4	6.3	5.6	5.8	5.9	7.2	10.7	12.5	15.7	16.2	14.8	12.2	13.2	14.1	13.1	10.3	8.9	8.9	8.7	7.8	6.6	6.6	6.5	9.62	
30	6.4	6.2	6.2	5.9	5.9	6.1	6.4	9.3	10.1	11.0	13.1	12.9	14.2	13.5	14.0	11.5	10.9	8.1	6.9	6.2	5.6	4.3	3.4	8.50	
31	3.0	2.5	2.1	1.7	1.8	1.0	1.7	4.5	9.2	11.1	13.1	14.0	15.1	16.4	16.6	17.0	14.3	12.3	11.0	10.3	9.8	9.1	8.7	11.0	9.03
M.	3.61	3.81	3.11	3.09	2.80	2.78	2.88	3.66	4.94	6.47	7.88	8.82	9.80	9.80	9.77	9.41	8.58	7.14	6.05	5.67	5.10	4.61	4.45	4.26	5.73

April 1930

Zürich

Tage	1 ³⁰	2 ³⁰	3 ³⁰	4 ³⁰	5 ³⁰	6 ³⁰	7 ³⁰	8 ³⁰	9 ³⁰	10 ³⁰	11 ³⁰	12 ³⁰	13 ³⁰	14 ³⁰	15 ³⁰	16 ³⁰	17 ³⁰	18 ³⁰	19 ³⁰	20 ³⁰	21 ³⁰	22 ³⁰	23 ³⁰	24 ³⁰	Tage- mittel
1	9.6	9.3	8.3	8.0	7.9	7.5	7.4	8.3	8.5	9.5	10.3	9.6	14.4	13.8	14.2	15.8	14.3	13.8	11.8	10.4	9.8	8.9	7.2	7.2	10.17
2	6.8	5.9	6.0	5.4	5.0	4.9	5.4	8.8	11.3	15.2	17.4	18.9	20.6	20.9	21.6	21.1	19.6	17.2	15.0	14.0	12.8	12.1	12.1	11.9	12.87
3	11.8	11.4	11.4	10.1	9.8	10.3	10.9	11.2	13.2	13.9	14.7	14.7	15.4	15.8	16.1	15.6	13.8	11.8	10.4	10.1	10.0	9.8	9.6	10.2	12.13
4	10.1	8.5	8.1	7.9	7.8	7.4	7.6	7.2	7.4	7.7	7.7	7.6	7.5	7.2	6.6	6.2	5.8	4.9	3.4	3.6	3.4	3.6	3.4	3.2	6.35
5	3.8	3.8	3.4	3.6	3.7	3.8	4.3	4.7	5.5	6.9	9.7	11.6	13.1	12.8	11.7	12.9	12.1	10.2	8.3	8.1	7.6	6.8	6.6	6.5	7.51
6	5.8	5.2	5.4	4.9	4.9	4.8	5.7	7.2	9.0	10.8	9.5	10.8	13.0	15.3	14.5	9.6	6.7	7.2	6.3	6.1	6.0	5.2	5.1	5.2	7.65
7	5.8	4.3	5.0	3.8	3.2	3.0	4.8	6.3	9.8	11.9	11.7	12.6	14.8	13.9	13.5	13.4	12.9	12.1	10.7	9.5	9.2	8.8	7.9	7.5	8.98
8	6.5	5.7	5.1	5.1	4.1	3.7	4.7	6.4	8.1	10.4	12.2	12.8	13.6	14.0	13.9	14.5	12.8	10.9	10.0	8.8	7.9	7.7	7.2	6.7	8.57
9	6.4	5.6	4.6	3.6	3.1	3.7	4.1	6.1	9.6	11.2	12.1	11.6	13.4	13.4	15.0	14.8	13.4	12.2	11.1	9.8	8.0	6.7	6.1	5.1	8.76
10	4.7	4.2	3.5	2.9	2.7	2.8	3.8	5.6	9.2	11.7	14.1	15.6	15.5	15.7	15.5	16.1	15.0	13.5	12.8	11.0	10.4	8.6	7.8	7.1	9.35
11	6.9	6.2	6.6	6.0	5.1	5.3	5.9	8.6	11.0	14.2	15.6	16.3	16.5	18.5	18.4	18.1	17.6	16.0	12.8	11.0	10.4	9.3	8.6	8.3	11.40
12	7.6	7.0	7.0	6.6	7.0	7.2	8.1	8.7	11.2	12.0	12.3	15.3	18.5	17.5	18.1	18.8	17.7	15.4	13.2	13.6	12.7	11.5	11.7	10.2	12.08
13	9.3	9.3	9.3	9.6	9.8	8.8	8.4	8.8	8.2	8.8	8.3	8.4	8.0	7.8	7.8	7.9	7.8	7.4	7.0	7.0	6.8	6.4	6.9	6.2	7.99
14	6.1	5.8	5.3	4.8	4.2	3.4	3.7	3.5	3.3	3.9	4.6	5.2	5.7	5.5	5.1	5.0	4.1	4.0	3.8	3.1	3.0	2.6	2.6	2.7	4.29
15	2.1	1.6	1.7	2.0	1.9	2.1	2.8	3.1	2.8	3.6	4.3	4.8	4.6	3.9	3.6	3.3	3.1	3.0	2.6	2.4	2.4	2.4	2.3	2.4	2.55
16	2.3	2.4	2.8	2.8	2.9	2.9	3.0	2.8	2.8	3.0	2.9	3.6	4.3	3.7	3.8	3.2	2.9	2.9	2.7	2.5	2.6	2.6	3.1	3.5	2.95
17	3.1	3.2	3.1	3.2	3.1	2.8	3.0	3.0	3.2	3.6	3.2	3.6	4.0	4.7	4.7	4.9	4.9	4.6	3.9	3.6	3.5	3.3	3.3	3.2	3.61
18	3.2	2.9	2.5	2.5	2.7	2.4	3.0	3.4	3.8	4.7	5.6	9.3	7.0	7.0	6.8	6.0	5.9	4.8	4.4	4.3	4.2	4.1	4.1	4.0	4.52
19	4.0	4.0	4.0	4.0	3.9	3.2	3.8	4.0	4.6	5.2	6.1	6.4	7.0	8.7	8.2	8.2	7.0	5.0	4.5	4.3	4.2	3.0	2.1	1.8	4.58
20	1.1	0.9	0.8	0.6	0.6	0.8	1.6	2.6	4.1	6.1	6.2	8.6	8.7	11.8	12.1	12.5	11.1	9.4							

Mai 1930

Stündliche Lufttemperaturen

$h_t = 1.8^m$

Zürich

Tag	1 ⁰⁰	2 ⁰⁰	3 ⁰⁰	4 ⁰⁰	5 ⁰⁰	6 ⁰⁰	7 ⁰⁰	8 ⁰⁰	9 ⁰⁰	10 ⁰⁰	11 ⁰⁰	12 ⁰⁰	13 ⁰⁰	14 ⁰⁰	15 ⁰⁰	16 ⁰⁰	17 ⁰⁰	18 ⁰⁰	19 ⁰⁰	20 ⁰⁰	21 ⁰⁰	22 ⁰⁰	23 ⁰⁰	0 ⁰⁰	Tages- mittel
1	4.9	4.4	3.9	3.8	4.0	4.6	5.9	6.8	7.0	8.3	9.8	11.8	14.4	13.9	14.8	14.5	13.8	13.3	11.9	10.8	9.3	8.1	7.3	7.0	8.57
2	6.6	6.0	5.7	5.2	4.8	5.1	6.9	9.5	13.6	14.7	16.8	19.0	18.2	17.5	18.3	16.4	14.8	12.6	10.3	10.0	10.0	9.4	9.2	9.1	11.24
3	9.1	8.8	8.6	8.5	8.4	8.4	8.7	8.6	8.8	8.9	9.5	9.8	10.2	10.8	12.3	13.3	12.2	11.9	11.2	10.4	10.2	9.6	9.1	9.0	9.81
4	8.8	8.6	7.8	7.2	7.7	8.2	9.1	10.9	13.9	16.4	18.0	19.6	20.2	20.2	19.0	20.2	20.2	18.6	15.5	13.4	12.0	10.9	11.1	10.3	13.66
5	10.4	9.4	9.4	9.9	9.5	10.7	11.0	11.2	10.7	12.3	14.2	17.2	18.5	20.2	19.0	20.2	15.1	15.0	13.9	12.6	11.7	9.8	9.6	9.1	12.02
6	8.8	8.4	8.2	7.8	7.8	8.0	0.2	11.9	15.7	16.2	16.1	16.5	17.9	16.9	15.3	13.6	10.5	9.8	9.0	9.0	8.9	8.6	8.5	8.8	11.25
7	7.8	7.6	7.5	7.0	7.2	7.5	8.2	8.6	9.1	9.8	9.9	10.3	10.6	12.0	10.8	11.1	10.0	8.9	8.6	8.4	8.4	8.4	8.1	7.9	8.90
8	7.6	7.6	7.6	7.1	7.0	6.8	6.4	6.6	4.9	5.6	5.9	6.6	7.1	7.3	6.9	6.6	6.2	6.5	5.9	5.3	5.2	5.7	5.0	5.1	6.85
9	4.9	4.9	4.0	3.7	3.5	3.7	4.8	5.6	6.7	6.8	8.1	9.6	10.2	10.7	10.7	9.8	10.9	9.8	9.2	7.7	6.3	6.2	6.8	6.4	7.04
10	5.1	5.4	4.7	3.7	4.2	5.0	6.6	7.9	8.4	9.1	10.0	11.9	11.0	9.8	10.1	10.8	11.4	10.8	9.2	8.7	8.6	9.0	8.5	8.6	8.25
11	8.7	9.0	8.9	7.8	8.3	8.5	8.9	9.2	9.7	10.2	10.9	11.8	13.5	13.4	10.6	13.9	12.8	9.6	8.9	8.7	8.1	8.3	8.5	8.2	9.80
12	8.2	7.9	6.6	7.2	7.1	7.2	6.5	6.9	7.9	9.2	10.2	11.3	9.0	9.2	9.2	8.4	7.5	8.3	7.8	7.3	7.6	7.7	6.6	6.7	7.06
13	6.6	6.8	6.1	6.4	6.6	6.5	6.5	6.8	6.6	7.2	7.4	7.9	9.8	9.6	9.5	8.6	8.0	8.5	7.8	8.7	10.4	10.2	10.4	10.7	8.82
14	10.6	10.7	10.5	9.0	9.7	10.5	11.8	12.0	12.5	12.8	12.6	13.0	13.6	14.1	13.3	13.4	13.3	12.5	12.8	12.1	11.7	10.9	10.8	10.6	11.66
15	10.4	10.4	10.4	10.7	10.1	10.2	11.8	12.2	13.0	12.2	13.9	13.4	14.5	14.1	14.1	14.0	13.8	12.5	11.7	10.9	10.7	10.9	9.7	9.6	11.53
16	9.7	9.6	9.4	8.9	7.8	8.5	9.6	11.9	16.1	18.1	19.1	18.7	19.4	18.5	19.9	18.4	17.9	17.9	14.8	12.5	11.9	10.9	9.7	9.5	13.66
17	8.7	8.2	8.1	8.5	7.5	7.8	10.1	12.8	15.7	17.9	19.2	20.7	23.2	23.0	23.9	23.7	22.7	20.5	18.7	16.4	15.9	14.6	14.2	13.7	15.85
18	12.5	12.1	11.9	11.7	11.5	12.2	14.8	15.9	19.2	22.2	23.7	24.2	24.6	25.2	24.7	22.2	21.0	16.2	15.2	14.8	13.7	12.3	11.8	11.4	16.85
19	10.9	9.8	9.4	8.6	8.4	8.8	9.0	9.9	9.9	10.2	10.2	9.0	12.5	12.2	13.2	12.8	12.0	11.9	10.8	9.2	8.3	6.8	6.2	5.8	9.78
20	5.2	4.9	4.2	3.7	3.8	4.6	6.8	9.1	12.1	14.9	15.1	17.3	16.2	17.9	15.8	16.0	14.3	13.6	12.2	10.9	10.0	9.3	8.9	8.6	10.60
21	8.8	8.1	8.3	8.1	8.1	9.1	9.5	10.6	13.5	13.0	13.7	14.8	16.6	15.9	16.7	11.9	12.2	12.4	11.7	10.8	9.2	8.1	7.4	6.9	11.02
22	7.1	6.4	5.9	5.4	5.9	6.4	7.4	9.8	12.8	16.4	18.5	21.1	19.2	20.4	19.1	17.7	18.1	17.1	15.6	14.5	13.9	11.6	10.9	10.2	12.08
23	10.8	9.8	9.9	9.9	10.5	11.1	11.6	11.9	12.8	13.8	13.2	15.2	14.7	15.6	12.7	12.1	11.2	10.6	9.9	9.8	9.8	9.8	9.6	9.7	11.42
24	9.6	9.6	8.2	7.7	8.3	9.2	10.0	11.5	12.1	13.0	14.6	14.2	14.5	16.2	15.6	14.6	14.1	13.5	12.8	11.6	10.4	11.3	10.7	10.3	11.52
25	10.2	9.8	9.8	9.6	9.9	10.8	11.7	13.0	15.2	16.2	15.1	17.8	17.2	17.2	19.2	15.2	14.2	12.9	11.8	11.3	11.0	10.2	9.8	9.8	12.86
26	9.8	9.6	9.8	8.4	8.8	9.9	11.0	12.5	15.1	15.9	17.9	20.8	20.0	20.7	19.7	16.1	14.4	14.9	14.2	13.3	13.0	12.9	12.6	12.4	13.88
27	11.2	11.1	10.2	10.2	10.0	10.2	11.2	11.4	12.2	16.1	17.9	18.5	17.8	18.9	19.1	17.6	16.8	15.5	15.0	13.2	12.2	11.0	11.5	11.1	13.78
28	10.2	10.6	10.6	10.1	10.9	10.9	12.2	13.9	15.1	17.6	19.9	20.6	20.4	22.8	21.0	19.8	18.9	17.4	16.4	15.8	15.3	14.2	13.6	13.8	15.42
29	12.6	12.2	12.0	11.9	12.1	12.4	13.2	12.5	13.7	17.1	17.9	17.0	17.5	19.0	20.9	22.9	22.4	20.8	18.8	12.4	17.6	15.9	13.9	12.9	15.82
30	12.7	12.1	12.0	11.8	11.8	12.0	14.4	16.6	20.8	22.4	22.8	22.1	22.1	25.1	27.1	27.2	21.5	20.4	19.2	17.5	16.7	15.5	14.6	14.7	18.04
31	14.2	14.4	14.9	14.9	14.9	14.6	15.5	17.2	19.6	20.2	22.1	22.9	21.9	23.1	24.6	23.6	23.9	21.5	19.1	18.6	16.9	15.7	14.6	13.9	18.43
M.	9.09	8.82	8.50	8.16	8.22	8.66	9.69	10.76	12.40	13.67	14.61	15.57	16.01	16.46	16.84	15.87	14.66	13.72	12.54	11.49	11.12	10.48	9.85	9.72	11.98

Juni 1930

Zürich

Tag	1 ⁰⁰	2 ⁰⁰	3 ⁰⁰	4 ⁰⁰	5 ⁰⁰	6 ⁰⁰	7 ⁰⁰	8 ⁰⁰	9 ⁰⁰	10 ⁰⁰	11 ⁰⁰	12 ⁰⁰	13 ⁰⁰	14 ⁰⁰	15 ⁰⁰	16 ⁰⁰	17 ⁰⁰	18 ⁰⁰	19 ⁰⁰	20 ⁰⁰	21 ⁰⁰	22 ⁰⁰	23 ⁰⁰	0 ⁰⁰	Tages- mittel
1	13.6	13.2	13.2	13.4	13.9	14.8	15.8	17.1	18.1	19.5	22.8	24.1	24.4	19.0	22.2	19.1	21.8	19.1	17.1	15.5	15.6	14.8	14.2	13.8	17.90
2	13.5	13.5	13.9	12.8	12.6	14.0	15.0	16.8	19.0	21.0	22.0	25.0	25.7	27.0	27.9	24.8	22.9	20.9	14.4	14.7	14.5	13.0	12.8	12.5	17.89
3	12.5	12.9	12.2	11.4	11.3	12.0	14.1	15.2	18.7	21.3	23.3	24.7	24.3	26.2	27.0	22.2	22.1	20.4	18.9	16.8	15.7	14.0	14.7	14.2	17.58
4	14.8	14.1	14.8	13.7	13.2	13.7	15.8	17.8	20.3	22.4	23.2	24.2	25.2	27.9	27.2	24.3	23.1	21.9	19.4	18.9	17.8	16.7	15.8	15.1	19.12
5	14.9	14.1	14.3	14.5	14.1	14.1	14.8	14.9	15.7	18.1	21.5	24.9	24.3	24.9	25.6	24.7	23.1	20.7	19.2	17.7	17.2	15.8	14.5	13.8	18.16
6	13.0	12.9	12.8	11.6	11.5	12.9	13.5	16.1	18.5	20.8	22.7	24.0	25.8	26.0	27.0	26.1	25.5	23.8	22.2	20.1	19.6	18.2	17.5	16.2	19.05
7	15.8	16.0	15.1	15.0	14.6	16.1	17.8	18.6	21.1	23.6	25.1	26.8	26.7	27.5	28.8	28.5	25.2	23.6	22.2	20.0	18.4	17.9	17.1	16.0	20.71
8	15.8	14.8	14.8	14.7	14.9	16.2	17.1	18.5	20.8	22.8	22.5	24.8	24.5	25.0	25.7	26.0	23.4	19.6	18.4	17.8	17.3	15.2	13.2	13.2	19.01
9	13.4	13.2	12.9	13.0	13.2	13.5	15.0	15.6	16.0	17.0	16.7	18.4	22.3	19.6	20.5	20.1	18.9	18.1	17.0	16.4	15.9	14.3	13.9	13.8	16.22
10	13.6	13.2	12.9	12.6	12.8	14.1	15.8	16.8	22.1	21.9	24.8	25.6	23.9	25.1	25.0	26.3	25.2	23.4	21.5	19.6	19.2	18.5	17.7	16.8	19.40
11	15.0	14.8	14.2	13.8	13.8	14.8	16.9	17.6	21.6	23.6	25.4	27.1	26.9	28.6	29.0	28.4	28.3	25.0	21.9	20.2	19.6	18.7	18.2	17.0	20.87
12	16.6	16.6	15.6	15.8	15.9	17.3	18.6	20.6	23.1	25.8	27.1	27.9	28.5	29.5	29.5	29.0	27.3	25.3	20.1	18.1	17.5	16.6	16.2	16.2	21.40
13	15.0	14.0	14.8	14.8	14.6	15.4	17.0	20.0	22.1	22.1	25.0	20.1	19.6	18.5	20.5	22.1	22.2	20.9	19.3	17.3	17.0	16.7	16.5	16.3	18.88
14	15.1	14.7	14.6	14.6	15.2	17.0	18.4	20.0	22.2	23.9	25.0	26.7	26.9	22.9	18.9	18.7	20.9	20.6	20.0	18.9	18.5	16.8	16.0	15.7	19.29
15	14.8	14.5	14.8	14.2	15.0	15.9	17.4	18.1	18.9	20.7	23.6	24.9	25.1	27.1	26.9	27.6	27.1	16.9	17.4	16.4	16.8	16.0	15.5	15.6	19.16
16	15.0	14.7	15.0	14.7	14.4	15.2	16.7	18.8	20.9	24.1	23.9	25.7	27.1	29.1	29.8	26.5	27.2	25.7	23.8	21.7	20.7	18.6	18.8	17.8	21.04
17	16.5	15.9	15.0	15.9	15.6	16.8	17.9	24.0	18.6	18.6	23.8														

Juli 1930

Stündliche Lufttemperaturen

h_t = 1.8^m

Zürich

Table with 24 columns (hours 1 to 24) and 31 rows (days 1 to 31). Includes a 'M.' row for monthly averages. Values range from approximately 7.8 to 25.5.

August 1930

Zürich

Table with 24 columns (hours 1 to 24) and 31 rows (days 1 to 31). Includes a 'M.' row for monthly averages. Values range from approximately 8.7 to 27.7.

September 1930

Stündliche Lufttemperaturen

$h_1 = 1.8^m$

Zürich

Table with columns for days of the month (1-30) and hourly temperatures from 1:00 to 24:00, plus a daily mean column. Data is presented for each day in September 1930.

Oktober 1930

Zürich

Table with columns for days of the month (1-31) and hourly temperatures from 1:00 to 24:00, plus a daily mean column. Data is presented for each day in October 1930.

November 1930

Stündliche Lufttemperaturen

$h_t = 1.8^m$

Zürich

Tag	1 ⁰⁰	2 ⁰⁰	3 ⁰⁰	4 ⁰⁰	5 ⁰⁰	6 ⁰⁰	7 ⁰⁰	8 ⁰⁰	9 ⁰⁰	10 ⁰⁰	11 ⁰⁰	12 ⁰⁰	13 ⁰⁰	14 ⁰⁰	15 ⁰⁰	16 ⁰⁰	17 ⁰⁰	18 ⁰⁰	19 ⁰⁰	20 ⁰⁰	21 ⁰⁰	22 ⁰⁰	23 ⁰⁰	0 ⁰⁰	Tagesmittel
1	8.2	8.0	8.5	8.5	8.5	8.6	9.2	9.0	9.9	14.2	15.2	16.2	16.7	17.1	15.4	14.8	11.7	10.8	10.4	9.7	9.9	9.2	11.0	10.8	11.81
2	13.2	11.8	10.8	10.8	9.8	10.1	10.6	11.0	10.5	11.4	14.8	14.2	13.5	15.7	15.2	14.9	12.5	11.4	11.9	12.2	13.8	11.4	9.4	9.4	11.99
3	8.8	7.4	7.1	8.9	8.9	9.4	9.8	9.2	8.8	8.6	7.0	7.1	7.8	8.0	8.6	6.8	7.8	7.4	6.6	5.9	5.6	5.8	5.2	5.0	7.69
4	5.1	5.2	4.8	4.0	3.9	3.8	2.4	2.5	1.1	1.2	1.7	2.7	3.0	2.9	3.0	3.2	3.8	3.7	3.4	3.5	3.8	3.8	3.8	3.5	3.26
5	3.4	3.4	3.1	1.8	2.0	2.6	2.4	2.8	3.2	6.2	5.6	5.4	5.7	6.8	6.0	4.6	2.1	2.2	2.0	1.4	1.8	1.8	1.9	2.1	3.34
6	2.1	2.1	2.0	1.9	2.0	1.7	1.2	0.9	1.1	6.0	7.5	6.8	7.0	7.5	7.4	7.4	6.6	6.0	5.4	4.8	4.2	3.5	3.2	3.0	4.19
7	2.1	1.5	0.7	0.8	1.6	1.8	2.8	3.1	5.9	7.0	8.2	8.7	9.8	8.5	8.8	8.0	8.1	8.0	7.2	5.8	5.4	5.0	4.8	4.0	5.27
8	3.4	3.2	3.2	3.2	3.2	3.2	3.8	4.5	6.0	6.4	6.5	6.7	7.5	7.5	8.0	7.6	7.7	7.6	7.8	7.9	7.8	7.4	6.7	5.8	5.94
9	4.6	4.1	4.0	2.9	2.8	2.9	2.8	2.8	6.0	7.8	9.4	11.1	11.8	11.5	11.8	9.7	7.5	6.7	6.1	6.1	7.0	6.5	6.1	6.0	6.52
10	5.5	5.0	4.8	5.0	5.1	5.5	6.2	7.0	8.9	9.1	9.0	9.6	9.6	9.5	10.1	8.9	8.6	8.4	7.8	7.4	7.4	7.8	7.3	7.3	7.51
11	7.8	7.3	7.2	7.8	7.6	6.9	6.8	6.8	7.5	7.8	9.8	7.8	8.0	9.5	9.2	7.1	6.4	6.2	5.7	5.8	5.2	4.9	4.8	3.8	6.88
12	3.1	2.5	1.4	1.4	2.0	1.8	2.4	2.2	3.2	3.7	4.7	5.7	4.8	3.9	3.7	3.8	3.1	2.9	1.8	0.7	0.8	0.6	0.5	-0.8	2.46
13	-1.0	-1.0	-1.2	-1.5	-1.0	-1.8	-1.8	-1.0	0.6	2.8	4.8	6.7	7.9	7.7	6.9	5.4	3.0	2.1	1.5	0.6	0.6	0.0	-0.6	-0.6	1.61
14	-0.9	-1.2	-1.2	-0.5	-1.2	-1.9	-2.2	-1.0	1.7	4.7	7.0	8.4	7.6	6.9	6.5	4.5	3.6	3.8	1.9	1.5	0.6	0.8	0.0	0.0	1.97
15	-0.5	-1.0	-1.4	-1.8	-1.2	-0.5	0.8	-0.2	0.1	1.6	4.4	8.4	10.2	10.5	9.2	7.7	5.9	5.7	5.8	4.9	3.8	2.9	5.8	6.0	3.69
16	5.2	5.1	5.8	5.8	5.7	5.9	7.0	7.9	7.9	8.4	8.7	9.8	9.8	9.2	9.2	9.0	8.0	8.5	8.1	7.7	7.8	7.4	7.2	6.1	7.50
17	4.9	4.7	4.6	4.5	4.4	4.8	4.2	3.4	3.4	3.4	4.1	5.8	5.8	5.7	4.9	3.7	2.4	2.9	2.6	2.4	3.0	3.0	2.8	2.0	3.98
18	1.9	1.8	1.2	1.0	0.8	-0.8	-0.1	0.2	1.0	2.8	2.9	6.1	6.8	5.5	5.1	4.5	3.7	3.1	2.6	2.2	2.8	2.9	3.0	3.2	2.67
19	3.7	4.0	4.2	4.1	3.8	4.9	4.8	4.6	5.0	8.0	6.9	7.8	9.2	10.9	11.5	11.0	12.1	12.0	12.2	12.8	12.4	12.3	12.8	12.8	8.46
20	11.9	11.7	11.2	10.5	10.8	10.4	10.4	10.8	11.8	9.8	9.7	11.8	10.0	9.8	9.8	9.5	11.2	9.7	10.1	8.5	9.0	12.3	13.2	13.8	10.68
21	12.0	11.6	13.6	13.7	12.6	13.5	12.4	12.8	12.8	13.8	14.7	15.8	16.2	16.7	15.6	16.8	16.6	15.9	11.5	9.8	9.8	9.6	12.5	12.9	13.80
22	14.6	13.4	13.6	14.6	15.2	15.0	13.8	13.4	13.4	12.5	10.9	12.6	13.8	14.5	14.5	14.0	13.4	13.1	12.8	12.6	13.0	13.4	13.6	15.0	13.61
23	15.5	12.8	11.8	12.9	11.6	4.1	5.8	5.8	6.1	7.2	6.5	6.4	7.2	7.2	7.1	6.4	5.4	5.8	5.0	4.1	3.1	2.7	2.1	1.6	6.77
24	0.8	0.2	0.1	-0.1	-0.9	-1.0	-0.4	0.1	0.6	1.3	1.8	2.1	2.5	2.8	3.1	3.8	3.9	3.6	3.8	3.7	4.2	3.9	4.8	5.2	2.04
25	5.0	8.1	9.8	8.6	9.9	9.7	10.8	11.2	11.8	12.2	13.7	14.9	14.8	14.5	13.5	12.6	14.6	14.4	9.2	9.1	9.2	8.5	8.4	8.8	10.98
26	8.2	7.6	8.0	8.0	11.8	11.8	9.0	8.2	8.8	10.0	13.6	14.7	16.4	14.9	13.4	12.1	10.9	11.1	10.1	10.2	9.6	8.7	8.8	8.5	10.54
27	8.2	8.4	6.5	6.4	6.4	6.2	5.8	5.4	6.1	8.5	10.6	13.4	12.7	13.4	12.8	10.8	9.8	8.2	8.0	7.6	9.4	9.7	10.7	9.7	8.88
28	11.8	11.7	12.8	12.8	12.8	9.7	11.4	15.7	14.9	12.9	15.9	17.0	15.8	14.5	16.4	15.0	12.2	12.8	11.4	11.3	10.8	15.4	15.4	14.4	13.46
29	13.4	16.2	13.4	11.1	11.5	10.4	12.4	11.8	15.8	19.0	18.5	18.5	18.8	16.8	15.4	14.4	12.8	9.0	8.1	7.7	7.8	6.5	6.8	6.7	12.58
30	6.2	5.4	4.9	4.8	4.1	5.0	3.9	3.8	4.1	5.4	6.0	6.9	6.8	7.1	7.1	7.1	6.9	6.8	6.2	6.5	6.8	6.9	5.8	5.4	5.75
M.	6.24	5.89	5.76	5.66	5.76	5.41	5.58	5.74	6.40	7.85	8.57	9.84	9.89	9.92	9.61	8.82	8.07	7.57	6.91	6.45	6.58	6.44	6.47	6.89	7.14

Dezember 1930

Zürich

Tag	1 ⁰⁰	2 ⁰⁰	3 ⁰⁰	4 ⁰⁰	5 ⁰⁰	6 ⁰⁰	7 ⁰⁰	8 ⁰⁰	9 ⁰⁰	10 ⁰⁰	11 ⁰⁰	12 ⁰⁰	13 ⁰⁰	14 ⁰⁰	15 ⁰⁰	16 ⁰⁰	17 ⁰⁰	18 ⁰⁰	19 ⁰⁰	20 ⁰⁰	21 ⁰⁰	22 ⁰⁰	23 ⁰⁰	0 ⁰⁰	Tagesmittel
1	5.6	5.2	4.4	4.8	4.1	3.8	4.0	4.1	4.8	4.8	5.1	6.2	6.4	6.2	6.2	6.8	6.1	6.1	6.2	6.2	5.9	5.9	5.8	5.4	5.40
2	5.4	5.1	4.9	4.5	4.4	4.4	4.6	4.1	4.1	4.2	4.5	4.8	4.0	3.8	3.8	3.2	3.2	3.5	3.6	3.8	4.4	4.2	4.1	4.1	4.18
3	4.1	4.1	4.0	3.9	3.9	3.0	2.6	2.4	2.1	2.2	2.8	2.8	2.7	2.5	2.1	1.9	2.1	1.5	1.5	1.3	1.4	1.3	1.0	1.0	2.45
4	0.8	0.8	0.8	0.8	0.9	1.1	1.8	1.1	1.2	1.7	1.5	1.1	1.6	1.2	1.2	1.0	0.4	0.8	0.2	0.1	0.4	0.0	0.0	0.0	0.83
5	-0.1	-0.1	-0.1	-0.8	-0.2	-0.2	0.1	0.2	0.1	0.7	1.2	2.1	2.5	2.9	3.1	2.6	2.4	3.0	2.7	2.8	2.8	2.6	1.6	1.4	1.42
6	1.4	1.8	0.8	1.0	1.2	1.4	2.0	2.2	2.1	2.8	2.5	3.3	3.6	3.9	3.9	3.4	3.4	3.4	3.4	3.6	3.4	3.6	3.6	3.9	2.70
7	4.3	4.3	4.9	4.9	5.9	5.2	4.6	4.4	4.7	5.1	6.2	7.1	8.6	8.2	7.7	6.5	5.8	4.4	3.9	3.4	3.2	2.7	2.7	2.5	5.87
8	2.7	2.1	3.0	3.0	1.8	1.9	2.7	3.1	3.4	3.7	4.9	5.4	5.8	5.7	5.6	5.8	4.9	4.8	4.2	4.0	4.2	3.8	3.6	3.0	3.90
9	3.9	4.0	3.7	2.8	3.1	3.2	3.3	3.2	2.9	4.4	4.0	5.1	5.7	6.1	5.6	6.1	4.7	4.1	3.4	3.2	2.8	3.1	3.4	3.0	3.95
10	2.8	2.5	2.4	2.5	2.8	1.1	1.2	1.8	1.6	1.8	2.0	1.6	1.4	2.1	1.5	1.5	1.8	1.4	1.1	1.0	0.6	-0.1	-0.7	-0.8	1.41
11	-0.5	-1.5	-1.7	-2.1	-2.8	-2.1	-2.1	-2.8	-1.0	0.0	1.9	1.2	2.2	2.1	1.2	-0.1	-0.9	-1.0	-1.7	-2.4	-2.4	-3.1	-3.1	-2.8	-1.09
12	-2.1	-1.7	-1.6	-1.5	-1.0	-0.8	-0.6	-0.8	-0.7	0.1	-0.1	0.1	1.0	0.8	2.1	2.4	3.1	3.2	3.1	3.1	3.4	2.9	2.5	2.7	0.83
13	2.0	2.6	2.5	2.6	2.5	2.4	2.6	2.1	2.4	3.6	4.1	4.4	4.8	5.1	4.8	4.7	4.4	5.0	6.0	5.5	5.2	5.0	5.9	5.8	3.89
14	4.4	4.5	4.8	4.5	4.5	4.6	4.2	4.2	4.7	4.0	4.9	5.8	5.9	5.4	4.1	4.4	4.4	4.8	4.1	4.0	4.0	3.9	3.1	3.1	4.48
15	2.9	2.9	2.9	2.5	2.4	2.4	2.6	2.4	2.1	4.1	3.9	3.8	4.4	4.8	4.1	3.8	2.9	2.6	2.8	2.8	2.4	2.1	2.1	2.1	2.90
16	1.9	1.2	1.6	1.2	0.8	0.9	1.0	0.8	1.0	1.5	4.2	4.6	3.8	3.9	4.7	2.0	3.4	2.1	1.8	1.0	-1.2	-1.8	-1.7	-1.8	1.55
17	-1.8	-1.7	-2.1	-1.7	-1.8	-1.2	-1.2	-1.8	-0.8	-0.4	0.5	0.4	0.6	0.7	0.8	0.0	0.0	0.0	-0.1	-0.1	-0.1	-0.1	-0.2	-0.3	-0.48
18	-0.8	-0.8	-0.8	-0.2	-0.2	-0.5	-0.2	-0.5	-0.5	-0.2	0.2	2.1	1.5	1.0	0.5	-0.5	-1.6	-1.7	-2.6	-2.8	-2.9	-3.0	-3.5	-3.4	-0.89
19	-3.9	-4.4	-4.5	-4.6	-4.8	-4.8	-4.4	-3.7	-2.5	-2.1	0.8	1.9	1.8	1.5	1.2	0.6	0.0	-1.0	-0.6	-0.8	-2.1	-2.1	-2.1	-2.6	-1.55
20	-2.8	-3.1	-3.1	-3.9	-4.2	-3.6	-4.1	-4.1	-3.1	-1.4	-0.8	0.9	1.2	1.1	0.6	0.0	-0.5	-1.5	-2.1	-3.1	-3.1	-3.8	-4.2	-4.1	-2.20
21	-5.0	-4.2	-3.8	-3.4	-4.1	-4.8	-4.8	-4.5	-4.4	-4.3	-4.8	-4.2	-4.1	-3.8	-3.7	-3.6	-3.6	-3.5	-3.6	-3.8	-4.2	-4.2	-4.8	-4.4	-4.06
22	-4.5</																								

1930

Tägliche Maxima und Minima der Lufttemperaturen

Zürich

Tag	Januar		Februar		März		April		Mai		Juni		Juli		August		September		Oktober		November		Dezember	
	Max.	Min.	Max.	Min.	Max.	Min.	Max.	Min.	Max.	Min.	Max.	Min.	Max.	Min.	Max.	Min.	Max.	Min.	Max.	Min.	Max.	Min.	Max.	Min.
1	3.7	0.4	3.2	-0.1	8.0	-1.1	15.8	7.2	15.8	3.8	25.4	13.1	31.5	13.8	25.4	9.0	28.7	14.0	18.8	5.4	17.9	8.2	6.4	3.7
2	7.1	1.7	7.9	0.4	9.1	0.5	21.8	4.8	20.1	4.8	28.2	12.3	26.8	14.6	29.0	11.2	22.5	13.1	16.9	6.9	15.8	9.2	5.4	3.0
3	8.9	1.7	5.3	-0.8	10.7	-1.3	16.4	9.5	13.4	8.4	28.0	11.0	29.3	14.8	21.8	13.4	24.9	10.6	14.2	5.9	9.5	4.9	4.1	1.0
4	7.2	-1.6	7.7	1.2	14.8	-0.2	10.1	3.1	22.0	7.2	27.8	13.2	31.9	15.3	25.7	11.0	25.3	10.0	18.3	7.0	5.3	0.9	1.7	-0.1
5	4.6	-1.7	7.6	-0.4	14.3	2.4	13.2	3.2	21.6	9.1	25.7	13.6	33.1	17.3	22.7	14.2	28.0	10.9	15.7	11.2	8.0	1.8	3.6	-0.3
6	6.6	-2.0	8.1	1.2	15.1	1.2	15.3	4.8	18.9	7.0	27.2	11.5	31.2	15.5	22.1	13.3	28.3	13.9	14.0	6.2	8.7	0.8	3.9	0.7
7	5.7	-1.4	2.7	-0.6	10.5	3.0	15.5	2.9	12.1	7.0	29.4	14.6	26.3	15.0	19.9	11.6	20.2	14.0	12.1	5.8	9.8	0.6	8.9	2.5
8	4.0	-2.0	1.1	-2.1	11.0	1.4	15.1	3.7	7.9	4.9	27.8	13.0	25.8	15.8	19.1	11.1	20.7	13.1	10.7	8.0	8.0	2.8	5.8	1.7
9	5.1	-1.6	-1.0	-6.3	13.4	-1.2	15.3	3.1	11.8	3.2	23.4	12.7	23.6	13.0	17.9	10.4	25.2	13.1	18.5	9.0	12.1	2.3	6.2	2.5
10	4.2	0.4	-0.3	-8.4	15.3	1.1	16.6	2.5	12.1	3.5	27.7	12.5	25.4	12.8	22.5	9.9	22.6	14.0	12.0	4.4	10.7	4.8	3.3	-0.9
11	6.2	0.6	1.0	-8.2	5.2	0.6	19.0	5.0	15.0	7.7	29.4	13.8	13.9	9.2	25.8	11.8	21.8	13.6	14.2	3.9	9.5	3.8	3.0	-3.2
12	5.1	0.9	3.2	-7.4	6.3	0.0	19.0	6.1	12.3	6.3	30.8	15.3	17.3	7.5	22.1	13.7	22.6	15.0	19.1	7.3	6.4	-0.3	3.7	-2.8
13	11.9	3.5	4.8	-6.0	4.1	0.2	9.9	6.2	10.7	6.0	25.6	14.0	13.9	9.2	16.0	10.8	20.7	13.5	16.6	4.9	8.2	-1.8	6.0	2.0
14	9.5	2.9	7.1	-4.0	12.1	2.6	6.1	2.6	14.5	8.9	27.6	14.5	22.0	7.3	15.7	11.5	21.0	13.1	13.8	3.5	9.2	-2.7	6.2	3.0
15	9.3	4.3	8.9	0.2	15.9	5.2	4.6	1.5	16.7	9.6	28.2	14.2	19.8	12.0	14.9	10.9	18.4	11.9	16.0	4.0	10.9	-1.4	5.3	2.0
16	6.3	3.6	3.2	-3.7	10.9	2.1	4.3	2.3	21.4	7.7	29.3	14.4	25.0	10.6	19.0	10.5	20.0	9.0	18.8	4.2	9.5	5.0	5.3	-1.8
17	5.9	0.6	0.0	-3.7	9.0	2.8	5.1	2.7	24.8	7.4	27.7	14.7	26.6	14.7	23.4	8.2	17.3	7.9	18.2	4.9	6.4	2.0	1.0	-2.3
18	2.3	-0.4	0.5	-1.5	9.9	3.4	9.5	2.2	26.5	11.2	28.6	11.8	17.4	11.4	27.0	8.5	25.4	9.9	19.5	5.8	7.1	-0.7	2.4	-3.6
19	0.4	-1.6	0.6	-1.2	3.4	0.4	9.0	1.8	14.5	5.8	29.4	13.7	18.4	10.7	25.5	13.7	27.2	14.8	15.2	5.3	13.4	3.3	2.3	-4.9
20	1.5	-1.9	0.0	-3.6	6.0	-0.2	12.6	0.5	19.1	3.6	25.6	14.2	24.5	10.2	21.0	13.5	18.8	11.8	15.3	7.7	13.3	8.2	1.9	-4.7
21	-0.5	-2.9	1.8	-6.2	9.1	-2.8	18.0	1.3	17.5	6.7	28.7	14.8	25.5	11.5	28.3	13.2	16.1	10.1	15.3	8.4	16.8	9.3	-3.4	-5.8
22	0.2	-2.2	0.0	-5.2	6.6	1.5	16.1	6.6	21.1	5.2	31.0	13.6	23.5	12.2	22.4	16.0	16.7	10.2	9.7	5.1	15.2	10.8	-2.5	-4.8
23	-1.1	-2.0	0.3	-4.7	10.7	5.4	21.1	4.8	16.2	9.6	30.3	14.8	25.4	11.4	25.1	15.8	13.6	10.8	10.6	5.8	15.9	1.0	-1.0	-2.4
24	-0.5	-2.2	4.6	-5.0	10.0	5.3	21.1	8.8	17.3	7.4	28.3	13.5	14.5	11.4	27.3	16.2	18.2	10.0	10.8	5.3	5.3	-1.0	-1.4	-2.3
25	3.2	-3.0	8.4	-4.7	9.6	5.5	24.0	7.8	19.2	9.7	25.9	13.8	17.1	11.1	27.8	16.4	15.7	10.0	8.4	3.1	15.4	4.8	-1.1	-4.6
26	5.8	-1.3	9.8	-0.9	7.1	3.2	21.2	10.1	21.5	8.1	28.6	14.0	25.0	9.4	29.4	14.4	17.5	8.7	6.9	3.2	17.1	7.6	4.6	-4.5
27	10.0	-1.5	12.8	1.5	14.0	1.8	23.0	9.0	20.7	10.0	22.1	15.2	26.4	11.4	30.0	14.1	16.2	8.0	10.2	3.2	13.9	5.1	9.3	2.4
28	1.9	-1.5	12.0	-1.0	18.3	2.5	26.8	8.8	22.8	10.0	24.0	14.4	19.7	15.3	30.8	16.3	17.9	7.8	6.0	1.8	17.6	9.2	8.1	0.9
29	2.1	1.1			16.9	5.5	21.9	11.5	23.5	11.9	27.5	14.0	23.5	14.6	29.5	15.4	12.7	7.5	9.9	5.3	10.3	6.5	3.7	-2.0
30	2.2	0.8			14.7	3.4	13.9	5.4	27.8	11.6	29.9	13.1	19.7	11.8	28.5	13.7	17.8	7.7	14.3	8.3	7.2	3.4	5.3	1.3
31	8.4	-0.2			17.1	1.0			25.1	13.8			20.4	10.6	29.5	13.7			15.8	8.8			11.3	3.0
Mittl. Max.	4.75		4.33		10.94		15.34		18.19		27.64		23.37		24.02		20.73		14.35		11.44		3.85	
Mittl. Min.	-0.27		-2.90		1.78		4.09		7.65		13.64		12.30		12.69		11.27		5.79		3.61		-0.67	
Differenz	5.02		7.23		9.16		10.35		10.54		14.00		11.07		11.33		9.46		8.56		7.83		4.52	
Abs. Max.	11.9		12.8		18.3		25.8		27.9		31.0		33.1		30.3		28.7		19.7		19.3		11.3	
Abs. Min.	-3.0		-8.4		-2.8		0.5		3.2		11.0		7.3		8.2		7.5		1.8		-2.7		-5.3	
Differenz	14.9		21.2		21.1		25.3		24.7		20.0		25.8		22.1		21.2		17.9		22.0		16.6	

1930

Uebersicht über den täglichen Gang der Temperatur

Zürich

Abweichungen vom Monatsmittel.

	Mittel	1 ⁰⁰	2 ⁰⁰	3 ⁰⁰	4 ⁰⁰	5 ⁰⁰	6 ⁰⁰	7 ⁰⁰	8 ⁰⁰	9 ⁰⁰	10 ⁰⁰	11 ⁰⁰	12 ⁰⁰	13 ⁰⁰	14 ⁰⁰	15 ⁰⁰	16 ⁰⁰	17 ⁰⁰	18 ⁰⁰	19 ⁰⁰	20 ⁰⁰	21 ⁰⁰	22 ⁰⁰	23 ⁰⁰	0 ⁰⁰
Jan.	1.78	-0.80	-0.82	-0.80	-0.90	-0.96	-1.05	-1.11	-1.06	-0.79	-0.24	0.56	1.45	1.96	2.42	2.09	1.55	0.78	0.36	0.08	-0.12	-0.36	-0.58	-0.83	0.87
Febr.	0.41	-1.50	-1.60	-1.88	-2.10	-2.27	-2.30	-2.80	-2.00	-1.09	0.03	1.20	2.25	2.88	3.08	3.20	3.00	2.22	1.25	0.64	0.16	-0.33	-0.54	-0.84	-1.20
März	5.73	-2.12	-2.42	-2.62	-2.64	-2.93	-3.00	-2.85	-2.07	-0.79	0.74	2.15	3.09	3.57	4.07	4.04	3.68	2.80	1.41	0.33	-0.66	-0.63	-0.92	-1.28	-1.47
April	9.53	-2.45	-2.88	-3.10	-3.42	-3.67	-3.65	-2.91	-1.87	-0.18	1.52	2.66	3.60	4.38	4.27	4.55	4.27	3.03	1.92	0.55	-0.22	-0.83	-1.48	-1.91	-2.15
Mai	11.93	-2.84	-3.11	-3.43	-3.77	-3.71	-3.27	-2.30	-1.17	0.47	1.74	2.68	3.64	4.08	4.58	4.41	3.74	2.73	1.79	0.61	-0.44	-0.81	-1.50	-1.98	2.21
Juni	19.21	-4.25	-4.66	-4.94	-5.20	-5.11	-4.13	-2.70	-1.01	1.02	2.87	4.46	5.24	5.80	6.03	5.76	5.26	4.38	2.33	0.62	-1.06	-1.46	-2.53	-3.16	-3.69
Juli	16.84	-2.83	-3.13	-3.43	-3.64	-3.87	-3.11	-2.02	-1.10	0.32	1.96	3.18	4.04	4.24	4.80	4.56	4.13	2.89	1.63	0.30	-1.00	-1.16	-1.92	-2.30	-2.75
Aug.	17.16	-3.07	-3.35	-3.63	-3.86	-4.12	-3.80	-2.92	-1.69	-0.24	1.66	3.07	4.19	4.76	5.00	4.93	4.78	3.88	2.05	0.42	-0.65	-1.11	-1.73	-2.18	-2.48
Sept.	15.00	-1.99	-2.19	-2.45	-2.57	-2.80	-2.81	-2.37	-1.37	-0.15	1.59	2.97	3.50	3.79	4.06	3.96	3.40	2.38	0.91	-0.33	-0.89	-1.16	-1.60	-1.79	-2.07
Okt.	9.24	-1.65	-1.71	-1.80	-1.82	-1.89	-1.88	-1.56	-1.29	-0.68	0.36	1.72	2.72	3.28	3.60	3.32	2.52	1.25	0.38	-0.15	-0.48	-0.52	-1.01	-1.22	-1.49
Nov.	7.14	-0.90	-1.15	-1.38	-1.48	-1.38	-1.73	-1.56	-1.40	-0.65	0.51	1.43	2.40	2.75	2.78	2.47	1.68	0.93	0.43	-0.23	-0.69	-0.56	-0.70	-0.67	-0.81
Dez.	1.40	-0.61	-0.65	-0.69	-0.77	-0.73	-0.77	-0.64	-0.66	-0.46	0.12	0.70	1.19	1.55	1.55	1.35	0.87	0.45	0.26	-0.01	-0.09	-0.12	-0.60	-0.67	-0.68

Januar 1930

Stündliche Barometerstände (700 m)

Zürich

Tag	1 ⁰⁰	2 ⁰⁰	3 ⁰⁰	4 ⁰⁰	5 ⁰⁰	6 ⁰⁰	7 ⁰⁰	8 ⁰⁰	9 ⁰⁰	10 ⁰⁰	11 ⁰⁰	12 ⁰⁰	13 ⁰⁰	14 ⁰⁰	15 ⁰⁰	16 ⁰⁰	17 ⁰⁰	18 ⁰⁰	19 ⁰⁰	20 ⁰⁰	21 ⁰⁰	22 ⁰⁰	23 ⁰⁰	0 ⁰⁰	Tagesmittel
1	24.1	24.3	24.4	24.4	24.4	24.7	25.1	25.4	25.7	26.0	26.0	26.0	25.7	25.2	25.1	25.6	25.7	25.7	25.7	25.8	25.1	24.7	24.6	24.2	25.19
2	23.8	23.4	23.1	22.6	22.2	22.1	21.7	21.8	21.0	21.8	20.4	20.0	20.7	20.0	20.8	21.1	21.4	21.9	22.4	22.8	23.8	24.1	24.8	24.2	22.05
3	24.6	25.0	25.0	24.8	24.7	24.6	24.6	24.7	24.9	25.2	24.9	24.6	24.1	24.0	23.8	23.5	23.2	22.9	22.9	22.8	22.5	22.2	22.0	21.5	23.87
4	21.8	21.4	21.2	20.9	20.7	20.9	20.8	20.8	20.4	20.8	20.0	19.3	18.9	18.5	18.1	17.6	17.5	17.2	17.0	16.8	16.7	16.4	16.9	16.1	18.89
5	15.8	15.9	15.7	15.2	14.8	14.7	14.5	14.4	14.1	14.1	13.5	12.8	12.2	11.9	11.8	11.9	11.9	11.8	11.9	11.9	11.8	12.0	12.1	12.4	13.50
6	12.6	13.4	13.7	13.9	14.2	14.9	15.8	15.8	17.0	17.3	18.1	18.4	18.9	19.5	20.4	21.1	21.8	22.4	23.0	23.6	24.1	24.6	25.4	25.8	18.98
7	25.6	25.9	26.2	26.2	26.2	26.8	26.8	26.7	26.8	26.8	26.5	25.9	25.4	25.0	24.9	24.7	24.8	24.6	24.6	24.8	24.2	24.0	23.8	23.7	25.98
8	23.4	23.6	23.6	23.1	22.8	22.6	22.5	22.8	22.6	22.2	21.6	20.8	20.5	20.6	20.8	20.9	20.7	20.4	19.9	19.5	18.8	18.2	17.8	17.9	21.20
9	16.9	17.0	17.7	17.9	18.4	19.0	20.0	20.8	21.8	21.6	21.7	21.2	20.9	20.8	20.9	20.8	20.6	20.4	20.2	19.9	19.4	19.0	18.6	18.6	19.74
10	18.3	18.2	17.9	17.6	17.8	17.8	17.4	17.4	17.7	17.9	17.9	17.7	17.4	17.2	17.8	17.8	17.4	17.6	17.6	17.6	17.4	17.2	17.0	16.8	17.52
11	16.8	16.8	16.7	16.8	15.7	15.7	15.4	15.0	14.8	14.5	13.8	12.5	11.1	10.2	09.0	07.9	07.2	06.8	06.8	06.7	06.1	05.9	06.2	07.1	11.42
12	07.5	08.1	08.6	08.5	08.8	09.5	09.8	10.6	12.2	12.7	13.6	14.4	14.5	14.8	15.2	15.2	14.7	14.4	14.1	13.4	13.0	12.2	12.4	12.8	12.12
13	12.4	13.0	13.4	14.1	14.9	15.8	17.2	18.7	19.8	20.7	21.8	22.6	22.9	23.1	23.1	23.8	23.8	23.7	23.7	23.8	23.9	24.2	24.2	24.2	20.50
14	24.4	24.5	24.5	24.2	24.0	23.9	23.8	23.7	23.7	23.9	23.8	23.0	22.6	22.4	22.8	21.9	21.5	21.1	20.8	20.5	20.8	20.9	21.1	21.5	22.68
15	21.8	21.8	21.8	21.1	20.9	20.9	20.9	21.2	21.2	21.0	20.8	20.5	20.8	20.9	20.2	20.4	20.4	20.5	20.2	20.1	20.4	20.4	20.5	20.8	20.88
16	20.8	20.6	21.2	21.7	22.8	22.9	23.4	23.9	24.5	25.1	25.2	25.8	25.2	25.4	25.8	26.8	26.8	27.0	27.9	27.8	27.5	27.6	27.4	27.6	24.89
17	27.8	28.2	28.0	27.7	27.5	27.4	27.4	27.4	27.5	27.9	28.2	28.8	29.0	29.5	29.7	30.0	30.8	30.6	31.2	31.8	31.5	31.4	31.6	31.5	29.29
18	31.5	31.5	31.6	31.8	31.7	31.8	32.0	32.5	32.2	32.1	31.8	31.5	31.3	31.2	31.1	30.8	31.0	30.7	30.8	30.8	30.8	29.8	29.5	31.80	
19	29.2	29.2	29.0	28.8	28.5	28.6	28.7	28.9	28.7	28.5	28.2	27.5	26.8	26.5	25.9	26.0	25.9	25.8	25.5	25.1	25.0	24.8	24.8	27.21	
20	24.6	24.7	24.5	24.3	24.1	24.0	24.0	24.2	24.3	24.0	24.1	23.7	23.9	23.1	22.9	22.8	22.8	22.9	23.1	23.1	23.0	22.9	22.8	23.0	23.59
21	23.0	23.2	23.8	23.9	23.8	23.8	23.8	23.6	23.6	23.7	23.6	23.2	22.7	22.6	22.7	22.8	23.0	23.1	23.4	23.4	23.5	23.5	23.6	23.6	23.26
22	23.6	23.7	23.8	23.5	23.5	23.6	23.6	24.0	24.0	24.2	24.2	23.8	23.6	23.4	23.5	23.5	23.5	23.7	23.8	23.8	23.9	24.0	23.8	23.7	23.73
23	23.8	23.8	23.8	23.8	23.7	23.6	23.5	23.7	24.0	24.0	24.0	23.4	22.9	22.5	22.4	22.4	22.8	22.2	22.1	22.1	21.9	21.9	21.9	21.6	22.97
24	21.5	21.4	21.8	21.0	20.8	20.6	20.6	20.7	20.7	20.3	20.1	19.6	19.2	18.8	18.7	18.9	18.2	18.2	18.1	17.9	17.6	17.5	17.2	16.8	19.88
25	16.2	16.1	15.9	15.7	15.4	15.2	15.1	15.2	15.2	15.8	14.8	14.5	13.7	13.3	13.0	12.8	12.9	12.9	12.8	12.7	12.4	12.2	12.0	11.7	14.04
26	11.5	11.5	11.0	10.8	09.6	09.0	08.6	08.8	08.1	07.8	07.6	07.0	06.8	06.2	05.9	05.8	05.5	05.6	05.8	05.8	05.8	05.8	05.7	05.5	07.50
27	05.2	05.0	04.7	04.6	04.6	04.6	04.0	05.4	05.9	06.8	06.8	07.0	07.0	06.9	07.0	07.0	07.0	07.8	07.4	07.5	07.5	07.4	07.4	07.7	06.84
28	07.7	08.0	08.4	08.7	08.8	08.7	08.9	09.4	09.8	10.3	10.2	10.0	09.7	09.9	10.2	10.8	11.9	12.1	12.6	12.8	13.2	13.8	14.0	14.1	10.56
29	14.2	14.5	14.5	14.5	14.4	14.4	14.5	14.5	14.7	14.4	14.8	14.9	13.6	13.2	13.2	13.1	13.0	12.8	12.4	12.1	11.9	12.0	11.8	11.8	13.61
30	11.5	11.4	11.4	11.2	11.0	10.9	10.7	10.7	10.8	10.9	11.0	10.7	10.5	10.2	10.8	10.5	10.8	11.0	11.2	11.2	11.2	11.1	11.0	11.0	10.95
31	10.7	10.6	10.5	10.4	10.3	10.2	10.3	10.4	10.3	10.0	09.4	08.4	07.5	06.5	05.8	05.0	04.5	04.0	03.4	02.6	01.8	01.0	00.5	00.3	06.85
M.	19.06	19.20	19.22	19.10	19.02	19.06	19.17	19.41	19.59	19.71	19.65	19.86	18.99	18.80	18.78	18.75	18.79	18.75	18.79	18.67	18.57	18.49	18.46	18.40	18.99

Februar 1930

Zürich

Tag	1 ⁰⁰	2 ⁰⁰	3 ⁰⁰	4 ⁰⁰	5 ⁰⁰	6 ⁰⁰	7 ⁰⁰	8 ⁰⁰	9 ⁰⁰	10 ⁰⁰	11 ⁰⁰	12 ⁰⁰	13 ⁰⁰	14 ⁰⁰	15 ⁰⁰	16 ⁰⁰	17 ⁰⁰	18 ⁰⁰	19 ⁰⁰	20 ⁰⁰	21 ⁰⁰	22 ⁰⁰	23 ⁰⁰	0 ⁰⁰	Tagesmittel	
1	00.0	99.9	99.5	98.8	98.1	97.7	97.8	97.8	97.5	97.4	96.9	96.8	97.0	97.2	97.7	98.1	98.2	98.6	99.1	99.4	99.7	99.8	99.9	99.9	98.41	
2	99.9	00.1	99.9	99.9	99.8	99.8	00.1	00.5	00.5	01.0	01.4	01.4	01.2	01.8	01.4	01.8	02.0	02.4	02.9	03.2	03.6	04.0	04.4	05.0	01.56	
3	05.8	05.5	05.5	05.5	05.8	06.4	06.5	07.0	07.7	08.2	08.4	08.5	08.3	08.2	08.4	08.6	08.8	09.1	09.8	09.9	09.2	08.8	08.8	09.0	07.75	
4	08.8	08.5	08.1	07.9	07.8	08.1	08.8	09.0	09.2	09.5	09.6	09.8	09.8	09.4	09.0	08.8	09.4	09.1	09.8	10.6	10.4	10.8	10.9	10.8	11.0	09.85
5	10.9	10.4	09.9	09.7	09.5	09.2	09.4	09.7	09.9	09.8	09.5	09.0	08.5	08.9	08.7	08.8	09.0	09.3	09.4	09.5	09.5	09.5	09.5	09.5	09.48	
6	09.5	09.4	09.2	09.2	09.1	09.1	09.1	09.3	09.5	09.6	09.4	09.1	08.8	08.5	08.5	08.7	09.0	09.5	09.9	10.2	10.4	10.5	10.5	10.6	09.44	
7	10.6	10.6	10.6	10.8	10.8	10.9	11.1	11.6	11.9	12.4	12.8	13.0	13.1	13.8	13.7	14.2	14.8	15.4	15.9	16.8	16.9	17.4	17.6	18.2	13.50	
8	18.3	18.7	18.7	18.8	19.3	19.4	19.7	20.2	20.8	20.8	21.2	21.2	21.8	21.4	21.8	22.0	22.4	22.6	23.1	23.8	23.6	23.9	24.0	24.3	21.28	
9	24.6	25.1	25.9	25.2	25.3	25.5	26.0	26.4	26.9	26.0	26.8	26.4	26.1	25.6	25.9	25.2	25.3	25.5	25.4	25.8	25.1	24.8	24.6	24.6	25.59	
10	24.3	24.3	24.2	24.2	24.8	24.4	24.5	24.8	24.6	24.3	24.2	23.8	23.7	23.9	24.0	24.1	24.2	24.5	24.8	24.9	25.1	25.1	25.0	25.0	24.42	
11	24.8	24.8	24.6	24.4	24.3	24.1	24.2	24.4	24.4	24.4	24.6	23.8	23.4	23.0	22.8	22.9	22.9	23.1	23.3	23.2	23.4	23.5	23.2	23.2	23.78	
12	23.2	23.1	22.9	23.0	23.0	23.1	23.4	24.0	24.2	24.2	24.4	24.2	23.8	23.5	23.5	23.7	24.1	24.6	25.0	25.3	25.6	25.7	25.8	25.8	24.13	
13	25.9	25.8	25.5	25.6	25.8	25.5	25.8	25.7	25.9	25.7	25.4	24.8	24.8	24.0	23.8	23.7	23.5	23.8	24.1	24.2	24.8	24.5	24.5	24.7	24.55	
14	24.7	24.7	24.5	24.5	24.9	24.2	24.2	24.2	24.2	24.0	23.8	23.5	23.2	22.6	22.5	22.8	23.0	23.3	23.4	23.5	23.4	23.8	23.2	23.1	23.67	
15	23.1	23.4	23.0	22.7	22.7	22.5	22.4	22.5	22.4	22.1	21.9	21.2	20.4	19.8	19.5	19.2	18.9	18.8	18.8	17.9	17.8	16.6	16.4	16.2	20.88	
16	15.8	15.2	14.7	15.8	16.3	17.1	17.6	18.0	18.1	18.5	18.7	18.6	18.5	18.0	18.0	18.1	18.4	18.7	18.6	18.9	19.1	19.0	18.9	18.8	17.79	

März 1930

Stündliche Barometerstände (700^m +)

Zürich

Tag	1 ³⁰	2 ³⁰	3 ³⁰	4 ³⁰	5 ³⁰	6 ³⁰	7 ³⁰	8 ³⁰	9 ³⁰	10 ³⁰	11 ³⁰	12 ³⁰	13 ³⁰	14 ³⁰	15 ³⁰	16 ³⁰	17 ³⁰	18 ³⁰	19 ³⁰	20 ³⁰	21 ³⁰	22 ³⁰	23 ³⁰	0 ³⁰	Tagesmittel	
1	24.3	24.3	24.3	24.5	24.4	24.6	24.7	24.9	24.8	24.5	24.6	24.3	23.7	23.1	22.9	23.2	23.4	23.7	24.0	24.1	24.1	24.0	24.1	24.1	24.1	24.10
2	24.8	24.4	23.9	25.7	25.4	25.8	25.6	25.7	25.6	25.5	24.6	24.6	24.4	24.4	24.2	24.1	23.9	24.0	24.6	24.4	24.7	24.9	25.0	25.2	25.2	24.55
3	25.4	25.4	25.9	25.8	25.4	25.3	25.6	25.7	25.6	25.5	25.6	25.5	24.8	24.4	24.2	24.5	25.7	26.0	26.4	26.4	26.7	27.0	27.2	27.2	27.4	25.85
4	27.6	27.8	27.7	27.9	28.1	28.4	28.7	29.2	29.5	29.7	29.8	29.5	29.1	28.7	28.5	28.9	28.2	28.4	28.8	29.9	29.5	29.7	29.7	29.4	29.6	28.88
5	29.6	29.5	29.2	29.2	29.2	29.2	29.2	29.4	29.4	29.4	29.4	29.2	28.8	28.1	28.0	27.7	28.1	28.0	28.0	28.1	28.3	28.6	28.6	28.6	28.2	28.76
6	28.0	27.9	27.7	27.4	27.4	27.2	27.2	27.2	27.2	27.5	27.2	26.8	25.7	25.0	24.7	24.2	23.2	23.1	22.8	22.6	22.9	21.8	21.3	21.2	21.2	25.96
7	21.0	20.6	20.2	20.0	19.8	19.2	18.3	18.6	18.3	18.8	18.9	18.9	19.1	19.0	18.9	18.5	18.6	18.9	19.4	19.3	19.4	19.4	19.4	19.4	19.4	19.25
8	19.4	19.8	19.2	19.3	19.8	20.2	20.5	20.6	20.6	20.8	21.0	21.0	20.5	20.0	19.6	19.2	19.3	19.3	19.4	19.1	19.1	19.0	18.8	18.5	18.5	19.72
9	18.1	17.9	17.8	17.5	17.2	16.9	16.8	16.8	16.8	16.6	16.4	16.1	15.5	14.9	14.3	13.9	13.8	13.8	13.8	13.8	13.8	13.7	13.6	13.6	13.5	15.69
10	13.5	13.4	12.9	12.8	12.5	12.4	12.3	12.4	11.9	11.4	11.0	10.2	09.4	09.0	08.7	08.4	08.4	08.8	09.6	10.8	10.8	11.9	11.5	11.4	11.0	11.02
11	11.5	11.2	10.8	10.4	10.4	10.5	10.3	11.0	11.3	11.5	11.3	10.7	09.8	09.2	08.8	08.5	08.1	08.1	08.2	08.3	08.3	08.1	08.1	08.1	08.1	09.70
12	08.1	07.9	07.6	07.6	07.7	07.5	07.5	07.4	07.4	07.8	07.2	07.0	06.6	06.4	06.2	06.2	06.5	07.0	07.6	07.9	08.1	08.8	08.5	08.5	08.5	07.42
13	08.7	08.6	08.7	08.7	08.5	08.8	09.0	09.8	09.8	09.6	09.7	09.9	09.7	09.7	09.6	09.7	09.9	10.2	10.4	10.4	10.2	10.0	09.6	09.1	09.0	09.80
14	08.6	08.6	08.7	08.6	08.8	08.8	09.1	09.8	09.4	09.7	09.9	09.9	09.7	09.6	09.7	09.9	10.2	10.4	10.4	10.2	10.0	09.6	09.1	09.1	09.1	09.80
15	06.6	06.8	06.8	07.0	07.0	07.2	07.1	07.0	06.8	06.5	05.9	05.5	04.9	04.4	04.4	04.3	04.3	04.8	05.2	05.5	07.8	06.0	06.1	06.0	06.0	06.44
16	09.1	09.2	09.0	09.0	08.9	08.5	08.4	08.8	08.1	08.0	07.8	07.5	07.1	07.2	07.6	08.5	08.4	09.2	10.0	10.4	10.6	10.6	11.1	11.2	11.2	08.91
17	11.8	11.5	11.5	11.1	10.8	10.8	10.8	10.9	10.9	10.4	10.4	09.9	09.8	08.9	08.8	07.8	07.4	06.9	06.6	06.4	06.2	06.0	05.4	05.1	05.1	08.97
18	04.5	03.8	03.0	03.5	03.4	03.4	03.6	04.0	04.7	05.8	06.1	06.8	06.5	06.3	06.5	06.6	06.6	06.9	07.0	07.4	07.8	08.4	08.8	09.2	09.4	05.96
19	09.5	09.6	09.4	09.8	09.1	09.2	09.2	09.1	09.2	09.2	09.8	08.9	08.6	08.8	07.6	07.4	07.1	07.0	07.0	06.8	06.2	06.0	05.8	05.7	05.7	08.10
20	06.1	06.0	05.9	05.8	05.9	06.0	06.1	06.7	07.6	08.6	09.3	10.0	10.6	11.4	12.9	13.4	14.2	15.2	16.4	17.2	17.9	18.5	18.9	19.3	19.3	11.22
21	19.8	19.5	19.4	19.0	19.0	19.0	19.2	19.8	19.8	19.8	19.2	19.1	18.9	18.7	18.4	18.2	17.8	17.7	17.8	18.0	18.5	18.6	18.8	18.6	18.6	18.75
22	18.1	18.2	18.1	18.2	18.0	18.9	19.0	19.8	19.3	20.3	20.8	20.5	20.5	20.4	20.3	20.8	20.4	20.6	20.8	21.0	21.0	21.0	20.8	20.8	20.8	19.59
23	20.4	19.9	19.5	19.2	18.8	18.6	18.4	18.0	17.7	17.5	16.9	16.4	15.6	15.0	14.7	14.6	14.4	14.5	14.6	14.6	14.4	14.1	13.6	13.5	13.5	16.46
24	13.4	13.1	12.7	12.7	12.7	12.7	13.2	13.5	13.7	13.9	14.3	14.3	14.5	14.5	14.8	15.3	15.7	16.3	16.9	17.5	17.8	18.2	18.6	18.6	18.6	14.95
25	18.6	18.6	18.6	19.0	19.4	19.6	20.0	20.8	20.5	20.4	20.4	20.4	20.2	20.1	20.2	20.9	20.4	20.8	20.8	20.9	20.9	20.9	20.9	20.9	20.9	20.12
26	20.7	20.5	20.4	20.4	20.5	20.6	21.2	21.6	21.9	22.2	22.1	22.1	22.0	22.2	22.1	22.2	22.5	23.0	23.5	23.9	24.0	23.9	23.8	23.5	22.12	
27	21.5	23.5	23.8	23.5	23.9	24.1	24.5	24.7	24.7	24.8	24.1	23.6	23.2	22.9	22.7	22.4	22.4	22.2	22.2	22.4	22.5	22.4	22.1	21.6	21.6	23.20
28	21.1	20.8	20.4	20.3	20.8	20.2	20.8	19.9	19.7	19.4	19.1	18.4	17.7	17.1	16.6	16.0	15.7	15.8	15.2	15.8	15.2	15.4	15.9	15.4	14.8	17.94
29	14.5	14.5	14.2	14.1	14.1	14.3	14.3	14.6	14.7	14.8	14.9	15.7	16.4	16.1	15.7	16.0	17.8	17.8	18.2	18.7	19.1	19.8	19.4	19.5	19.5	16.18
30	19.5	19.4	19.5	19.4	19.8	20.0	20.3	20.6	20.8	20.9	20.9	20.9	21.0	20.8	21.0	21.1	21.4	21.4	21.6	22.0	22.0	22.0	21.9	21.3	21.3	20.88
31	21.5	21.2	21.0	20.6	20.5	20.4	20.5	20.6	20.4	20.3	20.2	19.8	19.4	19.0	18.4	17.9	17.8	18.0	18.2	18.6	18.8	18.8	18.8	18.8	18.8	19.56
M.	16.99	16.84	16.61	16.54	16.58	16.58	16.71	16.81	16.87	16.90	16.87	16.71	16.42	16.16	15.99	15.90	15.98	16.25	16.57	16.76	16.89	16.92	16.90	16.88	16.60	

April 1930

Zürich

Tag	1 ³⁰	2 ³⁰	3 ³⁰	4 ³⁰	5 ³⁰	6 ³⁰	7 ³⁰	8 ³⁰	9 ³⁰	10 ³⁰	11 ³⁰	12 ³⁰	13 ³⁰	14 ³⁰	15 ³⁰	16 ³⁰	17 ³⁰	18 ³⁰	19 ³⁰	20 ³⁰	21 ³⁰	22 ³⁰	23 ³⁰	0 ³⁰	Tagesmittel	
1	18.9	19.0	19.4	19.6	19.8	20.0	20.2	20.1	20.2	20.1	19.9	19.7	19.6	19.2	19.0	18.6	18.5	18.1	18.1	18.1	18.1	18.0	17.8	17.5	17.5	19.08
2	17.4	17.2	16.9	16.9	17.9	17.2	17.4	17.4	17.5	17.8	16.8	16.4	16.2	16.2	16.2	15.8	15.8	15.7	15.7	16.1	15.6	15.2	14.9	15.0	15.0	16.41
3	14.9	14.6	14.1	13.7	13.5	12.7	12.6	12.5	11.7	10.9	10.4	09.9	09.2	08.8	08.5	08.1	08.3	08.8	09.4	09.2	09.2	08.6	08.4	08.3	08.3	10.85
4	08.8	08.2	08.0	07.9	07.5	07.8	07.1	07.1	07.0	07.0	06.8	06.7	06.7	07.0	07.5	07.9	08.2	08.8	09.4	09.8	10.0	10.2	10.3	10.3	10.3	08.18
5	10.4	10.4	10.8	10.3	10.3	10.4	10.6	10.6	10.6	10.8	10.8	10.7	10.4	10.1	09.8	09.6	09.8	10.2	10.6	11.0	11.1	11.8	11.5	11.6	10.55	
6	11.5	11.5	11.4	11.3	11.4	11.8	12.0	12.1	12.2	12.5	12.9	12.2	12.2	12.0	12.0	12.8	13.1	13.1	13.6	13.8	13.9	14.9	14.0	14.2	14.2	12.52
7	14.3	14.4	14.4	14.4	14.7	15.2	15.7	16.2	16.6	16.6	16.6	16.8	16.8	16.6	16.8	16.8	17.0	17.4	17.8	18.7	19.1	19.4	19.7	20.0	16.76	
8	20.2	20.2	20.2	20.4	20.6	21.2	21.8	22.0	22.1	21.8	21.6	21.6	21.4	21.4	21.2	21.0	21.0	21.1	21.1	21.6	22.0	22.1	22.0	21.9	21.8	21.84
9	21.5	21.2	20.9	20.7	20.7	20.7	20.6	20.2	20.9	19.7	19.4	18.9	18.6	18.0	17.5	16.9	16.6	16.4	16.4	16.9	16.0	15.7	15.5	15.2	15.2	18.48
10	15.0	14.9	14.7	14.4	14.4	14.4	14.4	14.8	14.2	13.9	13.7	13.3	13.0	12.8	12.8	12.1	12.1	12.1	12.8	12.6	12.7	12.9	13.2	13.4	13.4	13.45
11	13.6	13.8	14.0	14.1	14.8	14.7	15.2	15.4	15.5	15.6	15.6	15.4	15.1	14.8	14.7	14.5	14.8	14.6	15.0	15.3	15.5	15.7	15.9	16.0	14.95	
12	16.0	16.0	16.0	16.0	16.2	16.4	16.7	16.6	16.8	16.8	16.6	16.1	15.6	15.2	14.6	14.0	13.5	13.5	13.8	13.8	13.8	14.9	14.2	14.0	13.8	15.24
13	13.2	12.7	12.4	12.2	12.2	12.5	12.6	12.6	12.4	12.2	12.0	11.8	11.5	10.7	10.1	09.4	08.8	08.1	07.8	07.7	06.9	06.0	05.2	04.4	04.4	10.28
14	03.4	02.5	01.8	01.2	00.8	00.4	00.3	00.1	00.2	00.4	00.4	00.4	00.4	00.4	00.4	00.4	00.6	00.6	00.9	01.3	01.3	01.5</				

Mai 1930

Stündliche Barometerstände (700 mm)

Zürich

Table of hourly barometer readings for May 1930 in Zürich. Columns represent hours from 1st to 24th, and rows represent days from 1 to 31. Includes a 'Tagesmittel' column for daily averages.

Juni 1930

Zürich

Table of hourly barometer readings for June 1930 in Zürich. Columns represent hours from 1st to 24th, and rows represent days from 1 to 30. Includes a 'Tagesmittel' column for daily averages.

Juli 1930

Stündliche Barometerstände (700 m)

Zürich

Tag	1 ⁰⁰	2 ⁰⁰	3 ⁰⁰	4 ⁰⁰	5 ⁰⁰	6 ⁰⁰	7 ⁰⁰	8 ⁰⁰	9 ⁰⁰	10 ⁰⁰	11 ⁰⁰	12 ⁰⁰	13 ⁰⁰	14 ⁰⁰	15 ⁰⁰	16 ⁰⁰	17 ⁰⁰	18 ⁰⁰	19 ⁰⁰	20 ⁰⁰	21 ⁰⁰	22 ⁰⁰	23 ⁰⁰	0 ⁰⁰	Tagesmittel
1	16.4	16.0	15.0	15.0	16.0	16.1	16.0	15.9	15.8	15.7	15.4	15.0	14.4	13.9	13.8	14.0	16.0	16.2	15.6	15.1	15.5	15.9	16.2	15.7	15.62
2	15.4	15.1	15.0	15.1	15.8	15.8	15.5	15.8	15.8	15.8	15.8	15.8	15.6	15.8	15.8	16.2	16.6	17.1	17.5	17.7	18.0	18.0	18.5	18.5	16.80
3	18.6	18.5	18.0	19.0	19.8	19.8	19.4	19.4	19.0	19.5	19.4	19.3	19.2	19.2	18.9	18.8	18.7	18.8	19.1	19.5	19.9	20.0	20.1	20.0	19.25
4	20.0	19.8	19.8	19.8	19.8	20.0	20.2	20.2	20.0	19.8	19.6	18.9	18.6	18.4	18.8	18.2	18.0	18.8	18.4	18.7	18.9	19.0	19.8	19.2	19.21
5	19.2	19.0	19.0	19.2	19.2	19.4	19.4	19.6	19.8	19.8	19.7	19.5	19.0	18.6	18.2	17.8	17.8	17.9	17.7	18.2	18.5	17.6	17.7	17.7	18.78
6	17.5	17.6	18.0	18.9	19.0	19.3	19.2	19.0	18.8	18.5	18.4	18.3	18.8	17.7	17.4	17.4	19.6	19.0	21.2	22.0	21.6	21.2	21.0	21.4	19.19
7	21.7	21.9	22.0	22.2	22.8	22.6	22.6	23.0	23.2	23.1	23.0	22.6	22.8	22.2	22.2	22.1	22.1	22.3	22.4	22.6	22.9	23.1	23.2	23.8	22.58
8	23.8	23.2	22.9	22.8	22.8	22.8	22.8	23.0	23.0	23.0	22.8	22.8	22.1	21.7	21.4	21.1	21.1	21.2	21.6	22.0	22.4	22.6	22.8	22.8	22.86
9	22.6	22.4	22.2	22.2	22.4	22.6	23.0	23.2	23.2	23.1	23.1	23.0	23.0	23.0	23.1	23.1	23.1	23.2	23.8	23.5	23.4	23.2	23.1	22.97	
10	23.0	22.8	22.4	22.3	22.2	21.9	21.8	21.7	21.4	21.0	20.8	20.4	19.9	19.6	19.8	19.8	20.0	20.0	20.2	20.6	20.5	20.0	19.6	20.80	
11	19.2	18.6	17.9	17.8	16.8	16.6	16.2	16.2	16.0	16.0	15.8	15.8	15.8	15.6	15.8	15.0	15.0	14.8	15.3	16.0	16.4	16.6	16.4	16.21	
12	16.8	15.8	15.7	15.8	15.8	16.2	16.2	16.4	16.9	16.4	16.2	16.1	15.7	15.7	15.9	15.8	15.8	15.8	15.8	16.0	16.2	16.2	16.0	15.8	16.00
13	15.6	15.0	14.8	14.6	14.5	14.3	14.4	14.6	14.8	14.8	14.6	14.2	17.0	17.7	18.3	18.7	19.1	19.4	20.0	20.2	20.6	20.9	20.8	20.8	17.43
14	20.4	20.0	19.8	19.4	19.4	19.4	19.8	18.9	18.6	18.2	17.8	17.8	17.8	17.2	16.8	16.8	16.8	16.2	16.0	15.8	16.2	15.9	15.7	15.6	17.71
15	15.8	15.5	15.1	15.3	15.2	15.5	15.4	15.4	15.4	15.6	15.8	15.8	15.5	16.2	16.6	16.7	16.6	16.7	16.7	17.2	17.8	17.4	17.4	17.4	16.11
16	17.2	16.8	16.7	16.4	16.8	16.4	16.1	16.0	15.9	15.8	15.4	14.8	14.5	14.2	14.0	13.6	13.8	13.2	13.1	13.2	13.2	13.0	12.8	12.8	14.77
17	12.9	12.7	12.7	13.0	13.2	13.4	13.1	12.7	12.6	12.3	12.4	11.8	11.2	10.5	10.2	09.8	10.0	10.2	10.8	11.0	10.8	11.0	10.8	10.4	11.84
18	09.8	08.8	07.4	06.5	05.6	06.2	05.8	06.2	06.2	07.6	08.3	09.0	09.8	09.7	09.9	09.9	10.2	10.5	10.8	11.8	11.5	11.7	12.0	12.2	08.96
19	12.2	12.3	12.7	13.8	13.7	14.6	15.1	15.8	16.0	16.8	16.5	16.7	16.9	17.2	17.6	17.4	17.8	17.7	18.4	18.6	18.9	19.2	19.2	19.8	16.88
20	19.1	19.0	18.9	18.8	18.9	19.0	18.0	18.9	18.6	18.3	18.2	18.2	17.7	17.4	17.3	17.2	17.4	17.7	17.8	18.1	18.5	18.4	18.4	18.4	18.80
21	18.2	18.0	17.7	17.8	17.0	17.0	16.8	16.3	16.1	15.7	15.2	14.8	14.7	14.2	13.5	15.6	15.1	15.6	15.6	15.2	17.4	17.4	17.6	17.9	16.80
22	18.0	18.4	18.8	18.8	18.8	19.0	19.4	19.4	19.3	19.3	19.0	18.7	18.4	18.0	17.8	17.6	17.7	18.0	18.2	18.2	18.1	17.8	17.8	17.8	18.48
23	17.2	16.9	16.7	16.4	16.1	16.0	16.0	16.0	15.4	15.0	14.9	14.4	13.5	12.9	12.8	12.5	12.7	13.4	14.8	14.8	14.5	14.0	13.8	12.8	14.87
24	12.7	12.6	12.5	12.5	11.9	12.1	12.8	12.4	12.6	12.9	13.0	13.4	13.7	13.9	14.2	14.5	14.5	15.3	15.7	16.2	16.7	17.1	17.6	17.8	14.07
25	18.1	18.3	18.6	18.7	18.8	19.3	19.6	19.8	20.1	20.4	20.6	20.7	21.0	21.2	21.2	21.4	21.2	21.4	21.6	22.2	22.6	22.7	22.8	23.0	20.88
26	22.8	22.5	22.5	22.4	22.5	22.7	23.0	22.8	22.5	22.6	22.6	22.6	22.9	21.8	21.4	21.3	21.2	21.2	21.4	21.6	21.7	22.0	22.1	21.9	22.14
27	21.6	21.4	21.3	21.2	21.4	21.4	21.7	21.9	21.2	21.2	21.2	20.8	20.8	20.8	19.8	19.8	19.8	19.8	19.9	19.9	19.9	19.8	19.0	18.4	20.54
28	18.0	17.0	17.0	16.5	16.8	17.4	17.9	18.4	18.9	19.6	19.9	20.0	20.1	19.7	19.7	19.8	19.8	19.8	19.0	18.9	18.9	19.0	20.0	20.0	18.79
29	19.8	19.8	19.6	19.8	20.0	20.3	20.1	20.2	20.7	20.8	21.0	20.7	20.5	20.4	20.6	20.4	20.4	20.7	20.9	21.4	21.6	21.5	21.7	21.5	20.69
30	21.1	20.8	20.5	20.2	20.1	20.1	20.1	20.0	20.1	20.3	20.0	19.8	19.7	19.8	19.8	19.8	19.8	19.8	19.8	19.8	19.8	19.8	19.8	19.8	20.08
31	19.4	19.4	19.8	19.4	19.5	19.7	20.2	20.2	20.2	20.8	20.4	20.4	20.5	20.4	20.8	20.5	20.5	21.1	21.0	21.2	21.8	21.5	21.5	21.9	20.40
M.	18.16	17.98	17.82	17.75	17.75	17.87	17.99	18.04	18.02	18.06	18.03	17.87	17.70	17.59	17.51	17.44	17.84	17.79	18.00	18.26	18.50	18.55	18.54	18.46	17.97

August 1930

Zürich

Tag	1 ⁰⁰	2 ⁰⁰	3 ⁰⁰	4 ⁰⁰	5 ⁰⁰	6 ⁰⁰	7 ⁰⁰	8 ⁰⁰	9 ⁰⁰	10 ⁰⁰	11 ⁰⁰	12 ⁰⁰	13 ⁰⁰	14 ⁰⁰	15 ⁰⁰	16 ⁰⁰	17 ⁰⁰	18 ⁰⁰	19 ⁰⁰	20 ⁰⁰	21 ⁰⁰	22 ⁰⁰	23 ⁰⁰	0 ⁰⁰	Tagesmittel
1	21.8	21.0	20.8	20.7	20.7	20.7	20.8	20.7	20.4	20.7	19.9	19.0	19.8	18.8	18.4	18.2	17.8	17.8	17.8	17.8	17.8	17.7	17.7	17.5	19.80
2	17.3	17.0	16.8	16.8	16.8	16.8	16.8	16.4	15.9	15.7	15.4	14.9	14.3	14.0	13.7	13.1	14.7	16.0	17.2	17.8	16.6	16.4	16.0	16.5	15.98
3	15.2	15.2	15.1	15.1	15.1	15.4	15.9	16.2	16.2	16.2	16.2	16.2	16.2	16.2	16.2	16.6	16.6	16.6	17.1	17.2	17.4	17.7	17.9	17.0	16.18
4	17.2	16.8	16.0	16.2	16.2	16.4	16.2	16.2	16.2	15.8	15.4	15.8	15.8	16.1	16.6	16.4	15.9	16.1	15.8	16.4	16.5	16.4	16.4	16.4	16.18
5	15.2	14.6	15.0	15.1	14.7	15.4	15.8	15.4	15.1	15.0	14.6	14.2	14.1	14.1	14.4	14.6	15.0	15.1	15.8	15.7	16.2	16.4	16.8	16.5	15.16
6	16.5	16.8	16.8	17.0	17.2	17.4	17.8	17.6	17.6	17.6	17.6	17.6	17.2	17.0	16.8	16.8	17.0	17.4	17.9	18.6	19.0	19.2	18.6	19.2	17.58
7	18.8	18.9	18.9	18.9	19.0	19.8	19.8	20.0	20.4	20.5	20.2	19.9	20.1	20.0	19.9	19.9	19.8	19.9	20.2	20.4	20.5	20.6	20.6	20.5	19.88
8	20.2	20.2	20.0	20.2	20.2	20.2	20.2	20.5	20.8	20.9	21.0	20.5	20.6	20.4	21.0	21.4	21.8	22.0	22.8	22.9	23.2	23.4	23.8	23.8	21.81
9	23.8	23.6	23.6	23.6	23.6	23.7	23.8	24.1	24.3	24.3	24.1	24.0	24.0	24.0	23.8	23.7	23.9	23.9	24.2	24.4	24.5	24.5	24.9	24.9	23.88
10	24.8	23.9	23.8	23.6	23.4	23.6	23.7	23.9	23.9	23.8	23.6	23.4	23.1	22.8	22.6	22.5	22.4	22.3	22.2	22.4	22.5	22.4	22.5	22.2	23.10
11	22.0	21.6	21.6	21.8	21.8	21.8	21.5	21.6	21.7	21.4	21.1	20.4	20.0	19.6	19.2	19.0	19.2	19.2	19.4	19.4	19.2	19.0	18.8	18.4	20.80
12	18.0	18.0	18.1	17.9	17.9	17.7	17.7	17.3	17.1	17.0	17.9	17.2	16.9	16.8	16.5	16.8	16.4	16.6	16.6	16.9	17.0	17.2	17.4	17.7	17.22
13	17.6	17.4	17.4	17.4	16.8	16.7	17.1	17.2	17.4	17.4	17.4	17.2	16.9	16.9	16.9	16.9	16.9	16.8	16.8	17.2	17.5	17.4	17.4	17.4	17.17
14	17.2	17.0	16.7	16.2	15.9	14.7	14.6	14.0	13.8	13.2	12.2	12.1	12.0	12.2	12.6	12.6	12.6	13.2	13.6	14.5	14.8	15.1	15.3	15.8	14.92
15	15.8	16.0	16.5	16.4	16.7	17.9	17.7	18.0	18.2	18.4	19.2	19.2	19.4	19.5	19.5	19.6	19.4	19.4	18.8	18.8	18.0	17.1	16.2	16.2	18.88
16	15.9	15.5	15.2	15.8	17.8	18.6	19.8	20.4	21.2	21.4	21.9	22.0	22.8	22.2	22.8	2									

September 1930

Stündliche Barometerstände (700 mm)

Zürich

Table with columns for days (tag) and hours (1:00 to 24:00) and a final 'Tages-mittel' column. It contains hourly barometric readings for September 1930.

Oktober 1930

Zürich

Table with columns for days (tag) and hours (1:00 to 24:00) and a final 'Tages-mittel' column. It contains hourly barometric readings for October 1930.

November 1930

Stündliche Barometerstände (700 mm)

Zürich

Tag	1 ⁸⁰	2 ³⁰	3 ³⁰	4 ³⁰	5 ³⁰	6 ³⁰	7 ³⁰	8 ³⁰	9 ³⁰	10 ³⁰	11 ³⁰	12 ³⁰	13 ³⁰	14 ³⁰	15 ³⁰	16 ³⁰	17 ³⁰	18 ³⁰	19 ³⁰	20 ³⁰	21 ³⁰	22 ³⁰	23 ³⁰	0 ³⁰	Tagesmittel	
1	19.8	19.6	19.3	19.3	19.2	19.2	19.4	19.3	19.2	19.0	18.7	18.2	17.8	17.4	17.3	16.6	16.5	16.7	16.4	16.3	16.1	15.1	15.4	15.0	14.9	17.28
2	14.6	15.1	15.6	16.0	16.1	15.4	15.6	15.4	15.3	15.0	14.2	13.4	12.8	11.5	10.2	9.0	8.1	6.9	6.0	5.1	6.1	5.6	5.4	4.8	4.1	11.79
3	04.8	05.2	04.2	04.0	03.8	03.0	02.8	03.6	04.0	04.7	05.2	05.8	05.8	05.5	06.0	06.7	06.7	07.0	06.8	06.2	05.6	04.4	02.4	01.3	04.73	
4	00.7	00.4	99.8	99.5	98.6	99.8	99.7	00.4	01.8	02.6	03.8	05.2	06.2	07.1	08.2	09.0	10.0	10.8	11.0	11.8	12.1	12.6	12.6	12.6	05.64	
5	12.6	12.9	13.2	13.5	14.0	14.5	14.7	14.8	15.1	14.6	14.2	13.5	13.5	13.9	12.8	12.8	12.5	12.6	12.8	12.6	12.8	12.9	12.8	12.4	13.86	
6	12.3	12.0	12.3	12.8	12.4	12.4	12.8	12.8	13.0	13.5	13.6	13.4	13.4	13.7	13.7	14.0	14.9	14.7	14.8	15.1	15.2	15.4	15.7	15.4	13.62	
7	15.0	15.9	15.9	16.1	16.8	16.9	16.8	16.8	17.1	18.0	18.2	18.6	19.1	20.0	21.0	22.0	22.8	23.5	24.6	25.7	26.8	26.5	26.6	26.9	20.25	
8	27.0	27.8	27.1	27.0	26.8	26.9	27.2	27.2	27.2	27.4	27.9	28.2	27.9	27.7	27.7	28.0	28.8	28.9	29.8	29.7	29.8	29.7	29.9	29.9	29.9	28.12
9	30.1	30.1	30.1	30.8	30.7	30.7	30.5	30.4	30.9	30.9	30.8	30.4	30.0	29.7	29.8	29.6	29.8	30.8	30.9	30.9	31.1	31.1	30.9	30.6	30.46	
10	30.8	30.8	29.9	29.7	29.6	29.5	29.4	29.5	29.4	29.4	29.2	28.8	28.4	28.0	27.8	27.7	27.6	27.6	28.0	28.0	28.1	28.0	27.6	27.1	28.70	
11	26.7	27.0	27.0	26.8	26.9	26.8	27.1	27.5	28.0	28.1	28.1	28.0	27.9	27.6	27.8	28.0	28.3	28.9	29.4	29.8	30.0	30.1	30.5	30.8	28.21	
12	30.9	31.1	31.4	31.8	32.0	32.2	32.7	33.3	33.7	34.0	34.2	33.8	34.0	34.0	34.9	34.6	35.0	35.2	35.8	35.8	36.1	36.1	36.0	35.9	33.90	
13	35.4	35.6	35.8	35.2	35.2	35.1	35.2	35.2	35.0	35.2	35.2	34.2	33.6	33.8	33.2	33.2	33.2	33.2	33.1	32.8	32.7	32.5	32.5	32.3	34.06	
14	31.5	31.1	30.8	30.5	30.5	30.1	30.8	30.8	30.0	30.0	29.8	29.2	28.7	28.4	28.2	28.0	27.9	28.0	28.0	27.7	27.5	27.2	26.7	26.7	26.4	29.02
15	26.1	25.8	25.6	25.4	25.4	25.1	24.9	24.8	24.7	24.8	24.5	23.7	23.8	22.8	22.8	22.3	22.4	22.6	22.6	22.8	22.8	22.2	21.9	21.9	23.75	
16	22.0	21.8	21.3	21.0	20.8	20.8	21.0	21.1	21.1	21.0	20.8	20.8	19.9	19.8	19.6	19.6	19.8	20.1	20.7	20.7	21.1	21.8	21.6	21.7	20.79	
17	22.0	22.8	22.7	23.2	23.2	23.2	23.6	24.0	24.4	24.7	24.0	24.0	23.0	23.8	23.8	23.5	23.6	23.7	23.9	24.2	24.5	24.9	25.0	25.1	23.81	
18	25.1	25.8	25.2	25.6	25.0	24.9	24.9	25.8	25.6	25.7	25.8	24.7	24.2	23.9	23.8	24.0	23.9	23.6	23.2	22.8	22.8	22.8	21.0	21.7	24.18	
19	21.4	20.8	20.4	19.6	19.4	18.8	18.6	18.0	18.5	18.7	18.7	18.0	17.9	17.5	17.7	17.6	17.5	18.0	17.8	18.2	18.8	18.8	18.0	19.4	18.72	
20	19.2	19.6	19.6	19.6	19.4	19.0	18.8	18.8	18.9	19.0	18.8	18.1	18.0	17.8	17.6	17.7	17.4	16.8	16.0	15.8	15.8	14.9	14.7	13.9	17.68	
21	15.7	13.8	13.5	13.5	14.5	14.9	15.7	16.2	16.5	16.8	16.5	16.8	16.4	16.1	16.4	16.2	15.4	15.2	14.8	14.6	14.4	14.0	13.9	13.8	15.12	
22	13.6	13.8	13.8	13.9	14.2	14.2	14.5	14.8	14.1	13.9	13.6	12.9	11.0	11.3	11.4	11.6	12.7	13.2	13.4	12.8	12.0	11.8	11.6	10.2	12.91	
23	11.4	11.8	11.8	11.6	12.2	15.2	18.2	19.8	21.4	21.9	22.8	23.2	23.6	23.7	23.5	23.8	24.1	24.5	25.0	24.7	24.6	24.7	24.8	24.8	20.53	
24	23.4	23.4	23.2	23.0	22.6	22.4	22.8	21.8	21.2	20.8	20.6	19.6	19.0	18.4	18.6	18.3	16.8	17.4	17.1	16.6	16.0	15.6	15.2	14.4	19.49	
25	14.1	14.4	14.2	14.1	14.2	14.0	14.0	14.1	14.0	14.5	14.2	14.0	13.9	13.6	13.5	13.5	13.4	13.2	13.0	12.5	12.3	12.0	11.7	11.6	13.51	
26	11.1	11.1	11.0	11.2	11.5	11.8	11.4	11.8	11.9	11.4	11.4	10.7	10.3	10.0	10.1	10.2	10.2	10.7	11.4	11.4	11.9	12.5	12.8	13.1	11.28	
27	13.0	13.0	12.8	12.7	12.6	12.6	12.7	12.6	12.5	12.6	12.4	12.1	12.0	12.1	12.4	12.4	12.4	12.5	12.4	12.7	12.6	12.6	12.8	11.7	11.4	12.18
28	12.2	12.6	12.4	12.4	11.8	11.6	11.6	11.6	11.8	11.4	11.6	12.0	13.4	13.4	12.8	12.1	12.5	12.4	12.7	12.6	12.6	12.8	11.7	11.4	12.18	
29	11.8	11.5	11.6	12.0	12.2	12.8	13.1	13.9	14.1	14.7	15.2	15.3	15.2	15.4	15.9	17.4	19.0	21.2	22.1	21.8	22.8	23.1	23.6	23.9	16.65	
30	24.0	24.5	24.4	24.6	24.6	24.6	25.0	25.6	26.2	26.8	26.6	26.8	26.5	26.0	25.9	25.8	25.9	25.8	26.2	26.4	26.7	26.6	26.7	26.6	26.7	25.77
M.	19.21	19.38	19.19	19.15	19.19	19.28	19.47	19.72	19.86	20.05	20.02	19.71	19.61	19.42	19.47	19.40	19.53	19.81	19.94	19.89	19.95	19.87	19.09	19.52	19.60	

Dezember 1930

Zürich

Tag	1 ⁸⁰	2 ³⁰	3 ³⁰	4 ³⁰	5 ³⁰	6 ³⁰	7 ³⁰	8 ³⁰	9 ³⁰	10 ³⁰	11 ³⁰	12 ³⁰	13 ³⁰	14 ³⁰	15 ³⁰	16 ³⁰	17 ³⁰	18 ³⁰	19 ³⁰	20 ³⁰	21 ³⁰	22 ³⁰	23 ³⁰	0 ³⁰	Tagesmittel
1	26.7	27.0	27.1	27.1	27.1	27.2	27.6	27.9	27.9	28.0	27.6	27.2	27.0	26.0	25.6	26.8	26.0	25.9	25.9	26.1	26.0	25.7	25.1	24.4	26.67
2	24.5	24.8	24.8	24.6	24.6	24.8	24.8	25.2	25.4	25.5	25.5	25.3	25.2	25.4	25.8	26.0	26.2	26.2	26.4	26.8	26.4	26.1	26.5	26.5	25.92
3	24.0	23.4	23.6	23.6	23.8	24.3	24.5	24.8	25.2	25.8	25.8	25.8	25.2	25.4	25.8	26.0	26.2	26.2	26.4	26.8	26.4	26.1	26.5	26.5	25.70
4	26.2	26.2	26.1	25.7	25.4	25.4	25.4	25.4	25.4	25.4	24.9	24.7	24.3	24.1	24.1	24.1	24.1	24.3	24.8	24.4	24.9	23.9	23.6	23.8	24.78
5	23.8	23.8	23.2	23.0	23.0	22.8	22.8	22.7	22.7	22.6	22.2	21.6	21.2	21.1	20.7	20.9	20.6	20.6	20.6	20.6	20.5	20.8	20.1	19.8	21.67
6	19.6	19.8	19.6	19.5	19.4	19.4	19.5	19.6	19.6	19.9	19.6	19.0	18.7	18.4	18.8	18.4	18.2	18.2	18.2	18.0	18.0	17.8	17.7	17.7	18.85
7	17.6	17.8	18.0	18.0	17.9	17.8	17.9	17.9	17.9	18.1	17.8	17.4	17.0	16.9	17.0	17.0	16.9	16.8	16.9	16.6	16.6	16.4	16.4	16.4	17.81
8	16.2	16.1	15.4	14.8	14.8	15.1	15.5	15.8	16.4	16.8	16.8	16.7	16.8	17.0	17.5	17.4	17.8	18.1	18.2	18.0	17.8	17.6	17.6	17.1	16.70
9	16.6	16.4	16.0	15.6	15.4	15.4	14.8	14.8	14.9	15.1	15.0	14.5	14.0	13.6	13.6	13.8	13.8	13.8	13.5	13.9	13.8	13.8	13.9	14.1	14.59
10	14.4	14.6	14.7	14.8	14.9	15.4	15.7	15.9	16.4	16.8	16.8	16.8	16.9	17.0	17.8	17.7	17.8	18.2	18.4	18.4	18.4	18.5	18.5	18.4	16.78
11	18.2	18.2	17.9	17.8	17.1	16.6	15.9	15.6	14.7	13.8	12.7	11.9	10.7	09.5	08.4	08.2	08.0	07.8	08.0	08.0	08.1	08.4	08.8	09.1	12.21
12	09.4	09.0	09.8	09.8	10.2	10.8	10.5	10.7	11.0	11.0	10.8	10.6	10.8	11.2	11.8	12.0	12.6	12.8	12.6	12.9	13.2	13.3	13.2	13.2	11.27
13	13.4	13.2	13.2	13.0	12.8	12.8	12.4	12.0	11.4	11.0	10.3	09.8	08.4	07.7	07.1	06.8	06.8	07.0	07.6	09.0	10.0	09.8	09.9	09.1	10.18
14	08.8	08.7	08.7	08.5	08.8	08.8	09.2	09.5	09.7	09.9	10.0	09.8	09.7	09.6	09.7	10.0	10.3	10.8	11.0	11.2	11.2	11.2	11.2	11.2	09.89
15	11.1	11.2	11.1	11.2	11.2	11.8	11.2	11.2	11.2	11.2	11.2	11.0	11.1	11.1	11.1	11.8	12.6	13.3	13.8	14.3	14.6	14.7	15.1	15.1	12.20
16	15.1	15.5	15.6	15.4	15.8	15.9	15.5	15.2	14.6	14.6	14.0	13.2	12.7	12.8	12.2	12.1	12.2	12.2	12.6	13.0	13.8	13.5	13.8	14.2	13.80
17	14.3	14.8	15.2	15.4	16.0	16.6	17.4																		

1930 Tägliche Maxima und Minima der Barometerstände Zürich

Tag	Januar		Februar		März		April		Mai		Juni		Juli		August		September		Oktober		November		Dezember	
	Max.	Min.	Max.	Min.	Max.	Min.	Max.	Min.	Max.	Min.	Max.	Min.	Max.	Min.	Max.	Min.	Max.	Min.	Max.	Min.	Max.	Min.	Max.	Min.
1	26.0	24.1	00.0	98.8	24.9	22.9	20.2	17.5	18.3	13.6	23.2	18.9	16.4	13.8	21.3	17.5	25.1	22.9	23.9	22.3	19.8	14.9	28.0	24.4
2	24.3	22.0	05.0	99.8	25.2	23.6	17.5	14.9	19.5	16.6	19.1	12.8	18.6	15.0	17.3	18.1	26.3	24.9	28.2	24.1	16.1	04.1	24.6	23.0
3	25.2	21.5	09.3	05.2	27.4	25.3	14.9	08.1	20.8	19.2	19.0	14.4	20.1	18.5	17.9	15.1	28.8	25.1	29.7	28.1	07.0	01.3	26.5	24.4
4	21.4	16.1	11.0	07.8	29.8	27.6	10.4	06.7	20.9	18.6	22.7	19.0	20.2	18.0	17.2	15.4	25.3	22.6	27.9	21.2	12.6	98.8	26.2	23.3
5	15.9	11.8	10.9	08.3	29.6	27.7	11.6	10.3	19.1	16.5	22.6	19.8	19.8	17.6	16.5	14.1	22.6	20.8	20.6	09.0	15.1	12.3	23.3	19.8
6	25.6	12.6	10.6	08.5	28.0	21.2	14.2	11.3	16.5	12.8	21.8	16.6	22.0	17.4	19.2	16.5	23.2	20.0	14.4	05.4	15.7	12.3	19.9	17.7
7	26.8	23.7	18.2	10.6	21.0	18.3	20.0	14.3	11.8	08.2	18.3	15.4	23.3	21.7	20.6	18.8	21.0	19.3	19.2	13.0	26.9	15.8	18.0	16.4
8	23.6	17.3	24.3	18.3	21.0	18.5	22.1	20.2	16.6	08.9	19.3	15.9	23.3	21.1	23.8	20.0	19.9	18.3	18.8	14.2	30.1	26.8	18.2	14.8
9	21.7	16.9	28.9	24.6	18.1	13.5	21.5	15.2	19.0	16.7	19.6	18.4	28.5	22.2	24.6	23.4	19.1	17.3	20.1	11.9	31.1	30.1	16.6	13.6
10	18.3	16.8	25.1	23.7	13.5	08.4	15.0	12.1	18.0	15.3	21.0	18.6	23.0	19.6	24.2	22.2	19.8	15.7	23.9	20.0	30.3	27.1	18.5	14.4
11	16.8	05.9	24.8	22.8	11.5	08.1	16.0	13.6	16.2	11.8	21.0	19.0	19.2	14.8	22.0	18.4	15.7	12.0	21.9	15.4	30.8	26.7	18.2	07.8
12	15.2	07.5	25.8	22.9	08.5	06.2	16.8	13.3	18.7	15.5	21.6	19.3	16.4	15.7	18.1	16.3	17.4	10.7	23.3	11.6	36.1	30.9	13.3	09.4
13	24.2	12.4	25.9	23.5	10.4	08.6	13.2	04.4	19.6	18.0	22.7	20.8	20.9	14.2	17.6	16.7	19.8	18.0	25.1	23.6	35.6	31.8	13.4	06.8
14	24.5	20.3	24.7	22.5	08.6	04.3	03.4	00.1	20.9	17.2	22.6	20.2	20.4	15.6	17.2	12.0	19.5	17.2	25.2	24.0	31.5	26.4	11.2	08.6
15	21.3	20.1	23.4	16.2	09.0	02.8	10.7	02.2	23.0	20.5	20.9	18.5	17.4	15.1	19.6	15.8	22.6	19.2	24.2	21.4	26.1	21.9	15.1	11.0
16	27.6	20.3	19.1	14.7	11.2	07.1	13.2	10.6	25.1	23.0	20.2	18.6	17.2	12.8	23.8	15.2	23.0	22.2	23.1	21.5	22.0	19.6	15.5	12.1
17	31.6	27.4	18.4	16.5	11.8	05.1	12.0	10.4	25.5	22.3	19.3	17.5	13.4	09.8	24.4	21.8	22.6	19.2	22.8	19.7	25.1	22.0	27.2	14.3
18	32.5	29.5	18.3	17.2	09.4	04.0	10.4	08.5	21.9	16.4	18.6	17.0	12.2	05.2	21.2	18.4	19.1	17.5	21.2	19.9	25.8	21.0	33.9	27.8
19	29.2	24.8	20.1	17.5	09.6	05.7	08.3	06.0	24.4	21.5	20.2	18.2	19.3	12.2	23.4	19.7	18.2	13.8	20.4	16.5	21.4	17.5	33.5	29.6
20	24.7	22.8	19.9	18.3	19.3	05.8	12.5	08.4	23.5	20.7	23.1	20.3	19.1	17.2	23.8	21.6	16.6	13.0	17.7	15.6	19.6	13.9	29.3	24.8
21	23.7	22.6	19.5	17.9	19.6	17.7	17.0	12.5	21.1	18.8	28.4	21.4	18.2	13.5	22.0	18.8	20.7	16.6	18.3	16.4	16.6	13.5	25.4	24.5
22	24.2	21.4	20.6	18.3	21.0	18.1	17.9	15.8	18.4	14.4	21.0	17.2	19.4	17.6	23.9	22.2	24.9	20.6	18.2	16.2	14.5	10.2	26.3	24.6
23	24.0	21.6	23.6	20.6	20.4	13.5	15.8	11.1	16.1	13.8	19.8	16.4	17.2	12.3	25.1	21.9	24.3	23.3	16.2	13.2	25.0	11.4	24.2	17.6
24	21.5	16.8	25.1	23.8	18.6	12.7	12.2	11.1	18.5	15.7	19.1	15.0	17.8	11.9	27.8	24.6	23.5	20.2	12.8	08.4	23.4	14.4	17.5	12.8
25	16.2	11.7	24.2	21.8	20.9	18.5	17.5	12.2	18.7	16.8	19.5	16.1	23.0	18.1	27.2	26.3	20.1	18.0	11.0	06.4	14.5	11.6	12.4	08.9
26	11.5	05.5	21.8	18.3	24.0	20.4	20.9	17.8	17.3	12.8	16.2	13.2	23.0	21.2	27.8	25.4	18.0	14.8	16.4	10.6	13.0	10.0	14.1	11.1
27	07.7	04.6	20.6	18.7	24.7	21.6	20.4	14.0	15.4	12.2	18.3	13.9	21.9	18.4	26.2	24.6	18.7	15.6	20.9	16.7	13.0	12.0	19.4	13.3
28	14.1	07.7	24.3	20.5	21.1	14.8	13.5	03.3	22.9	15.1	22.6	18.4	20.1	16.5	25.2	23.1	20.7	18.6	20.8	18.8	13.4	11.3	24.8	19.4
29	14.9	11.8			19.5	14.1	03.5	0.03	24.6	20.6	22.4	20.2	21.7	19.6	24.3	22.6	20.7	18.0	22.4	20.2	23.9	11.3	20.4	08.9
30	11.6	10.2			22.0	19.4	13.6	03.6	20.8	17.8	20.2	16.4	21.1	19.7	24.8	23.0	22.5	20.4	22.7	21.6	26.8	24.0	13.6	08.0
31	10.7	0.08			21.5	17.8			23.4	21.2			21.5	19.3	23.8	22.5			22.5	21.0			07.8	08.8
Mittl. Max.	21.18		19.34		18.75		14.54		19.89		20.64		19.70		22.28		21.24		21.09		22.09		20.53	
Mittl. Min.	16.39		16.27		14.58		10.33		16.53		17.58		16.31		19.58		18.53		17.00		16.82		16.03	
Differenz	4.49		3.07		4.17		4.21		3.36		3.06		3.39		2.70		2.71		4.09		5.27		4.50	
Abs. Max.	32.5		26.9		29.8		22.1		25.5		23.4		23.5		27.3		26.6		29.7		36.1		33.9	
Abs. Min.	0.3		96.8		02.6		00.1		08.2		12.6		05.2		13.1		10.7		05.4		98.6		03.8	
Differenz	32.2		30.1		27.2		22.0		17.3		10.8		18.3		14.2		15.9		24.3		37.5		30.1	

1930 Übersicht über den täglichen Gang des Luftdruckes Zürich

Abweichungen vom Monatsmittel.

	Mittel 700 +	1 ⁰⁰	2 ⁰⁰	3 ⁰⁰	4 ⁰⁰	5 ⁰⁰	6 ⁰⁰	7 ⁰⁰	8 ⁰⁰	9 ⁰⁰	10 ⁰⁰	11 ⁰⁰	12 ⁰⁰	13 ⁰⁰	14 ⁰⁰	15 ⁰⁰	16 ⁰⁰	17 ⁰⁰	18 ⁰⁰	19 ⁰⁰	20 ⁰⁰	21 ⁰⁰	22 ⁰⁰	23 ⁰⁰	0 ⁰⁰	Ampli- tude
Januar	18.9	.07	.21	.23	.11	.03	.07	.18	.42	.60	.72	.66	.37	.00	-.19	-.21	-.24	-.26	-.24	-.20	-.32	-.42	-.50	-.53	-.59	1.31
Februar	17.77	-.27	-.28	-.45	-.46	-.43	-.34	-.16	.09	.22	.27	.27	.05	-.22	-.40	-.39	-.31	-.14	.11	.30	.37	.48	.53	.55	.62	1.10
März	16.60	.39	.24	.01	-.06	-.04	-.02	.11	.21	.27	.30	.27	.11	-.13	-.44	-.61	-.70	-.67	-.35	-.03	.16	.29	.32	.30	.25	1.09
April	12.37	.24	.14	.03	-.04	.01	.12	.26	.30	.33	.26	.10	-.06	-.18	-.37	-.50	-.58	-.52	-.42	-.19	.12	.23	.21	.21	.17	.89
Mai	18.15	.12	-.01	-.16	-.18	-.11	.06	.19	.24	.27	.23	.12	-.10	-.31	-.48	-.54	-.85	-.53	-.34	-.11	.22	.47	.54	.63	.57	1.28
Juni	19.15	.43	.32	.21	.32	.41	.51	.58	.55	.47	.37	.18	-.08	-.38	-.68	-.86	-1.04	-.96	-.77	-.49	-.23	.12	.25	.31	.29	1.62
Juli	17.97	.19	-.04	-.15	-.22	-.22	-.10	.02	.07	.05	.09	.06	-.10	-.27	-.38	-.46	-.53	-.33	-.18	.03	.29	.53	.58	.57	.49	1.11
August	20.95	.06	-.06	-.13	-.17	-.11	.06	.25	.33	.35	.32	.18	-.05	-.22	-.37	-.48	-.53	-.54	-.35	-.10	.18	.32	.41	.37	.32	.95
Septbr.	19.84	.14	-.02	-.15	-.20	-.11	-.01	.13	.26	.35	.27	.15	.01	-.15	-.27	-.36	-40	-.34	-.27	-.03	.15	.21	.28	.27	.20	.75
Oktober	19.10	-.02	-.14	-.28	-.38	-.24	-.16	.07	.28	.30	.34	.30	.06	-.32	-.40	-.45	-.32	-.16	.06	.21	.32	.35	.33	.13	.20	.80
Novbr.	19.60	-.39	-.27	-.41	-.45	-.41	-.37	-.13	.12	.26	.46	.42	.11	.01	-.18	-.13	-.11	-.02	.24	.34	.29	.35	.27	.09	-.08	.90
Dezbr.	18.32	.34	-.36	.29	.15	.10	.11	.19	.31	.45	.54	.28	-.06	-.35	-.58	-.64	-.59	-.41	-.23	-.06	.02	-.02	-.01	-.08	-.21	1.18

Januar 1930

h_a = 34.5^m

Stündliche Aufzeichnungen des Anemometers.

Tag	Mittel	0 ⁰⁰ -1 ⁰⁰	1 ⁰⁰ -2 ⁰⁰	2 ⁰⁰ -3 ⁰⁰	3 ⁰⁰ -4 ⁰⁰	4 ⁰⁰ -5 ⁰⁰	5 ⁰⁰ -6 ⁰⁰	6 ⁰⁰ -7 ⁰⁰	7 ⁰⁰ -8 ⁰⁰	8 ⁰⁰ -9 ⁰⁰	9 ⁰⁰ -10 ⁰⁰	10 ⁰⁰ -11 ⁰⁰	11 ⁰⁰ -12 ⁰⁰	
1	6.3	WSW	2 WSW	4 WSW	5 SSE	4 SSE	4 SSE	3 SSE	5 SSE	6 SSE	4 SSE	6 S	6 W	6
2	29.2	WSW	20 WSW	21 WSW	24 SSW	27 WSW	21 SW	17 SW	21 SW	36 SW	34 SW	32 SW	38 WSW	42
3	6.1	WNW	13 WNW	8 WNW	5 WNW	6 WNW	4 SW	6 S	9 S	11 S	2 S	4 SSW	6 SSW	6
4	2.1	S	3 S	1 S	3 S	1 S	0 S	1 S	3 S	1 S	2 S	1 S	1 S	1
5	3.1	NW	3 NW	1 NW	2 NW	5 NW	5 NW	4 NW	5 NW	4 NW	2 NW	1 NW	5 NW	4
6	3.8	NW	5 NW	6 NW	5 NW	5 NW	7 NW	3 NW	2 NW	3 NW	3 NW	5 NW	4 NW	5
7	2.3	NW	3 NW	1 NW	1 NW	3 NW	1 NW	1 NW	2 NW	1 NW	1 NW	1 NW	1 NW	3
8	3.6	NW	6 NW	8 NW	4 NW	2 NW	4 NW	4 NW	2 NW	1 NW	1 NW	1 NW	1 NW	3
9	5.2	NW	1 NW	7 NW	13 NNW	5 NNW	3 NNW	5 NNW	8 NW	8 WSW	13 WSW	11 W	5 W	4
10	5.4	NNE	2 NNE	3 NNE	0 NNE	1 NNE	1 NNE	2 NNE	2 NNE	3 NNE	2 NNE	4 N	9 W	10
11	8.0	S	7 S	9 SSW	5 SSW	8 S	7 SSE	6 SSE	8 SSE	6 SSE	3 SSE	5 SSE	9 SSE	11
12	19.8	WSW	36 WSW	33 W	26 WSW	19 WSW	17 WSW	20 WSW	23 WSW	25 W	24 W	18 WSW	24 WSW	20
13	28.9	SW	42 SW	47 WSW	60 WSW	65 WSW	48 WSW	47 WSW	51 WSW	46 WSW	36 WSW	40 WSW	39 W	34
14	4.7	SSE	7 SSE	9 SSE	6 SSE	8 SSE	5 SSE	6 SSE	7 SSE	3 SSE	3 SSE	1 SSE	5 SSE	2
15	4.4	NW	7 SSW	6 SSW	5 S	4 SSE	5 SSE	5 SSE	6 SSE	7 SSE	2 SSE	6 SE	4 SE	3
16	7.2	SE	6 SE	3 SSW	6 WNW	19 WNW	14 WNW	10 WNW	7 W	7 W	4 W	4 W	3 W	5
17	11.1	ENE	18 E	14 E	10 ENE	11 NE	22 NE	24 NE	12 ENE	24 ENE	29 NE	14 NE	18 NE	14
18	3.1	SSE	1 SSE	1 SSE	0 SSE	5 SSE	3 SSE	6 SSE	3 SSE	2 SSE	4 SSE	5 SSE	3 SSE	3
19	3.2	SSE	4 SSE	3 SSE	3 SSE	3 SSE	5 SSE	4 SSE	3 SSE	2 SSE	4 SSE	3 SSE	3 SSE	5
20	2.5	SSE	2 SSE	3 SSE	4 SSE	4 SSE	3 SSE	2 SSE	3 SSE	2 SSE	3 SSE	2 SSE	3 SSE	3
21	2.9	SSE	1 SSE	2 SSE	2 SSE	2 SSE	1 SSE	2 SSE	3 SSE	4 SSE	2 SSE	5 SSE	6 SSE	3
22	3.2	SSE	2 SSE	2 SSE	3 SSE	4 SSE	4 SSE	4 SSE	3 SSE	3 SSE	3 SSE	4 SSE	2 SSE	3
23	2.5	SSE	3 SSE	3 SSE	3 SSE	2 SSE	3 SSE	1 SSE	2 SSE	4 SSE	3 SSE	3 SSE	4 SSE	1
24	4.5	SSE	4 SSE	6 SSE	4 SSE	3 SSE	3 SSE	5 SSE	4 SSE	2 SSE	3 SSE	3 SSE	3 SSE	3
25	4.4	SSE	5 SSE	8 SSE	2 SSE	3 SSE	5 SSE	2 SSE	3 ENE	2 ENE	2 NNW	7 NNW	6 N	6
26	2.2	NNW	3 NNW	2 NNW	1 NNW	1 NNW	2 NNW	1 NNW	3 NNW	3 NNW	1 NNW	2 NNW	1 NNW	2
27	2.9	W	1 W	0 W	1 W	1 W	1 W	0 W	1 W	1 W	2 W	1 W	6 NW	13
28	3.5	NW	11 NNW	6 NNW	3 NNW	2 NNW	1 NNW	3 NNW	2 NNW	4 NNW	2 NNW	4 NNW	2 NNW	2
29	7.5	NNW	10 NNW	6 WNW	10 WNW	8 WNW	7 WNW	6 WNW	8 WNW	9 WNW	9 WNW	11 WNW	10 WNW	10
30	3.1	WNW	2 NNW	5 NNW	3 NNW	1 NNW	0 NNW	2 NNW	4 NNW	3 NNW	3 NNW	1 NNW	2 NNW	0
31	6.2	WNW	6 SW	6 SW	3 SW	3 SW	5 SW	3 SW	3 W	3 SW	6 SSW	5 SSW	6 SSW	7

Februar

1	5.5	NNE	9 NNW	0 NNW	3 NNW	2 NNW	4 NNW	2 NNW	4 NNW	8 NNW	10 NNW	4 NNW	3 NNW	9
2	4.8	S	8 S	8 S	7 S	8 S	5 S	8 S	3 S	4 S	7 S	9 S	7 S	3
3	8.8	WSW	5 S	3 S	3 S	7 S	4 S	7 S	7 SSW	8 S	7 S	12 SSE	7 SSE	7
4	22.5	S	11 SSE	11 SSE	10 S	5 S	12 SW	15 SSW	16 SW	21 WSW	31 WSW	24 WSW	26 WSW	24
5	6.9	SW	18 SSW	7 SSW	5 SSW	3 SSW	6 SSW	5 SSW	2 SSW	2 SSW	5 SSW	5 SSE	9 SSE	4
6	7.3	S	6 S	6 S	4 S	8 S	2 S	1 S	3 S	4 S	1 S	3 S	5 S	5
7	9.2	N	14 N	10 N	4 N	2 N	1 NKE	6 NNE	10 NNE	7 NNE	6 NNE	8 NNE	6 NNE	9
8	13.9	NE	8 NE	11 NE	10 NE	10 ENE	10 ENE	9 ENE	17 ENE	17 ENE	14 ENE	15 NE	10 NE	9
9	18.5	NE	33 NE	28 NE	24 NE	26 NE	28 NNE	19 NNE	11 NNE	14 NNE	15 NNE	9 NNE	10 NNE	11
10	12.0	NE	30 NE	26 NE	17 NE	21 NE	15 NE	8 N	7 NE	5 NNE	8 N	8 NNE	10 NNE	12
11	4.5	NNW	3 NW	3 NW	3 NNW	3 NNE	4 NW	3 WNW	4 NW	5 NW	6 NE	6 E	8 NE	8
12	3.8	S	1 S	1 S	1 S	2 S	2 SE	1 SE	1 E	2 NE	4 NNW	5 NNE	7 NNE	7
13	2.1	NNE	0 NNE	2 NNE	1 NNE	1 NNE	0 NNE	0 NNE	0 NNE	0 NNE	1 NNE	2 N	4 WNW	5
14	2.7	NW	1 NW	2 NW	0 NW	1 NW	0 NW	3 NW	5 NNE	5 ENE	1 ENE	1 ENE	3 ENE	3
15	12.1	SE	1 SE	1 SE	3 SSE	6 S	7 S	5 SSW	7 WSW	21 WNW	11 NW	3 WSW	8 SSW	8
16	8.3	SW	32 SW	19 WSW	20 WNW	25 NW	13 NW	11 NW	6 NW	8 NW	4 NW	5 WNW	7 W	9
17	6.0	S	8 S	7 S	7 S	7 S	9 S	9 S	7 S	8 S	4 S	7 S	4 S	6
18	4.7	NE	5 NE	2 ENE	5 NE	3 E	6 SSE	3 ESE	7 ESE	7 ESE	6 SE	3 NE	5 NE	7
19	7.6	NE	8 NE	8 NE	8 ENE	10 NNE	7 NNE	5 NNE	7 NNE	8 NE	12 NNE	8 NNE	6 NNE	9
20	8.8	NNE	4 NNE	4 NNE	7 NNE	5 NE	8 NE	10 NE	9 NE	13 NE	22 NE	26 NNE	12 NNE	7
21	4.1	WNW	1 WNW	2 WNW	3 WNW	1 WNW	1 WNW	2 WNW	0 WNW	2 WNW	4 NW	4 N	5 NNE	11
22	3.1	ENE	0 ENE	0 ENE	0 ENE	1 ENE	2 ENE	1 ENE	4 ENE	4 ENE	6 ENE	4 ENE	5 ENE	7
23	2.5	N	1 N	0 N	0 N	3 N	1 N	2 N	0 N	1 N	1 N	0 N	2 N	3
24	3.0	NE	1 NE	3 NE	2 NE	2 NE	1 NE	1 NE	1 NE	1 NE	1 NE	2 NE	2 NNW	6
25	2.5	ESE	1 ESE	0 ESE	1 ESE	1 ESE	1 ESE	0 ESE	0 ESE	0 ESE	1 ENE	4 NNW	3 NNW	7
26	3.7	NNW	0 NNW	1 NNW	1 NNW	2 NNW	1 NNW	1 NNW	2 N	0 N	1 N	2 NW	5 WNW	6
27	6.5	N	3 NNE	3 NNE	2 NNE	4 N	4 NNW	7 NNW	3 NNW	3 NNW	1 NNW	4 E	11 E	13
28	3.5	ENE	0 ENE	1 ENE	1 ENE	1 ENE	0 ENE	1 ENE	1 ENE	1 ENE	2 NE	5 NNW	10 NW	12

Windrichtung und Geschwindigkeit (Kilometer pro Stunde).

Januar

Zürich

Tag	12 ⁰⁰ -13 ⁰⁰	13 ⁰⁰ -14 ⁰⁰	14 ⁰⁰ -15 ⁰⁰	15 ⁰⁰ -16 ⁰⁰	16 ⁰⁰ -17 ⁰⁰	17 ⁰⁰ -18 ⁰⁰	18 ⁰⁰ -19 ⁰⁰	19 ⁰⁰ -20 ⁰⁰	20 ⁰⁰ -21 ⁰⁰	21 ⁰⁰ -22 ⁰⁰	22 ⁰⁰ -23 ⁰⁰	23 ⁰⁰ -0 ⁰⁰	Summe
1	WNW 6	WNW 5	WNW 5	WNW 14	W 8	WNW 5	WNW 4	SSW 5	SSW 5	SW 7	WSW 7	SW 26	152
2	WSW 49	WSW 58	WSW 42	W 31	WSW 39	W 28	WSW 25	W 24	W 26	W 18	W 12	W 15	700
3	SSW 2	SSW 4	SSW 6	SSW 7	SSW 6	SSW 4	SSW 0	SSW 5	SSW 5	S 11	S 10	S 7	147
4	S 2	S 2	S 3	SW 3	W 3	W 1	W 2	W 3	W 3	NW 5	NW 2	NW 2	51
5	NW 4	NW 5	NW 3	NW 2	NW 2	NW 1	NW 3	NW 2	NW 2	NW 3	NW 3	NW 4	75
6	NW 5	NW 5	NW 6	NW 4	NW 6	NW 0	NW 2	NW 4	NW 2	NW 2	NW 1	NW 3	92
7	NW 8	NW 8	NW 7	NW 6	NW 6	NW 2	NW 0	NW 1	NW 1	NW 2	NW 1	NW 0	55
8	NW 5	NW 2	NW 5	NW 14	NW 5	NW 2	NW 4	NW 2	NW 2	NW 3	NW 2	NW 4	87
9	W 5	W 4	W 4	W 2	W 1	W 1	W 4	W 4	W 3	NNE 4	NNE 4	NNE 4	124
10	SW 9	SSW 7	SSW 7	SSW 9	S 11	S 10	S 10	S 7	S 7	S 4	S 6	S 4	130
11	S 7	S 4	S 7	S 9	S 2	S 4	S 3	SW 8	S 8	WSW 9	W 19	W 27	191
12	WSW 20	WSW 15	SW 15	SW 15	SSW 12	S 10	S 8	S 13	SSE 10	SW 24	SW 21	SSW 27	475
13	W 27	W 28	W 25	W 18	WNW 5	WNW 6	WNW 4	WNW 3	SSW 7	SSW 6	SSW 2	S 8	694
14	SSE 3	SSE 4	SSE 7	SSE 4	SSE 4	SSE 3	SSE 2	SSE 2	SSE 2	SW 10	NNW 6	NW 4	113
15	SE 7	SE 2	SE 8	SE 4	SE 4	SE 3	SE 2	SE 3	SE 3	SE 3	SE 2	SE 7	106
16	W 3	W 6	SSW 9	S 8	S 5	S 4	S 1	S 1	S 1	SE 8	ENE 19	ENE 20	173
17	NE 7	E 10	ESE 6	SE 5	SSE 4	SSE 5	SSE 3	SSE 5	SSE 4	SSE 4	SSE 2	SSE 1	266
18	SSE 4	SSE 4	SSE 5	SSE 3	SSE 2	SSE 3	SSE 3	SSE 5	SSE 2	SSE 2	SSE 2	SSE 4	75
19	SSE 3	SSE 2	SSE 3	SSE 2	SSE 4	SSE 2	SSE 3	SSE 4	SSE 3	SSE 3	SSE 3	SSE 4	78
20	SSE 1	SSE 3	SSE 4	SSE 2	SSE 2	SSE 2	SSE 1	SSE 1	SSE 1	SSE 3	SSE 2	SSE 3	59
21	SSE 4	SSE 3	SSE 2	SSE 3	SSE 3	SSE 4	SSE 2	SSE 4	SSE 2	SSE 5	SSE 3	SSE 2	70
22	SSE 3	SSE 3	SSE 3	SSE 2	SSE 2	SSE 3	SSE 3	SSE 2	SSE 6	SSE 4	SSE 5	SSE 4	77
23	SSE 2	SSE 3	SSE 2	SSE 1	SSE 2	SSE 2	SSE 3	SSE 2	SSE 2	SSE 3	SSE 4	SSE 2	60
24	SSE 5	SSE 2	SSE 4	SSE 6	SSE 3	SSE 5	SSE 8	SSE 9	SSE 8	SSE 5	SSE 5	SSE 6	109
25	N 6	N 5	N 7	N 7	N 6	NNW 10	NNW 2	NNW 1	NNW 2	NNW 3	NNW 2	NNW 3	105
26	NW 3	W 3	W 3	W 4	W 4	W 1	W 2	W 2	W 2	W 3	W 2	W 2	53
27	NW 7	NW 4	SSW 9	SSW 7	SSW 2	SSW 1	SSW 1	SSW 1	SSW 2	SSW 0	SSW 2	SW 5	69
28	NNW 2	NNW 2	NNW 2	NNW 2	NNW 4	NNW 2	NNW 8	NNW 3	NNW 3	NNW 1	NNW 0	NNW 5	85
28	NNW 7	WNW 11	WNW 3	WNW 9	WNW 7	WNW 6	WNW 7	WNW 2	WNW 4	WNW 5	WNW 5	WNW 5	183
30	NNW 2	NNW 3	NNW 5	NNW 8	NNW 7	NNW 5	NNW 5	NNW 4	NNW 2	NNW 1	NNW 2	NW 3	74
31	SSW 7	SSE 7	SE 12	ESE 10	E 7	E 15	ENE 18	ENE 4	ENE 3	ENE 2	ENE 4	ENE 4	148

Februar

1	NNW 9	NNW 6	NNW 6	SW 4	S 3	S 5	S 5	S 4	S 5	S 4	S 6	S 8	132
2	S 7	S 4	S 5	S 4	S 2	S 3	S 2	S 4	S 3	S 3	S 2	S 4	114
3	SSW 10	SW 15	SW 18	SW 16	SSW 14	S 13	SSE 6	SSE 8	SSE 9	SSE 6	SSE 9	SSE 10	212
4	SSW 25	WSW 30	WSW 35	WSW 27	WSW 29	WSW 36	WSW 34	WSW 31	SW 22	WSW 18	WSW 24	WSW 23	540
5	SSE 4	SW 8	WNW 8	WNW 4	WSW 4	WSW 14	SSW 11	S 9	S 7	S 7	S 7	S 6	165
6	W 8	WNW 8	NW 10	NW 8	NW 3	NW 9	N 20	N 17	N 14	N 13	N 7	N 9	176
7	NNE 8	NNE 10	NNE 14	NNE 13	NNE 11	NNE 12	NNE 8	NNE 14	NNE 15	NNE 12	NE 10	NE 10	220
8	NE 8	NE 10	NE 11	NE 14	NE 11	NE 15	NE 13	ENE 13	ENE 20	ENE 17	NE 29	NE 31	334
9	ENE 14	ENE 18	E 16	ENE 16	NE 19	NE 10	NE 13	E 7	ENE 9	ENE 13	NE 40	NE 40	443
10	NE 23	ENE 21	NE 19	ENE 17	E 7	NE 6	NE 4	NE 4	NNE 7	NNE 6	NE 4	NNW 3	288
11	NE 10	ENE 8	ENE 8	ESE 6	SE 7	S 6	S 1	S 2	S 2	S 6	S 1	S 0	107
12	NE 10	NE 10	ENE 11	ENE 9	E 5	ESE 1	ESE 4	NNE 4	NNE 2	NNE 0	NNE 1	NNE 0	91
13	WNW 7	NW 7	NW 7	NW 5	NW 2	NW 3	NW 0	NW 1	NW 1	NW 0	NW 0	NW 1	50
14	NNE 3	WNW 2	WNW 3	WNW 6	WNW 4	NW 2	SW 4	SE 1	SE 2	SE 5	SE 6	SE 3	66
15	S 13	SW 12	WSW 16	W 18	WSW 12	WSW 12	SW 14	WSW 18	WSW 20	WSW 25	WSW 23	WSW 27	291
16	W 4	W 10	SSW 6	S 7	S 1	S 3	S 2	S 2	S 0	S 1	S 1	S 2	198
17	SE 5	NE 5	NNE 5	NNE 4	NNW 5	NNE 5	NNE 5	NNE 2	NE 7	NNE 8	NNW 4	NNE 4	143
18	NNE 9	NE 7	NNE 6	N 5	NNW 5	NNE 5	NNE 2	NE 2	NNE 4	NNE 3	NNE 4	ENE 6	114
19	NNE 9	NNE 9	NNE 8	NNE 7	NE 12	ENE 16	E 11	E 2	E 2	ESE 5	ESE 3	NNE 3	183
20	NNE 4	NNE 8	NE 19	ENE 8	E 8	E 5	E 6	E 3	E 5	N 8	NW 7	NNE 4	212
21	NE 12	NE 11	NE 14	NE 11	ENE 4	ENE 4	ENE 0	ENE 2	ENE 2	ENE 0	ENE 1	ENE 1	98
22	NE 6	NE 6	ENE 4	NNE 8	N 7	N 4	N 2	N 2	N 2	N 0	N 0	N 0	75
23	N 3	N 2	N 2	N 5	NE 5	NE 7	NE 2	NE 2	NE 3	NE 2	NE 1	NE 1	59
24	NW 6	NW 6	NW 7	ENE 5	ENE 4	ENE 3	ENE 2	ENE 6	ESE 6	ESE 4	ESE 1	ESE 0	73
25	NNW 7	NW 7	NW 6	NE 5	NE 3	NE 1	NE 0	NE 2	NE 4	ENE 3	ENE 2	NNW 1	60
26	NW 13	NNW 12	NNW 9	NNW 8	NNW 7	NNW 5	NNW 4	NNW 1	NNW 2	NNW 0	NNW 3	N 3	89
27	NE 12	NNE 13	ENE 14	ENE 15	ENE 14	ENE 10	ENE 9	ENE 5	ENE 4	ENE 1	ENE 0	ENE 1	156
28	NW 11	NNW 9	NNW 9	NNE 6	N 5	N 1	N 3	NE 1	NE 3	NE 1	NE 0	NE 1	85

März 1930.

$h_a = 34.5^m$.

Stündliche Aufzeichnungen des Anemometers.

Tag	Mittel	0 ⁰⁰ -1 ⁰⁰	1 ⁰⁰ -2 ⁰⁰	2 ⁰⁰ -3 ⁰⁰	3 ⁰⁰ -4 ⁰⁰	4 ⁰⁰ -5 ⁰⁰	5 ⁰⁰ -6 ⁰⁰	6 ⁰⁰ -7 ⁰⁰	7 ⁰⁰ -8 ⁰⁰	8 ⁰⁰ -9 ⁰⁰	9 ⁰⁰ -10 ⁰⁰	10 ⁰⁰ -11 ⁰⁰	11 ⁰⁰ -12 ⁰⁰
1	7.1	NE 0	NE 0	NE 0	NE 1	NE 1	NE 1	NE 1	NE 1	NE 3	N 9	NNE 15	N 15
2	4.7	NW 6	NE 3	NNE 4	N 4	NNE 3	ENE 4	NNW 3	N 4	E 4	ENE 3	N 9	NNE 7
3	3.4	NNW 1	NNW 0	NNW 1	NNW 0	NNW 0	NNW 1	NNW 0	NNW 1	NNW 1	NNW 4	WNW 11	NW 12
4	2.4	SSW 0	SSW 0	SSW 1	SSW 1	SSW 1	SSW 3	SSW 1	SSW 0	SSW 1	SSW 1	SSW 2	SSW 3
5	6.5	NNW 0	NNW 3	NNW 1	NNW 5	NNW 3	NNW 6	NNW 2	NNW 1	NNW 3	WNW 2	WNW 4	WNW 7
6	5.6	NNW 6	NNW 1	NNW 0	NNW 1	NNW 0	NNW 1	NNW 0	NNW 1	NNW 1	N 8	ENE 19	E 15
7	6.3	ENE 2	ENE 1	ENE 2	ESE 7	ESE 6	SSE 6	SSE 9	SSE 6	S 5	WNW 7	NW 19	WNW 18
8	4.3	S 3	SW 3	W 4	W 3	W 3	W 2	W 3	W 1	W 3	SSW 5	W 6	NNW 7
9	5.0	NNW 1	NNW 2	NNW 4	NNW 2	ENE 2	ENE 1	ENE 2	ENE 1	ENE 2	ENE 3	ENE 3	NNW 5
10	13.4	SE 11	SE 7	SE 7	SE 8	SE 6	SE 10	SE 6	SSE 9	SSE 4	SSE 3	WSW 6	WSW 6
11	13.3	SW 20	WSW 18	WSW 18	WSW 21	WNW 20	W 17	WSW 23	WSW 23	W 22	WNW 16	WNW 8	NW 7
12	4.1	SSE 2	SSE 4	SSE 5	SW 7	W 4	W 4	W 5	W 5	W 4	W 1	W 5	SSW 5
13	21.6	NNW 5	WNW 5	WSW 8	WSW 11	WSW 24	WSW 22	WSW 27	WSW 29	WSW 20	WSW 13	WSW 22	WSW 24
14	23.3	SW 18	SSW 14	SSW 4	SSW 10	SSW 9	SSW 11	SSW 18	SSW 19	S 23	S 18	WSW 34	WSW 41
15	18.0	SW 26	SSW 24	SW 25	SW 27	SSW 25	S 15	SSE 8	SSE 10	SSE 8	SSW 4	SSE 6	SW 5
16	19.0	WSW 25	W 22	WSW 22	SW 17	S 8	SSE 6	SE 6	SE 7	SE 4	WSW 15	WSW 12	WSW 15
17	7.3	W 24	WSW 21	WSW 20	SW 10	SW 5	S 7	SSE 9	SSE 8	SSE 7	SSE 4	S 3	S 3
18	12.2	SE 8	S 4	NE 2	NNW 13	NW 7	NW 7	NE 10	NE 8	NNW 21	WNW 21	W 27	WSW 24
19	8.2	WNW 7	WNW 2	WNW 4	WNW 5	SW 6	SSW 2	SSW 7	SSW 9	SSW 7	SSW 7	S 10	S 8
20	12.9	SW 5	SSW 20	SW 14	WSW 16	W 6	NW 4	NNW 4	NNW 1	NNW 5	WNW 10	WNW 14	WNW 17
21	5.1	WSW 1	SW 5	SW 5	S 8	SSE 4	SSE 5	SSE 2	SSE 3	ESE 10	E 7	E 6	SE 6
22	4.4	SE 1	SE 2	SE 5	ESE 6	SE 8	SE 4	SSE 4	SSE 5	SSE 5	S 3	S 6	SSE 7
23	5.2	S 0	S 0	S 1	S 0	S 2	S 1	S 0	S 2	S 2	ENE 4	ENE 5	NNE 6
24	7.9	S 5	S 9	S 5	S 4	S 1	S 5	S 2	S 1	S 2	SW 4	W 15	WNW 24
25	8.5	NW 1	NW 3	NNW 8	N 14	N 11	NNE 7	NNE 5	NNE 7	NNE 8	NNE 9	NNE 9	NNE 7
26	5.5	N 7	N 9	N 9	NNW 8	NNW 6	NNW 6	NNW 8	NNW 8	NNW 9	NNW 7	NNW 5	NNW 3
27	3.2	NW 1	NW 1	NW 1	NW 1	NW 1	NW 0	NW 2	NW 2	NW 2	NW 3	NW 3	NNE 6
28	4.7	ENE 1	ENE 1	NE 2	N 2	N 2	ENE 3	ENE 1	ENE 3	NNE 4	NNW 6	NNW 10	WNW 7
29	12.2	ESE 6	ESE 5	ESE 0	ESE 2	ESE 4	ESE 8	ESE 9	ESE 2	W 5	NW 12	WSW 27	WSW 34
30	6.0	SSE 4	SSE 3	SSE 6	ESE 5	ESE 2	ESE 4	ESE 3	ESE 6	ESE 6	SW 6	SW 9	SW 5
31	4.7	NE 1	NE 1	NE 3	NE 0	NE 1	NE 1	NE 1	NE 2	ENE 4	SW 6	W 8	SSW 5

April

1	5.7	W 5	WNW 10	WNW 6	W 6	SSW 5	SSW 3	SSW 5	SSW 6	S 10	SSE 5	SSE 12	SSE 10
2	4.1	ENE 1	ESE 0	ESE 1	ESE 1	ESE 0	ESE 0	ESE 0	ESE 1	ENE 2	ESE 4	ESE 4	SSW 6
3	7.0	NW 1	NW 0	NE 2	NW 3	NE 2	N 6	ENE 3	ENE 7	NE 6	E 10	ESE 9	SE 6
4	8.1	W 16	WNW 12	WNW 6	WNW 2	WNW 4	WNW 5	WNW 6	WNW 5	WNW 3	WNW 8	WNW 11	WNW 11
5	7.8	SSE 8	SSE 7	SSE 8	SSE 8	SSE 8	SSE 9	SSE 9	SSE 11	SSE 9	SSE 10	SSE 8	SSW 8
6	5.4	SE 3	SE 2	SE 3	SE 2	SE 2	SE 1	SE 2	SE 1	SE 3	SE 5	SE 4	SE 4
7	8.3	ENE 13	NE 9	NE 8	NE 8	NE 4	NE 3	NE 5	NNE 6	N 6	NE 11	NE 16	NE 13
8	8.3	NE 7	NE 6	NE 4	NE 8	NE 3	NE 2	NE 4	NE 6	ENE 8	ENE 9	ENE 10	ENE 10
9	6.4	ENE 4	ENE 3	ENE 3	ENE 6	ENE 3	ENE 7	ENE 8	ENE 8	ENE 4	ENE 6	NE 10	N 12
10	4.7	ENE 1	ENE 0	ENE 0	ENE 0	ENE 1	ENE 1	ENE 0	ENE 3	ENE 3	ENE 6	ENE 4	NE 8
11	4.0	NE 2	NE 2	NE 0	NE 0	NE 1	NE 1	NE 1	NE 2	NE 3	NE 4	NE 5	N 6
12	8.3	WNW 5	WNW 5	WNW 4	WNW 3	WNW 5	WNW 2	WNW 5	WNW 4	WNW 3	WNW 3	NW 4	NNW 5
13	9.7	SSE 6	SSE 7	SSE 5	WSW 5	WSW 8	WNW 13	WNW 12	W 6	WSW 11	SSW 9	SSW 13	SSW 10
14	7.4	S 5	S 5	SW 6	WNW 3	WNW 9	WNW 4	WNW 2	WNW 5	SSW 8	S 7	SSW 9	WSW 9
15	8.1	WNW 7	WNW 7	WNW 3	WNW 2	WNW 2	WNW 1	WNW 3	WNW 5	WNW 7	WNW 5	W 10	W 9
16	17.7	WSW 4	WSW 3	WSW 8	WNW 8	W 11	W 11	W 15	WNW 14	W 16	W 15	W 25	WSW 20
17	24.2	WSW 34	WSW 37	WSW 33	WSW 35	WSW 35	WSW 33	WSW 35	WSW 35	WSW 28	W 25	WSW 28	WSW 33
18	4.6	SW 3	SW 5	SW 4	SW 1	SW 2	SW 1	SW 1	SW 4	SW 3	SW 1	SW 4	SW 6
19	8.1	SSW 3	SSW 6	SW 6	SW 5	SW 5	WSW 6	W 5	W 4	W 4	W 3	W 3	W 6
20	4.5	NW 13	NW 4	NW 0	NW 0	NW 1	NW 3	NW 1	NW 4	NW 3	NW 2	NW 7	WNW 10
21	8.7	S 1	S 1	S 1	S 2	S 1	S 2	S 3	S 2	S 4	S 3	S 7	SSW 9
22	8.8	SSE 13	SSE 7	SSE 7	SSE 7	SSE 6	SSE 6	SSE 9	SSE 10	SSE 8	SSE 10	S 5	S 8
23	6.1	ENE 1	ENE 1	ENE 2	ENE 2	ENE 2	ENE 4	ENE 1	ENE 3	ENE 5	ENE 5	ENE 10	ENE 9
24	6.0	NNW 0	NNW 1	NNW 6	NNW 3	NNW 2	NNW 2	NE 3	E 4	N 8	N 5	N 7	N 5
25	7.7	N 7	N 2	N 5	N 7	N 3	N 3	N 1	N 5	N 5	WNW 10	NW 12	NW 7
26	5.2	WNW 5	WNW 4	WNW 3	WNW 3	WNW 4	WNW 2	WNW 2	WNW 1	WNW 1	WNW 4	WNW 5	WNW 5
27	7.5	NE 1	NE 1	NE 3	NE 3	NE 2	NE 2	NE 1	NE 4	NE 5	NE 11	ENE 12	NE 18
28	7.6	ENE 1	ENE 1	ENE 2	ENE 2	ENE 1	ENE 1	ENE 1	ENE 5	ENE 7	NNE 9	NNE 10	ENE 11
29	7.6	SSE 9	ESE 3	ESE 2	ESE 2	ESE 4	NE 8	NNW 8	NNW 12	NNW 13	NNW 10	WNW 13	WNW 7
30	12.3	E 7	NE 7	NNE 5	N 9	N 10	N 7	NE 6	NE 9	NE 11	N 4	ENE 12	ENE 10

Windrichtung und Geschwindigkeit (Kilometer pro Stunde).

März

Zürich

Tag	12 ⁰⁰ -13 ⁰⁰	13 ⁰⁰ -14 ⁰⁰	14 ⁰⁰ -15 ⁰⁰	15 ⁰⁰ -16 ⁰⁰	16 ⁰⁰ -17 ⁰⁰	17 ⁰⁰ -18 ⁰⁰	18 ⁰⁰ -19 ⁰⁰	19 ⁰⁰ -20 ⁰⁰	20 ⁰⁰ -21 ⁰⁰	21 ⁰⁰ -22 ⁰⁰	22 ⁰⁰ -23 ⁰⁰	23 ⁰⁰ -0 ⁰⁰	Summe
1	N 10	NNE 18	NE 19	NNE 15	NNW 9	N 8	NE 10	NNE 9	N 9	NNW 5	S 5	NNW 7	171
2	NNW 9	NW 12	NE 6	E 5	E 5	E 3	E 3	E 3	E 1	NNW 4	NNW 6	NNW 1	112
3	NW 14	NNW 11	NW 8	WNW 5	WNW 2	WSW 3	SSW 2	SSW 1	SSW 2	SSW 1	SSW 1	SSW 0	82
4	NW 7	WNW 7	WNW 5	WNW 5	WNW 3	WNW 3	WNW 2	WNW 3	NNW 2	NNW 2	NNW 2	NNW 1	57
5	NW 10	W 10	WNW 11	WNW 12	NW 14	NW 5	NW 7	NE 16	NE 16	NE 10	ENE 5	ENE 4	157
6	N 8	NNE 9	NNE 9	NNE 13	ENE 13	NNE 7	NE 8	NE 2	NE 3	NE 6	E 3	ENE 0	134
7	NW 13	NW 4	W 4	WNW 9	S 13	S 7	S 4	S 1	S 1	S 3	S 2	S 2	151
8	NW 5	NW 4	SW 7	ENE 8	ENE 5	ENE 9	ENE 6	ENE 7	ENE 3	ENE 4	NE 1	NNW 1	103
9	WSW 4	SW 5	SW 6	SW 6	SW 7	S 11	S 6	S 10	SSE 10	SSE 9	SSE 9	SSE 10	121
10	SW 8	W 14	WSW 16	SW 17	SW 14	SW 23	WNW 33	WNW 32	WNW 23	W 19	W 23	WSW 17	322
11	WNW 16	WNW 19	WNW 12	S 13	SSE 12	SSE 14	SSE 4	SSE 6	SSE 6	SSE 1	SSE 2	SSE 2	320
12	SE 5	E 6	E 8	E 5	NE 6	NNE 6	NNE 4	NNE 2	NNE 1	NNE 1	NNE 2	NNE 2	99
13	WSW 28	WSW 28	WSW 34	WSW 30	WSW 28	WSW 29	WSW 26	WSW 24	WSW 22	WSW 18	WSW 25	WSW 17	519
14	WSW 50	WSW 47	WSW 48	WSW 40	W 39	W 23	W 21	WSW 24	W 13	WNW 8	WNW 7	SSW 19	558
15	WNW 5	WSW 5	SW 5	S 11	S 14	SW 27	WSW 34	SW 31	SW 27	SW 27	WSW 31	WSW 33	433
16	W 15	W 18	WNW 31	WNW 25	WSW 21	SW 30	SW 22	SW 17	SSW 24	SSW 29	WSW 31	WSW 33	455
17	S 3	S 3	S 5	SE 4	SE 4	SE 8	WSW 4	WSW 2	WSW 2	WSW 3	S 5	SE 10	174
18	WSW 24	W 14	W 15	W 18	WNW 17	NW 11	NNW 6	NNW 8	NW 9	WNW 11	WNW 3	WNW 5	293
19	S 10	S 12	S 11	S 15	SSE 11	S 14	SSE 12	SSE 10	SSE 10	SSE 7	SSE 5	SSE 5	196
20	W 16	WSW 20	WSW 25	WSW 22	W 17	WSW 18	SW 19	SW 16	SW 13	WSW 9	WSW 11	WSW 7	309
21	SW 6	SSW 11	SSW 11	SSW 9	SSW 5	SW 6	SW 1	SW 1	SW 1	S 4	SE 4	SE 1	122
22	SSE 8	S 6	S 8	S 4	S 2	S 3	S 3	S 6	S 5	S 1	S 1	S 3	106
23	NE 5	NNE 4	NNE 7	N 7	NNW 5	WSW 18	WNW 15	SW 7	SSE 9	SSE 8	SSE 8	S 9	125
24	WNW 20	WNW 20	WNW 19	WNW 17	NW 12	NW 7	NW 6	NW 3	NW 2	NW 1	NW 3	NW 3	190
25	NNE 11	NE 11	NE 11	NE 7	ENE 13	ENE 20	NE 11	NE 5	NNE 7	NNE 5	NNE 6	NNE 8	204
26	NNW 5	NNW 6	NW 2	NW 7	NW 7	NW 9	NW 3	NW 1	NW 2	NW 2	NW 2	NW 1	132
27	NNE 9	N 8	NNE 6	E 7	ENE 5	ENE 4	ENE 7	ENE 5	ENE 1	ENE 1	ENE 0	ENE 1	77
28	WNW 7	S 9	N 6	NE 6	N 8	NNW 3	NNE 5	NNE 0	NNE 2	NNE 5	ESE 9	ESE 10	112
29	WSW 37	SW 15	WSW 10	WNW 8	WNW 22	WNW 33	WNW 18	WNW 7	WSW 6	SSE 7	SSE 7	SSE 8	292
30	E 9	E 10	NNE 11	NNE 8	NNE 9	NNE 6	NNE 6	NNE 10	NE 9	NE 5	NE 3	NE 0	145
31	W 5	WSW 11	SSW 8	SW 7	WSW 5	SSW 6	SSW 7	SSW 6	SSE 9	SSE 7	SSE 5	SSW 5	114

April

1	S 5	S 9	S 7	S 7	S 7	S 5	SE 3	ESE 3	ESE 3	ESE 1	ESE 1	ESE 2	136
2	SSW 7	SW 9	WNW 16	WNW 8	WSW 11	WNW 11	NW 5	NW 3	NW 3	NW 2	NW 2	NW 1	98
3	SSE 5	ESE 5	SSW 3	S 5	W 8	WNW 10	W 23	WSW 19	WSW 12	SSW 11	SSW 5	SW 6	168
4	WNW 11	WNW 5	NNW 7	N 7	WNW 5	SSW 14	SSE 12	SSE 10	SSE 8	SSE 8	SSE 9	SSE 9	194
5	SSW 10	SSW 11	SSW 9	SSW 7	SSW 10	SSW 9	WSW 9	S 7	SE 4	SE 5	SE 2	SE 2	188
6	E 7	ENE 2	NE 9	N 11	NE 13	ESE 6	SSE 4	SSE 5	E 8	E 1	ENE 6	ENE 11	129
7	NE 12	NNE 12	ENE 10	NE 10	NE 8	NE 5	NE 10	NE 7	NE 1	NE 3	NE 8	NE 10	198
8	NNE 11	NNE 10	ENE 8	ENE 5	ENE 7	ENE 15	ENE 9	ENE 14	ENE 16	ENE 10	ENE 12	ENE 5	199
9	N 8	N 11	NW 10	NNE 8	NE 11	ENE 5	ENE 7	ENE 12	ENE 4	ENE 2	ENE 1	ENE 0	153
10	NNW 11	WNW 13	NW 14	NNW 8	NNW 6	NNW 4	NNW 3	ENE 12	ENE 9	NE 3	NE 2	NE 1	112
11	NNW 7	W 8	WNW 11	NNW 7	WNW 9	WNW 5	WNW 3	WNW 1	WNW 1	WNW 5	WNW 5	WNW 6	95
12	W 11	WSW 15	WSW 20	SSW 14	S 12	S 10	S 7	S 8	S 26	SSE 13	S 8	S 7	199
13	WSW 15	SW 14	SSW 18	S 20	S 14	S 10	S 9	S 5	S 4	S 7	S 7	S 5	233
14	WSW 13	WSW 12	WSW 10	WSW 8	SW 13	WSW 9	SW 8	SSW 9	SSW 8	SSW 4	SSW 4	SW 3	178
15	WNW 15	WNW 19	WNW 20	WNW 14	WNW 15	WNW 15	WNW 11	WNW 9	WNW 6	WSW 4	WSW 2	WSW 3	194
16	WSW 23	W 24	W 20	WSW 21	WSW 16	WSW 19	SW 23	SW 19	WSW 26	WSW 25	SW 29	SW 29	424
17	W 30	W 23	W 24	W 26	W 19	WSW 18	WSW 17	SW 8	SW 10	SW 6	SW 4	SW 4	580
18	SW 7	WSW 5	W 6	WNW 8	WNW 5	WNW 5	WNW 5	WNW 5	WSW 6	SSW 7	SSW 8	SSW 5	107
19	WNW 8	NNW 10	NNW 11	NNW 11	NNW 11	N 9	N 10	NNW 7	NNW 10	NW 18	NW 18	NW 16	195
20	WNW 6	WNW 6	SSW 9	SSW 8	SSW 9	S 10	S 5	S 3	S 2	S 0	S 2	S 1	109
21	SSW 7	SSW 6	WSW 7	WNW 18	WNW 31	W 26	WSW 19	W 8	SSW 9	SSW 12	SSW 11	SSE 18	208
22	SSW 9	SSW 8	WSW 6	SSW 4	SSW 9	NE 18	ENE 20	ENE 24	ENE 6	ENE 5	ENE 3	ENE 2	210
23	NE 9	ENE 10	SSE 7	SSE 10	S 10	S 8	NE 13	NNW 10	NNW 14	NNW 10	NNW 1	NNW 1	146
24	N 4	N 12	SSE 21	SSE 10	SSE 4	SSE 6	NNE 12	NNE 8	NNE 5	NNE 5	NNE 4	N 8	145
25	SW 7	SW 7	SSW 9	S 9	S 12	S 15	S 10	SSE 17	SSE 11	SSE 4	W 8	WNW 10	186
26	NW 5	NE 10	ENE 7	NNW 9	NNW 14	NNW 12	NNW 7	N 8	NE 6	NE 5	NE 1	NE 1	124
27	NE 15	NNE 16	NE 12	NE 14	NE 13	ENE 10	ENE 11	ENE 11	ENE 9	ENE 2	ENE 1	ENE 2	179
28	NE 13	NNE 14	NE 13	SE 12	S 16	S 14	SSE 4	SE 12	ESE 11	ESE 6	ESE 6	ESE 10	182
29	NNW 9	NW 9	N 11	NNW 10	NNW 8	NE 10	E 13	SSE 10	SSE 4	E 3	E 1	E 4	183
30	NE 16	ENE 20	ENE 18	E 23	E 18	ENE 21	ENE 23	NE 18	ENE 15	NNE 8	NNE 6	NNE 12	295

Mai 1930

h_a = 34.5^m

Stündliche Aufzeichnungen des Anemometers.

Tag	Mittel	1 ⁰⁰ -1 ⁰⁰	1 ³⁰ -2 ³⁰	2 ³⁰ -3 ⁰⁰	3 ³⁰ -4 ⁰⁰	4 ³⁰ -5 ³⁰	5 ³⁰ -6 ³⁰	6 ³⁰ -7 ³⁰	7 ³⁰ -8 ³⁰	8 ³⁰ -9 ³⁰	9 ³⁰ -10 ³⁰	10 ³⁰ -11 ³⁰	11 ³⁰ -12 ³⁰	
1	8.0	NE	15 NE	7 NE	7 NE	6 NE	8 NE	16 NNE	18 NE	17 NE	11 NE	11 NE	10 NE	4
2	6.8	WNW	1 WNW	1 WNW	0 WNW	1 WNW	1 WNW	0 WNW	1 WNW	4 WNW	7 NNW	11 N	9 NE	13
3	6.2	SW	6 WSW	8 WSW	6 WSW	7 WSW	7 WSW	4 WSW	4 WSW	6 WSW	5 SW	8 SW	6 SW	7
4	5.1	S	4 S	3 S	5 S	3 S	5 S	2 S	2 S	3 S	4 WSW	6 WNW	8 NW	8
5	7.3	E	5 E	4 E	1 E	2 E	2 E	4 E	5 E	9 SW	4 SW	7 SW	5 SW	6
6	10.9	SSE	7 SSE	7 SSE	8 SSE	1 SSE	2 SSE	2 SSE	2 SSE	4 SSE	4 WNW	11 WNW	11 WNW	13
7	8.6	WNW	9 WNW	6 WNW	6 WNW	3 WNW	4 WNW	5 WNW	4 WNW	4 WNW	8 WNW	10 *NW	9 *NW	18
8	11.3	*NW	11 *NW	10 *NW	11 *NW	11 *NW	6 *NW	9 *NW	12 *W	8 *S	11 *S	9 SSW	8 S	5
9	10.8	WSW	11 SW	12 WSW	8 W	7 W	8 W	7 W	9 W	12 WNW	11 WNW	12 WNW	14 W	16
10	17.8	NW	7 NW	7 NW	9 NW	5 NW	7 SSW	9 S	15 S	11 S	13 SW	20 SW	23 SSW	19
11	24.3	WSW	19 WSW	12 SSW	16 S	17 SSW	16 WSW	18 WSW	22 WSW	26 SW	18 SW	21 SW	25 SSW	17
12	21.3	NW	32 NW	28 WNW	25 SW	25 SW	21 SW	26 SW	21 WSW	22 WSW	25 WSW	25 WSW	27 SW	22
13	13.3	W	13 W	8 W	3 W	6 W	8 S	12 S	15 S	14 S	14 SSE	14 SE	12 S	17
14	22.4	WSW	23 SW	19 S	18 S	9 SW	11 SW	15 WSW	24 WSW	26 WSW	32 WSW	39 WSW	30 WSW	32
15	7.7	W	3 NW	9 NW	5 W	8 W	14 WNW	5 WNW	4 WNW	6 WSW	8 WSW	7 S	7 W	10
16	5.4	S	2 S	1 S	7 S	7 S	4 S	7 S	6 S	4 S	4 S	4 S	5 S	5
17	4.7	N	3 N	3 N	2 E	0 E	1 E	0 E	2 E	4 E	4 S	6 S	7 NW	10
18	12.7	E	7 E	2 E	4 E	2 E	0 E	1 E	1 E	2 E	4 E	3 S	9 WSW	13
19	10.0	WNW	7 WSW	7 SW	7 SW	6 S	8 WNW	17 WNW	19 WNW	20 W	10 WNW	16 WNW	16 WNW	16
20	0.4	WSW	4 WSW	3 WSW	1 WSW	0 WSW	0 WSW	1 WSW	2 WSW	3 WSW	0 W	0 WNW	9 NW	8
21	6.0	NW	0 NW	0 NW	0 NW	0 NW	1 NW	0 NW	5 NW	4 NE	6 NNE	8 NNE	10 NNE	9
22	6.2	S	1 S	0 S	1 S	0 S	1 S	1 S	4 S	3 SSW	5 W	7 NW	8 NNW	12
23	6.0	N	4 N	7 N	3 N	1 N	2 N	0 N	3 N	3 N	4 N	7 NNW	9 NNW	7
24	12.3	SW	7 WSW	11 WSW	3 WSW	1 WSW	7 WSW	4 WSW	6 SSW	8 WSW	7 WSW	8 W	15 W	15
25	11.6	WSW	21 WSW	21 WSW	16 WSW	11 WSW	7 WSW	7 WSW	6 SW	11 W	12 W	17 SW	19 WNW	25
26	7.0	S	9 S	8 SSE	4 SSE	3 SSE	3 SSE	1 SSE	3 SSE	4 SSE	5 W	7 WNW	12 N	11
27	8.2	WNW	13 W	12 W	10 WSW	5 SSW	10 SSW	7 S	9 S	9 S	7 S	8 S	6 ESE	6
28	7.8	NNW	7 E	6 E	3 E	1 E	3 E	3 E	2 E	4 NE	0 N	4 WNW	7 WNW	6
29	6.9	WNW	7 WNW	2 WNW	2 WNW	1 WNW	0 WNW	1 WNW	1 WNW	4 WNW	4 WNW	5 WNW	3 WNW	4
30	8.4	NE	5 ENE	1 ENE	1 ENE	1 ENE	1 ENE	2 ENE	3 ENE	3 N	9 NW	12 NW	13 NW	17
31	9.0	WNW	2 WNW	3 WNW	8 WNW	14 WNW	13 WNW	14 WNW	8 WNW	8 WNW	8 WNW	11 NW	10 NNW	12

Juni

1	4.6	NW	6 ENE	0 E	5 E	3 E	5 N	1 E	2 E	3 E	4 E	4 E	3 SSW	6
2	7.8	NNW	4 NNW	1 NNW	4 N	9 ESE	9 NNE	3 ESE	3 ESE	2 ESE	3 ESE	4 SSE	6 ESE	6
3	6.8	S	5 S	7 S	7 W	4 W	4 S	3 W	4 W	4 W	4 W	8 WNW	9 E	6
4	9.2	WNW	0 WNW	5 WNW	1 WNW	2 WNW	1 SSW	0 WNW	2 WNW	3 WNW	6 WNW	5 WNW	7 NW	6
6	15.8	NNE	8 N	6 NNE	9 NE	7 NE	8 WNW	8 NE	10 NNE	9 NNE	11 NNE	11 ENE	15 ENE	21
6	8.5	NW	8 NW	11 NW	8 NW	6 NW	6 NW	5 NW	8 *NE	4 *NE	7 *NE	9 ESE	5 *ESE	7
7	3.5	*E	5 *E	2 *E	3 *E	4 *E	0 *E	0 *E	2 *SW	0 *SSW	1 *NNE	3 *WNW	6 *W	9
8	7.3	SE	4 S	3 S	0 SW	0 W	1 NW	3 N	1 N	0 E	3 ESE	6 SE	8 SE	6
9	4.8	S	4 WSW	6 W	2 W	0 W	4 SSE	4 SSE	3 E	1 SE	3 S	3 S	9 S	6
10	3.3	WSW	1 WSW	0 WSW	1 WSW	0 WSW	0 WSW	0 WSW	2 NW	1 N	2 NNE	1 W	3 NNW	4
11	5.4	NNW	0 NNW	0 NNW	1 NNE	0 NNW	1 E	0 E	1 NNW	5 NNW	8 NNE	6 NNW	11 ENE	7
12	9.3	S	2 NW	2 NW	2 NW	4 NW	2 NW	0 W	2 SW	5 NW	5 NW	4 W	3 NNW	6
13	6.1	ENE	7 ENE	1 E	7 E	7 E	5 E	4 SSW	5 SW	1 W	5 SSW	15 S	18 S	30
14	5.5	E	1 E	1 E	0 E	1 E	2 E	2 E	2 E	5 NW	10 NW	10 NW	11 N	10
15	5.2	ESE	3 SE	4 SE	1 NE	2 NE	0 NE	3 N	4 E	4 E	6 SSE	6 SE	5 NE	5
16	6.4	NNW	2 NNW	0 NNW	4 NNW	3 NNW	3 NNW	0 NNW	1 NNW	3 NNW	4 ESE	7 E	5 N	7
17	9.8	NW	7 NNE	6 E	3 NNE	4 ENE	6 NW	4 NNW	6 NE	9 NE	9 NE	7 ESE	7 ESE	10
18	4.5	NW	10 NW	9 NW	0 N	1 N	0 N	0 N	3 N	4 NNE	5 SSW	4 NW	6 NW	7
19	6.4	NW	0 NW	1 NW	0 ENE	0 NW	0 NW	1 NW	1 NW	2 NW	9 NNW	10 NW	8 NW	7
20	6.5	N	8 E	5 SE	3 SE	4 NW	3 NW	2 NW	1 SSW	3 SSW	5 W	8 WNW	13 NW	17
21	5.7	NNW	2 NNW	0 NNW	0 NNW	2 NNW	1 NNW	1 NNW	4 NNW	3 N	5 SSE	4 SSW	5 NNE	7
22	4.1	NE	1 NE	0 NE	1 NE	0 NE	1 ENE	0 ENE	1 NW	5 SE	6 SE	5 NNE	3 NNW	9
23	9.1	NW	0 NW	1 NW	1 SE	6 SE	3 SE	4 WSW	6 WNW	10 WNW	5 NW	6 NNW	8 W	6
24	7.9	N	1 ESE	3 SSE	2 SSE	1 SSE	0 SSE	2 SSE	4 SSE	3 W	3 NW	5 SE	4 WSW	5
25	6.3	W	5 S	10 SSW	10 SW	6 SE	2 S	4 SSE	4 W	3 E	4 S	5 SSW	7 NNE	6
26	8.3	SSE	8 SSE	4 SSE	3 SSE	2 ESE	4 ESE	1 ESE	1 SSW	2 SSW	5 NW	9 WNW	15 WNW	13
27	7.0	WNW	4 SE	5 SE	0 SE	3 NW	5 NW	3 ESE	4 WNW	10 E	4 NW	13 W	4 S	5
28	8.8	SE	5 SE	4 SE	7 SE	4 SE	2 SE	1 SE	1 NNW	5 NNW	9 NNW	6 WNW	8 WNW	13
29	4.7	S	9 SSE	6 SSE	5 SSE	1 SSE	1 SSE	1 SSE	2 SSE	2 SSE	2 NE	5 S	6 W	5
30	4.5	E	0 E	1 E	0 E	1 E	0 E	0 E	0 NNW	3 WNW	3 E	7 SE	6 SSE	8

Windrichtung und Geschwindigkeit (Kilometer pro Stunde).

Mai

Zürich

Tag	12 ³⁰ -13 ³⁰	13 ³⁰ -14 ³⁰	14 ³⁰ -15 ³⁰	15 ³⁰ -16 ³⁰	16 ³⁰ -17 ³⁰	17 ³⁰ -18 ³⁰	18 ³⁰ -19 ³⁰	19 ³⁰ -20 ³⁰	20 ³⁰ -21 ³⁰	21 ³⁰ -22 ³⁰	22 ³⁰ -23 ³⁰	23 ³⁰ -0 ³⁰	Summe
1	NNW 11	WNW 9	WNW 7	WNW 8	WNW 6	WNW 5	WNW 3	WNW 4	WNW 3	WNW 2	WNW 0	WNW 3	101
2	NE 11	NNE 9	NE 11	NE 8	NE 7	S 12	WSW 14	SSW 9	SW 9	SW 9	SSW 8	SSW 6	162
3	SSW 7	SSW 9	S 9	S 6	S 8	S 7	S 5	S 7	S 4	S 5	S 3	S 5	149
4	NW 10	NE 7	E 9	E 7	E 4	E 3	E 5	E 7	E 8	E 1	E 4	E 5	123
5	SW 7	SW 8	W 10	WSW 17	WSW 21	SSW 9	SSE 5	SSE 7	SSE 9	SSE 7	SSE 8	SSE 7	174
8	WNW 14	WNW 21	NW 21	WNW 26	WNW 33	WNW 28	WNW 18	WNW 9	WNW 6	WNW 2	WNW 5	WNW 7	262
7	*W 13	*W 4	*NW 7	*NW 9	*NW 14	*NW 18	*NW 12	*NW 10	*NW 7	*NW 8	*NW 8	*NW 11	207
8	SW 11	W 16	W 21	W 21	WNW 17	WNW 6	SW 12	SW 6	SSW 9	SW 10	W 13	W 11	270
9	WNW 14	W 17	WNW 17	W 16	W 15	W 10	W 12	NW 15	NW 9	NW 1	NW 2	NW 3	260
10	WSW 23	WSW 25	WSW 22	WSW 25	WSW 29	WSW 28	W 24	W 20	W 20	W 28	W 23	W 16	428
11	SW 17	SW 35	W 43	WSW 38	WSW 35	W 32	W 32	W 29	W 17	WSW 25	WSW 25	SW 29	584
12	NW 22	W 16	WSW 21	NW 11	W 19	WSW 21	WSW 21	WSW 20	WSW 14	WNW 16	W 21	W 11	512
13	SSE 10	SSE 15	S 13	S 11	S 12	SSE 12	SSE 13	SSE 10	WSW 24	WSW 22	WSW 20	WSW 21	319
14	WSW 33	WSW 37	WSW 30	WSW 29	WSW 28	WSW 30	W 23	W 23	W 13	W 3	W 5	W 5	537
15	S 7	S 18	S 14	SSE 12	S 13	S 8	S 5	S 5	S 6	S 4	S 4	S 3	185
16	NW 7	N 10	NW 9	NW 8	NNW 8	NNW 8	NNW 7	NNW 7	N 3	N 4	N 0	N 3	129
17	NW 9	NW 6	WSW 5	W 5	WNW 6	NE 6	ENE 1	ENE 2	ENE 3	ENE 7	E 7	E 8	113
18	WSW 16	W 20	W 20	W 25	NW 15	NW 16	WNW 34	WNW 32	WNW 37	NW 21	NW 11	W 10	325
19	N 10	WNW 10	NW 10	WNW 8	WNW 10	W 10	WSW 8	WSW 4	WSW 5	WSW 3	WSW 6	WSW 7	239
20	WNW 9	NNW 9	WNW 10	NW 11	NW 12	NNW 12	W 13	WNW 14	NW 11	NW 5	NW 1	NW 3	153
21	NNE 10	NE 7	NE 11	SSE 18	SSE 11	SSE 6	SSE 8	S 11	S 7	S 4	S 2	S 1	139
22	NNW 10	NNE 13	NE 12	E 10	ESE 1	N 7	N 10	ENE 23	ENE 6	N 8	N 6	N 0	149
23	NNW 7	NNW 4	W 12	SSW 12	WSW 12	SW 8	WSW 11	W 12	W 11	WSW 8	WSW 5	WSW 6	158
24	WSW 14	W 12	W 17	WSW 17	WSW 15	SW 16	WSW 18	WSW 16	WNW 12	WSW 19	WSW 22	WSW 24	294
25	W 19	SSW 13	NW 7	S 13	NW 14	NW 6	NW 2	NW 4	S 8	S 4	S 6	S 7	279
26	W 12	W 12	W 9	SE 18	S 19	S 12	S 5	WNW 5	WNW 3	WNW 0	WNW 8	WNW 9	182
27	ENE 10	E 7	E 10	NE 6	NE 7	NE 8	NE 5	NNW 9	NNW 12	NNW 12	NNW 5	NNW 5	198
28	WSW 6	WNW 8	WNW 16	WNW 21	WNW 23	WNW 22	WNW 13	WNW 9	WNW 4	WNW 3	WNW 3	WNW 8	188
29	WNW 6	NNE 7	NE 12	NE 9	NNE 14	NE 17	NE 18	NE 22	NE 15	NE 6	NE 3	NE 3	166
30	NW 17	NW 14	NW 9	NW 11	NNW 26	NW 27	NNW 10	NNW 6	NNW 5	NNW 3	NNW 1	NNW 3	201
31	NNW 11	NNW 10	NNW 8	NNW 8	NNW 8	N 7	NNW 7	NNW 8	NW 18	NW 7	NW 4	NW 10	217

Juni

1	SSW 6	SSW 4	N 15	N 8	N 4	N 2	N 4	N 4	N 2	N 1	ENE 9	ENE 4	111
2	E 13	ENE 11	NE 17	NE 12	NE 13	NE 10	NW 33	NW 10	SW 8	S 7	S 4	S 1	187
3	NE 5	N 8	NW 21	NW 16	NNW 8	NW 6	W 5	W 10	NW 8	WNW 4	WNW 4	WNW 4	164
4	NW 9	NW 10	N 9	N 13	NNE 14	NE 15	NE 21	NE 26	NE 18	NE 14	NE 10	NE 10	220
5	NE 22	NE 31	ENE 28	ENE 25	NE 22	NE 20	NE 14	NE 23	NE 30	NE 26	N 7	N 6	380
6	*ESE 7	*WSW 7	*WSW 11	*SW 11	*W 15	*W 14	*E 8	*E 7	*E 18	*E 12	*E 4	*E 7	205
7	E 3	E 3	ESE 3	SSE 1	SE 4	S 2	S 3	W 8	S 9	NW 4	WSW 2	WNW 7	84
8	SSE 8	SW 14	SSW 13	S 11	SSW 13	SW 17	SSE 16	SE 11	ESE 9	ENE 18	E 9	E 1	175
9	S 6	S 8	S 6	SSW 9	SSW 5	SSW 6	SSW 8	SSW 9	SW 10	WSW 1	WSW 1	WSW 0	114
10	NNW 4	NW 5	N 7	N 6	NNE 6	N 3	NE 2	NW 5	NW 7	NW 11	N 7	NNW 2	80
11	ENE 8	ENE 9	ENE 9	ENE 10	E 10	E 6	ENE 6	ENE 11	ENE 7	N 5	SE 4	N 5	130
12	NW 8	NNW 9	WNW 12	NNW 14	NW 19	NW 16	SSE 28	SSW 22	ESE 19	S 15	S 12	S 13	224
13	NE 11	NW 4	W 3	SW 5	NW 3	NNW 7	N 3	N 3	N 2	E 0	E 1	E 0	147
14	N 9	N 13	ESE 15	SSW 5	SSW 1	SW 5	SW 4	ESE 5	SSW 6	E 4	S 7	SE 2	131
15	E 8	ENE 5	E 6	W 4	E 4	SSE 21	ESE 7	NNE 5	NNW 5	NNW 11	NNW 4	NNW 2	125
16	NE 9	ESE 10	ENE 12	NE 10	NE 7	NE 8	NE 6	NE 8	ENE 10	S 5	NE 11	NE 12	153
17	ESE 13	E 16	NE 15	NNE 15	ENE 18	ENE 15	ENE 13	ENE 7	ENE 11	ENE 17	NE 10	ENE 8	236
18	NNW 6	NNW 6	NNW 7	NNE 5	N 5	NE 6	NW 10	NW 7	NW 2	NNW 4	NW 0	NW 0	107
19	NNE 5	S 8	S 11	NNW 14	NNW 13	NNW 9	NW 15	NW 13	NNW 8	NNW 1	NNW 10	W 7	153
20	NNW 13	WNW 9	NNE 9	N 7	NW 11	NNW 12	NW 10	NW 3	NW 2	NW 3	N 1	NNW 3	155
21	NE 8	E 8	SE 6	N 10	NNE 11	ESE 11	NE 6	ENE 11	ENE 17	ENE 13	ENE 1	N 2	138
22	NNW 7	NNW 8	NNE 8	NW 8	NNW 8	NNW 9	NNW 3	N 5	NE 3	NW 0	NW 3	NW 4	98
23	NNE 6	ESE 9	N 12	NNW 17	NW 38	WSW 15	NW 12	S 22	S 18	SSE 8	N 4	N 1	218
24	SSW 8	S 14	SSW 17	SSW 22	NNW 17	SSE 6	S 8	SSE 16	SW 19	WSW 16	WSW 9	WNW 4	189
25	NW 10	WNW 11	WNW 7	SSW 12	S 10	SSE 10	SSE 8	SSE 5	SSE 2	SSE 1	SSE 2	SSE 8	152
26	WNW 15	WNW 22	NW 33	NW 18	NW 10	NW 6	NW 4	N 3	ENE 3	WNW 8	NW 7	NW 4	200
27	S 10	S 22	W 13	S 8	SSE 10	SSE 10	SW 5	W 1	SE 4	NW 10	SW 5	SE 3	167
28	WNW 20	NW 17	NW 18	NW 13	NW 11	NW 22	NNW 11	WNW 4	S 8	SSE 7	SSE 11	S 8	215
29	N 7	NNE 7	E 7	NE 7	N 7	E 6	E 5	E 9	E 8	E 2	E 2	E 0	112
30	ENE 8	ENE 6	NNE 9	NNE 10	NE 7	NE 8	ENE 9	ENE 14	ENE 6	ENE 1	ENE 1	ENE 0	108

Jul 1930

h_a = 34.5^m

Stündliche Aufzeichnungen des Anemometers.

Tag	Mittel	0 ⁰⁰ -1 ⁰⁰	1 ⁰⁰ -2 ⁰⁰	2 ⁰⁰ -3 ⁰⁰	3 ⁰⁰ -4 ⁰⁰	4 ⁰⁰ -5 ⁰⁰	5 ⁰⁰ -6 ⁰⁰	6 ⁰⁰ -7 ⁰⁰	7 ⁰⁰ -8 ⁰⁰	8 ⁰⁰ -9 ⁰⁰	9 ⁰⁰ -10 ⁰⁰	10 ⁰⁰ -11 ⁰⁰	11 ⁰⁰ -12 ⁰⁰	
1	6.8	ENE	2 ENE	3 ENE	0 ENE	0 ENE	2 ENE	0 N	2 WNW	5 NW	9 NNW	4 NW	4 NW	5
2	6.8	SE	4 SE	3 SE	2 SE	4 E	3 SE	6 SE	1 SE	2 WNW	4 NNW	8 NW	13 WNW	17
3	3.9	SE	3 SE	0 SE	2 SE	2 SE	0 SE	1 SSW	2 SSW	2 N	6 N	8 NNW	8 NNW	7
4	4.7	NE	0 NE	0 NE	0 NE	1 NE	1 NE	0 NE	1 N	4 NW	5 NW	8 E	7 NE	9
5	6.5	SE	5 SE	4 SE	3 SE	1 SE	5 SE	3 SE	2 SE	2 SE	6 NW	8 WNW	11 NW	10
8	12.5	N	3 N	4 N	12 N	6 SSW	5 SE	5 SW	0 SSW	5 SW	6 NW	7 NW	12 WNW	16
7	10.1	S	6 SE	5 SE	5 W	7 SW	6 SSE	6 SSW	7 WSW	9 W	8 SSW	9 W	12 SSW	13
8	9.5	NNE	1 NNE	3 NNE	6 NNE	7 N	7 NE	4 NNE	10 N	12 N	7 NNE	10 NE	13 NNE	9
9	6.4	NNW	5 NE	6 NW	5 NE	4 NNE	1 NNE	8 NNE	2 NE	7 E	9 ESE	7 WNW	11 SSW	9
10	6.4	NE	1 N	4 N	1 E	4 E	1 E	3 SE	5 SW	1 SW	4 N	9 N	5 NW	6
11	12.3	WSW	3 WSW	2 NW	0 W	4 SSE	6 SW	8 SW	5 NW	14 NW	17 WNW	5 SW	0 SW	16
12	14.6	SW	7 WSW	6 WNW	8 NW	5 NW	11 NW	15 NNW	9 NW	8 WNW	9 WNW	15 WNW	18 NW	23
13	21.5	W	13 WSW	25 WSW	27 WSW	28 WSW	30 WSW	28 WSW	33 W	35 W	33 N	30 WNW	29 WNW	31
14	8.7	SSE	8 SE	8 SE	6 SE	9 SE	4 SE	1 SE	1 SE	2 SE	3 SSW	5 SW	7 SW	5
15	13.0	SW	5 NW	9 W	12 W	11 S	8 S	5 SSE	11 SSE	7 S	6 SW	12 WSW	18 WSW	24
16	6.3	SSE	2 SSE	6 SSE	6 SSE	5 SSE	2 S	4 S	3 S	5 WSW	3 WSW	6 S	6 NNW	8
17	7.7	SSE	11 S	9 W	4 NNW	3 SW	3 SW	4 S	3 S	6 W	7 WSW	4 W	12 S	7
18	18.7	SE	7 SSE	12 SSE	11 SSE	11 SSE	4 N	12 SSW	8 WSW	7 NW	24 NW	14 W	22 SW	29
19	15.2	WNW	6 WNW	9 SW	10 SSW	5 S	4 S	9 SSE	11 SW	19 SW	24 SW	21 SW	21 NW	15
20	7.4	NW	7 NW	7 N	6 SE	5 SE	9 SE	4 S	6 S	7 SSW	5 WSW	7 NW	7 NW	10
21	9.0	E	6 E	7 E	6 E	8 SE	7 SE	4 SE	1 SE	2 SE	1 SSW	4 WSW	6 WSW	2
22	9.8	WSW	16 WNW	17 WNW	10 NW	4 NW	4 S	5 S	4 W	4 WNW	10 WNW	8 WSW	9 WNW	16
23	8.3	NNE	1 NNE	1 NNE	0 NNE	1 NNE	3 NNE	1 N	3 N	5 E	7 E	8 E	5 NNW	10
24	15.2	NNE	5 NNE	1 NNE	2 SE	2 SW	6 NW	15 NW	21 NW	18 NW	14 NW	15 WNW	16 WNW	13
25	17.8	WSW	23 WSW	26 WSW	27 WSW	20 WSW	24 WSW	30 WSW	25 WSW	23 WSW	24 WSW	25 W	21 W	21
26	4.2	S	3 S	5 S	3 S	1 S	2 S	1 S	2 S	7 S	2 W	4 NW	5 NW	5
27	4.7	NW	4 NW	4 NW	2 NW	0 NW	0 NW	0 NW	2 NW	3 NW	3 E	5 SSW	4 WSW	7
28	7.9	NNW	5 ESE	5 NW	4 SSW	9 SSW	10 NW	11 NW	8 NW	23 NW	18 WNW	9 W	5 W	5
29	12.9	NW	9 W	17 WSW	16 WSW	11 NNW	8 NNW	8 NNW	5 NW	10 NW	16 NW	15 NNW	15 NNW	17
30	8.7	SSE	3 SSE	4 SSE	4 SSE	7 SSE	5 SSE	3 SSE	3 NW	7 NNW	6 NW	10 NW	12 NW	15
31	7.9	S	7 SE	4 NNE	5 WNW	4 SSE	8 WSW	7 SW	3 SSW	9 WSW	12 SW	14 WSW	11 W	7

August

1	5.1	E	3 E	1 E	1 E	0 E	1 E	0 E	1 E	4 NNE	10 NNE	7 NE	11 ENE	10
2	9.3	E	1 E	0 E	1 E	1 NNE	2 NNE	5 NNE	3 NNE	3 NW	5 NW	4 WNW	7 WNW	7
3	9.8	SW	11 W	5 W	5 NNW	6 SSW	7 W	4 N	5 SSW	7 WNW	14 NW	11 WNW	9 WSW	16
4	9.3	NW	7 WNW	10 WNW	10 NNE	8 N	4 NNE	5 NNE	11 SSW	10 WSW	7 WSW	3 S	9 WSW	8
5	16.3	SSE	11 SSW	6 SSE	7 S	7 SSE	12 W	12 WSW	15 SSW	17 WSW	23 WSW	30 W	20 W	20
6	18.1	SW	21 W	23 W	21 W	20 W	29 W	23 SSW	21 W	19 W	21 W	24 WNW	22 WNW	23
7	6.8	WSW	12 NW	7 NW	5 NW	3 E	5 S	2 W	7 WSW	7 SSW	11 S	13 S	14 S	9
8	6.3	NNE	1 ESE	5 SE	8 SE	6 SE	4 N	4 N	1 N	2 WNW	6 NW	11 W	8 NW	9
9	6.0	WNW	6 NW	6 NNW	3 NNW	4 NNW	2 NNW	2 NNW	6 WNW	9 WNW	10 WNW	6 NW	5 ENE	4
10	5.7	SE	4 SE	1 SE	3 SE	1 SE	1 SE	0 SE	2 SE	5 SSW	6 SSW	5 WNW	11 WNW	12
11	9.3	SE	8 SE	8 SE	8 SE	6 S	10 S	9 S	6 S	12 S	12 SE	11 S	15 S	15
12	8.8	S	2 SE	4 SE	2 W	3 NW	2 NW	2 S	6 S	5 S	6 S	2 NW	11 NW	15
13	9.7	WNW	8 NW	3 S	6 SSE	9 SE	10 SE	6 NW	7 N	4 SSW	4 SSW	5 SSW	11 SW	10
14	28.9	WSW	12 WSW	9 WSW	15 WSW	15 WSW	23 WSW	25 WSW	19 WSW	22 WSW	30 WSW	39 WSW	37 WSW	33
15	29.2	W	20 W	21 WNW	22 WNW	25 W	22 WNW	26 W	25 WSW	32 WSW	40 WSW	36 W	34 W	30
16	19.9	WNW	33 WSW	37 WSW	34 W	31 WNW	31 WNW	33 W	14 WSW	16 WSW	15 W	21 WSW	27 WSW	28
17	5.4	WSW	1 WSW	3 SE	3 SE	2 N	5 E	6 ESE	3 SE	4 SSW	9 SSW	8 SSW	11 SW	9
18	5.5	SE	7 SE	2 SE	0 SE	2 SE	2 SE	0 SE	1 SE	3 SSE	3 S	6 SW	5 SSW	6
19	10.3	NNW	4 WSW	3 SE	6 SE	7 SSE	4 ESE	6 ESE	3 S	1 W	5 NW	10 WNW	16 W	15
20	5.4	WNW	2 WNW	2 WNW	4 WNW	8 NW	5 NW	7 NNW	7 NNW	7 NNW	9 NNW	7 NNE	5 NNW	5
21	6.8	ENE	0 NW	2 ENE	3 E	2 E	2 E	1 E	1 E	6 NW	11 NW	10 WNW	8 WNW	7
22	6.3	ESE	8 ESE	4 NW	8 NW	9 NW	8 NW	1 NW	4 NW	12 NW	4 WSW	12 NW	12 WNW	11
23	8.9	SE	1 SE	1 SE	3 E	2 E	3 E	2 E	2 S	4 SSE	5 WSW	4 W	8 WSW	19
24	8.7	SE	9 SE	7 SE	6 SE	4 SSE	4 SSE	2 SSE	1 SSE	5 SSE	1 SSW	3 SW	9 SW	17
25	6.0	WNW	5 WNW	1 NNW	2 NNW	2 NNW	4 NNW	2 WNW	1 NW	6 ENE	4 ESE	7 NNW	9 NNW	8
26	5.7	N	1 N	1 N	0 N	0 N	1 N	0 N	1 NE	4 E	5 NNE	6 NNE	8 NNE	9
27	2.9	NW	2 NW	0 NW	0 NW	0 NW	1 NW	0 NW	1 NW	1 NW	4 WNW	4 WNW	4 WNW	5
28	4.2	NE	1 N	2 N	0 N	1 N	0 N	0 N	0 N	2 N	1 N	3 WNW	6 N	7
29	7.2	NW	4 NW	1 NW	0 NW	0 NW	0 NW	0 NW	0 NW	2 NW	4 E	8 W	5 NW	7
30	4.4	NNW	2 NNW	3 NNW	2 NNW	0 NNW	1 NE	1 NNE	1 NNE	3 WNW	4 WNW	5 E	3 E	7
31	4.4	NW	2 NW	0 NW	1 NNE	0 NNE	2 NW	2 NW	3 NW	3 NW	3 NW	2 SSW	6 W	5

Windrichtung und Geschwindigkeit (Kilometer pro Stunde).

Juli

Zürich

Tag	12 ⁰⁰ -13 ⁰⁰	13 ⁰⁰ -14 ⁰⁰	14 ⁰⁰ -15 ⁰⁰	15 ⁰⁰ -16 ⁰⁰	16 ⁰⁰ -17 ⁰⁰	17 ⁰⁰ -18 ⁰⁰	18 ⁰⁰ -19 ⁰⁰	19 ⁰⁰ -20 ⁰⁰	20 ⁰⁰ -21 ⁰⁰	21 ⁰⁰ -22 ⁰⁰	22 ⁰⁰ -23 ⁰⁰	23 ⁰⁰ -0 ⁰⁰	Summe
1	SW 5	N 8	N 9	NW 22	SSW 31	SSE 18	SSE 7	S 13	SE 6	NE 4	SSW 2	SE 2	163
2	NW 19	WNW 17	W 8	SSW 14	NNE 8	N 2	WNW 4	NNW 8	NNW 7	N 3	ENE 3	S 3	163
3	NNW 7	N 5	NW 4	ESE 4	WSW 4	WSW 8	WSW 8	WNW 5	WNW 3	NE 4	NE 2	NE 1	94
4	NE 9	ENE 10	NE 10	ENE 10	E 9	E 8	E 9	E 3	E 1	E 3	E 2	E 3	113
5	W 10	S 8	SW 10	SSW 9	SW 9	NW 6	NW 8	NW 5	NW 6	S 12	S 10	ESE 8	155
6	WNW 22	WNW 21	NW 17	WNW 19	WNW 40	W 36	NW 13	NW 11	SSE 12	SSE 14	SSW 10	WSW 4	300
7	SSW 14	SW 18	SSW 16	WSW 14	NW 19	NW 15	NW 12	NNW 10	NNW 4	NNW 4	NNE 12	NNE 11	242
8	NNE 7	NW 8	NNE 9	NNW 11	NW 15	NW 21	NW 16	NNE 9	NNE 11	N 9	NNE 12	NNE 11	228
9	SSW 9	S 10	S 7	SW 8	W 7	SSW 7	SSW 9	SSW 8	SW 8	WSW 1	SW 4	SW 2	154
10	WNW 10	WNW 12	NW 25	WNW 9	SW 11	SW 6	NNE 9	N 2	N 5	SE 8	SSE 7	SSE 5	153
11	SW 28	WSW 19	SW 22	SW 22	WSW 21	WSW 23	WSW 20	NW 13	NW 18	SW 9	SW 6	NW 6	206
12	WNW 23	WNW 23	W 21	NW 14	NW 7	NW 12	WNW 11	WNW 14	W 17	W 19	WSW 30	WSW 25	350
13	WNW 30	NW 30	WNW 25	WNW 20	WNW 16	WNW 7	NW 4	SSW 6	SSW 10	N 7	NNW 10	NNW 9	516
14	W 7	W 10	WSW 10	WSW 13	W 13	W 10	SSW 15	SSW 18	SW 17	WSW 17	SW 11	W 8	208
15	NW 33	NW 25	WNW 29	W 17	W 17	W 13	W 14	W 7	W 4	SSE 9	SE 7	SSE 8	311
16	W 9	NW 9	W 12	SSW 9	SSW 13	S 10	S 12	SSW 6	SSW 0	NW 3	NW 2	NW 9	150
17	S 5	SW 8	S 7	S 8	S 9	N 14	E 9	SSE 13	S 10	SSE 12	N 10	W 6	184
18	SW 33	SW 29	WSW 28	WSW 21	WSW 31	WSW 36	WSW 32	W 29	W 21	WNW 15	NW 5	WNW 9	450
19	W 20	W 31	W 27	W 17	WNW 24	W 12	NW 9	NW 12	N 10	WSW 26	W 15	NW 8	365
20	NW 9	NW 9	W 12	S 8	NNW 7	NW 15	NW 11	NW 9	NW 7	NW 3	NW 3	NW 5	178
21	WSW 4	W 7	NNW 9	NNW 3	S 17	WSW 28	W 11	SSE 11	SSE 17	W 21	WSW 19	SW 15	216
22	W 19	WNW 16	NW 17	NW 17	NW 17	NW 17	NW 13	N 8	NNE 3	NNE 1	NNE 0	NNE 0	235
23	NE 9	NNW 12	NNW 15	NNW 13	NW 25	NNW 23	NW 18	W 11	SSE 11	SSE 10	SE 4	SE 2	198
24	WSW 9	SSW 11	SSW 16	SW 21	SW 18	WSW 22	WSW 19	WSW 21	WSW 23	WSW 27	WSW 24	WSW 26	365
25	W 28	W 27	WSW 19	WSW 12	S 12	WSW 12	WSW 10	SSE 3	SSW 6	S 3	NW 3	SW 4	428
26	WNW 4	N 7	NW 9	NW 10	NW 8	NW 7	NW 6	NW 2	NW 3	NW 0	NW 2	NW 2	100
27	WSW 4	NW 4	N 7	NW 10	NW 19	NW 15	NW 6	NNW 5	NNW 2	NNW 2	NNW 2	NNW 2	112
28	S 2	S 7	S 2	S 4	S 5	S 5	S 1	S 5	SE 7	W 6	W 10	WNW 14	184
29	NNW 18	NW 20	NW 20	SSE 22	NW 19	NW 20	NW 13	NW 14	NW 8	SSE 5	SSE 3	SSE 1	310
30	NW 11	SSW 7	NW 15	NW 15	NW 17	WNW 15	WNW 10	WNW 7	NW 10	NW 6	NW 11	NW 6	209
31	WSW 10	SSE 8	SSE 12	WSW 16	SSW 13	W 13	NW 4	SSE 9	SE 5	SE 3	E 1	E 0	193

August

1	ENE 10	E 9	ENE 9	NE 6	N 9	N 6	ENE 6	ENE 10	ENE 1	E 2	NNW 3	E 2	122
2	NW 14	WNW 11	NW 10	NNW 10	WNW 31	WNW 47	WSW 16	S 12	S 18	SSE 13	SSE 4	WSW 9	223
3	SSW 9	SSW 19	SSW 14	SSW 9	NNE 6	N 6	SW 6	WSW 12	S 12	E 10	SE 13	NNE 12	234
4	NW 24	NW 13	NW 15	SW 17	SE 12	SW 7	SSE 7	SSE 8	N 7	SE 6	SE 10	SE 6	224
5	WNW 19	WNW 21	NW 33	NW 19	WSW 10	SSE 16	SE 9	S 7	SW 24	SW 21	SW 15	SW 17	390
6	WNW 18	W 22	W 21	WSW 17	WSW 20	WNW 11	NNW 6	NNW 10	NW 13	NNW 14	NNW 5	WSW 11	435
7	NW 5	NW 3	N 10	N 4	NW 5	NW 6	S 6	S 11	SSE 8	NNE 4	NW 6	NNE 0	163
8	NW 9	NW 9	NW 13	ESE 8	S 8	S 9	S 7	S 6	SE 5	SE 3	WNW 5	WNW 7	152
9	SW 3	WNW 6	S 11	S 9	S 9	S 7	S 4	S 10	SE 10	SE 6	SE 5	SE 5	145
10	SSW 8	SSW 10	WNW 11	WSW 9	WNW 10	WNW 9	W 5	SE 5	SE 3	SE 2	SE 7	SE 6	136
11	SSW 9	SW 5	W 6	NW 19	NW 20	NW 15	NNW 10	NNW 6	NW 4	WNW 5	SW 3	S 2	224
12	NW 9	SW 9	SW 17	WSW 18	NW 16	NW 12	NNW 9	NW 16	NW 16	NW 10	NNW 9	NNW 11	212
13	SW 13	SSW 20	SSW 19	SSW 10	SSW 11	SW 13	SSW 14	S 13	SSW 9	SSE 6	SSW 12	W 11	234
14	WSW 27	WSW 35	WSW 53	WSW 45	W 44	W 42	W 34	W 31	W 25	W 26	W 29	W 23	693
15	W 29	W 25	W 28	WSW 32	WSW 32	WSW 24	SW 28	WSW 31	WSW 37	WSW 36	SW 32	SSW 34	701
16	WSW 24	W 21	W 18	W 22	W 19	W 13	W 9	WNW 11	WNW 10	W 1	S 5	SW 5	478
17	SW 9	W 8	WNW 7	WNW 7	WSW 6	SW 6	SSW 4	SE 5	SE 1	SE 4	SE 9	SE 4	130
18	SW 5	SSW 6	S 10	SSE 12	SSE 9	SSE 4	E 4	SE 7	SE 8	SE 14	SSE 9	E 7	132
19	WNW 12	WNW 17	WNW 16	WNW 20	WNW 23	WNW 23	WNW 17	WNW 17	WNW 10	WNW 7	WNW 4	WNW 1	247
20	ENE 7	ENE 11	ENE 10	ENE 8	ESE 7	S 3	N 3	ESE 2	ESE 3	NNE 5	NNW 2	ENE 1	130
21	WNW 7	WNW 5	WNW 5	WNW 8	WNW 9	NW 13	NW 4	SW 8	SSW 14	SW 12	WSW 14	ESE 10	162
22	W 9	WNW 2	WNW 4	N 4	NNE 4	NNE 3	NE 3	E 3	NW 11	SE 6	SE 6	SE 3	151
23	WSW 18	WSW 20	WSW 23	WNW 17	WNW 21	WNW 22	NW 8	NW 4	NW 2	E 7	SE 7	SE 9	213
24	WSW 21	W 13	NW 13	NW 15	WNW 18	WNW 15	WNW 13	NW 12	NW 8	NW 5	WNW 5	WNW 2	208
25	NNW 8	NNW 8	N 8	N 6	N 7	NNE 5	N 12	NE 18	NE 14	ESE 3	N 2	N 1	143
26	NNE 9	NNE 10	NNE 10	NE 11	NE 9	NNE 8	N 7	NW 7	NW 7	NE 6	WNW 9	WNW 8	137
27	W 3	WNW 5	NW 6	N 5	NNE 6	NE 8	NE 12	NE 1	NE 1	NE 0	NE 0	NE 0	69
28	NNE 8	NNE 9	NNE 9	NNE 9	N 7	N 5	N 7	N 6	NNE 7	NE 7	WNW 2	WNW 1	100
29	NNE 9	NNE 7	NNE 8	NNE 10	NNE 11	NE 14	NE 19	NE 27	NE 13	NW 7	WNW 8	NW 10	174
30	E 7	NE 8	NNE 11	NNE 9	N 6	N 7	NNE 6	NNE 2	NNE 2	NW 5	NW 9	NW 2	106
31	W 10	W 7	W 9	W 10	W 10	WSW 6	S 4	SE 4	SE 1	SE 8	SE 6	SE 2	106

September 1930.

$h_a = 34.5^m$.

Stündliche Aufzeichnungen des Anemometers.

Tag	Mittel	0 ⁰⁰ -1 ⁰⁰	1 ⁰⁰ -2 ⁰⁰	2 ⁰⁰ -3 ⁰⁰	3 ⁰⁰ -4 ⁰⁰	4 ⁰⁰ -5 ⁰⁰	5 ⁰⁰ -6 ⁰⁰	6 ⁰⁰ -7 ⁰⁰	7 ⁰⁰ -8 ⁰⁰	8 ⁰⁰ -9 ⁰⁰	9 ⁰⁰ -10 ⁰⁰	10 ⁰⁰ -11 ⁰⁰	11 ⁰⁰ -12 ⁰⁰
1	7.5	SE 3	SE 4	SE 2	SE 1	SE 1	SE 1	SE 1	SE 2	SE 2	SE 2	SSW 5	SSW 10
2	9.5	NNE 15	NE 19	NNE 11	NNE 9	NNE 8	NNE 16	NNE 10	NNE 12	NNE 16	NNE 17	NE 15	NE 12
3	4.9	NW 9	WNW 4	WNW 4	WNW 3	WNW 1	WNW 1	WNW 2	WNW 5	NE 4	ENE 7	S 7	N 8
4	4.4	E 1	E 3	NNW 2	W 1	W 1	W 1	W 0	W 2	W 4	E 6	NE 7	NE 7
5	4.4	ESE 0	ESE 1	ESE 0	ESE 0	ESE 1	ESE 0	ESE 0	ESE 1	SSE 3	SSW 4	SSW 5	SSW 6
6	8.0	SE 5	SE 3	SE 1	SE 3	SE 3	ESE 3	ESE 2	ESE 4	SSE 2	WNW 4	WNW 10	NNE 22
7	8.5	WNW 11	SSE 4	SSE 2	SSE 1	W 7	W 7	S 4	W 5	SSE 1	NW 6	WNW 23	WNW 14
8	11.2	SW 11	SW 12	SSW 17	WNW 17	WNW 5	WSW 11	WSW 18	W 12	W 17	W 16	W 11	W 13
9	8.2	ESE 5	ESE 2	ESE 1	ESE 2	ESR 1	ESE 1	ESE 0	ESE 1	ESE 1	S 3	SSW 6	WSW 19
10	5.9	SE 8	SE 10	SE 5	SE 7	SSE 6	SW 6	S 8	SE 7	SSW 6	SSE 4	SSE 2	SSE 4
11	4.5	ENE 3	ENE 4	WSW 2	W 9	N 4	E 2	E 3	NE 1	SE 5	S 4	NNE 6	NW 3
12	10.2	NNW 1	NNW 2	NNW 5	NNW 5	WNW 4	S 2	SSE 4	SSE 2	ESE 6	E 6	W 5	W 12
13	10.3	WSW 24	WSW 29	WSW 13	WSW 17	WSW 17	WSW 8	S 5	SSW 7	S 9	WSW 13	W 6	W 7
14	10.1	SE 10	SE 7	SE 10	SE 8	SE 9	S 9	SW 20	W 19	WNW 8	WSW 15	WSW 16	WSW 19
15	9.4	WSW 7	SSW 11	WSW 11	WSW 10	WNW 5	W 4	W 8	W 8	W 10	WSW 8	W 11	W 14
16	7.5	WNW 7	WNW 6	WNW 5	NW 4	NW 5	NW 4	NW 6	NW 6	NW 2	N 4	NNW 11	W 9
17	6.0	WNW 3	WNW 1	WNW 4	WNW 8	SE 4	SE 2	SE 0	SE 3	SE 2	SSE 2	WSW 3	WSW 7
18	5.8	SE 2	SE 4	SE 2	SE 1	SE 2	SE 0	SE 3	SE 2	SSE 2	WSW 3	SW 6	WSW 7
19	5.6	E 6	ESE 6	ESE 4	E 6	ESE 7	E 7	E 4	SE 7	SSE 3	SSE 2	S 4	W 6
20	11.9	ESE 11	SSE 6	ESE 5	NNW 8	WNW 31	WNW 21	NW 2	WSW 8	WNW 15	NW 9	WNW 7	SSE 4
21	25.9	SW 14	SW 24	SW 25	SW 22	SW 24	SW 19	SW 25	SW 23	SW 30	SW 27	WSW 22	WSW 23
22	12.4	SW 27	W 12	WSW 16	WSW 16	WSW 21	WSW 18	W 9	W 7	WNW 8	WSW 18	WSW 22	WSW 22
23	5.6	S 6	W 7	SSE 8	S 9	S 9	S 8	W 10	W 9	W 9	SSE 3	SSE 1	SSE 3
24	4.3	SE 1	SE 2	SE 2	NE 5	NNE 4	W 3	NW 4	NW 4	N 10	N 6	NE 6	NE 3
25	6.5	ENE 4	ENE 4	ENE 4	ENE 4	ESE 9	ESE 8	S 4	SSE 4	SE 4	SE 2	SSE 5	S 9
26	8.6	S 8	SSE 15	SE 13	SE 9	SE 6	SE 9	SE 8	SSE 10	SSE 10	S 13	SSE 10	SSE 9
27	5.4	SSE 2	SSE 3	SSE 4	WNW 8	WNW 4	WNW 3	WNW 1	WNW 3	WNW 1	WNW 6	NNW 6	NNW 10
28	7.0	WNW 5	NNW 5	WNW 2	NNW 3	NNW 3	NNW 1	NNW 1	NNW 5	NNW 2	SSE 3	E 2	ESE 8
29	6.3	SW 2	SW 1	W 3	WNW 2	WNW 4	E 4	ENE 7	NNW 3	WSW 4	NNE 6	NE 7	NW 7
30	7.3	SE 7	SE 13	S 7	S 6	SE 7	SE 7	SE 6	SE 6	SE 4	SSE 3	W 7	W 9

Oktober

1	4.8	E 2	E 0	E 2	E 0	E 2	E 3	E 1	E 2	E 2	NW 8	N 9	NW 8
2	8.2	N 2	NNW 4	NW 5	N 4	N 6	ESE 2	ESE 1	ESE 6	E 6	ENE 4	NE 7	NE 10
3	5.2	NW 12	NNW 9	WNW 11	NW 9	NW 10	NW 8	NW 6	NW 5	NW 2	NW 3	NW 7	NW 8
4	10.0	NNE 0	NNE 1	E 3	SE 2	SE 3	SE 5	SE 5	SSE 5	SSE 4	W 3	SW 4	SSE 8
5	30.9	WSW 25	WSW 27	WSW 30	WSW 25	WSW 25	WSW 20	WSW 29	WSW 30	WSW 36	WSW 39	WSW 38	WSW 36
6	30.0	S 16	SSW 15	S 28	SSW 30	W 37	W 40	W 38	WSW 22	WSW 28	WSW 40	WSW 40	WSW 36
7	28.3	WSW 19	WSW 26	W 29	WSW 24	WSW 12	WSW 30	WSW 30	WSW 35	WSW 30	WSW 40	WSW 41	WSW 39
8	17.9	W 15	WNW 10	SW 5	S 6	S 11	SSE 13	SSW 22	SSW 20	SSW 12	SSW 15	SSW 15	SSW 16
9	21.1	SSW 34	SSW 32	SSW 30	SSW 30	SSW 32	SW 20	WSW 31	WSW 25	WSW 28	WNW 28	W 28	WNW 28
10	9.4	SSE 13	S 17	SSE 12	SSE 8	S 10	S 10	S 12	SSE 13	SSW 13	SSW 14	SSW 10	SSW 11
11	5.9	NNW 6	NW 5	NW 1	WNW 4	S 5	SE 4	SE 3	SE 4	WNW 6	WNW 6	WNW 6	W 3
12	11.0	SE 8	WNW 6	NW 11	ESE 6	SE 4	NW 4	WNW 2	N 5	N 5	SSE 4	NW 5	S 6
13	6.1	W 5	W 5	SSW 3	W 3	SSE 5	SSE 6	SE 3	SE 5	SE 4	SSE 4	SE 5	NNE 6
14	3.2	ENE 1	ENE 1	ENE 1	NNE 2	NNE 1	NNE 1	E 2	ESE 5	SE 3	SSE 4	NW 6	W 8
15	3.8	SE 1	SE 2	SE 1	SE 3	SE 2	SE 2	SE 3	SE 2	SE 4	SE 5	WNW 7	WNW 11
16	2.3	ENE 2	ESE 2	ESE 3	ESE 1	ESE 2	ESE 3	N 4	N 2	NW 2	NW 2	NW 2	WNW 5
17	3.0	SE 1	SE 0	SE 0	SE 0	SE 2	SE 1	SE 1	SE 4	SE 3	SE 2	W 3	WNW 8
18	2.2	ENE 1	ENE 0	ENE 1	ENE 1	ENE 0	ENE 2	ENE 2	ENE 1	NW 1	NW 4	NW 3	WNW 7
19	4.1	SE 1	SE 1	SE 0	SE 1	SE 0	SE 1	SE 2	SSE 1	ENE 6	ENE 6	NE 5	WNW 8
20	4.7	SE 3	WNW 4	W 3	W 4	SSW 2	SSE 3	WNW 4	W 6	S 3	S 8	SSE 12	SSE 8
21	4.4	WNW 4	WNW 4	NE 0	NE 1	NE 4	ESE 5	SE 3	SE 3	SE 2	SE 3	WNW 6	WNW 6
22	10.0	NE 2	NE 5	W 28	WSW 17	S 14	SE 9	SE 7	SW 11	SW 11	WSW 13	WSW 10	SSW 11
23	6.9	W 5	W 6	W 7	W 7	NW 7	W 6	S 7	W 7	WNW 3	W 5	SSW 5	SSW 3
24	12.1	S 8	SSE 11	SSE 9	SSE 8	SSE 9	SSE 9	SSE 9	SSE 11	SSE 10	SSE 9	SSE 5	SSW 13
25	13.1	SE 13	SE 12	SSE 8	SSE 13	SSE 9	SSE 9	SW 12	WSW 13	WSW 18	WSW 11	W 27	W 23
26	12.4	WSW 5	WSW 8	W 8	W 9	W 10	W 7	WSW 8	WSW 7	WSW 11	WSW 10	W 12	W 20
27	13.3	WNW 12	WNW 10	WNW 11	WNW 12	WNW 8	WNW 6	WNW 6	WNW 7	W 12	W 16	W 18	W 18
28	10.9	SW 14	WSW 13	WSW 16	WSW 14	SW 14	SW 9	W 2	SSW 10	SSW 17	SW 18	SSW 15	SSW 17
29	8.4	WNW 5	SE 13	SSE 7	SSE 9	SSE 10	SSE 9	S 11	SSE 7	SE 7	SSE 8	SSE 8	SSE 8
30	14.0	SSW 10	SSW 7	S 7	SW 18	SW 23	SW 26	SW 14	WSW 13	S 10	SSW 17	W 14	WSW 18
31	9.0	SSW 18	SSW 17	SSW 21	SSW 20	SSW 13	S 10	S 7	SSW 13	SSW 13	WSW 6	WSW 8	WSW 10

Windrichtung und Geschwindigkeit (Kilometer pro Stunde).

September

Zürich

Tag	12 ⁰⁰ -13 ⁰⁰	13 ⁰⁰ -14 ⁰⁰	14 ⁰⁰ -15 ⁰⁰	15 ⁰⁰ -16 ⁰⁰	16 ⁰⁰ -17 ⁰⁰	17 ⁰⁰ -18 ⁰⁰	18 ⁰⁰ -19 ⁰⁰	19 ⁰⁰ -20 ⁰⁰	20 ⁰⁰ -21 ⁰⁰	21 ⁰⁰ -22 ⁰⁰	22 ⁰⁰ -23 ⁰⁰	23 ⁰⁰ -0 ⁰⁰	Summe
1	WSW 15	WSW 16	WNW 18	WNW 18	WNW 20	W 15	W 9	NNW 7	N 6	N 4	N 6	NNE 11	179
2	NE 12	NE 11	NE 9	NE 9	NE 5	ENE 4	ENE 7	NE 6	NE 2	NE 1	NE 0	NE 2	228
3	NNE 8	NNE 9	NNE 9	NNE 9	NE 6	NE 3	NE 7	NE 3	NE 1	E 5	E 1	E 1	117
4	NE 8	NE 9	NNE 10	NE 11	NE 11	ENE 8	ENE 5	ENE 1	ENE 4	ESE 2	ESE 0	ESE 2	106
5	SSW 6	SW 6	SW 8	SSW 6	S 9	S 6	SSE 8	SSE 9	SE 8	SE 6	SE 6	SE 7	106
6	E 20	SSW 15	NE 23	E 19	SSE 9	S 4	SE 3	E 5	NW 8	NW 4	NW 10	WNW 9	191
7	W 18	WNW 19	WNW 16	WNW 13	W 10	WNW 10	NW 5	NW 4	WSW 9	W 2	W 4	WSW 10	205
8	WNW 18	WNW 13	W 13	W 12	W 10	SSW 5	SE 7	ESE 7	ESE 9	ESE 4	ESE 4	ESE 7	269
9	WSW 20	WSW 11	WSW 17	SW 17	SW 14	SSW 21	WSW 18	WSW 13	SW 12	W 4	SW 2	SSE 6	197
10	SSE 3	SSE 7	SSE 5	S 6	SSE 9	SSE 10	SSE 5	SE 6	SE 8	SE 5	SE 1	NNE 4	142
11	ENE 6	NNW 8	NNW 7	N 7	NNE 7	NNE 8	NW 5	NW 2	NW 4	NW 3	NW 3	NNW 2	108
12	WSW 22	W 29	W 23	WSW 24	WSW 25	WSW 12	WSW 9	W 5	W 7	W 8	WSW 12	WSW 14	244
13	W 8	W 7	SW 5	S 9	S 6	SE 7	SE 10	SE 8	SE 8	SE 10	SE 7	SE 8	248
14	WSW 19	NNE 6	SE 4	SE 9	SSE 6	SW 7	ENE 4	NW 8	NW 7	WNW 8	WNW 5	W 10	243
15	S 13	WSW 12	WSW 15	WSW 11	WSW 11	W 12	W 9	W 5	WNW 8	WNW 9	WNW 8	WNW 8	225
16	W 10	W 13	W 15	WNW 15	WNW 16	WNW 13	WNW 10	WNW 3	WNW 4	WNW 3	WNW 2	WNW 5	179
17	S 7	S 8	SSW 8	SSW 8	SSW 10	SSW 7	SSW 5	SSE 5	SSE 6	SSE 11	SE 9	SE 2	144
18	SSW 10	WSW 25	WSW 18	WNW 18	WNW 8	W 4	NW 8	NW 2	NW 3	ENE 4	E 5	E 1	140
19	NW 10	WNW 6	S 6	S 6	S 3	WNW 11	WNW 4	SSE 5	SE 5	SE 4	NW 7	NW 5	134
20	SSE 9	SSE 7	SSE 8	SSE 4	SSE 9	SSE 17	WNW 8	SSW 9	SSW 20	SW 26	SW 22	SW 19	285
21	WSW 25	WSW 35	WSW 33	WSW 29	WSW 27	WSW 29	WSW 29	WSW 29	SW 26	SW 28	SW 24	SW 29	621
22	WSW 16	W 15	WSW 12	W 10	WNW 13	WNW 9	WSW 4	SSE 6	SSE 7	S 4	S 2	S 4	298
23	SSE 5	SSE 7	S 8	SSE 10	SSE 5	SSE 5	S 4	SE 4	SE 1	SE 1	SE 1	SE 2	135
24	NE 6	N 5	ENE 5	NE 6	NE 6	ENE 7	E 5	E 6	E 2	NE 3	NE 2	NE 1	104
25	W 9	NW 7	WNW 8	NW 14	WNW 14	WNW 9	WSW 6	WNW 5	WSW 4	WSW 6	SSE 6	SW 7	156
26	NW 6	N 4	SSW 6	WNW 9	W 16	WNW 11	NW 8	WSW 10	S 5	S 5	W 3	SSE 3	206
27	NNE 9	NNE 8	ENE 7	ENE 8	ENE 7	ENE 7	ENE 8	NE 7	NE 3	NW 3	ESE 6	N 5	129
28	NNE 9	NNE 12	NNE 13	NNE 16	NE 15	NE 16	NE 19	NE 17	ESE 6	N 2	N 2	WNW 3	168
29	WSW 7	SE 5	SSE 5	SSW 8	SW 7	SSE 10	SE 16	SE 15	W 3	SSE 8	SE 9	E 8	151
30	WSW 10	WSW 17	WSW 14	WSW 14	W 13	WNW 9	NW 6	NNW 4	NNW 1	E 2	E 3	E 1	176

Oktober

1	NNE 10	NNE 9	NNW 9	N 7	N 5	NE 4	NE 6	NE 5	NE 7	NE 7	NE 4	NNW 4	116
2	NNE 10	NNE 12	ENE 11	NNE 12	NNE 11	NE 20	NE 21	NE 8	NE 7	NW 9	NW 11	NW 8	197
3	NNW 4	NW 4	NW 6	NE 5	N 5	N 4	NNE 3	NNE 1	NNE 1	NNE 0	NNE 1	NNE 1	125
4	SSE 6	SSE 7	W 20	WNW 16	WNW 9	W 7	SW 23	WSW 26	WNW 16	WSW 15	WSW 24	WSW 27	239
5	WSW 32	WSW 40	WSW 42	WSW 41	WSW 35	SW 37	SSW 33	SSW 27	SSW 19	WSW 22	SSW 28	SSW 26	742
6	W 34	WNW 33	WSW 27	WSW 32	SW 28	SSW 30	SSW 28	SW 27	SW 29	WSW 26	SW 27	WSW 28	719
7	WSW 37	WSW 40	WSW 30	WSW 28	WSW 18	W 16	SW 27	SW 34	WSW 26	WSW 24	WSW 21	WSW 23	679
8	SW 15	W 16	W 19	WSW 16	SSW 20	SSW 17	SSW 19	SW 29	SSW 29	SSW 26	SSW 34	SSW 30	430
9	W 24	WNW 21	WNW 12	WNW 8	SE 6	SE 9	SSE 9	S 15	SE 14	SSE 15	S 12	SSE 15	506
10	S 10	SSE 9	SSE 8	SSE 8	SSE 7	SE 8	SE 7	ESE 8	ESE 6	ESE 6	ENE 3	ENE 3	226
11	SSE 9	SE 6	SW 6	N 6	WNW 7	E 5	E 7	SE 8	SSE 10	SE 9	ESE 9	SE 6	141
12	E 7	S 5	SSW 5	WSW 31	SSW 19	WSW 20	WNW 38	WNW 29	WNW 13	W 13	W 11	W 7	264
13	NE 6	NNE 7	NNE 11	NNE 12	NNE 14	NE 19	NE 12	SE 5	SE 3	E 2	ENE 1	ENE 1	147
14	W 10	W 4	SSW 6	SSW 5	SSW 5	SE 4	SE 2	SE 1	SE 1	SE 1	SE 0	SE 1	76
15	WNW 12	NW 9	NW 8	NW 3	NW 3	ENE 5	ESE 4	ESE 1	N 1	N 0	N 1	N 0	90
16	WNW 5	W 3	WSW 4	S 3	S 3	SE 3	SE 0	SE 2	SE 1	SE 0	SE 0	SE 1	55
17	W 6	W 7	WNW 7	NW 6	NW 3	NW 4	NW 4	NW 1	NW 3	NW 3	ENE 1	ENE 1	71
18	NW 6	NW 4	NW 2	SW 4	S 4	SE 3	SE 1	SE 0	SE 2	SE 1	SE 1	SE 1	52
19	ESE 6	ESE 8	E 9	NW 10	ENE 5	ENE 4	NE 2	ENE 7	ENE 4	ESE 4	ESE 3	SSE 4	98
20	S 4	WSW 3	WNW 4	WNW 2	WNW 3	S 3	SE 5	SE 7	ESE 5	ESE 4	SSE 7	NW 6	113
21	WNW 4	W 4	SW 7	SSE 8	S 7	SSE 6	SE 3	ESE 4	WNW 3	NW 12	N 4	N 2	105
22	SW 10	SW 7	S 6	S 9	W 12	W 12	W 11	WNW 6	NW 9	WNW 5	WNW 7	WNW 7	239
23	SSW 4	S 7	SSE 7	SSE 7	SSE 7	SE 10	SE 8	SE 6	SE 10	SE 10	SE 9	S 10	165
24	SSW 20	SW 23	WSW 25	W 19	WSW 14	WSW 11	WSW 8	SW 12	WNW 17	WNW 15	WSW 10	SSW 6	291
25	W 15	W 26	W 22	WSW 14	WSW 13	SW 12	W 11	WSW 9	W 5	W 6	W 7	W 6	314
26	W 23	W 20	W 15	W 18	WNW 17	WNW 15	WNW 14	W 14	W 11	W 8	W 14	W 14	298
27	W 24	W 25	W 19	W 16	W 19	WSW 11	WSW 13	WSW 12	WSW 11	SW 9	SSE 15	W 8	318
28	S 13	S 11	SSW 12	SSW 12	SW 12	SSW 9	SW 11	WSW 7	WNW 4	W 2	SE 5	WNW 4	261
29	WSW 10	SSW 11	S 6	SE 8	SSE 11	SE 8	SSE 9	SSE 5	SSE 7	SSE 7	SE 8	ESE 9	201
30	WSW 14	WSW 23	SW 14	WSW 9	W 10	WNW 8	WSW 9	SW 12	SW 17	SW 17	SSW 18	SSW 17	335
31	WSW 14	WNW 9	WNW 5	WNW 4	WNW 4	WNW 3	ESE 4	ESE 2	WSW 3	W 3	SSE 5	ENE 2	214

November 1930.

$h_a = 34.5^m$.

Stündliche Aufzeichnungen des Anemometers.

Tag	Mittel	0 ³⁰ -1 ³⁰	1 ³⁰ -2 ³⁰	2 ³⁰ -3 ³⁰	3 ³⁰ -4 ³⁰	4 ³⁰ -5 ³⁰	5 ³⁰ -6 ³⁰	6 ³⁰ -7 ³⁰	7 ³⁰ -8 ³⁰	8 ³⁰ -9 ³⁰	9 ³⁰ -10 ³⁰	10 ³⁰ -11 ³⁰	11 ³⁰ -12 ³⁰
1	7.9	ENE 3	ENE 2	ENE 2	E 3	E 2	E 4	ESE 5	SE 4	SE 5	SSE 4	SSE 5	SSE 10
2	22.0	SW 28	W 19	WSW 27	SW 26	SW 31	SW 30	SW 26	SW 22	WSW 21	WSW 16	WSW 23	WSW 21
3	33.7	W 38	SW 43	SSW 43	SSW 38	SW 42	SW 47	WSW 51	WSW 49	WSW 41	WSW 36	WSW 37	WSW 39
4	7.3	NW 5	ESE 5	ENE 6	NNW 6	NNE 17	NNE 9	N 12	N 7	NW 11	NW 13	NW 7	WNW 9
5	8.5	W 9	W 8	W 16	WNW 12	WNW 9	W 14	W 13	W 14	SW 9	S 8	SSW 8	SSW 10
6	4.6	E 8	SE 2	N 5	E 3	ESE 3	ENE 3	ENE 2	ENE 2	ENE 3	ESE 5	W 4	W 4
7	14.2	SE 5	SE 1	SE 2	WNW 5	W 4	W 5	ENE 4	ENE 4	WNW 5	NW 5	SW 15	WSW 34
8	9.7	NW 8	NW 6	NW 5	NW 3	NW 2	NW 1	NW 1	NW 3	SE 6	W 9	WNW 10	WSW 10
9	4.8	SSW 9	SSW 2	SE 3	SE 3	SE 1	SE 3	SE 4	SE 2	SE 5	WNW 3	WNW 4	WNW 5
10	9.0	SE 8	SE 10	SE 10	SSE 7	SE 10	SE 12	SSE 12	SSE 15	SSE 13	S 16	S 15	WSW 12
11	15.8	SSE 2	SSE 3	W 4	SW 8	SW 9	WNW 7	W 10	W 11	W 18	WNW 26	WNW 40	WNW 27
12	5.8	WNW 7	WNW 9	WNW 2	SE 2	SE 2	SE 2	SE 4	SE 3	SE 7	W 5	SW 5	S 7
13	2.5	SE 3	SE 3	SE 2	SE 2	SE 2	SE 1	SE 0	SE 0	SE 4	SE 4	WSW 3	S 5
14	1.9	NW 2	NW 2	NW 0	NW 1	NW 1	NW 1	NW 1	NW 0	NW 2	NW 3	NW 2	NW 4
15	3.3	SE 1	SE 6	SE 1	SE 2	SE 5	SE 6	SE 1	SE 2	SE 2	SE 2	SE 2	SE 2
16	14.1	WNW 16	NW 9	WNW 5	W 8	WNW 7	NW 6	SW 14	SW 13	SSW 11	WSW 12	WSW 22	WSW 25
17	5.6	NNE 18	NNE 8	NE 1	NE 3	NE 3	NE 3	NNE 7	NNE 9	N 16	N 10	NNE 9	NW 5
18	5.7	WNW 5	WNW 8	WNW 5	NNE 8	NE 11	NE 4	NNW 3	NNW 5	W 6	WNW 6	NNW 6	ENE 9
19	21.8	SSE 9	SSE 10	SE 11	SE 16	SE 11	SSE 12	SSE 12	SSE 15	SE 9	SW 18	SSE 13	SSE 15
20	18.0	WSW 38	WSW 27	WSW 28	WSW 27	WSW 20	WSW 21	WSW 20	WNW 12	WNW 11	SSE 9	SSE 11	SW 21
21	27.7	SSW 28	SSW 30	SSW 41	SSW 39	WSW 30	WSW 53	WSW 35	WSW 27	WSW 36	WSW 31	WSW 39	SW 39
22	27.9	SW 33	SW 24	SW 29	SW 28	WSW 36	WSW 29	WSW 31	SSW 42	SSW 34	SW 20	SSE 12	SSE 10
23	34.0	SW 53	WSW 58	WSW 62	WSW 70	WSW 80	W 77	W 49	WSW 42	WSW 27	SW 31	SW 37	SW 37
24	5.1	WNW 2	WNW 1	WNW 4	WNW 2	WNW 4	WNW 2	WNW 5	WNW 6	WNW 1	WNW 3	WNW 5	WNW 4
25	20.5	WSW 10	WSW 30	WSW 33	WSW 23	WSW 28	WSW 27	SSW 21	SW 32	WSW 26	WSW 26	WSW 32	WSW 36
26	8.0	SE 6	SE 10	ESE 10	ESE 6	SW 27	SSW 26	S 10	S 7	E 7	ESE 7	SSE 6	SSE 11
27	5.2	SE 7	ESE 5	NW 4	NW 4	NNW 5	NW 10	NW 6	NW 2	NW 1	NW 4	NW 7	NW 12
28	13.0	SE 3	ESE 8	SE 11	SE 15	SE 15	S 4	SE 9	SE 20	ESE 20	E 5	WNW 10	NNW 12
29	14.2	ESE 12	ESE 20	ESE 22	SE 8	SE 14	ESE 7	SE 15	SE 4	SE 12	SE 18	S 22	S 27
30	2.8	ESE 8	ESE 3	ESE 2	ESE 1	ESE 2	ESE 1	NNW 3	NNW 2	WNW 3	WNW 1	SW 3	WNW 3

Dezember

1	3.8	N 1	N 3	NE 4	NW 3	ENE 2	NW 1	N 2	N 1	ENE 6	ENE 4	E 3	E 3
2	4.7	NNW 3	NNE 5	NNE 6	N 6	NW 3	NE 3	NNE 4	N 5	NNE 6	N 1	N 3	NNE 5
3	7.4	ESE 2	E 4	ENE 3	NE 4	ENE 3	N 10	NNE 9	N 8	N 7	N 7	N 8	N 4
4	8.4	NE 12	NNE 8	N 6	ENE 8	NE 5	ENE 3	N 5	NNE 6	N 5	NE 7	NNE 9	N 7
5	4.8	NE 14	NNW 4	N 4	N 6	N 4	NE 7	ENE 5	ENE 1	ENE 3	ENE 3	ENE 1	ENE 3
6	7.6	SE 5	SE 7	SE 5	SE 6	SSE 5	SSE 6	SSE 6	SSE 8	S 6	S 6	SSE 9	SSE 8
7	11.9	SE 8	SSE 12	SSE 15	SSE 9	S 12	S 14	SSE 13	SSE 11	SSE 15	SSE 12	SSE 13	SSE 12
8	5.3	SE 8	SE 6	SE 7	SE 7	WNW 4	N 3	NW 3	NW 2	NW 1	NW 5	SE 6	SW 5
9	8.0	WNW 4	WNW 2	WNW 5	WNW 7	WNW 4	WNW 2	WNW 8	SE 8	S 3	SSE 9	S 8	SW 3
10	9.7	WSW 14	WSW 10	WSW 10	WSW 11	SW 7	W 13	W 9	WSW 11	W 11	W 14	WSW 12	W 16
11	3.9	WNW 2	WNW 1	WNW 3	NW 1	NW 0	NW 3	E 5	NE 2	N 5	SE 6	E 8	NNW 8
12	7.5	NNE 2	NNE 1	E 3	SSE 8	SSE 8	SSE 10	SSE 12	SSE 11	SSE 12	S 9	S 13	SSE 10
13	13.2	W 5	W 3	W 0	SSW 3	ESE 4	SSE 7	SSE 6	SE 10	SSE 12	SSE 11	SSE 9	SSE 11
14	16.5	SW 33	SW 27	SW 22	SW 32	SW 24	SW 17	SW 21	SW 24	SSW 22	SSW 21	SSE 20	S 13
15	5.7	SSW 8	S 4	S 5	S 5	S 3	S 2	S 2	S 3	SE 1	SE 4	WNW 2	N 7
16	6.0	WNW 5	WNW 5	N 6	N 5	N 3	NNE 6	NNE 2	NNE 3	NNW 2	NE 3	E 6	ENE 9
17	4.7	E 2	ENE 4	ENE 1	ENE 3	NE 8	NE 9	ENE 6	NE 6	NE 6	NE 7	E 8	E 7
18	5.4	ENE 5	E 5	SE 2	ESE 7	SE 4	E 4	ENE 4	N 5	NNE 5	N 5	E 7	ENE 10
19	4.2	E 2	E 2	N 3	WNW 3	WNW 1	ENE 6	NNW 2	NNW 5	NNE 5	E 2	NNE 5	ENE 3
20	5.0	WNW 5	N 5	NW 9	NNE 4	SW 1	WNW 6	NW 6	NW 6	WNW 4	NW 3	ENE 10	N 10
21	4.5	NW 2	NW 2	NNE 1	NNE 1	S 3	ENE 5	NE 7	N 5	NE 6	ENE 5	N 6	NE 7
22	6.3	N 5	N 6	N 6	NE 10	NE 5	N 2	N 6	N 5	N 5	NNW 8	NE 6	NE 7
23	5.3	ENE 4	N 4	ENE 7	ENE 7	ENE 4	ENE 6	E 5	E 5	ENE 5	ENE 4	ENE 5	ENE 7
24	9.0	WNW 5	WNW 5	NW 6	WSW 8	WSW 7	SSW 9	SSW 9	SSW 10	S 11	SSW 13	SSW 13	SSW 13
25	5.6	W 4	W 3	WSW 5	W 9	W 6	WNW 3	N 9	NE 5	SE 10	SE 8	SSE 6	S 7
26	9.1	ESE 5	ESE 5	ESE 2	SE 2	SE 1	SE 3	SE 8	SE 4	SE 7	SSE 7	SSW 3	SW 5
27	15.0	WSW 30	SSW 30	SW 31	WSW 24	WSW 22	W 16	NW 10	W 9	WNW 7	WNW 9	SW 18	SW 18
28	9.3	ESE 10	SE 7	SSE 5	ESE 5	SSE 6	SE 7	SE 7	WNW 12	W 11	SW 17	S 14	SSW 10
29	9.6	ESE 3	WNW 2	N 2	N 7	NW 11	WNW 6	NNW 4	WNW 4	NNW 6	NW 4	WNW 8	NW 9
30	8.4	E 9	WSW 14	NW 7	NNW 3	WSW 6	W 3	W 4	WSW 11	WNW 6	WSW 13	WSW 18	WSW 16
31	16.3	SE 10	SE 15	SE 10	SSE 8	SE 6	SE 10	S 5	S 8	NW 7	SW 15	SE 11	SSE 9

Windrichtung und Geschwindigkeit (Kilometer pro Stunde).

November

Zürich

Tag	12 ⁰⁰ -13 ⁰⁰	13 ⁰⁰ -14 ⁰⁰	14 ⁰⁰ -15 ⁰⁰	15 ⁰⁰ -16 ⁰⁰	16 ⁰⁰ -17 ⁰⁰	17 ⁰⁰ -18 ⁰⁰	18 ⁰⁰ -19 ⁰⁰	19 ⁰⁰ -20 ⁰⁰	20 ⁰⁰ -21 ⁰⁰	21 ⁰⁰ -22 ⁰⁰	22 ⁰⁰ -23 ⁰⁰	23 ⁰⁰ -0 ⁰⁰	Summe
1	WSW 17	WSW 15	SW 17	S 12	SE 8	SE 5	SE 9	SSE 11	SSE 9	SSE 11	SE 11	SSE 16	190
2	WSW 34	SSW 22	SSW 17	WSW 17	S 9	SE 7	S 7	S 8	WSW 29	WSW 42	SSW 28	SW 19	528
3	WSW 30	WSW 44	WSW 36	WSW 41	WSW 33	WSW 36	WSW 32	WSW 22	WSW 10	SW 8	W 8	ENE 5	809
4	W 10	W 10	SW 8	W 4	S 7	SSW 5	WNW 3	WSW 2	SW 4	SW 4	W 6	SW 4	174
5	SSW 7	SSE 8	S 5	ENE 8	ENE 11	ENE 8	NE 4	E 8	E 1	E 2	E 4	ESE 8	204
6	WNW 4	SE 9	S 7	SE 7	SE 4	SE 8	SSE 8	SE 9	SE 6	SE 3	SE 1	SE 1	111
7	WSW 31	SSW 32	SW 37	WSW 20	WSW 18	WSW 21	W 18	WNW 21	WNW 24	WNW 16	WNW 10	W 7	340
8	SW 18	SSW 18	SW 17	WSW 16	WSW 17	WSW 17	WSW 11	SSW 15	SSW 10	S 15	SSW 10	SSW 4	232
9	W 7	W 10	SSW 7	S 7	S 3	WNW 12	NW 9	NW 3	NW 2	NW 3	S 7	SE 6	116
10	WSW 10	SSW 9	S 10	S 10	S 9	SSE 8	SSE 3	SSE 5	SSE 2	SSE 3	W 2	SSE 6	217
11	WNW 28	W 18	WSW 16	W 22	W 14	W 24	W 22	W 20	W 11	W 10	W 14	W 15	379
12	WNW 11	WNW 11	SSE 9	SSE 9	SSE 7	SSE 8	SE 7	SE 2	SE 5	SE 5	SE 6	SE 4	140
13	S 6	SSW 4	SW 4	SW 3	SW 3	NW 1	NW 1	NW 0	NW 2	NW 1	NW 2	NW 2	61
14	NW 4	NW 5	WSW 4	WSW 4	WSW 0	WSW 3	SE 3	SE 0	SE 1	SE 1	SE 1	SE 1	46
15	SE 2	SE 4	S 1	S 2	WNW 5	WNW 6	NW 4	W 5	WNW 1	SSE 3	WNW 6	NW 14	79
16	WSW 29	WSW 26	WSW 24	WSW 24	WSW 19	W 17	NW 13	NW 10	NW 5	NW 4	NW 5	NNE 14	338
17	NE 4	NNW 7	NNW 5	WNW 3	NE 4	NE 1	NE 1	NE 1	NNW 2	NNW 5	NW 2	WNW 7	134
18	ENE 9	NNW 7	N 4	N 6	NE 8	NE 6	NE 4	NE 2	NNW 2	NNW 3	S 4	SSE 6	137
19	SSW 17	SW 27	WSW 26	WSW 25	WSW 19	WSW 31	WSW 35	WSW 34	WSW 46	WSW 38	WSW 35	WSW 39	523
20	S 17	SSE 16	SSE 15	SSE 13	SSE 15	SSE 12	SSE 12	SSE 5	SSE 4	SW 17	WSW 33	SSW 28	432
21	SW 39	SW 39	WSW 40	SW 28	SW 27	SSW 8	SSE 6	SE 5	SE 8	SE 9	SSE 12	SW 15	664
22	SSE 11	SW 20	SSW 20	WSW 25	WSW 30	WSW 46	SW 38	SSW 30	SSW 25	SW 24	SW 25	SW 47	669
23	WSW 32	WSW 32	WSW 36	WSW 23	WSW 16	SSW 12	SW 13	WSW 8	SSW 7	S 5	S 5	WNW 4	816
24	WNW 3	WNW 5	S 5	S 8	S 15	SSE 11	E 9	NE 5	E 3	E 5	ESE 7	SSW 8	123
25	WSW 33	WSW 37	WSW 31	WSW 9	NW 5	E 7	ESE 7	SE 10	ESE 13	ESE 6	ESE 5	SE 5	492
26	SSW 4	SSW 4	SSW 4	NW 9	NNW 6	NW 13	NNW 4	NNW 3	E 2	WNW 2	WNW 2	SSE 6	192
27	NW 9	NW 6	NW 4	NW 3	E 6	ESE 4	ESE 5	N 4	ESE 4	E 4	N 3	WNW 3	125
28	NW 14	SSW 12	SSE 17	SE 24	N 15	NE 17	NE 12	SSW 5	E 9	ESE 25	E 23	ESE 12	313
29	SSE 25	SE 18	SSE 14	SSW 15	SW 18	WNW 31	WNW 19	ENE 8	S 7	NW 5	NW 3	NW 6	341
30	WNW 3	W 2	W 3	SSE 1	W 3	SE 3	NNW 5	NNW 2	NNW 1	NNW 1	NNW 8	ESE 3	67

Dezember

1	NW 4	WNW 5	NW 6	N 6	N 4	N 2	N 4	N 7	N 6	NNE 3	NNE 6	NNE 4	90
2	N 9	NNE 8	N 5	N 5	N 3	NNE 6	N 4	ENE 5	E 5	E 8	ENE 2	E 3	113
3	N 6	N 7	N 5	N 6	N 7	N 6	N 9	NE 14	NE 15	NE 14	NNE 9	NE 10	177
4	NNE 6	N 7	N 7	N 6	N 6	NNE 6	NE 9	NE 12	NE 13	NE 14	NE 18	NE 17	202
5	ESE 6	SSW 9	S 8	S 6	S 2	S 2	S 2	S 1	S 2	S 4	SSE 9	SE 8	114
6	SSE 9	SSE 7	SSE 10	SSE 8	SSE 9	SSE 7	SE 8	SE 11	SE 10	SE 10	SE 7	SE 10	183
7	SSE 13	SSE 14	SSE 11	SSE 13	SSE 14	SE 12	SE 11	SE 14	SE 11	SE 11	SE 9	SE 7	286
8	W 9	WNW 8	WSW 7	WSW 5	WNW 9	NW 7	NW 7	WNW 3	WNW 5	WNW 3	WNW 3	WNW 5	128
9	SE 6	SW 6	S 9	SW 17	W 18	WNW 9	WNW 10	WNW 6	WNW 4	WNW 3	WSW 13	WSW 23	187
10	W 16	WNW 15	W 17	W 10	WSW 9	W 6	W 5	SW 6	W 5	WNW 4	WNW 1	WNW 1	233
11	N 7	ENE 11	ENE 8	E 3	N 4	E 3	E 1	E 2	E 1	E 2	NW 6	NW 2	94
12	SSE 9	SSE 6	SSW 8	ESE 4	WSW 8	NW 13	WNW 8	WSW 4	NW 8	NW 7	WNW 1	SW 6	181
13	SSE 10	SSE 8	SE 9	SSE 11	SSE 12	SSW 17	SW 32	W 28	SSW 21	WSW 24	WSW 27	WSW 36	316
14	SSW 9	SW 8	WSW 13	WNW 11	WNW 5	WSW 12	SW 18	SW 15	SSE 9	SW 9	WNW 5	SSE 6	396
15	NW 10	N 9	N 7	N 5	N 7	N 10	N 13	N 14	N 2	NNW 5	NNW 3	NNW 5	136
16	ENE 7	N 8	ENE 11	NE 11	NE 18	NE 16	ENE 5	ENE 1	WNW 4	WNW 2	SE 3	E 2	143
17	E 4	E 4	NE 5	N 4	ENE 3	ENE 4	ENE 5	ENE 3	ENE 4	E 4	ESE 3	ESE 3	113
18	N 8	N 7	ENE 6	ESE 5	ESE 4	ENE 8	ENE 7	ENE 5	E 4	E 6	E 5	E 2	130
19	N 8	N 8	N 6	SW 4	W 5	WNW 4	NNW 3	N 4	NE 4	N 6	W 4	N 6	101
20	N 7	N 8	E 7	ENE 4	N 4	N 3	NNW 4	WNW 3	NW 4	NW 3	WNW 2	WNW 2	120
21	NE 4	E 4	NE 5	E 5	ENE 3	ENE 3	N 5	N 5	NNW 7	N 6	N 6	N 4	107
22	ENE 7	ENE 6	ENE 9	NE 6	ENE 10	ENE 8	ENE 8	N 6	N 4	NE 6	ENE 7	ENE 3	151
23	ENE 6	ENE 8	ENE 8	ENE 6	NE 5	NNE 4	NE 4	NNE 4	NNE 4	N 3	N 5	NNW 7	127
24	SSW 11	SSW 11	WSW 9	WSW 12	WSW 10	WSW 10	WSW 11	SW 8	SW 7	SW 8	SSW 8	W 6	217
25	SSE 7	SE 5	SSE 6	SE 6	SE 6	SSW 4	SSW 4	SSE 4	SE 6	SE 5	SE 6	SE 5	134
26	W 2	WSW 3	W 8	S 6	SSE 8	SSE 8	SE 5	SE 4	SSW 20	SW 34	WSW 31	WSW 39	219
27	SW 20	SW 16	S 13	S 12	SSE 9	SSE 12	SE 11	SE 11	SE 12	SE 5	ESE 4	SE 10	359
28	S 8	S 8	WSW 18	SSW 13	S 11	SE 5	SSE 7	SSE 8	SE 11	SE 10	ESE 7	ESE 6	223
29	E 8	WNW 4	SSE 3	WNW 6	WNW 13	W 23	SSW 23	SW 29	SSW 19	WNW 14	WNW 13	WSW 10	231
30	WSW 13	WSW 12	SW 9	SW 4	W 2	SSE 5	SSE 6	SE 5	SE 9	SE 8	SE 10	SE 9	202
31	SE 6	WSW 2	WNW 4	SSW 9	W 25	SW 35	SSW 36	SSW 30	SSW 30	SSW 33	SSW 33	SW 35	392

1930

Häufigkeit der 16 Windrichtungen (in Stunden).

Zürich

	N	NNE	NE	ENE	E	ESE	SE	SSE	S	SSW	SW	WSW	W	WNW	NW	NNW	Galton	Summe
Januar	7	12	7	14	5	2	19	224	52	40	26	39	63	42	107	71	14	744
Februar	43	84	103	71	16	16	13	16	93	18	14	28	5	22	41	48	41	672
März	21	46	40	40	17	22	24	55	67	45	49	77	41	59	52	63	26	744
April	32	18	79	90	12	23	21	51	55	48	34	47	34	97	30	33	16	720
Mai	25	8	39	14	44	2	2	33	90	19	43	103	77	121	76	28	20	744
Juni	51	28	56	43	64	29	34	43	44	29	14	14	31	37	93	62	48	720
Juli	36	32	18	6	24	4	52	46	54	40	48	76	61	54	136	37	20	744
August	39	44	21	14	33	13	73	22	42	37	29	65	63	90	94	35	30	744
September	14	29	42	24	27	32	86	67	39	25	36	75	71	80	38	24	11	720
Oktober	17	20	22	26	15	27	87	64	37	63	41	99	84	69	49	5	19	744
November	10	9	19	17	20	32	94	57	35	44	59	113	49	66	66	23	7	720
Dezember	100	31	44	67	40	18	74	68	37	32	39	44	33	64	34	17	2	744
Summe	395	361	490	426	317	220	579	746	645	440	432	780	612	801	816	446	254	8760
id. in %	4.5	4.1	5.6	4.9	3.6	2.5	6.6	8.5	7.4	5.0	4.9	8.9	7.0	9.2	9.3	5.1	2.9	100%

Mittlere Windgeschwindigkeit (Meter in der Sekunde).

	N	NNE	NE	ENE	E	ESE	SE	SSE	S	SSW	SW	WSW	W	WNW	NW	NNW	Mittel
Januar 31 Tage	1.8	0.8	4.4	3.2	3.1	2.2	1.3	1.0	1.5	1.8	4.3	8.0	2.4	2.1	1.1	1.0	—
Februar 28 »	1.4	2.0	2.9	2.0	1.9	1.0	0.8	2.0	1.4	2.2	4.4	6.2	2.7	1.5	1.5	1.3	—
März 31 »	2.2	1.9	1.5	1.3	1.6	1.5	1.6	1.9	1.7	2.3	3.4	5.8	3.3	3.4	1.6	1.2	—
April 30 »	1.9	2.5	2.0	2.0	2.5	1.1	1.1	2.4	2.0	2.3	2.1	4.8	3.7	2.0	1.6	2.1	—
Mai 31 »	1.5	2.8	2.7	1.3	1.2	1.0	4.2	1.9	2.0	2.9	4.1	4.4	3.9	2.7	2.8	2.4	—
Juni 30 »	1.5	2.0	3.1	2.8	1.4	1.9	1.2	1.7	2.4	2.2	2.3	1.6	1.5	2.2	2.3	1.7	—
Juli 31 »	2.0	1.6	1.4	1.4	1.5	1.7	1.1	2.3	1.7	2.6	3.3	4.8	3.9	4.0	3.1	2.3	—
August 31 »	1.3	1.8	2.6	1.9	1.0	1.5	1.5	1.9	2.2	2.9	3.4	5.8	4.9	3.1	2.2	1.6	—
Septemb. 30 »	1.5	2.8	2.2	1.5	1.4	1.2	1.5	1.6	1.8	2.5	4.5	4.4	2.5	2.4	1.6	1.3	—
Oktober 31 »	1.2	1.8	2.1	0.8	1.0	1.2	1.2	2.3	2.5	4.8	4.4	6.0	3.7	2.6	1.6	1.5	—
Novemb. 30 »	2.3	3.1	1.4	1.5	1.6	2.2	1.7	2.6	2.5	4.8	6.2	7.7	3.6	2.3	1.4	1.2	—
Dezemb. 31 »	1.6	1.4	2.3	1.5	1.2	1.3	2.1	2.6	1.9	4.2	4.6	4.0	2.7	1.4	1.5	1.3	—
Mittel	1.7	2.0	2.4	1.8	1.6	1.5	1.6	2.0	2.0	3.0	3.9	5.3	3.2	2.5	1.9	1.6	—

Monatsmittel der Windgeschwindigkeit (Meter in der Sekunde).

	1 ^h	2	3	4	5	6	7	8	9	10	11	12	13	14	15	16	17	18	19	20	21	22	23	24 ^h	Mittel
Januar 31 Tage	2.1	2.1	2.0	2.1	1.9	1.8	2.0	2.1	1.9	1.9	2.1	2.1	2.0	2.0	2.1	2.0	1.6	1.4	1.3	1.2	1.2	1.4	1.5	1.9	1.8
Febr. 28 »	2.1	1.8	1.5	1.7	1.5	1.4	1.4	1.8	2.0	1.8	2.0	2.3	2.6	2.7	2.9	2.6	2.2	2.1	1.9	1.8	1.8	1.6	2.0	2.0	2.0
März 31 »	1.8	1.7	1.7	2.0	1.6	1.6	1.6	1.7	1.8	2.0	3.0	3.2	3.4	3.4	3.4	3.3	3.1	3.4	2.6	2.5	2.2	2.0	2.0	2.0	2.4
April 30 »	1.7	1.5	1.4	1.8	1.8	1.4	1.5	1.8	1.9	2.0	2.7	2.7	2.9	3.2	3.3	3.1	3.2	3.1	2.9	2.7	2.4	1.9	1.6	1.8	2.2
Mai 31 »	2.4	2.1	1.8	1.5	1.8	1.8	2.1	2.4	2.5	3.1	3.2	3.4	3.4	3.7	3.9	4.0	4.1	3.7	3.4	3.9	2.8	2.8	2.1	2.8	2.8
Juni 30 »	1.1	1.1	0.9	0.8	0.7	0.6	0.8	1.1	1.4	1.8	2.1	2.4	2.5	2.9	3.3	3.0	3.0	2.8	2.7	2.7	2.7	2.2	1.5	1.2	1.9
Juli 31 »	1.6	1.9	1.8	1.7	1.8	1.9	1.8	2.4	2.8	2.8	3.2	3.5	3.8	3.9	4.0	3.7	4.8	4.1	3.0	2.7	2.5	2.3	2.1	1.9	2.7
Aug. 31 »	1.9	1.6	1.7	1.7	1.8	1.7	1.6	2.1	2.6	2.9	3.3	3.5	3.8	3.4	3.9	3.6	3.7	3.4	2.7	2.9	2.7	2.5	2.3	2.0	2.6
Sept. 30 »	2.0	2.1	1.8	1.9	2.0	1.7	1.6	1.8	1.9	2.1	2.4	2.8	3.2	3.3	3.2	3.3	3.0	2.7	2.3	2.0	1.8	1.7	1.6	1.8	2.3
Okt. 31 »	2.4	2.5	2.7	2.6	2.6	2.5	2.6	2.7	2.8	3.2	3.4	3.7	3.6	3.7	3.4	3.4	3.0	2.9	3.1	3.0	2.6	2.5	2.7	2.5	2.9
Nov. 30 »	3.5	3.4	3.7	3.5	3.9	3.9	3.6	3.5	3.4	3.8	3.8	4.8	4.9	4.4	4.1	3.7	3.9	3.6	3.0	2.4	2.4	2.6	2.7	2.9	3.5
Dez. 31 »	2.0	1.9	1.8	2.0	1.8	1.8	1.8	1.9	1.9	2.2	2.4	2.4	2.8	2.2	2.8	2.0	2.3	2.4	2.6	2.4	2.4	2.5	2.4	2.6	2.2
Mittel d. 365 Tage	2.0	2.0	1.9	1.9	1.9	1.8	1.9	2.1	2.2	2.4	2.6	3.0	3.1	3.2	3.3	3.1	3.1	3.0	2.6	2.5	2.3	2.1	2.0	2.1	2.4

1930

Weg in Kilometern.

Zürich

	N	NNE	NE	ENE	E	ESE	SE	SSE	S	SSW	SW	WSW	W	WNW	NW	NNW	Summe
Januar	46	33	111	159	56	16	89	798	274	259	398	1126	548	312	405	243	4873
Februar	214	597	1064	506	108	55	39	114	468	145	221	622	49	116	227	229	4774
März	167	320	219	188	100	123	142	370	411	367	599	1602	483	730	291	273	6385
April	222	161	557	649	107	88	86	441	395	394	263	804	459	691	176	254	5747
Mai	139	80	373	64	192	7	30	232	663	197	631	1615	1083	1161	754	244	7473
Juni	283	202	618	425	313	193	146	262	381	234	115	83	171	292	780	380	4878
Juli	255	185	88	30	127	24	205	373	331	379	571	1309	866	771	1507	304	7325
August	180	284	194	94	120	69	392	154	336	312	357	1351	1103	1008	742	198	6974
September	73	298	326	129	134	137	464	387	249	221	583	1178	647	685	213	110	5834
Oktober	72	126	167	78	55	119	382	526	334	1092	657	2143	1115	656	278	27	7827
November	82	99	94	89	115	251	564	543	312	762	1325	3133	638	551	331	103	8992
Dezember	559	153	370	356	173	85	553	628	250	488	646	624	325	335	181	79	5805
Summe	2292	2538	4183	2767	1600	1167	3092	4828	4404	4930	6366	15590	7493	7308	5585	2441	76887
id. in %	2.8	3.3	5.5	3.6	2.1	1.5	4.0	6.3	5.7	6.4	8.3	20.3	9.5	9.5	7.7	3.2	100%

Maximale Geschwindigkeit (Meter in der Sekunde).

	N	NNE	NE	ENE	E	ESE	SE	SSE	S	SSW	SW	WSW	W	WNW	NW	NNW	Mittel
Januar 31 Tage	2.5	1.4	6.7	8.1	4.2	2.8	3.3	3.1	3.6	7.5	11.7	18.1	9.4	3.9	3.9	2.8	
Februar 28 "	5.6	5.3	11.1	5.8	4.4	1.9	1.9	3.1	3.6	6.9	8.9	10.0	5.0	6.9	3.6	3.3	
März 31 "	4.2	5.0	5.3	5.6	4.2	2.8	3.1	3.9	6.4	8.1	8.6	13.9	10.8	9.2	5.3	3.6	
April 30 "	3.3	4.4	5.0	6.7	6.4	3.1	3.3	5.8	7.2	5.0	8.1	10.3	8.3	8.6	5.0	3.9	
Mai 31 "	3.1	3.9	6.1	6.4	2.8	1.7	5.0	5.0	5.3	5.3	9.7	10.8	8.9	10.3	7.8	3.3	
Juni 30 "	4.2	4.2	8.6	7.8	5.0	5.3	3.1	7.8	8.3	6.1	5.3	4.4	4.2	6.1	10.6	4.7	
Juli 31 "	8.3	3.3	3.6	2.8	2.5	2.2	2.5	6.1	3.6	8.6	9.2	10.0	10.0	11.1	9.2	6.4	
August 31 "	3.3	3.3	7.5	3.1	2.8	2.8	3.9	4.4	5.0	9.4	8.9	14.7	12.2	13.1	9.2	3.9	
Septemb. 30 "	2.8	6.1	6.4	2.2	5.6	3.1	4.4	4.7	3.6	5.6	8.3	9.7	8.1	8.6	3.9	3.1	
Oktober 31 "	2.5	3.9	5.6	3.1	2.5	2.5	3.9	4.2	7.8	9.4	10.3	11.7	11.1	10.6	3.3	2.5	
Novemb. 30 "	4.4	5.0	4.7	3.1	6.4	6.9	6.7	6.9	7.5	11.9	14.7	22.2	21.4	11.1	3.9	3.3	
Dezemb. 31 "	3.9	2.5	5.0	3.1	2.5	2.8	4.2	5.6	3.9	10.0	9.7	10.8	7.8	4.2	3.6	2.2	
Jahr	8.3	6.1	11.1	8.1	6.4	6.9	6.7	7.8	8.3	11.9	14.7	22.2	21.4	13.1	10.6	6.4	

Monatsmittel der Windgeschwindigkeit (Kilometer in der Stunde).

	1 ^h	2	3	4	5	6	7	8	9	10	11	12	13	14	15	16	17	18	19	20	21	22	23	24 ^h	Mittel
Jan. 31 Tage	7.6	7.5	7.1	7.6	6.8	6.6	7.0	7.8	6.8	6.8	7.6	7.5	7.3	7.2	7.5	7.3	5.4	4.9	4.7	4.8	4.4	5.2	5.3	7.0	6.5
Febr. 28 "	7.6	6.4	5.4	6.1	5.6	5.0	5.2	6.4	7.0	6.6	7.1	8.1	9.8	9.9	10.8	9.2	7.8	7.6	6.9	6.5	6.5	5.7	7.1	7.2	7.1
März 31 "	6.4	6.2	6.2	7.1	5.9	5.6	5.8	6.0	6.8	7.1	10.9	11.4	12.3	12.2	12.4	11.8	11.2	12.1	10.2	8.9	8.1	7.2	7.8	7.3	8.6
April 30 "	6.2	5.3	4.9	4.9	4.8	5.0	5.2	6.4	6.9	7.3	9.6	9.7	10.5	11.4	11.8	11.1	11.5	11.1	10.3	9.8	8.6	6.9	5.8	6.5	8.0
Mai 31 "	8.6	7.5	6.8	5.8	5.8	6.5	7.7	8.6	9.1	11.0	11.7	12.3	12.3	13.2	13.9	14.3	14.0	13.5	12.1	11.8	10.3	8.3	7.7	8.1	10.0
Juni 30 "	4.0	3.9	3.2	2.9	2.6	2.0	3.0	3.8	5.2	6.5	7.5	8.7	9.1	10.5	11.8	10.9	10.8	10.1	9.6	9.6	9.6	7.8	5.5	4.8	6.8
Juli 31 "	5.8	7.0	6.6	6.1	6.4	6.8	6.6	8.7	9.9	10.1	11.4	12.8	13.8	14.1	14.5	13.8	15.5	14.8	10.9	9.5	9.0	8.5	7.7	6.5	9.8
Aug. 31 "	6.8	5.7	6.1	5.9	6.7	5.9	5.7	7.6	9.3	10.4	11.8	12.5	12.0	12.1	14.1	13.1	13.4	12.8	9.8	10.3	9.6	8.5	8.3	7.1	9.4
Sept. 30 "	7.3	7.5	6.3	6.8	7.1	6.2	5.8	6.4	6.8	7.5	8.6	10.2	11.4	11.7	11.6	11.9	10.9	9.9	8.4	7.2	6.6	6.2	5.7	6.5	8.1
Okt. 31 "	8.5	8.8	9.7	9.4	9.4	8.8	9.8	9.5	10.1	11.6	12.3	13.6	13.0	13.3	12.4	12.2	10.8	10.5	11.4	10.6	9.3	9.1	9.7	9.0	10.5
Nov. 30 "	12.4	12.2	13.2	12.6	14.1	14.2	12.9	12.7	12.4	11.9	13.8	15.6	15.8	15.9	14.8	13.3	11.8	12.9	10.6	8.8	8.6	9.8	9.6	10.5	12.5
Dez. 31 "	7.3	6.8	6.5	7.2	5.9	6.5	6.4	6.9	7.0	7.7	8.6	8.5	8.2	7.8	8.8	7.4	8.1	8.7	9.2	8.8	8.6	8.8	8.6	9.4	7.8
Mittel d. 365 Tage	7.4	7.1	6.8	6.9	6.8	6.6	6.7	7.6	8.1	8.7	10.1	10.8	11.2	11.6	12.0	11.9	11.0	10.7	9.5	8.8	8.3	7.6	7.4	7.5	8.8

Januar 1930

Stündliche Lufttemperaturen

h_i = 7.0^m

Säntis

Tag	1 ⁰⁰	2 ⁰⁰	3 ⁰⁰	4 ⁰⁰	5 ⁰⁰	6 ⁰⁰	7 ⁰⁰	8 ⁰⁰	9 ⁰⁰	10 ⁰⁰	11 ⁰⁰	12 ⁰⁰	13 ⁰⁰	14 ⁰⁰	15 ⁰⁰	16 ⁰⁰	17 ⁰⁰	18 ⁰⁰	19 ⁰⁰	20 ⁰⁰	21 ⁰⁰	22 ⁰⁰	23 ⁰⁰	0 ⁰⁰	Tagesmittel
1	-10.3	-10.9	-10.7	-11.0	-11.5	-12.0	-12.6	-12.4	-11.9	-11.8	-11.8	-11.9	-12.2	-12.6	-13.8	-14.0	-14.1	-14.0	-13.7	-13.8	-13.0	-12.9	-12.1	-11.0	-12.23
2	-10.9	-9.1	-8.5	-8.0	-7.6	-7.3	-7.0	-6.6	-6.9	-6.0	-5.6	-5.5	-5.4	-5.6	-5.8	-6.2	-6.4	-6.7	-6.8	-6.8	-6.9	-6.8	-6.7	-6.7	-6.85
3	-6.8	-7.1	-7.6	-8.2	-8.7	-9.0	-9.8	-9.9	-9.2	-9.2	-9.0	-8.3	-8.2	-7.7	-7.8	-7.8	-7.8	-5.4	-5.0	-4.8	-4.0	-3.8	-3.4	-3.8	-7.07
4	-3.4	-3.6	-3.7	-3.8	-3.7	-3.7	-3.9	-3.5	-2.7	-2.5	-2.4	-2.0	-1.6	-1.7	-2.4	-3.0	-2.8	-2.8	-2.9	-3.1	-3.0	-3.0	-3.2	-3.4	-2.96
5	-3.8	-3.2	-3.2	-3.2	-3.2	-3.2	-3.2	-2.8	-1.7	-1.8	-1.8	-1.6	-2.0	-1.9	-2.8	-3.0	-3.8	-3.7	-4.8	-4.6	-4.8	-4.9	-4.9	-4.8	-3.17
6	-4.5	-4.6	-4.9	-5.0	-5.3	-5.3	-5.4	-5.0	-4.4	-4.0	-3.5	-3.5	-3.4	-3.7	-4.0	-4.0	-4.2	-4.4	-4.5	-4.8	-4.7	-5.0	-4.8	-4.8	-4.60
7	-4.7	-4.5	-4.8	-5.0	-5.0	-4.9	-5.0	-4.8	-4.4	-4.0	-3.5	-4.0	-4.2	-4.5	-4.7	-5.0	-5.0	-5.0	-5.0	-4.8	-4.5	-4.8	-5.0	-5.4	-4.71
8	-5.8	-6.0	-6.1	-6.5	-6.9	-7.2	-7.0	-6.2	-5.1	-5.1	-5.0	-4.9	-4.8	-4.8	-4.7	-4.5	-4.7	-4.8	-4.9	-4.8	-4.9	-4.7	-4.5	-4.6	-5.36
9	-4.6	-4.9	-4.5	-4.9	-5.2	-5.4	-5.3	-5.8	-5.0	-6.8	-7.5	-6.8	-6.9	-6.2	-6.8	-6.8	-6.1	-5.7	-5.9	-6.0	-6.8	-6.9	-6.7	-6.8	-5.94
10	-6.9	-6.7	-6.7	-6.8	-6.7	-6.9	-6.8	-7.0	-6.9	-5.9	-5.1	-5.0	-5.0	-5.8	-5.4	-6.2	-6.4	-6.1	-6.8	-6.9	-7.2	-6.4	-6.8	-7.5	-6.40
11	-8.2	-8.9	-9.2	-9.4	-9.6	-9.7	-9.8	-8.8	-7.9	-5.6	-6.0	-5.8	-5.4	-5.4	-6.0	-7.0	-7.0	-7.0	-7.1	-7.8	-8.0	-8.5	-8.7	-8.8	-7.87
12	-9.1	-10.2	-10.4	-10.4	-10.9	-11.0	-11.0	-11.6	-12.0	-12.2	-12.8	-12.7	-13.0	-13.1	-13.7	-14.2	-14.3	-14.0	-13.5	-11.0	-7.5	-6.8	-5.6	-5.2	-11.07
13	-5.8	-5.4	-5.2	-5.6	-5.5	-5.2	-5.5	-6.1	-6.2	-6.4	-6.6	-7.0	-7.8	-7.2	-7.9	-8.1	-8.8	-8.4	-7.2	-5.8	-4.5	-4.2	-4.0	-3.9	-6.14
14	-4.0	-4.2	-4.3	-4.0	-3.8	-3.6	-3.5	-3.2	-2.7	-2.5	-2.0	-1.8	-1.5	-1.1	-1.0	-1.1	-1.8	-1.5	-1.5	-1.0	-0.6	-1.0	-1.4	-1.5	-2.36
15	-1.5	-1.6	-1.6	-1.7	-1.7	-1.6	-1.5	-1.8	-1.9	-2.0	-1.7	-1.8	-2.8	-3.4	-3.6	-3.8	-3.1	-3.0	-3.1	-3.2	-3.6	-3.6	-3.6	-3.9	-2.50
16	-4.8	-5.9	-6.5	-6.9	-7.0	-6.8	-7.0	-7.0	-7.0	-7.2	-7.4	-7.5	-7.5	-7.7	-8.0	-8.2	-8.5	-8.5	-8.5	-8.5	-8.4	-8.3	-8.2	-8.1	-7.47
17	-8.0	-8.0	-7.4	-6.8	-6.2	-5.8	-5.2	-4.8	-3.9	-3.1	-2.8	-2.5	-2.0	-2.0	-2.1	-2.0	-2.0	-1.9	-1.7	-1.8	-1.0	-1.8	-1.6	-1.6	-3.66
18	-0.9	-1.1	-1.0	-1.5	-0.5	-0.8	-1.2	-0.8	1.0	1.2	1.3	1.2	1.3	0.9	-0.8	-1.0	-0.9	-1.7	-1.9	-2.0	-1.6	-1.8	-2.0	-2.8	-0.75
19	-2.5	-2.9	-2.8	-2.0	-1.7	-1.5	-1.8	-1.0	-0.7	-0.4	-0.4	-0.4	-0.6	-0.8	0.0	0.5	0.6	0.4	0.2	0.0	0.0	0.6	-1.1	-1.4	-0.85
20	-1.5	-2.0	-2.0	-2.1	-2.4	-2.6	-2.8	-2.7	-2.4	-2.0	-1.8	-1.8	-2.0	-2.1	-2.0	-2.0	-2.4	-2.8	-2.0	-1.8	-2.0	-2.0	-2.8	-2.2	-2.16
21	-2.1	-2.8	-2.7	-2.5	-2.8	-2.8	-3.0	-2.6	-2.0	-1.6	-1.3	-0.5	0.2	0.0	-0.8	-1.6	-1.9	-1.7	-2.0	-1.9	-1.6	-1.6	-1.2	-1.8	-1.75
22	-2.8	-2.1	-2.5	-3.0	-3.1	-3.1	-3.1	-2.7	-2.0	-1.4	-1.2	-1.2	-1.2	-1.0	-1.6	-1.6	-2.8	-3.0	-3.2	-3.1	-3.1	-3.1	-3.5	-3.6	-2.49
23	-3.6	-3.6	-3.8	-3.8	-3.2	-3.1	-3.0	-2.8	-2.8	-2.6	-2.4	-1.8	-1.2	-1.9	-2.0	-3.6	-3.9	-4.0	-4.6	-4.5	-4.8	-4.4	-4.6	-4.7	-3.80
24	-4.8	-5.0	-5.7	-6.1	-6.8	-6.5	-6.4	-5.9	-5.5	-5.4	-5.0	-5.0	-4.8	-5.2	-6.1	-7.0	-7.1	-6.9	-7.1	-6.9	-7.5	-7.6	-7.1	-7.4	-6.21
25	-6.9	-6.8	-5.6	-5.4	-5.6	-5.8	-5.1	-2.5	-2.0	-1.7	-2.1	-2.6	-3.2	-3.6	-4.1	-4.0	-4.1	-4.8	-4.5	-4.5	-4.5	-4.6	-4.2	-4.0	-4.22
26	-4.1	-4.5	-4.6	-4.8	-4.6	-4.8	-4.8	-3.7	-2.8	-2.8	-2.5	-2.8	-3.2	-2.8	-2.8	-3.0	-3.0	-3.4	-3.8	-3.0	-2.9	-3.4	-3.8	-3.7	-3.41
27	-4.1	-4.8	-4.8	-4.8	-4.2	-4.0	-3.8	-3.1	-2.4	-2.1	-2.1	-2.1	-2.0	-2.0	-2.7	-2.8	-3.8	-3.8	-3.9	-3.7	-3.6	-3.6	-3.8	-3.0	-3.21
28	-3.0	-3.1	-3.2	-3.0	-2.9	-2.6	-1.8	-1.8	-1.9	-1.9	-1.8	-1.6	-1.5	-1.6	-1.5	-1.5	-2.5	-3.5	-4.8	-5.0	-6.1	-6.8	-6.5	-6.0	-3.08
29	-6.1	-5.9	-6.1	-6.4	-6.8	-6.5	-5.8	-5.8	-5.0	-4.6	-4.6	-4.5	-4.8	-4.9	-4.9	-5.9	-5.7	-5.7	-5.7	-5.5	-5.5	-5.6	-5.2	-5.9	-5.55
30	-6.1	-6.5	-6.8	-7.1	-7.9	-7.8	-7.9	-8.5	-9.4	-9.8	-9.8	-10.2	-9.8	-9.0	-9.1	-10.2	-10.6	-10.5	-10.0	-10.5	-10.4	-10.1	-10.0	-10.8	-8.96
31	-9.8	-10.5	-10.8	-10.8	-10.9	-11.2	-11.0	-10.4	-10.4	-9.6	-9.5	-10.2	-11.0	-11.0	-10.8	-11.2	-11.0	-11.8	-11.9	-12.0	-12.0	-11.0	-11.0	-10.3	-10.38
M	-5.16	-5.80	-5.41	-5.46	-5.51	-5.52	-5.44	-5.15	-4.79	-4.50	-4.42	-4.84	-4.20	-4.46	-4.82	-5.11	-5.26	-5.92	-5.85	-5.22	-5.09	-5.11	-5.09	-5.08	-5.05

Februar 1930

Zürich

Tag	1 ⁰⁰	2 ⁰⁰	3 ⁰⁰	4 ⁰⁰	5 ⁰⁰	6 ⁰⁰	7 ⁰⁰	8 ⁰⁰	9 ⁰⁰	10 ⁰⁰	11 ⁰⁰	12 ⁰⁰	13 ⁰⁰	14 ⁰⁰	15 ⁰⁰	16 ⁰⁰	17 ⁰⁰	18 ⁰⁰	19 ⁰⁰	20 ⁰⁰	21 ⁰⁰	22 ⁰⁰	23 ⁰⁰	0 ⁰⁰	Tagesmittel	
1	-11.0	-10.8	-10.0	-9.9	-9.8	-9.7	-9.1	-9.0	-8.9	-8.8	-9.5	-9.4	-7.2	-6.0	-7.2	-9.2	-9.5	-9.6	-10.2	-9.9	-9.2	-9.0	-9.7	-10.8	-9.50	
2	-10.5	-9.9	-10.7	-9.9	-10.0	10.2	-10.8	-10.9	-8.0	-9.0	-8.6	-9.8	-6.2	-7.6	-8.7	-9.0	-10.8	-10.5	-10.6	-11.0	-11.0	-10.8	-11.0	-11.0	-7.8	-10.45
3	-10.0	-11.0	-10.5	-11.4	-11.7	11.2	-10.8	-10.5	-11.0	-9.4	-8.8	-9.8	-10.0	-10.0	-10.8	-11.2	-11.6	-12.0	-12.0	-11.8	-11.9	-11.0	-11.1	-11.1	-10.80	
4	-10.1	-10.0	-10.0	-9.5	-9.0	-8.6	-8.5	-9.0	-9.1	-9.2	-9.2	-9.0	-8.2	-8.7	-9.0	-9.5	-9.8	-9.7	-9.7	-10.0	-10.6	-10.9	-11.0	-11.2	-9.58	
5	-11.8	-11.6	-11.2	-10.8	-10.6	11.2	-12.1	-11.9	-10.7	-10.0	-8.6	-8.5	-8.8	-9.0	-9.7	-10.4	-9.5	-9.9	-9.8	-9.8	-10.6	-11.2	-11.4	-11.4	-10.44	
6	-10.9	-10.9	-10.2	-9.8	-9.7	-8.6	-10.2	-8.0	-8.7	-9.8	-9.4	-9.0	-8.9	-8.9	-9.9	-10.2	-11.0	-11.2	11.2	-11.8	-11.5	-11.8	-12.1	-12.4	-10.19	
7	-12.4	-12.8	-12.2	-12.1	-12.0	-11.9	-11.8	-11.8	-11.7	-11.4	-11.2	-11.5	-11.4	-11.9	-12.4	-12.8	-13.1	-13.5	13.5	-13.5	-13.5	-13.5	-13.6	-13.7	-12.44	
8	-13.9	-13.6	-13.5	-13.6	-13.8	-13.8	-13.2	-12.8	-12.0	-11.5	-11.0	-10.4	-10.4	-10.5	-10.8	-10.8	-10.7	11.0	-11.7	-12.0	-12.0	-12.0	-12.0	-12.1	-12.11	
9	-12.6	-12.8	-11.8	-12.0	-12.0	-11.8	-11.4	-10.9	-10.8	-10.8	-10.5	-10.8	-10.8	-10.8	-10.7	-10.5	-10.2	10.8	10.8	-10.4	-10.6	-10.6	10.6	10.6	-10.98	
10	-10.4	-10.5	-10.9	-11.1	-11.0	-11.1	-11.2	-10.6	-9.2	-8.2	-8.5	-7.8	-7.3	-7.0	-7.8	-8.0	-8.5	-8.8	-8.9	-8.2	-7.8	-7.0	-6.4	-6.8	-8.85	
11	-7.0	-6.5	-5.8	-5.9	-6.9	-6.9	-7.0	-6.6	-5.7	-5.4	-5.5	-5.6	-5.8	-5.6	-6.0	-6.1	-5.6	-5.7	-6.4	-6.0	-6.0	-5.8	-5.7	-5.8	-6.09	
12	-6.0	-6.0	-5.8	-5.0	-4.0	-5.1	-5.2	-5.3	-4.7	-4.2	-3.5	-3.6	-2.7	-2.4	-2.8	-2.0	-2.8	-2.6	-2.6	-3.0	-3.5	-3.2	-3.2	-3.0	-3.80	
13	-3.0	-3.4	-3.7	-4.0	-3.8	-3.9	-3.8	-2.0	-1.6	-1.1	-1.2	-1.0	0.2	-0.8	-1.7	-3.9	-3.9	-4.0	-4.2	-4.8	-4.8	-4.4	-4.4	-4.6	-2.09	
14	-5.2	-5.1	-5.3	-5.7	-6.6	-6.3	-6.5	-6.5	-5.1	-5.0	-5.4	-4.9	-4.9	-4.9	-5.8	-5.8	-6.0	-6.1	-7.6	-8.0	-9.8	-9.0	-9.5	-9.7	-6.44	
15	-1.8	-10.9	-11.0	-11.0	-9.9	-9.7	-9.5	-9.9	-9.8	-9.4	-10.1	-10.0	-9.5	-10.6	-10.2	-10.1	-10.1	-10.9	-10.7	-11.0	-11.0	-11.0	-11.0	-11.0	-11.1	-10.27
16	-11.0	-11.0	-11.2	-10.7	-10.9	-13.6	-13.5	-14.0	-13.8	-13.8	-14.0	-13.5	-14.0	-14.8	-13.0	-15.0	-15.5	-12.6	-14.2	-15.2	-15.8	-16.2	-16.2	-16.4	-13.77	
17	-16.6	-16.8	-16.7	-17.0	-17.3	-17.3	-17.4	-17.0	-16.7	-16.5	-16.4	-15.8	-15.4	-15.0	-14.8	-13.5	-12.7	-12.0	-11.8	-11.7	-11.2	-11.0	-11.2	-11.3	-14.66	
18	-11.8	-11.9	-11.7	-11.2	-10.5	-9.4	-9.2	-9.6	-9.0	-8.9	-8.8	-8.6	-7.9	-8.6	-8.8	-8.8	-9.5	-9.8	-9.9	-9.0	-9.0	-9.8	-9.2	-9.9	-9.49	
19	-9.1	-9.4	-9.2	-9.0	-8.7	-8.5	-8.2	-8.0	-7.8	-7.9	-8.1	-7.8	-7.0	-7.7	-7.8	-9.2	-9.2	-9.5	-9.7	-9.9	-10.0	-10.1	-10.8	-10.8	-8.86	
20	-10.8	-11.0	-11.0	-11.6	-11.7	-11.8																				

März 1930

Stündliche Lufttemperaturen

h_r = 7.0^m

Säntis

Tage	1 ³⁰	2 ³⁰	3 ³⁰	4 ³⁰	5 ³⁰	6 ³⁰	7 ³⁰	8 ³⁰	9 ³⁰	10 ³⁰	11 ³⁰	12 ³⁰	13 ³⁰	14 ³⁰	15 ³⁰	16 ³⁰	17 ³⁰	18 ³⁰	19 ³⁰	20 ³⁰	21 ³⁰	22 ³⁰	23 ³⁰	24 ³⁰	Tagesmittel	
1	-6.7	-5.8	-6.6	-6.5	-7.0	-6.5	-6.2	-5.6	-5.3	-4.8	-3.8	-3.7	-3.3	-3.2	-3.8	-3.4	-3.4	-3.8	-3.7	-4.0	-3.0	-4.0	-3.8	-4.0	-4.0	-4.04
2	-4.0	-3.9	-3.8	-3.7	-3.5	-3.8	-3.2	-2.8	0.0	0.5	0.8	0.6	-0.1	-0.6	-0.7	-0.8	-0.5	0.2	0.5	1.0	1.1	1.7	1.3	1.3	1.7	0.01
3	0.5	0.7	0.7	0.6	0.3	0.0	-0.1	0.5	0.8	1.4	1.6	1.7	1.6	1.1	0.3	-0.2	-0.4	-0.8	-1.3	-1.7	-1.8	-1.8	-1.7	-1.7	-1.7	0.07
4	-1.7	-1.6	-1.6	-1.7	-2.0	-1.9	-2.0	-1.9	-1.5	-1.0	-1.0	-0.9	-0.8	-1.4	-2.3	-3.8	-3.9	-4.0	-4.4	-4.9	-5.6	-5.5	-5.6	-5.7	-5.7	-2.74
5	-5.9	-5.8	-5.9	-6.1	-6.0	-6.0	-6.0	-5.5	-5.0	-4.0	-3.9	-4.6	-4.4	-4.5	-4.6	-4.7	-5.0	-5.1	-5.0	-5.5	-5.2	-5.4	-5.6	-5.9	-5.23	
6	-5.3	-5.1	-5.0	-4.6	-4.0	-3.5	-3.2	-2.8	-2.6	-2.2	-1.7	-0.7	-0.7	-1.0	-1.7	-1.2	-1.5	0.0	0.0	0.7	1.0	0.6	-0.1	-0.2	-1.88	
7	0.1	-0.4	-0.4	-0.6	-1.7	-2.3	-2.4	-2.1	-1.9	-1.6	-3.3	-4.7	-5.2	-5.1	-5.6	-6.5	-8.1	-8.2	-8.0	-8.4	-8.5	-8.6	-8.7	-8.5	-8.5	-4.62
8	-8.9	-9.3	-9.3	-9.6	-9.3	-9.6	-9.8	-8.7	-8.4	-8.6	-8.3	-8.0	-7.9	-7.8	-8.8	-9.0	-9.0	-9.6	-10.1	-9.8	-8.9	-8.5	-8.6	-8.6	-8.6	-8.03
9	-8.3	-7.5	-7.2	-6.8	-6.6	-6.1	-3.3	-3.2	-3.1	-3.3	-3.0	-2.7	-1.8	-2.8	-4.2	-5.4	-5.9	-6.0	-5.6	-5.5	-5.0	-4.8	-4.7	-4.6	-4.6	-4.92
10	-4.6	-1.8	-4.6	-4.5	-4.5	-4.1	-3.4	-2.5	-1.6	-1.0	-0.8	-0.6	-0.2	-0.5	-1.0	-1.4	-2.0	-2.9	-4.5	-5.0	-5.0	-6.0	-7.8	-8.9	-3.37	
11	-9.0	-9.6	-9.8	-10.0	-10.2	-10.6	-11.6	-11.6	-11.7	-11.4	-10.7	-11.6	-12.1	-12.3	-12.3	-13.0	-15.0	-14.5	-14.8	-14.4	-14.5	-14.0	-13.8	-13.5	-12.17	
12	-14.5	-15.0	-14.7	-14.8	-15.1	-15.2	-15.5	-15.1	-13.5	-13.8	-13.7	-11.1	-12.2	-11.8	-13.0	-12.9	-12.1	-13.5	-14.0	-14.0	-14.0	-13.0	-13.3	-13.4	-13.72	
13	-13.8	-13.4	-13.7	-14.0	-14.2	-14.3	-14.2	-14.0	-13.5	-13.2	-12.6	-12.3	-12.0	-11.8	-11.8	-11.8	-11.8	-11.6	-11.9	-11.2	-11.1	-11.0	-10.9	-10.7	-12.51	
14	-10.5	-10.0	-9.5	-8.8	-8.4	-7.1	-6.0	-5.0	-5.4	-5.1	-4.7	-4.4	-4.4	-4.7	-5.0	-5.5	-5.7	-5.7	-5.8	-6.2	-6.3	-6.3	-6.3	-6.3	-6.3	-6.33
15	-6.3	-6.1	-6.0	-6.0	-6.0	-5.8	-5.5	-4.9	-4.4	-4.1	-3.5	-2.8	-2.5	-2.6	-3.0	-3.8	-4.0	-4.5	-5.4	-6.9	-8.2	-8.4	-8.4	-8.4	-5.30	
16	-8.5	-8.6	-9.0	-9.6	-9.9	-10.0	-10.0	-9.8	-8.7	-6.8	-6.5	-5.6	-4.5	-4.9	-5.7	-6.9	-6.5	-7.3	-8.2	-8.5	-8.5	-8.7	-8.8	-8.9	-7.89	
17	-9.0	-9.1	-9.3	-9.2	-9.2	-9.5	-9.5	-9.0	-7.0	-5.1	-4.0	-3.3	-3.2	-3.4	-4.0	-4.4	-4.6	-4.5	-4.4	-4.3	-4.2	-4.2	-4.1	-4.1	-5.94	
18	-4.1	-4.1	-4.0	-3.9	-3.8	-3.7	-3.4	-3.3	-3.4	-3.6	-4.4	-4.4	-5.3	-5.8	-6.0	-6.4	-6.8	-6.8	-6.7	-6.6	-6.5	-6.6	-6.7	-7.0	-5.18	
19	-7.9	-8.7	-8.7	-8.7	-8.7	-8.7	-8.5	-8.3	-8.1	-8.3	-8.7	-8.7	-9.0	-9.1	-9.6	-9.8	-9.8	-10.5	-12.0	-12.8	-12.9	-12.7	-12.1	-12.1	-9.60	
20	-12.1	-11.9	-11.7	-11.9	-11.6	-11.5	-11.7	-11.7	-11.1	-11.8	-13.0	-12.2	-13.0	-13.7	-13.6	-14.0	-14.1	-14.3	-14.5	-14.5	-14.5	-14.1	-14.1	-14.1	-12.95	
21	-13.0	-11.2	-10.3	-11.5	-13.5	-12.0	-8.6	-6.0	-5.1	-4.2	-3.9	-3.8	-3.6	-3.9	-5.4	-5.5	-5.5	-5.1	-5.0	-4.9	-4.8	-4.7	-4.5	-4.6	-6.70	
22	-4.7	-4.8	-5.1	-5.2	-5.3	-5.6	-5.6	-5.5	-4.5	-3.0	-2.8	-2.6	-2.4	-2.6	-2.9	-3.2	-4.0	-4.0	-4.0	-4.0	-3.9	-3.8	-3.5	-3.5	-4.05	
23	-3.6	-3.9	-3.6	-3.3	-3.0	-2.9	-2.8	-2.1	-1.8	-0.4	-0.2	-0.2	-0.2	-0.6	-0.9	-1.6	-2.4	-3.6	-4.1	-4.2	-4.5	-4.6	-4.9	-4.8	-2.62	
24	-4.4	-4.7	-5.0	-4.5	-4.5	-4.7	-3.8	-3.8	-3.9	-3.6	-3.4	-2.4	-2.2	-2.6	-3.0	-3.8	-3.4	-3.8	-3.8	-3.6	-3.4	-3.8	-3.4	-3.5	-3.63	
25	-3.8	-4.0	-4.5	-4.6	-4.6	-4.5	-4.4	-4.4	-4.2	-3.8	-3.6	-3.8	-3.0	-3.0	-3.1	-3.3	-3.8	-3.5	-3.6	-3.7	-3.8	-4.0	-4.0	-3.9	-3.85	
26	-4.0	-4.1	-4.2	-4.5	-4.9	-4.6	-4.5	-3.9	-3.8	-2.5	-1.5	-0.8	-0.8	-1.5	-4.0	-5.0	-5.8	-5.9	-6.5	-7.1	-7.0	-7.1	-7.6	-8.8	-4.59	
27	-9.9	-10.0	-9.9	-9.8	-10.0	-10.3	-10.1	-9.8	-7.7	-5.5	-5.4	-5.0	-4.7	-5.0	-5.8	-5.5	-5.6	-6.0	-6.2	-6.3	-6.9	-6.2	-6.1	-6.1	-7.17	
28	-6.2	-5.9	-6.0	-5.0	-3.9	-3.7	-2.3	-1.9	-1.8	-1.7	-1.8	-1.0	-1.0	-1.1	-1.8	-1.4	-1.6	-2.0	-2.0	-2.0	-2.0	-2.0	-2.0	-2.0	-2.83	
29	-2.1	-2.3	-2.3	-2.2	-2.0	-1.9	-1.5	-1.6	-1.6	-1.5	-1.6	-2.0	-3.0	-3.9	-4.0	-5.0	-5.0	-4.6	-5.8	-5.5	-6.5	-6.8	-6.7	-7.8	-3.59	
30	-7.0	-7.2	-6.8	-6.9	-7.0	-7.1	-7.5	-8.0	-7.7	-7.0	-6.9	-7.1	-7.0	-6.7	-6.8	-7.3	-7.8	-8.0	-8.2	-8.6	-9.0	-9.0	-9.0	-9.0	-7.32	
31	-9.1	-9.4	-9.4	-8.5	-6.2	-3.0	-1.2	-1.2	-1.7	-2.4	-2.8	-3.0	-2.9	-2.8	-2.8	-3.0	-3.5	-4.2	-4.5	-4.5	-4.6	-4.4	-4.0	-4.0	-4.25	
M.	-6.72	-6.67	-6.68	-6.66	-6.65	-6.46	-6.06	-5.65	-5.13	-4.38	-4.61	-4.24	-4.25	-4.48	-4.95	-5.36	-5.70	-5.86	-6.12	-6.33	-6.41	-6.42	-6.48	-6.55	-5.79	

April 1930

Säntis

Tage	1 ³⁰	2 ³⁰	3 ³⁰	4 ³⁰	5 ³⁰	6 ³⁰	7 ³⁰	8 ³⁰	9 ³⁰	10 ³⁰	11 ³⁰	12 ³⁰	13 ³⁰	14 ³⁰	15 ³⁰	16 ³⁰	17 ³⁰	18 ³⁰	19 ³⁰	20 ³⁰	21 ³⁰	22 ³⁰	23 ³⁰	24 ³⁰	Tagesmittel
1	-4.0	-4.2	-4.5	-4.5	-4.5	-4.5	-4.5	-4.5	-4.6	-4.8	-3.7	-2.4	-1.3	-1.5	-1.4	-1.3	-1.9	-3.0	-3.5	-3.9	-3.5	-3.4	-3.0	-2.6	-3.88
2	-2.5	-2.0	-1.8	-1.7	-1.6	-1.4	-1.0	-0.6	-0.4	0.0	0.5	0.5	0.3	0.4	1.1	1.4	1.3	0.8	0.4	0.1	0.0	-0.5	-0.6	-0.6	-0.97
3	0.0	0.6	0.7	1.0	1.1	1.2	1.0	0.7	0.4	0.0	0.1	0.4	-0.4	-0.6	-1.8	0.0	-0.3	-0.8	-1.6	-1.9	-2.5	-2.8	-2.7	-2.6	0.97
4	-2.7	-3.1	-3.6	-3.7	-3.8	-3.6	-3.6	-4.0	-4.4	-4.2	-3.8	-4.3	-4.6	-4.3	-4.5	-4.3	-5.2	-6.0	-7.0	-6.9	-7.1	-7.8	-7.1	-6.9	-4.83
5	-7.2	-7.3	-7.0	-7.0	-6.9	-6.6	-6.5	-6.3	-5.5	-4.9	-4.5	-3.5	-4.5	-4.0	-4.6	-4.8	-5.1	-6.1	-7.5	-7.3	-6.0	-5.7	-5.2	-6.0	-5.85
6	-6.6	-6.8	-7.1	-7.4	-7.4	-7.3	-6.9	-6.5	-6.7	-5.5	-5.0	-5.2	-5.2	-5.4	-5.0	-5.0	-5.3	-5.8	-6.6	-6.6	-6.3	-6.5	-7.0	-6.6	-6.24
7	-6.8	-6.7	-6.7	-6.7	-6.5	-6.0	-5.3	-5.0	-4.8	-4.3	-3.9	-3.1	-3.2	-2.9	-4.0	-4.9	-4.4	-4.5	-4.9	-4.8	-5.0	-5.5	-6.0	-6.3	-5.68
8	-6.5	-6.6	-6.9	-7.0	-7.1	-7.0	-6.1	-6.0	-5.5	-6.6	-7.7	-9.2	-5.0	-5.2	-4.8	-5.8	-6.2	-6.3	-6.4	-6.4	-6.8	-6.8	-7.0	-7.5	-6.39
9	-7.9	-7.7	-7.5	-7.6	-7.5	-7.3	-5.8	-5.9	-4.7	-4.5	-4.5	-4.0	-4.5	-4.3	-4.1	-3.8	-4.0	-4.8	-4.5	-5.6	-5.8	-6.0	-5.8	-5.8	-5.36
10	-6.1	-6.1	-6.0	-6.0	-5.9	-5.6	-5.3	-5.1	-4.8	-4.0	-3.5	-3.2	-2.6	-2.7	-3.0	-3.2	-3.8	-4.4	-5.0	-5.5	-5.3	-5.3	-5.2	-5.2	-4.70
11	-5.4	-5.6	-5.4	-5.4	-5.6	-5.5	-5.4	-5.0	-4.5	-3.8	-3.0	-2.9	-2.5	-2.5	-2.6	-3.3	-3.5	-3.4	-3.9	-4.9	-4.3	-4.5	-4.5	-4.4	-4.21
12	-4.4	-4.5	-4.3	-4.5	-4.2	-3.8	-3.3	-2.9	-2.4	-1.8	-1.0	-0.5	-0.2	-0.1	0.0	0.0	-0.6	-0.9	-2.0	-2.2	-2.8	-3.0	-3.1	-2.80	
13	-2.8	-3.0	-3.1	-3.1	-3.0	-2.8	-2.6	-2.3	-1.7	-1.3	-0.9	-0.3	0.0	-0.8	-0.6	-2.5	-3.7	-4.2	-4.7	-4.9	-5.0	-5.0	-4.5	-4.5	-2.40
14	-4.7	-5.5	-6.8	-7.0	-7.2	-7.3	-7.8	-7.9	-7.4	-7.3	-7.5	-7.3	-7.0	-7.0	-6.6	-7.8	-7.6	-8.0	-8.1	-9.5	-9.0	-8.5	-9.6	-7.61	
15	-9.4	-9.3	-10.0	-10.4	-10.7	-10.9	-9.0	-8.0	-8.2	-7.8	-7.8	-8.0	-7.8	-8.0	-9.5	-9.4	-9.0	-9.8	-10.6	-10.6	-9.8	-10.1	-9.9	-9.5	-9.29
16	-8.7	-9.0	-9.1	-9.3	-9.7	-10.0	-10.0	-9.5	-9.6	-9.0	-9.1	-9.5	-9.4	-9.6	-9.7	-10.0	-10.2	-10.3	-10.4	-10.4	-10.3	-10.2	-10.1	-10.1	-9.72
17	-10.0	-9.9	-9.7	-9.5	-9.3	-9.3	-9.3	-10.0	-10.1	-10.0	-9.7	-9.5	-9.8	-9.2	-9.3	-9.5	-9.6	-9.7	-10.0	-10.1	-10.0	-9.8	-9.6	-9.3	-9.65
18	-9.0	-8.3	-7.8	-7.4	-7.4	-7.7	-8.7	-7.7	-6.6	-6.0	-5.9	-5.3	-5.0	-5.8	-6.6	-7.3	-7.7	-8.2	-8.6	-8.9	-9.1	-9.4	-9.4	-9.4	-7.61
19	-9.2	-9.0	-8.5	-8.6	-8.2	-7.7	-7.0	-6.6	-6.4	-4.8	-4.1	-3.6	-5.0	-4.9	-5.1	-6.5	-7.1	-7.3	-7.9	-7.5	-7.0	-7.4	-7.2	-7.2	-6.86
20	-7.0	-6.5	-7.6	-6.7	-6.6	-6.5	-6.2	-5.4	-6.0	-4.6	-4.9	-5.2	-4.5	-3.8	-3.5	-3.5	-3.6	-3.6	-3.9	-4.5	-6.8	-6.4	-6.8	-6.0	-5.40
21	-6.2	-6.2	-7.1	-7.																					

Mai 1930

Stündliche Lufttemperaturen

$h_t = 7.0^m$

Säntis

Tag	1 ³⁰	2 ³⁰	3 ³⁰	4 ³⁰	5 ³⁰	6 ³⁰	7 ³⁰	8 ³⁰	9 ³⁰	10 ³⁰	11 ³⁰	12 ³⁰	13 ³⁰	14 ³⁰	15 ³⁰	16 ³⁰	17 ³⁰	18 ³⁰	19 ³⁰	20 ³⁰	21 ³⁰	22 ³⁰	23 ³⁰	0 ³⁰	Tages- mittel	
1	-5.6	-5.6	-5.6	-5.3	-4.1	-3.4	-2.0	-2.0	-1.4	-1.8	-1.0	-1.4	-1.7	-1.7	-1.5	-2.0	-2.7	-3.3	-3.2	-3.8	-4.0	-3.2	-2.6	-2.8	-3.00	
2	-2.5	-2.5	-2.3	-2.1	-2.1	-1.4	-0.2	-0.1	0.5	1.0	1.4	2.0	2.1	1.1	0.5	0.5	-0.1	-0.9	-1.2	-1.8	-1.5	-1.5	-1.8	-2.0	-1.61	
3	-2.1	-2.3	-2.3	-2.3	-2.5	-2.6	-2.7	-2.6	-2.3	-2.0	-1.8	-1.8	-1.9	-2.3	-2.4	-2.2	-2.2	-2.3	-2.6	-2.6	-2.6	-2.6	-2.6	-2.7	-2.84	
4	-2.8	-3.0	-3.4	-2.7	-2.4	-2.2	-2.0	-1.1	-1.3	-1.0	-0.4	0.0	0.2	0.2	0.1	0.0	-0.4	-1.1	-1.3	-1.9	-2.0	-1.7	-1.5	-1.2	-1.37	
5	-1.2	-1.3	-1.4	-1.0	0.9	1.8	2.2	2.2	2.5	3.4	3.2	3.2	3.2	2.8	0.0	-0.4	-0.4	-0.6	-1.6	-1.7	-2.0	-2.2	-2.9	-3.1	0.21	
6	-3.0	-2.0	-2.4	-2.1	-1.6	-1.2	-1.0	-0.6	0.7	1.4	2.1	2.5	2.4	1.5	1.1	1.0	0.9	0.1	-0.7	-0.9	-1.0	-1.0	-1.0	-1.3	-0.30	
7	-1.4	-1.2	-1.0	-0.4	-1.0	-0.6	-0.4	0.2	0.6	0.8	1.5	1.7	2.4	1.9	-0.2	-1.0	-1.5	-1.6	-2.3	-2.9	-3.0	-3.1	-3.2	-3.4	-0.60	
8	-3.8	-3.8	-4.0	-4.6	-5.0	-5.8	-6.0	-6.0	-6.0	-6.0	-6.1	-6.2	-6.4	-6.3	-6.2	-6.0	-6.1	-6.6	-7.9	-8.0	-8.0	-8.1	-8.2	-8.4	-6.23	
9	-8.7	-9.1	-9.8	-10.2	-10.8	-10.4	-10.5	-10.2	-9.8	-8.2	-7.6	-8.0	-8.5	-8.5	-8.7	-9.0	-9.3	-9.6	-9.5	-9.2	-9.0	-9.0	-9.0	-9.0	-10.22	
10	-9.0	-9.0	-9.0	-8.9	8.7	-8.3	-8.2	-8.0	-7.6	-6.1	-5.6	-5.3	-5.2	-5.3	-5.1	-5.0	-5.2	-5.9	-6.1	-6.2	-6.2	-6.0	-5.9	-5.8	-6.73	
11	-5.7	-5.6	-5.5	-5.4	-5.1	-4.5	-3.5	-3.4	-3.3	-3.0	-2.9	-2.9	-3.0	-3.1	-3.3	-4.0	-4.7	-5.0	-5.1	-5.6	-6.0	-6.2	-6.4	-6.5	-4.54	
12	-6.5	-6.7	-6.8	-6.9	-7.0	-7.1	-6.8	-6.3	-6.1	-6.0	-5.9	-5.4	-5.0	-5.1	-5.5	-6.0	-6.8	-6.6	-4.8	-6.9	-7.0	-7.0	-7.1	-7.4	-6.42	
13	-7.5	-7.6	-7.4	-7.9	-8.1	-8.0	-8.0	-7.5	-6.0	-5.0	-4.7	-4.6	-4.0	-3.7	-3.2	-3.0	-3.0	-3.1	-3.2	-3.0	-2.8	-2.4	-2.1	-1.9	-4.92	
14	-1.7	-1.6	-1.6	-1.5	-1.5	-1.5	-1.5	-1.4	-1.3	-1.0	-0.7	-0.8	0.0	0.0	0.0	2.5	2.0	1.0	0.0	-1.0	-1.5	-2.6	-2.6	-3.0	-0.76	
15	-3.1	-3.0	-3.6	-3.4	-3.4	-3.9	-4.0	-4.0	-3.4	-3.0	-2.8	-3.2	-3.0	-3.0	-3.0	-3.0	-3.0	-3.1	-3.0	-3.8	-3.0	-3.0	-2.9	-2.6	-3.23	
16	-2.8	-2.7	-2.6	-2.8	-3.2	-3.1	-2.4	-1.4	-1.0	-1.0	-1.6	-1.0	-1.0	-0.9	-0.8	0.0	0.0	-0.5	-0.7	-1.0	-1.6	-1.7	-1.9	-2.0	-1.34	
17	-2.0	-1.9	-1.8	-1.7	-1.5	-0.9	0.0	0.9	1.3	2.0	2.6	3.5	4.0	3.9	3.0	2.0	1.7	1.1	1.0	1.0	0.9	0.8	0.8	0.9	0.91	
18	1.1	1.3	1.6	1.9	2.0	2.1	2.6	2.6	2.5	3.0	3.1	3.9	3.6	3.7	4.0	4.2	4.1	4.0	2.0	1.9	1.0	-0.3	-2.3	-3.7	2.03	
19	-3.8	-5.8	-6.0	-6.0	-6.1	-6.8	-7.0	-7.2	-7.8	-6.0	-5.0	-5.9	-5.6	-6.0	-7.2	-7.6	-7.8	-8.0	-7.7	-8.0	-7.4	-7.4	-7.7	-8.0	-6.73	
20	-7.1	-8.1	-8.3	-7.1	-4.9	-3.8	-3.8	-4.0	-3.8	-3.0	-2.8	-2.0	-2.0	-2.1	-3.0	-3.6	-3.5	-3.5	-3.6	-3.7	-4.0	-4.0	-3.5	-4.3	-4.13	
21	-4.3	-4.0	-4.0	-5.0	-4.2	-4.7	-3.8	-2.8	-1.2	-0.6	-1.5	-1.9	-2.0	-1.5	-1.8	-1.6	-1.7	-2.5	-3.2	-3.2	-2.8	-2.9	-2.1	-2.1	-2.80	
22	-2.8	-3.0	-3.1	-3.0	-1.5	-0.4	0.0	-0.3	-0.2	0.0	0.0	0.0	0.2	0.2	0.3	1.2	1.0	-0.2	-0.8	-1.0	-1.0	-1.1	-1.1	-1.1	-0.74	
23	-1.0	-1.1	-1.3	-1.6	-1.6	-1.7	-1.8	-2.2	-2.1	-2.0	-1.8	-0.9	0.0	0.3	1.0	1.4	0.0	-0.8	-2.1	-2.9	-3.0	-3.0	-3.1	-3.4	-1.44	
24	-3.8	-4.2	-4.0	-3.0	-1.9	-2.0	-2.0	-2.0	-1.8	-1.4	-0.4	0.0	0.0	-0.1	-0.4	-2.6	-2.7	-2.8	-2.9	-3.0	-3.2	-3.4	-4.0	-3.9	-2.81	
25	-3.8	-3.8	-3.7	-3.5	-3.1	-3.1	-3.0	-2.0	-1.0	0.0	0.4	0.8	1.2	1.4	1.5	1.4	0.5	-0.4	-1.0	-1.7	-1.8	-1.1	-1.0	-1.3	-1.17	
26	-2.0	-2.1	-1.6	-1.1	-1.0	0.6	1.0	1.1	1.2	1.0	0.8	1.7	1.3	1.2	-0.5	-1.0	-1.3	-1.8	-2.0	-1.7	-1.4	-1.7	-1.8	-1.8	-0.67	
27	-1.9	-1.8	-1.8	-2.1	-2.5	-2.4	-2.0	-1.3	-0.7	0.8	1.8	2.7	3.2	3.1	2.6	2.2	2.0	1.6	0.8	0.8	0.2	0.1	0.2	0.2	0.2	0.22
28	0.8	0.6	1.1	1.4	1.9	2.7	3.0	3.8	5.0	5.6	5.9	6.0	5.8	5.1	4.0	3.0	3.0	2.5	2.0	2.0	2.0	1.9	2.1	2.1	3.07	
29	2.4	2.4	2.2	2.2	2.6	3.0	3.2	3.2	3.7	3.6	4.8	4.7	5.8	6.9	7.0	7.8	7.8	7.5	6.8	5.8	5.6	5.5	5.4	5.3	4.78	
30	5.2	5.7	5.4	5.2	6.2	7.2	7.6	8.2	8.3	8.6	9.0	9.2	9.0	9.1	9.4	9.4	9.0	8.0	7.1	6.1	5.0	4.4	4.1	4.0	7.19	
31	3.7	3.6	3.1	3.2	5.0	6.0	6.2	6.2	6.2	6.2	5.9	6.0	6.6	7.6	8.0	7.8	8.0	5.9	5.0	4.3	4.0	3.7	2.5	2.3	5.28	
M.	-2.81	-2.91	-2.07	-2.84	-2.45	-2.15	-1.84	-1.55	-1.12	-0.63	-0.89	-0.13	0.05	-0.01	-0.32	-0.82	-0.69	-1.17	-1.89	-2.02	-2.16	-2.20	-2.40	-2.31	-1.58	

Juni 1930

Säntis

Tag	1 ³⁰	2 ³⁰	3 ³⁰	4 ³⁰	5 ³⁰	6 ³⁰	7 ³⁰	8 ³⁰	9 ³⁰	10 ³⁰	11 ³⁰	12 ³⁰	13 ³⁰	14 ³⁰	15 ³⁰	16 ³⁰	17 ³⁰	18 ³⁰	19 ³⁰	20 ³⁰	21 ³⁰	22 ³⁰	23 ³⁰	0 ³⁰	Tages- mittel
1	1.6	1.3	1.2	1.0	1.0	1.7	2.0	2.7	3.6	4.5	5.0	5.6	6.2	5.8	5.3	5.0	4.3	4.2	3.7	3.2	3.0	3.0	2.7	2.4	3.33
2	2.5	2.3	2.0	1.9	2.0	3.3	6.4	7.4	8.2	8.8	8.9	8.0	7.6	7.4	7.0	6.6	6.1	5.2	4.1	3.5	3.3	3.2	3.5	3.5	5.82
3	3.7	3.8	3.8	3.9	4.3	6.0	7.2	7.1	7.4	8.0	8.4	9.2	9.5	9.8	9.1	6.0	4.8	4.0	4.2	4.0	3.4	3.0	2.8	2.4	5.69
4	2.4	2.4	2.3	2.4	2.7	4.2	6.1	7.0	7.9	8.5	8.5	8.4	8.3	8.0	8.0	8.8	8.5	7.1	5.8	5.0	4.9	4.8	4.3	4.3	6.02
5	4.5	4.9	4.3	4.7	8.0	9.2	11.2	11.0	10.7	10.5	10.2	9.6	9.5	9.4	9.3	9.7	10.0	10.0	9.4	7.7	5.5	5.1	5.0	5.0	8.08
6	4.9	4.8	4.6	4.5	8.4	10.1	10.3	10.0	10.0	10.1	10.8	10.5	10.5	9.3	8.7	8.5	7.7	7.0	7.0	7.0	6.6	6.2	6.0	6.0	8.05
7	5.9	5.7	5.5	5.3	5.3	6.5	7.8	8.1	8.3	9.3	9.8	9.2	9.2	9.8	8.0	6.8	6.6	6.8	6.9	7.0	6.3	5.8	5.7	6.0	7.07
8	6.0	5.8	5.6	5.6	7.7	8.7	9.6	9.2	9.0	8.9	8.8	8.5	7.3	6.8	6.0	5.0	4.5	4.7	4.6	5.0	5.1	5.0	4.6	4.6	6.62
9	4.0	4.4	4.4	4.4	4.4	4.0	4.5	5.0	5.9	8.3	8.4	9.5	8.2	8.8	8.1	6.0	6.0	5.1	4.7	4.0	4.0	4.0	3.9	3.6	5.61
10	3.5	3.4	3.2	3.0	3.1	3.2	4.8	5.5	6.6	7.5	8.5	9.4	9.8	10.3	5.6	5.4	5.3	5.4	5.1	4.9	4.8	4.3	4.0	3.9	5.44
11	3.8	3.9	4.1	4.3	6.9	8.2	9.6	9.0	8.9	9.0	9.3	10.1	10.2	9.2	8.0	7.6	7.2	7.0	6.3	6.1	6.3	6.0	5.8	5.6	7.18
12	5.8	5.7	5.7	6.0	7.1	8.9	8.9	8.9	9.3	9.6	11.1	11.4	11.5	10.4	7.4	7.0	5.8	5.6	4.8	4.1	4.0	3.5	3.9	4.5	7.12
13	4.8	4.8	4.5	4.4	4.4	3.5	3.6	4.2	4.4	5.0	5.4	5.6	6.1	7.0	7.5	7.8	7.2	7.0	6.1	5.4	5.2	5.0	4.9	4.8	5.55
14	4.9	4.9	5.0	6.0	6.5	7.5	7.0	7.0	7.7	8.2	7.0	6.8	5.0	6.3	6.0	6.0	5.8	5.5	5.0	5.4	6.0	5.9	5.8	5.8	6.07
15	5.9	6.3	7.2	8.2	9.0	10.0	10.2	10.5	10.3	10.3	10.2	10.3	10.2	9.4	7.8	8.0	7.9	7.5	7.0	7.1	7.0	6.9	7.0	7.0	8.89
16	7.1	7.4	7.5	7.9	8.8	9.4	9.9	9.8	9.4	9.4	9.2	9.1	9.1	8.5	8.1	8.0	7.8	7.4	6.7	6.3	6.0	6.1	6.1	6.1	7.95
17	6.4	6.4	6.1	6.0	6.0	6.3	7.4	7.9	7.8	8.1	8.0	7.6	7.8	7.4	6.0	5.5	5.0	4.7	5.2	5.8	6.0	6.0	5.9	5.7	6.46
18	5.4	5.3	5.2	6.0	8.1	8.8	9.0	9.0	9.0	9.1	8.4	8.0	8.0	8.4	6.8	6.3	6.2	5.8	5.0	5.0	5.0	4.9	4.7	4.7	6.92
19	4.6	4.5	4.2	4.0	4.0	4.3	5.6	5.7	6.8	7.6	8.0	8.0	7.0	7.0	6.4	6.4	6.4	5.8	5.2	5.0	4.9	4.8	4.8	4.6	5.76
20	4.5	4.4	4.3	4.4	4.8	5.9	6.2	6.9	7.6	8.5	7.8	7.7	7.0	6.4	6.0	7.6	7.4	6.7	5.6	5.0	4.5	4.4	4.0	4.2	5.88
21	4.3	4.4	4.3	4.1	4.0	4.1	4.6	4.9	5.7	5.8	5.3	5.6	5.0												

Juli 1930

Stündliche Lufttemperaturen

h_t = 7.0^m

Säntis

Table with columns for hours (1 to 24) and months (July, August) showing hourly air temperatures. Includes a 'Tagess-mittel' column for daily averages. Data ranges from -4.0 to 15.8 degrees Celsius.

August 1930

Säntis

Table with columns for hours (1 to 24) and months (July, August) showing hourly air temperatures. Includes a 'Tagess-mittel' column for daily averages. Data ranges from -2.4 to 16.6 degrees Celsius.

September 1930

Stündliche Lufttemperaturen

h₁ = 7.0^m

Säntis

Tag	1 ⁰⁰	2 ⁰⁰	3 ⁰⁰	4 ⁰⁰	5 ⁰⁰	6 ⁰⁰	7 ⁰⁰	8 ⁰⁰	9 ⁰⁰	10 ⁰⁰	11 ⁰⁰	12 ⁰⁰	13 ⁰⁰	14 ⁰⁰	15 ⁰⁰	16 ⁰⁰	17 ⁰⁰	18 ⁰⁰	19 ⁰⁰	20 ⁰⁰	21 ⁰⁰	22 ⁰⁰	23 ⁰⁰	0 ⁰⁰	Tagesmittel
1	6.7	6.6	6.4	6.3	6.3	6.8	7.0	8.4	10.0	10.8	11.0	11.0	11.5	11.5	11.5	11.4	10.6	9.5	8.9	7.6	7.0	6.8	6.7	6.6	8.60
2	6.5	6.4	6.9	6.2	6.1	6.0	6.0	6.2	6.5	6.8	6.9	6.9	7.2	7.1	6.9	7.0	6.7	6.2	5.6	5.3	4.8	4.6	4.6	4.5	6.18
3	4.8	4.1	4.2	4.4	4.5	5.0	5.8	6.1	8.5	10.0	10.0	9.6	9.5	9.2	8.4	8.1	8.0	7.5	6.5	6.0	5.4	5.1	5.0	5.0	6.07
4	5.1	5.9	5.4	5.4	5.6	6.8	6.8	7.2	8.8	11.0	11.3	11.2	11.0	10.8	9.6	9.9	9.0	8.4	7.9	7.6	7.4	7.1	6.9	6.8	7.95
5	6.7	6.6	6.6	6.5	6.6	6.9	7.5	8.1	8.9	10.4	11.0	10.6	11.4	10.5	9.0	8.4	7.5	7.7	7.6	7.4	7.3	7.2	7.1	7.2	8.12
6	7.2	7.2	7.2	7.0	7.1	7.4	8.2	8.8	9.6	10.0	9.7	10.2	9.0	9.6	10.0	10.5	10.2	9.4	8.7	8.2	8.0	7.8	7.6	6.3	8.54
7	5.5	5.0	5.0	4.5	4.9	5.0	4.9	4.9	4.4	4.2	4.1	4.4	4.5	4.3	3.9	3.5	3.2	2.6	2.3	2.1	2.0	2.0	2.0	2.0	3.80
8	2.0	2.0	2.0	2.0	2.0	2.0	2.0	2.0	1.9	1.8	2.0	2.4	2.7	2.9	3.0	3.0	3.1	2.9	2.8	2.7	2.7	2.6	2.6	2.8	2.41
9	2.9	3.0	3.1	3.2	3.2	3.1	3.0	3.4	4.2	4.8	5.3	5.7	6.5	6.4	6.0	5.0	4.7	4.9	5.0	5.0	5.0	5.2	5.9	5.3	4.55
10	5.1	5.1	5.0	5.0	5.2	4.7	4.8	4.7	4.8	4.0	5.0	5.5	6.0	6.1	6.1	6.0	5.1	4.7	4.0	3.8	3.5	3.5	3.6	3.7	4.76
11	3.8	4.0	4.4	5.0	5.2	5.5	6.0	6.3	6.8	7.8	7.4	7.4	7.6	7.0	6.5	6.2	5.6	5.2	5.5	5.8	5.5	5.3	5.2	5.1	5.90
12	5.1	5.2	5.0	4.8	4.7	4.8	5.0	6.2	6.5	6.6	6.7	7.1	9.0	8.0	7.1	6.1	5.8	4.8	4.0	3.5	3.3	3.2	3.0	2.8	5.55
13	2.6	2.4	2.0	1.4	1.4	1.8	2.0	2.4	3.2	4.4	5.2	6.1	6.2	6.4	6.7	7.0	6.7	5.6	5.0	4.0	3.2	2.8	2.7	2.6	3.90
14	2.5	2.5	2.4	2.4	2.5	2.9	3.5	3.8	4.0	5.0	5.0	7.0	7.3	6.5	4.9	3.1	2.9	2.7	2.3	1.9	2.0	1.8	1.8	0.9	3.89
15	0.4	-0.4	-0.6	-0.8	-0.8	-0.8	-0.0	-0.8	-0.6	-0.1	0.2	1.0	1.2	0.8	0.1	0.0	-0.9	-0.7	-1.1	-1.5	-1.5	-1.8	-1.9	-1.9	-0.80
16	-2.0	-2.0	-2.1	-2.4	-2.1	-1.9	-1.8	-2.0	-1.9	-1.8	-2.0	-1.9	-2.0	-2.0	-2.1	-1.8	-2.0	-2.4	-2.6	-2.7	-3.0	-3.2	-3.1	-3.2	-2.26
17	-3.2	-3.2	-3.1	-2.0	-1.5	-1.2	0.2	0.4	0.8	0.6	1.2	1.0	0.8	1.2	1.4	2.5	2.8	2.8	3.1	3.2	3.5	3.6	3.7	3.8	0.89
18	3.9	4.0	4.0	3.9	3.8	3.0	3.8	4.0	5.0	5.2	6.3	6.5	6.8	6.4	5.8	5.3	5.0	4.9	4.9	4.9	5.1	5.1	5.1	5.2	4.93
19	5.4	5.6	5.7	5.8	5.8	6.0	7.2	7.9	8.0	8.4	9.0	11.0	12.0	11.9	11.1	9.4	8.0	7.3	7.9	6.8	6.1	6.0	5.9	6.1	7.66
20	5.9	5.9	5.9	5.8	5.7	4.4	4.5	4.1	3.5	2.0	1.9	2.3	2.5	2.6	2.8	2.5	0.8	-1.0	-1.6	-1.6	-2.8	-3.0	-2.2	-2.1	2.04
21	-2.8	-2.6	-2.8	-3.6	-4.0	-4.0	-4.0	-4.2	-4.6	-4.0	-3.8	-3.4	-2.7	-2.8	-3.0	-3.0	-3.4	-3.5	-3.4	-3.3	-3.2	-3.2	-3.2	-3.2	-3.38
22	-3.1	-3.0	-3.0	-3.0	-3.3	-3.2	-3.0	-2.8	-2.6	-2.5	-2.5	-2.2	-2.0	-2.2	-2.1	-2.5	-2.5	-2.8	-2.2	-2.3	-2.0	-2.3	-2.2	-2.9	-2.55
23	-1.5	-0.9	-0.8	-0.7	0.0	0.8	1.0	1.4	1.8	1.8	2.0	2.2	2.7	3.1	3.2	3.1	2.6	2.5	2.1	2.0	2.0	1.9	1.7	1.6	1.47
24	1.8	1.1	1.0	0.7	0.2	0.9	3.0	4.3	5.0	5.2	5.1	5.5	6.8	6.7	6.4	6.6	6.1	5.2	5.4	5.2	5.4	4.7	4.0	3.8	4.13
25	2.4	1.0	-0.2	0.0	0.2	0.8	0.8	1.7	2.7	3.2	3.8	3.8	3.8	2.6	2.1	1.8	1.0	0.8	0.8	0.8	0.8	0.5	-0.1	-1.2	1.82
26	-2.1	-2.2	-2.7	-3.4	-3.8	-3.6	-3.2	-2.4	-1.8	-1.4	-1.8	-1.4	-0.8	-1.3	-1.4	-2.0	-2.1	-2.4	-2.6	-2.6	-2.5	-2.8	-3.0	-3.1	-2.34
27	-3.4	-3.4	-3.8	-4.1	-4.0	-4.0	-3.5	-2.0	-1.5	-0.7	-0.5	-0.5	-0.2	0.2	0.1	-0.6	-1.1	-1.1	-1.1	-2.4	-2.5	-2.4	-2.2	-2.1	-2.11
28	-2.2	-2.8	-2.8	-2.2	-2.0	-2.1	-2.1	-1.0	0.5	1.8	1.9	2.2	3.0	3.2	3.8	2.6	1.9	1.6	1.0	0.6	0.6	0.4	0.2	0.1	0.55
29	0.1	0.8	0.7	0.9	1.0	1.2	2.5	2.9	3.8	4.2	4.5	5.0	5.0	2.4	2.4	2.8	2.1	1.8	-1.1	-1.8	-2.0	-2.1	-2.0	-2.0	1.80
30	-2.1	-2.2	-2.8	-2.7	-2.8	-2.7	-2.1	-1.5	-0.9	-0.2	-0.1	-0.1	-0.2	0.0	0.1	-0.5	-0.7	-0.9	-2.4	-2.4	-2.3	-2.9	-3.1	-3.4	-1.59
M.	2.12	2.08	1.97	1.90	1.93	2.04	2.47	2.90	3.44	3.96	4.21	4.52	4.85	4.62	4.80	4.01	3.66	3.11	2.71	2.44	2.50	2.12	2.04	1.91	2.88

Oktober 1930

Säntis

Tag	1 ⁰⁰	2 ⁰⁰	3 ⁰⁰	4 ⁰⁰	5 ⁰⁰	6 ⁰⁰	7 ⁰⁰	8 ⁰⁰	9 ⁰⁰	10 ⁰⁰	11 ⁰⁰	12 ⁰⁰	13 ⁰⁰	14 ⁰⁰	15 ⁰⁰	16 ⁰⁰	17 ⁰⁰	18 ⁰⁰	19 ⁰⁰	20 ⁰⁰	21 ⁰⁰	22 ⁰⁰	23 ⁰⁰	0 ⁰⁰	Tagesmittel
1	-3.4	-3.8	-3.2	-2.9	-2.6	-1.9	-0.4	1.8	1.5	2.5	3.1	3.0	3.0	2.6	2.1	1.2	0.5	0.1	-0.1	0.1	0.0	-0.1	-0.1	-0.2	0.12
2	-0.8	-0.1	-0.2	-0.5	-0.5	0.0	1.8	2.2	3.0	3.6	4.1	4.7	5.0	4.9	4.6	4.0	3.1	2.3	2.1	2.0	2.0	2.0	2.0	2.0	2.32
3	2.3	2.0	2.0	1.4	1.0	1.0	2.0	2.5	4.1	5.0	5.4	5.0	5.0	4.5	3.5	3.0	2.9	1.8	2.0	2.2	2.0	1.8	1.1	0.4	2.68
4	0.2	0.2	0.4	0.8	1.3	2.5	4.3	5.0	5.0	4.5	4.0	4.0	4.0	4.0	3.9	3.5	2.5	1.8	0.8	1.2	2.0	2.1	2.1	2.1	2.58
5	1.9	1.5	0.9	0.5	0.2	0.0	0.0	0.0	-0.1	0.6	0.0	0.0	0.0	0.1	0.2	0.2	0.4	0.6	0.8	0.9	0.8	0.6	0.2	0.8	0.42
6	0.6	0.8	0.7	0.9	0.8	-1.4	-2.0	-3.5	-4.0	-4.0	-4.5	-4.0	-4.4	-4.8	-4.8	-5.2	-5.4	-5.8	-5.9	-6.0	-6.0	-6.1	-6.1	-6.2	-3.62
7	-6.8	-6.4	-6.8	-6.8	-6.1	-6.0	-5.9	-5.8	-5.8	-6.0	-6.1	-6.0	-5.9	-5.7	-5.5	-5.4	-5.6	-5.9	-5.9	-5.7	-5.6	-5.6	-5.5	-5.2	-5.67
8	-4.5	-3.7	-3.0	-1.5	-0.6	-0.2	-0.2	-0.8	0.0	1.2	1.8	1.8	2.2	2.2	2.0	2.5	2.5	2.8	2.6	2.7	2.8	2.6	2.4	2.4	0.83
9	2.5	2.5	2.6	2.9	2.7	3.0	3.2	3.4	3.8	3.0	2.1	2.0	1.5	1.1	0.2	-0.8	-0.9	-2.1	-2.3	-2.5	-2.5	-2.8	-2.8	-2.6	0.73
10	-2.5	-2.5	-2.7	-3.2	-3.9	-4.2	-4.5	-4.5	-4.5	-4.5	-4.0	-4.0	-3.6	-3.7	-4.1	-4.2	-4.2	-4.3	-5.8	-6.0	-6.5	-5.9	-4.8	-4.7	-4.28
11	-4.0	-4.0	-3.5	-3.6	-3.6	-1.0	0.8	2.1	3.0	3.5	3.9	3.9	4.5	4.8	5.0	5.0	5.0	4.3	4.3	4.5	4.2	4.0	4.2	3.6	2.10
12	4.0	4.8	3.4	3.4	4.0	3.8	3.5	3.6	4.1	4.5	4.6	4.7	4.7	4.5	4.0	1.8	1.5	1.3	1.2	0.8	-1.0	-3.2	-3.0	-4.1	2.38
13	-4.4	-4.6	-4.8	-4.8	-4.7	-4.5	-4.5	-4.5	-4.0	-3.8	-3.8	-3.6	-3.6	-3.7	-4.0	-4.0	-3.9	-3.9	-3.8	-2.2	-1.5	-1.5	-1.5	-1.5	-3.74
14	-1.4	-0.8	0.5	1.3	2.0	1.8	1.7	2.4	5.4	7.0	6.4	6.5	6.9	6.8	6.3	5.6	5.0	4.5	4.4	4.1	5.0	5.0	6.8	6.5	4.14
15	5.0	5.0	5.8	6.3	6.1	6.7	7.0	8.0	9.1	10.0	10.4	10.2	9.4	8.8	8.5	8.2	7.8	7.2	7.5	8.0	8.0	7.7	6.7	6.1	7.67
16	5.9	6.7	8.8	7.8	6.5	8.0	9.0	9.0	8.6	8.0	7.7	8.0	8.0	7.8	7.7	7.6	7.1	6.5	6.0	6.0	6.0	6.0	5.8	5.8	7.24
17	5.9	5.0	5.4	5.1	5.0	5.4	5.0	7.0	9.0	9.0	8.8	9.0	9.2	9.3	9.1	8.0	7.1	6.4	5.9	5.4	5.2	5.0	4.8	4.7	6.68
18	4.8	4.5	4.8	4.0	3.8	3.4	3.8	4.0	4.1	4.4	4.4	4.5	4.8	4.9	5.0	5.0	4.5	4.0	3.5	3.8	3.2	2.9	2.7	2.6	4.00
19	2.5	2.6	2.5	2.6	2.5	3.0	4.0	5.1	5.5	6.0	6.3	6.8	6.4	6.5	6.4	6.0	5.8	4.6	4.1	3.7	3.6	3.3	3.0	2.6	4.85
20	2.4	2.8	2.4	2.4	2.8	2.0	2.9	2.9	2.6	3.0	3.1	2.9	2.6	2.8	2.0	1.8	1.6	1.6	1.0	0.4	-0.6	-1.1	-1.2	-0.7	1.64
21	-0.6	-0.8	-0.7	-0.7	-0.9	-1.0	-1.0	-0.4	1.0	2.0	1.8	1.1	1.0	0.8	-0.2	-0.8	-0.9	-1.2	-2.2	-2.8	-3.0	-3.0	-3.5	-3.6	-0.85
22	-3.6	-3.5	-3.4	-4.0	-5.8	-5.9	-6.0	-6.6	-6.9	-7.0	-7.0	-7.0	-7.0	-7.1	-7.1	-7.0	-7.0	-							

November 1930

Stündliche Lufttemperaturen

h_t = 7.0^m

Säntis

Tag	1 ⁰⁰	2 ⁰⁰	3 ⁰⁰	4 ⁰⁰	5 ⁰⁰	6 ⁰⁰	7 ⁰⁰	8 ⁰⁰	9 ⁰⁰	10 ⁰⁰	11 ⁰⁰	12 ⁰⁰	13 ⁰⁰	14 ⁰⁰	15 ⁰⁰	16 ⁰⁰	17 ⁰⁰	18 ⁰⁰	19 ⁰⁰	20 ⁰⁰	21 ⁰⁰	22 ⁰⁰	23 ⁰⁰	0 ⁰⁰	Tagesmittel
1	-1.5	-1.5	-1.4	-1.3	-1.1	-1.0	-0.9	-0.8	-0.8	-0.5	-0.5	-0.2	-0.2	-0.3	-0.3	-0.6	-1.0	-1.3	-1.7	-2.0	-2.0	-2.0	-2.4	-1.05	
2	-2.6	-2.9	-3.0	-3.0	-3.0	-3.0	-3.0	-2.7	-2.3	-1.8	-1.7	-1.6	-1.5	-1.6	-1.9	-2.0	-2.3	-2.5	-2.6	-2.7	-2.8	-2.9	-3.1	-3.4	-2.50
3	-3.8	-4.2	-4.8	-5.2	-5.7	-5.9	-6.0	-5.9	-5.0	-5.5	-5.6	-5.7	-5.6	-6.0	-6.3	-6.6	-6.8	-7.1	-7.5	-7.8	-8.2	-8.2	-8.2	-8.1	-6.27
4	-7.9	-7.5	-7.6	-7.5	-7.4	-7.3	-7.1	-6.8	-6.2	-5.3	-5.5	-6.5	-7.8	-8.1	-8.5	-8.8	-8.9	-9.0	-9.1	-9.1	-9.1	-9.5	-9.5	-9.6	-7.90
5	-9.9	-10.0	-10.2	-10.4	-10.6	-10.6	-10.5	-10.4	-10.1	-10.1	-10.1	-9.6	-9.3	-9.9	-10.3	-10.8	-11.0	-11.6	-11.8	-11.9	-12.0	-12.0	-12.0	-11.3	-10.70
6	-11.5	-11.1	-10.8	-10.4	-9.6	-8.3	-7.0	-6.3	-5.8	-5.5	-5.2	-5.2	-5.1	-5.1	-5.1	-5.2	-5.5	-5.7	-5.8	-5.8	-5.7	-5.9	-6.1	-6.3	-6.38
7	-6.3	-6.3	-6.3	-6.3	-6.4	-6.5	-6.5	-6.2	-5.5	-4.6	-5.0	-5.0	-4.8	-4.6	-4.6	-4.5	-4.8	-5.0	-5.4	-5.6	-5.8	-6.8	-6.8	-7.0	-5.67
8	-7.1	-7.0	-7.1	-7.4	-7.8	-8.8	-8.9	-8.3	-8.7	-8.2	-8.0	-8.0	-8.3	-8.5	-8.6	-8.0	-7.5	-7.2	-6.3	-5.5	-5.0	-4.3	-3.8	-3.3	-7.16
9	-3.2	-3.0	-2.6	-2.5	-2.0	-1.7	-2.0	-2.9	-2.5	-2.1	-2.1	-2.8	-2.8	-2.4	-1.9	-1.5	-1.9	-1.1	-1.0	-1.0	-1.0	-1.0	-1.1	-1.2	-1.91
10	-1.5	-1.5	-1.2	-1.1	-1.0	-0.9	-0.5	-0.5	-0.4	-0.3	-0.4	-0.7	-0.5	-0.9	-1.0	-1.0	-1.0	-1.1	-1.8	-1.8	-2.0	-2.0	-2.6	-2.9	-1.24
11	-3.0	-3.1	-3.4	-3.6	-3.8	-3.9	-4.0	-4.3	-4.5	-4.6	-5.3	-6.4	-6.9	-7.5	-8.0	-8.7	-9.0	-9.4	-9.8	-10.0	-10.2	-10.8	-10.8	-10.8	-6.76
12	-11.0	-11.7	-11.9	-11.2	-11.3	-11.9	-12.0	-12.1	-11.1	-11.5	-11.0	-11.1	-11.2	-11.4	-11.6	-12.0	-12.0	-11.3	-12.0	-12.4	-12.4	-12.9	-13.1	-13.1	-11.80
13	-13.0	-12.7	-12.0	-11.8	-10.0	-9.9	-7.0	-5.8	-5.0	-4.5	-4.8	-5.5	-5.8	-5.5	-5.0	-4.8	-4.5	-3.8	-2.8	-2.1	-2.0	-1.8	-1.7	-1.9	-5.94
14	-1.6	-1.3	-1.0	-1.0	-0.5	-0.2	0.5	0.5	0.5	0.6	0.5	0.2	0.0	0.1	0.5	0.3	0.5	-0.1	-0.4	-0.4	-0.4	-0.2	-0.3	-0.3	-0.13
15	0.0	0.5	0.2	0.0	-0.1	-0.1	0.0	0.3	0.7	0.8	0.5	0.2	0.0	-0.8	-1.2	-2.0	-2.5	-3.0	-3.3	-3.6	-3.1	-3.2	-3.5	-3.3	-1.10
16	-3.2	-3.7	-4.2	-2.6	-3.0	-2.0	-2.0	-2.0	-2.0	-2.1	-2.0	-1.8	-1.7	-1.9	-2.5	-3.1	-3.5	-3.6	-4.8	-4.8	-4.8	-4.8	-4.9	-5.0	-3.04
17	-5.2	-5.5	-6.0	-6.5	-6.9	-7.0	-7.0	-7.2	-7.8	-7.5	-8.4	-8.3	-8.5	-7.8	-7.5	-7.0	-6.9	-6.8	-6.8	-7.0	-7.0	-7.1	-7.5	-7.6	-7.12
18	-7.9	-8.6	-9.2	-9.7	-10.5	-11.6	-12.1	-12.0	-11.6	-11.0	-10.7	-10.6	-10.4	-10.2	-10.1	-10.0	-10.0	-9.7	-8.9	-8.8	-8.0	-7.9	-7.7	-7.4	-9.75
19	-7.1	-6.8	-6.1	-5.0	-4.0	-3.2	-2.5	-1.8	-1.4	-1.0	-0.6	-0.3	0.0	-0.1	-0.3	-0.6	-1.0	-1.4	-1.6	-2.0	-2.6	-3.0	-3.0	-2.43	
20	-2.9	-2.8	-2.8	-2.9	-3.1	-3.3	-3.5	-3.2	-2.4	-2.0	-1.8	-1.5	-1.0	-0.5	-0.2	-0.2	-0.1	0.0	0.0	-0.1	-0.2	-0.3	-0.3	-0.2	-1.47
21	-0.1	-0.1	-0.1	0.0	0.0	0.0	-0.1	0.0	0.0	0.0	0.0	0.0	0.0	-0.2	-0.3	-0.5	-0.7	-0.8	-0.9	-1.0	-1.2	-1.1	-1.0	-1.0	-0.58
22	-1.0	-1.0	-1.0	-1.0	-1.1	-1.2	-1.3	-1.1	-0.8	-0.5	0.1	0.6	1.0	0.9	0.6	0.0	-0.3	-0.8	-0.8	-0.8	-2.0	-2.0	-2.0	-3.0	-0.83
23	-3.5	-3.7	-4.0	-4.8	-5.5	-5.6	-9.0	-9.6	-9.7	-9.7	-10.0	-10.1	-10.1	-10.0	-10.1	-10.2	-10.5	-11.0	-11.5	-11.5	-11.8	-12.0	-12.0	-11.9	-9.07
24	-11.6	-11.0	-10.5	-9.5	-9.4	-8.2	-7.2	-6.0	-5.0	-4.0	-3.8	-3.6	-3.4	-4.5	-4.7	-5.5	-3.8	-3.9	-4.5	-3.8	-3.0	-2.8	-2.7	-2.8	-5.68
25	-3.2	-3.7	-3.8	-4.2	-4.5	-4.8	-5.0	-5.3	-5.5	-4.0	-3.1	-2.8	-2.4	-2.9	-3.0	-3.6	-3.6	-3.7	-3.8	-2.7	-2.5	-2.5	-2.6	-3.0	-3.56
26	-3.2	-3.3	-3.3	-3.5	-3.8	-3.9	-4.0	-3.8	-3.0	-2.5	-2.4	-2.3	-2.2	-2.4	-2.6	-2.7	-2.8	-2.9	-2.9	-2.8	-2.7	-2.6	-2.5	-2.3	-2.92
27	-2.1	-1.9	-1.9	-1.7	-1.6	-1.3	-1.0	-0.7	-0.3	0.0	0.0	0.0	0.0	-0.2	-0.5	-0.8	-0.8	-0.7	-0.4	-0.1	0.0	-0.2	-0.4	-0.4	-0.70
28	-0.5	-0.6	-0.6	-0.7	-0.7	-0.7	-0.3	0.2	0.7	1.0	1.1	1.2	1.1	0.8	0.2	-0.1	-0.7	-0.3	-0.3	0.1	0.6	-0.5	-0.4	-0.1	-0.63
29	-0.1	-0.5	-0.5	-0.4	-0.3	-0.2	0.3	0.3	0.3	0.4	0.7	1.0	1.0	0.7	0.0	-0.5	-0.9	-0.9	-2.2	-2.0	-1.8	-1.9	-1.4	-1.3	-0.43
30	-1.5	-1.5	-1.5	-1.4	-1.3	-1.2	-1.0	-0.7	-0.4	-0.5	-0.3	0.1	0.5	0.3	0.1	-0.4	-0.7	-1.0	-0.9	-1.5	-1.6	-1.4	-1.4	-1.5	-0.86
M.	-4.57	-4.61	-4.62	-4.55	-4.53	-4.45	-4.35	-4.18	-3.87	-3.55	-3.52	-3.58	-3.55	-3.67	-3.80	-4.00	-4.11	-4.22	-4.32	-4.36	-4.58	-4.43	-4.47	-4.58	-4.17

Dezember 1930

Säntis

Tag	1 ⁰⁰	2 ⁰⁰	3 ⁰⁰	4 ⁰⁰	5 ⁰⁰	6 ⁰⁰	7 ⁰⁰	8 ⁰⁰	9 ⁰⁰	10 ⁰⁰	11 ⁰⁰	12 ⁰⁰	13 ⁰⁰	14 ⁰⁰	15 ⁰⁰	16 ⁰⁰	17 ⁰⁰	18 ⁰⁰	19 ⁰⁰	20 ⁰⁰	21 ⁰⁰	22 ⁰⁰	23 ⁰⁰	0 ⁰⁰	Tagesmittel
1	-1.7	-1.8	-1.8	-1.7	-1.5	-1.0	-0.6	-0.8	-0.2	-0.2	-0.6	-0.9	-1.0	-0.7	-0.3	0.1	0.0	-0.5	-1.2	-2.0	-2.4	-2.7	-2.6	-2.5	-1.15
2	-1.0	-0.2	-0.4	0.8	0.9	1.4	2.0	2.3	2.7	3.2	3.2	3.1	3.0	2.9	2.8	2.0	1.9	2.3	2.8	2.7	2.4	2.8	2.0	1.7	1.97
3	1.4	0.6	0.0	-0.4	-0.2	0.0	0.0	1.1	1.2	0.7	0.5	0.5	0.2	0.2	-0.4	-0.6	-0.6	-0.3	-0.1	-0.1	-0.2	-0.4	-0.9	-1.4	0.02
4	-0.8	-1.6	-2.4	-3.7	-4.0	-3.5	-3.5	-3.0	-2.4	-2.6	-2.7	-3.0	-3.2	-3.0	-3.1	-3.2	-2.8	-3.1	-3.5	-3.8	-4.1	-4.7	-4.5	-4.3	-3.19
5	-4.7	-4.7	-4.6	-3.7	-3.6	-4.4	-4.9	-4.8	-4.8	-4.5	-4.7	-4.6	-4.5	-5.9	-7.2	-8.2	-8.3	-8.3	-8.3	-8.3	-8.2	-8.3	-8.2	-8.3	-6.03
6	-8.3	-8.5	-8.6	-8.5	-8.3	-8.2	-8.2	-8.0	-7.9	-7.8	-7.8	-7.5	-7.3	-7.5	-7.5	-8.0	-8.1	-8.0	-8.0	-8.4	-8.8	-8.8	-8.6	-8.5	-8.12
7	-8.2	-8.3	-8.5	-8.5	-8.3	-8.9	-9.0	-8.7	-8.2	-7.6	-7.4	-7.3	-7.2	-6.9	-6.8	-7.0	-7.1	-6.9	-6.6	-6.4	-5.0	-4.7	-4.8	-4.9	-7.24
8	-5.0	-4.9	-4.9	-5.0	-4.7	-4.3	-4.2	-4.3	-4.4	-4.4	-4.6	-4.5	-4.8	-5.1	-6.1	-6.4	-6.7	-6.9	-7.0	-6.8	-6.6	-7.1	-7.7	-8.2	-5.60
9	-8.0	-7.4	-6.7	-6.4	-6.5	-6.8	-7.1	-7.0	-6.5	-5.5	-5.5	-5.8	-6.3	-6.5	-7.3	-7.5	-8.1	-8.4	-8.6	-9.0	-9.2	-10.2	-10.9	-10.8	-7.59
10	-11.2	-12.0	-12.5	-12.8	-12.4	-12.6	-12.8	-13.0	-13.5	-13.5	-13.4	-13.1	-13.0	-12.8	-13.2	-13.2	-13.5	-13.5	-14.2	-14.4	-14.5	-14.1	-13.5	-13.5	-13.18
11	-13.4	-14.0	-14.0	-14.5	-14.7	-15.4	-15.1	-14.0	-12.0	-12.0	-11.7	-11.3	-10.8	-10.3	-9.9	-11.0	-11.8	-12.0	-12.6	-13.0	-13.1	-13.0	-12.0	-12.6	-12.65
12	-12.7	-12.7	-10.9	-10.7	-10.5	-10.0	-9.5	-9.0	-8.4	-8.0	-7.7	-7.6	-7.5	-7.6	-7.7	-7.8	-7.9	-8.0	-8.2	-8.7	-8.8	-8.9	-9.2	-9.9	-9.08
13	-9.7	-9.9	-9.9	-9.8	-9.9	-9.8	-10.0	-10.0	-9.3	-8.7	-8.5	-8.0	-7.2	-6.7	-6.7	-7.0	-6.8	-5.0	-5.2	-7.1	-8.0	-9.0	-9.7	-10.0	-8.41
14	-11.0	-11.3	-11.2	-10.6	-10.0	-9.8	-9.8	-9.7	-9.5	-9.0	-8.7	-8.6	-8.5	-8.6	-8.9	-9.2	-9.5	-9.9	-10.0	-10.1	-10.4	-10.7	-10.7	-10.7	-9.85
15	-10.7	-10.8	-10.9	-10.9	-11.1	-11.5	-10.0	-11.3	-11.1	-11.0	-11.2	-11.5	-11.2	-11.1	-11.3	-11.5	-10.9	-11.2	-12.2	-12.2	-12.0	-12.2	-12.6	-13.0	-11.47
16	-13.1	-13.0	-12.6	-12.6	-12.7	-12.7	-12.2	-11.9	-11.0	-10.6	-10.0	-10.3	-11.0	-11.0	-12.0	-12.5	-12.5	-12.3	-12.4	-12.4	-12.4	-12.6	-12.6	-12.6	-12.05
17	-12.8	-12.8	-12.6	-12.6	-12.5	-12.4	-12.2	-11.6	-10.9	-10.2	-10.3	-10.5	-10.8	-11.0	-11.5	-12.2	-12.0	-12.0	-12.6	-10.9	-13.0	-12.7	-13.4	-12.4	-11.89
18	-13.4	-12.6	-12.1	-12.9	-13.5	-14.4	-13.5	-13.8	-12.2	-11.5	-11.4	-11.3	-11.0	-11.5	-11.5	-10.8	-10.8	-10.5	-10.6	-10.0	-9.8	-9.4	-9.1	-8.9	-11.52
19	-8.4	-7.5	-6.5	-6.9	-6.9	-6.7	-6.6	-6.1	-5.9	-6.9	-5.9	-5.7	-5.9	-6.0	-6.2	-6.5	-6.6	-6.8	-6.5	-6.0	-6.0	-6.0	-6.1	-6.1	-6.25
20	-5.7	-5.8	-5.0	-3.7	-4.9	-3.5	-3.5	-3.5	-3.0	-1.8	-3.1	-2.3	-2.0	-1.2	-1.3	-1.5	-1.8	-2.1	-2.4	-2.6	-2.5	-2.7	-1.1	-1.6	-2.83
21	-2.0	-2.8	-3.0	-3.1	-3.0	-2.7	-2.5	-2.8	-2.4	-2.3	-1.5	-0.8	-0.6	-0.7	-0.3	-1.2	-								

1930

Tägliche Maxima und Minima der Lufttemperaturen

Säntis

Tag	Januar		Februar		März		April		Mai		Juni		Juli		August		September		Oktober		November		Dezember	
	Max.	Min.	Max.	Min.	Max.	Min.	Max.	Min.	Max.	Min.	Max.	Min.	Max.	Min.	Max.	Min.	Max.	Min.	Max.	Min.	Max.	Min.	Max.	Min.
1	-10.3	-14.1	-6.0	-11.0	-3.2	-7.0	-1.3	-4.8	-1.4	-5.6	6.2	1.0	13.0	6.3	8.9	-0.3	11.5	6.3	3.1	-3.4	-0.2	-2.4	0.1	-2.7
2	-5.4	-10.9	-6.2	-11.0	1.1	-4.0	1.4	-2.5	2.0	-2.5	8.9	1.9	9.5	5.0	11.8	2.8	7.2	4.5	5.0	-0.5	-1.5	-3.4	8.2	-1.0
3	-3.3	-9.3	-8.8	-12.0	1.7	-1.8	0.4	-2.8	-1.8	-2.7	9.8	2.4	12.4	4.8	3.4	0.7	10.0	4.1	5.4	0.4	-3.8	-8.2	1.4	-1.4
4	-1.6	-3.8	-8.2	-11.2	-0.8	-5.7	-2.7	-7.3	0.2	-3.4	8.6	2.3	13.9	7.4	8.9	1.0	11.3	5.1	5.0	0.2	-5.3	-9.6	-0.8	-4.7
5	-1.3	-4.9	-8.5	-12.1	-3.9	-6.1	-4.0	-7.3	3.4	-3.1	11.2	4.3	15.0	9.4	6.5	-0.5	11.4	6.5	1.9	-0.1	-9.3	-12.0	-3.6	-8.3
6	-3.4	-5.4	-8.0	-12.4	1.0	-5.3	-5.0	-7.4	2.5	-3.0	10.6	4.5	15.8	5.0	5.0	-0.5	10.5	6.3	0.9	-6.2	-5.1	-11.5	-7.3	-8.8
7	-4.0	-5.4	-11.2	-13.7	0.1	-8.8	-2.9	-6.7	2.4	-3.4	9.3	5.3	7.0	4.0	1.0	-1.0	5.5	2.0	-5.2	-6.6	-4.5	-7.0	-4.7	-9.0
8	-4.5	-7.2	-10.4	-13.9	-7.8	-10.1	-4.8	-7.5	-3.8	-8.4	9.5	4.5	8.0	4.1	-0.5	-2.0	3.1	1.8	2.7	-4.5	-3.3	-8.9	-4.2	-8.2
9	-4.5	-7.3	-10.0	-12.6	-1.8	-8.3	-3.8	-7.9	-7.6	-10.5	9.5	3.6	7.6	2.8	-0.6	-1.7	6.5	2.9	3.4	-2.6	-1.0	-3.2	-5.5	-10.9
10	-5.0	-7.8	-6.4	-11.2	-0.2	-8.2	-2.6	-6.1	-5.0	-9.0	10.3	3.0	6.8	-1.9	1.6	-1.3	6.1	3.5	-2.5	-6.5	-0.3	-2.9	-11.2	-14.5
11	-5.4	-9.6	-5.3	-7.0	-9.0	-15.0	-2.5	-5.6	-2.9	-6.5	10.2	3.8	0.2	-4.0	7.9	1.7	7.6	3.8	5.0	-4.0	-3.0	-10.8	-9.9	-16.4
12	-5.2	-14.3	-2.0	-6.0	-11.1	-15.5	0.0	-4.5	-5.0	-7.4	11.5	3.5	-2.8	-5.0	8.0	4.0	9.0	2.8	4.7	-4.1	-11.0	-13.1	-7.5	-12.7
13	-3.9	-8.6	0.2	-4.6	-10.7	-14.3	0.0	-5.0	-1.9	-8.1	7.8	3.5	-2.0	-5.2	3.8	-1.9	7.0	1.4	-1.5	-4.8	-1.7	-13.0	-5.0	-10.0
14	-0.6	-4.2	-4.8	-9.8	-4.4	-10.5	-4.7	-9.5	2.5	-3.0	8.2	4.9	2.3	-2.6	0.8	-2.3	7.3	0.9	7.0	-1.4	0.8	-1.6	-8.5	-11.3
15	-1.5	-3.9	-9.4	-11.1	-2.5	-8.4	-7.3	-10.9	-2.6	-4.0	10.5	5.9	0.9	-0.4	-1.0	-3.0	1.2	-1.9	10.4	5.3	0.8	-3.6	-10.7	-13.0
16	-4.8	-8.5	-11.0	-16.4	-4.5	-10.0	-8.7	-10.4	0.0	-3.2	9.9	6.0	6.4	-0.9	-0.7	-3.2	-1.8	-3.2	9.0	5.3	-1.7	-5.0	-10.0	-13.1
17	-1.0	-8.0	-11.0	-17.3	-3.2	-9.5	-9.2	-10.1	4.0	-2.0	8.1	4.7	7.8	3.6	0.7	-3.0	3.8	-3.2	9.3	4.7	-5.2	-8.5	-10.2	-13.4
18	1.3	-2.6	-7.9	-11.9	-3.3	-7.0	-5.0	-9.4	4.2	-3.7	9.1	4.7	6.4	-1.7	11.6	1.6	6.8	3.5	5.0	2.5	-7.4	-12.1	-8.9	-14.4
19	0.6	-2.9	-7.0	-10.5	-7.9	-12.9	-3.6	-9.2	-3.6	-8.0	8.0	4.0	-0.3	-1.6	9.7	4.8	12.0	5.4	6.5	2.5	0.0	-7.1	-4.1	-8.4
20	-1.5	-2.8	-9.0	-11.9	-11.1	-14.5	-3.3	-7.0	-2.0	-8.3	8.5	4.0	4.6	-1.6	10.0	3.7	5.9	-3.0	3.1	-1.2	0.0	-3.5	-1.1	-5.8
21	0.2	-3.0	-4.8	-11.9	-3.6	-13.8	-2.6	-7.4	-0.6	-5.0	8.0	4.0	10.2	1.8	12.3	5.5	-2.3	-4.8	2.0	-3.6	0.0	-1.2	-0.6	-3.1
22	-1.0	-3.6	-4.2	-8.2	-2.4	-5.6	-2.0	-7.0	1.2	-3.1	11.2	4.3	7.0	1.9	10.0	5.4	-2.0	-3.3	-3.4	-7.5	1.0	-3.0	-2.2	-5.5
23	-1.2	-4.7	-5.4	-12.0	-0.2	-4.9	0.0	-4.4	1.4	-3.4	12.5	4.0	9.6	1.7	9.0	5.6	3.2	-1.5	-6.0	-8.6	-3.5	-12.0	-1.3	-5.0
24	-4.8	-7.8	-9.4	-12.7	-2.2	-5.0	1.9	-1.6	0.0	-4.2	9.2	3.5	1.6	-1.9	9.4	6.5	6.8	0.2	-2.0	-7.5	-2.7	-11.6	-3.6	-7.4
25	-1.7	-6.9	-8.0	-14.0	-3.0	-4.6	2.1	-0.5	1.5	-3.8	10.5	1.8	-0.8	-2.2	11.5	7.0	3.3	-1.2	-8.0	-11.1	-2.4	-5.5	-4.5	-9.8
26	-2.2	-4.6	-6.0	-9.8	-0.8	-8.8	3.2	-1.6	1.3	-2.1	10.2	5.1	4.4	-1.1	15.9	9.9	-0.8	-3.6	-9.1	-10.6	-2.2	-4.0	-8.0	-10.0
27	-2.0	-4.3	-4.5	-7.7	-4.7	-10.0	5.3	0.0	3.2	-2.5	9.7	3.8	8.3	2.1	10.2	12.3	0.2	-4.1	-9.4	-10.8	0.0	-2.1	-4.0	-9.2
28	-1.2	-6.5	-3.0	-6.9	-1.0	-6.2	4.3	0.4	6.0	0.3	7.2	3.4	6.2	4.0	14.5	11.4	3.3	-2.3	-6.0	-11.5	1.2	-0.7	-1.9	-9.0
29	-4.3	-6.6			-1.5	-7.3	2.3	-1.2	7.8	2.2	9.9	4.0	8.5	1.5	14.2	9.5	5.0	-2.1	-1.2	-6.0	1.0	-2.2	-4.0	-9.8
30	-6.1	-10.6			-6.7	-9.0	-0.5	-5.7	8.4	4.0	12.8	4.9	2.5	-0.9	13.0	7.6	0.1	-3.4	0.0	-1.1	0.5	-1.6	-3.7	-11.9
31	-9.5	-12.0			-1.2	-9.4			8.0	2.3			1.5	-1.2	12.0	7.0			-0.1	-1.3			-4.3	-10.1
Mittl. Max.	-3.20		-7.04		-3.51		-1.85		0.74		9.56		6.18		7.57		5.29		1.13		-2.33		-4.73	
Mittl. Min.	-6.84		-11.10		-8.63		-5.70		-3.91		3.89		1.08		2.80		0.79		-3.37		-6.38		-8.96	
Differenz	3.64		4.06		5.12		3.85		4.65		5.67		5.10		4.77		4.50		4.50		4.05		4.23	
Abs. Max.	1.3		0.2		1.7		5.3		9.4		12.8		15.8		16.2		12.0		10.4		1.2		3.2	
Abs. Min.	-14.3		-17.3		-15.5		-10.9		-10.5		1.0		-5.2		-3.6		-4.6		-11.5		-13.1		-15.4	
Differenz	15.6		17.5		17.2		16.2		19.9		11.8		21.0		19.8		16.6		21.9		14.3		18.6	

1930

Uebersicht über den täglichen Gang der Temperatur

Säntis

Abweichungen vom Monatsmittel.

	Mittel	1 ⁰⁰	2 ⁰⁰	3 ⁰⁰	4 ⁰⁰	5 ⁰⁰	6 ⁰⁰	7 ⁰⁰	8 ⁰⁰	9 ⁰⁰	10 ⁰⁰	11 ⁰⁰	12 ⁰⁰	13 ⁰⁰	14 ⁰⁰	15 ⁰⁰	16 ⁰⁰	17 ⁰⁰	18 ⁰⁰	19 ⁰⁰	20 ⁰⁰	21 ⁰⁰	22 ⁰⁰	23 ⁰⁰	0 ⁰⁰
Jan.	-5.05	-0.11	-0.25	-0.36	-0.41	-0.46	-0.47	-0.39	-0.10	0.26	0.55	0.63	0.71	0.76	0.59	0.23	-0.06	-0.21	-0.27	-0.30	-0.17	-0.04	-0.06	-0.04	-0.03
Febr.	-9.07	-0.81	-0.81	-0.72	-0.69	-0.69	-0.64	-0.55	-0.25	0.40	0.86	1.01	1.14	1.41	0.96	0.69	0.34	0.16	0.01	-0.15	-0.21	-0.38	-0.38	-0.35	-0.45
März	-5.79	-0.98	-0.88	-0.89	-0.87	-0.86	-0.67	-0.27	0.14	0.66	1.21	1.28	1.55	1.54	1.31	0.84	0.43	0.09	-0.07	-0.33	-0.54	-0.62	-0.63	-0.69	-0.76
April	-3.83	-0.80	-0.85	-0.99	-1.02	-0.88	-0.56	-0.11	0.21	0.46	0.89	1.05	1.27	1.42	1.41	1.23	0.98	0.56	0.01	-0.43	-0.64	-0.69	-0.86	-0.87	-0.82
Mai	-1.56	-1.25	-1.35	-1.41	-1.28	-0.80	-0.59	-0.28	0.01	0.44	0.93	1.17	1.43	1.16	1.55	1.24	1.04	0.87	0.39	-0.13	-0.46	-0.60	-0.64	-0.84	-0.95
Juni	6.55	-1.93	-1.95	-2.01	-1.92	-1.22	-0.45	0.48	0.88	1.47	2.16	2.22	2.27	2.23	2.06	1.41	0.96	0.67	0.18	-0.37	-0.90	-1.28	-1.51	-1.65	-1.73
Juli	3.70	-1.18	-1.39	-1.42	-1.40	-1.09	-0.51	0.15	0.42	0.91	1.16	1.34	1.50	1.67	1.45	1.21	1.02	0.69	0.29	-0.24	-0.56	-0.74	-0.96	-1.07	-1.26
Aug.	5.25	-1.13	-1.16	-1.18	-1.16	-0.93	-0.65	-0.38	-0.04	0.52	0.95	1.03	1.22	1.42	1.35	1.17	1.05	0.78	0.47	-0.01	-0.41	-0.53	-0.68	-0.78	-0.81
Sept.	2.98	-0.86	-0.95	-1.01	-1.08	-1.05	-0.94	-0.51	-0.08	0.46	0.97	1.23	1.54	1.87	1.64	1.32	1.03	0.58	0.13	-0.27	-0.54	-0.68	-0.86	-0.94	-1.07
Okt.	-0.96	-0.79	-0.74	-0.63	-0.58	-0.68	-0.47	-0.16	0.18	0.59	0.90	0.97	1.11	1.18	1.04	0.81	0.52	0.16	-0.17	-0.35	-0.43	-0.47	-0.61	-0.65	-0.75
Nov.	-4.17	-0.40	-0.44	-0.45	-0.38	-0.36	-0.28	-0.18	-0.01	0.30	0.62	0.65	0.64	0.62	0.50	0.37	0.17	0.06	-0.05	-0.15	-0.19	-0.21	-0.26	-0.30	-0.36
Dez.	-6.83	-0.29	-0.29	-0.24	-0.24	-0.31	-0.27	-0.20	-0.02	0.44	0.74	0.72	0.75	0.76	0.61	0.33	0.02	-0.07	-0.11	-0.24	-0.33	-0.31	-0.41	-0.45	-0.53

Januar 1930

Stündliche Barometerstände (500 +)

Säntis

Table with 24 columns (1st to 24th hour) and 32 rows (1 to 31 days + monthly mean 'M.'). Each cell contains a numerical barometer reading.

Februar 1930

Zürich

Table with 24 columns (1st to 24th hour) and 28 rows (1 to 28 days + monthly mean 'M.'). Each cell contains a numerical barometer reading.

März 1930

Stündliche Barometerstände (500 m)

Säntis

Tag	1 ³⁰	2 ³⁰	3 ³⁰	4 ³⁰	5 ³⁰	6 ³⁰	7 ³⁰	8 ³⁰	9 ³⁰	10 ³⁰	11 ³⁰	12 ³⁰	13 ³⁰	14 ³⁰	15 ³⁰	16 ³⁰	17 ³⁰	18 ³⁰	19 ³⁰	20 ³⁰	21 ³⁰	22 ³⁰	23 ³⁰	0 ³⁰	Tagesmittel
1	64.8	64.8	64.2	64.2	64.8	64.8	64.8	64.8	64.3	64.3	64.3	64.3	64.8	64.8	64.8	64.4	64.5	64.7	64.9	65.0	65.8	65.4	65.4	65.5	64.50
2	65.3	65.5	65.4	65.4	65.4	65.5	65.7	66.0	66.1	66.3	66.4	66.4	66.6	66.5	66.5	66.6	66.8	67.0	67.1	67.2	67.2	67.3	67.3	67.8	66.37
3	67.2	67.2	67.2	67.8	67.5	67.7	67.8	68.0	68.0	68.1	68.3	68.4	68.4	68.5	68.5	68.6	68.7	68.7	69.0	69.0	69.0	69.0	69.0	69.0	68.26
4	69.0	69.0	69.0	69.0	68.9	68.8	68.8	69.0	69.2	88.6	69.5	69.4	69.1	69.0	68.9	68.7	68.7	68.8	69.0	69.0	69.1	69.1	69.0	69.0	69.08
5	68.9	68.8	68.6	68.4	68.4	68.4	68.4	68.5	68.6	68.6	68.5	68.5	68.2	68.0	68.0	67.7	67.7	67.7	68.0	67.8	67.7	67.7	67.6	67.5	68.17
6	67.8	67.0	67.0	67.0	67.0	66.9	66.8	66.9	67.0	67.2	67.4	67.4	67.2	67.0	67.0	67.1	66.7	66.2	66.1	66.0	65.4	65.1	64.8	64.8	66.89
7	64.4	64.0	63.4	63.0	62.7	62.8	61.0	61.8	60.9	60.6	60.1	59.9	59.7	59.4	59.0	58.7	58.1	58.5	58.0	58.0	58.9	58.8	58.8	58.7	60.47
8	58.0	58.4	58.2	58.9	58.8	58.8	58.9	59.0	59.1	59.5	59.6	59.6	59.5	59.4	59.9	59.2	59.2	59.3	59.2	59.1	59.0	59.0	58.7	58.6	59.00
9	58.5	58.4	58.5	58.1	57.9	57.7	57.5	57.5	57.0	57.7	57.9	57.9	57.5	57.4	57.0	56.7	56.8	56.8	56.8	56.8	56.8	56.7	56.8	56.5	57.40
10	56.4	56.8	56.1	56.0	55.9	55.7	55.5	55.8	55.2	55.1	54.9	54.5	54.3	54.0	53.9	53.9	53.7	53.4	53.0	52.7	52.7	52.6	52.0	51.6	54.86
11	51.2	50.9	50.4	50.0	50.0	50.2	50.0	50.0	50.0	50.0	49.7	49.5	49.1	48.9	48.4	48.3	48.2	48.2	48.1	48.1	48.1	48.0	47.7	47.7	49.20
12	47.0	47.6	47.4	47.8	47.0	46.9	46.8	46.6	46.6	46.6	46.7	46.7	46.7	46.7	46.7	46.7	46.8	47.0	47.2	47.4	47.7	47.7	47.8	47.8	47.06
13	47.8	47.7	47.5	47.8	47.4	47.4	47.5	47.5	47.6	47.8	48.2	48.5	48.8	48.7	48.8	49.0	49.1	49.3	49.3	49.9	50.2	50.3	50.0	49.7	48.65
14	49.7	49.6	49.1	48.7	48.8	48.4	47.7	48.0	48.8	48.4	48.6	48.0	48.0	49.1	49.2	49.2	49.5	49.8	50.2	50.8	50.8	50.8	50.8	50.5	49.22
15	50.6	50.6	50.5	50.5	50.6	50.6	50.6	50.7	50.9	50.9	50.8	50.7	50.8	50.8	50.1	49.9	49.7	49.6	49.4	49.8	49.8	49.9	50.8	50.2	50.27
16	50.4	50.9	50.8	50.8	50.9	51.0	51.0	51.2	51.2	51.2	51.1	51.1	50.9	50.8	50.6	50.0	50.1	50.7	51.0	52.1	52.8	52.8	52.8	51.05	
17	52.2	52.3	52.0	52.2	52.8	52.9	52.9	53.0	53.0	53.1	53.0	52.8	52.6	52.5	52.5	52.4	52.4	52.4	52.4	52.2	51.9	51.7	51.7	51.6	52.44
18	51.4	51.0	50.5	50.2	50.0	49.8	49.6	49.4	49.5	50.0	50.0	49.7	49.7	49.6	49.6	49.5	49.2	49.6	50.0	50.1	50.8	50.8	50.8	50.8	49.98
19	50.8	50.2	50.1	50.1	49.9	49.8	49.8	49.7	49.5	49.4	49.2	49.0	48.9	48.7	48.8	48.6	48.4	48.4	48.3	48.2	48.2	48.0	47.9	47.7	49.04
20	47.5	47.8	46.9	46.7	46.8	46.9	47.0	47.2	47.4	47.6	47.8	48.8	49.0	49.5	50.2	50.8	51.8	52.1	52.8	53.0	54.2	54.8	55.8	55.7	49.90
21	56.1	56.8	56.4	56.5	56.8	57.2	57.5	58.0	58.4	58.8	58.9	59.0	59.3	59.8	59.4	59.8	59.7	59.6	59.7	60.0	60.2	60.4	60.8	60.8	58.66
22	60.2	60.2	60.2	60.2	60.2	60.1	60.1	60.8	60.4	61.0	61.2	61.8	61.8	61.4	61.4	61.6	61.7	61.8	62.0	62.1	62.2	62.3	62.8	62.2	61.16
23	62.0	61.7	61.4	61.1	60.8	60.5	60.2	60.0	59.8	59.7	59.4	59.0	58.5	58.0	57.7	57.5	57.3	57.1	57.0	56.8	56.7	56.6	56.5	56.4	58.82
24	56.2	56.0	55.8	55.7	55.7	55.7	55.7	55.7	55.8	56.0	56.1	56.9	56.5	56.0	56.8	57.1	57.4	57.9	58.1	58.5	59.2	59.4	59.0	59.7	56.98
25	59.7	59.7	59.6	59.8	60.0	60.2	60.6	60.8	61.0	61.8	61.8	61.2	61.2	61.8	61.8	61.8	61.3	61.8	61.4	61.4	61.4	61.4	61.4	61.4	60.88
26	61.3	61.1	61.0	61.0	61.0	61.2	61.3	61.5	61.6	61.7	61.9	61.8	61.7	61.7	61.7	61.9	62.3	62.4	62.8	63.0	63.0	63.0	63.0	62.9	61.91
27	62.8	62.8	62.8	62.8	62.8	63.0	63.1	63.2	63.8	63.8	63.8	63.1	63.1	63.1	63.1	63.1	63.0	63.0	63.1	63.2	63.3	63.2	63.4	62.8	63.04
28	62.5	62.0	62.0	62.0	62.0	61.9	61.7	61.7	61.7	61.7	61.6	61.8	61.1	61.0	60.8	60.4	60.8	60.8	60.2	60.1	60.0	59.7	59.4	59.2	61.03
29	59.0	58.6	58.5	58.5	58.5	58.4	58.5	58.5	58.8	59.0	59.0	59.0	58.7	58.8	58.8	58.5	58.6	59.0	59.2	59.6	60.0	60.0	60.0	60.0	58.95
30	60.0	59.9	59.8	59.8	59.7	59.8	60.0	60.1	60.8	60.7	61.0	61.1	61.3	61.4	61.6	61.8	62.0	62.8	62.8	62.4	62.4	62.4	62.2	62.0	61.09
31	61.7	61.4	61.1	60.9	60.9	60.9	60.9	61.1	61.3	61.5	61.5	61.8	61.7	61.5	61.5	61.4	61.3	61.3	61.3	61.4	61.5	61.5	61.5	61.5	61.84
M.	58.07	57.98	57.77	57.70	57.70	57.70	57.68	57.74	57.81	57.96	57.98	57.95	57.88	57.81	57.78	57.77	57.77	57.88	57.99	58.07	58.17	58.19	58.18	58.07	57.90

April 1930

Säntis

Tag	1 ³⁰	2 ³⁰	3 ³⁰	4 ³⁰	5 ³⁰	6 ³⁰	7 ³⁰	8 ³⁰	9 ³⁰	10 ³⁰	11 ³⁰	12 ³⁰	13 ³⁰	14 ³⁰	15 ³⁰	16 ³⁰	17 ³⁰	18 ³⁰	19 ³⁰	20 ³⁰	21 ³⁰	22 ³⁰	23 ³⁰	0 ³⁰	Tagesmittel
1	61.8	61.8	61.8	61.3	61.4	61.4	61.5	61.6	61.8	61.7	61.9	62.0	62.1	62.1	62.0	62.0	61.9	61.7	61.7	61.7	61.7	61.6	61.5	61.8	61.66
2	61.0	60.9	60.8	60.8	60.8	60.8	61.0	61.1	61.2	61.3	61.4	61.5	61.5	61.8	61.7	61.9	61.8	61.7	61.6	61.5	61.1	60.5	60.2	60.0	61.18
3	59.7	59.8	58.8	58.8	58.1	57.5	57.1	57.0	56.9	56.4	56.2	56.0	55.5	55.0	54.0	54.7	54.4	54.8	54.1	53.9	53.6	53.0	52.9	52.7	55.84
4	52.5	52.1	51.8	51.5	51.8	51.1	50.9	50.4	50.4	50.5	50.2	50.0	49.8	49.8	49.0	50.2	50.2	50.8	50.4	50.8	51.2	51.8	51.4	51.8	50.82
5	51.5	51.6	51.6	51.7	51.7	51.8	52.0	52.1	52.5	52.8	52.7	52.9	53.0	53.0	53.0	53.0	53.0	53.2	53.2	53.5	53.7	53.8	53.8	53.8	52.89
6	53.7	53.8	53.8	53.6	53.7	53.9	54.1	54.2	54.3	54.8	54.7	54.8	54.9	55.0	55.1	55.2	55.4	55.7	55.9	56.0	56.1	56.1	56.2	56.1	54.85
7	56.0	56.0	56.0	56.0	56.1	56.4	57.0	57.5	57.8	58.1	58.4	58.7	59.0	59.0	59.1	59.2	59.2	59.4	59.7	60.0	60.4	60.5	60.8	60.9	58.99
8	60.9	60.9	60.8	60.9	61.0	61.1	61.4	61.5	61.8	61.9	62.0	62.3	62.4	62.5	62.5	62.8	62.8	62.8	62.2	62.2	62.2	62.8	62.2	62.1	61.82
9	61.6	61.2	60.8	60.5	60.4	60.8	60.2	60.1	60.2	60.8	60.2	60.1	60.0	59.9	59.6	59.3	59.0	59.0	58.9	58.7	58.4	58.0	57.7	57.4	59.66
10	57.2	57.0	56.8	56.6	56.4	56.8	56.8	56.1	56.2	56.4	56.3	56.8	56.3	56.2	56.2	56.2	56.2	56.2	56.2	56.2	56.4	56.5	56.8	56.5	56.40
11	56.5	56.4	56.5	56.6	56.7	57.0	57.5	58.0	58.2	58.5	58.7	58.9	59.0	59.0	59.0	59.0	59.1	59.2	59.2	59.4	59.6	59.7	59.8	59.8	58.39
12	59.8	59.8	59.7	59.7	59.7	59.7	59.9	60.1	60.4	60.5	60.4	60.2	60.0	59.9	59.7	59.2	59.0	58.8	58.8	58.9	58.8	58.4	58.7	58.5	59.58
13	58.0	57.8	56.8	56.7	56.4	56.1	55.9	55.4	55.2	55.0	54.8	54.5	54.2	53.8	53.9	52.8	52.1	51.7	51.4	51.0	50.2	49.4	48.7	48.0	53.70
14	47.3	46.5	46.0	45.4	44.8	44.4	44.1	44.0	44.0	44.0	44.0	43.9	43.9	43.9	43.9	43.9	44.0	44.0	44.1	44.3	44.8	44.4	44.4	44.4	44.50
15	44.8	44.7	44.8	45.0	45.2	45.5	46.1	46.5	46.9	47.1	47.7	48.0	48.8	48.6	48.8	49.0	49.4	49.8	50.0	50.2	50.5	50.6	50.5	50.5	47.84
16	50.4	50.4	50.8	50.8	50.8	50.8	50.4	50.4	50.9	50.8	50.8	50.6	50.6	50.8	50.9	51.0	51.3	51.2	5						

Mai 1930

Stündliche Barometerstände (500^{mm})

Säntis

Tag	1 ³⁰	2 ³⁰	3 ³⁰	4 ³⁰	5 ³⁰	6 ³⁰	7 ³⁰	8 ³⁰	9 ³⁰	10 ³⁰	11 ³⁰	12 ³⁰	13 ³⁰	14 ³⁰	15 ³⁰	16 ³⁰	17 ³⁰	18 ³⁰	19 ³⁰	20 ³⁰	21 ³⁰	22 ³⁰	23 ³⁰	0 ³⁰	Tages- mittel		
1	55.7	55.8	56.0	56.1	56.2	56.6	57.1	57.4	57.9	58.6	58.9	59.2	59.7	60.0	60.1	60.1	60.0	60.4	60.8	60.8	60.9	61.0	61.1	61.2	61.2	58.82	
2	61.2	61.3	61.2	61.1	61.1	61.1	61.3	61.8	61.4	61.5	61.5	61.5	61.5	61.5	61.4	61.1	61.0	61.1	61.2	61.3	61.5	61.5	61.5	61.5	61.5	61.5	61.82
3	61.4	61.3	61.3	61.2	61.2	61.2	61.2	61.6	61.8	61.9	62.0	62.1	62.2	62.3	62.4	62.5	62.6	62.8	63.1	63.3	63.3	63.3	63.4	63.4	63.4	63.4	62.20
4	63.4	63.3	63.3	63.2	63.2	63.2	63.1	63.2	63.5	63.7	63.9	63.9	63.9	63.7	63.6	63.5	63.5	63.5	63.5	63.5	63.5	63.5	63.5	63.4	63.4	63.4	63.44
5	62.7	62.8	62.9	62.1	62.0	61.9	61.9	61.7	61.7	61.7	61.7	61.6	61.4	61.4	61.3	61.1	61.0	60.9	61.0	60.9	60.9	60.7	60.8	60.8	60.8	60.8	61.49
6	60.7	60.5	60.2	60.1	60.0	60.0	60.0	60.0	60.0	60.0	59.7	59.4	59.0	58.7	58.3	58.1	58.0	57.9	57.6	57.5	57.4	57.4	56.8	56.4	56.0	58.85	
7	55.5	55.3	54.8	54.0	53.7	53.7	53.7	53.5	53.4	53.9	53.9	54.0	54.1	54.0	53.9	53.8	53.0	53.5	53.4	53.3	53.2	53.2	53.0	52.7	52.5	53.76	
8	52.0	52.0	51.5	51.8	51.3	51.4	51.5	51.8	52.2	52.5	52.9	53.1	53.1	53.5	53.8	54.1	54.0	54.0	55.0	55.2	55.4	55.4	55.3	55.3	55.3	53.80	
9	55.2	55.2	55.2	55.8	55.5	55.5	55.8	56.0	56.1	56.4	56.9	56.5	56.8	57.0	57.0	57.1	57.2	57.9	57.6	58.0	58.3	58.2	58.1	58.0	58.0	56.65	
10	57.8	57.5	57.2	57.0	56.9	56.8	56.8	56.8	56.8	57.0	56.8	57.0	56.9	56.8	56.9	56.8	57.0	57.0	57.2	57.9	58.0	58.1	58.0	57.8	57.8	57.24	
11	57.5	57.0	56.9	56.9	56.4	56.4	56.2	56.0	55.9	55.7	55.2	55.2	55.0	54.9	54.6	54.6	54.8	55.2	55.5	55.7	55.8	56.0	56.0	56.0	56.0	55.84	
12	55.9	55.8	55.6	55.5	55.4	55.4	55.4	55.7	55.0	55.3	56.9	57.1	57.2	57.4	57.4	57.2	57.0	57.5	57.5	57.7	58.0	58.1	58.3	58.4	58.4	56.78	
13	58.2	58.5	58.8	58.7	58.8	59.0	59.3	59.4	59.6	59.4	59.4	59.4	59.3	59.4	59.6	59.6	59.6	59.6	59.6	60.0	60.2	60.2	60.2	60.1	59.39		
14	60.0	60.4	60.2	60.0	59.7	59.5	59.6	59.9	60.0	60.2	60.4	60.3	60.7	61.0	61.0	60.9	61.0	61.1	61.1	61.5	62.0	62.3	62.4	62.3	62.3	60.78	
15	62.0	61.5	61.3	61.4	61.5	62.1	62.4	62.5	62.7	62.9	62.9	63.0	63.1	63.0	63.1	63.6	63.8	63.7	63.9	64.2	64.5	64.6	64.7	64.7	64.7	63.04	
16	64.7	64.6	64.6	64.6	64.7	64.9	65.0	65.3	65.7	66.0	66.2	66.4	66.5	66.8	66.8	66.8	66.8	67.0	67.2	67.4	67.8	68.0	68.0	68.0	68.0	66.83	
17	68.0	68.0	68.0	68.1	68.1	68.2	68.3	68.4	68.5	68.7	68.8	68.8	68.8	68.8	68.8	68.8	68.8	68.8	68.1	68.1	68.1	68.1	68.0	67.9	67.6	68.90	
18	67.0	66.7	66.5	66.4	66.3	66.2	66.1	66.0	65.9	65.8	65.7	65.5	65.2	64.7	64.3	63.9	63.5	63.1	62.2	63.1	63.0	63.2	63.1	63.1	63.1	64.85	
19	62.7	62.2	62.2	62.2	62.2	62.4	62.4	62.3	62.3	62.4	62.7	62.9	63.0	63.2	63.3	63.6	63.6	63.6	63.6	63.7	63.7	63.7	63.7	63.6	63.4	62.95	
20	63.2	63.0	62.8	62.7	62.7	62.8	63.0	63.0	63.0	63.0	63.0	63.0	63.1	63.0	63.0	62.9	62.8	62.8	62.8	62.8	62.8	62.8	62.8	62.7	62.5	62.88	
21	62.2	62.0	61.7	61.6	61.7	61.8	61.9	62.0	62.0	62.0	62.0	61.9	61.9	61.8	61.7	61.6	61.5	61.4	61.3	61.3	61.3	61.3	61.3	61.3	61.3	61.73	
22	61.2	61.0	60.9	60.9	60.9	61.0	61.0	61.0	60.9	60.9	60.9	60.8	60.8	60.8	60.8	60.2	59.8	59.8	59.8	59.8	59.8	59.9	59.8	59.7	59.7	60.54	
23	59.6	59.3	59.0	58.7	58.6	58.8	58.5	58.2	58.1	58.0	58.0	57.9	57.8	57.9	57.9	58.0	58.1	58.1	58.1	57.9	57.8	57.7	57.8	57.8	57.8	58.28	
24	58.0	58.0	58.0	58.0	58.0	58.0	58.1	58.1	58.2	58.4	58.6	58.8	58.9	59.0	59.2	59.4	59.4	59.6	59.9	60.1	60.4	60.5	60.4	60.4	60.4	58.97	
25	62.2	60.0	60.0	60.0	60.1	60.2	60.4	60.4	60.5	61.0	61.0	61.9	61.1	61.0	60.9	60.8	60.8	60.8	60.9	61.0	61.0	61.0	60.9	60.7	60.65		
26	60.5	60.3	60.1	60.0	59.9	59.7	59.5	59.5	59.5	59.5	59.4	59.2	59.0	58.9	58.7	58.8	58.3	58.1	58.0	58.0	57.9	57.9	57.8	57.7	57.7	59.00	
27	57.5	57.2	57.1	57.0	57.0	57.1	57.2	57.4	57.8	58.0	58.2	58.4	58.9	58.9	58.2	58.4	58.7	59.0	59.2	59.5	59.6	59.6	60.0	60.9	60.9	58.18	
28	60.4	60.4	60.4	60.5	60.8	61.1	61.6	62.0	62.7	63.1	63.7	64.2	64.5	64.7	65.0	65.4	65.8	66.2	66.4	66.5	66.6	66.6	66.7	66.7	66.7	63.19	
29	67.2	67.2	67.2	67.3	67.5	67.6	68.0	68.4	68.8	68.9	69.1	69.2	69.2	69.1	69.1	69.1	69.1	69.1	69.1	69.0	69.0	69.0	69.0	68.9	68.9	68.54	
30	68.5	68.1	67.7	67.4	67.3	67.3	67.4	67.0	66.9	67.0	67.0	67.1	67.1	67.1	67.1	67.2	67.1	67.0	66.9	66.8	66.7	66.7	66.9	67.0	67.1	67.18	
31	67.1	67.1	67.0	67.0	67.0	67.0	67.0	67.2	67.4	67.6	67.6	67.6	67.8	67.5	67.4	67.4	67.4	67.4	67.4	67.5	67.7	67.3	67.2	67.1	67.1	67.82	
M.	60.88	60.74	60.60	60.51	60.51	60.57	60.85	60.73	60.86	61.03	61.12	61.16	61.19	61.19	61.18	61.17	61.17	61.24	61.28	61.41	61.49	61.49	61.47	61.41	61.44	61.04	

Juni 1930

Säntis

Tag	1 ³⁰	2 ³⁰	3 ³⁰	4 ³⁰	5 ³⁰	6 ³⁰	7 ³⁰	8 ³⁰	9 ³⁰	10 ³⁰	11 ³⁰	12 ³⁰	13 ³⁰	14 ³⁰	15 ³⁰	16 ³⁰	17 ³⁰	18 ³⁰	19 ³⁰	20 ³⁰	21 ³⁰	22 ³⁰	23 ³⁰	0 ³⁰	Tages- mittel	
1	67.0	67.4	67.2	67.1	67.0	67.0	67.1	67.1	67.2	67.2	67.0	66.8	66.7	66.6	66.5	66.4	66.2	65.9	65.8	65.9	65.8	65.7	65.6	65.5	66.60	
2	65.4	65.1	65.0	65.7	64.1	63.8	63.7	63.7	63.8	64.0	64.0	63.7	63.3	63.7	63.6	63.7	63.7	64.0	64.1	64.4	64.5	64.6	64.7	64.7	63.19	
3	61.7	61.8	61.8	61.9	62.0	62.1	62.6	62.8	62.7	62.8	63.1	63.3	63.7	63.6	63.6	63.7	63.7	64.0	64.1	64.4	64.5	64.6	64.7	64.7	63.19	
4	64.8	64.9	65.0	65.2	65.4	65.9	66.2	66.5	66.8	67.1	67.2	67.4	67.7	67.8	67.8	67.7	67.9	68.1	68.4	68.7	68.7	68.6	68.5	68.5	67.06	
5	68.5	68.4	68.3	68.1	68.0	68.0	68.0	68.0	68.0	68.1	68.0	68.0	68.0	67.9	67.8	67.8	67.7	67.6	67.6	67.6	67.7	67.7	67.8	67.7	67.9	67.93
6	67.5	67.8	67.1	67.0	66.9	67.0	67.0	67.0	67.0	66.8	66.8	66.8	66.4	66.1	65.9	65.8	65.4	65.3	65.3	65.2	65.3	65.3	65.4	65.4	66.28	
7	65.2	65.0	64.7	64.5	64.4	64.4	64.3	64.4	64.5	64.7	64.8	64.8	64.8	64.8	64.8	64.6	64.5	64.5	64.6	64.7	64.9	65.0	65.0	64.9	64.70	
8	64.7	64.4	64.3	64.2	64.2	64.2	64.8	64.4	64.5	64.7	64.8	64.5	64.2	64.1	64.1	64.1	64.1	64.2	64.3	64.4	64.4	64.4	64.4	64.3	64.30	
9	64.1	64.0	63.9	63.8	63.9	64.0	64.1	64.3	64.5	64.7	64.8	64.8	64.8	64.8	64.9	64.8	64.8	64.9	64.8	64.9	65.0	65.3	65.4	65.4	64.64	
10	65.1	65.0	65.0	65.0	65.1	65.2	65.4	65.5	65.5	66.1	66.1	66.1	66.1	66.1	66.1	66.2	66.3	66.5	66.9	67.4	68.0	68.0	67.9	67.7	66.19	
11	67.6	67.4	67.2	67.1	67.1	67.2	67.2	67.4	67.5	67.7	68.0	68.0	68.0	67.7	67.5	67.3	67.3	67.4	67.7	68.0	68.1	68.1	68.0	68.0	67.58	
12	67.9	67.8	67.7	67.6	67.5	67.5	67.7	67.8	67.9	68.1	68.2	68.2	68.1	68.0	67.8	67.8	67.8	67.7	67.9	67.9	68.0	67.9	67.8	67.4	67.88	
13	67.3	67.4	67.4	67.5	67.5	67.6	67.8	67.7	68.0	68.3	68.3	68.3	68.3	68.2	68.1	68.1	68.1	68.2	68.4	68.7	68.9	68.9	68.9	68.8	68.07	
14	68.6	68.3	68.1	68.0	68.0	68.0	67.9	68.0	68.0	68.0	68.0	67.9	67.8	67.8	67.8	67.8	67.5	67.5	67.5	67.7	67.9	67.9	68.0	68.0	67.81	
15	68.0	68.0	67.9	67.8	67.8	67.7																				

Juli 1930

Stündliche Barometerstände (500 +)

Säntis

Tag	1 ⁰⁰	2 ⁰⁰	3 ⁰⁰	4 ⁰⁰	5 ⁰⁰	6 ⁰⁰	7 ⁰⁰	8 ⁰⁰	9 ⁰⁰	10 ⁰⁰	11 ⁰⁰	12 ⁰⁰	13 ⁰⁰	14 ⁰⁰	15 ⁰⁰	16 ⁰⁰	17 ⁰⁰	18 ⁰⁰	19 ⁰⁰	20 ⁰⁰	21 ⁰⁰	22 ⁰⁰	23 ⁰⁰	0 ⁰⁰	Tagesmittel	
1	65.6	65.2	65.0	65.0	65.0	65.0	65.0	65.0	65.0	65.1	65.1	65.1	64.7	64.4	64.2	64.2	64.0	64.2	64.0	64.4	64.8	64.9	64.0	64.0	64.70	
2	63.7	63.4	63.5	63.8	63.7	63.8	63.5	63.5	63.8	65.7	63.8	63.9	64.0	64.0	64.0	64.1	64.8	64.5	64.7	65.0	65.2	65.3	65.8	65.8	64.98	
3	65.4	65.4	65.3	65.5	65.5	65.7	66.0	66.2	66.5	66.7	66.9	67.0	67.0	67.1	67.3	67.5	67.6	67.8	68.0	68.1	68.5	68.6	68.4	68.4	66.94	
4	68.2	68.0	68.0	68.0	68.0	68.0	68.8	68.5	68.8	68.7	68.7	68.8	68.5	68.5	68.6	68.8	68.7	68.8	68.9	69.1	69.2	69.1	69.8	69.8	68.58	
5	69.0	68.8	68.7	68.6	68.6	68.8	68.8	69.0	69.2	69.8	69.2	69.2	69.1	69.1	69.1	69.0	69.0	69.0	69.0	69.1	69.1	69.0	68.6	68.2	69.95	
6	68.2	67.9	67.8	67.9	68.0	68.1	68.2	68.1	68.0	68.0	68.0	68.0	67.9	68.0	68.0	67.8	67.2	66.8	67.0	67.8	68.0	68.0	67.9	67.8	67.83	
7	67.7	67.6	67.5	67.4	67.5	67.8	68.1	68.0	68.0	68.0	68.0	68.5	68.8	69.0	69.0	69.0	68.9	68.9	69.0	69.2	69.2	69.2	69.2	69.2	68.47	
8	68.8	68.6	68.4	68.2	68.0	68.0	68.0	68.0	68.0	68.1	68.0	67.9	67.7	67.7	67.4	67.8	67.5	67.4	67.4	67.8	67.8	67.5	67.4	67.4	67.85	
9	67.2	67.0	66.9	66.8	66.8	66.9	67.1	67.2	67.4	67.6	67.7	67.8	68.1	68.0	68.1	68.2	68.2	68.2	68.2	68.3	68.3	68.5	68.5	68.2	67.71	
10	68.0	67.8	67.4	67.2	67.1	67.0	67.0	66.9	66.7	66.6	66.3	66.3	66.2	65.8	65.2	64.3	64.4	64.5	64.4	64.4	64.4	64.4	64.2	64.0	63.8	65.88
11	63.4	63.1	62.8	62.0	61.8	61.5	60.8	60.5	60.2	60.1	59.8	59.4	58.6	58.3	58.4	58.3	58.1	58.0	58.1	58.1	58.5	58.8	58.8	58.7	59.78	
12	58.5	58.3	58.2	58.8	58.2	58.0	57.9	57.8	57.9	58.1	58.2	58.3	58.5	58.4	58.8	58.8	58.7	58.7	58.7	58.6	58.9	58.9	58.8	58.4	58.39	
13	57.9	57.4	57.3	57.2	57.2	57.1	57.2	57.4	57.5	57.6	58.1	58.4	58.9	59.7	60.1	60.5	61.4	61.9	62.2	62.7	63.1	63.5	63.8	64.0	59.94	
14	63.9	63.8	63.7	63.5	63.4	63.4	63.8	63.2	63.1	63.0	63.0	63.0	62.9	63.0	62.9	62.8	62.8	62.8	62.8	62.4	62.2	62.1	62.0	61.9	61.8	62.91
15	61.8	61.4	61.0	60.8	60.5	60.4	60.8	60.1	60.2	60.1	59.9	59.4	60.4	60.7	60.7	60.8	60.8	60.9	61.0	61.1	61.5	61.5	61.5	61.5	61.5	60.78
16	61.4	61.3	61.2	61.2	61.2	61.2	61.4	61.5	61.6	61.7	61.7	61.7	61.7	61.7	61.7	61.7	61.8	61.8	61.8	61.7	61.7	61.7	61.7	61.7	61.6	61.55
17	61.5	61.4	61.2	61.2	61.1	61.1	61.1	61.0	60.9	60.7	60.5	60.4	60.4	60.3	60.2	60.1	60.0	59.8	60.0	60.0	60.0	60.0	60.0	60.1	59.8	60.53
18	59.1	58.8	57.5	56.7	56.1	55.9	55.0	54.4	54.2	54.2	54.1	53.7	53.8	54.3	54.3	54.8	54.7	54.8	55.4	55.9	56.4	56.4	56.8	56.5	55.62	
19	56.5	56.6	57.2	57.4	58.1	58.8	59.1	59.5	59.8	60.2	60.3	60.4	60.6	60.8	61.0	61.8	61.1	61.4	61.5	62.0	62.6	62.7	62.9	63.0	63.0	60.18
20	63.0	63.0	62.9	62.9	62.9	63.0	63.1	63.0	63.1	63.2	63.4	63.7	63.5	63.7	63.7	63.7	63.9	64.0	64.1	64.8	64.4	64.6	64.4	64.4	64.4	63.59
21	64.8	63.9	63.8	63.5	63.8	63.8	63.9	64.0	64.1	64.2	64.2	64.1	64.0	63.8	63.5	63.4	63.2	63.8	63.4	63.8	63.5	63.6	63.8	63.8	63.8	63.71
22	63.1	63.1	63.2	63.2	63.8	63.4	63.8	64.1	64.1	64.1	64.1	64.1	64.1	64.1	64.1	64.1	64.0	64.0	64.0	64.0	64.0	63.9	63.8	63.4	63.79	
23	63.2	62.9	62.8	62.4	62.8	62.2	62.2	62.1	62.1	62.0	62.0	61.8	61.8	61.0	60.8	60.4	60.2	60.1	60.0	60.1	60.1	60.0	59.9	59.6	61.90	
24	59.1	58.8	58.5	58.4	58.1	58.0	57.9	57.8	57.5	57.4	57.4	57.3	57.6	57.5	58.1	58.4	58.5	58.8	59.0	59.4	59.9	60.2	60.5	60.6	58.51	
25	60.7	60.8	61.0	61.2	61.4	61.6	62.0	62.8	62.4	63.0	63.8	63.8	63.8	64.0	64.1	64.1	64.4	64.5	64.6	65.0	65.5	66.0	66.2	66.8	63.41	
26	66.2	66.1	66.0	66.0	66.0	66.1	66.2	66.4	66.5	66.7	67.0	67.2	67.8	67.3	67.3	67.5	67.8	67.9	67.9	67.4	67.4	67.4	67.5	67.6	67.5	66.87
27	67.4	67.3	67.2	67.2	67.1	67.1	67.2	67.2	67.3	67.3	67.3	67.4	67.4	67.4	67.5	67.4	67.6	67.5	67.2	67.2	67.3	67.2	67.0	66.8	67.28	
28	66.4	65.3	65.1	64.5	64.5	64.8	64.7	64.8	65.0	65.3	65.5	65.6	65.8	65.8	65.9	65.8	66.0	66.3	66.3	66.2	66.2	66.3	66.3	66.1	65.60	
29	66.0	66.0	66.0	66.0	66.0	66.1	66.4	66.2	66.3	66.5	66.7	66.8	66.8	66.8	66.7	66.8	66.4	66.4	66.4	66.4	66.4	66.5	66.5	66.3	66.0	66.97
30	65.7	65.4	65.0	64.8	64.7	64.8	64.5	64.4	64.4	64.5	64.4	64.3	64.1	63.9	63.5	63.5	63.5	63.5	63.5	63.8	63.5	63.5	63.4	63.5	64.18	
31	63.8	62.9	62.8	62.9	63.1	63.8	63.5	63.5	63.5	63.9	64.0	64.1	64.3	64.4	64.4	64.8	65.0	65.0	65.1	65.4	65.5	65.5	65.5	65.4	64.28	
M.	64.01	63.78	63.61	63.54	63.51	63.88	63.69	63.59	63.84	63.75	63.77	63.80	63.85	63.85	63.84	63.85	63.88	63.87	63.86	64.09	64.29	64.82	64.28	64.17	63.85	

August 1930

Säntis

Tag	1 ⁰⁰	2 ⁰⁰	3 ⁰⁰	4 ⁰⁰	5 ⁰⁰	6 ⁰⁰	7 ⁰⁰	8 ⁰⁰	9 ⁰⁰	10 ⁰⁰	11 ⁰⁰	12 ⁰⁰	13 ⁰⁰	14 ⁰⁰	15 ⁰⁰	16 ⁰⁰	17 ⁰⁰	18 ⁰⁰	19 ⁰⁰	20 ⁰⁰	21 ⁰⁰	22 ⁰⁰	23 ⁰⁰	0 ⁰⁰	Tagesmittel	
1	65.2	65.2	65.2	65.2	65.2	65.2	65.2	65.8	65.5	65.8	66.0	66.1	66.1	66.2	66.2	66.0	66.0	66.0	66.0	66.0	65.9	65.9	65.8	65.7	65.70	
2	65.5	65.2	65.1	64.9	64.9	65.0	65.0	65.0	65.0	64.9	64.8	64.7	64.4	64.2	64.0	63.7	63.4	63.2	62.8	62.8	62.8	62.8	62.9	62.8	62.8	64.16
3	62.4	62.2	62.1	62.0	61.7	61.7	61.7	61.9	61.9	61.9	61.7	61.8	61.8	61.7	61.8	61.9	61.9	62.8	62.9	62.9	63.0	63.4	63.4	63.4	63.4	62.27
4	63.9	63.0	62.7	62.5	62.7	63.1	63.8	63.5	63.8	64.0	64.0	64.0	64.0	64.0	64.0	63.8	63.4	63.6	63.5	63.4	63.4	63.4	62.8	62.4	63.88	
5	62.2	62.1	62.0	62.0	62.0	62.0	61.8	61.8	62.2	62.1	62.0	61.7	61.4	61.8	61.2	61.0	60.4	60.5	60.8	61.8	61.0	61.8	61.5	61.5	61.57	
6	61.5	61.3	61.0	61.2	61.4	61.4	62.1	62.4	62.5	62.7	63.0	63.0	63.0	63.0	63.0	63.0	63.0	63.0	63.2	63.8	63.4	63.4	63.5	63.5	62.58	
7	63.5	63.4	63.3	63.3	63.8	63.1	62.7	62.8	63.0	63.1	63.2	63.4	63.5	63.6	63.6	63.8	63.8	63.8	64.1	64.2	64.3	64.2	64.0	63.8	63.52	
8	63.0	63.3	63.1	63.0	62.9	62.9	62.9	62.9	63.0	63.1	63.1	63.1	63.2	63.4	63.6	63.9	64.1	64.8	64.4	64.5	64.6	64.9	65.0	65.0	63.68	
9	65.0	65.0	65.0	65.0	65.0	65.2	65.5	65.7	65.9	66.0	66.0	66.1	66.2	66.2	66.2	66.4	66.4	66.5	66.6	66.7	66.8	66.8	66.8	66.8	66.8	66.00
10	66.6	66.2	65.9	65.8	65.8	65.9	66.0	66.1	66.1	65.9	65.8	65.8	65.8	66.2	66.4	66.7	66.8	66.5	66.5	66.5	66.5	66.4	66.3	66.2	66.18	
11	66.0	65.9	65.8	65.9	66.1	66.2	66.8	66.4	66.5	66.8	67.0	66.0	66.8	66.8	66.7	66.7	66.8	66.6	66.6	66.5	66.2	66.0	65.8	65.8	66.37	
12	65.4	65.1	65.0	64.8	64.8	64.7	64.7	64.6	64.8	64.1	64.1	64.0	63.9	63.7	63.6	63.6	63.4	63.2	63.0	63.2	63.4	63.4	63.4	63.2	64.01	
13	62.9	62.4	62.0	61.9	61.7	61.5	61.5	61.2	61.2	61.3	61.1	61.0	61.0	60.8	61.1	61.1	61.0	61.0	61.1	61.4	61.3	61.2	61.0	60.8	61.36	
14	61.5	60.4	60.0	59.6	59.3	59.0	58.4	58.4	58.2	58.1	57.5	56.7	56.1	55.9	55.8	56.2	56.4	56.8	57.4	57.8	57.8	58.2	58.1	58.2	57.08	
15	58.2	58.4	58.6	58.6	58.8	58.3	58.9	59.9	59.6	59.9	60.1	60.4	60.5	60.8	61.2	61.5	61.8	61.7	61.5	61.2	61.0	60.7	59.9	59.3	60.01	

September 1930

Stündliche Barometerstände (500 m)

Säntis

Table with 24 columns (1 to 24) and 31 rows (1 to 30 plus M). Each cell contains a numerical value representing hourly barometer readings.

Oktober 1930

Säntis

Table with 24 columns (1 to 24) and 31 rows (1 to 31 plus M). Each cell contains a numerical value representing hourly barometer readings.

November 1930

Stündliche Barometerstände (500 m)

Säntis

Table with 25 columns (hours 1-25) and 25 rows (days 1-25). Each cell contains a numerical barometer reading. A summary row 'M.' is at the bottom.

Dezember 1930

Säntis

Table with 25 columns (hours 1-25) and 25 rows (days 1-25). Each cell contains a numerical barometer reading. A summary row 'M.' is at the bottom.

1930

Tägliche Maxima und Minima der Barometerstände

Säntis

Tag	Januar		Februar		März		April		Mai		Juni		Juli		August		September		Oktober		November		Dezember	
	Max.	Min.	Max.	Min.	Max.	Min.	Max.	Min.	Max.	Min.	Max.	Min.	Max.	Min.	Max.	Min.	Max.	Min.	Max.	Min.	Max.	Min.	Max.	Min.
1	62.0	60.4	45.2	42.0	65.5	64.2	62.1	61.3	61.2	55.7	67.6	65.5	65.5	64.0	60.2	65.2	71.0	69.7	67.1	65.0	63.5	60.2	68.9	67.6
2	62.1	58.5	46.8	43.1	67.3	65.4	61.9	60.0	61.5	61.0	63.4	61.6	65.3	63.4	65.5	62.6	70.9	70.1	70.0	67.0	59.7	51.2	67.3	65.6
3	64.8	62.0	49.8	47.1	69.1	61.2	59.7	52.7	63.4	61.2	64.7	61.7	68.6	65.3	63.4	61.6	71.5	71.3	71.7	61.9	49.1	45.5	66.3	55.7
4	64.0	60.4	50.6	49.1	69.6	68.7	52.5	49.8	63.9	63.0	68.7	64.8	69.8	68.0	64.0	62.4	70.5	69.4	71.3	65.3	52.6	44.3	65.9	62.3
5	61.2	56.1	51.1	50.3	68.9	67.5	53.8	51.5	62.7	61.7	68.5	67.0	69.3	68.2	62.2	60.4	69.8	68.7	65.1	55.0	53.4	52.3	62.1	58.2
6	65.8	56.9	51.0	50.3	67.4	64.6	56.2	53.6	60.7	56.1	67.5	65.2	68.2	61.8	63.5	61.0	70.0	68.5	55.2	51.0	58.6	53.1	58.1	57.6
7	66.4	64.1	54.4	51.8	64.4	58.1	60.9	56.1	55.5	52.5	65.2	64.3	69.2	67.4	64.3	62.7	68.3	63.9	59.8	53.7	64.5	58.7	58.7	57.5
8	65.9	60.2	60.1	54.6	59.6	58.2	62.5	60.8	55.4	51.3	64.7	64.1	68.8	67.4	65.0	62.9	64.7	62.7	62.0	59.6	69.0	64.6	58.8	57.5
9	61.0	58.0	61.9	60.3	58.5	56.5	61.6	57.4	58.3	55.2	65.4	63.8	68.6	66.8	66.9	65.0	65.0	63.8	62.1	51.2	71.7	64.2	57.5	52.6
10	58.5	57.2	62.8	60.4	56.4	51.6	57.2	56.1	58.1	56.8	68.0	65.0	68.0	63.8	66.7	63.8	65.2	64.0	65.1	61.6	71.0	67.2	55.0	52.4
11	57.1	48.3	62.4	61.0	51.2	47.7	59.8	56.4	57.5	54.6	68.1	67.1	63.4	58.0	67.0	65.6	63.7	61.0	64.0	63.0	66.8	64.8	54.8	48.3
12	53.6	48.1	64.5	60.8	47.8	46.6	60.5	58.4	58.1	55.4	68.2	67.4	58.9	57.8	65.4	63.0	63.2	59.2	63.2	61.0	70.1	65.7	53.1	48.4
13	67.0	52.8	64.5	63.6	50.3	47.3	58.0	48.0	60.2	58.2	68.9	67.3	64.0	57.1	62.9	60.8	65.0	63.5	67.4	63.5	72.8	70.0	52.7	49.4
14	66.2	64.4	63.9	62.0	50.5	47.7	47.3	43.0	62.4	59.5	68.0	67.5	63.9	61.8	60.5	55.8	64.4	63.5	69.1	67.4	71.7	69.4	51.4	49.7
15	61.6	62.0	61.6	55.3	50.9	49.3	50.6	44.6	64.7	61.3	68.2	67.4	61.6	59.4	61.8	58.2	64.8	63.2	69.0	67.8	69.2	63.5	53.9	51.1
16	65.1	61.5	55.0	54.0	52.5	50.1	51.4	50.3	68.0	64.6	68.0	67.2	61.7	61.2	65.9	58.4	65.3	64.5	68.6	67.5	63.4	60.6	54.0	52.2
17	71.4	65.4	55.0	52.3	53.1	51.6	51.2	49.4	68.8	67.5	67.0	65.3	61.5	59.8	67.9	65.5	65.0	64.5	68.2	66.0	62.3	61.1	62.6	53.2
18	72.0	69.7	56.7	55.2	51.4	49.2	51.0	49.8	67.0	62.2	66.1	64.7	59.1	53.7	69.1	66.6	66.2	64.6	66.4	65.0	63.3	62.1	68.4	62.8
19	69.6	66.2	57.4	56.7	50.3	47.7	49.6	48.6	63.7	62.2	67.5	66.0	63.0	56.5	68.7	67.9	65.9	63.6	65.0	62.5	61.9	59.4	60.1	67.3
20	65.9	64.0	56.8	55.5	55.7	46.7	55.2	49.4	63.1	62.5	60.1	67.1	64.5	62.9	68.5	67.4	63.5	59.8	62.1	61.0	62.0	59.7	67.2	64.8
21	63.8	63.0	57.9	55.5	60.4	56.1	58.5	55.2	62.2	61.3	69.0	68.3	64.3	63.2	69.6	68.1	62.3	59.0	61.4	59.1	61.0	58.1	64.5	62.7
22	63.8	63.2	58.5	56.3	62.3	60.1	59.6	58.5	61.2	59.7	68.1	66.6	64.1	63.1	69.9	69.1	66.8	62.2	59.0	50.6	60.5	55.6	63.2	62.0
23	63.9	61.5	60.0	57.3	62.0	56.4	59.3	57.3	59.6	57.7	66.9	65.6	63.2	59.5	70.8	68.7	68.2	66.0	56.7	55.1	62.4	55.7	62.0	56.4
24	61.3	58.3	61.6	60.2	59.7	55.7	58.9	57.6	60.5	58.0	65.9	63.7	61.6	57.3	72.8	70.3	67.9	65.7	55.0	51.3	62.3	56.8	56.2	51.9
25	58.2	55.3	62.0	61.4	61.4	59.6	62.3	58.7	61.1	60.0	65.0	64.4	66.3	60.7	74.6	72.8	65.5	60.8	51.1	49.0	57.9	55.6	51.7	49.4
26	55.0	51.5	61.3	59.7	63.0	61.0	64.7	62.4	60.5	57.7	64.7	62.7	67.5	66.0	75.6	74.6	60.6	58.7	54.9	50.7	58.2	55.0	53.5	51.3
27	52.3	51.0	61.5	59.7	63.5	62.5	64.3	60.6	60.3	57.0	64.3	62.0	67.7	66.8	74.7	74.0	62.0	58.2	58.6	55.0	60.0	58.0	60.6	53.0
28	55.2	52.3	64.3	61.5	62.5	59.2	60.1	52.7	67.1	60.4	67.4	64.3	66.4	64.5	73.8	72.2	64.6	61.9	60.1	56.8	59.8	57.6	64.0	61.1
29	55.2	52.1			60.0	58.4	52.4	49.1	60.2	67.2	67.9	67.0	66.8	66.0	72.0	71.5	64.6	62.6	64.1	60.2	65.1	57.3	63.1	51.5
30	51.9	50.3			62.4	59.6	55.6	49.4	68.5	66.7	67.4	65.8	65.7	63.5	71.6	70.9	65.0	63.2	64.7	63.7	68.5	65.3	53.3	51.0
31	50.9	45.4			61.7	60.9			67.7	67.0			65.5	62.8	71.1	70.2			64.9	63.8			51.7	48.5
Mittl. Max.	61.65		57.81		59.32		57.29		62.34		67.07		65.18		67.80		66.05		63.32		63.06		51.06	
Mittl. Min.	58.08		55.57		56.63		53.98		58.81		65.37		62.07		65.84		60.53		60.43		59.16		55.14	
Differenz	3.57		2.24		2.69		3.31		2.53		1.70		2.51		1.96		5.52		2.89		3.90		5.92	
Abs. Max.	72.0		64.5		69.0		64.7		69.2		69.1		69.3		75.6		71.5		71.7		72.3		69.1	
Abs. Min.	45.4		42.0		46.6		43.9		51.3		61.6		53.7		55.8		58.2		49.0		44.3		48.3	
Differenz	26.6		22.5		23.0		20.8		17.9		7.5		15.6		19.8		13.3		22.7		28.0		20.8	

1930

Übersicht über den täglichen Gang des Luftdruckes

Säntis

Abweichungen vom Monatsmittel.

	Mittel 500 +	1 ³⁰	2 ³⁰	3 ³⁰	4 ³⁰	5 ³⁰	6 ³⁰	7 ³⁰	8 ³⁰	9 ³⁰	10 ³⁰	11 ³⁰	12 ³⁰	13 ³⁰	14 ³⁰	15 ³⁰	16 ³⁰	17 ³⁰	18 ³⁰	19 ³⁰	20 ³⁰	21 ³⁰	22 ³⁰	23 ³⁰	0 ³⁰	Abw. mm.
Januar	59.98	.13	.13	.10	-.04	-.14	-.09	-.03	.09	.25	.37	.27	.16	.00	-.04	-.01	.01	-.01	.00	-.01	-.04	-.11	-.24	-.30	-.35	.72
Februar	56.61	-.20	-.24	-.31	-.40	-.43	-. 44	-.36	-.27	-.16	.00	.02	-.02	-.07	-.10	-.07	.03	.09	.22	.30	.38	.49	.50	.51	.51	.95
März	57.90	.17	.09	-.13	-.20	-.20	-.22	-.16	-.07	.16	.08	.05	-.02	-.09	-.12	-.13	-.13	-.04	.09	.17	.27	.29	.23	.17	.51	.51
April	55.61	.10	-.05	-.20	-.31	-.37	-. 37	-.29	-.22	-.12	.00	.08	.13	.15	.13	.13	.13	.06	.06	.11	.21	.23	.17	.14	.06	.60
Mai	61.04	-.16	-.30	-.44	-.58	-.58	-.47	-.39	-.31	-.18	-.01	.08	.12	.15	.15	.14	.13	.13	.20	.24	.37	.45	.45	.43	.37	.98
Juni	66.16	.09	-.05	-.17	-.25	-.27	-.24	-.16	-.09	.01	.15	.02	.19	.17	.08	.00	-.10	-.12	-.13	-.07	.05	.22	.23	.22	.14	.51
Juli	63.85	.16	-.07	-.24	-.31	-. 34	-.32	-.26	-.20	-.21	-.10	-.08	-.05	.00	.00	-.01	.00	.01	.02	.11	.24	.44	.47	.43	.32	.81
August	66.83	-.14	-.28	-.42	-. 49	-.48	-.35	-.28	-.14	-.04	.09	.12	.11	.10	.11	.13	.14	.11	.14	-.21	.29	.34	.32	.27	.16	.81
Septbr.	64.09	.07	-.11	-.29	-.38	-. 41	-.33	-.29	-.12	-.01	.10	.14	.19	.17	.18	.12	.09	.08	.10	.15	.16	.16	.15	.10	.01	.60
Oktober	61.97	-.04	-.21	-.36	-.43	-. 48	-.40	-.31	-.09	.00	.16	.15	.09	.04	.01	.05	.10	.17	.24	.26	.27	.29	.20	.09	-.01	.77
Novbr.	61.23	-.22	-.32	-.47	-.64	-. 67	-.65	-.41	-.20	.02	.28	.30	.16	.02	-.01	.03	.16	.21	.35	.41	.41	.41	.34	.25	.14	1.08
Dezbr.	57.90	.33	.29	.21	.09	-.01	.01	.10	.12	.22	.37	.21	.07	-.09	-.19	-.23	-.23	-.27	-.25	-.18	-.14	-.05	-.07	-.11	-.25	.64

Januar 1930.

$h_a = 6.0^m$.

Stündliche Aufzeichnungen des Anemometers.

Tag	Mittel	0 ³⁰ -1 ³⁰	1 ³⁰ -2 ³⁰	2 ³⁰ -3 ³⁰	3 ³⁰ -4 ³⁰	4 ³⁰ -5 ³⁰	5 ³⁰ -6 ³⁰	6 ³⁰ -7 ³⁰	7 ³⁰ -8 ³⁰	8 ³⁰ -9 ³⁰	9 ³⁰ -10 ³⁰	10 ³⁰ -11 ³⁰	11 ³⁰ -12 ³⁰
1	15.3	WSW 10	WSW 10	WSW 10	WSW 8	WSW 11	WSW 7	WSW 11	WSW 9	WSW 8	WSW 8	WSW 3	WSW 9
2	36.4	WSW 66	WSW 44	WSW 42	WSW 50	WSW 54	WSW 44	WSW 44	WSW 52	WSW 46	WSW 44	WSW 48	WSW 48
3	24.7	WSW 20	WSW 22	WSW 26	WSW 22	WSW 20	WSW 12	WSW 20	WSW 15	WSW 13	WSW 14	WSW 12	WSW 11
4	26.8	WSW 44	WSW 34	WSW 44	WSW 42	SW 36	SW 40	SW 26	SW 32	SW 34	SW 34	SW 32	SW 30
5	45.2	S 28	S 36	S 54	S 30	S 34	S 50	S 48	S 44	S 42	S 48	S 32	S 26
6	26.7	SSW 34	SSW 32	SSW 34	SSW 32	SSW 28	SSW 30	SSW 32	SSW 20	SW 26	SW 36	SW 34	SW 32
7	19.7	NE 22	NE 20	NE 18	NE 20	NE 20	NE 26	NE 28	NE 28	NE 22	NE 24	NE 24	NE 18
8	27.1	W 16	W 20	W 30	W 28	W 30	W 16	W 18	SSW 16	SSW 30	SSW 20	SW 22	SW 21
9	25.7	S 70	S 54	S 60	S 60	S 50	S 40	S 44	SW 28	WSW 28	WSW 20	S 10	S 16
10	20.0	S 24	S 28	S 27	S 30	SSW 39	SSW 30	SSW 21	SW 24	SW 18	SW 22	SW 18	SW 17
11	31.1	SW 24	SW 28	SW 26	SW 32	SW 38	SW 32	SW 28	S 16	S 24	S 22	SW 22	SW 16
12	28.4	WSW 56	WSW 64	WSW 46	WSW 41	WSW 33	WSW 40	WSW 33	WSW 22	WSW 18	WSW 15	WSW 22	WSW 18
13	20.0	WSW 44	WSW 36	WSW 38	WSW 32	WSW 30	WSW 31	WSW 31	SW 18	SW 16	SW 14	WSW 8	WSW 16
14	23.3	SW 20	SW 20	SW 36	SW 16	SW 32	SW 24	SW 20	SW 22	SW 22	SW 24	SW 23	SW 27
15	17.1	WSW 21	WSW 30	NW 14	NW 13	NW 15	W 18	W 4	NW 5	NW 19	NW 16	WNW 6	WNW 10
16	15.3	NW 18	NW 9	NNW 25	NNW 36	NNW 34	NNW 20	NNW 20	NNW 12	NNW 10	NNW 8	NNW 8	N 10
17	11.6	NE 6	NE 4	NE 8	NE 12	NE 10	E 9	E 5	NE 8	NE 6	NE 6	NE 4	NE 6
18	15.7	E 8	E 12	E 17	E 16	E 21	E 14	E 21	SW 18	SW 24	SW 18	SW 18	SW 12
19	16.7	NW 19	NW 17	NW 15	NW 13	NW 13	NW 10	NW 14	NW 17	NW 15	NW 13	NE 16	NE 18
20	28.0	S 16	S 17	S 15	S 12	WSW 16	WSW 19	WSW 30	WSW 29	WSW 36	WSW 46	WSW 40	WSW 44
21	14.8	SW 12	SSE 12	SSE 16	SSE 20	SSE 18	SW 18	SW 28	SW 32	SW 31	SW 26	SW 17	SW 16
22	9.4	NW 2	NW 3	NW 1	NW 3	NW 1	NW 5	NW 3	NW 5	NW 8	NW 5	NW 4	NW 5
23	12.3	WSW 28	WSW 26	WSW 22	W 22	W 20	W 16	W 12	W 12	W 10	W 10	NW 7	NW 9
24	17.3	S 4	S 10	S 8	SE 12	SE 12	S 16	S 22	SE 14	S 14	S 20	S 22	S 22
25	22.2	S 24	S 22	S 22	S 20	S 2	SSE 10	SSE 19	S 17	S 26	S 8	SE 17	SE 19
26	39.3	SE 47	SE 47	NE 40	SE 22	SE 28	SE 26	S 36	S 34	S 26	S 36	S 42	S 32
27	36.4	S 60	S 50	S 50	S 50	S 46	S 40	S 42	S 42	S 40	S 48	S 30	S 36
28	15.7	SE 23	SE 23	SE 16	ENE 20	ENE 15	ENE 11	ENE 19	ENE 19	ENE 18	ENE 14	ENE 16	NE 12
29	14.2	NW 22	NW 22	NW 24	NW 28	NW 27	NW 25	NW 20	NW 16	NW 22	NW 18	NNW 12	NNW 12
30	11.9	W 8	W 10	W 8	WNW 8	WNW 6	WNW 6	NW 8	NW 14	NW 22	W 32	W 24	W 24
31	9.4	WNW 7	WNW 4	WNW 0	WNW 2	W 7	W 7	W 5	W 2	W 6	W 0	SW 0	SW 1

Februar

1	21.6	SW 28	SW 34	SW 26	SW 22	SW 22	SW 20	SW 22	SW 20	SW 24	SW 32	SW 34	SW 42
2	9.4	SW 22	SW 13	SW 16	SW 11	SW 10	SW 10	SW 7	SW 7	WSW 6	WSW 4	S 0	S 4
3	21.4	SW 2	WSW 14	WSW 24	WSW 28	WSW 26	WSW 24	WSW 22	WSW 22	WSW 14	WSW 22	WSW 16	WSW 32
4	22.6	WSW 27	WSW 40	WSW 34	WSW 32	WSW 24	WSW 30	WSW 30	WSW 32	WSW 36	WSW 20	WSW 14	WSW 18
5	11.2	WSW 20	WSW 12	WSW 8	WSW 8	WSW 4	WSW 8	WSW 10	SW 7	SW 4	SW 1	SW 7	SW 10
6	7.9	WSW 13	WSW 10	WSW 10	WSW 8	WSW 2	WSW 0	WSW 1	NE 3	NE 6	NNE 9	NE 10	NE 8
7	12.0	NE 22	NE 18	NE 20	NE 18	NE 16	NE 18	NE 14	NE 11	NE 10	NE 9	NE 7	NE 7
8	14.0	NE 9	NE 10	NE 11	NE 15	NE 18	NE 13	NE 15	NE 10	NE 12	NE 18	ESE 10	SE 12
9	12.9	SSW 14	SSW 14	SSW 8	SSW 5	SSW 7	NE 6	NE 14	NE 12	NE 14	NE 12	NE 13	NE 15
10	25.8	NE 32	NE 30	NE 32	NE 38	SE 40	SE 18	SE 14	SE 12	SE 16	SE 22	SE 20	SE 30
11	16.8	S 27	S 17	S 22	S 12	S 12	S 14	S 16	NE 28	NE 22	NE 24	NE 4	NE 10
12	23.3	NE 22	NE 24	E 26	E 30	E 36	E 34	E 28	E 32	E 26	E 30	E 22	E 16
13	17.7	E 22	E 20	SE 12	SE 6	SE 6	SE 4	SE 12	SE 10	SE 20	SE 22	SE 24	S 30
14	15.2	S 10	S 5	S 3	S 8	S 8	S 16	S 24	S 20	S 24	S 20	SSW 15	SSW 15
15	24.7	WSW 20	WSW 22	WSW 18	WSW 18	WSW 18	SSW 14	SW 14	WSW 12	WSW 19	WSW 17	WSW 22	WSW 24
16	14.2	WSW 30	WSW 26	W 42	W 22	W 23	W 31	W 16	NW 12	NW 10	NW 10	NW 8	NW 14
17	18.3	NE 10	NE 14	NE 10	NNE 20	NNE 18	NNE 16	NNE 18	NE 12	NE 14	NE 10	NE 17	E 17
18	21.4	NE 14	NE 24	NE 22	NF 30	NE 22	NE 18	NE 23	NF 23	NE 24	NE 24	NE 24	NE 24
19	11.4	SE 7	SE 19	S 19	SSE 22	SSE 18	SSE 8	SE 9	NE 9	NE 12	NE 12	NE 10	NE 10
20	22.9	NF 19	NF 19	NF 30	NE 24	NE 28	NE 26	NF 22	NE 28	NE 22	NE 24	NE 17	NE 21
21	17.7	SE 28	SE 30	SE 28	E 14	E 18	E 22	E 30	NE 28	NE 25	NE 27	NE 16	NF 14
22	15.9	SW 8	SW 22	SW 20	WSW 16	WSW 20	WSW 24	WSW 26	SW 30	SW 30	SW 26	SSW 16	SSW 14
23	13.5	SE 10	SE 10	SE 9	SSW 9	SSW 12	SSW 14	SW 16	SW 12	SSW 14	SSW 22	SSW 12	SW 16
24	11.8	SSW 20	SSW 26	S 13	S 8	S 10	S 16	S 16	S 18	S 13	S 13	S 12	S 4
25	15.0	S 24	S 16	S 12	S 10	S 9	S 7	S 10	SW 4	SW 4	SW 5	SW 9	SW 9
26	16.4	SW 20	SW 16	SW 14	SW 10	SW 12	WSW 11	WSW 3	SW 4	S 4	S 6	S 6	S 9
27	17.0	S 10	S 12	S 10	S 10	SW 17	SW 15	SW 6	SSW 8	S 12	SE 18	S 14	S 20
28	12.7	S 4	S 6	S 14	SSW 17	S 22	S 14	S 12	S 8	S 14	S 16	S 11	S 11

Windrichtung und Geschwindigkeit (Kilometer pro Stunde).

Januar

Santis

Tag	12 ⁰⁰ -13 ⁰⁰	13 ⁰⁰ -14 ⁰⁰	14 ⁰⁰ -15 ⁰⁰	15 ⁰⁰ -16 ⁰⁰	16 ⁰⁰ -17 ⁰⁰	17 ⁰⁰ -18 ⁰⁰	18 ⁰⁰ -19 ⁰⁰	19 ⁰⁰ -20 ⁰⁰	20 ⁰⁰ -21 ⁰⁰	21 ⁰⁰ -22 ⁰⁰	22 ⁰⁰ -23 ⁰⁰	23 ⁰⁰ -0 ⁰⁰	Summe
1	WSW 10	WSW 15	WSW 11	WSW 12	WSW 18	WSW 20	WSW 18	WSW 24	WSW 20	WSW 32	WSW 38	WSW 44	366
2	WSW 38	WSW 38	WSW 28	WSW 24	WSW 26	WSW 18	WSW 20	WSW 17	WSW 19	WSW 24	WSW 18	WSW 22	874
3	WSW 10	WSW 21	WSW 24	WSW 22	WSW 38	WSW 30	WSW 28	WSW 40	WSW 44	WSW 42	WSW 46	WSW 42	594
4	SW 30	SW 24	SW 16	SW 12	SW 12	SW 14	SW 12	SW 14	SW 14	SW 16	SW 16	SW 28	644
5	SW 38	SW 38	SW 42	SSW 44	SSW 34	SSW 38	SSW 62	SSW 62	SSW 64	SSW 52	SSW 39	SSW 41	1086
6	SW 30	WSW 30	WSW 32	WSW 28	NW 18	NW 28	NW 14	N 22	N 22	NE 19	NE 18	NE 19	650
7	NE 12	NE 16	S 12	S 10	S 10	S 16	S 22	S 20	S 18	S 18	S 24	W 20	474
8	SW 32	SSE 25	SSE 8	SSE 9	SSE 13	SSE 16	SSE 30	SSE 38	S 38	S 58	S 50	S 66	650
9	S 10	S 2	S 6	S 9	S 13	S 14	S 8	S 10	S 10	S 13	S 19	S 24	618
10	SSW 19	SSW 12	SSW 16	SSW 12	S 12	S 16	S 15	S 19	S 16	SW 14	SW 18	SW 14	481
11	SW 22	S 22	S 24	S 24	S 32	S 28	S 36	S 28	S 42	WSW 40	WSW 66	WSW 74	746
12	WSW 16	WSW 18	WSW 14	WSW 17	WSW 15	WSW 18	WSW 22	WSW 26	WSW 33	WSW 24	WSW 34	WSW 36	681
13	WSW 18	WSW 14	WSW 14	WSW 9	SW 8	SW 8	SW 6	SW 5	SW 6	SW 28	SW 30	SW 20	480
14	SW 26	SW 28	SW 34	SW 28	SW 30	SW 18	SW 26	SE 18	SE 20	SE 16	SE 17	SE 12	559
15	WNW 8	WNW 14	WNW 14	WNW 20	NW 23	NW 35	NW 25	NW 29	NW 16	NW 26	NW 16	NW 14	411
16	N 10	NE 14	NE 10	NE 11	NE 9	NE 5	NE 7	NE 7	NE 9	NE 11	NE 7	NE 8	324
17	NE 20	S 18	S 12	S 0	SW 10	SW 16	NW 24	NW 25	NW 17	NW 18	NW 23	NW 12	279
18	SW 11	SW 11	SW 6	SW 8	SW 10	SW 10	SW 16	SW 20	SW 20	NW 22	NW 26	NW 17	376
19	NE 20	NE 24	NE 14	NE 18	NE 20	NE 22	NE 24	NE 18	NE 16	NE 12	NE 16	S 16	400
20	WSW 38	WSW 20	WSW 25	WSW 27	WSW 26	WSW 34	WSW 36	WSW 36	WSW 32	WSW 28	WSW 28	SW 22	672
21	SW 12	SW 2	SW 0	SW 8	SW 8	SW 8	SSE 6	SSE 6	SSE 16	SSE 18	SE 17	SE 8	355
22	SE 10	SSE 10	SSE 10	SSW 10	SSW 10	SSW 10	SSW 10	SSW 12	SW 14	SW 17	WSW 25	WSW 22	225
23	NW 6	NW 1	NW 3	NW 2	NW 8	NW 12	SE 10	SE 14	SSE 12	SSE 10	S 10	S 14	296
24	S 18	S 18	S 14	S 19	SSW 21	SSW 24	SSW 22	SSW 26	SSW 24	SW 18	SSW 12	S 24	416
25	SE 26	SE 23	SE 20	SE 27	SE 24	SE 22	SE 26	SE 26	SE 30	SE 34	SE 32	SE 36	532
26	S 36	S 28	S 32	S 40	S 40	S 32	S 30	S 46	S 54	S 62	S 62	S 66	944
27	S 34	S 32	S 20	S 28	S 28	SE 28	SE 22	SE 32	SE 32	SE 30	SE 24	SE 26	874
28	SE 6	SE 8	SE 8	SE 0	NW 10	NW 14	NW 20	NW 14	NW 20	NW 28	NW 22	NW 22	378
28	NW 4	NW 3	NW 2	NW 3	NW 7	NW 9	NW 12	NW 10	NW 10	NW 10	NW 12	W 10	340
30	WNW 14	WNW 12	WNW 12	WNW 16	WNW 15	WNW 8	WNW 8	WNW 7	WNW 8	WNW 5	WNW 4	WNW 6	285
31	SW 4	SW 12	SW 9	SW 5	SW 10	SW 4	SW 12	SW 16	SW 22	SW 26	SW 32	SW 32	225

Februar

1	SW 42	SW 20	SW 12	SW 14	SW 6	SW 14	SW 8	SW 12	SW 16	SW 16	SW 14	SW 18	518
2	S 2	S 4	SE 10	SE 8	SE 18	SE 16	SE 16	SE 14	S 6	S 10	SW 12	SW 6	226
3	WSW 16	WSW 32	WSW 26	WSW 28	WSW 24	WSW 25	WSW 21	WSW 24	WSW 16	WSW 18	WSW 18	WSW 20	514
4	WSW 20	WSW 20	WSW 18	WSW 15	WSW 20	WSW 14	WSW 14	WSW 14	WSW 18	WSW 14	WSW 23	WSW 19	542
5	SW 10	SW 9	SW 9	SW 10	SW 8	SW 14	SW 14	SW 14	SW 20	SW 24	SW 22	WSW 17	270
6	NE 8	NE 4	NE 0	NE 8	NNE 12	NNE 8	NNE 8	NNE 10	NNE 12	NE 16	NE 24	NE 24	190
7	NE 8	NE 8	NE 16	NE 10	NE 12	NE 8	NE 10	NE 8	NE 8	NE 10	NE 13	NE 13	289
8	SE 10	S 8	SSW 14	SSW 12	SSW 12	SSW 10	SSW 14	SSW 20	SSW 20	SSW 20	SSW 20	SSW 22	335
9	NE 12	NE 10	NE 10	NE 8	NE 6	NE 10	NE 10	NE 12	NE 14	NE 28	NE 30	NE 26	310
10	SE 30	SE 24	SE 34	SE 32	S 30	S 20	S 22	S 25	S 23	S 20	S 26	S 24	620
11	NE 18	NE 20	NE 12	NE 12	NE 14	NE 9	NE 11	NE 22	NE 18	NE 18	NE 18	NE 22	402
12	E 20	SE 11	SE 19	SE 18	SE 12	SE 14	SE 16	E 24	E 28	E 22	E 22	E 26	558
13	S 21	S 15	S 18	S 18	S 26	S 22	S 23	S 23	S 26	S 18	S 14	S 12	424
14	SSW 22	SSW 16	SSW 17	SSW 21	SSW 15	SSW 17	SSW 16	SSW 16	SSW 8	SSW 12	SSW 18	WSW 18	364
15	WSW 35	WSW 33	WSW 46	WSW 36	WSW 34	WSW 30	WSW 34	WSW 28	WSW 24	WSW 22	WSW 28	WSW 26	594
16	NW 12	NW 10	NW 11	N 7	N 12	N 4	N 1	N 2	NE 9	NE 9	NE 11	NE 10	342
17	E 19	E 8	E 19	ESE 22	SE 22	SE 22	SE 22	SE 28	SE 28	SE 30	SE 28	SE 18	438
18	NE 26	NE 16	NE 24	NE 26	NE 26	NE 28	NE 24	NE 18	NE 14	NE 14	NE 4	NE 11	513
19	NE 9	E 3	E 2	E 2	E 6	E 12	NE 12	NE 15	NE 13	NE 16	NE 12	NE 18	275
20	NE 22	NE 19	NE 19	NE 28	NE 22	NE 20	SE 18	SE 16	SE 20	SE 25	SE 29	SE 32	550
21	NE 16	NE 16	NE 16	NE 14	NE 12	NE 10	NE 18	NE 22	NE 8	NE 5	NE 5	SW 2	424
22	SSW 22	SSW 18	SSW 10	SSW 7	SSW 9	E 3	E 3	E 8	E 12	E 16	E 8	E 14	382
23	SW 13	SW 15	SW 14	SW 14	SSW 16	SSW 20	SSW 18	SSW 24	SSW 20	S 16	S 20	SSW 27	373
24	S 10	S 5	S 9	S 9	S 7	S 7	S 7	S 10	S 5	S 11	S 16	S 12	283
25	SW 15	SW 18	SW 20	SW 18	SW 18	SW 21	SW 17	SW 20	SW 26	SW 22	SW 23	SW 23	360
26	S 15	SSW 14	SSW 14	SSW 14	SW 10	SW 9	S 9	S 12	S 18	S 7	S 3	S 10	250
27	S 28	S 24	S 37	S 30	S 26	S 22	S 20	S 22	S 20	S 15	S 6	S 6	408
28	S 12	S 14	S 14	S 14	S 18	S 15	S 15	S 14	S 14	S 12	S 8	S 6	305

März 1930

h_a = 6.0^m

Stündliche Aufzeichnungen des Anemometers.

Tag	Mittel	0 ⁰⁰ -1 ⁰⁰	1 ⁰⁰ -2 ⁰⁰	2 ⁰⁰ -3 ⁰⁰	3 ⁰⁰ -4 ⁰⁰	4 ⁰⁰ -5 ⁰⁰	5 ⁰⁰ -6 ⁰⁰	6 ⁰⁰ -7 ⁰⁰	7 ⁰⁰ -8 ⁰⁰	8 ⁰⁰ -9 ⁰⁰	9 ⁰⁰ -10 ⁰⁰	10 ⁰⁰ -11 ⁰⁰	11 ⁰⁰ -12 ⁰⁰	
1	22.8	SE	6 SE	0 SE	6 SE	10 E	14 E	11 E	14 E	15 E	21 SE	13 S	24 S	22
2	21.0	SSW	32 SSW	28 SSW	30 SSW	28 S	22 S	20 S	26 S	27 S	17 S	22 SW	22 SW	18
3	20.2	SW	35 SW	30 SW	24 SW	22 S	12 S	21 S	27 S	26 S	32 S	24 SSW	25 SSW	27
4	9.5	SW	10 SW	9 SW	5 SW	4 SW	0 SW	2 NW	3 NW	10 NW	7 NW	6 WSW	5 WSW	9
5	17.7	W	12 W	14 W	12 W	8 W	9 W	8 SW	9 SW	11 SW	12 SW	15 SW	12 SW	22
6	17.0	W	22 NW	30 NW	38 NW	30 NW	24 NW	20 NW	18 NW	14 NW	16 NW	12 NW	7 NW	7
7	24.2	WSW	28 WSW	30 WSW	42 WSW	28 WSW	38 WSW	42 SSE	21 S	21 S	30 S	22 W	16 W	32
8	8.5	WSW	8 WSW	2 WSW	7 WSW	8 WNW	4 WNW	4 WNW	21 W	8 W	0 W	2 W	0 ESE	4
9	21.1	NE	12 NE	9 NE	15 NE	15 NE	17 NE	14 NE	8 NE	6 NE	2 NE	12 WNW	8 WNW	8
10	31.6	SW	42 SW	36 SW	42 SW	40 SW	40 SW	32 SW	34 SW	26 SW	26 SW	32 SW	36 SW	22
11	10.8	WNW	27 WNW	28 WNW	26 WNW	22 WNW	22 NW	11 NW	11 NW	10 NW	10 NW	8 W	3 W	4
12	2.1	NW	2 NW	2 NW	0 NW	0 NW	0 NW	0 NW	0 NW	0 NW	8 NW	3 WSW	2 WSW	1
13	23.1	WSW	9 WSW	17 WSW	12 WSW	16 WSW	28 WSW	30 WSW	28 WSW	28 WSW	30 WSW	26 WSW	30 WSW	30
14	23.1	WSW	22 WSW	18 WSW	12 WSW	16 WSW	16 WSW	14 WSW	24 WSW	46 WSW	32 WSW	44 SW	27 SW	37
15	45.7	WSW	12 WSW	10 SW	4 WSW	9 WSW	11 WSW	17 SW	15 SW	9 SW	12 SW	21 WSW	12 WSW	12
16	25.5	SSW	30 SSW	26 SW	30 SW	29 SW	24 SW	19 SW	20 SW	19 SW	24 SW	14 SW	15 SW	12
17	10.4	SW	35 SW	26 SW	34 SW	24 SW	29 SW	17 SW	19 SW	15 WSW	14 WSW	16 WSW	19 WSW	17
18	16.5	SW	14 S	10 S	18 S	17 S	19 S	20 SW	20 SW	24 SW	20 SW	18 WSW	14 WSW	16
19	9.3	WSW	9 WSW	17 WSW	16 WSW	8 WSW	8 WSW	4 WSW	3 NW	3 NW	2 NW	1 WSW	0 WSW	5
20	16.9	W	22 WSW	20 WSW	24 WSW	29 WSW	22 WSW	21 WSW	19 WSW	11 WSW	8 WSW	18 WSW	22 WSW	24
21	16.9	WSW	0 WSW	0 WSW	0 W	0 W	0 W	0 W	5 W	22 W	20 W	16 W	14 S	22
22	24.9	SSW	18 SSW	16 SSW	20 SSW	20 SSW	26 SSW	25 SSW	25 WSW	22 WSW	50 WSW	32 WSW	10 WSW	48
23	11.5	WSW	6 WSW	3 WSW	10 WSW	7 WSW	8 WSW	8 WSW	10 WSW	6 WSW	7 S	9 S	2 S	2
24	10.4	SSW	16 SSW	15 SSW	16 SSW	9 SSW	7 SSW	7 SSW	7 SSW	6 S	8 SE	9 SE	11 SE	8
25	6.2	NE	6 NE	6 E	8 E	7 E	7 E	7 E	3 ENE	8 ENE	5 ENE	7 ENE	4 ENE	4
26	5.7	SSE	7 SSE	8 SSE	0 SSE	0 SSE	0 SSE	0 SSE	0 N	0 NNW	1 NNW	6 NNW	3 NW	6
27	24.0	N	16 N	27 N	32 N	42 N	30 N	36 N	32 N	32 N	30 N	32 N	29 N	27
28	22.2	E	9 ENE	18 ENE	19 ENE	20 ENE	20 ENE	24 ENE	20 ENE	16 ENE	16 ENE	20 S	10 SSE	16
29	40.4	WSW	40 WSW	48 WSW	60 WSW	52 WSW	46 WSW	40 WSW	60 WSW	56 WSW	68 WSW	56 WSW	52 WSW	52
30	7.4	WSW	6 WSW	3 NW	1 NW	5 NW	5 NW	5 N	8 N	8 N	8 N	7 N	5 N	3
31	28.6	NE	27 NE	16 NE	22 NE	29 E	18 E	18 E	18 SW	3 SW	11 SW	20 SW	10 SW	20

April

1	22.4	SW	40 WSW	38 WSW	30 WSW	26 WSW	18 WSW	15 WSW	15 WSW	12 WSW	10 WSW	12 WSW	10 WSW	12 WSW
2	31.7	WSW	36 SW	36 SW	29 SW	29 SW	34 SW	28 SW	30 SW	28 SSW	46 SSW	46 SSW	42 SW	50
3	26.0	WSW	16 WSW	20 WSW	22 WSW	28 WSW	22 WSW	34 WSW	42 WSW	42 WSW	29 WSW	39 WSW	42 WSW	38
4	6.7	S	10 S	7 S	9 S	7 S	5 S	4 S	5 NE	6 NE	5 NE	6 NE	8 NE	8
5	5.0	NE	6 NE	6 NE	8 NW	3 NW	6 NW	4 NW	7 N	7 N	4 N	5 NW	0 NW	0
6	9.0	N	6 N	7 N	0 N	10 NE	4 NE	6 NE	2 NE	3 NE	7 NE	9 NE	7 NE	8
7	12.1	N	12 N	14 N	11 N	15 N	16 N	18 N	12 E	16 E	16 E	8 E	8 E	10
8	9.0	NE	12 NE	13 NE	13 NE	11 NE	12 NE	10 NE	8 NE	7 NE	3 NE	6 NE	8 NE	3
9	14.4	NNW	11 WNW	10 WNW	16 WNW	23 SW	18 SW	16 SW	16 SW	21 SW	15 SW	17 S	7 S	8
10	26.3	SW	30 SW	34 SW	26 SW	24 WSW	28 WSW	26 WSW	28 WSW	26 WSW	34 WSW	36 WSW	30 WSW	28
11	23.4	WSW	18 WSW	15 WSW	19 SW	16 SW	18 SW	16 SW	16 SW	22 SW	22 SW	22 SW	20 SW	20
12	22.0	SW	31 SW	31 SW	30 SW	31 SW	28 SW	22 SW	18 SSW	16 SSW	17 SSW	19 SSW	18 SSW	14
13	17.7	S	14 S	22 S	28 S	24 S	16 S	24 S	16 S	19 S	18 S	29 SSW	26 SSW	20
14	13.1	S	4 S	6 S	12 S	10 S	8 S	18 S	20 S	12 S	14 S	17 S	16 S	24
15	7.7	NW	9 NW	6 NW	10 NW	17 NW	13 NW	12 NW	6 W	3 W	5 W	5 WSW	6 WSW	6
16	24.0	WSW	4 WSW	1 WSW	1 W	2 W	2 W	2 W	4 W	4 W	10 W	24 W	44 W	52
17	27.5	WSW	22 WSW	30 WSW	28 WSW	30 WSW	36 WSW	30 WSW	48 W	32 W	40 W	36 W	30 W	40
18	7.5	W	17 W	18 W	18 W	8 W	0 W	0 W	0 W	0 W	0 W	0 W	0 W	0
19	4.3	WSW	12 WSW	2 WSW	0 WSW	0 WSW	0 WSW	6 WSW	6 WSW	6 WSW	1 WSW	1 WSW	2 N	4
20	16.0	S	10 S	9 S	13 S	10 S	8 S	4 S	2 S	2 S	16 S	18 S	26 S	30
21	12.5	S	23 SSW	13 SSW	13 SSW	15 SSW	12 SSW	10 SSW	7 SSW	5 SSW	5 SSW	9 SW	16 SW	16
22	12.9	NW	8 NW	11 NW	11 NW	19 NW	16 NW	17 SW	8 SW	12 SW	14 SW	15 SW	19 SW	20
23	20.5	S	10 S	10 S	14 S	16 S	18 S	22 S	21 SE	16 SE	21 SE	18 S	19 S	21
24	32.3	S	20 S	20 S	16 S	26 S	29 S	25 S	28 S	28 S	32 S	34 S	26 S	30
25	28.2	S	33 S	38 S	36 S	29 S	33 S	38 S	36 SSW	34 SSW	36 SSW	32 S	22 S	28
26	10.0	S	15 S	17 S	13 S	13 S	12 S	13 S	9 SSE	10 SSE	12 SSE	12 SSE	7 S	6
27	14.0	SW	7 SW	10 NE	14 NE	17 NE	11 NE	6 NE	12 S	10 S	14 S	12 S	6 S	10
28	25.6	S	26 S	23 SSE	21 SSE	18 SSE	18 SSE	18 SE	16 SE	23 SE	23 S	20 S	25 S	29
29	21.0	NE	32 NE	38 NE	31 NE	20 NE	25 NE	16 NE	21 NE	19 NE	16 NE	17 NNE	15 NNE	13
30	15.1	NE	7 NE	15 NE	18 NE	22 NE	19 NE	19 NE	11 NE	13 NE	13 N	10 N	9 NW	6

Windrichtung und Geschwindigkeit (Kilometer pro Stunde).

März

Säntis

Tag	12 ⁰⁰ -13 ⁰⁰	13 ⁰⁰ -14 ⁰⁰	14 ⁰⁰ -15 ⁰⁰	15 ⁰⁰ -16 ⁰⁰	16 ⁰⁰ -17 ⁰⁰	17 ⁰⁰ -18 ⁰⁰	18 ⁰⁰ -19 ⁰⁰	19 ⁰⁰ -20 ⁰⁰	20 ⁰⁰ -21 ⁰⁰	21 ⁰⁰ -22 ⁰⁰	22 ⁰⁰ -23 ⁰⁰	23 ⁰⁰ -0 ⁰⁰	Summe
1	S 30	S 26	S 32	S 24	S 30	SSW 34	SSW 38	SSW 36	SSW 32	SSW 36	SSW 34	SSW 38	546
2	SW 29	SW 21	SW 18	SW 22	SW 20	SW 10	SW 18	SW 16	SW 12	SW 8	SW 11	SW 20	503
3	SSW 22	SSW 20	SSW 22	SSW 16	S 16	S 18	S 22	S 10	S 4	SW 8	SW 11	SW 10	484
4	WSW 7	WSW 8	SW 14	SW 16	SW 20	SW 16	W 16	W 14	W 13	W 11	W 11	W 13	229
5	SW 28	SW 24	SW 26	SW 28	SW 34	SW 34	SW 30	W 20	W 18	W 12	W 11	W 17	426
6	NW 7	NW 5	N 2	ENE 18	E 18	E 19	E 15	E 15	E 9	SE 14	S 17	WSW 25	408
7	SW 32	SW 20	SW 16	WSW 18	WSW 27	WSW 25	WSW 16	WSW 20	WSW 21	WSW 15	WSW 8	WSW 7	581
8	ESE 4	SE 4	SE 6	SE 6	SE 6	SE 5	NE 11	NE 16	NE 25	NE 22	NE 29	NE 22	205
9	SW 8	SW 22	SW 22	SW 26	SW 28	SW 38	SW 39	SW 37	SW 37	SW 42	SW 42	SW 40	507
10	SW 36	SW 32	SW 37	SW 25	SW 18	SW 16	W 40	W 42	W 27	W 23	WNW 19	WNW 28	757
11	W 7	W 6	W 7	WNW 6	WNW 7	WNW 9	WSW 8	W 7	W 6	NW 6	NW 6	NW 2	259
12	WSW 1	WSW 0	WSW 0	WSW 0	WSW 0	WSW 0	WSW 0	WSW 7	WSW 5	WSW 4	WSW 6	WSW 10	51
13	WSW 32	WSW 28	WSW 32	WSW 25	WSW 16	WSW 19	WSW 23	WSW 20	WSW 19	WSW 18	WSW 22	WSW 17	555
14	SW 40	SW 28	SW 28	SW 25	SW 23	SW 18	SW 14	SW 8	SW 12	WSW 16	WSW 16	WSW 18	554
15	WSW 18	WSW 0	WSW 16	WSW 24	WSW 20	WSW 30	WSW 40	SSW 83	SSW 78	SSW 71	SSW 47	SSW 46	617
16	SW 12	SW 8	SW 6	SW 5	SW 15	SW 56	SW 56	SW 61	SW 35	SW 32	SW 27	SW 31	611
17	WSW 13	WSW 9	WSW 10	WSW 12	WSW 8	WSW 10	WSW 12	WSW 7	WSW 15	WSW 13	SW 10	SW 10	394
18	W 20	W 28	W 32	W 28	W 34	W 20	W 10	W 2	W 0	W 0	WSW 6	WSW 6	396
19	WSW 7	WSW 7	W 8	W 6	W 6	W 14	W 11	W 13	W 14	W 19	W 18	W 23	222
20	WSW 21	WSW 21	WSW 20	WSW 18	WSW 12	WSW 12	WSW 11	WSW 13	WSW 12	WSW 10	WSW 9	WSW 6	405
21	S 30	S 32	S 28	S 19	S 11	SSE 18	SSW 25	SSW 27	SSW 40	SSW 30	SSW 24	SSW 22	405
22	WSW 46	WSW 44	WSW 32	WSW 24	WSW 24	WSW 26	WSW 16	WSW 21	WSW 16	WSW 11	WSW 13	WSW 13	598
23	S 4	S 12	S 20	SSW 12	SSW 20	SSW 18	SSW 20	SSW 0	SSW 22	SSW 30	SSW 20	SSW 20	276
24	SE 5	NE 4	NE 7	NE 11	NE 16	NE 14	NE 12	NE 16	NE 18	NE 13	NE 7	NE 7	240
25	ESE 5	ESE 5	E 7	E 7	E 11	E 6	SSE 12	SSE 8	SSE 4	SSE 5	SSE 3	SSE 3	148
26	NW 7	NW 6	NNW 13	NNW 16	NNW 19	NNW 9	NNW 9	NNW 7	NNW 4	N 2	N 2	N 9	138
27	N 28	N 17	N 23	N 24	N 16	N 20	N 16	N 18	N 13	N 14	NE 11	E 10	575
28	SSE 10	WSW 12	WSW 11	WSW 11	WSW 21	WSW 30	WSW 36	WSW 34	WSW 30	WSW 42	WSW 44	WSW 44	931
29	WSW 60	WSW 50	WSW 42	WSW 40	WSW 40	WSW 28	WSW 17	WSW 13	WSW 18	WSW 13	WSW 11	WSW 9	572
30	N 4	N 2	N 4	N 8	N 6	N 9	N 9	N 12	N 14	N 13	N 15	NE 18	178
31	SW 32	SW 28	SW 28	SW 30	SW 28	SW 42	SW 42	SW 52	SW 40	SW 50	SW 54	SW 48	686

April

1	WSW 20	WSW 8	WSW 20	WSW 22	WSW 24	WSW 20	WSW 34	WSW 22	WSW 26	WSW 33	WSW 31	WSW 40	538
2	SW 46	SW 40	SW 40	SW 30	SW 18	SW 20	SW 22	SW 28	SW 25	SW 23	SSW 22	SSW 12	760
3	WSW 30	WSW 38	WSW 20	S 14	S 4	S 16	S 21	S 23	S 32	S 20	S 15	S 9	624
4	NE 9	NE 8	SE 3	SE 3	SE 8	SE 5	SE 11	SE 7	SE 7	NE 4	NE 7	NE 8	160
5	NW 1	NW 0	NW 1	NW 0	NW 6	N 10	N 10	N 10	N 8	N 7	N 3	N 7	119
6	NE 6	NE 6	NE 10	NE 8	NE 8	NE 10	NE 14	NE 15	NE 14	NE 14	NE 19	NE 18	217
7	SE 7	SE 4	SE 8	NE 11	NE 14	NE 18	NE 18	NE 12	NE 12	NE 9	NE 14	NE 8	291
8	NE 7	NE 8	N 8	N 7	N 9	N 13	N 8	NE 8	NNW 12	NNW 11	NNW 9	NNW 9	215
9	S 4	S 6	S 4	SSW 10	SSW 8	SSW 8	SSW 10	SW 14	SW 18	SW 28	SW 24	SW 34	346
10	WSW 22	WSW 22	WSW 30	WSW 26	WSW 26	WSW 28	WSW 24	WSW 20	WSW 22	WSW 22	WSW 22	WSW 18	632
11	SW 22	WSW 22	WSW 22	WSW 22	WSW 26	WSW 22	WSW 26	WSW 40	WSW 30	WSW 31	WSW 36	WSW 38	561
12	SSW 16	S 21	S 19	S 15	S 17	S 18	S 28	S 18	S 24	S 38	S 24	S 14	527
13	SSW 18	S 17	S 13	S 10	S 14	S 14	S 18	S 20	S 16	S 12	S 12	S 4	424
14	S 17	SW 13	SW 11	SW 13	SW 12	SW 11	SW 12	SW 14	W 16	W 10	W 15	NW 10	315
15	WSW 7	WSW 1	WSW 10	WSW 10	WSW 12	WSW 7	WSW 9	WSW 8	WSW 8	WSW 8	WSW 7	WSW 9	184
16	W 48	W 46	W 41	WSW 39	WSW 34	WSW 38	WSW 28	WSW 36	WSW 32	WSW 12	WSW 38	WSW 34	576
17	W 40	W 38	W 40	W 27	W 23	W 22	W 12	W 14	W 14	W 12	W 8	W 7	659
18	W 0	W 5	SW 2	SW 4	WSW 8	WSW 11	WSW 19	WSW 19	WSW 20	WSW 15	WSW 9	WSW 8	181
19	N 3	N 3	N 3	N 6	N 3	N 1	N 7	N 12	N 7	N 6	N 9	S 8	104
20	S 29	S 21	S 20	S 20	S 16	S 14	S 11	S 19	S 24	S 24	S 20	S 18	384
21	SW 16	SW 13	SW 11	SW 10	SW 16	SW 10	WSW 12	WSW 11	WSW 13	WSW 15	WSW 22	WSW 8	301
22	SW 9	SW 11	SSW 8	SSW 6	SSW 5	SSW 10	S 14	S 19	S 15	S 17	SW 15	SW 11	310
23	S 14	S 26	SSW 22	SSW 21	SSW 25	SSW 15	SSW 24	S 30	S 30	S 28	S 24	S 28	493
24	S 28	S 30	S 29	S 33	S 44	S 52	S 54	S 46	S 42	S 40	S 32	S 31	775
25	S 34	S 30	S 28	S 20	S 22	S 14	S 16	S 20	S 22	S 21	S 28	S 27	677
26	S 7	S 10	S 8	S 10	S 8	SW 12	SW 13	SW 7	SW 2	SW 4	SW 9	SW 10	239
27	S 12	S 12	S 14	S 10	S 12	S 16	SSE 16	SSE 16	SSE 19	SSE 27	S 27	S 27	337
28	S 27	S 30	S 26	S 33	S 24	S 28	S 28	S 28	NE 26	NE 37	NE 31	NE 38	616
29	NE 6	NE 10	NE 26	NE 20	NE 21	NE 25	NE 26	NE 24	NE 29	NE 20	NE 16	NE 9	503
30	NW 10	WNW 10	W 8	W 12	SW 15	SW 25	SW 18	SW 18	SW 18	SW 24	SW 22	SW 20	362

Mai 1930.

h_a = 6.0^m.

Stündliche Aufzeichnungen des Anemometers.

Tag	Mittel	0 ³⁰ -1 ³⁰	1 ³⁰ -2 ³⁰	2 ³⁰ -3 ³⁰	3 ³⁰ -4 ³⁰	4 ³⁰ -5 ³⁰	5 ³⁰ -6 ³⁰	6 ³⁰ -7 ³⁰	7 ³⁰ -8 ³⁰	8 ³⁰ -9 ³⁰	9 ³⁰ -10 ³⁰	10 ³⁰ -11 ³⁰	11 ³⁰ -12 ³⁰
1	16.0	SW 24	SW 18	SW 24	SW 24	SW 24	SW 20	SW 24	SSW 31	SSW 18	SSW 9	SE 8	SE 10
2	10.8	ENE 13	ENE 18	ENE 9	ENE 6	ENE 0	ENE 8	ENE 8	E 8	E 8	E 6	NE 6	NE 6
3	18.0	NE 12	NE 16	NE 12	E 9	E 13	E 18	E 14	E 12	E 9	E 15	NE 10	NE 16
4	10.3	ENE 12	ENE 13	ENE 10	ENE 14	ENE 16	ENE 12	SSW 16	SSW 14	SSW 12	SSW 9	SSW 9	SSW 4
5	18.4	SSW 15	SSW 10	SSW 11	SSW 17	SSW 16	SSW 14	SSW 14	WSW 15	WSW 16	WSW 11	WSW 19	WSW 12
6	23.1	W 33	W 31	W 31	W 29	W 25	W 20	W 21	W 20	W 9	WSW 6	WSW 7	WSW 12
7	23.1	WSW 39	WSW 30	WSW 27	WSW 31	WSW 33	WSW 26	WSW 40	WSW 22	S 31	S 13	S 29	S 13
8	13.1	NNW 18	NNW 14	NNW 18	NNW 14	NNW 14	NNW 24	W 20	W 21	W 21	W 14	W 20	W 14
9	14.6	WNW 6	WNW 8	WNW 8	WNW 8	WNW 3	WNW 6	NW 5	NW 6	NW 12	NW 14	WSW 5	WSW 16
10	21.0	WSW 16	WSW 12	WSW 6	WSW 8	WSW 1	WSW 5	WSW 12	WSW 8	WSW 4	WSW 20	WSW 31	WSW 18
11	25.0	WSW 24	WSW 20	WSW 26	WSW 24	WSW 15	WSW 6	WSW 17	S 20	S 12	WSW 10	WSW 24	WSW 36
12	18.9	WSW 22	WSW 20	WSW 20	WSW 22	WSW 15	WSW 19	WSW 20	WSW 20	WSW 20	WSW 24	WSW 24	WSW 26
13	14.1	WSW 12	WSW 10	WSW 8	WSW 7	WSW 5	WSW 5	WSW 8	WSW 5	WSW 7	WSW 10	WSW 35	WSW 38
14	8.5	WSW 0	WSW 0	WSW 0	WSW 0	WSW 0	WSW 0	WSW 0	WSW 0	WSW 0	WSW 22	WSW 30	WSW 22
15	3.7	WSW 0	WSW 0	WSW 0	WSW 0	WSW 0	WSW 0	WSW 0	WSW 0	WSW 0	WSW 0	WSW 2	WSW 14
16	4.2	W 1	W 0	W 0	W 0	W 0	W 7	W 16	WSW 20	WSW 0	WSW 5	WNW 5	WNW 4
17	10.0	NW 2	NW 2	NW 4	NW 12	NNE 10	NNE 5	NNE 3	N 3	N 2	N 6	WSW 2	WSW 3
18	36.1	WSW 16	WSW 30	WSW 32	WSW 30	WSW 30	WSW 30	WSW 34	WSW 46	WSW 40	WSW 40	WSW 40	WSW 42
19	8.8	WSW 14	WSW 22	WSW 25	WSW 8	WSW 7	WSW 10	SSE 15	SSE 8	SSE 10	SSE 4	NNE 2	NNE 4
20	7.5	WSW 1	WSW 1	WSW 0	WSW 1	WSW 0	WSW 0	WSW 0	WSW 0	WSW 3	WSW 7	WSW 12	WSW 11
21	13.7	WSW 16	WSW 15	WSW 15	WSW 14	WSW 11	WSW 9	WSW 16	WSW 18	WSW 22	WSW 10	WSW 5	WSW 12
22	13.6	W 20	W 18	W 14	W 18	W 9	W 6	W 5	W 5	W 8	W 10	S 8	S 7
23	15.1	SSE 10	SSE 14	SSE 3	SSE 5	SSE 8	SSE 13	SSE 19	SSE 22	SSE 12	SSE 13	E 10	E 8
24	13.4	W 14	W 12	W 9	W 5	W 0	W 0	W 1	SSE 4	SSE 3	SSE 3	WSW 11	WSW 8
25	16.8	W 23	W 27	W 24	W 18	W 15	W 12	W 13	WSW 15	WSW 6	WSW 6	SSW 17	SSW 17
26	11.6	WSW 16	WSW 16	WSW 22	WSW 16	WSW 17	WSW 8	WSW 11	S 6	S 8	S 7	S 3	S 8
27	16.0	WSW 3	WSW 7	WSW 6	WSW 22	WSW 22	WSW 18	WSW 13	WSW 9	WSW 3	WSW 4	SSW 5	SSW 13
28	27.5	SSW 28	SSW 34	SSW 34	SSW 30	SSW 33	SSW 31	SSW 32	WSW 36	WSW 32	WSW 32	WSW 26	S 32
29	21.5	WSW 24	WSW 26	WSW 19	WSW 17	WSW 14	WSW 17	WSW 20	S 19	S 12	S 17	SSW 23	SSW 15
30	31.0	SSW 32	SSW 38	SSW 40	SSW 40	SSW 38	SSW 40	SSW 40	SSW 45	SSW 49	SSW 46	SSW 30	SSW 20
31	11.1	SSW 12	SSE 15	SSE 8	SSE 10	SSE 14	SSE 12	SSW 10	SSW 11	SSW 7	SSW 8	S 10	S 9

Juni

1	15.2	W 18	W 29	W 21	W 18	W 22	W 30	WSW 17	WSW 12	WSW 7	WSW 3	WSW 5	WSW 7
2	18.5	SW 12	SW 10	SE 2	SE 3	S 11	S 31	S 27	S 22	S 23	S 15	ESE 15	ESE 15
3	16.3	S 26	S 20	S 16	S 16	S 11	S 19	S 12	S 14	S 16	S 16	S 15	S 13
4	14.1	SW 24	SW 21	SW 27	SW 25	SW 20	SW 12	SW 10	SW 7	SW 6	SW 10	WSW 10	WSW 16
5	12.4	SW 16	SW 7	SW 9	SW 13	SW 8	SW 11	SW 5	SW 4	SW 5	S 14	SE 13	SE 15
6	9.9	S 13	SSW 15	SSW 16	SSW 15	SSW 5	SSW 6	SSW 8	SSW 8	SSW 8	SSW 6	SW 5	SW 7
7	6.6	WSW 2	WSW 4	WSW 12	WSW 9	WSW 4	WSW 4	SSW 3	SSW 2	SSW 1	SSW 2	SSW 3	NNE 5
8	9.3	SE 6	SE 5	SE 7	SE 3	SE 5	SE 5	SE 5	SE 2	SE 6	SE 4	N 4	N 1
9	8.5	SE 9	SE 8	SE 9	NW 15	NW 14	NE 20	NE 11	NE 11	NE 6	NE 3	NE 3	NE 8
10	8.0	ENE 7	ENE 0	ENE 15	ENE 22	ENE 10	ENE 1	ENE 17	ENE 11	ENE 7	ENE 4	ENE 2	ENE 6
11	7.5	ENE 8	ENE 7	ENE 9	ENE 8	ENE 7	ENE 0	ENE 0	ENE 9	ENE 16	ENE 8	ENE 5	ENE 7
12	11.7	SSW 9	SSW 4	SSW 6	S 5	S 9	S 7	S 6	S 4	S 2	S 10	S 11	SSW 12
13	11.7	WSW 32	WSW 25	WSW 28	WSW 18	WSW 13	WSW 17	SW 12	W 20	N 16	N 12	N 10	NW 7
14	10.2	WSW 5	WSW 7	WSW 2	SW 5	S 14	S 6	SE 0	SE 12	SE 12	SE 10	NE 8	NE 6
15	13.3	SE 17	SE 10	SE 9	SE 14	E 18	E 18	E 13	E 11	E 7	NE 4	NE 4	NE 4
16	10.4	NE 8	NE 8	NE 3	NE 12	NE 9	NE 1	NE 4	NE 10	NE 8	NE 7	NE 4	NE 5
17	10.3	NE 10	NE 7	NE 10	NE 10	NE 5	NE 14	NE 9	NE 10	NE 8	NE 6	NE 9	NE 5
18	5.9	S 18	S 10	S 0	S 0	S 0	S 0	S 0	S 0	S 0	S 1	SSE 2	SSE 7
19	8.2	WNW 0	WNW 0	NW 15	N 14	N 9	N 0	NE 3	NE 8	NE 8	NE 7	NE 4	NE 5
20	7.7	NW 10	NW 8	N 7	N 7	N 8	N 7	N 7	N 8	N 7	N 6	N 3	N 3
21	7.3	S 14	S 13	S 10	S 14	S 15	S 13	SW 13	SW 14	SW 12	SW 7	NE 4	NE 2
22	11.8	SSE 4	SSE 7	SSE 7	SSE 6	W 5	W 3	W 4	SW 4	SW 5	SW 4	SW 6	SW 10
23	21.0	SW 22	SW 20	SW 15	SW 24	SW 21	SW 23	SW 19	SW 12	SW 6	SW 8	SW 6	S 8
24	24.4	SSW 18	SSW 20	SSW 23	SSW 18	S 13	S 11	S 15	S 12	S 12	S 10	SSE 10	S 16
25	20.0	SW 36	WSW 32	WSW 28	WSW 30	WSW 32	WSW 29	WSW 23	SSW 16	SSW 14	SSW 12	SSW 14	SSW 14
26	23.7	SSW 18	SSW 14	S 0	S 14	S 25	S 8	SSW 24	S 26	S 20	S 28	S 46	S 30
27	26.5	S 30	SSW 32	SSW 26	SSW 26	SSW 14	SSW 24	SSW 30	SSW 22	SSW 20	SSW 12	SSW 14	SSW 20
28	14.7	WSW 39	WSW 36	WSW 31	WSW 27	WSW 28	SW 28	SW 19	SW 21	SW 11	SW 9	S 12	S 12
29	6.6	SSE 7	SSE 5	SSE 3	SSE 2	SSE 2	SSE 2	SSE 6	SSE 5	SSE 4	S 8	S 9	S 10
30	12.4	SW 10	SW 14	SW 16	SW 19	SW 17	SW 18	SW 21	SW 17	SW 9	SW 8	SW 8	SW 10

Windrichtung und Geschwindigkeit (Kilometer pro Stunde).

Mai

Säntis

Tag	12 ³⁰ -13 ³⁰	13 ³⁰ -14 ³⁰	14 ³⁰ -15 ³⁰	15 ³⁰ -16 ³⁰	16 ³⁰ -17 ³⁰	17 ³⁰ -18 ³⁰	18 ³⁰ -19 ³⁰	19 ³⁰ -20 ³⁰	20 ³⁰ -21 ³⁰	21 ³⁰ -22 ³⁰	22 ³⁰ -23 ³⁰	23 ³⁰ -24 ³⁰	Summe
1	SE 3	NE 5	NE 11	NE 7	NE 8	NE 18	NE 10	NE 21	NE 22	NE 16	NE 15	NE 17	384
2	NE 5	NE 13	NE 16	NE 12	NE 18	NE 22	NE 14	NE 14	NE 7	NE 12	NE 12	NE 17	261
3	NE 21	NE 17	NE 23	NE 21	NE 19	NE 30	NE 28	NE 28	NE 22	NE 22	NE 28	ENE 17	432
4	SSW 3	SSW 6	SSW 5	SSW 10	WSW 11	WSW 9	SSW 12	SSW 14	SSW 12	SSW 9	SSW 5	SSW 10	247
5	WSW 16	WSW 20	WSW 23	WSW 15	WSW 20	W 17	W 21	W 13	W 28	W 35	W 29	W 34	441
6	WSW 13	S 17	S 18	SSE 16	SSE 19	SSE 20	SSW 22	SSW 32	SSW 32	SSW 41	SSW 15	SSW 34	554
7	S 13	SSE 10	SSE 16	SSE 31	SSW 22	SSW 25	SSW 15	ENE 16	ENE 18	NNW 18	NNW 18	NNW 18	554
8	WSW 12	WSW 12	WSW 14	WSW 8	WSW 6	WSW 7	WSW 12	WSW 6	WNW 7	WNW 7	WNW 6	WNW 6	314
9	WSW 26	W 24	W 28	W 14	WSW 22	WSW 21	WSW 22	WSW 31	WSW 17	WSW 13	WSW 13	WSW 23	351
10	WSW 25	WSW 31	WSW 36	WSW 47	WSW 32	WSW 38	WSW 31	WSW 27	WSW 28	WSW 22	WSW 26	WSW 22	505
11	WSW 40	WSW 36	WSW 36	WSW 30	WSW 23	WSW 53	WSW 32	WSW 19	WSW 28	WSW 24	WSW 24	WSW 22	111
12	WSW 14	WSW 21	WSW 21	WSW 21	WSW 24	WSW 17	WSW 12	WSW 16	WSW 11	WSW 18	WSW 10	WSW 9	453
13	WSW 24	WSW 27	WSW 24	WSW 23	WSW 24	WSW 18	WSW 18	WSW 14	WSW 17	WSW 0	WSW 0	WSW 0	331
14	WSW 18	WSW 13	WSW 11	WSW 19	NNW 17	NNW 11	NW 20	NW 10	NW 13	WSW 0	WSW 0	WSW 0	295
15	WSW 19	WSW 0	WSW 10	WSW 10	WSW 8	WSW 0	WSW 5	WSW 1	WSW 0	WSW 0	W 2	W 2	85
16	WNW 3	WNW 5	WNW 6	WAW 5	WNW 5	NW 3	NW 2	NW 3	NW 5	NW 5	NW 2	NW 0	102
17	WSW 3	WSW 4	WSW 4	WSW 2	WSW 19	WSW 25	WSW 21	WSW 28	WSW 20	WSW 19	WSW 18	WSW 22	231
18	WSW 28	WSW 38	WSW 30	WSW 40	WSW 42	WSW 50	WSW 63	WSW 33	WSW 42	WSW 24	WSW 32	WSW 28	866
19	NNE 5	NNE 6	NNE 8	NNE 7	NNE 9	WSW 10	WSW 7	WSW 11	WSW 8	WSW 4	WSW 4	WSW 3	211
20	WSW 11	WSW 15	WSW 19	WSW 24	WSW 19	WSW 16	WSW 6	WSW 1	WSW 0	WSW 2	WSW 13	WSW 18	181
21	WSW 11	WSW 9	WSW 9	WSW 12	WSW 13	W 10	W 32	W 22	W 9	W 12	W 12	W 10	320
22	S 23	SSW 14	SSW 12	SSW 15	SSE 20	SSE 14	SSE 18	SSE 16	SSE 21	SSE 12	SSE 15	SSE 19	327
23	E 6	E 4	S 0	S 11	S 8	S 14	WSW 36	WSW 38	WSW 30	W 32	W 22	W 18	362
24	WSW 8	WSW 5	WSW 6	WSW 18	WSW 26	WSW 31	WSW 31	WSW 28	WSW 23	W 20	W 26	W 24	322
25	SSW 17	SSW 11	SSW 19	SSW 22	SSW 18	SSW 18	SSW 14	SSW 20	SSW 18	WSW 12	WSW 20	WSW 20	402
26	S 5	ENE 6	ENE 10	ENE 12	ENE 15	NE 13	NE 21	NE 19	WSW 13	WSW 9	WSW 10	WSW 8	279
27	SSW 16	SSW 17	SSW 10	SSW 20	SSW 27	SSW 15	SSW 27	WSW 29	WSW 20	SSW 26	SSW 28	SSW 25	385
28	S 26	S 19	S 21	S 18	WSW 20	WSW 16	WSW 23	WSW 24	WSW 30	WSW 25	WSW 30	WSW 28	660
29	SSW 21	SSW 34	SSW 40	S 30	S 28	S 10	WSW 7	WSW 20	WSW 23	SSW 24	SSW 26	SSW 30	516
30	SSW 24	SSW 38	SSW 19	SSW 15	SSW 17	WSW 27	WSW 34	WSW 27	WSW 25	SSW 30	SSW 17	SSW 13	744
31	S 16	S 13	S 14	S 12	WSW 15	WSW 13	W 9	W 8	W 6	W 6	W 9	W 20	267

Juni

1	WSW 9	SW 18	SW 16	SW 14	SW 10	WSW 22	WSW 25	SW 18	SW 13	S 9	SW 13	SW 9	365
2	ESE 20	ESE 13	ESE 14	ESE 17	ESE 18	S 26	S 20	S 27	S 25	S 22	S 26	S 24	441
3	S 14	S 11	S 11	S 7	S 13	S 14	S 11	S 15	S 20	SW 21	SW 18	SW 37	392
4	WSW 18	WSW 11	WSW 12	WSW 13	SW 13	SW 13	SW 16	SW 14	SW 11	SW 9	SW 8	SW 12	338
5	SE 18	SE 16	SE 16	S 18	S 19	S 11	S 11	S 13	S 15	S 16	S 13	S 12	298
6	SW 8	SW 6	SE 5	SE 6	SSE 7	SSE 9	SSE 11	S 10	SSW 12	SW 10	WSW 18	WSW 24	238
7	NNE 3	NNE 4	NNE 4	NNE 8	NNE 18	NNE 18	NNE 11	NNE 3	NNE 16	SE 6	SE 5	SE 11	158
8	N 6	N 10	N 19	N 14	NE 27	NE 11	NE 24	E 20	E 8	E 7	E 9	SE 13	223
9	NE 4	NE 4	NE 5	NE 6	NE 3	NE 5	NE 7	ENE 8	ENE 16	ENE 7	ENE 9	ENE 12	203
10	ENE 6	ENE 7	ENE 8	ENE 11	ENE 17	ENE 12	ENE 6	ENE 6	ENE 3	ENE 3	ENE 7	ENE 5	193
11	ENE 9	ENE 0	ENE 0	ENE 7	ENE 11	ENE 14	ENE 14	ENE 5	ENE 0	ENE 1	SSW 11	SSW 23	179
12	SSW 14	SSW 7	N 12	NNW 22	NNW 17	ESE 21	ESE 8	SE 10	SSE 16	SW 20	SW 26	SW 25	282
13	WNW 3	WSW 16	WSW 13	WSW 9	WSW 6	WSW 2	WSW 3	WSW 4	WSW 1	WSW 2	WSW 8	WSW 5	282
14	NE 0	NE 14	NE 19	ENE 12	ENE 16	ENE 14	ENE 8	ENE 18	ENE 22	SE 15	SE 8	SE 20	244
15	NE 4	NE 6	NE 13	NE 24	NE 31	NE 30	NE 20	NE 20	NE 16	NE 8	NE 6	NE 6	319
16	NE 9	NE 12	NE 18	NE 24	NE 22	NE 16	NE 22	NE 18	NE 12	NE 7	NE 6	NE 4	249
17	NE 8	NE 12	NE 18	NE 16	NE 10	NE 10	NE 14	NE 13	NE 17	NE 3	S 9	S 14	247
18	WNW 6	WNW 9	WNW 8	NW 6	NNW 13	NNW 3	NNW 12	NNW 12	NNW 6	NNW 6	NNW 10	WNW 12	141
19	NE 6	NE 8	NNW 7	NNW 10	NNW 14	NNW 5	NNW 14	NNW 10	NNW 16	NNW 10	NNW 10	NW 12	196
20	N 2	NE 8	NE 11	NE 8	NE 8	NE 4	NE 10	S 11	S 9	S 9	S 10	S 15	186
21	NE 5	SW 6	SW 6	SW 3	SW 3	SW 5	SW 8	SW 2	SSE 1	SSE 3	SSE 5	SSE 4	175
22	SW 14	SW 18	SW 16	SW 20	SW 6	SW 8	SW 12	SW 18	SW 20	SW 30	SW 26	SW 24	283
23	S 13	S 13	S 12	S 12	WSW 10	WSW 44	WSW 26	SW 42	SW 40	SW 48	SW 28	SW 12	504
24	S 22	SSW 20	SSW 34	SSW 42	SSW 31	WSW 27	WSW 24	WSW 36	WSW 34	WSW 54	WSW 44	WSW 40	516
25	SSW 20	SSW 18	SSW 14	SSW 18	SSW 15	SSW 15	SW 13	SW 17	SW 22	SSW 22	SSW 8	SSW 18	480
26	SSW 30	SSW 32	SSW 20	SSW 24	SSW 22	SSW 24	SSW 34	SSW 36	SSW 30	S 28	S 22	S 14	569
27	SSW 19	S 15	WSW 14	SW 22	WSW 18	WSW 34	WSW 52	WSW 36	WSW 18	WSW 46	WSW 48	WSW 43	635
28	S 10	SSE 10	SSE 10	SSE 7	SSE 8	SSE 9	SSE 2	SSE 5	SSE 4	SSE 5	SSE 4	SSE 7	354
29	S 10	S 10	S 7	S 8	S 8	S 6	S 10	SW 7	SW 7	SW 6	SW 8	SW 9	159
30	SW 11	SW 10	SW 9	SW 8	SW 7	SW 3	SW 5	SW 5	SW 10	SW 21	SW 22	SW 20	298

NB. Wegen Defekt und Ersatz des Windmessers fehlen die Monate Juli bis Dezember.

1930

Häufigkeit der 16 Windrichtungen (in Stunden).

Säntis

	N	NNE	NE	ENE	E	ESE	SE	SSE	S	SSW	SW	WSW	W	WNW	NW	NNW	Calmes	Summe
Januar	4	—	52	8	9	—	46	21	134	37	124	149	29	24	90	11	6	744
Februar	5	10	165	—	41	2	56	3	127	55	97	94	5	—	8	—	4	672
März	44	—	35	17	24	2	13	12	48	51	147	190	62	18	39	10	32	744
April	35	2	103	—	5	—	16	12	196	37	96	130	40	4	23	5	16	720
Mai	3	10	45	19	14	—	3	35	39	109	7	302	72	18	18	8	42	744
Juni	23	3	99	35	25	9	37	35	119	67	134	72	12	5	8	18	19	720
Juli	—	—	—	—	—	—	—	—	—	—	—	—	—	—	—	—	—	—
August	—	—	—	—	—	—	—	—	—	—	—	—	—	—	—	—	—	—
September	—	—	—	—	—	—	—	—	—	—	—	—	—	—	—	—	—	—
Oktober	—	—	—	—	—	—	—	—	—	—	—	—	—	—	—	—	—	—
November	—	—	—	—	—	—	—	—	—	—	—	—	—	—	—	—	—	—
Dezember	—	—	—	—	—	—	—	—	—	—	—	—	—	—	—	—	—	—
Summe	—	—	—	—	—	—	—	—	—	—	—	—	—	—	—	—	—	—
id. in %	—	—	—	—	—	—	—	—	—	—	—	—	—	—	—	—	—	—

Mittlere Windgeschwindigkeit (Meter in der Sekunde).

	N	NNE	NE	ENE	E	ESE	SE	SSE	S	SSW	SW	WSW	W	WNW	NW	NNW	Mittel
Januar 31 Tage	4.4	—	4.2	4.6	3.8	—	6.2	4.3	7.7	8.4	6.0	7.7	4.3	2.5	3.9	5.1	—
Februar 28 »	1.4	3.6	4.5	—	5.2	4.4	5.1	4.4	4.0	4.3	4.2	5.7	7.5	—	3.0	—	—
März 31 »	4.5	—	3.9	3.7	3.3	1.1	2.3	2.7	5.6	7.6	6.7	5.9	4.1	3.7	2.7	2.4	—
April 30 »	1.9	3.9	3.8	—	3.2	—	3.1	4.5	5.4	4.9	5.5	6.0	5.9	4.1	2.4	2.9	—
Mai 31 »	1.0	1.6	4.4	3.4	2.8	—	1.9	3.6	4.2	6.1	6.3	5.1	4.8	1.8	2.0	4.8	—
Juni 30 »	2.3	2.8	2.8	2.7	2.8	4.3	2.6	1.6	4.0	4.8	4.0	5.6	4.8	2.1	3.0	3.1	—
Juli 31 »	—	—	—	—	—	—	—	—	—	—	—	—	—	—	—	—	—
August 31 »	—	—	—	—	—	—	—	—	—	—	—	—	—	—	—	—	—
Septemb. 30 »	—	—	—	—	—	—	—	—	—	—	—	—	—	—	—	—	—
Oktober 31 »	—	—	—	—	—	—	—	—	—	—	—	—	—	—	—	—	—
Novemb. 30 »	—	—	—	—	—	—	—	—	—	—	—	—	—	—	—	—	—
Dezemb. 31 »	—	—	—	—	—	—	—	—	—	—	—	—	—	—	—	—	—
Mittel	—	—	—	—	—	—	—	—	—	—	—	—	—	—	—	—	—

Monatsmittel der Windgeschwindigkeit (Meter in der Sekunde).

	1 ^b	2	3	4	5	6	7	8	9	10	11	12	13	14	15	16	17	18	19	20	21	22	23	24 ^b	Mittel
Januar 31 Tage	7.2	6.9	7.1	6.8	6.7	6.8	6.4	5.8	6.1	6.0	5.1	5.1	5.1	4.9	4.4	4.5	5.0	5.1	5.6	6.2	6.4	7.0	7.4	7.4	6.0
Febr. 28 »	4.8	5.2	5.1	4.7	4.8	4.5	4.6	4.9	4.5	4.7	3.9	4.5	4.9	4.1	4.6	4.5	4.4	4.3	4.2	4.7	4.6	4.6	4.6	4.8	4.6
März 31 »	4.9	4.7	5.1	5.0	4.9	4.4	4.6	4.6	5.0	4.8	4.0	4.8	5.4	4.7	5.0	4.9	5.1	5.6	6.1	5.8	5.5	5.4	5.1	5.3	5.0
April 30 »	4.8	4.8	4.8	4.7	4.5	4.4	4.4	4.2	4.6	4.9	4.7	5.1	4.7	4.7	4.7	4.4	4.5	4.7	5.2	5.4	5.4	5.3	5.3	4.8	4.8
Mai 31 »	4.8	5.2	4.8	4.1	3.7	3.6	4.2	4.2	3.8	3.6	4.2	4.2	4.3	4.5	4.7	4.0	5.1	5.3	5.6	5.2	5.0	4.6	4.7	5.6	4.4
Juni 30 »	4.1	3.7	3.4	3.7	3.5	3.4	3.2	3.1	2.6	2.4	2.4	2.6	3.0	3.2	3.4	3.9	3.9	4.0	4.1	4.2	4.2	4.2	4.1	4.6	3.6
Juli 31 »	—	—	—	—	—	—	—	—	—	—	—	—	—	—	—	—	—	—	—	—	—	—	—	—	—
Aug. 31 »	—	—	—	—	—	—	—	—	—	—	—	—	—	—	—	—	—	—	—	—	—	—	—	—	—
Sept. 30 »	—	—	—	—	—	—	—	—	—	—	—	—	—	—	—	—	—	—	—	—	—	—	—	—	—
Okt. 31 »	—	—	—	—	—	—	—	—	—	—	—	—	—	—	—	—	—	—	—	—	—	—	—	—	—
Nov. 30 »	—	—	—	—	—	—	—	—	—	—	—	—	—	—	—	—	—	—	—	—	—	—	—	—	—
Dez. 31 »	—	—	—	—	—	—	—	—	—	—	—	—	—	—	—	—	—	—	—	—	—	—	—	—	—
Mittel d. 365 Tage	—	—	—	—	—	—	—	—	—	—	—	—	—	—	—	—	—	—	—	—	—	—	—	—	—

NB. Wegen Defekt und Ersatz des Windmessers fehlen die Monate Juli bis Dezember.

1930

Weg in Kilometern.

Säntis

	N	NNE	NE	ENE	E	ESE	SE	SSE	S	SSW	SW	WSW	W	WNW	NW	NNW	Summe
Januar	64	—	780	132	123	—	1034	322	3729	1122	2655	4124	451	220	1276	203	16235
Februar	26	131	2687	—	764	32	1032	48	1847	857	1479	1935	134	—	87	—	11059
März	709	—	495	229	283	8	106	115	959	1392	3544	4012	911	243	373	87	13466
April	238	28	1416	—	58	—	180	194	3835	647	1894	2783	847	59	199	52	12430
Mai	11	59	716	236	140	—	21	453	588	2400	158	5517	1239	115	130	138	11921
Juni	192	30	980	343	248	140	342	204	1709	1146	1909	1445	209	38	87	198	9220
Juli	—	—	—	—	—	—	—	—	—	—	—	—	—	—	—	—	—
August	—	—	—	—	—	—	—	—	—	—	—	—	—	—	—	—	—
September	—	—	—	—	—	—	—	—	—	—	—	—	—	—	—	—	—
Oktober	—	—	—	—	—	—	—	—	—	—	—	—	—	—	—	—	—
November	—	—	—	—	—	—	—	—	—	—	—	—	—	—	—	—	—
Dezember	—	—	—	—	—	—	—	—	—	—	—	—	—	—	—	—	—
Summe	—	—	—	—	—	—	—	—	—	—	—	—	—	—	—	—	—
id. in %	—	—	—	—	—	—	—	—	—	—	—	—	—	—	—	—	—

Maximale Geschwindigkeit (Meter in der Sekunde).

	N	NNE	NE	ENE	E	ESE	SE	SSE	S	SSW	SW	WSW	W	WNW	NW	NNW	Mittel
Januar 31 Tage	6.1	—	7.8	5.6	5.8	—	13.1	10.6	19.4	17.8	11.7	20.6	8.9	5.6	8.1	10.0	—
Februar 28 »	3.3	5.6	10.6	—	10.0	6.1	11.1	6.1	10.3	7.5	11.7	12.8	11.7	—	3.9	—	—
März 31 »	11.7	—	8.1	6.7	5.8	1.1	3.6	5.8	9.4	23.1	16.7	18.9	11.7	7.8	10.6	5.3	—
April 30 »	3.6	4.2	10.6	—	4.4	—	6.4	7.5	15.0	12.8	13.9	13.3	14.4	6.4	5.3	3.3	—
Mai 31 »	1.7	16.1	8.3	5.0	5.0	—	2.8	8.6	8.9	13.9	6.7	17.5	10.6	4.7	5.6	6.7	—
Juni 30 »	5.3	4.4	8.6	6.1	5.6	5.6	5.6	4.4	12.8	11.7	13.3	15.0	8.3	3.3	4.2	6.1	—
Juli 31 »	—	—	—	—	—	—	—	—	—	—	—	—	—	—	—	—	—
August 31 »	—	—	—	—	—	—	—	—	—	—	—	—	—	—	—	—	—
Septemb. 30 »	—	—	—	—	—	—	—	—	—	—	—	—	—	—	—	—	—
Oktober 31 »	—	—	—	—	—	—	—	—	—	—	—	—	—	—	—	—	—
Novemb. 30 »	—	—	—	—	—	—	—	—	—	—	—	—	—	—	—	—	—
Dezemb. 31 »	—	—	—	—	—	—	—	—	—	—	—	—	—	—	—	—	—
Jahr	—	—	—	—	—	—	—	—	—	—	—	—	—	—	—	—	—

Monatsmittel der Windgeschwindigkeit (Kilometer in der Stunde).

	1 ^b	2	3	4	5	6	7	8	9	10	11	12	13	14	15	16	17	18	19	20	21	22	23	24 ^b	Mittel
Jan. 31 Tage	25.9	24.7	25.5	24.8	24.1	22.5	22.9	20.7	21.9	21.6	19.1	19.1	18.9	17.9	15.9	16.2	18.6	19.0	20.7	22.8	23.8	25.1	26.8	27.6	21.8
Febr. 28 »	17.6	18.9	18.3	16.8	17.1	16.1	16.1	15.5	16.1	17.0	13.9	16.3	17.6	14.8	16.5	16.3	16.0	15.4	15.0	17.0	16.5	16.4	16.6	17.2	16.4
März 31 »	17.6	17.0	18.5	17.9	17.5	16.0	16.4	16.4	18.0	17.4	14.5	17.8	19.5	17.1	18.1	17.7	18.4	20.3	21.8	20.9	19.9	19.5	18.5	19.0	18.1
April 30 »	16.7	17.8	17.2	17.0	16.2	16.0	15.7	15.0	16.6	17.8	17.1	18.6	17.1	17.0	17.1	15.9	16.1	17.1	18.5	19.8	19.4	19.1	19.0	17.3	17.8
Mai 31 »	15.4	16.0	15.0	14.8	13.9	13.0	15.1	15.1	12.8	13.0	15.1	15.2	15.5	16.1	17.0	17.7	18.4	19.2	20.1	18.9	18.0	16.4	16.8	20.1	16.0
Juni 30 »	14.9	13.8	12.1	13.4	12.5	12.8	11.4	11.1	9.4	8.5	8.8	9.5	10.7	11.5	12.1	13.9	14.0	14.4	16.0	15.8	15.1	15.1	14.8	16.2	12.8
Juli 31 »	—	—	—	—	—	—	—	—	—	—	—	—	—	—	—	—	—	—	—	—	—	—	—	—	—
Aug. 31 »	—	—	—	—	—	—	—	—	—	—	—	—	—	—	—	—	—	—	—	—	—	—	—	—	—
Sept. 30 »	—	—	—	—	—	—	—	—	—	—	—	—	—	—	—	—	—	—	—	—	—	—	—	—	—
Okt. 31 »	—	—	—	—	—	—	—	—	—	—	—	—	—	—	—	—	—	—	—	—	—	—	—	—	—
Nov. 30 »	—	—	—	—	—	—	—	—	—	—	—	—	—	—	—	—	—	—	—	—	—	—	—	—	—
Dez. 31 »	—	—	—	—	—	—	—	—	—	—	—	—	—	—	—	—	—	—	—	—	—	—	—	—	—
Mittel d. 365 Tage	—	—	—	—	—	—	—	—	—	—	—	—	—	—	—	—	—	—	—	—	—	—	—	—	—

NB. Wegen Defekt und Ersatz des Windmessers fehlen die Monate Juli bis Dezember.

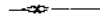
Anhang

zum Jahrgang 1930 der

Annalen der Schweizerischen Meteorologischen Zentralanstalt

Ergänzende Beobachtungen und

Abhandlungen



Nr. 1.

W. Brückmann:

Uebersicht über den Witterungsverlauf in der Schweiz im Jahre 1930.

W. Brückmann und H. Uttinger:

Die Häufigkeit grosser Tagesmengen des Niederschlages in der Schweiz.

H. Uttinger:

Starke Regenfälle von kurzer Dauer in Zürich 1901—1930.



Übersicht über den Witterungsverlauf in der Schweiz im Jahre 1930

von W. Brückmann.

Für die Nordseite der Schweizeralpen ist das Jahr 1930 unter die sehr warmen, aber zugleich nassen und trüben Jahre einzureihen. Durch die beiden letzteren Eigenschaften unterscheidet es sich wesentlich von den anderen etwa gleich warmen Jahren der letzten fünf Dezennien, 1911, 1921 und 1928, unter diesen ganz besonders von den beiden erstgenannten, denen außer großer Wärme auch ungewöhnliche Helligkeit und Trockenheit eigentümlich war. Die positive Abweichung der Jahrestemperaturen 1930 von den normalen beträgt durchschnittlich 1° ; an einzelnen Stationen, namentlich solchen der westlichen Landeshälfte, ist dieser Wert überstiegen, im höheren Jura dagegen nicht überall erreicht worden. In der Jahrestemperatur von Lugano erscheint das Jahr im ganzen als eines von normaler Wärme.

Der Niederschlagsreichtum war recht bedeutend, in der Osthälfte der Schweiz stiegen die Ueberschüsse bis durchschnittlich 20 %; in der westlichen erreichten sie sogar 40 %, wodurch die Jahresmengen hier den größten bisher schon erreichten nahe gekommen sind.

Der relativ hohe Grad der mittleren Trübung des Himmels macht sich bei der Sonnenscheindauer in einem Ausfall bemerkbar, der, wie die Tabelle am Ende dieses Aufsatzes zeigt, für beide Seiten der Alpen eine Verkürzung der Dauer um etwa ein Zehntel ihres normalen Betrages bedeutet hat.

Die thermische Variabilität des Jahres 1930, an der Summe der Abweichungen der Monatsmittel der Temperatur von ihren Normalwerten gemessen (vergl. die vorjährige Uebersicht) war mit $17,8^{\circ}$ von etwa normaler Größe, die Summe der positiven überwog die der negativen Abweichungen um das Fünffache. Zum Vergleich sei angeführt, daß das thermisch sehr variable Jahr 1929 den Wert $25,7^{\circ}$, das wenig variable 1927 den Wert $8,1^{\circ}$ erreicht hatte.

Charakter der Witterung in den einzelnen Monaten und Verlauf durch das Jahr hin ergibt sich aus folgender Darstellung.

Der Januar 1930 weist in der Schweiz fast allgemein namhafte Wärmeüberschüsse auf; die höchsten Werte — zum Teil Rekordwerte — wurden, mit Abweichungen von $4-5^{\circ}$, in den Alpentälern und im Jura erreicht, an unseren Gipfelstationen blieben die Ueberschüsse (4°) nur hinter denen des Januar 1898 zurück, und auch in den tieferen Lagen sind sie, mit rund 3° , noch recht erheblich ausgefallen. Nur südwärts der Alpen zeigen die Abweichungen geringfügigere Beträge (unter $+1^{\circ}$). Weit aus die Mehrzahl der Tagesmittel der Temperatur weicht ebenfalls stark nach der positiven Seite hin ab, nur einige wenige weisen leicht negative Werte auf. — Bei den Monatsmengen des Niederschlages finden wir in der Süd- und Südwestschweiz und auf dem Rigi ein Zuviel bis zu 80 % des Normalen, sonst allgemein Fehlbeträge: um 50—70 % in den Alpentälern der Zentral- und Ostschweiz und auf dem Säntis, um 20—40 % im Jura und in der Osthälfte des Mittelandes, um weniger als 20 % in den westlichen Teilen des letzteren. Relativ sehr selten waren die Schneetage in den Niederungen, weshalb hier auch keine Schneedecke von Dauer entstanden ist. Verschiedentlich führte die zunehmende Austrocknung des Bodens schon zu fühlbarem Wassermangel. — Hinsichtlich der Bewölkung sind vor allem verhältnismäßig zahlreiche Nebeltage im Mittelland und relativ geringe Bewölkungswerte in den dieser Nebelbildung entzogenen Landesteilen (Nordseite des Jura, Alpentäler und Gipfel) hervorzuheben. Für das Tessin war der Januar recht sonnenscheinarm.

Die schon im vorangegangenen Dezember weit über den Atlantischen Ozean hin ausgedehnte Depressions-tätigkeit hat auch im Januar fortbestanden und West- und Mitteleuropa mit milder Luft aus niederen Breiten versorgt. In der ersten Monatsdekade stand unser Land abwechselnd unter diesem Einfluß oder dem eines kontinentalen Hochdruckes, der sich, anfangs von Südwest-, dann von Südosteuropa her, gegen jene zu halten

und auszudehnen versuchte. Der 2. Januar brachte uns mäßige Regen- und Schneefälle, zwischen 4. und 6. war unter Föhnwirkung die Bewölkung im ganzen leichter, und ebenso gestalteten sich, nach rascher Ausbreitung der östlichen Antizyklone, der 7. und 8. allgemein heiter. Da diese Druckverstärkung nicht von Dauer war, nahm in der anschließenden Woche die Witterung veränderlichen Charakter an und am 9., 12., 15. und 16. sind größere Niederschläge zu verzeichnen gewesen. Vom 17. bis 25. bestimmte dann eine stabile Hochdrucklage die Witterung Zentraleuropas, so daß es auf den Höhen unseres Landes anhaltend hell und milde, im Mittelland dagegen bei mäßigem Frost überwiegend neblig war. Darnach hat sich ein sehr flaches Minimum von der Biskaya her langsam über Mittel- und Südeuropa ausgedehnt; nach zwei Tagen mit starkem Föhn im Alpengebiet blieben die Höhen zunächst noch hell, während die Niederungen Nebel- oder Hochnebelbedeckung erhielten; am 30. nachmittags setzten dann leichtere Regen- und Schneefälle ein, denen am Mittag des 31. nochmals eine allgemeine Aufhellung des Himmels folgte.

Beim Februar ist namentlich eine recht beträchtliche Niederschlagsarmut hervorzuheben, durch die die Austrocknung des Bodens, die schon im Januar zu konstatieren war, weitere Fortschritte machte. Die gefallenen Mengen erreichten in der Westschweiz und auf den Bergen drei Viertel bis die Hälfte, im Osten und Süden die Hälfte bis ein Drittel der durchschnittlichen. Der Monat war für die mittelhohen und südlichen Landesteile von kühlem Charakter (Abweichung -1° bis $-1\frac{1}{2}^{\circ}$), sonst haben sich die Mitteltemperaturen — im positiven oder negativen Sinne — nicht weit von den normalen entfernt. Hinsichtlich der Bewölkung ist vor allem eine relativ geringe mittlere Himmelsbedeckung (und ein entsprechendes Plus von Sonnenscheinstunden) in den höheren Lagen festzustellen.

Ein nicht sehr tiefes, aber über ganz Mitteleuropa sich ausdehnendes Tiefdrucksystem hat unserem Land während der ersten Februarwoche milde Witterung bei im ganzen stärkerer Bewölkung und zeitweiligem Regen- oder Schneefall gebracht. Nach dem 6. änderte sich die Lage durch die Verschiebung hohen Druckes von Grönland gegen Süden, in deren Folge wir vom 8. bis 14. unter antizyklonalem Einfluß standen und überwiegend heiteres, in der Ebene relativ kaltes, in der Höhe mildes Wetter erhielten. Der Kern dieses Hochdruckes verlagerte sich dabei allmählich vom Gebiet der Nordsee ins Innere des Kontinents, worauf dann eine in hohen Breiten erschienene und über Nordskandinavien hinwegziehende Depression weit südwärts bis zu den Alpen Einfluß gewann. Nach den föhnig milden Tagen des 14. und 15. fielen daher am 16. teilweise erhebliche Schneemengen bis ins schweizerische Mittelland herab. Die Temperaturen, die dabei stark zurückgingen, blieben nun bis kurz vor Monatsende unter den

normalen. Sehr rasch hat sich dann nach dem 16. von neuem eine Antizyklone mit Kern im Nordseegebiet ausgebildet. Nachdem es am 17. strichweise noch geschneit, waren die nachfolgenden Tage vorwiegend heiter auf den Höhen, durch Hochnebel getrübt oder ebenfalls heiter im Mittelland. Mit der Verlagerung des Hochdruckes nach Osten und dem Nachdrängen einer leichten Depression von Westen her, entwickelte sich vom 25. an eine Föhnlage. Der 27. und 28. waren dementsprechend warm, am ersteren Tage fielen im Westen und in den Alpen leichte Niederschläge, der letztere war dagegen allgemein hell.

Der März hatte im ganzen Gebiet der Schweiz milden Witterungscharakter. Die Monatsmittel der Temperatur liegen für die Berggipfel und die meisten Alpentäler mehr als 2° , für Jura und Mittelland $1\frac{1}{2}$ bis 2° , für die Südschweiz etwas weniger als 1° über dem langjährigen Durchschnitt. — Beim Niederschlag besteht nicht die gleiche Einheitlichkeit, weder hinsichtlich der Größe noch des Vorzeichens der Abweichungen. Ueberschüsse zeigen sich namentlich auf den Bergen (bis um ein Drittel der Normalmengen), im Genferseegebiet (bis um ein Viertel des Normalen) und — in geringerem Maße — im Tessin; nennenswerte Defizite (bis um ein Drittel) weisen Alpentäler und Nordjura auf. Dabei war die Zahl der Niederschlagstage allgemein übernormal, wie auch der mittlere Bewölkungsgrad im ganzen etwas zu groß gewesen ist. Entsprechend der vorwiegenden Niederschlagsarmut der vorangegangenen Monate war der Stand der Gewässer unseres Landes auch am Ende des Monats noch recht niedrig.

Antizyklonales Regime, das sich Ende Februar nach kurzer Unterbrechung wieder rasch gefestigt hatte, beherrschte unsere Witterung während der ersten Märzwoche, die daher mild, trocken und überwiegend heiter ausfiel. Das vorüberziehende Randtief einer nördlichen Depression rief dann stärkere Bewölkung am 7. und 8. und Niederschläge am Nachmittag des 7. und in der anschließenden Nacht hervor. Mit dem 10., der noch, wie der Vortag, hell war, änderte sich die Lage, indem nun über dem ganzen Kontinent tiefer Druck anstelle des hohen trat und in wechselnder, unregelmäßiger Verteilung die Witterung der zweiten Dekade des Monats beeinflusste und veränderlich gestaltete. Er gab zu täglichen, zum Teil ausgiebigen Schnee- oder Regenfällen, vorübergehenden Aufhellungen und zeitweise lebhafter Luftbewegung Anlaß. Kräftige, von lokalem Hagelschlag begleitete Gewitter traten am 15. auf. Die Tagesmittel der Temperatur lagen zwischen $14.$ und $18.$ über, an den andern Tagen der Dekade unter den normalen. Trotzdem nach dem 20. eine rasche Hebung des Druckniveaus erfolgte, blieb die Witterung bei uns, unter dem Einfluß leichterer Störungsherde, noch vorherrschend trübe und regnerisch, bis dann nach dem

25. das langsame Vordringen eines Hochdruckgebietes von der Biskaya gegen Osten Niederschlag und Trübung allmählich geringer werden ließ. Ein nachfolgendes Minimum hat am 29. und 30. nochmals stärkere Bewölkung und leichte Regenfälle verursacht. Seit dem 22. lagen die Tagestemperaturen wieder sämtlich höher als die normalen.

Als im ganzen mild, trüb und naß lassen die meteorologischen Monatsmittel den April für den größten Teil unseres Landes erscheinen. Die positiven Abweichungen der Mitteltemperatur lagen im allgemeinen zwischen $\frac{1}{2}^{\circ}$ und 1° , in einzelnen Gegenden auch etwas über 1° ; in der Südschweiz sind leicht unter normale Werte vorgekommen. Beim Niederschlag finden sich vereinzelt — so in Graubünden und im Neuenburger Jura — etwas zu kleine Monatsmengen, weitaus vorwiegend aber sind die Ueberschüsse, die vielerorts 80 bis 100 % der durchschnittlichen Werte erreicht und überstiegen haben (Rigi mehr als 130 %, Säntis dagegen nur 8 %); der äußerste Südwesten der Schweiz erhielt um 40 %, der Süden um 60 % zuviel Regen. Neben der Menge fiel auch die Häufigkeit (Zahl der Niederschlagstage) fast überall zu groß aus. In den Bewölkungszahlen kommt allgemein — ausgenommen allein das Gebiet um Genf — eine wesentlich zu starke durchschnittliche Trübung des Himmels zum Ausdruck.

Das Vordringen flacher Minima nach Mitteleuropa bei anhaltend hohem Druck über Nordwestrußland hat bei uns Anlaß zu trübem, regnerischem Wetter zwischen 2. und 5. April gegeben, wobei am 3. und 4. recht starke Niederschläge fielen (in Zürich am letzteren Tage 41 mm). Während am 6. strichweise Gewitter, zum Teil mit Platzregen und Hagel auftraten, herrschte vom 7. an unter antizyklonaler Wirkung vorwiegend heiteres Wetter, bis dann mit dem 12. unter dem Einfluß eines bald den ganzen Kontinent bedeckenden und nur langsam ostwärts ziehenden Tiefs eine kühle und namentlich für Mittel- und Ostschweiz sehr niederschlagsreiche Periode einsetzte, die durch die ganze Karwoche anhielt (Zürich vom 12. bis 19. zusammen 97 mm Regen). In der dritten Monatsdekade hat sich aus einer anfangs wenig ausgesprochenen Druckverteilung eine Föhnlage entwickelt, Tessin und einzelne, namentlich westliche Teile der nordalpinen Schweiz erhielten Niederschläge. Eine leichte allgemeine Hebung des Druckniveaus, mit der antizyklonales, heiteres Wetter am 27. und 28. verbunden war, wurde rasch wieder beendet durch ein von Spanien her über uns hinwegziehendes flaches Minimum, das am Nachmittag des 29. Gewitter mit Hagel und starkem Regen auslöste. Die Temperaturen stiegen während des letzten Monatsdrittels zu beträchtlich hohen Werten an.

Der diesjährige Mai fiel ausgesprochen kühl, trübe und regenreich aus. Die mittleren Monatstemperaturen blieben in der Westschweiz um $1-1\frac{1}{2}^{\circ}$, in den übrigen

Landesgegenden um $\frac{1}{2}-1^{\circ}$ unter den normalen; die Niederschlagsmengen haben die durchschnittlichen um 40 bis 80 % (im Westjura sogar um 100 und auf dem Rigi um mehr als 120 %) übertroffen. Wie die Mengen, so war auch die Häufigkeit des Niederschlages erheblich, die Zahl der Regentage erreichte etwa das Anderthalbfache des Normalen. Sehr hohe Monatswerte der Bewölkung sind überall — ausgenommen allein in Süd- und Südwestschweiz — zu verzeichnen, „helle Tage“ kamen an der Mehrzahl der Stationen überhaupt nicht vor; dem entsprechen Defizite in der Sonnenscheinregistrierung von 60—90 Stunden.

Bei sehr wenig ausgeprägten Druckverhältnissen über Europa war der Witterungscharakter zu Anfang des Monats wechselnd bei im ganzen milder Temperatur. Von den öfteren Regenfällen lieferten die vom 2. auf den 3., eingeleitet durch Gewitter in der Zentralschweiz, große Mengen. Nach Entwicklung eines Minimums über Mitteleuropa begann mit dem 6. eine kühle und sehr niederschlagsreiche Periode, die bis Monatsmitte andauerte und die namentlich am 7. und 8. und vom 12. an so beträchtliche Mengen (zeitweise Schnee bis 700 m herab) lieferte, daß in verschiedenen Teilen der Schweiz (Berner Alpen, Rheingebiet usw.) Hochwassernot entstand. Nach einigen leichter bewölkten und relativ warmen Tagen brachte uns eine mit einer Nordseedepression zusammenhängende Gewitterböe am Abend des 18. starke Abkühlung (Schneefall bis zu 1000 m herab); rascher Druckanstieg von Westeuropa gegen Skandinavien hin und Ausbildung eines flachen Tiefs über Zentraleuropa hat die Fortdauer dieser neuen Periode kühlen und dazu veränderlichen, öfters regnerischen Wetters bei uns begünstigt. Auch nach Verschiebung des hohen Druckes gegen Ost- und Südosteuropa, die nach dem 25. erfolgte, blieb die Witterung im ganzen unbeständig. Doch stiegen die Temperaturen gegen Monatsende, zum Teil unter Föhneinfluß, über die Normalwerte; der 27. und 28. waren für Süd- und Südwestschweiz recht niederschlagsreiche Tage.

Ein sehr warmer, trockener Juni hat den diesjährigen Sommer eingeleitet. Mit einem Wärmeüberschuß, der in den tiefen und mittleren Lagen der Schweiz nahezu 3° , auf den Bergen sogar 4° beträgt, war es einer der wärmsten Brachmonate, die die meteorologische Statistik unseres Landes kennt. An unseren Gipfelstationen ist seit ihrem Bestehen, in Genf sogar seit 100 Jahren, kein gleich warmer Juni vorgekommen; für die übrigen Landesteile steht der Monat etwas hinter dem entsprechenden des Jahres 1877 zurück. In der Südschweiz waren die Abweichungen der Monatsmittel ebenfalls positiv, erreichten aber nicht gleich hohe Werte ($+1\frac{1}{2}^{\circ}$). Die Tagesmittel der Temperatur lagen ausnahmslos über den normalen, vom Tessin abgesehen, wo einige Male negative Abweichungen

vorkamen. — Die Monatsmengen des Niederschlages sind in fast allen Landesteilen unter dem langjährigen Durchschnitt geblieben um Beträge, die von Gegend zu Gegend beträchtlich schwanken, weil die Regenfälle des Monats vorwiegend in Verbindung mit Gewittern, an denen der Juni reich war, auftraten; in der Ostschweiz ist stellenweise nur $\frac{1}{3}$ der normalen Mengen gemessen worden. Auf dem Säntis fiel im ganzen Monat kein Schnee (normal 10 Schneetage), nur Regen und an einigen Tagen Graupel oder Hagel. — Bei der Bewölkung ist namentlich eine relativ kleine Zahl „trüber“ Tage zu erwähnen; in den Sonnenscheinregistrierungen tritt südwärts der Alpen ein Ausfall, sonst überall ein Zuviel von 40—50 Stunden gegenüber dem Normalen auf.

Dem ruhigen Witterungscharakter des Juni entsprechend zeigte auch die Luftdruckverteilung über dem zentralen Europa den ganzen Monat hindurch große Gleichmäßigkeit. Stärkere Einwirkung durch nahe Depressionen fehlte fast völlig, die Aenderungen beschränkten sich in der Hauptsache auf abwechselnde Verstärkung und Abschwächung eines relativ hohen Luftdruckes. Damit hielt auch der Anlaß zu warmer, vielfach heiterer, aber zu Gewittern geneigter Witterung an. Die Gewittertätigkeit erreichte beträchtliche Intensität besonders am 2., am 8. und 12., ferner am 23. und 24., im Tessin zwischen 25. und 27. Ein Großbritannien passierendes Minimum machte sich zwischen 26. und 28. Juni bei uns etwas stärker bemerkbar, trotzdem aber gestalteten sich die anschließenden beiden letzten Monatstage bereits wieder antizyklonal heiter und warm.

Der Juli stand in ausgesprochenem Gegensatz zu dem hochsommerlich warmen, trockenen und heitern Juni: er war kühl, trüb und außerordentlich niederschlagsreich. Der monatliche Wärmeausfall betrug durchschnittlich $1-1\frac{1}{2}^{\circ}$; um $2-3^{\circ}$ war der Monat kälter als der vorangegangene Juni! Die Tagesmittel der Temperatur haben — nach Ablauf der ersten Woche — ganz überwiegend unter den normalen gelegen. — Bei den Niederschlagsmengen wurden Beträge erreicht, die im Bergland und Tessin rund $1\frac{1}{2}$ mal, im Mittelland und Jura mehr als doppelt und am Genfersee bis zu $2\frac{3}{4}$ mal so groß waren wie die des langjährigen Durchschnittes. Genf hat seit 100 Jahren keinen gleich nassen Juli gehabt, andere Stationen (Bern, Basel) seit Beginn ihrer jetzigen Beobachtungsreihe, also seit bald 70 Jahren; in andern Gebieten (Zentralschweiz) sind die diesjährigen Julimengen gelegentlich schon erreicht oder überschritten worden. In Höhe des Säntis war die Zahl der Tage, an denen der Niederschlag in Form von Schnee fiel, etwa doppelt so groß, als für den Juli normal ist. — Der hohe Grad der Bewölkung, die nur im Süden und im Südwesten annähernd normal ausgefallen ist, kommt insbesondere in der meistenorts sehr kleinen Zahl „heller“ Tage zum deutlichen Ausdruck,

ferner in den Sonnenscheinaufzeichnungen, die im Süden und Südwesten 20—30, sonst aber 50—70 Stunden zu wenig aufweisen.

Bei wenig ausgeprägten Druckverhältnissen über dem Kontinent war der Monatsanfang noch hochsommerlich warm und vielfach heiter; von den auftretenden Wärmegewittern brachten die vom 1. und 2. strichweise starken Regen und Hagel. Durch eine rasche, starke Druckzunahme im Gebiet der Biskaya wurde dann mit dem 6. eine neue Situation geschaffen, die, durch stärkeres Druckgefälle von West gegen Osteuropa charakterisiert, die Zufuhr polarer Luft nach Mitteleuropa begünstigte, von der ein erster Schwall am genannten Tage unter heftigen Gewittererscheinungen, Hagel, Regen (Lausanne 56 mm) und stürmischen Winden auf die Alpen traf. Mit dem 10. verschärfte sich die Lage noch, so daß naßkalte trübe Tage mit starken Niederschlägen (Schnee bis 1700 m herab) folgten. Am 14. wurde in Zürich mit $7,2^{\circ}$ ein für den Juli recht niedriges Minimum abgelesen. Um die Monatsmitte ging der westliche Hochdruck zurück, so daß die Depressionen nun auf südlicheren Bahnen den Kontinent erreichten. Nach einigen Tagen von veränderlichem Witterungscharakter brachte der 18. Juli, unter dem Einfluß eines über ganz Europa ausgedehnten Minimums, im ganzen Land Niederschlagsmengen von ungewöhnlichen Beträgen (Bern 61 mm), bis 1600 m herab in Form von Schnee. Auch in der dritten Monatsdekade blieb die Witterung unbeständig, kühl und mit häufigem Niederschlag, der in großen Mengen am 21. (Gewitterregen Einsiedeln 95 mm), am 23. (Glarus 51 mm, Locarno Gewitter 160 mm!) sowie am 28. fiel.

Der August war in seinen beiden ersten Dritteln von recht kühlem, trübem, regnerischem Charakter, wie der vorangegangene Juli, dagegen stiegen im letzten Teil des Monats die Temperaturen täglich über die Normalwerte, und Bewölkung und Niederschlag waren erheblich geringer als vorher. Im Gesamtdurchschnitt weist der Monat keine allzu großen Abweichungen vom langjährigen Temperaturmittel auf: leicht zu kühl erscheint er für Ostschweiz und Tessin (hier sogar um fast 1°), etwas zu warm dagegen für den Südwesten und für die Höhen (bis zu $\frac{3}{4}^{\circ}$). — Bei den Monatsmengen des Niederschlages sehen wir Ueberschüsse und Defizite, von nur mäßigem Betrage, abwechseln; fast allgemein aber übersteigt die Zahl der Niederschlagstage die normale. — Hinsichtlich des mittleren Bewölkungsgrades sind namentlich für den Osten etwas zu hohe Werte zu konstatieren, wie auch die Sonnenscheindauer an den meisten Stationen — die Südwestschweiz macht dabei eine Ausnahme — unternormal ausgefallen ist.

Die Einwirkung eines vom Ozean in den Kontinent eindringenden Minimums wurde am Nachmittag des 2. durch eine strichweise sehr heftig auftretende Sturmböe mit Gewitter und starkem Regen eingeleitet; die Wit-

terung blieb nun weiterhin unbeständig, zu häufigem Regen geneigt und relativ kühl. Nach dem 12. zwang ein Vorstoß des Azorenhochs gegen England hin die atlantischen Depressionen in eine von der Nordsee gegen Südosteuropa gerichtete Bahn, was den Zufluß polarer Luft in den Kontinent hinein förderte und uns bis zum 16. weitere kühle und nasse Tage brachte. Eine Druckzunahme über Mitteleuropa, mit der heiteres Wetter am 17. und 18. bei uns verbunden war, führte zunächst noch nicht zu einer dauernden Festigung der Wetterlage, es kam bis zum 23. noch zu einigen, zum Teil gewitterigen Störungen. Nach diesem Tage aber hatten wir uns dann endlich einer bis zum Monatsschluß anhaltenden Periode antizyklonal heiteren, ruhigen Wetters zu erfreuen, mit Temperaturen, die täglich stark über die Normalwerte der zweiten Augushälfte gesteigert waren. Sehr bedeutende Erwärmung haben dabei namentlich auch die Gipfelstationen erfahren.

Auch der September hat uns noch keine Beständigkeit der Witterung von längerer Dauer gebracht. Unsere meteorologischen Beobachtungen lassen den Monat als milde, dabei aber — von einer kurzen Periode am Anfang abgesehen — als sehr reich an Bewölkung wie auch an Niederschlagstagen erkennen. Die Abweichungen der Mitteltemperaturen von den normalen liegen im allgemeinen nahe bei $+1^\circ$, vereinzelt kommen auch Werte unter $+\frac{1}{2}^\circ$ vor. — Die Monatsmengen des Niederschlages sind im schweizerischen Mittelland strichweise unter dem langjährigen Durchschnitt geblieben, sonst zeigen sich allgemein Ueberschüsse, die aber nur vereinzelt $\frac{2}{3}$ des Normalen erreichen oder übersteigen. Ueberall war, wie schon erwähnt, die Niederschlagshäufigkeit groß, das Zuviel betrug z. B. in Engelberg 9 Tage, in Montreux und auf dem Rigi je 8, in Lausanne und St. Gallen je 7 Tage. — Die Himmelsbedeckung ist, mit einziger Ausnahme von Süd- und Südwestschweiz, überall um 20—25 % zu groß ausgefallen, und das Defizit an „hellen Tagen“ macht vielerorts 7—8 Tage aus. Die Sonnenscheindauer blieb fast in allen Teilen des Landes beträchtlich — bis über 40 Stunden — hinter der normalen zurück.

Das heitere und warme Hochdruckwetter, mit dem der August zu Ende ging, hat noch bis zum 6. September angehalten. Dann haben flache, vom Ozean vordringende Wirbel die Witterung bei uns zu bestimmen begonnen; strichweise heftige Gewitter am Abend des 6. und in der anschließenden Nacht leiteten diese neue Periode ein, und trübe, milde Tage mit gelegentlichem Niederschlag folgten weiter. Dieser letztere erreichte zwischen 11. und 13. namentlich in Süd- und Westschweiz bedeutende Beträge (Locarno am 11. 78 mm, Lausanne am 11. 66 mm, am 12. 35 mm), als ein ausgedehntes flaches Tief, mit Zentren nord- und südwärts der Alpen, über uns hinwegzog. Zwischen 16. und 19. trat mit leichter Druckverstärkung zeitweise Aufhellung

des Himmels ein, anfangs allein in der West- und Süd-schweiz, später allgemein. Anschließend hat dann eine tiefe, von England gegen die Ostsee ziehende Depression nach anfänglichen Föhnerscheinungen stark bewölkte, kühlere Tage verursacht mit Niederschlägen, die am 20. in großen Mengen in fast allen Teilen der Schweiz fielen. Im letzten Drittel des Monats gestalteten sich die Druckverhältnisse über Mitteleuropa nach anfänglicher Verstärkung sehr unregelmäßig, und starke Bewölkung bei kühlerem Wetter blieb bei uns vorherrschend. Große Regenmengen sind dabei am 25. und am 29. zu verzeichnen gewesen.

Der Oktober war für die meisten Teile der Schweiz milde und ebenso für die meisten reich an Niederschlag und an Bewölkung. Nur in der Südschweiz und da und dort in den Alpentälern sind kleine oder mittelgroße unter normale Monatsmittel der Temperatur anzutreffen, im übrigen Gebiet, einschließlich der Gipfelstationen, weichen die Mittel nach der positiven Seite hin ab, und zwar bis zirka 1° . — Unter den Niederschlagsmengen tritt im Südtessin ein ausgesprochenes Defizit hervor (Lugano —75 %), nördlich der Alpen überwiegen dagegen durchaus die Ueberschüsse, von ungleicher Größe und in unregelmäßiger Verteilung. Am reichlichsten wurden die Gipfelstationen bedacht: die Mengen des Rigi betragen das Doppelte, die des Säntis nahezu das Dreifache der für diese Punkte normalen Oktobermengen. Auch die Niederschlagshäufigkeit war überall, außer im Tessin, größer als gewöhnlich. — Bezüglich der monatlichen Bewölkungsmengen bildete der Alpenkamm gleichfalls eine Scheide: während für den Süden der Oktober übernormal hell und sonnenscheinreich war, gilt für den Norden allgemein das Umgekehrte.

Nachdem an den ersten vier Monatstagen bei hohem Luftdruck der Himmel bei uns hell oder — für die Niederungen — zeitweise von Hochnebel bedeckt war, haben dann tiefe, über die Nordsee nach Osten ziehende Minima eine Periode mit häufigen und starken Regenfällen bei lebhafter westlicher Luftbewegung folgen lassen. Am Morgen des 6. und namentlich des 10. sind dabei die größten Niederschlagsmengen gemessen worden (Einsiedeln 56, Lausanne und Luzern 51 mm). Eine rasche Steigerung des Luftdrucks führte zunächst zu einer kurzen, aber ausgeprägten Föhnsituation, die am 12. mit Wind- und Regenböen ihren Abschluß fand, und danach zu einer neuen antizyklonalen Lage mit heiterem Wetter bis zum 19. und relativer Wärme namentlich auf den Bergen. Während der dritten Dekade des Monats blieb der hohe Luftdruck auf den Osten und den äußersten Südwesten Europas beschränkt, über dem ganzen zwischenliegenden Gebiet aber waren Bildungen zyklonaler Art dauernd tätig. Damit war bei uns ohne größere Unterbrechungen Anlaß zu starker Bewölkung gegeben und zu Niederschlägen, die mehrfach

aus einströmenden Luftmassen polaren Ursprungs fielen und daher — in Begleitung von erheblicher Temperaturerniedrigung — bis weit herab als Schnee auftraten.

Der November tritt als einer der wärmsten Novembermonate in die meteorologischen Annalen der Schweiz ein. Er wetteifert — wenigstens in den Niederungen nördlich der Alpen — mit denen von 1913 und 1895, die bisher an der Spitze stehen, und die er stellenweise noch zu übertreffen vermocht hat; dies namentlich in der Ostschweiz, wo die Abweichungen am größten waren ($3\frac{1}{2}$ — 4°). Nur in der langen Beobachtungsreihe von Basel finden wir einen November — den des Jahres 1852 — der noch bedeutend, nämlich um mehr als 1° , wärmer war. Die Gipfelstationen und die Südschweiz hatten weniger extreme Wärmeverhältnisse, die Abweichungen, die sich dort zeigen (1 — 2°), sind früher schon öfter überschritten worden. Auch bei den Tagesmitteln der Temperatur kamen sehr große Ueberschüsse vor, besonders in der durchwegs sehr warmen dritten Dekade, in der diese Werte mehrfach um 10 — 12° zu hoch waren, und in der selbst die fünftägigen Mittel sich noch um 6° und 8° über die normalen erhoben. — Die Himmelsbedeckung fiel im Bergland, an Tal- wie Gipfelstationen, größer, in den tieferen Lagen aber kleiner aus als normal, was auch in der Verteilung der Ueberschüsse und Defizite registrierter Sonnenscheindauer zum Ausdruck kommt. — Beim Niederschlag ist fast ausnahmslos ein Zuviel an Menge wie an Häufigkeit festzustellen. Der Ueberschuß der Mengen war auf den Bergen am größten (Säntis fast 100% , Rigi mehr als 150% des Durchschnittes), im Mittelland im Osten im ganzen größer (zirka 70%) als im Westen. Tessin und Teile des Bündnerlandes verzeichneten leichte Defizite. — Die Luftbewegung ist mehrmals während des Monats sehr lebhaft gewesen, am frühen Morgen des 23. steigerte sie sich unter dem Einfluß eines kleinen energischen Wirbels zum Sturm, der in vielen Teilen der Schweiz Schaden anrichtete, namentlich in den Wäldern, wo starke Bäume geknickt und entwurzelt wurden. Der Zürcher Anemograph registrierte dabei Geschwindigkeiten bis zu 28 m/Sek. Strichweise beobachtete man gleichzeitig auch Gewittererscheinungen.

Der milde, niederschlagsreiche Charakter des Monats November ist der häufigen, lebhaften Zyklonentätigkeit in den uns nächsten Teilen des Atlantik zuzuschreiben, die öfteren Anlaß für nachhaltige Zufuhr warmer Luft aus niederen Breiten gab. Im Bereich eines solchen, über England ostwärts ziehenden tiefen Wirbels fielen an den ersten Monatstagen große Niederschlagsmengen bei uns, zunächst namentlich in der Westschweiz. In der zweiten Dekade ist es dann zu einigen ruhigeren Tagen antizyklonalen Charakters gekommen, mit unternorma-

len Temperaturen. Mit dem 16., an dem wieder große Niederschlagsmengen zu verzeichnen waren, vor allem in der Zentralschweiz (Einsiedeln 63 mm), nahm die Witterung aber wieder veränderlichen Charakter an, den sie bis in die letzten Monatstage beibehielt.

Ein gleichfalls zu warmer Dezember hat den Temperaturüberschuß des bis dahin schon sehr warmen Jahres 1930 noch weiter vergrößert. Der Monat war am mildesten für die tieferen Teile der Schweiz, in denen die Normalmittel um 1 — 2° , stellenweise auch noch um mehr, überschritten worden sind. Daneben sind aber im östlichen und zentralen Bergland vereinzelt auch Abweichungen von wesentlich geringerem Betrage vorgekommen. Von den Tagesmitteln der Temperatur haben rund $\frac{3}{4}$ ihre Normalwerte übertroffen, und zwar zeitweise erheblich (im Mittelland bis zu etwa 8°); eine längere Folge mit negativen Abweichungen gab es nur zwischen 19. und 25. Dezember. — Der Unterschied der gemessenen Niederschlagsmengen gegen ihren langjährigen Durchschnitt gibt zu erkennen, daß der Dezember im Genferseegebiet etwas zu naß, sonst aber vorwiegend zu trocken war, wobei der Ausfall bis zu etwa $\frac{1}{3}$ der Normalmengen geht. — Die Himmelsbedeckung hat vom östlichen Mittelland gegen Westen hin wie auch nach der Höhe zu von leicht über- zu etwas unternormalen Werten abgenommen. — Für die Alpensüdseite war die Temperatur des Monats um nicht ganz 1° zu hoch, der Niederschlag um etwa 60% zu gering und die Trübung des Himmels etwas zu groß.

Mehreren Tagen von antizyklonalem Typus, mit heiterem Himmel in der Höhe und Hochnebelbedeckung über dem Mittelland, folgte nach dem 6. eine Periode mit öfteren Regen- und Schneefällen und milder Temperatur, wobei tiefem Luftdruck über der Westhälfte Europas eine sich mehr und mehr verstärkende Antizyklone über Nordwestrußland gegenüberstand. Größere Niederschlagsmengen wurden in diesen Tagen namentlich am Morgen des 13. in Teilen der Zentral- und Ostschweiz gemessen (Säntis 52 mm). Infolge der Verlagerung des russischen Maximums erst gegen Süden und dann gegen Westen hat sich die Witterung bei uns zwischen 16. und 25. Dezember wieder trocken, heiter auf den Bergen, vielfach neblig in der Tiefe gestaltet, und die Temperaturen sind nun, wenn auch nicht sehr bedeutend, unter das Normale gesunken. Nach dem 24. stellte sich die anfängliche Druckverteilung, hohe Werte über Nordost-, tiefe über West- und Nordwesteuropa, von neuem ein, so daß unserem Gebiet milde und feuchte Luft vom Ozean her zugeführt wurde; die Temperaturen lagen infolgedessen bis zum Ende des Monats wieder relativ hoch und die täglich auftretenden Niederschläge erreichten, besonders in der Westschweiz, nennenswerte Beträge.

Zusammenfassung. Im ganzen mild und vorwiegend trocken waren die drei ersten Monate des Jahres 1930, ebenfalls mild, dazu aber naß, der April; für einen kühlen und regnerischen Mai entschädigte ein besonders warmer, sonniger Juni, dagegen kennzeichnet den Hochsommer eine bis weit in den August hinein andauernde Schlechtwetterperiode, in der sich der Juli durch fühlbaren Wärmeausfall, vor allem aber durch

ganz ungewöhnlichen Niederschlagsreichtum besonders hervorgetan hat. Der ganze Rest des Jahres ist mild und trübe ausgefallen und, mit Ausnahme des Dezember, auch für die meisten Gegenden regnerisch. Besondere Hervorhebung verdient der November, der als einer der wärmsten seinesgleichen in die Geschichte der schweizerischen Meteorologie eingetreten ist.

Monatswerte der wichtigsten meteorologischen Elemente 1930.

	Höhe m	Januar	Februar	März	April	Mai	Juni	Juli	August	September	Oktober	November	Dezember	Jahr
Temperatur.														
Basel	318	2.7	1.1	6.1	9.6	12.0	19.1	16.9	17.3	14.7	10.0	7.0	1.6	9.8
La Chaux-de-Fonds	987	1.7	-2.2	2.8	5.4	7.8	15.3	13.1	14.2	12.0	6.9	4.6	-0.8	6.7
Zürich	493	1.8	0.4	5.6	9.5	12.0	19.3	16.8	17.1	14.8	9.4	7.2	1.6	9.6
Bern	572	1.8	0.3	5.2	8.7	11.1	18.8	16.3	16.7	14.3	8.6	6.2	1.2	9.1
Genf	405	2.9	2.3	6.7	10.0	12.4	19.7	18.3	18.7	16.3	10.1	7.8	3.0	10.7
Davos	1561	-3.7	-6.3	-0.1	3.5	6.4	13.2	11.4	11.4	9.0	3.3	0.9	-5.2	3.7
Säntis	2500	-5.0	-9.0	-5.8	-3.8	-1.5	6.6	3.8	5.2	3.0	-0.9	-4.2	-6.8	-1.5
Lugano	276	2.1	2.5	7.6	10.9	14.1	20.3	19.9	19.6	17.2	11.0	7.4	3.3	11.3
Abweichungen von den normalen Mitteln.														
Basel	318	3.8	-0.1	1.8	1.1	-0.5	2.9	-1.3	0.1	1.0	1.3	3.0	1.5	1.2
La Chaux-de-Fonds	987	4.3	-1.1	1.6	0.0	-1.7	2.1	-2.2	-0.2	0.3	0.4	2.7	0.7	0.6
Zürich	493	2.7	-0.5	1.4	1.0	-1.0	3.0	-1.2	-0.1	0.9	0.9	3.7	1.4	1.0
Bern	572	4.0	0.2	2.0	0.6	-1.0	2.7	-1.6	0.0	0.6	0.8	3.3	2.4	1.2
Genf	405	2.9	0.2	1.8	0.7	-0.8	2.8	-1.0	0.4	1.2	0.6	2.8	1.8	1.1
Davos	1561	3.5	-1.4	2.4	1.3	-0.4	2.9	-0.7	0.1	0.7	-0.2	2.3	0.6	1.0
Säntis	2500	4.0	0.0	2.8	0.6	-0.6	4.0	-1.2	0.6	0.2	0.6	0.6	0.2	1.0
Lugano	276	0.7	-0.9	0.7	-0.4	-1.0	1.3	-1.5	-0.9	0.2	-0.5	1.2	0.8	0.0
Niederschlag ($\frac{mm}{m}$).														
Basel	318	30	20	30	112	119	104	198	53	61	102	96	37	962
La Chaux-de-Fonds	987	64	53	95	114	250	170	233	125	126	223	209	115	1832
Zürich	493	33	18	74	168	182	81	251	129	70	143	117	47	1313
Bern	572	37	26	68	147	147	105	227	141	71	171	115	44	1299
Genf	405	62	29	73	89	141	79	203	108	135	113	97	73	1207
Davos	1561	22	1	42	45	103	80	138	175	126	89	42	42	905
Säntis	2500	121	110	260	234	382	115	499	279	291	510	345	252	3448
Lugano	276	100	16	120	253	214	149	195	150	225	53	100	33	1608
Abweichungen von den normalen Mitteln.														
Basel	318	-8	-22	-21	48	40	2	112	-32	-16	26	35	-15	149
La Chaux-de-Fonds	987	-49	-31	-4	-5	130	49	159	2	17	90	105	1	464
Zürich	493	-20	-38	1	77	72	-53	122	-3	-35	49	48	-26	194
Bern	572	-9	-26	6	75	60	-3	123	35	-12	82	47	-19	359
Genf	405	19	-19	19	25	65	1	128	14	57	7	19	11	346
Davos	1561	-27	-52	-15	-13	38	-28	9	41	32	23	-18	-21	-31
Säntis	2500	-116	-76	59	20	172	-178	188	-14	62	330	166	-4	609
Lugano	276	43	-42	11	96	42	-43	31	-41	44	-155	-29	-44	-87
Monats- und Jahressummen der Sonnenscheindauer in Stunden.														
Basel	318	107	95	126	137	119	248	181	202	133	103	65	55	1571
La Chaux-de-Fonds	987	120	83	106	102	91	169	140	193	126	109	73	72	1384
Zürich	493	66	95	118	143	141	269	187	213	123	76	81	39	1551
Bern	572	61	87	111	136	120	252	187	230	137	105	83	41	1550
Genf	405	67	98	142	169	161	269	253	273	200	89	98	43	1862
Davos	1561	114	143	142	127	125	207	191	210	127	111	89	102	1688
Säntis	2500	146	163	124	99	62	187	116	157	110	108	86	131	1439
Lugano	276	93	90	150	100	168	219	270	241	190	176	115	112	1924
Abweichungen von den normalen Mitteln.														
Basel	318	42	-5	-1	-8	-98	17	-65	-32	-29	-5	1	-2	-185
Zürich	493	18	-2	-12	-7	-74	38	-64	-19	-41	-20	29	1	-153
Bern	572	1	-13	-14	-2	-85	24	-54	-7	-27	-2	25	-4	-158
Genf	405	5	-5	-10	-14	-89	-15	-42	-6	-2	-33	33	-7	-185
Davos	1561	12	34	-7	-31	-50	31	-19	1	-45	-22	-13	11	-98
Säntis	2500	24	45	-10	-38	-90	40	-50	-23	-49	-30	-51	8	-224
Lugano	276	-34	-57	-31	-33	-46	-25	-22	-32	-11	29	11	-5	-306



Die Häufigkeit großer Tagesmengen des Niederschlages in der Schweiz

von W. Brückmann und H. Uttinger.

Bei den Auskünften, die die Meteorologische Zentralanstalt jahraus und -ein an Behörden und Private für Entscheidungen rechtlicher und technischer Art zu erteilen hat, ist öfters die Frage nach den größten Regenmengen, die im Tag oder in kürzerer Zeit bei uns fallen, zu beantworten. Es sind neben anderen besonders die mit der Erstellung von Kanalisations- oder ähnlichen Anlagen beschäftigten Tiefbauingenieure, die diese Fragen interessieren, da die Querschnitte, die den Behältern und Rohren für solche Zwecke zu geben sind, von den zu erwartenden Intensitäten des Niederschlages in maßgebender Weise abhängen. Damit z. B. Ueberschwemmungen der Straßen, Keller usw. vermieden werden, muß ein Kanalisationssystem die Regenmengen annähernd im gleichen Tempo wegzuschaffen vermögen, in dem sie fallen und die Sammelbassins füllen.

Nun sind aber intensive Regenfälle mit exzessiven Minutenmengen bei uns verhältnismäßig selten, und deshalb wäre es nicht ökonomisch, die Röhrenabmessungen so zu wählen, daß sie die größten Minutenmengen, die an einem Ort je schon einmal oder in langen Zeiträumen einige wenige Male vorgekommen sind, zu bewältigen vermöchten. Für die Frage aber, nach welchen Grundsätzen dann die Wahl der Dimensionen zweckmäßig zu treffen sei, muß in erster Linie ein Eindruck darüber gewonnen werden, wie oft Mengen verschiedener Größe durchschnittlich zu erwarten sind.

Neben dem rein wissenschaftlichen Interesse haben uns solche praktische Fragen veranlaßt, die schweizerischen Beobachtungsreihen der letzten Jahrzehnte in dieser Richtung zu bearbeiten. Der eine von uns hat die Zürcher Regenregistrierungen seit 1901 auf alle vorkommenden intensiven Regen kürzerer Dauer hin untersucht; seine Ergebnisse werden im nächsten Aufsatz dieses Bandes veröffentlicht.

In der vorliegenden Betrachtung wird die Frage nach den größten Tagesmengen des Niederschlages untersucht, die an den meteorologischen Stationen von Basel, Zürich, Bern, Genf und Lugano in den Jahren 1900—1929 gemessen worden sind. Wir haben als untere Grenze der zu untersuchenden Mengen 15 mm pro Tag gewählt und von da aufwärts die Häufigkeiten nach Stufen von 5 zu 5 mm (16 bis 20, 21 bis

25 mm usw.) von Monat zu Monat und Jahr zu Jahr festgestellt. Unter „Tagesmenge“ ist dabei nicht nur eine Menge zu verstehen, die einem Niederschlag von wirklich 24stündiger Dauer entstammt, sondern, in üblicher Ausdrucksweise, die von 24 zu 24 Stunden gemessene Menge ohne Rücksicht auf die wirkliche Dauer des Niederschlages innerhalb des Tages.

Tabelle 1

Verteilung der Tage mit Niederschlag > 15 mm über das Jahr

Station	I	II	III	IV	V	VI	VII	VIII	IX	X	XI	XII	Jahr
Basel	6	13	12	13	23	42	42	41	35	25	18	10	280
Zürich	17	13	26	32	41	68	64	75	49	34	28	36	483
Bern	13	16	27	29	48	56	63	73	44	30	26	34	459
Genf	17	28	32	32	36	36	38	69	51	48	35	42	464
Lugano	36	48	96	108	133	113	120	122	102	120	83	55	1136

Tabelle 1 gibt von jedem dieser Orte für Monat und Jahr die Summe aller im genannten Zeitraum vorgekommenen Tage mit mehr als 15 mm Niederschlag, ohne weitere Trennung nach den einzelnen Stufen. Wie die für das Jahr gültigen Werte der Tabelle zeigen, hat Lugano die weitaus größte, Basel die kleinste, das Mittelland eine mittlere Häufigkeit solcher Tage. In Lugano treten sie 2½mal so häufig auf als im Mittelland und hier etwa 1¾mal so oft als in Basel. Auch in den Monatswerten kommt die Ueberlegenheit Luganos durchweg zum Ausdruck; seine Werte sind bis zum Sechsfachen größer als die von Basel, bis zum Vierfachen größer als die des Mittellandes.

Die Tabelle ermöglicht die Untersuchung des jährlichen Ganges dieser Häufigkeit für die einzelne Station; um aber zwischen den Stationen Vergleiche anstellen zu können, empfiehlt es sich, die jeweilige Verteilung über das Jahr hin in Prozenten der Gesamtzahl darzustellen. Dies ist in Tabelle 2 ausgeführt; zudem

Tabelle 2

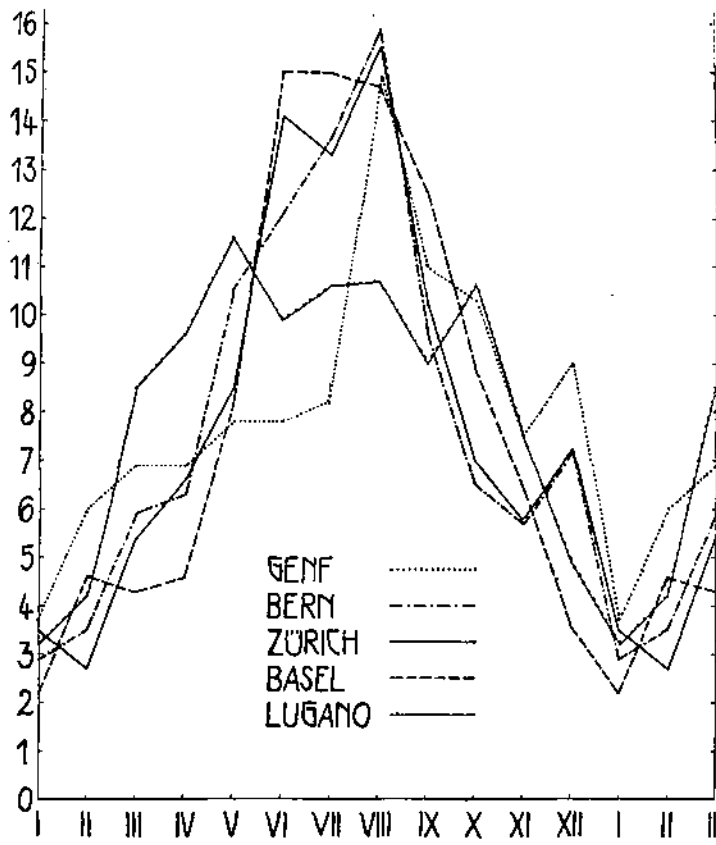
Prozentuale Verteilung der Tage mit Niederschlag > 15 mm über das Jahr

Station	I	II	III	IV	V	VI	VII	VIII	IX	X	XI	XII
Basel	2.2	4.6	4.8	4.6	8.2	15.0	15.0	14.7	12.5	8.9	6.4	3.6
Zürich	3.5	2.7	5.4	6.6	8.5	14.1	13.3	15.5	10.2	7.0	5.8	7.4
Bern	2.9	3.5	5.9	6.3	10.5	12.1	13.7	15.9	9.6	6.5	5.7	7.4
Genf	3.7	6.0	6.9	6.9	7.8	7.8	8.2	14.9	11.0	10.3	7.5	9.0
Lugano	3.2	4.2	8.5	9.6	11.6	9.9	10.6	10.7	9.0	10.6	7.5	4.9

zeigt Fig. 1 den Verlauf dieser Prozentzahlen in graphischer Darstellung, wobei die Kurve über das Jahresende hinaus bis März verlängert worden ist, um die Minima deutlicher hervortreten zu lassen. Wie man sieht, hat jede der fünf Stationen ihre Besonderheiten im jährlichen Gang. Dies kommt auch zum Ausdruck, wenn man in Tabelle 2 für jeden Ort die Differenz zwischen Minimum und Maximum bildet. Diese Differenzen sind zwar inhaltlich ohne Bedeutung, lassen sich aber für diesen Zweck zum Vergleich heranziehen. Sie betragen:

Basel	Zürich	Bern	Genf	Lugano
12.8	12.0	13.0	11.2	8.4

Lugano weist also prozentual die kleinste Schwankung im jährlichen Gang auf. Dort sind somit die starken Regen gleichmäßiger über das Jahr hin verteilt als dies nördlich der Alpen der Fall ist.



Für Lugano ist, wie Figur 1 erkennen läßt, ein rascher Anstieg der Häufigkeitskurve im Frühling charakteristisch, vom Minimum im Januar zum Hauptmaximum im Mai, dem dann eine relative Depression der Kurve im Hochsommer und ein sekundäres Maximum im Oktober folgen, das sind Kennzeichen, die auch der Verteilung der Niederschlagsmengen über das Jahr hin dort eigentümlich sind.

Von den übrigen Stationen kommt Genf Lugano am nächsten; seine Kurve stellt einen Uebergangstyp zwi-

sehen denen des Nordens und des Südens dar. Auch in Genf beginnt der Anstieg der Kurve früh im Jahr, doch nehmen dann die Werte vom Frühling bis zum Juli nur langsam zu, worauf ein scharfes Anwachsen zum Maximum im August erfolgt, in welchem Monat auch Bern und Zürich die größte Häufigkeit hoher Tagesmengen erreichen. Der Unterschied zwischen Maximum und Minimum ist in Genf schon wesentlich größer als in Lugano, aber er ist noch kleiner als an den übrigen nordalpinen Stationen. Neben dem Maximum im August ist für Genf, Bern und Zürich noch charakteristisch ein Teilminimum im November. Die Basler Kurve dagegen weist ein ziemlich gleichmäßig über den ganzen Hochsommer sich erstreckendes Maximum und ein flaches Teilminimum im März auf. Das Hauptminimum tritt in Zürich im Februar, bei den andern Stationen, einschließlich Lugano, im Januar ein. Im allgemeinen stimmt, wie schon angedeutet, die Lage der Extreme in den Kurven mit derjenigen der Extreme in der mittleren Niederschlagsverteilung an jedem der Orte überein, doch kommen gelegentlich Verschiebungen um einen Monat vor.

Tabelle 3
Stufenweise Verteilung der Tage mit Niederschlag > 15 mm

Stufenweite	Basel	Zürich	Bern	Genf	Lugano
mm					
16—20	144	227	204	194	275
21—25	52	126	116	107	216
26—30	39	53	57	58	179
31—35	30	33	39	44	107
36—40	6	15	17	19	84
41—45	6	15	7	17	61
46—50	1	12	10	10	46
51—55	—	1	4	3	34
56—60	2	—	3	4	30
61—65	—	1	1	4	20
66—70	—	—	1	3	23
71—75	—	—	—	1	12
76—80	—	—	—	—	15
81—85	—	—	—	—	5
86—90	—	—	—	—	8
91—95	—	—	—	—	—
96—100	—	—	—	—	4
> 100	—	—	—	—	17 ^{*)}
Summe	280	483	459	464	1136

Tabelle 3 enthält von jeder einzelnen Stufe die Summe sämtlicher in den Jahren 1900 bis 1929 beobachteten Fälle, und Figur 2 veranschaulicht die Art dieser Häufigkeitsverteilung für Lugano, Bern und Basel als Repräsentanten der drei in Frage stehenden klimatischen Typen, wobei auf der Ordinate die Ge-

^{*)} Die in Spalte > 100 bei Lugano vorkommenden 17 Fälle verteilen sich folgendermassen auf Stufen von 10 zu 10 mm:

100—110	111—120	121—130	131—140	141—150	151—160
6	2	3	4	—	1

ferner noch 1 Fall mit 263 mm.

samtzahl der Fälle, auf der Abzisse die Stufenwerte aufgetragen sind.

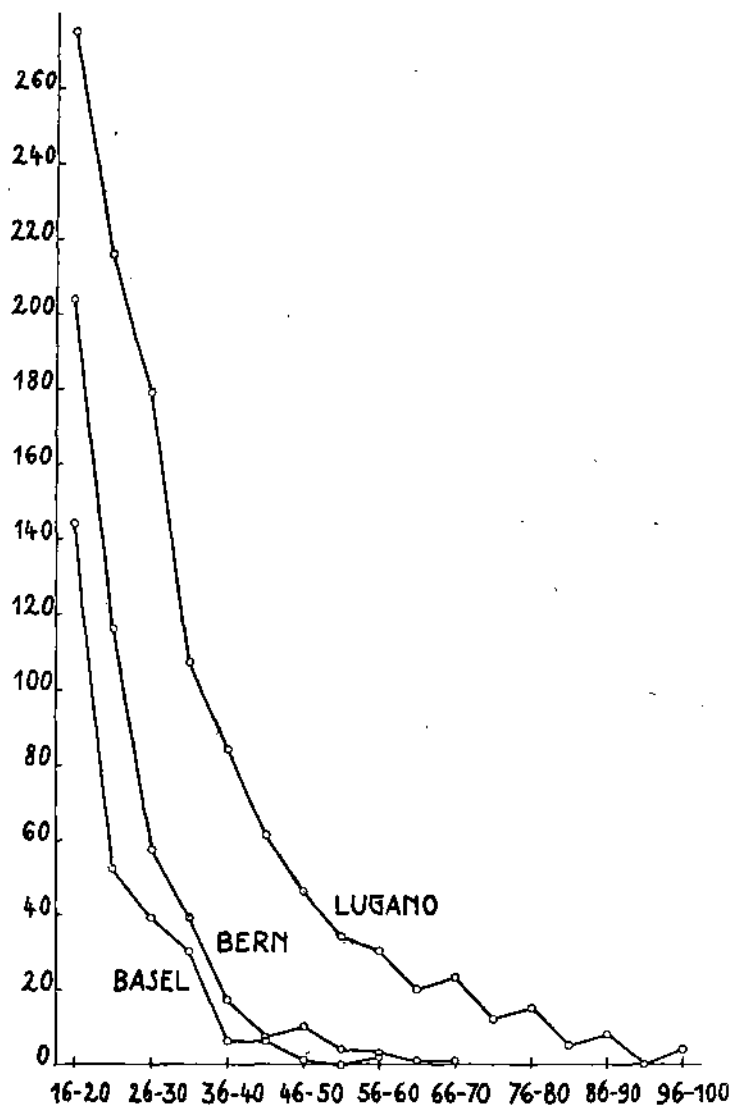


Fig. 2
Häufigkeit der einzelnen Stufen.

Wieder sieht man zwischen Lugano und Basel, dem Südhang der Alpen und dem Nordabfall des Jura, die stärksten Gegensätze bestehen, während das Mittelland eine Zwischenstellung einnimmt, wenn auch, begreiflicherweise, mit stärkerer Anlehnung an den klimatisch näher verwandten Nordjura.

Die Verteilungen an den verschiedenen Stationen sind graduell verschieden, aber von gleicher Art, überall besteht beim Uebergang von den kleinen zu den höheren Stufen eine anfangs rasche, allmählich dann sich verlangsamen Abnahme der Häufigkeitszahlen.

Die Frage, wie oft durchschnittlich im Jahr Tagesmengen des Niederschlages von der Größe der einzelnen Stufen zu erwarten seien nach den Beobachtungen der letzten 30 Jahre, beantwortet Tabelle 4, in der zunächst für jede der untersuchten Sta-

Tabelle 4

Mittlere, maximale und minimale Häufigkeit der Stufen im Jahr

Stufenwerte	Basel			Zürich			Bern			Genf			Lugano		
	mittl.	max.	min.	mittl.	max.	min.	mittl.	max.	min.	mittl.	max.	min.	mittl.	max.	min.
mm															
16-20	4.8	11	1	7.6	13	1	6.8	18	2	6.5	13	2	9.2	15	3
21-25	1.7	5	—	4.2	10	1	3.9	10	—	3.6	9	—	7.2	13	2
26-30	1.3	5	—	1.8	3	—	1.9	5	—	1.9	5	—	6.0	14	1
31-35	1.0	3	—	1.1	3	—	1.3	4	—	1.5	6	—	3.6	7	1
36-40	0.2	1	—	0.5	2	—	0.6	3	—	0.6	3	—	2.8	9	—
41-45	0.2	1	—	0.5	2	—	0.2	1	—	0.6	2	—	2.0	5	—
46-50	0.0	1	—	0.4	3	—	0.3	1	—	0.3	2	—	1.5	4	—
51-55	—	—	—	0.0	1	—	0.1	1	—	0.1	1	—	1.1	4	—
56-60	0.1	1	—	—	—	—	0.1	2	—	0.1	1	—	1.0	3	—
61-65	—	—	—	0.0	1	—	0.0	1	—	0.1	2	—	0.7	3	—
66-70	—	—	—	—	—	—	0.0	1	—	0.1	1	—	0.8	3	—
71-75	—	—	—	—	—	—	—	—	—	0.0	1	—	0.4	2	—
76-80	—	—	—	—	—	—	—	—	—	—	—	—	0.5	3	—
81-85	—	—	—	—	—	—	—	—	—	—	—	—	0.2	1	—
86-90	—	—	—	—	—	—	—	—	—	—	—	—	0.3	2	—
91-95	—	—	—	—	—	—	—	—	—	—	—	—	—	—	—
96-100	—	—	—	—	—	—	—	—	—	—	—	—	0.1	1	—
>100	—	—	—	—	—	—	—	—	—	—	—	—	0.6	3	—
Alle Stufen	9.3	18	4	16.1	27	8	15.3	27	8	15.5	26	5	37.9	50	17

tionen diese mittleren jährlichen Häufigkeiten (mittl.) angegeben sind. Um zudem einen Eindruck darüber zu gewinnen, wie groß die Häufigkeitsunterschiede für jede Stufe von Jahr zu Jahr sein können, ist in der Tabelle auch noch die größte (max.) und die kleinste (min.) Anzahl pro Jahr aufgeführt, die in dem betrachteten Zeitraum vorkam. Wie man sieht, fällt die mittlere Häufigkeit bei den nordalpinen Stationen sehr rasch, bei Lugano wesentlich langsamer unter einen Fall im Jahr herab, wenn wir von den kleinen zu den größeren Stufen übergehen; bei den Maxima kommen stellenweise erhebliche Abweichungen vom Mittelwert vor.

Die unterste Zeile enthält die entsprechenden Werte für sämtliche Tagesmengen über 15 mm, ohne Rücksicht auf die Stufeneinteilung. Hier gibt also z. B. die in der Spalte „max.“ stehende Zahl an, wie viele Tagesmengen über 15 mm im Maximaljahr des betrachteten Zeitraumes aufgetreten sind.

Zum Schluß sei noch von jeder der fünf Stationen die größte Tagesmenge aufgeführt, die seit Bestehen des schweizerischen meteorologischen Stationsnetzes (1864 bis 1930) an ihr zur Beobachtung gelangte:

Basel	Zürich	Bern	Genf	Lugano
95	171	90	124	263 mm

Die höchste in der Schweiz je gemessene Tagessumme beträgt 359 mm, sie wurde in Mosogno im südlichen Tessin beobachtet (24. IX. 1924) und stellt einen der größten Werte dar, die Mitteleuropa überhaupt aufzuweisen hat.

Starke Regenfälle von kurzer Dauer in Zürich 1901—1930

von H. Uttinger.

Die vorliegende Arbeit zerfällt ihrer Natur nach in zwei Teile mit verschiedenen Zielen. Der erste Teil ist darauf gerichtet, diejenigen Regen herauszusuchen, die die grösste Intensität (Menge pro Minute) aufweisen, wobei als untere Grenze einfach eine bestimmte Intensität angenommen ist, ohne Rücksicht auf die Dauer des Regens. Diese so ermittelten Regen sollen der Kürze halber hier einfach „Gussregen“ genannt werden. Im zweiten Teil dagegen sind die untern Grenzwerte der starken Regen je nach ihrer Dauer verschieden festgesetzt; zur Unterscheidung von den im ersten Teil besprochenen Regen werden die letzteren als „Platzregen“ oder – nach G. Wussow – als „dichte Regen“ bezeichnet. Ueber ihre nähere Definition, die bei allen Autoren anders lautet, wird an späterer Stelle die Rede sein.

Das Material zu den nachfolgenden Betrachtungen wurde gewonnen aus den dreissigjährigen Aufzeichnungen 1901—1930 des Hellmann'schen Pluviographen der Meteorologischen Zentralanstalt in Zürich.

* * *

Der erste Teil hat vornehmlich theoretisches Interesse. Da sehr starke Regen meistens nur kurze Zeit dauern, haben sie auf die Gestaltung der Monats- und Jahresmengen keinen grossen Einfluss. Sie sind auch fast immer nur Anfänge oder Ausschnitte von längeren Regen, häufig Teile von Gewitterregen.

Tab. 1: Verteilung der Gussregen auf die Monate.

	IV	V	VI	VII	VIII	IX	X	Jahr
1901	—	1	3	—	—	1	—	5
1902	—	—	2	6	4	1	—	13
1903	—	1	—	2	2	—	—	5
1904	—	2	2	1	—	—	—	5
1905	—	2	1	5	2	—	—	10
1906	—	—	1	3	3	—	—	7
1907	1	2	1	—	2	1	—	7
1908	—	1	—	3	1	—	—	5
1909	—	—	—	1	3	—	—	4
1910	—	2	3	1	2	—	—	8
1911	—	—	—	1	—	—	1	2
1912	—	2	—	1	—	—	1	4
1913	—	—	1	1	2	—	—	4
1914	—	—	4	—	2	1	—	7
1915	—	3	2	4	3	—	—	12
1916	—	—	1	4	1	1	—	7
1917	—	—	2	1	—	2	—	5
1918	—	1	1	1	2	—	—	5
1919	—	—	—	3	1	—	—	4
1920	—	—	—	2	3	—	—	5
1921	—	1	3	2	1	1	—	8
1922	—	—	1	1	3	—	—	5
1923	—	1	2	2	3	—	—	8
1924	2	1	4	2	2	1	—	12
1925	—	—	2	3	1	—	—	6
1926	—	—	1	—	—	—	—	1
1927	—	1	1	—	2	1	—	5
1928	—	—	1	2	4	—	—	7
1929	—	1	1	1	1	2	—	6
1930	—	1	3	—	—	—	—	4
Summe	3	23	43	53	50	12	2	186

Den Aufzeichnungen des Pluviographen wurden entnommen: Alle Regen mit einer Intensität von minimal 1 mm pro Minute (in Zukunft bezeichnet mit mm/min.) und einer Mindesthöhe von 1 mm. Dies ergab im Ganzen Notierungen von 186 verschiedenen Regenfällen. In Tabelle 1 ist ihre Verteilung über die Monate während den 30 in Betracht gezogenen Jahren ersichtlich. Der Hauptteil fällt auf die Sommermonate Juni bis August, nämlich 146 Regen oder 78,5%. Der Rest verteilt sich in der Hauptsache auf die Monate Mai und September, gelegentlich sind Gussregen auch im April und Oktober vorgekommen, keine dagegen in den Monaten November bis März. Zählt man statt der Fälle die Tage mit Gussregen, so ergibt sich folgende Verteilung:

IV	V	VI	VII	VIII	IX	X	Jahr
2	21	35	43	44	10	2	157

Hier überwiegt der August gegenüber dem Juli leicht, während bei der Anzahl der Fälle der letztere ein kleines Mehr zu verzeichnen hat. Diese beiden Monate scheinen somit in Bezug auf die Frequenz durch Gussregen gleichgestellt zu sein.

In Tabelle 2 ist die Häufigkeit der Gussregen nach ihren Intensitäten zusammengestellt, und zwar so, dass für jede Stufe eine Mindestintensität festgesetzt ist. Dadurch werden die Fälle höherer Intensität in den vorhergehenden Kolonnen mitgezählt, sodass in die erste Ko-

Tab. 2: Häufigkeit der Gussregen, nach Intensitäten geordnet.

	≥ 1.0	≥ 1.5	≥ 2.0	≥ 2.5	≥ 3.0	≥ 3.5	≥
1901	5	1	—	—	—	—	—
1902	13	1	1	—	—	—	—
1903	5	3	1	1	—	—	—
1904	5	—	—	—	—	—	—
1905	10	3	1	—	—	—	—
1906	7	3	1	—	—	—	—
1907	7	1	1	—	—	—	—
1908	5	2	—	—	—	—	—
1909	4	2	1	1	1	—	—
1910	8	3	1	1	1	—	—
1911	2	2	2	1	1	1	1
1912	4	1	—	—	—	—	—
1913	4	1	—	—	—	—	—
1914	7	1	1	1	—	—	—
1915	12	3	2	1	—	—	—
1916	7	2	2	1	1	—	—
1917	5	4	4	2	—	—	—
1918	5	2	2	1	—	—	—
1919	4	2	1	1	—	—	—
1920	5	1	—	—	—	—	—
1921	8	1	—	—	—	—	—
1922	5	3	1	1	1	1	—
1923	8	1	1	1	—	—	—
1924	12	2	—	—	—	—	—
1925	6	2	—	—	—	—	—
1926	1	—	—	—	—	—	—
1927	5	2	1	1	—	—	—
1928	7	—	—	—	—	—	—
1929	6	3	1	—	—	—	—
1930	4	1	—	—	—	—	—
Summe	186	53	23	14	5	2	1

lonne die Summe aller Fälle zu stehen kommt. Wie man aus der Tabelle erkennt, bleibt die grosse Mehrzahl der Fälle unter der Intensität 1,5 mm/min., diese erreichen nur 53 Regen oder 28,5%, und nur 23 Regen oder 12,4% kommen auf die Intensität 2,0 mm/min. oder darüber. Diese letzteren sind in Tabelle 5 (siehe unten) einzeln aufgeführt.

Tabelle 3 zeigt die Häufigkeit gleicher Intensität bei gleicher Dauer. Hier sind bei manchen Gussregen die einzelnen Teile ihrer Registrierung, die durch die Entleerung des Pluviographen entstanden sind, gesondert gezählt. Dadurch wird die Summe aller Fälle höher als bei den vorhergehenden Tabellen. Es musste diese Trennung aus zwei verschiedenen Gründen vorgenommen werden. Einmal wären ohne dieselbe die kurzdauernden hohen Intensitäten nicht erfasst worden, da sie sich bei längeren Regen im Mittel mit den niedrigeren vermischt hätten.

Der zweite Grund ist ein unfreiwilliger. In den Jahren 1905 bis 1915 und teilweise weiter bis 1923 zeigt sich auf den Registrierstreifen die unliebsame Erscheinung, dass bei der automatischen Entleerung des Pluviographen der Entleerungsstrich statt senkrecht etwas schräg vorwärts verläuft, sodass manchmal Zeitdifferenzen zwischen Beginn und Ende der Entleerung bis zu zwei Minuten abgelesen werden. Normalerweise braucht der Pluviograph zur Entleerung nur etwa 8 Sekunden. Eine einwandfreie Erklärung für obige Erscheinung konnte nicht gefunden werden. Möglichkeiten, wie Verstopfung der Ausflussröhre, ungenaue Teilung der Registrierstreifen u. a. entsprechen nicht der Natur des Fehlers, kommen doch manchmal auf demselben Streifen nahe beieinander normale und fehlerhafte Aufzeichnungen vor. Eine Wellenbildung des Papiers infolge Feuchtigkeit kann auch nicht in allen Fällen der Grund sein. Wo er es wirklich ist, erkennt man das an gekrümmten Abstrichen, aber die hier erwähnten sind völlig gerade. Ein zu langsames Entleeren infolge starken Regens, sodass die Wasserzufuhr während der Entleerung eine Rolle spielen würde, ist auch unmöglich, wie eine kurze Rechnung zeigt: Um die Entleerungszeit nur zu verdoppeln, also auf 16 Sekunden zu erhöhen, wäre ein Regen nötig, der in diesen 16 Sekunden 10 mm liefern würde! In der Beschreibung seines registrierenden Regenmessers (Met. Zeitschr. 1897, S. 43) zeigt G. Hellmann die Reproduktion eines Registrierstreifens mit genau derselben Erscheinung. Die erste Entleerung ist fehlerhaft, die zweite, zweieinhalb Stunden später, ganz in Ordnung. Eine Erklärung hiefür gibt der Verfasser nicht.

Wegen dieser Unregelmässigkeit ist es natürlich nicht zulässig, die Intensität eines Regens, dessen Registrierung durch eine solche fehlerhafte Entleerung unterbrochen ist, einfach aus der Regenhöhe und der abgelesenen Dauer (Differenz zwischen Anfangs- und Endzeit) zu berechnen. Doch gibt es, da ja die Ursache des Fehlers unbekannt ist, keine Methode, um sichere Werte zu erhalten. Wie man zu wahrscheinlichen Werten kommen kann, soll im Anschluss an Tabelle 5 gezeigt werden, wo alle diese Regen zusammengestellt sind. Sie sollen in der Folge der Kürze halber „zusammengesetzte Regen“ genannt werden. In Tabelle 3 sind also, wie oben erwähnt, deren Teile als Einzelregen gezählt.

Tab. 3: Häufigkeit der Gussregen, nach Intensität und Dauer geordnet.

Die Grenzfälle (i. S. 2 mm min. etc.) sind jeweils der höheren Stufe zugerechnet.

Intensität Dauer	1-1,5	1,5-2	2-2,5	2,5-3	3-3,5	3,5-4	> 4	Summe
1 min.	37	10	4	6	2	1	—	60
2	38	10	3	1	—	—	1	53
3	26	6	3	3	1	—	—	39
4	14	2	3	—	—	—	—	19
5	11	3	—	1	—	—	—	15
6	9	—	—	—	—	—	—	9
7	2	—	—	—	—	—	—	2
8	2	—	—	—	—	—	—	2
9-13	4	—	—	—	—	—	—	4
	143	31	13	11	3	1	1	203

Was erkennt man aus Tabelle 3? Die Häufigkeit nimmt im Allgemeinen ab mit der Zunahme von Intensität und Dauer. Besonders deutlich kommt das in den Summen zum Ausdruck. Die Verteilung auf die Intensitäten ist ähnlich der in Tabelle 2, was man leicht erkennt, wenn man die letztere auf die gleiche Form bringt.

Den Unterschied in der Form der beiden Tabellen erkennt man aus den Ueberschriften der einzelnen Kolonnen. Während dort, wie schon erwähnt, für jede Stufe einfach Mindestintensitäten festgesetzt wurden, sind hier die Intensitäten nach unten und oben abgegrenzt.

In Tabelle 2 konnte diese Abgrenzung nicht vorgenommen werden, ohne sinnstörend zu wirken; man vergleiche nur die in Tabelle 5 notierten „zusammengesetzten Regen“. Diese zeigen oft eine stark wechselnde Intensität, sodass es schwierig gewesen wäre, diese in einem Schema nach Art der Tabelle 3 unterzubringen. Doch kann zu Vergleichszwecken eine Formänderung der Tabelle 2 leicht vorgenommen werden, indem man in jeder Kolonne den Wert der folgenden Stufe subtrahiert. So ergibt sich folgendes Bild (vergl. Anmerkung zu Tabelle 3):

Int.:	1-1,5	1,5-2	2-2,5	2,5-3	3-3,5	3,5-4	> 4	Summe
Tab. 2:	133	30	9	9	3	1	1	186
Tab. 3:	143	31	13	11	3	1	1	203

Bezüglich der Dauer weisen die Regen von 1 und 2 Minuten die grösste Häufigkeit auf, zusammen 55,7%, vom Rest fallen 40,4% innert 3 bis 6 Minuten, während die länger anhaltenden Güsse (3,9%) schon als vereinzelte Erscheinungen angesehen werden müssen.

Anschliessend an Tabelle 3 soll noch untersucht werden, ob sich aus ihr nicht ausser den Beziehungen zwischen Häufigkeit und Dauer einerseits, Häufigkeit und Intensität andererseits auch ein Zusammenhang zwischen Intensität und Dauer herauslesen lässt. Denkt man sich die Felder mit gleicher – oder wenig verschiedener – Häufigkeit durch Linien verbunden, so haben diese allgemein eine Richtung von links unten nach rechts oben, manchmal verlaufen sie annähernd in der Richtung der Diagonalen. Da nun nach rechts die Intensität zunimmt, aufwärts die Dauer dagegen abnimmt, berechtigt diese Erscheinung zu dem Schluss: Bei gleichbleibender Häufigkeit entspricht einer höheren Intensität eine kürzere Dauer, oder umgekehrt einer längeren Dauer eine niedrigere Intensität.

Ueber die Verteilung auf die Tageszeiten gibt Tabelle 4 Aufschluss. Sie zeigt, wie viele Gussregen während den dreissig Jahren in jeder der 24 Tagesstunden niedergegangen sind. Die graphische Darstellung der stünd-

lichen Werte (Fig. 1, a) erscheint sehr unregelmässig, darum sind diese auf der letzten Zeile der Tabelle in vierstündliche Perioden zusammengefasst worden. Die graphische Darstellung wird dadurch ausgeglichener (Fig. 1, b). Die grösste Anzahl Gussregen weist die Zeit von 16-20 Uhr auf, nämlich 72 Fälle oder 38,7%; ihr folgt die Zeit von 12-16 Uhr mit 44 Fällen oder 23,7%, so dass in den genannten acht Stunden mehr als die Hälfte aller Gussregen gefallen sind. Das Minimum liegt zwischen 4 und 8 Uhr und erreicht den 8. Teil des Maximums. In den beiden graphischen Darstellungen der Fig. 1 entspricht jeder Einheit der Ordinate ein Gussregen, daher die starke Ueberhöhung der Kurve b (bei der jeder Punkt 4 Stunden repräsentiert) gegenüber der Kurve a.

Tab. 4: Verteilung der Gussregen auf die Tagesstunden.

Stunde	Anzahl	Stunde	Anzahl	Stunde	Anzahl	Stunde	Anzahl	Stunde	Anzahl
0-1 ^h	3	4-5 ^h	3	8-9 ^h	1	12-13 ^h	11	16-17 ^h	16
1-2 ^h	3	5-6 ^h	1	9-10 ^h	8	13-14 ^h	9	17-18 ^h	21
2-3 ^h	1	6-7 ^h	4	10-11 ^h	2	14-15 ^h	7	18-19 ^h	22
3-4 ^h	6	7-8 ^h	1	11-12 ^h	4	15-16 ^h	17	19-20 ^h	13
0-4 ^h	13	4-8 ^h	9	8-12 ^h	15	12-16 ^h	44	16-20 ^h	72
								20-24 ^h	33

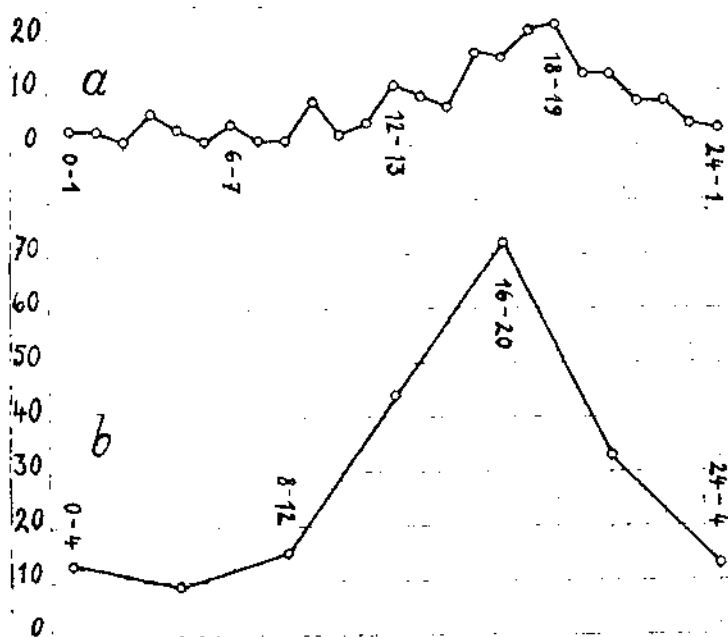


Fig. 1

Soweit die allgemeinen Betrachtungen. Es folgt nun in Tabelle 5 die Darstellung von Einzelfällen. Es sind aufgenommen: Alle Gussregen mit der Mindestintensität 2.0 mm/min. und alle „zusammengesetzten Regen“.

Tab. 5: Verzeichnis der Gussregen mit Intensität > 2.0 mm/min. und der „zusammengesetzten Regen“.

Jahr	Monat	Tag	Stunde	Regenhöhe mm	Dauer min.	Intensität mm/min.
1902	IX	6	17-18	2.2	1	2.20
1903	VIII	23	17-18	14.6	5	2.92
1905	VI	19	18-19	9.7	4	2.42
				4.3	3	1.43
					9	2.00

Jahr	Monat	Tag	Stunde	Regenhöhe mm	Dauer min.	Intensität mm/min.
1906	VII	26	19-20	6.4	5	1.28
				4.5	4	1.12
					9	1.21
1906	VIII	3	18-19	2.0	1	2.00
				2.5	1 1/2	1.67
					3.5	2
				5	1.71	
1907	VI	11	0-1	3.0	3	1.20
				4.0	2	2.00
					7	1.52
1909	VIII	18	17-18	3.2	1	3.20
1910	VI	10	19-20	6.7	3	2.23
				9.4	3	3.13
				1.4	1	1.40
					10	2.50
1911	VII	24	16-17	2.6	1	2.60
				9.5	2	4.75
				9.6	8	1.20
				2.5	2	1.25
					17	1.88
1911	X	9	16-17	4.0	2	2.00
1914	IX	11	20-21	8.3	3	2.77
1915	V	1	16-17	7.0	7	1.00
				4.3	3	1.43
					11	1.18
1915	VI	13	14-15	9.0	4	2.25
				2.5	1	2.50
					7	2.30
1915	VII	13	21-22	4.7	3	1.57
				3.0	3	1.00
					8	1.28
1916	VIII	17	19-20	4.1	2	2.05
1916	VI	28	12-13	2.0	1	2.00
1916	IX	7	16-17	2.5	1	2.50
				3.0	1	3.00
					8	2.76
1917	VI	12	15-16	6.2	4	1.55
				6.3	3	2.10
					8	1.79
1917	VI	26	13-14	7.5	3	2.50
1917	IX	12	3-4	6.1	3	2.03
1917	IX	12	6-7	8.6	3	2.87
1918	VI	15	12-13	2.1	1	2.10
1918	VIII	24	15-16	2.6	1	2.60
1919	VII	11	17-18	2.8	1	2.80
1922	VII	24	14-15	4.7	3	1.57
				5.0	4	1.25
					8	1.30
1922	VIII	8	3-4	5.8	1	3.80
				3.3	2	1.75
					4	2.43
1923	VIII	3	17-18	2.5	1	2.50
				1.6	1	1.60
					3	2.05
1927	VI	2	15-16	5.8	2	2.90
1929	IX	13	22-23	8.0	4	2.00
				2.0	2	1.00
					10.0	6

Wie die mittlere Intensität eines solchen Regens berechnet worden ist, möge ein Beispiel vom 10. Juni 1910 zeigen. Man findet dort die drei Einzelregen: 6,7 mm in 3 Minuten, 9,4 mm in 3 Minuten und 1,4 mm in 1 Minute. Der Unterschied zwischen Anfangs- und Endzeit beträgt aber 10 Minuten, die restlichen 3 Minuten sind durch zwei Entleerungen verloren gegangen. Da man nicht weiss, was in dieser Zeit geschehen ist, werden für die Berechnung der Intensität nur die sicher bekannten Angaben benützt, das sind die Einzelteile der Registrierung. Wir haben also in diesem Fall zusammen 17,5 mm in 7 Minuten, was eine Intensität von 2,5 mm/min. ergibt. Diese so errechnete Intensität erscheint in der Tabelle in fettem Druck, links daneben, ebenfalls fett gedruckt, steht die wirkliche Dauer, also hier 10 Minuten, während die Kolonne „Regenhöhe“ leer bleibt.

Wie man aus der Tabelle ersieht, fiel der stärkste Gussregen am 24. Juli 1911, er ist zugleich mit einer Dauer von 17 Minuten der längste und erreichte während 2 Minuten eine Intensität von 4,75 mm/min. Zudem ist er ein selbständiger Regen, von dem nur kurze Anfangs- und Endzeiten weggelassen werden mussten. Im Mittel betrug seine Intensität 1,86 mm/min. An zweiter Stelle steht ein Regen vom 7. August 1922, der 4 Minuten dauerte und während 1 Minute 3,8 mm lieferte, seine mittlere Intensität war 2,43 mm/min. Die grösste mittlere Intensität der zusammengesetzten Regen erreichte der im Beispiel erwähnte Regen vom 10. Juni 1910, 2,50 mm/min. Der Regen vom 13. September 1929 ist durch keine Entleerung gestört, er ist lediglich getrennt worden, um die stärkere Intensität in seinem ersten Teil erfassen zu können.

* * *

Während bei den bisherigen Betrachtungen die Anzahl der Fälle bei längerer Dauer sehr rasch abnahm, sollen im Folgenden auch länger andauernde starke Regenfälle, hier „Platzregen“ oder „dichte Regen“ genannt, untersucht werden. Dadurch erhalten diese Ausführungen neben der theoretischen auch praktische Bedeutung, z. B. für den Tiefbautechniker.

Da erhebt sich zunächst die Frage: Wo sollen die unteren Grenzwerte der aufzuzeichnenden Regen liegen? In den vorhergehenden Betrachtungen war die einfache Forderung aufgestellt, der Regen müsse eine Mindestintensität von 1 mm/min. aufweisen. Um mehr längerdauernde Fälle zu erfassen, wäre nach dem bisher Gesagten das Nächstliegende, einfach die Mindestintensität tiefer zu setzen. Doch würde diese Massnahme nicht befriedigen. Einmal wäre auch hier wieder die Anzahl der Regen mit längerer Dauer eine beschränkte, die bisherige Grenze würde einfach etwas hinaufgeschoben. Daneben erführen aber die unbedeutenden kurzen Regen eine viel zu grosse Vermehrung. Es muss daher eine andere Lösung gesucht werden.

Es sind in der meteorologischen Literatur schon eine ganze Reihe von Arbeiten über Platzregen vorhanden. Auf einzelne davon sei hier kurz aufmerksam gemacht:

C. Goodmann untersuchte die starken Regenfälle von Pawlowsk bei St. Petersburg. (Wild's Repert. f. Meteorologie XV, Nr. 6, 1892), er verlangte dabei eine Mindestintensität von 10 mm pro Stunde.

A. Riggensbach (Ergebnisse siebenjähriger Niederschlagsbeobachtungen in Basel) setzte als Minimaldauer

eines Platzregens 5 Minuten fest und verlangte pro Stunde mindestens 20 mm Regenhöhe.

E. Less (Met. Zeitschr. 1900, S. 49) zählte einen Tag, der in einer oder mehreren Stunden 5 mm Regen liefert, als „Tag mit Platzregen“.

Diese drei Autoren haben gemeinsam, dass bei ihnen, wie auch im ersten Teil der vorliegenden Arbeit, eine Mindestintensität festgesetzt ist, die sich nicht nach der Dauer des Regens richtet. Dadurch wachsen die minimalen Regenhöhen proportional zur Dauer des Regens. Es wurde aber eingangs dieses zweiten Teils schon erwähnt, dass für den vorgesehenen Zweck eine blosser Aenderung der Mindestintensität nicht genüge, somit also auch nicht die lineare Erhöhung der minimalen Regenhöhen bei wachsender Dauer.

Das hat als erster G. J. Symons erkannt. Er hat 1868 im „British Rainfall“ eine Anzahl Mindestwerte für Platzregen bei verschiedener Dauer angegeben, die nicht linear fortschreiten. Diese Werte hat er bis 1908 mehrfach geändert; die in seiner letzten Arbeit angegebenen liegen auf einer gleichmässigen, zur Zeitachse konkaven Kurve. Er verlangt für

10	20	30	40	50	60	Min.
7,6	13,5	17,8	20,8	23,4	25,4	mm

G. Hellmann (Die Niederschläge in den norddeutschen Stromgebieten, S. 143 ff.) teilt die Platzregen nach ihrer Dauer in verschiedene Stufen ein und gibt für jede Stufe eine Mindestintensität, die bei längerer Dauer immer kleiner wird. Für 1901–1913 benützt er folgendes Schema:

1–5	6–15	16–30	31–45	36–60 Min.	1–2	2–3	>3 Std.
1,00	0,80	0,60	0,50	0,40	0,30	0,20	0,10 mm/min.

Der Nachteil dieses Systems liegt darin, dass an den Grenzpunkten der einzelnen Stufen Sprünge entstehen. So wird z. B. ein Regen, der in 30 Minuten 17,9 mm liefert, nicht mehr als Platzregen angesehen, wohl aber ein solcher, der in 31 Minuten 16,0 mm erreicht.

Das veranlasste C. Kassner, die untern Grenzwerte – wie G. J. Symons – auf eine Kurve zu bringen (Met. Zeitschr. 1919, S. 125).

G. Wussow endlich (Met. Zeitschr. 1922, S. 173) stellte, unter möglichster Anlehnung an die Kassner'sche Kurve eine mathematische Beziehung zwischen Dauer und minimaler Regenhöhe auf. Das hat den Vorteil, dass man die gezeichnete Kurve nicht immer zur Hand haben muss, um festzustellen, ob ein Regen als Platzregen zu zählen ist. Da die aus der genannten Beziehung sich ergebenden Grenzwerte in der Folge verwendet werden, sei hier ihre theoretische Ableitung eingehender betrachtet.

Die Wussow'sche Kurve stellt eine Ellipse dar mit der grossen Halbachse $a = 1440$ (24×60 Min.) und der kleinen Halbachse $b = 60$ (minimale Regenhöhe für 24 Stunden). Bezeichnen t die Regendauer und h die minimale Regenhöhe, so ist nach der Scheitelformel der Ellipse:

$$\frac{(t-a)^2}{a^2} + \frac{h^2}{b^2} = 1$$

Daraus folgt:

$$h^2 = \frac{b^2}{a^2} (2at - t^2)$$

$$h = \frac{b}{a} \sqrt{t(2a - t)}$$

und für den vorliegenden Fall

$$h = \frac{1}{24} \sqrt{t(2880-t)} = \sqrt{5t - \frac{1}{576}t^2}$$

Für kürzere Regen kann das letzte Glied der Formel weggelassen und einfach gerechnet werden:

$$h = \sqrt{5t}$$

Diese Vereinfachung macht die Regenhöhe nach einer Stunde um 0,2, nach 2 Stunden um 0,5 mm zu hoch.

Für die Mindestintensität i ergibt sich, da $i = \frac{h}{t}$ ist, aus den vorhergehenden Formeln für h :

$$i = \frac{1}{24} \sqrt{\frac{2880-t}{t}}$$

und in der vereinfachten Form für kurze Regen

$$i = \sqrt{\frac{5}{t}}$$

Diejenigen Regen, die über den angegebenen Grenzwerten liegen, nennt G. Wussow „dicht“, überschreiten sie das eineinhalbfache derselben, so bezeichnet er sie als „sehr dicht“, liegen sie aber über dem doppelten Grenzwert, so gelten sie als „aussergewöhnlich dicht“.

Es folgt nun zuerst in Tabelle 6 ein chronologisch geordnetes Verzeichnis sämtlicher auf diese Weise gefundenen Platzregen. Es sind 95 Fälle, von denen allerdings einer, nämlich der letzte (8. Juni 1930), nicht an der Meteorologischen Zentralanstalt, sondern vom städtischen Pluviographen im Moos bei Wollishofen registriert worden ist.

Tab. 6: Verzeichnis aller dichten Regen (Platzregen).

Sehr dichte Regen sind durch Kursivschrift, aussergewöhnlich dichte durch fetten Druck hervorgehoben.

Jahr	Monat	Tag	Beginn	Regenhöhe mm	Dauer min.	Intens. mm/min	Ent- leerungs- dauer min.	Jahr	Monat	Tag	Beginn	Regenhöhe mm	Dauer min.	Intens. mm/min	Ent- leerungs- dauer min.
1901	V	26	15 ^h 23	6,0	4	1,25		1915	V	1	16 ^h 10	12,2	13	0,94	
	VI	30	23 ^h 10	12,0	13	0,92			VI	13	14 ^h 53	11,5	7	1,64	2
	IX	10	17 ^h 05	8,0	9	0,89			VI	27	22 ^h 40	6,9	6	1,15	
1902	VI	4	18 ^h 25	29,2	58	0,50			VII	10	12 ^h 40	8,0	12	0,67	
	VII	2	2 ^h 24	10,3	13	0,79			VII	13	21 ^h 04	9,5	12	0,79	2
	VII	10	12 ^h 34	24,7	34	0,73			VIII	17	19 ^h 44	4,1	2	2,05	
			14 ^h 47	17,7	27	0,66		1916	VII	15	11 ^h 14	8,2	10	0,82	
	VIII	8	17 ^h 38	44,2	24 24	0,31			VIII	11	19 ^h 02	15,0	25	0,60	2
	IX	6	17 ^h 00	6,9	8	0,86			X	7	16 ^h 39	6,2	4	1,55	1
1903	VII	18	17 ^h 48	5,0	5	1,00		1917	VI	12	15 ^h 59	12,7	9	1,41	1
	VII	24	15 ^h 29	11,7	13	0,90			VI	26	13 ^h 39	12,2	21	0,58	3
	VIII	23	17 ^h 30	16,4	11	1,49			VII	3	3 ^h 10	16,0	47	0,34	2?
1904	V	21	15 ^h 48	10,9	20	0,54	2		IX	12	3 ^h 40	6,1	3	2,03	
	V	27	20 ^h 40	14,0	22	0,64	1				6 ^h 50	8,6	3	2,87	
	VI	13	18 ^h 15	7,5	8	0,94		1918	VIII	24	15 ^h 13	2,6	1	2,60	
	VI	15	17 ^h 35	9,5	17	0,56		1919	VII	5	18 ^h 26	7,3	8	0,91	
1905	VI	19	17 ^h 43	24,4	40	0,61	4		VII	11	17 ^h 30	2,8	1	2,80	
	VII	17	13 ^h 40	18,6	54	0,34	1	1920	VII	13	12 ^h 23	14,7	21	0,70	
			23 ^h 17	6,0	6	1,00			VII	22	20 ^h 47	9,5	15	0,63	
1906	VII	3	16 ^h 38	10,4	12	0,87	1		VIII	19	18 ^h 25	4,3	3	1,43	
	VII	5	18 ^h 26	17,5	53	0,33		1921	V	2	14 ^h 55	13,7	35	0,39	
	VII	24	17 ^h 55	9,1	16	0,57			VI	30	17 ^h 14	9,1	14	0,65	
	VII	26	19 ^h 36	15,5	22	0,70	1		VII	18	16 ^h 22	5,5	6	0,92	
	VIII	3	19 ^h 19	5,1	5	1,02			IX	4	14 ^h 08	18,1	31	0,58	
	VIII	18	13 ^h 14	6,7	7	0,96		1922	VI	3	14 ^h 08	7,7	5	1,54	
1907	V	28	16 ^h 09	11,0	9	1,22			VII	24	14 ^h 09	11,8	11	1,03	1
	VI	11	0 ^h 14	7,8	8	0,98			VIII	8	3 ^h 40	12,7	25	0,51	1
	VIII	15	21 ^h 13	6,6	7	0,94			IX	29	22 ^h 07	11,3	21	0,54	
1908	V	6	6 ^h 17	5,4	4	1,35		1923	V	24	15 ^h 50	10,7	15	0,71	
	VII	14	17 ^h 35	3,8	2	1,90			VII	24	15 ^h 53	6,0	7	0,86	
	VIII	5	21 ^h 19	6,3	5	1,26			VIII	3	17 ^h 18	9,2	12	0,77	1
1909	VIII	9	7 ^h 12	11,6	18	0,64			VIII	15	18 ^h 05	6,5	6	1,08	
	VIII	11	18 ^h 32	8,2	10	0,82	1	1924	IV	26	20 ^h 44	8,7	12	0,72	1
	VIII	18	17 ^h 01	3,2	1	3,20			VII	1	9 ^h 03	4,5	3	1,50	
1910	V	26	18 ^h 22	17,0	22	0,77	1		VIII	2	13 ^h 05	6,9	7	0,99	
	VI	10	19 ^h 58	18,4	12	1,53	3	1925	VI	24	4 ^h 31	4,6	4	1,15	
	VI	23	11 ^h 32	8,6	14	0,61			VI	28	16 ^h 38	5,2	5	1,04	
	VIII	2	17 ^h 40	10,3	20	0,52	1		VII	25	13 ^h 00	9,7	10	0,97	
1911	VII	24	16 ^h 12	24,8	18	1,35	4		VII	30	17 ^h 25	9,6	15	0,64	
	X	9	16 ^h 44	5,0	4	1,25			VIII	11	16 ^h 26	12,6	28	0,45	
1912	VI	13	8 ^h 02	58,9	14 ^h 55	0,07		1927	V	9	4 ^h 50	6,2	7	0,89	
	VI	22	21 ^h 58	25,2	1 ^h 31	0,28	2		VI	2	15 ^h 38	8,5	5	1,70	
1913	VI	24	15 ^h 22	8,7	11	0,79			VIII	2	17 ^h 51	16,8	22	0,72	
1914	VI	16	6 ^h 10	46,2	6 ^h 00	0,13			IX	10	22 ^h 29	5,8	4	1,45	
	VIII	3	19 ^h 44	5,2	4	1,30		1928	VIII	27	17 ^h 08	4,2	3	1,40	
	VIII	15	12 ^h 13	7,4	7	1,06		1929	VII	19	20 ^h 02	9,4	13	0,72	
	IX	11	20 ^h 50	9,7	4	2,42			IX	13	22 ^h 26	25,4	36	0,71	
								1930	VI	8	21 ^h 55	50,8	4 ^h 00	0,21	

Die „sehr dichten“ und „aussergewöhnlich dichten“ Regenfälle sind in der Tabelle durch besonderen Druck hervorgehoben (siehe Anmerkung).

In der Kolonne „Entleerung“ sind die Zeitverluste durch unrichtige Entleerungen notiert. Als Dauer ist angegeben die Differenz zwischen Anfangs- und Endzeit des Regens, sodass also die Entleerungszeit darin enthalten ist. Sie ist aber bei den Berechnungen der Intensität nirgends berücksichtigt. Sie ist nur hinzugesetzt, um zu zeigen, in welchen Fällen Regenhöhe und Intensität vielleicht etwas erhöht werden könnten.

Tab. 7: Verteilung der Platzregen auf die Monate.

	IV	V	VI	VII	VIII	IX	X	Jahr
1901	—	1	1	—	—	1	—	3
1902	—	—	1	3	1	1	—	6
1903	—	—	—	2	1	—	—	3
1904	—	2	2	—	—	—	—	4
1905	—	—	1	2	—	—	—	3
1906	—	—	—	4	2	—	—	6
1907	—	1	1	—	1	—	—	3
1908	—	1	—	1	1	—	—	3
1909	—	—	—	—	3	—	—	3
1910	—	1	2	—	1	—	—	4
1911	—	—	—	1	—	—	1	2
1912	—	—	2	—	—	—	—	2
1913	—	—	1	—	—	—	—	1
1914	—	—	1	—	2	1	—	4
1915	—	1	2	2	1	—	—	6
1916	—	—	—	1	1	—	1	3
1917	—	—	2	1	—	2	—	5
1918	—	—	—	—	1	—	—	1
1919	—	—	—	2	—	—	—	2
1920	—	—	—	2	1	—	—	3
1921	—	1	1	1	—	1	—	4
1922	—	—	1	1	1	1	—	4
1923	—	1	—	1	2	—	—	4
1924	1	—	—	1	1	—	—	3
1925	—	—	2	2	1	—	—	5
1926	—	—	—	—	—	—	—	—
1927	—	1	1	—	1	1	—	4
1928	—	—	—	—	1	—	—	1
1929	—	—	—	1	—	1	—	2
1930	—	—	1	—	—	—	—	1
Summe	1	10	22	28	23	9	2	95

Die Verteilung der Platzregen auf die Monate ergibt ein fast symmetrisches Bild (Tabelle 7). Die grösste Anzahl fällt auf den Juli; alle andern gleich weit von ihm entfernten Monate stellen sich in der Häufigkeit annähernd gleich, der Unterschied beträgt jeweilen nur einen Fall. Wie bei den Gussregen, fällt auch hier der grösste Teil auf die Monate Juni und August, nämlich 73 Regen oder 76,8% (Gussregen 78,5%). Doch besteht in der Verteilung auf die einzelnen Monate ein gewisser Unterschied zwischen den beiden Arten. Um ihn zu erkennen, sei hier die Verteilung auf die Monate Mai bis September, in % aller Fälle, vergleichsweise zusammengestellt:

	V	VI	VII	VIII	IX
Gussregen:	12,4	23,1	28,5	26,9	6,5 %
Platzregen:	10,5	23,2	29,5	24,2	9,5 %

Es überwiegen also verhältnismässig stark die Gussregen im Mai und August, während sie im September - und auch etwas im Juli - gegenüber den Platzregen zurückbleiben. Einen bestimmten Schluss hierüber kann man allerdings nicht ziehen, da häufig kurze Gussregen in den längeren Platzregen enthalten sind, und weil eine Anzahl

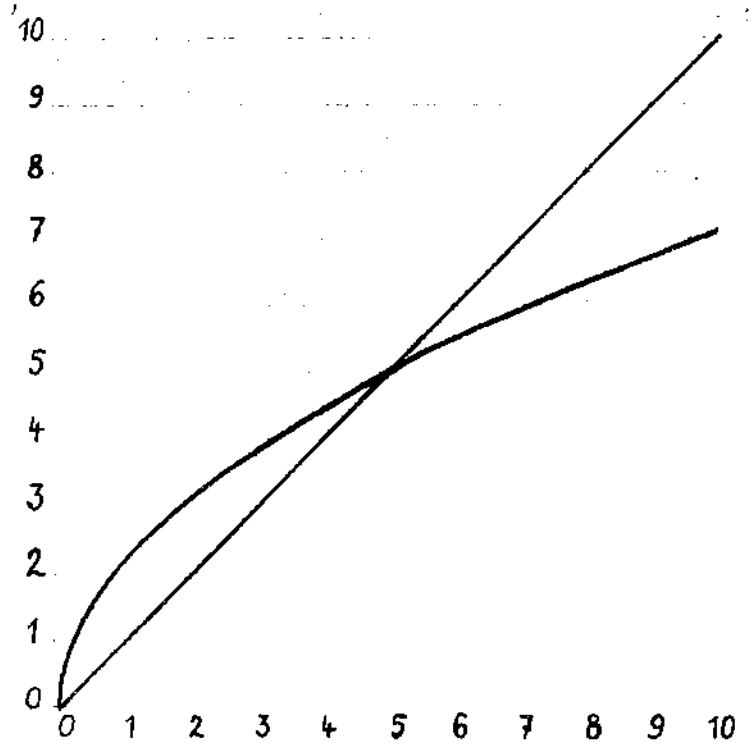


Fig. 2

kurzer starker Regen in beiden Teilen der vorliegenden Arbeit figurieren. Dies möge Fig. 2 veranschaulichen. Die Kurve stellt den Anfang der Wussow'schen Linie für die Mindesthöhen der dichten Regen dar, die Gerade die untere Grenzlinie der Höhen für die Gussregen. Die beiden Linien kreuzen sich bei der Dauer von 5 Minuten und der Regenhöhe von 5,0 mm. Diejenigen Regen nun, die oberhalb beider Linien liegen, gehören auch beiden Regenarten an. Die in dem von der Kurve und der Geraden

Tab. 8: Häufigkeit der Platzregen, nach der Dauer geordnet.

	1-5 min.	6-15 min.	16-30 min.	31-45 min.	46-60 min.	> 1h	Total
1901	1	2	—	—	—	—	3
1902	—	2	1	1	1	1	6
1903	1	2	—	—	—	—	3
1904	—	1	3	—	—	—	4
1905	—	1	—	1	1	—	3
1906	1	2	2	—	1	—	6
1907	—	3	—	—	—	—	3
1908	3	—	—	—	—	—	3
1909	1	1	1	—	—	—	3
1910	—	2	2	—	—	—	4
1916	1	—	1	—	—	—	2
1917	—	—	—	—	—	2	2
1918	—	1	—	—	—	—	1
1919	2	1	—	—	—	1	4
1910	1	5	—	—	—	—	6
1916	1	1	1	—	—	—	3
1917	2	1	1	—	1	—	5
1918	1	—	—	—	—	—	1
1919	1	1	—	—	—	—	2
1920	1	1	1	—	—	—	3
1921	—	2	—	2	—	—	4
1922	1	1	2	—	—	—	4
1922	—	4	—	—	—	—	4
1922	1	2	—	—	—	—	3
1922	2	2	1	—	—	—	5
1926	—	—	—	—	—	—	—
1927	2	1	1	—	—	—	4
1928	1	—	—	—	—	—	1
1929	—	1	—	1	—	—	2
1930	—	—	—	—	—	1	1
Summe	24	40	17	5	4	5	95

eingeschlossenen Segment liegenden Regen sind nur bei den Gussregen aufgenommen, während die oberhalb der Kurve, aber unterhalb der Geraden einzuzeichnenden Fälle nur unter den Platzregen auftreten.

In Tabelle 8 sind die Platzregen nach ihrer Dauer geordnet. Auch hier tritt wieder die Erscheinung hervor, dass die Häufigkeit mit der Zunahme der Dauer abnimmt. Noch deutlicher kommt das zum Ausdruck in Tabelle 9,

Tab. 9: Häufigkeit der Platzregen von bestimmter Dauer in den verschiedenen Monaten.

Dauer min.	IV	V	VI	VII	VIII	IX	X	Jahr
1-5	2	4	4	8	4	2	24	
6-10	2	5	6	6	2	—	21	
11-15	1	2	5	9	2	—	19	
16-30	—	3	2	5	6	1	17	
31-45	—	1	1	1	—	2	5	
46-60	—	—	1	3	—	—	4	
> 1h	—	—	4	—	1	—	5	
Total	1	10	22	28	23	9	2	95

wo die erste Viertelstunde in dreimal 5 Minuten zerlegt ist. Dort sieht man auch, was mit der obigen Zusammenstellung der prozentualen Verteilung der Guss- und Platzregen im Einklang steht, dass das Häufigkeitsmaximum der kurzen dichten Regen im August liegt und sich bei zunehmender Dauer mehr und mehr auf den Juli verschiebt. Die Werte bei 16-30 Minuten scheinen dem zu widersprechen, doch können so kleine Unterschiede, besonders bei der geringen Anzahl der verfügbaren Fälle, leicht vorkommen.

Für den Tiefbautechniker wäre es nun von Interesse, eine mittlere Intensität der vorkommenden Platzregen zu kennen. Diese kann natürlich nicht in einer einfachen Zahl angegeben werden, sondern sie wird sich nach der Dauer richten. Es soll nun im Folgenden versucht werden, eine mathematische Beziehung zwischen Dauer und mittlerer Intensität zu finden, wenigstens für Regen von der Länge einer Stunde oder darunter.

Zuerst ist die Kenntnis der mittleren Intensitäten für einige Abstufungen der Dauer nötig. Man erhält sie, indem man alle Regenhöhen der betreffenden Stufe und die ihnen entsprechenden Zeiten addiert und die Summen - Menge durch Zeit - dividiert. Um diese Werte in ein Koordinatensystem eintragen zu können, muss noch eine Zeitabszisse gefunden werden, die zweckmässig „mittlere Dauer“ genannt wird. Sie entsteht durch Division der Summe der Regenzeiten durch die Anzahl der Fälle. So erhalten wir:

Dauer:	1-5	6-15	16-30	31-45	46-60	Minuten
Mittl. Intensität:	1,55	0,91	0,64	0,60	0,38	mm/min.
Mittl. Dauer:	3,5	10,1	21,5	35,2	53,0	Minuten

Der Wert für die mittlere Intensität der Stufe 31-45 Minuten ist zu hoch, da ihm nur 5 Regen zu Grunde liegen, von denen allein 3 in die Kategorie der „sehr dichten“ gehören. Durch andere Zeitkombinationen können noch mehr solche mittleren Intensitäten mit entsprechender mittlerer Dauer gebildet werden. Das ergibt dann im Koordinatensystem eine Anzahl Streuungspunkte, nach denen eine Kurve gezogen werden kann.

Um für diese Kurve eine Gleichung zu finden, wurde auf folgende Art vorgegangen:

Es wurden aus der Zeichnung die mittleren Intensitäten m von 5 zu 5 Minuten herausgelesen und mit den entsprechenden Mindestintensitäten verglichen. Eine augenfällige Beziehung bestand nicht, doch liessen die Differenzen der Werte für die Intensitäten eine Proportionalität vermuten, also das Bestehen der Beziehung:

$$\Delta m = c \Delta i$$

wobei c einen konstanten Faktor darstellt. Durch Vergleich je zweier Werte von m und i ergab sich:

$$c = \frac{37}{29} = 1,276$$

Nun ist

$$i = \sqrt[5]{5} = \sqrt[5]{5} t^{-\frac{1}{2}}$$

$$\Delta i = -\frac{\sqrt[5]{5}}{2} t^{-\frac{3}{2}} \quad \Delta m = -c \frac{\sqrt[5]{5}}{2} t^{-\frac{3}{2}}$$

$$m = c \sqrt[5]{5} t^{-\frac{1}{2}} + q = c \sqrt[5]{\frac{5}{t}} + q$$

wobei q eine Konstante bedeutet. Zeichnet man eine Kurve für m nach der letzten Formel, ohne q zu berücksichtigen, so zeigt es sich, dass sie etwas zu tief zu liegen kommt. Es ergibt sich daraus für q ein positiver Betrag von 0,024 mm/min., die endgültige Formel lautet daher:

$$m = c \sqrt[5]{\frac{5}{t}} + q$$

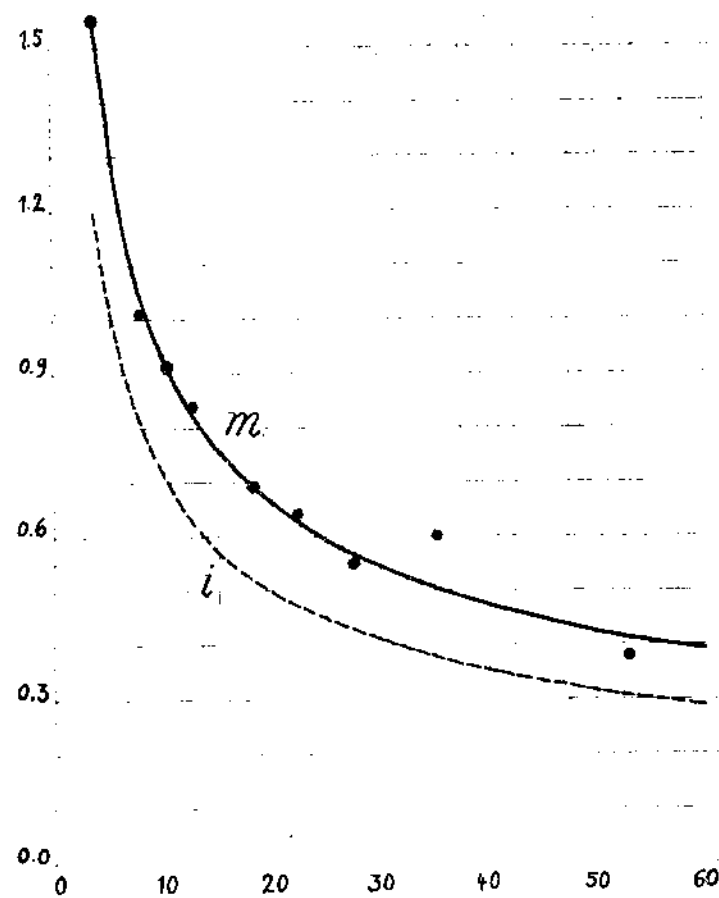


Fig. 3

Fig. 3 zeigt die beiden Kurven für die minimale und mittlere Intensität, die letztere mit den oben erwähnten Streuungspunkten.

Bezeichnet man mit r die mittlere Regenhöhe, also

$$r = mt$$

so ist

$$r = c\sqrt{5t} + qt$$

oder für Zürich

$$r = 1,276\sqrt{5t} + 0,024t$$

Nach dieser Formel erhält man folgende Werte für die mittleren Regenhöhen dichter Regen:

5	10	15	20	25	30	Min.
6,5	9,3	11,4	13,2	14,8	16,3	mm
35	40	45	50	55	60	Min.
17,7	19,0	20,2	21,3	22,4	23,5	mm

Analog wie in Tabelle 4, ist in Tabelle 10 die Verteilung der Platzregen über die Tagesstunden ersichtlich. Da es sich teilweise um längere Regen handelt, war für die Auszählung die Anfangszeit massgebend. Von einer

Tab. 10: Verteilung der Platzregen auf die Tagesstunden.

Stunde	Anzahl	Stunde	Anzahl	Stunde	Anzahl	Stunde	Anzahl	Stunde	Anzahl	Stunde	Anzahl
0-1 ^h	1	4-5 ^h	2	8-9 ^h	1	12-13 ^h	4	16-17 ^h	9	20-21 ^h	5
1-2 ^h	—	5-6 ^h	—	9-10 ^h	1	13-14 ^h	5	17-18 ^h	17	21-22 ^h	5
2-3 ^h	1	6-7 ^h	3	10-11 ^h	—	14-15 ^h	6	18-19 ^h	8	22-23 ^h	4
3-4 ^h	3	7-8 ^h	1	11-12 ^h	2	15-16 ^h	9	19-20 ^h	6	23-24 ^h	2
0-4 ^h	5	4-8 ^h	6	8-12 ^h	4	12-16 ^h	24	16-20 ^h	40	20-24 ^h	16

graphischen Darstellung wurde abgesehen, weil ein im Ganzen ähnliches Bild herauskäme wie bei Fig. 1. Das Maximum liegt bei den vierständlichen Perioden wiederum in der Zeit von 16-20 Uhr - 40 Fälle oder 42,1% -, während das Minimum hier zwischen 8 und 12 Uhr liegt, (Gussregen 4-8 Uhr) und nur den 10. Teil des Maximums aufweist. Doch wird dieser Verschiebung nicht zu grosses Gewicht beizumessen sein, da es sich auch hier infolge des geringen Materialumfanges um eine Erscheinung zufälliger Art handeln kann.

Nr. 2.

Ergebnisse der Niederschlagsmessungen

im Jahre 1930

- 1. Monats- und Jahressummen.**
- 2. M. Grütter: Einzelne bemerkenswerte Niederschläge.**

Die Änderungen im Netze der Meteorologischen und der Regenmess-Stationen sind in der Einleitung pag. III, dieses Bandes, angegeben.

Monats- und Jahressummen

der Niederschlagsmessungen sämtlicher meteorol. Stationen I.—III. Ordnung im Jahre 1930.

Bei Zählung der Niederschlagstage sind in dieser Tabelle nur die Tage mit mindestens 1,0 mm berücksichtigt worden.

Die mit * bezeichneten Summen sind nach den Nachbarstationen interpoliert.

Stationen:	Höhe üb. Meer	Jan.	Febr.	März	April	Mai	Juni	Juli	Aug.	Sept.	Okt.	Nov.	Dez.	Jahr	Maxima	Zahl d. Tage	
A. Rheingebiet																	
I. Quellgebiet bis Bodensee.																	
Sedrun (Tavetsch)	ca 1401	26	14	54	124	133	56	155	107	187	136	156	33	1181	74	29. XI.	132
Piatta (Medels)	1378	14	12	59	141	110	111	147	124	204	104	165	20	1211	92	29. XI.	130
Surrhein	ca 892	15*	8	52	75	81	53	138	110	165	102	72	22	893	53	23. VII.	138
Panix	1300	17	7	55	92	96	89	150	158	185	127	92	47	1115	47	23. VII.	137
Vrin	ca 1454	8	—	—	—	98	116	203	141	—	—	—	—	—	44	18. VII.	—
Vals	ca 1248	17	16	58	113	85	116	148	103	224	67	101	30	1078	58	25. IX.	117
Ilanz	704	14	5	43	74	94	46	115	127	160	86	68	38	870	44	29. IX.	106
Flims	1102	28	10	57	97	97	40	146	174	199	146	103	59	1156	51	29. IX.	131
Safienplatz	1270	15	12	69	86	95	74	149	142	202	85	65	43	1037	58	25. IX.	112
Bernhardin-Pass	2073	149	38	276	361	305	222	294	215	312	70	363	75	2680	115	23. VII.	134
Hinterrhein	ca 1624	113	22	72	172	95	155	195	91	259	65	213	27	1479	76	29. XI.	130
Splügen (Dorf)	ca 1500	22	24	78	125	90	132	186	150	256	100	129	31	1323	78	23. VII.	125
Avers-Cresta	ca 1949	25*	10	42	78	73	81	140	157	147	59	43	26	881	51	23. VII.	105
Inner-Ferrera	ca 1480	23	15	92	134	100	123	198	151	187	77	91	25	1216	82	23. VII.	120
Andeer	980	11	10	72	82	55	97	142	150	144	61	53	23	900	72	23. VII.	78
Thusis	ca 711	12	4	59	70	68	56	120	135	141	47	52	29	793	53	23. VII.	92
Stalla (Bivio)	ca 1780	36	20	80	103	94	68	145	157	116	78	59	43	999	38	23. VII.	125
Savognin	ca 1213	13	9	77	73	73	65	112	155	105	72	44	30	828	40	23. VII.	106
Davos-Platz	1561	22	1	42	45	103	80	138	175	126	89	42	42	905	34	18. VII.	127
Davos (Schatzalp)	1868	24	2	49	75	121	69	149	182	121	150	55	48	1045	43	18. VII.	124
Albul (Hospiz)	ca 2315	18	4	39	65	54	84	92	133	107	50	32	24	702	31	23. VII.	120
Filsur	ca 1040	14	2	57	63	67	55	117	156	114	78	35	34	792	35	24. VII.	113
Lenzerheide	ca 1477	8	15	98	46	71	79	139	170*	119	90	38	28	901	58	23. VII.	97
Nisellas (Alvaschein)	ca 890	11	2	46	45	53	93	108	142	112	55	29	21	717	41	16. VI.	94
Tomils	ca 823	12	6	45	53	75	46	126	129	143	57	40	21	753	45	23. VII.	110
Reichenau	604	21	1	50	61	104	30	131	153	161	84	58	53	907	49	25. IX.	113
Arosa	1854*)	29	10	77	104	132	98	163	180	162	121	69	57	1202	54	23. VII.	138
Tschierschen	1351	13	6	62	74	105	54	172	197	148	118	58	42	1049	52	23. VII.	118
Langwies	1377	23	8	52	94	140	80	167	187	133	97	71	49	1101	46	23. VII.	121
Chur	610	11	4	36	52	91	26	131	134	140	74	67	29	797	42	29. IX.	116
Klosters	ca 1207	33	7	73	104	205	73	198	214	141	145	83	66	1342	39	18. VII.	142
St. Antönien	ca 1460	34	6	62	96	193	111	196	227	150	209	91	77	1452	48	18. VII.	135
Schiers	ca 670	17	1	43	57	121	56	133	171	139	101	62	64	965	44	23. VII.	116
Seewis	954	29	7	62	80	156	39	181	220	155	147	89	65	1230	48	18. VII.	151
Plantahof b. Landquart	ca 530	19	1	48	89	131	22	156	188	141	97	67	58	1017	53	23. VII.	115
Vättis	950	7?	7	43	60	135	29	177	160	152	107	77	54	1008	51	23. VII.	121
Valens	ca 920	31	22	73	135	144	21	229	211	176	189	112	58	1401	43	13. VII.	122
Sargans	508	21	17	60	110	178	36	197	189	156	184	108	57	1313	50	23. VII.	140
Sevelen	464	16	13	47	103	156	52	199	183	155	148	83	37	1192	51	23. VII.	129
Haag	448	20	5	65	95	181	32	193	166	148	161	91	56	1213	37	18. VII.	134
Ahtstätten	452	25	12	63	133	239	104	281	145	191	214	146	59	1612	54	16. XI.	153
Heiden	ca 808	41	17	77	189	240	83	300	170	187	226	141	57	1728	45	4. V.	167

*) Arosa: seit 1. IV. Höhe = 1865 m.

Stationen:	Höhe üb. Meer	Jan.	Febr.	März	April	Mai	Juni	Juli	Aug.	Sept.	Okt.	Nov.	Dez.	Jahr	Maxima	Zahl d. Tage	
II. Bodensee bis Basel.																	
Rorschach	455	32*	11	53	140	172	52	281	156	156	157	113	43	1366	59	19. VIII.	148
St. Gallen	702	32	26	73	166	239	61	315	163	166	182	123	51	1597	44	4. IV. 18. VI.	157
Arbon	ca 409	29	14	53	136	170	72	239	124	142	142	114	41	1276	32	17. V., 23. VI., 18. VII., 16. XI.	145
Amriswil	ca 455	26	13	53	111	151	47	253	116	105	135	105	40	1155	34	7. V.	152
Altnau	ca 458	29	19	48	130	116	114	225	84	74	135	104	45	1129	63	13. VI.	150
Kreuzlingen	424	33	20	55	147	95	60	210	73	66	121	108	45	1033	31	18. VII.	144
Haidenhau	694	29	22	47	155	121	74	241	114	93	153	143	37	1229	40	7. V.	140
Steckborn	ca 400	30	23	56	159	83	70	184	97	71	147	114	41	1075	42	6. VII.	146
Eschenz	ca 417	32	23	55	159	92	104	194	121	69	140	108	41	1138	28	9. X.	144
Thayngen	ca 455	41	22	42	109	97	51	165	74	44	117	127	35	924	46	6. VII.	130
Buch (Schaffhausen)	430	35	23	40	128	75	105	224	95	54	121	113	35	1018	56	6. VII.	142
Diesenhofen	ca 410	43	18	54	143	79	70	228	79	68	119	146	41	1088	66	6. VII.	143
Lohn	643	38	26	52	108	128	41	202	69	47	133	136	37	1017	62	6. VII.	139
Merishausen	ca 535	46	26	61	121	119	56	198	62	52	156	150	42	1089	51	6. VII.	144
Schaffhausen	448	38	28	49	115	116	60	218	88	61	129	111	38	1051	48	6. VII.	154
Rheinau	ca 361	29	20	45	119	100	59	192	77	67	107	109	38	962	36	6. VII.	148
Wil (bei Rafz)	ca 410	26	22	63	150	113	78	185	112	64	148	161	48	1170	39	20. XI.	142
Kaiserstuhl	ca 342	30	20	71	137	148	115	217	92	72	143	132	46	1223	61	2. VII.	158
Schlertheim	477	48	22	55	102	103	59	192	65	62	134	137	32	1011	54	6. VII.	146
Unter-Hallau	450	48	25	61	108	110	81	150	81	71	117	144	39	1035	35	20. XI.	144
Wilchingen	ca 472	44	29	60	133	138	85	155	76	62	131	162	41	1116	40	20. XI.	148
Laufenburg	ca 325	53	26	78	129	188	120	100	89	58	218	158	66	1273	49	6. X.	160
Frick	ca 350	80	32	74	110	167	119	204	95	71	169	147	62	1330	52	9. VI.	167
Wittnau	ca 415	44	26	50	129	173	118	204	88	63	164	122	57	1238	43	8. VI.	153
Möhlis	ca 332	43	28	46	119	176	105	191	79	63	157	138	51	1196	31	13. V.	164
Whitersingen	444	38	23	38	173	232	118	206	86	82	162	131	57	1346	36	13. V.	165
Rheinfelden	280	58	27	45	117	188	96	190	77	59	163	134	53	1187	39	13. V.	161
Kilchberg	ca 582	42	27	39	125	193	92	165	91	60	146	128	48	1156	33	13. V.	164
Bückten	ca 385	41	20	36	148	201	120	166	68	70	158	118	57	1203	36	8. VI.	156
Eptingen	ca 571	46	32	55	113	177	109	183	106	62	172	137	47	1239	33	7. V.	157
Bennwil	ca 520	46	28	46	136	169	114	173	95	66	149	143	49	1214	32	7. V. 8. VI.	164
Waldenburg	ca 533	50	30	55	121	179	124	181	99	67	172	147	56	1281	35	8. VI.	170
Lampenberg	ca 404	40	28	42	137	201	138	169	89	56	128	127	50	1205	32	2. V.	160
Reigoldswil	ca 497	48	30	52	133	180	210	187	104	65	178	149	58	1394	55	8. VI.	163
Liestal	325	45	18	43	138	180	106	182	87	57	137	131	68	1192	33	2. V.	160
Arisdorf	ca 430	33	19	35	110	174	123	207	94	81	139	124	47	1186	35	8. VI.	157
Basel-Augst	ca 275	37	23	39	114	150	78	183	71	59	122	116	48	1043	33	8. VI.	158
Choindex	465	35	33	59	125	111	120	146	81	45	?	?	40	?	38	2. VI.	?
Mervelier	ca 560	39	46	46	158	178	137	199	101	108	118	134	36	1300	80	8. VI.	149
Belkelay	ca 930	51	40	75	132	253	128	227	135	111	198	196	63	1609	59	3. XI.	179
Delémont	ca 435	34	33	42	126	169	105	164	99	115	134	108	45	1174	50	6. IX.	169
Seewen	ca 551	37	20	37	148	151	127	187	95	66	122	110	49	1149	38	4. IV.	161
Grellingen	ca 328	37	28	35	147	164	136	199	107	65	120	119	45	1202	40	2. VIII.	173
Pfeffingen	ca 394	39	28	31	115	199	126	222	98	62	121	120	38	1229	36	2. V.	151
Neue Welt	ca 267	33	10	28	116	124	69	170	58	58	109	103	38	925	33	10. VII.	142
Therwil	ca 310	38	24	32	119	121	155	170	65	56	94	107	36	1017	41	7. VI.	147
Basel-Bernoullianum .	277	33	27	33	103	116	94	191	37	58	104	101	42	929	28	23. VII.	145
Basel-Binningen . . .	318	30	20	30	112	119	104	108	53	61	102	96	37	962	42	10. VII.	149
III. Thur.																	
Wildhaus	ca 1115	51	25	82?	125	247	62	242	206	185	213	116	79	1633	72	13. V.	1--
Starkenbach	ca 894	57	19	137	185	478	160	440	247	245	331	241	120	2660	78	7. V.	160
Ebnat	ca 049	40	19	87	148	301	109	286	138	145	218	149	55	1695	57	18. VII.	157
Ricken	ca 790	40	28	120	181	358	120	345	169	164	287	172	100	2084	83	14. V.	167
Lichtensteig	ca 617	50	29	104	151	253	146	318	159	134	215	179	72	1810	75	18. VII.	158
Peterzell	ca 705	43	13	76	182	277	131	283	156	158	199	92	78	1688	58	18. VII.	155
Nollen	ca 740	26	20	59	130	206	44	261	105	116	177	116	44	1304	40	18. VII.	152
Flawil	ca 616	34	23	73	143	241	70	246	109	137	197	114	55	1442	49	7. V.	198
Degersheim	ca 814	33	26	104	189	272	97	301	163	155	215	140	59	1754	53	18. VII.	212

Stationen:	Höhe üb. Meer	Jan.	Febr.	März	April	Mai	Juni	Juli	Aug.	Sept.	Okt.	Nov.	Dez.	Jahr	Maxima	Zahl d. Tage
Herisau	ca 777	33	22	81	138	223	80	274	112	141	196	124	46	1470	52 7. V.	147
Säntis	2500	121	110	260	284	382	115	499	279	291	510	345	252	3448	82 25. X.	205
Urnäsch	ca 887	59	35	123	196	365	124	342	191	208	284	176	34	2137	59 18. VII.	159
Befang	870	40	28	102	184	263	105	353	184	208	239	160	73	1939	58 18. VII.	167
Appenzell	ca 781	44	25	94	133	253	100*	303	152	186	208	140	57	1695	54 18. VII.	159
Schwäbrig	1152	42	22	99	178	307	106	361	223	223	266	158	71	2056	55 4. IV.	164
Teufen	ca 853	34	28	95	187	246	59	319	159	189	202	153	56	1727	51 18. VII.	164
Bischofszell	ca 502	32	22	56	139	174	49	276	136	108	175	114	59	1340	40 7. V.	146
Sulgen	ca 483	24	15	48	123	154	75	222	109	91	141	98	39	1139	35 7. V.	152
Weinfelden	ca 446	23	23	47	130	136	101	198	96	75	131	97	37	1094	33 7. V.	143
Raperswilten	ca 590	29	18	43	157	111	76	181	100	69	132	116	36	1068	32 18. VII.	139
Müllheim	ca 415	34	20	53	165	138	79	156	103	81	146	101	47	1123	32 7. V.	150
Dussnang	ca 595	43	24	82	165	250	117	359	155	110	215	149	73	1742	61 18. VII.	164
Eschlikon	ca 562	32	22	68	142	180	68	264	120	92	161	126	46	1321	46 18. VII.	154
Wängi	ca 430	28	19	54	134	150	77	193	101	74	128	107	36	1101	34 19. VII.	138
Aadorf	ca 538	34	16	62	170	171	76	230	142	75	151	134	56	1317	41 18. VII.	151
Affeltrangen	ca 495	25	20	58	143	190	121	208	108	74	157	113	41	1258	45 13. VI.	154
Thundorf	ca 560	30	20	58	168	164	111	186	83	69	151	124	38	1202	35 4. IV.	139
Frauenfeld	433	25	15	55	146	138	102	172	88	59	126	104	39	1069	32 7. V.	150
Kalchrain	ca 585	21	18	39	152	123	112	180	94	72	115	107	34	1067	31 7. V.	146
Nieder-Neunforn	ca 446	24	16	42	129	128	121	152	95	63	130	106	33	1039	29 7. V.	142
Andelfingen	370	27	19	45	138	116	107	173	105	60	124	114	36	1064	36 12. VI.	164

IV. Töss.

Bauma	ca 643	44	21	102	184	295	153	346	162	109	226	136	83	1861	55 18. VII.	164
Sternenberg	ca 880	43	24	94	178	280	192	331	145	116	194	122	66	1785	103 23. VI.	154
Kollbrunn	ca 495	38	26	80	203	209	78	275	128	75	169	138	64	1483	51 18. VII.	162
Fehraltorf	ca 536	34	15	82	178	236	132	281	144	113	178	98	62	1553	47 2. V.	147
Winterthur	448	38	22	69	168	154	129	233	150	77	163	146	65	1474	38 18. VII.	153

V. Glatt.

Huwil	ca 569	40	16	89	191	246	162	334	147	121	202	136	74	1758	60 18. VII.	157
Grünigen	ca 488	39	17	77	161	201	83	274	157	99	162	124	71	1465	52 18. VII.	160
Pfäffikon	ca 550	40	15	80	189	246	152	282	151	111	199	119	63	1647	50 18. VII.	158
Uster	ca 466	37	13	76	157	206	222	245	128	84	149	117	64	1498	59 8. VI.	156
Oerlikon	450	27	16	66	150	156	81	252	134	73	137	114	47	1262	46 18. VII.	152
Niederhasli	ca 425	38	23	69	166	156	104	192	128	71	158	112	40*	1257	35 6. X.	?
Hochfelden	ca 401	30	19	59	160	143	110	185	111	56	133	132	38	1185	35 4. IV.	149

VI. Limmat.

Weisstannen	ca 1006	36	26	—	—	187	—	267	222	?	?	128	77	—	47?	18. VII.	—
Walensstadt	ca 430	21	16	57	95	216	90	255	208	183	220	129	63	1553	48 13. V.	148	
Obstalden	ca 690	40	22	81	146	318	86	343	214	196	265	182	69	1962	60 23. VII.	150	
Braunwald ob Linthal	ca 1190	65	26	104	115	319	97	253	242	251	311	192	86	2061	76 13. V.	169	
Auen (Linthal)	821	41	19	86	117	246	58	233	241	216	213	132	90	1692	57 14. VIII.	158	
Elm	959	40	18	94	130	225	94	266	222	203	191	136	67	1626	51 23. VII.	152	
Glarus	480	31	13	70	125	257	45	245	213	196	205	136	83	1619	51 23. VII.	160	
Klönthal	ca 838	42	21	109	134	314	113	323	241	268	250	181	84	2080	71 13. V.	175	
Weesen	ca 430	37	15	74	179	260	130	304	204	208	268	189	99	1967	66 26. X.	156	
Oberkirch (b. Uznach)	ca 468	42	14	108	184	263	116	264	213	178	225	154	92	1853	63 18. VII.	154	
Vorder-Wäggitthal	ca 740	48	28	114	205	334	145	306	234	198	250	194	100	2156	57 2. V.	177	
Lachen	ca 410	39	17	73	160	204	87	264	138	147	224	153	81	1592	55 16. IX.	159	
Wald (Sanatorium)	912	38	19	100	188	361	187	439	153	143	231	67	31?	1957	83 2. VII.	161	
Bachtel	1119	70	27	—	—	—	—	—	141	140	218	155	104	—	?	?	—
Rapperswil	ca 412	33	16	65	136	217	135	230	132	109	185	129	63	1450	61 13. VI.	144	
Horgen	ca 445	42	17	98	182	255	128	219	145	76	167	121	84	1564	54 18. VII.	160	
Thalwil	ca 425	43	11	91	143	243	118	284	117	70	162	124	73	1478	49 14. V.	126	
Männedorf	ca 415	34	12	69	139	194	99	264	147	90	153	106	69	1376	61 18. VII.	153	

Stationen:	Höhe üb. Meer	Jan.	Febr.	März	April	Mai	Juni	Juli	Aug.	Sept.	Okt.	Nov.	Dez.	Jahr	Maxima	Zahl d. Tage	
Pfannenstiel	ca 853	54	20	100	208	275	121	295	180	101	204	139	78	1775	58	18. VII.	174
Küsnacht (Zürich)	ca 427	35	17	86	166	220	138	236	96	60	146	122	50	1372	49	18. VII.	163
Zollikon (Anst. f. Epil.)	ca 460	35	15	78	178	186	101	260	131	67	144	119	48	1362	41	18. VII.	152
Zürich (Meteor. Z.-A.)	493	33	18	74	168	182	81	251	129	70	143	117	47	1313	43	18. VII.	150
Oberiberg	1090	54	32	98	209	332	167	307	244	217	280	212	94	2246	64	14. V.	185
Euthal	ca 895	46	22	93	190	285	179	285	266	200	257	189	91	2103	57	9. X.	172
Willerzell	ca 892	52	25	91	210	315	145	255	179	164	226	197	96	1955	60	16. XI.	173
Einsiedeln	914	48	34	88	188	334	115	286	174	162	231	183	93	1936	63	16. XI.	177
Schönenberg (Waldhalde)	ca 700	55	23	113	182	246	122	331	153	110	242	151	97	1875	66	18. VII.	170
Sihlwald	493	43	21	96	186	265	110	203	136	75	189	121	78	1583	51	13. V. 18. VII.	157
Dietikon	ca 392	40	24	81	183	176	116	259	99	71	179	117	66	1411	45	9. X.	160
Boppelsen	ca 525	31	19	65	178	176	120	244	147	69	154	143	48	1394	39	13. V.	168
Otelfingen	ca 447	32	17	69	172	191	113	220	115	77	144	138	47	1335	34	18. VII.	161
Baden	381	28	21	69	153	143	86	194	110	78	112	132	44	1170	37	18. VII.	155

VII. Reuss.

Anderman (Dorf)	1442	35	21	76	156	173	30	183	102	156	163	220	32	1347	82	29. XI.	157
Altkirch (Kaserne)	1450	39	23	86	195	211	32	246	139	239	201	238	35	1684	83	29. XI.	153
Göschenen	1107	25	12	72	153	148	23	205	119	149	143	203	20	1272	92	29. XI.	126
Färnigen b. Wasen	1460	54	16	69	125	236	40	165	168	162	215	206	68	1524	53	14. V.	148
Gurtellen	742	27	4	71	122	170	19	124	139	109	121	162	26	1094	71	29. XI.	125
Unterschächen	ca 1015	33	13	?	?	?	?	?	?	?	196	184	64	?	55	29. XI.	?
Altdorf	456	24	15	52	124	197	71	174	156	170	161	133	36	1313	45	18. VII.	150
Isenthal	ca 778	35	17	92	149	273	90	211	204	149	226	158	66	1670	47	26. X.	168
Bisisthal	ca 1000	75	26	125	222	340	155	273	303	246	275	193	114	2350	67	14. VIII.	164
Rickentach b. Schwyz	ca 590	51	31	97	218	276	105	286	238	183	238	161	81	1965	53	29. IV.	169
Sattel	ca 832	44	18	82	205	313	175	333	186	133	263	174	81	2007	65	18. VII.	157
Gersau	457	35	28	90*	210*	287	167	199	131	123	266	84	58	1678	57	26. X.	174
Weggis	450	31	21	70	211	246	152	256	131	114	154	122	62	1570	60	7. V.	159
Rigi Kulm	1787	86	44	145	284	373	176	359	208	210	249	187	121	2442	73	14. V.	174
Küsnacht (Schwyz)	ca 440	34	10	68	164	237	168	248	146	129	171	131	76	1582	59	9. X.	144
Engelberg	1018	35	34	85	166	227	113	209	187	162	220	125	57	1620	52	18. VII.	166
Stans	ca 456	38	16	78	163	230	152	254	188	159	148	104	42	1272	52	18. VII.	152
Lungern	ca 726	43	24	82	134	238	162	260	164	143	212	176	61	1699	64	18. VII.	159
Sarnen	474	22	22	65	141	157	153	198	149	127	153	100	36	1323	70	23. VI.	149
Pilatus-Kulm	2068	69	85	127	300	327	220	214	171	148	234	170	68	2213	77	29. IV.	175
Luzern	498	35	23	85	174	182	118	216	134	106	138	106	62	1379	51	9. X.	164
Flühli	ca 893	47	45	107	206	296	249	308	168	140	231	211	72	2080	63	9. X.	170
Entlebuch	ca 722	41	38	105	215	212	142	243	160	89	156	125	49	1565	55	18. VII.	163
Buchsteg (Bigental)	ca 1050	56	40*	150	356	298	255	327	193	185	233	216	85	2394	115	29. IV.	181
Morgarten	ca 729	55	24	99	222	309	196	336	155	172	250	194	92	2104	71	23. VI.	162
Unter-Aegen	ca 735	53	24	97	163	249	164	296	160	111	200	141	76	1727	59	18. VII.	163
Lorzetobel	ca 550	43	19	87	185	247	116	289	159	109	191	130	69	1644	56	18. VII.	162
Walchwil	452	41	13	73	172	217	149	257	137	123	154	131	66	1533	51	18. VII.	149
Zug	ca 429	40	11	79	171	239	133	272	156	94	171	119	62	1547	51	9. X.	152
Hausen a. Albis	ca 603	46	20	89	196	278	107	284	151	111	197	128	76	1683	54	9. X.	169
Metmenstetten	ca 483	32	12	46	163	174	99	222	101	79	144	78	38	1188	40	9. X.	146

VIII. Aare.

Guttannen	ca 1055	38	34	81	204	251	51	218	167	189	217	255	63	1768	63	29. XI.	146
Gadmen	1207	69	36	96	172	309	77	272	236	190	226	178	80	1941	62	18. VII.	163
Meiringen	605	36	17	72	146	227	97	217	142	162	205	181	62	1564	52	18. VII.	154
Brienz	ca 575	41	11	81	133	193	104	265	140	171	234	153	60	1586	57	9. X.	159
Eiger-Gletscher	2363	64	31	108	255	401	126	317	172	227	234	174	132	2241	48	12. V.	168
Grindelwald	1050	30	15	77	167	221	120	209	115	131	189	150	53	1477	40	14. V.	164
Lauterbrunnen	ca 810	32	10	71	138	231	85	228	154	121	225	99	39	1436	58	14. V.	158
Interlaken	595	30	20	70	133	248	80	229	142	118	195	115	51	1431	57	14. V.	154

Stationen:	Höhe üb. Meer	Jan.	Febr.	März	April	Ma	Juni	Juli	Aug.	Sept.	Okt.	Nov.	Dez.	Jahr	Maxima	Zahl u. Lage	
Beatenberg	1148	42	33	92	164	324	95	265	140	135	216	150	68	1774	72	13. V.	175
Kandersteg	ca 1170	39	19	74	166	182	103	250	108	109	166	117	34	1367	48	9. X.	156
Adelboden	ca 1365	59	25	67	154	254	180	286	145	102	256	161	58	1747	63	9. X.	165
Frutigen	ca 820	41	10	66	146	220	91	263	141	118	216	114	35	1461	58	9. X.	155
Kienthal	ca 970	38	32	75	150	256	148	276	123	128	197	111	42	1582	47	9. X.	162
Lenk	ca 1071	45	15	64	114	200	112	270	134	102	231	147	54	1488	63	9. X.	152
Zweisimmen	ca 960	49	20	91	132	224	132	257	165	115	249	198	85	1717	52	9. X.	167
Bolligen	ca 830	63	34	75	166	230	66?	287	208	100	230*	180*	28	1676	63	18. VII.	152
Wimmis	ca 640	50	21	77	215	272	98	257	161	131	222	134	62	1700	62	29. IV. 9. X.	154
Heiligenschwendi	1125	34	31	66	186	191	113	227	119	112	159	115	44	1397	51	9. X.	152
Thun	505	30	24	52	167	156	76	209	116	92	127	99	29	1177	48	11. VII.	144
Utigen	ca 517	21	17	51	142	146	114	180	149	87	149	96	38	1190	45	9. X.	143
Schwarzenegg	ca 910	38	34	75	199	189	155	228	127	91	172	113	41	1462	53	9. X.	151
Grosshochstetten	ca 750	38	37	77	196	203	111	199	180	74	169	90	55	1429	48	9. X.	154
Hejp	ca 525	37	36	100	146	154	122	190	142	101	165	114	63	1370	45	9. X.	164
Bern	572	37	26	68	147	147	105	227	141	71	171	115	44	1299	61	18. VII.	152
Laenen	ca 1200	53	25	69	125	220	184	313	133	123	221	161	73	1700	60	9. X.	170
Gsterg bei Saanen	ca 1180	42	17	82	117	203	178	273	144	130	304	161	63	1710	72	9. X.	164
Château-d'Oex	ca 1010	52	28	86	126	160	139	224	177	125	296	191	79	1688	68	9. X.	162
Jaun	ca 1030	69	57	106	199	310	99	377	228	152	358	217	106	2308	93	14. V.	179
La Valsainte	ca 1032	56	49	124	187	235	136	311	218	123	287	189	104	2009	68	18. VII.	178
Marsens	727	54	36	119	146	148	105	238	131	98	239	147	78	1539	52	18. VII.	153
La Roche	770	41	42	85	137	160	183	205	146	102	204	113	71	1489	56	9. X.	161
Romont	ca 764	51	38	105	111	155	76	219	104	105	157	114	71	1306	45	18. VII.	156
Freiburg	670	36	42	88	121	170	77	180	128	78	173	107	58	1270	42	18. VII.	156
Gauglera	ca 925	38	37	87	158	194	137	241	166	118	198	124	57	1555	59	18. VII.	172
Schwarzenburg	ca 800	36	40	115	139	172	185	232	158	98	198	122	66	1561	65	18. VII.	162
Aarberg	ca 465	52	37	61	91	137	69	217	110	56	146	105	41	1122	50	6. VII.	157
Palézieux	ca 633	74?	46	139	142	80	132	305	165	143	218	151	106	1701	54	9. X.	161
Rossenges s. Moudon	ca 700	53	34	103	104	155	75	228	97	91	146	133	78	1297	50	18. VII.	157
Payerne	ca 445	49	28	76	89	108	56	217	83	83	143	103	59	1094	54	18. VII.	147
Murten	ca 460	50	26	69	89	128	144	205	90	79	150	112	52	1194	78	16. VI.	160
La Cure	ca 1165	62	38	108	109	289	162	303	181	226	266	235	130	2109	65	1. VII.	195
Le Sentier	ca 1024	75	44	69	94	283	210	268	160	174	263	187	122	1949	53	5. X.	180
Vallois-Reposoir	930	68	50	111	90	261	216	292	125	149	214	211	111	1898	55	1. VII.	166
Valleyres-sous-Rances	505	58	30*	65*	50*	130*	50*	204	50	97	134	122	72	1057	38	18. VII.	153
Montclérand	365	60	30	63	55	139	51	215	67	105	127	111	70	1093	36	18. VII.	152
Balmes	ca 634	74	37	90	82	228	118	254	111	105	222	185	106	1612	61	18. VII.	162
L'Auberson	ca 1128	54	44	89	93	249	153	350	148	144	235	200	128	1893	77	1. VII.	183
Romainmôtier	ca 676	71	42	72	44	153	52	237	74	98	159	154	79	1235	46	1. VII.	148
Corcelles	ca 560	56	39	67	87	128	47	214	51	129	119	98	70	1135	44	23. VII.	150
Yverdon	440	56	40	60	73	118	40	210	84	139	104	119	81	1124	41	23. VII.	140
St-Sulpice	ca 760	64	49	85*	105	277	160*	277	125	135	225	170	133	1805	47	18. VII.	174
Couvet	ca 750	01	34	81	93	203	154	264	138	137	201	169	102	1637	43	23. VII.	184
Grandchamp-Areuse	ca 450	58	40	68	56	97	36	157	92	104	142	141	73	1064	40	23. VII.	136
Chambrelin	ca 743	91	48	87	69	112	142	202	106	95	198	209	88	1447	47	19. VI.	165
La Brévine	ca 1077	72	31	96	124	252	143	258	102	127	291	173	114	1783	75	12. X.	170
Les Ponts	1020	64	30	88	115	239	84	239	129	141	220	158	127	1634	52	18. VII.	164
Dombresson	740	78	37	61	92	138	55	182	109	94	180	160	81	1207	41	23. VII.	161
Cernier	800	61	48	85	116	242	95	279	145	124	268	216	101	1780	56	5. X.	172
Serrières	ca 470	45	26	56	44	93	25	148	70	96	114	115	55	887	35	18. VII.	138
Neuchâtel	488	49	39	56	57	111	70	170	67	81	97	99	68	964	39	23. VII.	147
Chaumont	1127	61	45	71	96	120	67	205	83	132	194	127	76	1283	48	23. VII. 5. X.	149
Biel	ca 440	55	50	62	63	131	63	195	126	73	163	180	72	1239	38	18. VII.	158
Evilard	ca 700	70	62	80	96	172	95	250	126	87	187	234	95	1554	62	5. X.	171
Mont-Soleil	ca 1200	65	49	85	113	265	123	245	136	122	216	201	85	1705	46	18. VII.	184
Courtelary	ca 699	67	32	58	93	239	103	222	121	98	195	193	94	1515	47	18. VII.	168
Weissenstein	1285	65	63	56	83	129	75	213	128	75	272	281	76	1516	99	5. X.	164
Solothurn	470	66	37	69	112	171	115	284	150	64	224	203	79	1574	58	5. X.	164

Stationen:	Höhe üb. Meer	Jan.	Febr.	März	April	Mai	Juni	Juli	Aug.	Sept.	Okt.	Nov.	Dez.	Jahr	Maxima	Zahl o. Tage	
Herbetswil	ca 526	53	33	56	132	164	111	194	100	71	187	175	64	1340	37	3. IX.	163
Balsthal	ca 503	58	20	45	120	160	148	206	128	60	192	231	39	1407	60	5. X.	162
Langenbruck	705	48	31	57	143	217	119	215	130	64	192	164	61	1441	41	7. V.	176
Eggiwil	ca 820	43	—	—	—	—	—	—	—	—	—	—	—	—	—	—	—
Marbach	ca 875	48	42	118	222	266	236	378	170	126	226	193	83	2108	98	1. VIII.	169
Escholzmatt	ca 853	44	59	116	235	228	156	281	163	131	226	177	67	1883	56	9. X.	179
Langnau i. E.	ca 685	43	30	99	213	206	125	331	142	93	163	110	54	1609	82	2. VII.	166
Wasen i. E.	ca 755	49	47	105	224	264	123	264	171	93	207	141	58	1746	62	9. X.	173
Affoltern i. E.	795	43	52	87	185	169	135	197	164	71	157	107	53	1420	44	9. X.	169
Burgdorf	ca 535	39	31	64	141	149	101	171	107	37	148	109	51	1141	38	9. X.	157
Nieder-Gerlafingen	ca 454	49	37	48	54	143	93	255	95	64	111	139	84	1172	45	18. VII.	153
Herzogenbuchsee	ca 475	49	26	69	135	172	119	227	127	44	123	132	60	1283	43	7. VI.	158
St. Urban	ca 452	52	32	72	138	189	85	237	150	53	166	136	56	1366	43	18. VII.	151
Luthern	ca 778	51	43	125	199	225	183	274	174	71	168	146	67	1724	42	7. VI. 9. X.	177
Zofingen	ca 436	43	26	74	151	150	72	267	136	83	170	131	56	1359	43	18. VII.	158
Allerheiligen	ca 900	49	30	61	135	225	126	216	126	56	164	151	50	1389	46	7. V.	163
Olten	ca 400	38	25	64	123	193	96	246	141	54	176	152	63	1369	37	2. V. 18. VII.	155
Kölliken	ca 431	40	23	67	147	183	87	246	125	70	176	123	62	1349	40	9. X.	157
Münster	ca 656	39	28	89	177	221	112	236	119	88	164	97	65	1435	47	14. V.	162
Burg	ca 625	43	25	101	185	221	115	258	140	78	162	98	64	1490	54	18. VII.	164
Unter-Kulm	ca 470	37	24	72	161	208	94	301	134	77	184	128	63	1483	48	18. VII.	155
Aarau	ca 406	38	24	61	147	189	99	298	127	63	155	128	60	1389	61	2. VII.	157
Aesch (Hitzkirch)	ca 520	32	27	77	168	202	210	273	124	70	158	102	54	1497	58	18. VII.	166
Muri	483	37	32	71	170	208	148	224	146	72	166	112	77	1463	?	?	156
Uötzbürg	ca 500	43	24	65	119	184	80	191	107	68	142	136	53	2212	38	13. V.	160
Schöllisdorf	ca 476	33	20	73	147	154	179	208	98	62	147	146	38	1305	99	13. VI.	151
*) Bötstein, Beznau	360	37	37	75	—	186	161	—	89	57	172	157	55	—	56	13. VI.	—

*) s. August. Station in Beznau. Höhe ca 330 m.

B. Rhonegebiet.

I. Rhone und Genfersee.

Furka (Galenhütten)	ca 2406	95	33	79	81	271	26	177	138	165	338	252	107	1762	82	14. V.	110
Oberwald	ca 1370	—	—	—	—	—	—	—	—	—	124	139	249	—	—	—	—
Reckingen	1349	31	—	—	—	—	—	—	—	—	127	142	—	—	—	—	—
Fiesch	ca 1080	19	32	25	126	98	17	114	80	98	118	219	16	962	100	28. XI.	109
Rinn	ca 1450	34	12	29	123	96	26	76	61	119	98	232	18	924	104	28. XI.	104
Saas-Fée	1800	54	34	31	132	115	30	71	53	29	98	143	29	822	91	28. XI.	103
Zermatt	1610	66	55	35	152	118	38	67	59	66	73	80	14	800	40	28. IV.	108
Visp	648	29	27	18	67	70	21	69	37	55	106	149	16	664	77	28. XI.	99
Grächen	1629	—	—	—	113*	71	19	71	51	72	—	?	—	—	62	28. XI.	—
Kippel	ca 1376	52	15	56	76	132	19	139	72	86	212	183	49	1091	42	9. X.	139
Leukerbad	1415	53	19	69	90	151	37	179	152	76	224	214	45	1309	62	9. X.	126
Varen bei Leuk	ca 750	35	21	28	60	72	21	96	35	51	129	107	28	683	31	9. X.	106
Siders	573	38	21	37	52	79	29	79	35	56	116	100	23	665	41	16. XI.	105
Montana	1453	50	27	49	65	105	26	102	57	61	195	154	49	940	39	9. X.	120
Grimentz	1570	55	12	39	78	122	51	122	84	75	167	103	29	937	47	9. X.	126
Héremence	ca 1240	45	9	40	78	99	37	126	63	80	138	124	33	872	39	9. X.	113
Sion	549	44	13	37	54	73	33	97	59	56	141	118	39	764	32	9. X.	102
Ragnes (Châble)	ca 836	42	7	41	92	156	45	100	36	80	190	97	39	925	72	7. V.	117
St. Bernhard (neu)	2475	175	86	185	301	345	98	230	100	157	403	284	142	2506	58	28. XI.	173
Bourg St-Pierre	ca 1633	31	28	54	133	100	86	147	52	89	143	142	35	1040	44	28. XI.	125
Orsières	ca 890	47	17	61	78	70	53	101	53	86	155	88	54	863	37	9. X.	114
Martigny-Ville	ca 480	45	21	52	83	77	26	134	83	93	236	151	46	1047	77	9. X.	119
Marécottes	1090	72	64	154	123	157	59	146	162	134	277	205	15?	1568	49	2. XI.	136
Dailly	ca 1253	56	42	101	210	157	60	204	132	125	242	143	58	1530	70	9. X.	152
Savatan	679	44	21	68	138	110	51	180	105	109	185	125	45	1181	60	9. X.	145
Gryon	ca 1130	44	18	62	57	72	53	76	100	53	170	55?	50*	810	41	9. X.	138

Stationen:	Höhe üb. Meer	Jan.	Febr.	März	April	Ma	Jun	Juli	Aug.	Sept.	Okt.	Nov.	Dez.	Jahr	Maxima	Zahl d. Tage	
Diablerets-village	1168	50	28	113	133	19	121	216	172	134	202	164	72	1685	70	9. X.	133
Leysin	1398	59	32	115	157	195	98	220	180	145	295	147	93	1736	61	9. X.	166
Vouvry (Porte du Scex)	ca 478	43	28	101	138	137	106	200	145	132	235	175	69	1509	63	9. X.	147
Roders de Naye	1975	126	138	278	278	319	247	386	293	244	412	232	232	3185	76	18. VII.	176
Clarens	412	40	22	99	146	142	153	229	147	128	173	116	81	1476	49	17. VI.	159
Lausanne	553	57	48	108	152	142	90	247	131	192	181	132	92	1572	66	11. IX.	152
Cossonay	ca 575	62	32	65	73	103	59	215	73	117	121	114	75	1099	53	19. IX.	140
Marcelin s. Morges	ca 425	58	41	90	87	104	63	165	81	122	134	116	87	1148	53	11. XI.	138
Morges	380	69	38	102	93	144	59	175	83	138	141	120	90	1261	41	18. VII.	146
Longirod	ca 900	67	67	84	81	196	114	224	129	151	182	146	105	1546	48	23. VII.	154
Nyon	ca 405	68	41	87	76	139	100*	200*	100*	120	139	121	89	1280	?	?	143
Céligny	ca 435	81	36	100	92	171	120	213	103	135	162	144	102	1459	55	23. VII. 15. X.	146
Collex	ca 440	63	46	81	88	146	95	177	99	138	142	119	95	1289	45	23. VII.	156
Chambésy	ca 400	71	44	81	85	146	94	169	105	134	139	101	83	1252	45	23. VII.	144
Genf	405	62	29	78	89	141	79	203	108	135	113	97	73	1207	49	4. VIII.	133
Châtelaine	ca 430	64	33	77	81	144	74	202	95	140*	127	91	83	1210	46	23. VII.	133
Hermance	ca 380	72	20	88	93	137	138	167	103	143	155	100	80*	1296	43	7. V.	127
Cologny	ca 450	54	26	71	93	145	116	186	115	129	114	88	76	1213	50	1. VII.	136
Jussy	ca 475	48	38	85	97	145	83	200	103	126	115	72	86	1198	46	1. VII.	142
Veyrier	ca 425	63	27	76	103	144	99	211	123	132	97	108	88	1271	72	1. VII.	123
Compésières	ca 476	58	31	72	94	147	106	215	108	129	100	99	81	1240	66	1. VII.	139
Satigny	ca 460	64	60	74	79	178	105	189	99	117	162	117	91	1334	47	23. VIII.	142
Athemaz	ca 430	66	39	70	79	163	142	181	100*	140	150	113	95	1338	56	4. VIII.	133

II. Doubs.

Les Brenets	878	63	36	95	105	258	82	275	118	134	211	184	108	1669	42	23. VII.	180
La Chaux-de-Fonds	986	64	58	95	114	253	170	283	125	126	223	204	115	1835	79	8. VI.	173
Saignelégier	ca 985	50*	34	56	86	189	106	276	112	107	164	148	70	1398	36	2. VI.	173
Mormont	ca 550	42	37	87	146	199	86	203	100	87	174	167	87	1415	34	17. VII.	165

U. Pogebiet.

I. Tessin.

Gotthard	2103	134	66	159	361	306	103	247	126	254	178	260	64	2258	78	19. IV.	192
Airolo	1143	87	22	91	205	170	145	173	110	147	54	297	35	1536	98	29. XI.	129
Faido	759	122	12	166	166	137	19	228	77	265	42	186	15	1606	98	18. III.	114
Olivone	ca 893	68	16	77	179	111	196	196	112	258	57	139	23	1432	81	23. VII.	110
Comprovasco	544	63	12	71	166	113	202	242	87	279	47	127	20	1429	104	23. VII.	109
Biasca	ca 300	105	33	84	236	171	179	238	162	428	98	119	30*	1883	142	29. IX.	128
Braggio	1332	63	28	101	170	161	238	229	152	253	62	91	28	1576	69	23. VII.	119
Misox	ca 785	59	20	76	145	151	178	199	120	255	50	107	41	1401	59	23. VII.	102
Grono	335	60	26	92	161	123	172	206	118	193	54	85	29	1319	63	23. VII.	106
Bellinzona	237	84	25	86	204	162	261	281	134	210	40	100	25	1612	71	23. VII.	102
Mezzana	ca 335	114	47	134	298	282	103	102	121	218	68	73	36	1596	85	11. IX.	114
Monte Generoso	1610	—	—	—	277	259	336	273	236	383	77	—	—	—	96	11. IX.	—
Monte Brè	910	121	49	90	238	230	171	175	120	230	41	104	29	1598	73	11. IX.	112
Lugano	276	100	16	120	253	214	149	195	150	225	53	100	33	1608	68	11. IX.	121
Crana-Torricella	1010	132	40	126	300	326	376	285	154	336	68	165	32	2340	86	23. VII.	133
Ponte Tresa	ca 280	129	35	128	278	269	172	226	107	275	40	107	23	1789	96	11. IX.	110
Brissago	ca 210	117	23	89	326	272	323	313	87	386	46	181	26	2189	126	23. VII.	112
Cumedo	ca 610	97	32	91	347	281	395	321	63	436	34	38	24	2129	214	29. XI.	103
Mosogno	ca 790	119	24	75	266	222	315	326	76	355	47	316	19	2033	215	29. XI.	114
Fusio	ca 1285	111	23	77	208	178	194	204	80	307	52	245	26	1705	101	29. XI.	121
Cevio	ca 430	112	17	76	249	220	198	203	81	325	34	239	15	1769	104	23. VII.	115
Locarno	239	110	25	80	277	213	331	320	109	262	57	139	23	1916	160	23. VII.	116
Sonogno	ca 910	81	20	101	235	219	297	461	117	407	38	288	22	2286	164	23. VII.	113

Stationen:	Höhe üb. Meer	Jan.	Febr.	März	April	Ma	Juni	Juli	Aug.	Sept.	Okt.	Nov.	Dez.	Jahr	Maxima	Zahl d. Tage	
II. Adda.																	
Lago Scala	ca 2230	83	39	251	269	110	72	126	115	172	83	182	56	1558	64	29. XI.	128
Cavaglia	ca 1701	40	17	118	104	88	65	113	116	158	83	77	47	1031	50	11. IX.	110
Le Prese (Poschiavo)	ca 960	12	23	74	84	73	72	80	81	129	68	49	7	752	51	11. IX.	90
Brusio	ca 755	20	16	69	86	65	80	101	89	111	43	41	28	749	41	11. IX.	96
Vicosoprano	1087	50	12	115	135	132	108	147	130	199	68	110	32	1238	50	11. IX.	115
Soglio	1090	32	15	116	184	131	125	156	152	202	58	86	46	1303	63	11. IX.	117
D. Donaugebiet.																	
Inn.																	
Sils-Maria	1814	19	20	74	91	67	52	119	115	92	37	47	31	764	27	7. VIII.	115
St. Moritz	1853	14	10	43	82	41	48	105	103	100	—	—	—	—	31	24. VII.	—
Pontresina	1805	16	11	37	78	50	60	94	111	79	52	43	27	658	30	24. VII.	101
Bevers	ca 1710	22	8	48	95	53	78	125	140	105	53	50	32	809	42	13. IV.	120
Buffalora	ca 1977	20	15	47	70	100	87	156	170	158	95	57	50	1025	30	5. VIII.	122
Süs	ca 1440	9	5	31	59	94	35	92	98	103	77	32	28	663	29	18. VII.	96
Scarl	ca 1810	—	—	—	—	67	57	129	115	114	60	32	—	—	—	—	—
Schuls	1236	13	2	25	49	61	47	97	126	95	63	23	33	634	25	15. VIII.	98
Martinsbruck	ca 1040	17	2	25	38	85	25	75	135	83	61	31	32	609	27	24. VII.	89
E. Etschgebiet.																	
Sta. Maria	1411	14	9	54	84	82	16	101	102	98	47	23	36	666	28	23. VII.	79

Monats- und Jahresmengen im Jahre 1930, ausgedrückt in Prozenten der Normalmengen.

Stationen	Höhe über Meer	Jan.	Febr.	März	April	Ma	Juni	Juli	Aug.	Sept.	Okt.	Nov.	Dez.	Jahr
Platta	1378	30	27	84	166	93	91	118	81	151	61	190	31	99
Bernhardin	2073	159	53	178	174	131	121	148	98	122	22	180	66	119
Splügen	ca 1500	40	62	103	113	58	86	107	87	150	56	113	47	90
Davos-Platz	1561	48	2	76	82	177	79	111	139	133	131	75	67	100
Reichenau	604	39	2	71	79	121	28	102	118	144	80	79	78	85
Chur	610	28	10	78	100	138	33	126	128	100	95	126	56	99
Altstätten	452	44	18	81	132	202	63	167	94	154	200	185	76	125
St. Gallen	702	56	39	82	154	180	34	189	105	122	161	164	71	118
Kreuzlingen	424	80	44	108	207	110	62	216	70	75	163	216	86	121
Lohn	643	95	67	106	174	154	42	227	70	60	164	239	70	123
Basel	318	81	51	58	170	145	99	225	62	78	124	155	71	116
Glarus	480	46	16	83	121	242	28	121	117	154	169	150	91	115
Einsiedeln	914	66	38	79	152	222	60	141	90	117	176	193	95	121
Zürich	494	67	32	100	175	160	60	190	97	64	139	165	63	114
Rigi-Kulm	1787	172	75	204	242	227	73	135	86	110	200	263	168	147
Engelberg	1018	51	45	88	137	148	52	85	78	99	143	136	64	94
Luzern	498	81	50	125	191	155	79	137	88	94	145	171	113	120
Guttannen	ca 1055	40	32	66	155	187	35	136	98	151	140	220	58	113
Beatenberg	1148	56	41	84	138	251	54	154	82	115	222	166	72	122
Bern	572	84	53	113	210	175	101	222	134	86	180	172	75	141
Chaumont	1127	117	90	114	133	136	61	200	84	147	178	169	115	131
Neuchâtel	488	96	75	90	81	135	69	183	68	96	94	134	100	103
Affoltern i. E.	795	70	81	105	189	143	94	157	123	70	145	143	71	120
Olten	ca 400	75	40	99	173	212	83	274	120	61	183	205	90	136
Muri	483	74	58	106	200	204	116	184	124	76	177	170	113	139
St. Bernhard	2475	146	75	150	190	184	61	184	67	113	211	176	104	156
Sion	549	102	28	77	142	170	73	159	79	106	214	200	66	120
Lausanne	553	110	92	159	211	153	95	263	125	196	156	165	135	158
Genf	405	148	64	144	137	174	105	256	120	169	100	123	130	141
Lugano	276	149	29	119	159	120	81	122	82	116	25	73	46	95
Sils-Maria	1814	42	63	135	126	77	57	105	99	81	35	63	56	80
Bevers	ca 1710	63	31	117	170	80	91	115	128	99	60	81	70	97

Einzelne bemerkenswerte Niederschläge

von M. Grütter.

Der Verfasser befolgte bei der Behandlung der bemerkenswerten Niederschläge des Berichtsjahres wiederum das Prinzip, den Fällen mit großen Niederschlagsmengen den Vorzug zu geben und über ihre allgemeinen meteorologischen Bedingungen diejenigen Angaben zu machen, die dem Verständnis derselben dienlich sein können. Es sei bemerkt, daß diese Fälle durchaus nicht immer auch die übersichtlichsten und typischsten zu sein pflegen.

4. April.

Am 4. April fielen reichliche Niederschlagsmengen einerseits am Nordfuß der Alpen im Kantonsgebiet von Luzern, Schwyz, Zürich, St. Gallen (meist 30 bis 40 mm), über 40 u. a. in Buchsteg 48 mm, Weggis 41, Rickenbach 43, Zürich 41, Kollbrunn 41, Befang (bei Hundwil) 49, Schwäbrig 55, Heiden 45, anderseits in den Tessiner Voralpen: Locarno 40 mm, Lugano 51, Pte. Tresa 57, Mezzana 68, ferner Bernhardin 70. Weniger als 10 mm hatten der Südostfuß des westschweizerischen Jura, das Wallis, das untere Engadin und Davos.

Am 3. April um 8 h morgens war am Westeingang des Kanals eine Depression erschienen. Die genannten Niederschläge hängen mit einer von ihr ausgehenden Okklusion zusammen, die die Schweiz in den Abendstunden des 3. berührte. Sie dauerten in Zürich vom 3. (17 h) bis zum 5. (8 h).

13. April.

Die Niederschlagsverteilung vom 13. April ist in Regenkärtchen 1 dargestellt. Die kräftigsten Niederschläge fielen im Tessin in der Umgebung des oberen Langensees und im Centovalli: Camedo 80 mm, Brissago 87, Locarno 81, Ponte Tresa 77. Auf der Nordseite der Alpen erscheint das Berner Oberland (wo auf folgenden Stationen 40 mm überschritten wurden: Eigergletscher 42 mm, Lauterbrunnen 41) sowie die Emmentäler vor der Nordostschweiz etwas bevorzugt. Gering waren die Niederschläge im Jura und im westschweizerischen Mittelland.

Die allgemeinen meteorologischen Verhältnisse sind ziemlich unübersichtlich und konnten mangels ausreichender Unterlagen (Sonntag) nicht eingehender verfolgt werden. Am 12. April 14 h zeigt die Wetterkarte

eine Antizyklone über dem Atlantischen Ozean. Zwischen Island und Thorshavn liegt das Zentrum einer kräftigen Zyklone (Druckmin. zirka 740 mm), auf deren Südwestseite relativ kalte polare Luft über die britischen Inseln hinweg gegen den Kontinent vorstößt. Ueber den Kontinent fließt eine warme Luftströmung (Richtung SSW—NNE), welche teils dem Atlantik (Nordseite der Antizyklone) teils dem afrikanischen Kontinent entstammt. Diese letzteren beiden Ströme treffen sich in einer kleinen Teilzyklone über dem westlichen Mittelmeer (Zentrum vor der spanischen Südküste), welche in der Folge der Diskontinuitätslinie der genannten Strömungen entlang in nordöstlicher Richtung nach der Poebene wanderte. Auch auf dem Rand der Polarluftmasse entwickelte sich am 13. nachmittags eine Teildepression über Südengland, welche sich rasch quer durch Frankreich gegen die Schweiz hin bewegte. Am 14. April morgens um 8 h finden wir die eine der beiden Depressionen nordwärts, die andere südwärts der Alpenkette.

Ein leichter Barometeranstieg um 6 h (eine Stunde nach Beginn des Regens) dürfte die Passage der kalten Front in Zürich anzeigen. Der Säntisgipfel wurde von den Kaltluftmassen um 14.30 h erreicht, von welchem Zeitpunkt an die Temperatur daselbst beständig fiel, ohne daß zugleich eine wesentliche Verminderung des Druckfalls zu konstatieren wäre. Auffallend sind zwei vorübergehende kleine Temperaturerhöhungen um 1 h nachts (14. April), die vielleicht den Eintritt in den hohen warmen Sektor der nördlichen Zyklone andeuten. — In Zürich dauerten die Niederschläge in wechselnder Stärke bis zum 17. April (18 h) fort. Sie gehören dem Niederschlagsgebiet der Rückseite der Depression an, die in der Folge über Westdeutschland Polen nahezu stationär wurde. Im Tessin dauerten die Niederschläge vom 12. April abends bis zum 14. morgens. An den folgenden Tagen blieb das Tessin wegen seiner Lage im Nordwind Schatten der Alpen gänzlich niederschlagsfrei.

7. Mai.

Zu verhältnismäßig sehr reichlichen Niederschlägen kam es am 7. Mai namentlich in der Gegend des Vierwaldstättersees, des Zugersees und des Sihltals (Kärtchen 2): Buchsteg 51 mm, Weggis 60, Zug 50, Hausen (a. Albis) 58, Schönenberg (Waldhalde) 50,

ferner im Kanton Appenzell: Urnäsch 53 mm, Herisau 52, Degersheim 53. Ferner seien erwähnt: Starkenbach 78 mm, Wimmis 54, Wasen (Emmental) 56. Im Tessin wurden gemessen: in Mosogno 68 mm, Camedo 64, Brissago 68, Crana Torricella 75, Mezzana 72.

Am Morgen des 6. Mai lag über Zentraleuropa ein sehr flaches Tief im Bereich einer alten Okklusion (Zentrum am Ostende des Kanals). Zentraleuropa lag im Bereich der maritimen Westströmung seiner Südseite. Auf den 7. erfolgte ein kräftiger Vorstoß polarer Kaltluftmassen aus Norden über die britischen Inseln. (Dasselbst kräftiger Druckanstieg.) Infolgedessen regenerierte und vertiefte sich die Zyklone und es bildete sich über Nordspanien ein Teiltief. Die Diskontinuität zwischen der kalten Polarströmung und dem jetzt mehr aus Süden fließenden Warmluftstrom ist am 7. auf der 14 h Wetterkarte ziemlich deutlich nachzuweisen. Um 8 h des 7. lag sie noch westlich, um 14 h bereits östlich von Sardinien. Im Tessin begannen die Niederschläge schon am 6. Sie gehören einem Niederschlagsgebiet an, das sich über die ganze Poebene erstreckte. Hier wurde die durch den Alpenwall und die Front der kalten Luftmassen am horizontalen Ausweichen gehinderte Warmluft zu kräftigem Aufsteigen gezwungen.

Von einer ausgeprägten Kaltfront kann aber wenigstens für die Nordseite der Alpen nicht gesprochen werden. Eine wesentliche Temperaturerniedrigung kam daselbst nur in den Höhenlagen infolge der Verdrängung der warmen Südströmung durch die am Alpenwall sich stauende Kaltluft zustande, welcher Vorgang sich anhand folgender Daten verfolgen läßt:

Am Morgen des 7. lagerte über dem Mittelland eine Hochnebeldecke, deren obere Grenze von den Bergstationen zu 1300—1500 m (über Meer) angegeben wird. Zürich notiert die Wolkenhöhe zu 800—1100 m (über Meer). Darunter herrschten schwache nordwestliche, darüber starke südliche Winde. In der Höhe war der Himmel mit Altostratus bedeckt, bzw. stark bewölkt. Um 8 h zeigen die Barogramme von Zürich sowohl wie vom Säntis und Jungfrauoch ein leichtes erstes Minimum, offenbar im wesentlichen herrührend von primären Veränderungen in der Druckverteilung. Im Laufe des Tages stieg die obere Grenze der Wolkendecke in die Höhe. Um 13½ h notiert der Pilatus (2068 m ü. M.) Nebel und Nordwind, der Säntis dagegen noch Nebelmeer bis zu 2000—2500 m Höhe und Südwind. Um 16 h tauchte auch der Säntisgipfel in die Nebeldecke ein und fortan nahm die Temperatur daselbst fortwährend ab, so daß das Tagesmittel des 8. zirka 6° tiefer liegt als das des 7. Um 18 h setzte in Zürich feiner Regen ein, der um 21 h stark zunahm. Auf dem Säntis drehte der Wind um diese Zeit nach Norden und es begann zu schneien. In Zürich hatte sich der Barometerstand seit Mittag nicht mehr geändert, hingegen fiel er auf den Höhenstationen weiter und erreichte ein zweites Minimum am 8. Mai zirka um 4 h gleichzeitig mit dem von Lugano. Um diese

Zeit hörten die Niederschläge auf der Südseite der Alpen auf, nordseits dauerten sie bis zum Abend (17 h) des 8. Die Schneegrenze senkte sich bis auf 700 m herunter.

13. und 14. Mai.

Die Niederschläge vom 13. und 14. Mai fielen hauptsächlich in den Alpen. Niederschlagsfrei blieb das Tessin. Gering waren die Niederschlagsmengen in Graubünden, ferner im waadtländischen und bernischen Mittelland. Ihre Verteilung am 13. ist in Kärtchen 3 dargestellt. Maximale Beträge wurden gemessen: am 13. in Wildhaus 72 mm, Wald 67, Braunwald 76, Klönthal 71, Sihlwald 51, Beatenberg 72, Jaun 69; am 14. in Starkenbach 59 mm, Ricken 83, Braunwald 64, Klönthal 66, Oberiberg 64, Lauterbrunnen 58, Jaun 93.

Die Niederschläge hängen mit einem Vorstoß feuchter Warmluft vom Atlantik her zusammen. Auf der 8 h-Wetterkarte des 13. läßt sich die von einer Depression südwestlich von Island ausgehende warme Front anhand des Wind- und Temperatursprungs einigermaßen verfolgen. Am 12. hatte Zürich noch einige Regenschauer bei einer mittleren Tagestemperatur von 8°, die der Rückseite einer abziehenden Störung angehören. Um 9 h des 13. erfolgte auf dem Säntis ein ziemlich plötzlicher Temperaturanstieg, zunächst von —8 auf —5° (bei Nebel). Der allgemeine primäre Druckanstieg wurde dadurch auf den Höhenstationen eben kompensiert, in Zürich dagegen wurde seit 11 h des 13. ein Druckfall registriert, der bis 6 h des 14. dauerte. Schon am Vormittag war in Zürich seit den obenerwähnten Schauern feiner Regen gefallen, kräftigere Niederschläge setzten um 15.40 h ein, auf dem Säntis fiel seit 16.30 h Schnee. Der Zeitpunkt der Ankunft der warmen Luftmassen in Zürich ist wegen des Einflusses der täglichen Erwärmung nicht scharf feststellbar. Ein neuer anhaltender Temperaturanstieg begann um 19.30 h, um welche Zeit das Anemogramm von Zürich eine Winddrehung von Süd nach Westsüdwest angibt. (Säntis hatte dagegen beständig Westsüdwest mit einer Zunahme der Windstärke um 11.30 h des 13.) Das Temperaturmaximum wurde daselbst am 14. um 17.30 h erreicht. In Zürich nahmen die Niederschläge in der Nacht auf den 15. wieder mehr Schauercharakter an. Die mittlere Tagestemperatur war auf dem Säntis von —5° am 13. auf —1,5° am 14. gestiegen.

23. Juni.

Die Niederschläge vom 23. Juni fielen bei Frontgewittern (vergl. Gewitterkärtchen, Anhang Nr. 3), welche am Nachmittag über unser Land hinwegstrichen. Größere Niederschläge fielen dabei in der Inner-schweiz (Sarnen 70 mm, Weggis 47, Morgarten 71, Euthal 55) und im Zürcher Oberland (Wald 77 mm, Bauma 62, Sternenbergr 103). Im Tessin wurde in Crana Torricella 51 mm gemessen. Mittelland, Wallis und Graubünden hatten weniger als 10 mm (zum Teil niederschlagsfrei).

11. Juli.

Die Niederschläge vom 11. Juli hängen mit Gewitterstörungen in der Rückseiteströmung einer Depression über Südkandinavien zusammen. Eine Zone stärkerer Niederschläge erstreckt sich vom obern Ende des Genfersees über die Waadtländer und Freiburger Alpen, das obere Emmental bis gegen Luzern (Rochers-de-Naye 54 mm, Jaun 49, Thun 48, Marbach 37); eine zweite umfaßt das Quellgebiet der Sihl, das Zürcher Oberland, das Toggenburg und das Appenzellerland (Vorder-Wäggital 41 mm, Ricken 59, Urnäsch 42, Schwäbrig 45, Dußnang 52).

18. Juli.

Ein besonders niederschlagsreicher Tag war der 18. Juli (vgl. Kärtchen 4). Maximale Mengen fielen: auf der Nordwestseite des westschweizerischen Jura (L'Auberson 72 mm, La Chaux-de-Fonds 66), in den Waadtländer, Freiburger und Berner Voralpen (Rochers-de-Naye 76 mm, Gsteig (bei Saanen) 66, Jaun 68, la Val-sainte 68, Schwarzenburg 65, Bern 61), im Grenzgebiet zwischen Berner Oberland und Innerschweiz (Flühli 61 mm, Lungern 64, Gadmen 62, Gotthard 61), im Einzugsgebiet der Lorze und der Sihl (Rigi-Kulm 68 mm, Morgarten 68, Sattel 65, Waldhalde 66), endlich im Zürcher Oberland, Toggenburg und im Kanton Appenzell (Wald 63 mm, Säntis 66, Lichtensteig 73). Die im Windschatten der Alpen liegenden Gebiete: die Südseite des Wallis und Graubünden, aber auch die Umgebung des Rheins zwischen Basel und Steckborn hatten geringere Niederschläge. Im Tessin erhielten die Alpentäler ausgiebige Niederschläge (Mosogno 124 mm, Sonogno 84); gering waren sie dagegen an seiner Südspitze.

Am 17. Juli lag eine flache Depression (Druckminimum zirka 743 mm) über Schottland. Die West-Ostströmung ihrer Südseite setzte sich zusammen aus einem Strom kälterer Luft polaren Ursprungs vom Atlantik her und einem wärmeren Luftstrom mehr südlichen Ursprungs, deren Diskontinuitätslinie sich ziemlich deutlich über Frankreich verfolgen läßt und kleinere Randstörungen aufweist.

Um Mitternacht auf den 18. begann das Barometer in Zürich und auf dem Säntis zu fallen. Das Fallgebiet erstreckte sich hauptsächlich über Südostdeutschland, Oesterreich und Nordostitalien. Die veränderte Druckverteilung leitete einen Vorstoß der polaren Kaltluftmassen gegen Süden und Osten ein. In Zürich hörte der Druckfall etwa um 6.30 h des 18. auf, worauf zirka um 8 h kräftige Niederschläge einsetzten. (Eine kurze Föhnphase war vorausgegangen.) Auf dem Säntis zeigte die Winddrehung von SSW nach WSW und ein Fallen der Temperatur von $+6,6^{\circ}$ um 7.30 h auf $-1,3^{\circ}$ um 13.30 h die Ankunft der kalten Luftmassen an. Die Front läßt sich auf der 8 h-Karte des 18. von einem Teiltief über den Niederlanden ausgehend, etwa über Metz, Zürich verfolgen. Die 14 h-Karte zeigt die Hochdruckzunge nördlich der Alpen, die durch die

kalte Luft aufgebaut wurde, und das primäre Minimum auf der Südseite. Ueber Süddeutschland hatte sich eine selbständige kräftige Zyklone ausgebildet, welche sich durch Warmluftzufuhr von Süden her weiter vertiefte und in der Folge über Ostdeutschland hinweg rasch nordwärts wanderte. In Zürich dauerten die Niederschläge mit wechselnder Stärke bis um 14 h des 19. Die Niederschlagspause zwischen 14.30 h und 19.30 h des 18. (nur sehr leichte Niederschläge), verbunden mit einer starken Zunahme der Windstärke, hängt mit der Verschiebung des oben erwähnten Wirbels zusammen. Im Tessin haben wir es mit Gewitterregen zu tun, verursacht durch das Einfließen der kalten Luft in die Warmluftmassen der Südseite (Mittagszeit des 18.).

23. und 24. Juli.

Am 23. Juli lag eine Depression (Druckminimum zirka 751 mm) am Osteingang des Kanals, eine zweite über dem westlichen Mittelmeer. Ueber dem Atlantischen Ozean lagerte ein Hochdruckgebiet. Auf der Vorderseite der Mittelmeerzyklone wurde feuchte Warmluft aus Südosten an die Alpenkette herangeführt. Sie erzeugte infolge Aufstauung am Alpensüdhang einen ersten Anteil der kräftigen Niederschläge im Tessin (vgl. Kärtchen 5). Es wurden gemessen in Locarno 160 mm, Cevio 104, Sonogno 164, Faido 96, Comprovasco 104. Im Tessin und im oberen Engadin begann der Regen um die Mittagszeit des 23. Auf der Alpennordseite herrschte zunächst Föhnwetter. In Zürich war der Himmel bis auf ein kleines Föhnsegment bedeckt. Hier setzten die Niederschläge um 19 h ein, eine Folge der Ankunft des Randes der Kaltluftmassen der Rückseite der Kanaldepression, ebenso im Glarnerland, in den Tälern des Hinter- und Vorderrheins, wo die Niederschläge als Platzregen mit Gewittern fielen und außergewöhnliche Beträge erreichten: Splügen (Dorf) 78 mm, Inner-Ferrera 82, Platta 54, Auen (Linthal) 52, Klönthal 59, Obstalden 60. Sonst zeigt die Nordseite der Alpen, besonders in der Föhnzone, nur mäßige Niederschlagsmengen. Bedeutender sind dieselben dagegen in der Umgebung von Genf und im westschweizerischen Jura (meist über 40 mm): Cernier 49 mm, Longirod 48, Céligny 55, Veyrier 49.

In der Folge bewegte sich die Mittelmeerdepression ziemlich rasch nach Osten und gab dadurch Veranlassung zum Uebertritt der Kaltluftmassen auf die Südseite der Alpen. Ihr Einbruch löste im Tessin am Abend des 23. und in der Nacht auf den 24. heftige Gewitter aus, verbunden mit Platzregen, die die Hauptmenge der Niederschläge im Tessin verursachten. Um 8.30 h des 24. erfolgte in Verbindung mit einem neuen Gewitter ein Umspringen des Windes von SSE nach N (Nordföhn). Der Druck fing zu steigen an (Passage der Teilzyklone). Der Nordwind hielt den ganzen Tag an; die Niederschläge hörten im Laufe des Nachmittags auf. Doch blieb der Himmel bis in die Nacht hinein bedeckt.

Die Niederschlagsmengen des 24. waren in der ganzen Schweiz geringer als diejenigen des 23. Auf der Alpennordseite waren sie gleichmäßiger verteilt; 20 mm wurden sowohl in der Westschweiz wie in den nordostschweizerischen Alpen nur auf wenigen Stationen überschritten: Rochers-de-Naye 33 mm, Wald 48, Säntis 58, Urnäsch 46; im Bündnerland betrug sie meist 20 bis 30 mm (Inner-Ferrera 47 mm, Stalla 36). Im Tessin erscheinen bevorzugt: das Centovalli (Camedo 60 mm, Mosogno 62), das Maggiatal (Cevio 81 mm, Sonogno 88), und die Südspitze (Mezzana 40 mm, Mte. Generoso 51).

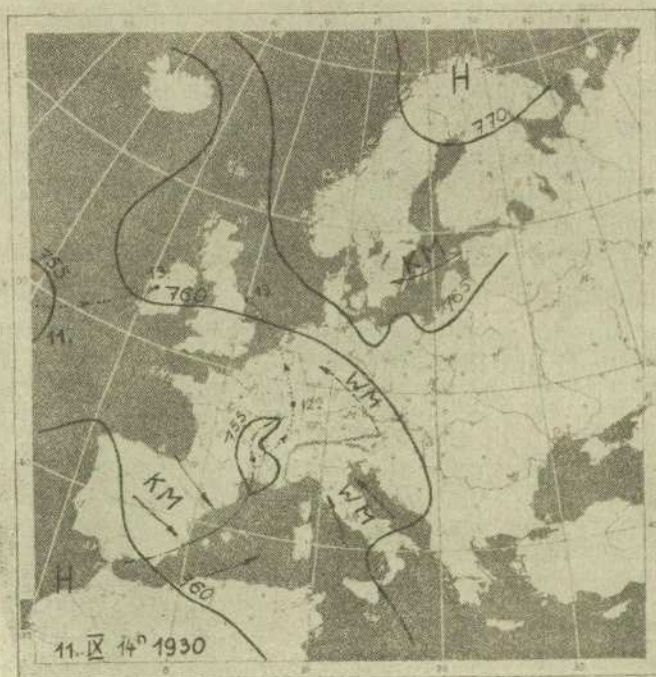
15. August.

Ueber 30 mm fielen an diesem Tag in den inner- und nordostschweizerischen Alpen (Titlis, Tödi, Glärnisch, Churfürsten und Alpsteingebirge). Maximale Mengen hatten: Bisisthal 41 mm, Auen (Linthal) 45, Obstalden 45, Wallenstadt 42, Starckenbach 53, Säntis 42. Prättigau, Berner Oberland, Jura und Oberrargau hatten 20–30 mm, Tessin, Oberengadin, Wallis, das westschweizerische und das bernische Mittelland, sowie die Umgebung des Rheins zwischen Basel und Schaffhausen weniger als 10 mm Niederschlag.

Es handelt sich um Regenschauer in einer unstablen Strömung, welche am 15. in der Richtung von WNW nach ESE, am 16. mehr von NW nach SE gegen die Alpen floß. Das Zentrum des zugehörigen Tiefs 740 mm lag östlich von Dänemark.

11. September.

An diesem Tag erhielt, wie Kärtchen 6 zeigt, nur die Süd- und die Westschweiz namhafte Niederschlagsmengen. Im Tessin erscheint wieder der Südwesten bevorzugt: Camedo 130 mm, Brissago 114, Ponte Tresa 96. Auch das Oberwallis hatte über 30 mm: Fiesch 40 mm, Binn 56.



Die Nachmittagskarte (14 h, vgl. Fig.) zeigt ein Tief über Südostfrankreich, welches zunächst warme Südluft (WM) gegen die Alpen lenkte. Später brachen kältere Luftmassen (KM) atlantischen Ursprungs in die Poebene ein und führten zu den kräftigen Niederschlägen im Tessin und Wallis in der Nacht auf den 12. Die Nordost- und Nordwestschweiz erhielt nicht nur am 11., sondern auch am 12. und 13. nur sehr wenig Niederschlag, was darauf zurückzuführen ist, daß sich die Depression nicht weiter ostwärts, sondern infolge Warmluftzufuhr aus Südosten (gestrichelter Pfeil WM am 12.) in nördlicher Richtung, ja sogar rückläufig bewegte. Darum konnte es in der Nordschweiz auch nicht zu einer ausgeprägten Rückseitesituation kommen. Die punktierte Linie gibt die ungefähre Bahn des Depressionszentrums an. Seine Position am Nachmittag 14 h des 12. und 13. September ist mit 12 bzw. 13 bezeichnet. Altdorf notierte am 12. 14 h noch Föhn.

25. September.

Die Niederschläge vom 25. September verteilen sich wie folgt (Kärtchen 7): Eine erste Maximalzone zieht sich vom Thunersee über das Gebiet des Vierwaldstättersees und das Quellgebiet der Sihl bis zu den Säntisvorbergen. 40 mm wurden überschritten in Sattel 54 mm, Euthal 46. Eine zweite Maximalzone finden wir im Gebiet zwischen Vorder- und Hinterrhein (Vals 58 mm, Safien-Platz 58, Reichenau 49) und eine dritte im Quellgebiet der Maggia (Cevio 50 mm, Sonogno 57). Geringe Beträge (weniger als 10 mm) zeigt das ganze Mittelland und der Jura, das Wallis, das südliche Tessin und das Engadin. Die Wetterkarte zeigt am 25. um 8 h eine Depression über der nördlichen Nordsee, ein Hochdruckgebiet über dem Atlantik. Am 23. hatte sich noch eine Hochdruckbrücke quer durch Zentraleuropa erstreckt, die infolge des südöstlichen Vordringens der Nordseezyklone nunmehr im Abbau begriffen war. Der warme Sektor der Zyklone war an den Vortagen deutlich ausgeprägt. Später verwischten sich die Spuren der beiden Fronten, doch ist eine Störungslinie der Depression, die am 25. über unser Land hinwegzog, noch als ehemalige Kaltfront identifizierbar. Die Niederschläge des Mittellandes rühren von Regenschauern her, die im Laufe des Tages gefallen waren. Die großen Niederschlagsmengen in den Alpen dagegen fielen in der Nacht auf den 26. Die bündnerischen Stationen verzeichneten den Beginn des Regens (zeitweise Gußregen) um 18.30 h. Bernhardin meldet zwischen 17.30–18.30 h ein Gewitter. Im Tessin ist der Gewittercharakter noch ausgeprägter. Comprovasco meldet zwei Gewitter um 17 h und 23 h. (Locarno hatte um 21 h noch keine Niederschläge.)

Eine Druckstufe ist in den Barogrammen von Zürich und Säntis nicht festzustellen. Säntis verzeichnet einen ziemlich stetigen Druckfall von 1,1 mm pro Stunde, Zürich ebenfalls einen Druckfall von allerdings nur

0,4 mm pro Stunde. Doch ist das Tagesmittel der Temperatur auf dem Säntis am 26. um zirka 3° tiefer als am 25.

29. September.

Der 29. September brachte (vgl. Kärtchen 8) dem Tessin und dem Quellgebiet des Rheins kräftige Gewitterregen: Mosogno 124 mm, Cevio 142, Sonogno 122, Biasca 142, ferner Allkirch 57 mm, Sedrun 45, Platta 54, Ilanz 44, Hinterrhein 52, Flims 51, Elm 43. Auch die Umgebung Genfs erhielt mehr als 30 mm Niederschlag (Althenaz 43 mm).

Die Morgenwetterkarte dieses Tages läßt eine flache Depression erkennen, deren Zentrum über dem Golfe du Lion liegt.

5. Oktober.

Die Niederschlagsmengen dieses Tages überschritten den Betrag von 30 mm im Jura, im Quellgebiet der Simme und der Saane, im Berner Oberland, ferner im Quellgebiet der Sihl, im Kanton Glarus und im oberen Toggenburg. Auf einzelnen Stationen erreichten sie besonders hohe Beträge, so in Cernier 56 mm, Evillard 62, Weissenstein 99, Solothurn 58, Balsthal 60, Diablerets 61, Gsteig 52, Adelboden 44. Im Tessin und im Engadin blieben sie gering. Die Niederschläge stehen im Zusammenhang mit einer Okklusion (ausgehend von einem kräftigen Tief über Südschweden), welche Zürich am 6. Oktober um 4 h passierte.

9. Oktober.

Am 9. Oktober erhielt die Alpennordseite sehr beträchtliche Niederschlagsmengen (vgl. Kärtchen 9), besonders die westschweizerischen und bernischen Voralpen und das Quellgebiet der Sihl. Wir erwähnen: Rochers-de-Naye 70 mm, Diablerets 70, Gsteig 72, Château-d'Oex 68, la Valsainte 67, Wimmis 62, Marbach 62, Flüfli 62, Buchsteg 67, Morgarten 62, Schönenberg 60. Die Niederschläge sind die Folge des durch den Alpenwall erzwungenen raschen Aufsteigens warmer Luft vor nachdrängenden polaren Kaltluftmassen. Die Morgenwetterkarte vom 9. Oktober zeigt eine tiefe Depression (Druckmin. zirka 725 mm) über Schweden. Die Kaltfront läßt sich über Warschau, Olmütz, Passau bis zu den Alpen deutlich verfolgen. Dem Einbruch ging eine Wärmewelle voraus. Die Temperatur hielt sich in Zürich vom 8. 16 h an durch die Nacht hindurch beständig auf ungefähr 16°, um dann am 9. 10 h plötzlich zu fallen. Das Druckminimum wurde in Zürich um 6 h erreicht. Die Niederschläge begannen um 11.50 h und dauerten ohne Unterbruch den ganzen Tag und die ganze folgende Nacht bis zum 10. Oktober vormittags 10 h. Die vorausgehende Warmfront ist nicht deutlich feststellbar; ihre Passage in Zürich werden wir in die Nachmittagsstunden des 8. zu verlegen haben. Sie brachte der Schweiz nur geringe Niederschläge, dagegen darf ein kräftiges Niederschlagsgebiet, das auf der 19 h-Karte des 8. östlich des 10. Längengrades zu sehen

ist, als Aufgleitregengebiet der Warmfront angesehen werden. Der Säntis war von den Warmluftmassen bereits um Mitternacht auf den 8. Oktober erreicht worden. Der Kaltlufteinbruch erzeugte in der Folge die bekannte Hochdruckzunge auf der Alpennordseite.

16. November.

Am 16. November erhielten wiederum die Voralpen der Nordseite am meisten Niederschlag. 40 mm wurden überschritten: im Quellgebiet der Sense (Jaun 68 mm), im obern Emmental und Entlebuch (Marbach 60 mm, Flüfli 60), am Vierwaldstättersee (Küßnacht 48 mm, Rigi-Kulm 68), ferner im Quellgebiet der Lorze (Morgarten 67) und der Sihl (Einsiedeln 63), sowie im obern Toggenburg und im Appenzellerland (Ebnat 51 mm, Urnäsch 61, Schwäbrig 54. Niederschlagsfrei blieb das Tessin. (Vgl. Kärtchen 10.)

Diese Niederschläge hängen mit einer Störungslinie eines skandinavischen Tiefs zusammen, welche an den vorausgehenden Tagen noch deutlich als Kaltfront zu erkennen gewesen war.

28. und 29. November.

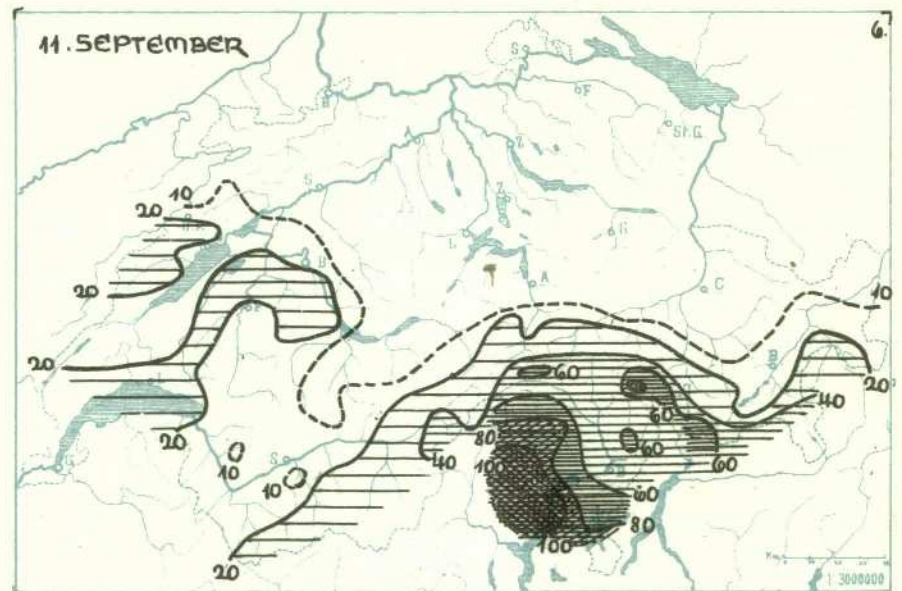
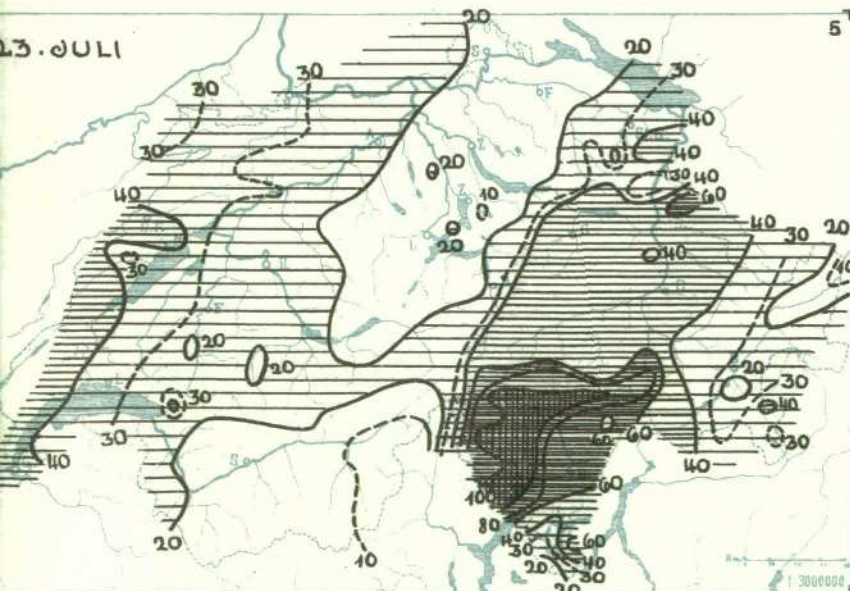
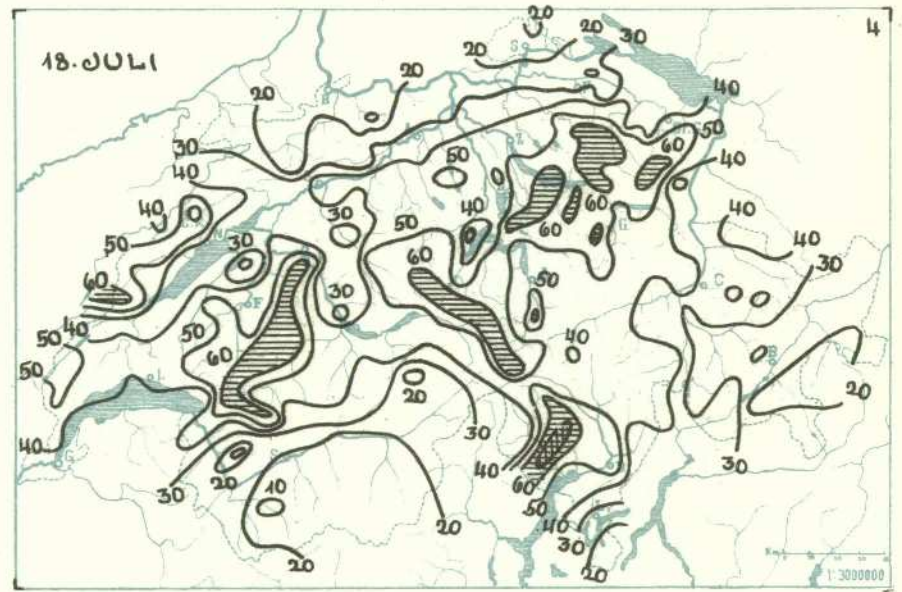
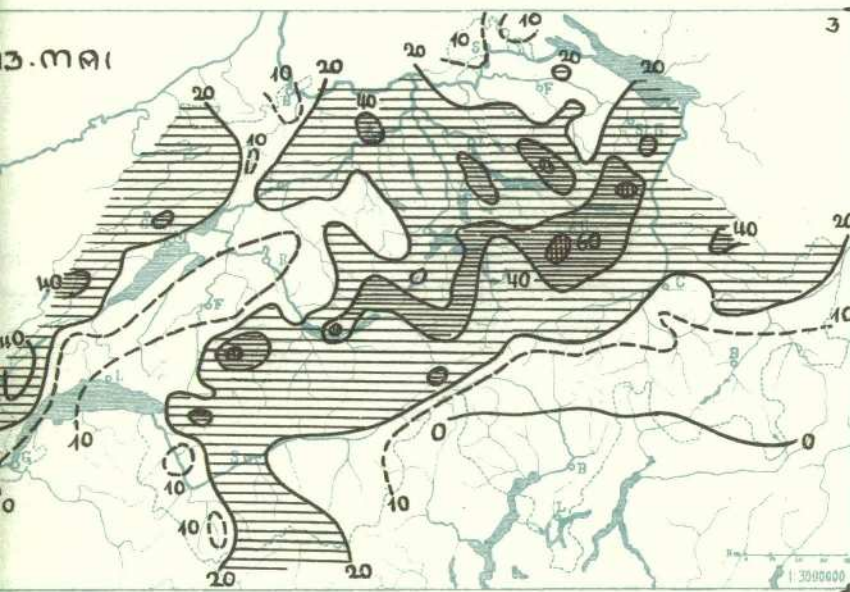
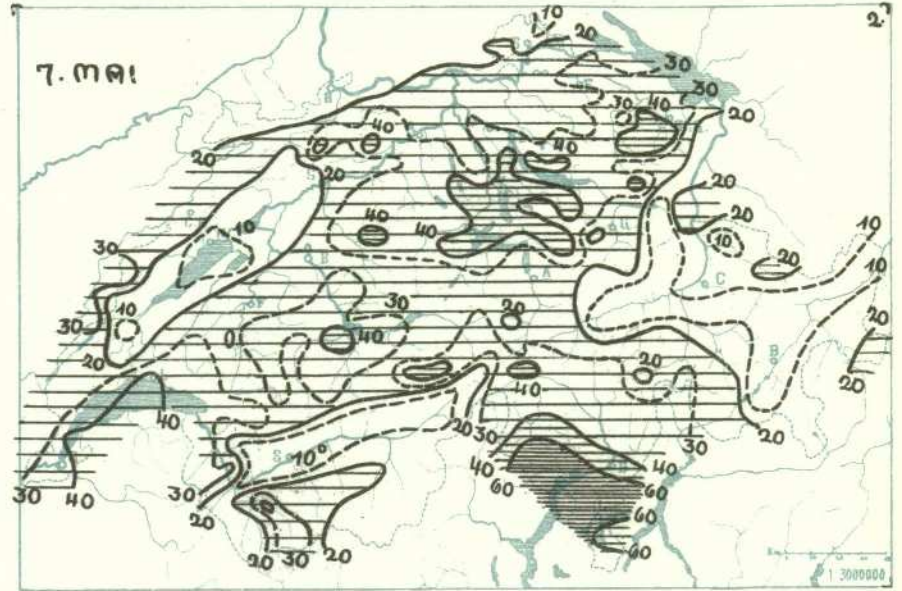
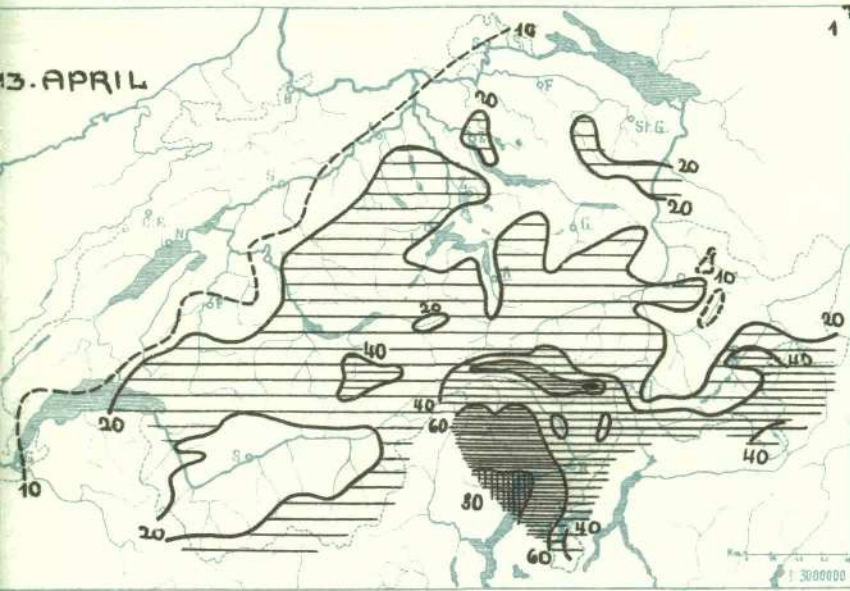
Der 28. November (vgl. Kärtchen 11) ist ausgezeichnet durch eine auffallend kräftige Ueberregnung des Oberwallis, insbesondere seiner südlichen Talseite (Saas-Fee 91 mm, Binn 104, Fiesch 100), des oberen Reußtals (Allkirch 45 mm) und der westlichen Teile des Tessins (Cevio 75 mm, Mosogno 117). Diese Niederschläge fielen in den Nachmittagsstunden.

Der 29. (vgl. Kärtchen 12) brachte dann dem Tessin noch ausgiebigere Niederschlagsmengen (Camedo 214 mm, Mosogno 215, Sonogno 152), aber auch im Quellgebiet der Rhone (Oberwald 57 mm), der Aare (Guttannen 63 mm), der Reuß (Göschenen 92 mm) und des Rheins (Platta 92 mm, Bernhardin 105, Hinterrhein 76) wurden noch sehr bedeutende Beträge gemessen.

Die allgemeinen meteorologischen Verhältnisse waren recht eigenartige. Es lag eine ausgesprochene Föhn-situation vor, verursacht durch ein Zyklonensystem (Druckminimum zirka 747 mm) über Frankreich und Spanien. Während einer Föhnlage herrscht im Tessin am Boden in der Regel Windstille, die Südströmung wird erst in der Höhe angetroffen. Dies war auch diesmal bis zu dem Moment der Fall, wo die Depression sich aufzufüllen begann. Dies geschah im Laufe des 29., so daß sich am 30. über Zentraleuropa bereits wieder ein Hoch aufgebaut hatte (Zentrum von zirka 770 mm über der Schweiz). Am Morgen des 29. notierten die Tessinerstationen kräftige südliche Winde und auffallend hohe Temperaturen (Lugano: ESE 4 Beaufort Tagesmittel der Temperatur am 28. 9,2°, am 29. 14,3°). Die Südströmung hatte somit den Boden erreicht und die starken Niederschläge, die in Lugano um 11.30 h begannen, erklären sich durch das rasche Aufsteigen der Luft an der Südabdachung der Alpen.

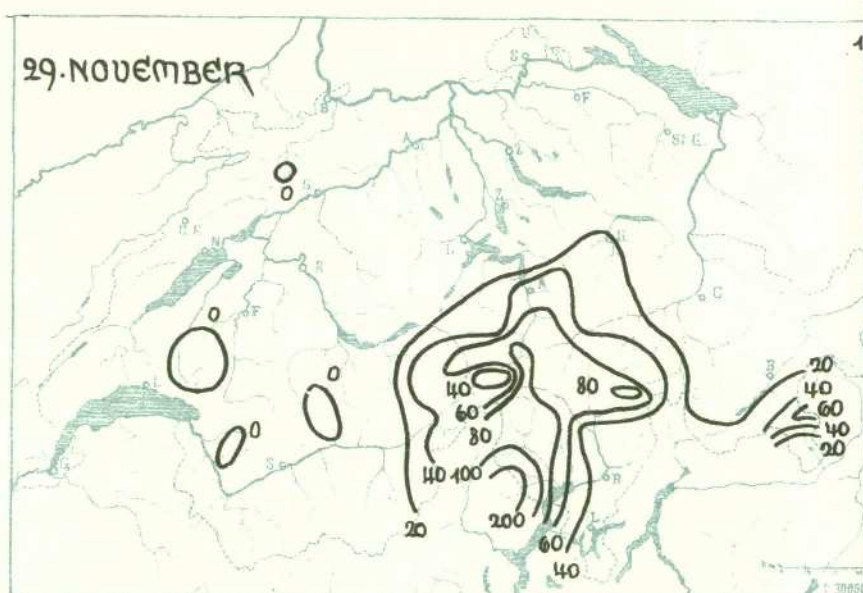
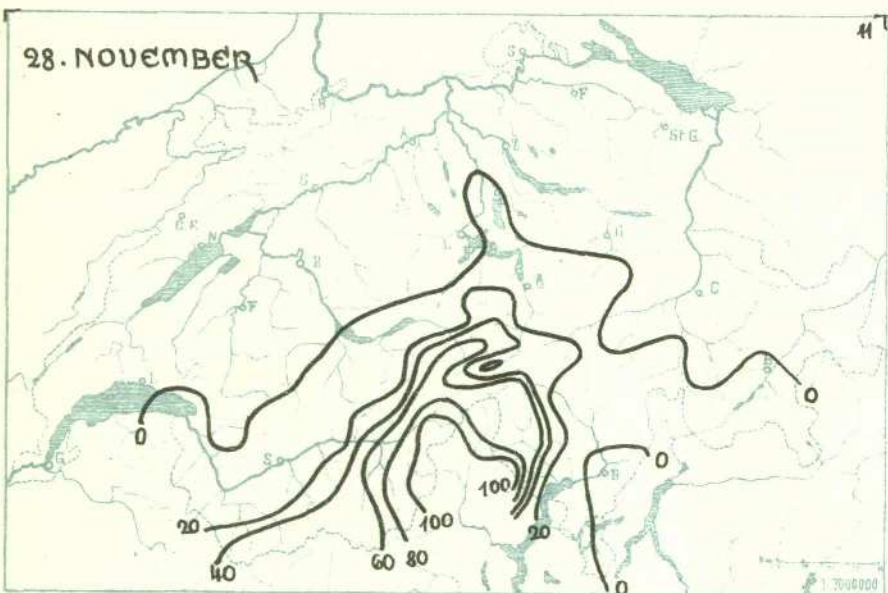
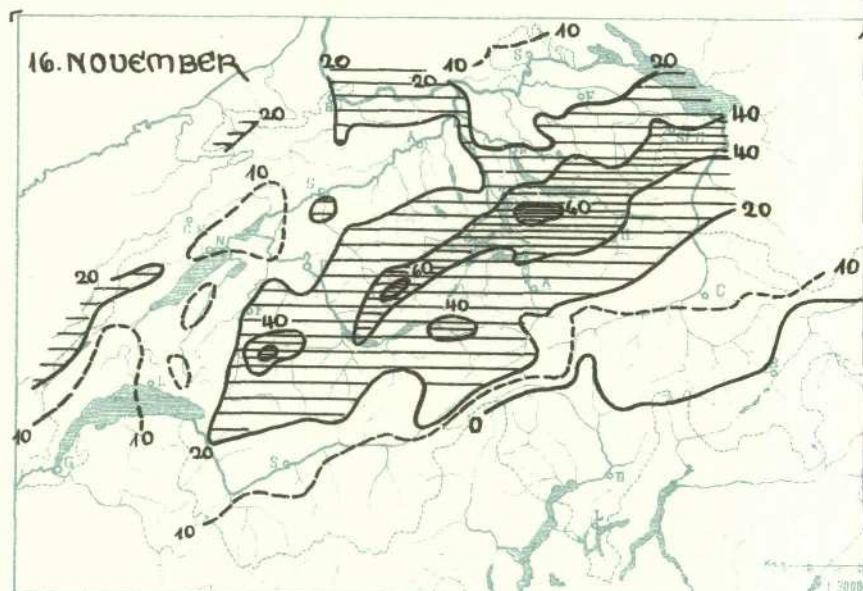
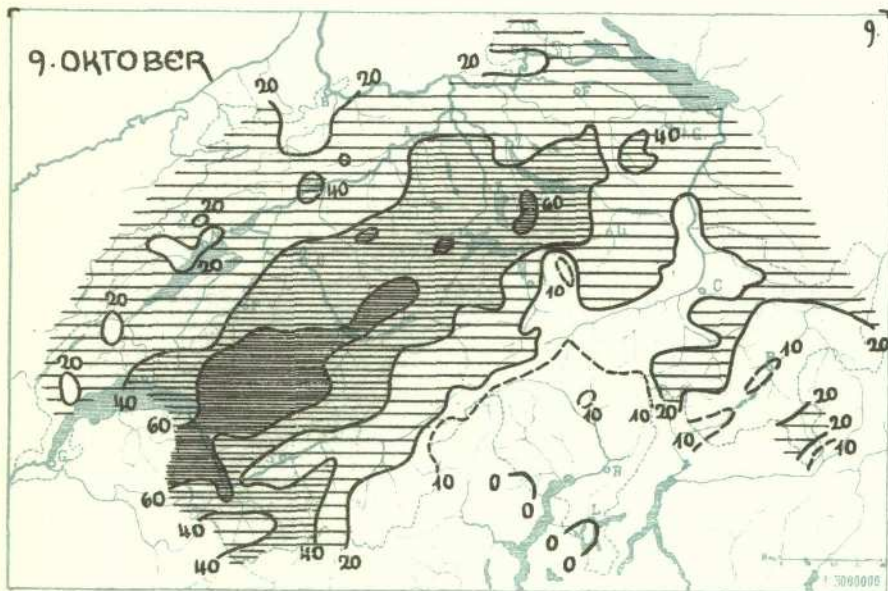
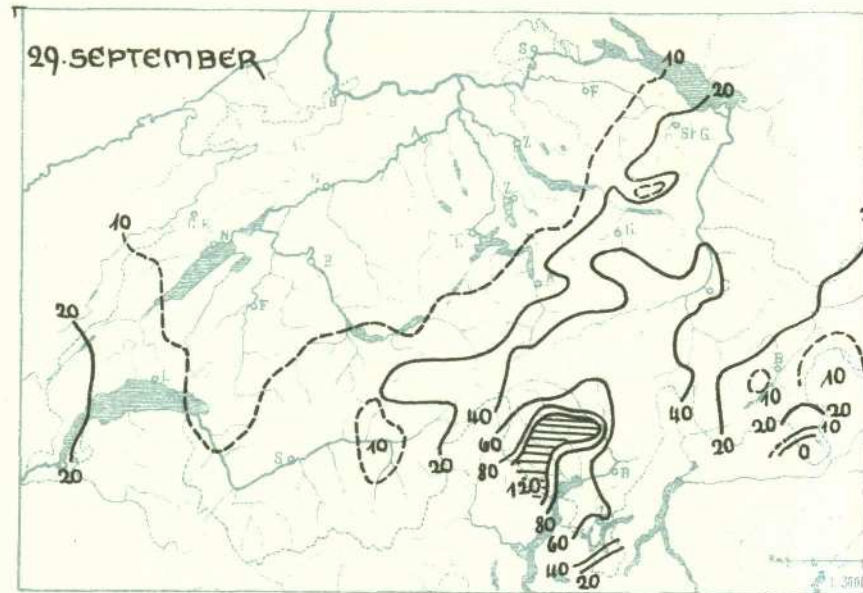
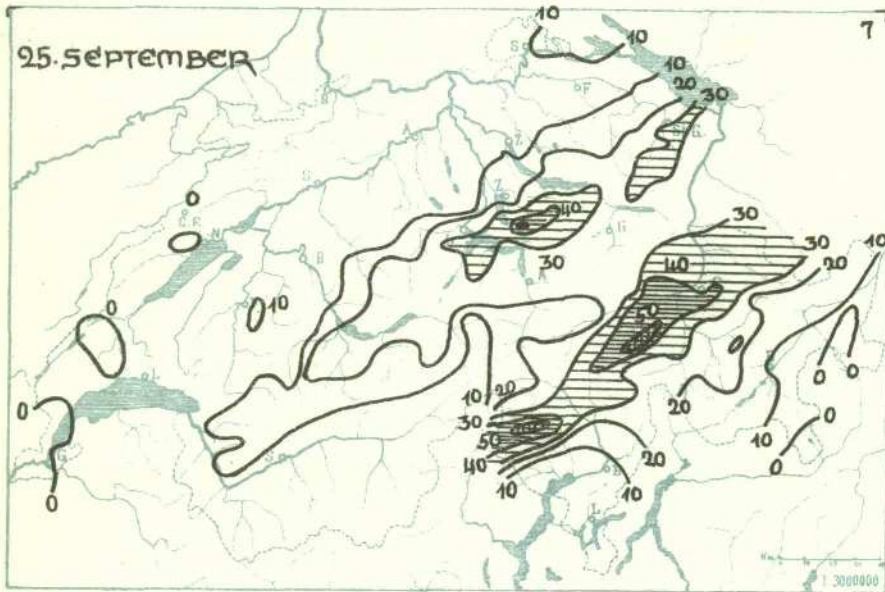
Einzelne bemerkenswerte Niederschläge 1930

Tafel I.



Einzelne bemerkenswerte Niederschläge 1930

Tafel II.



Mitteilungen der Hydrologischen Abteilung

der

Schweizerischen Meteorologischen Zentralanstalt

1930

Die augenblicklichen wirtschaftlichen Verhältnisse zwingen auch die Hydrologische Abteilung der M. Z. A., ihre Druckerarbeiten so weit wie möglich einzuschränken und ausführlichere Berichte bis auf weiteres zurückzustellen, sofern für solche nicht in anderen Organen Gelegenheit zur Veröffentlichung geboten wird.

Im folgenden werden die Ergebnisse 1929/30 der Niederschlagssammler unseres Gebietes zusammengestellt, wie die Kontinuität der seit langem veröffentlichten Beobachtungen bestimmter Stationen dies erfordert.

Ergebnisse der im Alpengebiet aufgestellten Niederschlagssammler für das hydrologische Jahr 1929/30.

A. Die direkten Ergebnisse.

Die nachfolgenden nach Gebirgsgruppen geordneten Tabellen geben über die direkten Ergebnisse des Berichtsjahres Auskunft.

Station	m ü. M.	1929-1930	cm
Suchetgebiet (Jura)			
Mathoulaz	1137	7. Nov. bis 30. Sept.	162
Suchet (Chalet)	1465	1. Okt. bis 30. Sept.	209
Suchet (Sagne)	1535	7. Nov. bis 30. Sept.	82
Diableretsgebiet			
Becca d'Audon	2870	2. Okt. bis 25. Sept.	183
Dent du Midigebiet			
Châtelard (Wasserschloss)	1850	30. Sept. bis 1. Okt.	238
Plateau Emosson	1800	18. Sept. bis 1. Okt.	212
Tanneverge	2501	25. Sept. bis 2. Okt.	422
Mont Blancgebiet			
Col d'Orny	3150	29. Sept. bis 19. Okt.	288
Monte Rosagebiet			
Saastal			
Mattmark	2117	2. Sept. bis 26. Aug.	87
Weisstal	2270	2. Sept. bis 26. Aug.	110
Galmenhorn	2850	3. Sept. bis 25. Aug.	109
Ofentalpass	2800	3. Sept. bis 25. Aug.	225
Seewinenberg	3025	9. Sept. bis 28. Aug.	284
Allalingletscher	3360	5. Sept. bis 29. Aug.	165
Schwarzenberg-Weisstor	3570	6. Sept. bis 3. Sept.	282
Nikolaital			
Gomergrat	3100	11. Sept. bis 3. Sept.	114
Furgghorn	3390	12. Sept. bis 4. Sept.	302
Jungfraugebiet			
Jungfrauoch	3480	25. Sept. bis 4. Okt.	249
Mönchsgrat	3810	4. Okt. bis 15. Okt.	393
Trugberg	3530	27. Sept. bis 17. Okt.	190
Kranzberg	3180	15. Okt. bis 16. Okt.	415
Konkordia	2890	4. Okt. bis 18. Okt.	230

Station	m ü. M.	1929-1930	cm
Grimselgebiet			
Grimsel-Hospiz	1900	6. Sept. bis 11. Sept.	196
Abschwung	2900	4. Sept. bis 7. Sept.	184
Oberaarjoch	3310	5. Sept. bis 17. Okt.	244
Rhonegletschergebiet			
Kl. Siedelhorn	2430	6. Sept. bis 30. Aug.	192
Gletsch	1770	17. Sept. bis 9. Sept.	260
Scheidfluh	2800	19. Sept. bis 10. Sept.	160
Titlisgebiet			
Trübsee-Jochpass	1800	14. Okt. bis 7. Okt.	233
Gotthardgebiet			
Fibbia	2740	15. Sept. bis 17. Dez.	212
Lago Ritom	1960	14. Sept. bis 18. Dez.	194
Adulagebiet			
Scopi	2850	13. Sept. bis 15. Nov.	219
Rheinwaldfurn (Gemskanzeln)	2916	28. Sept. bis 2. Sept.	139
Rhätisches Alpengebiet			
Piz Scalotta	2970	30. Sept. bis 27. Aug.	228
Julier-Hospiz	2310	29. Sept. bis 1. Okt.	106
Albula-Hospiz	2315	10. Sept. bis 21. Okt.	90
Cluozza (Blockhaus)	1910	1. Sept. bis 1. Okt.	86
Silvrettagbiet			
Silvrettahütte	2370	25. Sept. bis 26. Sept.	135
Eckhorn	3150	25. Sept. bis 26. Sept.	112
Tödigebiet			
Klaridenfirn	2710	14. Sept. bis 26. Sept.	345
Säntisgebiet			
Säntis	2504	1. Sept. bis 30. Aug.	375
Gebiet des Hohen Randen (Jura)			
Auf dem Hagen	913	30. Sept. bis 28. Sept.	96

B. Die reduzierten Ergebnisse.

Die Reduktion auf den mittleren Zeitpunkt des Beginnes des hydrologischen Jahres ergibt die den nachfolgenden Tabellen einverleibten Werte:

Periode: 1. Oktober 1929 bis 30. September 1930.

Station	m ü. M.	cm
Suchetgebiet (Jura)		
Montcherand	565	103
Baulmes	634	152
L'Auberson	1128	173
Mathoulaz	1137	175
Suchet (Chalet)	1465	209
Suchet (Sagne)	1695	89
Vallorbe-Reposoir	930	181
Le Sentier	1024	185
Diableretsgebiet		
Sion	540	62
Diablerets-Village	1168	149
Becca d'Audon	2870	192
Dailly	1253	140
Dent du Midigebiet		
Martigny-Ville	480	81
Marécottes	1090	137
Châtelard-Village	1123	128
Châtelard (Wasserschloss)	1822	197
Châtelard (Wasserschloss)	1850	238
Plateau Emosson	1800	208
Tanneverge	2501	422
Mont Blancgebiet		
Orsières	890	75
Col d'Orny	3150	266
Bourg-St. Pierre	1633	91
St. Bernhard (Ombrometer mit Windschutz)	2475	225

Periode: 1. September 1929 bis 31. August 1930.

Station	m ü. M.	cm
Monte Rosagebiet		
Saastal		
Visp	655	47
Saas-Fee	1800	72
Mattmark	2117	87
Weisstal	2270	111
Galmenhorn	2850	109
Ofentalpass	2800	226
Seewinenberg	3025	285
Allalingsletscher	3360	166
Schwarzenberg-Weisster	3570	283
Nikolaital		
Grächen	1629	59
Zermatt	1613	71
Cornergrat	3100	115
Furgghorn	3980	304

Periode: 1. Oktober 1929 bis 30. September 1930.

Station	m ü. M.	cm
Jungfraugebiet		
Interlaken	592	133
Lauterbrunnen	810	132
Grindelwald	1050	138
Eigerletscher	2323	213
Jungfrauoch	3480	250
Mönchsgrat	3810	379
Trugberg	3530	183
Kranzberg	3180	407
Konkordia	2890	224
Fiesch	1080	85
Binn	1450	79

Periode: 1. Oktober 1929 bis 30. September 1930.

Station	m ü. M.	cm
Grimselgebiet		
Guttannen	1055	157
Grimsel-Hospiz	1900	212
Abschwung	2900	201
Oberaarjoch	3810	233
Eigerletscher	2323	213
Grindelwald	1050	138
Rhonegletschergebiet		
Fiesch	1080	85
Kl. Siedelhorn	2430	208
Gletsch	1770	277
Scheidfluh	2800	176
Furka (Galenhütten)	2406	153
St. Gotthard	2103	254
Titlisgebiet		
Engelberg	1018	157
Trübsee-Jochpass	1800	232
Gadmen	1207	183
Gotthardgebiet		
Andermatt	1446	124
St. Gotthard	2103	254
Fibbia	2740	174
Lago Ritom	1960	159
Airolo	1143	169
Adulagebiet		
Platta (Medels)	1378	125
Scopi	2850	205
Olivone	893	162
Rheinwaldfirn (Gemskanzel)	2918	166
Bernhardinpass	2073	301
Hinterrhein	1624	167
Rhätisches Alpengebiet		
Avers-Cresta	1949	102
Piz Scalotta	2970	252
Stalla-Bivio	1780	113
Julier-Hospiz	2310	106
Albula-Hospiz (Nipher Schutztrichter)	2315	78
Albula-Hospiz	2315	84
Bevers	1713	90
Cluozza (Blockhaus)	1910	83
Buffalora	1977	105
Silvrettagebiet		
St. Antonien	1460	138
Klosters	1207	135
Silvrettahütte	2370	188
Eckhorn	3150	115
Süs	1440	68
Tödiagebiet		
Auen-Linthal	821	163
Braunwald (Linthal)	1190	187
Klaridenfirn	2710	347
Panix	1300	109
St. Gotthard (Nachbarstation)	2103	254
Säntisgebiet		
Wildhaus	1115	163
Urnäsch	887	205
Säntis (gewöhnl. Ombrometer)	2500	329
Säntis	2504	398
Starkenbach	894	243
Rigi-Kulm (Nachbarstation)	1787	241
Gebiet des Hohen Randen (Jura)		
Schaffhausen	448	101
Schleitheim	477	95
Merishausen	535	101
Lohn	633	96
Auf dem Hagen	918	96

Nr. 3.

Gewitterbeobachtungen im Jahre 1930.

(Mit 4 Tafeln.)

Die Gewitterbeobachtungen wurden in gewohnter Weise fortgesetzt und vom unterzeichneten Bearbeiter zusammengestellt. Das nachstehende Verzeichnis gibt die Namen derjenigen Beobachter, welche sich durch Einsendung einer erheblichen Zahl von entsprechend ausgefüllten Rapportkarten, event. auch von schriftlichen Mitteilungen, oder wenigstens durch Eintragung einer größeren Anzahl, mit genauen Zeitangaben versehener Notizen in den Monatstabellen dienstbar gemacht haben.

1. Kanton Aargau.

Aarau — H. Amsler, Werkführer.
Böttstein — H. Erne, Lehrer.
Kirchleerau — H. Buxtorf.
Kölliken — R. Häny, Lehrer.
Möhlly — H. Flury, Pfarrer.
Rheinfelden — Frl. A. Hoffmann.
Unterkuhn — W. Wild.
Zofingen — E. Ott, Postbeamter.
Zurzach — J. Eichenberger, Lehrer.

2. Kanton Appenzell.

Appenzell — O. Broger.
Heiden — G. Landolf, Lehrer.
Säntis — P. Steier, Wetterwart.
Teufen — J. Tanner, Lehrer.

3. Kanton Basel.

Augst — E. Halter, Aufseher.
Binningen — Observatorium Margrethen.
Bennwil — J. Senn.
Kilchberg — Frau Rnuss-Lüthi.
Lampenberg — Emil Vögelin.
Langenbruck — T. Bider, Sigrist.
Liestal — H. Pfaff, Aufseher.
Pfaffingen — M. Tschudy, Lehrer.
Reigoldswil — K. Plattner, Sigrist.
Riehen — Dr. W. Strub.
Therwil — A. Stehlin, Bezirkslehrer.

4. Kanton Bern.

Beatenberg — Franz Rupp, Pfarrer.
Bellelay — C. Winkelmann, Portier.
Bern — Tellur. Observatorium.
Delémont — M^{me} H. Gobat, insp. scol.
La Ferrière — J. L. Herzog, pasteur.
Guttannen — H. Huber.
Herzogenbuchsee — J. Kaufmann, Lehrer.
Mervelier — M^{me} V. Fleury.
Uttigen — W. Kohler.
Wasen — J. Wiedmer, Sekundarlehrer.

5. Kanton Freiburg.

Freiburg — Frau Prof. Dr. Gockel.
La Valsainte — J. Curty.

6. Kanton St. Gallen.

Altstätten — B. Heldstab, Lehrer.
St. Gallen — J. G. Kessler, Bankbeamter.
Hof-Oberkirch — Hermann Schilling.
Sargans — J. Albrecht.

7. Kanton Gené.

Gené — Observatorium.

8. Kanton Glarus.

Elm — W. Zentner, Stationsvorstand.
Glarus — J. Gehring, Waisenvater.

9. Kanton Graubünden.

Bernhardin — E. Albertini.
Bevers — G. Krättli.
Braggio — C. Berera, Förster.
St^a Maria — H. Rothenberger.
Platta-Medels — G. Riedi, Pfarrer.
Seewis — Frl. D. Fopp.

10. Kanton Luzern.

Aesch — Frau Prof. Ackermann-Lang.
Luthern — J. Suppiger.
Luzern — Kap.-Kloster Wesemlin.
St. Urban — J. Schwyzer, Portier.
Weggis — Wwe. Rosa Zimmermann.
Werthenstein — Ineichen.

11. Kanton Neuenburg.

La Brévine — M^{me} J. Matthey, part.
La Chaux-de-Fonds — Pythoud-Jacot.
Neuchâtel — Observatorium.
Les Ponts — A. Erb, horloger.

12. Kanton Schaffhausen.

Lohn — Willy Kobe, Pfarrer.
Schaffhausen — G. Meyer, Lehrer.
Schleitheim — G. Neck, Reallehrer.
Stein a. Rh. — H. Winzeler, Sek.-Lehrer.
Unter-Hallau — H. Huber, Lehrer.
Wilchingen — E. Hablützel, Lehrer.

13. Kanton Schwyz.

Rickenbach — Prof. O. Flüeler, Sem.-Lehrer.

14. Kanton Solothurn.

Allerheiligenberg — Th. Jaeggi.
Olten — Paul Meier.
Solothurn — G. Siebenmann, Kreisförster.

15. Kanton Tessin.

Bellinzona — A. Lienhard, Postbeamter.
M^{te} Brè — A. Rezzonico, Direktor.
Crana-Toricella — P. Petrochi, guardiano.
St. Gotthard — Frl. Lombardi.
Locarno — G. Mariani, Professor.
Lugano — G. Malatesta, Professor.

16. Kanton Thurgau.

Aadorf — F. Eisenring, Lehrer.
Bischofszell — H. Fischer, Sek.-Lehrer.
Diessenhofen — Jakob Indlekofer.
Frauenfeld — Dr. S. Dannacher, Professor.
Kreuzlingen — J. Brauchli, Sem.-Lehrer.
Steckborn — Paul Hartmann.

17. Kanton Unterwalden.

Engelberg — N. Kaeser, Pater.
Sarnen — P. Ch. Durrer, Professor.
Stans — M. Kaiser, Oberförster.

18. Kanton Uri.

Altdorf — Frl. H. Nager, M. Oechslu, Ob'förster.
Amsteg — Kraftwerk
Andermatt — Fortverwaltung.
Isental — Ferdinand Aschwanden.

19. Kanton Waadt.

Baulmes — A. Grin.
Clarens-Montreux — M. Thétaz.
Lansanne — D. Valet, concierge.
Leysin — R. Matile.
Montcherand — M. Moreillon, insp. forest.
Payerne — P. Baume.

20. Kanton Wallis.

Châtelard — Usine de Barberine
Sierre — Hôpital d'Arrondissement.
Sion — Couvent des capucins.
Visp — W. Buriel, pharmacien.

21. Kanton Zürich.

Hinwil — Alb. Honegger.
Hochfelden — Forster Ganz Co.
Horgen — E. Gattiker.
Mettmenstetten — Hess, Lehrer.
Opfikon — H. Schlittler, Lehrer.
Rheinau — Pflegeanstalt.
Uster — H. Weber-Schellenberg, Fabrikant.
Wil (Rafz) — R. Angst, Friedensrichter.
Winterthur — A. Fritsch, Forstadjunkt.
Zollikon — J. Fausch, Verwalter.
Zürich — Meteorolog. Zentralanstalt.

22. Kanton Zug.

Walchwil — Otto Heusler.

Februar	4.	1	Mai	22.	28	Juni	23.	200	Juli	27.	1	September	1.	60
"	6.	1	"	23.	16	"	24.	119	"	28.	25	"	2.	2
März	7.	1	"	24.	2	"	25.	5	"	29.	2	"	5.	18
"	15.	160	"	25.	2	"	26.	25	"	30.	12	"	6.	190
"	19.	4	"	26.	17	"	27.	15	"	31.	4	"	7.	22
April	4.	2	"	27.	3	"	28.	1	"			"	9.	4
"	5.	1	"	30.	34	"	29.	4	August	2.	150	"	10.	18
"	6.	15	"	31.	45	Juli	1.	196	"	3.	9	"	11.	4
"	7.	7	Juni	1.	66	"	2.	98	"	4.	11	"	12.	1
"	12.	32	"	2.	131	"	4.	30	"	5.	55	"	15.	2
"	18.	1	"	3.	91	"	5.	87	"	6.	12	"	18.	2
"	21.	4	"	4.	1	"	6.	253	"	7.	15	"	20.	1
"	22.	2	"	5.	11	"	7.	4	"	8.	12	"	21.	1
"	25.	51	"	6.	15	"	9.	1	"	9.	3	"	25.	4
"	26.	3	"	7.	143	"	10.	154	"	11.	3	"	26.	8
"	27.	1	"	8.	195	"	11.	19	"	12.	21	"	27.	1
"	28.	11	"	9.	35	"	12.	1	"	13.	11	"	29.	14
"	29.	230	"	10.	15	"	13.	8	"	14.	20	Oktober	4.	3
"	30.	4	"	11.	69	"	14.	2	"	15.	3	"	6.	34
Mai	2.	41	"	12.	104	"	15.	21	"	16.	2	"	7.	1
"	3.	6	"	13.	85	"	16.	4	"	17.	1	"	12.	17
"	4.	18	"	14.	120	"	17.	97	"	18.	4	"	21.	2
"	5.	51	"	15.	127	"	18.	37	"	19.	97	"	22.	5
"	6.	1	"	16.	124	"	19.	3	"	20.	1	November	2.	6
"	8.	1	"	17.	39	"	20.	2	"	21.	5	"	3.	3
"	11.	7	"	18.	25	"	21.	84	"	22.	53	"	22.	13
"	12.	2	"	19.	85	"	22.	8	"	23.	3	"	23.	14
"	15.	1	"	20.	51	"	23.	45	"	24.	1	"	29.	2
"	18.	65	"	21.	3	"	24.	5	"	29.	6	Dezember	29.	2
"	21.	15	"	22.	25	"	25.	6	"	30.	1	"	31.	3

Fortsetzung der nebenstehenden Hagelschlagstatistik.

		Juli											August										September				Okt.			Nov.			Total																
		1.	2.	5.	6.	7.	10.	11.	12.	13.	14.	15.	16.	17.	18.	19.	21.	23.	24.	30.	31.	2.	5.	6.	7.	8.	11.	12.	13.	14.	15.	19.	1.	6.	15.	21.	26.	6.	21.	22.	3.	22.	23.						
1.			1	21	1		1		2									4	1			1																					117						
4.					4		3																																				22						
214.							8						4	1														14														92							
22	4	1	1				49	2	4	13	1	1																														452							
							5		1	33	1	3																														126							
21	2						4	2		7	2	2																														85							
							7			11																																	59						
							1																																				3						
							1		1	1																																	19						
16	2						13	1	5	7	1	1	1																													169							
							1			1																																	46						
																																											25						
3							6	1			1																															34							
2	3						6		4		1																															56							
5							6			15																																142							
1									1	6	1																															126							
9							11																																			33							
																																											3						
							11			43																																178							
1									2																																	14							
2	2								3		4	1	15																												144								
1									1																																	23							
91	27	1	6	1	1		123	11	44	141	2	21	1	25	2	1	4	2	90	30	24	2	36	1	11	5	123	17	1	18	26	1	2	4	17	1	39	1	47	1	1	4	29	1	3	1	4	3	1968
		576											249										54				33			8			1968																

Zahl der Gemeinden ist hier nicht absolut zu nehmen, sondern als diejenige Summe, welche erhalten wird, indem man für jeden Hagelschlag die betroffenen Gemeinden in Rechnung zieht, so dass also ein und dieselbe Gemeinde mehrmals darin figurieren kann.

Erklärung

Zum erstenmal wurde in diesem Jahresbericht auf eine möglichst vollständige Wiedergabe sämtlicher Gewitterbeobachtungen der Schweiz verzichtet. Im Auftrage von Herrn Direktor Dr. J. Maurer habe ich eine beschränkte Anzahl typischer Gewitter untersucht und etwas ausführlicher beschrieben, als dies in den früheren Jahren der Fall war. Ich bin überzeugt, daß diese Aenderung in der Bearbeitung des Gewitterbeobachtungsmaterials von Vorteil sein wird. Die bloße Anhäufung von möglichst vielen Beobachtungen hat bis jetzt in unserem Gebiet die Wissenschaft kaum um einen Schritt weiter gebracht. In den letzten 20 Jahren ist in der Meteorologie eine neue Arbeitsmethode immer mehr zur Geltung gekommen, nämlich die kritische Untersuchung von Einzelfällen. Diese Methode hat sich schon allgemein beim Studium der Wetterkarten bewährt, sie wird auch in der Gewitterforschung wertvolle Resultate ergeben.

Die nachfolgenden Gewitter sind die stärksten des Jahres. Als erstes ergibt sich, daß bei allen als Ursache der Einbruch von kalten ozeanischen Luftmassen in den Kontinent angesehen werden darf. Dies zeigt besonders deutlich auf den entsprechenden Wetterkarten der Verlauf der Isothermen. Es ist das Charakteristikum der Frontgewitter, durch den Einbruch kalter Luftmassen verursacht zu sein.

Als zweites zeigt sich das Fehlen einer charakteristischen Luftdruckverteilung für das Entstehen der Ge-

witter. In mehreren Fällen liegt eine große Depression noch auf dem Ozean und die Gewitter begleiten ihre Böenlinie. In solchen Fällen liegt eine schwache Antizyklone über dem Kontinent. In anderen Fällen liegt eine Depression schon mehrere Tage auf dem Kontinent und der letzte sie begleitende Kälteeinbruch bringt die Gewitter mit sich.

In allen untersuchten Fällen sind die Gewitter mit einer Depression verknüpft. Man muß einige Jahre abwarten bis man zu allgemeinen Schlußfolgerungen gelangen kann.

Bei einigen Gewittern habe ich versuchsweise spezielle Luftdruckkarten der Schweiz gezeichnet. Man erkennt auf diesen Karten ein Maximum des Luftdruckes in der Gotthardgegend. Dieses Maximum findet man ebenfalls auf Mittelwert-Luftdruckkarten für das ganze Jahr; es ist also eine konstante Erscheinung, welche mit den Gewittern nichts zu tun hat. Zur Veranschaulichung der Gewitterbeschreibungen haben wir diesmal mehr Karten als bisher veröffentlicht und namentlich kleine Luftdruck- und Temperaturkärtchen Europas für diese Gewittertage. Ohne dieses Kartenmaterial könnte das Charakteristische der Wetterlagen nicht gebührend hervorgehoben werden. Für die behandelten Gewitter publizieren wir in Tabellenform, wie in früheren Jahren, die entsprechenden Beobachtungen.

Ch. Golaz.

Beschreibung der wichtigsten Gewitter im Jahre 1930

2. Juni 1930.

Verlauf des Wetters in den Tagen vor dem Gewitter:

30. Mai. Ein Band höheren Luftdruckes erstreckt sich vom nördlichen Eismeer über der Nordsee und Deutschland bis zu den Alpen. Auch im Süden herrscht höherer Luftdruck. An der Westküste Frankreichs liegt eine kleine Depression.

31. Mai. Der Luftdruck ist allgemein gestiegen, aber die kleine Depression in Frankreich hat sich erhalten, im Laufe des Tages wird sie teilweise ausgefüllt.

1. Juni. Es bleibt nur noch ein kleiner Wirbel am Ostende des Kanals. Im Norden des Kontinentes ist eine kräftige Antizyklone. Das Wetter am Gewittertag:

2. Juni. Es liegt eine große Antizyklone im Norden Europas. Ihr Zentrum ist auf dem Ozean. Von Polen bis zum Mittelmeer und über Deutschland und Frankreich erstreckt sich eine flache Tiefdruckrinne, welche sich im Südwesten Frankreichs zu einem geschlossenen Wirbel entwickelt hat. Demgegenüber ist ein schwacher Hochdruck über Süddeutschland, den Alpen, Italien und dem Balkan. Die warmen Luftmassen des südlichen Maximums gelangen in der Rinne mit den kalten des nördlichen Hochs in Berührung. Es kommt im ganzen Gebiet zu Gewitterbildungen.

Temperatur um 7.30 h:

	31. Mai	1. Juni	2. Juni	3. Juni
Rigi-Kulm	6	8	10	10
Pilatus	11	5	8	5
Gotthard	9	6	6	5
Säntis	6	2	6	7
Jungfrauoch	-4	-2	-2	-2
Rochers-de-Naye	8	6	7	9

Diese Zahlen zeigen ein Hin- und Herschwanke der Temperatur. Vom 31. Mai auf den 1. Juni war eine Abkühlung von einigen Graden auf vier Stationen, zwei dagegen zeigen eine leichte Temperaturerhöhung.

Vom 1. Juni auf den 2. haben alle sechs Stationen mit Ausnahme von Jungfrauoch eine Temperaturerhöhung erfahren. Nach dem Gewitter vom 2. ist die Temperatur auf Rigi und Jungfrauoch sich gleich geblieben, auf Säntis und Rochers-de-Naye gestiegen und allein auf Pilatus und Gotthard gefallen. Eine allgemeine Abkühlung in der Höhe hat nicht stattgefunden,

was auch verständlich ist, da die Gewitter im Jura und Mittelland waren.

Die speziellen Windkarten der Schweiz zeigen mittags eine ostwestliche Strömung dem Jura entlang, dagegen abends eine umgekehrte. Auffallend ist sowohl mittags wie abends das Ausströmen auf der Alpennordseite der Luft aus der Gotthardgegend, was durch die leichte Föhnlage erklärt wird.

Es folgen die auf 500 Meter Meereshöhe reduzierten Luftdrucke für zwei Terminbeobachtungen.

Luftdruck reduziert auf eine Meereshöhe von 500 m.

	13 ½	21 ½		13 ½	21 ½
Aarau	714.0	714.5	Guttannen	713.2	713.9
Airolo	713.3	713.9	Interlaken	712.4	713.7
Altdorf	713.0	713.1	Kreuzlingen	713.9	713.7
Auen	712.3	714.1	Lausanne	712.1	712.6
Basel	714.3	713.5	Locarno	717.4	716.9
Bellinzona	715.9	715.2	Lugano	717.3	716.2
Bern	713.4	713.5	Luzern	713.4	714.2
Bevers	714.1	717.2	Neuchâtel	712.8	713.3
Chur	713.9	716.0	Platta	714.9	717.3
Clarens	713.1	712.9	Rigi	713.0	712.6
Ebnat	715.2	715.4	Sargans	714.2	715.2
Einsiedeln	713.3	715.0	Sarnen	713.0	713.6
Fribourg	712.1	713.1	Sitten	712.6	714.1
St. Gallen	713.1	714.5	Schaffhausen	714.4	714.3
Gersau	714.0	714.1	Thun	712.5	713.5
Glarus	713.4	714.0	Unterhallau	714.3	713.5
Göschenen	716.4	715.8	Winterthur	713.8	715.6
St. Gotthard	715.5	716.6	Zürich	713.9	714.1
Grono	714.5	714.0			

8. Juni 1930.

In der vorangehenden Woche, namentlich am 5. (Donnerstag), lag ein kräftiges Maximum über dem Kontinent. Dieses Maximum war nur durch eine Rinne niedrigen Luftdruckes vom Atlantischen Maximum getrennt. In dieser Rinne gab es schon am 7. Gewitter. Am Morgen des 8. hat sich diese Rinne zu einer Depression ausgebildet, wodurch die Trennung der östlichen Antizyklone von den westlichen sich vollzogen hat.

Die Schweiz liegt am südöstlichen Rande der Antizyklone. Zwei Gewitterzüge bewegen sich von SW nach NE, der eine im Mittelland, der andere im Jura. Beide folgen die Längsrichtung der Jurakette. Die speziellen Luftdruckkarten der Schweiz zeigen ein Druckmaximum in der Gegend vom Gotthard, eine flache Depression im Mittelland und im Jura etwas höheren Luftdruck.

Morgentemperaturen (7.30 h) einiger Bergstationen:

	6. Juni	7. Juni	8. Juni	9. Juni
Rigikulm	14	13	10	10
Pilatus	11	8	8	7
Gotthard	6	6	10	7
Säntis	10	8	10	5
Jungfrauoch	2	-1	-1	0
Rochers-de-Naye	9	8	8	8

Die kalten Luftmassen scheinen das Jungfrauoch schon am 6., 7. erreicht zu haben, wogegen sie erst am 8./9. Pilatus, Gotthard und Säntis erreichen.

Luftdruck reduziert auf eine Meereshöhe von 500 m.

	13 ½	21 ½		13 ½	21 ½
Aarau	717.0	718.6	Guttannen	714.8	717.3
Airolo	718.2	720.5	Kreuzlingen	716.6	716.8
Altdorf	715.3	717.4	Lausanne	715.8	716.5
Altstätten	715.4	715.5	Liestal	717.3	717.8
Basel	718.1	718.0	Linthal	715.2	716.2
Bellinzona	715.4	716.1	Locarno	717.1	717.7
Bern	715.5	717.1	Lugano	717.3	717.5
La Chaux-de-Fonds	715.2	717.5	Luzern	716.0	717.9
Chur	714.8	716.6	Meiringen	715.6	717.6
Clarens	716.4	717.1	Neuchâtel	716.0	717.5
Einsiedeln	716.7	717.2	Sargans	716.1	717.6
Frauenfeld	716.4	717.0	Sarnen	715.3	717.6
Fribourg	715.1	716.8	Schiers	715.0	717.0
St. Gallen	716.3	717.1	Schuls	712.8	717.6
Genève	716.8	717.4	Sierre	716.9	717.5
Gersau	716.3	718.0	Sion	714.4	716.8
Glarus	715.4	716.6	Thun	715.9	716.1
Göschenen	715.0	718.0	Unterhallau	716.2	717.2
Grächen	710.2	716.6	Zermatt	713.3	717.9
Grono	713.1	713.0	Zürich	716.5	717.8

23. Juni 1930.

Seit einigen Tagen liegen ein Hochdruck über dem Kontinent und eine große Depression über dem Ozean. Auf dem Kontinent sind die Temperaturen sehr hoch gestiegen. Die Antizyklone wird langsam von dem Tiefdruck nach Osten hin verdrängt. So kommen die ozeanischen kalten Luftmassen in den Kontinent hinein, was zur Bildung einer Gewitterfront führt. Wie in sehr vielen Fällen, ist diese Front doppelt. Die speziellen Luftdruckkarten der Schweiz zeigen einen Hochdruckrücken über den Alpen.

Temperaturen 7.30 h:

	22. Juni	23. Juni	24. Juni	25. Juni
Rigi-Kulm	13	11	13	7
Pilatus	9	10	9	6
Gotthard	10	10	8	5
Säntis	11	9	9	3
Jungfrauoch	2	3	0	0
Rochers-de-Naye	10		10	6

Der Kälte-Einbruch findet erst am nächsten Tag 24./25. Juni statt.

Luftdruck reduziert auf eine Meereshöhe von 500 m.

	7 ½	13 ½	21 ½
Aarau	718.7	716.9	717.2
Airolo	719.9	719.3	721.4
Altdorf	718.0	715.0	719.3
Altstätten	717.3	716.1	719.2
Auen	717.8	715.2	719.7
Basel	718.6	716.3	717.9
Beatenberg	718.3	715.5	719.4
Bellinzona	716.9	716.3	717.2
Bern	718.4	716.1	718.4
Château d'Oex	720.9	717.0	721.5
Chur	719.1	715.5	719.4
Clarens	719.1	717.1	719.0
La Chaux-de-Fonds	718.1	716.2	717.6
Einsiedeln	718.8	716.6	719.7
Frauenfeld	718.5	716.8	718.6
Fribourg	717.9	715.9	717.7
St. Gallen	717.9	716.5	718.9
Genève	717.6	717.3	718.8
Gersau	720.1	717.0	720.2
Glarus	718.7	715.9	719.3
Göschenen	718.5	716.6	720.6
Grono	714.0	714.1	715.2
Guttannen	718.6	715.3	719.2
Interlaken	718.4	716.0	719.3
Kreuzlingen	717.8	715.8	717.5
Lausanne	718.0	716.8	718.1
Leukerbad	718.3	715.7	720.5
Leysin	716.1	717.1	721.2
Liestal	718.5	717.1	718.3
Locarno	718.8	717.8	719.0
Lugano	718.4	717.6	717.8
Luzern	718.7	715.6	718.7
Marsens	719.3	716.6	718.8
Meiringen	718.2	716.2	719.5
Moutana	718.3	715.4	720.5
Neuchâtel	718.5	716.9	718.2
Reckingen	720.5	718.3	720.6
Sargans	719.3	716.1	720.3
Sarnen	718.1	716.0	718.5
Schiers	719.6	715.6	720.0
Schuls	719.3	714.1	720.1
Sierre	718.1	717.4	717.7
Sion	718.8	715.6	719.7
Thun	718.3	716.0	716.8
Unterhallau	718.7	716.8	718.7
Zermatt	717.9	715.6	718.7
Zürich	718.6	716.4	718.6

24. Juni 1930.

An diesem Tag, wie am vorigen, ist der Kontinent warm und eine zweite Böcnlinie der großen Depression bringt kältere Luftmassen in den Kontinent hinein. Dieser Einbruch maritimer Luft ist von Gewittern begleitet. Die Spezial-Luftdruckkarten für die Schweiz zeigen eine ähnliche Verteilung wie die früheren, namentlich höheren Luftdruck in der Gotthardgegend und eine sehr flache Depression über dem Mittelland. In

der Juragegend läßt sich eine allgemeine Luftströmung aus dem SW erkennen. Norden und Nordosten des Landes werden abends von einem Gewitterzug erreicht.

Temperaturen um 7.30 h morgens:

	23. Juni	24. Juni	25. Juni	26. Juni
Heiden	20	12	15	19
Einsiedeln	16	13	13	14
Engelberg	16	13	13	16
Grindelwald	15	11	13	14
Davos	11	14	11	13
Rigi-Kulm	11	13	7	12
St. Moritz	12	11	13	10
Pilatus	10	9	6	10
Gotthard	10	8	5	7
Säntis	9	9	3	8
Jungfrauoch	3	0	0	0
Rochers-de-Naye		10	6	12

Diese Zahlen zeigen deutlich den Temperatursturz auf Rigi, Pilatus, Gotthard, Säntis, Jungfrauoch, Rochers-de-Naye vom 24. auf den 25. Juni.

Luftdruck reduziert auf eine Meereshöhe von 500 m.

	13. 1/2	21. 1/2		13. 1/2	21. 1/2
Aarau	714.8	718.2	Interlaken	715.0	718.4
Airolo	719.1	721.1	Krenzligen	715.4	716.8
Altdorf	715.0	718.6	Lausanne	715.4	717.7
Albstätten	717.5	716.5	Leysin	718.7	720.1
Auen	714.9	718.2	Leukerbach	714.5	718.3
Basel	715.4	718.3	Liestal	714.9	717.7
Bellinzona	716.8	716.4	Locarno	717.8	718.0
Bern	715.2	718.0	Lugano	718.5	717.8
Beatenberg	715.1	718.8	Luzern	715.3	718.5
La Chaux-de-Fonds	715.8	716.6	Marsens	715.6	718.9
Château d'Oex	716.0	720.9	Meiringen	714.7	718.5
Chur	714.9	716.8	Montana	713.4	719.4
Clarens	716.3	718.0	Neuchâtel	715.5	718.4
Einsiedeln	714.9	718.0	Reckingen	714.2	715.7
Frauenfeld	715.4	717.7	Sargans	715.9	718.1
Fribourg	714.6	717.5	Sarnen	715.1	718.0
St. Gallen	715.0	717.9	Schiers	715.7	717.6
Genève	715.8	718.4	Schuls	715.0	716.9
Gersau	714.3	718.8	Sierre	717.3	718.0
Glarus	715.1	718.1	Sitten	714.3	717.9
Grono	714.3	715.1	Thun	714.8	716.2
Guttannen	714.7	718.4	Unterhallau	715.2	717.9
Göschenen	717.0	719.1	Zermatt	712.8	716.7
Grächen	711.1	717.1	Zürich	715.1	718.3

1. Juli 1930.

Das Hoch, das am 29. und 30. Juni über Mitteleuropa lag, ist nun als warme Antizyklone über Skandinavien. Ueber dem Ozean, westlich der Britischen Inseln, ist eine relativ kalte Depression. Beim Vordringen der kälteren maritimen Luftmassen in die wärmeren kontinentalen kommt es zur Bildung von Gewittern. In der Schweiz sind in der Hauptsache drei Gewitterzüge, alle

drei im Jura oder Mittelland, zu unterscheiden. Von diesen ist der erste der wichtigere. Die Nachmittags-Luftdruckkarte zeigt eine kleine flache Depression, welche in unmittelbarem Zusammenhang mit den Gewitterzügen steht. Die speziellen Strömungskarten zeigen die Eigentümlichkeiten der Luftbewegung in unseren Alpentälern, jedoch ohne, daß wirklich eine ursächliche Beziehung zwischen Windbahn und Gewitterzug festzustellen sei.

Morgentemperaturen (7.30 h) einiger Gebirgsstationen:

	30. Juni	1. Juli	2. Juli
Rigi-Kulm	13	15	11
Pilatus	9	11	10
Gotthard	9	12	10
Säntis	6	12	10
Jungfrauoch	2	7	0
Rochers-de-Naye	8	13	9

Vom 1. auf den 2. Juli ist die Abkühlung besonders in der Höhe vom Jungfrauoch groß gewesen.

6. Juli 1931.

Die Wetterlage in den vorangehenden Tagen ist folgendermaßen zu charakterisieren: Kontinentaler Hochdruck mit Maximum in Skandinavien, große atlantische Depression mit einem Hauptzentrum zwischen Grönland und Island und einem Nebenzentrum bei Irland. Am 5. Juli vertieft sich das große atlantische Minimum, das skandinavische Hoch zieht sich nach Nordosten zurück, und es bilden sich über Mittel- und Westeuropa kleine flache Depressionen. Bis zum nächsten Tag verflacht sich die Luftdruckverteilung noch weiter. In Belgien und Holland besteht eine kleine sehr flache Depression, eine Gewitterdepression. Diese hat sich gerade in der Gegend gebildet, wo die kälteren und feuchteren ozeanischen Luftmassen des großen atlantischen Tiefs, mit Zentrum über Island, in Berührung mit den warmen und trockenen Luftmassen kontinentalen Ursprungs kommen. Die beiden Strömungskarten der Schweiz zeigen eine Uebereinstimmung zwischen der Bewegungsrichtung des Gewitterzuges und den Hauptströmungslinien des Juras und Mittellandes.

Morgentemperaturen einiger Höhenstationen:

	4. Juli	5. Juli	6. Juli	7. Juli
Rigi-Kulm	13	16	14	9
Pilatus	12	13	13	7
Gotthard	11	10	10	6
Säntis	12	15	13	5
Jungfrauoch	3	6	6	0
Rochers-de-Naye	12	15	13	10

Diese Zahlen zeigen eine starke Temperaturabnahme vom 6. auf den 7. Juli, das heißt am Tage des Gewitters.

10. Juli 1930.

Eine breite Antizyklone liegt schon seit einigen Tagen auf dem Ozean westlich von Irland und dehnt sich als Keil höheren Druckes über ganz Mitteleuropa bis zum Balkan hin aus. Eine große Depression mit einem Nebenzentrum über der Ostsee liegt über Rußland. Das Mittelländische Meer und die angrenzenden Länder sind warm, die Antizyklone, da über dem Ozean gelegen, kalt. Neben der Nordsee und den Britischen Inseln strömen aus dem nördlichen Eismeer kältere Luftmassen bis zu den Alpen hin. Im Laufe des Tages bildet sich von dem Ostsee-Tief ausgehend eine ausgesprochene Gewitterfront, die durch die Schweiz zieht und Gewitter auf beiden Seiten der Alpen bringt. Die Strömungskarte des Abend-Beobachtungstermins zeigt ein sehr deutliches Strömen der Luft über den Alpen von Norden nach Süden hin.

Morgentemperaturen einiger Höhenstationen:

	9. Juli	10. Juli	11. Juli	12. Juli
Rigi-Kulm	8	9	6	0
Pilatus	7	7	4	1
Gotthard	5	4	3	-2
Säntis	5	6	0	-5
Jungfrauoch	1	0	-5	-9
Rochers-de-Naye	8	8	5	2

Die Temperaturen sind an allen diesen Stationen sowohl vom 10. auf den 11. als vom 11. auf den 12. um mehrere Grade zurückgegangen.

17. Juli 1930.

Seit einigen Tagen lagert ein großes Tief über Europa. Am 16. zeigt sich über den Britischen Inseln ein ausgeprägteres Miniumm. In Spanien, Italien, dem Balkan und über dem Mittelmeer sind sehr warme Luftmassen: Morgentemperaturen bis 26°, mittags bis 31°. Dagegen bringt die Depression kältere Luft aus dem Westen an den Alpen heran. Es regnet in Frankreich und Deutschland. Als abends die kühleren Luftmassen die Schweiz erreichen, bilden sich im Norden und Nordwesten kleinere Gewitterzüge. Die Strömungskarten für Mittag- und Abendtermin lassen eine allgemeine Strömung aus dem Südwesten her erkennen. In der Höhe wirkt sich der Kälteeinbruch erst am 19. aus.

Morgentemperaturen:

	16. Juli	17. Juli	18. Juli	19. Juli
Zürich	13	18	15	12
Chur	11	17	20	10
Glarus	10	15	17	10
Luzern	13	16	15	12
Basel	14	17	14	14
Bern	13	15	15	12
Lausanne	14	16	16	12
Genève	14	17	16	14

	16. Juli	17. Juli	18. Juli	19. Juli
Lugano	15	17	19	14
Locarno	15	18	18	15
Pilatus	3	7	9	0
Säntis	0	4	6	-1
Jungfrauoch	0	-1	-2	-5

21. Juli 1930.

Eine weitausgedehnte Depression mit verschiedenen Zentren erstreckt sich über ganz Europa. An ihrem westlichen Rande wehen über der Nordsee und den Britischen Inseln nördliche Winde, die kältere Luft bis nach Frankreich und Mitteleuropa bringen. Am Ostende des Kanals, da, wo die kalten Luftmassen mit den wärmeren kontinentalen zusammenstoßen, hat sich eine Teildepression gebildet. Ihre Böenlinie reicht bis zu Mittelfrankreich, sie zieht am Nachmittag durch die Schweiz und bringt Regen und Gewitter.

Morgentemperaturen einiger Höhenstationen:

	20. Juli	21. Juli	22. Juli
Rigi-Kulm	5	10	5
Pilatus	0	7	5
Gotthard	1	5	5
Säntis	0	5	2
Jungfrauoch	—	-1	-1
Rochers-de-Naye	5	8	4

Mit Ausnahme vom Jungfrauoch zeigen diese Stationen eine Abnahme der Temperatur. Die kalten Luftmassen haben nicht bis zur Höhe von 3500 m gereicht.

2. August 1930.

Eine große, ziemlich tiefe Depression liegt mit ihrem Zentrum über Irland; sie bringt kältere, feuchte Luft in den warmen Kontinent hinein, bei deren Einbruch am Nachmittage in der Schweiz Gewitter entstehen. Hier folgen die Morgentemperaturen von einigen Höhenstationen am Tag des Gewitters und am darauffolgenden Tag.

	2. August	3. August
Heiden	18	15
Einsiedeln	11	13
Engelberg	11	—
Grindelwald	10	10
Davos	13	10
* Rigi-Kulm	12	6
St. Moritz	11	10
* Pilatus	10	4
Gotthard	6	5
* Säntis	8	3
* Jungfrauoch	2	-2
* Rochers-de-Naye	12	5

*) Man beachte namentlich die Abkühlung auf Rigi, Pilatus, Säntis, Jungfrauoch und Rochers-de-Naye.

6. September 1930.

Seit anfangs September zieht sich ein langgezogenes Hochdruckband von Norden nach Süden über den Kontinent hin und bewegt sich langsam gegen Osten hin. Am Gewittertag liegt eine große Depression im Nordwesten des Kontinenten über den Britischen Inseln, doch ist das Zentrum noch auf dem Ozean. Die Gewitter entstehen auf der Rückseite des schmalen Hochdruckbandes, das von Spitzbergen bis zu Italien reicht. Eine Böenlinie des großen Minimums bewegt sich über Frankreich, sie läßt sich bis über dem Mittelmeer erkennen und ist schon vormittags im Nordosten von Frankreich von Gewittern begleitet. Der Kälteeinbruch ist auf der Mittagswetterkarte deutlich zu erkennen. Nachmittags und abends erreichen je eine Gewitterfront Nord- und Nordostschweiz. Die Strömungskarten zeigen in der Nordschweiz eine Westostströmung dem Jura entlang. Es haben sich, auch in diesem Fall, die Gewitter in der gleichen Richtung wie die unteren Luftschichten bewegt.

Hier folgen die Morgentemperaturen einiger Höhenstationen:

	5. Sept.	6. Sept.	7. Sept.	8. Sept.
Rigi-Kulm	14	13	9	7
Pilatus	12	10	8	5
Gotthard	8	8	8	4
Säntis	8	8	5	2
Jungfraujoch	4	2	1	—3
Rochers-de-Naye	12	12	8	7

Der Kälteeinbruch hat sich erst am zweiten Tag ausgewirkt. Die Mittagswetterkarte zeigt deutlich zwei aufeinanderfolgende Kaltluftwellen.

Verlauf der Luftdruck- und Temperaturregistrierungen in Zürich um die Zeit dieser Gewitter.

2. Juni. 19 K. in Zürich. Genau um 19 h Temperatursturz von 21° C auf 14.5°. Um diese Zeit erreicht die Luftdruckkurve in einer scharfen Spitze ihren höchsten Wert. Zürich liegt in einem Hochdruckrücken (relativer) zwischen zwei kleineren Depressionen.

8. Juni. Die Gewitterfront hat Zürich nicht erreicht. Nichts Bemerkenswertes, weder auf Barogramm noch auf Thermogramm.

23. Juni. 17 K. Das Barogramm weist um diese Zeit eine scharfe, aber kleine Gewitternase auf. Temperaturfall von 23.5° auf 20°.

24. Juni. 16.20 h K. Um die gleiche Zeit scharfe, aber kleine Nase auf dem Barogramm. Temperatursturz von 22.5° auf 17°.

1. Juli. 17.05 h K böe, 18.30 h K über Zürich. Das Gewitter wurde durch den Uetliberg zurückgehalten. 17.15 h sehr kleine K-Nase. Um 17.15 h Temperatursturz von 24° auf 19°.

6. Juli. 17.30 bis 18 h K in Zürich. 17.20 h K-Böe. 17 bis 17.20 h rascher Anstieg des Barometers. 17.20 h kleine Nase. Um 17.20 h Temperatursturz von 24° auf 16°.

10. Juli. Kein Gewitter in Zürich. Nichts Besonderes auf Thermogramm und Barogramm.

17. Juli. Kein K in Zürich. 17.45 h im E T. Um 17.45 h kleiner, aber sehr rascher Barometeranstieg (K Nase). Um 17.30 h Temperatursturz von 22.2° auf 20.7°.

21. Juli. 17.25 h K über Zürich; Böenlinie, Gewitterkragen. 17.15 h rascher Barometeranstieg mit scharfer K-Nase (Maximum). Um 17.30 h Temperatursturz von 21° auf 17°.

2. August. 17.15 h Sturmböe über Zürich. 18.45 h über Zürich. Erster rascher Barometeranstieg: 17.15 bis 17.30 h; zweiter rascher Anstieg: 18.15 bis 18.45 h. Um 17.30 h Temperatursturz von 28° auf 16°.

6. September. 23.45 bis 24 h K über Zürich. 23.45 h kleine, sehr scharfe K-Nase (Maximum) und nachfolgender Barometerfall. Keinerlei Temperaturfall in Zürich um die Zeit des K.

Beschreibung der Gewitter und Hagelschläge.

In der tabellarischen Zusammenstellung sind die an den wichtigsten Gewittertagen aufgetretenen elektrischen Erscheinungen in gedrängter Kürze angeführt. Für die Zeitangaben wurde die Stundenzählung 0—24 (M.-E. Z.) angewendet, also 6^h = 6 Uhr morgens, 18^h = 6 Uhr abends und, wie bisher, 0^h = Mitternacht, 12^h = Mittag. Die in Kolonne 6 notierte Fortpflanzungsgeschwindigkeit des Gewitters (Weg in Kilometern pro Stunde) ergibt sich nicht, wie man vielleicht anzunehmen versucht ist, aus den Kolonnen 3 und 5, sondern aus den Zeitangaben der Isobronten in der kartographischen Darstellung. Kolonne 7 stellt durch die bekannten Symbole (\mathcal{K} = Gewitter, \mathcal{L} = Blitz, T = Donner, * = Schnee, ● = Regen, Δ = Graupeln oder Riesel, nur vereinzelte oder sehr kleine Hagelkörner, \blacktriangle = Hagel, \mathcal{W} = Sturm), die Art der Niederschläge und eventuell durch beigefügten Index deren Intensität dar. Das Zeichen \mathcal{K} ist womöglich fortgelassen worden, d. h. jede Zeitangabe ohne Zeichen bedeutet ein \mathcal{K} .

Der geographischen Angabe der Zugrichtung folgen die direkt vom Gewitter betroffenen Beobachtungsstationen.

Dem Texte in Klammern beigefügte Zahlen geben, sofern nichts weiteres bemerkt ist, den Tagesbetrag des Niederschlags auf der betreffenden Station in $\frac{mm}{m}$ an. (Leider wird nur von wenigen Beobachtern der während eines Gewitters gefallene Niederschlag gemessen.) Direkt nach dem Gewitter gemessene Niederschläge wurden mit (\mathcal{K} ● . . .) bezeichnet.

Spezielle Notizen einzelner Berichterstatter über die Witterungsvorgänge wurden aus praktischen Gründen mit in die tabellarische Zusammenstellung der Gewitter aufgenommen. Am Schlusse sind die bekannt gewordenen Blitzschläge angeführt.

Die folgenden, der Kürze halber meistens ohne nähere Bezeichnung gebliebenen Stationsnamen, können folgendermassen präzisiert werden: Corcelles (sur Clavornay), Davos (Davos-Platz), Gingins (Gingins s. Chésérox, Nyon), Gsteig (b. Saanen), Kilchberg (Baselland), Küsnacht (Kt. Zürich), Küsnacht (Kt. Schwyz), Langnau (Kt. Bern), Münster (Kt. Luzern), Muri (Aargau), Nisellas (Nisellas-Alvaschein b. Tiefen-Castel), Oberkirch (Hof Oberkirch b. Kaltbrunn), Pfäffikon (Kt. Zürich), Rickenbach (b. Schwyz), Rossenges (s. Moudon), St^a Maria (im Münstertal, Graubünden), Schatzalp (bei Davos-Platz), Splügen (Dorf), Varen (Varen-Leuk), Waldhalde (Elektrizitätswerk an der Sihl bei Schönenberg, Kt. Zürich), Wald (Zürcher Sanatorium auf Hittenberg b. Wald), Wasen (im Emmental), Wil (Wil-Rafz, Kt. Zürich), Zollikon Schweiz, Anstalt für Epileptische b. Zollikon, Kt. Zürich).

Erklärung zu den Karten.

Die am Schlusse beigefügten Kärtchen (1:3000000), welche eine durch J. Hess ausgeführte Reduktion der vom Bearbeiter im Massstab von 1:1000000 gezeichneten Originalbilder sind, sollen einige Tage mit charakteristischen Gewittergebilden zur Anschauung bringen. Die Bezeichnung der einzelnen Gewitterzüge mit a, b, c etc. ist chronologisch und entspricht den in der tabellarischen Uebersicht angegebenen Buchstaben (vergl. Rubrik 2). Die Kurven (Isobronten) verbinden die Stationen mit gleichzeitigem Gewittereintritt im Zenith des Beobachters. Gestrichelte Isobronten sind inter-, resp. extrapoliert; sie sollen andeuten, dass sie nicht mit genügender Sicherheit gezogen werden konnten. Geschlossene oder schraffierte Isobronten bedeuten Zonen, in denen gleichzeitig an mehreren Orten lokale Gewitter, sogenannte Wärmegewitter und andere Gewittererscheinungen ohne deutliche Bewegung stattgefunden haben. Die Pfeile geben die Richtung der Gewitter an. Am Rande der Kurven angebrachte Zahlen bezeichnen die Zeit (M.-E. Z.) in Stunden und Viertelstunden von 0—24 Uhr (5₁ = 5¹/₄ Uhr morgens, 17₃ = 5³/₄ Uhr nachmittags, 0₃ = 12¹/₂ Uhr nachts etc.). Einzelne Punkte bezeichnen die Lage lokaler Gewitter oder solcher, von denen die Angabe der Zugrichtung fehlt. Die an Stelle genauer Zeitangaben oft verwendeten Buchstaben bedeuten: a = vormittags, p = nachmittags und n = nachts.

Description des orages et chutes de grêle.

Les tables suivantes résument les phénomènes orageux de quelque importance. L'heure est comptée de 0 à 24^h (H. E. C.), donc 6^h = 6 heures du matin, 18^h = 6 heures du soir, 0^h = minuit, 12^h = midi. La vitesse de propagation de l'orage notée dans la 6^e colonne (chemin parcouru en kilomètres par heure), n'est pas déduite des chiffres figurant dans les 3^e et 5^e colonnes, comme on est peut-être tenté de le croire, mais elle résulte des indications horaires de la carte des isobrontes. La septième colonne donne à l'aide de symboles la nature des précipitations et éventuellement, à l'aide d'un indice leur intensité. Les symboles utilisés sont les suivants: \mathcal{K} = orage, \mathcal{L} = éclair, T = tonnerre, * = neige, ● = pluie, Δ = grésil, \blacktriangle = grêle, \mathcal{W} = tempête, ouragan. Toute heure non accompagnée d'un signe indique le moment où l'orage a éclaté sur la station. Le signe \mathcal{K} n'a été introduit dans le texte que dans le cas où une chute de grêle a accompagné l'orage: \mathcal{K} \blacktriangle = orage avec grêle, \mathcal{K} ● \blacktriangle = orage avec pluie et grêle.

La dernière colonne contient la liste des stations directement atteintes par l'orage, elle contient aussi des indications concernant les coups de foudre, le tonnerre, les chutes de grêle. Les chiffres figurant entre parenthèses dans le texte indiquent les précipitations des 24 heures. (Il n'y a malheureusement que peu d'observateurs qui mesurent les précipitations tombées au cours d'un orage.) Les précipitations mesurées immédiatement après un orage sont indiquées par (\mathcal{K} ● . . .). A la fin de notre travail figure la liste des coups de foudre parvenus à notre connaissance.

Notice relative aux cartes.

Les cartes d'orage figurant à la suite des tables sont une réduction effectuée par J. Hess de nos cartes originales au millionième. Elles donnent une image de journées orageuses caractéristiques. Les indices a, b, c, etc. désignant les divers orages d'une même journée sont les mêmes que dans le texte. Les courbes pointillées sont inter ou extrapolées. Les zones orageuses sont indiquées par des aires hachurées. Les flèches indiquent la direction de propagation des orages. Les chiffres figurant vers les extrémités des courbes indiquent en heures (H. E. C.) et quarts d'heures le passage de l'isobronte: (5₁ = 5¹/₄^h matin, 17₃ = 5³/₄^h soir).

Tabellarische Zusammenstellung der Gewitterzüge und Hagelschläge.

Datum	Berechnung der Gewitter	Zeit des hörbaren Donners	Richtung der K_1 oder des Zuges	Zurückgelegter Weg in km	Weg in km pro Stunde	Art der Niederschläge	Betroffene Gegend, und weitere Bemerkungen
Juni 2.	-	15-21 $\frac{1}{2}$	SW-NE	250	55	●▲	<p>Eine Gewitterfront dem Jura entlang:</p> <p>St. Cergue p absds. (22,9), La Cure p K_1 tempête (9,4), Longirod p (11,7), Le Sentier 15 K_1 ▲² SW-NE (8,9), Marcellin 15$\frac{1}{2}$ (5,4), Lausanne 16-16$\frac{1}{2}$ K_1 ●▲, le vent atteint une vitesse de 78 km à l'heure (19,1), Cossonay 16-17 (9,1), Montcherand 16 (K_1 ● 3,3), L'Auberson 15$\frac{1}{2}$-16$\frac{1}{2}$ (8,4), Baulmes 15$\frac{1}{2}$ (5,5), Yverdon 16$\frac{1}{2}$ (7,4), Rossenges 16$\frac{1}{2}$-17$\frac{1}{2}$ (14,3), Payerne 16$\frac{1}{2}$-17$\frac{1}{2}$ (20,4), Vallorbe p (21,5), Puidoux 15$\frac{1}{2}$, Clarens 16$\frac{1}{2}$-16$\frac{1}{2}$ (3,1), Château d'Oex 16$\frac{1}{2}$ (1,4), Savatan 16$\frac{1}{2}$ (0,8), Châtellard SE-NW, Jaun 16 (3,5), Romont 16$\frac{1}{2}$-17$\frac{1}{2}$ (5,0), Marsens 16-18 K_1 ●▲ (11,6), La Valsainte 16$\frac{1}{2}$ K_1 ●▲ SW-NE (K_1 ● 11,3), des arbres fruitiers ont été arrachés (sic), des tuiles ont été enlevées des toits, La Roche soir (11,5), Fribourg 16$\frac{1}{2}$ SW-NE (9,8), Murten 17 sturmartiges K_1 (12,7), Les Ponts de Martel 16$\frac{1}{2}$ SW-NE (5,5), Grandchamp dès 16 (5,9), Dombresson 16$\frac{1}{2}$ (8,8), Chaumont absds. (0,4), Saignelégier 16$\frac{1}{2}$-18 (36,0), Mormont p (9,7), Bienne 17$\frac{1}{2}$ SW-NE Coups de foudre sur lignes Bienne-Zollikofen et Bienne-Neuchâtel (31,8), Courtelary 17-18 (28,3), Mont Soleil p (17,6), Delémont 18 W-E (K_1 ● 17,9), la foudre brise quelques tuiles au toit d'un bâtiment. A Soyhières, Courroux, Courcelon, Courrendlin, Choindez, au Pichoux dégâts considérables causés par l'eau. Choindez 17$\frac{1}{2}$ SW-NE (38,0) sehr grosser Land- und Kulturschaden, Bellelay absds. (20,2), Aarberg p (9,0), Bern 17-18 (5,9), Belp absds. (1,0), Burgdorf 17$\frac{1}{2}$ W-NE (5,1) sehr starker Sturm, Langnau 17$\frac{1}{2}$ (0,7), Grosshöchstetten p (0,2), Wasen im E. p (1,4), Affoltern im E. 17 (2,5), Herzogenbuchsee 17$\frac{1}{2}$ (5,1), Wiedlisbach 17$\frac{1}{2}$ WSW-ENE, Olten 18 (16,8), Allerheiligen 18 (17,1), Olten 18 W-E, Passwang (22,2), Allerheiligen 18 SW-NE (17,1), Langenbruck 17$\frac{1}{2}$ W-E (18,0), Binningen 17$\frac{1}{2}$-19$\frac{1}{2}$ K_1 ●▲ SW-NE (K_1 ● 12,3 von 18^{10h}-18^{12h}: 18,2 m von 18^{00h}-19^{30h}), Langenbruck 18$\frac{1}{2}$ W-E (K_1 ● 14,3), Reigoldswil 17$\frac{1}{2}$, Waldenburg 18, Eptingen absds., Kilchberg p, Lampenberg 18 K_1 ●▲ aus SW, Bennwil 18 W-E, Aesch 18-20 K_1 ●▲, Pfeffingen 18$\frac{1}{2}$ K_1 ●▲, Basel-Augst 17$\frac{1}{2}$-19$\frac{1}{2}$, Therwil 18, Wintersingen 18, Arisdorf p, Liestal 17 aus S K_1 ●▲ (21,7), Möhlin 18$\frac{1}{2}$ W-E (15,1) Brugg 18$\frac{1}{2}$ SW-NE, Rheinfelden 18^{20h} (20,5 für 2 Tage), Barmelweid 18 (16,9), Bözberg 18-19 (K_1 ● 5,1), Böttstein 16$\frac{1}{2}$-18 im SW (9,3), Zurzach 18$\frac{1}{2}$-19$\frac{1}{2}$, Aarau 18 SW-NE (9,9) Blitzschlag in Haus Nr. 22, Zofingen 18 W-E (2,6), Kirchlerau 18 (2,8), Muri 19 (0,0), Unterkulm 18 (3,4), Baden 18-19 (8,0), Laufenburg absds. (10,0), Andelfingen 19 W-E, Hochfelden 18$\frac{1}{2}$ (2,3), Otelfingen 18 (2,6), Pfannenstiel absds. (0,2), Zürich 18$\frac{1}{2}$-19$\frac{1}{2}$ T (0,4), Winterthur 19-19$\frac{1}{2}$ T das Gewitter löste sich vor Erreichung des Beobachtungsortes auf. Bauma 19$\frac{1}{2}$ (0,3), Wilchingen 20$\frac{1}{2}$-21$\frac{1}{2}$ (K_1 ● 8,6), Unterhallau 19$\frac{1}{2}$ W-E (7,6), Schleithelm 19 (6,8), Schaffhausen 18$\frac{1}{2}$ <, T im SW (6,8), Merishausen absds. (7,4), Lohn 19-20 (3,9), Buch 19-20 (4,5), Stein am Rhein 19$\frac{1}{2}$ SW-NE, Eschenz 19 K_1 sturm (0,2), Niederneunforn absds. (1,7), Altnau 20 (0,2).</p> <p>Gewitterfront im Mittelland:</p> <p>Marsens 13-17 (1,8), La Valsainte 13$\frac{1}{2}$ K_1 ●▲ SW-NE (K_1 ● 17,5), Freiburg 14$\frac{1}{2}$-15$\frac{1}{2}$ (7,3), Bern 15$\frac{1}{2}$-19 (25,1), Uttigen 15$\frac{1}{2}$, 15$\frac{1}{2}$ (K_1 ● 19,7 für beide K_1), Thun 15$\frac{1}{2}$-16$\frac{1}{2}$ K_1 ●▲, Beatenberg 16$\frac{1}{2}$-17$\frac{1}{2}$ (4,2), Burgdorf 16$\frac{1}{2}$ (19,4), Grosshöchstetten p (15,1), Langnau 17 (13,0), Herzogenbuchsee 17 (10,6), Affoltern 17 (39,5), Wasen im E. p (24,7), Aarberg p (26,0), Solothurn 15$\frac{1}{2}$-17 (30,0), Allerheiligen 19 W-SE (28,5), Binningen 16$\frac{1}{2}$ K_1 ●▲ NE-SW (K_1 ● 10,0), Riehen 17$\frac{1}{2}$ K_1 ●▲ NE-SW (1,0), Basel-Augst 16$\frac{1}{2}$-17$\frac{1}{2}$, Wintersingen 16-21, Lampenberg 17$\frac{1}{2}$, Reigoldswil 18$\frac{1}{2}$, Werthenstein 18$\frac{1}{2}$ W-ESE mehrere Blitzschläge, einer in Lichtleitung, ein Kugelblitz, der unter lauten, kanonendonnerähnlichen Detonationen zersprang (28,5) Temperatur vor 19⁰, nach 12,5⁰, Buchsteg 18$\frac{1}{2}$-19$\frac{1}{2}$ (75,4), St. Urban 19 und 19$\frac{1}{2}$ (2,3), Pilatus absds. (21,0), Luzern 20$\frac{1}{2}$ (6,0), Küssnacht a./R. absds. (K_1 ● 6,4), Burg p K_1 ▲ (21,7), Münster 20 (17,4), Aesch 20$\frac{1}{2}$ NW-S (86,8), Walchwil 20$\frac{1}{2}$-21 (7,7), Stans 20$\frac{1}{2}$ (17,5), Gersau 20-21 (25,2), Steinen 20$\frac{1}{2}$ SW-NE, 21$\frac{1}{2}$-22, Unteraegeri absds. (24,9), Schönenberg 21-24 (10,5), Horgen 22$\frac{1}{2}$-23$\frac{1}{2}$ W-E (12,6), Thalwil n (8/9) (13,0), Mettmenstetten 20 (14,5), Zollikon 22$\frac{1}{2}$-23$\frac{1}{2}$ (28,1), Zürich 21 K_1°, ziemlich starke Entladungen über dem Albis (0,5), Küssnacht n (8/9) (32,2), Hochfelden 22$\frac{1}{2}$ (16,4), Uster 22$\frac{1}{2}$ aus SW (59,0), Dietikon absds. (28,1), Frauenfeld 23$\frac{1}{2}$ (20,9), Dussnang 23 (9,2), Eschlikon absds. (5,9), Thundorf absds. (12,9).</p>
26.	a	13-24	W-E	150	15	●▲	

Datum	Bezeichnung der Gewitter	Zeit des hörbaren Donners	Richtung der K_z oder des Zuges	Zurückgelegter Weg in km	Weg in km pro Stunde	Art der Niederschläge	Betroffene Gegend und weitere Bemerkungen
Juni 8.	b	14-21	WSW-ESE	160	20	●▲	Gewitterfront im Jura: Le Sentier p K_z ●▲ (15,2), Vallorbe p (8,6), Cossonay 14 ^{1/2} (2,5), Montcherand 14, Leysin 15 et 15 ^{1/4} (6,7), Grandchamp 16-18 (10,0), Dombresson 16 ^{1/4} (10,1), La Chaux-de-Fonds 15-18 (78,6), Les Taillières abds. (10,9), Chaumont abds. (10,8), Cernier soir (16,8), Morat 17 (3,5), Courtelary 18-20 (26,8), Saignelégier 18-21 (17,3), Biemme 17 ^{1/2} (17,2), Choindez 19 SW-NE (27,3), Mormont soir (16,7), Bellelay soir (28,3), Bern 17 ^{1/4} SW-NE (K_z ● 25,1), Uttigen 16 ^{3/4} -17 ^{1/2} (K_z ● 2,4), Frutigen abds. (5,0), Solothurn 18 E-W (?), Wiedlisbach 17-21 T, 19 ^{1/4} K_z über Station, Olten 19, 20 ^{1/2} (21,5), Passwang abds. (37,2), Aesch 18 ^{1/2} , Langenbruck 19 ^{1/4} (K_z ● 30,0), Liestal 19 ^{1/2} (26,6), Binningen 19 ^{1/2} (K_z ● 7,7), Basel-Augst 19-20, Kilchberg p, Therwil p, dreimal K_z , Waldenburg p, dreimal K_z , Neuwelt p, Arisdorf p, Lampenberg abds., Pfeffingen abds., Eptingen abds., Zofingen 19 ^{1/2} SW-NE (18,1), Unterkulm 19 ^{1/4} -22 ^{1/4} aus W (39,4), Kölliken 20-23 SSW-NNE (34,7), 21 Blitzschlag in Wetterfahne und Kamin eines Hauses, 200 m NW von der Station, Kirchleerau 20 (25,0), Aarau 19 ^{1/4} (35,2), Muri abds. (23,6), Rheinfelden 19 (31,4), Möhlin 18 ^{3/4} (K_z ● 5,8), Zurzach 21-24, Laufenburg abds. (41,2).
23.	a	12-19 ^{1/2}	W-E	150	25	●▲	Gewitterfront im Westen und im Jura: L'Auberson 12-15 (24,4), Montcherand 14 ^{1/2} (K_z ● 2,1), Cossonay 14 ^{1/2} (1,0), Lausanne 14 ^{1/2} -16 ^{1/2} (K_z ● 3,1), Vouvry 14 ^{1/2} K_z ●▲ (14,1), Château d'Oex 16 (17,2), Leysin 15 ^{1/4} und 16 ^{3/4} (10,8), Châtelard 16 ^{1/4} S-N, Marsens 15-18 (16,7), La Valsainte 16 ^{1/4} W-E (28,5), La Roche abds. (23,0), Fribourg 14 ^{1/2} -17 ^{1/2} (6,0), Sion 17-18 (5,3), Leukerbad 17 (14,2), Varen 17 (10,0), Kippel 18 (6,7), Delémont 15 ^{1/2} -15 ^{3/4} W-E (6,5), Mont Soleil p (2,3), Courtelary p (0,5), Mormont p (6,1), Choindez p (6,3), Adelboden 15 ^{1/2} -18 K_z ●▲ (35,9), Kienthal 15-19 ^{1/2} (21,3), Kandersteg abds. K_z^2 (18,4), Eigergletscher abds. (17,2), Lauterbrunnen p (15,0), Frutigen p (27,5), Beatenberg 17-18 (19,0), Heiligenschwendi abds. (6,8), Bern 16 ^{1/2} -17 ^{3/4} (8,3), Belp p (28,8), Burgdorf 17-17 ^{1/4} (6,5), Herzogenbuchsee 17 (4,2), Wasen im E. p (11,7), Grosshöchstetten p (15,7), St. Urban 17 ^{1/4} -18 (5,3), Olten 16 ^{1/2} -17 K_z ●▲ (7,2), Allerheiligenberg 16 ^{1/2} K_z ●▲ NW-SE (K_z ● 8,1), Reigoldswil 16, Pfeffingen 16 K_z ●▲, Therwil p, Binningen 16 W-NE (K_z ● 0,3), Basel-Augst 15 ^{3/4} -16 ^{1/4} , Aesch p, Arisdorf p, Bennwil 17 W-E, Waldenburg 17, Wintersingen 16-17, Kilchberg p, Liestal p, Rheinfelden 16 ^{1/2} (7,0), Möhlin 17 ^{1/4} W-E, Barmelweid 17 (4,1), Bözberg 17 (3,4), Aarau 16 ^{3/4} NW-SE (K_z ● 8,9), Kirchleerau 16 ^{3/4} W-E (24,3), Zofingen p (8,3), Muri abds. (22,2), Zurzach 16 ^{1/2} -18 ^{1/2} W-E, Lanfenburg abds. (1,6), Unterhallau 16 ^{1/2} -18 (2,1), Wilchingen 18-19 (3,0), Schleithem 17 ^{1/2} -18 ^{1/2} (1,7), Buch 19 im E. (1,5), Stein a. Rh. 18 ^{1/2} SE-NW, Diessenhofen 19 (2,1), Kalchrain 19 (7,0), Niederneunforn abds. (6,7).
	b	11-20	SW-NE	150	35	●▲	Gewitterfront im Mittelland: Beatenberg 15 im NW und 15 ^{1/2} im SE (19,0), Flühli 15-abds. (49,0), Pilatus 15 ^{1/2} K_z ●▲ ² (38,2), Luzern 15 ^{3/4} K_z (23,4), Werthenstein 14-18 ^{3/4} W-NE, Buchsteg 16-19 (26,6), Meiringen 16 (19,0), Weggis 16 (47,0), Rigi 16 ^{3/4} -18 (44,1), Münster abds. (23,2), Gersau 16-17 ^{1/2} K_z ●▲ (40,0), Küsnacht a. R. p (36,5), Rickenbach 16 ^{3/4} SW-NE (13,0), Steinen 16 ^{1/2} W-E, Walchwil 16 ^{1/2} -17 ^{1/4} (31,7), Einsiedeln 16, Unteraegeri 16 ^{1/2} (47,2), Vorderthal 16 ^{1/2} ●▲ (26,6), Lachen p (26,8), Sihlbrugg 16 ^{3/4} SW-NE, Mettmenstetten 17 ^{1/2} (38,5), Sihlwald 17 ^{1/2} (38,4), Ilorgen 16 ^{1/4} -19 SW-NE (20,9), Schönenberg 17 ^{1/4} -18 (25,8), Grüningen 17 (14,0), Pfannenstiel p (7,6), Zollikon 17-19 ^{1/2} (9,8), Zürich p (10,3), Hinwil 17 ^{1/4} W-E (20,1), Sternenberg 17 ^{1/2} (K_z ● 66,4), Winterthur 16-18 ^{1/2} SW-NE (9,4), Uster 17 ^{3/4} SW-NE (K_z ● 7,0), Hochfelden 17 ^{1/2} (5,6), Thundorf 17 (8,1), Eschensch von 17 ^{1/2} an (6,3), Dussnang 16-20 (46,0), Steckborn 17 ^{1/2} (K_z ● 2,6), Aadorf p (9,0), Affeltrangen abds. (13,9), Bischofszell 17-20 (9,5), Kreuzlingen 18 SW-NE (8,0), Arbon p (31,6), Kirchleerau 15 ^{1/2} (K_z ● 0,9), Unterkulm 16 ^{1/2} (22,0), Möhlin 16 ^{1/4} W-E (2,9), Baden 16-17 (5,5), Brugg 16 ^{3/4} NW-SE, Böttstein 16 ^{3/4} (6,0), Lampenberg 16 ^{1/4} , Liestal 16 aus W (7,1), Langenbruck 16 ^{1/4} (K_z ● 15,3), Glarus 17 ^{1/2} (2,5), Degersheim abds. (17,5), Hof-Oberkirch abds. (33,9), Weesen abds. (11,1), Ebnet abds. K_z ●▲ (41,0), Urnäsch p (14,1), Befang abds. (14,7), Sintis 18 K_z ●▲ (5,6), Heiden 18 (35,2), Schwäbrig 18 ^{1/2} (15,5), Gossau 17 ^{3/4} , St. Gallen 18 (10,0), Herisau p (11,9), Teufen abds. (7,3).
24.	a	14 20 ^{1/2}	W-E	150	35	●▲	Eine Gewitterfront im Norden: Pfeffingen 14 K_z im NNW, Aesch p, Riehen 14 ^{1/4} -14 ^{1/2} K_z ●▲, Therwil 14, Basel 14 ^{1/4} K_z ●▲ SW-NE, Basel-Augst 14 ^{1/4} -14 ^{3/4} und 15 1 ^{1/4} , Binningen 14 ^{1/4} K_z ●▲ SW-NE (K_z ● 20,5), Reigoldswil p, Kilchberg p, Möhlin 14 ^{1/2} W-E (6,0), Rheinfelden 15 ^{1/2} (5,5), Unterkulm 15 ^{1/2} (17,7), Zofingen 15 ^{1/2} SW-NE (5,9), Aarau 15 ^{1/4} W-E (21,4), Thun 15 W-E, Beatenberg 16-16 ^{1/4}

Datum	Bezeichnung der Gewitter	Zeit des hörbaren Donners	Richtung der \mathbb{K} oder des Zuges	Zurückgelegt. Weg in km pro Stunde	Art der Niederschläge	Betroffene Gegend und weitere Bemerkungen
						W-E (13,1), Heiligenschwendi 15 $\frac{1}{2}$ -16 $\frac{1}{2}$ (17,2), Kirchleerau 15 $\frac{1}{2}$ \mathbb{K} ● ▲ SW-NE (22,5), Muri 16-18 (12,8), Bözberg 16 (12,2), Baden 16 (21,3), Brugg 15 $\frac{1}{2}$, Zurzach 16 $\frac{1}{2}$ W-E, Laufenburg abds. (10,9), Fluhli 14-abds. (48,6), Werthenstein 15 $\frac{1}{2}$ -17 W-E, Stans p (28,4), Pilatus 16 $\frac{1}{2}$ (38,1), Luzern 16 $\frac{1}{2}$ (29,1), Weggis 16 $\frac{1}{2}$ (32,8), Münster 16 (18,8), Küssnacht p (\mathbb{K} ● 18,8), Gersau 17 (18,0), Rickenbach 17 $\frac{1}{2}$ (9,8), Otelfingen 16 (12,0), Zürich 16 $\frac{1}{2}$ WNW-ESE (18,2), Hochfelden 16 $\frac{1}{2}$ (19,1), Dietikon abds. (7,7), Pfannenstiel abds. (25,3), Hinwil 17 $\frac{1}{2}$ W-E (24,0), Niederhasli p (25,3), Uster 17 $\frac{1}{2}$ (18,2), Seebach 16 $\frac{1}{2}$ aus NW, Winterthur 17 W-E, Rheinau 16 (7,5), Wilchingen 16 $\frac{1}{2}$ -18 (\mathbb{K} ● 7,3) (9,3), Unterhallau 16 $\frac{1}{2}$ W-E (11,4), Schleithelm 16 $\frac{1}{2}$ -17 $\frac{1}{2}$ (13,5), Schaffhausen 16-17 (15,5), Merishausen abds. (8,7), Lohn 16 $\frac{1}{2}$ -17 $\frac{1}{2}$ (7,8), Stein a. Rh. 17 W-E, Diessenhofen 16 (9,0), Eschenz 16 $\frac{1}{2}$ -20 $\frac{1}{2}$ (17,4), Niederneunforn abds. (20,0), Kalchrain 17 (16,3), Haidenhaus von 16 an (15,2), Aadorf p (11,2), Thundorf 17 (13,4), Steckborn p (\mathbb{K} ● 4,7), Dussnang von 17 an (17,5), Bischofzell 18 (5,6), Altnau 18 (5,3), Hof-Oberkirch abds. (7,8), Urnäsch p (9,0), St. Gallen 17 $\frac{1}{2}$, Appenzell 18 $\frac{1}{2}$ W-E, Weesen abds. (1,3), Altstätten abds. (1,5).
Juli 1.	a	12 $\frac{1}{2}$ -20 $\frac{1}{2}$	WSW-ESE	250 35	● ▲	Montcherand 13, au nord du Suchet. Vouvy 12 $\frac{1}{2}$ (11,6), Rochers de Naye 13 $\frac{1}{2}$ (22,0), Château d'Oex, depuis 13 $\frac{1}{2}$ (11,4), La Valsainte 14 (\mathbb{K} ● 5,0), Jaun 14 (15,5), Fribourg 14 $\frac{1}{2}$, Kienthal 14 $\frac{1}{2}$ (41,3), Frutigen von 15 an (24,1), Uttigen 14 (\mathbb{K} ● 3,9) \mathbb{K} kam aus W, wurde dann nach N das Aaretal abwärts gedrängt, Thun 15 (5,8), aus Stockhornkette ins Simmental, Heiligenschwendi (21,6), Beatenberg 15 (6,9), Bern 15 $\frac{1}{2}$ -16 (\mathbb{K} ● 2,6), Aarberg p (5,4), Langnau 15 $\frac{1}{2}$ (13,5), Brienz 15 $\frac{1}{2}$ -21 (8,1), Burgdorf 15 $\frac{1}{2}$ (4,3), Grosshöchstetten d (6,6), Wasen i. E. p (15,1), Affoltern i. E. 16-17 (9,5), Herzogenbuchsee 16 (2,1), Lungern 15 $\frac{1}{2}$ \mathbb{K} ▲ von SE nach W (14,0), Sarnen 15 $\frac{1}{2}$ -17 \mathbb{K} (39,0), Entlebuch 16-18 (12,0), Buchsteg p (10,4), Werthenstein 16 $\frac{1}{2}$ SW-NE (\mathbb{K} ● 18,8), Pilatus 16 $\frac{1}{2}$ (7,2), Luzern 16 $\frac{1}{2}$ (16,8), Stans 16 $\frac{1}{2}$ S-N (40,8), Weggis 16 $\frac{1}{2}$ aus SW (4,5), Aesch 16 (4,0), Hochdorf 16 $\frac{1}{2}$ SW-NE, Muri 17 (6,6), Zofingen 15-18 (2,4), Kirchleerau 14-18 $\frac{1}{2}$ (2,2), Kölliken 15 $\frac{1}{2}$ -17 $\frac{1}{2}$ (2,8), Aarau 16 $\frac{1}{2}$ -19 SE-NW (\mathbb{K} ● 0,8), Allerheiligenberg 16-18 $\frac{1}{2}$ (1,3), Zug 16 $\frac{1}{2}$ NE-SW (18,5), Walchwil 16 $\frac{1}{2}$ (13,1), Steinen 16 $\frac{1}{2}$ W-NE, Rickenbach 16 $\frac{1}{2}$, Rigi 16 $\frac{1}{2}$ -18 $\frac{1}{2}$ (17,0), Gersau 16-17 (8,4), Willerzell 17 (9,0), Lachen p (\mathbb{K} ● 26,3), Küssnacht a. R. p (\mathbb{K} ● 16,8), Unteraegeri abds. (6,8), Lorzentobel p (13,2), Lampenberg 17 $\frac{1}{2}$, Sihlbrugg 17 $\frac{1}{2}$ S-N, Niederuster 17 $\frac{1}{2}$ S-NE (\mathbb{K} ● 3,8), Sihlwald 17 $\frac{1}{2}$ (\mathbb{K} ● 13,1), Horgen 16-18 SW-NE (13,3), Thalwil abds. (28,7), Gränigen 17 $\frac{1}{2}$ (8,8), Dietikon abds. (4,5), Hinwil 17 $\frac{1}{2}$ W-E (15,8), Männedorf abds. (7,0), Bauma 18-19 (16,0), Uetliberg abds. (14,8), Zollikon bis 20 (14,6), Zürich 17-20 \mathbb{K} , 18 $\frac{1}{2}$ über Station S-N (11,8) Sternenberg p (6,0), Fehraltorf abds. (13,3), Hochfelden 17 $\frac{1}{2}$ -20 (3,4), Otelfingen 18 (3,1), Sargau 18 (6,9), Winterthur 18 $\frac{1}{2}$ W-E (12,6), Gossau 19 $\frac{1}{2}$ W-E, Appenzell 19 $\frac{1}{2}$ aus S. Blitzschlag auf Ebenalp 4 Kühe und einige Schweine erschlagen (13,5), Säntis 18 $\frac{1}{2}$ -19 $\frac{1}{2}$ \mathbb{K} (2,2), Urnäsch abds. (2,5), Befang p (1,4), Weesen abds. \mathbb{K} ● ▲ (11,8), Ricken p (9,9), Herisau p (2,5), Schwübrig 17 $\frac{1}{2}$ (4,0) Starkonbach abds. (13,4), Teufen abds (2,0), Heiden 20 $\frac{1}{2}$ (2,9), Altstätten 19 $\frac{1}{2}$ -20 (6,7), Tannegg-Dussnang von 17 $\frac{1}{2}$ an (10,9), Aadorf abds. (1,4), Kollbrunn p (16,1), Eschenz 18 $\frac{1}{2}$ (1,4), Steckborn 19 (1,8), Diessenhofen 19 (0,3), Stein a. R. 18 $\frac{1}{2}$ W-E, Wilchingen 18-18 $\frac{1}{2}$ (0,3), Schleithelm 19 i. E. (0), Merishausen 19 (0,1), Schiers 18, kein Regen, St. Antonien p (3,6), Scarl abds. (17,0).
	b	14-15 $\frac{1}{2}$	W-E	20 20	● ▲	Basel-Binningen 14-15 $\frac{1}{2}$ SW-NE (3,0), Aesch 14-16 \mathbb{K} , 14 $\frac{1}{2}$ ▲, Therwil 14 $\frac{1}{2}$ W-E, Pfeffingen 14 $\frac{1}{2}$ \mathbb{K} ● ▲, Körner bis zur Grösse von Taubeneiern, grosser Schaden in Gärten und an Kirschen, Basel-Augst 14 $\frac{1}{2}$ -15 $\frac{1}{2}$, Blitzschlag in das Schalthaus des Kraftwerkes Wylen, in die Starkstromleitung auf dem Leitdam, in einen Kirschbaum am Giebenersträsschen und in einen Kirschbaum beim Schützenhäuschen Augst, Liestal 15 aus W (5,7), Arisdorf mittags, Wintersingen nachmittags.
	c	14-18	W-E	10 20	● ▲	Le Sentier 15 (32,6), Baulmes 16 (26,1), Corcelles 14-18 (23,2), Montcherand 16 (\mathbb{K} ● 6,5), Vallorbe p (55,2), La Cure p \mathbb{K} ● ▲ (65,1), Yverdon 18 (21,0), Cossonay 17 (22,6), Marcellin 17 $\frac{1}{2}$ (26,0), Lausanne 17-17 $\frac{1}{2}$ (29,3), Rossenges 17 $\frac{1}{2}$ -22 (23,9) Les Ponts de Martel 16 $\frac{1}{2}$ (\mathbb{K} ● 1,9), Grandchamp 17 (11,4), Taillières p (15,8), Serrières p (10,5), Morat 17 (8,1), La Valsainte 18 (\mathbb{K} ● 8,5).

Datum	Berechnung der Gewitter	Zeit des hörbaren Donners	Richtung der \bar{K} oder des Zuges	Zurückgelegter Weg in km	Weg in km pro Stunde	Art der Niederschläge	Betroffene Gegend und weitere Bemerkungen
Juli 6.	-	13 ¹ / ₂ -21 ¹ / ₂	SW-NE	200	50	●▲	<p>Gewitterfront: Châtelard 13¹/₂ W-E, L'Auberson 14¹/₄ (\bar{K} ● 8,4), Valeyres 13¹/₂ (20,0), Montcherand 13³/₄ (\bar{K} ● 11,2), Leysin 14¹/₄ (11,3), Les Taillières 14 (10,8), Grandchamp 15 (6,7), La Roche p (15,5), Fribourg 15, WSW-ENE (29,3), La Valsainte 14¹/₂ (\bar{K} ● 1,8), Jaun p (15,0), Leukorbad 15 (12,2), Adelsboden 15 \bar{K} ● ▲, strichweise Hagelkörner bis Hühnereiergrösse, grosser Schaden (37,4), Frutigen von 14 an (27,6), Lauenen p (30,0), Kienthal p (18,3), Lauterbrunnen p (15,3), Grindelwald 15 (12,4), Thun 15¹/₂ (8,2), Interlaken 14¹/₂, ▲ über den Untersee (19,7), Beatenberg 14¹/₂-16¹/₂ (39,5), Uttigen 15³/₄ (\bar{K} ● 2,5), Belp p (27,7), Bern 15¹/₂ (43,3), Brienz 15¹/₄-17¹/₄ (36,9), Meiringen 15-17 (8,2), Grosshöchstetten p (16,0), Wasen i. E. p (10,4), Burgdorf 16 W-E (16,4), Herzogenbuchsee 16 (15,8), Langnau 16 (31,5), Heiligenschwendi p (16,1), Wiedlisbach 16¹/₄ W-E, Biel 16¹/₂, coup de foudre sur ligne de contact entre Bettlach-Selzach et Bienna-Zollikofen, Mont Soleil 15¹/₂-19 (21,1), Saignelégier 15¹/₂-16¹/₂ (30,0), Mervelier p (15,5), Delémont 16¹/₂ (11,2), Therwil 17, Waldenburg 17, Langenbruck 16¹/₂ (\bar{K} ● 22,2), Basel-Binningen 16-18 im E (11,2), Liestal 16¹/₄ aus W (11,4), Wintersingen 17, Luzern 16¹/₂ (\bar{K} ● 20,3), Buchsteg p (38,0), St. Urban 17-17³/₄ (9,8), Münster 16¹/₄ (12,7), Lungern 15¹/₄ von SE (30,3), Werthenstein 16¹/₄ WNW-ESE (\bar{K} ● 16,8), Sarnen seit 16 aus SW (14,0), Stans 16¹/₄ W-E, Weggis 16¹/₂ (11,8), Küsnacht a. R. p (\bar{K} ● 12,7), Passwang p (23,7), Niedergerlafingen 16-18³/₄ (43,1), Solothurn 16¹/₄ W-E (27,7), Allerheiligenberg 16¹/₄ W-E (21,6), Olten 17 (19,0), Altdorf 16¹/₄, 17, Auen-Linthal 17¹/₄ S-N, Rickenbach 16³/₄ SW-NE (\bar{K} ● 7,3), Willerzell 17 (7,1), Steinen 16³/₄ SE-NW, Gersau 17¹/₂-20 (7,8), Rigi 16³/₄-18 \bar{K} mit Blitzschlägen (47,9), Oberiberg nach 16 (6,3), Sattel p (21,1), Zofingen 16¹/₂ SW-NE (27,0), Muri 17 (15,0), Kölliken 16¹/₄-18 (14,1), 16³/₄ Blitzschlag in 50 m Entfernung von der Station in einen eisernen Mast der elektrischen Kraftleitung, Unterkulm 16¹/₂ (6,9), Kirchlaerau 16¹/₂ SW-NE (10,1), Aarau 16¹/₄ W-E (27,2), Möhlin 16¹/₄ W-E (11,1), Rheinfelden 17-21 (10,0), Bözberg 16-17 (15,1), Zurzach 17¹/₄ W-E, Hochfelden von 17 an (9,0), Andelfingen p (25,8), Schönenberg 16³/₄-19¹/₂ (25,2), Rheinau p (36,1), Otelfingen 17 (9,7), Mettmenstetten 17¹/₄ (25,1), Sihlwald p (23,6), Sternenberg p (13,0), Pfannenstiel p (17,3), Horgen 16³/₄-17¹/₂ SW-N (7,7), Männedorf abds. (14,3), Küsnacht (Zeh.) abds. (18,6), Dietikon abds. (16,1), Bauma 17¹/₂-20 (\bar{K} ● 9,0), Sihlwald 17¹/₄ W-E (23,6), Sihlbrugg 17 S-N, Grüningen 17 (13,2), Hinwil 17¹/₄ (14,9), Niederuster 17¹/₄ W-E (12,0), Winterhur 17³/₄ SW-NE, elektrische Birnen und Sicherungen wurden zerstört (23,6), Fehraltorf abds. (21,2), Rheinau 17¹/₂ SW-NE (27,0), Kollbrunn abds. (18,4), Zug 16¹/₄ (27,6), Unteraegeri 17 (28,9), Morgarten 17 (41,1), Lorzentobel p (21,5), Aadorf abds. (18,2), Niederneunforn p (13,2), Dussnang von 18 an (13,5), Kalchrain 17 \bar{K} Sturm (27,0), Haidenhaus 18 W-E (37,0), Diessenhofen 18 (66,0), Kreuzlingen 18-22 W-E (13,7), Bischofzell 17 (20,8), Arbon p (19,8), Schleithelm 17¹/₄-21 W-E (53,5), Wilchingen 18-22 (15,3), Unterhallau 18¹/₂ W-E (16,9), Schaffhausen 17³/₄ aus SW (47,6), Lohn 18¹/₂ W-E (\bar{K} ● 53,8), Merishausen 17¹/₂ \bar{K} ● (50,6), Buch 17¹/₂ (55,7), Thayngen p (46,1), Stein a. Rh. 17¹/₄ W-E, Sargans 17³/₄ S-N (\bar{K} ● 1,0), Wallenstadt p (7,5), Weesen abds. (10,2), Rapperswil p (11,1), Wildhaus 17 (14,2), Säntis ab 18 (11,2), Starckenbach abds. (15,6), Ebnat abds. (8,8), Ricken abds. (9,5), St. Peterzell p (12,0), Befang 18 (28,2), Teufen 18 (18,2), Urnäsch abds. \bar{K} ● ▲ (19,0), Degersheim p (20,4), Gossau 18¹/₄ SW-NE, St. Gallen 18¹/₄ W-E \bar{K} ● ▲ (35,0), Herisau p (18,9), Appenzell 18 W-E, Heiden 18 \bar{K} (6,9), Schwäbrig 18¹/₄ \bar{K} (12,5), Altstätten 18¹/₂-19 (5,5), Rorschach abds. (24,6), Platta 18¹/₄-21¹/₄ \bar{K} ●, Schiers 18-21¹/₂ stürmisch (0,1), Seewis 18 \bar{K} im W (0,2), St. Antonien p (0,4).</p>
10.	-	12 ¹ / ₂ -21 ¹ / ₄	NW-SE	200	25	●▲	<p>Gewitterfront: Basel 12¹/₂ W-E, Binningen 13 NW-SE (\bar{K} ● 32,3) 30 $\frac{m}{m}$ in 15 Min., Basel-Augst 12¹/₄-14, Pfeffingen 12³/₄, Aesch 12³/₄, Therwil 12¹/₄ W-E, Reigoldswil 13, Lampenberg 13, Waldenburg 13, Bennwil 13 W-E, Liestal 13 aus NW (10,3), Wintersingen 13-14, Arisdorf mittags, Langenbruck 13¹/₂ (\bar{K} ● 7,2), Rheinfelden 13-13¹/₄ (18,4), Möhlin 13 NW-E (\bar{K} ● 0,8), Barmelweid 13¹/₂ (3,9), Olten 13¹/₂ \bar{K} ● W-E (18,5), Passwang p (10,1), Niedergerlafingen 14-15¹/₂ (13,2), Wiedlisbach 14 W-SE, Zofingen 13¹/₄ (9,9), Kölliken 13³/₄ (9,0), 13³/₄ Blitzschlag in Lichtleitung in Holziken, Brand in einer Scheune, Aarau 13³/₄ NW-SE (3,9), Zofingen 13¹/₄ NE-SW, Muri 14¹/₂, Aesch 14 (8,2), Münster 14¹/₄ (14,3), St. Urban 13¹/₂-14¹/₄ (8,6), Werthenstein 14¹/₄ (3,6), Burgdorf 14 (5,3), Lohn 14³/₄-15¹/₂ (3,1), Stein a. Rh. 15¹/₄ W-E, Sihlwald 14³/₄ (\bar{K} ● 2,2), Hinwil von 15¹/₂ an (3,5), Grüningen 15¹/₂ (6,3), Pfannenstiel p (5,8), Schönenberg 15¹/₄-16¹/₄ (11,5), Mettmen-</p>

Datum	Bezeichnung der Gewitter	Zeit des hörbaren Donners	Richtung der K_z oder des Zuges	Zurückgelegter Weg in km	Weg in km pro Stunde	Art der Niederschläge	Betroffene Gegend und weitere Bemerkungen
							<p>stetten 15 (8,1), Zug 14³/₄ W-E, Lorzentobel 15 (12,1), Sattel p (29,4), Steinen 15¹/₄ K_z ●▲ W-E, Unteraegeri p (10,7), Walchwil 15¹/₄ Rigi 15 (28,4), Kiüssnacht a. R. (K_z ● 5,7), Rickenbach 15¹/₂ NW-SE, Willerzell 15¹/₂ (16,5), Morgarten 16 (16,0), Oberberg 16 (19,1), Kreuzlingen 16³/₄ NW-SE (8,9), Steckborn 15¹/₂ (K_z ● 3,4), Genève 16¹/₄ (7,0), Echallens 15³/₄, Marcellin 15 (1,4), Corcelles 16-17 (6,8), Rossenges 16-21 (10,8), Lausanne 15¹/₄-16 (5,2), Savatan p (9,0), Romont depuis 16¹/₄ (30,2), Fribourg 16³/₄ (7,9), La Valsainte 16³/₄ SW-E (8,9), Jaun 17 (21,2), Marsens 17-18 (18,0), Affoltern i. E. 15-16 (13,1), Brienz 16 (32,0), Beatenberg 16, Blitzschlag in einen Heustadel, vollständige Einäscherung (42,9), Frutigen p (19,2), Adelboden von 17 an (16,2), Kienthal 17-18 (18,1), Lanterbrunnen p (27,5), Interlaken 17 (29,3), Thun 17¹/₄-18¹/₂, Leukerbad 18 (5,6), Auen-Linthal 15¹/₂ W-E (9,0), Glarus 17 (14,9), Säntis 16 K_z 16¹/₄ ▲ (13,4), Vättis 16¹/₂-17¹/₂ (3,8), Sargans 16¹/₂ NW-SE (K_z ● 3,3), Altstätten 15-16 (19,3), Wallenstadt p (8,9), Weesen p (19,3), Starckenbach 16¹/₂ (16,4), Degersheim 16 K_z ●▲ (18,0), Teufen 16³/₄ (14,1), in Wald (Appenzell) wurde durch Blitzschlag eine weidende Kuh getötet, Gossau 16¹/₄ S-N, Heiden 16 (22,1), Triesenberg p (11,7), Rorschach p (11,2), St. Gallen 16³/₄ NW-SE (K_z 8,3), Schüers 17-18 W-E (2,0), Bernhardin 18-18³/₄, Filisur abds. (1,0), Braggio 19¹/₄ von N und 19¹/₂-20 (4,5), Grono 19¹/₂ (8,6), Brusio abds. (4,5), Bellinzona 19¹/₄ (5,1), Carena 19 (10,0), Tremorgio p (K_z ● 1,1), Gimbiasco 19¹/₂ N-S, Locarno 19¹/₂-20 (0,1), Crana Torricella 19-20 (8,6), Lugano 20¹/₄-22 (1,5), Mezzana 21¹/₂ (2,0).</p>
Juli 17.							Es sind drei Hauptgewitterzonen:
a	15-18	W-E	30 20	●▲			Umgebung von Basel: Basel 15 W-E, Binningen 15 ¹ / ₂ (K_z 2,7), Basel-Augst 15-16 ¹ / ₂ , Aesch 16-23 K_z , 16 ¹ / ₄ ▲, Pfeffingen 16 K_z ▲, Reigoldswil 16, Therwil 16-17, Wintersingen 16, Liestal 16 ¹ / ₄ aus W (12,0), Rheinfelden 16-18 (16,4), Möhlin 16 ¹ / ₄ W-E, Olten 16 T.
b	16 ¹ / ₂ -18 ³ / ₄	W-E	60 30	●▲			Schaffhausen -- Untersee -- Zürich: Schleithelm 16 ³ / ₄ -17 (9,1) und 15 ³ / ₄ -16 ¹ / ₂ , Wilchingen 17 17 ¹ / ₂ (K_z ● 3,6), Unterhallau 17 NW-SE (3,6), Schaffhausen 17-18 (10,1), Merisshausen 17 (9,0), Buch 17 ¹ / ₄ -18 ³ / ₄ ▲●, 17 K_z im NE (9,5), Lohu 16 ¹ / ₂ -17 ¹ / ₂ W-E (5,0), Stein a. Rh. 17 ¹ / ₂ W-E, Diessenhofen 17 K_z ●▲ (9,8), Eschenz 17 ¹ / ₂ (0,7), Steckborn 17 ³ / ₄ (K_z ● 1,5), Kreuzlingen 18 ¹ / ₂ K_z ●▲ S-N (7,8), Niederuster 17 ³ / ₄ SW-E (K_z ● 1,5), Sihlwald von 17 ¹ / ₂ an (1,8), Rheinau p (8,6), Pfannenstiel p (16,0), Hinwil von 18 an (35,6), Grüningen 17 ³ / ₄ (26,6), Bauma 18-18 ¹ / ₄ (K_z ● 8,0), Steinen 18 ¹ / ₄ W-E.
c	17-21 ¹ / ₂	NW-SE	30 25	●▲			Schwyz, Zürich, St. Gallen: Niederuster 19 ¹ / ₄ (K_z ● 0,7), Männedorf abds. (27,7), Schönenberg 19 K_z ●▲ (37,0), Sternenberg p abds. (29,3), Thalwil n (17,18.) (28,2), Bauma 18 ³ / ₄ (K_z ● 2,0), 19 ¹ / ₄ (K_z ● 8,4), Lorzentobel 19, n, (12,2), Morgarten abds. (25,5), Unteraegeri p K_z ●▲ (30,1), Rickenbach p (12,3), Lachen p (12,4), Rigi 18-20 ¹ / ₂ K_z ●▲ (27,0), Gersau 17-20 ¹ / ₂ K_z ●▲ (8,3), Weggis 19 (34,1), Stans abds. (12,0), Glarus 19 (1,9), Nollen 19 ¹ / ₂ furchtbarer Sturm mit ▲ (34,6), Bischofszell 19-20 (25,2), Aadorf p (10,6), Sulgen p (26,2), Arbon p (8,4), Eschlikon abds. (18,0), Gossau 19 W-NE, St. Gallen 19 ³ / ₄ (6,5), Säntis 19-21 (3,2), Heiden 20 ¹ / ₄ (7,0), Weesen abds. (2,4), Altstätten 21 ¹ / ₂ (5,8), Altdorf 20 ¹ / ₄ T im N.
21.	15 ¹ / ₄ -22	SW-NE	250 80	●			Gewitterfront: Genève p K_z local (11,8), Marcellin 15 ¹ / ₄ (10,0), L'Auberson 15 ¹ / ₂ K_z ● ² bourrasque de NE, Lausanne 15 ¹ / ₄ grain d'orage (24,2), Rossenges 16-21 (25,4), Château d'Oex 16 T, grand vent d'ouest (25,0), Savatan 16 (26,4), Romont 15 ³ / ₄ (28,7), La Valsainte 16 SW-NE (K_z ● 4,9), Marsens 15 ¹ / ₂ ● T \swarrow (22,0), Freiburg 16 T (13,4), Murten 17 (17,0), Bern 16 ¹ / ₄ aus NW (K_z ● 3,2), Burgdorf 16 ³ / ₄ W-NE (15,5), Aarberg abds. (13,0), Langnau 16 ¹ / ₂ -17 ¹ / ₄ (22,6), Affoltern i. E. 16 ¹ / ₂ (15,0), Uttigen 16 ¹ / ₂ (K_z ● 1,0), Barmelweid 17 (9,1), Kölliken 17 (K_z ● 5,7), Zofingen 17-17 ³ / ₄ K_z aus NW (24,4), Aarau 17 SW-NE (15,4), Kirchleerau 17 ¹ / ₄ W-SE (6,0), Muri 17 ¹ / ₂ (16,5), Münster 17 (15,7), Hochdorf 17 W-E, Werthenstein 17 W-E (5,0), Pilatus 17 (11,6), Sarnen 17 ¹ / ₄ (4,9), Luzern 17 ¹ / ₂ (21,5), Kiüssnacht a. R. p (K_z ● 7,4), Rickenbach 17 (5,7), Lorzentobel p (13,7), Morgarten 17 ¹ / ₂ (15,5), Walchwil 17 ¹ / ₂ -18 (12,7), Sihlwald 17 ³ / ₄ W-NE (K_z ● 6,0), Horgen 17 ¹ / ₂ von W (14,5), Schönenberg 17 ¹ / ₂ -19 ¹ / ₄ (15,4), Zürich 17 ¹ / ₂ K_z bde \swarrow (18,2), Dietikon abds. (22,4), Otelfingen 18 (15,4), Hochfelden von 17 ¹ / ₂ an (11,5), Winterthur 17 ³ / ₄ von W, Niederuster 17 ³ / ₄ SW-NE (K_z ● 6,8), Kollbrunn abds. (16,6), Fehraltorf 17 (20,4),

Datum	Berechnung der Gewitter	Zeit des hörbaren Donners	Richtung der K_z oder des Zuges	Zurückgelegter Weg in km	Weg in km pro Stunde	Art der Niederschläge	Betroffene Gegend und weitere Bemerkungen
							Grünigen 17 ³ / ₄ (10,3), Hinwil von 17 ³ / ₄ an (13,4), Aadorf p (11,0), Diessenhofen 18 (10,6), Dussnang von 18 an (16,1), Eschlikon 18 (13,5), Kalchrain K_z (10,8), Arbon p (6,3), Wilchingen 17—22 (5,4), Unterhallau 17 ¹ / ₂ (K_z ● 4,4), Gossau 18 ¹ / ₄ W-E, St. Gallen 18 ³ / ₄ (6,1), Appenzell 18 ¹ / ₂ W-E, Befang 18 (13,1), Säntis 18 ¹ / ₂ bis n (11,6), Heiden 18 (8,7), Schwäbrig 18 ¹ / ₄ (11,0), Urnäsch abds. (12,4), Herisau p (7,8), Altstätten 19—19 ¹ / ₂ (6,5).
Aug. 2.	a	15-21 ¹ / ₂	W-E	100	25	● ▲	Gewitterfront im Jura: Le Sentier dès 15 (35,6), Vallorbe dès 15 (22,5), L'Abergement 15 ¹ / ₂ (22,0), Baulmes 16 (19,5), L'Auberson 16—22 (12,8), Romainmôtier p (20,4), Corcelles 16—18 (14,8), Yverdon 16 ³ / ₄ (14,2), Longirod p (28,4), Rossenges s. Moudon 16 ¹ / ₄ (15,8), Leysin 16 ¹ / ₂ (30,0), Lausanne 16 ³ / ₄ —17 ³ / ₄ (27,5), Savatan 16 (11,2), La Brévine 15 K_z ● ▲ (11,0), Lac des Taillières p K_z ● ► (15,7), Les Ponts-de-Martel 15 ³ / ₄ SW-NE (K_z ● 15,6), La Chau-de-Fonds 15—17 (26,4), Dombresson dès 14 ● ▲ (15,3), Grandchamp p (13,5), Fribourg 17 ¹ / ₂ —18 (15,6), La Valsainte 17 ¹ / ₂ SW-E (29,0), Jasn 17 ¹ / ₂ (25,5), Genève 17 ¹ / ₂ (10,1), Châtelard 16 ¹ / ₄ K_z ● ▲ W-E, 19 ³ / ₄ —21 ¹ / ₂ W-E, Montana 21 (8,2), Sitten 20 ¹ / ₂ —21 ¹ / ₄ (10,3), Saingelégier 16 ¹ / ₂ (14,4), Mont-Soleil p (34,6), Mervelier abds. K_z ● ▲ (5,4), Mormont abds. (16,4), Bern 18 (K_z ● 5,6), Uttigen 18 W-E, Aarberg abds. (16,5).
	b	15 ³ / ₄ —20	W-E	150	40	● ▲	Gewitterfront in der Nord- und Zentralschweiz: Binningen 15 ³ / ₄ SW-NE (K_z ● 15,9), 16 ¹ / ₂ —17 ¹ / ₄ (21,6), Pfeffingen 16 ¹ / ₄ K_z ▲ ● (31,0), Aesch 16 ¹ / ₄ K_z ▲, Basel-Augst 16 ¹ / ₂ —17 ¹ / ₄ K_z ● ² Orkan West. Der Orkan hat hier Dächer abgedeckt und Bäume entwurzelt. Riehen 16 ¹ / ₂ , Wintersingen 16 ¹ / ₂ K_z mit starkem Sturm, Liestal 16 ³ / ₄ aus NW (30,9), Neuwelt p, Lampenberg 16 ³ / ₄ K_z Orkan, Therwil 17, Reigoldswil K_z ² von W, Eptingen p, Bennwil mittags Orkan, Arisdorf 17—17 ¹ / ₄ K_z mit Orkan. in dieser Zeit (22,3 $\frac{mm}{m}$), Waldenburg p, Kilchberg p, Rheinfelden 16 ³ / ₄ K_z und Sturm (29,9), Möhlin 16 ³ / ₄ W-E (K_z ● 14,9), Beznau 18 ¹ / ₄ SW-NE (K_z ● 4,5) Orkan, grosse Bäume entwurzelt, Baden 17—18 orkanartiger Sturm (12,1), Kirchleerau 17 ³ / ₄ W-E (K_z ● 6,4), Brugg 17 ¹ / ₄ —18 ¹ / ₂ NW-SE, Aarau 16 NW-SE (16,2) mit Orkan, Barmelweid 17 (13,1), Bözberg abds. (13,0), Kolliken 17 ¹ / ₂ (12,6), Unterkulm 17 ¹ / ₄ (12,7), Muri 18 (12,1), Olten 17 ¹ / ₄ K_z ² (14,9), Passwang p (6,9), Herbetswil p (7,9), Biel p (8,7), Bern 16 ¹ / ₂ —20 T (8,0), Affoltern i. E. (24,4), Thun 16 ¹ / ₂ (23,6), Uttigen 17 ¹ / ₄ W-E, Beatenberg 16 ³ / ₄ NW-SE (15,0), Interlaken 18 (23,3), Frutigen von 17 an (11,6), Kienthal p (15,1), Wasen i. E. p (24,6), Grosshöchstetten p (26,3), Gsteig p (17,3), Werthonsstein 17 ¹ / ₄ W-E (2,0), Luzern 17 ¹ / ₂ (15,0), Pilatus 17 ¹ / ₂ (20,0), Sarnen 17 ³ / ₄ K_z ● ▲ (19,3), Küssnacht a. R. p (14,0), Buchsteg 17 18 ¹ / ₄ (17,5), Flühli 17 (9,5), Aesch 17 (10,0), Münster 17 ¹ / ₂ (14,2), Weggis 18 (13,1), Altdorf 18 ³ / ₄ NW-E, Steinen 18 ³ / ₄ W-E, Walchwil 18 (15,0), Zug 18—20 (28,1), Lorzentobel 18 (21,7), Rigi 17 ¹ / ₄ K_z mit einem Blitzschlag ins Grand Hôtel (17,0), Gersau p K_z Sturm (8,6), Einsiedeln 17 ³ / ₄ (4,4), Mettmensstetten 18 (14,7), Sihlwald 18—19 ¹ / ₄ W-NE (13,1), Thalwil abds. (14,4), Uetliberg abds. (8,1), Zürich 18 ¹ / ₄ (9,4), Pfannenstiel p (18,1), Hinwil 18 ¹ / ₄ W-E (17,8), Uster 19 W-NE (K_z ● 4,0), Oerlikon 17 ¹ / ₂ (7,5), Otelfingen 17 ¹ / ₂ (4,2), Hochfelden 18 (3,3), Winterthur 18 ¹ / ₄ —19 W-E, Unterhallau 18, Buch 17 ³ / ₄ —18 ¹ / ₂ (7,6), Eschenz 18—18 ¹ / ₂ (12,9), Kreuzlingen 19 W-E (8,5), Frauenfeld 18 K_z Sturm (7,7), Thundorf 17 ³ / ₄ (8,8), Aadorf abds. (7,5), Kalchrain 17 ³ / ₄ (7,7), Eschlikon 18 (17,0), Tannegg-Dussnang von 18 ¹ / ₂ an (7,0), Sulgen abds. (8,7), Altnau 18 (6,8), Niederneunforn abds. (5,8), Kreuzlingen abds. (8,5), Bischofszell 17—18 (7,8), St. Gallen 19 ¹ / ₄ SW-E (K_z ● 14,5), Heiden 18 (4,5), Ebnat abds. (6,6), Ricken p (13,9), Flawil abds. (6,7), Herisan p (6,4), Schwäbrig 19 (17,8), Altstätten 19 von W (2,3), Rorschach abds. (4,9), Elm 19 K_z im Anzug, Föhu (15,3).
Sept. 6.	a	12—18	NW-SE	80	30	● ▲	Gewitterfront im Norden: Delémont 12 ³ / ₄ (49,5), Courtelary 13 ¹ / ₄ (8,1), Binningen 13 K_z ● ▲ SW-NE, Hagelkörner von Kirschkerndgrösse (K_z ● 12,5), Basel-Augst 12 ¹ / ₂ —14 ¹ / ₄ , Böckten p, Eptingen mittags, Lampenberg 13, Neuwelt p, Liestal 13 ¹ / ₄ aus N, Reigoldswil 12, Therwil 13 in NE K_z ● ▲, Wintersingen 13—14, Arisdorf mittags, Basel 12 ³ / ₄ —13 ¹ / ₄ , Laugenbruck 13 ¹ / ₂ W-E, Allerheiligen 13 ¹ / ₄ —14 ¹ / ₄ NW-SE (2,4), Olten 13 ³ / ₄ NW-SE (9,1), Barmelweid 13 ¹ / ₂ (14,2), Möhlin 13 N-S (K_z ● 3,9), 14 ¹ / ₂ NW-E (K_z ● 2,0), Rheinfelden 13, Beznau 14 W-NE (K_z ● 2,0), Baden mittags (3,2), Aarau 14 W-E (K_z ● 5,3), Kirchleerau 12 ³ / ₄ —14, Wilchingen 13—15 (10,3), Schleithelm 13—14 ³ / ₄ W-E (11,3), Unterhallau 12 ¹ / ₂ —14 ¹ / ₄ W-E, Schaffhausen 14—15,

Datum	Bezeichnung der Gewitter	Zeit des hörbaren Donners	Richtung der K_{α} oder des Zuges	Zurückgelegter Weg in km pro Stunde	Art der Niedererschläge	Betroffene Gegend und weitere Bemerkungen
						Merishausen p (16,1), Löbningen p (11,3), Thayngen p (11,6), Lohn 13 ¹ / ₄ —15 ¹ / ₄ W-E (14,3), Stein a. Rh. 14 ³ / ₄ , der Blitz schlug ein in: 1) Karolihof bei Ramsen, 2) spaltet einen Leitungsmast in Burg b. Stein, 3) fährt in Rheinnähe in einen Schornstein, Diessenhofen 14 (15,9), Eschenz 14—15 (15,6), Steckborn 14—18 (17,4), Andelfingen p (8,7), Hochfelden 14 ¹ / ₂ (6,6), Otelfingen 14 (3,0), Werthenstein 14 ¹ / ₂ K_{α} ● ▲ WSW-ESE (K_{α} ● 5,6), kein Hagelschlagen. Lungern 16 ³ / ₄ von SE (1,6), Herzogenbuchsee p (3,2), Thun 14 ³ / ₄ K_{α} ● ▲ W-E, 15—16, Beatenberg 15 im N, St. Gallen 16 T im N.
Sept. 6.	b	19—n	W-E	150' 30'	● ▲	Gewitterfront am Abend im Norden: (In der Nacht sind die beobachteten Zeiten wenig genau.) Delémont 19, 21 ¹ / ₂ , 22 ¹ / ₂ , (21 ¹ / ₄ au Zénith) (49,5). Binningen 20 ¹ / ₄ SW-NE (K_{α} ● 4,4). Liestal 20 ¹ / ₄ K_{α} ● ▲ aus SW, Basel-Augst 20—21, Bennwil 20 W-E, Aesch 18—24, Pfeffingen n (6./7.), Waldenburg 21—22, Langenbruck 21 ¹ / ₂ W-E (K_{α} ● 7,6), Weissenstein abds. K_{α} -Sturm (11,1), Olten 22 WNW-ESE (2,0), Burgdorf 19 ¹ / ₂ —20 W-E (3,2), Aarberg n (6./7.) (3,5), Bern 18 ³ / ₄ —19 ¹ / ₄ (0,0), Belp n (6./7.) (1,1), Wasen i. E. abds. (1,8), Guttannen n (6./7.) (8,4), Rveinfelden 20 (12,8), Möhlin 20 ¹ / ₄ W-E, 21 ¹ / ₄ W-E (K_{α} ● für beide zusammen 6,2), Beznau 23 ¹ / ₂ W-E (22 ¹ / ₂ —1 ¹ / ₂) (K_{α} ● 5,4), Bözberg n (6./7.) (7,5), Laufenburg abds. (7,4), Aarau abds. K_{α} -serie, Kolliken n (6./7.) (6,5), Unterkulm 20 ¹ / ₂ (K_{α} ● 7,8), Kirchleerau 23 ¹ / ₄ K_{α} ● ▲ (14,0), Zofingen 21—24 ¹ / ₄ K_{α} ● ▲ (14,0), Muri n (6./7.) 24 (7,5), Schönenberg 23 ¹ / ₂ —24 ¹ / ₂ (2,5), Horgen 22 ¹ / ₂ —0 ¹ / ₂ (2,6), Pfannenstiel n (6./7.) (4,3), Grüningen n (6./7.) (6,4), Hinwil 24 (8,2), Uster 23 und 4 (am 7ten) (5,1), Zollikon n (6./7.) (K_{α} ● 6,5), Zürich 23 ³ / ₄ —24 (4,8), Kollbrunn n (6./7.) (9,3), Rheinau 23—24 (10,8), Winterthur 23 W-E, Dietikon (6./7.) (3,4), Seebach 23 ¹ / ₂ W-E, Münster 23 ¹ / ₂ (10,0), Lorzentobel 23 (4,6), Lachen n (6./7.) (13,2), Schleithelm 22 ¹ / ₂ —1 ¹ / ₄ aus W (11,3), Wilchingen 23—1 ¹ / ₂ (10,3), Unterhallau 23—24 W-E, Schaffhausen 23—2, Merishauseu abds. (16,1), Lohn n (6./7.), Stein a. Rh. 23 NW-E, Buch 23 im NE, 24 ¹ / ₂ über Station (11,6), Haidenhaus n (6./7.) SW-NE, Kreuzlingen 24 W-E, Aadorf n (6./7.) (9,3), Niedernennforn n (6./7.) (10,3), Kalchrain n (6./7.) (7,3), Tannegg-Dussnang n (6./7.) (12,7), Ricken n (6./7.) (32,5), St. Peterzell n (6./7.) (18,7), Hof-Oberkirch n (6./7.) (24,5), Starkenbach n (46,9), Appenzell 23 ³ / ₄ K_{α} ● ▲, Altstätten n (6./7.).

Verzeichnis der bekannt gewordenen Blitzschläge.

März 15. In Schöffland schlug der Blitz in eine Telephonstange ein, zerstörte sie und durchbrannte gleichzeitig die Sicherungen einer grossen Zahl von Telephonstationen. Aarau, Blitzschlag in die elektrische Ringleitung in der Felli in Aarau und in die Lichtleitung bei Schöffland und Staffelbach. Muttenz, Blitzschlag im Unterwerk SBB, Schaltposten zerstört.

April 12. Rigi zwischen 19¹/₄—21 ein Blitzschlag.

April 29. Rigi p, 3 Blitzschläge. Rapperswil abds., Telephon-sicherung durchgebrannt. Münster abds., Blitzschlag in einen Baum. St. Urban, Blitzschlag in eine Tanne, diese wurde von oben bis unten gespalten.

April 30. Kirchleerau früh, Blitzschlag in ein Haus, Zerstörung der Lichtleitung. Clarens p, jusqu'au soir très forts coups de foudre.

Mai 5. Appenzell meldet: Abds. K_{α} , Blitzschlag in der „Rölle“ bei Meisterrüti, eine Frau und zwei Kinder erschlagen, kein Feuer, Materialschaden.

Mai 11. Säntis 16¹/₂, Blitzschlag in Telephonleitung, Leitung unterbrochen.

Juni 1. Ballaigues, 14 heures deux promeneurs furent atteints par la foudre, l'un d'eux fut tué sur le coup.

Juni 2. Aarau abds., Blitzschlag in ein Haus. Bienne coups de foudre sur les lignes Bienne-Zollikofen et Bienne-Neuchâtel.

Juni 3. Puidoux vers 16³/₄, coup de foudre sur ligne énergie chemin de fer.

Juni 7. St. Urban abds., Blitzschlag in Tanne. Roggwil abds., Blitzschläge in Kirchturm und in zwei Privathäuser, Materialschaden aber kein Feuer. Winterthur abds., Blitzschläge in elektrische Leitung und in mehrere Tannen, die zersplittert wurden.

Juni 8. Mervelier 20, Blitzschlag in das Transformatorhaus. Bienne, coup de foudre sur les lignes Bienne-Berne et Bienne-Soleure. Kolliken 21^h, einige Blitzschläge in der Nähe, namentlich in ein Kamin.

Juni 12. Sulzbach, im Giebel hat der Blitz eine ca. 60 cm starke Tanne gespalten. Hinwil abds., durch Blitzschlag wurde eine Scheune eingeschert.

Juni 13. Säntis 8^h 58, Blitzschlag in Station, weitere Blitzschläge am Vormittag.

Juni 14. Unterhallau abds., Blitzschlag in Schuppen mitten im Dorf. Uster, Blitzschlag mit nur leichter Beschädigung an einem Haus.

Juni 15. Davos, Blitzschlag 17^h 29 in das Dach des Observatoriums. Sihlbrugg 18^h 16, Blitzschlag in die Fahrleitung der STB.

Juni 16. Braggio 17, Blitzschlag in Telefonstange 200 m von der Station, Blitzschläge in 3 Lärchen.

Juni 19. Frauenfeld 23³/₄, Blitzschlag in Kamin.

Juni 20. Basel a. Blitzschlag in die Turmspitze des Stationsgebäudes der Basler Strassenbahn auf dem Barfüsserplatz.

Juni 23. Kirchlerau p, Eiche vom Blitz zerschmettert. Haslen (Appenzell) abds., Blitzschlag in Haus und Scheune welche vollkommen verbrannten. Zweiter Blitzschlag in eine andere Scheune, die auch zerstört wurde. Bühler, Blitzschlag in die Hochspannungsstation. Wetzikon 17, zahlreiche Blitzschläge jedoch ohne Schaden.

Juni 24. Blitzschlag in Station SBB Lenzburg. Basel, zwei Mal schlug der Blitz in die Tramleitung der Stadt ein.

Juli 1. Basel-Augst 14¹/₂ -15¹/₂ K. Der Blitz hat eingeschlagen in das Schalthaus des Kraftwerkes Wylen, in die Starkstromleitung auf dem Leitdamm, in einen Kirschbaum am Giebenachersträsschen und in einen Kirschbaum beim Schützenhäuschen Augst. Appenzell meldet: Blitzschlag auf der Ebenalp, vier Kühe und einige Schweine erschlagen. Genève vers le soir, orage avec plusieurs coups de foudre qui occasionnèrent diverses perturbations dans le réseau d'énergie électrique, entre autre à Carouge où trois wagons des tramways furent endommagés. La foudre tomba aussi sur l'un des grands ormes de la villes. Zürich, Blitzschlag in die Umformerstation Albishof, welche vollständig ausbrannte, (Schaden von Fr. 100 000.—).

Juli 2. Rheinau, Blitzschlag in Licht- und Telephonleitung.

Juli 5. Schuls abds., Blitzschlag in elektrische Leitung.

Juli 6. Bienne annonce: coups de foudre sur ligne contact entre Bettlach et Selzach et Bienne-Zollikofen. Werthenstein, mehrere Blitzschläge im Umkreis von 1—2 km. Blitz in die elektrische Leitung

1¹/₂ km südöstlich, 21 Sicherungen zerstört. Rigi, 16³/₄—18 K mit Blitzschlägen. Vulliens, coup de foudre sur une maison, le feu fut éteint au bout d'un quart d'heure par les pompiers. Coup de foudre sur un transformateur d'énergie électrique et sur le réseau du téléphone. Kölliken 16³/₄, Blitzschlag in 50 m Entfernung von der Station in einen eisernen Mast der elektrischen Kraftleitung.

Juli 10. Kölliken 13³/₄, Blitzschlag in Lichtleitung bei Holziken, wodurch in einer Scheune ein Brand entstand. Wald (Appenzell), durch einen Blitzschlag wurde eine weidende Kuh getötet. Beatenberg um 16^h, Blitzschlag in einen Henstadel, vollständige Einäscherung des Gebäudes und Vernichtung der eingelagerten Heuernte.

Juli 13. Horgen, 9—11 K, drei Blitzschläge in Blitzableiter. Ein Schlag in Baum.

Juli 15. Rheinau ca. 12, Blitzschlag in ein Haus im Oberdorf, elektrische Lichtlampe und Telefonsicherungen sowie ein Streifen Ziegeldach zerstört.

Juli 18. Braggio 12^h 20, Blitzschlag.

August 2. Rigi 17¹/₄, Blitzschlag ins Grand Hôtel.

August 5. Puidoux 6¹/₂, coup de foudre au pylone 53 entre Palézieux et Oron.

August 19. Sargans meldet: Blitzschlag in elektrische Leitung unterhalb Ragaz mit gewaltiger Feuererscheinung.

September 8. Winterthur meldet: Im Walde wurden Tannen vom Blitz getroffen. Blitzschlag in Karolihof bei Ramsen. In Burg bei Stein a. Rh. spaltete der Blitz einen Leitungsmast. Stein a. Rh., Blitzschlag in einen Schornstein.

Oktober 6. Bischofszell 12, Blitzschlag.

Dezember 31. Pilatus 17¹/₂, Blitzschlag.

Ch. Golaz.

Critique des prévisions du temps de l'année 1930

Il m'a paru intéressant de soumettre les prévisions de l'année 1930 à une critique serrée. Seul un examen objectif des prévisions permet de juger du résultat obtenu. L'intérêt que le public en général porte aux prévisions du temps, en démontre la valeur pratique, mais seule une critique basée sur les observations de nos stations météorologiques permet de mesurer le résultat obtenu. J'ai déterminé pour chaque jour la qualité de la prévision et cela pour les trois prévisions distinctes concernant la Suisse allemande, la Suisse romande et le Tessin. J'ai fait ce contrôle en utilisant les observations d'un certain nombre de nos stations: quatre pour la Suisse allemande: Zurich, Berne, Bâle, Aarau, six pour la Suisse française: Genève, Lausanne, Clarens, Sion, Fribourg, Neuchâtel, trois pour le Tessin: Locarno, Lugano, Monte Brè.

Au cours de ce travail j'ai eu mainte fois l'occasion de me rendre compte de la différence du temps dans les divers régions de notre petit pays. Ces différences sont plus grandes que l'on n'est en général porté à le croire. Il arrive, par exemple, souvent qu'une prévision médiocre pour Genève est bonne pour Lausanne ou inversement. Fribourg et Neuchâtel ont souvent le même temps que la Suisse allemande, tandis qu'il fait un temps différent en Suisse française.

Les tableaux suivants donnent pour chaque mois le nombre de prévisions justes, demi-justes et fausses. Il ne m'a pas paru nécessaire de grouper les prévisions en plus de trois catégories distinctes.

Les pour-cent que nous indiquons au bas des colonnes s'obtiennent en ajoutant au nombre des prévisions justes la moitié du nombre de celles à demi-justes et en divisant cette somme par 365.

Classement des prévisions en 1930

	Suisse allemande			Suisse romande			Tessin		
	justes	1/2 justes	fausses	justes	1/2 justes	fausses	justes	1/2 justes	fausses
janvier	21	7	3	17	8	6	20	7	4
février	19	8	1	20	6	2	12	12	4
mars	18	10	3	19	9	3	17	7	7
avril	17	8	5	16	7	7	21	6	3
mai	23	6	2	20	10	1	15	9	7
juin	20	8	2	20	7	3	16	9	4
juillet	22	4	5	16	9	6	17	6	8
août	23	7	1	23	4	4	20	6	5
septembre	23	4	3	20	7	3	21	5	4
octobre	22	7	2	18	9	4	16	9	6
novembre	19	8	3	20	8	2	14	9	7
décembre	15	13	3	20	8	3	15	11	5
Totaux	242	90	33	229	92	44	204	96	64
%		79			75			69	

Pour cent de prévisions réussies par mois et par région

	Suisse allemande	Suisse romande	Tessin
janvier	79	68	76
février	82	82	64
mars	74	76	66
avril	70	65	80
mai	84	81	63
juin	80	78	68
juillet	77	66	65
août	85	81	74
septembre	83	78	78
octobre	82	73	66
novembre	77	80	62
décembre	69	77	66

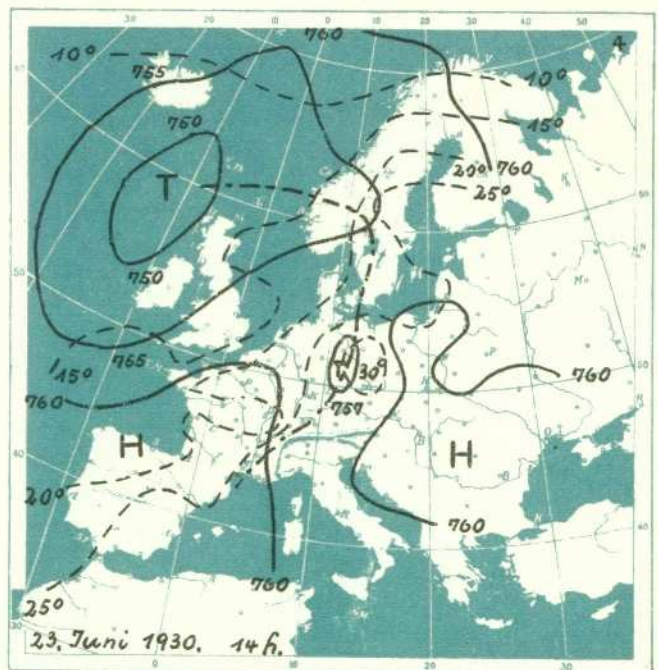
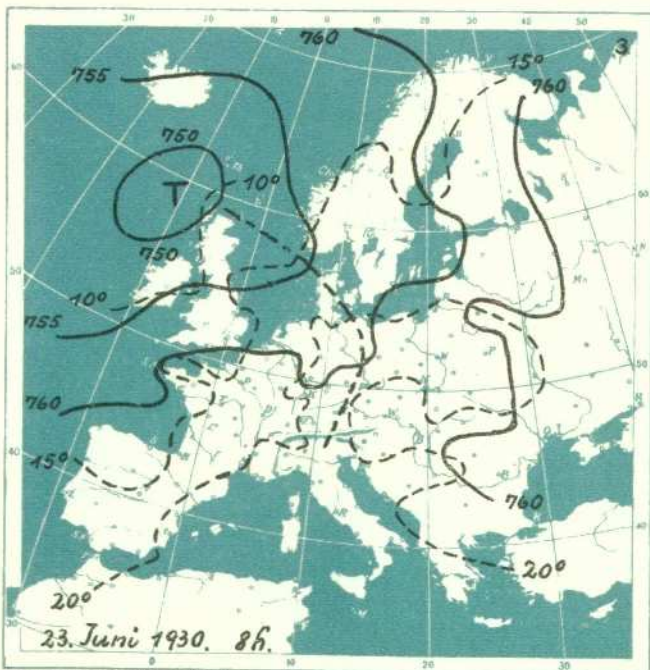
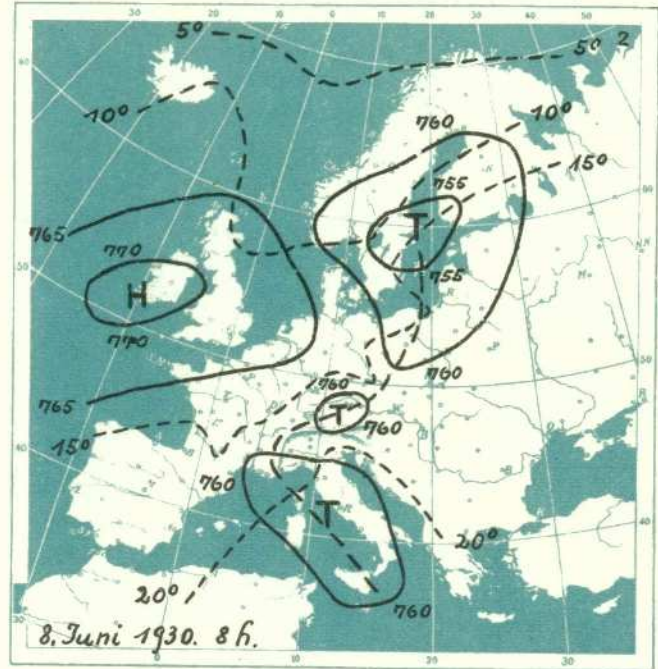
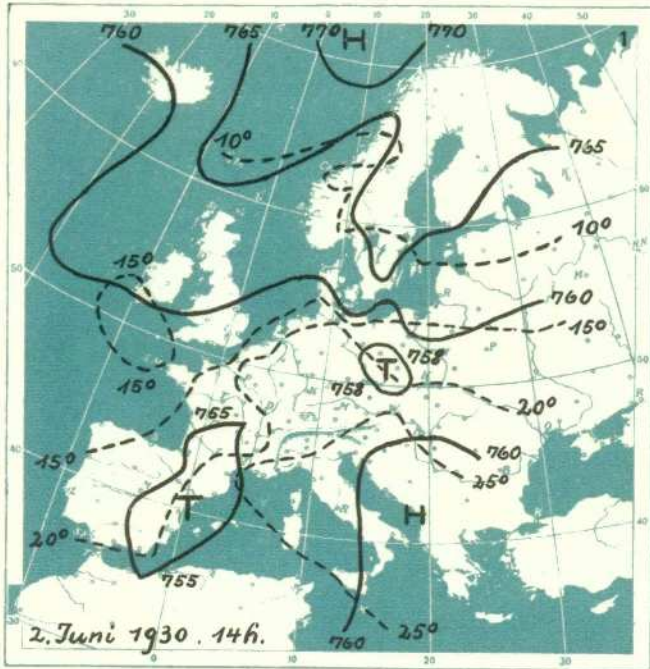
C'est pour la Suisse allemande que nous avons le meilleur résultat soit 79 % de prévisions réussies, pour la Suisse romande nous avons 75 %, les prévisions pour le Tessin donnent 69 %.

La moyenne de ces trois chiffres est 74 %. Sur l'ensemble des prévisions il y en a donc 74 % de réussies.

Charles Golaz.

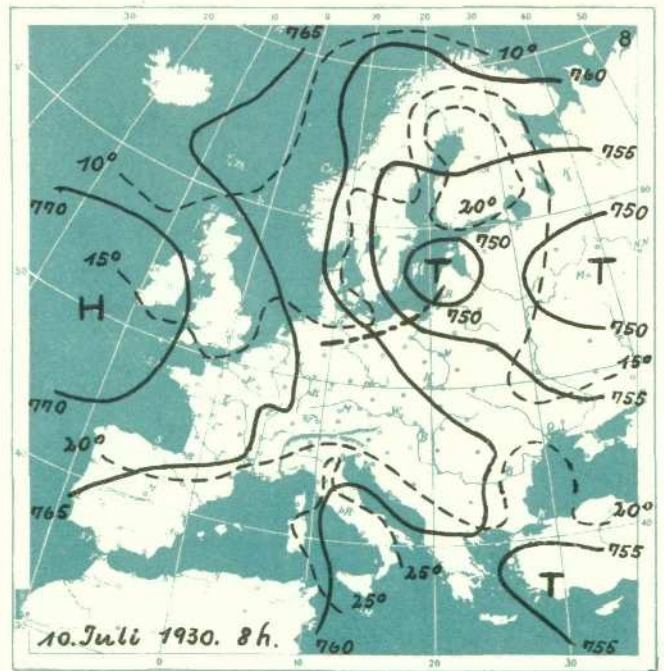
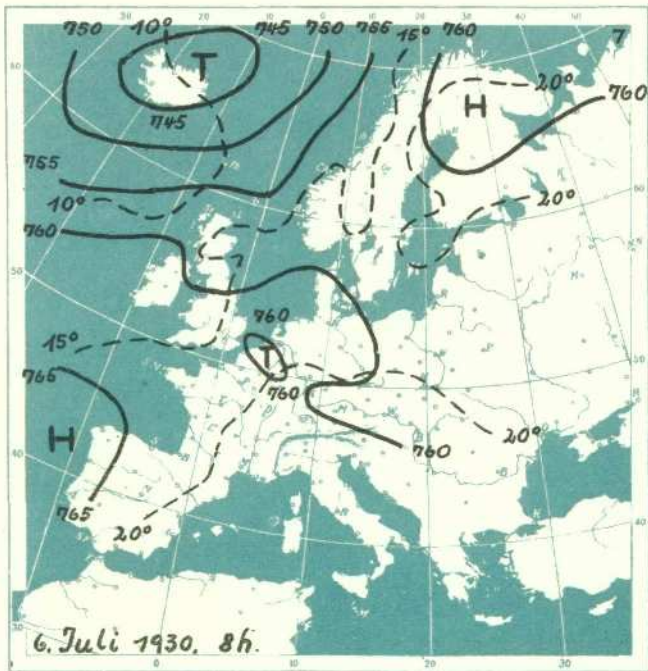
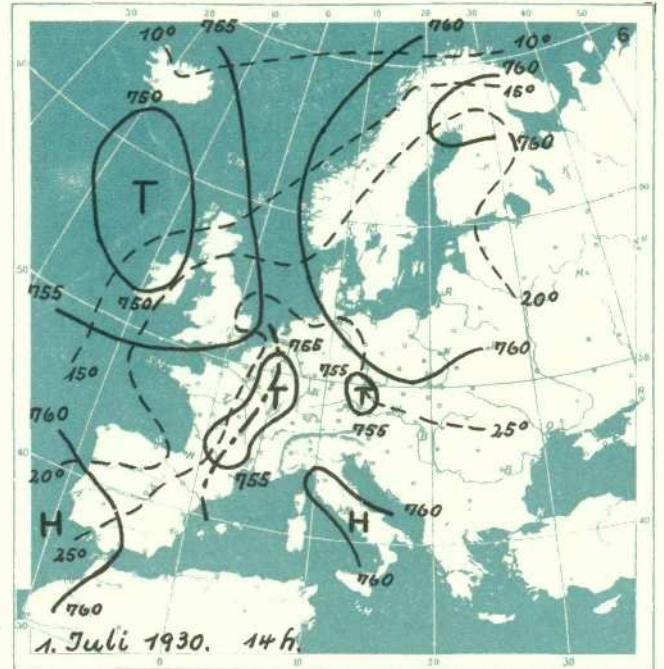
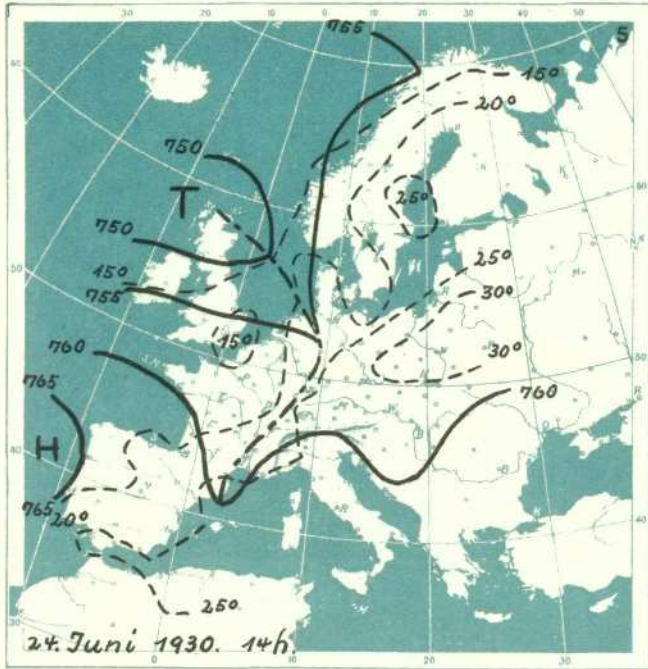
WETTERKARTEN 1930

Tafel I.



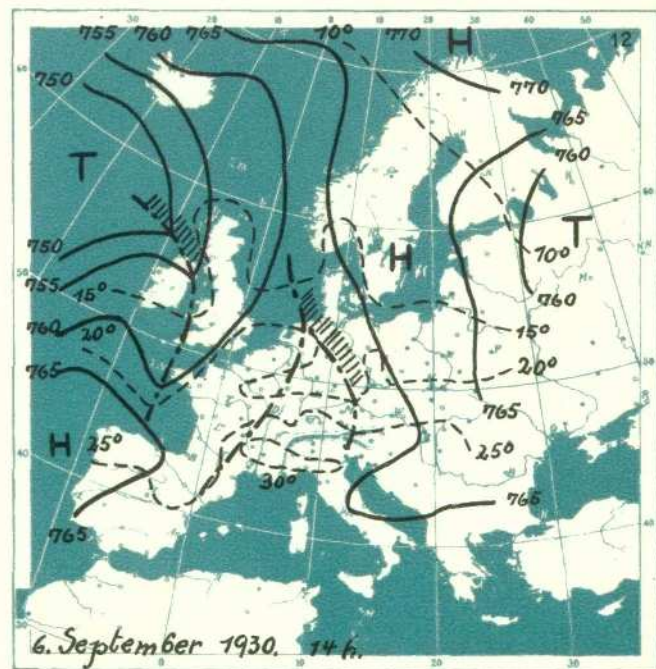
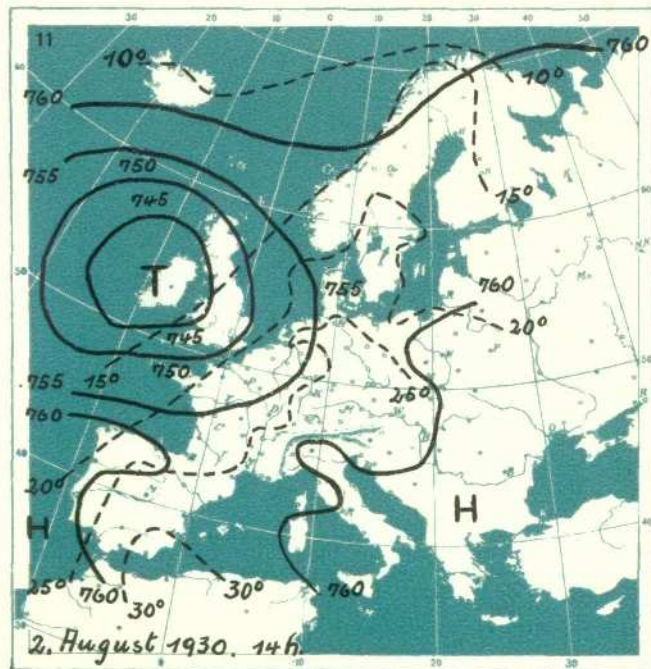
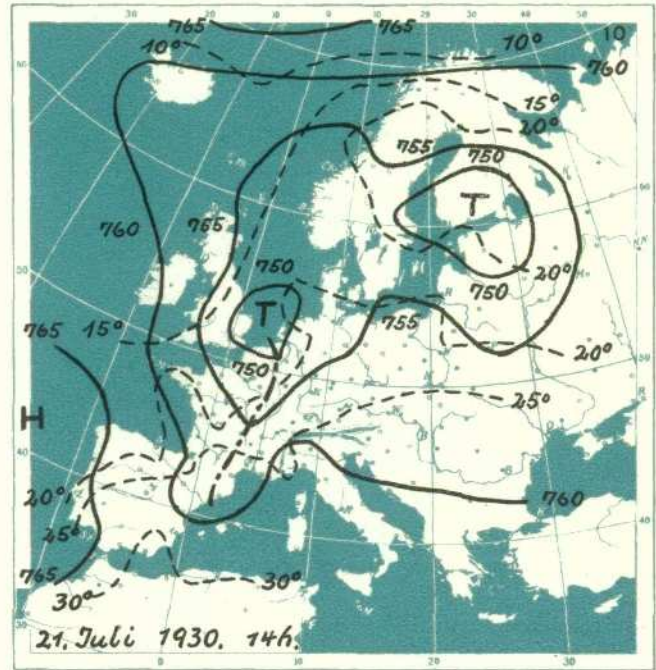
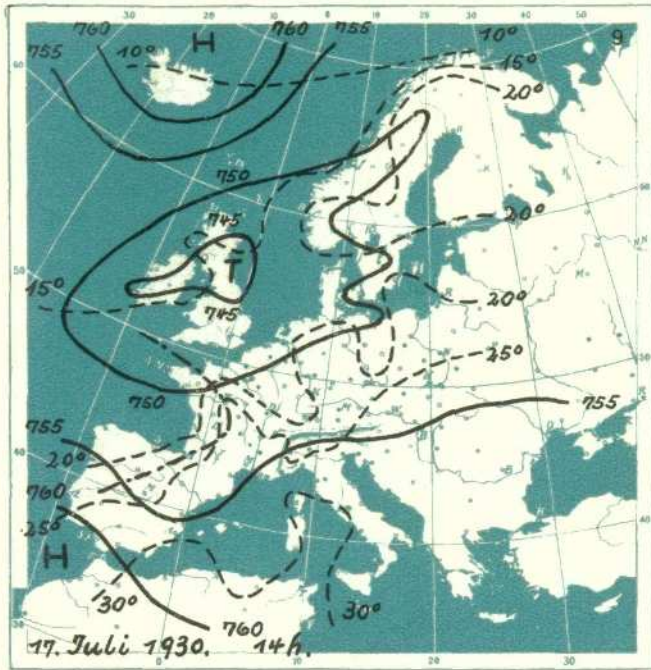
WETTERKARTEN 1930

Tafel II.



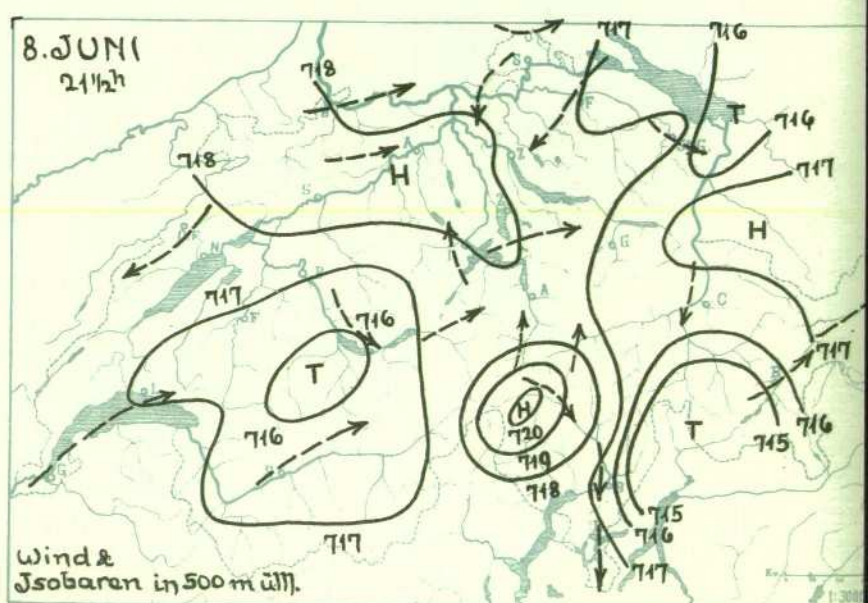
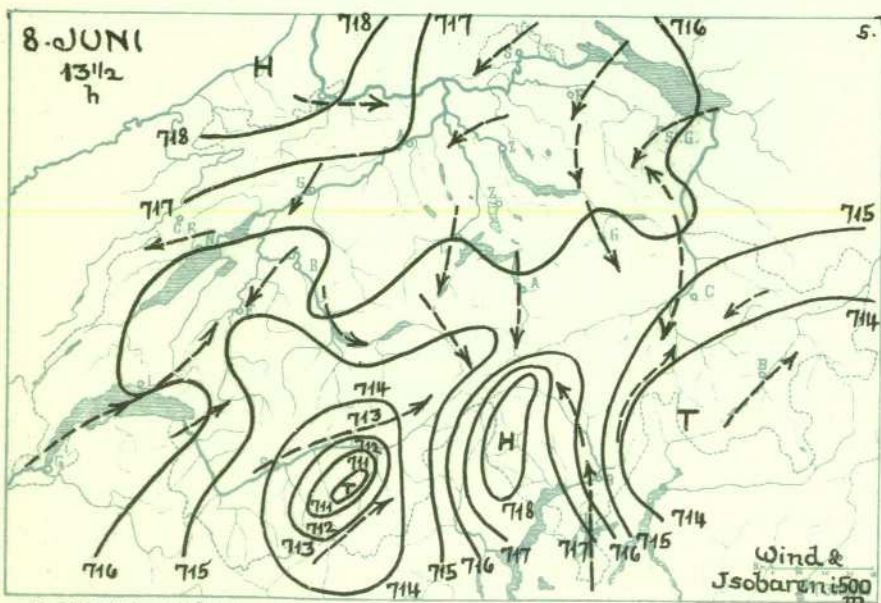
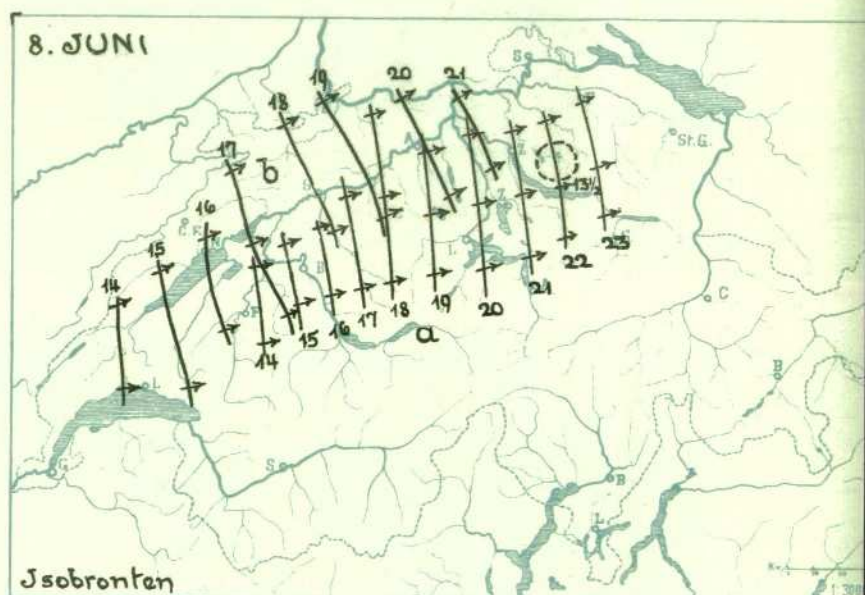
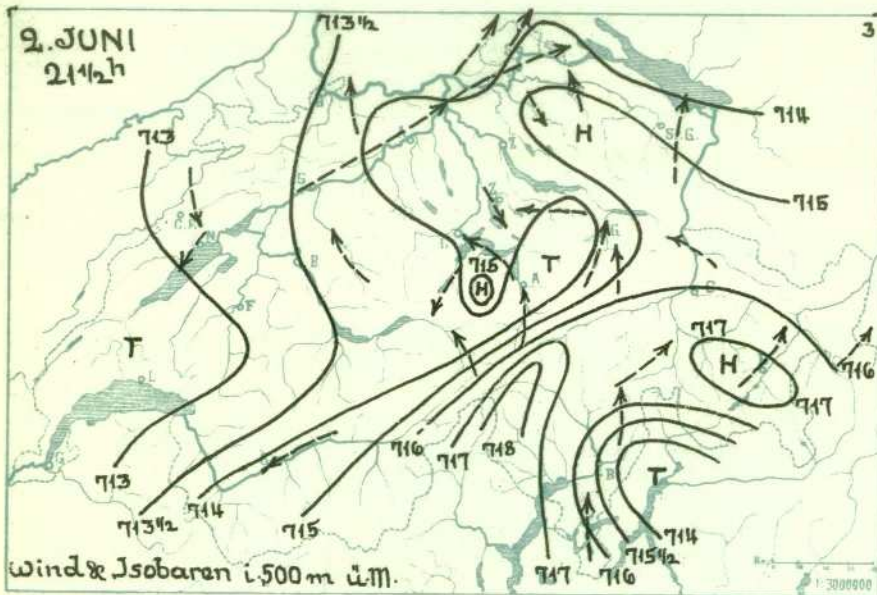
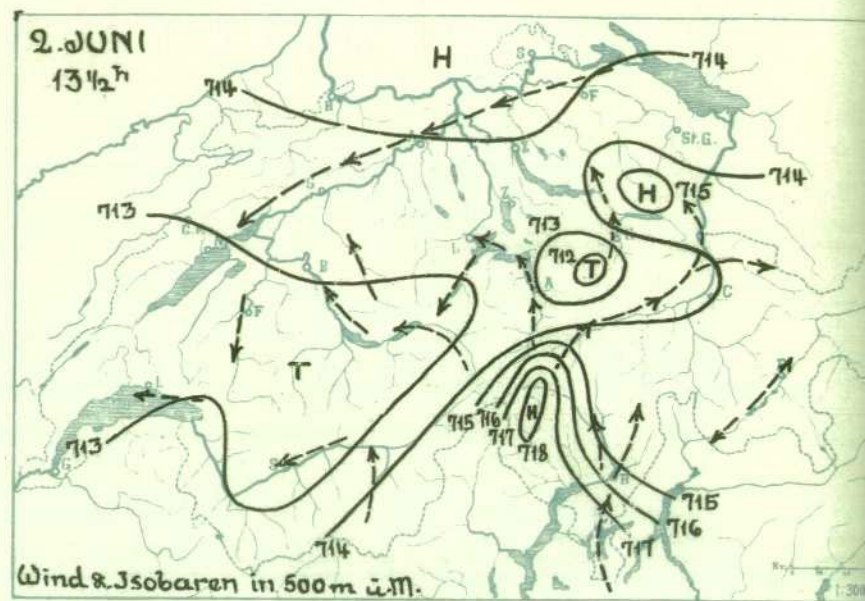
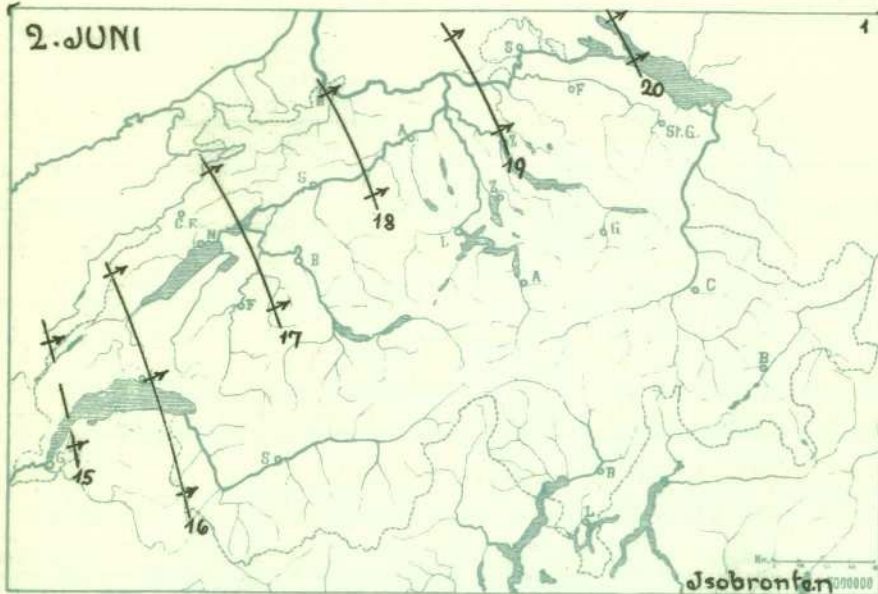
WETTERKARTEN 1930

Tafel III.



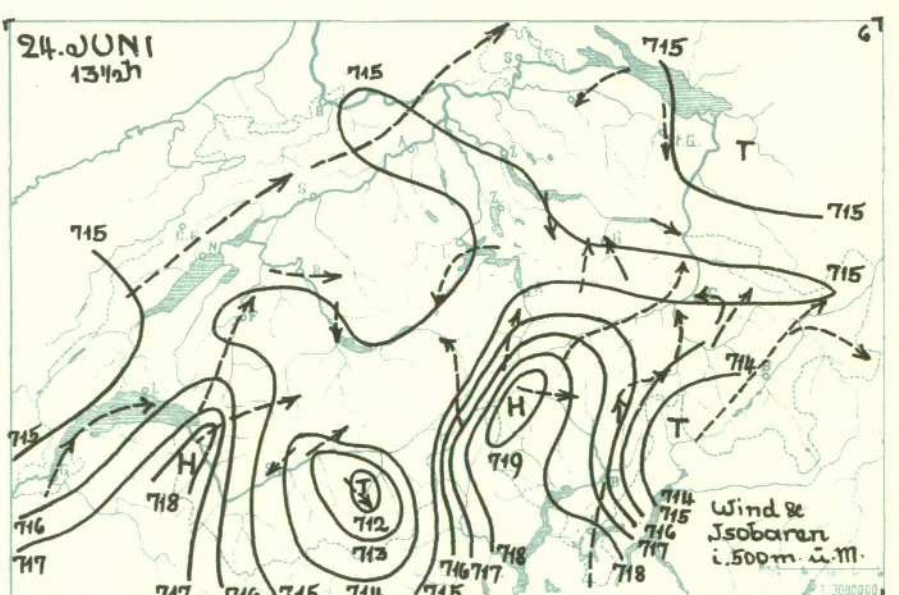
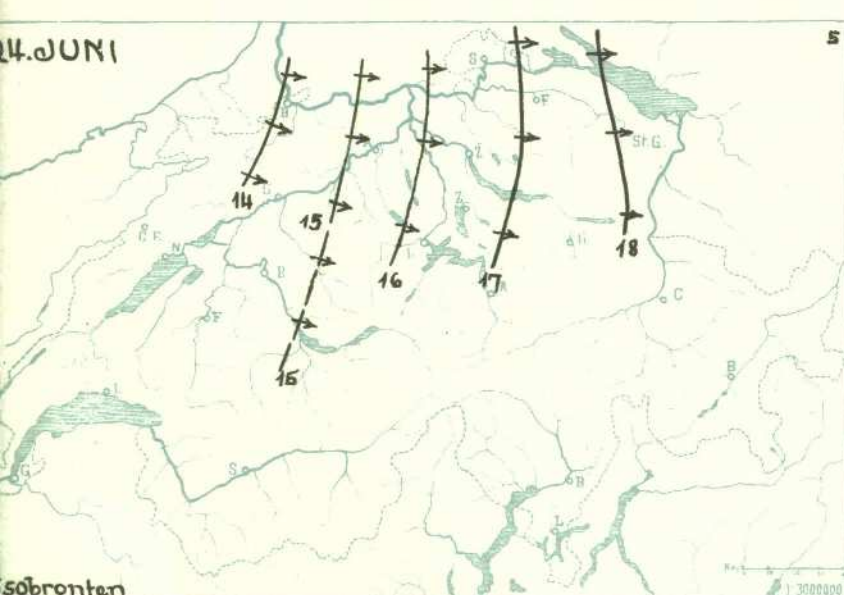
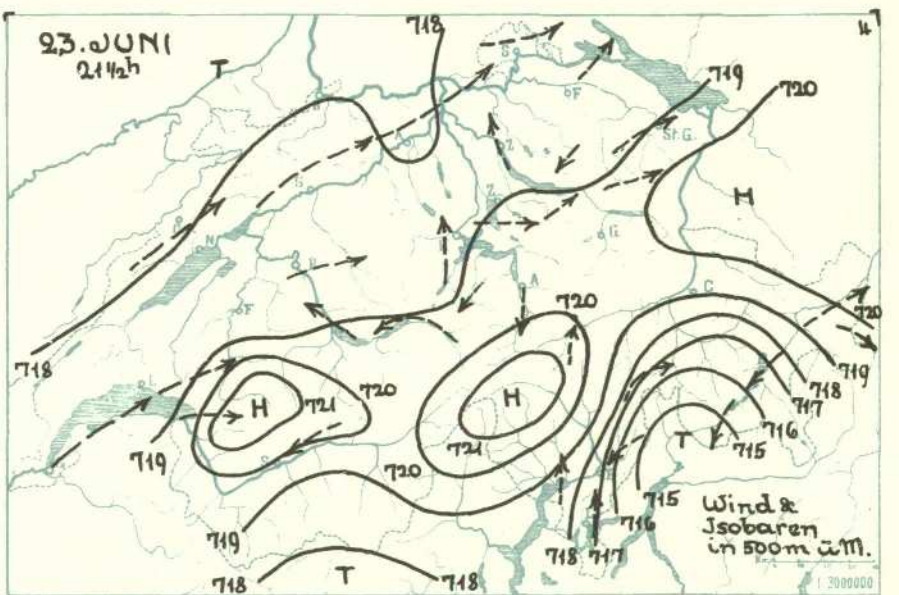
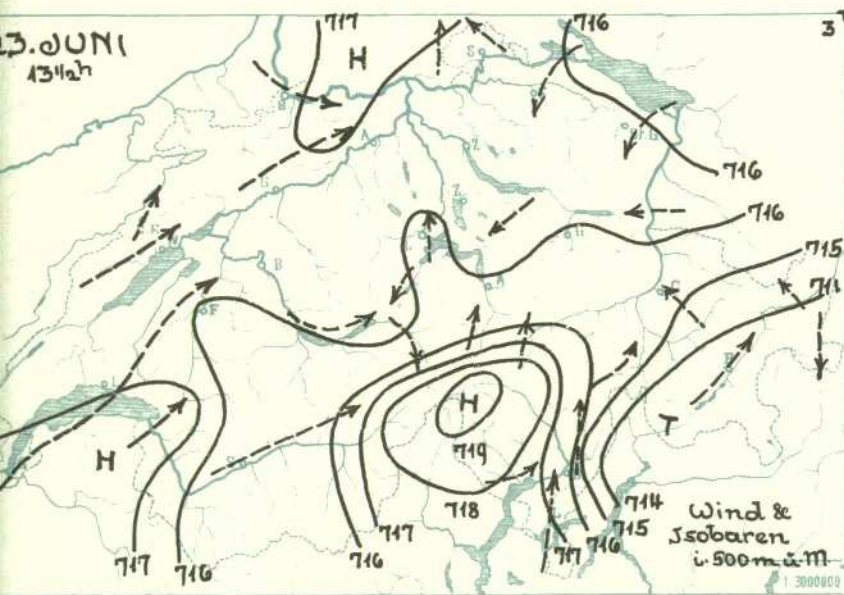
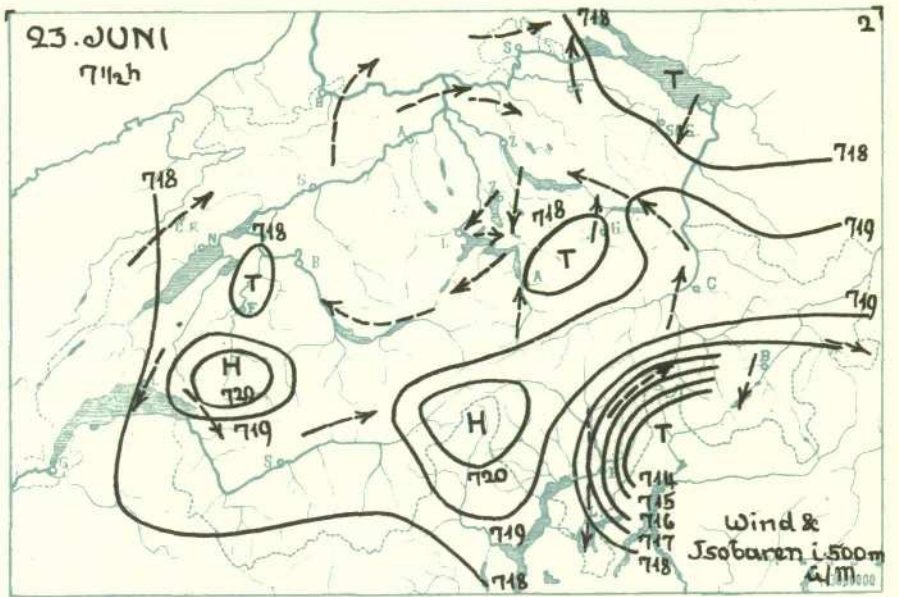
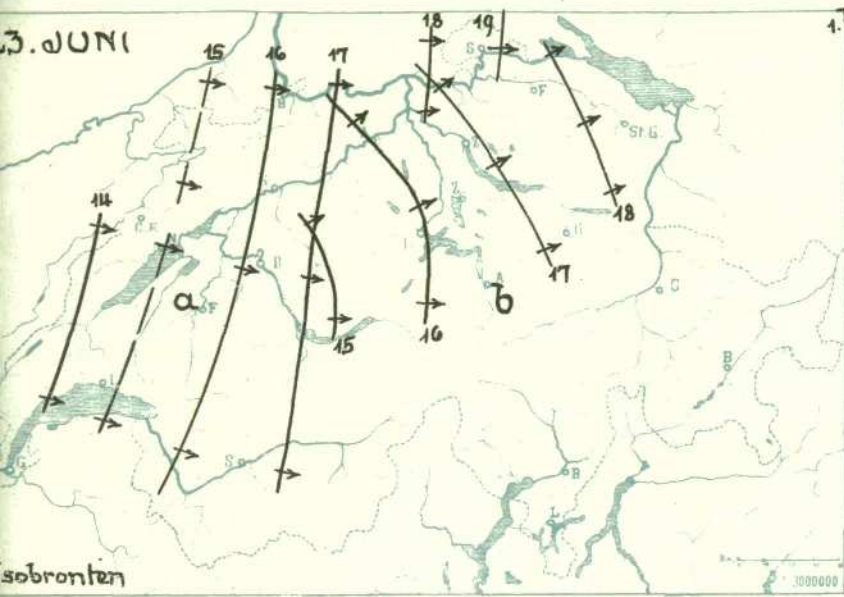
Graphische Darstellung der Hauptgewittertage im Jahre 1930.

Tafel IV.



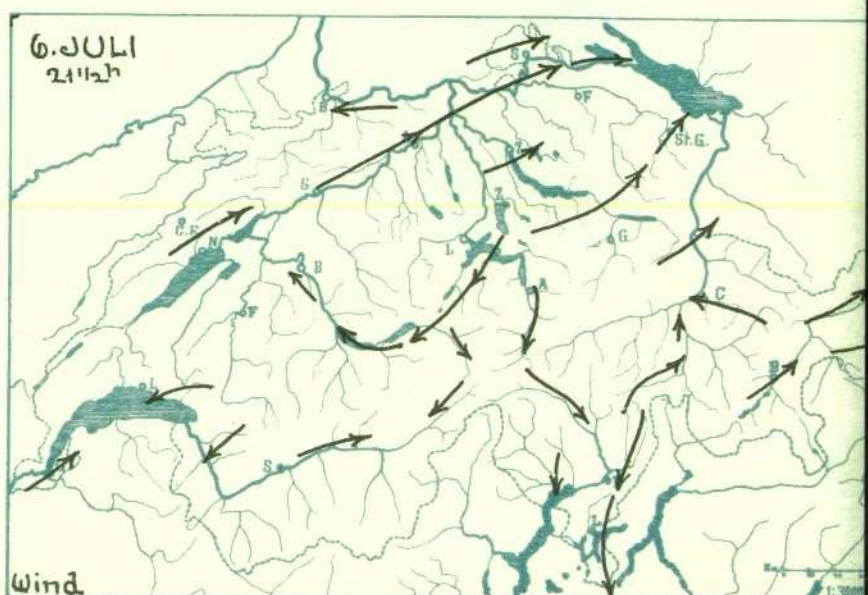
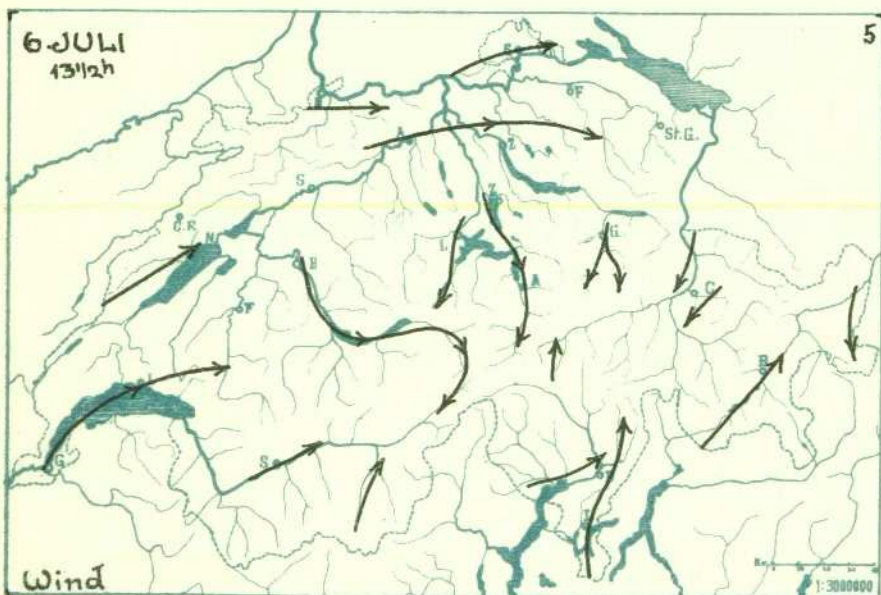
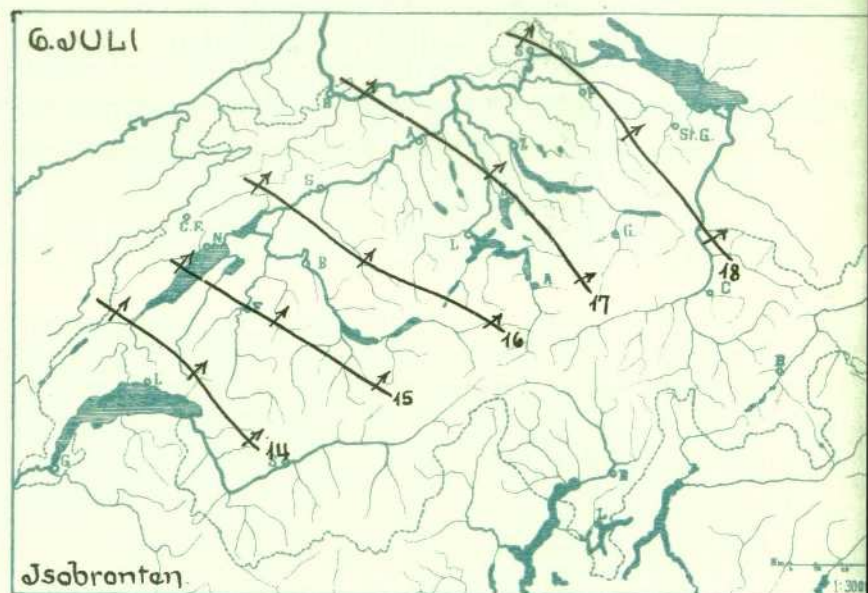
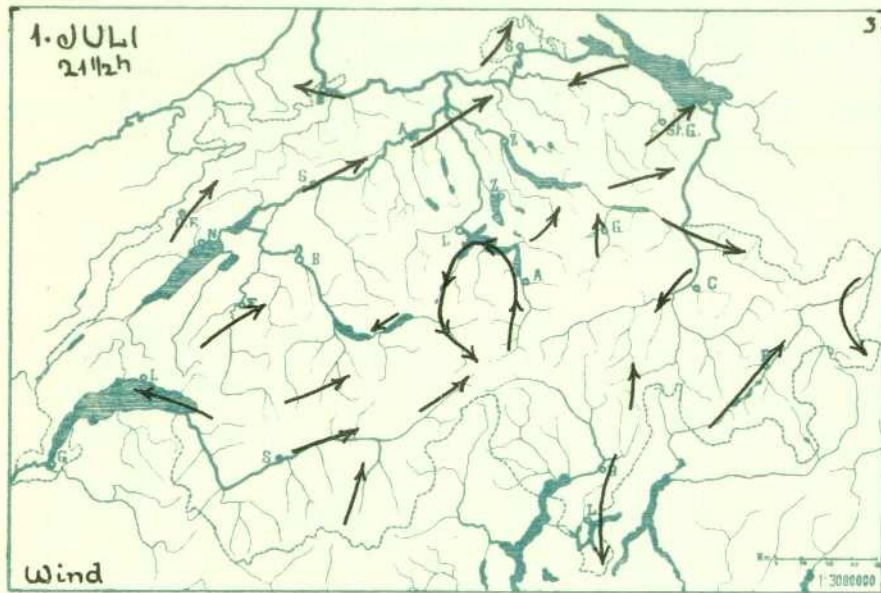
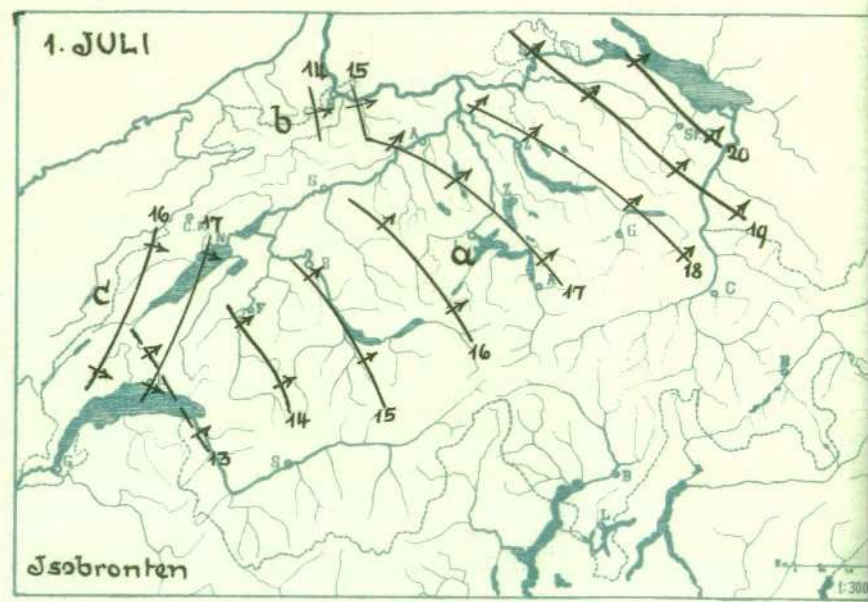
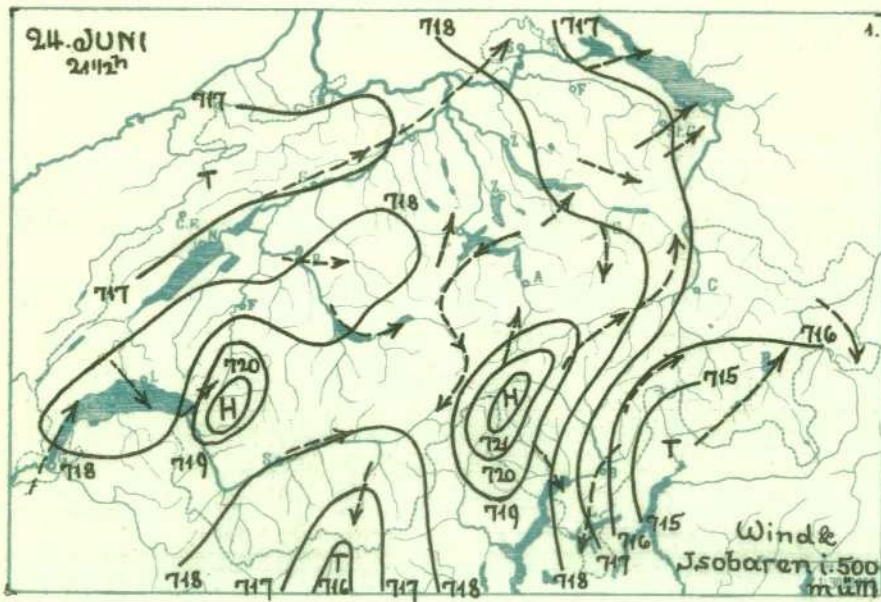
Graphische Darstellung der Hauptgewittertage im Jahre 1930.

Tafel V.



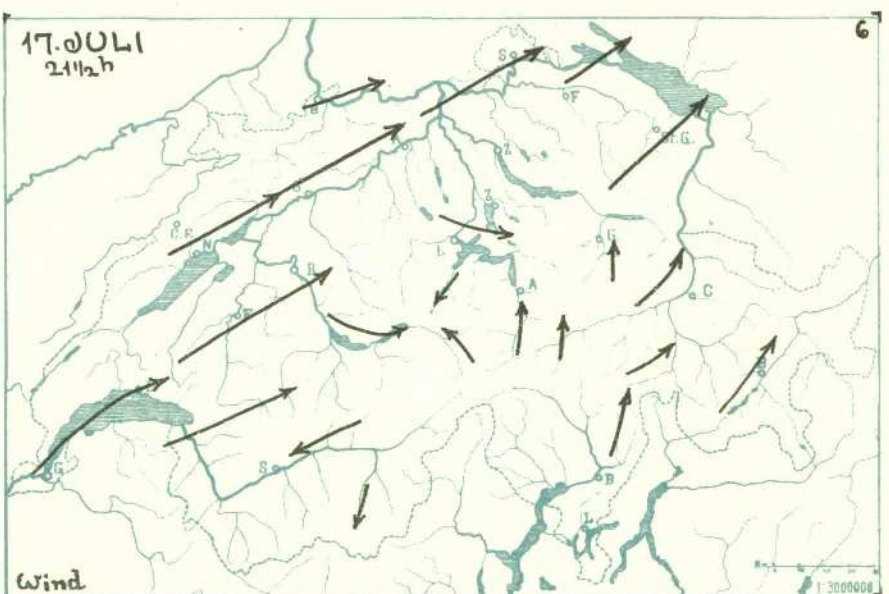
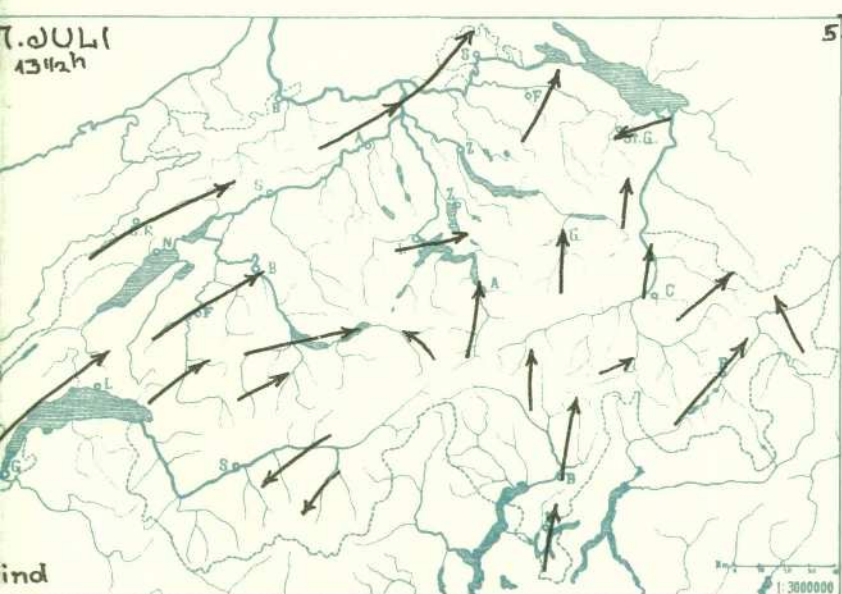
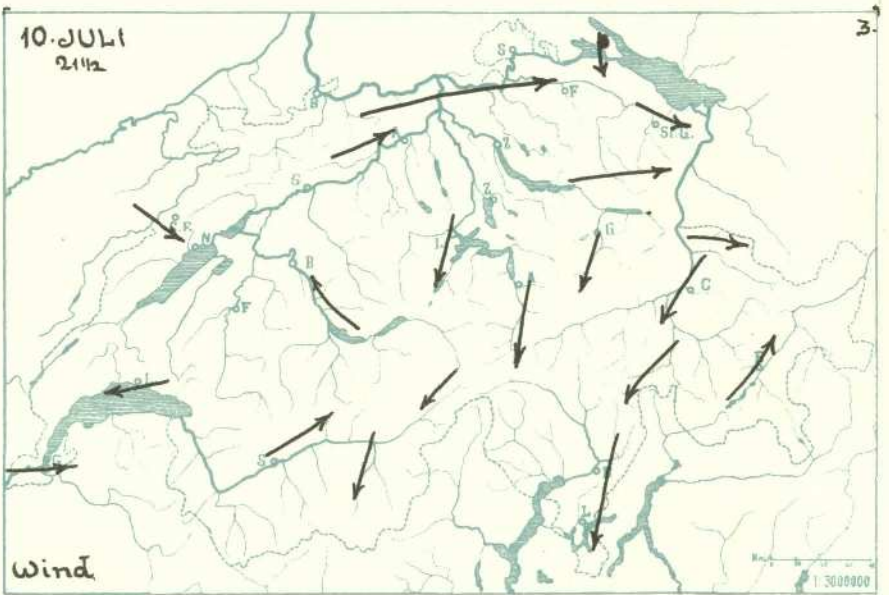
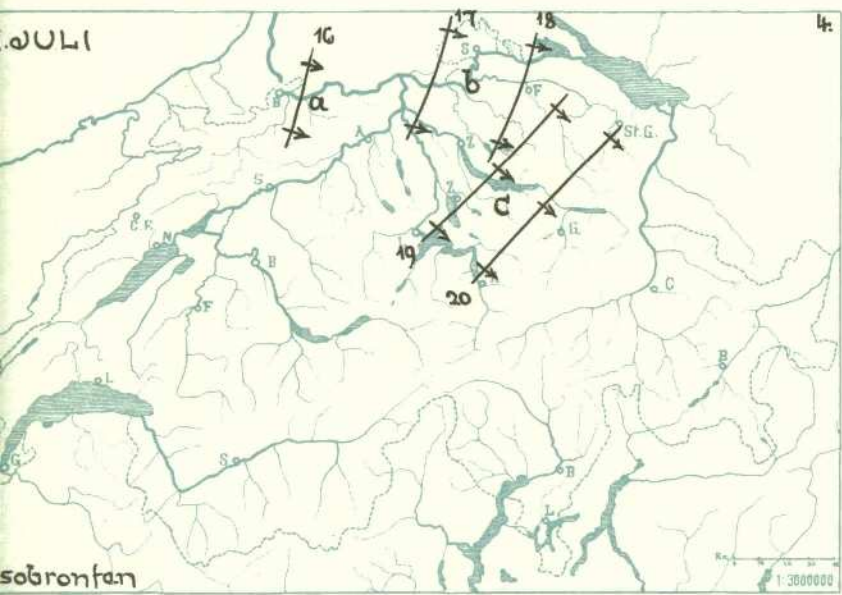
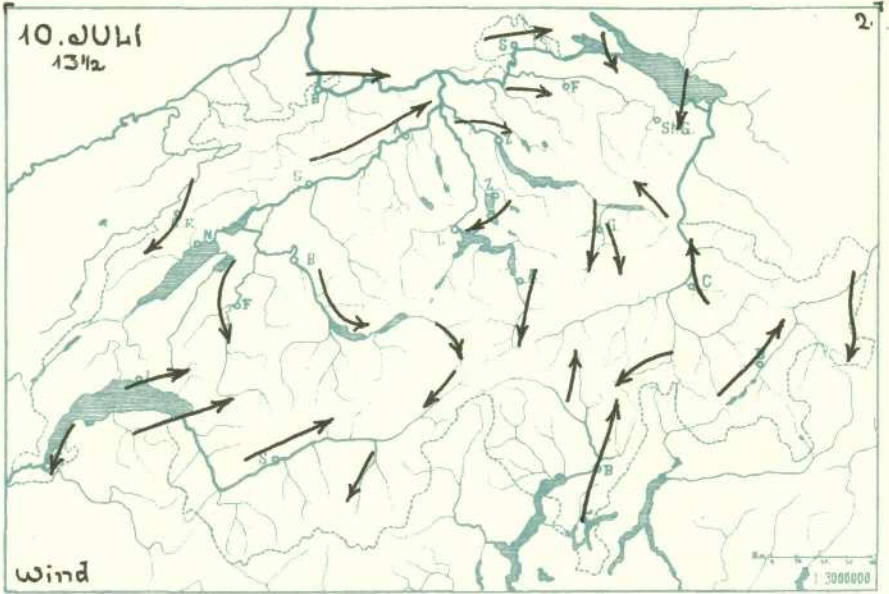
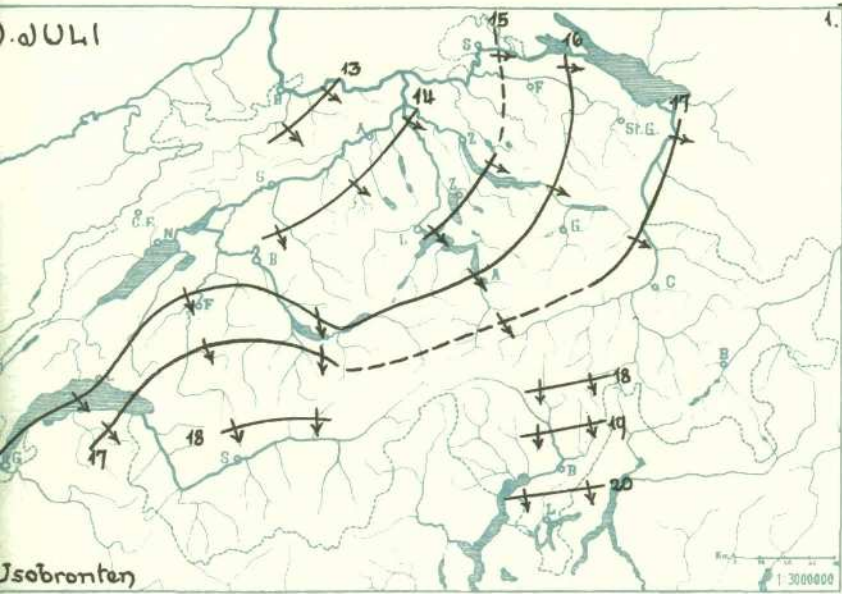
Graphische Darstellung der Hauptgewittertage im Jahre 1930.

Tafel VI.



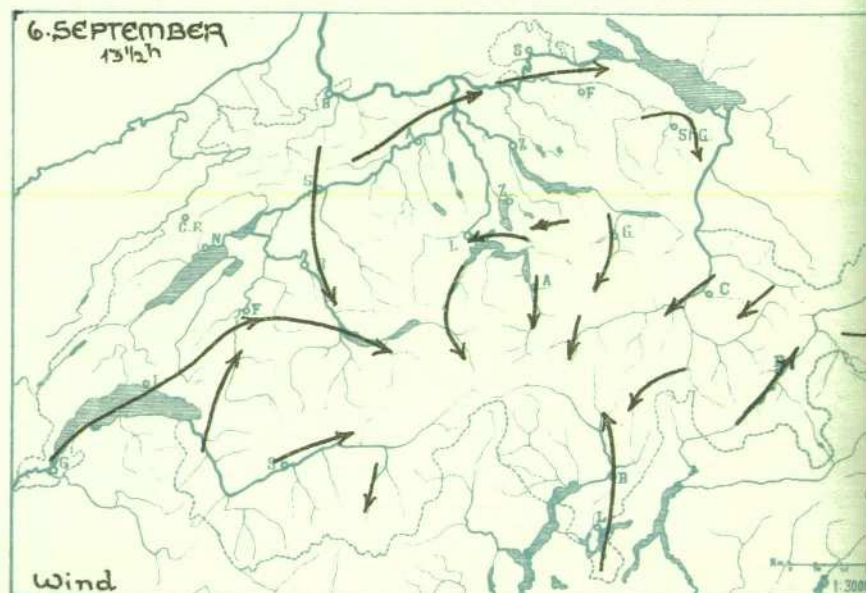
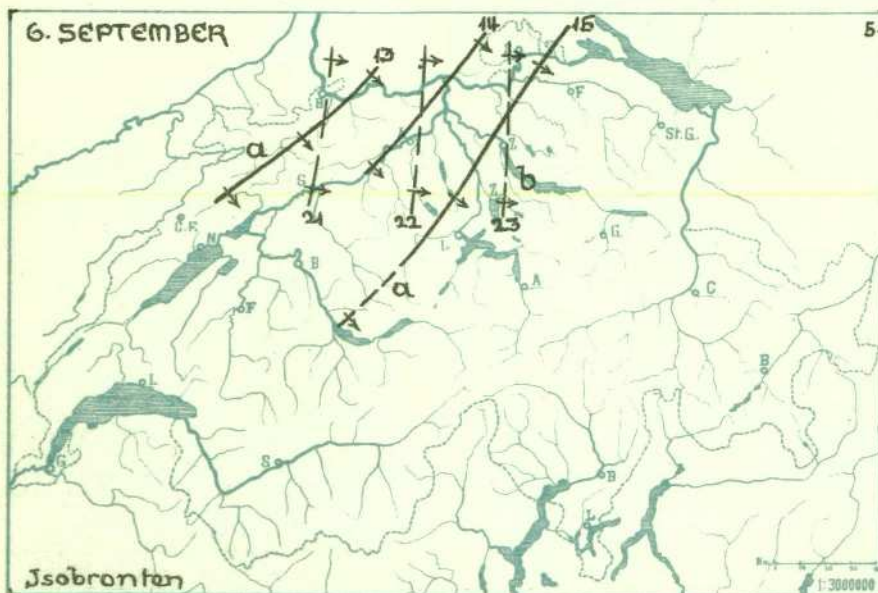
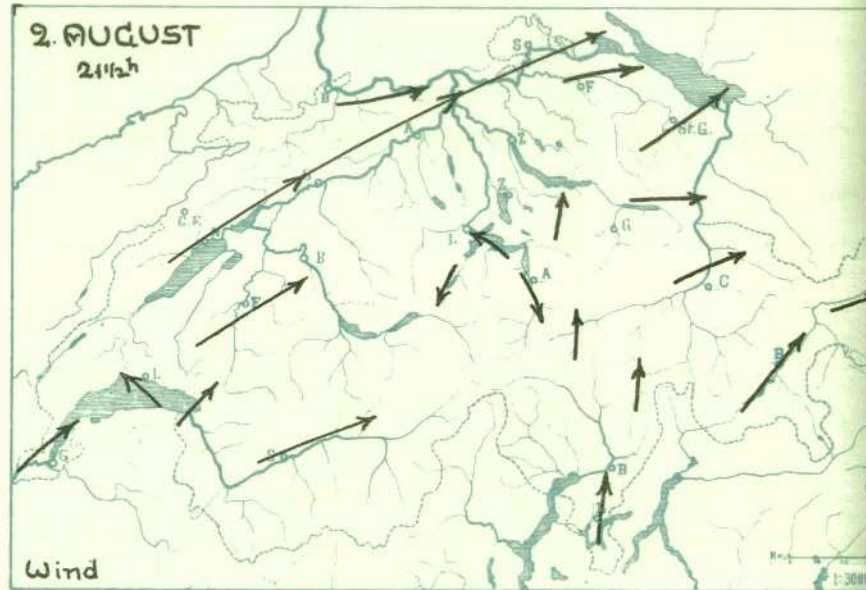
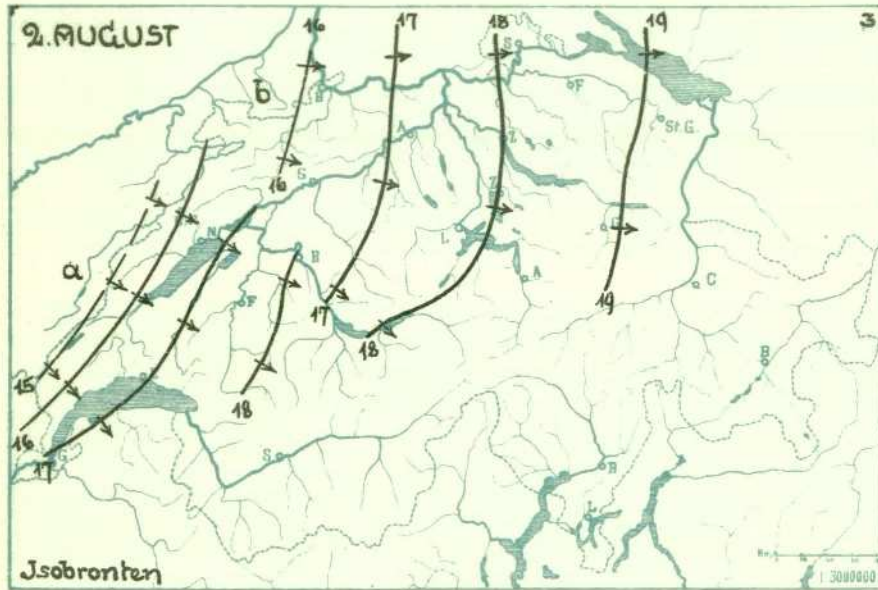
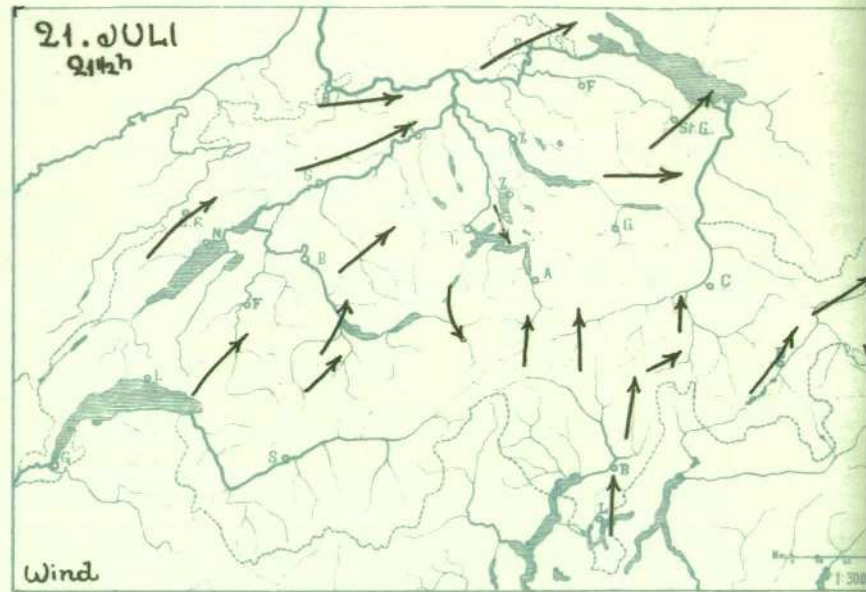
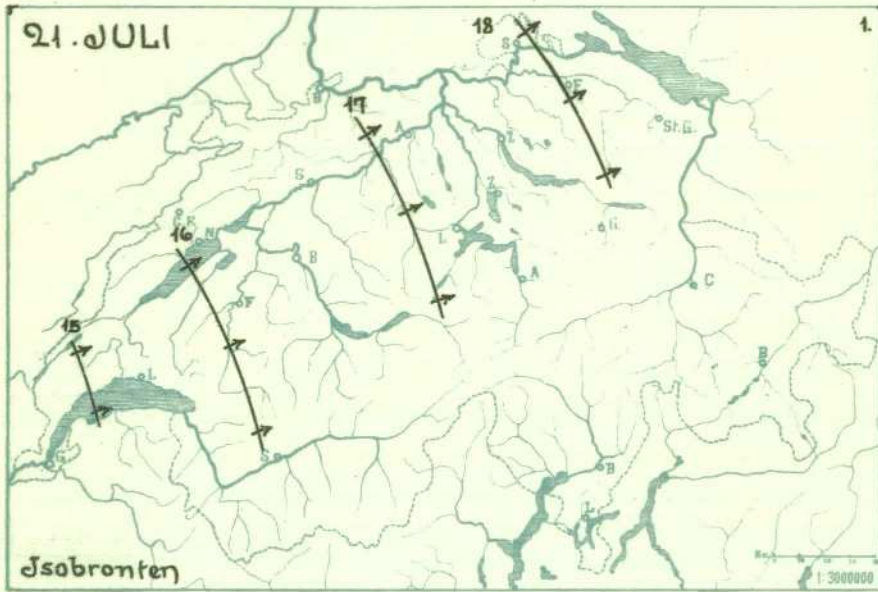
Graphische Darstellung der Hauptgewittertage im Jahre 1930

Tafel VII.



Graphische Darstellung der Hauptgewittertage im Jahre 1930.

Tafel VIII.



Nr. 4.

Ergebnisse der Registrierungen des Sonnenscheinautographen im Jahr 1930

auf den Stationen:

Lugano, Genf^{*)}, Lausanne^{*)}, Clarens-Montreux, Leysin, Montana s. Siders, Chaux-de-Fonds, Mont Soleil (ob St. Imier), Neuchâtel, Bern, Luzern^{*)}, Basel^{*)}, Hallau, Zürich^{*)}, Plantahof (b. Landquart), Davos, Arosa^{*)}, St. Moritz, Buffalora und Säntis.

^{*)} Neue Sonnenscheinautographen (Modell Negretti & Zambra) besitzen: Basel (Bernoillanum) seit Januar 1908; Genf seit 15. Januar 1900; Lausanne seit Anfang Januar 1909; Luzern seit Beginn 1910; Arosa seit Beginn 1927; Zürich seit März 1927.

Die nachstehenden Tabellen geben einerseits für jeden Tag des Jahres eine synoptische Uebersicht der Sonnenscheindauer an den verschiedenen Stationen, andererseits die Monats- und Jahressummen der klimatischen Hauptgebiete unseres Landes.

Monats- und Jahressummen der Sonnenscheindauer in Stunden.

1930	Lugano	Genf	Lausanne	Clarens-Montreux	Leysin	Montana s. Siders	Chaux-de-Fonds	Mont Soleil	Neuchâtel	Bern	Luzern	Basel	Hallau	Zürich	Plantahof	Davos	Arosa	St. Moritz	Schuls	Säntis
Januar . . .	93	67	66	66	132	143	120	128	40	61	50	107	43	66	106	114	122	107	107	146
Februar . . .	90	98	118	95	112	155	83	89	92	87	77	95	101	95	135	143	160	157	137	163
März	150	142	146	118	109	136	106	117	123	111	123	126	108	118	123	142	142	143	125	124
April	100	169	165	126	118	134	102	116	142	136	132	137	127	143	123	127	127	113	141	99
Mai	168	161	153	105	95	130	91	104	156	120	117	119	127	141	119	125	128	114	130	62
Juni	219	269	277	206	182	238	169	173	243	252	251	248	250	269	235	207	225	189	234	187
Juli	270	253	232	163	161	202	140	155	202	187	181	181	158	187	176	191	198	195	224	116
August	241	273	268	195	202	234	193	194	223	230	188	202	190	213	201	210	219	211	217	157
September . .	190	200	170	126	137	173	126	127	152	137	112	133	134	123	126	127	143	126	138	110
Oktober . . .	176	89	105	91	106	130	109	112	65	105	74	103	77	76	107	111	122	139	106	108
November . .	115	98	99	75	97	112	73	80	77	83	83	65	69	81	89	89	96	109	78	86
Dezember . .	112	43	48	35	97	126	72	72	37	41	34	55	52	39	72	102	124	96	85	131
Jahr	1924	1862	1847	1401	1548	1913	1384	1467	1552	1550	1422	1571	1436	1551	1612	1688	1806	1699	1722	1489

1930

Tägliche Dauer des Sonnenscheins in Stunden.

Tag	Januar										Februar										
	Lugano	Genf	Montana s. Siders	Chaux- de-Fonds	Bern	Luzern	Basel	Zürich	Davos	Säntis	Lugano	Genf	Montana s. Siders	Chaux- de-Fonds	Bern	Luzern	Basel	Zürich	Davos	Säntis	
1	5.4	5.3	4.4	1.2	3.5	3.6	5.5	4.0	5.2	5.6	0.0	0.0	0.0	0.0	0.0	0.0	0.0	0.0	1.6	0.0	
2	6.5	0.0	0.0	0.0	0.0	0.0	0.9	0.8	0.3	0.0	2.3	0.8	2.4	2.2	2.0	1.5	2.2	2.2	2.9	3.0	5.1
3	6.4	5.3	6.8	6.3	5.1	3.5	4.2	2.4	4.7	2.8	8.4	4.6	3.7	0.7	2.7	0.2	1.3	0.5	3.3	0.0	
4	5.9	0.0	7.5	7.7	0.6	7.1	7.6	5.3	5.2	7.8	8.2	3.8	1.7	1.0	3.2	3.6	2.0	2.6	5.9	0.0	
5	0.0	2.2	4.9	0.0	0.1	4.3	0.0	3.9	5.6	1.9	0.7	3.2	6.7	0.9	2.6	3.7	0.1	2.5	6.4	4.4	
6	0.0	4.0	2.6	2.3	2.2	1.5	1.9	2.1	2.1	3.0	7.4	6.4	5.7	1.7	0.8	3.2	0.8	3.9	6.4	1.3	
7	0.0	5.5	7.7	7.2	6.5	6.3	6.0	5.9	5.7	7.9	5.6	0.0	4.3	0.0	0.0	0.0	0.0	0.0	2.9	0.0	
8	0.0	1.4	5.6	2.8	3.0	4.0	4.0	4.2	1.8	6.9	6.2	0.0	8.4	0.4	1.0	1.1	0.0	0.0	3.0	6.9	
9	0.0	0.0	0.0	0.0	0.0	0.0	0.0	0.0	0.0	0.0	0.0	0.0	9.2	7.9	0.0	0.0	7.3	2.6	6.2	9.7	
10	0.0	0.0	3.7	1.9	0.0	0.4	0.0	0.0	1.5	0.8	6.7	4.4	8.5	8.8	5.0	4.1	8.8	8.8	6.7	9.2	
11	0.0	1.1	3.9	2.6	2.1	3.5	2.6	3.8	4.2	5.5	8.8	8.9	9.2	9.0	8.4	3.1	8.9	7.4	6.8	9.8	
12	7.1	4.1	2.1	1.0	4.1	3.8	4.4	4.8	2.6	0.0	8.9	8.7	9.3	8.8	5.8	4.1	8.3	8.5	6.8	9.9	
13	7.3	0.0	0.4	4.9	3.1	0.8	4.1	5.0	4.2	2.6	8.7	8.2	9.4	8.3	6.4	5.3	8.7	7.8	6.8	10.0	
14	4.7	1.8	2.0	3.7	3.3	3.4	4.8	3.3	2.6	2.4	0.0	3.6	4.2	2.8	2.4	3.1	2.6	3.3	3.9	6.6	
15	0.0	0.0	0.0	0.0	0.0	0.0	0.0	0.0	0.0	0.0	2.0	5.5	2.8	2.6	2.2	2.0	0.9	3.1	1.4	0.0	
16	0.0	4.9	2.0	0.0	0.0	0.0	0.0	0.0	0.0	0.0	0.0	2.6	0.0	0.0	0.0	0.0	1.2	0.0	0.0	0.0	
17	6.4	4.8	8.1	7.5	0.1	0.4	1.3	3.3	5.9	8.8	0.0	1.4	0.2	0.0	0.0	0.0	0.0	0.0	3.5	2.8	
18	6.7	0.0	6.7	5.3	0.2	0.0	5.3	0.0	5.4	7.7	0.0	0.0	2.0	0.0	0.0	0.0	0.0	0.0	6.4	5.2	
19	6.4	0.0	7.9	7.1	1.3	0.0	6.0	0.0	5.0	7.0	0.1	0.0	9.5	0.1	0.0	0.0	0.0	0.0	5.6	8.9	
20	7.2	0.0	8.4	7.7	4.3	2.3	8.0	2.0	6.0	8.5	1.9	0.0	5.6	0.0	0.0	0.0	2.1	0.4	6.4	10.2	
21	6.2	0.0	5.7	3.9	0.0	0.0	3.5	0.0	6.1	5.2	0.0	7.8	0.3	6.9	6.1	0.9	8.3	6.1	7.2	6.6	
22	7.3	0.0	8.2	7.1	0.0	0.0	7.5	0.0	6.1	8.7	7.7	9.0	8.5	3.1	5.3	1.5	6.8	0.6	7.3	10.4	
23	0.0	0.0	8.3	6.6	0.0	0.0	5.5	0.0	6.1	9.0	0.0	0.0	0.0	0.0	0.0	0.2	0.0	0.0	3.2	6.5	
24	0.0	0.0	8.4	7.0	0.0	0.0	7.6	0.0	6.2	9.1	2.0	2.1	9.4	2.2	5.9	5.7	6.0	5.6	7.1	6.4	
25	0.0	0.0	7.9	4.4	0.4	0.0	2.2	3.7	2.5	8.6	2.7	8.5	9.3	0.8	7.1	9.2	3.8	8.2	7.4	9.7	
26	0.0	5.4	6.0	6.5	5.0	0.3	2.2	0.6	5.0	3.7	1.6	0.0	7.4	0.1	3.0	6.2	0.1	3.8	7.5	9.4	
27	0.0	7.3	4.7	3.0	2.9	0.7	3.6	5.4	3.9	6.6	0.0	0.7	7.1	4.7	7.4	8.5	5.4	6.3	3.7	3.3	
28	0.0	4.3	2.9	5.2	5.3	0.0	0.0	0.0	0.0	2.3	0.0	8.2	10.2	9.6	9.4	9.7	9.6	10.1	6.1	10.5	
29	0.0	0.0	1.8	0.0	0.0	0.0	0.0	0.0	6.2	9.2											
30	5.0	2.5	0.0	0.0	0.0	0.0	0.0	0.0	0.1	0.5											
31	4.4	7.3	4.8	7.5	2.4	3.7	8.3	5.9	3.9	4.0											
Mittel	3.0	2.2	4.6	3.9	2.0	1.6	3.4	2.1	3.7	4.7	3.2	3.5	5.5	3.0	3.1	2.7	3.4	3.4	5.1	5.8	
Tag	März										April										
	Lugano	Genf	Montana s. Siders	Chaux- de-Fonds	Bern	Luzern	Basel	Zürich	Davos	Säntis	Lugano	Genf	Montana s. Siders	Chaux- de-Fonds	Bern	Luzern	Basel	Zürich	Davos	Säntis	
1	0.0	4.4	5.7	7.6	5.8	8.2	8.4	7.9	6.9	9.9	1.3	9.9	1.5	3.1	1.7	1.3	2.6	1.1	5.3	0.5	
2	2.2	2.7	2.9	0.9	1.4	2.4	2.0	2.9	4.5	3.1	9.9	8.9	11.1	9.2	9.5	9.7	9.2	9.9	9.5	6.4	
3	6.7	0.0	2.1	1.7	1.9	1.6	4.7	5.6	8.1	10.0	0.0	0.4	0.1	0.1	0.2	0.6	0.1	0.1	1.9	0.0	
4	9.5	9.3	7.5	7.5	8.5	9.1	8.5	7.9	8.1	10.4	0.0	0.0	0.0	0.0	0.0	0.0	0.0	0.0	0.1	0.0	
5	8.4	8.9	8.3	5.7	6.1	6.4	5.4	5.1	5.9	0.0	0.0	6.8	1.3	1.7	2.6	2.0	2.7	4.9	1.7	1.4	
6	9.9	7.6	9.2	7.5	7.0	7.2	8.8	7.9	8.2	9.7	7.7	9.6	4.9	5.1	6.9	5.5	8.6	2.4	1.3	0.0	
7	0.0	2.2	1.4	0.8	1.0	0.0	1.3	0.2	0.1	0.0	9.1	11.2	10.4	3.9	6.7	0.1	7.7	8.7	7.0	4.5	
8	6.6	9.3	3.6	5.6	4.6	4.6	5.9	4.2	3.5	6.9	7.2	10.7	8.5	9.7	9.2	6.6	10.1	7.8	5.3	2.7	
9	9.2	10.3	10.4	9.9	9.8	9.6	10.3	10.5	8.7	10.8	6.1	11.7	9.6	6.4	10.1	10.3	9.3	10.3	6.3	2.0	
10	4.0	7.3	9.5	5.8	6.8	8.5	8.0	7.8	8.8	10.4	3.9	11.9	10.5	8.8	10.5	9.1	11.6	9.4	7.8	0.0	
11	0.0	5.2	1.9	3.9	1.0	0.0	2.1	0.0	0.0	0.0	6.4	11.8	7.5	5.4	10.6	10.1	9.7	11.0	6.8	3.5	
12	10.3	9.3	4.9	1.0	2.7	7.1	0.5	1.8	4.6	2.1	0.4	6.3	5.4	1.8	6.2	5.0	1.3	4.4	3.2	1.9	
13	9.3	0.2	0.0	0.0	0.1	0.0	0.1	0.3	1.2	0.0	0.0	0.0	0.0	0.0	0.0	0.0	0.0	0.0	0.4	0.0	
14	0.1	0.0	1.3	0.0	0.0	1.2	0.0	0.3	5.3	0.3	0.0	0.0	0.0	0.4	0.0	0.0	0.0	0.0	0.0	0.0	
15	0.0	3.9	4.3	2.1	5.4	6.7	6.0	7.3	4.2	3.5	0.0	0.0	0.0	0.0	0.0	0.0	0.0	0.0	0.0	0.0	
16	9.0	0.7	0.0	0.4	1.3	3.9	1.4	2.0	6.7	6.0	2.2	0.3	0.8	0.0	0.0	0.0	0.0	0.0	0.0	0.0	
17	0.2	1.2	0.1	0.0	0.2	0.1	0.1	0.0	2.2	0.0	0.3	0.0	0.1	0.2	0.0	0.0	0.0	0.0	0.3	0.0	
18	0.0	0.0	0.0	0.0	0.0	0.0	0.2	0.3	0.4	0.0	7.2	4.6	3.9	0.0	0.2	0.1	2.9	0.7	3.5	4.7	
19	1.2	6.1	0.5	4.7	0.5	0.0	0.8	0.0	0.9	0.4	0.0	0.0	0.8	0.0	0.2	0.1	0.3	1.9	0.6	0.6	
20	5.2	2.8	2.3	2.3	2.2	1.3	4.3	1.0	2.3	0.0	2.1	6.2	5.7	4.8	4.8	5.6	4.8	6.3	3.7	9.7	
21	7.8	6.2	6.3	6.1	7.4	10.1	10.5	10.5	8.5	9.3	9.7	6.1	7.4	2.6	5.0	7.1	6.7	8.1	9.1	10.8	
22	3.1	0.0	0.2	0.0	0.0	0.0	0.0	0.0	1.8	0.0	8.5	6.9	5.4	3.5	8.3	6.1	3.1	4.5	5.7	2.2	
23	0.0	0.0	0.2	0.0	0.0	0.1	0.0	0.0	0.5	2.7	0.0	0.1	0.5	0.0	1.3	4.5	4.0	4.8	4.7	7.9	
24	0.0	0.0	0.2	0.0	0.0	0.0	0.0	0.0	2.9	3.2	0.0	0.0	0.2	0.6	0.5	2.1	0.1	0.8	3.8	1.5	
25	6.2	0.0	11.0	0.0	0.0	0.0	0.0	0.0	8.4	0.0	1.7	8.9	11.0	6.7	8.9	12.2	9.1	12.0	7.7	12.1	
26	9.5	5.2	3.2	0.4	0.0	0.0	1.9	0.0	0.1	0.0	0.7	6.8	2.8	1.7	2.6	3.8	6.6	3.3	2.5	0.5	
27	9.3	10.7	8.7	9.1	9.2	5.5	8.7	5.6	0.9	0.0	9.4	12.8	9.9	12.5	12.8	12.9	13.0	11.7	9.9	10.9	
28	9.2	11.0	11.1	9.6	10.3	9.6	9.4	8.9	10.0	10.0	3.3	7.1	8.2	10.3	9.6	10.9	10.9	12.2	9.7	12.1	
29	2.7	1.7	3.9	1.3	3.1	4.1	1.9	3.6	5.9	5.2	0.0	0.4	0.9	1.8	4.9	6.2	2.5	6.0	2.0	0.0	
30	0.9	6.8	7.5	5.6	7.1	6.5	7.0	6.3	1.8	2.1	3.2	9.2	5.6	1.9	2.4	0.0	0.4	2.2	5.5	3.2	
31	9.5	8.7	7.9	6.3	7.6	9.5	8.6	10.3	10.1	11.0											
Mittel	4.8	4.6	4.4	3.4	3.6	4.0	4.1	3.8	4.6	4.0	3.3	5.6	4.5	3.4	4.5	4.4	4.6	4.8	4.2	3.3	

Tägliche Dauer des Sonnenscheins in Stunden.

1930

Tag	Mai										Juni									
	Lugano	Genf	Montana s Sidlers	Chaux- de-Fonds	Bern	Luzern	Basel	Zürich	Davos	Säntis	Lugano	Genf	Montana s Sidlers	Chaux- de-Fonds	Bern	Luzern	Basel	Zürich	Davos	Säntis
1	0.6	12.2	5.9	4.9	6.1	0.5	5.3	3.3	3.6	0.6	11.1	12.0	9.7	4.7	9.9	4.9	7.6	6.4	5.8	3.3
2	0.0	1.1	0.4	1.1	2.1	1.3	6.0	8.3	6.2	4.6	3.6	7.6	4.9	4.6	5.3	5.9	5.3	7.1	5.8	7.5
3	2.2	1.2	0.8	0.0	0.0	0.0	0.7	0.0	0.9	0.0	5.2	9.0	5.8	4.0	7.5	6.9	4.9	8.6	8.2	4.9
4	4.2	11.5	9.1	5.0	8.1	10.4	6.9	9.9	5.4	5.1	9.6	12.6	10.0	12.9	10.8	10.1	10.3	12.7	7.0	5.2
5	1.0	4.5	4.3	2.3	4.8	3.6	3.0	5.2	3.5	0.7	2.7	5.9	12.8	13.5	9.5	3.0	14.2	9.0	11.9	14.7
6	0.0	0.0	2.0	0.0	1.0	4.8	0.0	4.1	5.8	3.5	0.5	7.2	11.9	6.4	11.2	12.4	14.0	14.1	10.4	11.8
7	0.0	1.1	3.3	0.0	0.2	0.2	0.0	0.0	4.4	1.0	7.0	10.1	12.0	3.9	11.6	11.8	9.6	9.2	9.1	5.7
8	0.0	1.1	0.0	0.0	0.0	0.0	0.5	0.0	0.0	0.0	8.4	6.9	7.5	0.7	5.8	8.3	5.6	7.8	8.6	3.9
9	8.0	9.6	7.3	5.0	4.2	3.7	3.6	5.2	3.0	0.0	7.6	10.2	4.0	7.1	7.2	5.9	4.8	1.2	7.1	3.8
10	1.2	0.0	0.1	0.3	0.4	1.1	0.1	0.4	0.3	0.0	12.3	11.0	4.4	4.3	8.5	10.7	11.5	10.5	9.8	5.6
11	1.4	3.7	0.2	1.6	1.4	2.7	1.9	2.1	1.4	0.0	9.1	10.9	7.2	5.1	11.6	12.5	12.4	13.3	9.7	11.6
12	12.0	2.5	0.6	0.2	0.1	1.4	1.0	0.7	1.1	0.0	3.9	11.2	8.9	6.5	12.0	9.4	7.6	12.3	7.6	8.5
13	7.9	0.0	0.0	0.0	0.0	0.0	0.0	0.0	0.0	0.0	8.6	7.9	8.7	1.7	3.8	3.9	7.4	6.0	3.1	0.0
14	11.8	0.0	0.0	0.0	0.0	0.0	0.2	0.0	0.0	0.0	6.8	4.2	2.7	0.8	1.6	4.6	4.1	7.1	5.5	3.7
15	12.8	7.2	6.4	7.8	8.4	2.6	7.8	1.7	0.2	0.0	13.4	9.1	13.3	6.3	7.3	7.8	8.9	6.0	9.0	9.1
16	10.0	12.3	10.4	7.7	9.5	9.9	9.2	7.8	7.9	2.9	9.1	7.8	13.3	3.6	7.2	10.5	10.1	9.4	8.9	8.3
17	10.8	11.7	11.3	5.3	11.9	11.4	10.0	10.9	10.9	5.9	5.5	6.2	5.9	6.7	*7.0	6.0	7.2	11.1	6.4	9.8
18	8.9	8.5	5.8	4.4	5.8	7.7	5.9	7.9	5.6	1.0	12.0	6.1	11.6	13.1	14.1	14.3	14.5	14.3	9.6	10.1
19	10.9	0.0	7.5	4.0	7.2	6.7	6.9	4.9	0.5	0.0	12.6	8.9	6.0	5.0	8.1	13.5	10.1	12.7	9.9	7.6
20	8.5	6.4	6.5	0.5	3.5	8.5	7.1	9.1	10.3	6.1	7.5	7.7	3.2	0.8	4.3	2.5	0.9	4.7	7.9	5.0
21	0.6	6.6	2.3	1.3	1.8	2.2	3.9	2.5	0.6	0.2	9.1	13.0	8.3	8.6	13.4	10.3	9.7	8.3	0.5	0.9
22	0.0	4.4	1.6	8.2	6.2	8.0	7.4	7.2	2.5	9.1	12.5	12.9	12.0	7.4	13.5	14.4	11.4	14.3	9.1	10.4
23	0.0	3.6	0.0	0.0	0.0	0.0	0.0	0.0	0.0	0.0	6.9	7.2	6.0	1.5	6.1	6.6	4.4	7.6	5.2	5.5
24	3.8	3.3	1.0	1.0	1.2	0.0	1.9	2.2	3.3	0.0	1.5	7.7	7.8	5.6	8.5	8.7	7.2	8.5	4.6	3.5
25	10.7	8.5	6.1	5.7	9.3	1.6	3.9	5.9	11.1	0.2	5.5	11.4	8.2	6.9	8.5	9.9	8.3	8.4	7.1	0.5
26	5.0	8.5	3.9	4.5	5.7	2.0	5.2	8.6	5.5	1.0	0.0	0.4	5.7	0.5	3.8	6.2	3.4	8.2	2.5	5.1
27	5.9	3.9	5.0	5.4	4.9	0.8	5.7	3.9	3.5	0.6	0.0	8.1	2.3	1.6	6.7	0.3	2.6	0.6	2.0	1.5
28	0.0	0.0	0.9	0.0	0.3	4.8	0.2	4.3	4.0	1.0	6.1	6.7	3.1	1.4	0.2	1.1	1.7	2.2	2.9	0.6
29	7.7	4.7	5.7	4.2	3.7	5.9	4.7	5.2	5.1	3.4	7.6	14.4	8.4	9.7	11.8	13.4	13.8	13.0	0.4	6.9
30	8.8	9.1	7.8	5.0	3.9	7.0	4.2	8.5	6.5	9.1	13.6	14.5	12.7	13.9	14.7	14.8	14.8	14.6	11.2	12.1
31	12.7	13.4	13.5	5.3	8.5	8.7	5.1	10.9	12.1	6.4										
Mittel	5.4	5.2	4.2	2.9	3.9	3.8	3.8	4.5	4.0	2.0	7.3	9.0	7.9	5.7	8.4	8.4	8.3	9.0	6.9	6.2

Tag	Juli										August									
	Lugano	Genf	Montana s Sidlers	Chaux- de-Fonds	Bern	Luzern	Basel	Zürich	Davos	Säntis	Lugano	Genf	Montana s Sidlers	Chaux- de-Fonds	Bern	Luzern	Basel	Zürich	Davos	Säntis
1	10.2	8.8	9.1	5.6	8.6	9.7	8.2	10.2	10.4	7.8	8.3	14.0	13.1	12.7	13.6	10.6	13.7	13.4	11.5	14.5
2	0.0	3.2	2.9	1.9	2.8	4.1	5.9	4.7	5.8	2.9	2.1	10.1	10.2	7.3	10.0	11.1	9.6	11.2	11.4	13.0
3	13.1	14.2	12.9	4.5	13.0	11.5	10.6	10.6	8.0	9.2	5.7	5.8	4.1	5.4	6.6	3.0	4.9	3.6	0.3	0.0
4	13.6	14.5	12.7	10.2	11.9	13.0	11.0	12.9	11.9	10.1	7.4	3.0	7.3	2.3	4.9	5.7	1.1	4.4	10.6	6.3
5	11.5	11.3	10.9	11.3	12.5	13.9	12.6	14.1	11.7	12.4	2.4	6.3	0.7	2.5	3.3	1.8	4.6	2.9	1.8	0.0
6	9.2	4.9	7.5	2.2	3.9	7.2	7.7	9.0	10.0	6.8	10.1	5.7	7.9	0.2	6.4	5.3	0.8	7.1	9.0	1.3
7	13.6	13.7	7.4	5.9	6.7	4.7	10.3	8.6	3.5	0.7	5.3	9.8	6.5	4.7	4.0	4.3	5.8	4.1	0.3	0.0
8	12.8	14.1	8.0	6.0	8.9	2.7	10.5	6.9	9.1	0.9	1.2	7.4	2.0	3.5	3.1	0.1	3.3	1.6	0.0	0.0
9	13.1	13.9	9.8	12.2	11.3	7.1	10.8	7.2	7.0	0.8	12.7	10.7	7.7	3.4	4.7	1.5	4.4	0.8	0.0	0.2
10	9.3	9.0	3.4	4.8	7.1	7.2	4.0	4.8	5.6	3.7	12.7	10.4	12.5	6.8	11.9	8.1	9.7	6.8	3.1	0.9
11	6.7	0.5	1.2	0.2	0.0	0.2	0.0	0.0	0.3	0.5	12.7	12.0	10.2	6.3	9.7	6.3	7.0	7.6	6.7	0.1
12	12.9	6.6	2.0	1.6	1.1	2.2	2.8	3.7	3.4	0.0	1.7	2.4	1.3	1.0	1.0	1.5	2.3	2.4	6.6	1.6
13	11.6	6.4	0.5	1.0	1.7	0.4	0.0	0.2	0.7	0.0	0.5	2.8	0.5	3.1	1.0	0.5	2.0	0.7	0.6	0.0
14	8.4	4.9	5.1	0.8	4.6	6.2	3.3	6.2	5.0	4.6	6.0	1.4	0.6	0.1	0.7	2.3	3.6	2.9	1.6	0.0
15	5.7	4.1	4.1	1.9	2.9	3.3	3.7	3.2	2.0	0.0	12.3	6.7	7.5	3.2	2.7	2.6	0.9	0.9	4.1	0.0
16	2.2	12.5	11.2	9.2	11.8	12.5	8.5	12.2	11.8	9.8	11.5	11.2	8.8	8.9	12.0	9.0	10.0	7.6	5.5	0.0
17	0.2	11.4	8.3	3.2	6.1	5.3	4.4	6.0	6.3	4.5	12.6	13.4	12.7	12.6	13.5	13.4	13.4	13.4	11.0	12.3
18	4.5	2.0	0.8	0.6	0.3	1.5	1.8	0.7	1.8	2.4	12.2	9.5	10.3	8.4	9.7	11.1	9.4	10.9	11.4	12.8
19	13.1	5.1	3.6	3.2	3.2	5.4	2.3	3.3	3.8	0.0	7.6	6.3	4.6	0.0	3.2	2.2	0.0	6.0	9.4	1.6
20	6.0	9.6	7.1	6.3	7.8	7.5	8.5	8.8	10.8	6.3	2.4	6.2	2.8	4.2	3.8	2.3	2.4	1.9	4.1	2.6
21	9.2	7.5	5.3	3.5	5.6	9.0	2.7	5.6	9.1	10.2	2.6	8.4	8.3	4.9	7.6	6.0	5.9	6.9	6.8	6.2
22	12.3	12.0	10.8	12.1	9.0	6.5	13.0	9.1	9.7	0.0	3.9	3.3	5.0	1.7	2.5	2.0	1.2	1.5	5.6	1.3
23	0.4	4.1	4.9	1.4	4.5	7.8	3.1	7.2	3.3	5.9	7.4	7.5	4.1	1.8	4.0	2.6	0.0	2.3	2.4	0.9
24	0.3	0.0	0.3	0.1	0.0	0.0	0.3	0.1	0.0	0.0	12.0	13.1	12.4	5.4	10.7	6.3	3.0	8.8	10.3	2.9
25	12.7	8.4	5.9	0.8	2.4	0.9	1.3	1.0	3.9	0.0	11.2	13.1	12.5	12.1	10.5	8.0	9.7	10.5	11.2	12.4
26	12.9	13.7	13.0	7.5	13.8	13.2	12.1	13.2	9.0	5.3	10.4	11.9	12.4	12.4	10.3	7.4	11.2	12.9	11.0	13.8
27	11.2	11.2	9.5	4.6	6.2	5.9	2.0	4.5	6.9	2.1	9.8	12.8	12.3	12.0	11.6	8.8	12.7	12.6	11.1	13.6
28	2.5	0.0	0.0	0.7	0.3	0.1	0.7	0.2	0.3	0.0	10.3	11.4	12.0	12.0	11.9	8.6	12.4	9.6	11.0	9.6
29	10.9	7.1	11.5	7.6	9.5	6.9	7.1	6.9	9.6	8.3	9.5	12.0	10.7	12.1	12.0	12.2	12.0	12.3	10.3	10.1
30	6.5	6.7	3.8	2.2	2.6	1.6	6.2	1.5	4.2	0.0	7.2	11.5	10.9	10.6	11.5	11.9	12.3	12.7	10.8	8.7
31	12.9	11.6	8.5	6.4	6.6	3.1	5.7	4.7	6.4	1.0	9.2	12.5	11.8	11.6	11.6	11.5	12.2	12.6	10.7	10.6
Mittel	8.7	8.2	6.5	4.5	6.0	5.8	5.8	6.0	6.2	3.7	7.8	8.8	7.5	6.2	7.4	6.1	6.5	6.9	6.8	5.1

1930

Tägliche Dauer des Sonnenscheins in Stunden.

Tag	September										Oktober									
	Lugano	Genf	Montana s. Siders	Chaux- de-Fonds	Bern	Luzern	Basel	Zürich	Davos	Santis	Lugano	Genf	Montana s. Siders	Chaux- de-Fonds	Bern	Luzern	Basel	Zürich	Davos	Santis
1	11.9	12.1	11.6	9.5	11.5	10.3	9.0	9.9	9.5	9.3	9.6	7.0	10.3	9.9	7.1	5.8	7.6	8.5	9.1	10.7
2	11.8	10.3	11.4	8.6	6.5	0.8	5.8	3.3	8.1	5.4	9.4	0.0	10.1	8.7	0.0	3.0	1.9	8.9	11.0	
3	10.7	10.6	11.7	11.3	6.2	6.7	10.1	8.7	10.1	12.5	0.0	5.8	10.1	9.5	5.1	4.3	8.2	2.0	9.0	9.9
4	10.5	10.9	9.6	10.9	10.5	8.7	10.0	11.3	10.2	10.5	0.0	1.2	1.6	0.7	2.5	2.7	1.3	1.2	5.0	0.9
5	6.5	11.6	6.6	9.9	7.9	8.3	11.1	10.6	9.9	8.8	2.9	0.0	0.0	0.0	0.0	0.0	0.0	0.1	0.0	0.0
6	11.4	10.5	10.4	5.5	9.0	9.1	3.8	6.2	9.8	6.8	9.0	4.8	0.5	3.7	4.3	3.8	6.6	5.5	3.0	0.0
7	1.2	4.3	3.3	0.0	0.6	0.8	0.1	0.1	0.1	0.0	9.3	0.8	0.0	1.6	1.5	2.2	1.5	1.3	0.4	0.0
8	11.3	8.0	7.4	3.4	5.3	4.1	5.9	4.1	4.1	0.0	2.2	0.6	1.5	0.1	1.1	2.0	0.2	2.0	2.9	0.0
9	2.6	4.6	6.6	4.8	4.9	3.8	4.9	4.0	2.5	0.0	1.7	0.0	0.0	0.0	0.4	0.0	0.0	0.0	2.1	0.0
10	2.2	5.7	2.4	3.2	3.7	2.6	3.4	1.7	1.4	1.9	7.6	7.6	7.0	4.4	6.0	2.5	3.3	0.8	2.2	0.0
11	0.0	0.9	0.6	0.1	1.6	1.1	0.3	0.9	1.5	0.4	3.1	2.0	0.0	0.8	1.1	2.2	0.4	1.0	4.5	0.0
12	1.1	2.2	0.1	0.1	2.9	5.1	2.9	5.0	3.8	6.3	0.0	0.9	1.4	0.3	1.4	0.0	0.0	1.6	2.0	0.0
13	9.1	3.9	3.8	3.1	0.4	1.5	1.7	1.0	7.7	2.1	9.8	9.3	4.5	9.4	8.7	*5.6	8.9	9.2	3.5	9.8
14	1.5	6.1	4.3	5.5	5.4	0.5	6.2	1.6	1.9	0.9	9.0	5.3	9.8	8.8	6.3	3.8	9.6	6.2	7.8	10.9
15	5.0	3.9	7.0	0.0	1.5	1.0	1.7	2.9	0.0	0.0	9.4	0.0	9.9	8.1	8.7	5.3	8.7	6.5	7.7	10.9
16	10.9	11.5	10.2	6.1	6.8	6.4	8.3	8.1	1.1	0.0	9.7	4.2	10.0	9.4	8.9	6.6	9.6	6.4	7.7	10.9
17	9.0	8.6	5.8	0.4	1.6	2.7	0.5	0.7	4.1	1.6	9.5	4.3	10.2	9.1	9.7	7.2	9.3	6.4	7.4	9.6
18	9.0	9.6	10.4	7.5	8.3	7.8	6.7	8.0	9.3	9.3	5.3	2.7	9.8	6.4	9.9	7.8	8.0	5.3	7.5	10.1
19	0.0	9.1	8.7	5.0	6.3	6.8	4.8	5.5	8.3	5.4	9.2	0.0	10.0	9.4	5.0	0.0	7.7	4.4	7.4	10.6
20	0.0	1.1	0.0	0.6	0.2	0.0	0.4	0.0	0.0	0.0	0.0	4.9	2.5	2.2	3.7	2.1	3.0	0.7	1.5	2.0
21	11.0	6.6	7.2	3.0	5.7	6.2	2.8	5.2	2.0	0.0	5.1	6.0	5.3	3.8	2.8	0.1	3.3	0.7	3.7	0.0
22	10.3	5.0	4.4	2.4	1.8	0.2	0.1	0.4	0.0	0.0	0.9	2.2	1.3	0.4	1.4	0.0	0.9	0.0	0.0	0.0
23	7.9	5.3	0.0	0.1	0.0	0.0	0.0	0.0	0.1	0.0	7.5	2.9	2.9	0.8	0.2	1.5	0.3	0.5	1.1	1.0
24	9.0	4.4	6.9	7.5	4.0	3.0	9.6	3.0	8.7	11.9	7.7	0.0	0.6	0.0	0.2	0.4	0.0	0.0	1.3	0.0
25	8.1	5.5	2.0	1.6	0.5	0.6	0.8	0.1	0.8	0.0	1.2	2.2	0.0	0.9	0.8	2.2	0.7	1.3	0.0	0.0
26	5.2	8.5	1.5	2.0	7.0	1.4	2.1	6.6	0.1	0.0	9.2	0.0	0.0	0.0	0.0	0.3	0.0	0.4	0.0	0.0
27	5.0	10.1	6.1	1.8	4.1	3.4	6.8	2.2	3.8	2.6	4.7	5.2	0.1	0.1	2.2	1.2	0.3	0.6	0.0	0.0
28	0.0	6.3	8.8	6.0	6.6	5.3	5.9	4.4	1.0	5.9	8.6	0.0	0.0	0.0	0.0	0.0	0.0	0.0	0.0	0.0
29	0.0	0.5	2.8	0.0	0.0	0.0	0.1	0.0	4.5	6.0	6.4	0.0	0.0	0.0	0.0	0.0	0.0	0.0	0.0	0.0
30	7.4	2.5	1.2	6.2	6.5	3.4	7.5	7.8	2.1	1.9	3.4	3.6	1.5	0.0	1.7	2.0	0.0	0.9	0.8	0.0
31											4.6	5.9	8.8	0.7	4.6	1.8	0.3	0.3	4.3	0.0
Mittel	6.3	6.7	5.8	4.2	4.6	3.7	4.4	4.1	4.2	3.7	5.7	2.9	4.2	3.5	3.4	2.4	3.3	2.5	3.6	3.5
Tag	November										Dezember									
	Lugano	Genf	Montana s. Siders	Chaux- de-Fonds	Bern	Luzern	Basel	Zürich	Davos	Santis	Lugano	Genf	Montana s. Siders	Chaux- de-Fonds	Bern	Luzern	Basel	Zürich	Davos	Santis
1	0.0	7.1	6.5	5.3	4.7	4.2	3.2	6.0	2.2	3.9	6.6	0.0	7.7	7.3	0.0	0.0	5.2	0.0	4.1	6.9
2	0.0	4.8	5.3	2.1	4.8	7.2	2.1	5.7	5.7	5.5	6.0	0.0	5.6	4.4	0.0	0.0	3.6	0.0	5.6	6.9
3	8.6	0.2	0.0	0.0	1.5	2.7	1.1	0.5	0.0	0.0	0.0	0.0	8.0	7.0	0.0	0.0	0.1	0.0	5.7	8.7
4	0.0	0.1	0.0	0.0	0.0	0.0	0.0	0.0	1.2	4.2	0.0	0.0	8.0	6.9	0.0	0.0	5.6	0.0	5.6	8.7
5	8.7	7.9	4.7	5.8	7.5	3.1	5.0	4.6	3.5	0.0	3.5	0.0	6.1	1.5	0.0	0.0	3.4	0.0	5.5	6.1
6	1.2	3.0	2.2	2.0	3.5	5.1	0.6	2.6	5.1	3.2	5.2	6.6	2.3	0.7	1.9	0.0	0.1	0.0	1.1	0.0
7	3.6	0.0	0.8	0.0	0.2	1.5	0.1	0.7	2.7	1.4	0.0	3.1	7.4	1.7	7.7	6.9	0.4	1.1	5.0	0.0
8	1.1	0.0	0.0	0.0	0.0	0.0	0.0	0.2	0.8	0.6	0.0	0.0	0.0	0.0	0.0	0.0	0.0	0.0	0.0	7.7
9	8.0	7.2	7.6	4.8	7.6	8.2	0.6	6.6	4.8	4.6	0.0	1.2	1.2	0.5	0.0	0.0	0.0	0.0	1.2	0.0
10	8.1	0.0	8.9	0.0	0.0	1.5	0.1	1.5	6.5	9.4	7.2	5.6	3.3	2.1	3.4	0.0	0.1	0.2	0.0	0.0
11	7.7	4.4	7.7	1.0	0.0	0.0	2.2	2.8	2.3	0.0	6.1	0.0	4.1	2.1	3.0	3.7	4.9	6.5	4.9	7.5
12	8.3	8.6	8.8	4.1	5.5	1.3	2.6	1.5	1.6	0.0	5.5	0.2	0.0	0.0	0.0	0.0	0.0	0.0	0.0	0.0
13	7.7	6.8	5.2	5.7	6.5	7.0	6.3	6.7	6.1	6.0	5.4	0.5	0.0	0.7	0.3	0.7	0.1	0.7	1.5	1.0
14	8.1	8.2	8.8	8.3	7.5	5.5	8.0	6.7	6.2	8.9	6.1	0.5	0.0	0.0	0.5	1.1	0.4	1.9	0.0	0.0
15	7.5	7.8	7.6	7.6	6.1	6.3	7.3	4.8	5.5	7.3	2.5	0.0	4.1	2.2	0.0	0.9	4.1	2.3	4.8	4.1
18	4.5	0.0	0.2	0.0	0.0	0.0	0.0	0.0	0.0	0.0	6.5	2.6	6.7	2.9	5.1	5.6	0.0	4.6	5.1	8.0
17	6.7	4.7	7.3	6.1	1.0	0.0	5.6	1.0	4.8	3.0	4.3	0.0	0.0	0.0	0.0	0.0	0.3	2.6	5.9	0.0
18	1.6	0.0	7.3	6.3	0.0	0.0	4.5	2.9	5.5	7.3	6.8	0.0	7.3	5.7	0.0	0.0	4.4	1.6	4.9	8.1
19	2.5	0.8	0.0	0.0	1.6	1.7	0.5	0.0	0.4	0.0	6.6	6.7	7.1	6.4	5.9	4.3	5.4	5.5	5.1	5.3
20	3.2	0.0	0.1	0.1	0.0	0.2	0.0	0.0	0.8	0.0	5.5	6.4	7.8	7.6	7.2	0.0	1.3	6.9	5.1	8.4
21	3.4	1.4	1.7	0.0	0.1	0.0	0.1	0.0	0.2	0.0	0.0	0.0	6.8	6.5	0.0	0.0	1.9	0.0	4.5	7.4
22	0.0	0.0	0.0	0.0	0.0	0.0	0.0	0.0	1.2	0.0	2.0	0.0	4.1	0.0	0.0	0.0	0.0	0.1	0.0	0.0
23	7.3	7.1	6.9	2.4	6.9	6.3	3.8	3.0	4.4	0.0	1.1	0.0	6.6	0.0	0.0	0.0	0.0	0.0	4.7	7.3
24	0.0	0.0	0.0	0.0	0.0	0.0	0.0	0.0	0.0	0.4	6.0	0.0	7.3	0.0	0.0	0.0	0.0	0.0	4.9	7.8
25	7.4	7.1	6.8	3.0	6.1	7.2	2.2	7.0	5.7	0.5	0.0	0.0	4.2	1.6	0.0	0.0	1.7	0.0	4.6	6.2
28	0.0	5.9	3.4	3.9	4.9	4.2	3.6	3.8	3.3	3.9	5.3	0.0	5.5	2.0	0.2	4.3	2.5	3.5	4.6	6.0
27	0.0	0.2	1.1	0.9	0.8	1.8	2.1	3.1	4.7	3.6	6.9	4.8	0.2	1.1	0.3	0.0	1.3	1.9	4.0	0.0
28	0.0	3.4	0.0	3.9	5.1	5.4	2.3	3.7	1.7	4.2	2.9	1.3	0.6	0.3	2.6	0.7	2.8	0.0	0.2	0.0
29	0.0	1.4	0.5	0.2	1.1	2.4	0.6	5.5	0.0	7.2	0.0	0.0	0.0	0.0	0.0	0.0	0.4	0.4	0.4	0.0
30	0.0	0.1	2.5	0.0	0.0	0.0	0.0	0.0	1.8	0.5	4.0	2.1	4.5	0.2	1.2	3.9	2.6	0.4	2.7	1.6
31											0.0	1.5	0.0	0.9	2.3	2.4	2.4	2.6	1.9	1.2
Mittel	3.8	3.3	3.7	2.4	2.8	2.8	2.1	2.8	3.0	2.9	3.6	1.4	4.1	2.3	1.3	1.1	1.8	1.3	3.3	4.2

Nr. 5.

Jahresbericht 1930 des Erdbebendienstes

der Schweizerischen Meteorologischen Zentralanstalt.

Von Dr. E. Wanner.

1. Allgemeines und statistische Bemerkungen.
2. Tabellarische Zusammenstellung der in der Schweiz verspürten und an den Erdbebenwarten Zürich, Chur und Neuchâtel registrierten Erdbeben.

1. Allgemeines und statistische Bemerkungen.

Stationen:	Zürich	Chur	Neuchâtel
	<i>Direktor</i> : Dr. J. Maurer.	Prof. A. Kreis.	<i>Direktor</i> : Dr. L. Arndt.
	<i>Bearbeiter</i> : Dr. E. Wanner.		<i>Bearbeiter</i> : Dr. H. Odermatt.

Dank der stetigen Mitarbeit der Stationsleiter konnten im Berichtsjahre die laufenden Aufgaben ohne nennenswerte Störung gelöst werden. Wie aus den nachfolgenden Tabellen hervorgeht, wurden in der Schweiz 24 Erdbeben gespürt. Vier davon hatten ihren Herd ausserhalb der Schweiz, im Schwarzwald und in den Ostalpen, die übrigen waren von nur lokaler Natur, so dass für das Jahr 1930 die seismische Aktivität als gering bezeichnet werden muss. Ausserdem wurden auf den drei Stationen im ganzen 85 Nah- und 134 Fernbeben registriert. Auch dieses Jahr stellte mir Herr Dr. Odermatt als Ergänzung zu den telegraphischen Meldungen einen vollständigen Katalog der in Neuchâtel registrierten Beben zur Verfügung. Zur Uhren-

kontrolle dienten wie bisher die Zeitsignale des Eiffelturms um 10³⁰ M. E. Z.

Bei Anlass der drohenden Bergsturzgefahr in Linthal wurde im November zu Versuchszwecken und auch auf Wunsch der Behörden der transportable Seismograph am Fusse des Kilchenstocks aufgestellt. Mehrere Bewohner hatten im Laufe der kritischen Tage, wo die Gesteinsmassen bis 10 mm täglich vorgerückt sind, ausser dem Getöse aus dem Berginnern ziemlich starke Erschütterungen wahrgenommen. Leider konnte für das Instrument kein passender Aufstellungsort mit Flyschunterlage gefunden werden, so dass das sowieso nicht sehr empfindliche Instrument einen später erfolgten Teilabsturz nicht aufzuzeichnen vermochte.

Die Konstanten der Instrumente waren:

Station	Apparat	Masse in kg	Komponente	Vergrößerung für schnelle Schwingungen	Eigen- perioden in Sek.	Däm- pfung	Reibung in $\frac{m}{m}$	Registrierge- schwindigkeit pro Minute	Mittlerer Zeit- interpolations- fehler in Sek.
Zürich	Juni 28.	20600	N-S	1700	3.1	3.5	0.6	ca. 90 $\frac{m}{m}$	± 0.1
			E-W	1800	3.2	3.5	1.2	90 $\frac{m}{m}$	± 0.1
			V	1800	1.2	2.1	0.5	90 $\frac{m}{m}$	± 0.1
	Mainka	450	N-S	140	9.3	2.5	2.2	30 $\frac{m}{m}$	± 0.1
			E-W	103	8.4	2.3	2.5	30 $\frac{m}{m}$	± 0.1
	Wiechert	80	V	90	4.0	4.0	1.0	30 $\frac{m}{m}$	± 0.1
Chur	Juni 17.	13000	E-W	1320	3.3	4.8	0.4	60 $\frac{m}{m}$	± 0.1
			V	1970	1.3	3.2	0.3	60 $\frac{m}{m}$	± 0.1
Neuchâtel	Juni 20.	19000	N-S	1700	2.8	5.0	0.1	60 $\frac{m}{m}$	± 0.1
			E-W	1700	2.8	4.1	0.3	60 $\frac{m}{m}$	± 0.1
			V	1860	1.2	2.3	0.1	60 $\frac{m}{m}$	± 0.1

Q.-P. = Universalseismograph Quervain-Piccard.

In den folgenden Zeilen findet man die Verteilung der gespürten Erdbeben über die verschiedenen Monate des Jahres bzw. Tagesstunden. (Die Zahlen in den Klammern geben die an einer der drei Stationen registrierten Stösse.)

Januar	Februar	März	April	Mai	Juni	Juli	August	September	Oktober	November	Dezember
6 (5)	1 (0)	—	—	8 (3)	1 (1)	—	3 (1)	—	4 (4)	—	1 (1)
0-2 ^h	2-4 ^h	4-6 ^h	6-8 ^h	8-10 ^h	10-12 ^h	12-14 ^h	14-16 ^h	16-18 ^h	18-20 ^h	20-22 ^h	22-24 ^h
5 (3)	—	3 (1)	3 (1)	1 (0)	1 (0)	—	1 (1)	3 (3)	—	5 (5)	2 (1)

Es fallen also 50% (67%) in das Winterhalbjahr und 63% (67%) in die Zeit der Ruhe (18-6^h).

2. Tabellarische Zusammenstellung der in der Schweiz verspürten und der an den Erdbebenstationen Zürich, Chur und Neuchâtel registrierten Erdbeben.

In Tabelle I sind sämtliche zur Kenntnis des Erdbebendienstes gelangten Meldungen aus der Schweiz, über wirkliche oder vermeintlich gespürte Erdbeben angeführt. Die wahren Erdbeben, sowie Erschütterungen mit höchst wahrscheinlich seismischem Ursprung, finden sich darin nummeriert, während die zweifelhaften Fälle durch kleinen

Druck gekennzeichnet sind. Die Tabellen II und III enthalten alle auf einer der drei schweizer. Stationen registrierten Beben und zwar geschah die Einteilung wie bisher in Nahebeben mit einer Epizentraldistanz von höchstens 1000 km in Tabelle II und Fernbeben mit einer Herddistanz von mindestens 1000 km in Tabelle III.

Tabelle I. In der Schweiz verspürte Erdbeben 1930.

Z = Erdbebenwarte Zürich. C = Erdbebenstation Chur. N = Observatoire Neuchâtel.

Nr.	Datum	M.-E. Zeit		Epizentralgebiet (gesperrt gedruckt) und erschütterte Gebiete	Grad Focal-Rossi	Grösste Ausdehnung	Zahl d. pos. Meldungen	Zahl d. neg. Meldungen	Registriert in	Bemerkungen über Charakter, Zahl der Stösse und Wirkungen
		h	m							
	1930					km				
1	Januar 5.	15.	56	Umgebung von Zürich (vergl. Tab. II, Nr. 1)	II	—	1	—	Z,N	Zittern des Bodens, dumpfes Klopfen
2	" 9.	6.	30	Ofenpass Buffalora (vergl. Tabelle II, Nr. 6)	IV-V	—	1	—	Z,C	Lokaler Erdstoss, allgemein verspürt.
3	" 14.	22.	47	Liestal Waldenburg IV-V, vorwiegend in einem schmalen Streifen, Richtung Nord-Süd, zwischen Rheinfelden u. Olten (vergl. Tab. II, Nr. 11)	IV-V	50	30	7	Z,N	Meistens als stossartige Erschütterung wahrgenommen, begleitet von dumpfem Rollen
4	" 19.	0.	19	Sitten Wallis, lokal (vergl. Tabelle II, Nr. 12)	IV	—	1	—	Z	Kurzer Stoss, vorherrschend vertikal. E-W Schwingen der elektr. Lampen
5	" 19.	1.	00	Sitten lokal	III	—	1	—	—	Leichter Stoss, von zwei Zeugen bestätigt
	" 19.	3.	30	Sitten	II	—	1	—	—	Ganz schwacher Stoss von einem Beobachter wahrgenommen
6	" 31.	20.	54	Dodtnau Schwarzwald, gespürt in Schleitheim Schaffhausen (vergl. Tabelle II, Nr. 14)	II	—	1	—	Z,N,C	Schwaches, aber bestimmtes Zittern, in den oberen Stockwerken beobachtet
7	Febr. 4.	5.	24	Sitten lokal	III-IV	—	1	—	—	Vertikalstoss mit leichter N-S Komponente, beobachtet von 40 Personen
	April 3.	8.	02	St. Niklausen (Luzern) lokal	III	—	1	—	—	Erdstoss von einigen Sekunden Dauer, Fensterklirren beobachtet von einer Person
	" 10.	1.	36	Grenchen (Kt. Solothurn)	II	—	1	—	—	3 getrennte schwache Stösse und leichtes Schaukeln
	" 18.	0.	45	Zürich 1, Pelikanstrasse	III	—	1	—	—	Stoss von unten, Krachen in den Wänden

Tabelle I (Fortsetzung).

Nr.	Datum	M.-E. Zeit 0-24 h	Epizentralgebiet (gesperrt gedruckt) und erschütterte Gebiete	Grad Fere-Rossi	Grösste Ausdehnung km	Zahl d. pos. Meldungen	Zahl d. neg. Meldungen	Registriert in	Bemerkungen über Charakter, Zahl der Stösse und Wirkungen
	1930								
	April 27.	—	Borgen	II	—	1	—	—	Erdstoss gespürt von einer Person
8	Mai 11.	1.15	Ponte Tresa (Tessin)	IV	—	1	1	—	Erdstoss von vielen verspürt; Zittern von Gegenständen
9	" 22.	5.56	Sitten lokal (Tabelle II, Nr. 29)	IV	—	1	—	Z,N,C	Vertikalstoss allgemein verspürt
10	" 22.	20.33	Sitten lokal (Tabelle II, Nr. 30)	IV	—	1	—	Z,N,C	Seitlicher Stoss, gut verspürt, Richtung SW-NE
11	" 22.	21.10	Sitten	II-III	—	1	—	—	Schwacher Stoss, nur in obern Stockwerken wahrgenommen.
12	" 24.	7.07	Sitten	III	—	1	—	—	Vertikalstoss, schwach
13	" 24.	7.35	Sitten	IV	—	1	—	—	Von allen Hausbewohnern als Vertikalstoss wahrgenommen
14	" 24.	10.38	Sitten	IV	—	1	—	?	Starker Stoss, von vielen gut verspürt
	" 25.	4.56-59	Olten (lokal)	II	—	1	—	—	Mehrere schwache Beben
	" 26.	1.00	Olten	III	—	1	—	—	Zwei Personen wurden durch eine Erschütterung aus dem Schlafe geweckt
15	" 31.	16.14	Umgebung von Zürich (vergl. Tab. II, Nr. 34)	II-III	—	2	—	Z,N,C	Spontane Meldung, schwache Erschütterung, bemerkt in obern Stockwerken
	Juni 4.	19.00	Olten	—	—	1	—	—	Zittern einer Antenne, Ursache unbekannt
16	" 9.	17.07	Cortailod-Bevaix (Neuchâtel), (vergl. Tabelle II, Nr. 38)	IV-V	—	3	3	N,Z	Stellenweise, starker Stoss
	" 14.	14.25	Zürich?	III	—	1	—	—	Stoss beobachtet von einer ruhenden Person, zittern von Pflanzen und Bildern
17	August 3.	4.03	Neuhausen (lokal)	III	—	1	—	—	Zirka 3 Sek. dauernde Erschütterung, von mehreren Personen gut beobachtet
18	" 5.	21.36	Kaiserstuhl Kt. Obwalden, Giswil, Lungern (vergl. Tabelle II, Nr. 49)	—	5	3	—	Z,C	Dumpfe Detonation aus dem Erdinnern
	" 14.	13.22	Zürich, Scheuchzerstrasse	III	—	1	—	—	Schwaches Zittern des ganzen Hauses
19	" 25.	9.00	Horschach (Bodensee)	III-IV	—	1	—	—	Von vielen ein Erdstoss verspürt, Rauschen, Erschütterung auch im Erdgeschoss wahrgenommen.
20	Okt. 8.	0.30	Herd Lechtal, in der Schweiz verspürt St. Gallen, Thurgau V, Schaffhausen, Zürich, Schwyz III-IV, westl. Grenze der Wahrnehmung: Biel, Langnau (Bern), Göschenen, Locarno (vergl. Tabelle II, Nr. 60)	V	170	260	40	Z,N,C	Stellenweise recht starke Erschütterung, besonders im St. Gallischen Rheintal (vergl. E. Kraus: Die Bewegung des Erdbebens am 8. Oktober 1930 im süddeutschen Bau)
21	" 8.	1.30	Nachstoss zu Nr. 20, verspürt in Erlen (vergl. Tabelle 2, Nr. 61)	III	—	1	—	Z,N,C	Schwache Erschütterung
22	" 15.	23.19	Kandern Schwarzwald, in der Schweiz verspürt in: Unterhallau III, Schleithem IV, Bülach III, Obfelden III, Zofingen III, Schaffhausen III (vergl. Tabelle II, Nr. 63)	III-IV	—	6	—	Z,N,C	Schwächere Erschütterung
23	" 31.	16.06	Kaiserstuhl V, Reckingen III, Baltingen IV (vergl. Tabelle II, Nr. 74)	III-V	10	6	3	Z,N,C	Lokales Beben, stellenweise starke Stösse, Umwerfen von Gegenständen
	Nov. 9.	28.30	Linthal (Glorus)	III	—	—	2	—	Starkes Rumpeln am Kirchenstock, Zittern in Linthal bemerkt von mehreren Personen

Tabelle I (Schluss).

Nr.	Datum	M.-E. Zeit		Epizentralgebiet (gesperrt gedruckt) und erschütterte Gebiete	Grad Fort-Rossi	Grösste Ausdehnung	Zahl d. pos. Meldungen	Zahl d. neg. Meldungen	Registriert in	Bemerkungen über Charakter. Zahl der Stösse und Wirkungen
		h	m							
	1930					km				
	Nov. 2.	22.	00	Wädenswil	II	—	1	—	—	12000 m ³ i. d. See abgestürzt, zittern der Umgebung
	" 18.	3.	10	Grenchen	II-III	—	1	—	—	Schwacher Stoss
	" 19.	1.	30	Olivons	III	—	1	—	—	Von mehreren Personen eine schwache Erschütterung wahrgenommen
	" 19.	8.	30	Zürich-Enge	—	—	—	—	—	Zittern des ganzen Hauses, bemerkt von einer Person
	" 19.	17.	12	Weinfelden	III	—	1	—	—	2 oder 3 Stösse aus dem Erdinnern, wellenförmige Bewegung, bemerkt von einer Person
	" 23.	22.	30	Zürich	II	—	1	—	—	Erdstoss
	" 25.	9.	41	Siebmen	II-III	—	1	—	—	Leichtes Vibrieren der Türen
24	Dez. 22.	20.	56	Boudry-Cortailod (vergl. Tab. II, Nr. 86)	IV	—	2	—	N	Stoss W-E von vielen verspürt

Bemerkung: Vom 18. bis 23. November herrschte in der ganzen Schweiz ein stürmischer Wind, der wahrscheinlich die gemeldeten Erschütterungen verursacht hat.

Tabelle II. In der Schweiz 1930 registrierte Nahebeben.

Mittlere Zeit (Greenwich):

- Erdbebenwarte Zürich; H = 604 m; Breite: 47° 22' 7.2" N; Länge: 8° 34' 49.5" E; Untergrund: Molassesandstein und Mergel, wechsellagernd.
- Erdbebenstation Chur; H = 630 m; Breite: 46° 50' 59.5" N; Länge: 9° 32' 12.1" E; Untergrund: Bündnerschiefer der penninischen Decke.
- Observatoire Neuchâtel; H = 487; Breite: 46° 59' 50.6" N; Länge: 6° 57' 26.2" E; Untergrund: Gewachsener Kalkfels.

Nr.	Datum	Station	Epizentral-entfernung nach N-P	Max. Amplitude	Ungefähre Dauer der Registr.	Phasen, Bemerkungen	
						km	μ
	1930						
1	Jan. 5.	Z	9	5.9	0.5	iP 11 ^h 56 ^m 27.9 ^s , iS 11 ^h 56 ^m 29.1 ^s .	Herd bei Zürich (vergl. Tab. I, Nr. 1)
		N	111	0.1	0.5	eP 11 ^h 56 ^m 48.4 ^s , eS 11 ^h 57 ^m 04.0 ^s , sehr schwach	
2	" 5.	N	200?	0.6	2.5	ePn 12 ^h 12 ^m 50.3 ^s , eP12 ^h 12 ^m 59.4 ^s , eS 12 ^h 13 ^m 31.1 ^s	Herd unbekannt
		Ch	400		2.0	ePn 12 ^h 12 ^m 56.2 ^s , iS 12 ^h 13 ^m 47.0 ^s	
		Z	—	1.0	2.0	eP 12 ^h 13 ^m 01.8 ^s	
3	" 6.	Z	—	<0.1	0.2	iP 1 ^h 3 ^m 39.9 ^s , i 1 ^h 3 ^m 41.8 ^s	Herd Schwäbische Alb nach Stuttgart S-E Ende des Hohenzollerngrabens.
		N	67	<0.1	0.3	eP 1 ^h 4 ^m 00.4 ^s , eS 1 ^h 4 ^m 09.1 ^s	
4	" 6.	Z	96	2.0	2.0	iP 13 ^h 43 ^m 54.1 ^s , iS 13 ^h 44 ^m 6.5 ^s	Herd Schwäbische Alb nach Stuttgart S-E Ende des Hohenzollerngrabens.
		N	194	0.2	0.6	eP 13 ^h 44 ^m 11.0 ^s , eS 13 ^h 44 ^m 35.3 ^s	
5	" 7.	Z	—	0.1	0.5	e 0 ^h 23 ^m 46.2 ^s	
6	" 9.	Ch	54		<1.0	eP 5 ^h 38 ^m 52.3 ^s , S Min.-Lücke 5 ^h 39 ^m 00 ^s	Herd in der Gegend des Ofenpasses (vergl. Tab. I, Nr. 2)
		Z	?	1.0	0.6	eP? 5 ^h 39 ^m 13.0 ^s , S 5 ^h 39 ^m 27 ^s	
		N	260	0.1	0.6	eP 5 ^h 39 ^m 27.0 ^s , eS 5 ^h 39 ^m 59.1 ^s	
7	" 9.	N	680	20.0	9.0	ePn 19 ^h 39 ^m 59.9 ^s , eP 19 ^h 40 ^m 33 ^s , eSn 19 ^h 41 ^m 11.7 ^s , eS 19 ^h 41 ^m 37.1 ^s	Nach Strasbourg; Herd in der Bretagne.
		Z	—	20.0	9.0	ePn 19 ^h 40 ^m 13.9 ^s , S 19 ^h 42 ^m 23.3 ^s	
		Ch	—	—	5.0	eP? 19 ^h 40 ^m 24.0 ^s , e 19 ^h 43 ^m 01 ^s	

Tabelle II (Fortsetzung).

Nr.	Datum	Station	Epizentral- entfernung nach S-P	Max. Ampli- tude	Ungefähre Dauer der Registr.	Phasen, Bemerkungen
	1930		km	μ	Min.	
8	Jan. 10.	Ch	266	—	3.0	eP 21 ^b 53 ^m 53.8 ^s , eS 21 ^b 54 ^m 27.4 ^s
		Z	340	4.0	3.0	ePn 21 ^b 54 ^m 2.4 ^s , eS 21 ^b 54 ^m 52.7 ^s
		N	440	2.0	3.0	ePn 21 ^b 54 ^m 16.6 ^s , eS 21 ^b 55 ^m 24.6 ^s
9	" 12.	Ch	680	—	5.0	ePn 12 ^b 49 ^m 50.2 ^s , iS 12 ^b 51 ^m 40 ^s
		Z	—	—	—	eP 12 ^b 49 ^m 32.0 ^s , durch starke Mikroseismen gestört.
10	" 14.	N	72	0.1	0.3	eP 21 ^b 32 ^m 35.3 ^s , eS 21 ^b 32 ^m 44.8 ^s
		Z	—	—	0.2	Ganz schwache Registrierung.
11	" 14.	Z	—	3.0	1.0	iP 21 ^b 47 ^m 21.8 ^s , iS 21 ^b 47 ^m 28.9 ^s
		N	72	2.6	1.0	iP 21 ^b 47 ^m 26.7 ^s , iS 21 ^b 47 ^m 36.7 ^s
						Seismoskop Basel 18 ^b 43 ^m 42.3 ^s
12	" 18.	N	95	0.3	0.5	eP 23 ^b 18 ^m 59.4 ^s , iS 23 ^b 19 ^m 11.7 ^s
		Z	—	0.1	0.5	e 23 ^b 19 ^m 18.8 ^s
13	" 22.	N	330	0.2	2.0	ePn 20 ^b 45 ^m 43.0 ^s , eP 20 ^b 45 ^m 55.3 ^s , eSn 20 ^b 46 ^m 23.6 ^s
14	" 31.	Z	58	4.0	1.0	iP 19 ^b 54 ^m 43.1 ^s , iS 19 ^b 54 ^m 50.3 ^s
		N	120	1.0	0.8	eP 19 ^b 54 ^m 50.1 ^s , eS 19 ^b 55 ^m 5.1 ^s
		Ch	—	—	—	e 19 ^b 55 ^m 15.5 ^s
15	Febr. 25.	Ch	340	—	4.0	ePn 13 ^b 36 ^m 40.1 ^s , iP 13 ^b 36 ^m 47.5 ^s , iS 13 ^b 37 ^m 31 ^s
		Z	440—460	8.0	4.0	ePn 13 ^b 36 ^m 50.4 ^s , iP 13 ^b 37 ^m 3.3 ^s , iS 13 ^b 37 ^m 54.6 ^s
		N	460	2.0	4.0	ePn 13 ^b 37 ^m 03.3 ^s , iP 13 ^b 37 ^m 20.6 ^s , eSn 13 ^b 37 ^m 57.6 ^s
16	März 5.	N	—	0.9	4.0	ePn 5 ^b 15 ^m 21.5 ^s , e 5 ^b 16 ^m 58.4 ^s
		Ch	—	—	—	eP? 5 ^b 15 ^m 0.0 ^s
17	" 5.	Ch	890	—	8.0	ePn 23 ^b 57 ^m 10.4 ^s , iSn 23 ^b 58 ^m 50 ^s
		Z	—	7.0	8.0	iP 23 ^b 57 ^m 16.1 ^s , e 23 ^b 58 ^m 28 ^s
		N	—	6.0	8.0	ePn 23 ^b 57 ^m 32.4 ^s , e ₁ 23 ^b 58 ^m 9.7 ^s , e ₂ 23 ^b 59 ^m 2.5 ^s , e ₃ 23 ^b 59 ^m 47.5 ^s
18	" 8.	N	80?	<0.1	0.4	eP 12 ^b 37 ^m 12.5 ^s , eS 12 ^b 37 ^m 22.8 ^s
19	" 10.	Z	—	1.0	2.0	eP 20 ^b 37 ^m 28.7 ^s
		N	—	—	3.0	eP 20 ^b 37 ^m 29.9 ^s
20	April 7.	Ch	500	—	4.0	eP 18 ^b 18 ^m 26.0 ^s , iS 18 ^b 19 ^m 20.0 ^s
		Z	590	2.0	4.0	eP 18 ^b 18 ^m 34.4 ^s , eS 18 ^b 19 ^m 39.2 ^s
		N	—	0.7	4.0	eP 18 ^b 18 ^m 41.9 ^s
21	" 23.	Ch	—	—	1.0	e 23 ^b 01 ^m 30.0 ^s
22	" 26.	N	—	<0.5	—	e 15 ^b 56 ^m 24 ^s
		Z	—	0.1	—	e 15 ^b 58 ^m
23	" 27.	Z	—	—	1.0	e 1 ^b 50 ^m Herd vermutlich Italien.
24	Mai 14.	Ch	240	—	5.0	eP 0 ^b 1 ^m 47.4 ^s , eS? 0 ^b 2 ^m 17 ^s
		Z	320	20.0	5.0	ePn 0 ^b 1 ^m 56.9 ^s , eP 0 ^b 2 ^m 3.2 ^s , eSn 0 ^b 2 ^m 31.1 ^s , Mainka
		N	360	8.3	7.0	ePn 0 ^b 2 ^m 10.6 ^s , eP 00 ^b 2 ^m 20.3 ^s , eSn 0 ^b 2 ^m 52.6 ^s , eS 0 ^b 3 ^m 9.5 ^s Azimut 110° Herd Italien, nach Rom Cadore. Grad VI.
25	" 18.	Ch	270	—	2.0	ePn 4 ^b 14 ^m 38.3 ^s , iP 4 ^b 14 ^m 42.5 ^s , eSn 4 ^b 15 ^m 16 ^s
		Z	—?	3.0	2.0	iPn 4 ^b 14 ^m 42.8 ^s , iP 4 ^b 14 ^m 53.3 ^s , iSn 4 ^b 15 ^m 19.4 ^s
		N	460	0.9	3.0	iPn 4 ^b 14 ^m 58.8 ^s , eP 4 ^b 15 ^m 14.2 ^s , iSn 4 ^b 15 ^m 46 ^s
26	" 20.	Ch	55	—	1.0	iP 7 ^b 25 ^m 36.5 ^s , iS 7 ^b 25 ^m 44.4 ^s
		Z	—	1.0	2.0	e 7 ^b 26 ^m 09.7 ^s

Nach diesen Stationen Herd in den Ostalpen, Friaul.

Herd in der Gegend Liestal-Waldenburg
(Vergl. Tab. I, Nr. 3)

Herd Wallis bei Sitten (vergl. Tab. I, Nr. 4)

eSn 20^b 46^m 23.6^s Herd Unteres Lahntal, Deutschland.

Herd bei Dodtnau, Schwarzwald (vergl. Tab. I, Nr. 6)

Herd Julische Alpen nach Wien
LaibacherfeldHerd vermut-
lich Balkan.Herd Mittelitalien, Abruzzen nach Rom
Intensität 6Herd Ostalpen oder Ober Oester-
reich, verspürt in Schärding

Herd vermutlich Engadin, nicht verspürt.

Tabelle II (Fortsetzung).

Nr.	Datum	Station	Epizentral- entfernung nach S-P	Max. Ampli- tude	Uogelähre Dauer der Registr.	Phasen, Bemerkungen
	1930		km	μ	Min.	
27	Mai 21.	Ch	380	—	5.0	eP 8 ^h 10 ^m 00.0 ^s ; eS 8 ^h 10 ^m 58.0 ^s
		Z	—	1.5	5.0	eP? 8 ^h 10 ^m 14.0 ^s
		N	—	0.6	4.0	eP 8 ^h 10 ^m 21.2 ^s ; e 8 ^h 11 ^m 28.4 ^s
28	" 21.	Z	—	—	—	e 13 ^h 24 ^m
29	" 22.	Z	155	1.0	0.3	iP 4 ^h 57 ^m 04.0 ^s ; iS 4 ^h 57 ^m 23.0 ^s
		Ch	—	1.0	0.5	e 4 ^h 57 ^m 29.0 ^s
30	" 22.	N	92	1.5	0.7	eP 19 ^h 34 ^m 19.6 ^s ; eP 19 ^h 34 ^m 22.4 ^s ; eS 1 ^h 34 ^m 34.9 ^s
		Z	165	1.2	1.0	eP 19 ^h 34 ^m 30.7 ^s ; eS 19 ^h 34 ^m 51.9 ^s
		Ch	—	—	<1.0	e 19 ^h 34 ^m 50.0 ^s
31	" 24.	N	31	3.8	2.0	eP 15 ^h 17 ^m 43.1 ^s ; eS 15 ^h 17 ^m 46.9 ^s Azimut 100°
		Z	117	2.0	2.0	eP 15 ^h 17 ^m 58.1 ^s ; eS 15 ^h 18 ^m 13.0 ^s
		Ch	167	—	1.0	eP 15 ^h 18 ^m 9.5 ^s ; iS 15 ^h 18 ^m 30.6 ^s
32	" 24.	Ch	235	—	6.0	eP 22 ^h 02 ^m 41.6 ^s ; iS 22 ^h 03 ^m 13.4 ^s
		Z	370	40.0	10.0	ePn 22 ^h 02 ^m 50.7 ^s ; eP 22 ^h 02 ^m 59.6 ^s ; iSn 22 ^h 03 ^m 33.0 ^s
		N	420	19.2	15.0	ePn 22 ^h 02 ^m 54.4 ^s ; eP 22 ^h 02 ^m 7.8 ^s ; eSn 22 ^h 03 ^m 43.4 ^s
						Distanz von Chur 270, von Zürich 380 und von Neuchâtel 421 km.
33	" 26.	N	80	1.0	0.5	eP 1 ^h 51 ^m 24.9 ^s ; eS 1 ^h 51 ^m 32.0 ^s Phasen sehr schwach.
		Z	153	1.0	1.0	iP 1 ^h 50 ^m 36.1 ^s ; eS 1 ^h 50 ^m 56.9 ^s
34	" 31.	Z	47	10.0	0.5	iP 15 ^h 15 ^m 0.4 ^s ; iS 15 ^h 15 ^m 6.4 ^s Emergenzwinkel zirka 70°, Azimut 230°
		N	88	1.0	1.1	eP 15 ^h 15 ^m 6.0 ^s ; eS 15 ^h 15 ^m 17.5 ^s ; e 15 ^h 15 ^m 15.8 ^s
		Ch	110	—	1.0	iP 15 ^h 15 ^m 12.5 ^s ; eS 15 ^h 15 ^m 26.6 ^s
						Epizentraldistanzen zu kurz. Herd nach Zürich, westlich von Zürich (Tab. II, Nr. 15).
35	Juni 2.	N	—	0.9	4.0	eP 1 ^h 54 ^m 8.5 ^s Herd nach Toledo Südspanien.
36	" 5.	Ch	60	—	1.0	iP 12 ^h 28 ^m 29.4 ^s ; iS 12 ^h 28 ^m 37.4 ^s
		Z	—	0.2	0.5	i 12 ^h 28 ^m 44.1 ^s
37	" 9.	Ch	600	—	5.0	ePn 4 ^h 42 ^m 56.2 ^s ; eSn 4 ^h 44 ^m 08.0 ^s
		Z	—	4.0	6.0	ePn 4 ^h 43 ^m 05.0 ^s
		N	720	1.2	6.0	ePn 4 ^h 43 ^m 15.8 ^s ; eSn 4 ^h 44 ^m 37.5 ^s
						Distanz von Chur 640, von Neuchâtel 800 km.
38	" 9.	N	12	29.4	2.0	iP 16 ^h 7 ^m 54.5 ^s ; iS 16 ^h 7 ^m 56.1 ^s Azimut 220°
		Z	132	1.0	1.0	iP 16 ^h 8 ^m 17.6 ^s ; iS 16 ^h 8 ^m 35.5 ^s
39	" 21.	N	—	—	—	iP 9 ^h 13 ^m 23.9 ^s sehr schwach.
40	Juli 4.	N	180	0.2	2.0	ePn 21 ^h 5 ^m 51.8 ^s ; eP 21 ^h 5 ^m 54.9 ^s ; eS 21 ^h 6 ^m 13.0 ^s Distanz aus P-Pn 222 km
		Z	—	0.5	2.0	eP 21 ^h 5 ^m 6.4 ^s
		Ch	250	—	1.0	eP 21 ^h 6 ^m 8.5 ^s ; eSn 21 ^h 6 ^m 44.0 ^s
						Herd Westalpen, Gegend von Susa-Modane.
41	" 4.	N	170	10.3	5.0	ePn 21 ^h 7 ^m 13.2 ^s ; eP 20 ^h 7 ^m 16.1 ^s ; eS 21 ^h 7 ^m 35.3 ^s
		Z	?	9.0	4.0	eP 21 ^h 7 ^m 29.8 ^s
		Ch	250	—	4.0	ePn 21 ^h 7 ^m 30.1 ^s ; iP 21 ^h 7 ^m 33.7 ^s ; eS 21 ^h 8 ^m 05.0 ^s
42	" 6.	N	175	1.4	2.5	ePn 0 ^h 12 ^m 38.7 ^s ; eP 0 ^h 12 ^m 41.5 ^s ; eS 0 ^h 13 ^m 4.0 ^s
		Z	280	0.5	2.0	ePn 0 ^h 12 ^m 50.2 ^s ; eP 0 ^h 02 ^m 54.9 ^s ; eS 0 ^h 13 ^m 29.6 ^s
		Ch	—	—	2.0	eP 0 ^h 12 ^m 58.3 ^s
						Herd wie Nr. 40?
43	" 10.	Ch	—	—	1.0	eP 3 ^h 29 ^m 37.4 ^s ; e Min.-Lücke 30 ^m 06 ^s .

Tabelle II (Fortsetzung)

Nr.	Datum	Station	Epizentral- Entfernung nach S-P km	Max. Ampli- tude μ	Ungefähre Bauer der Registr. Min.	Phasen, Bemerkungen	
	1930						
44	Juli 10.	Ch	430	—	3.0	eP 13 ^b 02 ^m 25.6*, eS 13 ^b 03 ^m 31*	} Nach Zagreb Herd kroatische Küstengegenden.
		Z	—	2.0	4.0	eP 13 ^b 02 ^m 35.9*	
45	" 18.	Z	95	1.0	1.0	eP 16 ^b 40 ^m 43.7*, eS 16 ^b 40 ^m 56.0*	Herd nach Stuttgart schwäb. Alb, verspürt in Hechingen mit Grad III-IV.
46	" 22.	N	160	0.7	1.0	ePn 9 ^b 29 ^m 11.3*, eP 9 ^b 29 ^m 12.4*, eS 9 ^b 29 ^m 32.8*	} Herd Norditalien.
		Z	200	1.0	1.0	ePn 9 ^b 29 ^m 15.9*, eP 9 ^b 29 ^m 18.9*, eS 9 ^b 29 ^m 41.2*	
47	" 23.	Ch	760	—	60	iP 0 ^b 10 ^m 24.4*, eS 0 ^b 11 ^m 49.0*	} Katastrophe in Melfi Benevento.
		Z	910	—	60	iP 0 ^b 10 ^m 34.7*, eS 0 ^b 12 ^m 17.0*	
		N	1100	—	60	eP 0 ^b 10 ^m 40.4*, eS 0 ^b 12 ^m 33.0*	
48	Aug. 4.	Ch	440	—	3.0	eP? 15 ^b 3 ^m 35.1*, eSn 15 ^b 4 ^m 27*	} Herd Italien.
		Z	—	1.0	4.0	eP 15 ^b 3 ^m 46.9*	
49	" 5.	Z	—	0.2	0.3	eP 20 ^b 35 ^m 54.7*, i 20 ^b 35 ^m 59.5*	} Herd Kt. Obwalden (vergl. Tab. I, Nr. 18).
		N	—	0.1	0.4	e ₁ 20 ^b 36 ^m 4.6*, e ₂ 20 ^b 36 ^m 6.1* sehr schwach	
		Ch	—	—	—	iS 20 ^b 36 ^m 8.4*	
50	" 18.	Ch	—	—	0.5	eP 15 ^b 12 ^m 26.0*	
51	" 29.	Ch	23	—	0.2	eP 21 ^b 17 ^m 5.9*, iS 21 ^b 17 ^m 8.7*	
		Z	—	—	0.2	e 21 ^b 17 ^m 38.7*	
52	Sept. 5.	Z	330	1.0	1.0	eP 22 ^b 36 ^m 53.7*, eS? 22 ^b 37 ^m 43.1*	Herd Friaul.
53	" 7.	Ch	63	—	0.5	eP 13 ^b 24 ^m 45.0*, iS 12 ^b 24 ^m 54.0*	} Nicht verspürt. Herd Reussthal bei Amsteg oder Bodenseegegend.
		Z	67	2.0	0.5	iP 13 ^b 24 ^m 40.3*, iS 13 ^b 24 ^m 48.7*	
54	" 13.	Ch	—	—	2.0	eP Min.-Lücke 23 ^b 37 ^m 07.5*	} Möglicherweise von Fernbeben?
55	" 14.	Ch	—	—	2.0	P 3 ^b 21 ^m 00.0*	
56	" 19.	Z	38	0.9	0.5	iP 17 ^b 29 ^m 52.3*, iS 17 ^b 29 ^m 58.0*	Daten widersprechen sich.
		N	100	0.1	0.4	iP 17 ^b 30 ^m 14.9*, iS 17 ^b 30 ^m 28.3*	
57	" 25.	Ch	—	—	6.0	eP 4 ^b 04 ^m 25.8*, e 05 ^m 06*	
58	" 25.	Ch	—	—	2.0	eP 21 ^b 43 ^m 04.4*	
59	" 29.	Ch	220	—	1.0	iP 21 ^b 45 ^m 06.0*, iS 21 ^b 45 ^m 32*	
		Z	—	0.2	1.0	e 21 ^b 45 ^m sehr schwach.	
60	Okt. 7.	Ch	110	—	—	iP 23 ^b 27 ^m 25.1*, iS 23 ^b 27 ^m 40.5*	
		Z	160	100	—	i 23 ^b 27 ^m 35.3*, iP 23 ^b 27 ^m 36.7*, iS 23 ^b 27 ^m 56.9*	
		N	260	52.0	10.0	ePn 23 ^b 27 ^m 50.3*, iP 23 ^b 27 ^m 56.3*, eSn 23 ^b 28 ^m 22.7*, eS 28 ^m 31.5*	Herd in der Gegend von Namlos, Tirol (vergl. Tab. I, Nr. 20).
61	" 8.	Ch	110	—	2.0	iP 0 ^b 29 ^m 00.1*, iS 0 ^b 29 ^m 14.4*	
		Z	160	3.5	2.0	iP 0 ^b 29 ^m 6.9*, iS 0 ^b 29 ^m 28.4*	
		N	260	2.0	2.0	ePn 0 ^b 29 ^m 22.0*, eP 0 ^b 29 ^m 28.1*, eSn 0 ^b 29 ^m 54.1*, eS 0 ^b 30 ^m 00.8*	Nachstoss zu Nr. 61 (vergl. Tab. I, Nr. 21).
62	" 9.	Z	—	1.0	3.0	e 1 ^b 30 ^m 00.0*	Herd Italien.
63	" 15.	Z	80	16.0	2.0	iP 22 ^b 19 ^m 16.2*, iS 22 ^b 19 ^m 26.2*	Azimet 300°
		N	88	8.1	1.5	iP 22 ^b 19 ^m 17.4*, iS 22 ^b 19 ^m 29.0*	Azimet 30°
		Ch	172	—	3.0	iP 22 ^b 19 ^m 31.3*, iS 22 ^b 19 ^m 53.0*, ePn 22 ^b 19 ^m 29.2*	Herd nach diesen Stationen Gegend von Kandern im südl. Schwarzwald (vergl. Tab. I, Nr. 22).
64	" 12.	Ch	240	—	2.0	eP 3 ^b 09 ^m 41.6*, iS 3 ^b 10 ^m 15.0*	} Herd Norditalien.
		Z	—	1.3	2.0	e ₁ 3 ^b 09 ^m 50.6*, e ₂ 3 ^b 10 ^m 54.3*	
		N	110	0.3	2.0	ePn 3 ^b 10 ^m 5.4*, eP 3 ^b 10 ^m 18.0*, eSn 3 ^b 10 ^m 53.9*	

Tabelle II (Fortsetzung).

Nr.	Datum	Station	Epizentral- entfernung nach S-P	Max. Ampli- tude	Ungefähre Dauer der Registr.	Phasen, Bemerkungen	
						km	μ
65	Okt. 23.	Ch	—	—	1.0	eP 19 ^b 55 ^m 46.6 ^s	
66	" 23.	Ch	220	—	2.0	eP 21 ^b 38 ^m 38.2 ^s , eS [?] 21 ^b 39 ^m 10.0 ^s	} Herd südl. Bologna, in Bologna mit Grad III verspürt.
		Z	—	0.1	2.0	e 21 ^b 38 ^m 50.0 ^s	
		N	480	0.5	4.0	ePn 21 ^b 38 ^m 57.8 ^s , eP̄ 21 ^b 39 ^m 12.6 ^s , eSn 21 ^b 39 ^m 38.9 ^s	
67	" 24.	Ch	280	—	12.0	ePn 0 ^b 52 ^m 09.6 ^s , eS 0 ^b 52 ^m 51.0 ^s	} Herd wie Nr. 66.
		Z	360	20.0	6.0	ePn 0 ^b 52 ^m 19.2 ^s , eP̄ 0 ^b 52 ^m 33.2 ^s , eSn 0 ^b 53 ^m 13.9 ^s	
		N	430	10.8	6.0	ePn 0 ^b 52 ^m 25.3 ^s , eP̄ 0 ^b 52 ^m 39.4 ^s , eSn 0 ^b 53 ^m 12.6 ^s	
68	" 24.	Ch	—	—	1.0	eP 1 ^b 5 ^m 26.0	Herd wie Nr. 66.
69	" 26.	Ch	—	—	4.0	eP 2 ^b 52 ^m 30.2 ^s	Herd Apennin, südl. Modena.
70	" 26.	Ch	—	—	8.0	eP 7 ^b 14 ^m 45.4 ^s	} Herd wie Nr. 69.
		Z	—	20.0	6.0	eP [?] 7 ^b 15 ^m 0.4 ^s , e ₁ 7 ^b 15 ^m 7.9 ^s , e ₂ 7 ^b 15 ^m 37.0 ^s	
		N	390	14.3	7.0	ePn 7 ^b 15 ^m 1.0 ^s , eP 7 ^b 15 ^m 13.9 ^s , eSn 7 ^b 15 ^m 45.7 ^s , e 7 ^b 16 ^m 41 ^s Azimut 135 ^o	
71	" 26.	Ch	—	—	8.0	eP 7 ^b 31 ^m 17.7 ^s	} Herd wie Nr. 69.
		Z	—	20.0	8.0	iPn 7 ^b 31 ^m 21.1 ^s , e ₁ 7 ^b 31 ^m 41.0 ^s , e ₂ 7 ^b 32 ^m 07.2 ^s	
		N	360	15.7	8.0	iPn 7 ^b 31 ^m 34.0 ^s , eP̄ 7 ^b 31 ^m 48.5 ^s , eSn 7 ^b 32 ^m 17.0 ^s Azimut 135 ^o	
72	" 30.	Ch	—	—	30.0	eP 7 ^b 13 ^m 56.9 ^s , i 7 ^b 15 ^m 24 ^s	} Herd in den Marken Italien, besonders zerstörend in Senigallia.
		Z	560	—	30.0	eP 7 ^b 14 ^m 17.3 ^s , eSn 7 ^b 15 ^m 21 ^s	
		N	670	37.7	30.0	ePn 7 ^b 14 ^m 25.9 ^s , eP̄ 7 ^b 14 ^m 54.0 ^s , e ₁ 7 ^b 15 ^m 25.4 ^s , e ₂ 7 ^b 15 ^m 48.7 ^s Azimut 135 ^o	
73	" 30.	Ch	—	—	8.0	eP 8 ^b 13 ^m 37.3 ^s , e 8 ^b 15 ^m 54 ^s	} Nachstoss zu Nr. 72, weitere Nachstösse schwach registriert um e 10 ^b 38 ^m , e 10 ^b 39 ^m , e 12 ^b 14 ^m , e 15 ^b 14 ^m , e 15 ^b 33 ^m , e 15 ^b 36 ^m , e 23 ^b 59 ^m , e 9 ^b 55 ^m (Neuchâtel).
		Z	—	4.0	6.0	eP 8 ^b 13 ^m 45.4 ^s	
		N	690	1.2	9.0	ePn 8 ^b 13 ^m 55.8 ^s , eP̄ 8 ^b 14 ^m 24.5 ^s , e ₁ 8 ^b 14 ^m 25.5 ^s , e ₂ 8 ^b 15 ^m 22.7 ^s Azimut 135 ^o	
74	" 31.	Z	31	1.5	1.0	eP̄ 15 ^b 5 ^m 32.3 ^s , eS 15 ^b 5 ^m 36.2 ^s	} Herd Kaiserstuhl Baldingen Kt. Aargau (vergl. Tab. I, Nr. 23).
		Ch	—	—	—	eP 15 ^b 5 ^m 5.5 ^s	
75	" 31.	Z	—	0.5	2.0	e 15 ^b 59 ^m 30 ^s nach dem Seismogrammhabitus Nachstoss zu Nr. 74.	
76	" 31.	Z	—	1.0	2.0	e 18 ^b 59 ^m 30 ^s	
77	Nov. 1.	Ch	120	—	1.0	iP̄ 12 ^b 16 ^m 27.5 ^s , iS 12 ^b 10 ^m 48 ^s	
		Z	138	0.5	1.0	eP̄ 12 ^b 16 ^m 36.6 ^s , eS 12 ^b 16 ^m 54.3 ^s	
78	" 1.-3.	Ch	—	—	—	Schwache Nachstösse zu Nr. 72, mehr oder weniger deutlich an den drei Stationen registriert.	
		Z	—	—	—	Nov. 1. e 8 ^b 44 ^m , e 8 ^b 51 ^m , e 9 ^b 42 ^m , e 9 ^b 52 ^m , e 10 ^b 20 ^m , e 22 ^b 11 ^m . Nov. 2. e 1 ^b 29 ^m , e 3 ^b 22 ^m , e 5 ^b 24 ^m , e 7 ^b 26 ^m , e 8 ^b 20 ^m , e 10 ^b 7 ^m , i 16 ^b 50 ^m , Nov. 3. eP 17 ^b 35 ^m .	
		N	—	—	—		
79	" 11.	N	610	0.4	5.0	ePn 19 ^b 27 ^m 52.4 ^s , eP̄ 19 ^b 28 ^m 18.3 ^s , eSn 19 ^b 29 ^m 31 ^s	} Herd in Jersey, England.
		Z	—	0.6	3.0	e 18 ^b 27 ^m 31 ^s	
80	" 12.	Ch	—	—	4.0	eP 6 ^b 7 ^m 40.5 ^s	} Herd Apennin, südl. Bologna.
		N	370	0.8	4.0	ePn 6 ^b 7 ^m 56.7 ^s , eP̄ 6 ^b 8 ^m 10.9 ^s , eSn 6 ^b 8 ^m 41.6 ^s	
		Z	—	2.0	3.0	eP 6 ^b 8 ^m 1.5 ^s , e 6 ^b 10 ^m 00.0 ^s	
81	" 16.	N	650	1.0	5.0	ePn 15 ^b 53 ^m 8.3 ^s , eP̄ 15 ^b 53 ^m 34.9 ^s , e ₁ 15 ^b 54 ^m 12.7 ^s , e ₂ 15 ^b 54 ^m 54.4 ^s	
		Z	—	4.0	—	eP 15 ^b 53 ^m 57 ^s	
82	" 20.	Ch	—	—	10.0	eP 6 ^b 57 ^m 11.1 ^s	} Herd Marken Italien, Pesaro, Grad V.
		Z	—	1.0	3.0	e 6 ^b 57 ^m 20.0 ^s	
		N	500	0.1	—	eP 6 ^b 57 ^m 28.2 ^s , eS 6 ^b 58 ^m 26.0 ^s	
83	" 24.	Ch	240	—	2.0	eP 19 ^b 43 ^m 49.5 ^s , eS 19 ^b 44 ^m 19.0 ^s	} Herd Friaul.
		Z	320	1.0	2.0	eP 19 ^b 43 ^m 57.4 ^s , eS 19 ^b 44 ^m 43.6 ^s	
		N	—	0.3	2.0	eP 19 ^b 44 ^m 12.0 ^s , eS 19 ^b 44 ^m 57.0 ^s	
84	Dez. 16.	N	130	1.1	1.0	eP 18 ^b 52 ^m 10.4 ^s , eP̄ 18 ^b 52 ^m 12.4 ^s , e ₁ 18 ^b 52 ^m 25.8 ^s , e ₂ 18 ^b 52 ^m 29.1 ^s , Azimut 150 ^o	} Herd im Wallis.
		Z	170	0.6	1.0	eP 18 ^b 52 ^m 11.8 ^s , eS 18 ^b 52 ^m 33.7 ^s	
85	" 22.	N	11	24.6	0.5	iP 19 ^b 56 ^m 23.3 ^s , iS 19 ^b 56 ^m 24.6 ^s , Azimut 220 ^o Herd Boudry Cortailled (vergl. Tab. I, Nr. 24).	

Tabelle III. In der Schweiz 1930 registrierte Fernbeben.

Mittlere Zeit Greenwich.

Nr.	Datum	Sta- tion	Epizentral- entfernung nach S-P	Ungefähre Dauer der Registr.	Phasen, Bemerkungen	
					km	Std.
	1930					
1	Jan.	5. Z	—	0.1	eP 1 ^h 31 ^m 37.2 ^s	Nach dem russischen Bulletin Herd 51.5° N, 152° E.
		Ch	—	0.1	eP 1 ^h 31 ^m 38.4 ^s	
		N	—	0.1	eP 1 ^h 31 ^m 39.7 ^s	
2	" 5.	Z	—	0.5	iP 19 ^h 4 ^m 35.6 ^s	Herd nach russischem Bulletin 44° N, 148° E.
		Ch	9000	0.7	eP 19 ^h 4 ^m 36.6 ^s , eS 19 ^h 14 ^m 47 ^s	
		N	—	0.5	iP 19 ^h 4 ^m 40.8 ^s	
3	" 9.	Z	—	0.1	eP 3 ^h 55 ^m 49.2 ^s	
4	" 14.	Z	—	0.1	e 22 ^h 20 ^m 54 ^s	Herd nach russischem Bulletin 19° S, 185° E.
		N	—	0.1	e 22 ^h 21 ^m 03.1 ^s	
5	" 16.	N	—	0.1	eP 0 ^h 02 ^m 35.7 ^s	
6	" 21.	N	—	0.0	eP 0 ^h 00 ^m 13.6 ^s	
7	" 23.	N	—	0.0	eP 10 ^h 58 ^m 42.9 ^s , Herd Mittelmeer.	
8	Febr. 2.	N	8900	1.0	iP 15 ^h 08 ^m 17.6 ^s , eS 15 ^h 18 ^m 28 ^s , Herd nach ostasiatischen Stationen Aleuten, russisches Bulletin gibt 52° N, 182° E.	
9	" 5.	N	—	0.0	eP 0 ^h 42 ^m 13.9 ^s	
10	" 14.	Ch	1730	0.7	iP 18 ^h 41 ^m 50.4 ^s , iS 18 ^h 44 ^m 48.4 ^s	Nach Strassbourg Herd 36° N, 25° E, 0 = 18 ^h 37 ^m 59 ^s
		Z	1790	0.6	iP 18 ^h 42 ^m 01.6 ^s , iS 18 ^h 45 ^m 05.6 ^s Azimut 120°	
		N	1910	0.7	eP 18 ^h 42 ^m 10.0 ^s , eS 18 ^h 45 ^m 06.6 ^s Azimut 130°	
11	" 23.	Ch	—	0.5	eP 18 ^h 22 ^m 06.2 ^s	Nach Strassbourg Herd 38° N, 24.5° E, 0 = 18 ^h 18 ^m 46 ^s
		Z	1750	0.5	eP 18 ^h 22 ^m 19.2 ^s , eS 18 ^h 25 ^m 18.6 ^s	
		N	1750	0.5	eP 18 ^h 22 ^m 27.9 ^s , eS? 18 ^h 26 ^m 27.5 ^s Azimut 90°	
12	" 24.	N	—	0.1	eP 21 ^h 08 ^m 55.4 ^s	Nach Manila Herd 3° N, 118° E. 0 = 20 ^h 51 ^m 14 ^s
		Z	—	0.1	e 21 ^h 09 ^m 00 ^s	
		Ch	—	0.1	eP? 21 ^h 09 ^m 7.2 ^s	
13	" 27.	Ch	—	0.4	eP 2 ^h 27 ^m 39.6 ^s , ML 2 ^h 38 ^m 01 ^s	Herd nach russischem Bulletin 5° N, 96° E.
		Z	—	0.1	eP 2 ^h 28 ^m 00 ^s	
14	" 28.	N	—	0.3	eP 1 ^h 7 ^m 21.1 ^s , eS?	
15	März 6.	Ch	2000	0.2	eP? 8 ^h 25 ^m 40.0 ^s , eS? 8 ^h 29 ^m 14 ^s	Herd östl. Mittelmeer.
		Z	2000	0.2	eP 8 ^h 25 ^m 47.5 ^s , eS 8 ^h 29 ^m 21.5 ^s	
		N	2060	0.2	eP 8 ^h 25 ^m 54.3 ^s , eS 8 ^h 29 ^m 19.9 ^s	
16	" 6.	Ch	1860	0.2	eP 9 ^h 22 ^m 14.1 ^s , iS 9 ^h 25 ^m 25 ^s	Herd wie Nr. 15
		Z	1930	0.2	eP 9 ^h 22 ^m 25.4 ^s , ePP 9 ^h 22 ^m 43 ^s , eS 9 ^h 25 ^m 41.7 ^s	
		N	1800	0.2	eP 9 ^h 22 ^m 32.2 ^s , eS? 9 ^h 25 ^m 35.7 ^s Azimut 120°	
17	" 6.	N	—	2.0	eP 15 ^h 52 ^m 51.2 ^s , e 15 ^h 55 ^m 10 ^s , ML 17 ^h 12 ^m	Nach Wellington Herd 40° S, 180° E.
		Ch	—	0.2	eP 15 ^h 55 ^m 01.0 ^s	
		Z	—	1.0	e 15 ^h 56 ^m 59 ^s	
18	" 7.	N	2400	0.4	iP 6 ^h 45 ^m 39.7 ^s , eS? 6 ^h 49 ^m 33 ^s	Herd Atlantischer Ozean, gespürt in Madeira, nach Toledo 35° N, 14° W.
		Ch	2420	0.4	eP 6 ^h 45 ^m 53.0 ^s , eS 6 ^h 50 ^m 00 ^s	
		Z	2450	0.4	iP 6 ^h 45 ^m 53.2 ^s , eS 6 ^h 50 ^m 02 ^s	
19	" 8.	N	—	0.1	eP 3 ^h 57 ^m 38.5 ^s	Herd Zentralamerika, gespürt in Panama.
		Z	—	0.2	eP 3 ^h 57 ^m 45.7 ^s	
		Ch	—	0.1	eP 3 ^h 57 ^m 47.9 ^s , e 3 ^h 8 ^m 08 ^s	
20	" 10.	Z	7700	0.6	eP 16 ^h 38 ^m 20.3 ^s , ePP 16 ^h 40 ^m 33.3 ^s , eS 16 ^h 47 ^m 17.2 ^s	Herd nach Manila 44° N, 147° E 0 = 15 ^h 27 ^m 20 ^s russ. Blt. 55° N, 138.5° E
		N	7740	0.6	eP 16 ^h 38 ^m 23.9 ^s , eS 16 ^h 47 ^m 23 ^s	
21	" 10.	N	—	—	eP 16 ^h 40 ^m 32.6 ^s	
22	" 10.	N	—	—	eP 20 ^h 37 ^m 29.8 ^s	
23	" 26.	Ch	—	1.0	eP 7 ^h 30 ^m 43.0 ^s , e 7 ^h 31 ^m 12.7 ^s	Nach J. S. A. Herd 7.6° S, 124.5° E, 0 = 7 ^h 12 ^m 0.5 ^s , Manila gibt 8° S, 127° E, Distanz v. Zürich ca. 12000 km.
		N	8400	1.0	e 7 ^h 30 ^m 51.5 ^s , eS 7 ^h 41 ^m 36.6 ^s	
		Z	9700	1.0	eP? 7 ^h 30 ^m 46.4 ^s , eS? 7 ^h 39 ^m 36.1 ^s	

Tabelle III (Fortsetzung).

Nr.	Datum	Station	Epizentral- entfernung nach S-P	Ungefähre Dauer der Registr.	Phasen, Bemerkungen
	1930		km	Min.	
24	März 31.	Ch Z N	1900 1580 1560	0.3 0.3 0.4	eP 12 ^h 36 ^m 46.5 ^s , eS 12 ^h 40 ^m 00.6 ^s eP 12 ^h 36 ^m 57.9 ^s , eS? 12 ^h 39 ^m 37.3 ^s eP 12 ^h 37 ^m 7.1 ^s , eS 12 ^h 39 ^m 49.6 ^s Azimut S-E Nach Strasbourg Herd 39.5° N, 23° E, 0 = 12 ^h 33 ^m 39 ^s , stark gespürt in Volo, Griechenland.
25	April 9.	N	—	—	eP 5 ^h 33 ^m 4.9 ^s
26	" 17.	Ch Z N	1500 1600 1770	0.4 0.3 0.4	eP 20 ^h 09 ^m 57.4 ^s , eS 20 ^h 12 ^m 34 ^s eP 20 ^h 10 ^m 03.1 ^s , eS 20 ^h 12 ^m 52.0 ^s Azimut 126° eP 20 ^h 10 ^m 12.6 ^s , iS 20 ^h 13 ^m 13.8 ^s Herd nach Strasbourg 37.5° N, 23.5° E, Griechenland.
27	" 20.	N Z	— —	0.1 0.1	eP 2 ^h 3 ^m 24.1 ^s eP 2 ^h 3 ^m 25.5 ^s
28	" 20.	Z N Ch	— — —	0.1 0.1 0.1	eP 16 ^h 41 ^m 38.1 ^s eP 16 ^h 41 ^m 39.7 ^s eP 16 ^h 41 ^m 40.0 ^s Herd nach Manila 16° S, 165° E.
29	" 21.	Z N	9200 —	0.2 0.1	eP 10 ^h 31 ^m 30.5 ^s , eS 10 ^h 41 ^m 51.0 ^s iP 10 ^h 31 ^m 34.7 ^s , ML 12 ^h 12 ^m Nach Manila Herd Kamtschatka, nach Kobe Herd Hokkaido.
30	" 22.	Z Ch N	9100 9080 9150	1.0 1.0 1.2	iP 22 ^h 01 ^m 13.0 ^s , eS 22 ^h 11 ^m 29.0 ^s iP 22 ^h 01 ^m 17.0 ^s , eS 22 ^h 11 ^m 40.4 ^s eP 22 ^h 01 ^m 14.4 ^s , eS 22 ^h 11 ^m 26 ^s Herd nach Strasbourg Kurilen, nach Kobe S-E der Kunaziri Insel.
31	" 23.	Ch	—	0.1	e 23 ^h 01 ^m 30.0 ^s
32	" 24.	Ch N	— —	0.1 0.1	e 00 ^h 35 ^m 51.0 ^s eP 00 ^h 35 ^m 59.5 ^s
33	" 25.	Z Ch	— 9100	0.1 0.1	eP 15 ^h 16 ^m 59.5 ^s eP 15 ^h 17 ^m 00.2 ^s , eS 15 ^h 27 ^m 15 ^s Nach russischem Bulletin Herd 35.5° N, 132° E.
34	" 26.	N	—	0.0	eP 15 ^h 56 ^m 23.8 ^s
35	" 26.	Z Ch N	9000 9040 8850	1.2 1.2 1.1	eP 16 ^h 30 ^m 29 ^s , eS 16 ^h 40 ^m 39.8 ^s eP 16 ^h 30 ^m 31.7 ^s , eS 16 ^h 40 ^m 46 ^s eP 16 ^h 30 ^m 31.8 ^s , eS 16 ^h 40 ^m 40.5 ^s Herd Aleuten nach U.S. G. G. S'. 50° N, 179.5° E, nach J. S. A. 50° N, 179.5° E.
36	" 27.	Z	—	0.0	eP 14 ^h 39 ^m 33.4 ^s Nach russischem Bulletin Indischer Ozean.
37	" 28.	Ch Z N	7870 — 7800	1.0 1.0 1.2	eP 18 ^h 45 ^m 56.6 ^s , eS 18 ^h 55 ^m 07 ^s eP 18 ^h 46 ^m 00.0 ^s eP 18 ^h 46 ^m 04.6 ^s , eS 18 ^h 55 ^m 23.2 ^s Herd Burma, nach Manila 26° N, 98° E, russisches Bulletin 25.5° N. 99.0 E.
38	" 30.	Ch Z N	— — —	0.1 0.1 0.1	eP 16 ^h 25 ^m 03.3 ^s eP 16 ^h 25 ^m 39.9 ^s eP 16 ^h 25 ^m 40.1 ^s Nach dem russischen Bulletin Herd 173° W, 19° S, Tonga Graben.
39	" 30.	Ch Z	— —	0.1 0.1	e 23 ^h 22 ^m 41.5 ^s e 23 ^h 23 ^m 6.0 ^s
40	Mai 1.	Z Ch N	— — —	1.2 1.0 1.5	eP 1 ^h 10 ^m 33.4 ^s eP 1 ^h 10 ^m 36.4 ^s eP 1 ^h 10 ^m 41.3 ^s , ML 2 ^h 45 ^m Herd Aleuten? oder Nord-Japan, nach Kobe 35.9 N, 141 E.
41	" 11.	Z N Ch	— — —	0.1 0.2 0.1	eP 6 ^h 21 ^m 11.3 ^s eP 6 ^h 21 ^m 15.3 ^s , oPP 6 ^h 24 ^m 33.5 ^s eP 6 ^h 21 ^m 15.5 ^s

Tabelle III (Fortsetzung).

Nr.	Datum	Station	Epizentral- entfernung nach S-P	Ungefähre Dauer der Registr.	Phasen, Bemerkungen
	1930		km	Std.	
42	Mai 5.	Ch	8260	2.2	eP 13 ^h 57 ^m 39.5 ^s , eS 14 ^h 07 ^m 13.0 ^s
		Z	8360	2.0	eP 13 ^h 57 ^m 42.5 ^s , eS 14 ^h 07 ^m 20.7 ^s
		N	8400	2.0	eP 13 ^h 57 ^m 46.8 ^s , eS 14 ^h 07 ^m 35.5 ^s Herd Burma, zerstörend in Rangoon und Pegu. J. S. A. gibt 19° N, 96.5° E.
43	" 6.	Ch	3330	1.5	eP 22 ^h 40 ^m 5.8 ^s , eS? 22 ^h 45 ^m 11.8 ^s
		Z	3300	1.5	eP 22 ^h 40 ^m 13.1 ^s , eS 22 ^h 45 ^m 17.5 ^s Azimut 90°
		N	3270	1.5	eP 22 ^h 40 ^m 22.4 ^s , eS 22 ^h 45 ^m 16.0 ^s Herd westliches Persien.
44	" 6.	Z	—	0.1	iP 14 ^h 37 ^m 18 ^s
45	" 8.	N	—	0.0	eP 13 ^h 54 ^m 48.5 ^s
		Z	—	0.1	eP 13 ^h 54 ^m 47.1 ^s
46	" 8.	N	—	0.1	e 15 ^h 11 ^m 6.3 ^s
		Z	—	0.1	e 15 ^h 12 ^m 10.5 ^s
47	" 8.	Ch	3190	0.6	eP 15 ^h 41 ^m 09.1 ^s , eS 15 ^h 46 ^m 06 ^s
		Z	3010	0.7	eP 15 ^h 41 ^m 13.1 ^s , eS 15 ^h 45 ^m 57 ^s
		N	3180	0.7	iP 15 ^h 41 ^m 25.5 ^s , eS 15 ^h 46 ^m 12 ^s Azimut 90° Herd westliches Persien.
48	" 9.	Ch	2460	0.4	eP 7 ^h 12 ^m 03.8 ^s , eS 7 ^h 16 ^m 06 ^s
		Z	2460	0.4	eP 7 ^h 12 ^m 10.8 ^s , eS 7 ^h 16 ^m 13.4 ^s
		N	2730	0.3	eP 7 ^h 12 ^m 19.8 ^s , eS 7 ^h 16 ^m 36.5 ^s Herd Kleinasien.
49	" 11.	Ch	4300	0.5	eP 22 ^h 43 ^m 24.0 ^s , eS 22 ^h 49 ^m 28 ^s
		Z	4390	0.5	eP 22 ^h 43 ^m 30.3 ^s , eS 22 ^h 39 ^m 39.5 ^s
		N	4630	0.5	eP 22 ^h 43 ^m 38.5 ^s , eS 22 ^h 49 ^m 55.4 ^s Nach Strasbourg Golf von Persien.
50	" 12.	Ch	4640	0.2	eP 0 ^h 28 ^m 36.2 ^s , eS 0 ^h 34 ^m 59 ^s
		Z	4640	0.2	eP 0 ^h 28 ^m 42.0 ^s , eS 0 ^h 35 ^m 5.5 ^s
		N	—	0.1	eP 0 ^h 28 ^m 49.3 ^s Herd Persien.
51	" 12.	Ch	—	0.1	eP 2 ^h 56 ^m 54.9 ^s , i 2 ^h 55 ^m 59.9 ^s
		Z	—	0.1	eP 2 ^h 56 ^m 55.0 ^s , i 2 ^h 56 ^m 59.8 ^s
		N	—	0.1	eP 2 ^h 56 ^m 55.5 ^s , i 2 ^h 57 ^m 2.0 ^s
52	" 13.	N	—	0.0	eP 20 ^h 41 ^m 59.7 ^s
53	" 13.	Z	—	0.1	eP 22 ^h 13 ^m 6.9 ^s
		N	—	0.1	eP 22 ^h 13 ^m 17.5 ^s
54	" 15.	Ch	—	0.3	eP 22 ^h 02 ^m 41.5 ^s
		Z	—	0.3	eP 22 ^h 02 ^m 50.8 ^s
55	" 19.	Z	—	0.1	eP 15 ^h 26 ^m 37.0 ^s
		Ch	—	0.1	eP 15 ^h 26 ^m 47.0 ^s Nach Kobe Formosa, nach dem russischen Bulletin Riou-Kiou.
56	" 20.	Z	9230	1.0	eP 11 ^h 27 ^m 11.4 ^s , eS 11 ^h 37 ^m 34.0 ^s
		N	9300	1.2	iP 11 ^h 27 ^m 13.8 ^s , eS 11 ^h 37 ^m 42.6 ^s
		Ch	9030	1.0	eP 11 ^h 27 ^m 15.4 ^s , eS? 11 ^h 37 ^m 26 ^s Herd nach J. S. A. 51° N, 180° W.
57	" 21.	N	6500	0.4	eP 22 ^h 14 ^m 50.0 ^s , eS 22 ^h 14 ^m 49.6 ^s
		Z	—	0.5	eP 22 ^h 14 ^m 56.0 ^s
		Ch	—	0.5	eP 22 ^h 14 ^m 50.0 ^s Herd südantantische Schwelle.
58	" 23.	N	—	0.4	eP 9 ^h 54 ^m 18.9 ^s
59	" 23.	Ch	—	0.5	eP 16 ^h 50 ^m 43.6 ^s , iS 17 ^h 00 ^m 5.6 ^s
		Z	—	0.5	e 16 ^h 50 ^m 57.5 ^s
		N	—	0.6	auch registriert, keine Zeitmarken. } Nach Kobe Herd Japan, Izu-Provinz.

Tabelle III (Fortsetzung).

Nr.	Datum	Station	Epizentral- entfernung nach S-P	Ungefähre Dauer der Registr.	Phasen, Bemerkungen
	1930		km	Std.	
60	Mai 29.	Ch	—	0.4	eP 17 ^h 20 ^m 36.6 ^s
		N	—	0.4	iP 17 ^h 20 ^m 46.1 ^s , eS 17 ^h 27 ^m 16 ^s Nach dem russischen Bulletin Herd Armenien 37.5° N, 44.0° E.
61	" 31.	Z	—	0.1	eP 3 ^h 46 ^m 31.5 ^s
62	" 31.	Z	—	0.7	eP 18 ^h 10 ^m 58.7 ^s
		N	—	0.1	eP 18 ^h 11 ^m 03.4 ^s
		Ch	9550	0.2	eP 18 ^h 11 ^m 06.4 ^s , eS? 18 ^h 21 ^m 44 ^s Herd nach Kobe Nakafuss, Japan.
63	Juni 1.	N	—	0.1	eP 13 ^h 24 ^m
		Z	—	0.1	eP 13 ^h 24 ^m 5.7 ^s Herd nach Wellington 18° S, 170° E.
64	" 1.	Z	—	1.0	e 13 ^h 34 ^m 13.2 ^s
		N	7300	1.5	e 13 ^h 34 ^m 15.6 ^s , eS 15 ^h 43 ^m 5.0 ^s Interpretation unsicher.
65	" 1.	Z	—	0.1	iP 18 ^h 20 ^m 12.7 ^s
		Ch	—	0.1	iP 18 ^h 20 ^m 14.5 ^s
		N	—	0.0	iP 18 ^h 20 ^m 17.5 ^s Azimut 0°, nach russischem Bulletin Herd Meer von Ochotsk.
66	" 4.	Ch	—	0.4	eP 7 ^h 33 ^m 51.0 ^s
		Z	—	0.4	eP 7 ^h 33 ^m 57.6 ^s
		N	—	0.4	eP 7 ^h 34 ^m 07.3 ^s Nach dem russischen Bulletin Persien 38.0° N, 45.0° E.
67	" 4.	N	7400	0.2	iP 10 ^h 9 ^m 37.4 ^s , eS 10 ^h 18 ^m 33 ^s
		Z	—	0.5	e ₁ 10 ^h 9 ^m 40 ^s , e ₂ 10 ^h 14 ^m 40 ^s Herd Moluken.
68	" 5.	N	—	0.2	iP 12 ^h 02 ^m 26.2 ^s
		Ch	—	0.5	eP 12 ^h 02 ^m 29.1 ^s
		Z	—	0.5	eP 12 ^h 02 ^m 30.0 ^s Herd nach Wellington 17° S, 175° E.
69	" 11.	Ch	—	1.0	eP 1 ^h 08 ^m 42.8 ^s
		Z	—	1.0	iP 1 ^h 08 ^m 44.0 ^s Herd nach Wellington 6° S, 144° E.
70	" 11.	N	—	1.0	eP 14 ^h 08 ^m 40.1 ^s , ePP 19 ^h 13 ^m 50 ^s
71	" 13.	N	—	1.0	eP 1 ^h 06 ^m 00 ^s , Azimut 45°
		Z	9150	1.0	eP 1 ^h 06 ^m 15.5 ^s , eS 1 ^h 16 ^m 32.5 ^s
		Ch	9150	1.0	eP 1 ^h 06 ^m 17.8 ^s , eS 1 ^h 16 ^m 35.0 ^s Nach J. S. A. Herd 52° N, 172° W.
72	" 25.	N	9400	1.3	iP 10 ^h 31 ^m 9.8 ^s , eS 10 ^h 41 ^m 47 ^s Azimut 270°
		Z	—	1.0	eP 10 ^h 31 ^m 14.7 ^s
		Ch	—	1.0	eP 10 ^h 31 ^m 15.0 ^s Herd nach U. S. G. S. 16° S, 79° W.
73	" 25.	N	8200	0.3	eP 12 ^h 16 ^m 31.8 ^s , eS 12 ^h 25 ^m 7.6 ^s
		Z	7400	0.4	eP 12 ^h 16 ^m 35.7 ^s
		Ch	—	0.4	eP 12 ^h 16 ^m 44.7 ^s , eS 12 ^h 25 ^m 34 ^s U. S. G. S. Herd 19° N, 63° W, Distanz von Zürich 7000 km.
74	" 25.	Z	—	0.1	eP 21 ^h 27 ^m 44.5 ^s
		Ch	—	0.1	eP 21 ^h 27 ^m 45.9 ^s
		N	—	0.1	eP 21 ^h 27 ^m 47.3 ^s
75	" 25.	N	9400	1.0	iP 21 ^h 35 ^m 09.3 ^s , eS 21 ^h 45 ^m 42.0 ^s
		Z	9590	1.0	eP 21 ^h 35 ^m 13.0 ^s , eS 21 ^h 45 ^m 52.0 ^s
		Ch	—	1.0	eP 21 ^h 35 ^m 17.3 ^s Nach La Plata Herd Peru.
76	" 31.	Z	—	0.3	eL 4 ^h 02 ^m

Tabelle III (Fortsetzung).

Nr.	Datum	Station	Epizentral-	Ungefähre	Phasen, Bemerkungen
			entfernung nach S-P	Dauer der Registr.	
1930			km	Std.	
77	Juli	2. Ch		1.2	eP 21 ^h 14 ^m 23.5 ^s
		Z	7320	1.5	eP 21 ^h 14 ^m 27.3 ^s , eS 21 ^h 23 ^m 13.5 ^s
		N	7300	1.7	eP 21 ^h 14 ^m 34.4 ^s , eS 21 ^h 23 ^m 22.4 ^s Nach Strasbourg Herd Assam, 27.5° N, 90° E.
78	"	5. N	1250	0.2	eP 23 ^h 14 ^m 46.2 ^s , eS 23 ^h 17 ^m 0.1 ^s
		Ch	—	0.4	eP 23 ^h 15 ^m 00.0 ^s , e 23 ^h 19 ^m 14 ^s
		Z	—	0.4	eP 23 ^h 15 ^m 1.0 ^s Herd nach Toledo Mantilla, Spanien.
79	"	13. Ch	—	0.0	iP 14 ^h 10 ^m 59.3 ^s
		N	—	0.0	iP 14 ^h 11 ^m 00.8 ^s
80	"	13. Ch	6800	1.0	eP 19 ^h 37 ^m 42.6 ^s , eS 19 ^h 46 ^m 03 ^s
		Z	7050	1.0	iP 19 ^h 37 ^m 45.0 ^s , eS 19 ^h 46 ^m 17.0 ^s
		N	7200	1.0	iP 19 ^h 37 ^m 52.7 ^s Herd nach Strasbourg 38° N, 98° E, Kan-Sou-Provinz, China.
81	"	14. N	9200	1.5	eP 22 ^h 53 ^m 9.6 ^s , ePP 22 ^h 56 ^m 23.0 ^s , eS 23 ^h 03 ^m 35.8 ^s
		Z	9200	1.5	eP 22 ^h 53 ^m 19.6 ^s , eS 23 ^h 03 ^m 38.8 ^s
		Ch	9330	1.5	eP 22 ^h 53 ^m 20.8 ^s , eS 23 ^h 03 ^m 17.2 ^s Herd Zentralamerika.
82	"	17. Ch	9020	0.3	eP 14 ^h 46 ^m 49.3 ^s , eS 14 ^h 56 ^m 52 ^s
83	"	6. Z	8860	1.0	eP 19 ^h 37 ^m 58.0 ^s , eS 19 ^h 48 ^m 00.0 ^s
		Ch	8830	1.0	eP 19 ^h 37 ^m 59.0 ^s , eS 19 ^h 48 ^m 00.0 ^s
		N	8700	1.0	eP 19 ^h 38 ^m 01.0 ^s , eS 19 ^h 48 ^m 04.4 ^s Herd Kurilen.
84	"	23. Ch	—	0.1	P 13 ^h 55 ^m 04.0 ^s
		Z	—	0.1	e 13 ^h 55 ^m 12.7 ^s
		N	—	0.1	iP 13 ^h 55 ^m 17.4 ^s , eS? 13 ^h 56 ^m 52 ^s
85	"	25. N	—	0.1	eP 19 ^h 50 ^m 33.9 ^s , eS 19 ^h 55 ^m 44.3 ^s
		Ch	2500	0.1	eP 19 ^h 51 ^m 18.9 ^s , eS 19 ^h 55 ^m 22 ^s
		Z	—	0.1	eP 19 ^h 51 ^m 26.7 ^s
86	August	3. Ch	—	0.1	eP 22 ^h 11 ^m 35.0 ^s
		Z	—	0.1	eP 22 ^h 11 ^m 41.5 ^s Herd nach russischem Bulletin Armenien.
87	"	4. N	7950?	0.5	eP 5 ^h 16 ^m 20.8 ^s , eS? 5 ^h 25 ^m 45.9 ^s
		Z	—	0.5	eP 5 ^h 16 ^m 26.8 ^s , e ₁ 5 ^h 18 ^m 43.0 ^s , e ₂ 5 ^h 26 ^m 21.5 ^s
		Ch	—	0.5	eP 5 ^h 16 ^m 28.9 ^s , eS? 5 ^h 26 ^m 00 ^s Nach Strasbourg Herd Peru, gespürt in Lima.
88	"	1. N	—	0.1	eP 5 ^h 18 ^m 37.4 ^s unsicher!
89	"	5. Ch	2150	0.2	eP 23 ^h 27 ^m 12.0 ^s , eS? 23 ^h 30 ^m 46.0 ^s
		Z	—	0.2	eP 23 ^h 27 ^m 20.5 ^s
		N	2200	0.2	eP 23 ^h 27 ^m 27.1 ^s , eS 23 ^h 31 ^m 2.0 ^s } Herd Aegäisches Meer.
90	"	9. N	5700	0.3	eP 18 ^h 13 ^m 2.7 ^s , eS 18 ^h 20 ^m 18.9 ^s
91	"	17. Z	1370	0.5	eP 12 ^h 37 ^m 8.3 ^s , iS 12 ^h 43 ^m 17 ^s
		N	—	0.5	eP 12 ^h 37 ^m 16.2 ^s } Herd nach Strasbourg Golf von Persien.
92	"	18. N	4750?	1.1	eP 10 ^h 12 ^m 3.4 ^s , eS? 10 ^h 18 ^m 26.6 ^s
		Ch	—	1.0	eP 10 ^h 12 ^m 18.0 ^s , e ₁ 10 ^h 22 ^m 00 ^s , e ₂ 10 ^h 27 ^m 00 ^s
		Z	—	1.0	eP 10 ^h 12 ^m 23.2 ^s , e ₁ 10 ^h 22 ^m 19.2 ^s Nach Strasbourg Herd 52° S, 25 W, J. S. A. 57° S, 26° W, Atlantischer Ozean.
93	"	20. Ch	—	0.6	eP 21 ^h 06 ^m 48.0 ^s , eL 21 ^h 38 ^m 40 ^s
		N	—	1.3	eP 21 ^h 07 ^m 00.6 ^s , ML 21 ^h 41 ^m
		Z	—	1.0	eL 21 ^h 30 ^m } Nach Kobe: Ryukyu-Inseln.
94	"	22. Ch	—	0.1	eP 00 ^h 49 ^m 04.9 ^s , e 00 ^h 52 ^m 32 ^s
		N	—	0.1	eP 00 ^h 49 ^m 20 ^s

Tabelle III (Fortsetzung).

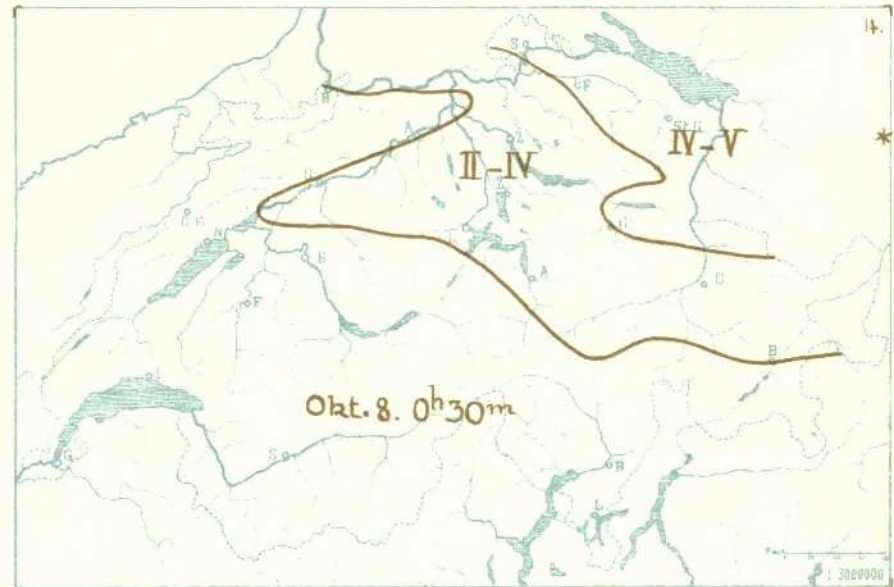
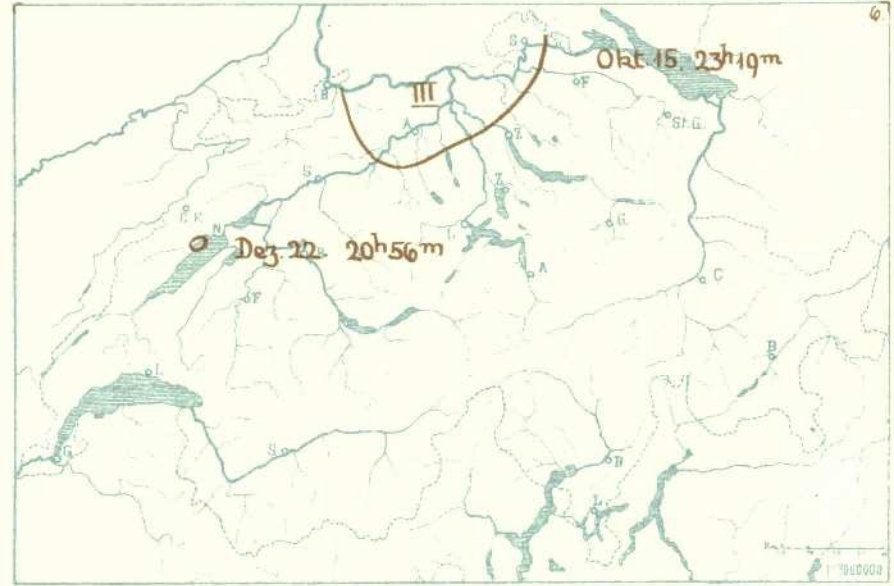
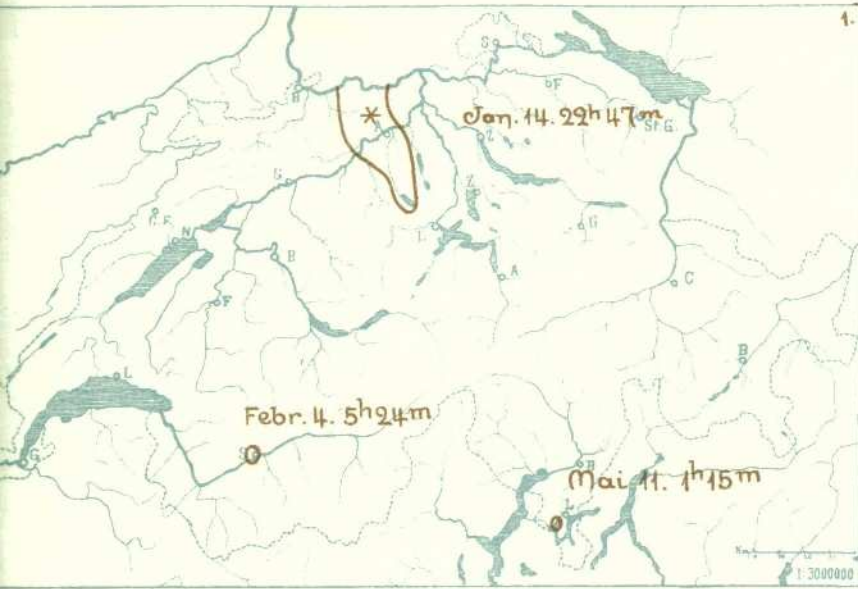
Nr.	Datum	Station	Epizentral- entfernung nach S-P	Ungelöste Dauer der Regist.	Phasen, Bemerkungen
	1930		km	Std.	
95	August 23.	Ch	4400	0.5	eP 11 ^h 00 ^m 47.4*, eS 11 ^h 06 ^m 57*
		Z	4470	0.5	iP 11 ^h 00 ^m 53.8*, eS 11 ^h 07 ^m 06.3*
		N	4670	0.5	iP 11 ^h 01 ^m 0.8*, iS 11 ^h 07 ^m 19.0* Azimut 90° Herd nach russischem Bulletin 28.5° N, 54.0° E, Persien.
96	Sept. 2.	Ch	3860	0.5	eP 19 ^h 05 ^m 53.5*, iS 19 ^h 11 ^m 33*
		Z	4000	0.5	eP 19 ^h 05 ^m 56.7*, eS 19 ^h 11 ^m 43.8* } Herd westliches Persien.
97	" 5.	Z	4270	0.1	iP 16 ^h 28 ^m 14.2*, eS 16 ^h 34 ^m 23.7* (Persien).
98	" 11.	Ch	2160	0.4	eP 12 ^h 41 ^m 04.1*, eS 12 ^h 44 ^m 41*
		Z	2100	0.4	eP 12 ^h 41 ^m 10*, eS 12 ^h 44 ^m 41.2*
		N	2330	0.4	iP 12 ^h 41 ^m 20.1*, iS 12 ^h 45 ^m 08* Herd Aegäisches Meer oder Klein-Asien.
99	" 12.	Z	-	0.2	eP 8 ^h 21 ^m 59.1*, e 8 ^h 25 ^m 54.8*
100	" 13.	Ch	-	0.2	eP 20 ^h 09 ^m 01.0*
		Z	-	0.3	eP 20 ^h 09 ^m 10.0* } Herd östliches Mittelmeer.
101	" 14.	Z	-	0.2	eP 17 ^h 32 ^m 21*
		N	2000	0.2	eP 17 ^h 32 ^m 27.0*, eS 17 ^h 35 ^m 46.9*, S unsicher Herd nach dem russischen Bulletin Neue Hebriden.
102	" 21.	Ch	7840	1.5	eP 23 ^h 15 ^m 33.4*, eS 23 ^h 24 ^m 45*
		Z	8090	1.5	eP 23 ^h 15 ^m 35.4*, eS 23 ^h 25 ^m 00*
		N	7960	1.5	eP 23 ^h 15 ^m 42.1*, eS 23 ^h 25 ^m 08.1* Herd nach Strassburg 27° N, 98° E, nach Manila 26° N, 92° E, 0 = 23 ^h 04 ^m 01* (Burma).
103	" 22.	Ch	-	2.0	e 1 ^h 51 ^m 22.3*
		N	-	2.0	e 1 ^h 51 ^m 23.4*
		Z	-	2.0	e 1 ^h 51 ^m 25.9* } Wellington gibt als Herd 32° S, 178° W.
104	" 22.	Ch	7600	0.7	iP 14 ^h 30 ^m 09.5*, eS? 14 ^h 39 ^m 07.0*
		Z	8100	0.6	eP 14 ^h 30 ^m 12.1*, iS 14 ^h 39 ^m 36.5*
		N	7700	0.7	eP 14 ^h 30 ^m 19.8*, S? 14 ^h 39 ^m 29* Herd nach Manila 26° N, 92° E, Burma.
105	" 22.	Ch	-	0.5	eP 16 ^h 34 ^m 46.6*
		Z	-	0.5	iP 16 ^h 34 ^m 51.8*
		N	-	0.5	eP 16 ^h 35 ^m 00.0* Nach dem russischen Bulletin Turkestan. zerstörend in Yanghi-Bazar & l'Edé Duchambé.
106	" 23.	Ch	-	0.1	eP 20 ^h 38 ^m 44.1*
		Z	-	0.1	iP 20 ^h 38 ^m 53.6*
		N	-	0.0	eP 20 ^h 39 ^m 2.1*
107	" 24.	Ch	-	0.1	eP 11 ^h 08 ^m 54.6*
		N	-	0.1	eP 11 ^h 09 ^m 1.8*
		Z	-	0.1	eP 11 ^h 09 ^m 4.0*
108	" 24.	Ch	-	0.1	eP 19 ^h 11 ^m 32.8*
		Z	-	0.1	e 19 ^h 11 ^m 35.5*
		N	-	0.1	eP 19 ^h 11 ^m 43.2*
109	" 30.	Ch	-	1.0	eP 21 ^h 39 ^m 46.9*
		Z	-	0.0	eL 21 ^h 40 ^m Herd nach Manila 148° E, 2.5° S, nach New Zealand 144° E, 3° S.
110	Okt. 7.	N	-	0.0	iP 20 ^h 59 ^m 53.6*
111	" 8.	N	-	1.0	eP 10 ^h 38 ^m 51.3 Herd Neue Hebriden.
112	" 9.	N	-	0.0	eP 5 ^h 19 ^m 53.6*
113	" 11.	N	2970	0.4	eP 3 ^h 12 ^m 0.3*, iS 3 ^h 16 ^m 35.0*
		Z	3000	0.3	eP 3 ^h 12 ^m 1.4*, eS 3 ^h 16 ^m 44.6*
		Ch	-	0.3	eP 3 ^h 12 ^m 7.0* Herd Jan Mayen nach Kew 73° N, 0.0° W.

Tabelle III (Schluss)

Nr.	Datum	Station	Epizentral- entfernung nach S-P	Uaeefläche Dauer der Regist.	Phasen, Bemerkungen
			km	Min.	
114	Okt. 22.	N Ch Z	-- -- --	0.1 0.1 0.1	eP 18 ^h 25 ^m 10.3* eP 18 ^h 25 ^m 13.8* eP 18 ^h 25 ^m 18.4* } Möglicherweise nach Manila Herd 4° S, 147° E.
115	" 24.	Ch Z N	12000 12000 11700	1.5 1.5 1.5	eP 20 ^h 29 ^m 10.5*, ePP 20 ^h 33 ^m 32.0*, eSS 20 ^h 48 ^m 20* eP 20 ^h 29 ^m 13.1*, ePP 20 ^h 33 ^m 31.0*, eSS 20 ^h 48 ^m 21.2*, eP' 20 ^h 32 ^m 33.5* eP 20 ^h 29 ^m 17.7*, ePP 20 ^h 33 ^m 42.6*, eSS 20 ^h 48 ^m 34.6* Herd pazifischer Ozean. nach U. S. G. S. 24° N, 145° E, nach Manila 22° N, 153° E.
116	" 25.	Z N Ch	-- -- --	0.1 0.0 0.1	iP 12 ^h 14 ^m 26.5* iP 12 ^h 14 ^m 28.2* iP 12 ^h 14 ^m 31.5* } Nach J. S. A. Herd 58° N, 154° W, nach U. S. G. S. 58° N, 154° W.
117	" 28.	Z	--	1.0	eP 21 ^h 28 ^m 10* Nach Manila Herd 15° N, 150° E, 0 = 21 ^h 09 ^m 37*.
118	Nov. 2.	N	--	0.0	iP 9 ^h 56 ^m 24.4*
119	" 2.	N	--	0.0	iP 16 ^h 50 ^m 0.9*
120	" 8.	Ch Z N	4840 4100 3900	0.4 0.4 0.4	eP 3 ^h 38 ^m 32.4*, iS 3 ^h 45 ^m 06* eP 3 ^h 39 ^m 16.0*, eS 3 ^h 45 ^m 9.7* } Herd Persien. eP 3 ^h 39 ^m 41.0*, eS 3 ^h 45 ^m 14*
121	" 9.	Ch N Z	-- 6800? 8300?	0.5 1.0 1.0	eP 19 ^h 27 ^m 12.2* eP 19 ^h 27 ^m 14.4*, eS? 19 ^h 35 ^m 32.4* eP 19 ^h 27 ^m 30.0*, eS? 19 ^h 37 ^m 29.3* Herd nach Wellington 0° N, 130° E, nach Strasbourg 1° S, 129° E.
122	" 10.	N Z	-- --	1.0 1.0	eP 14 ^h 03 ^m 2.6*, eL 15 ^h 00 ^m eL 15 ^h 00 ^m Herd nach Manila 2° N, 145° E, nach Wellington 1° S, 138° E.
123	" 16.	Ch Z N	-- -- --	0.0 0.1 0.1	eP 20 ^h 51 ^m 11.5*, e 20 ^h 55 ^m 2* iP 20 ^h 51 ^m 18.8* eP 20 ^h 51 ^m 24.5*
124	" 17.	N	--	0.0	eP 12 ^h 22 ^m 25.1*
125	" 21.	Ch Z N	-- 1260 1200	0.5 0.5 0.5	eP 2 ^h 02 ^m 46.9* eP 2 ^h 02 ^m 59.7*, eS 2 ^h 05 ^m 13.7* } Herd Albanien, nach Strasbourg eP 2 ^h 03 ^m 5.8*, eS 2 ^h 05 ^m 7.1*, e 2 ^h 05 ^m 37.5* } 40.5° N, 19.5° E.
126	" 21.	Ch Z	-- --	0.1 0.1	e ₁ 4 ^h 04 ^m , e ₂ 4 ^h 06 ^m e 4 ^h 07 ^m } Nachstösse zu Nr. 125
127	" 25.	Ch N Z	9280 9400 9320	1.5 1.5 1.5	eP? 19 ^h 15 ^m 32.7*, eS 19 ^h 25 ^m 57* eP 19 ^h 15 ^m 38.1*, iS 19 ^h 26 ^m 14*, ePP 19 ^h 19 ^m 4.4* } Herd Japan, nach Kōti 35.1° N, eP 19 ^h 15 ^m 41.5*, eS 19 ^h 26 ^m 8.3* } 139° E, zerstörende Wirkungen.
128	Dez. 2.	Ch N Z	-- -- --	0.1 0.1 0.1	eP 13 ^h 31 ^m 7.9* iP 13 ^h 31 ^m 26.5*, e 13 ^h 33 ^m 25* } Nachstösse zu Nr. 125. eP 13 ^h 31 ^m 40.0*
129	" 3.	Ch Z N	8400 8400 8400	1.5 1.5 1.5	eP 19 ^h 03 ^m 20.4*, eS 19 ^h 12 ^m 58* eP 19 ^h 03 ^m 28.2*, eS 19 ^h 13 ^m 07* } Herd nach Strasbourg 96° E, 18° N. 0 = 18 ^h 51 ^m 32*. eP 19 ^h 03 ^m 32.3*, eS 19 ^h 13 ^m 18*
130	" 5.	N	--	0.0	eP 17 ^h 04 ^m 11.2*
131	" 10.	Ch Z N	2580 2900 2800	0.5 0.5 0.5	eP 10 ^h 36 ^m 26.6*, eS 10 ^h 40 ^m 38* eP 10 ^h 36 ^m 29.8*, eS 10 ^h 40 ^m 45.6* } Klein-Asien eP 10 ^h 36 ^m 42.6*, eS 10 ^h 41 ^m 06.0*, Azimut 90°
132	" 13.	N	--	0.0	eP 14 ^h 35 ^m 00* Nach Kobe vermutlich Hokkaido, Japan.
133	" 21.	Ch Z N	-- 9500 --	0.7 0.7 0.5	iP 15 ^h 04 ^m 6.7*, iS 15 ^h 14 ^m 40* iP 15 ^h 04 ^m 7.6*, iS 15 ^h 14 ^m 44* } Herd Fornosa. iP 15 ^h 04 ^m 13.1*, eS 15 ^h 14 ^m 51.8*, iPP 15 ^h 7 ^m 52*
134	" 25.	N	--	0.1	eP 23 ^h 47 ^m

In der Schweiz im Jahre 1930 verspürte Erdbeben.

M.E. Zeit. (vergl. Tab. I)



Temperatur und Niederschlag im schweizerischen Alpengebiete während des letzten Gletschervorstosses und einige Rückschlüsse auf die eiszeitlichen Verhältnisse

von Dr. R. Billwiller.

Die Alpengletscher weisen langjährige Schwankungen in ihrem Stande auf. Besonders eindrucksvoll waren die beiden ausgesprochenen Hochstände um 1820 und 1855 gewesen; sie hatten dazu angeregt, das vorhandene spärliche Nachrichtenmaterial über die Gletscherstände früherer Jahrhunderte zu untersuchen und in Parallele zu setzen mit dem Wenigen, was wir über den damaligen Witterungsverlauf wissen (Untersuchungen von v. Sonklar, F. A. Forel und C. Lang). Durch eine kritische Nachprüfung des gesamten Materials gelangte dann 1891 E. Richter¹⁾ zu folgendem Resultat: Die Gletschervorstöße wiederholen sich in Perioden, deren Länge zwischen 20 und 45 Jahren schwankt und im Mittel der drei letzten Jahrhunderte genau 35 Jahre betrug. Sie stimmen im allgemeinen mit den von E. Brückner ermittelten Jahreszahlen der Klimaschwankungen überein.

Es war der allgemeinen Anerkennung der Brücknerschen Klimaperiode nicht förderlich, daß gerade ihre zeitlich nächstliegende Phase, die kalt-feuchte zwischen 1880 und 1890 bei uns nur verkümmert aufgetreten war, und somit auch der um 1890 zu erwartende Hochstand der Gletscher ausblieb. Er deutete sich nur im Mont Blanc-Massiv und vereinzelt im Wallis an, und die große Mehrzahl der Alpengletscher verharrte in der ganzen zweiten Hälfte des 19. Jahrhunderts im sozusagen fortwährenden Rückgange. Das dabei zutage tretende unentschiedene und divergierende Verhalten der Gletscher machte auch einen Forscher wie F. A. Forel²⁾ skeptisch, nicht nur in bezug auf einen allgemeinen Synchronismus in den Schwankungen der Alpengletscher, sondern auch auf den Parallelismus dieser Schwankungen mit der seiner Ansicht nach noch nachzuweisenden Existenz der im Mittel 35jährigen Klimaperiode von Brückner. Aber er war weitsichtig genug zu bekennen: „Les matériaux dont nous dispo-

sons ne sont pas encore assez nombreux, ni assez précis. Rassemblons des observations et nos successeurs sauront les utiliser.“

Zu diesem Zwecke hatte er in den Neunzigerjahren die systematische Ueberwachung des Gletscherstandes einer großen Zahl schweizerischer Gletscher durch das Forstpersonal angeregt und mit nie erlahmendem Eifer überwacht. Er erlebte nur noch die ersten Anzeichen des um 1910 einsetzenden neuen Gletschervorstosses. Aber das von ihm inaugurierte Werk der Kontrolle der schweizerischen Gletscher wird von seinem für die Sache begeisterten Schüler und Freunde, Herr Prof. P. L. Mercanton, fortgesetzt. So sind wir über das Verhalten der schweizerischen Gletscher in dieser Wachstumsperiode besser orientiert als über alle früheren, was umso höher anzuschlagen ist, als mitten in sie herein der Weltkrieg fiel, der so mancher wissenschaftlichen Untersuchung einen Unterbruch oder gar das Ende bereitet hat.

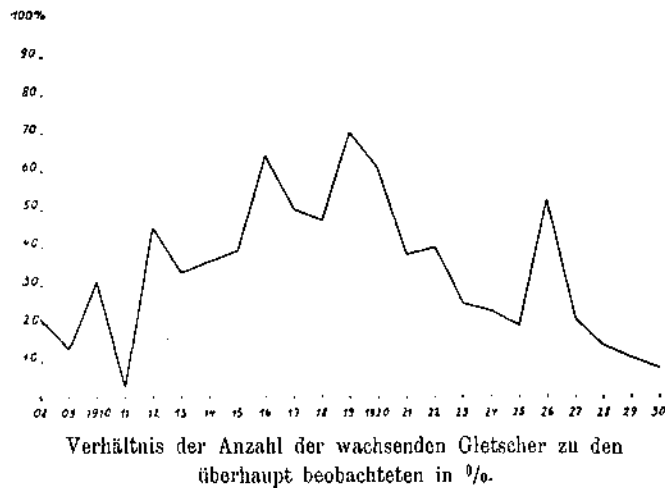
Der Gletschervorstoss ist inzwischen zu seinem Ende gekommen. Versuchen wir die Tatsachen herauszuschälen, die sich über seinen zeitlichen Verlauf und seine Ausdehnung einerseits, über das gleichzeitige Verhalten der ihn bedingenden meteorologischen Elemente andererseits ergeben haben. Vielleicht lassen sich daraus einige Anhaltspunkte gewinnen, welche unsere Einsichten in die Ursachen der Gletscherschwankungen vermehren. Veränderungen in der Menge der die Gletscher ernährenden Niederschläge und solche in der die Abschmelzung bedingenden Temperatur müssen natürlich die Ursachen der Schwankungen sein. Ob und in welchem Maße der eine der beiden Faktoren prävaliert und welche Amplituden deren Schwankungen aufweisen, darüber wissen wir noch wenig. Gerade diese Fragen lassen aber dem Meteorologen den letzten Gletschervorstoss interessant erscheinen. Denn es liegen eigentlich erst für ihn einige zuverlässigere Angaben über die Niederschläge in den Höhenregionen vor, und auch über die Temperaturverhältnisse der letzteren sind wir besser orientiert als bei früheren Gletschervorstößen.

¹⁾ E. Richter, Geschichte der Schwankungen der Alpengletscher. Zeitschr. d. D. und Oe. Alpenvereins 1891.

²⁾ F. A. Forel, Durée de la période des glaciers., Var. pér. des glaciers des Alpes. XXIIe Rapport 1901. Jahrbuch des S. A. C., Bd. XXXVII.

I. Verlauf des letzten Gletschervorstoßes.

In nachfolgender graphischer Darstellung sind die Zahlen der jährlichen Berichterstattung von Forel-Mercanton — publiziert im „Jahrbuch des schweizerischen Alpenklubs“, seit 1924 „Die Alpen“ — zusammengefaßt.³⁾ Die Kurve gibt das Prozentverhältnis der zunehmenden Gletscher zu den in der Schweiz überhaupt beobachteten. Ueberwacht wurden die Veränderungen in der Lage des Gletscherendes. „Wachsen“ der Gletscher heißt also horizontales Vorrücken der Gletscherenden.



Bei der Betrachtung dieser Kurve müssen wir uns daran erinnern, daß jeder Gletscher zeitlich und quantitativ individuell auf Veränderungen von Niederschlag und Temperatur reagieren wird. Größe des Sammelgebietes, Länge und Gefälle des eigentlichen Gletschers, Exposition werden in erster Linie den Beginn des „Wachsens“ bestimmen. Das dafür verwendete Kriterium kann also naturgemäß nicht einen einheitlichen Phasenbeginn konstatieren. Ein durch Vergrößerung der Firnmassen im Sammelgebiete ausgelöster Gletschervorstoß wird beispielsweise an seinem Ende umso später auftreten, je länger der Gletscher ist. Zwar schreitet die Verdickungswelle bedeutend rascher fort als der Gletscher selbst; bei langen Gletschern kann aber die Verzögerung bis zu deren Eintreffen am Gletscherende doch eine so große sein, daß die stärkere Ablation der darauffolgenden Schwundperiode den Vorstoß am Gletscherende gar nicht zur Erscheinung kommen läßt. Das scheint bei dem nur schwach angedeuteten Vorstoß am Ende der Achtzigerjahre für die meisten Gletscher zugetroffen zu haben. Aber auch bei dem jüngsten besser ausgesprochenen Vorstoß gingen die größten unserer Alpengletscher, der große Aletsch- und der Gornergletscher z. B. Jahr für Jahr, andere, wie der Unter-Aar, der Fèrpecle- und der Morteratschgletscher je mit Ausnahme eines einzigen Jahres zurück. Wäre es möglich gewesen, die Gletscher nach

³⁾ Les variations périodiques des glaciers des Alpes suisses. Rapports annuels.

ihrem Volumen zu überwachen, so wäre ohne Zweifel auch bei diesen Gletschern ein „Wachsen“ zu konstatieren gewesen, und der Zusammenhang desselben mit den klimatischen Faktoren würde schärfer in Erscheinung treten. Eine solche Ueberwachung oder volumetrische Gletschervermessung ist aber an einem einzigen Gletscher eine mühevoll Arbeit und für eine so große Zahl wie sie die Forel-Mercanton'sche Reihe aufweist — am Anfang der Berichtsperiode waren es 60—70, am Ende derselben etwas über 100 — ein Ding der Unmöglichkeit.

Auch systematische Messungen der Geschwindigkeit des Gletscherfließens würden zweifellos ein einheitlicheres Verhalten der Gletscher dokumentieren, da vorstoßende Gletscher mit gesteigerter Geschwindigkeit fließen. Das in den letzten Jahren von verschiedenen Forschern⁴⁾ angewandte Cryocinometer, dem die schweizerische Gletscherkommission neuerdings eine handliche Form gegeben hat, ist vielleicht berufen, uns solche systematische Geschwindigkeitsmessungen wenigstens von der Gletscherfront zu bringen; für den letzten Gletschervorstoß fehlen sie aber noch.

Umso dankbarer müssen wir für die Forel-Mercanton'sche Statistik über den Stand der Gletscher sein. Berücksichtigt man das, was oben in bezug auf das ihr zugrunde liegende Kriterium für das „Wachsen“ der Gletscher gesagt wurde, so ist man sich klar, daß auch ein sehr ausgeprägter allgemeiner Gletschervorstoß nie bei allen Gletschern gleichzeitig auftreten wird. Aber das Faktum und der mittlere Verlauf des Gletschervorstoßes tritt, wie die nebenstehende Kurve zeigt, sehr schön in Erscheinung:

Bis gegen das Ende des ersten Jahrzehntes waren die Gletscher im laufenden Jahrhundert im Abnehmen oder stationärgewesen. 1909 hatten nur 12% derselben ein ganz kleines, sozusagen zufälliges Wachstum gezeigt; nun begannen sie sukzessive vorzustößen und 1919 waren 70% in zum Teil sehr starkem Vorstoßen. Von diesem Jahre an nimmt das Prozentverhältnis der wachsenden Gletscher wieder ab bis auf 8% im Jahre 1930.

Innerhalb dieser unverkennbaren langjährigen Periode treten noch solche von einjähriger oder gelegentlich zweijähriger Dauer auf, die sich meistens durch die meteorologischen Besonderheiten der betreffenden Jahre erklären lassen. Hier soll uns die Untersuchung beschäftigen, wie weit sich die langjährige Schwankung im Gletscherrand zurückführen läßt auf entsprechende Perioden der sie bedingenden meteorologischen Elemente.

⁴⁾ Vgl. darüber P. L. Mercanton, Les variations périodiques des glaciers des Alpes suisses, 41ième et 43ième rapport.

II. Die Temperaturverhältnisse.

Wir können diese aus Beobachtungen aus entsprechenden Höhenlagen festlegen, während für die früheren Gletscherschwankungen mangels solcher vielfach auf die Stationen des Tieflandes abgestellt werden mußte. In der Schweiz liegen vor allem homogene Beobachtungen des S ä n t i s seit 1883 vor.

Für die Ablation kommen in den höheren Firnregionen fast ausschließlich die Monate Juni bis September in Betracht. Bildet man jahweise deren Mittelwerte (vgl. nebenst. Spalte) so ergibt sich folgendes: Mit dem Jahre 1909 setzt auf dem S ä n t i s eine Reihe von sehr kühlen Sommern ein, die sich trotz einzelner sehr warmer Sommer (1911 und 1917) in den Lustren Mitteln scharf ausprägen. Die folgende Tabelle gibt die

Abweichungen der Lustren Mittel der Sommertemperaturen (VI.—IX.) 1881—1930.

	St. Bernhard 2175 m	Säntis 2500 m	Sonnblick 3106 m	Obir 2041 m
1881/1885	—0.8	—	—	—0.2
1886/1890	—0.5	0.1	—0.1	0.1
1891/1895	0.0	0.2	0.3	0.3
1896/1900	0.1	0.2	0.1	0.3
1901/1905	0.1	0.3	0.4	—0.2
1906/1910	—0.3	—0.6	—0.4	—0.5
1911/1915	—0.8	—0.7	0.9	—0.9
1916/1920	—0.3	—0.2	—0.1	—0.1
1921/1925	0.1	—0.1	0.0	—0.1
1926/1930	—	1.0	0.9	0.8

Temperaturabweichungen verlaufen über größeren Gebieten gleichsinnig, so daß man die Säntisbeobachtungen a priori als repräsentativ für das schweizerische und das östliche Alpengebiet annehmen durfte. Unsere Zahlen bestätigen das. Vom St. Bernhard bis zum Obir zeigen die Lustren Mittel der Sommertemperatur 1906 bis 1920 negative Abweichungen mit einem Maximum von -0.7 bis -0.9° für 1911/15. Im Lustrum 1916/20 gehen diese Abweichungen stark zurück; 1921/25 wird im Mittel unserer vier Stationen punkto Temperatur normal und 1925/30 ergibt eine starke positive Temperaturabweichung.⁵⁾

Vergleicht man den Verlauf der Kurve auf Pag. 2 mit diesen Zahlen, so ist der kausale Zusammenhang unverkennbar.

Sprechender noch wird er, wenn man nicht nur die in der Klimatologie üblichen Lustren Mittel, sondern fortlaufende Jahrfünftmittel und deren

⁵⁾ Leider konnte für dieses Lustrum das Temperaturmittel von St. Bernhard nicht mehr benutzt werden; die Homogenität der Reihe weist mit 1926 einen fühlbaren Bruch auf zufolge Aenderung der Thermometeraufstellung. — Es sei noch eine Bemerkung zu dem stark negativen Wert des Lustrums 1881/85 vom St. Bernhard angefügt; er macht es uns verständlich, warum in den Achtzigerjahren sich im Mont-Blanc-Massiv ein Gletschervorstoß anbahnen konnte, von welchem in den weiter östlich gelegenen Alpen nichts bemerkt wurde. Das Lustrum Mittel für Obir ergab nur -0.2° als Abweichung.

Abweichungen vom Normalen bildet, die nachfolgend wenigstens für den S ä n t i s mitgeteilt sind. Das jedem Jahr beigeschriebene Lustrum Mittel umfaßt das mit dem betreffenden Jahre endigende Jahrfünft.

Sommertemperaturen Juni bis September Säntis (2500 m).

Jahr	Sommer- Temperatur	Abweichung	Jahrfünftmittel	Abweichung	Jahr	Sommer- Temperatur	Abweichung	Jahrfünftmittel	Abweichung
1883	3.2	-0.6	—	—	1906	3.6	-0.2	4.0	0.2
1884	3.8	0.0	—	—	1907	3.9	0.1	4.0	0.2
1885	4.9	1.1	—	—	1908	3.7	-0.1	4.1	0.3
1886	4.6	0.8	—	—	1909	2.4	-1.4	3.7	-0.1
1887	4.9	1.1	4.3	0.5	1910	2.6	-1.2	3.2	-0.6
1888	3.6	-0.2	4.4	0.6	1911	5.6	1.8	3.6	-0.2
1889	3.4	-0.4	4.3	0.5	1912	1.5	-2.3	3.2	-0.6
1890	2.8	-1.0	3.9	0.1	1913	2.3	-1.5	2.9	-0.9
1891	3.4	-0.4	3.6	-0.2	1914	2.9	-0.9	3.0	-0.8
1892	4.4	0.6	3.5	-0.3	1915	3.3	-0.5	3.1	-0.7
1893	4.0	0.2	3.6	-0.2	1916	2.2	-1.6	2.4	-1.4
1894	3.1	-0.7	3.5	-0.3	1917	5.1	1.3	3.2	-0.6
1895	4.9	1.1	4.0	0.2	1918	3.2	-0.6	3.3	-0.5
1896	2.8	-1.0	3.8	0.0	1919	4.0	0.2	3.6	-0.2
1897	4.2	0.4	3.8	0.0	1920	3.5	-0.3	3.6	-0.2
1898	4.2	0.4	3.8	0.0	1921	5.3	1.5	4.3	0.5
1899	3.7	-0.1	4.0	0.2	1922	3.1	-0.7	3.9	0.1
1900	4.9	1.1	4.0	0.2	1923	3.9	0.1	4.0	0.2
1901	4.2	0.4	4.2	0.4	1924	3.1	-0.7	3.8	0.0
1902	3.5	-0.3	4.1	0.3	1925	3.0	-0.8	3.7	-0.1
1903	3.4	-0.4	3.9	0.1	1926	3.8	0.0	3.4	-0.4
1904	4.4	0.6	4.1	0.3	1927	4.1	0.3	3.6	-0.2
1905	4.9	1.1	4.1	0.3	1928	6.0	2.2	4.0	0.2
					1929	5.2	1.4	4.5	0.7
					1930	4.7	0.9	4.8	1.0

Seit dem Anfang der Neunzigerjahre waren alle Lustren Mittel etwas wärmer als normal gewesen; der kalte Sommer 1909 brachte den Zeichenwechsel und alle folgenden Jahrfünftmittel ergeben nun negative Abweichungen — die größte 1916 mit -1.4° — bis zum Jahre 1920. Der extrem warme Sommer 1921 machte dem ein Ende; zwar wurden die Jahrfünftabweichungen mit Zentrum 1926 noch einigemal schwach negativ, um dann aber rasch zu den hohen positiven Werten von 1930 anzusteigen.

Das entspricht in bemerkenswerter Weise den Feststellungen über den Gletscherstand, wie sie in der Kurve Pag. 2 dargestellt sind: die Gletscher begannen vereinzelt schon im zweiten Jahr mit negativer Abweichung der Sommertemperatur (1910) zu wachsen, und die Zahl der wachsenden Gletscher erreichte nach 10 Jahren (1919) mit 70 % ihr Maximum; ein sekundäres Maximum wurde um 1926 erreicht, verursacht durch die vorausgegangenen kühlen Sommer von 1924 und 1925.

Wie verhielten sich die Temperaturen der Wintermonate in der Vorstoßperiode der Gletscher? Diese Frage interessiert uns nicht etwa deswegen, weil denselben ein unmittelbarer Einfluß auf den Gletscherstand zukäme, sondern weil ihre Beantwortung zur allgemeinen meteorologischen Charakterisierung der betreffenden Periode dienen kann. In folgender Zu-

sammenstellung sind als Wintermittel die Monate Dezember bis März zusammengefaßt, entsprechend der Bildung der Sommermittel Juni bis September.

S ä n t i s			
	1888/1908	1909/20	Δ
Sommertemperatur (VI.—IX.)	3.9	3.2	-0.7
Jahresmittel	-2.3	-2.5	-0.2
Wintertemperatur (XII.—III.)	-8.2	-7.8	+0.4

Während also die Sommertemperatur um 0.7° kühler war, stellte sich das Wintermittel um 0.4° höher und die Jahresschwankung war somit kleiner (nach den Mittel des wärmsten und kältesten Monats = 12.9° gegen 13.9° in der Periode 1888/1908). Das Jahresmittel war um 0.2° tiefer.

Den engen Zusammenhang zwischen Sommertemperatur und Gletscherstand hatte noch F. A. Forel als eine, wie er es nennt, späte Erkenntnis aufgefunden. In einem seiner letzten „Rapport“ (1907) hat er die Sommertemperaturen (Juni — August) von Genf 1826—1906 jah- und jahrfünftweise zusammengestellt, mit dem jeweiligen Gletscherstand verglichen und war überrascht worden durch die Existenz solcher langjähriger Schwankungen der Sommertemperatur wie auch deren Abbildung im Gletscherstand, deren Betrachtung er bisher vernachlässigt habe. Aber er schließt: „Je ne répudie en rien, en disant cela, l'importance fondamentale qu'il faut attribuer aux accumulations de neige sur les névés, lesquelles président aux variations dans la puissance originale du fleuve de glace.“ Das leitet uns über zu der Betrachtung der Niederschläge.

III. Die Niederschlagsverhältnisse.

Bezüglich der Temperatur unterliegt es keinem Zweifel, daß ausschließlich die Sommermonate für den Gletscherstand bestimmend sind. Es liegt nahe, für die Untersuchung der Niederschlagsverhältnisse auf die Niederschläge des Winterhalbjahres abzustellen. Eingehendere Ueberlegungen führen aber dazu, die Jahresmengen zu verwenden. In den höheren Firnregionen, den Sammelgebieten der Gletscher, fallen die Niederschläge vom Oktober bis gegen den Juni in fester Form, und auch in den Sommermonaten bedingen die niederschlagbringenden Schlechtwetterperioden oft Temperaturen, bei denen der Niederschlag als Schnee fällt. Nur im untern Teil der Gletscher gehen die als Regen fallenden Niederschläge für deren Ernährung verloren oder tragen gar bei hohen Temperaturen zu vermehrter Ablation bei. Diesem Umstand Rechnung zu tragen ist aber praktisch nicht möglich, weil er mit der Höhenlage einerseits von Gletscher zu Gletscher, andererseits mit den meteorologischen Verhältnissen von Jahr zu Jahr variiert. Wir beschränken uns daher auf die Betrachtung der Jahresmenge.

Für die Dokumentierung der Temperaturverhältnisse während der letzten Gletscherschwankung standen

uns absolut einwandfreie Beobachtungen zur Verfügung. Für die Niederschlagsmengen trifft das nur bedingt zu. Der praktische Meteorologe kennt die Schwierigkeiten ihrer Bestimmung im Gebirge, die sich aus der Ablenkung der als Schnee fallenden Niederschläge aus der Senkrechten durch die häufigen starken Winde ergeben. In erster Linie können wir wieder zurückgreifen auf die Beobachtungen des Sântis, wo seit dem Bezug des neuen Observatoriums (1888) die örtlichen Bedingungen für die Messungen günstig sind.⁹⁾ Mit Rücksicht auf diese einzigartige homogene Reihe aus den Hochlagen seien die einzelnen Jahresmengen wie-

Jahresmengen des Niederschlags.

	St. Gallen	Urnäsch	Sântis	Rigi
1888	1605	1650 *	2634	1879
1889	1497	1575	2494	1624
1890	1376	1425	2320	1807
1891	1376	1375	2142	1704
1892	1428	1477	2480	1701
1893	1031	1142	2077	1324
1894	1280	1417	2737	1650
1895	1186	1436	2092	1311
1891/1895	1260	1369	2305	1538
1896	1622	1898	2536	1877
1897	1507	1712	2667	1816
1898	1295	1404	2321	1736
1899	1125	1406	2591	1530
1900	1248	1399	2427	1611
1896/1900	1359	1504	2509	1714
1901	1198	1389	2258	1648
1902	1312	1393	2661	1644
1903	1245	1383	2472	1635
1904	1138	1254	2718	1540
1905	1394	1652	2653	1771
1901/1905	1257	1414	2652	1648
1906	1254	1640	2378	1451
1907	1229	1332	2293	1556
1908	1169	1524	2289	1372
1909	1199	1391	2865	1659
1910	1606	1983	3603	2551
1906/1910	1291	1574	2684	1718
1911	967	1100	2029	1305
1912	1388	1626	3754	2263
1913	1314	1844	3465	1971
1914	1472	2030	3797	2204
1915	1333	1807	3230	1878
1911/1915	1295	1681	3255	1924
1916	1509	1926	3023	2379
1917	1239	1740	2404	1836
1918	1131	1493	2755	1696
1919	1293	1878	3224	1923
1920	1081	1412	2619	1376
1916/1920	1251	1690	2985	1842
1921	950	1243	2501	1599
1922	1811	2231	5302	2619
1923	1265	1779	3727	1896
1924	1405	1736	3148	1918
1925	1160	1383	3224	1580
1921/1925	1318	1674	3580	1922
1926	1323	1559	3344	1972
1927	1511	1709	3446	2222
1928	1288	1623	3104	1828
1929	1190	1387	2412	1587
1930	1597	2134	3448	2297
1926/1930	1382	1682	3151	1981

⁹⁾ Vgl. R. Billwiller, Der Niederschlag auf dem Sântis. Met. Zeitschrift 1906.

dergegeben unter Beifügung von St. Gallen als Tief- und Urnäsch als der nächstgelegenen westlichen Fußstation; ferner seien angefügt die Jahresmengen von der Rigi, die zwar wegen fehlendem Windschutz zu klein, aber in sich vergleichbar sind.

Der Säntis zeigt von 1909 an, also einsetzend mit demselben Jahre wie die negativen Temperaturabweichungen der Sommermonate, eine ganz intensive Zunahme der Niederschläge. In den Lustren Mitteln wirkt sie sich erstmals voll aus 1911/15, wo sie trotz des Rekord-Trockenjahres 1911 (Minimum der ganzen Reihe) 3255 gegen 2552 mm im Mittel 1901/05 beträgt. Wie notwendig es bei den Niederschlägen ist, auf die Beobachtungen der Bergstationen selbst abstellen zu können, lehrt der Vergleich mit St. Gallen, das eine wesentlich kleinere Zunahme (1257 auf 1295 mm) hat. Dagegen wird sie schon wesentlich größer am eigentlichen Säntisfuße in Urnäsch (1414 auf 1681 mm), wie übrigens auch auf andern Fußstationen im Westen des Säntismassivs (Ricken, Starckenbach und Neßlau). Die Gipfellage der Rigi zeigt sie ebenso ausgesprochen (1648 auf 1924 mm). Somit steht fest: kurz vor Anfang des Gletschervorstoßes begann eine Reihe in der Höhe niederschlagsreicher Jahre.

Das Ueberraschende ist nun, daß die Niederschlagsmengen seither auch nach dem Ende des Gletschervorstoßes nicht zurückgingen. Die enorm hohen Beträge des Säntis hatten mich in dieser Beziehung ernstlich beunruhigt und Veranlassung gegeben, alle möglichen Fehlerquellen (Instrument, Aufstellung und Messung) zu überprüfen. Es ergab sich nicht der geringste Anhaltspunkt dafür, daß die vorliegenden Resultate nicht der Wirklichkeit entsprechen, und die systematische Untersuchung der in Frage kommenden Vergleichstationen bestätigten sie. Das geht schon aus Tabelle auf Pag. 4 hervor, kann aber noch an weiterem Beobachtungsmaterial erhärtet werden. 1908/09 traten auf Rigi und St. Gotthard die mit dem von mir abgeänderten Niphertrichter versehenen, sogenannten „geschützten Ombrometer“ in Funktion, die eine angenähert richtige Bestimmung der Niederschlagsmengen erlauben. Auch deren Resultate sollen wenigstens im Mittel der in Frage kommenden Perioden mitgeteilt werden.

Mittlere Niederschlagsmengen:

	St. Gallen	Urnäsch	Säntis	Rigi (unge- schützt)	Rigi St. Gotth. (Nipher)	
	cm	cm	cm	cm	cm	cm
1888/1908	131	147	244	163	—	—
1909/1920	129	169	315	192	219	226
1921/1930	135	168	337	195	216	227

Resultat: die freien Berglagen weisen seit 1909, also in der Periode des Glet-

schervorstoßes, eine mit der Höhe wachsende Zunahme der Niederschlagsmengen auf; letztere gehen aber nach 1920, d. h. seit dem Kulminationspunkt des Gletschervorstoßes, nicht zurück. Selbst die letzten Jahre mit ausgesprochen warmen Sommern und intensivem Gletscherrückgang zeigen noch keine Abnahme⁷⁾.

Ausdrücklich sei bemerkt, daß ich mich für die Untersuchung der Niederschläge mit Absicht auf das verwendete schweizerische Beobachtungsmaterial beschränke und keine Beobachtungen ausländischer Stationen heranziehe. Die erwähnten Schwierigkeiten der Niederschlagsmessung auf Bergstationen verlangen eine genaue, mir nur für das schweizerische Netz zur Verfügung stehende Kenntnis der Eignung der Stationen und der Homogenität ihrer Beobachtung.

Auch auf eine allgemeinere Diskussion der in den letzten beiden Jahrzehnten in Betrieb gesetzten zahlreichen Totalisator-Apparate sei hier verzichtet. Einmal, weil sie für den Nachweis der Niederschlagszunahme mit 1909 nicht herbeigezogen werden können, da ihre sukzessive Aufstellung erst mit 1913 beginnt. Sodann können dieselben nur angenäherte Resultate ergeben; die trotz der Chlorkalziumlösung bei starken Schneefällen vorkommenden Eisbildungen und Verstopfungen im Rezipienten setzen den Apparat oft während längerer Perioden außer Funktion. Immerhin ergibt eine Stichprobe in den Resultaten der beiden von der Zürcher Gletscherkommission speziell überwachten Apparate am Claridenfirn und Silvrettagletscher keine wesentliche Abnahme des Niederschlags in den letzten Jahren:

Mittel	Claridenfirn (2710 m)	Silvretthütte (2375 m)
1916/1920	361 cm	154 cm
1921/1925	337 „	146 „
1926/1930	358 „	147 „

Soweit aus dem verwendeten schweizerischen Material geschlossen werden darf, stimmen die Befunde der Höhenstationen, mit Bezug auf das Ende der niederschlagsreichen Periode, nicht überein mit den Ergebnissen von G. Afzelius, welche im Umkreis der Alpen ein Maximum kurz nach 1916 ergeben hatten⁸⁾.

⁷⁾ Mit Bezug auf die eingangs erörterte Frage der jahreszeitlichen Niederschlagsschwankungen sei wenigstens für den Säntis das Prozentverhältnis der Wintermonate Oktober bis Mai (d. h. derjenigen mit Mitteltemperatur unter 0°) zu den Jahresmengen für die genannten Perioden mitgeteilt:

Jahr	Winter	in %
1888/1908	140 cm	57
1909/1920	190 „	59
1921/1930	199 „	60

Das Prozentverhältnis der Niederschläge in der warmen und kalten Jahreszeit hat sich demnach nicht wesentlich verändert.

⁸⁾ Vgl. G. Afzelius, Vieljährige Niederschlagsschwankungen im Umkreise der Alpen. Geografiska Annaler, Stockholm 1925, und Met. Zeitschrift 1927.

Die betreffende Untersuchung umfaßt aber das letztvergangene Dezennium nicht mehr.

Als Resultat unserer Untersuchungen der den Gletscherstand bedingenden Faktoren ergibt sich somit: das Wachstum der Gletscher im zweiten Jahrzehnt des zwanzigsten Jahrhunderts fällt zusammen mit starken negativen Temperaturabweichungen der Sommermonate und vermehrten Niederschlägen in den Hochregionen. Der Rückgang im dritten Jahrzehnt vollzog sich — auch wenn wir denselben erst von ihrem sekundären Hochstande um 1926 ausgehen lassen, indem wir die Wirkungen des extremen Wärme- und Trockenjahres 1921 als einen mehr zufälligen Unterbruch in der naßkalten Periode ansehen — in immer wärmer werdenden Sommern ohne Abnahme der Niederschläge in den Höhenregionen. Beurteilt nach dem letzten Gletschervorstoß würde demnach die Temperatur der Sommermonate entscheidender sein für den Gletscherstand als die Menge der Niederschläge.

Wir wollen nicht verfehlen, hier einige Ueberlegungen einzuschalten, zu denen, wie wir sehen, auch schon F. A. Forel in dem zitierten Rapport von 1907 gekommen ist.

Akkumulation und Ablation, welche den Gletscherstand bestimmen, haben in der Hauptsache nicht den gleichen Angriffspunkt. Die Ablation greift den unter der Firnlinie gelegenen Teil des Gletschers an, und zwar umso intensiver, je näher wir dem Gletscherende kommen. Deshalb muß eine Zu- oder Abnahme der Ablation, d. h. der Effekt einer Reihe von warmen oder kalten Jahren an der Gletscherzunge — und auf diese beschränken sich ja im allgemeinen unsere Messungen — viel unmittelbarer auftreten als zum Beispiel derjenige einer Reihe von niederschlags- (d. h. schnee) reichen Jahren. Letzterer macht sich in erster Linie im Sammelgebiete des Gletschers geltend — und zwar auch wieder progressiv nach oben —, wo am Ende des Sommers ein mit der Höhe immer größer werdender Teil des im Laufe des (hydrographischen) Jahres gefallenen Schnees als bleibender Firnzuwachs restiert. Bei der Langsamkeit des Gletscherfließens ist es, auch wenn man das raschere Fortschreiten der Verdickungswelle berücksichtigt, sehr schwer zu übersehen, wann sich der Effekt einer Reihe von niederschlagsreichen Jahren am Zungenende bemerkbar machen wird. Forel glaubt, daß jede Phase einer Gletscherschwankung ursächlich zum Teil auf entsprechende Niederschlagsschwankungen von früheren Perioden zurückgehe. — Jedenfalls möchte ich aus solchen Ueberlegungen heraus an dieser Stelle noch auf die Diskussion der erst von 1915 an durch die Zürcher Gletscherkommission regelmäßig ausgeführten Bestimmungen des

Jahresfirnzuwachses auf dem Clariden- und Silvretta-gletscher verzichten.

Man würde die Wirksamkeit der oben mitgeteilten Temperatur- und Niederschlagsänderungen in dieser letzten Vorstoßperiode nicht richtig beurteilen, wenn man nur auf die erreichten absoluten Gletscherstände abstellen würde. Diese letztern waren recht bescheiden, verglichen mit den durch die Endmoränen gekennzeichneten Hochständen von 1820 und 1855 (siehe z. B. Rhonegletscher). Es ist aber daran zu erinnern, daß der nach der Brücknerschen Klimaperiode in den Achtzigerjahren zu erwartende Vorstoß nur im Westen der Schweiz und auch dort nur rudimentär auftrat. So folgte der letzte Vorstoß daher auf einen seit 1855 sozusagen ununterbrochenen Rückzug, der einen unerhörten Tiefstand der Gletscher bedingt hat. Sonst hätten die Gletscher diesmal bei gleicher Größe von Temperatur- und Niederschlagsänderung wohl einen größeren Hochstand erreicht. Dies zahlenmäßig nachzuweisen fehlen uns sowohl Angaben über die den früheren Wachstumsperioden vorausgehenden Tiefstände, wie auch Beobachtungen über die Größe der damaligen Schwankung von Temperatur und Niederschlag. Nur soviel ist sicher, die großen Hochstände von 1820 und 1855 folgten nicht auf so extreme Tiefstände, wie ihn die Gletscher am Anfang unseres Jahrhunderts einnahmen. — In Bezug auf die effektive Vergrößerung des Gletscherareals und das Dickenwachstum der Gletscher während des mit 1909 einsetzenden Vorstoßes muß auf einzelne Beispiele in der einschlägigen Fachliteratur verwiesen werden.

Die Prävalenz der Sommertemperaturen über die Niederschlagsmengen für den Stand der Gletscher wird an den nächsten Phasen ihrer Schwankungen nachgeprüft werden können; dabei muß sich immer wieder die Forderung nach verbesserten und vermehrten Niederschlagsmessungen in den Hochregionen erheben. Bestätigt sie sich — woran nach den bisherigen Ergebnissen kaum zu zweifeln ist —, so sind wir berechtigt, daraus einige Rückschlüsse zu ziehen auf die Art und die Größenordnung der Klimaänderungen, welche die diluvialen Eiszeiten bedingt haben.

Zunächst ist festzustellen, daß das, was aus der Untersuchung von Temperatur und Niederschlag während des letzten Gletschervorstoßes abstrahiert werden konnte, nicht in Widerspruch steht mit dem Hauptergebnis, zu welchem A. Penck und E. Brückner („Die Alpen im Eiszeitalter“, Leipzig 1909) gekommen sind. Dieses geht dahin, daß die Eiszeiten nicht durch vermehrte Niederschläge zu erklären sind, sondern in der Hauptsache als Periode einer allgemeinen Temperaturerniedrigung betrachtet werden müssen.

Eine solche bedingt in erster Linie geringere Ablation im Sommer. Sie beeinflusst aber auch die Niederschlagsverhältnisse in der Weise, daß der als Schnee fallende Teil der Jahresmenge mit wachsender Meereshöhe rasch zunimmt. Durch beides wird die Schneegrenze erniedrigt.

Im übrigen sprechen sich Penck und Brückner nicht aus über die Art der postulierten Temperaturerniedrigung. Man tut gut, in bezug darauf einige Ueberlegungen zu machen. Die für die Existenz der Eiszeiten notwendige Verkleinerung der Ablation in den Sommermonaten darf kaum auf eine im Sommer und Winter gleich große Temperaturerniedrigung zurückgeführt werden. Der Meteorologe muß eine solche gleichmäßige Senkung der Jahreskurve der Temperatur a priori als höchst unwahrscheinlich ansehen. Abgesehen davon würde eine solche aber auch eine sehr beträchtliche Temperaturerniedrigung verlangen und überdies tiefe Temperaturen des Winterhalbjahres bedingen. Bei letzteren würden wesentlich weniger Niederschläge fallen, eine Folgerung, auf die man doch lieber verzichten möchte. Nimmt man dagegen in Analogie mit dem, was der letzte Gletschervorstoß andeutete, an, daß in den Eiszeiten gleichzeitig auch die Jahreschwankung der Temperatur kleiner war, so führt eine relativ mäßige Erniedrigung der Jahrestemperatur schon zu sehr tiefen Sommertemperaturen, ohne daß man mit nennenswert tieferen Wintertemperaturen als heute rechnen muß.

Ein Zahlenbeispiel möge das veranschaulichen. Das Jahresmittel des Säntis — ungefähr in der Höhe der dortigen tiefgelegenen Schneegrenze — beträgt heute $-2,3^{\circ}$, das wärmste Monatsmittel (Juli-August) $4,8^{\circ}$, das tiefste Monatsmittel (Februar) $-8,8^{\circ}$.

Rechnen wir mit einer Temperaturerniedrigung von

3 Graden im Jahresmittel und einer gleichzeitigen Abnahme der Jahresamplitude um ein Drittel, so stellt sich das Julimittel auf $-0,5^{\circ}$, das Jahresmittel auf $-5,3^{\circ}$ und das Februarmittel auf $-9,7^{\circ}$.

Um ohne Verkleinerung der Jahresamplitude auf eine gleich niedrige Sommertemperatur zu kommen, müßte die allgemeine Temperaturerniedrigung beinahe das Doppelte ($5,3^{\circ}$) betragen und man erhielte als Februarmittel $-13,3^{\circ}$.

Selbstverständlich sind die hier angenommenen Zahlenbeispiele für die Temperaturunterschiede der Eiszeit gegenüber der Jetztzeit etwas willkürlich und sollen nur dem oben genannten Zweck einer Ueberschlagsrechnung dienen. Dies gilt namentlich vom Verhältnis der Abnahme der Jahresamplitude zu der Senkung des Jahresmittels. Für letztere selbst wurde immerhin ein schon von E. Brückner im Jahre 1890 als wahrscheinlich bezeichneter Betrag eingesetzt.

Gehen auch die Ansichten über die Ursachen der Eiszeiten noch stark auseinander, so ist man sich doch mehr und mehr darüber einig, daß dieselben Faktoren, welche in denselben zu den großen Vereisungen führten, auch den Stand der heutigen Gletscher bestimmen, und daß wir nur aus Beobachtungen über die heutigen Veränderungen der meteorologischen Elemente und deren Wirkungen auf den Gletscherstand zu Schätzungen darüber gelangen, wie groß die Veränderungen dieser Faktoren gewesen sein müssen, welche die Alpengletscher über das schweizerische Mittelland und im Westen sogar über den Jura hinaus anschwellen ließen. Durch Gewinnung von Anhaltspunkten darüber kann vorläufig am meisten dazu beigetragen werden, das Dunkel zu erhellen, das noch über den Ursachen der Eiszeiten liegt.

W. Brückmann, Erdmagnetische Vermessung der Schweiz

Vorwort

Die einzige Darstellung der erdmagnetischen Verhältnisse der Schweiz, die bisher existierte, beruhte auf den Beobachtungen, die der Physiker *A. Battelli* aus Padua zu Ende der Achtzigerjahre des vergangenen Jahrhunderts angestellt hatte. Seine Karten konnten aber den erforderlichen Genauigkeitsansprüchen insofern nicht genügen, als dem Forscher kein Variationsobservatorium zur Verfügung stand, das ihm ermöglicht hätte, seine Beobachtungen von den beständigen periodischen und unperiodischen Schwankungen des Erdmagnetismus zu befreien, die groß genug sind, das Bild der Verteilung der Elemente über ein Land hin zu entstellen, wenn man sie nicht berücksichtigt.

Eine genaue magnetische Aufnahme des Landes blieb so ein altes und wichtiges Postulat der Schweizer Naturforschung, und es ist eine glückliche Fügung, daß es jetzt endlich, unter Mithilfe der Eidg. Meteorologischen und der Schweizer. Geodätischen Kommission, gelungen ist, an die Verwirklichung zu gehen.

Bereits im Jahre 1912 legte Herr Dr. *W. Brückmann* dem Zentralkomitee der Schweizer. Naturforschenden Gesellschaft ein Gesuch vor um Unterstützung einer von ihm beabsichtigten magnetischen Landesaufnahme. Der Unterzeichnete hat dies Gesuch damals warm befürwortet. Infolge des baldigen Kriegsausbruches kam es leider nicht zur Ausführung. Umso mehr ist es zu begrüßen, daß durch die unablässigen Bemühungen von Herrn Dr. *Brückmann* die Angelegenheit neuerdings in Fluß gekommen ist. Mit Rücksicht auf die verfügbaren Mittel, die jeweils verfügbare Zeit und auf den Umstand, daß die anstrengenden subtilen magnetischen Feldmessungen von *einem* Beobachter allein zur Durchführung gelangten, wurde die Aufnahme auf mehrere Sommer verteilt. Die so mit Energie und mit höchster Sorgfalt gewonnenen Resultate gelangen nunmehr zur Veröffentlichung, in vorstehender Arbeit zunächst diejenigen der Deklinationsbestimmungen.

J. Maurer.

Erdmagnetische Vermessung der Schweiz

I. Allgemeines - Deklination

von

W. Brückmann

Einleitung

Später als andere Länder kommt die Schweiz zur Ausführung ihrer erdmagnetischen Aufgaben und Pläne, obgleich diese schon in den Neunzigerjahren des vergangenen Jahrhunderts — in der Periode der großen magnetischen Landesaufnahmen der Nachbarländer — unmittelbar vor ihrer Verwirklichung standen. Schon damals ist in den schweizerischen naturforschenden Kreisen die Mitarbeit auf diesem Forschungsgebiet lebhaft angestrebt worden. Vor allem wurde die Vornahme einer *Landesvermessung* — zur Feststellung der Richtung der Kompaßnadel und der Intensität der wirksamen magnetischen Kraft in allen Teilen des Landes — im Anschluß an diejenigen der andern europäischen Staaten als ein dringendes Bedürfnis erkannt, umso mehr, da die Eigenart der Natur unseres Landes, als eines Gebirgslandes mit unregelmäßigster Gestaltung und Schichtung der Erdrinde auch besondere, anomale magnetische Verhältnisse erwarten ließ.

Die jährlich erscheinenden «Procès-verbaux» der Geodätischen Kommission der Schweizer Naturforschenden Gesellschaft sowie die handschriftlich vorliegenden Berichte und Korrespondenzen aus dem Schoß der Eidg. Meteorologischen Kommission geben ein deutliches und ein lehrreiches Bild von der Entwicklung und dem schließlichen Schicksal der damaligen Bestrebungen; im folgenden mag eine kurze zusammenfassende Uebersicht davon gegeben werden.*)

Im Jahre 1891 hatte die Geodätische Kommission beschlossen, ihrem Ingenieur ein «Gebirgsmagnetometer» von O. E. Meyer mitzugeben — im Prinzip ein *horizontal* gelagertes Kohlrausch'sches Lokalvariometer, das der Bestimmung der Inklination und relativer Werte der Totalintensität diene —, mit dem er auf seinen astronomisch-geodätischen Stationen

nach Möglichkeit messen sollte. Es kam in der Folge auch zu einer Anzahl Bestimmungen dieser Art, deren Ergebnisse aber nicht genügen konnten.

Gleichzeitig hatte sich auch die Eidg. Meteorologische Kommission mit der Frage der Beteiligung der Schweiz an der erdmagnetischen Forschung befaßt und dabei eine systematische Landesaufnahme und die Errichtung eines ständigen magnetischen Observatoriums ins Auge gefaßt. In ihrem Auftrag hatte Direktor *Billwiler* von der Schweizer. Meteorologischen Zentralanstalt die Einrichtungen der magnetischen Observatorien in Kopenhagen und Potsdam studiert. Der Gedanke, in nächster Umgebung des Eidg. Physikgebäudes in Zürich, in das die Meteorologische Zentralanstalt damals eingezogen war, ein einfaches Variationshaus aus Holz zu errichten, mußte infolge der Anlage elektrischer Straßenbahnen in der Nähe rasch wieder aufgegeben werden und für die Anforderung reichlicher Geldmittel, wie sie die Schöpfung eines Observatoriums größeren Stils verlangt hätte, schien der Zeitpunkt nicht günstig zu sein.

Zur Zusammenarbeit beider Kommissionen in dieser Angelegenheit kam es im Jahre 1895. Prof. *Riggenbach* hatte damals der Geodätischen Kommission auf deren Wunsch einen eingehenden Bericht vorgelegt, in dem die Anforderungen einer ordnungsmäßigen magnetischen Vermessung der Schweiz bezüglich des Instrumentariums, der Dichte des Stationsnetzes usw. ausgearbeitet waren. Einer Vermessung erster Ordnung mit 26 Stationen von 40 km mittlerem Abstand sollte eine zweite Ordnung folgen mit 143 Stationen von 17 km und eventuell noch eine dritte Ordnung mit 244 Stationen von 13 km mittlerem Abstand. In der Zahl der 143 Stationen zweiter Ordnung sollten die 26 der ersten nochmals inbegriffen sein, und ebenso wären bei der dritten Vermes-

*) Vgl. auch *A. Riggenbach* in Procès-verbal de la 59me séance de la Commission Géodésique Suisse, tenue à Genève le 14 juin 1913.

sung die 169 Punkte der beiden ersten nochmals zu besetzen gewesen. In einem gemeinschaftlich bestellten Ausschuß, dem von geodätischer Seite die Professoren *Hirsch* und *Riggenbach*, von meteorologischer Prof. *Ch. Dufour* und Direktor *Billwiller* angehörten, kam es zu Vereinbarungen, die bestimmte Anträge an die Schweizer. Naturforschende Gesellschaft zeitigten. Diese Anträge wurden an der in Zermatt tagenden Jahresversammlung 1895 dieser Gesellschaft von den Herren *Ch. Dufour* und *Riggenbach* vorgebracht, und die Versammlung beschloß darauf, den eidgenössischen Behörden die Ermöglichung der magnetischen Aufnahme der Schweiz durch Gewährung einer einmaligen Summe und einer während sechs Jahren laufenden Subvention zu empfehlen. Die Bundesbehörden entsprachen dann auch, auf die sachgemäße Befürwortung durch den Präsidenten der Geodätischen Kommission, Prof. *Hirsch*, und den Zentralpräsidenten der Schweizer. Naturforschenden Gesellschaft, Prof. *F. A. Forel*, diesem Antrag.

Es war im Plan der Kommissionen nur die Frage noch offen geblieben — vor allem mit Rücksicht auf die Kosten —, ob zur Reduktion der Feldmessungen die vorherige Einrichtung eines eigenen Variationsobservatoriums unbedingt erforderlich sei, oder ob man sich dabei etwa mit den Aufzeichnungen schon bestehender ausländischer, also vom Vermessungsgebiet weiter entfernter Observatorien begnügen könnte. Die Tatsache, daß die erfahrenen holländischen Erdmagnetiker *van Rijckevorsel* und *van Bemelen*, die im Sommer 1895 an einer Anzahl von Punkten der Innerschweiz gemessen hatten, sich zur Reduktion der Aufzeichnungen von Paris, Potsdam, Perpignan und Pola bedienten, schien die letztere Auffassung zu stützen, man war aber mit Recht im Zweifel darüber, ob für eine reguläre Aufnahme der ganzen Schweiz dieses Vorgehen genügen könnte, zumal als noch bekannt wurde, daß die Absicht, in einem Nachbarstaat, und zwar in verhältnismäßiger Nähe unseres Landes, ein neues Observatorium zu errichten, das besser als die bisherigen die Aufnahme der Schweiz hätte unterstützen können, aufgegeben worden sei.

Die ganze Angelegenheit erfuhr eine unerwartete Entwicklung als anfangs 1896 Prof. *Heinrich Wild*, der bisherige Direktor des großen russischen Zentralobservatoriums zu Pawlowsk bei Petersburg in seine Schweizer Heimat zurückkehrte. Es war das Gegebene, ihn, eine Autorität auf dem Gebiet des Erdmagnetismus, um ein Gutachten in der magnetischen Sache der Schweiz zu ersuchen. In seinem der Geodätischen Kommission zugestellten Bericht, wie auch vor der Subkommission der Eidg. Meteorologischen Kommission, erklärte *Wild* es nicht nur für unerlässlich, daß vor Inangriffnahme der Vermessung eine eigene Variationseinrichtung im Lande geschaffen

werde, sondern er forderte gleich — wohl noch zu sehr an die großen russischen Dimensionen gewöhnt, in denen seine organisatorischen und wissenschaftlichen Fähigkeiten sich so erfolgreich hatten betätigen können — eine große Observatoriumsanlage, die ein magnetisches Variationshaus, ein Gebäude für die absoluten Messungen und noch ein Wohngebäude für das wissenschaftliche und das Hilfspersonal umfassen sollte. Das «absolute» Observatorium war als 15 m langes, 5 m breites Stein- oder Holzhaus gedacht mit 3 Instrumentenpfeilern, rings umlaufendem Korridor (als Wärmeschutz) und angebautem Pavillon für astronomische Bestimmungen. Für das aus Stein zu bauende (oberirdische) Variationsgebäude—20 m lang und 8 m breit — sah der Plan im wesentlichen zwei durch einen Korridor von einander getrennte Räume vor, beide mit Vorrichtungen zur Konstanthaltung oder willkürlichen Variierung der Temperatur versehen und jedes für die Aufnahme eines Satzes von Variometern bestimmt, eines solchen für photographische Registrierung und eines für Ablesung. Das Wohnhaus aber wollte *Wild* zudem so ausgebaut wissen, daß es als *meteorologisches Observatorium erster Ordnung* dienen konnte. Die ganze magnetisch-meteorologische Anlage war als Filiale der Meteorologischen Zentralanstalt in Zürich gedacht.

Für die magnetische Landesaufnahme plante *Wild* 160 Stationen mit einem mittleren gegenseitigen Abstand von ca. 16 km, und für jede Station drei von einander unabhängige Bestimmungen der drei magnetischen Elemente. Für jede einzelne Station war, um der Ungunst der Witterung und anderen Hindernissen Rücksicht zu tragen, eine Woche Zeit angesetzt! Eine transportable Hütte sollte die Feldarbeit erleichtern.

Dieser großangelegte Plan überschritt nicht nur in sachlicher Beziehung das, was man bisher beabsichtigt hatte, sondern er ging namentlich auch weit über die finanziellen Grenzen hinaus, in denen man geglaubt hatte sich halten zu müssen, um die Teilnahme der Schweiz an der erdmagnetischen Forschung zu erreichen. Die berechtigte Befürchtung, daß auf solche Weise schon die Landesaufnahme allein gefährdet werde, um deren Zustandekommen man sich nun seit Jahren bemühte, war namentlich innerhalb der Geodätischen Kommission lebhaft, deren damaliger Präsident, Prof. *Hirsch*, in der Jahresversammlung von 1897 darlegte, wie gering die Aussichten seien, die notwendigen großen Mittel für den *Wild'schen* Plan aufzubringen. Die Professoren *Hirsch*, *Gautier* und *Riggenbach*, mit dem weiteren Studium einer Lösung dieses mühevollen magnetischen Problems beauftragt, wandten sich jetzt durch den letztgenannten an die Direktionen der Observatorien in Paris, Potsdam, München und Lyon, um nun doch festzustellen, ob gegebenenfalls die zur Reduktion der Feldbeobachtungen nötigen Daten von ihnen er-

halten werden könnten. Alle diese Stellen sicherten die bestmögliche Hilfe zu. Prof. *Riggenbach* hatte übrigens vor seiner Kommission auch den Vorschlag einer *temporären*, nur für die Dauer der Aufnahme bestehenden Station für Variationsbeobachtungen gemacht.

Im Frühjahr 1898 ist es dann auf Vorschlag der Geodätischen Kommission zur Bildung einer besonderen *magnetischen Fachkommission* gekommen, die der Chef des Eidg. Departementes des Innern folgendermaßen zusammensetzte: die Professoren *H. Wild*, der den Vorsitz erhielt, *H. F. Weber* und *H. Dufour* als Vertreter der Eidg. Meteorologischen Kommission, *A. Riggenbach* und *R. Gautier* als Vertreter der Geodätischen Kommission und Direktor *R. Billwiler*, der zum Sekretär bestimmt war.

Für die Beratungen dieser Fachkommission hatte der Präsident *Wild*, gemeinsam mit dem Vizepräsidenten der Eidg. Meteorologischen Kommission, Prof. *Hagenbach*, ein Arbeitsprogramm aufgestellt, das in der Hauptsache in der Durchbesprechung eines neuen, noch umfassenderen und kostspieligeren Projektes bestand, desjenigen eines schweizerischen *meteorologisch-magnetisch-seismologischen Zentralobservatoriums* großen Stiles. Ein Hauptgebäude mit angebautem 35—40 m hohem Turm sollte das meteorologische Observatorium und die nötigen physikalischen, chemischen und photographischen Arbeitsräume, ferner Werkstätte, Bibliothek, Bureaux sowie Wohnungen für die Beamten enthalten. Für ein zweites, eisenfrei zu bauendes Haus waren die Dimensionen so gewählt, daß es außer den Räumen für zwei Sätze magnetischer Variometer auch die für die absoluten Messungen und zudem noch für den Seismographen umfaßte. Erst nach dem Ausbau dieser großen Anlage und ihrer Inbetriebnahme sollte die magnetische Landesaufnahme, im wesentlichen dem im Wild'schen Gutachten entwickelten Plan entsprechend, in Angriff genommen werden.

In der Fachkommission blieb die Diskussion nicht auf den Inhalt dieses Planes beschränkt, sondern wurde auch auf die Frage ausgedehnt, ob es zweckmäßig sei, die vor allen Dingen anzustrebende magnetische Aufnahme der Schweiz von einem so großen Projekt abhängig zu machen.

In ihrer dritten Sitzung — es war zugleich die letzte — am 11. Dezember 1898, stellte dann die Fachkommission von neuem einstimmig das dringende Bedürfnis der Landesaufnahme in den Vordergrund und anerkannte dabei die Notwendigkeit der vorgängigen Erstellung eines Variationsobservatoriums. Zu den Fragen, die aus dem Projekt der Vereinigung des magnetischen mit einem meteorologischen und seismologischen Observatorium entstanden waren, sollte der Eidg. Meteorologischen Kommission selbst

nochmals Gelegenheit gegeben werden, Stellung zu nehmen. Bevor es hiezu kam, erklärten aber die Bundesbehörden die finanzielle Unterstützung aller derartiger Unternehmungen für zurzeit ausgeschlossen, und damit war die Aussicht für die Beteiligung der Schweiz an der erdmagnetischen Forschung — selbst nur im Umfang einer Landesvermessung — für lange Zeit geschwunden.

Es wurde dann später noch zweimal versucht, eine magnetische Aufnahme unseres Landes zu erreichen. Der Jahresversammlung 1912 der Schweizerischen Naturforschenden Gesellschaft in Altdorf legte *W. Brückmann* den Antrag auf finanzielle Unterstützung einer engmaschigen magnetischen Vermessung der Schweiz vor, bei der auch eine größere Anzahl von Hochgipfeln besetzt und damit Einfluß des Gesteins und Einfluß der Höhe auf die Größe der magnetischen Elemente untersucht werden sollte. Ein Vorversuch, der namentlich zu erweisen hatte, ob sich die subtilen, Zeit und Ruhe erfordernden magnetischen Messungen auch unter den schwierigen äußeren Umständen im Hochgebirge mit gleicher Genauigkeit wie im Flachland werden durchführen lassen und daher auch die geringe Aenderung der magnetischen Kraft mit der Höhe aus Bergbeobachtungen abgeleitet werden könne, war vom Antragsteller im Sommer 1909, nach Einrichtung einer temporären magnetischen Variationsstation in Grindelwald, auf einer Anzahl von Gipfeln und an zugehörigen Talstationen im Berner Oberland mit befriedigendem Resultat vorgenommen worden.¹⁾ Der Vorschlag vom Jahre 1912 ging an die Geodätische Kommission, auf deren Wunsch dann der Antragsteller einen detaillierten Plan ausarbeitete. Zur Ausführung dieses Planes ist es dann aber wiederum nicht gekommen.

Ein anderer, während der Kriegszeit unternommener Versuch, zu dem der Direktor des Bureau Centrale Météorologique de France, Herr Prof. *Angot*, bereitwilligst einen magnetischen Theodolit zur Verfügung stellte, führte gleichfalls nicht zum Ziele.

* * *

Wenn jetzt in neuester Zeit wieder daran gedacht werden konnte, an die magnetische Aufnahme unseres Landes heranzutreten und damit den «weißen Fleck» zu beseitigen, den die magnetische Karte Europas im Gebiet der Schweiz bisher zeigte, so ist dies neben dem Interesse und der Unterstützung seitens der wissenschaftlichen und der leitenden Stellen des Landes — des Eidg. Departements des Innern, der Eidg. Meteorologischen Kommission, der Schweizer. Geodäti-

¹⁾ *W. Brückmann*, Beobachtungen in den Schweizer Hochalpen über die Aenderung der erdmagnetischen Kraft mit der Höhe. Abh. d. Preuß. Meteorol. Inst., 1913.

schen Kommission und der Direktion der Schweizer Meteorologischen Zentralanstalt --- in wesentlicher Weise dem Umstand zu danken, daß dabei in der Frage der Instrumentenbeschaffung eine einfache Lösung möglich war, indem uns die nötigen Apparate, im Interesse der Sache, aus den Nachbarländern leihweise zur Verfügung gestellt wurden. Herr Prof. Ad. Schmidt, der Direktor des Magnetischen Observatoriums in Potsdam überließ uns den vielfach bewährten Feldtheodolit Hechelmann Nr. 2003 des Observatoriums, Herr Prof. Maurain, der Direktor des Institut de Physique du Globe in Paris ein ebenfalls vorzügliches Nadelinklinatorium Brunner und Herr Prof. Wilski, der Leiter des Markscheideinstituts und der Erdbebenwarte der Technischen Hochschule in Aachen einen Satz Variometer mit photographischem Registrierapparat. Aufrichtigsten Dank gebührt es auch an dieser Stelle den genannten Gelehrten zu sagen, die durch ihre Unterstützung die Schwierigkeiten zu überwinden geholfen haben, die den magnetischen Aufgaben bei uns bisher entgegenstanden.

Da es zudem auch gelang, eine schon bestehende geeignete Räumlichkeit zur Aufnahme der Variometer zu finden, so daß der Bau eines besonderen Observatoriums dafür nicht erforderlich war, so hat dieser Anfang der erdmagnetischen Tätigkeit bei uns relativ geringe finanzielle Forderungen nötig gemacht.

Weiterer Dank ist hier auch noch der durch ihre Präzisionsuhren weltbekannten Firma *Ulysse Nardin* in Le Locle zu spenden, die uns für die erste allgemeine Vermessung kostenlos einen «Chronographe rattrapante», ein Chronometer mit zwei springenden Zeigern, überließ, der sich vorzüglich bewährt hat, und von dem weiterhin noch die Rede sein wird.

* * *

Es mag an dieser Stelle noch in einem kurzen Ueberblick gezeigt werden, was von gelegentlichen magnetischen Beobachtungen oder sonstiger Betätigung auf dem Gebiet des Erdmagnetismus in der Schweiz aus älterer und neuerer Zeit bekannt ist. Ein Verzeichnis der Titel der diesbezüglichen Publikationen oder Handschriften hat Herr Direktor *J. Maurer* zusammengestellt und veröffentlicht.²⁾

Die früheste bekannte Feststellung der magnetischen Deklination in der Schweiz ist wohl die des Jahres 1531, die aus Basel stammt. Aus dem 18. Jahrhundert liegen zeitlich weit getrennte Angaben, hauptsächlich solche der Deklination (vereinzelt auch der Inklination), vor allem wieder aus Basel, vor, außerdem auch einige wenige aus Zürich und Genf. Im Laufe des 19. Jahrhunderts

sind dann einzelne magnetische Bestimmungen da und dort, auch solche der Intensität, bei Anlaß von Reisen im Lande häufiger geworden. Auf *Humboldt* und *Gay-Lussac* folgten in den Zwanzigerjahren *Keilhau*, *Böck*, *Abel*, ferner *Delarive* und *Gautier*, im nächsten Jahrzehnt *Quetelet*, *Forbes*, *Bache*, *Fox*, 1844 *Bravais* und *Martins*, später noch *Kämtz* und *Marié-Davy*. Zwischen 1820 und 1827 wurde auch in St. Gallen durch *D. Mayer* die Abweichung der Magnetnadel von der wahren Nordrichtung mehrfach bestimmt.

Eine erste längere Reihe *regelmäßiger* Deklinationsmessungen entstand in Genf, wo sich *E. Plantamour* 1842 zunächst an den Terminbeobachtungen des von *Gauß* und *Wilh. Weber* gegründeten «Magnetischen Vereins» ein Jahr hindurch beteiligte, um darauf weiter bis 1852 täglich zwischen 8 und 21 Uhr Ablesungen des Deklinatoriums vornehmen zu lassen.

Exakte absolute Bestimmungen aller drei magnetischen Elemente führten *W. Sidler* und *H. Wild* in den Jahren 1859—1862 in Bern aus, während *F. BURNIER* zwischen 1851 und 1864 einzelne D-Beobachtungen in Morges vornahm.

In den Jahren 1888—1892 nahm dann Prof. *A. Battelli* aus Padua an einer größeren Zahl über die Schweiz hin verteilter Punkte Messungen von Deklination, Horizontalintensität und Inklination vor.³⁾ Doch haftete seinen Ergebnissen der Mangel an, daß keine Aufzeichnungen der Variationen zur Verfügung standen, so daß der Forscher weder die während seiner Messungen erfolgten Veränderungen der magnetischen Elemente berücksichtigen, noch eine Reduktion der Werte auf gemeinsame Epoche vornehmen konnte. *Battelli* machte auch einen Versuch zur Ermittlung der Säkularvariation in der Schweiz.⁴⁾

Die Beobachtungen der holländischen Gelehrten *E. van Rijkevorsel* und *W. van Bemmelen* zwischen 1895 und 1897 in der Innerschweiz, namentlich am Rigi, zur Untersuchung der Aenderung der erdmagnetischen Kraft mit der Höhe wurden oben schon erwähnt, ebenso die von *W. Brückmann* 1909 im Berner Oberland angestellten.

Von magnetischer Betätigung in neuer Zeit sind häufige Bestimmungen der Deklination mittelst Peilkompasses zu nennen, die Prof. *P.-L. Mercanton* auf zahlreichen geophysikalischen Exkursionen in den Alpen ausgeführt hat. Auch die Untersuchungen desselben Forschers über die Magnetisierung gebrannter Tone aus sehr frühen Epochen unseres Landes, aus denen sich Schlüsse über die Aenderung des Erdmagnetismus seit jenen Zeiten ziehen lassen, seien hier erwähnt.

²⁾ *J. Maurer*: Unsere erdmagnet. Verhältnisse im Spiegel ihrer Literatur. Beibl. z. d. Neuen Denkschr. d. Schweiz. Naturf. Ges. I, 1, 1907; und Fasz. IV 4 der „Bibliogr. d. schweiz. Landeskunde“, 1927.

³⁾ *Annali dell'Ufficio centrale Meteor. e Geodin. Italiano*. XI, 1889 u. XIV, 1892.

⁴⁾ *Archives des sciences phys. et nat.*, Genève, 1892.

Ferner hat Direktor *J. Maurer*, der seinerzeit, im Jahre 1884, auf dem Säntis Versuche anstellte, den Einfluß der Höhe auf die täglichen Variationen der magnetischen Deklination zu bestimmen⁵⁾, neuerdings die aus dem Zeitraum 1700—1900 vorliegenden Werte der Deklination und der Inklination verschiedener Orte Europas benutzt, um einen eventuellen Einfluß des Alpenmassivs auf die säkulare Variation festzustellen. Ein solcher Einfluß der mächtigen alpinen Massenerhebung wird ohne Zweifel bestehen, in *Maurers* Kurven schien er sich besonders in der Zeit des Maximums der westlichen Deklination in

Europa um 1800 durch raschere Aenderung der Werte von Jahr zu Jahr in der Schweiz gegenüber den weiter von den Alpen entfernten Gegenden anzudeuten.⁶⁾

Schließlich hat Prof. *Wolfer*, den die Sonnenfleckenforschung in Berührung mit der erdmagnetischen Wissenschaft brachte, für einen neu beschafften transportablen Theodolit Sartorius auf dem Gelände der Eidg. Sternwarte in Zürich einen eisenfreien Pavillon aufstellen lassen und zu gelegentlichen Messungen der Deklination benutzt.

Ausführung der magnetischen Vermessung

Nachdem die Ausführung der magnetischen Landesaufnahme beschlossen und die Eidg. Meteorologische Kommission mit der Geodätischen Kommission die finanziellen Mittel dafür zur Verfügung gestellt hatte, wurde der Plan in dem Sinne festgelegt, daß — nach Einrichtung einer magnetischen Variationsstation — im Sommer 1927 zunächst eine Vermessung 1. Ordnung mit rund 40 km gegenseitigem Abstand und annähernd gleichmäßiger Verteilung der Stationen erfolgen sollte, um vorerst den allgemeinen Verlauf der isomagnetischen Linien im Lande in großen Zügen zu erhalten. Detailvermessungen sollten sich dann in weiteren Jahren nach Möglichkeit anschließen. Für jede der Feldstationen wurde in üblicher Weise die Bestimmung der drei Elemente, der Deklination (D), der Horizontalintensität (H) und der Inklination (I) in Aussicht genommen, und zwar für die Horizontalintensität neben der Bestimmung der Größe des Ablenkungswinkels auch die der Schwingungsdauer, um von den Aenderungen des Momentes der Magnete auf der Reise unabhängiger zu sein.

Da Variometer mit photographischer Registrierung zur Verfügung standen, ließ sich die Reduktion der Beobachtungen durch Einrichtung und Betrieb eines Hilfsobservatoriums im Lande selbst bewerkstelligen.

Als Beobachtungspunkte wurden solche der Landestriangulation gewählt, da sie ermöglichten, bei der Bestimmung von D die wahre Nordrichtung durch Anvisierung von Miren zu erhalten. Denn mit Rücksicht auf die für die Kampagne jeweilen zur Verfügung stehende Zeit konnte auf die Sichtbarkeit der Sonne zur Vornahme astronomischer Azimutbestimmungen an den Stationen nicht abgestellt werden.

Das Aussuchen geeigneter Triangulationspunkte vor jeder Reise konnte gemeinsam mit der *Sektion für Geodäsie der Eidg. Landestopographie* in Bern getroffen werden, deren Leiter, Herr Chefingenieur

Zölly, die Erfahrungen und die Mittel seiner Abteilung dafür jederzeit in bereitwilligster Weise zur Verfügung stellte. Seine und seiner Abteilung tatkräftige Unterstützung verdient unseren besonderen Dank. Von allen ausgewählten Punkten gab die Sektion für Geodäsie Kopien der Lageskizzen sowie alle zur Auffindung und Benutzung des Steines sowie zur späteren Azimutberechnung erforderlichen Daten mit.

Variationsstation. Da der Bau eines besonderen eisenfreien Hauses in ungestörter Umgebung für die Aufnahme der empfindlichen Variometer nicht in Frage kam, war zunächst die nicht einfache Aufgabe zu lösen, eine schon bestehende und disponible Räumlichkeit zu finden, die den Anforderungen genüge, die man für diesen Zweck an sie stellen mußte. Außer möglicher Freiheit des Gebäudes und seiner Umgebung von Eisen, insbesondere von *beweglichem*, war noch die Nähe belebter Straßen unerwünscht wegen der Erschütterungen sowohl, wie namentlich auch wegen der magnetischen Wirkung, die heutzutage von den Kraftfahrzeugen ausgeht. War demnach eine gewisse Abgelegenheit des Variationshauses erforderlich, so verbot andererseits die Notwendigkeit der täglichen Bedienung der Registrierinstrumente und der Ueberwachung eine zu große Entfernung von Wohnstätten.

Weiterhin erschwerte die Aufgabe die bekannte Forderung eines genügenden Abstandes der Variometerstation von elektrischen Gleichstrombahnen mit Rückleitung des Stromes durch die Schienen, bzw. den von ihnen ausgehenden vagabundierenden Strömen, während hingegen die mit Einphasenstrom betriebenen Hauptbahnen der Schweiz keine gleiche Rücksichtnahme verlangten, ebenso wenig wie die — gelegentlich deshalb verdächtigten — Starkstromleitungen, die das Land durchziehen.

Schließlich wurde in *Regensberg*, das zirka 20 km nordwestlich von Zürich auf dem schmalen Ausläufer der *Lägern*, der letzten und am weitesten ins schweizerische Mittelland vorstoßenden Jurakette, liegt, im

⁵⁾ Zeitschr. f. Meteor. XX, 1885, S. 180; Arch. des sc. phys. et nat. Genève, 1885.

⁶⁾ Meteor. Zeitschr. 48, 1913, S. 407.

sogen. «Kanonenhäuschen» ein den Bedingungen in genügender Weise entsprechender Registrierraum gefunden. Das «Kanonenhäuschen» steht außerhalb des ursprünglichen Osttores des burgartig angelegten Städtchens, wo das Gelände rasch gegen die breite Niederung des Zürcher Unterlandes abfällt und daher die Straße, und mit ihr der ohnehin geringe Fahrverkehr, bereits aufgehört hat. Fig. 1 der Tafel zeigt die Ansicht des Gebäudes.

Das Häuschen, im Jahre 1805 von der Kantonsregierung zu Alarmzwecken bei Brandausbrüchen in der näheren oder weiteren Umgebung erbaut, ist fast genau nach den Haupthimmelsrichtungen orientiert und besteht ausschließlich aus Stein- und Holzwerk, Eisen ist mit Ausnahme der Nägel und Beschläge an der Türe und den Fensterläden nicht verwendet. Es umfaßt nur *einen* Raum, zu ebener Erde, in den man aus dem Freien unmittelbar eintritt. Der Fußboden ist mit Kopfsteinen gepflastertes Erdreich, eine Unterkellerung besteht nicht. Dagegen schließt eine einfache Bretterdecke den Raum gegen den Dachgiebel hin ab. Der Grundriß des Innenraumes mißt 5,2 mal 4,7 m, die Höhe vom Fußboden bis zur Holzdecke 2 m; die Steinwände haben $\frac{1}{2}$ m Dicke, die drei quadratischen Fensteröffnungen besitzen rund $\frac{1}{2}$ m Seitenlänge.

Die geographischen Koordinaten sind angenähert:

$$\varphi = 47^{\circ} 29' 2'' \quad \lambda = 8^{\circ} 26' 32'' \quad h = 605 \text{ m.}$$

Der Untergrund ist Jurakalk.

Das «Kanonenhäuschen» konnte von der Gemeinde Regensberg gegen einen bescheidenen jährlichen Betrag gemietet werden. Nachdem es die seinem neuen Zwecke entsprechende Einrichtung erhalten hatte, wurde für die Beaufsichtigung und regelmäßige Besorgung der Instrumente Herr *Joh. Merki*, vor dessen Anwesen das Häuschen liegt, gewonnen, der sich dieser Aufgabe seither in gewissenhaftester Weise angenommen hat.

In der Nähe, im *Merki'schen* Garten, fand sich auch ein genügend ungestörter Platz für die *absoluten Messungen*, weshalb wir hier einen trigonometrischen Stein setzen und an das Katasternetz anschließen ließen.

Das wenige Eisen, das sich im «Kanonenhäuschen» fand, wurde so weit wie möglich beseitigt und wo nötig durch Messing ersetzt. Ferner erhielten die Fensteröffnungen Doppelläden mit Heukissen dazwischen und damit einen lichtdichten Verschluss und besseren Schutz gegen die Temperaturschwankungen. Auf der Innenseite der Türe ist ein kleiner, bis zur Decke reichender Vorraum aus zusammengefügteten Brettern und mit einem dichten Filzvorhang auf der einen Schmalseite eingebaut worden, so daß auch von hier beim Öffnen der Türe kein Licht eindringt. Der Eingang erhielt ferner noch eine einfache Außen-

türe zur Erhöhung des Schutzes gegen Wind und Niederschläge. Im Winter 1927/28 haben wir dann den Fußboden mit einer Schicht Torfmehl und einem Bretterboden bedeckt, um die Auskühlung des Raumes zu vermindern. Zum gleichen Zweck hatte schon der Boden des Dachraumes eine dicke Lage von Laub und Streu, und das zu ihm führende Fenster ebenfalls einen doppelten Holzladen als Verschluss bekommen.

Zur Aufstellung der Instrumente sind zwei kräftige, von der Lägersteinbruch-Gesellschaft in Dielsdorf hergestellte Kunststeinbänke aus Jurakalk in den festen Fußboden einzementiert worden (Tafel, Fig. 2), eine größere, von 180 cm Länge und 40 cm Breite, die parallel mit der Ostwand und zirka 1 m von ihr entfernt verläuft, und eine stabile, erschütterungsfreie Unterlage für die Variometer darstellt. Ihre Oberfläche liegt etwa 60 cm über dem ursprünglichen Boden des Raumes; der eingebaute Holzfußboden stößt nicht unmittelbar an ihre drei massiven Steinfüße, die schmalen Zwischenräume zwischen beiden sind durch Filz ausgefüllt. Die zweite, kleinere Bank von gleicher Beschaffenheit und Fundamentierung, vor dem Nordende der Variometerbank aufgestellt, dient als Träger für Registrierapparat und Registrierlampe. Ein allseitig freier Umgang von etwa 1 m Breite sichert genügende Bewegungsfreiheit bei der täglichen Bedienung des Registrierapparates.

Die Feuchtigkeit, die namentlich *unterirdischen* Variationsobservatorien vielfach zu schaffen gibt, spielt, wie der jetzt mehrjährige Betrieb gezeigt hat, im «Kanonenhäuschen» zu keiner Jahreszeit eine Rolle, was als ein großer Vorzug des Raumes für unsere Zwecke anzusehen ist. Hinsichtlich der Temperatur ist festzustellen, daß infolge der vorgenommenen Abdichtungen am Gebäude und der Aufstellung eines weiterhin noch zu beschreibenden Korkumbaues um die Variometerbank nur noch ein jährlicher, nicht aber ein täglicher Gang mehr besteht. Im Winter ist auch mit befriedigendem Erfolg die Heizung des Raumes durch einen Petroleumofen vorgenommen worden.

Variationsinstrumentarium. Es besteht aus einem Satz Variometer für photographische Aufzeichnung: je einem Unifilar für Deklination und Horizontalintensität und einer Lloydschen Wage für die Vertikalintensität. Alle diese Instrumente, wie der zugehörige Registrierapparat, sind von der Firma *Toepfer* in Potsdam nach den Angaben von *Eschenhagen* gebaut und stellen noch die ältesten, einfachsten Typen ihrer Art dar. Die Einrichtung dieser Instrumente ist dem Erdmagnetiker geläufig; im Interesse anderer Leser möge hier das nötigste darüber ausgeführt werden.

Das Registrierprinzip ist das aller solcher photo-



Fig. 1. Variationshäuschen in Regensberg

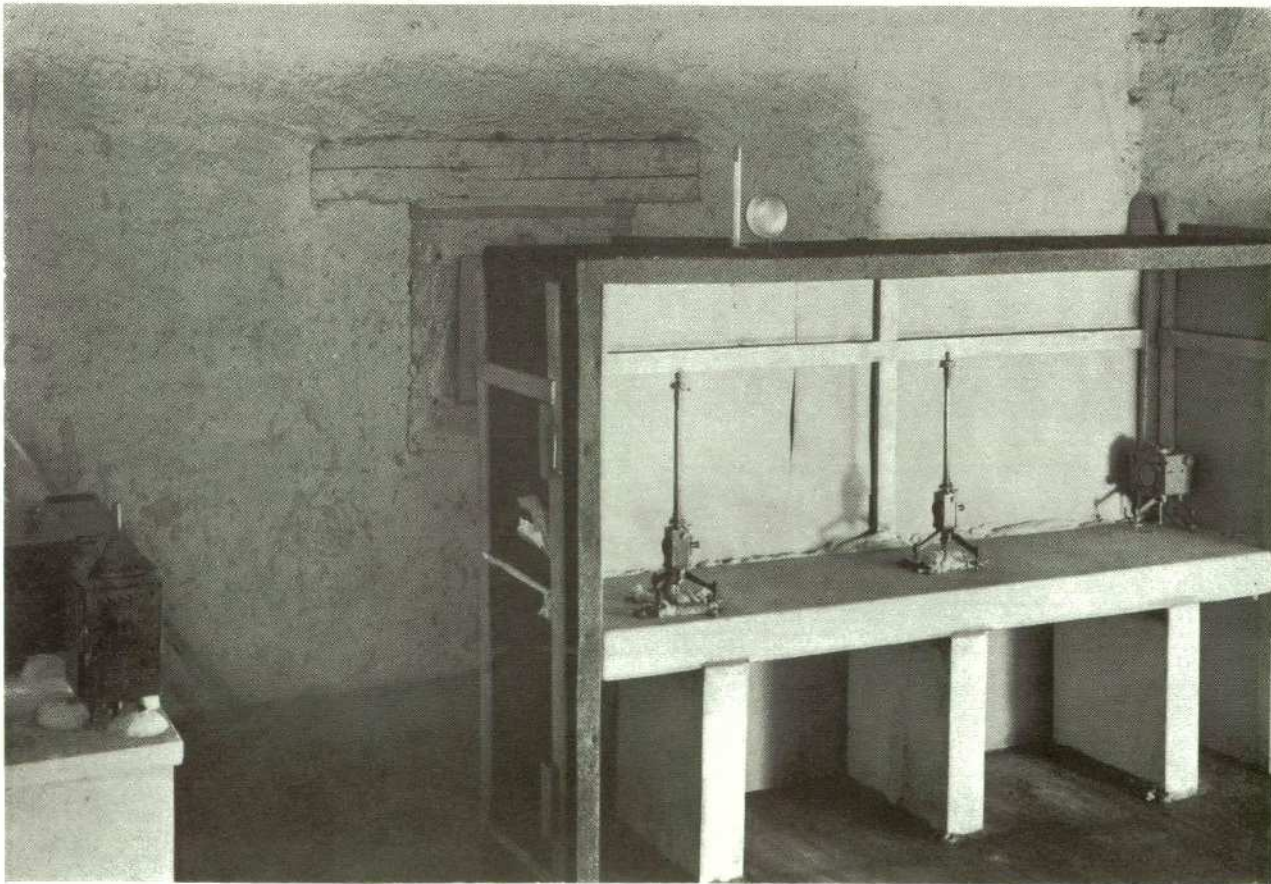


Fig. 2. Variometereinrichtung

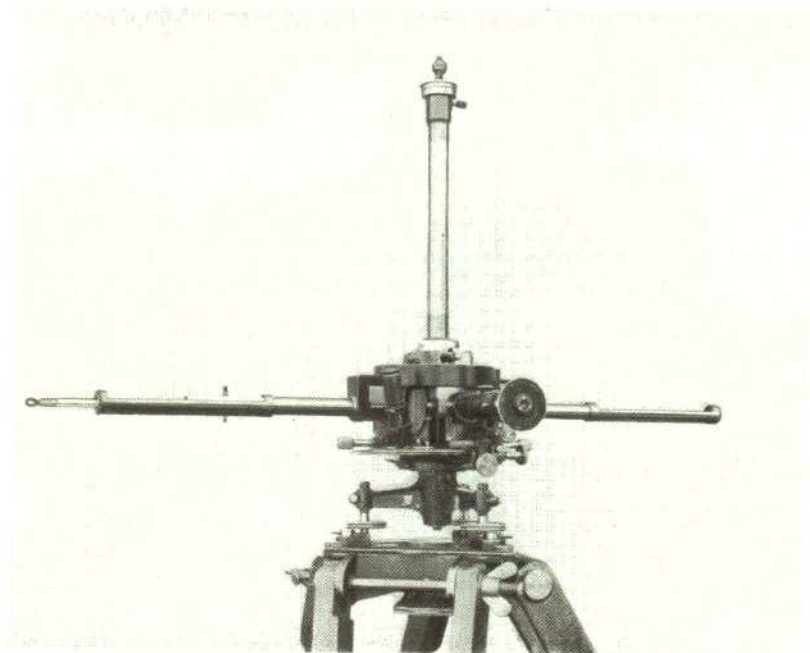


Fig. 3. Ablenkungsvorrichtung

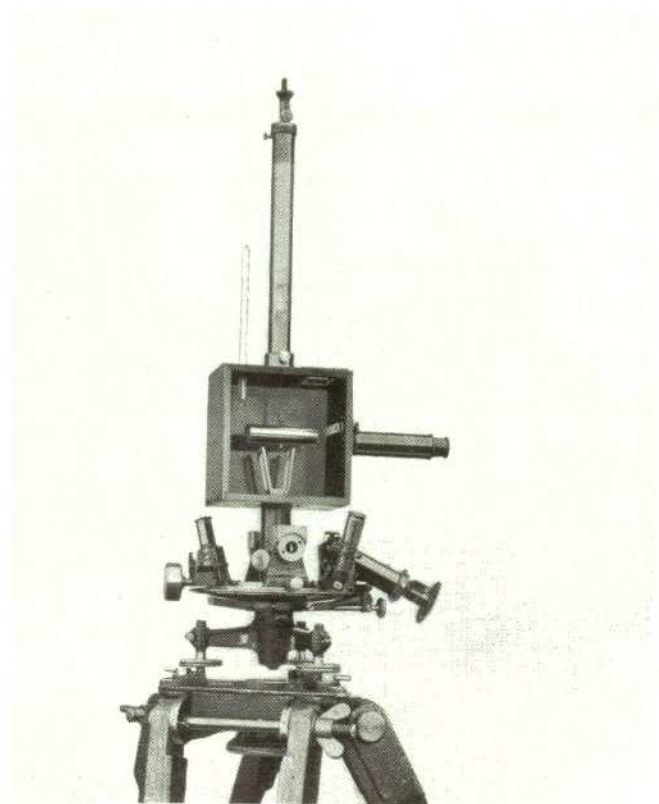
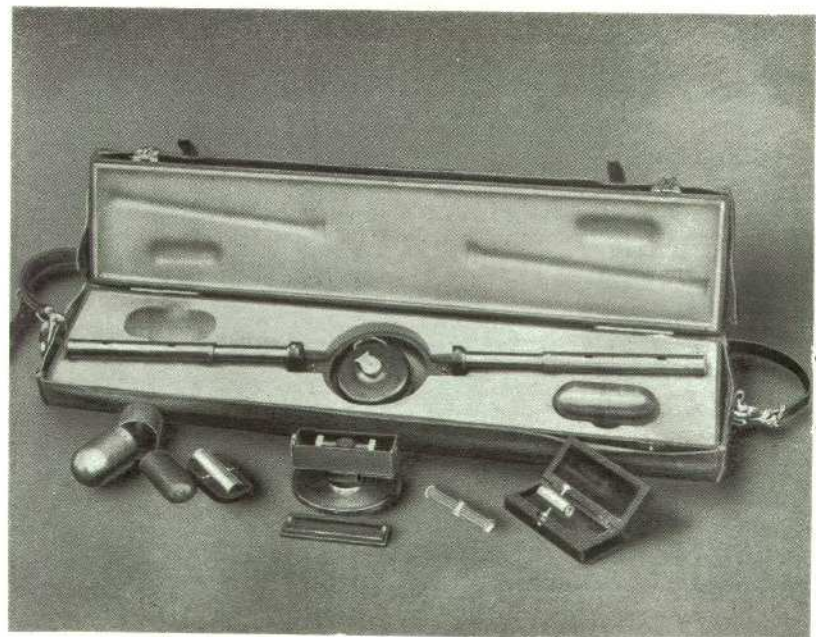


Fig. 4. Schwingungsvorrichtung

Magnetischer Feldtheodolit Hechelmann



f a b d
Fig. 5. Zubehör zum Feldtheodolit

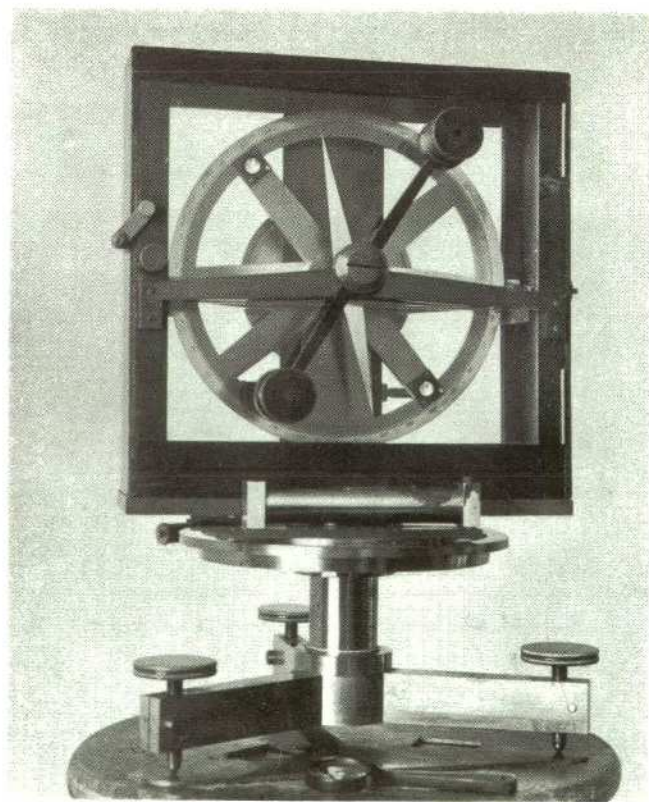


Fig. 6. Nadelinklinatorium Brunner

graphisch aufzeichnender Apparate: Das aus einer Spaltlampe kommende Licht wird von den Spiegelchen, die mit den beweglichen Systemen der Instrumente, den Magnetsystemen, verbunden sind, reflektiert und fällt, durch eine Zylinderlinse punktförmig gestaltet, auf die mit lichtempfindlichem Papier belegte Registriertrommel. Da diese von einem Uhrwerk in Umdrehung versetzt wird, zeichnet der Lichtpunkt jedes Instrumentes eine fortlaufende Kurve auf, die die Bewegungen des Magnetsystems wiedergibt.

Die beiden benutzten Unifilare unterscheiden sich von einander nur durch die Dicke des Quarzfadens, der das Magnetsystem trägt, und der beim D-Instrument 0,02 mm, beim H-Instrument 0,05 mm Durchmesser besitzt. Am unteren Ende des etwa 20 cm langen Quarzfadens hängt bei jedem der beiden Variometer ein sehr feines, leichtes Aluminiumrähmchen von rechteckiger Gestalt, das drei kleine quadratische Ausschnitte umschließt, von denen der obere und der untere je ein dünnes planparalleles Spiegelchen trägt. Der mittlere läßt die Durchsicht auf einen festen Spiegel frei, der an der Innenseite der Rückwand des Instrumentengehäuses befestigt ist und dazu dient, die Basislinie für die Registrierungen herzustellen. Auf einen Stift der Unterseite des Aluminiumrähmchens läßt sich der Magnet aufchieben, der aus einer dünnen, nur zirka 25 mm langen und 6 mm breiten Stahllamelle gebildet ist. Das Gewicht des Magnetchens mit seinem Aluminiumgehänge ist sehr gering (zusammen zirka 2 Gramm), seine Eigenschwingung deshalb ebenfalls klein; gleichwohl ist noch eine Kupferdämpfung vorgesehen. Die Suspensionsröhre für den Quarzfaden schließt oben ein drehbarer, mit Teilkreis versehener Kopf ab, der die Torsion des Fadens um beliebige Beträge ermöglicht.

Die Verwendung zweier Spiegel am Magnetgehänge bezweckt die Vergrößerung des Registrierbereiches der Variometer. Durch leichtes Biegen des Aluminiumrahmens bringt man die beiden Spiegel in solche Stellung zu einander, daß die von ihnen gelieferten Bilder des beleuchteten Lampenspaltes etwa um die Breite des Registrierpapiers von einander entfernt liegen. Das eine der beiden Spaltbilder befindet sich dann gewöhnlich seitwärts außerhalb der Registriertrommel, es erreicht nur dann das lichtempfindliche Papier, wenn das andere — bei lebhaften Bewegungen des Magnets — den Rand des Bogens überschreitet. Auf diese Weise geht die Aufzeichnung auch bei stärkeren magnetischen Störungen nicht verloren. Das Zurechtbiegen des Aluminiumrähmchens für diesen Zweck, oder auch zur Regulierung der Höhe des Lichtpunktes, die gelegentlich nötig wird, erfordert in den meisten Fällen viel Zeit und Geduld, da sie nur grob von Hand geschehen kann, ihr Gelingen also ganz Sache des Zufalls ist. Bei den späteren, vollkommeneren Typen dieser Variometer läßt

man deshalb das von der Lampe kommende Licht erst durch kleine Prismen oder über Gegenspiegel gehen, die im Variometergehäuse angebracht sind und von außen mit Hilfe von Stellschrauben gedreht und geneigt werden können. Höhe und seitliche Stellung des Lichtpunktes lassen sich so nach Bedürfnis bequem regulieren.

Eine einfache Ablenkungsvorrichtung läßt sich an jedem der Variometer zur Bestimmung seiner Empfindlichkeit anbringen.

Die zur Verfolgung der Schwankungen der Vertikalkomponente der magnetischen Kraft verwendete *Lloydsche Wage* zeigt die von *Eschenhagen* verbesserte Form dieser Instrumente. Der Waagemagnet besteht aus einer 1—2 mm starken, rund 90 mm langen Stahllamelle in Form eines gestreckten Rhombus mit abgestumpften Ecken, von der Gestalt, die *Mascart* ihm gegeben hat. *Eschenhagen* ließ die Magnete dann noch zur Verringerung ihrer Masse mit größeren Ausschnitten versehen. Der mit seiner Hauptebene horizontal gelagerte Magnet ruht auf Spitzen — nicht Schneiden —, die an den Enden seiner Querachse senkrecht zu seiner Hauptebene stehen und denen plangeschliffene horizontale Achatstücke als Lager dienen. Um sie dreht sich bei Änderungen der Vertikalintensität der Magnet wie ein Wagebalken. Zur Korrektur seiner Neigung dienen zwei, vom Mittelteil aus in Richtung der Längsachse verlaufende feine Spindeln mit kleinen Schraubenmutter. Eine gleiche, aufwärts gerichtete Spindel ermöglicht die Regulierung der Empfindlichkeit durch Verschiebung des Schwerpunktes.

Das von der Spaltlampe kommende Licht fällt bei der Wage durch ein dem Boden des Gehäuses aufsitzendes Glasprisma auf den Spiegel des Magnets, der dessen Unterseite und zwar dem kreisförmigen Mittelstück selbst *aufgeschliffen* ist. Von zwei Glasspiegeln, an der Innenseite der Rückwand des Gehäuses befestigt und von außen durch Schrauben verstellbar, liefert der eine wieder die Basislinie, der zweite ist mit einem Bourdongefäß verbunden und dazu bestimmt, eine Registrierung der Schwankungen der Temperatur zu liefern. Die Bestimmung der Empfindlichkeit der Wage geschieht durch eine analoge Ablenkungsvorrichtung, wie bei den Unifilaren.

Der *photographische Registrierapparat* besteht in der Hauptsache aus einer horizontal gelagerten Trommel von 20 cm Länge und 16 cm Durchmesser, auf der das lichtempfindliche Papier aufgelegt und mit Hilfe eines Bügels festgehalten wird, ferner dem Uhrwerk mit Federspannung, das die Trommel in gleichmäßige Umdrehung versetzt. Durch eine besondere Schaltungsvorrichtung kann man das Uhrwerk im ganzen vom Zahnrad der Trommel abrücken, so daß die letztere, zum Auflegen und Abnehmen der Papierbogen,

frei drehbar wird. Die gleiche Schaltvorrichtung ermöglicht es auch, der Trommel zwei verschiedene Umlaufzeiten, nämlich von 2 Stunden oder von 24 Stunden, zu erteilen.

Die von den Instrumentspiegeln reflektierten, durch eine Klappe der Vorderwand einfallenden Spaltbilder der Lampe treffen zunächst auf eine vor der Trommel, in Höhe ihrer Längsachse und parallel mit ihr aufgestellte Zylinderlinse, die zu der schon erwähnten punktförmigen Abbildung der Spaltbilder auf dem Registrierpapier dient.

Die Herstellung regelmäßiger Zeitmarken besorgen kleine Blendklappen, die vom Uhrwerk des Registrierapparates je nach der Schaltung jede Stunde (bei 24stündigem Umlauf der Trommel) oder alle 5 Minuten (bei 2stündigem Umlauf) aufgeklappt werden, und die man so stellt, daß sie die von den festen Basisspiegeln der Instrumente kommenden Lichtstrahlen abblenden. Es entstehen Unterbrechungen in der Aufzeichnung der Basislinien, die bei der hier benutzten 24stündigen Umdrehung der Trommel je zwei Minuten — von Minute 58 bis Minute 60 jeder Stunde — dauern und durch Rückfall der Blendklappen beendet werden. Der Wiederbeginn der Registrierung der Basislinien nach jeder Lücke bezeichnet somit die Minute 0 der neuen Stunde. Die Stundendlänge auf den Registrierungen beträgt 2 cm.

Die Registrierlampe ist seitlich vom Registrierapparat aufgestellt und besitzt in der Mitte der den Instrumenten zugekehrten Seite einen 2 cm hohen Spalt, dessen Breite sich mittels einer Feinschraube verändern läßt. Als Brennstoff kommt Leichtbenzin zur Verwendung. Die Flammenhöhe wird von außen durch kleine mit Rotglas verschlossene Fenster der einen Seitenwand und der als Türe dienenden Rückwand kontrolliert. Die Abzugvorrichtung im Dach der Lampe läßt kein Licht, das den Raum erhellen und eine Schwärzung des photographischen Papiers verursachen könnte, austreten.

Zur Registrierung wird von uns photographisches Papier benutzt, das nicht zu den *höchst* empfindlichen gehört, aber auch bei raschen Magnetschwingungen noch deutlich zeichnet und vor jenen den Vorteil hat, weniger Nebenreflexe zu bringen und billiger zu sein.

Aufstellung der Variometer. Die drei Variometer stehen auf der großen Steinbank schräg hinter einander (Tafel, Fig. 2); dem Registrierapparat zunächst, in 115 cm Abstand des Spiegelgehänges von der Trommel, das Unifilar für die H-Variationen, zirka 75 cm weiter das Unifilar für D und schließlich zirka 80 cm. von diesem entfernt die Wage. Zwischen die Dreifüße *beider* Unifilare sind magnetisierte Stricknadeln gelegt, um durch Schwächung des Erdfeldes am Ort der Variometer deren Empfind-

lichkeit zu erhöhen. Damit diese Nadeln unter möglichst ähnlichen Temperaturverhältnissen sich befinden, wie die Variometermagnete, wurden sie in Messinghülsen eingelagert, die durch Gummipropfen verschlossen und mit kleinen Hartgummistützen auf die Steinbank gekittet sind. Die Ostweststellung des Magnets im H-Variometer ist zur einen Hälfte durch diese untergelegten Magnete, zur andern durch Torsion des Quarzfadens erzielt worden.

Zur Erhöhung des Temperaturschutzes ist die Variometerbank noch, wie schon erwähnt, mit einem *Umbau aus «Korkstein»* — einem Gemenge von grobem Korkschat und Pech, das zu festen Platten von 5 cm Dicke gepreßt ist — umgeben worden. Während die Decke, die beiden Schmalseiten und die eine Längswand dieses rechteckigen Gehäuses fest miteinander verbunden wurden, kann die andere Längswand im ganzen abgerückt werden, um den Zutritt zu den Variometern zu ermöglichen. Filzstreifen und Werch sorgen da, wo die Platten auf dem Fußboden aufstehen, für dichten Abschluß, ebenso da, wo die abnehmbare Wand gegen die Ränder des feststehenden Teils stoßen. Für den Durchgang des Lichtes zwischen Registrierapparat und Variometern hat die entsprechende Schmalseite des Umbaus einen spaltartigen, durch Planglas verschließbaren Ausschnitt erhalten.

Ein *Thermograph* Richard mit achttägigem Umlauf, der wegen seines Eisengehaltes in einer Ecke des Raumes in größtmöglicher Entfernung von den Variometern steht, liefert die Aufzeichnungen über den Gang der Temperatur im Laufe des Jahres, während auf die Registrierung des oben erwähnten in die Wage eingebauten Bourdongefäßes verzichtet wurde, da das Registrierblatt ohnedies schon sechs Kurven — von jedem der drei Instrumente eine Basis- und eine Variationskurve — enthält.

Die *Empfindlichkeit* der Variometer — der Wert eines Millimeters der Ordinate auf den Registrierbögen — ergibt sich bekanntlich aus dem Abstand des D-Instruments von der Registriertrommel in Verbindung mit Ablenkungen, die nacheinander an den drei Variometern aus gleicher Entfernung vorgenommen werden. Bei Abwesenheit anderer Magnete in der Umgebung des D-Variometers und Torsionsfreiheit seines Fadens ist der Skalenwert ϵ des Instruments nur eine Funktion des Abstandes A. Es ist dann:
$$\epsilon = \frac{1}{2A \sin 1'}$$
 Man erhält somit für 1 mm Ordinate den Wert 1', wenn man — wie gewöhnlich geschieht — A = 1718.87 mm wählt. Dies würde aber bei der hier herrschenden Horizontalintensität von rund 0,206 c g s, einem Skalenwert im Kraftmaß von $6 \cdot 10^{-5}$ pro mm entsprechen, d. h. einer rund halb so großen Empfindlichkeit, als man sie den *In-*

tensitätsvariometern zu geben pflegt. Zur Erzielung annähernd gleicher Verhältnisse bei allen drei Instrumenten hat deshalb, wie erwähnt, auch das Deklinatorium Kompensationsmagnete erhalten, was den Vorgang der Skalenwertbestimmung etwas kompliziert. Es waren nun zunächst an dem noch nicht kompensierten D-Instrument und bei Abwesenheit aller andern Variometer- und Kompensationsmagnete Ablenkungen vorzunehmen und diese nach Einsetzen der anderen Magnete zu wiederholen. Dem schlossen sich dann die Ablenkungen beim H-Instrument und bei der Wage an.

Die Empfindlichkeit unserer drei Variometer ist von folgendem mittleren Betrag:

D-Unifilar: 1 mm \approx 0.66'.

H-Unifilar: 1 mm \approx 0.000024' cgs (2.4 γ).

Wage: 1 mm \approx 0.000036' cgs (3.6 γ).

Feldinstrumentarium. Wie schon hervorgehoben worden ist, stand für die D- und H-Messungen im Felde der Theodolit Hechelmann Nr. 2003 des Potsdamer Magnetischen Observatoriums und für die I-Messungen ein Nadelinklinatorium Brunner des Institut de Physique du Globe in Paris zur Verfügung.

Mit dem Theodolit Hechelmann sind bereits eine beträchtliche Zahl großer magnetischer Kampagnen durchgeführt worden, so daß seine Konstanten aufs beste bestimmt sind. Ueber seine Einrichtung sei folgendes ausgeführt. Der Azimutalkreis, von 13 cm Durchmesser, ist in Drittelgrade geteilt, die Skalen der beiden Schätzmikroskope teilen den Drittelgrad ihrerseits in 10 Teile, so daß man durch Schätzung der Zehntel den Kreis auf 0,2' genau ablesen kann. Auf den vom Azimutalkreis umschlossenen und in ihm drehbaren Innenteil des Theodolits werden die bei den magnetischen Messungen gebrauchten speziellen Instrumententeile zentral aufgesetzt: das Deklinatorium, die Ablenkungseinrichtung, der Schwingungskasten, das (hier nicht benutzte) Nadelinklinatorium, ein kleines, geknicktes Fernrohr mit Höhenkreis für astronomische Azimutbestimmungen.

Das dem Innenteil exzentrisch aufgesetzte Theodolitfernrohr dient außer der Beobachtung der Magnetpiegel bei D-Messung und Ablenkungsvorgang auch der Azimutbestimmung, wobei es sich bei weit entfernten Miren gelegentlich als optisch etwas schwach erweist.

Der zur Messung der *Deklination* bestimmte Aufsatz ist für Spitzenlagerung des Magnets eingerichtet. In der Mitte des Gehäusebodens ist der Halter für die Pinnen eingeschraubt, die aus gut gehärteten Nähnadelspitzen bestehen und sich leicht auswechseln lassen. Ein Träger, der durch Triebwerk von außen zu heben und zu senken ist, vermittelt das

Aufsetzen des Magnets auf die Pinne und das Abheben von ihr. (Tafel, Fig. 5 a.)

Den Deklinationsmagnet (Fig. 5 b) bilden vier parallel über einander, aber getrennt von einander angeordnete Stahllamellen, die durch die Fassung je eines Planspiegels am Nord- und Südpole zusammengehalten sind. In einem Aluminiumröhrchen, das die Mitte der Lamellen durchsetzt, gleitet leicht das Saphirhütchen, mit dem der Magnet auf der Pinne aufliegt. Es ist beidseitig parabolisch ausgeschliffen, so daß der Magnet in den zwei Lagen aufgesetzt werden kann, die die Elimination des Kollimationsfehlers und der Schiefe der magnetischen Achse erfordern. Die Gestaltung des D-Magnets aus vier dünnen Lamellen löst in glücklicher Weise die Forderung, großes magnetisches Moment mit geringem Gewicht (das die Feinheit der Pinnenspitze verlangt) zu vereinigen.

Die bei den Messungen der *Horizontalintensität* zur Aufnahme des ablenkenden Magnets bestimmten zwei Schienen sind neuerdings durch einen massiven Ring miteinander verbunden und werden gemeinsam fest auf die Stützen aufgesetzt, die dafür am Theodolit vorgesehen sind (Fig. 3 und 5 c). Damit ist größere Gewähr für die nötige Unveränderlichkeit der Entfernungen zwischen ablenkendem und abgelenktem Magnet geboten, als wenn sie einzeln vor jeder Messung in die Stützen eingeschraubt werden, wie dies bisher bei den Feldtheodoliten der Fall war. Die Schienen, von Röhrenform, besitzen Ausschnitte zur Aufnahme der zylindrischen Ablenkungsmagnete. Anschläge in Gestalt kreisförmiger Kanten und leicht vorstehende Messingköpfe sichern eine stets gleiche Lage des Magnets in den Schienen. Da jede von diesen zwei solche Anschläge besitzt, kann auch bei diesem Theodolit aus *zwei* Entfernungen abgelenkt und damit die für *absolute* Bestimmungen nötige Kenntnis der Ablenkungsfunktion gewonnen werden.

Als abzulenkender Magnet wird ein kleiner Röhrenmagnet mit Fadenaufhängung verwendet (Fig. 5 d). Eine Kupferdämpfung, wie sie neuere Feldtheodolite zum Zwecke rascher Beruhigung des aufgehängten Magnets besitzen, fehlt dem Instrument, was die Dauer der Messungen häufig in unerwünschter Weise verlängert. Der Aufhängefaden — es wurden solche aus Platin-Iridium, anfangs von 0,05, später von 0,03 mm Stärke verwendet — hängt in zirka 25 cm hoher Suspensionsröhre, die oben durch einen drehbaren Kopf mit Teilkreis, zur Torsionsbestimmung, abgeschlossen ist. Um ein rasches, bequemes Auswechseln der dünnen Fäden im Felde im Falle ihres Zerreißen zu ermöglichen, sind sie in Messingröhren eingespannt, die man in gebrauchsfähigem Zustand mitführt und leicht in die Suspensionsröhre einschrauben kann.

Zur Messung der *Schwingungsdauer* dient ein etwas einfach gehaltener Schwingungskasten (Fig. 4). Ein gleichfalls einfaches Fernrohr mit Fadenkreuz wird in dessen Vorderfläche eingeschraubt, an der innen eine seitlich und durch ein Oberfenster beleuchtete Skala von rund $1\frac{1}{2}^\circ$ Parswert sitzt. In das ca. 20 cm hohe Suspensionsrohr setzt man die auswechselbare Röhre mit dem Metallfaden in derselben Weise wie beim Ablenkungsaufsatz ein. Ein kleiner Torsionskreis mit Teilung von 20 zu 20° schließt oben ab. Die Möglichkeit zum Klemmen des Fadens fehlt, man ist dafür allein auf die Auswechslungsvorrichtung angewiesen.

Die beiden großen *Röhrenmagnete*, deren ablenkende Wirkung und Schwingungsdauer man bei den Messungen der Horizontalintensität bestimmt, sind aus Wolframstahl angefertigt und haben bei einer Länge von 60 mm einen äußeren Durchmesser von 14,5 und einen inneren von 10,5 mm. Ein T-förmiger Stift ermöglicht die Aufhängung im Schwingungskasten, ein Glasspiegel im Innern die Beobachtung durch das Fernrohr bei Schwingungs- und Torsionsmessung. Die Magnete tragen die Bezeichnung H I und H II. Sie werden unterwegs in einem besonderen, innen mit Stoff ausgepolsterten Lederetui aufbewahrt, das zugleich die Ablenkungsschiene enthält und daher etwas unbequem lang ist. Sie liegen hier in mit Stoff ausgelegten Holzfuttern, die zum Schutz gegen fremde magnetische Felder in Hülsen aus weichem Eisen stecken (Fig. 5 e und f). Das Etui wurde vom Beobachter stets selbst getragen und auch während den Bahn- und Postfahrten nicht aus der Hand gelegt, um nach Möglichkeit stärkere Erschütterungen der Magnete und damit sprungweise Änderungen ihres Momentes zu vermeiden.

Das *Nadelinklinatorium* Brunner (Fig. 6) des Institut de Physique du Globe in Paris, das statt des verhältnismäßig kleinen und einfachen, zudem nicht mehr zuverlässig arbeitenden Hechelmann'schen verwendet wurde, ist ein sorgfältig durchkonstruiertes und sehr befriedigend funktionierendes Instrument. Es trägt über dem kräftigen Dreifuß den in halbe Grade geteilten Azimutalkreis von 12 cm Durchmesser, der den drehbaren, das Instrumentgehäuse tragenden Innenteil umschließt. Ein Nonius ermöglicht, die Bogenminuten abzulesen und ihre Zehntel zu schätzen. Im Innern des Gehäuses dienen zwei horizontale Achatschneiden zur Auflage der Inklinationsnadeln, dahinter befindet sich, zentrisch zum Achatlager, der ebenfalls in halbe Grade geteilte Vertikalkreis von 16 cm Durchmesser, der nicht feststehend ist, sondern von außen, von der Rückseite des Gehäuses aus, gedreht werden kann. An zwei gegenüberliegenden Punkten des Vertikalkreises, nahe am Innenrand, sitzt je ein kleiner Hohlspiegel. Bei der Messung dreht man den Vertikalkreis, zuletzt mittels der Fein-

schraube, bis diese Spiegel hinter den Spitzen der Nadel stehen bzw. bis die Nadelspitze — erst die eine, dann die andere — mit ihrem Spiegelbild koinzidiert, was sich mit großer Genauigkeit bewerkstelligen läßt. Zur Ablesung des Vertikalkreises dient ein Nonius, der, analog wie beim Horizontalkreis, die Bogenminuten direkt gibt und ihre Zehntel schätzen läßt. Zeigt der Nullstrich des Nonius auf $90''$ des Vertikalkreises, so steht die Verbindungslinie der beiden Hohlspiegelmitten vertikal.

Zum Inklinatorium gehören drei längliche, in Spitzen auslaufende Magnetnadeln von 13 cm Länge, die sehr gut zylindrische Drehachsen aus Stahl besitzen.

* * *

Zur Aufstellung der Feldinstrumente wurde ein kräftiges, zum Theodolit Hechelmann gehöriges *Holzstativ* mit eisenfreien Metallteilen mitgeführt. Die Platte dieses Stativs ist verschiebbar eingerichtet, was die genaue Zentrierung des Theodolits zur Mitte des trigonometrischen Steines wesentlich erleichtert. Die leichten Senkungen und Drehungen, die das Stativ bei der stundenlangen Dauer der Messungen und dem fortwährenden Betreten des umgebenden Bodens durch den Beobachter erfährt, und die ebensolche Bewegungen des Theodolits zur Folge haben, empfiehlt es sich, da, wo nicht fester Fels oder steiniger Boden dies überflüssig machen, durch Eintreiben der Stativfüße in feste, in den Boden getretene Lager von größeren und kleineren Steinen auf ein Mindestmaß zu reduzieren. Der Verlust an Zeit, den diese sorgfältige Befestigung des Stativs mit sich bringt, wird durch Gewinn bei der Berechnung der Messungen gut gemacht.

Ein großer eisenfreier *Schirm* schützt Instrumente und Stativ während der Messung gegen Regen, Sonnenstrahlung und Wind. Den nötigen *seitlichen* Schutz gewinnt man durch Anknüpfen von Plantüchern an den Rand des Daches, wobei, wenn erwünscht, ein zeltartiger Abschluß des Schirmes erreicht werden kann. Schnüre und hölzerne «Heringe» geben dem Ganzen bei Wind den erforderlichen Halt. Um die Bestrahlung der Stativbeine durch die Sonne und die daraus entstehenden Bewegungen zu vermeiden, muß auf rechtzeitiges Nachdrehen des Schirmes oder Umknöpfen der seitlichen Plantücher im Verlauf der Messung besonders geachtet werden.

* * *

Die schon erwähnten *Taschenchronometer*, die im Felde bei den Schwingungsbeobachtungen der H-Messungen, wie auch zur Feststellung der Zeit bei den einzelnen Magneteinstellungen der H-, D- und I-Bestimmungen zur Verwendung kamen, sind unterwegs

möglichst häufig telephonisch mit den Normaluhren der Sternwarten von Genf und Zürich verglichen worden.

Beim Vergleich mit Genf konnte die sehr bequeme Einrichtung benutzt werden, daß nach Herstellung einer bestimmten Verbindung durch das Telephonamt ohne weiteres der Sekundenschlag der Normaluhr der Sternwarte (mit Aussetzen jedes 60. Schlages) gehört wird.

Bei den Uhrvergleichen mit der Eidg. Sternwarte in Zürich hat sich deren Direktor, Herr Prof. W. Brunner, stets bereitwilligst selbst um die Uebermittlung der genauen Zeit bemüht, wofür ihm auch an dieser Stelle besonders gedankt sei.

Die benutzten Uhren haben sich während sämtlicher Kampagnen sehr gut gehalten; bei dem weit aus am meisten benutzten «Chronographe rattrapante» Nardin hat der tägliche Gang 2 Sekunden nie überschritten!

Außerer Verlauf der Kampagnen. Die magnetische Aufnahme der Schweiz ist dem anfänglichen Plan gemäß durchgeführt worden. Die allgemeine Vermessung im Jahre 1927 mit gleichmäßiger Verteilung und großem gegenseitigem Abstand der Stationen (zirka 40 km) umfaßte das ganze Gebiet der Schweiz beiderseits der Alpen. Zum Anschluß ist dabei auch eine deutsche magnetische Station (Tülingen) und eine der französischen Aufnahme (Anemasse) mit einbezogen worden. Schon bei diesem weitmaschigen Netz traten in den Ergebnissen deutliche Anomalien im Verlauf der isomagnetischen Linien hervor, als offenbare Folgen der gestörten Massenverteilung und der unterschiedlichen Gesteinsbeschaffenheit im Alpengebiet.

Vor allem zeigten sich größere Unregelmäßigkeiten auf der Südseite der Alpenkette, im Tessin und gegen das Wallis hin, und außerdem in der Umgebung des Genfersees.

Nachdem so die ersten Resultate die Vornahme auch einer *detaillierten* Vermessung gerechtfertigt hatten, wurde damit im Sommer 1928 im Tessin und Oberwallis begonnen; der gegenseitige Abstand der Stationen betrug 13 bis 18 km. Dabei konnten auch Messungen in Domodossola, gemeinsam mit Herrn Prof. L. Palazzo, dem Direktor des R. Ufficio centrale di Meteorologia e Geodinamica Italiano, dem in der erdmagnetischen Wissenschaft durch seine Beobachtungen in Italien und Afrika bekannten Gelehrten, vorgenommen werden. Noch zwei weitere Vergleichsmessungen mit Erdmagnetikern der Nachbarländer kamen im selben Jahre zustande, im Juni in Buchs (St. Gallen) zusammen mit Herrn Dr. A. Schedler, der soeben die Neuaufnahme Oesterreichs begann, und im Oktober in Bregenz mit Herrn Dr. F. Bur-

meister, der mit magnetischen Messungen in Bayern beschäftigt war.

Im Sommer 1929 folgte die engmaschige Vermessung der Südwestschweiz, namentlich des Gebietes am Genfersee und nördlich davon bis zum Neuenburgersee hin; die meisten Punkte wurden im August besucht, einige weitere noch im Herbst, um die gefundene Anomalie wenigstens für D noch genauer zu umgrenzen.

Auf den bisherigen Kampagnen war bei der Gedrängtheit des Programmes die Abhängigkeit vom Fahrplan der Eisenbahnen und Posten, besonders auf Nebenstrecken mit geringem Zugverkehr, stets sehr störend empfunden worden, namentlich dann, wenn die planmäßige Abwicklung der Beobachtungen — die an jedem Punkt einen Aufenthalt von 5 Stunden und mehr erforderte — durch die Ungunst der Witterung erschwert worden ist.

Diesem Mangel konnten wir im Jahre 1930 durch Bereitstellung eines einfachen Autos als Beförderungsmittel abhelfen. Dank dem Entgegenkommen des Besitzers dieses Wagens, Herrn A. Sennrich in Zürich, waren die Mehrkosten relativ gering, verglichen mit dem Gewinn der weit ökonomischeren Zeitausnutzung, die ermöglicht wurde. Nicht nur ließ sich so die Zeit von Beginn und Ende der Messungen in viel weiteren Grenzen variieren, wenn die äußeren Umstände dies erforderten, es wurde zudem auch der oft sehr umständliche und zeitraubende Transport zu Fuß des gesamten Instrumentengepäckes zum Signalpunkt hin auf das geringste mögliche Maß reduziert. Diese leichtere Beweglichkeit empfindet man namentlich in den Fällen — die häufig genug sind — als zweckmäßig, in denen es sich bei Ankunft am Signalstein herausstellt, daß durch die Nähe von Eisen oder das Zuwachsen der Miren oder aus anderen Mängeln, die vorher nicht feststellbar waren, der Punkt für magnetische Messungen nicht brauchbar ist, so daß ein anderer, oft auch ein dritter der vorher in den Karten und Verzeichnissen der Landestopographie ausgewählten Signalpunkte der Umgebung aufgesucht werden muß.

Demgemäß konnte auch die Detailaufnahme im Jahre 1930 über einen großen Teil des weiteren Gebietes der Schweiz ausgedehnt werden. Die von Mitte Juli bis gegen Ende August besetzten 66 Stationen verteilten sich in der Mehrzahl über Jura, Mittelland zwischen Neuenburger- und Bodensee und Graubünden. An einem Teil der Stationen kam nur D, an den übrigen alle drei Elemente zur Beobachtung.

Auch in der kurzen Nachlese, die im Herbst 1931 in knapp 14 Tagen namentlich in Nordost- und Ostschweiz stattfand und die hauptsächlich der Ergän-

zung des Bildes der H- und I-Verteilung diene, hat sich gezeigt, wie höchst zweckmäßig und ökonomisch die Benutzung eines Autos bei solchen Gelegenheiten ist.

Uebrigens erhielt jeder der beiden Ablenkungsmagnete zum besonderen Schutz gegen die störenden Kraftfelder solcher Wagen noch eine zweite Weich-eisenhülse, und ebenso wurde die Präzisionsuhr in ein Schutzgehäuse dieser Art eingebettet.

Die vielfach — aus naheliegenden Gründen — sehr freie Lage der Triangulationspunkte hat sich, namentlich im eigentlichen Alpengebiet, im allgemeinen nicht als ein Vorteil für die Ausführung der subtilen magnetischen Messungen erwiesen, weil sie besondere Aufmerksamkeit für den Windschutz verlangt. Dies trifft namentlich im eigentlichen Alpengebiet, im Gebiet der vielfach sehr starken Berg- und Talwinde zu und speziell bei sonnigem Wetter, das

die Entwicklung der letzteren begünstigt. Bedeckter Himmel ist aus diesen Gründen, wie auch wegen der geringeren thermischen Einflüsse, die dabei Instrument und Stativ erfahren, bei solchen Arbeiten dem hellen sonnigen Wetter vorzuziehen.

Bei den einzelnen Kampagnen sind stets eine oder mehrere Stationen der früheren wiederholt worden, auch sind mehrfach Besuche in Regensberg zu Messungen oder zur Kontrolle des Registrierbetriebes eingeschoben worden.

* * *

Als Gehilfen beim Transport und bei den Messungen begleiteten und unterstützten den Beobachter: 1927 K. Graf aus Aarau, 1928 R. Canonica aus Corippo (Verzasca), 1929 A. Murmann aus Kippel (Lötschental), 1930 und 1931 A. Sennrich aus Zürich; sie alle verdienen auch an dieser Stelle unseren besonderen Dank für ihre treue Mitarbeit.

1. Ergebnisse der Deklinationsbestimmungen.

Beobachtung. Die D-Messungen sind in gewohnter Weise mit wiederholter Anvisierung der Miren (meist Kirchtürme) begonnen und abgeschlossen worden. Dazwischen erfolgte, nach Einsetzen des Deklinatoriums, die Bestimmung der Richtung des Pinnenmagnets in den beiden möglichen Lagen, wodurch die Asymmetrie von geometrischer und magnetischer Achse des Magnets und der Kollimationsfehler seines Spiegels sich eliminieren lassen. In beiden Magnetlagen sind stets mehrfache, durch Abheben des Magnets von der Pinne und sorgfältiges Wiederaufsetzen von einander getrennte Einstellungen vorgenommen worden, mit jedesmaliger Ablesung der Mikroskope und Bestimmung der Zeit nach dem Taschenchronometer.

Jeder D-Messung ging eine Untersuchung der Nadelpinne voraus; selbst bei geringer Abstumpfung der Spitze wurde die Nadel ausgewechselt.

Wenn eine astronomische Azimutbestimmung nötig war, ist die Zeit des Durchganges des vorderen und hinteren Sonnenrandes durch den Mittelfaden des astronomischen Fernrohrs mehrfach in beiden Fernrohr-lagen bestimmt, und dann der Uebergang vom astronomischen zum Theodolitfernrohr durch Anvisieren einer terrestrischen Mire mit beiden Fernrohren ermittelt worden.

Berechnung. Da die Messungen im allgemeinen über den Signalsteinen der Landestriangulation vorgenommen wurden, erfolgte die Bestimmung der astronomischen Nordrichtung für nahezu sämtliche Meßpunkte durch Berechnung des Azimutes der bei der Messung anvisierten Miren aus den rechtwink-

ligen Koordinaten x, y des Signalsteines und der als Miren dienenden Kirchtürme. Die Unterschiede Δx und Δy zwischen Beobachtungspunkt und Mire liefern die Tangente des Mirenazimuts, bezüglich der Nordrichtung des Koordinatensystems. Durch Addition dieses Azimuts zum Mittelwert der Kreisablesungen, die man beim Anvisieren der Mire erhielt, ergibt sich der entsprechende Nordpunkt der Kreisteilung. Für alle Orte der Schweiz, die nicht im Meridian von Bern liegen, weicht aber die Nordrichtung des rechtwinkligen Koordinatensystems von der astronomischen um den Betrag der Meridiankonvergenz ab, die vom Meridian Bern bis zur Westgrenze des Landes auf fast $+1^\circ$, bis zur Ostgrenze auf zirka -2° anwächst, also sehr erhebliche Werte erreicht. Die Meridiankonvergenz war daher für jede der rund 130 Stationen zu berechnen und dem aus den Koordinaten errechneten Nordpunkt der Kreisteilung additiv (im Westen) oder subtraktiv (im Osten) hinzuzufügen, um den wahren Nordpunkt der Teilung zu erhalten. Zur Berechnung der Meridiankonvergenz μ ist folgende Formel benutzt worden *):

$$\mu = (19) y' + (20) y' x' - (21) y'^3 + (22) y' x'^2 - \dots$$

Hierin ist:

$$(19) = \frac{\rho''}{R} t \quad \log (19) = 8.538 \ 6272 \ -10$$

$$(20) = \frac{\rho''}{R^2} t^2 \quad \log (20) = 1.762 \ 8292 \ -10$$

$$(21) = \frac{\rho''}{R^3} \frac{t}{6} (1 + 2 t^2) \quad \log (21) = 4.667 \ 55 \ -20$$

$$(22) = \frac{\rho''}{R^3} \frac{t}{2} (1 + 2 t^2) \quad \log (22) = 5.144 \ 67 \ -20$$

*) M. Rosenmund, Aenderung des Projektionssystems der schweizer. Landesvermessung (Bern. Haller, 1903), S. 96.

und es bedeuten: y' , x' die rechtwinkligen winkeltreuen Koordinaten, x' positiv nach Norden, y' positiv nach Osten angenommen; $\rho'' = \frac{1}{\sin 1''} R$ der Kugelradius bei winkeltreuer Uebertragung, $t = \operatorname{tg} b_0$, wo b_0 die geographische Breite des Kartenmittelpunktes auf der Kugel ist.

Wenn an einem Beobachtungspunkt wegen der Nähe von Eisen oder aus anderen Gründen die Messungen nicht über dem Signalstein selbst, sondern exzentrisch dazu vorgenommen wurden, war das für zentrische Aufstellung gültige Azimut noch um den Winkel $\Delta = \frac{e}{\sin 1'} \frac{\sin i}{D}$ zu verbessern, wo e die Entfernung Instrument-Steinmitte, i den Winkel Stein-Instrument-Mire und D die Entfernung Mire-Stein bedeuten. Δ ist positiv für $i = 0^\circ$ bis 180° , negativ für $i = 180^\circ$ bis 360° .

Den *magnetischen* Nordpunkt der Kreisteilung erhält man durch Mittelbildung aller bei den Einstellungen auf den D-Magnet in beiden Lagen gewonnenen Kreisablesungen. Die Differenz zwischen ihm und dem *wahren* Nordpunkt ist die Deklination, die nun noch wegen der Variationen zu korrigieren ist. Hierzu wurde in üblicher Weise für den Zeitpunkt jeder Magneteinstellung die Ordinate der registrierten D-Kurve mittelst einer in mm geteilten Glasskala abgelesen, unter Berücksichtigung der Uhrkorrektion des Registrierwerkes sowie der etwaigen parallaktischen Verschiebung zwischen Basis- und D-Kurve. Das Mittel aller dieser Kurvenablesungen, mit dem Skalenwert multipliziert, wird an den unkorrigierten D-Wert angebracht, additiv, wenn es kleiner ist als der Variometerstand, auf den reduziert wird, subtraktiv im umgekehrten Falle. Man erhält so die wahre Deklination für diesen Normalstand des D-Variometers.

Ergebnisse. In nachfolgender Tabelle und Karte sind die Resultate der D-Bestimmungen der Aufnahme wiedergegeben. Die *Tabelle* enthält die Stationen in der Reihenfolge ihrer Besetzung, wobei aber die in den verschiedenen Kampagnen *wiederholt* besuchten Punkte nur *einmal* aufgeführt sind. Den laufenden Nummern der 1. Spalte entsprechen die Nummern in der Stationskarte, wie auch die Buchstabenbezeichnungen in der 2. Spalte mit denen am Rand der Stationskarte übereinstimmen, die das Auffinden der Orte in dieser Karte erleichtern sollen. In der Spalte «Triangulationspunkt» ist die Nummer des benutzten Signalsteins der Verzeichnisse der Eidg. Landestopographie vermerkt; die Bezeichnung III bedeutet, daß es sich um einen Punkt dritter Ordnung handelt. Unter y und x in den nächsten Kolonnen sind die rechtwinkligen Koordinaten des Punktes, also seine Entfernung vom Längen- und Breitenkreis von Bern angegeben, wobei, wie schon gesagt, x positiv nach N und y positiv nach E zählt.

Die Meridiankonvergenz, der Winkel zwischen der wahren Nordrichtung und der Richtung der positiven x -Ordinate, ist positiv genommen, wenn die erstere im Sinne der Uhrzeigerbewegung von der letzteren abweicht (also westlich von Bern), negativ im umgekehrten Falle.

Unter D^* stehen die Deklinationswerte für jeden Ort, bezogen auf den mittleren D -Wert des jeweiligen Messungsmonats; es gilt D^* : bei den Stationen 1—23 für D VIII von 1927, 24—45 für D IX von 1928, 46—71 für D VIII von 1929, 72—122 für D VII von 1930.

Diese Werte D^* haben dann die Reduktion auf eine gemeinsame Epoche, nämlich auf 1931,5 erfahren, wobei für die D -Werte aller Stationen desselben Jahres der gleiche Reduktionswert benutzt wurde. Außer den Daten der Registrierstation Regensberg konnten dabei auch die D -Werte der in den verschiedenen Jahren mehrfach besetzten Punkte mit herangezogen werden. Aus den letzteren scheint übrigens bereits hervorzugehen, daß die Aenderung von Jahr zu Jahr nicht in allen Teilen unseres Landes genau gleich ist, trotz dessen verhältnismäßig kleiner Ausdehnung. Die für später geplanten Beobachtungen an Säkularstationen werden darüber Aufschluß geben. An die Tabelle schließt sich eine nähere Ortsbeschreibung für jede Station an.

Karte. Die beigegefügte Karte zeigt den Verlauf der Linien gleicher westlicher Deklination in der Schweiz, von $10'$ zu $10'$, so wie er sich nach Eintragung der für Mitte 1931 gültigen Werte ohne weiteres ergibt. Es soll hier nur kurz auf die hauptsächlichsten Abweichungen vom normalen Zug der Kurven hingewiesen werden, eine eingehendere Besprechung der magnetischen Anomalien des Landes und ihrer möglichen Ursachen wird bei Gelegenheit der Veröffentlichung der Werte und Karten der anderen Elemente am Platze sein, die wir hoffen, in Bälde folgen zu lassen. Deutlich tritt vor allem eine ausgedehnte Anomalie südwärts der Alpen in Erscheinung, die nicht auf Tessin und Oberwallis beschränkt zu sein, sondern auch weiter gegen Osten, scheinbar längs des ganzen Abfalles der Schweizer Alpen gegen die Lombardei hin zu bestehen scheint. Im Tessin ist die Anomalie am größten im Gebiet des Lago Maggiore, in der Wurzelzone der ostalpinen Gebirgsdecken, die hier aus der Tiefe auftauchen. Im Tessin, aber auch in Graubünden ist die Uebereinstimmung des Gebietes der magnetischen Anomalie mit dem der stärksten Abweichung der Schwerewerte vom Normalen, wie sie Prof. Th. Niethammer gefunden hat, besonders deutlich, so daß der Eindruck des inneren Zusammenhanges beider sich aufdrängt.

Sehr klar ausgeprägt ist ferner eine Anomalie am Genfersee, die durch das eigenartige paarweise Auf-

treten eines positiven mit einem negativen anomalen Gebiet auffällt, und die sich auch weiter längs der Voralpen in Richtung auf Bern und Thun fortzusetzen scheint.

Neben diesen größten treten noch zahlreiche kleinere Unregelmäßigkeiten mehr oder weniger scharf hervor, so am Walensee, ferner im Bedrettal und bei Mörel, letztere beide von gleichem Vorzeichen, beide in geologisch gleichartigen Gebieten, daher vermutlich auf gleiche Weise verursacht und vielleicht zusammenhängend. Eine bei Lax im Oberwallis in zwei verschiedenen Jahren gefundene positive Anomalie (vgl. Tabelle und Stationsbeschreibungen unter Nr. 33) — derjenigen von Mörel nahe gelegen, aber von entgegengesetztem Vorzeichen — wurde beim Zeichnen der Karte nicht berücksichtigt, weil sie vielleicht rein lokaler Natur ist.

Schließlich wird es nicht überflüssig sein, für den-

jenigen, der eine solche D-Karte etwa in Verbindung mit dem Kompaß und den Karten des Topographischen Atlas der Schweiz, des Siegfriedatlas, verwenden will, daran zu erinnern, daß die in den Siegfriedkarten vom oberen zum unteren Rand verlaufenden Linien nicht Parallele zum Meridian, sondern Koordinaten des rechtwinkligen Systems sind. Die *wahre* Nordrichtung, von der die D-Werte Abweichungen sind, muß man sich erst mit Hilfe der am Rand der Siegfriedkarten stehenden Gradeinteilung einzeichnen, wenn man die Karten so verwenden will. Der D-Unterschied zwischen E- und W-Grenze der Schweiz beträgt nicht ganz 2° , der Unterschied der Meridiankonvergenzen zirka $2\frac{1}{2}^{\circ}$, und es entstünde ein ganz verkehrtes Bild der Verteilung von D in der Schweiz oder eine ganz falsche Anwendung der D-Werte, wenn wir den Unterschied zwischen Meridian und rechtwinkligem Koordinatennetz übersehen würden.

Zusammenstellung
 der auf die Stationen und auf die Deklination bezüglichen Daten
 (vergl. die Stationskarte)

Nr. und Lage in der Stationskarte	Ort	Triang.- Punkt Nr.	Entfernung von Bern		Höhe über Meer	Meridian- Konvergenz	D*	D 1931.5		
			y	x						
			m	m	m					
1	Ec	Alpnach	7	64 231.81	-720.67	442.68	-37.00'	8° 7.2'	7° 27'	
2	De	Sigriswil	61	21 830.52	-25 548.51	(875)	-12.24'	29.9'	49.9'	Eisenstörung?
3	Cb	Porrentruy	277	-27 349.85	52 702.75	475.37	15.90'	43.7'	8'	
4	Da	Tillingen (Baden)	—	15 217.32	71 732.11	373.75	-8.87'	27.4'	47'	
5	Gb	Buchs (St. Gallen)	47	153 862.19	25 606.20	491.87	-1° 28.90'	7° 35.7'	6° 55'	
6	Ic	Zernez	111	203 567.55	-24 631.68	1562.00	-1° 56.72'	15.5'	35'	
7	Hd	Vicosoprano	103	168 543.76	-64 259.99	1087.73	-1° 36.03'	35.2'	55'	
8	Gc	Rothenthalbrunnen	118	151 117.57	-18 855.54	633.69	-1° 26.75'	35.9'	55'	
9	Fc	Disentis	7	107 954.12	-27 039.99	1069.86	-1° 1.90'	53.4'	7° 13'	
10	Ed	Münster (Wallis)	111	63 907.90	-50 888.85	1430.00	-36.50'	59.3'	19'	
11	Dd	Sierre	357	8 747.26	-72 611.63	552.89	-4.98'	8° 23.4'	43'	
12	Bd	St. Maurice	137	-33 519.78	-80 064.86	414.58	19.04'	41.2'	8° 1'	
13	Ad	Annemasse (Frankreich)	—	—	—	(430)	—	51.8'	11'	
14	Ac	Morges	359	-72 299.61	-42 518.48	420.18	41.32'	33.3'	53'	
15	Cc	Bulle	23	-28 169.32	-36 454.14	773.11	16.13'	42.2'	1'	
16	Bc	Môtiers	111	-62 197.05	-3 797.53	776.68	35.81'	40.5'	9'	
17	Dh	Zell	568	36 690.84	20 578.39	632.58	-21.21'	15.0'	7° 34'	
18	Fd	Personico	32	113 605.26	-63 587.07	302.79	-1° 4.75'	7° 42.2'	2'	
19	Fe	Balerna	7	121 513.77	-121 950.22	283.15	-1° 8.60'	46.0'	6'	
20	Fd	Brissago	112	98 574.93	-91 006.73	269.42	-55.93'	8° 7.0'	20'	
21	Cb	Bargen	111	-13 380.87	9 394.56	497.17	7.72'	33.8'	53'	
22	Fa	Thayngen	566	95 597.09	88 375.38	476.52	-55.90'	7° 53.3'	13'	
23	Ga	Zuzwil	1635	125 802.38	59 992.31	577.97	-1° 13.19'	44.6'	4'	
24	Fd	Prungiasco	65	115 043.75	-53 359.68	575.86	—	—	—	
25	Gd	Claro	46	122 252.74	-76 493.82	300.88	-1° 9.53'	7° 42.4'	7° 13'	
26	Gd	Rossa	111	120 786.82	-63 084.13	(1090)	-1° 13.97'	21.9'	6° 55.7'	
27	Gd	Grono	47	131 717.53	-76 491.12	375.17	-1° 14.91'	33.6'	7° 5'	
28	Fd	Prato-Fiesso	69	109 970.62	-51 086.24	(1056)	-57.67'	40.9'	12'	
29	Fc	Andermatt	—	87 357.7	-35 442.1	(1112)	-50.02'	49.4'	20'	
30	Ed	Domodossola (Italien)	—	—	—	(300)	—	54.2'	25'	
31	Dd	Visp	111	33 547.40	-73 108.74	751.12	-19.09'	58.3'	29'	
32	Dd	Randa	—	—	—	(1110)	—	—	—	
33	Ed	Lax	70	51 816.59	-62 778.55	(1050)	-29.54'	8° 20.7.7'	52.9'	lokale Anomalie?
34	Fd	Frasco	51	105 231.23	-67 876.97	(870)	-59.93'	7° 37.8'	9'	
35	Fd	Lavertezzo	170	108 363.43	-76 853.98	(520)	-1° 1.63'	40.6'	12'	
36	Fe	Ponte Tresa	154	107 301.25	-105 974.88	268.94	-1° 0.73'	45.3'	16'	
37	Fd	Tesserete	25	118 504.67	-96 145.82	619.28	-1° 7.18'	38.9'	10'	
38	Fd	Bedretto	93	82 433.02	-48 806.58	1418.31	-47.10'	35.7'	7'	
39	Fd	Cadenazzo	111	116 330.32	-88 188.69	301.2	-1° 6.06'	45.6'	17'	
40	Fd	Spruga	65	87 258.35	-82 827.44	1090.33	-49.58'	41.0'	12'	
41	Fd	Lodano	31	96 186.36	-76 237.03	333.35	-54.71'	37.6'	9'	
42	Fd	Cerentino	—	84 967.3	-71 043.0	1133.22	-48.37'	—	—	
43	Fd	Peccia	—	—	—	(810)	—	—	—	nur H. I.
44	Fd	Caverigno	119	89 613.70	-66 593.83	452.82	-51.15'	42.6'	14'	nur D
45	Fd	Ranzo	64	103 295.04	-92 067.05	286.27	-58.60'	50.3'	21'	
46	Ed	Simplon	15	46 325.59	-77 550.42	1093.93	-26.35'	7° 49.9'	7° 30'	
47	Ed	Gondo	111	54 784.95	-83 620.94	811.88	-31.13'	39.9'	20'	
48	De	Lauterbrunnen	111	36 524.56	-40 832.31	803.57	-20.90'	58.4'	38'	
49	Ec	Guttannen	111	64 723.31	-32 266.34	1064.90	-37.08'	42.8'	23'	
50	De	Oberried	111	40 507.11	-23 514.97	566.51	-23.24'	52.7'	33'	
51	Dd	Adelboden	111	9 656.42	-51 476.15	1276.84	-5.52'	8° 3.2'	43'	
52	Cc	Boltigen	23	-3 480.26	-36 247.90	885.28	1.99'	10.7'	50.9'	Drehungen des Stativs
53	Cd	Gstaad	111	-11 289.97	-54 004.52	1127.17	6.44'	12.8'	53'	
54	Bd	Cully	111	-55 132.20	-51 082.83	428.51	31.52'	9° 5.5'	8° 46'	

Nr. und Lage in der Stationskarte	Ort	Triang.- Punkt Nr.	Entfernung von Bern		Höhe über Meer	Meridian- Konvergenz	D*	D 1931.5		
			y m	x m						
55	Bc	Echallens	106	-61 717.32	-33 685.42	630.27	35.35'	8° 31.0'	8° 12'	
56	Bc	Granges	51	-42 308.82	-21 251.21	498.89	24.29'	20.7'	1'	
57	Bc	Ecublens	38	-48 461.94	-38 135.08	629.48	27.74'	45.0'	25'	
58	Bc	Yverdon	336	-61 590.66	-18 436.98	433.14	35.37'	20.6'	10'	nur D
59	Ac	L'Isle	469	-78 057.90	-36 985.70	652.75	44.69'	30.2'	10'	
60	Ad	Gland	151	-89 174.65	-57 860.31	420.56	50.87'	33.3'	13'	
61	Ad	Hermance	III	-92 105.69	-73 003.79	424.67	52.41'	31.3'	14'	
62	Cd	Orsières	III	-22 647.80	-102 989.02	931.47	12.83'	14.9'	7° 55'	
63	Cd	Ardon	71	-43 556.02	-81 948.73	496.94	7.70'	11.5'	52'	
64	Bd	Villeneuve	III	-41 330.26	-61 543.71	373.59	23.57'	20.2'	8° 6'	
65	Cd	Evolena				(1360)		7° 52.3'	7° 32'	
66	Dd	Ferden	18	24 333.58	-62 976.20	1344.46	-13.87'	49.9'	30'	
67	Bc	Romanel	III	-63 733.60	-43 957.33	613.56	36.46'	8° 5.1'	45'	
68	Bd	Belmont	27	-57 861.68	-47 857.86	622.69	33.07'	32.8'	8° 13'	
69	Bd	Chexbres-Rivaz	III	-51 331.09	-51 970.47	628.29	29.32'	40.8'	21'	
70	Cc	Fribourg	78	-19 572.68	-16 109.72	705.18	11.24'	9.7'	7° 50'	
71	Ec	Grindelwald	III	45 941.92	-36 005.15	1102.95	-26.31'	7° 46.1'	26'	
72	Fa	Trüllikon	118	93 874.09	76 405.78	418.41	-54.78'	7° 25.9'	7° 15'	
73	Ga	Güttingen	25	138 615.49	74 664.67	433.56	-1° 20.85'	12.0'	2'	
74	Gb	Schwellbrunn	434	137 815.86	45 993.73	974.79	-1° 19.99'	10.2'	0'	
75	Ga	Mörschwil	1340	151 202.24	59 455.21	539.85	-1° 27.96'	6.4'	6° 56'	
76	Hb	Rüti (St. Gallen)	272	159 012.07	38 084.24	472.84	-1° 32.17'	3.2'	53'	
77	Gc	Weisstannen	2701	145 318.78	7 012.31	1035.47	-1° 23.79'	7.9'	57'	
78	Fc	Lintbal	134	118 513.15	-3 226.65	760.85	-1° 8.22'	15.7'	7° 5'	
79	Fb	Dürnten	71	106 982.97	36 854.08	532.19	-1° 2.00'	22.3'	12'	
80	Gb	Amden	4361	128 311.42	28 294.73	934.42	-1° 14.19'	27.1'	17'	
81	Hc	Untervaz	70	160 001.30	1 345.06	560.73	-1° 32.16'	2.9'	6° 52'	
82	Gc	Ilanz	37	135 741.04	-18 611.82	782.34	-1° 17.93'	9.0'	58'	
83	Gc	Versam	206	115 317.67	-16 043.51	845.08	-1° 23.47'	7.6'	57'	
84	Hc	Davos	86	182 331.44	-14 970.92	1587.16	-1° 44.73'	6° 56.2'	46'	
85	Ic	Bos-cha	III	208 449.90	-15 909.51	1663.30	-1° 59.69'	41.4'	31'	
86	Ic	Sent	158	222 254.00	-11 096.08	1233.23	-2° 7.71'	41.0'	30'	
87	Hc	Campovasto	41	190 661.92	-39 113.96	1689.39	-1° 49.07'	56.7'	46'	
88	Hd	Bondo	44	162 075.63	-66 459.76	811.64	-1° 32.31'	58.8'	48'	
89	Id	Poschiavo	156	201 366.52	-67 378.72	1078.18	-1° 54.65'	7° 4.1'	54'	
90	Hc	Savognin	III	165 070.12	-36 677.94	1217.2	-1° 34.48'	6° 53.8'	43'	lokale Anomalie?
91	Gc	Andeer	131	152 821.01	-36 261.17	1012.59	-1° 27.48'	7° 5.6'	55'	
92	Gd	Cabbiate	20	136 547.51	-67 319.84	491.88	-1° 17.77'	6.8'	56'	
93	Fd	Aquila	17	115 726.50	-49 070.14	740.95	-1° 6.11'	9.3'	59'	
94	Fc	Somvix	189	114 161.59	-23 807.08	(1080)	-1° 5.49'	20.4'	7° 10'	
95	Ea	Schwaderloch	46	53 409.17	71 557.88	307.55	-31.14'	41.8'	31'	
96	Da	Wallbach	195	34 983.32	68 556.46	346.29	-20.39'	52.1'	42'	
97	Db	Nunningen	715	14 872.26	49 088.57	684.65	-8.64'	56.4'	46'	
98	Cb	Delémont	278	-7 885.39	46 475.18	477.96	4.58'	8° 4.2'	54'	
99	Cb	Reconvilier	335	-15 662.33	32 248.21	785.78	9.07'	7.2'	57'	
100	Bb	La Chaux-de-Fonds	29	-44 669.66	18 563.73	1032.15	25.81'	9.9'	59'	
101	Cc	Montnagny	12	-32 27.66	-2 806.87	565.12	18.96'	10.0'	8° 0'	
102	Bc	Moudon	137	-48 749.52	-30 167.98	599.61	27.94'	13.4'	3'	
103	Bc	Morrens	204	-62 497.82	-39 688.53	717.01	35.76'	12.2'	2'	
104	Cd	Le Châble (Bagnes)	75	-18 092.88	-96 420.06	822.93	10.26'	4.1'	7° 54'	
105	Cd	Euseigne				(950)				H. I
106	Dd	Täsch	III	26 141.63	-97 894.29	1433.13	-15.39'	7° 33.1'	23'	
107	Ed	Mörel	46	47 229.00	-65 850.01	809.77	-26.91'	22.2'?	12'?	nur D. Anomalie
108	Ec	Brienz	III	47 754.07	-21 774.87	673.00	-27.41'	41.7'	31'	
109	Dc	Wichtrach	III	10 953.98	-11 729.59	599.66	-6.30'	53.6'	43'	
110	Cc	Düdingen	III	-17 374.73	-10 995.96	676.64	9.99'	8° 5.6'	55'	
111	Cb	Münchenbuchsee	III	-257.3	8 331.3	(598.8)	-1.17'	7° 59.8'	49'	
112	Cb	Grenchen	III	-3 761.19	25 793.71	470.67	1.93'	8° 2.0'	52'	
113	Db	Lützelflüh	III	18 305.53	7 309.89	759.31	-10.56'	7° 53.6'	43'	
114	Dc	Schüpbach	III	22 624.54	-3 158.80	719.96	-13.03'	51.3'	41'	
115	Ec	Schüpfheim	III	43 640.91	287.10	751.94	-25.14'	44.2'	34'	

Nr. und Lage in der Stationskarte		Ort	Triang.- Punkt Nr.	Entfernung von Born		Höhe über Meer	Meridian- Konvergenz	D*	D 1931.5	
				y	x	m				
				m	m	m				
116	Db	Lotzwil	III	25 993.76	26 272.07	538.72	-15.04'	7° 50.5'	7° 40'	
117	Db	Safenwil	III	41 595.08	40 872.23	529.30	-24.13'	46.4'	36'	nur D
118	Eb	Hildisrieden	III	58 901.50	23 066.24	726.54	-34.06'	39.6'	29'	
119	Fb	Einsiedeln	III	99 924.55	22 385.78	931.96	-57.77'	24.6'	14'	
120	Fb	Arth	94	82 888.87	13 551.69	448.30	-47.85'	32.2'	22'	
121	Fc	Silenen	—	—	—	(600)	—	—	—	
122	Eb	Muri (Aargau)	III	66 585.9	37 775.2	501.5	-38.60'	36.8'	26'	
123	Ea	Steinmaur Regensberg	263 —	76 017.64 —	61 214.68 —	466.89 (610)	-44.24' —	24.0' —	26' —	
124	Fa	Seen	III	100 963.27	60 246.91	561.23	-58.75'	12.7'	15'	
125	Fa	Gündelhart	—	112 805.49	77 475.78	(630)	-1° 5.83'	11.1'	13'	
126	Gb	Benkenerbüchel	2969	119 499.87	27 144.24	540.4	-1° 9.14'	7.1'	9'	nur D
127	Eb	Gränichen	194	49 774.10	46 657.46	435.06	—	—	—	H, I
128	Eb	Obfelden	202	74 557.30	36 184.20	482.46	-43.21'	21.6'	23'	
129	Fb	Euthal	—	—	—	(895)	—	—	—	
130	lc	Sis	—	—	—	(1440)	—	—	—	
131	Hd	Silvaplana	—	—	—	(1795)	—	—	—	
132	Hc	Bergün	—	—	—	(1450)	—	—	—	
133	Gc	Vals	—	—	—	(1300)	—	—	—	
134	Gb	Urnäsch	—	—	—	(1040)	—	—	—	

Stationsbeschreibung.

1. *Alpnach*. Im Alpnacherried, an dem vom Bahnhof ostwärts nach Ennetmoos führenden Fahrweg, zirka 450 m vom Bahnhof, kurz vor Erreichung des Hauses Quellenberg, zirka 3 m S des Weges. Wiesboden.

2. *Sigriswil*. Im «Schwendli», SW oberhalb des Dorfes, zirka 650 m von der Kirche, am Fußweg nach «Rostbühl», kurz nach dessen Vereinigung mit einem zweiten aus dem Ostteil des Dorfes heraufkommenden Wege. Auf dem westlichen hohen Wegbord, nahe einem großen Obstbaum. Zirka 8 m E des Steins scheint eine unterirdische Wasserleitung talwärts zu führen.

3. *Porrentruy*. N des Ortes, in der NE-Ecke des hochgelegenen Wiesenplateaus, das nordwärts in den Wald der «Combe aux Juifs», ostwärts steil gegen «Bellevue» an der Straße nach Delle, abfällt. E der das Plateau einfassenden Hecke. Wiese.

4. *Tüllinger Höhe*. Punkt des Badischen Topographischen Bureaus im NE von Basel auf dem letzten Ausläufer des Schwarzwaldes. Zirka 8 m W des Weges, der an der Kirche Ober-Tüllingen vorbei bergab durch das Reb Gelände gegen die Brücke über die «Wiese», zwischen Riehen und Weil, führt. Kurz unterhalb der genannten Kirche auf der abfallenden Wiese rechts.

5. *Buchs* (St. Gallen). Auf dem Hügel «Schnecken» am Südwestrand von Buchs, zirka 75 m S des

Friedhofs, zirka 200 m WSW der katholischen Kirche. Wiese über felsigem Boden.

6. *Zernez*. Signalstein 3. Ordnung im SE des Dorfes auf dem oberen Teil des Bergvorsprunges Muottas, um den sich die Ofenpaßstraße nach Verlassen des Dorfes zieht, zirka 80 m über dem Dorf, sehr frei dem Wind ausgesetzt. Aufstellung des Schirmes und Ausführung der Messungen lange durch Windböen verunmöglicht. Schließlich Messung von D über dem Signalstein, H (nur Ablenkungen) an etwas geschützterer Stelle, zirka 24 m ENE davon, kein I.

7. *Vicosoprano*. In dem ebenen Gelände talaufwärts des Dorfes, am Fußweg, der an dessen oberem Eingang abbiegt und S der Poststraße durch den Talboden führt, zirka 500 m vom Beginn des Weges. Wiese.

8. *Rothenbrunnen* (Domleschg). Zirka 300 m SW des Bahnhofs, 15 m oberhalb der nach Cazis-Thusis führenden Talstraße, zwischen dem an der großen Straßenkurve liegenden alten Steinbruch und der Abzweigung des Weges nach Trieg. Im untersten, abgeholzten Teil des Bergwaldes; steiler Hang, daher nicht bequem für längere Beobachtungstätigkeit, auch der Straße zu nahe. Steiniger Waldboden.

9. *Disentis*. Auf dem steinigen Wiesenweg nach S. Gada und Mompè-Medels, zirka 280 m von der Brücke über den Aclettabach in Disentis und 500 m

vor der Kirche S. Gada, bei der zweiten Scheune. Der geeignetste Punkt in der näheren Umgebung von Disentis.

10. *Münster* (Wallis). Zirka 500 m NE der Kirche von Münster, rechts des Feldweges nach Geschinen, zirka 150 m NNW des an der Talstraße liegenden Kapellchens St. Niklaus. Auf grasbewachsenem, anscheinend aus Steingeröll aufgeschüttetem kleinen Hügel, der auch ein Holzkreuz trägt.

11. *Sierre*. S des Fahrweges nach Salgesch, zirka 200 m nach Ueberschreiten des Siniöse-Baches, zirka 130 m vom Weg auf einem Felskopf inmitten von Rebgebirge.

12. *St-Maurice*. Zirka 800 m N der Rhonebrücke (in der Klus) bei dem westlich der Straße nach Bex gelegenen Haus «Sous Vent» (En la Condémine). Zirka 25 m NW des Hauses, zirka 50 m von der Straße vor dem Abfall gegen das Rhonebett. Wiese.

13. *Annemasse* (Frankreich). Nahe der Ostgrenze des Kantons Genf. Kein Triangulationsstein. In dem weiten ebenen Wiesengelände N des Bahnhofs, zwischen diesem und dem Grenzfluß Foron, in dem Herr R. Dongier im Jahre 1922 anlässlich der neuen französischen magnetischen Vermessung beobachtet hat (vgl. Ch. Maurain, Annales de l'Institut de Physique du Globe de l'Université de Paris, Tome III, page 71, 1925). Auf Feldweg NE von drei kleineren Häusern («Fabrique de brosse»), zirka 200 m von der Straße, die an ihnen vorbeiführt. Wiese. Der Beobachtungspunkt dürfte dem der französischen Vermessung nahe entsprechen.

14. *Morges*. Etwa $\frac{1}{4}$ Stunde N oberhalb des Ortes («Bellevue» der Siegfriedkarte). E des Heims für tuberkulöse Kinder, zirka 8 m von der NE-Ecke einer Rebberge einfassenden Mauer in Klec- und Grasfeld. (Schöner Blick über den Genfersee.)

15. *Bulle*. Zirka 1300 m NE des Bahnhofs, nahe dem Westrand der Anhöhe «le Coude», zirka 150 m SSW der an der Straße Bulle-Morlon gelegenen Ferme «Le Ferrajoz». Kornfeld, exzentrische Messung.

16. *Môtiers*. Zirka 200 m S des an der Straße Môtiers-Couvet gelegenen Gehöftes «Le Marais», auf einer Geländestufe, zirka 30 m höher als die Straße, 10 m W von einem Kornfeld. Wiese.

17. *Zell* (Kt. Luzern). Auf dem «Steinhübel», zirka 500 m S der Kirche, 6 m vom oberen Rand der «Allmend», die hier zirka 40 m steil zur Talsohle abfällt, zirka 120 m NW des Gehöftes «im Hübeli». Wiese.

18. *Personico*. Oberhalb des Dorfes, zirka 300 m W der Kirche, im oberen Teil der von einfacher Steinmauer umgebenen, gegen das Dorf abfallenden Wiese, S des aus Val Marcri kommenden Wildbaches.

19. *Balerna*. Zirka 400 m SW vom Bahnhof, am Südrand des Hügels «Sceredascia», der hier steil abfällt. Am Rand eines kleinen Kartoffel- und Maisackers.

20. *Brissago* (Nevedone). Am Berghang NNE von Brissago, zirka 100 m E des Dörfchens Nevedone, auf der obersten der schmalen Wiesenterrassen, in denen der steile Berghang hier zum Seeufer abfällt und die man zwischen den Häusern von Nevedone hindurch erreicht, zirka 35 m NE eines am Beginn der zweiten Terrasse stehenden Kirschbaumes unterhalb eines Rebberges. (Prächtiger Blick auf den Lago Maggiore.)

21. *Bargen*. Auf der S des Dorfes gelegenen großen Schanze, in der am weitesten gegen W vorspringenden Ecke der äußeren Umwallung. Rasen über aufgeschüttetem Erdreich.

22. *Thayngen*. Rechts der Straße Thayngen-Dörfingen, zirka 1 km SW des Bahnhofs Thayngen, auf der breiten Rasenkuppe «Hugigrund», zirka 100 m W der Landesgrenze. Kurzgrasiger, fester Weideboden (seither Aussichtspunkt mit Bänken).

23. *Zuzwil*. NW oberhalb des Dorfes, zirka 400 m von der Kirche am Hang des Looberges. Auf dem hohen Bord eines Feldweges, kurz unterhalb dem Waldrand. Wiese.

24. *Prugiasco*. Im Wiesengelände 450 m E des Dorfes, 200 m W des Brenno und 300 m N des Prugiasco-Baches.

25. *Claro*. Zirka 180 m S der Kirche S. Rocco in unbebautem Gelände, zwischen Sträuchern und überwachsenen Steinen.

26. *Rossa* (Calanca). SW des Dorfes, zirka 300 m W der Häusergruppe von «Pigliè», auf einem großen, rasenbedeckten Felsblock. Nicht bequem, da der Punkt am Rand des Felsens liegt. H-Messungen 30 bis 40 m W auf Wiesenboden.

27. *Grono*. Oberhalb des Dorfes, etwa 25 m W der Kirche S. Clemente in Nadro, 11 m S der Straße. Kleiner Wiesenhügel.

28. *Prato-Fiesso*. Am Nordwestrand des Hügels, auf dem die Kirche S. Giorgio (Prato) liegt. Kurzgrasige Wiese.

29. *Andermatt*. Topographischer Punkt «March». Hoher, alter Vermessungsstein mit Eisenbolzen (daher exzentrisch gemessen), im Reußknie halbwegs Hospental, nahe dem Ufer. Weideboden.

30. *Domodossola* (Italien). Im Außenhof des Convento Rosmini, nahe der Mitte des Platzes, 18 m von der nächsten Mauer und ebenso weit vom Zelt des Herrn Prof. Palazzo entfernt.

31. *Visp*. Auf der Anhöhe zirka 500 m W des Dorfes am Weg nach Bürchen. Punkt 3. Ordnung;

Eisenbolzen, daher exzentrische Messung. Felsiger Boden, dürftige Weide. Dem Walliser Talwind ausgesetzt.

32. *Randa*. Kein trigonometrischer Punkt. 100 m SW des Bahnhofs, oberhalb der Flußböschung, am Beginn der mit Gebüsch und einigen Bäumen bestehenden Erhöhung. Fester Weideboden. Sonne nur zeitweise sichtbar, daher kein D.

33. *Lax*. Zirka 700 m talauswärts der Kirche auf dem Wiesenvorsprung am N-Rande des Laxgraben-Tobels, etwa 120 m SE der Straße und 40 m oberhalb des Bahngeländes. — Wegen des ungewöhnlich hohen D-Wertes von 1928 wurde ein Jahr später 60 m N des Steins, 100 m von der Bahn, 30 m von der Straße, am Abfall des Wiesengeländes, nochmals gemessen, ohne wesentliche Änderung des Resultates.

34. *Frasco*. D zirka 1 km talauswärts der Kirche bei der Brücke über die Verzasca, auf Felsblock an steilem Wiesenhang, ungeeignet für längere Messungen, daher H und I am Ufer des Flusses kurz unterhalb der Einmündung der Efra, auf steinigem Boden.

35. *Lavertezzo*. D zirka 850 m talauswärts der Kirche, auf Felsblock in stark abfallender Wiese unterhalb der Straße. Nur für kurzdauernde Messung geeignet, daher H und I zirka 100 m E der Kirche auf der ersten kleinen Geländeterrasse unter Nußbaum. Weicher Wiesenboden.

36. *Ponte Tresa*. Zirka 250 m E von Molinazzo, auf Wiesenterrasse 50 m von der Straße.

37. *Tesserete*. Zirka 500 m N von Campestro, 70 m unterhalb der Straße Campestro-Bettagno in abfallendem Wiesen- und Gemüsegelände.

38. *Bedretto*. Zirka 80 m NE von Bedretto, 40 m oberhalb der an der Straße nach Villa gelegenen Kapelle an der SE-Ecke der Wiesenterrasse oberhalb eines Kartoffelfeldes.

39. *Cadenazzo*. H, I zirka 50 m WNW von Stein Nr. 57, der unter Drahtzaun liegt und ohne Sicht auf Miren, auf einem Feldweg, der W der «Osteria dei cacciatori» abzweigt. D auf Punkt 3. Ordnung an der Monte Ceneri-Straße 500 m S vom Bahnhof auf felsigem Boden.

40. *Spruga*. Auf kleinem Vorsprung im abfallenden Gelände unterhalb des Dorfes, 55 m S vom Ristorante Tarabori. Wiese mit felsigem Untergrund.

41. *Lodano*. Zirka 100 m NW der Kirche in Wiesen- und Gemüsegelände.

42. *Cerentino*. Unterhalb der Häuser von Corte sopra am Rand einer Wiesenterrasse, an der Stelle, wo bisher der (jetzt entfernte) Stein 3. Ordnung stand.

43. *Peccia*. Kein trigonometrischer Punkt. Von der Kapelle am unteren Dorfausgang flußwärts, am

Abfall des Wiesengeländes zum Fluß zwischen den beiden äußersten Kastanienbäumen.

44. *Caveragno*. Zirka 350 m NW der Kirche, 85 m S der am Weg ins Val Bavona gelegenen Kapelle, 10 m vom Fluß. Wiese.

45. *Ranzo*. Zirka 250 m SW der Bahnstation, am Westrand des kleinen Hügels «Coletta», an dem der Fußweg nach S. Abbondio vorbeiführt. Wiese.

46. *Simplon*. Zirka 300 m E des Hotels Simplon-Kulm auf einer Kuppe nördlich der Straße. Bergweide.

47. *Gondo*. Zirka 200 m E der Kapelle S. Marco und ebenso weit W der Grenze, 1 Schritt neben der Straße, so daß vorbeifahrende Wagen stark ablenken. Schutt unter Weidboden.

48. *Lauterbrunnen*. Punkt «Ritterschwendi», 1200 m SE von der Kirche, nahe oberhalb der von Autos und Menschen stark benutzten Straße, daher H und I zirka 50 m ESE nahe den ersten Bäumen in festem Wiesenboden mit steinigem Untergrund.

49. *Guttannen*. Zirka 500 m NW der Kirche, 6 m S des alten Talwegs in steinigem Gelände. H, I 30 m S auf kleiner Anhöhe.

50. *Oberried*. Zirka 500 m E des Dampfschiffsteges von Oberried, am Seeufer beim östlichen Ende der Ufermauer, wenige Schritte SW eines Baumes. Wiese.

51. *Adelboden*. Zirka 700 m SE der Kirche, 200 m S der Brücke über den Allenbach, auf langem, schmalen Rücken. Wiese, darunter Kies.

52. *Bolligen*. 600 m S der Kirche, am Berghang jenseits der Simme, auf kleinem Geländevorsprung, in der «Kalberweid». Wiese, weicher Boden, daher Drehungen des Stativs während der D-Messung.

53. *Gstaad*. Auf dem flachen Rücken von «Windspillen», zirka 1100 m SSE der Kapelle Gstaad, dicht neben dem Weg nach «Aegertenweid». Wiese.

54. *Cully*. Zirka 750 m W der Kirche, am Weg durch die Reben. D exzentrisch wegen der Nähe von Eisen, H und I auf dem Feldweg am unteren Rand der kleinen Wiese im NE.

55. *Echallens*. Auf dem flachen Hügel «Sur le Mont» zirka 400 m N des Ortes. Ackerboden.

56. *Granges*. Am Ostrand des Plateau «Sur Bosset», oberhalb der einzelnen Häuser, die zirka 400 m SW der Kirche an der Straße liegen. Kies.

57. *Ecublens*. Am Waldrand oberhalb steiler Wiese 500 m SW des Bahnhofs.

58. *Yverdon*. Im flachen Wiesengelände NW der Stadt, zirka 800 m vom Schloß, auf einer mit Bäumen bestandenen Böschung.

59. *L'Isle*. In den Wiesen SE des Ortes, 650 m von der Kirche, am Rand eines Feldweges, 80 m S der Straße nach Chavannes-le-Veyron.

60. *Gland*. 800 m NE des Bahnhofs, auf flacher Erhebung «au Montoly», zirka 10 m W des dem Rebberg entlang führenden Feldweges. Wiese.

61. *Hermance*. 1500 m S der Kirche in Ackerfeld zwischen Rebbergen.

62. *Orsières*. Am Ostrand des Weges nach Bouvratay, zirka 800 m S der Kirche von Orsières, 50 m hinter der ersten Wegbiegung nach Verlassen der großen Talstraße.

63. *Ardon*. D zirka 600 m NW der Kirche, auf dem Weg längs der Lizerne. H. I im Sumpfgelände SSW von Ardon, 1450 m von der Kirche, etwa 50 m westlich einer Brücke über den Kanal, auf einem Pfad zwischen Schilf (etwa da, wo der trigon. Pkt. Nr. 79 nach der Lageskizze zu erwarten war).

64. *Villeneuve*. Punkt «les Grangettes», 1800 m W der Kirche Villeneuve, unmittelbar am Weg längs dem Seeufer, so daß er sich nur für eine D-Messung eignet. Gehölz. (Der schöne Punkt «Châtelard» E von Villeneuve ist wegen der Nähe eines großen Eisengerüstes für Starkstromleitungen nicht zu gebrauchen.)

65. *Evolena*. Kein trigonometrischer Punkt. Messungen unterhalb der nördlichsten Häuser des Ortes auf einer kleinen Terrasse in halber Höhe des zum Fluß abfallenden Hanges. Kies- und Wiesenboden.

66. *Ferden*. Zirka 200 m N der Häuser von Finstertelli auf einem Vorsprung 7 m vom Weg. Alpenwiese, Lochbolzen in eingebettetem Felsblock.

67. *Romanel*. Zirka 700 m NE der Bahnstation Jouxens, auf dem Hügel N des Hospice des Aliénés. Wiese.

68. *Belmont*. Zirka 400 m SE von der Kirche, 50 m unterhalb der Straße, 10 Schritt SW von einem Kirschbaum. Wiese. (Prächtiger Blick auf den Genfersee.)

69. *Chexbres-Rivaz*. «Signal de Rivaz», zirka 600 m W der Kirche von Chexbres, auf dem östlichen Abfall des Grates. Wiese mit felsigem Untergrund.

70. *Fribourg*. Auf der flachen Kuppe des «Schönberg», 50 m SW vom höchsten Punkt, 1800 m E der Stiftskirche. Wiese.

71. *Grindelwald*. Auf der Anhöhe 550 m W der Kirche, 200 m NW oberhalb Hotel Schöneegg. Exzentrische Messung wegen Nähe von Eisen. Wiese.

72. *Trüllikon*. Auf dem Hügel «Isakbuck», zirka 700 m SW von der Kirche. Wiese.

73. *Güttingen*. Auf einem Wiesenhügel NW des Dorfes, 700 m von der Kirche, 250 m östlich der Straße nach Münsterlingen.

74. *Schwellbrunn*. 1 km E des Dorfes, 150 m NE der Wirtschaft «Säntisblick» am Südrand eines Sandsteinbruches. Nicht genug Platz für Messungen von längerer Dauer. Wiese mit steinigem Untergrund.

75. *Mörschwil*. Auf dem Hügel «Blumenegg», zirka 1500 m E der Kirche, 200 m S der Gebäude von «Meggenhaus», etwa 100 m NW vom oberen Rand einer Kiesgrube (deren Rollwagen-Schienen erst beseitigt werden mußten). Wiese, Kiesuntergrund.

76. *Rüti* (St. Gallen). Kulminationspunkt des Bächlerberges, SW von Unterbüchel, 1500 m S von Rüti. Wiese, darunter Fels. — Dem Wind ausgesetzt, daher H, I 100 m S am Fuß des Bächlerberges am Rheinkanal vor dem großen Steinbruch.

77. *Weißtannen*. D 700 m NE der Kirche, im «Bühl» auf einem Felskopf E des Fußweges. Unbequem für lange Messungen. — H, I W des Dorfes am rechten Ufer des Gufelbaches kurz vor dessen Einmündung in die Seez. Wiese.

78. *Linthal*. In der «Bärenplanke», 500 m S der Dorfkirche, 350 m E der Straße nach Tierfeld, 35 m SE einer Baumschule. Wiese.

79. *Dürnten*. Höhe des «Krähenbühls», 850 m SE der Kirche Dürnten, 250 m N des Sekundarschulhauses, 10 m NE der auf dem höchsten Punkt des Hügels stehenden Linde. (Stein unter der Bodenoberfläche). Wiese.

80. *Amden*. Am Berghang oberhalb des Weges zum Armenhaus in Aeschen, 200 m NE von letzterem und 800 m WNW der Kirche Amden, in der Ecke eines einfachen, von übereinandergelegten Steinen gebildeten Mauerchens. Wiese.

81. *Untervaz*. Zirka 1900 m NE vom Dorf, ob dem Fußweg nach Mastrils, auf dem markanten Felskopf bei den Häusern von Friewis. Weide, Fels.

82. *Ilanz*. Auf einer Terrasse des von Savgäin nordwärts abfallenden Geländerückens, E oberhalb und halbwegs der Straße Savgäin-Ilanz. Wiesen- und Ackerboden.

83. *Versam*. Zirka 550 m SE der Kirche, am oberen Rand des steil abfallenden Waldes, zirka 75 m S der Straße und der eingezäunten Schonung. Wiese.

84. *Davos*. 500 m E des Bahnhofs Davos-Platz, 7 m S des Geißlochbachs, zirka 50 m unterhalb der Waldgrenze, unmittelbar neben einem großen Felsblock. Wiese. H 30 m S in der Wiesenmulde.

85. *Boscha*. Am Abfall des Geländes S des Lärchenwäldchens, zirka 150 m von der Häusergruppe. Wiese, Geröll. Bei Wind für längere Messungen zu exponiert. (Schöner Blick über das Unterengadin.)

86. *Sent*. Zirka 60 m SE der Kreuzung eines alten Feldweges mit der Landstraße Schuls-Remüs,

halbwegs zwischen der großen Straßenkurve beim vorspringenden Hügel «Chünettas» und den Häusern von Crusch, 1100 m E der Kirche Sent, auf kleinem Hügel. Wiese, felsiger Untergrund.

87. *Campovasto*. Zirka 750 m SW der Kirche, am unteren Feldweg nach Champesch. Wiese.

88. *Bondo*. Punkt «Mot del Tuff», zirka 850 m W der Kirche, zirka 40 m N des Weges, der durch das Gelände «Bregan» führt. in schönem Kastanienhain oberhalb eines gegen NE abfallenden Hanges. Weidboden.

89. *Poschiavo*. Zirka 550 m WNW der Kirche S. Antonio und 1250 m SSW der katholischen Kirche Poschiavo in leicht ansteigendem felsigem Weidland.

90. *Savognin*. Auf kleinem Hügel dicht W der Straße nach Conters, kurz unterhalb Savognin. Steiniger Wiesenboden. Für längere Messungen Straße zu nahe.

91. *Andeer*. Zwischen Andeer und Pignieu, am Waldrand neben einem Fußweg, zirka 650 m NE der Kirche Andeer. Wiese.

92. *Cabbiolo*. Auf dem steil aufragenden Felsvorsprung des «Cran», am linken Talhang des Misox, 40 m über der Talsohle, neben dem Pfad ins Valle Montogno, 600 m NE der Kirche von Cabbiolo. Fels, auf dem das Stativ schwer zu befestigen ist, außerdem windexponiert.

93. *Aquila*. SW vom Dorf, 500 m von der Kirche, in den Wiesen nahe am Brenno-Ufer, zirka 150 m S der Häusergruppe Grumarone.

94. *Somvix*. Zirka 500 m W der Kirche, unterhalb des Fußweges nach Clavadi, nach dessen erstem Steilanstieg. Auf einem in steilen Wiesenhang eingebetteten Felsblock. H, I 30 m nördlich auf ebenem festem Wiesenweg zwischen dem großen Stall und dem Wassertrog.

95. *Schwadertoch*. Auf der breiten Halbinsel des Rheins im NE des Dorfes, 700 m vom Bahnhof, zirka 200 m flußwärts einer Ruine, in Acker- und Gemüseland. Weicher Boden. Exzentrische D-Messung, weil Sicht auf die Miren zugewachsen.

96. *Wallbach*. Punkt 3. Ordnung «Vrenacker», auf der Anhöhe N des Dorfes, 1 km von der Kirche, 6 m S des Feldweges. Wiese. Exzentrische D-Messung, weil sämtliche Sichten zugewachsen.

97. *Nunningen*. Zwischen Bretzwil und Nunningen, von der Staatsstraße, da, wo sie die Kantonsgrenze passiert, zirka 320 m südwärts, zirka 200 m WNW des Hofes «Schlif». Wiesen- und Ackerboden.

98. *Delémont*. Zirka 850 m NW der katholischen Kirche, 150 m N des Hofes «Le Palastre», an einem wenig begangenen Fußpfad. Kurzgrasige Wiese mit steinigem Untergrund.

99. *Reconvilier*. Zirka 750 m NNE des Bahnhofes, auf dem steil gegen Reconvilier abfallenden Plateau von Loveresse, an dessen SW-Rand. Wiese.

100. *La Chaux-de-Fonds*. Punkt «Bellevue» auf dem Hügelrücken NE der Stadt, zirka 2700 m vom Bahnhof, 100 m W des Hauses «Chemin Blanc» am Ende einer Baumallee, 25 m von einer einfachen Steinmauer. H, I 75 m NW am Waldrand.

101. *Montmagny*. WSW vom Dorf, zirka 250 m vom großen Wasserturm, in der Grenze von Wiese und Kleefeld.

102. *Moudon*. Im NNE des Ortes zirka 1100 m von der Kirche, im Schloßgut «Gréchon», vor markanter Baumgruppe (Platane und Kastanie). Wiese.

103. *Morrens*. Zirka 275 m W der Kirche, Ausichtsplatz unter alten Eichen und Linden. Zwei Bänke mit eisernen Klammern konnten entfernt werden. Fester Rasen.

104. *Le Châble-Bagnes*. Zirka 450 m NW der Kirche an einem Feldweg oberhalb der Straße, in dem «La Maladère» genannten Gelände. Ecke eines Kartoffelackers.

105. *Euseigne*. Kein Vermessungsstein. Am Rand der zweiten der kleinen Terrassen, unterhalb der Straße zwischen Dorf und der talauswärts folgenden Straßenbiegung.

106. *Täsch*. In dem ebenen Wiesengelände NW des Dorfes, zirka 350 m von der Kirche, in der Mitte zwischen Straße und Bahn.

107. *Mörel*. Auf dem linken Rhoneufer, 450 m vom Bahnhof, kurz oberhalb des Weges nach Znachern, zirka 75 m S der Häusergruppe Pfewi nahe dem Waldrand, aber noch in der steilen Geröllhalde unterhalb der «Tunnetschfluh».

108. *Brienz*. Zirka 3 km E der Kirche Brienz auf der Anhöhe «Lauenen», halbwegs zwischen Unterschwanden und Hofstetten, zirka 5 m S des Sträßchens vor Gebüsch und zirka 70 m W der Abzweigung des Weges nach Ober-Schwanden. Wiese.

109. *Wichtrach*. Auf der Anhöhe zirka 250 m E der Kirche, nahe dem Abfall gegen das Dorf. Wiese.

110. *Düdingen*. Auf der Höhe zwischen Heitenwil und Galmis, 100 m SW des Hauses «Rüttihubel». Wiese.

111. *Münchenbuchsee*. Zirka 1200 m WNW der Kirche, 150 m S des Gehöftes «Lochsteig», 2 m neben dem in den Bärenriedwald führenden Fußweg. Fester Wiesenboden.

112. *Grenchen*. Auf der sehr breiten und flachen «Breitholzöhe» 1 km WSW des Bahnhofes. Stein schwer zu finden. Wiesengelände.

113. *Lützelflüh*. Auf dem «Brandisbergli» zwischen Lützelflüh und Rüegsau, 250 m SE der Häuser von Ober-Brandishub, 3 m W der den höchsten Punkt krönenden Linde. Wiese.

114. *Schüpbach*. Auf dem schmalen Grat S des Ortes, zirka 800 m ENE der Kirche Signau, Oberhalb einer alten Kiesgrube, 10 m W eines Baumes. Wiese.

115. *Schüpfheim*. Zirka 600 m WSW der Kirche, jenseits der Emme und zirka 35 Meter über ihr auf der Hochfläche, am Weg nach Eggli. Wiese. (Stacheldraht mußte erst auf lange Erstreckung beseitigt werden. Punkt zu nahe am Weg.)

116. *Lotzwil*. Signalstein 3. Ordnung «Schafweid». Zirka 750 m SW der Kirche, an der NE-Ecke des Waldes. Wiese.

117. *Safenwil*. Auf der Kulmination des Hügels S oberhalb des «Lindensfeldes», zirka 500 m E der Kirche. Wiese. Den NE der beiden, zirka 44 m von einander entfernten Signalsteine benutzt.

118. *Hildisrieden*. Auf der Anhöhe NE von Schopfen, zirka 17 m SE des Fußweges nach Gormund, zirka 500 m SW der Kirche Gormund, 1200 m NW von Hildisrieden. Wiese.

119. *Einsiedeln*. Signalstein 3. Ordnung «Horgenberg», 2 km NNE vom Kloster. Weicher Weideboden.

120. *Arth*. Signalstein 3. Ordnung «Güpfen», großer, grasbewachsener Nagelfluhblock inmitten von Obst- und Wiesengelände, zirka 700 m NE der Kirche Arth, zirka 300 m E der Einmündung der Rigiaa in den See.

121. *Silenen*. Kein Signalstein. Zirka 950 m S der Kirche Silenen und 250 m NNE der Bahnstation Amsteg, einige Schritte N des Weges nach Landiberg, auf steinigem, überwachsenem Boden, zwischen Bäumen.

122. *Muri* (Aargau). Auf dem Hügelrücken «Boland», 2 km NW vom Bahnhof, halbwegs nach Boswil, zirka 700 m W der Bahnlinie. Wiese.

123. *Steinmaur*. In den «Dohläckern», auf flacher Erhebung N oberhalb Nieder-Steinmaur, 7,5 m W eines einzelnen Nußbaumes, im Nordrand des Flurweges, zirka 700 m WSW der Kirche. Wiese. *Regensberg* liegt 1600 m SSW.

124. *Seen*. NE von Oberseen, auf der Anhöhe

zirka 150 m N des Gehöftes «Floren» rechts vom Feldweg unter einem Nußbaum. Zirka 1250 m ENE der Kirche Seen. Wiese.

125. *Gündelhart*. Am Waldrand zirka 500 m NW der Kirche, über einem neuvermessenen Markstein, der 178 m NE des unterirdischen und nicht aufgefundenen Signalsteins Nr. 30 steht. Wiese.

126. *Benkenerbüchel*. Im SE-Teil des ganzen Benkenener Höhenrückens, zirka 600 m ENE des höchsten Punktes, wo das Gelände stärker gegen das Gasterland abzufallen beginnt, zirka 150 m SW der oberen Häuser von «Blumenhalde» am Ende eines Lebhages. Wiese.

127. *Gränichen*. Zirka 1400 m N der Kirche, 125 m NW der Häusergruppe Weiher, 35 m S der SW-Ecke des Waldes, am Ende eines Feldweges. Wiese.

128. *Obfelden*. Auf dem Hügel 200 m NW von Bickwil, zirka 950 m N der Kirche Obfelden. Wiesen- und Obstgelände.

An den folgenden Punkten stand kein Signalstein zur Verfügung und wurde D nicht gemessen:

129. *Euthal*. Zirka 1400 m SSE der Kirche, in den Riedfeldern, 125 m SW des Hauses «Enge». Ziemlich weicher Boden.

130. *Süs*. Am Waldrand unterhalb der Höhe Chaschlin, zirka 400 m ENE der Kirche. Wiese.

131. *Silvaplana*. Auf der Halbinsel («Il Piz») im See von Campfcr, W oberhalb der kleinen Bucht ihres Nordufers, zwischen Lärchen, zirka 950 m NE der Kirche von Silvaplana. Waldboden.

132. *Bergün*. W des Dorfes, jenseits der Albula, zirka 950 m WNW der Kirche, oberhalb der Weggabelung, zwischen ihr und einem grasbewachsenen Steinwall. Wiese.

133. *Vals*. Zirka 1200 m NNE der Kirche, zwischen den Häusern von Soladüra und den nördlichsten von Campo, zirka 40 m E des Baches. Wiese.

134. *Urnäsch*. Zirka 1900 m WSW der Kirche, zirka 500 m E der Häuser «Schönau», auf der Anhöhe N oberhalb der Straße, die von Urnäsch über die «Landscheide» nach Hemberg und St. Peterzell führt. Weideboden.

Schweizerische
Meteorologische Centralanstalt

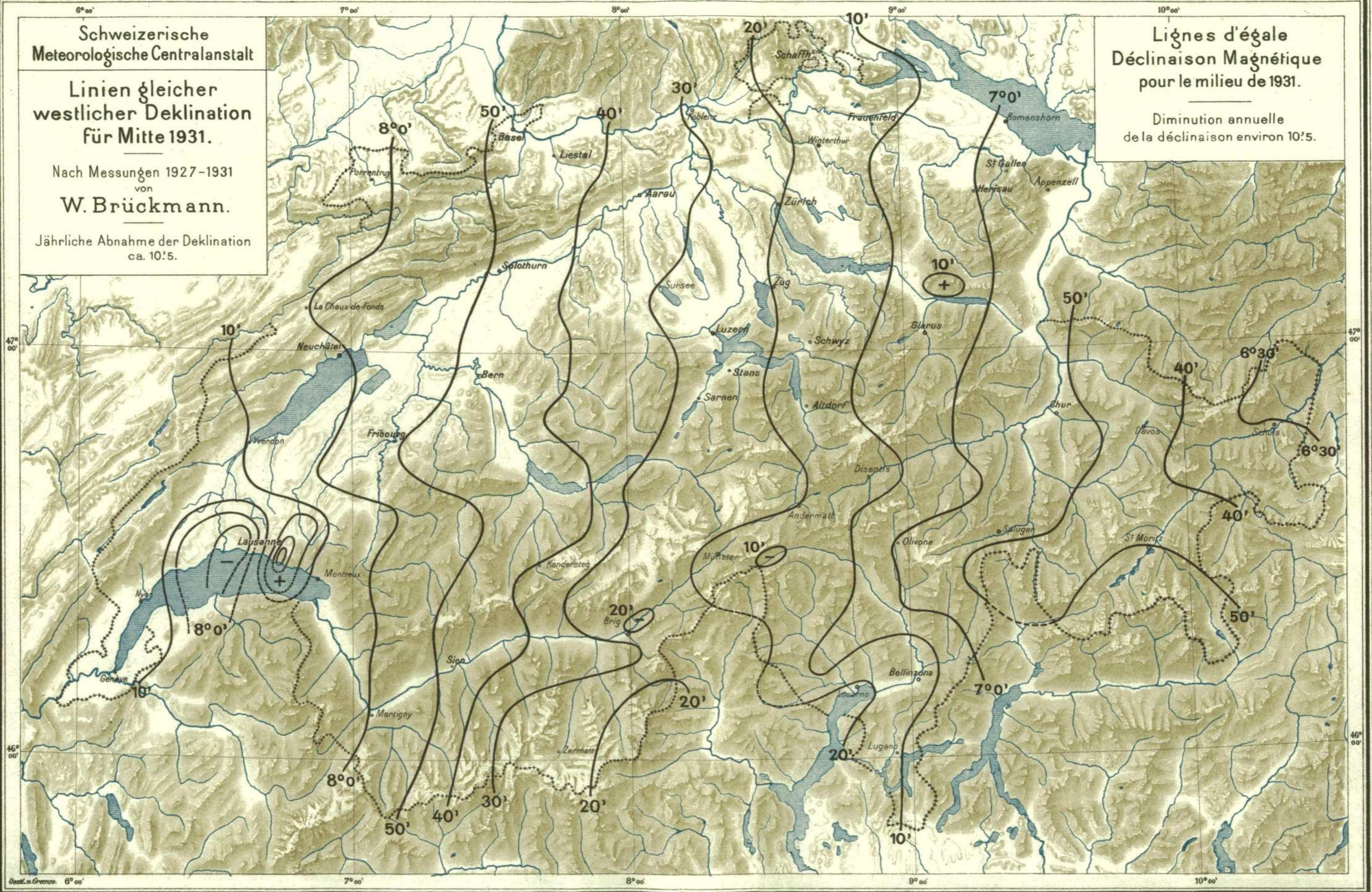
Linien gleicher
westlicher Deklination
für Mitte 1931.

Nach Messungen 1927-1931
von
W. Brückmann.

Jährliche Abnahme der Deklination
ca. 10'5.

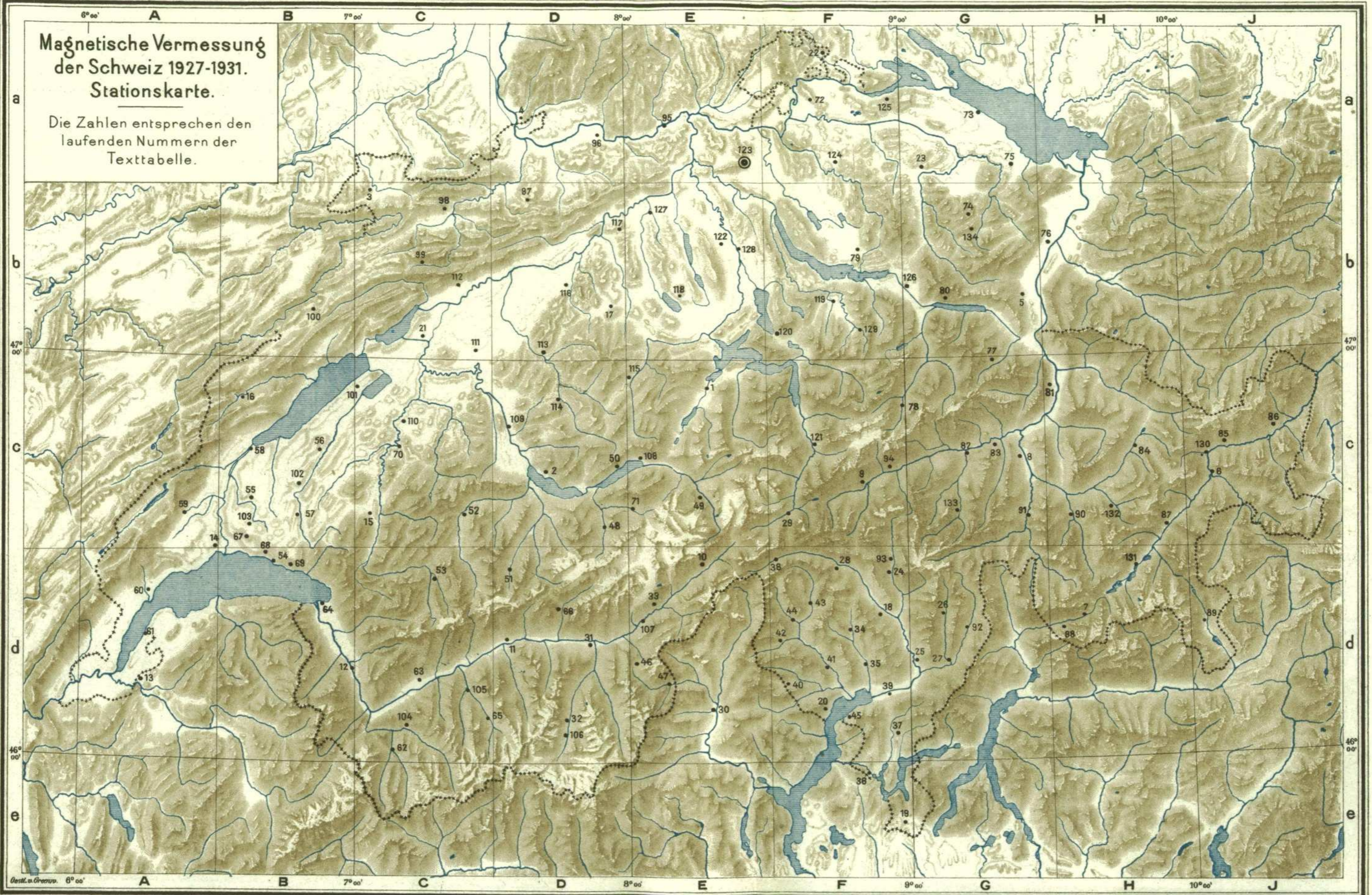
Lignes d'égale
Déclinaison Magnétique
pour le milieu de 1931.

Diminution annuelle
de la déclinaison environ 10'5.



**Magnetische Vermessung
der Schweiz 1927-1931.
Stationskarte.**

Die Zahlen entsprechen den
laufenden Nummern der
Texttabelle.



Maßstab - 1 : 1 000 000

Lith. von E. Altorf, Zürich.